

المنظمة العربية للترجمة

مدينة الملك عبد العزيز للعلوم والتقنية

يوهان كارل فينك

# البوليميرات العالية الأداء

ترجمة

د. يمن الأتاسي

سلسلة كتب التقنيات الاستراتيجية والمتقدمة

## المحتويات

19	تقديم
21	مقدمة
23	1 البوليميرات الكربازوليّة
24	1.1. المونوميرات
24	1.1.1. مونومير N- فينيل كربازول
25	2.1.1. المونوميرات ذات السلاسل الجانبيّة اللاخطيّة ضوئياً
26	3.1.1. الزجاج الجزيئي
27	2.1. البلمرة والتصنيع
27	1.2.1. البلمرة
39	2.2.1. مركّبات أخرى للفينيل كربازول
40	3.1. الخواص
40	1.3.1. الأطوار البلوريّة السائلة
44	2.3.1. الخواص الضوئيّة
44	4.1. تطبيقات
44	1.4.1. أفلام (أغشية) التصوير الكهرفوتوغرافي
47	2.4.1. الديودات البوليميريّة المُصدرة للضوء
61	3.4.1. المواد العضويّة الضوئيّة الانكسار
72	4.4.1. التجهيزات الفوتوفولطائيّة
76	5.4.1. الإصدار التلقائي المُضخّم
77	6.4.1. العناصر البصريّة
77	7.4.1. البوليميرت المضادة للكهرباء الساكنة
78	8.4.1. تطبيقات أخرى
78	5.1. المورّدون والعلامات التجاريّة
78	6.1. الأمان
79	المراجع
95	2 بوليميرات (بارا كزيليّين)
96	1.2. المونوميرات
99	2.2. البلمرة والتصنيع

99	1.2.2. توضيح الأبخرة كيميائياً .....
101	2.2.2. البلمرة في المحاليل .....
102	3.2. الخواص .....
102	1.3.2. الخواص الميكانيكية .....
104	4.2. تطبيقات .....
104	1.4.2. الطلاءات .....
108	2.4.2. التطبيقات الطبية .....
109	5.2. المورّدون والعلامات التجارية .....
111	6.2. الأمان .....
111	المراجع .....
<b>117</b>	<b>3 بوليميرات (الآريلين فينيلين) .....</b>
117	1.3. المونوميرات .....
118	2.3. البلمرة والتصنيع .....
119	1.2.3. طريق طليعي السلفونيوم .....
120	2.2.3. سيرورة التقارن المتصالب المحفز بالمعادن الانتقالية .....
121	3.2.3. توضيح الأبخرة كيميائياً .....
122	4.2.3. البلمرة بالمناقلة الفاتحة للحلقات .....
123	5.2.3. البلمرة الكهربائية .....
125	6.2.3. بلمرة بالتكاثف وفق نوفن أنجل .....
125	7.2.3. تفاعل غيلش .....
126	8.2.3. تحفيز انتقال الطور بإزالة الهيدروهاوجينات .....
127	9.2.3. البلمرة الأنيونية .....
127	10.2.3. غير ما سبق .....
132	3.3. الخواص .....
132	1.3.3. الخواص الميكانيكية .....
132	2.3.3. الخواص الحرارية .....
133	3.3.3. الخواص الكهربائية .....
134	4.3.3. الخواص البصرية .....
134	4.3. الإضافات الخاصة .....
134	1.4.3. الشوائب .....
135	5.3. تطبيقات .....
136	1.5.3. التجهيزات المتألقة كهربائياً .....
142	2.5.3. التجهيزات الفوتوفولطائية .....
148	3.5.3. الألياف النانوية من بولي (p-فينيلين فينيلين) .....

148.....	4.5.3. الأنايبب النانويّة من بولي (p-فينيلين ثينيلين)
149.....	5.5.3. المُحسّات
154.....	6.3. المورّدون والعلامات التجاريّة
154.....	7.3. الأمان
155.....	المراجع
<b>169.....</b>	<b>4 بوليميرات (إيثر الفينيلين)</b>
169.....	1.4. المونوميرات
171.....	2.4. البلّمة والتصنيع
175.....	1.2.4. بوليمير بولي (إيثر الفينيلين) الحامل للوظائف
178.....	2.2.4. البوليميرات المشتركة
179.....	3.2.4. المزائج
181.....	4.2.4. راتجات التصلّد الحراري
182.....	5.2.4. أنماط أخرى متعلّقة بما سبق
183.....	3.4. الخواص
183.....	1.3.4. الخواص الميكانيكيّة
184.....	2.3.4. الخواص الحراريّة
185.....	3.3.4. الخواص الكهربائيّة
185.....	4.4. الإضافات الخاصّة
185.....	1.4.4. معدّلات الصدم
185.....	2.4.4. الألياف
186.....	3.4.4. مُبطّات اللهب
188.....	4.4.4. عوامل النفخ
188.....	5.4. تطبيقات
188.....	1.5.4. قطع السيّارات
189.....	2.5.4. المواد اللاصقة
189.....	3.5.4. الأغشية الفاصلة
196.....	6.4. المورّدون والعلامات التجاريّة
199.....	7.4. الأمان
200.....	8.4. الأثر البيئي وإعادة التدوير
201.....	المراجع
<b>209.....</b>	<b>5 بوليميرات (سلفيد الفينيلين)</b>
210.....	1.5. المونوميرات
211.....	2.5. البلّمة والتصنيع
211.....	1.2.5. السيرورة القياسيّة

216.....	2.2.5. طرائق تحضير أخرى
216.....	3.2.5. بولي (سلفيد الفينيلين) المؤكسد
217.....	4.2.5. البوليميرات المشتركة
217.....	5.2.5. بوليميرات التصلد الحراري
219.....	6.2.5. المزايج والمواد المركبة
222.....	7.2.5. بوليميرات بولي (أريلين إيثر سلفيد)
223.....	8.2.5. بوليمير بولي (فينيلين سلفيد فينيلين أمين)
224.....	9.2.5. بوليميرات بولي (ثنائي ثيا ثيانثرين)
225.....	10.2.5. بوليميرات بولي (أريل إيثر ثيانثرين)
226.....	3.5. الخواص
226.....	1.3.5. الخواص الميكانيكية
226.....	2.3.5. الخواص الحرارية
227.....	3.3.5. الخواص الكهربائية
227.....	4.3.5. الخواص البصرية
227.....	5.3.5. الانحلالية
228.....	4.5. الإضافات الخاصة
228.....	1.4.5. مزيلات الألوان
228.....	2.4.5. مثبطات التآكل
229.....	3.4.5. تخفيف الالتصاق
229.....	5.5. تطبيقات
230.....	1.5.5. المزايج المتلدنة حرارياً المواتية للحم
231.....	2.5.5. مزايج بوليمير بولي (رباعي فلوروايثيلين) المقاومة للسحج
233.....	3.5.5. البوليميرات الموصلة كهربائياً
233.....	4.5.5. مواد لأغشية تبادل البروتونات
234.....	5.5.5. مواد ترشيح الأوزون
234.....	6.5. الموردون والعلامات التجارية
235.....	7.5. الأمان
235.....	8.5. الأثر البيئي وإعادة التدوير
238.....	المراجع
<b>245.....</b>	<b>6 بوليميرات (أريل إيثر كيتون)</b>
246.....	1.6. المونوميرات
247.....	2.6. البلمرة والتصنيع
247.....	1.2.6. السيرورة النيوكليوفيلية
249.....	2.2.6. السيرورة الإلكترونية

250.....	3.2.6. المزايج
251.....	4.2.6. التعديل
252.....	3.6. الخواص
252.....	1.3.6. الخواص الميكانيكية
255.....	4.6. الإضافات الخاصة
255.....	1.4.6. مثبتات الصُّهارة
257.....	2.4.6. الموالئ ومواد التقوية
257.....	5.6. تطبيقات
257.....	1.5.6. الطلاء غير اللاصق
258.....	2.5.6. الأغشية الفاصلة المسامية
263.....	3.5.6. البطاريات القابلة لإعادة الشحن
265.....	4.5.6. الطلاءات
265.....	6.6. الموردون والعلامات التجارية
265.....	7.6. الأمان
269.....	المراجع
<b>275.....</b>	<b>7 بوليميرات (آريلين إيثر سلفون)</b>
277.....	1.7. المونوميرات
278.....	1.1.7. 4،4'-بيفينول
278.....	2.1.7. بيسفينول A
279.....	3.1.7. بيس - (4-هيدروكسي فينيل) -سلفون
279.....	4.1.7. بيس - (4-كلورو فينيل) -سلفون
281.....	2.7. البلمرة والتصنيع
281.....	1.2.7. البلمرة بالتكاثف بالنمو المرحلي
283.....	2.2.7. البلمرة بالتكاثف بنمو السلسلة
285.....	3.2.7. بوليميرات مشتركة من مونوميرات وظيفية الزمر الطرفية (تلكيلية)
287.....	4.2.7. بوليميرات ذات الحلقات الضخمة
287.....	5.2.7. بلمرة فريدل - كرافتس
288.....	6.2.7. السلفنة
289.....	7.2.7. المزايج
290.....	8.2.7. أصناف من PES
294.....	9.2.7. التعديل
295.....	3.7. الخواص
295.....	1.3.7. الخواص الحرارية
297.....	2.3.7. الخواص الكيميائية

297	3.3.7. الخواص الكهربائية
298	4.7. تطبيقات
298	1.4.7. الأغشية الفاصلة
305	2.4.7. التطبيقات الطبية
308	3.4.7. تطبيقات أدلة الموجات البصرية
311	5.7. مواد أنابيب التمديدات الصحية
311	6.7. الموردون والعلامات التجارية
312	7.7. الأمان
312	8.7. الأثر البيئي وإعادة التدوير
314	المراجع
<b>325</b>	<b>8 بوليميرات (أريلين إيثر نتريل)</b>
325	1.8. المونوميرات
326	1.1.8. مركبات بنزونيتريل المُهْلَجَة
329	2.1.8. مركبات الهيدروكسي العطرية
330	2.8. البلمرة والتصنيع
331	1.2.8. الطريق الإلكتروني
331	2.2.8. الطريق النيوكليوفيلي
334	3.8. الخواص
334	1.3.8. الخواص الميكانيكية
335	2.3.8. الخواص الحرارية
335	3.3.8. الانحلالية
336	4.8. تطبيقات
336	1.4.8. الراتجات المقواة
336	2.4.8. مواد المرشحات
337	3.4.8. المغناط المحتجزة بالراتج
337	4.4.8. أغشية تبادل البروتونات
339	5.8. الموردون والعلامات التجارية
340	6.8. الأمان
341	المراجع
<b>345</b>	<b>9 بوليميرات التريازول</b>
345	1.9. المونوميرات
347	2.9. البلمرة والتصنيع
347	1.2.9. تفاعلات مركبات ثنائي النتريل مع مركبات ثنائي هيدرازيد
347	2.2.9. الإزاحة النيوكليوفيلية العطرية

348.....	3.2.9. بوليميرات بولي (بيس-1،2،4-تريازول)
349.....	4.2.9. بوليميرات بولي (1-فينيل-1،2،4-تريازول)
350.....	5.2.9. البوليميرات الشجرية التشعب من 1،2،4-تريازول
350.....	3.9. الخواص
350.....	1.3.9. الخواص الحرارية
351.....	2.3.9. الخواص الكهربائية
352.....	3.3.9. الخواص البصرية
359.....	4.9. إضافات خاصة
359.....	1.4.9. مثبتات التفكك
360.....	5.9. تطبيقات
360.....	1.5.9. الإيزوسيانات المحتجزة
361.....	2.5.9. تشبيك المطاط
362.....	3.5.9. الطلاءات
362.....	4.5.9. اللواصق المحتملة لدرجات الحرارة العالية
363.....	5.5.9. مثبتات التآكل البوليميرية
364.....	6.5.9. التركيبات المولدة للغاز
366.....	7.5.9. البوليميرات المبيدة حيويًا
366.....	6.9. الموردون والعلامات التجارية
366.....	7.9. الأمان
368.....	المراجع
<b>375.....</b>	<b>10 بوليميرات بولي (أوكساديازول)</b>
375.....	1.10. المونوميرات
377.....	2.10. البلمرة والتصنيع
377.....	1.2.10. البلمرة بالتكاثف
382.....	2.2.10. البلمرة الأيونية
382.....	3.2.10. السلفنة
383.....	3.10. الخواص
384.....	4.10. تطبيقات
384.....	1.4.10. الألياف
385.....	2.4.10. الأغشية الفاصلة
385.....	3.4.10. المحسّات
385.....	4.4.10. التجهيزات المُصدرة للضوء
387.....	5.4.10. طلائع الغرافيت



387	5.10. الموردون والعلامات التجارية
388	6.10. الأمان
388	المراجع
<b>393</b>	<b>11 بوليميرات بولي (نفتالات)</b>
393	1.11. المونوميرات
393	1.1.11. حمض نفتالين ثنائي الكربوكسيليك
395	2.11. البلمرة والتصنيع
395	1.2.11. بولي (نفتالات الإيثيلين)
406	2.2.11. البوليميرات المشتركة
410	3.2.11. المزائج
416	4.2.11. بولي (1،3-بروبيلين 2،6-نفتالات)
419	3.11. الخواص
419	1.3.11. الخواص الميكانيكية
420	2.3.11. الخواص الحرارية
420	3.3.11. الخواص الكهربائية
420	4.3.11. الخواص البصرية
421	5.3.11. النفاذية الغازية
423	6.3.11. المقاومة الكيميائية
424	4.11. الإضافات الخاصة
424	1.4.11. مُبطّئات اللهب
425	2.4.11. الطلاءات الواقية
425	5.11. تطبيقات
425	1.5.11. بولي (نفتالات الإيثيلين)
426	2.5.11. الأغشية
430	3.5.11. الألياف
431	6.11. الموردون والعلامات التجارية
432	7.11. الأمان
435	8.11. الأثر البيئي وإعادة التدوير
435	المراجع
<b>443</b>	<b>12 بوليميرات بولي (فتال أميد)</b>
444	1.12. المونوميرات
446	2.12. البلمرة والتصنيع
447	1.2.12. الطريق التقليدي

448.....	2.2.12. السيرورة الآتية أو سيرورة المعلقات الهوائية
449.....	3.2.12. السيرورات على دفعات
450.....	4.2.12. الطرق المستمرة
450.....	5.2.12. التكاليف في السطح البيئي
451.....	6.2.12. طريق إعادة تدوير الإستر
451.....	7.2.12. التفاعلات الجانبية
452.....	8.2.12. المزايج والبوليميرات المشتركة
454.....	9.2.12. تقنيات التصنيع
455.....	3.12. الخواص
455.....	1.3.12. الخواص الميكانيكية
455.....	2.3.12. الخواص الحرارية
457.....	3.3.12. الخواص الكيميائية
457.....	4.12. الإضافات الخاصة
457.....	1.4.12. المواد المألنة
458.....	2.4.12. مضادات الأكسدة
462.....	3.4.12. مُعدّلات الصدم
462.....	4.4.12. مُبطّئات اللهب
463.....	5.12. تطبيقات
463.....	1.5.12. الأنواع الشفافة
464.....	2.5.12. تركيبات للحام
465.....	3.5.12. السلع المطلية كهربائياً
467.....	4.5.12. لواصل الصهارة الحارة
469.....	6.12. الموردون والعلامات التجارية
469.....	7.12. الأمان
469.....	8.12. الأثر البيئي وإعادة التدوير
472.....	المراجع
<b>477.....</b>	<b>13 مركبات الأراميد</b>
477.....	1.13. المونوميرات
481.....	2.13. البلمرة والتصنيع
481.....	1.2.13. طريق كلوريد الحمض
481.....	2.2.13. طريق الحمض
482.....	3.2.13. طريق أول أكسيد الكربون
483.....	4.2.13. بوليميرات البولي (أميد) العطرية جزئياً
484.....	5.2.13. الألياف

485	6.2.13	ورق الأراميد
486	7.2.13	بنى خلايا النحل السداسية
486	8.2.13	أغشية الأراميد
487	3.13	الخواص
487	1.3.13	الخواص الميكانيكية
489	2.3.13	الخواص الحرارية
489	3.3.13	الخواص البصرية
490	4.13	الإضافات الخاصة
490	1.4.13	المنثبات إزاء الأشعة فوق البنفسجية
490	2.4.13	المعدلات الموصلة كهربائياً
491	5.13	تطبيقات
492	1.5.13	مواد الاحتكاك
492	2.5.13	مانعات التسرب
493	3.5.13	مواد التقوية
494	4.5.13	حوامل المحفزات
495	5.5.13	المركبات الطبيعية لألياف الكربون
496	6.5.13	خزانات الوقود الفائقة البرودة
496	7.5.13	مركبات الأراميد الفائقة التشعب
496	6.13	الموردون والعلامات التجارية
497	7.13	الأمان
499	8.13	الأثر البيئي وإعادة التدوير
499		المراجع
505	14	بوليميرات البولي (أميد إيميد)
505	1.14	المونوميرات
509	2.14	البلمرة والتصنيع
509	1.2.14	طريق الإيزوسيانات
510	2.2.14	طريق كلوريد الحمض
510	3.2.14	طريق البلمرة المباشرة
511	4.2.14	البلمرة بالأموح المكمروية
512	5.2.14	بوليميرات بولي (أميد إيميد) ذات النهايات المغطاة
512	6.2.14	بوليميرات بولي (أميد إيميد) غير المشبعة
513	7.2.14	المزائج
513	8.2.14	الرغويات

516.....	3.14. الخواص
516.....	1.3.14. الخواص الميكانيكية
517.....	4.14. تطبيقات
517.....	1.4.14. الأغشية الفاصلة
519.....	2.4.14. الطلاءات والمواد اللاصقة
522.....	3.4.14. الألياف
522.....	4.4.14. التطبيقات البصرية
526.....	5.14. الموردون والعلامات التجارية
526.....	6.14. الأمان
528.....	المراجع
<b>533.....</b>	<b>15 بوليميرات بولي (إيميد)</b>
534.....	1.15. المونوميرات
538.....	2.15. البلمرة والتصنيع
538.....	1.2.15. الطريق التقليدي
539.....	2.2.15. طريق الإيزوسانات
540.....	3.2.15. الطريق المائي
541.....	4.2.15. البلمرة بالإزاحة النيوكليوفيلية
541.....	5.2.15. الإيمدة التبادلية
542.....	6.2.15. توضيح الأبخرة كيميائياً
543.....	7.2.15. مركبات البيفينول المعاقة
543.....	8.2.15. بوليميرات بولي (إيزوإيميد)
544.....	9.2.15. بوليميرات بولي (إيميد) المحملة بالوظائف
546.....	10.2.15. مركبات بيس (مال إيميد)
547.....	11.2.15. بوليميرات بولي (إيميد سلفون)
547.....	3.15. الخواص
549.....	4.15. إضافات خاصة
550.....	5.15. تطبيقات
550.....	1.5.15. الرغويات
552.....	2.5.15. تقانة الأغشية الفاصلة
557.....	3.5.15. تقانة المحسّات
558.....	4.5.15. كهربليات الحاضنات البوليميرية
559.....	5.5.15. الأغشية والطلاءات للتطبيقات الإلكترونية
560.....	6.5.15. التركيبات الحساسة ضوئياً
565.....	6.15. الموردون والعلامات التجارية

565	7.15 الأمان
567	8.15 الأثر البيئي وإعادة التدوير
571	المراجع
<b>579</b>	<b>16 بوليميرات البلّورات السائلة</b>
580	1.16. المونوميرات
583	1.1.16. الأستلة
583	2.1.16. المونوميرات الحاملة للوظائف
584	2.16. البلمرة والتصنيع
584	1.2.16. بوليميرات الإستر المشتركة
586	2.2.16. بوليميرات بولي (إستر أميد)
587	3.16. الخواص
587	1.3.16. الخواص الميكانيكية
588	2.3.16. الخواص الحرارية
588	3.3.16. الخواص الكهربائية والبصرية
589	4.16. التطبيقات
589	1.4.16. المواد المركبة في المكان
592	2.4.16. تخزين المعطيات ضوئياً
594	3.4.16. الأطوار المستقرة
597	4.4.16. شاشات البلّورات السائلة
601	5.4.16. تركيبات موصلة كهربائياً
602	5.16. الموردون والعلامات التجارية
603	6.16. الأثر البيئي وإعادة التدوير
604	المراجع
<b>611</b>	<b>فهرس العلامات التجارية</b>
<b>641</b>	<b>فهرس الاختصارات</b>
<b>653</b>	<b>فهرس المركبات الكيميائية</b>
<b>689</b>	<b>الثبت التعريفي</b>
701	ثبت المصطلحات : عربي-إنجليزي
719	ثبت المصطلحات : إنجليزي-عربي
737	الفهرس

### سلسلة كتب التقنيات الاستراتيجية مبادرة الملك عبد الله للمحتوى العربي

يطيب لي أن أقدم لهذه السلسلة التي جرى انتقاؤها في مجالات تقنية ذات أولوية للقارئ العربي في عصر أصبحت فيه المعرفة محركاً أساسياً للنمو الاقتصادي والتقني، ويأتي نشر هذه السلسلة بالتعاون بين مدينة الملك عبد العزيز للعلوم والتقنية والمنظمة العربية للترجمة ويقع في إطار تلبية عدد من السياسات والتوصيات التي تعنى باللغة العربية والعلوم ومنها:

أولاً : البيان الختامي لمؤتمر القمة العربي المنعقد في الرياض 1428هـ - 2007م الذي يؤكد ضرورة الاهتمام باللغة العربية، وأن تكون هي لغة البحث العلمي والمعاملات حيث نص على ما يلي: (وجوب حضور اللغة العربية في جميع الميادين بما في ذلك وسائل الاتصال، والإعلام، والإنترنت وغيرها).

ثانياً : «السياسة الوطنية للعلوم والتقنية» في المملكة العربية السعودية التي انبثق عنها اعتماد إحدى عشرة تقنية إستراتيجية هي: المياه، والبتترول والغاز، والبتروكيميائيات، والتقنيات المتناهية الصغر (النانو)، والتقنية الحيوية، وتقنية المعلومات، والإلكترونيات والاتصالات والضوئيات، والفضاء والطيران، والطاقة، والمواد المتقدمة، والبيئة.

ثالثاً : مبادرة الملك عبد الله للمحتوى العربي التي تفعل أيضاً ما جاء في البند أولاً عن حضور اللغة العربية في الإنترنت، حيث تهدف إلى إثراء المحتوى العربي عبر عدد من المشاريع التي تنفذها مدينة الملك عبد العزيز للعلوم والتقنية بالتعاون مع جهات مختلفة داخل المملكة وخارجها. ومن هذه المشاريع ما يتعلق برقمنة المحتوى العربي القائم على

شكل ورقي وإتاحته على شبكة الإنترنت، ومنها ما يتعلق بترجمة الكتب الهامة، وبخاصة العلمية، مما يساعد على إثراء المحتوى العلمي بالترجمة من اللغات الأخرى إلى اللغة العربية بهدف تزويد القارئ العربي بعلم نافع مفيد.

تشتمل السلسلة على ثلاثة كتب في كل من التقنيات التي حددتها «السياسة الوطنية للعلوم والتقنية». واختيرت الكتب بحيث يكون الأول مرجعاً عالمياً معروفاً في تلك التقنية، ويكون الثاني كتاباً جامعياً، والثالث كتاباً عاماً موجهاً إلى عامة المهتمين، وقد يغطي ذلك كتاب واحد أو أكثر. وعليه، تشتمل سلسلة كتب التقنيات الاستراتيجية والمتقدمة على ما مجموعه ثلاثة وثلاثون كتاباً مترجماً، كما خصص كتاب إضافي منفرد للمصطلحات العلمية والتقنية المعتمدة في هذه السلسلة كمعجم للمصطلح.

ولقد جرى انتقاء الكتب وفق معايير منها أن يكون الكتاب من أمهات الكتب في تلك التقنية، ولمؤلفين يشهد لهم عالمياً، وأنه قد صدر بعد عام 2000، وأن لا يكون ضيق الاختصاص بحيث يخاطب فئة محدودة، وأن تكون النسخة التي يترجم عنها مكتوبة باللغة التي أُلّف بها الكتاب وليست مترجمة عن لغة أخرى، وأخيراً أن يكون موضوع الكتاب ونهجه عملياً تطبيقياً يصبّ في جهود نقل التقنية والابتكار ويساهم في عملية التنمية الاقتصادية من خلال زيادة المحتوى المعرفي العربي.

إن مدينة الملك عبد العزيز للعلوم والتقنية سعيدة بصدور هذه المجموعة من الكتب، وأود أن أشكر المنظمة العربية للترجمة على الجهود التي بذلتها لتحقيق الجودة العالية في الترجمة والمراجعة والتحرير والإخراج، وعلى حسن انتقائها للمترجمين المتخصصين، وعلى سرعة الإنجاز، كما أشكر اللجنة العلمية للمجموعة التي أنيط بها الإشراف على إنجازها في المنظمة وكذلك زملائي في مدينة الملك عبد العزيز للعلوم والتقنية الذين يتابعون تنفيذ مبادرة الملك عبد الله للمحتوى العربي.

الرياض 1431/3/20 هـ

رئيس مدينة الملك عبد العزيز للعلوم والتقنية

د. محمد بن إبراهيم السويل

## البوليميرات الكربازولية

يمكن بخشونة تفريق البوليميرات الكربازولية إلى تلك التي تحوي زمرة الكربازول بشكل زمرة معلقة، وتلك التي تحوي زمرة الكربازول في سلسلتها الرئيسية. وهناك فصيلة خاصة تتمثل ببوليمير كربازولي ذي زمر مترافقة.

ينتمي الصفّ الأهمّ إلى البوليميرات المبنية على أساس مركّب N-فينيل كربازول (N-vinylcarbazole) الذي يُرمز إليه اختصاراً (NVK). إنّ بوليميرات الكربازول مدروسة في الأدبيات<sup>1-3</sup>. أما الاهتمام ببوليمير بولي (N-فينيل كربازول) (PVK)، وبالبوليميرات المتعلقة به فيرجع إلى كون هذه ناقلةً ضوئياً، ومن ثمّ وُجد لها تطبيقات في:

1. التصوير الكهروفوتوغرافي (Electrophotography)،
2. والديودات البوليميرية المُصدرة للضوء،
3. والمواد العضوية الضوئية الانكسارية (Photorefractive materials)،
4. والأجهزة الفوتوفولطائية (Photovoltaic).

لقد كانت الاستعمالات الأولى لهذه البوليميرات في الأربعينيات من القرن الماضي في المكثفات الكهربائية وغيرها من التطبيقات الكهربائية بسبب خواص العزل الجيدة التي تمتاز بها. وفي عام 1970، أدخلت شركة IBM، معتمدة على براءة اختراع تعود لشاتوك وقاترا (Shattuk & Vahtra)، وعلى نحو تجاري في مجال التصوير الكهروفوتوغرافي، معقداً ناقلاً للشحنة من PVK مع 7،4،2-ثلاثي نترو-9-فلورينون أو اختصاراً (TNF).



الجدول (1-1): المونوميرات المشاركة في بوليمير (N-فينيل كاربازول)

المونومير	المونومير المُشارك
N-فينيل كاربازول	ستيرين، أسيتات الفينيل، ثنائي فينيل البنزين، ميتاكريلات، N-فينيل-2-بيروليدون
N-فينيل كاربازول	2-فينيل-4-5-[4-فينيل فينيل]-ميثوكسي [فينيل-1،3،4-أوكساديازول <sup>5</sup> حمض الأكريليك، حمض الميتاكريليك، حمض الفورميك، بلا ماء حمض المالبيك <sup>6</sup>
N-فينيل كاربازول	ميتاكريلات الميثيل (للحافظات المكَروية المتآلفة ضوئياً) <sup>7</sup>
N-فينيل كاربازول	ميتاكريلات الميثيل، معقد ميتاكريلات اليوروبيوم <sup>8،9</sup>
9-،2،3-إبوكسي بروبيل) كاربازول	N-فينيل فتال إيميد <sup>10</sup>
إستر حمض ميتاكريليك	ميتاكريلات الميثيل <sup>11</sup>
6-3-2-سيانو-2-4-نتروفينيل)-فينيل)-كاربازول-9-إيل [هكسيل	ميتاكريلات الميثيل <sup>11</sup>
إستر حمض ميتاكريليك 6-3-2-4-نتروفينيل)-	ميتاكريلات الميثيل <sup>11</sup>
فينيل]-كاربازول-9-إيل [هكسيل	ميتاكريلات الميثيل <sup>11</sup>
إستر حمض ميتاكريليك 6-3-2-ثنائي فينيل-	ميتاكريلات الميثيل <sup>11</sup>
هيدرازونوميثيل)-كاربازول-9-إيل [هكسيل	

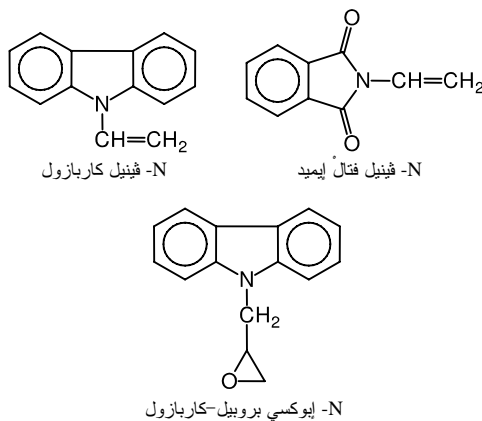
## 1.1. المونوميرات

يجري الحصول على الكاربازول بصفته أحد النواتج الثانوية من عملية تقطير قطران الفحم، ويمكن أن تنتج وحدة الكاربازول بطرائق متعددة<sup>11</sup>.

### 1.1.1. مونومير N-فينيل كاربازول

يمكن إدخال زمرة الفينيل في الكاربازول بالتفاعل مع الأسيتيلين. إن مركب N-فينيل كاربازول مركب بلّوري صلب بني اللون، درجة انصهاره هي 63 درجة مئوية.

في الغالب، لا يتكوّن بولي (N-فينيل كاربازول) PVK من مونومير واحد، أي مجرد مونومير N-فينيل كاربازول، بل تضاف إليه مونوميرات مُشاركة. يبيّن الجدول (1-1) والشكل (1-1) هذه المونوميرات المُشاركة.



الشكل (1-1): مونوميرات مستعملة في بوليميرات (N-فينيل كاربازول) وبوليميراته المشتركة

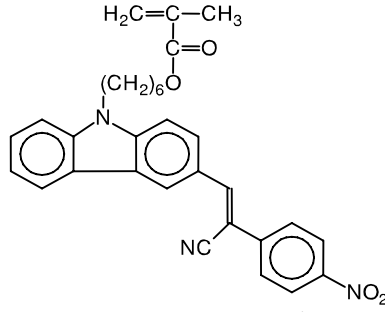
### 2.1.1. المونوميرات ذات السلاسل الجانبية اللاخطية ضوئياً

لقد جرى اصطناع مونوميرات متعددة الوظائف، تُبدّي بوليميراتها خواص لاخطية ضوئياً NLO، وناقلة ضوئياً في آن معاً<sup>11</sup>. تتطلب اللاخطية الضوئية من المرتبة الثانية، ألا تقبل كامل المنظومة تناظراً مركزياً، لذلك يكون للمونوميرات بنية معقدة نوعاً ما. يمكن إدخال هذه الوظائف باستعمال تفاعلات متعارفة في الكيمياء العضوية.

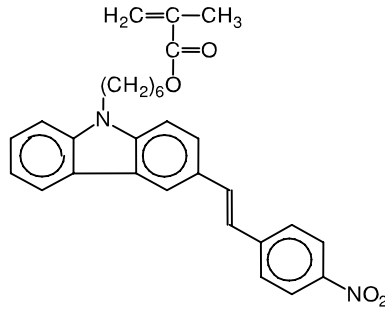
كأمثلة على هذا النوع من المونوميرات نذكر إستر حمض ميتاكريليك [6-3-2]-سيانو-2-(4-نتروفينيل)-فينيل-(كاربازول-9-إيل] هكسيل، وكذلك إستر حمض ميتاكريليك [6-3-2]-3-(4-نتروفينيل)-فينيل-[كاربازول-9-إيل] هكسيل، وأخيراً إستر حمض ميتاكريليك [6-3-2]-ثنائي فينيل-هيدرازونوميثيل-(كاربازول-9-إيل] هكسيل.

يبيّن الشكل (1-2) هذه المونوميرات، ويمكن تكوين البوليميرات منها بالبلمرّة بالجذور الحرّة باستعمال البادئ 2،2'-آزو بيس إيزو بوتيرو نتريل (AIBN).

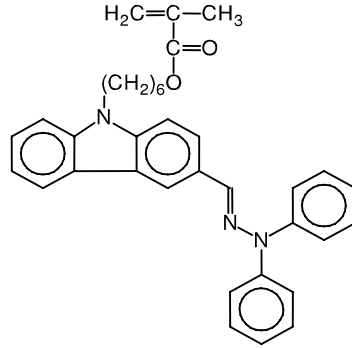
أظهرت دراسة الناقلية الضوئية أن بعض هذه البوليميرات ناقلة ضوئياً بدون إضافة أي مُحسّسات (Sensitizers)، أو عوامل ناقلة للشحنة.



الحمض 2- ميثيل أكرليك 6-[3]-[2-سيانو-2-(4-نتروفينيل)-فينيل]-[9-كاربازول-9-إيل]هكسيل إستر



الحمض 2- ميثيل أكرليك 6-[3]-[2-(4-نتروفينيل)-فينيل]-[9-كاربازول-9-إيل]هكسيل إستر



الحمض 2- ميثيل أكرليك 6-[3]-[ثنائي فينيل-هيدرازونوميثيل]-[9-كاربازول-9-إيل]هكسيل إستر

الشكل (2-1): مونوميرات لتطبيقات الضوء اللاخطي<sup>11</sup>

### 3.1.1. الزجاج الجزيئي

تسمى المواد اللامتبلّرة التي تكوّن أغشية ناقلة للشحنة، وناقلة صوتياً، باسم الزجاج الجزيئي<sup>12</sup>. كان لسنوات عديدة يُعتقد أنه يمكن للبوليميرات، وليس للمركبات ذات الوزن الجزيئي المنخفض، أن تُظهر تَرَجُّباً<sup>13</sup>.

يجري تفريق المواد العضوية اللامتبلّرة Amorphous إلى صنفين : المركّبات ذات الوزن الجزيئي المنخفض والبوليميرات. عادة، يجري تصنيع الأجهزة المكوّنة من مركّبات ذات وزن جزيئي منخفض بالتوضيع تحت الخلاء ، في حين يجري تصنيع الأجهزة المكوّنة من بوليميرات بطرائق الصب أو الطلي الدوامي (Spin-coating).

لقد جرت دراسة، المركّبات ذات الكتلة المولية المنخفضة والبوليميرات المؤسّسة على قاعدة ثلاثي الأريل أمين والكاربازول، دراسة واسعة في العديد من التطبيقات نظراً إلى ما تتمتع به من خواص جيدة كمواد تألقيّة وناقلة للتقوب<sup>12</sup>.

يمكن تركيب بوليميرات بوحداث 3،3'-ثنائي الكاربازوليل في سلسلتها الرئيسة<sup>14</sup>. في الخطوة الأولى، يجري اصطناع ضّمّامات (Adducts) ذات زمر يود معلّقة، كما في الشكل (3-1).

أمّا البوليميرات التي تحتوي في سلسلتها الرئيسة على وحدات ثنائي (كاربازول -3-إيل) فينيل أمين، و N,N'-ثنائي (كاربازول -3-إيل) -N,N'-ثنائي الفينيل -4،1-فينيلين ثنائي الأمين، فيجري تركيبها باستعمال تكثيف أولمان (Ullmann) المعدل<sup>15</sup>.

يُظهر الشكل (4-1) هذه الآليّة على نحو مبسط. تتراوح درجة حرارة الانتقال الزجاجي بين 102 و 216 درجة مئوية.

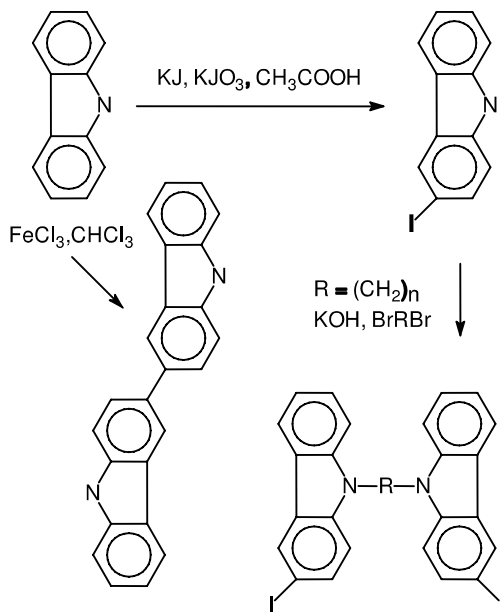
## 2.1. البلمرة والتصنيع

### 1.2.1. البلمرة

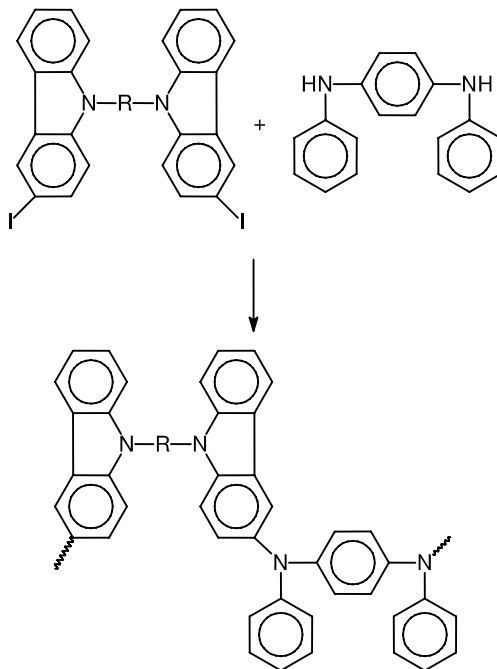
#### 1.1.2.1. بولي (N- فينيل كاربازول)

يُعدّ بوليمير PVK أقدم البوليميرات الناقلة ضوئياً وأوسعها توصيفاً. إذ كان تقليدياً يستعمل مركّباً مع TNF في آلات تصوير الوثائق. ولكنّ مواد جديدة اقترحت لهذه الغاية، نظراً إلى أنّ المنظومة PVK/TNF قليلة الحساسيّة الضوئيّة نسبياً، ولمركّب TNF درجة عالية من السميّة، كما إنّ الأغشية من PVK ضعيفة ميكانيكياً.

تُخفّض ذرّة الأزوت المرتبطة بزمرة الفينيل الكثافة الإلكترونية في الزمرة بسبب مفعولها التحريضي، ولكنّ المفعول الميزوميري أو الطيني لزوج إلكترونات الأزوت يطغى على المفعول التحريضي، مما يؤدي إلى تكوين منظومة  $\pi$ -إلكترونية مشتركة مترافقة. ولذلك تمكن بلمرة مونوميرات NVK مباشرة باستعمال بوادئ كاتيونية.



الشكل (3-1) : اصطناع ضمّامات مناسبة لتكثيف أولمان



الشكل (4-1) : تكثيف أولمان لوحداث كاربازول مع N,N'-ثنائي فينيل -4,1-فينيلين ثنائي الأمين

أما البلمرة الأيونية لهذه المونوميرات فهي غير ممكنة، ولكن يمكن أن تخضع مركبات الكاربازول التي تكون فيها زمرة الفينيل مرتبطة بالنواة العطرية لبلمرة أيونية. يتبلر NVK باستعمال بوائى جذرية. كما تمكن بلمرته باستعمال محفزات زيغلر-ناتا (Ziegler-Natta)، أو البلمرة بانتقال الشحنة، أو البلمرة بالإشعاع، أو البلمرة الكهركيميائية.

**البلمرة بالجذور الحرة.** تمكن بلمرة NVK بالاستعانة ببوائى الجذور الحرة، مثل AIBN أو البيروكسيدات. كما إن البلمرة الحرارية ممكنة أيضاً إلا أن منتجاتها غير قابلة للتكرار.

يجري الحصول على PVK ذي وزن جزيئي فائق الكبر بالبلمرة في محلول غير متجانس، باستعمال الميثانول\كحول تريت-بوتيل مع جذر حر يتفكك عند درجة حرارة منخفضة مثل 2،2'-أزوبيس-(4،2-ثنائي ميثيل فالرو نتريل) (ADMVN). في هذا المحلول، يكون معدّل بلمرة NVK متناسباً تقريباً مع تركيز ADMVN، وهذا ما يبرر الطبيعة غير المتجانسة لهذه البلمرة<sup>16</sup>.

إذ، لولا ذلك، لتناسب معدّل البلمرة مع الجذر التريبيعي لتركيز البادئ. وفي درجة حرارة الغرفة يكون المتوسط الوزني للوزن الجزيئي الذي نحصل عليه 3 230 000 دالتون.

ولما كان المونومير ميالاً إلى تكوين كاتيونات، ففي الحالات التي لا تجري فيها محاصرة هذه الكاتيونات، قلّ مثلاً في حالة مذيب بروتوني، يمكن لنمطي البلمرة بالجذر الحر وبالكاتيونات أن يتصاحبا معاً.

أما وجود إثارات حلقيّة، مثل أكسيد حلقي الهكسين (CHO) والتريوكسان، فلا يؤثر في البلمرة الجذرية لمونومير NVK مع AIBN.

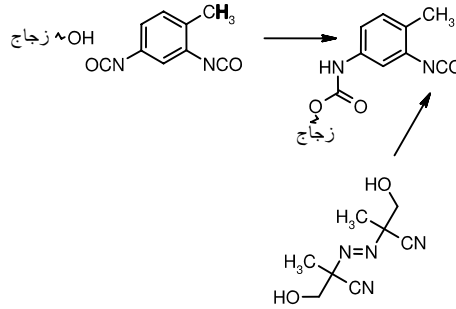
بالمقابل، تتحسن البلمرة تحسناً ملحوظاً بوجود  $\text{PH}_2\text{I}^+\text{PF}_6^-$ ، الذي يميل إلى قبول إلكترون. في الحقيقة، إن وجود  $\text{PH}_2\text{I}^+\text{PF}_6^-$  و CHO و NVK يكون بوليميراً مشتركاً تعاقبياً. يمكن تحليل ذلك بأنه يمكن تحويل جذر NVK المنتشر إلى الكاتيون الموافق بتفاعل انتقال إلكترون<sup>17</sup>. تستعمل البلمرة بالجذر الحرّ سواء كانت مُجملة (كتلية) أو في المعلقات المائية في السيرورات التقنيّة.

**البلمرة بزرع الجذور على الألياف الزجاجية.** لقد رأينا مونومير NVK مزروعاً على ألياف زجاجية. في الخطوة الأولى يجري كيميائياً إلحاق مركب آزو (azo) بسطح الألياف<sup>18</sup>.

يجري تحقيق ذلك بتفاعل زمر الهيدروكسيل المعلقة مع فائض من إيزوسيانات ثنائية الوظيفة، مثل ثنائي إيزوسيانات التولوين (TDI). وفي الخطوة الثانية، يجري تثبيت زمرة حمضية، أو زمرة هيدروكسيل حاوية بادئ آزو على السطح المعدل. هناك بادئان اثنان هما 4،4'-آزوبيس (4-سيانو - حمض بنتانويك) و 2،2'-آزوبيس (2-سيانو بروبانول) يتمتعان بالزمر التفاعلية الوظيفية المرجوة. يبين الشكل (5-1) رسماً مبسطاً لعملية إلحاق مركب آزو بسطح الزجاج.

**البلمرة والزرع على أنابيب نانوية.** تستعمل الموائع فوق الحرجة استعمالاً واسعاً في التعامل مع المواد المسامية. فيمكن استعمال ثاني أكسيد الكربون فوق الحرج في تشريب أنابيب كربون نانوية بكل من NVK و AIBN مع بلمرة لاحقة<sup>19</sup>.

ويمكن أيضاً الحصول على هذه الأنابيب الكربونية النانوية الوظيفية بالبلمرة الكهركيميائية من مونومير NVK<sup>20,21</sup>. هذه المواد مناسبة حيث يمكن استعمالها بصفاتها مساراً في بطاريات الليثيوم القابلة لإعادة الشحن وفي المكتفات الكهربائية.



**الشكل (5-1): إلحاق مركبات آزو وظيفية على سطح زجاج باستعمال TDI**

يمكن زرع بوليمير PVK على أنابيب كربونية نانوية متعددة الجدران<sup>22</sup>. يجري الزرع بتفاعل جذري باستعمال AIBN في 1،2-ثنائي كلور البنزين بدرجة حرارة 70°C. وتتفعل الأنابيب الكربونية النانوية ببوادئ ذات جذور حرّة عندما تفتح روابطها من النمط  $\pi$ ، وهي بهذا تساهم في تفاعل البلمرة. تتمتع هذه المواد بقدرات كاملة يمكن استغلالها في التطبيقات البصرية.

**البلمرة المؤكسدة في حاضنة.** لقد جرى وصف بلمرة NVK في حاضنة (Matrix) من بولي (غليكول الإيثيلين) الذي يرمز إليه اختصاراً PEG، حيث استعمل  $Ce^{4+}$  مؤكسداً<sup>23</sup>. ولقد تبين أنّ PEG يوفر حاضنة مناسبة بهدف الحصول على محلول معقد ثلاثي مستقر ومتجانس، وذلك على نحو أفضل مقارنة بـ بولي (حمض الأكريليك)، أو بولي (N-فينيل-2-بيروليدون).

**التنقية.** إنّ لنقاء البوليمير تأثيراً حاسماً على مميّزاته الكهروكروماتوغرافية، مثل الناقلية الضوئية والحساسية الضوئية. إذ نحتاج إلى محتوى أقلّ من 100 ppm (مئة جزء من المليون) بالنسبة إلى المونومير. ولكن بقطع النظر عن طريقة التحضير، يكون البوليمير ملوثاً بنسبة تصل إلى 6 في المئة بالمونومير NVK، حتّى 500 ppm كاربازول وأنتراسين، بالإضافة إلى مركّبات الكبريت في مجال الأجزاء بالمليون<sup>24</sup>.

تمكن تنقية PVK بالترسيب. يجري حلّ المادة البوليميرية بواسطة مذيب مناسب، مثل N,N-ثنائي ميثيل فورم أميد، أو رباعي هيدروفوران (THF)، أو البنزين، أو التولوين، أو كلوريد الميثيلين، ثمّ يجري ترسيب المادة البوليميرية بإضافة الميثانول. ينبغي تكرار عملية الترسيب عدّة مرّات. تحتاج عملية الترسيب إلى قدور كبيرة، إذ سرعان ما تتخزّن المادة.

هناك طريقة أخرى تستعمل حمضاً لاعضوياً لربط المركّبات الأساسية. فيمكن خفض مستوى NVK في PVK إلى مقدار أقلّ من 25 ppm وذلك بمعالجة PVK في محلول من حمض قوي. ثمّ يُسترجع البوليمير بشكله النقي بترسيبه ابتداءً من محلول مع مادة لا مذيبيّة<sup>25</sup>.

**الاستخلاص.** هناك مَنْ يدّعي أنّ عملية استخلاص تهدف إلى التخلّص من الشوائب تؤدّي إلى نتائج أفضل من عملية الترسيب ضمن محاليل عضويّة<sup>24</sup>. يجري استعمال جهاز أساسه مبدأ سوكلت (Soxhlet) في عملية الاستخلاص، أما عوامل الاستخلاص فهي مواد لا مذيبيّة، لا تسبّب انتاباجاً ملحوظاً مثل أسيتات الإيثيل.

ويمكن بعد ذلك استرجاع المادة المذبيبة المحمّلة بالشوائب بتقطيرها. ومقارنة بتقانات الترسيب المعهودة، فإنّ لعملية الاستخلاص هذه الفوائد التالية :



1. تحتاج فقط إلى حوالي 10 إلى 20% من المادة المذيبة.
2. الزمن اللازم لهذه العملية أقصر إلى حد بعيد.

لنتأمل حالة عينة من PVK كانت تحوي من الشوائب: 4,2 في المئة من NVK، و 0.1 في المئة من الكربازول، وبعض الأنتراسين في مجال الأجزاء بالمليون. بعد عملية استخلاص بواسطة أسيتات الإيثيل بدرجة حرارة  $70^{\circ}C$ ، احتوت العينة على 150–200 ppm من الفينيل كربازول بعد مضي ثماني ساعات، وجرى العثور على أقل من 50 ppm بعد مضي 72 ساعة. أما المحتوى من الكربازول فقد كان أقل من حد الكشف.

### المواد المتألقة كهربائياً (Electroluminescent materials). يجري استعمال

البلمرة الجذرية، في تحضير مواد تتألق كهربائياً، مكونة من بوليميرات مشتركة متناوبة من مونوميرات ناقلة للثقوب وأخرى ناقلة للإلكترونات<sup>26</sup>.

تقليدياً، يجري استعمال مشتقات ثنائي الأمين، التي تشمل على مواد عضوية منخفضة الوزن الجزيئي مثل آريل أمين، بصفتها مواد عضوية تمتلك قدرات ناقلة للثقوب. على سبيل المثال : N,N'-بيس(3-ميثيل فينيل)-N,N'-ثنائي فينيل بنزدين، (TPD) ومواد ذات جزيئات عضوية ضخمة مثل PVK. وكما نرى ناقلة للإلكترونات نذكر 2-(4-بيفينيل)5-(4-ترت-بوتيل فينيل)-1,3,4-أوكساديازول (PBD). ومع ذلك، تتمتع البوليميرات التي تمتلك الوظيفتين معاً ببعض الميزات.

كما يمكن استعمال مشتقات الكربازول، مثل NVK و 6,3-ثنائي الميثيل-9-فينيل كربازول، كمونوميرات ناقلة للثقوب. في حين يمكن استعمال مشتقات الأوكسيدازول، وعلى التفضيل 2- $\alpha$ -نفتيل-5-(4-فينيل فينيل)-1,3,4-أوكساديازول، بصفتها مونوميرات ناقلة للإلكترونات. ومن جهة منظومات المحفزات، فيفضل AIBN و 1,1'-أزوبيس(1-أسيتوكسي-1-فينيل إيثان) على البقية.

**البلمرة الضوئية.** لقد كان المعدل الشامل للبلمرة الجذرية في المحلول لمونومير NVK في THF - في درجات حرارة تتراوح بين  $20^{\circ}C$  و  $20^{\circ}C$ ، مع بادئ ضوئي ADMVN، كبادئ جذري - متناسباً مع الجذر التربيعي لتركيز البادئ. ولقد جرى الحصول على متوسط وزني للوزن الجزيئي مساوياً 510,000 دالتون في درجات حرارة منخفضة، وبوجود تراكيز صغيرة للبادئ<sup>29,30</sup>. الأمر نفسه صحيح عند استعمال 1,1,2,2-رباعي كلور الإيثان بصفته مذيبة<sup>31</sup>.

استُعملت طريقة الليزر النبضي لتعيين ثابت معدل انتشار التفاعل<sup>27</sup>. ومنعاً من وقوع تداخل مع إثارة المونومير، فلقد جرى اختيار بادئ جذري يمتص حتى 410 nm، ومن بينها نجد البادئ الجذري: 2-بنزيل-2-ثنائي ميثيل أمينو-1-(4-مورفولينو فينيل) بوتانون-1 (Irgacure™ 369, Ciba). وعند استعمال 2،2-ثنائي ميثوكسي-2-فينيل أسيتوفنون، بصفته بادئاً ضوئياً لم يكن الوصول إلى ثوابت معدلات الانتشار ممكناً عند درجات حرارة تتجاوز 20° C.

يُعتقد أن المونومير يُثار بضوء ليزر نبضي عند 355 nm، ويساهم في المبادرة عن طريق تكوين جذور حرّة<sup>28</sup>. لهذا السبب، يمكن أن تختلف النتائج عما نُشر سابقاً. يبين الجدول (2-1) معاملات آرينوس (Arrhenius).

الجدول (2-1): معاملات آرينوس لثوابت الانتشار لمونومير NVK

المراجع	$E_a$ (kJ mol <sup>-1</sup> )	$A$ (l mol <sup>-1</sup> s <sup>-1</sup> )
27	27.4	$2.20 \times 10^8$
28	22.8	$3.60 \times 10^7$

المواد المركبة النانوية. لقد استعرض الباحثان بيزواس و راي (Biswas & Ray)<sup>32</sup>

تقانات تصنيع المواد المركبة النانوية. وهي تتألف مما يلي :

1. تشريب وتضمين المونومير في الصلصال.

2. البلمرة.

3. تقشر الصلصال.

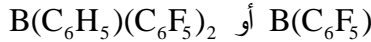
يمكن تحضير المواد المركبة النانوية من النمط بوليمر-صلصال، بإقحام NVK في صلصال مونموريونيت<sup>(\*)</sup> (montmorillonite) ثمّ نتبع ذلك ببلمرة ذات بادئ ضوئي باستعمال ملح ثلاثي أريل سلفونيوم<sup>33</sup>.

ويمكن تحضير المواد المركبة النانوية على قاعدة أكسيد الألمنيوم، والبولي بيروول (PPY) و PVK، بترسيب PVK في معلق لجسيمات أكسيد الألمنيوم المطلية بالبولي بيروول<sup>34,35</sup>. تجري إضافة المادة المركبة PPY/Al<sub>2</sub>O<sub>3</sub> إلى محلول طيني من بودرة أكسيد الألمنيوم، والبيروول، وبلا ماء كلوريد الحديد FeCl<sub>3</sub>.

(\*) صلصال مونموريونيت سُمي نسبة إلى بلدة Mont Morillon في فرنسا (المترجم).

بعد ذلك يُضاف إلى المعلق محلول PVK في THF. فيتسرّب PVK على جُسيمات  $PPY/Al_2O_3$  المتشكلة سابقاً. وتكون الناقلية الكهربائية أعلى بشكل ملحوظ من ناقلية البوليمير منفرداً.

**البلمرة وفق زيغلر-ناتا (Ziegler-Natta).** تمكن بلمرة NVK وغيره من المونوميرات مثل الإيثرات الفينيلية، و1،5-هكسادين، وثنائي هيدروفوران، ثنائي هيدروبيران، باستعمال بوائى مثل معقد خماسي ميثيل حلقي بنتادينيل التيتانيوم أو الهافنيوم أو الزيركونيوم، وذلك بوجود بادئ بوراني مشارك، مثل<sup>36</sup>



تجري البلمرة في درجة حرارة  $-78^\circ C$ . في الحقيقة، أنه من غير الواضح إذا كانت البلمرة تحدث وفق آلية تساندية، إذ من الممكن أن يحدث ذلك مترافقاً مع آلية كاتيونية معروفة بأنها أسرع.

**البلمرة الكاتيونية.** إنّ NVK تفاعلي جداً تجاه بوائى البلمرة الكاتيونية، مثل أماض البروتون، وأماض لويس (Lewis)، والأملاح المعدنية، وغيرها. لتوضيح هذه التفاعلية تجاه البلمرة، فقد أُثبت أنه حتى شعيرات الكربون يمكنها أن تبدأ بلمرة كاتيونية<sup>37</sup>.

يمكن لكل من الإضافة وانتقال الإلكترون أن تحدثا معاً بصفتهما آليتي مبادرة، لأن العديد من البوائى الكاتيونية هي في الوقت نفسه متقبلات للإلكترونات.

إنّ ثابت معدل الانتشار أعلى بمقدار  $10^5$  مرة مما هو ملحوظ في حالة البلمرة الجذرية. يعتمد معدل البلمرة على ما إذا كانت تشارك في الآلية شوارد حرّة، أو أزواج شاردية. حيث إنّ الأزواج الشاردية هي إلى حد ما أقل تفاعلية من الشوارد الحرّة.

يستعمل NVK بصفته مُحسّساً في البلمرة الضوئية الكاتيونية، فالتركيب القابلة للبلمرة الكاتيونية أو القابلة للإنضاج ضوئياً، تحوي عادة مونوميرات أو أوليغوميرات ذات وظائف إيبوكسية أو إيثرية، إضافة إلى بادئ ضوئي. إنّ البوائى الضوئية ذات الاستعمال الأكثر شيوعاً في البلمرة الكاتيونية المحفزة ضوئياً والفاحة للحلقات هي أملاح ثنائي أربل اليودونيوم، أو أملاح ثلاثي أربل السلفونيوم.

يجري استعمال محسّسات ضوئية بهدف زيادة الإنضاج، وهذا ما يزيد مقدار استجابة البودائ الضوئية لأطوال الموجات الأكبر. ولهذا فقد جرى استعمال مركّبات عطرية متعدّدة النوى غنيّة بالإلكترونات مثل الأنتراسين بيرين، والبيريلين، والكورونين، و 10،9- ثنائي فينيل إيثينيل أنتراسين، ومركبات الكاربازول.

معظم هذه المركّبات العطرية المتعددة النوى هي حقيقة سامّة، ومن الممكن أن تكون مسببة للسرطان. وللالتفاف على هذه العقبات، فقد جرى استعمال محسّسات ضوئية قابلة للبلمره، أو بوليميراتها، مثل 9-(2،3-إبوكسي بروبييل)كاربازول أي N-غليسيديل كاربازول أو 9-(2-فينيل أوكسي إيثيل)كاربازول<sup>38</sup>.

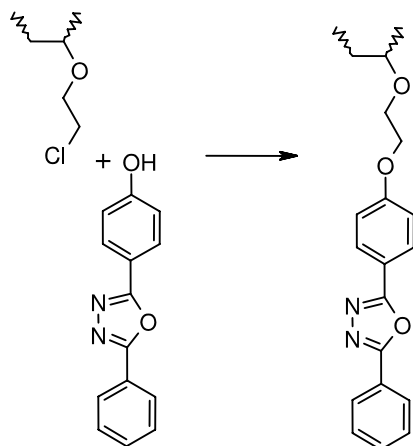
إنّ أغشية بولي (N-إبوكسي بروبييل)كاربازول (PEPC) حساسة ضوئياً فقط قرب مجال الأشعّة فوق البنفسجية. في حين تُظهر المواد المركّبة من البولي إيميدات مع PEPC ومشتقاته ثنائية الكلور، أو ثنائية البروم حساسية كهروضوئية ملموسة في مجال الضوء المرئي وقرب مجال الأشعّة فوق البنفسجية<sup>39</sup>.

لقد أثبت أنّ كلاً من المونومير NVK والبوليمير PVK بصفتها مُحسّسين ضوئيين يتصرفان على نحو متماثل. أما البوليميرات المشتركة من NVK مع الثنائي إيثيل فومارات، فقد أظهرت قابلية انحلال عالية في هذه المونوميرات. ولقد ظهر تحسّن ملحوظ في الاستجابة الضوئية للبلمره بالمحسّسات الضوئية باستعمال أشعّة فوق البنفسجية واسعة الطيف، وذلك مقارنةً بتجارب في غياب المحسّسات الضوئية. أما البوليميرات المشتركة فتُحضّر مع AIBN.

إنّ NVK، مع غيره من المونوميرات القابلة للبلمره الكاتيونية، مُناسبٌ للمواد الهجينة من نمط لاعضوي/عضوي مُضيف-ضيف. يجري تحضير هذه المواد الهجينة بالبلمره في مسامات الزيوليت<sup>41,40</sup>. حيث تتكوّن بوليميرات معرفة تعريفاً جيداً في شروط الحيز الضيق الذي تتيحه المسامات.

وباستعمال تقنية بلمره كاتيونية تعاقبية جرى تحضير بوليميرات مشتركة ثلاثية الكتلة مكونة من NVK، و 4-(1-بيرينيل)بوتيل فينيل إيثر، و 2-كلور الإيثيل فينيل إيثر<sup>42</sup>. وبعد ذلك جرى تفعيل هذا البوليمير المشترك كتلي التعاقب باستعمال 2-(4-هيدروكسي فينيل)-5-فينيل-1،3،4-أوكساديازول، بتفاعل الكلور في الكسرة (Moiety) 2-كلور الإيثيل إيثر. إنّ إجرائية التعديل موضّحة في الشكل (1-6). أعطت الديودات المُصدرة للضوء LED المصنّعة من هذه المادة تآلقاً كهربائياً منخفضاً.

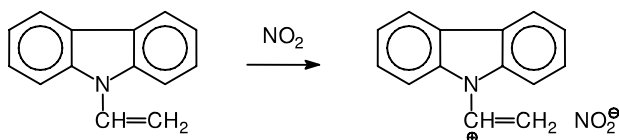
البلمرة بانتقال الشحنة. يُنظر دوماً إلى البلمرة بانتقال الشحنة على أنها آلية خاصة، مع أنه يمكن تحليلها بصفحتها آلية كاتيونية تشتمل على اثنائي الشاردة (\*) Zwitterion.



الشكل (6-1): تغيير زمر الكلور المتدلية مع 2-4-هيدروكسي فينيل (5-فينيل)-1،3،4-أوكساديازول

تحدث غالباً أثناء البلمرة بانتقال الشحنات تفاعلات جانبية تولد مركبات منخفضة الوزن الجزيئي. إن عوامل انتقال الشحنة في حالة NVK التي تؤدي إلى مبادرة البلمرة بانتقال الشحنة تضم مواد متقبلة للإلكترونات، مثل رباعي سيانو الإيثيلين<sup>43</sup>، ومحاليل ثاني أكسيد الآزوت وثاني أكسيد الكبريت في ثنائي كلور الإيثان<sup>44</sup>. تكون البلمرة سريعة في حالة ثاني أكسيد الآزوت وهي بطيئة في حالة ثاني أكسيد الكبريت. يوضح الشكل (7-1) آلية المبادرة هذه.

يمكن استبعاد وجود آلية جذرية، لأن الممتط ذا الجذر الحر 2،2-ثنائي فينيل-1-بيكريل-هيدرازيل، لا يبتط البلمرة التي بدأها (استهلها) ثاني أكسيد الآزوت.



الشكل (7-1): البلمرة الكاتيونية لمونومير NVK

(\*) اثنائي الشاردة هو نوع كيميائي معتدل كهربائياً إلا أن الذرات التي تكونه تحمل شحنات كهربائية صورية (المترجم).

**البلمرة بانتقال السلسلة العكوس (RAFT).** تُربط وحدة الكاربازول في بولي (N-إيثيل-3-فينيل كاربازول) مباشرة بسلسلة البوليمير الرئيسية. ويمكن اصطناعها بالبلمرة بانتقال السلسلة العكوس من نمط إضافة - تجزئة، أو اختصاراً بالبلمرة بانتقال السلسلة العكوس (Reversible Addition-Fragmentation Transfer) <sup>45</sup>.

تتراوح التشتتية البوليميرية (polydispersity) للمقدار  $M_w/M_n$  بين 1.15 و1.29 في هذه البوليميرات. في حالة البلمرة بانتقال السلسلة العكوس، تجري بلمرة N-إيثيل-3-فينيل كاربازول (E3VC) مع AIBN بوجود بنزول-1-بيروكسيد ثنائي ثيوات بصفته عامل انتقال السلسلة (CTA). وتتبع حركة البلمرة قانوناً خطياً من المرتبة الأولى، فيزداد الوزن الجزيئي على نحو متناسب مع التحول. إضافة إلى ذلك، هناك علاقة خطية بين الوزن الجزيئي، ونسبة المونومير إلى عامل انتقال السلسلة.

يمكن تمديد سلسلة بوليمير E3VC المنتهي بثنائي ثيوكاربامات، لتكوين بوليميرات مشتركة تعاقبية مع البولي (الستيرين) (PS). تُصدر هذه البوليميرات المشتركة التعاقبية ضوءاً منبعثاً من إصدار إكسيمييري (Excimer emission) عند 454 nm مع تألق فلوري (Fluorescence) أزرق. تبقى هذه البوليميرات مستقرة حرارياً عند درجات حرارة تفوق 350 درجة مئوية في جو من الآزوت <sup>45</sup>.

**البلمرة الكهركيميائية.** تتيح عملية البلمرة الكهركيميائية على نحو مناسب إمكانية توضع غشاء ناقل من PVK على سطح مسرى العمل <sup>46</sup>.

تعطي البلمرة الكهركيميائية لمونومير NVK في مذيبات عضوية مثل ثنائي كلور الميثان والأسيتونتريل، بوليمير PVK أبيض اللون غير ناقل، وبوليمير PVK أخضر اللون ناقلاً في آن واحد. يترسب البوليمير غير الناقل في المحلول الكهربي، في حين يغطي البوليمير الناقل سطح المسرى بغشاء أخضر اللون.

في محلول الديوكسان- $H_2SO_4$ ، لا يتكون بوليمير ناقلاً على سطح المسرى، وذلك في تجارب التحليل الكهربائي التي كانت فيها تراكيز حمض الكبريت أقل من 2.0 M. ولكن لوحظ تكون PVK ناقل عند تراكيز أخفض للحمض عند الاستعاضة عن الإيثانول. يمكن إرجاع الظاهرة إلى تفكك (تشرّد) أكبر يصيب الحمض بوجود الإيثانول.

يمكن توصيف الأغشية البوليميرية على سطح بعد إزالتها عنه باستعمال أطراف مطيافية رامان (Raman).

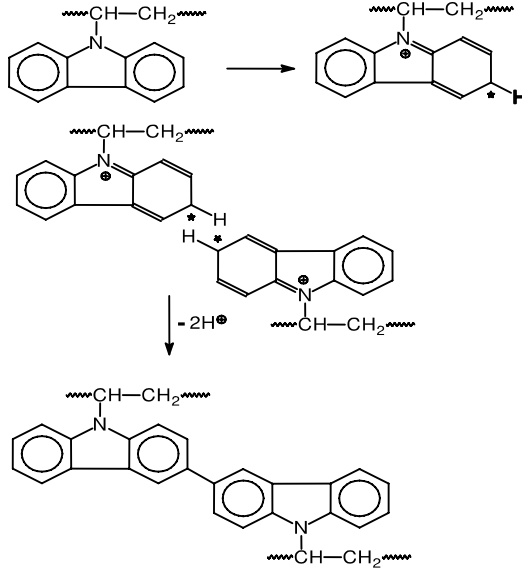
يمكن النظر إلى تكوّن PVK ناقل على أنه عملية أكسدة مصعدية لهذا البوليمير عبر جذور الكربازول الكاتيونية، التي تتجمّع مثنى مثنى لتكوّن مادة مشبكة، كما يظهر في الشكل (1-8).

إنّ تبعيّة المقاومة الكهربائية لهذا البوليمير إلى درجة الحرارة بين 30 و125 درجة مئوية، تفسح المجال لاستعماله محسناً حرارياً<sup>47</sup>. وعندما يجري تثبيت بلّورات الكربازول على سطح مسرى، يمكن تحقيق الديمرة (Dimerization) والبلمرة بالأكسدة في الحالة الصلبة<sup>48</sup>. وباستعمال أساليب الطباعة النانوية الكهركيميائية، يمكن تصنيع نماذج نانوية ناقلة اعتماداً على التشبيك التصالبي (Crosslinking) المؤكسد لبوليمير PVK<sup>49</sup>.

### 2.1.2.1. المواد المركّبة من نمط N-فينيل كربازول/بيروول

لقد أظهرت الأغشية المرنة المحضّرة بالبلمرة الكهركيميائية الليزرية لمزيج من NVK والبيروول بوجود كهربية مكوّن من كلوريد الميثيلين مع بركلورات رباعي بوتيل الأمونيوم، ناقليّة تعادل  $10 \text{ Scm}^{-1}$  وذلك في درجة حرارة الغرفة<sup>50</sup>. ويُفترَح أنّ درجة البلمرة في المواد المركّبة التي يجري تصنيعها بالبلمرة الكهركيميائية الليزرية يمكن أن تكون أعلى منها في حالة البلمرة الكهركيميائية وحدها. إذ تتغيّر ناقليّة المواد المركّبة مع كثافة الطاقة الليزرية بمقدار مرتبة واحدة في الكبر. ومن ناحية أخرى، عند طاقة ليزرية مثبتة عند  $7 \text{ mJcm}^{-2}$ ، لا تتعلّق ناقليّة المواد المركّبة كثيراً بنسبة المونوميرات.

لقد جرى تصنيع جُسيمات نانوية من نمط (قلب وقالب) (Core-shell)، مع اليولي بيروول بصفته قلباً، وبوليمير PVK بصفته قالباً، بالبلمرة بالتشبيك لجسيمات نانوية<sup>51</sup>. ويمكن توليف مقدار سماكة القالب من PVK بتغيير مقدار مونومير NVK المضاف. تُبدّي هذه البوليميرات درجة عالية من الناقليّة والتألق الفلّوري.



الشكل (8-1) : الأكسدة المصعدية وتشبيك تصالبي لبوليمير PVK<sup>46</sup>

### 2.2.1.2.1. مركبات أخرى للفينيل كاربازول

#### 1.1.2.2.1. تقارن غرينيارد (Grignard)

يمكن قَرْنُ مركّبات 3-هالو-6-هالو مغنيزيو-9-ألكيل-9H-كاربازول بوجود محفّزات البالاديوم، بطريقة تفاعلات غرينيارد<sup>52</sup>. ويبين التحليل البنوي لبوليمير أنّ وحدات الكاربازول المتكرّرة ترتبط فقط في الموقعين 3 و6.

#### 2.2.2.1.1. البلمرة الأنيونية

من المتعارف أنّ NVK نفسه لا يتبلر عند معالجته بمركّب نظامي بوتيل الليثيوم في THF<sup>53</sup>، ولكنه ليس خاملاً تماماً. إذ يتكوّن الكاربازول والإثين (الإثيلين) بصفتها نواتج التفاعل.

في الجهة المُقابِلة، فقد أُشير حديثاً إلى بلمرة مشتركة أنيونية لمونومير NVK مع الفولرينات C<sub>60</sub>. تجري مبادرة البلمرة باستعمال نفتالين الليثيوم. بالمُقابل، فإنّ أملاح الفولرين متعدّدة الأنيونات لا تبادل بلمرة NVK أو أية مونوميرات أخرى<sup>54</sup>.



يمكن تحضير E3VC بتفاعل فيتيج (Wittig) لمركب 9-إيثيل-3-كاربازول كربوكس ألدهيد في THF. تمكن بلمرة هذه المونومير أنيونياً باستعمال نظامي بوتيل الليثيوم بصفته بادئاً. وبعدها يمكن تحضير بوليميرات مشتركة تعاقبية مع الستيرين. تظهر هذه البوليميرات تألقاً ضوئياً (Photoluminescence) أزرق اللون<sup>55</sup>.

### 3.1. الخواص

يتركز الاهتمام بهذه البوليميرات على خواصها الكهربائية، وذلك نظراً إلى استخداماتها في التطبيقات الكهربائية.

#### 1.3.1. الأطوار البلورية السائلة

يمكن أن يشكل PVK بوليميرات بلورية سائلة، إن أخفض درجة بلمرة لبوليمير PVK يمكن عندها أن يشكل طوراً بلورياً سائلاً مستقراً هي في المجال بين 150 و 200 دالتون، وهذا أعلى بشكل ملحوظ من مقدار 50 دالتون الذي تتمتع به معظم البوليميرات البلورية السائلة التقليدية ذات السلسلة الجانبية<sup>56</sup>.

#### 1.1.3.1. المواد الناقلة للشحنة

تعتبر البوليميرات القائمة على كسرة الكاربازول جذابة من جهة كونها مواد موصلة ضوئياً، وناقلة للشحنات، لأن كسرة الكاربازول تكون بسهولة نسبية جذوراً كاتيونية مستقرة، وأكثر من ذلك، يمكن تعديل حلقة الكاربازول باستعمال بدائل متنوعة. إضافة إلى ما سبق، يتمتع صف هذه المادة باستقرار حراري وكيميائي ضوئي عاليين.

تشمل المواد الناقلة للشحنة مواداً ناقلة للتقوب الموجبة، وأخرى ناقلة للإلكترونات. تضم الأمثلة على مواد ناقلة للإلكترونات مواد متقبلة للإلكترونات، مثل:

- الكلوروأنييل، والبروموأنييل.
- رباعي سيانو الإيثيلين، ورباعي سيانو كينو ثنائي الميثان.
- 7،4،2-ثلاثي نثرو-9-فلورينون، و 7،5،4،2-رباعي نثرو-9-فلورينون.
- 7،5،4،2-رباعي نثرو كسانثون، و 8،4،2-ثلاثي نثرو ثيوكسانثون.
- 7،3،1-ثلاثي نثرو ثنائي بنزو ثيوفين-5،5-ثنائي الأوكسيد.
- مشتقات البنزوكينون.

أما مشتقات PVK فهي أمثلة على مواد ناقلة للثقوب الموجبة<sup>57</sup>. وفيما يلي مواد أخرى من هذا النوع:

- بولي- $\gamma$ -كاربازوليل إيثيل غلوتامات، ونواتج تكاثف البيرين-فورم ألدهيد.
- بولي (فينيل بيرين)، و بولي (فينيل فينانثرين)، و بولي (سيلان).
- مشتقات الأوكسازول، والأوكساديازول.
- مشتقات الإيميدازول.
- مشتقات الأريل أمين.
- مشتقات الستيلبين،
- ومشتقات الأريل ميثان.

يمكن استعمال هذه المواد في راتنجات رابطة. ولكن عند استعمال PVK، الشائع بكونه مادة ناقلة للثقوب، تواجهنا مشكلة معروفة حيث تسعى زمر الكاربازول المتجاورة إلى التكدس بعضاً على بعض مكونة إكسيميرات<sup>(\*)</sup>. إن تكون الإكسيميرات يشكل معضلة، لأنها يمكن أن تعمل كأفخاخ للشحنات، وتعيق انتقال الشحنة، أو تعمل، عند استعمالها مع مواد مُصدرة للضوء، على إعاقة إصدار الضوء<sup>58</sup>. وعليه فقد جرى اقتراح البوليميرات المشتركة للمركبات المبيّنة في الشكل (1-9).

### 2.1.3.1. مبدأ التصوير الكهروفوتوغرافي

ينأسس مبدأ التصوير الكهروفوتوغرافي، المعروف بالاسم الشائع : كزيروغرافيا، على تشكّل صورة كهربائية ساكنة كامنة على سطح تصوير، وذلك عن طريق البدء بشحن السطح شحناً منظماً كهربائياً ساكناً في الظلمة، ثم تعريض هذا السطح المشحون للضوء وصورة الظلّ.

تصبح المساحات التي يصيبها الضوء من طبقة التصوير موصلة، وتنتشر الشحنة الكهربائية الساكنة انتقائياً في هذه المناطق المعرضة للأشعة الضوئية. بعد تعرّض الموصل الضوئي للضوء، تُظهر الصورة الكهربائية الساكنة الكامنة على السطح الحامل لتصبح مرئية باستعمال مادة ملونة مقسّمة بعناية وحساسة كهربائياً، أي حبر الطباعة. يجري جذب حبر الطباعة إلى تلك المناطق من السطح الحامل للصورة، التي تحتفظ بشحنة كهربائية ساكنة، فيشكل المسحوق بذلك صورة مرئية.

(\*) الإكسيميرات هي جزيئات متارة (المترجم).

يمكن بعد ذلك تثبيت الصورة المظهرة تثبيثاً دائماً على الموصل الضوئي، عندما تكون طبقة التصوير غير معدة لإعادة الاستعمال. أما في حالة أنظمة النسخ الورقي، فيجري تظهير الصورة الكامنة على سطح التصوير لموصل ضوئي قابل لإعادة الاستعمال، أو تُنقل إلى سطح آخر، مثل ورقة، ثم تُظهر بعد ذلك.

في حالة أنظمة النسخ الورقي، ينبغي أن تكون المواد المستعملة في طبقة الموصل الضوئي، قادرة على التبديل السريع من الحالة الموصلة إلى الحالة اللاموصلة، وبالعكس. وذلك لتتيح الاستعمال الدوري لسطح التصوير.

إن فشل المادة في العودة إلى حالتها اللاموصلة، قبل بدء متتالية الشحن اللاحقة، يؤدي إلى تناقص قابلية الشحن العظمى للموصل الضوئي. تسمى هذه الظاهرة "تعباً"، ويمكن تجنبها باختيار مواد موصلة ضوئياً ذات قدرة على التبديل السريع.

المواد المناسبة للاستعمال في مثل هذه الأنظمة تشمل الأنتراسين، والكبريت والسيلينيوم. إضافة إلى الأنتراسين، فقد جرى تركيز الاهتمام في مجال التصوير الكهروفوتوغرافي على مواد عضوية موصلة ضوئياً أكثر جاذبية لبوليمير PVK. تظهر بوليميرات الفينيل كاربازول، عند تحسيسها باستعمال TNF، استجابة ضوئية، وخصائص إزالة الشحن جيدتين، إضافة إلى معدل منخفض لاضمحلال العتمة<sup>(\*)</sup> (Dark decay). ومع ذلك، فإن اضمحلال العتمة يتوقف على استقطاب شحنة السطح.

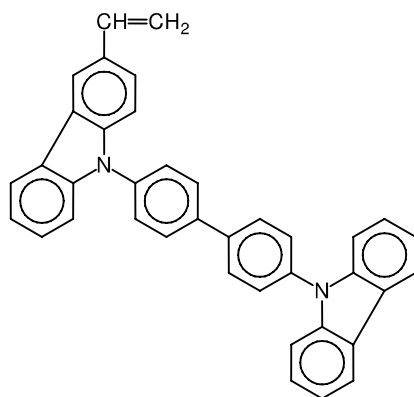
إن التركيز الأعظم للمُحسّس محدّد ببعض القيود. إذ يمكن أن تؤدي كميات كبيرة من المحسّس، إلى خواص سيئة للتركيب المحسّس من الناحيتين الميكانيكية أو الموصلية الضوئية. فمثلاً، يمكن أن تؤدي الإضافة المفرطة للمحسّس إلى تبالره. ويمكن لبعض المحسّسات -حتى في تراكيز منخفضة- أن تسبب حساسية عالية للتركيب، إلى درجة أن التيار الضوئي المولد عند التعرّض يبقى إلى ما بعد توقّف الإضاءة فترة طويلة نسبياً. بدلاً عن التحسيس بالإضافات، جرى طرح معقّلات انتقال الشحنات ضمن الجزيئات، حيث تتوضع وظيفتها مانح الإلكترون، ومنتقب الإلكترون على عمود فقري مشترك فينيلي. نجد أمثلة على ذلك في بوليميرات الفينيل النترائية : بولي (أسنفتلين)، وپولي (9-فينيل كاربازول)، وپولي (1-فينيل نفتالين)<sup>59</sup>، والبوليميرات المشتركة من 6,3-ثنائي فينيل-

<sup>(\*)</sup> اضمحلال العتمة هو اضمحلال صورة ذات شحنة كهربائية ساكنة ناتج من بقائها فترة طويلة في العتمة (المترجم).

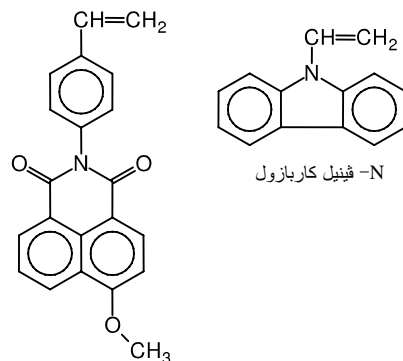
فينيل كاربازول، و 6,3-ثنائي نثرو-9-فينيل كاربازول<sup>60</sup>. والبوليميرات المشتركة من NVK و N-فينيل فتال إيميد<sup>10</sup>.

عند انتقال طاقة إثارة ثلاثية ضمن الجزيء، من مانح حامل للون (كروموفور) (Chromophore) مكون من الفتال إيميد والكاربازول، إلى متقبل حامل للون من النفثالين، وقع انتقال كامل لطاقة إثارة الثلاثية، عندما كانت حوامل اللون مفصولة بزمر الميثيلين<sup>61</sup>.

من المعتقد أن الشروط الخاصة الموضوعية على الوظائف المانحة للإلكترونات وتلك المتقبلة للإلكترونات تحسن إمكانية تفاعل انتقال الشحنة. إضافة إلى ذلك يجب تحقيق بعض المتطلبات المتعلقة بالتماكب الدوراني (الامتثال) والفراغي، بهدف تسهيل حدوث تداخل فعال لمدارات مانح الإلكترون ومتقبله اللازمة لحدوث هذا النوع من تفاعل انتقال الشحنة.



9- [4'- (كاربازول-9-إيل) (1,1'-ثنائي فينيل)-4-إيل]-3-فينيل كاربازول



N-فينيل كاربازول

الشكل (9-1) : مونوميرات مشتركة للمواد الناقلة للشحنة<sup>58</sup>

## 2.3.1. الخواص الضوئية

يُعدّ بولي (1-هكسيل-3،4-ثنائي ميثيل-3،5-بيروليلين) (PHDP) بديلاً لبولي (N-فينيل كاربازول). فهو ينحل تماماً في المذيبات العضوية المألوفة، ويمكن مقارنة تألقه الضوئي بذلك الموافق لبوليمير PVK، إلا أنّ فعاليته الكمومية تفوق بمرتين ونصف المرة فعالية PVK<sup>62</sup>.

تُسبب الأشعة فوق البنفسجية تغييرات عميقة في الخواص الفيزيائية والفيزيائية الضوئية لبوليمير PVK. تتوافق هذه التغييرات مع تعديلات في البنية الكيميائية للبوليمير<sup>63</sup>. جُلّ ما يحدث في المرحلة الابتدائية للتشعيع هو تشبيك تصالبي. يُصبح عندها البوليمير غير قابل للانحلال. ثم يُلاحظ انخفاض في الوزن الجزيئي مما يدلّ على تحلل البوليمير.

## 4.1. تطبيقات

### 1.4.1. أفلام (أغشية) التصوير الكهروضوئيات

#### 1.1.4.1. الموصلية الضوئية

يمكن تحليل الموصلية الضوئية إلى عدّة خطوات :

1. امتصاص الأشعة.
2. تكوّن الإكسيتونات. الإكسيتون هو حالة مُثارة ما زال فيها الإلكترون مرتبطاً بالحاضنة، ولكنّ الحاضنة تسعى إلى تكوين فجوة مشحونة. بكلمات أخرى، الإكسيتون هو زوج مكون من إلكترون وثقب شحنة.
3. تكوّن شحنات متحركة. تنفصل الإكسيتونات بمساعدة المواقع المانحة للإلكترونات وتلك المتقبلة له المتوفرة في المادة متحوّلة إلى شحنات متحركة.
4. ثمّ إعادة تجمّع الشحنات.

تمتص زمرة الكاربازول الضوء في مجال الأشعة فوق البنفسجية. لذلك يمكن لبوليميرات من هذا النوع أن تصبح موصلة ضوئياً فقط في هذا المجال. ولكن يمكن إضافة مُحسّسات ملونة لإزاحة الموصلية الضوئية إلى المجال المرئي.

بعد تكوّن الإكسيتونات، تصبح الشحنات أكثر انفصالاً. ويعتبر مدى الكفاءة التي يجري فيها تحوّل الإكسيتونات إلى شحنات حرّة، عاملاً مهماً في مقدار العائد النهائي من الشحنات. يمكن تحسين هذا العائد بالإشابة بمُتقبّلات إلكترونيات، أو بصياغة الجُزيئات مع إدخال مُتقبّلات إلكترونيات كبداية أو سلاسل جانبية. يمكن للآليات ضمن الجُزيئية أو ما بين الجُزيئات، وللحقول الكهربائية أن تؤثر في عملية انفصال الشحنات<sup>64</sup>. يمكن تخيل انتقال الشحنات وكأنّ تكوّن ثقب مشحون يعني حذف إلكترون. يمكن ملء الثقب بالإلكترون من موقع مُجاور، وهذا بدوره يكون ثقباً موجباً آخر في ذلك الموقع. بهذه الطريقة، يتحرك الثقب وضوحاً، مُحدثاً من ثمّ انتقالاً للشحنة.

تُعيق تفاعلات إعادة تجمّع الشحنات مدى كفاءة الموصليّة الضوئية. وأكثر من ذلك، يمكن للشحنات أن تحاصر وتحتجز في مواقع ذات بنية مناسبة، وهي بذلك لا تُدمر فعلياً بل يمكن أن تتحرّر بعد بعض الوقت. يمكن مقارنة هذا الوقوع في الشرك بعمليات الامتزاز في الكروماتوغرافيا العكوسة. وهو مسؤول عن انخفاض الموصليّة الضوئية.

#### 2.1.4.1. معقدات TNF-PVK

يتكوّن معقد TNF-PVK بالتفاعل المباشر لهاتين المادتين في مذيب مناسب، مثل THF<sup>65</sup>.

وبهدف إنتاج أغشية خالية من البلورات السطحية، فقد وُجد أنّ THF هو أفضل المذيبات. يُعطي الكلوروبنزين نتائج جيّدة عند تطبيق الأغشية ساخنة. الإجراءيّة المعتادة هي في تحضير محلول أمّ من PVK في THF، ثمّ يضاف TNF بمقادير مناسبة.

#### 3.1.4.1. البوليميرات المشتركة الموصلة ضوئياً

يمكن تحضير بوليمير مشترك موصل ضوئي فيه حوالي 10 في المئة مول من N-فينيل فتال إيميد والباقي NVK بطريقة البلمرة بالجذر الحر باستعمال AIBN في محلول من البنزين. يجري ترسيب البوليمير بالهكسان، ثمّ يُنقى بحلّه في مزيج من البنزين/THF، وإعادة ترسيبه بالهكسان. تُكرّر هذه العملية عدة مرّات. إنّ المتوسط العددي للوزن الجزيئي لهذا البوليمير المشترك يقع في مرتبة 100,000 دالتون<sup>10</sup>.

يمكن تشكيل أغشية موصلة ضوئياً، مفيدة في الكهروضوئيات، من هذه البوليميرات المشتركة باستعمال تقنيات بسيطة مثل صب المذيب والطلاء. المذيبات النموذجية هي THF وخليط التولوين/حلقي الهكسانون. يمكن التحكم بسماكة الغشاء من خلال ضبط لزوجة محلول الطلاء.

#### 4.1.4.1. البوليميرات المشتركة

لقد جرى وصف مادة محلول-هلام موصلة ضوئياً مؤسّسة على شبكة متداخلة عضوية/لاعضوية. يؤدّي PVK دور حاضنة ناقلة للشحنة، ويؤدّي TNF دور مُحسّس<sup>66</sup>.

**الأنظمة الناقلة للثقوب والمتقبّلة للإلكترونات.** تمكن بلمرة NVK بصفته ناقلاً للثقوب بلمرة مشتركة مع مونوميرات متقبّلة للإلكترونات. كأمثلة على هذه المونوميرات 2-فينيل-4-5-[4-فينيل فينيل]-ميثوكسي [فينيل-1،3،4-أوكساديازول و 2-(4-ترت-بوتيل فينيل)-4-5-[4-فينيل فينيل (ميثوكسي) فينيل-1،3،4-أوكساديازول]<sup>5</sup>.

تجري البلمرة على نمط البلمرة المشتركة بجذر حرّ ونحصل على بوليميرات مشتركة إحصائية. لذلك يمكن تنويع تركيب البوليميرات المشتركة، ويمكن صياغة الخواص الموصلة حسب الحاجة. تكون البوليميرات المشتركة شفافة في المجال المرئي وتكون أغشية جيّدة.

مقارنة بمزائج PVK ومركبات الأوكساديازول ذات الوزن الجزيئي المنخفض، تبقى درجات حرارة الانتقال الزجاجي لهذه البوليميرات المشتركة مرتفعة. ولأنه يجري تثبيت وحدات الأوكساديازول بتفاعل بلمرة مشتركة، لا يحدث تغيير مرده فصل الطور أو إعادة التبلور. الخواص الكهربائية للبوليميرات المشتركة هي إلى حدّ ما أقلّ مما هي عليه في حالة PVK الصرف. تُظهر البوليميرات المشتركة كفاءة جيّدة في الأجهزة المُشابهة بالصباغ المُصدرة للضوء الأزرق والأخضر والبرتقالي.

**المُحسّسات.** يرتفع إلى حدّ بعيد معدّل التفريغ المحرّض ضوئياً في أغشية PVK عندما تجري إشابة الأغشية الفولرين الممعدن، أو داي سبروزيوم فولريد (DyC-82)، أو الفولرين C-84 و C-60. ولقد أظهر غشاء من PVK مشابٍ بـ DyC-82 موصليّةً

ضوئية أفضل من تلك التي أظهرها غشاء مُشابب بـ C-84. هذه يفسر أنّ DyC-82 هو متقبّل أفضل للإلكترونات من C-84. إلا أنّ الأغشية المُشاببة بـ C-60 تظهر الموصلية الضوئية الأفضل<sup>67</sup>.

**تجمّع صفائح الطباعة الليتوغرافية الموصلة ضوئياً.** لقد جرت بلمرة NVK بلمرة مشتركة مع مونوميرات أوليفينية تحوي حمضاً كربوكسيلياً مثل حمض الأكريليك، أو حمض الميثاكريليك، أو حمض الفورميك، أو أنهيدريد حمض المالبيك أو أنهيدريد كربوكسيلي<sup>6</sup>. تُعطي الوظيفة الحمضية بوليميرات مشتركة قابلة للانحلال في أوساط مائية قلوية. يُراد لهذه البوليميرات المشتركة أن تكون جزءاً من تجمّع صفائح طباعة ليتوغرافية موصلة ضوئياً.

#### 2.4.1 الديودات البوليميرية المُصدرة للضوء

يتكوّن الديود العضوي المُصدر للضوء من غشاء بوليميري بين مسريين. أحد المسريين، مثل الذهب أو أكسيد الإنديوم والقصدير (ITO)، يجب أن يتمتّع بطاقة تحرر<sup>(\*)</sup> مرتفعة، لإنجاز حقن تقوب الشحنات الموجبة. أما المسرى الآخر فيتكوّن من معدن ذي طاقة تحرر منخفضة لتحقيق حقن الإلكترونات. المعادن المناسبة لذلك هي الألمنيوم، أو الكالسيوم أو المغنسيوم.

يُدخَل كلٌّ من الإلكترونات وشحنات التقوب إلى الغشاء البوليميري حيث تتجمّع لتكوّن إكسيتونات، بحالات واحدة أو ثلاثية. الإكسيتون هو زوج مكون من إلكترون مُثار وتقب. ويحدث التآلق الكهربائي Electroluminescence (EL) عند الانتقال من الإكسيتون المُثار إلى الحالة القاعدية بإصدار الإشعاع.

في النظم التقليدية، تكون الحالة المُثارة حالة واحدة. ولكن لوحظ في بعض النظم حدوث التآلق الكهربائي ناجم عن حالات واحدة وثلاثية معاً. تعتبر هذه النظم أفضل من النظم التقليدية.

يتمتّع العديد من الجزيئات المترافقة بكفاءة تآلق ضوئي Photoluminescence (PL) تزيد على 50 في المئة. وبالمقابل تقلّ كفاءة التآلق الكهربائي عن 5 في المئة.

<sup>(\*)</sup> طاقة التحرر (Work Function) هي أقل مقدار للطاقة يلزم لتحرير إلكترون من الجسم الصلب إلى منطقة تقع مباشرة خارجه (المترجم).



يُعتقد أن أحد أسباب ذلك هو تكون إكسيتونات ثلاثية. وتحديدًا، عندما تتجمع الإلكترونات والثغوب لتكوّن إكسيتونات، تكون هذه الأخيرة إما في حالة واحدة أو ثلاثية. وفي الجزيئات المترافقة فقط تلك التي تكون في حالة واحدة يمكن أن تولّد الضوء. وتُفقد الإكسيتونات الثلاثية في آليات غير مُشعة. نظراً إلى إحصائيات السبين، يمتلك فقط 25% من الإكسيتونات حالة واحدة في الجزيئات المترافقة. لذلك لا يمكن أن تتعدّى كفاءة المواد البوليميرية المترافقة مقدار 25%.

لذلك فأنه من الواعد استعمال شوارد اللانثانيد، معلقة بربيطات عضوية، كمصادر للضوء في مواد عضوية متألفة كهربائياً<sup>9,8</sup>. في هذه النظم، يمكن أن تنتقل الحالات الواحدة والثلاثية إلى المستويات  $f$  لشاردة اللانثانيد مولدة بذلك تآلقاً كهربائياً. وأكثر من ذلك، تمتلك الشوارد الترابية النادرة أطيفاء إصدار دقيقة بعكس الجزيئات المترافقة.

لنعرض بعض التعاريف المستعملة في النص اللاحق. الإكسيمير Excimer هو جزيئة بسيطة مثارة. وبالمقابل، الإكسيلكس Exciplex هو مُعقدٌ مثارٌ مكونٌ من جزيئات مختلفة تكون معاً حالة مثارة. عند تحلل الإكسيلكس يمكن أن يحدث تآلقٌ ضوئي.

في بعض الحالات يمكن أن يحدث إصدارٌ لتآلق كهربائي بأطوال موجات طويلة، لا يمكن ملاحظتها في أطيفاء التآلق الضوئي. يفترض أن هذه الإصدارات ناتجة من كهرميرات Electromers وكهرمعقدات Electroplexes بالترتيب. إنّ آليّة هذه النوع الأخير من الإصدار هي آليّة تآلق فوسفوري (Phosphorescence)، أو إعادة انضمام إشعاعي مباشر للثغوب والإلكترونات المتعلقة بجزيئتين متجاورتين<sup>68</sup>. إنّ تعبيرى كهرمير وكهرمعقد متسايران تماماً مع تعبيرى إكسيمير وإكسيلكس.

في مزائج PVK مع PBD وفي البوليميرات المشتركة العشوائية مع زمر كاربازول وأوكساديازول معلقة كسلاسل جانبية، تتمتع الزمر الفعالة بحركية مختلفة، أو إنها تخضع لقبود طبولوجية مختلفة بالترتيب. ففي المزائج، تظهر الإكسيلكسات، وفي البوليميرات المشتركة تكون الكهرمعقدات فعالة. إنّ كلا النوعين من المعقدات يزيح طيف التآلق الكهربائي نحو الأحمر مقارنة ببوليمير PVK النقي. ويكون الانزياح نحو الأحمر أكبر بشكل ملحوظ في حالة الكهرمعقدات.

لذلك، فإنّ معقدات مختلفة تؤثر في الكفاءة الكمومية الخارجية للديودات العضوية المُصدرة للضوء والمُشابة بالصبغ. ينشأ ذلك، من كون كفاءة انتقال الطاقة وفق فورستر

(Förster) من الحاضنة إلى الصباغ تتعلّق بمدى تراكب طيف التألّق الكهربائي للمادّة الحاضنة مع طيف امتصاص الصباغ<sup>69</sup>.

#### 1.2.4.1. انتقال الطاقة وفق فورستر

إنّ انتقال الطاقة وفق فورستر<sup>70</sup> هو انتقال غير مشعّ للإثارة الإلكترونية من جزيئة مانحة  $D$  إلى جزيئة متقبّلة  $A$  وفق المعادلة :



ينشأ الانتقال من تقارن ثنائي قطب - ثنائي قطب. إنّ انتقال الطاقة وفق فورستر هو آلية مهمّة تهدف إلى انتقال الطاقة من جزيئة مانحة إلى جزيئة متقبّلة تقوم لاحقاً بإصدار الضوء بتواتر مختلف، عن ذلك الذي كان يمكن للجزيئة المانحة أن تُصدر فيه الضوء. ومن المهم لتحقيق انتقال فعلي للطاقة أن يتراكب طيف امتصاص المتقبّل مع طيف إصدار المانح. وتُعتبر ملاحظة انزياح جوهري نحو الأحمر في التألّق الضوئي مؤشراً على حدوث انتقال فعلي للطاقة. في بعض الأحيان يُعتبر انتقال الطاقة وفق فورستر مفعولاً غير مرغوب.

تعالج نظريّة فورستر فقط الانتقالات المسموحة. ولقد عمّم دكستر (Dexter) هذه النظرية لتشمل آليات الانتقال بواسطة الانتقالات الممنوعة<sup>71</sup>.

يمكن وصف ثابت معدل انتقال الطاقة  $k_T$  بين الجزيئة المانحة والجزيئة المتقبّلة في آلية انتقال الطاقة وفق فورستر بالمعادلة التالية :

$$(2-1) \quad k_T \propto \frac{\kappa^2 Q_d J}{\pi^5 n^4 N_a \tau_d R^6}$$

حيث :  $\kappa$  هو معامل التوجيه لتفاعل ثنائي القطب-ثنائي القطب.  
 $Q_d$  مردود التألّق الفلوري الكومومي للجزيئة المانحة بدون الجزيئة المتقبّلة.

$n$  قرينة انكسار الوسط.

$N_a$  عدد أفوكادرو.

$\tau_d$  عمر التألّق الفلوري للجزيئة المانحة بغياب الجزيئة المتقبّلة.

$R$  المسافة بين مركزي الجزيئتين المانحة والمتقبّلة.

$J$  التكامل القياسي للتراكب الطيفي.

تُبين المعادلة أنّ معدل انتقال الطاقة متناسباً طردياً مع مربع معامل التوجيه  $K$ ، وعكساً مع القوة السادسة للمسافة بين مركزي الجزيئين  $R$ .

وعليه، عند زيادة المسافة بين الجزيئات بنسبة 1.6 ينخفض معدل انتقال الطاقة بما يزيد على مرتبة كبرى<sup>(\*)</sup> واحدة. في الحالة السائلة، تكون الجزيئات حرة الحركة، وتأخذ جميع الامكانات التوجيهية أثناء عمر الحالة المثارة. أما في الحالة الصلبة، تكون الجزيئات مثبتة في مكانها مع القليل من إمكانية الدوران أو بدونها. وهذا يؤدي إلى إنقاص جديد لمعدل انتقال الطاقة. وعليه فإنّ معدل انتقال الطاقة وفق فورستر ينخفض عند زيادة المسافة بين الجزيئات وإنقاص معامل توجيهها<sup>72</sup>.

في البوليميرات الموظفة (Functionalized polymers)، يمكن تغيير المسافة بين المانح والمتقبل من خلال البنية، وعلى الخصوص، من خلال طول السلسلة الجانبية للوظيفة المتدلية<sup>73</sup>. وعندها يعتمد معدل انتقال الطاقة أكثر على المسافة بين الجزيئات منه على تكامل التراكب الطيفي، وذلك تبعاً للمعادلة (2-1).

#### 2.2.4.1. زمن الخدمة

من المعتقد أنّ هناك خمسة أسباب لاهتراء المواد المُصدرة للضوء المصنوعة من مركّبات عضوية، وللعناصر العضوية المُصدرة للضوء<sup>74</sup>:

1. التفكك الكيميائي للمركّب العضوي في الحالة المثارة.
2. انصهار المركّب العضوي بسبب الحرارة المولدة أثناء قيادة العنصر،
3. انهيار المادة العازلة الذي منشؤه العيوب العيانية،
4. اهتراء السطوح البينية في الطبقة العضوية أو في المساري،
5. والاهتراء الناجم عن اللااستقرارية في البنية البلورية للمركّب العضوي.

تعود الأسباب الثلاثة الأولى إلى قيادة العنصر العضوي المُصدر للضوء. فلا مفرّ من توليد الحرارة لأن التيار الكهربائي المارّ بالعنصر يتحوّل على حرارة. ومن المفترض أن يحدث انصهاراً إذا كانت درجة حرارة انصهار المركّب العضوي، أو درجة حرارة تحوّل الزجاجي منخفضتين. كما إنّ وجود تقوّب نقطية أو شقوق في المركّب العضوي يؤدي إلى تركيز الحقل الكهربائي في هذه المواضع مسبباً وقوع انهيار (شراطات) في المادة

(\*) مرتبة كبرى تعني عشر مرات (المترجم).

العازلة. ويمكن أن يحدث الاهتراء حتى لو جرى الحفاظ على العنصر المُصدر للضوء في درجة حرارة الغرفة بناءً على النقطتين الرابعة والخامسة.

يؤدّي السبب الرابع إلى نشوء نقاط عاتمة، ويعود إلى تأكسد المهبط والتفاعل مع الرطوبة. أما السبب الخامس فهو ناجم عن كون جميع المركّبات العضويّة المستعملة في العناصر العضوية المُصدرة للضوء هي مواد لا متبلّورة. من المعتقد أنّ التبلور يمكن أن يحدث عند التخزين لفترات طويلة، ويتغيّر على المدى الطويل وعلى الحرارة المتولّدة، وأنه تكاد لا توجد مواد مستقرة ذات بنية لا متبلّورة يمكن المحافظة عليها.

في الديودات العضويّة المُصدرة للضوء، تعتبر الحرارة التي تسببها مواقع غير باعثة للضوء، عاملاً حاسماً يؤثّر تأثيراً أساسياً في عمليّة اهتراء المادّة العضويّة.

لقد جرى تحريّ تأثير معالجة البوليمير PVK حراريّاً في أداء الأجهزة العضويّة المتألّقة كهروضوئياً. فزاد معدّل الاهتراء مع زيادة كلّ من زمن التعرّض ودرجة الحرارة<sup>75</sup>. ولما كانت الطبقة المكوّنة من المادّة العضوية في الديود المُصدر للضوء هي برقّة 10-100 nm، كان فرق الكمون المطبّق على واحدة السماكة مرتفعاً جدّاً، وتجري قيادة الجهاز تحت كثافة تيار تعادل عدّة ميلي أمبير في السنتمتر المربّع، وتتولّد كمّيّة ضخمة من الحرارة.

غالباً ما يجري تكوين أغشية من المركّبات الناقلة للثقوب ذات الأوزان الجزيئيّة المنخفضة، أو من المركّبات المتألّقة فلورياً ذات الأوزان الجزيئيّة المنخفضة، باستعمال طريقة توضع الأبخرة في حالة زجاجيّة لا متبلّورة، وبعد ذلك تجري بلورتها تدريجياً، وأخيراً صهرها. يمكن لهذه الطرائق أن تؤدي إلى انخفاض درجة السطوع أو أن تحبّد انهيار العازل. وتقصّر بالنتيجة عمر التجهيزة. وأكثر من ذلك، يمكن أن تعاني التجهيزة تغيّرات التقادم، والتلف الناتج من الجو المحتوي على الأوكسجين، أو الرطوبة عند الاستعمال الطويل الأمد.

يمكن توضع طبقة للحماية، منعاً من اهتراء التجهيزة الناجم عن الرطوبة أو الأوكسجين. يمكن أن تشمل المواد الخاصّة بطبقة الحماية، معادن، وأكاسيد معدنيّة، وراتنجات، مثل راتنج بولي (إيثيلين)، وراتنج بولي (يوريا)، وراتنج بولي (إيميد)<sup>76</sup>. وإضافة إلى ما سبق، فإنّ بولي (تريفّالات الإيثيلين) بصفته ركيزة بلاستيكيّة شفّافة، هو بوليمير واسع الاستعمال، ونجد مشتقات بولي (نفتالات الإيثيلين) أفضل منه إلى جهة خواصها النفوذنيّة للأوكسجين والرطوبة<sup>77</sup>.

لتكوين طبقة حماية تتعلّق بطبيعة المادة، يجري اتّباع طريقة توضع الأبخرة تحت الخلاء، أو طريقة الترنيز (Sputtering)، أو طريقة البلرمة بالبلازما، أو طريقة التوضع الكيميائي للأبخرة، أو طريقة الطلي<sup>76</sup>.

### 3.2.4.1. طرائق صناعة الديودات المُصدرة للضوء

**الطلي الدوامي.** إنّ الطلي الدوامي تقنيّة واسعة الاستعمال لتصنيع أغشية رقيقة. في الخطوة الأولى يجري صبُّ أو بخ المادة في مركز قرص، ثمّ يبدأ القرص بالدوران حول محور عمودي على سطح القرص، فتنتشر المادة نحو الخارج. في الحالة المستقرّة تسيطر قوى اللزوجة في المائع على عمليّة ترقّق الغشاء. ولأن الغشاء بالغ الرقّة، يمكن ملاحظة ألوان التداخل تتحرّك. ويمكن للفائض من المادة أن يترك حافة القرص على شكل قطرات. وإذا كانت المادة تحتوي على مذيّب فيمكن لهذا الأخير أن يتبخّر. يمكن أيضاً إجراء الطلي الدوامي في درجات حرارة عالية أو تحت الخلاء. وهناك تصاميم متنوّعة في الاستعمال<sup>79,78</sup>.

**لوحات العرض الملوّنة.** هناك طرائق متعدّدة لتصنيع لوحات عرض ملوّنة. تشمل طريقة الزخرفة patterning التقليديّة لطبقة غشاء عضوي رقيق ما يلي :

- طريقة التوضع على قناع تحت الفراغ.
- طريقة طباعة الشاشة Screen-printing method.
- طريقة الختم Stamping method.
- طريقة انتشار الصباغ على قناع<sup>80</sup>.
- طريقة الطباعة بنفث الحبر<sup>81</sup>.
- طريقة الحفر الدقيق أو الميكروي.

ولقد جرى تصنيع تجهيزات عضويّة متألّفة كهربائياً بيضاء اللون باستعمال طريقة الطباعة بنفث الحبر<sup>81</sup>.

وجرى استعمال بوليميرات مشتركة من NVK وميتاكريلات الميثيل مبيئة حافظات ميكرويّة في الديودات المُصدرة للضوء<sup>7</sup>.

السيرورة بدون لئوغرافيا ضوئيّة. بهدف أمثلة أداء ديود بوليميري مُصدر للضوء، تبيّن أنّ التجهيزات التي يجري فيها حقن الثقوب باستعمال مسرى أو أكسيد الإنديوم

والقصدير (أنيولين) (ITO/PANI) في البوليمير هي أكثر كفاءة من التجهيزات المصنوعة بمصعد من أوكسيد الإنديوم والقصدير فقط.

يمكن لعملية تصنيع ديود بوليميري مصدر للضوء أن تصبح أبسط باستعمال البوليمير PANI المشاب كطبقة حاقنة للثقوب. وعندها يمكن إنتاج نموذج الطبقة الموصلة بدون طباعة ضوئية لأوكسيد الإنديوم والقصدير، وذلك بواسطة التعريض للأشعة فوق البنفسجية<sup>82</sup>.

#### 4.2.4.1 البوليميرات الفلورينية

تكوّن البوليميرات الفلورينية Poly(fluorene)s صفاً مهماً من البوليميرات المترافقة نصف الناقلة. وهي مُصدرة فعّالة للضوء الأزرق. ومع ذلك فقد جرى صنع أول ديود مُصدر للضوء الأزرق على أساس بولي (بارا-فينيلين)<sup>83</sup>. تتيح آليات انتقال الطاقة إصدار ضوء بألوان أخرى عند استعماله كموادّ مُستضيئة.

في البوليميرات الفلورينية تظهر مع مرور الزمن حزمة إصدار منخفض الطاقة في المجال 2.2-2.4 eV، وتدمر اللون.

يُشكّ أن حزمة الإصدار المنخفض الطاقة ناتجة من عيوب كيتو التي أُدخلتُ أما أثناء اصطناع المركّب، أو بالأكسدة الضوئية أثناء الخدمة. بيّنت التجارب على بولي (9،9-ثنائي أوكنتيل فلورين-مشارك-فلورينون)، مع 1 في المئة فلورينون كمركب نموذجي، أن تشوهات الفلورينون تتكوّن بالأكسدة الضوئية وبالأكسدة الحرارية<sup>84</sup>. وأكثر من ذلك، فإن تشكّل هذه العيوب يتحفّر بوجود المعادن ذات طاقة التحرر المنخفضة التي تستعمل بصفاتها مساراً مهبطية في الديودات المُصدرة للضوء.

تُظهر البوليميرات المشتركة للفلورين و 4،3،1-أوكساديازول تالقاً ضوئياً عالي الكفاءة<sup>85</sup>. وأظهرت تجهيزة مضاعفة الطبقة، مكونة من PVK ومن بوليمير مشترك متناوب من 9،9-ثنائي دوديسيل فلورين-2،7-ثنائي إيل و 4،1-بيس-4،3،1-أوكساديازول)-5،2-ثنائي (2-إيثيل هكسيل أوكسي) (فينيلين)-5،5-ثنائي إيل، تالقاً كهربائياً أزرق ضيقاً قيمته العظمى عند 430 nm. بيّن التحليل الكهركيميائي لهذه البوليميرات باستعمال مقياس الفولطائية الحلقية أنه يمكن استعمالها بصفتها موادّ ناقلة للإلكترونات وكذلك بصفتها موادّ مُصدرة للضوء الأزرق في الديودات المُصدرة للضوء.

خلايط البوليميرات هي في غالب الأحيان غير متوافقة، ولذلك تكون مسائل التوافق مصدر قلق في حقل الديودات البوليميرية المصدرة للضوء المركبة من خلايط بوليميرية. ومع ذلك يمكن لهذا المفعول أحياناً أن يكون مفيداً لتطوير التجهيزات المصدرة للضوء. فلقد جرى الحصول على إصدار للضوء الأبيض من تجهيزة صُنعت من خليط بوليميري ثلاثي مؤلف من PVK، وبولي (9،9'-ثنائي هكسيل فلورين-2،7-ثنائي فينيلين-m-فينيلين فينيلين-p-stat-فينيلين فينيلين) (CPDHFPV). مادة شائعة أخرى هي بولي (2-ميثوكسي-5-(2'-إيثيل هكسيل أوكسي)-4-فينيلين فينيلين) (MEH-PPV)<sup>86</sup>. إنّ البوليميرين PVK و CPDHFPV متوافقان، في حين نجد أنّ توافق البوليميرين CPDHFPV و MEH-PPV سيئ. يؤدّي ذلك إلى إصدار لونين في آن واحد، ونحصل من ثمّ على ضوء أبيض نقي.

في البوليمير المتناوب المشترك للفلورين - سبيروبيفلورين (P(OF-SBF)، نجد في مقطع السبيرو أنّ حلقتي الفلورين متعامدتين، ومتصلتين عبر رابطة رباعية الوجوه لذرة كربون. يؤدي ذلك إلى تكوّن بنية جاسئة ويمنع التكدّس من النمط  $\pi$  للعمود الفقري للبوليمير. وتحسّن كلّ من الاستقرارية الحرارية والاستقرارية المطيافية. يمكن استعمال هذا البوليمير حاضنة مستضيفة تنقل بفعالية طاقتها المثارة إلى شوائب من مشتقات البريلين، مكونة بذلك طبقة فعّالة مُصدرة للضوء الأزرق<sup>87</sup>. في البيرازولوكينولين المؤسّس على السبيروبيفلورين، تتصل اثنتان من المتألقات (Luminophores) المتماثلة عبر ذرّة كربون مهجّنة  $sp_3$  وتتوضعان توضعاً متعامداً.

ترفع وصلة السبيروبيفلورين الجاسئة بشكل ملحوظ درجة حرارة الانتقال الزجاجي، التي هي في المجال 246-280 درجة مئوية. وتُظهر المتألقات خصائص الامتصاص والتألق الضوئي الخاصين بمشتقات البيرازولوكينولين الأحادية في مجال الأزرق<sup>88</sup>.

ترتبط زمر الأوكساديازول (OXD) بوحدة الفلورين بإرفاق زمر 4-تريت-بوتيل فينيل-1،3،4-أوكساديازول على الموقع 9 لوحدة الفلورين المتناوبة، لتكوّن بنية كارديو (Cardo) ثلاثية البعد (PF-OXD). يتمّع البوليمير بدرجة انتقال زجاجي  $T_g$  مرتفعة : 213 درجة مئوية، وباستقرار حراري جيّد. أما الملاحظة الشائعة عن تكوّن عناقيد/إكسيمر في البولي (فلورين)، فتختفي اختفاءً كلياً في هذا البوليمير.

يُظهر الاستعمال كطبقة مُصدرة ضوءاً أزرق ساطعاً بكمون إشعال قدره 5.3 V وسطوح قدره  $2270 \text{ cd m}^{-2}$ ، وكمون عمل قدره 10.8 V. يمكن إرجاع تحسّن أداء التجهيزة مقارنةً بتلك الموافقة للبولي (9،9-ثنائي أوكثيل فلورين) إلى الحقن الإلكتروني والنقل الأفضلين في PF-OXD، وإلى كفاءة انتقال الطاقة من سلسلة OXD الجانبية إلى سلسلة البوليمير (فلورين) الأساسية<sup>89</sup>.

#### 5.2.4.1 NVK/PBD

يُجد تجمع PBD بصفته مركباً ناقلاً للإلكترونات مع PVK تطبيقات عديدة. إذ يحسّن الربط المباشر لـ PBD إلى العمود الفقري لبولي (p-فينيلين ثينيلين) (PPV) كفاءة التآلق الكهربائي. يُرجع ذلك إلى حقن أسهل للإلكترونات، وإلى تحسّن خواص النقل الإلكتروني للبوليمير<sup>90</sup>.

تستعمل التجهيزات المتعددة الطبقات PBD وتريس-(8-هيدروكسي كينولين)-ألنيوم ( $\text{Alq}_3$ ) مع 1-بنزوثيرازول-3-فينيل-بيرازولين بصفته صبغاً أزرق، وهو يتمتع بقمّة إصدار عند 445 nm. يحسّن ( $\text{Alq}_3$ ) حقن الإلكترونات وفعالية التآلق<sup>91</sup>.

#### 6.2.4.1 البوليميرات الحاملة للوظائف

زمر السيانو. تُظهر البوليميرات المحضرة ابتداءً من 2،5-بيس-(2-ثينيل-1-سيانوفينيل) 1-(2'-إيثيل هكسيل أوكسي)-4-ميثوكسي بنزين ( $\alpha$ -TPT) و 2،5-بيس-(2-ثينيل-2-سيانوفينيل)-1-(2'-إيثيل هكسيل أوكسي)-4-ميثوكسي بنزين ( $\beta$ -TPT)، والممزوجة مع بولي(ميثيل ميتاكريلات) (PMMA) و PVK خصائص بصرية مختلفة، وذلك حتى في الحالة التي تكون فيها البنى متشابهة<sup>92</sup>. إذ إنّ التآلق الضوئي الأعظمي لـ  $\alpha$ -TPT يكون منزاحاً نحو الأزرق عند مقارنته بـ  $\beta$ -TPT. وتكون شدة التآلق الضوئي لـ  $\beta$ -TPT أكبر من تلك الموافقة لـ  $\alpha$ -TPT.

زمر الأنتراسين. يُطلق البوليمير الواحد (الأحادي الوحدة البنيوية) (Homopolymer) من 9-(4-ثينيل فينيل) أنتراسين ضوءاً أخضر من إكسيمير وحدات الأنتراسين. لقد جرى اصطناع بوليميرات الثينيل المتألقة بالفلورة والمحتوية على زمر 9-فينيل أنتراسين متدلّية، وجرى اختبارها بصفحتها طبقات مُصدرة للضوء في تجهيزات عضوية متألقة



كهربائياً. تستعمل التجهيزة ذات الطبقة الوحيدة المتألفة كهربائياً البوليمير الواحدي. من ناحية أخرى، تمكن ملاحظة إصدار أزرق من بوليمير مشترك مع الفينيل كاربازول<sup>93</sup>.

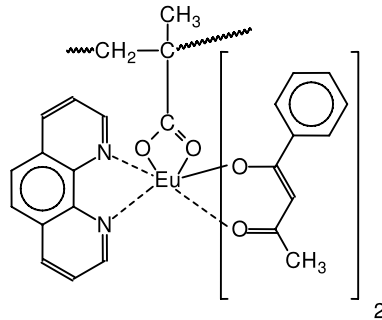
زمر الكاربازول في السلاسل الجانبية. يمتلك بولي [2-(كاربازول-9-إيل)-5-(2-إيثيل هكسيل أوكسي)-4،1-فينيلين فينيلين] زميرتين متدلّيتين هما الكاربازول و 2-إيثيل هكسيل أوكسي، أما بولي [2-(كاربازول-9-إيل)-4،1-فينيلين فينيلين] فله زمرة متدلّية واحدة هي زمرة الكاربازول. تُصدر الديودات المصنوعة من هاتين المادتين بالترتيب ضوءاً أصفر مخضراً وضوءاً أصفر. وبالمقارنة بـ PPV، نجد أنّ الكفاءة قد تحسّنت تحسناً جذرياً<sup>94</sup>.

ويمكن اصطناع ديودات مُصدرة للضوء الأزرق باستعمال بوليميرات مشتركة من 2-(كاربازول-9-إيل) إيثيل ميتاكريلات و 3-فينيل-7-ميتاكريل أوكسي-1-ميثيل-HI-بيرازولو [b-4،3] كينولين<sup>95</sup>.

#### 7.2.4.1. المعقدات المعدنية

**معقدات اليوروبيوم.** يمكن بناء معقد اليوروبيوم عن طريق وحدة ميتاكريلات في السلسلة الرئيسية لبوليمير<sup>98</sup>. كما هو مبين في الشكل (10-1). بالمُماثلة، يمكن تعليق معقد اليوروبيوم إلى بنزوات الفينيل، الذي يمكن بدوره أن يتبلر بلمرة مشتركة مع NVK، المُعدّ أساساً للاستعمال في تجهيزات الذواكر<sup>96</sup>.

تُظهر أعشية البولي ستايرين PS، التي تحتوي على الجزيئات العضوية الناقلة للإلكترونات PBD وكميات قليلة من TPD، انتقالاً للطاقة إلى معقدات اليوروبيوم. ولكنها لا تُبدي الأمر ذاته بالنسبة إلى معقدات السماريوم<sup>97</sup>.



الشكل (10-1): معقد لليوروبيوم<sup>98</sup>.

**معقدات الإريديوم.** تمكن إشابة PVK بمعقد فوسفين سيانو إريديوم (III). يُظهر المعقد إصداراً أزرق عند كلٍّ من 476 nm و 496 nm، سببه انتقال الثلاثيات بين الحالات القائمة بين المعدن والربيطة، وتلك القائمة في الربيطات وحدها<sup>98</sup>. يُظهر معقد الإريديوم مع ربيطات من N,N-ثنائي(4-ترت-بوتيل فينيل)-(2-بيريديل) فينيل أمين والأسيتيل أسيتون، تالفاً فوسفورياً أخضر عند 533 nm في خليط من PVK و PBD<sup>99</sup>. ويمكن تحقيق فعالية كمومية خارجية بمقدار 10 في المئة من الفوتونات لكل إلكترون تحت كثافة تيار مقدارها 32 ميلي أمبير في السنتمتر المربع.

صباغ أخضر آخر هو تريس(2-فينيل بيريدين) إريديوم<sup>100</sup>، في حين يكون تريس(1-فينيل إيزوكينولين) إريديوم صباغاً مُصدراً للأحمر<sup>101</sup>. يمكن بناء تجهيزات عالية الكفاءة مُصدرة للضوء الأبيض من الـ PVK بصفته ناقلاً للثقب، وذلك باستعمال إشابات متعدّدة<sup>102,103</sup>. ولقد جرى استعمال مركب 3،1-بيس [(4-ترت-بوتيل فينيل)-4،3،1-أوكساديازول]-فينيلين بصفته ناقلاً للإلكترونات.

أما الأصبغة فهي بيس(6،4-ثنائي فلورو فينيل)-بيريديناتو-(2-C،N) (بيكوليناتو) Ir(III) وذلك لإصدار الضوء الأزرق، وبيس(2-2-بنزوئينيل)-بيريديناتو-(3-C،N) (أسيتيل أسيتونات) Ir(III) لإصدار الضوء الأحمر<sup>102</sup>.

عند وجود عدّة أصبغة في الحاضنة، يمكن أن تحدث تفاعلات فيما بينها. إنّ مزج المُصدر للأخضر فاك-تريس(2-فينيل بيريديل) Ir(III) (Ir(ppy)<sub>3</sub>)<sup>(\*)</sup>، والمُصدر للأحمر بيس(2-2-بنزوئينيل)-بيريديناتو-(3-C،N) (أسيتيل أسيتونات) Ir(III)، في آن معاً ضمن مستضيف من PVK، يسبب كفاءة مضاعفة تقريباً لإصدار الأحمر بسبب انتقال الطاقة المتجاوب<sup>104</sup>.

ويتحسن الأداء عند استعمال Ir(ppy)<sub>3</sub> بصفته صباغاً في بنية متعدّدة الطبقات، وباستعمال موادّ قابلة للانحلال في الماء. إضافة إلى ذلك، فإنّ هذه المواد تسهّل عملية تصنيع الديدوات المُصدرة للضوء في سيرورات رطبة<sup>105</sup>.

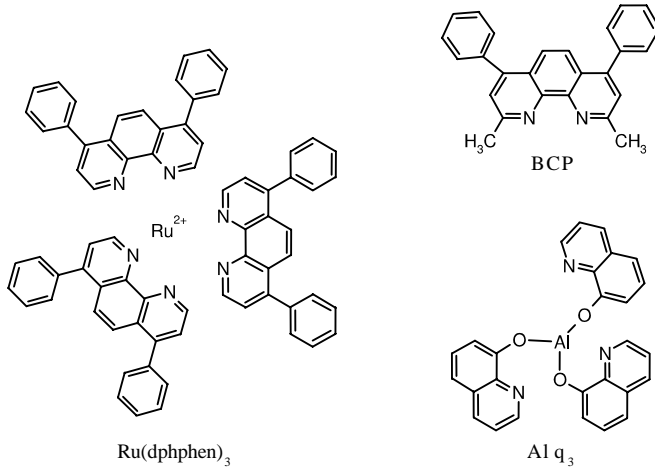
**معقدات الروثينيوم.** إنّ كلاً من تريس(2،2-ثنائي بيريديل 4،4-ثنائي فينيل) روثينيوم (II) وتريس(2،2-ثنائي بيريديل 4،4-ثنائي ميثيل) روثينيوم (II) وتريس(1،1-10،1-فنانترولين) روثينيوم (II) هي أصبغة متألّفة فلورياً بالأحمر<sup>106</sup>. ويمكن دمج هذه الأصبغة

(\*) فاك: ثلاث زمر تحتل زوايا أحد وجوه ثماني الوجوه (المترجم).

في حاضنة من PVK بصفته ناقلاً للثقوب و PBD بصفته ناقلاً للإلكترونات. وعند التركيز المناسب للصبغ في حاضنة PVK يصدر ضوء أحمر برّاق من ديود مُصدر للضوء مصنوع من الطبقات : ITO/(dye PVK PBD)/Mg/Ag.

يحدث التآلق الضوئي لأصبغة معقدات الروثينيوم في مناطق أطوال موجات أعلى من مناطق الامتصاص (انزياح ستوكس Stokes). وبسبب انزياح ستوكس الواسع يحدث تراكب أصغري للقمم بين مجالي الامتصاص والتآلق الضوئي. وهكذا يجري تجنّب وقوع ظاهرة امتصاص الصبغ للضوء الصادر.

لقد جرت دراسة التجهيزات المُصدرة للضوء التي تستعمل معقدات الروثينيوم، مثل تريس-7،4-ثنائي فينيل-10،1-فنانترولين روثينيوم (II) (انظر الشكل (11-1)) بصفته شائباً في حاضنة على أساس PVK. بُنيت التجهيزة من عدّة طبقات. أولاً جرى طلي دوامي للـ PVK المشوب بمعقد الروثينيوم على ITO. ثمّ جرى وضع طبقة من 9،2-ثنائي ميثيل-7،4-ثنائي فينيل-10،1-فنانترولين بهدف حجز الثقوب. ثمّ وضعت طبقة مخمّدة من  $Alq_3$ ، وأخيراً وضعت طبقة مضاعفة من فلوريد الليثيوم  $LiF$  والألمنيوم. لقد أبدى معقد الروثينيوم بصفته شائباً تحسناً فعّالاً في سطوح التجهيزة وفي كفاءتها وذلك مقارنةً بتجهيزات أخرى<sup>107</sup>. وإضافة إلى ما سبق، فقد جرى وصف تجهيزة قابلة للتوليف، مؤسّسة على معقد الروثينيوم نفسه.



الشكل (11-1): تريس-7،4-ثنائي فينيل-10،1-فنانترولين روثينيوم (II)  $Ru(dpphen)_3$ ،

و 9،2-ثنائي ميثيل-7،4-ثنائي فينيل-10،1-فنانترولين،

وتريس-(8-هيدروكسي كينولين)-ألمنيوم  $Alq_3$

**معقدات الأوسميوم.** لقد ذُكرت تجهيزات متألفة فوسفورياً مُصدرة للضوء الأحمر مستعملة معقدات الأوسميوم. ولقد جرى تحقيق إصدار فعّال للأحمر باستعمال بلمرة في المكان لرباعي فينيل ثنائي أمينو بيفينيل كطبقة ناقلة للتقوب ولمزيج معقدات الأوسميوم مع PVK و 2-ترت-بوتيل فينيل-5-بيفينيل-1،3،4-أوكساديازول (BPD) بصفته طبقة إصدار. يمكن توليف قمم الإصدار بتغيير طبيعة الريبطات لأن الإصدار ناجم عن حالة مُثارة ثلاثية مردها انتقال شحنة معدن - ربيطة.

فعّال أكثر استعمال أحد مشتقات بولي(فلورين) بوجود كسارة من ثلاثي فينيل أمين بصفته ناقلة للتقوب، وزمر OXD كناقلة للإلكترون على هيئة سلاسل جانبية ومزيج من BPD في PVK<sup>110,109</sup>.

**معقدات البلاتين.** يمكن الحصول على تجهيزات ذات تألّق فوسفوري كهربائي أصفر مخضرّ بإشابة PVK بصباغ ثنائي [5،2-ثنائي فينيل-1،3،4-أوكساديازول-3-N<sup>2</sup>-] بلاتين (II)<sup>111</sup>. جرى استعمال مزيج من PVK و PBD كمصفوفة حاضنة، ثم أُضيف معقد البلاتين ثنائي الحلقة المحتوي على كسرة 1،3،4-أوكساديازول بتركيز إشابة 2 في المئة. ولم يلاحظ أي إصدار من PVK أو PBD في التجهيزات.

**معقدات أخرى.** نلخص في الجدول (1-3) معقدات معدنية أخرى لم تجرِ معالجتها بتوسّع في هذا المقطع.

**معقدات النحاس.** إنّ معقدات النحاس هي مواد ثلاثية الإصدار. وجرى استعمالها في التجهيزات المُصدرة للضوء مع PVK و PBD. ينطوي عمل التجهيزة على انتقال الطاقة وفق كلٍّ من فورستر ودكستر<sup>112</sup>.

#### 8.2.4.1. الأصبغة المختلطة

يمكن الحصول على تجهيزات متألفة كهربائياً مُصدرة للضوء الأبيض مكوّنة من خليط بسيط لأصبغة مُصدرة للضوء الأخضر، وأخرى مُصدرة للضوء البرتقالي في أغشية PVK مُصدرة للضوء الأزرق.

ويمكن على نحو مستقل تجميع أصبغة معتمدة على الانتقال البروتوني ضمن الجزيء (ESIPT) بطاقة انتقال محدودة، وذلك اعتماداً على المميزات الخاصة لنظم ESIPT<sup>121</sup>.

### 9.2.4.1. الديودات المُصدرة للضوء المتعددة الطبقات

الديودات ثنائية الطبقة، المصنوعة من مادتين مُصدرتين للأزرق : PVK وبولي (2-دوديسيل-بارا-فينيلين) (C12O-PPP)، يمكنها أن تُصدر الضوء الأزرق والضوء الأبيض وذلك تبعاً للمذيب المستعمل في تصنيع الطبقة الثانية C12O-PPP. فعند استعمال الهكسان، وهو غير مذيب لـ PVK، تُصدر التجهيزة الضوء الأزرق وكأنها تجهيزة وحيدة الطبقة من C12O-PPP. ولكن إذا استُعمل التولوين وهو مذيب للبوليميرين معاً، أُصدرت التجهيزة الضوء الأبيض الناشئ من إصدار الإكسيلكس عند السطح البيني للطبقتين، إضافة إلى إصدار الإكسيوتون من C12O-PPP<sup>122</sup>. تتغير الكفاءة تبعاً لدرجة الحرارة. فعند درجات الحرارة المنخفضة، تصبح شدة إصدار الإكسيوتون مسيطرة على إصدار الإكسيلكس.

الجدول (3-1): المعقدات المعدنية بصفتها أصبغة

المرجع	اللون	المعقد
101	أحمر	تريس (1-فينيل إيزوكينولين) Ir(III)
114,113,102	أحمر	بيس (2-2'-بنزو ثينيل)-بيريديناتو (3-C,N)- (أستيل أسيتونات) Ir(III)
115,100	أخضر	تريس (2-فينيل بيريدين) Ir(III)
99	أخضر	N,N-ثنائي (4-توت- بوتيل فينيل)-4-(2-بيريدينيل) فينيل أمين <sub>2</sub> أسيتيل أسيتون Ir(III)
113	أخضر	تريس (2-فينيل بيريدينيل) Ir(III)
116	أخضر	تريس (9,9-ثنائي هكسيل-2-فينيل-4-بيريدين-2-يل) فلورين Ir(III)
98	أزرق	فوسفين سيانو Ir(III)
113,102	أزرق	بيس (6,4-ثنائي فلورو فينيل)-بيريديناتو (2-C,N) (بيكوليناتو) Ir(III)
116	متنوع	تريس (9,9-ثنائي هكسيل-2-بيريدينيل-2) فلورينيل Ir(III)
117,116	أحمر	تريس (5,2-بيس-2'-9,9-ثنائي هكسيل فلورين) Ir
112	أخضر	معقد النحاس
118	أزرق	قتالوسيانين النحاس
119	أخضر	4,4'-ثنائي ميثيل-2,2'-بيبيريدين (Re(CO) <sub>3</sub> Cl)
120	تحت الأحمر	تريس (أستيل أسيتوناتو) (10,1-فينانترولين) إرييوم (IR)

يمكن الحصول على إصدار الضوء الأبيض بتجهيزات متعددة الطبقات ذات ألوان مختلفة<sup>123</sup>. فتجهيزة متعددة الطبقات مكوّنة من ITO، و PVK 1،1،4،4-رباعي الفينيل-3،1-بوتادين/8-(كينولينولات)-الألمنيوم المشوب بـ 5،6،11،12-رباعي فينيل نفتاسين، تُصدر ضوءاً أبيض عالي السطوع وبكفاءة عالية<sup>124</sup>.

#### 10.2.4.1. حوامل لونية أخرى

تتتمي المواد العضوية المؤسّسة على البيرازول إلى المواد الواعدة الناقلة والمتأقّة كهربائياً في الأزرق. ولقد جرى اصطناع مجموعة من مشتقات البيرازولو كينولين للاستعمال في الديودات المُصدرة للضوء. يمكن توليف خصائصها الضوئية بتعديل زمها الجانبية<sup>125</sup>. يُصدرُ 4-ميثيل-بيرازولو [3.4-b] كينولين في المجال 440-460 nm<sup>126</sup>. تعتبر الشوائب فتالوسيانين وفتالوسيانين أصبغة ضيوف مناسبة للمجال القريب من تحت الأحمر<sup>127</sup>. إذ يُستعمل PVK كالعادة بصفته بوليميراً ناقلاً للثقوب و Alq<sub>3</sub>، أو مشتق السلفون أميد (Al(qs)<sub>3</sub>) كصبغ المستضيف. إنّ أطياف الامتصاص للأصبغة الضيوف مختلف اختلافاً ملحوظاً عن أطياف الإصدار للأصبغة المستضيفة. ومع ذلك، ينتج من الامتصاص المولي المرتفع للشوائب الصباغية المستضيفة فعالية عالية في انتقال الطاقة إلى درجة تمكن مقارنتها بشوائب الكيناكريدون (Quinacridone) أو الروبرين. الروبرين هو 5،6،11،12-رباعي فينيل نفتاسين. يجري حشر طبقة روبرين بين طبقتي PVK و Alq<sub>3</sub><sup>128</sup>.

#### 3.4.1. المواد العضوية ضوئية الانكسار

لقد جرى اكتشاف خاصّة الانكسارية الضوئية Photorefractivity من قبل أشكن (Ashkin) والعاملين معه<sup>129</sup> عام 1966 في مركّب نيوبات الليثيوم LiNbO<sub>3</sub> ومركّبات أخرى. المواد ضوئية الانكسار هي مواد تتغيّر قرينة أو معامل انكسارها (Refrachion Index) عند تعريضها للإشعاع الضوئي. ويستمرّ تغيّر قرينة الانكسار من عدّة أجزاء بالألف من الثانية إلى سنوات. ولقد جرت دراسة الوجوه الأساسية للانكسارية الضوئية في عدد من الكتب<sup>130,131</sup>. يتحقّق تغيّر قرينة الانكسار بسلسلة من الخطوات، تشمل ما يلي<sup>132</sup>:

1. توليد الشحنة بتأثير إشعاع ليزري،
2. انتقال الشحنة، الناتج من انفصال الشحنات الموجبة والسالبة،

3. واحتجاز نوع واحد من الشحنات (عدم تمرکز الشحنات)،
4. نشوء حقل كهربائي داخلي غير منتظم (حقل حيز مشحون Space charge field) بنتيجة عدم تمرکز الشحنات،
5. وتغيير قرينة الانكسار الناجم عن الحقل الكهربائي غير المنتظم.

لذلك، يمكن رؤية خواص انكسارية ضوئية جيدة فقط في حالة المواد التي تجمع في آن معاً، توليداً جيداً للشحنات، أو نقلاً جيداً للشحنات، أو موصليّة ضوئية مع فاعلية كهروضوئية جيدة.

للمواد ضوئية الانكسار العديد من التطبيقات الواعدة، مثل تخزين المعطى الضوئي عالي الكثافة، والهولوجرافيا التحريكية، ومعالجة الصور البصرية، والمرآيا ذات الأطوار المترافقة، والحساب البصري، والدارات المنطقية البصرية المتوازية، وتعرف الأشكال.

في عام 1990، أُشير لأول مرة إلى بلورة عضوية ضوئية الانكسار، وإلى مواد بوليميرية ضوئية الانكسار<sup>133</sup>. تتمتع المواد العضوية ضوئية الانكسار بمزايا عديدة مقارنة بالبلورات اللاعضوية الضوئية الانكسار الأصلية، مثل لاختية بصرية عالية، وثوابت عزل كهربائي صغيرة، وتكلفة زهيدة، وخفة الوزن، ومرونة بنيوية، وسهولة تصنيع التجهيزات منها. وهناك قضايا أخرى مهمة مثل طول عمر التخزين، والنوعية البصرية، والاستقرار الحراري. تبرز الآن هذه الأنواع من البوليميرات العضوية بصفتها مواد مفتاحية في تقانات المعلومات والاتصالات المتقدمة.

تعتمد جودة خواص انكسارية الضوء على النقاط التالية<sup>132</sup>:

1. جودة توليد الشحنات،
  2. جودة انتقال الشحنات، التي تعرف أيضاً بالموصليّة الضوئية،
  3. وجودة النشاط الكهروضوئي.
- غالباً ما نحصل على الموصليّة الضوئية بإدماج مواد حاوية زمر الكربازول وزمر الفينيل أمين.

أما اللاختية البصرية فنحصل عليها بإضافة مركبات حاملة للون، كصبغ من نمط أزو يمكنه امتصاص الأشعاع الفوتوني. يمكن أن يوفر حامل اللون توليداً مناسباً للشحنة.

وبدلاً من ذلك يمكن إضافة مُحسِّنٍ للتزويد أو لإطلاق الشحنات الحرّة اللازمة لخواص الانكسارية الضوئية.

يمكن للعديد من المواد، التي تشمل مجالاً واسعاً من الأصبغة والملونات، أن تؤدي دور مُحسِّنات. يمكن صنع تركيبة ضوئية الانكسار بمزج المركبات الجزيئية التي تعطي كلّ واحدة من الخواص المنفردة المطلوبة ضمن حاضنة بوليميرية مستضيفة. ولكن، معظم التركيبات المحضرة بهذه الطريقة لا تكون مستقرة مع الزمن، بسبب مفاعيل انفصال الطور والتبلور. ولذلك، تجري الاستعاضة عن المركبات ذات الوزن الجزيئي المنخفض ببوليميرات تحمل المركبات الفعّالة مباشرة في بنيتها البوليميرية.

ولقد كان استعمال البوليمير الموصل ضوئياً PVK تحسیناً كبيراً. فقد سمح ذلك بزيادة تركيز عامل نقل الشحنات، في الوقت الذي منع تماماً تبلور زمر الكاربازول<sup>140</sup>. وجرى استعمال صباغ آزو بصفته حاملاً للون هو 2،5-ثنائي ميثيل-4-(بارا-نترو فينيل آزو) أنيسول (DMNPAA)، واستعمل TNF بصفته مُحسِّناً. لقد أظهرت التركيبة كفاءة انعراج تصل إلى 100 في المئة تقريباً عند شدّة ليزرية قدرها 1 واط في السنتمتر المربع، وكمون منحاز قدره 90 فولط في الميكرن. إلا أنّ زمن الاستجابة كان بطيئاً: أكثر من 100 ميلي ثانية.

لتحقيق انكسارية ضوئية بصورة جيدة تجري إشابة المواد بتركيز عالية، مثل 25 في المئة أو أكثر، من حوامل اللون. وهذا بالمقابل يجعل المادة عرضة للتبلور وانفصال الطور، لأن حوامل اللون عالية الاستقطاب.

وبهدف إزالة اللا استقرارية الناجمة عن انفصال الطور، جرى اقتراح بوليميرات ضوئية الانكسارية حاملة للوظائف كلياً، أي بوليميرات يجري فيها توحيد قدرتي التوصيلية الضوئية واللاخطية البصرية. ولقد جرى تجميع البوليميرات الحاملة للوظائف والضوئية الانكسار في الجدول (1-5).

#### 1.3.4.1 الصياغات الضوئية الانكسار

يلخص الجدول (1-4) الحوامل اللونية في الصياغات الضوئية الانكسار في PVK.



**الجدول (1-4): حوامل اللون في الصياغات الضوئية الانكسار**

المرجع	المركب
135,134	1-(2-إيثيل هكسي أوكسي)-5،2-ثنائي ميثيل-4-4-نترو فينيل آزو (بنزين
136	2،5-ثنائي ميثيل-4-(بارا-نترو فينيل آزو) أنيسول
136	4-بوتوكسي-3-بروبيل-1-4-نترو فينيل آزو (بنزين
137	2-ثنائي سيانو ميثيلين-3-سيانو-5،2-ثنائي هيدروفوران
138	(2،4،7-ثلاثي نتروفلورين-9-يليدين)-مالونونتريل
139	β،β-ثنائي أسيتيل-4-ميثوكسي ستايرين

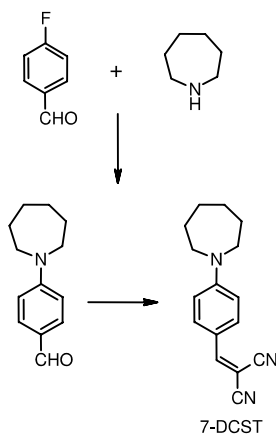
**الجدول (1-5): البوليمرات الحاملة للوظائف والضوئية الانكسار**

المرجع	الزمرة الوظيفية	السلسلة الرئيسية
141	(ثلاثي سيانو فينيل)كاربازول	ميتاكريليك
142	ثنائي سيانو فينيلدين فينيل أمين	أكريليك
143	كاربازول ميتاكريلات	دوديسيل ميتاكريلات
144	N-ميتاكريل أوكسي بروبييل-3-(بارا-نترو فينيل) آزو كاربازول	N-ميتاكريل أوكسي بروبييل كاربازول

**الأكريليك والميتاكريليك.** لقد جرى اصطناع بوليميرات الأكريليك والميتاكريليك مع زمر متدلّية من (ثلاثي سيانو فينيل)كاربازول<sup>141</sup> أو ثنائي سيانو فينيلدين فينيل أمين.

تمكن بلمرة أكريلات TPD مع إيثيل-2-برومو-2-ميثيل بروبيونات بصفته بادئاً<sup>132</sup>. يؤدي هذا البوليمير دور بوليمير واحد (Homopolymer) ناقل للشحنة. ويحضّر 2-(4-أزيبان-1-إيل-بنزليدين)-مالونونتريل (7-DCST) ليؤدّي دور حامل للون. إنّ اصطناع 7-DCST مبين بالشكل (1-12).

انطلاقاً من أكريلات TPD و 7-DCST و N-إيثيل كاربازول بصفته مُلدناً ومُحسّساً، جرى تحضير تركيبة ضوئية الانكسار وذلك بإذابة المكونات في التولوين، ثمّ مزجها، ثمّ إزالة المذيب أخيراً. كما جرى اصطناع بوليميرات ميتاكريلاتية ضوئية الانكسار وحاملة للوظائف مكونة من 2-(كاربازول-9-إيل) إيثيل ميتاكريلات و 6-(كاربازول-9-إيل) هكسيل ميتاكريلات، تتمتع بحساسية تحت الحمراء، وبأطوال مبعادات مختلفة.



الشكل (12-1): اصطناع 2 - (4- آزيبان -1- إيل -بنزليدين) -مالونونتريل

لقد جرى تصنيع وتوصيف جملة من البوليميرات الميتاكريلاتية الضوئية الانكسار، الحاوية حوامل لونية متفرقة من النوع المُشَتَّت الأحمر Disperse Red-type، والكاربازول بصفته عاملاً ناقلاً للشحنة، مع أطوال مباحات متنوعة. لقد جرت دراسة مفعول الانكسارية الضوئية لهذه المواد بمزج رباعي الموجات وقرن حزمتين عند 780 nm بعد تحسيس باستعمال 1% (2،4،7- ثلاثي نثرو فلورين -9- إيليدين) -مالونونتريل (TNFDM). معامل الربح  $\Gamma = 140 \text{ cm}^{-1}$  عند حقل كهربائي مطبق قيمته  $60 \text{ V } \mu\text{m}^{-1}$ ، وانعراج داخلي تام عند حقل كهربائي مطبق قيمته  $52 \text{ V } \mu\text{m}^{-1}$ . تُعدّ هذه القيم بالنسبة إلى البوليميرات الضوئية الانكسارية الحاملة للوظائف كلياً الأعلى ترتيباً مما هو منشور حتى هذا التاريخ<sup>145</sup>.

يتمتع بوليمير الميتاكريلات المشترك ثنائي الوظيفة مع سلسلة جانبية متدلّية من N-ميتاكريل أوكسي بروبيل-3- (بارا- نثرو فينيل) آزو كاربازول، و N-ميتاكريل أوكسي بروبيل كاربازول باستقرارية عالية<sup>146</sup>. يجري على سبيل المثال الحصول على مونوميرات الميتاكريلات المحملة بالوظائف، من كلوريد الميتاكريلويل و 9- (3-هيدروكسي بروبيل) كاربازول. أما التطبيقات الكامنة فيمكن أن تكون تجهيزات الذواكر.

**مركبات الفينيل.** يمكن تحضير بوليميرات ضوئية الانكسارية بالبلمرة الجذرية الحية (Living radical polymerization). تمكن بلمرة 4-فينيل ثلاثي فينيل أمين باستعمال محفّز جذري تقليدي أو محفّز شبيه بـ 2،2،6،6-رباعي ميثيل بيبيريدين-N-أوكسيل (TEMPO) مثل (α-ميثيل بنزيل أوكسي) -2،2،6،6-رباعي ميثيل بيبيريدين<sup>147</sup>.

لقد جرى وصف مادة مركبة بوليميرية ذات درجة انتقال زجاجي منخفضة، على أساس بوليميرات موصلة ضوئياً ذات طبقات، هي بوليميرات (بارا-فينيلين تيريفتالات كاربازول)<sup>148</sup>. تتكوّن هذه البوليميرات من عمود فقري جاسئ من بولي(بنثيلين تريفتالات) مع زمر متدلّية من أوكسي الكيل كاربازول. عند مزج البوليميرات المُستضيفة مع شوائب مختلفة، تجري المُحافظة على الطبقات، وتزداد المسافات بينها، مما يؤشّر إلى أنّ جزيئات الضيف قد احتجرت على المستوى النانوي في الفراغ بين الطبقات.

تجري إشابة المركبات بـC-60 بصفته مُحسّساً ضوئياً وبثنائي إيثيل أمينو ثنائي سيانو ستايرين بصفته حامل اللون ذي الخواص الضوئية اللاخطية. ولا تضاف ملدنات.

لهذه المواد المركبة درجة انتقال زجاجي منخفضة، وذلك على الرغم من غياب المُلدنات، وتُظهر المادة خصائص انكسارية ضوئية ممتازة.

تتكوّن المادة الضوئية الانكسارية المستعملة في التخزين الضوئي ثلاثي الأبعاد للمعطيات، في المجال تحت الأحمر القريب، أما من PVK أو PMMA بصفتهما حاضنتين، مع DMNPAA وTNF وN-إيثيل كاربازول (ECZ) في مقادير متوّعة<sup>149</sup>.

لقد استُعملت تقنيّة إثارة فوتونين-اثنين لتحقيق إمكان إعادة الكتابة في تخزين المعطيات على بوليمير ضوئي الانكسارية. يؤدي هذا إلى جعل الإثارة في تبعيّة من الدرجة الثانية للشدة الواردة مولداً بذلك حيز إثارة محتجراً في المنطقة البؤرية في الاتجاهين العرضي والمحوري.

إنّ الليزرات النبضية المتناهية القصر فعّالة، ولكنّها لا تعطي حلاً عمليّة في نظام تخزين ضوئي للمعطيات. من الممكن إنجاز نظام تخزين للمعطيات قابل لإعادة الكتابة ثلاثي الأبعاد باستعمال إثارة مستمرة الموجة. بهذه التقنيّة يمكن تحقيق كثافة معلومات تصل إلى 88 غيغابت في السنتمتر المكعب.

لا يزال من الممكن تحسين المادة المركبة البوليميرية من PVK/TNF المشوب بـDMNPAA وذلك بتعديل بنية DMNPAA. إنّ لـ DMNPAA المعدل ببعض بدائل الأكيل استجابة توجّهية سريعة لتأثير حقل كهربائي خارجي، ويحافظ على لا تناح في قابليّة الاستقطاب<sup>150</sup>. يتمّ 4-بوتوكسي-3-بروبيل-1-(4-نيترو فينيل آزو) بنزين بأقصر زمن إعادة توجّه، قيمته 19 ميلي ثانية، وأقصر زمن انكسارية ضوئية، وهما بالترتيب أسرع بمقدار 2300 مرّة، و63 مرّة من الأزمنة الموافقة للمادة المركبة DMNPAA البسيطة. تنتج

سرعة الاستجابة لإعادة التوجيه من تحسّن التشتتية (dispersivity) في المادة المركبة البوليميرية، وخفض درجة الانتقال الزجاجي.

كما جرى وصف مواد ضوئية الانكسارية سريعة الاستجابة على أساس حاضنة بوليميرية ذات سلسلة جانبية من بيس-ثلاثي أريل أمين، مع كمون تأين منخفض<sup>151</sup>.

مُقارنةً بالمواد المركبة على قاعدة PVK، تُظهر المواد المركبة على قاعدة بوليمير [4،1-فينيلين-2،1-ثنائي(4-بنزيل أوكسي فينيل)فينيلين] أداءً أعلى في الحالة المستقرة<sup>152</sup>. يُعتقد أنّ سبب هذه الأداء عائد إلى حيزٍ داخلي حرٍّ أوسع نسبياً. إضافة إلى ما سبق فإن بوليميرات PPV الواحديّة المترافقة تُظهر حراك انجراف - ثقب أعلى من PVK.

**بوليميرات السيلوكسان.** يُعتبر بولي (ميثيل-بيس-(3-ميثوكسي فينيل)-(4-بروبيل فينيل) أمين) سيلوكسان بديلاً عن PVK بصفته ناقلاً للثقب. لقد جرت إصابته بحامل اللون الضوئي الانكسار 4-ثنائي(2-ميثوكسي-إيثيل) أمينو بنزليدين مالونونتريل. تتيح درجة التحول الزجاجي الجوهرية المنخفضة لبوليمير السيلوكسان تحضير العينات من دون ملذّنات. وتُظهر المواد المركبة حراكاً توجيهياً جيّداً لحامل اللون، كما تُظهر أزمنة استجابة انكسارية ضوئية في مجال الأجزاء بالألف من الثانية<sup>153</sup>.

**الجسيمات النانوية على أساس CdSe.** تُؤدّي دورَ مُحسّسات الجسيمات النانوية 1-هكسادسيل أمين المتوجّه بـ CdSe، أو الجسيمات النانوية CdSe/ZnS من نمط قلب-قالب، في مادة مركبة بوليميرية تشمل PVK و 1-(2-إيثيل هكسيل أوكسي)-5،2-ثنائي ميثيل 4-(4-نترو فينيل آزو) بنزين بصفته حاملاً للون<sup>134,135</sup>.

**الذهب الغروي.** تُبدّي المادة المركبة البوليميرية الضوئية الانكسار المكوّنة من PVK، و TNF، و 4-(ثنائي سيانو فينيل-N،N-ثنائي إيثيل أنيلين)، وجسيمات الذهب، تحسناً واضحاً في الانكسارية الضوئية<sup>154</sup>. ويُقترح إرجاع هذا التحسّن في الانكسارية الضوئية إلى أنّ الإشابة بجسيمات الذهب تُؤدّي إلى زيادة كثافة مركز الفخّ الفعلي.

**الفولرينات.** تتمتع الفولرينات بلاخطية بصرية عالية. وسبب ذلك يعود الى الاختلاف في قابلية الاستقطاب بين جزيئات الفولرين وجذورها الأنيونية، التي تتشكّل عند امتصاص الفوتونات وانتقال الشحنات من قِبَل جُزيئات PVK<sup>155</sup>.

يُبدى ثلاثي نيتروفلورينون المتّصل بمتقبّلات الفولرين C-60 في المادة المركّبة PVK أداءً ضوئي الانكسار مماثلاً لأداء C-60، ولكنّه يتمتّع بأزمة استجابة أقصر، مع معاملات ربح أخفض بقليل. ولكن بالمقابل، يمكن تطبيق فروق كمون أكبر، وهذا يؤدّي بالنتيجة إلى معاملات ربح أعلى<sup>156</sup>.

**تحميل الوظائف.** يمكن تحميل PVK بالوظائف باستعمال مادّة المُشَتّت الأحمر 1 Disperse Red (DR-1) المعالجة بالسيانو أسيتيل. بهذه الطريقة يجري الحصول على بوليمير للضوء اللاخطي مؤسّس على قاعدة PVK مع كثافة عالية للحوامل اللونيّة وخصائص شاملة محسّنة. بدايةً يجري تصيغ PVK حتى 52 في المئة، ثمّ تكثّف زمر الفورميل المتدلّيّة باستعمال (DR-1) المعالج بالسيانو أسيتيل<sup>157</sup>.

**الملدّنات.** يمكن تعديل بوليميرات PVK باستعمال ECZ بصفته مُلدّنًا، بهدف خفض درجة حرارة الانتقال الزجاجي. ولكنها يمكن أن تعاني عدم استقرار حراري بسبب تبلور الإضافات. لقد وُجِدَ أنّ إضافة مشابه ديميري لـ PVK، هو 3،1-بيس كاربازوليل بروبان (BisCzPro) أمرٌ فعّالٌ جدًّا<sup>159,158</sup>. عند الاستعاضة عن ECZ بمركب BisCzPro أو خلائط ECZ/BisCzPro، يمكن توليف درجة حرارة الانتقال الزجاجي، ومدى تبعيّة الانعراجيّة، وذلك بتغيير نسب الإضافات. ويبقى الغشاء شفافاً عند درجات حرارة عالية.

**الاستقرار.** إنّ المواد المركّبة البوليميريّة المشوبة بـ 2،5-ثنائي ميثيل-4-4-نترو فينيل أزو) فينيل بنزول إيثر مستقرّة الطور، في حين تُبدى المواد المركّبة المشوبة بـ 2،5-ثنائي ميثيل-4-4-نترو فينيل أزو) فينيل أوكثيل إيثر تركيزاً حرجاً عند 47 في المئة، إذ سرعان ما تتحلّل المادة المركّبة عند تركيز أعلى من ذلك بسبب تبلور الصباغ<sup>160</sup>.

#### 2.3.4.1. الهولوجرامات

يمكن إنتاج هولوغرامات قابلة للمحو باستعمال مفعول الانكساريّة الضوئيّة بإعادة توزيع للشحنة محرّضٍ ضوئياً في مادّة للضوء اللاخطي. يجري تحقيق تغييرات موضعيّة في قرينة الانكسار، بحيث تتكوّن هولوغرامات ديناميكيّة قابلة للمحو وتسبب انعراج الضوء المرئي. يجري تحقيق مفعول الانكساريّة الضوئيّة بتعريض المادّة لنمطٍ من الشدّة البصريّة يتضمّن مناطق ساطعة وأخرى عاتمة، كتلك التي تتكوّن عند تداخل حزمتين ليزريّتين في حالة الكتابة. تُهاجر الشحنات الحرّة المتولّدة في المادّة إلى المناطق المُناسبة

لتكوّن حقول حيّز-مشحون كهربائية داخلية، تؤدّي إلى انعراج الضوء عند القراءة بما يتوافق مع المفعول الكهربصري<sup>161</sup>.

لقد تبين أنّ هذا المفعول مفيد في تخزين هولوغرامات حجميّة الطور. يمكن شرح آلية مفعول الانكسارية الضوئية كما يلي : تجري إضاءة البلّورات بنمط ضوئي، مثلاً : نمط تداخل حزميتين ليزريّتين. فتتأثر بنتيجة ذلك الشحنات في المناطق الساطعة من العيوب في النطاق الموصل أو نطاق التكافؤ، ويُعاد توزيعها وحجزها في المناطق الأعم على التفضيل. وينشأ بذلك نمط توزّع فراغي للشحنة، يؤدّي إلى تعديل قرينة الانكسار بتأثير المفعول الكهربصري. منابع الشحنات أو أفاخها هي في الغالب شوارد معادن انتقاليّة، توجد في حالات تكافؤ مختلفة. أما الانتشار-المفعول الفوتوثولطائي الحجمي- والانحراف في الحقول الخارجيّة، وفي حقول الحيّز المشحون، وفي الحقول الكهربائيّة الحراريّة فتُعرف باسم آليات قيادة أو إدارة انتقال الشحنة.

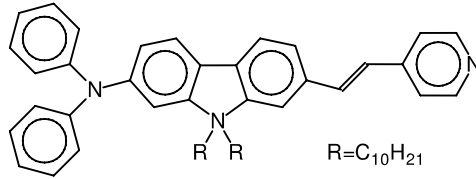
أولّ الإشارات إلى بلّورات سائلة ضوئية الانكسار ظهرت عام 1994. ومنذ ذلك الحين تحسّن أداء هذه المواد تحسناً كبيراً.

ولقد جرى إنجاز تصوير هولوغرافي رجعي الانعكاس لكامل الحقل، عبر وسط عكر باستعمال مادّة مركّبة بوليميريّة ضوئية الانكسار بصفتها بوابة ترابط<sup>162</sup>. كانت التجهيزات الضوئية الانكسار مؤسّسة على قاعدة PVK و TNFDM المشاب بحامل اللون 1-(2)-إيثيل هكسيل أوكسي(2)-5، ثنائي ميثيل 4-(4)-نترو فينيل آزو(بنزين). وهناك بعض الدلائل على تفاعل TNFDM مع حوامل اللون تفاعل تعقيد<sup>163</sup>.

تعتمد تقنيّة تسجيل الهولوغرامات، وقراءتها غير الإتلافية في البوليميرات الضوئية الانكسار امتصاص فوتونين-اثنين معاً. تتشكّل الهولوغرامات اعتماداً على مفعول الانكسارية الضوئية. و تستعمل التقنيّة إثارة حامل اللون الفعّال كهربائياً بنبضات فمتوثانية أي في مجال<sup>15</sup> 10<sup>-15</sup> ثانية، ثمّ يتبعها حقن شحنات في حاضنة PVK. يمكن محو الهولوغرام محوّاً كاملاً باستعمال حزمة ليزر نبضي. ولكن تبقى غير حسّاسة لتأثير حزم أمواج ليزريّة مستمرة بطول الموجة نفسه<sup>164</sup>.

أمّا حامل اللون N,N-ثنائي فينيل 7-(2)-(4-بيريدينيل)-إيثينيل 9،9-ثنائي-نظامي-ديسيل 9H-فلورين 2-أمين (AF-50)، انظر الشكل (1-13)، فقد جرت دراسته في

حاضنة PVK، وذلك لتطبيقات القراءة والكتابة<sup>165</sup>. جرت كتابة المعلومات على العينة باستعمال الخط 325 nm من موجة ليزر He-Cd مستمرة. يخضع PVK/AF-50 بتأثير الإشعاع الليزري لتغير كيميائي مسبباً انزياحاً نحو الأزرق في طيف التآلق الضوئي. تقترح الاستقصاءات بالأشعة تحت الحمراء تشكل نظام مترافق جديد مثل كيتيمين. ويبدو أن التحول الكيميائي غير عكوس.



الشكل (13-1): N,N-ثنائي فينيل-7-(2-(4-بيريدينيل)-إيثينيل-9,9-ثنائي-نظامي-ديسيل-9H-فلورين-2-أمين.

لقد جرى استعمال بوليمير ضوئي الانكسار من DMNPAA و TNF و ECZ و PVK للتخزين الضوئي الثلاثي الأبعاد القابل لمحو المعطيات وكتابتها، وذلك تحت إثارة فوتونين اثنين معاً<sup>166</sup>. وجرى تحقيق كثافة معلومات ثلاثية الأبعاد تصل إلى 5 غيغابت في السنتمتر المكعب بالإضاءة بحزمة نبضية بطول موجة تحت الأحمر قدره 800 nm عند عملية التسجيل.

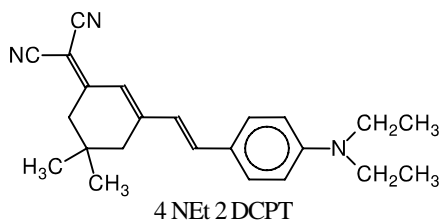
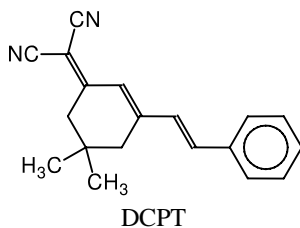
يمكن محو المعلومات المسجلة محواً كاملاً بالإضاءة فوق البنفسجية. يمكن لجزيئات حوامل اللون المزدوجة الاستعمال أن تتيح حفرًا مثلوناً ضوئياً (Photochromic) للشبكات الهولوجرافية غير عكوس، أو حفرًا ضوئي الانكسار للشبكات الهولوجرافية قابلاً للمحو، وذلك في حيز التخزين نفسه<sup>167</sup>.

عند طول موجة قدره 675 nm يخضع حامل اللون لتفاعل كيميائي ضوئي ينشأ عنه حفر هولوجرافي غير عكوس، ولاحقاً، عند موجات أطول، يمكن تخزين هولوجرامات ضوئية الانكسار قابلة للمحو في الموقع نفسه.

يتمتع الحفر الكيميائي الضوئي بنصف عمر عتمة محدود الانتشار قدره حوالي أسبوعين، وذلك تبعاً لدرجة التحول الزجاجي للمادة المركبة. تستعمل المواد المركبة المكونة من PVK ومن بوتيل بنزويل فتالات، أو ثلاثي كريسيل فوسفات بصفاتها ملدّنات. أما المحسّسات ومولّدات الشحنة فتتألف من C-60 أو TNF. يتكوّن حامل اللون من كسر ذات

بنية أساسية من 2-(5,5-ثنائي ميثيل-3-ستيريل-حلقي هكس-2-إنيليدين)- مالونونتريل. انظر الشكل (14-1).

يمكن لحوامل اللون أن تفيد في حفر الشبكات الفعال الضوئي الانكسار، كما أنها نشيطة من الناحية الكيميائية الضوئية، وربما بتفاعلات كيميائية ضوئية من نمط 2+2 عند تحسس الثلاثيات. تتعلّق كفاءة الانعراج الخارجي الضوئي الانكسار تعلقاً كبيراً بدرجة حرارة الانتقال الزجاجي للمواد المركبة. تزداد الكفاءة عند درجات حرارة انتقال زجاجي منخفضة.



الشكل (14-1): 2-(5,5-ثنائي ميثيل-3-ستيريل-حلقي هكس-2-إنيليدين)- مالونونتريل وحوامل لون متعلّقة به<sup>167</sup>.

تبدو القاعدة التالية قاعدةً عامّةً : إنّ أزمنة استجابة المواد المركبة البوليميرية الضوئية الانكسار تتعلّق تعلقاً كبيراً بكلّ من درجة حرارة الانتقال الزجاجي، وحامل اللون الكهربصري<sup>168</sup>.

تستجيب المواد المركبة، ذات درجات حرارة انتقال زجاجي أخفض من درجة حرارة القياس، وبمحتوى متنوّع من الحوامل اللونية، ضمن أزمنة استجابة متقاربة في المجال 200-500 ميلي ثانية.

ولكن، تظهر فروقات جوهرية في المواد المركبة ذات درجات حرارة انتقال زجاجي أعلى من درجة حرارة القياس. في هذه الحالة تُبدي المواد المركبة التي تحتوي محتوى أعلى من الحوامل اللونية أداءً أفضل في الحالة المستقرّة. إلّا أنّ زمن استجابتها أبطأ من تلك التي تحتوي محتوى أقلّ من الحوامل اللونية. يمكن تحقيق حفر ضوئي الانكسارية



عكوس، وحفر موضعي مُحَرَّض ضوئياً غير عكوس، في مواد مركبة بوليميرية ذات درجات حرارة انتقال زجاجي منخفضة من PVK و TNF و ECZ و (N-4-ننرو فينيل)-1-برولينول<sup>169</sup>.

#### 4.4.1. التجهيزات الفوتوفولطائية

إن الآلية الفوتوفولطائية هي ببساطة الآلية المُعكسة لتلك المستعملة في التجهيزات المُصدرة للضوء. وعليه فإن الخبرة المكتسبة في التجهيزات المُصدرة للضوء مفيدة في تطوير التجهيزات الفوتوفولطائية.

بامتصاص الضوء تُثار الجزيئات من حالة دنيا إلى حالة مثارة، فنجد الإكسيتونات. يمكن للإكسيتون أن يتحلل بآليات متعددة ليست مفيدة في توليد الطاقة الكهربائية. ولكن، يمكن للإكسيتون أن يتفرق إلى زوج من الشحنات، إن هذه الآلية هي المسؤولة عن المفعول الفوتوفولطائي.

تحدث التيارات المحرّضة الضوئية من تفريغ الشحنة عند المساري. يتأثر انتقال الشحنة بتفاعلات إعادة التجمع أثناء الهجرة إلى المساري، وبخاصة إذا كانت المادة نفسها تؤدي دور وسط ناقل للإلكترونات وللتقوب على السواء. يمكن للتفاعلات المتبادلة مع الذرات أو الشحنات الأخرى أن تؤدي إلى إبطاء الهجرة، وتحد من التيار<sup>170</sup>.

هناك عدّة أسباب لاستعمال المواد العضوية في تطبيقات الخلايا الشمسية الفوتوفولطائية. يكمن أهمها في المميزات الخاصة التي تتمتع بها المواد العضوية<sup>170</sup>:

1. تمكن معالجة المواد العضوية بسهولة بالطلي الدوامي، وبتقانات مبضع الجراح، أو بالتبخير من خلال قناع.
2. الكميات التي نحتاجها منها هي بالمقارنة صغيرة نسبياً. إن سيرورة إنتاج المواد العضوية أسهل من سيرورة إنتاج المواد اللاعضوية.
3. يمكن توليف المواد العضوية كيميائياً بهدف الحصول على الخواص المرغوبة، مثل النطاق المحظور (فجوة طاقة)، والانحلالية، وغيرها. كما إن التنوع الكبير في البنى الكيميائية، والوظائف متوفر أساساً في المواد العضوية.

ليست الخلايا البوليميرية الفوتوفولطائية مهمة فقط لتطبيقاتها التقليدية مثل توليد الطاقة الكهربائية، بل أيضاً في تحسس الصور الرقمية للمساحات الواسعة<sup>171</sup>.

وهناك بعض البوليميرات المترافقة، والأصبغة، وأنماط الزجاج الجزيئي العضوي التي تتمتع بخواص نصف ناقلة.

إنّ مُعامل امتصاص المواد العضوية أعلى بكثير مقارنة بالسيليكون، حتّى إنّ مجرد 100 nm كافية لامتصاص ما بين 60 إلى 90 في المئة عند استعمال وجه خلفي عاكس. يتيح مُعامل الامتصاص المرتفع إمكانيةً تصنيع خلايا شمسية رقيقة جداً، مع حاجة أصغرٍ للمواد. وعلاوة على ذلك يمكن تكييف المواد العضوية إلى حدّ كبير.

من المتوقَّع أن يكون ممكناً تصنيع التجهيزات الفوتوفولطائية العضوية على نطاق واسع باستعمال سيوررات بدرجات حرارة منخفضة، وبكلفة زهيدة<sup>172</sup>. وبالعكس التجهيزات الفوتوفولطائية اللاعضوية فإنّ عمق الاختراق في التجهيزات العضوية صغير.

إنّ عيباً كبيراً في الخلايا الفوتوفولطائية البوليميرية يتمثّل بانخفاض التيار المحرّض ضوئياً، وذلك يعود إلى ضعف حراك حوامل الشحنة وقصر مسافة هجرة الأكسيتونات. ولكن يمكن تحسين التيار الكهربائي الناتج من الخلايا الفوتوفولطائية البوليميرية تحسباً جوهرياً بإضافة كميّة صغيرة من كهربيّة صلب شاردي<sup>173</sup>.

من المعلوم أنّ طيف الإشعاع الشمسي ليس وحيد اللون. إنّ إحدى التحديات لأُمَّتة التجهيزات الفوتوفولطائية تكمن في جعلها موائمة لطيف الإشعاع الشمسي. تُعرّف الكفاءة الداخليّة : فوتون إلى تيار بالصيغة :

$$(3-1) \quad \eta_i = \frac{I_{\max} hc}{G \lambda e}$$

حيث :  $I_{\max}$  هو تيار الدارة المقصورة.

$G$  الإضاءة.

$\lambda$  طول الموجة.

$h$  ثابت بلانك.

$c$  سرعة الضوء.

$e$  الشحنة الكهربائية العنصرية.

أمّا الناتج الفوتوفولطائي الخارجي  $\eta_e$  فهو يُعرّف بأنه نسبة الطاقة الكهربائية

العظمى  $P_{\max}$  التي جرى جمعها، إلى جداء الإضاءة  $G$  بسطح التجهيزة  $S$ .

$$(4-1) \quad \eta_e = \frac{P_{\max}}{GS}$$

يمكن التعبير عن الناتج الفوتوفولطائي الخارجي بدلالة ناتج التوليد الضوئي  $\phi$ ، ومُعامل الملاء  $f$ ، بالعلاقة  $\eta_e = \phi A f eV_{\max} / hv$ . من هذه المُعطيات يمكن تقدير الكفاءة العظمى الممكنة.

يمكن افتراض أن ناتج التوليد الضوئي  $\phi$  يساوي 1 تقريباً، وكذلك الأمر بشأن مُعامل الملاء  $f$ . النسبة بين الطاقة الإلكترونية المولدة والطاقة الإشعاعية المُمتصة  $eV_{\max} / hv$  هي حوالي 1/4. فإذا افترضنا أن امتصاص ضوء الشمس  $A$  يساوي 0.5 استنتجنا أنه يمكن تقدير الناتج الفوتوفولطائي الخارجي الأعظمي بحوالي 10 في المئة. إن العوامل المهمة في تحقيق هذه الكفاءة هي طول انتشار الإكسيتونات وحراك الشحنات<sup>170</sup>.

أمثلة على جزيئات تتمتع بوظائف مانحة تشمل الكلوروفيل، ومعدّات الفثالوسيانين، والبيريلين. وتمثل الفولريينات و MEH-PPV أمثلة على جزيئات ذات وظائف مُتقبلة. الفولريينات هي مقبّلات فعّالة للإلكترونات في البوليمرات المثارة ضوئياً. فهي تحاكي بعض خطوات انتقال الإلكترونات في عملية التركيب الضوئي.

ولقد جرى تحقيق كفاءة تحويل تصل إلى 4 في المئة بمزج بوليميرات مع مشتقات الفولرين وسليبيد الكادميوم، وثاني أكسيد التيتانيوم<sup>174</sup>. تعاني الفولريينات تفاعلاً كيميائياً ضوئياً بوجود الأكسجين<sup>175</sup>.

لقد جرى استعمال شبكات متداخلة مع فولريينات معدّلة<sup>176</sup>. يمكن إنتاج شبكات متداخلة بالتبخير المشترك للفولريينات والأصبغة الجزيئية مثل فتالوسيانين التوتياء. وعلى سبيل المقارنة فقد جرت الإشارة إلى كفاءة ضئيلة مقدارها 1.05 في المئة في الخلايا الشمسية<sup>177</sup>. أما أنظمة دايايد (Dyad) فيجري النظر إليها كجزيئات مقبّلة للإلكترونات مرتبطة برابطة مشتركة مع مانح فعّال ضوئياً.

وفي هذا السياق تبدو واعدة بوجه خاص الفولريينات بصفتها وحدات مقبّلة للإلكترونات مجمّعة مع الفثالوسيانينات بصفتها مانحة للإلكترونات.

في الخلايا الشمسية العضوية المكوّنة من فتالوسيانين التوتياء وصباغ البيريلين كان من الممكن رفع تيار الدارة المقصورة بنسبة 1.5 عند مضاعفة الضغط الجزئي للأكسجين ثلاث مرّات عمّا هو عليه في الجو العادي<sup>178</sup>. إن بنية معدّ فتالوسيانين المعدني مبيّنة في الشكل (15-1).

تجري إضافة صباغ البريلين مثل بيريلين رباعي كربوكسيليك-بيس-بنزإيميدازول بهدف توسيع طيف الامتصاص<sup>179</sup>. ويمكن تحقيق كفاءة تحويل طاقة تصل إلى 1.9 في المئة تحت إضاءة قياسية ( $100 \text{ m W cm}^{-2}$ ).

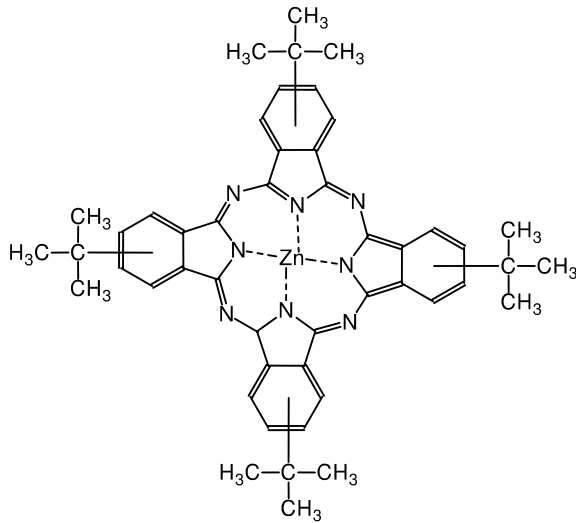
ولقد جرت الإشارة إلى انفصال شحنات مُحَرَّض ضوئياً طويلاً الأمد (بعمر قدره 200 ns) في الحالة الصلبة<sup>180</sup>. إنَّ طول عمر الحالة المنفصلة للشحنات يجعلنا نفكر بجمع الشحنات بمساري مناسبة، وباستعمال أنظمة الانتقال الإلكتروني هذه في التطبيقات الفوتوفولطائية العضوية.

يتكوّن بوليمير مشترك ذو نطاق محظور منخفض من بولي (7,2)-9,9-ثنائي أوكثيل (فلورين-co-5,5'-7,4-ثنائي سيلينو فينيل)-2,2'-إيل-3,1,2-بنزو ثياديازول). إنَّ النطاق المحظور الضوئية لهذا النوع من البوليميرات المشتركة منخفضة جداً، فهي 1.87 eV في حالة بوليمير مشترك جرى الحصول عليه من الفلورين المُستبدل و 7,4-ثنائي سيلينوفين-2'-إيل-3,1,2-بنزو ثياديازول، وهي 1.77 eV في حالة بوليمير مشترك مُشابه من 7,4-ثنائي سيلينوفين-2'-إيل-3,1,2-بنزو سيلينا ديازول. وقد لوحظ انتقال سريع فعّال للطاقة من مقاطع الفلورين لتضييق مواقع الفجوات الطاقية<sup>181</sup>.

تشير الدراسات إلى أن PFSeBT هو بوليمير محتمل للعمل كمانح للإلكترونات في الخلايا البوليميرية الفوتوفولطائية<sup>184,183</sup>. تتمتع التجهيزات بطيف استجابة يصل إلى 680 nm. وجرى تحقيق كمون دائرة مفتوحة قدره 1.00 V، وكثافة تيار دائرة مقصورة قدره 4.42 ميلي أمبير على السنتمتر المربع. أما كفاءة تحويل الطاقة فهي 1.67 في المئة.

إنَّ البوليميرات المشتركة المترافقة من 9,9-ثنائي أوكثيل فلورين و 7,4-ثنائي-2-ثينيل-3,1,2-بنزو ثياديازول الممزوجة مع ميثانو فولرين [6,6]-Ph C61-حمض بوتيريك ميثيل إستر تُظهر استجابة طيفية حتى 650 nm. إضافة إلى ذلك يصل كمون الدارة المفتوحة إلى 0.95 V. وتصل كفاءة تحويل الطاقة إلى 2.24 في المئة في المُحاكي الشمسي. تُحافظ التجهيزات الفوتوفولطائية على كفاءة تحويل الطاقة العالية عند معدلات إضاءة مرتفعة. يتيح هذا الأمر بناء وحدات عالية الكفاءة مع مجمّعات للضوء<sup>185</sup>.

تشير الدراسات لخلائط MEH-PV و الفولرينات المحتوية على بوليميرات مترافقة، أن كلا البوليميرين يساهمان في امتصاص الضوء في الخلايا الفوتوفولطائية<sup>186</sup>. أما كفاءة تحويل الطاقة للضوء الأبيض فهي 0.01 في المئة.



الشكل (15-1): معقد فتالوسيانين التوتياء\*<sup>182</sup>

يمكن تحسين كفاءة البوليميرات فائقة التشعب من الفينيلين فينيلين بخلطها مع كميات ضئيلة من MEH-PVV<sup>187</sup>. إن جمع MEH-PVV بصفته مانحاً للإلكترونات مع بولي (بيريدوبيرازين فينيلين) بصفته متقبلاً للإلكترونات يُعطي كموناً قدره 900 mV في الدارة المفتوحة تحت ضوء وحيد اللون ضعيف الشدة<sup>188</sup>.

#### 5.4.1. الإصدار التلقائي المضخم

لقد جرت الإشارة إلى إصدار تلقائي مضخم (ASE) أزرق منخفض العتبة في بوليمير مشترك إحصائي من 9،9-ثنائي هكسيل فلورين-7،2-ثنائي فينيلين-ميتا-فينيلين فينيلين وبارا-فينيلين فينيلين ومن خلأئطه مع PVK<sup>189</sup>. يؤدي كل من PVK و CPDHFVPV بالترتيب دورَ مانحٍ ومتقبّلٍ لانتقال طاقة الإثارة من نمط فورستر.

كما جرت ملاحظة إصدار تلقائي مضخم عند حوالي 400 nm في أغشية بوليميرية من PS و PVK المشوب حتى 20% بالجزيئات العضوية الناقلة للثقوب TPD<sup>190,97</sup>. لذلك تعدّ هذه الأغشية موادّ واعدة لاصطناع ديودات ليزرّية عضوية مُصدرة للضوء الأزرق.

\* التوتياء أو الزنك (zn)

#### 6.4.1. العناصر البصريّة

تقليدياً، يشتمل أي نظام بصري على العديد من العدسات بهدف حزم الأشعة الضوئية. يمكن إنقاص الزيغ اللوني (Chromatic aberration) بتجميع مواد زجاجية ذات خصائص تشتت مختلفة.

فمثلاً، العدسات الجسمية في مقراب تشتمل على عدسة موجبة تستعمل مادة زجاجية منخفضة التشتتية، وعلى عدسة سالبة تستعمل مادة زجاجية عالية التشتتية. تُجمع هذه العدسات لتصحيح الزيغ اللوني الذي يظهر عند المحور.

ولكن، وعندما يكون توزيع العدسات مقيداً، أو تكون المواد الزجاجية المستعملة محدودة، لا يكون من الممكن أحياناً تصحيح الزيغ اللوني تصحيحاً كاملاً. من ناحية أخرى، يمكن تخفيف الزيغ اللوني بتركيب شبكة انعراج على عدسة. يمكن تكوين هذه الشبكة من PVK. إذ يمكن تشبيك PVK في شبكة انعراج.

ولكن PVK مادة شديدة الهشاشة، ويمكن لجهد ضئيل أن يكسرها بسهولة. وأكثر من ذلك، فإنّ هذا الأسلوب يتطلّب وقتاً طويلاً، وهو من ثمّ غير صالح في السيرورات الصناعية.

طريقة أخرى تتمثل بتطبيق PVK بالقولبة الملدنة حرارياً. ثمّ يُذاب البوليمير بمذيب يجري تبخيره لتكوين العنصر البصري. أسلوب آخر أيضاً يتمثل بتزويد القالب بمونومير NVK، ثمّ تجري البلمرة في القالب لتحويله إلى PVK وفق نمط تفاعل بلمرة حرارية بين 70 و 130 درجة مئوية. البلمرة الضوئية أيضاً ممكنة، مثلاً باستعمال 1-هيدروكسي حلقي هكسيل-فينيل-كيتون<sup>191</sup>.

#### 7.4.1. البوليميرت المضادة للكهرباء الساكنة

يمكن تحويل PVK أو مشتقاته النترائية إلى مواد نصف ناقلة بإدخال وحدات لونية حساسة للضوء قادرة على تشتيت الكهرباء الساكنة. يمكن أن تتولّد الكهرباء الساكنة أثناء تداول المواد<sup>192</sup>.

## 8.4.1. تطبيقات أخرى

### 1.8.4.1. التصوير المجهرى

يُستعمل PVK في الركائز الزجاجية المطلية بالبوليمير في بسط وتثبيت الحمض النووي الريبى المنقوص الأوكسجين DNA. وهكذا يمكن تعيين الموضع الدقيق للمورثة على الـDNA باستعمال إجهارية التآلق الفلوري، وإجهارية القوة الذرية (AFM). لقد جرت مراقبة جزيئات DNA مجمعة وممتدة جزئياً على زجاج غير مطلي. يبين هذا أن DNA يتفاعل بصلادة مع السطح بسبب الاستقطاب العالي لسطح الزجاج. يتثبت فقط عدد ضئيل من جزيئات DNA على الزجاج المطلي ببولي(فينيل بوتيرال). أما السطوح المطلية بـPVK وبولي(فنازاسيلين) فهي تثبت وتبسط بشكل كافٍ جزيئات DNA. هذا تفاعل خاص يرجع إلى التكديس من النمط  $\pi$  بين الأمينات العطرية في البوليميرات، والأزواج الأساسية في جزيئات DNA<sup>193</sup>.

## 5.1. الموردون والعلامات التجارية

أمثلة على العلامات والأسماء التجارية المتوفرة مبيّنة في الجدول (6-1).

الجدول (6-1): أمثلة على بوليميرات (N-فينيل كاربازول) المتوفرة تجارياً

المرجع	المنتج	الاسم التجاري
3	BASF	Luvican®
3	Genaral Aniline and Film Corporation	Polectron®
3	POLICARB	Policarb™

## 6.1. الأمان

إن NVK ضارٌّ إذا جرى ابتلاعه أو امتصاصه عبر الجلد. كما يُشكُّ أن NVK يُسبب السرطان. أما PVK فهي مادة مستقرّة، ولكنها غير متوافقة مع العوامل المؤكسدة القويّة. ولم يجر تحري سميتها بوجه كامل<sup>194</sup>.

1. J. M. Pearson and M. Stolka. *Poly(N-vinylcarbazole)*, volume 6 of *Polymer Monographs*. New York: Gordon and Breach, 1981.
2. J. M. Pearson. "Vinyl Carbazole Polymers." In: H. F. Mark, N. Bikales, C. G. Overberger, and G. Menges, eds., *Encyclopedia of Polymer Science and Engineering*. 2<sup>nd</sup> ed. New York: Wiley Interscience, 1989. vol. 17, pp. 257–294.
3. J. V. Grazulevicius, P. Strohriegel, J. Pielichowski, and K. Pielichowski. "Carbazole-containing Polymers: Synthesis, Properties and Applications." *Progress in Polymer Science*: vol. 28, no. 9, September 2003, pp. 1297–1353.
4. M. D. Shattuck and U. Vahtra. "Organic Photoconductive Compositions and their Use in Electrophotographic Processes." US Patent 3 484 237, assigned to International Business Machine Corporation, Armonk, N.Y., 16 December 1969.
5. X. Jiang, R. A. Register, K. A. Killeen, M. E. Thompson, F. Pschenitzka, and J. C. Sturm. "Statistical Copolymers with Side-chain Hole and Electron Transport Groups for Single-layer Electroluminescent Device Applications." *Chemistry of Materials*: vol. 12, no. 9, 2000, pp. 2542 – 2549.
6. M. Wainwright, J. Griffiths, J. T. Guthrie, A. P. Gates, and D. E. Murray. "Copolymers of N-vinylcarbazole with Monomers Containing Carboxylic Acid Groups or Carboxylic Anhydride Groups. I." *Journal of Applied Polymer Science*: vol. 44, no. 7, March 1992, pp. 1179–1186.
7. J. S. Heo, N. H. Park, J. H. Ryu, Q. H. Choi, and K. D. Suh. "Novel Light Emitting Diode Using Organic Electroluminescence Microcapsules." *Macromolecular Chemistry and Physics*: vol. 204, no. 16, November 2003, pp. 2002–2006.
8. Q. Ling, M. Yang, W. Zhang, H. Lin, G. Yu, and F. Bai. "PL and EL Properties of a Novel Eu-containing Copolymer." *Thin Solid Films*: vol. 417, no. 1-2, September 2002, pp. 127–131.
9. Q. Ling, M. Yang, Z. Wu, X. Zhang, L. Wang, and W. Zhang. "A Novel High Photoluminescence Efficiency Polymer Incorporated with Pendant Europium Complexes." *Polymer*: vol. 42, no. 10, February 2001, pp. 4605–4610.
10. W. W. Limburg and D. A. Seanor. Copolymers of N-vinylcarbazole and N-vinylphthalimide and Derivatives Thereof. US Patent 3 970 602, assigned to W. W. Limburg and D. A. Seanor, July 20, 1976.
11. D. W. Kim, H. Moon, S. Y. Park, and S. Il Hong. "Synthesis of Photoconducting Nonlinear Optical Side-chain Polymers Containing Carbazole Derivatives." *Reactive and Functional Polymers*: vol. 42, no. 1, September 1999, pp. 73–86.
12. Y. Shirota. "Organic Materials for Electronic and Optoelectronic Devices." *Journal of Materials Chemistry*: vol. 10, no. 1, 2000, pp. 1–25.



13. P. Strohrriegl and J. V. Grazulevicius. "Charge-transporting Molecular Glasses." *Advanced Materials*: vol. 14, no. 20, October 2002, pp. 1439–1452.
14. S. Grigalevicius, E. Lideikis, J. V. Grazulevicius, V. Gaidelis, J. Antulis, V. Jankauskas, F. Tran Van, and C. Chevrot. "Synthesis and Properties of the Polymers Containing 3,3'-Dicarbazyl Units in the Main Chain and their Model Compounds." *Polymer*: vol. 43, no. 21 October 2002, pp. 5693–5697
15. A. Balionyte, S. Grigalevicius, and J. V. Grazulevicius. "Synthesis and Properties of Polymers Containing Aromatic Amino Groups in the Main Chain and their Glass-Forming Model Compounds." *European Polymer Journal*: vol. 40, no. 8, August 2004, pp. 1645–1650.
16. W. S. Lyoo. "Synthesis of Ultrahigh Molecular Weight Poly(N-vinylcarbazole) with a High Yield Using Low-Temperature Heterogeneous-solution Polymerization." *Journal of Polymer Science Part A: Polymer Chemistry*: vol. 39, no. 4, February 2001, pp. 539–545.
17. M. Kamachi, H. Q. Guo, and A. Kajiwara. "Block Copolymer Synthesis of N-vinylcarbazole and Cyclohexene Oxide by Radical/Cation Transformation Polymerization." *Macromolecular Chemistry and Physics*: vol. 203, no. 7, May 2002, pp. 991–997.
18. K. Fujiki, M. Sakamoto, A. Yoshida, and H. Maruyama. "Radical Grafting from Glass fiber Surface: Graft Polymerization of Vinyl Monomers Initiated by Azo Groups Introduced onto the Surface." *Journal of Polymer Science Part A: Polymer Chemistry*: vol. 37, no. 13, July 1999, pp. 2121–2128.
19. J. Steinmetz, S. Kwon, H.-J. Lee, E. Abou-Hamad, R. Almairac, C. Goze-Bac, H. Kim, and Y.-W. Park. "Polymerization of Conducting Polymers inside Carbon Nanotubes." *Chemical Physics Letters*: vol. 431, nos. 1-3, November 2006, pp. 139–144.
20. M. Baibarac, P. Gomez-Romero, M. Lira-Cantu, N. Casan-Pastor, N. Mestres, and S. Lefrant. "Electrosynthesis of the Poly(N-vinyl carbazole)/Carbon Nanotubes Composite for Applications in the Supercapacitors Field." *European Polymer Journal*: vol. 42, no. 10, October 2006, pp. 2302–2312.
21. M. Baibarac, M. Lira-Cantú, J. Oró Sol, I. Baltog, N. Casañ-Pastor, and P. Gomez-Romero. "Poly(N-vinyl Carbazole) and Carbon Nanotubes Based Composites and their Application to Rechargeable Lithium Batteries." *Composites Science and Technology*: vol. 67, nos. 11-12, September 2007, pp.2556–2563.
22. H.-X. Wu, X.-Q. Qiu, R.-F. Cai, and S.-X. Qian. "Poly(N-vinyl carbazole)-Grafted Multiwalled Carbon Nanotubes: Synthesis via Direct Free Radical Reaction and Optical Limiting Properties." *Applied Surface Science*: vol. 253, no. 11, March 2007, pp. 5122–5128.
23. B. Ustamehmetoglu, E. Sezer, and A. S. Sarac. "Oxidative Polymerization of N-vinylcarbazole in Polymer Matrix." *Polymer International*: vol. 50, no. 6, June 2001, pp. 728–733.
24. R. Aldag and P. Neumann. Purification of poly(N-vinylcarbazole) containing impurities. US Patent 4 987 220, assigned to BASF Aktiengesellschaft (Ludwigshafen, DE), 22 January 1991.

25. C. R. Costin, T. W. Hazell, G. W. Ceska, and J. P. Horgan. Process for the removal of N-vinylcarbazole from poly(N-vinylcarbazole). US Patent 5 175 248, assigned to Sartomer Company, Inc. (Exton, PA), 29 December 1992.
26. M. Sakakibara, Y. Takeuchi, and D.-k. Ding. Electroluminescent material and electroluminescent cell. US Patent 6 451 458, assigned to JSR Corporation (Tokyo, JP); International Center for Materials Research (Kawasaki, JP); TECO Electric and Machinery Co., Ltd. (Taipei, TW), 17 September 2002.
27. M. Ohoka, S. Misumi, and M. Yamamoto. "Determination of Propagation Rate Coefficient of Free-Radical Polymerization of N-vinylcarbazole by Pulsed-laser Polymerization." *Polymer Journal*: vol. 31, no. 10, 1999, pp. 878–882.
28. M. Yin, C. Barner-Kowollik, J. P. A. Heuts, and T. P. Davis. "Complications in the 355 nm Pulsed-laser Polymerization of N-vinylcarbazole." *Macromolecular Rapid Communications*: vol. 22, 13, September 2001, pp. 1035–1040.
29. W. S. Lyoo, H. Do Ghim, H. S. Kim, J. H. Kim, S. S. Kim, W. S. Yoon, J. W. Lee, and S. S. Lee. "Low-temperature Photoinitiation Solution Polymerization Behavior of N-vinylcarbazole in Tetrahydrofuran." *Journal of Applied Polymer Science*: vol. 86, no. 14, December 2002, pp. 3667–3672.
30. J. S. Lee, W. S. Lyoo, S. K. Noh, J. H. Kim, J. W. Lee, H. D. Ghim, and J. Y. Lee. "Preparation of High-Molecular-Weight Poly(N-vinylcarbazole) by the Photoinduced Low-Temperature Solution Polymerization of N-vinylcarbazole in 1,1,2,2-tetrachloroethane." *Journal of Applied Polymer Science*: vol. 89, no. 9, August 2003, pp. 2391–2396.
31. C. J. Lee, D. H. Kim, J. M. Oh, K. H. Park, N. Kim, B. C. Ji, and W. S. Lyoo. "Solution polymerization behavior of N-vinylcarbazole by low-temperature azoinitiator." *Journal of Applied Polymer Science*: vol. 76, no. 10, June 2000, pp. 1558–1563.
32. M. Biswas and S. S. Ray. Recent Progress in Synthesis and Evaluation of Polymer-montmorillonite Nanocomposites." In: *New Polymerization Techniques and Synthetic Methodologies*, volume 155 of Advances in Polymer Science. Berlin: Springer-Verlag Berlin, 2001, pp. 167-221.
33. Y. H. Yu, C. Y. Lin, and J. M. Yeh. "Poly(N-vinylcarbazole)-clay Nanocomposite Materials Prepared by Photoinitiated Polymerization with Triarylsulfonium Salt Initiator." *Journal of Applied Polymer Science*: vol. 91, no. 3, February 2004, pp. 1904–1912.
34. A. Maity and M. Biswas. "Alumina-based Water-Dispersible Conducting Nanocomposites of Polypyrrole and Polypyrrole with Poly(N-vinylcarbazole)." *Journal of Applied Polymer Science*: vol. 90, no. 4, October 2003, pp. 1058–1065.
35. A. Maity and M. Biswas. "A Nanocomposite of Poly(N-vinylcarbazole) with Nanodimensional Alumina." *Journal of Applied Polymer Science*: vol. 88, no. 9, May 2003, pp. 2233–2237.
36. M. C. Baird and Q. Wang. Synthesis of Polymers of Vinyl Ethers, 1,5-Hexadiene and N-vinylcarbazole. US Patent 5 439 996, assigned to Queen's University at Kingston (Kingston, CA), 8 August 1995.

37. N. Tsubokawa and T. Yoshihara. "Carbon whisker as an initiator of cationic polymerization of N-vinylcarbazole and N-vinyl-2-pyrrolidone." *Polymer Journal* (Tokyo): vol. 23, 1991, pp. 177–183.
38. J. V. Crivello. Oligomeric and polymeric photosensitizers comprising a polynuclear aromatic group. US Patent 6 593 388, assigned to Renssealer Polytechnic Institute (Troy, MI), 15 July 2003.
39. I. V. Bulgarovskaya, V. M. Vozzhennikov, R. M. Gitina, D. V. Pebalk, and B. V. Kotov. "Photoelectric Properties of Donor-acceptor Polymer Compositions of Soluble Polyimides with poly(N-epoxypropyl)Carbazole and its Halogenated Derivatives." *Russian Journal of Physical Chemistry*: vol. 76, no. 2, February 2002, pp. 291–295.
40. S. Spange, A. Graser, H. Muller, Y. Zimmermann, P. Rehak, C. Jager, H. Fuess, and C. Baehtz. "Synthesis of Inorganic/Organic Host-guest Hybrid Materials by Cationic Vinyl Polymerization within Y Zeolites and MCM-41." *Chemistry of Materials*: vol. 13, no. 10, October 2001, pp. 3698–3708.
41. S. Spange, A. Graser, A. Huwe, F. Kremer, C. Tintemann, and P. Behrens. "Cationic Host-Guest Polymerization of N-vinylcarbazole and vinyl Ethers in MCM-41, MCM-48, and Nanoporous Glasses." *Chemistry - A European Journal*: vol. 7, no. 17, September 2001, pp. 3722– 3728.
42. Y. Heischkel and H. W. Schmidt. "Synthesis of ABC-triblock Copolymers for Light Emitting Diodes." *Macromolecular Chemistry and Physics*: vol. 199, no. 5, May 1998, pp. 869–880.
43. C. E. H. Bawn, A. Ledwith, and M. Sambhi. "Polymerization and 2+2 Cycloaddition in the System N-vinylcarbazole-Tetracyanoethylene." *Polymer*: vol. 12, no. 3, March 1971, pp. 209–220.
44. S. N. Bhadani, S. K. Sen Gupta, and A. K. Sinha. "Polymerization of N-Vinylcarbazole by Gaseous Initiators." *Journal of Applied Polymer Science*: vol. 44, no. 1, January 1992, pp. 173–175.
45. H. Mori, S. Nakano, and T. Endo. "Controlled Synthesis of Poly(N-ethyl-3vinylcarbazole) and Block Copolymers via RAFT Polymerization." *Macromolecules*: vol. 38, no. 20, October 2005, pp. 8192–8201.
46. M. Saçak. "Electrochemical Synthesis of Poly(N-vinyl carbazole) Doped with HSO<sup>-</sup> 4 and NO<sup>-</sup> 3 Anions." *Journal of Applied Polymer Science*: vol. 74, 1999, pp. 1792–1796.
47. H. Macit, S. Sen, and M. Sacak. "Electrochemical Synthesis and Characterization of Polycarbazole." *Journal of Applied Polymer Science*: vol. 9, no. 3, May 2005, pp. 894–898.
48. G. Inzelt. "Formation and Redox Behaviour of Polycarbazole Prepared by Electropolymerization of Solid Carbazole Crystals Immobilized on an Electrode Surface." *Journal of Solid State Electrochemistry*: vol. 7, no. 8, August 2003, pp. 503–510.
49. S. Jagadesan, R. C. Advincula, and S. Valiyaveetil. "Nanolithographic Electropolymerization of a Precursor Polymer Film to Form Conducting Nanopatterns." *Advanced Materials*: vol. 17, no. 10, May 2005, pp. 1282–1285.

50. Y. Li, J. Yang, J. Xu, S. Li, J. Li, and M. Wan. "Poly(N-vinylcarbazole) and Polypyrrole Composites Synthesized by Laser-electrochemical Polymerization." *Synthetic Metals*: vol. 72, no. 1, April 1995, pp. 41–44.
51. J. Jang, Y. Nam, and H. Yoon. "Fabrication of Polypyrrole-poly(N-vinylcarbazole) Core-Shell Nanoparticles with Excellent Electrical and Optical Properties." *Advanced Materials*: vol. 17, no. 11, June 2005, pp. 1382–1386.
52. A. Iraqi and I. Wataru. "3,6-linked 9-alkyl-9h-carbazole Main-chain Polymers: Preparation and Properties." *Journal of Polymer Science Part A: Polymer Chemistry*: vol. 42, no. 23, December 2004, pp. 6041–6051.
53. A. Rembaum, A. M. Hermann, and R. Haack. "Reactions of N-vinylcarbazole with Anionic Initiators." *Journal of Polymer Science. Polymer Letters Edition*: vol. 5, 1967, pp. 407–414.
54. Y. Chen, R. F. Cai, L. X. Xiao, Z. E. Huang, and D. C. Pan. "Synthesis and Characterization of Photoconductive C-60-N-vinylcarbazole Copolymers." *Journal of Materials Science*: vol. 33, no. 18, September 1998, pp. 4633–4641.
55. J. Kim, G. J. Choi, and S. B. Lee. "Organolithium-initiated Polymerization of Carbazole Derivative Retaining Blue Light Photoluminescence." *Abstracts of Papers*, 228<sup>th</sup> ACS National Meeting, Philadelphia, PA, United States, 22-26 August 2004, pages PMSE–275, 2004.
56. Y. W. Bai, X. F. Chen, X. H. Wang, and Q. F. Zhou. "Study on Liquid Crystallinity of Poly(N-vinylcarbazole)." *Chinese Journal of Polymer Science*: vol. 20, no. 2, March 2002, pp. 155–159.
57. Y. Suzuki. Electrophotographic photoconductor. US Patent 6 960 417, assigned to Ricoh Company, Ltd. (Tokyo, JP), 1 November 2005.
58. J. Kido, S. Suzuki, and K. Itoh. Charge transporting material, organic electroluminescent element, and light emitting panel. US Patent 6 960 398, assigned to Dai Nippon Printing Co., Ltd (Tokyo-to, JP), 1 November 2005.
59. A. Inami and K. Morimoto. Electrophotographic materials comprising polymeric intramolecular charge transfer complexes. US Patent 3 418 116, assigned to Matsushita Electric Ind Co Ltd., 12 December 1968.
60. R. M. Podhajny. Novel photoconductive carbazole polymers and photoconductive elements embodying same. US Patent 3 697 264, assigned to R. M. Podhajny, 10 October 1972.
61. D. E. Breen and R. A. Keller. "Intramolecular Energy Transfer between Triplet States of Weakly Interacting Chromophores. I. Compounds in which the Chromophores are Separated by a Series of Methylene Groups" *Journal of the American Chemical Society*: vol. 90, no. 8, 1968, pp. 1935–1940.
62. I. T. Kim, S. W. Lee, T. H. Kwak, J. Y. Lee, H. S. Park, S. Y. Kim, C. M. Lee, H. E. Jung, J. G. Kang, T. J. Kim, H. J. Kang, C. Park, and R. L. Elsenbaumer. "A New Photoluminescent Conjugated Poly(1-hexyl-3,4-dimethyl-2,5-pyrrolylene): Synthesis, Properties and Characterization." *Macromolecular Rapid Communications*: vol. 23, no. 9, June 2002, pp. 551–554.

63. A. Rivaton, B. Mailhot, S. Robu, M. Lounaci, P. Bussiere, and J.-L. Gardette. "Photophysical Processes and Photochemical Reactions Involved in poly(N-vinylcarbazole) and in Copolymers with Carbazole Units." *Polymer Degradation and Stability*: vol. 91, no. 3, March 2006, pp. 565–572.
64. S. Nespurek, V. Cimrova, J. Pflieger, and I. Kminek. "Free Charge Carrier Formation in Polymers under Illumination." *Polymers for Advanced Technologies*: vol. 7, nos., 5-6, 1996, pp. 459–470.
65. R. M. Schaffert. "A New High-Sensitivity Organic Photoconductor for Electrophotography." *IBM Journal of Research and Development*: vol. 15, no. 1, pp. 75–89, January 1971. [electronic] <<http://www.research.ibm.com/journal/rd/151/ibmrd1501K.pdf>>.
66. G. Ramos, T. Belenguer, E. Bernabeu, F. del Monte, and D. Levy. "A Novel Photoconductive pvk/sio2 Interpenetrated Network Prepared by the Sol-gel Process." *Journal of Physical Chemistry B*: vol. 107, no. 1, January 2003, pp. 110–112.
67. X. G. Li, S. H. Yang, Y. Xu, S. F. Yang, Y. Q. Liu, D. B. Zhu, C. L. Yang, J. N. Wang, and W. K. Ge. "Photoconductivity of poly(N-vinylcarbazole) (PVK) Doped with the Metallofullerene DyC-82 and the Fullerenes C-84 and C-60." *Israel Journal of Chemistry*: vol. 41, no. 1, 2001, pp. 45–50.
68. J. Kalinowski, G. Giro, M. Cocchi, V. Fattori, and R. Zamboni. "The Nature of Emitting States in Electroluminescence of Polymeric films Doped with Anthracene and Anthracene-based Supramolecules." *Journal of Chemical Physics*: vol. 277, no. 3, April 2002, pp. 387–396.
69. X. Z. Jiang, R. A. Register, K. A. Killeen, M. E. Thompson, F. Pschenitzka, T. R. Hebner, and J. C. Sturm. "Effect of Carbazole-Oxadiazole Excited-State Complexes on the Efficiency of Dye-Doped Light-Emitting Diodes." *Journal of Applied Physics*: vol. 91, no. 10, May 2002, pp. 6717–6724.
70. T. Förster. "Transfer Mechanisms of Electronic Excitation." *Discussions of the Faraday Society*: vol. 27, nos. 7–17, 1959.
71. D. L. Dexter. "A Theory of Sensitized Luminescence in Solids." *Journal of Chemical Physics*: vol. 21, no. 5, May 1953, pp. 836–850.
72. P. N. Prasad, J. D. Bhawalker, P. C. Cheng, and S. J. Pan. Two-photon upconverting dyes and applications. US Patent 6 402 037, assigned to The Research Foundation of State University of New York (Amherst, NY), 11 June 2002.
73. H. Y. Byun, I. J. Chung, H. K. Shim, and C. Y. Kim. "Optoelectronic and Photophysical Properties of Polyfluorene Blends as Side-chain Length and Shape." *Macromolecules*: vol. 37, no. 18, September 2004, pp. 6945–6953.
74. S. Yamazaki and Y. Arai. Light emitting device and manufacturing method thereof. US Patent 6 897 608, assigned to Semiconductor Energy Laboratory Co., Ltd. (Atsugi, JP), 24 May 2005.
75. J. W. Choi, J. S. Kim, S. Y. Oh, and W. H. Lee. "Effect of Joule Heat on the Performance of Organic Electroluminescence Device." *Molecular Crystals and Liquid Crystals*: vol. 371, 2001, pp. 285–288.

76. H. Hirose, D. Okuda, H. Yoneyama, and M. Seki. Organic light emitting diode. US Patent 6 670 052, assigned to Fuji Xerox Co., Ltd. (Tokyo, JP), 30 December 2003.
77. T. H. Zyung, D. H. Hwang, and S. D. Jung. Encapsulation Method of a Polymer or Organic Light Emitting Device. US Patent 6 150 187, assigned to Electronics and Telecommunications Research Institute (Daejeon, KR), 21 November 2000.
78. P. Mahneke. Method and apparatus for spin-coating chemicals. US Patent 5 916 631, assigned to The Fairchild Corporation (Dulles, VA), 29 June 1999.
79. R. Emami. Apparatus and method for edge bead removal. US Patent 6 786 996, assigned to Applied Materials Inc. (Santa Clara, CA), 7 September 2004.
80. F. Pschenitzka and J. C. Sturm. "Three-color Organic Light-emitting Diodes Patterned by Masked Dye Diffusion." *Applied Physics Letters*: vol. 74, no. 13, March 1999, pp. 1913–1915.
81. R. Satoh, S. Naka, M. Shibata, H. Okada, H. Onnagawa, and T. Miyabayashi. "White Organic Electroluminescent Devices Fabricated Using Ink-Jet Printing Method." *Japanese Journal of Applied Physics*: Part 1, 43(11A), November 2004, pp. 7395–7398.
82. P. Vacca, M. G. Maglione, C. Minarini, G. Salzillo, E. Amendola, D. Della Sala, and A. Rubino. "PANI-CSA: An Easy Method to Avoid ITO Photolithography in PLED Manufacturing." *Macromolecular Symposia*: vol. 228, August 2005, pp. 263–272.
83. G. Grem, G. Leditzky, B. Ullrich, and G. Leising. "Realization of a Blue-light Emitting Device Using Poly(p-phenylene)." *Advanced Materials*: vol. 4, no. 1, 1992, pp. 36–37.
84. X. Gong, D. Moses, A. J. Heeger, and S. Xiao. "Excitation Energy Transfer from Polyfluorene to Fluorenone Defects." *Synthetic Metals*: vol. 141, nos. 1-2, March 2004, pp. 17–20.
85. N. C. Yang, S. M. Lee, Y. M. Yoo, J. K. Kim, and D. H. Suh. "New Blue Electroluminescent n-type Polyfluorene Copolymers with a 1,3,4-Oxadiazole Unit in the Main Chain." *Journal of Polymer Science Part A: Polymer Chemistry*: vol. 42, no. 5, March 2004, pp. 1058–1068.
86. T. W. Lee, O. O. Park, H. N. Cho, J. M. Hong, and Y. C. Kim. "White Emission from a Polymer Blend Light-Emitting Diode by Incomplete Cascade Energy Transfer." *Molecular Crystals and Liquid Crystals*: vol. 371, 2001, pp. 435–438.
87. F. I. Wu, R. Dodda, D. S. Reddy, and C. F. Shu. "Synthesis and Characterization of Spiro-Linked Poly(terfluorene): A blue-emitting Polymer with Controlled Conjugated Length." *Journal of Materials Chemistry*: vol. 12, no. 10, 2002, pp. 2893–2897.
88. C. H. Chen, F. I. Wu, C. F. Shu, C. H. Chien, and Y. T. Tao. "Spirobi-fluorene-based Pyrazoloquinolines: Efficient Blue Electroluminescent Materials." *Journal of Materials Chemistry*: vol. 14, no. 10, 2004, pp. 1585–1589.
89. F. I. Wu, D. S. Reddy, C. F. Shu, M. S. Liu, and A. K. Y. Jen. "Novel oxadiazole-containing polyfluorene with Efficient Blue Electro-luminescence." *Chemistry of Materials*: vol. 15, no. 1, January 2003, pp. 269–274.

90. S. J. Chung, K. Y. Kwon, S. W. Lee, J. I. Jin, C. H. Lee, C. E. Lee, and Y. Park. "Highly Efficient Light-Emitting Diodes Based on an Organic-soluble poly(p-phenylenevinylene) Derivative Carrying the Electron-transporting PIED Moiety." *Advanced Materials*: vol. 10, no. 14, October 1998, pp. 1112–1116.
91. Z. Y. Xie, J. S. Huang, C. N. Li, B. W. Xiao, S. Y. Liu, and D. F. Li. "Multilayer Organic LEDs Based on a New Dye-doped Polymer." *Chinese Journal of Polymer Science*: vol. 17, no. 4, 1999, pp. 343–346.
92. C. P. Chang, W. T. Huang, and M. S. Lin. "Syntheses and Optical Properties of  $\alpha$ - and  $\beta$ -cyano-poly(p-phenylene vinylene) Derivatives." *Journal of Polymer Research*: vol. 11, no. 4, December 2004, pp. 257–264.
93. S. Shirai and J. Kido. "Syntheses of Vinyl Polymers Containing Phenylanthracene Pendants and their Application for Organic EL Device." *Chemistry Letters*: vol. 31, no. 3, March 2002, pp. 386–387.
94. K. Kim, Y. R. Hong, S. W. Lee, J. I. Jin, Y. Park, B. H. Sohn, W. H. Kim, and J. K. Park. "Synthesis and Luminescence Properties of Poly(p-phenylenevinylene) Derivatives Carrying Directly Attached Carbazole Pendants." *Journal of Materials Chemistry*: vol. 11, no. 12, 2001, pp. 3023–3030.
95. J. Sanetra, D. Bogdal, M. Warzala, and A. Boron. "Photo-and Electroluminescent Properties of Polymethacrylates with Carbazolyl and fluorescent Pendant Groups." *Chemistry of Materials*: vol. 14, no. 1, January 2002, pp. 89–95.
96. Q. D. Ling, Y. Song, S. J. Ding, C. X. Zhu, D. S. H. Chan, D. L. Kwong, E. T. Kang, and K. G. Neoh. "Non-volatile Polymer Memory Device based on a Novel Copolymer of N-vinylcarbazole and eu-complexed Vinylbenzoate." *Advanced Materials*: vol. 17, no. 4, February 2005, pp. 455–459.
97. M. A. Diaz-Garcia. "Light-emitting Diodes and Lasers Based on Polymer films Doped with Small Organic Molecules and Rare-earth Complexes." *Journal of Polymer Science Part B: Polymer Physics*: vol. 41, no. 21, November 2003, pp. 2706–2714.
98. C. L. Lee, R. R. Das, and J. J. Kim. "Polymer-based Blue Electrophosphorescent light-emitting Diodes Using A Bisorthometalated Ir(III) Complex as the Triplet Emitter." *Chemistry of Materials*: vol. 16, no. 23, November 2004, pp. 4642–4646.
99. M. X. Zhu, Z. L. Wu, C. Y. Jiang, J. Liu, J. R. Li, K. Q. Xing, Y. P. Yang, Q. Gan, Y. Cao, and W. G. Zhu. "Highly Efficient Electrophosphorescence from a Grafted Biscyclometalated Iridium Complex with Triarylamine Unit in Polymer Light-emitting Devices." *Chinese Physical Letters*: vol. 22, no. 7, July 2005, pp. 1793–1796.
100. P. Y. Liu, F. L. Zhao, L. F. Cao, J. R. Lian, X. Zhou, J. G. Song, N. S. Xu, and H. H. Shi. "Energy Transfer in Phosphorescent Dye Doped Polymer Thin films." *Journal of the Korean Physical Society*: vol. 46, June 2005, S66–S69.
101. Y. Hino, H. Kajii, and Y. Ohmori. "Red Phosphorescent Organic Light-Emitting Diodes Using Mixture System of Small-Molecule and Polymer Host." *Japanese Journal of Applied Physics*: Part 1, 44(4B), April 2005, pp. 2790–2794.
102. I. Tanaka, M. Suzuki, and S. Tokito. "White Light Emission from Polymer Electrophosphorescent Light-emitting Devices Doped with Iridium Complexes." *Japanese Journal of Applied Physics*: Part 1, 42(5A), May 2003, pp. 2737–2740.

103. X. Gong, W. L. Ma, J. C. Ostrowski, G. C. Bazan, D. Moses, and A. J. Heeger. "White Electrophosphorescence from Semiconducting Polymer Blends." *Advanced Materials*: vol. 16, no. 7, April 2004, pp. 615–619.
104. Y. Kawamura, S. Yanagida, and S. R. Forrest. "Energy Transfer in Polymer Electrophosphorescent Light Emitting Devices with Single and Multiple Doped Luminescent Layers." *Journal of Applied Physics*: vol. 92, no. 1, July 2002, pp. 87–93.
105. Y. Hino, M. Yamazaki, H. Kajii, and Y. Ohmori. "Fabrication and Characteristics of Increased Efficiency of Layered Polymeric Electro-Luminescent Diodes." *Japanese Journal of Applied Physics: Part 1*, 43(4B), April 2004, pp. 2315–2319.
106. S. M. Chang, C. H. Fan, C. C. Lai, Y. C. Chao, and S. C. Hu. "Red Electroluminescence from Ruthenium Complexes." *Surface and Coatings Technology*: vol. 200, no. 10, February 2006, pp. 3289–3296.
107. J. Yang and K. C. Gordon. "Organic Light-Emitting Devices Using Ruthenium (II) (4,7-Diphenyl-1,10-Phenanthroline)(3) As Dopant." *Synthetic Metals*: vol. 152, nos. 1-3, September 2005, pp. 213–216.
108. X. Z. Jiang, A. K. Y. Jen, B. Carlson, and L. R. Dalton. "Red Electrophosphorescence from Osmium Complexes." *Applied Physics Letters*: vol. 80, no. 5, February 2002, pp. 713–715.
109. J. H. Kim, M. S. Liu, A. K. Y. Jen, B. Carlson, L. R. Dalton, C. F. Shu, and R. Dodda. "Bright Red-Emitting Electrophosphorescent Device Using Osmium Complex as a Triplet Emitter." *Applied Physics Letters*: vol. 83, no. 4, July 2003, pp. 776–778.
110. C. F. Shu, R. Dodda, F. I. Wu, M. S. Liu, and A. K. Y. Jen. "Highly Efficient Blue-Light-Emitting Diodes from Polyfluorene Containing Bipolar Pendant Groups." *Macromolecules*: vol. 36, no. 18, September 2003, pp. 6698–6703.
111. J. Liu, M. X. Zhu, C. Y. Jiang, Y. Liu, Z. L. Wu, J. R. Li, K. Q. Xing, Y. Cao, and W. G. Zhu. "Green-Yellow Electrophosphorescence from di [2,5-diphenyl-1,3,4-oxadiazole C-2' N-3] Platinum(II) Doped PVK Devices." *Chinese Physics Letters*: vol. 22, no. 3, March 2005, pp. 723–726.
112. J. Y. Zhang, S. D. Kan, Y. G. Ma, J. C. Shen, W. H. Chan, and C. M. Che. "Energy Transfer from Singlet to Triplet Excited States in Organic Light-Emitting Device." *Synthetic Metals*: vol. 121, nos. 1-3, March 2001, pp. 1723–1724.
113. T.-F. Guo, S.-C. Chang, Y. Yang, R. C. Kwong, and M. E. Thompson. "Highly Efficient Electrophosphorescent Polymer Light-Emitting Devices." *Organic Electronics*: vol. 1, no. 1, December 2000, pp. 15–20.
114. F. C. Chen, Y. Yang, M. E. Thompson, and J. Kido. "High-Performance Polymer Light-Emitting Diodes Doped with a Red Phosphorescent Iridium Complex." *Applied Physics Letters*: vol. 80, no. 13, April 2002, pp. 2308–2310.
115. C. L. Lee, K. B. Lee, and J. J. Kim. "Polymer Phosphorescent Light-Emitting Devices Doped with Tris(2-phenylpyridine) Iridium as a Triplet Emitter." *Applied Physics Letters*: vol. 77, no. 15, October 2000, pp. 2280–2282.



116. X. Gong, J. C. Ostrowski, D. Moses, G. C. Bazan, and A. J. Heeger. "High Performance Polymer-Based Electrophosphorescent Light-Emitting Diodes." *Journal of Polymer Science Part B: Polymer Physics*: vol. 41, no. 21, November 2003, pp. 2691–2705.
117. X. Gong, J. C. Ostrowski, G. C. Bazan, D. Moses, and A. J. Heeger. "Red Electrophosphorescence from Polymer Doped with Iridium Complex." *Applied Physics Letters*: vol. 81, no. 20, November 2002, pp. 3711–3713.
118. W. L. Yu, J. Pei, Y. Cao, and W. Huang. "Hole-injection Enhancement by Copper Phthalocyanine (CuPc) in Blue Polymer Light-Emitting Diodes." *Journal of Applied Physics*: vol. 89, no. 4, February 2001, pp. 2343–2350.
119. S. D. Kan, X. D. Liu, F. Z. Shen, J. Y. Zhang, Y. G. Ma, G. Zhang, Y. Wang, and B. C. Shen. "Improved Efficiency of Single-Layer Polymer Light-Emitting Devices with Poly(vinylcarbazole) Doubly Doped with Phosphorescent and Fluorescent Dyes as the Emitting Layer." *Advanced Functional Materials*: vol. 13, no. 8, August 2003, pp. 603–608.
120. R. G. Sun, Y. Z. Wang, Q. B. Zheng, H. J. Zhang, and A. J. Epstein. "1.54  $\mu\text{m}$  Infrared Photoluminescence and Electroluminescence from an Erbium Organic Compound." *Journal of Applied Physics*: vol. 87, no. 10, May 2000, pp. 7589–7591.
121. S. Kim, J. Seo, H. K. Jung, J. J. Kim, and S. Y. Park. "White Luminescence from Polymer Thin films Containing Excited-State Intramolecular Proton-Transfer Dyes." *Advanced Materials*: vol. 17, no. 17, September 2005, pp. 2077–2082.
122. C. I. Chao and S. A. Chen. "White Light Emission from Exciplex in a Bilayer Device with Two Blue Light-Emitting Polymers." *Applied Physics Letters*: vol. 73, no. 4, July 1998, pp. 426–428.
123. X. Gong, S. Wang, D. Moses, G. C. Bazan, and A. J. Heeger. "Multilayer Polymer Light-Emitting Diodes: White-light Emission with High Efficiency." *Advanced Materials*: vol. 17, no. 17, September 2005, pp. 2053–2058.
124. J. S. Huang, K. X. Yang, Z. Y. Xie, S. Y. Liu, and H. J. Jiang. "High Brightness White Light-Emitting Organic Electroluminescent Devices Using Poly(N-vinylcarbazole) as a Hole-Transporter." *Optical and Quantum Electronics*: vol. 33, no. 2, February 2001, pp. 165–172.
125. J. Niziol, A. Danel, E. Gondek, P. Armatys, J. Sanetra, and G. Boiteux. "Pyrazoloquinolines - Alternative Chromophores for Organic LED Fabrication." *Macromolecular Symposia*: vol. 212, April 2004, pp. 473–478.
126. Z. He, A. Danel, and G. H. W. Milburn. "Thin-Layer Photoluminescence and Electroluminescence Observed from Pyrazoloquinoline-Doped Polymer Matrices." *Journal of Luminescence*: vols. 122-123, January–April 2007, pp. 605–609.
127. W. H. Flora, H. K. Hall, and N. R. Armstrong. "Guest Emission Processes in Doped Organic Light-Emitting Diodes: Use of Phthalocyanine and Naphthalocyanine near-IR Dopants." *Journal of Physical Chemistry B*: vol. 107, no. 5, February 2003, pp. 1142–1150.
128. Y.-m. Shi, Z.-b. Deng, D.-h. Xu, Z. Chen, and X.-f. Li. "Quantum Well Organic Light Emitting Diodes with Ultra Thin Rubrene Layer." *Displays*: vol. 28, no. 2, April 2007, pp. 97–100.

129. A. Ashkin, G. D. Boyd, J. M. Dziedzic, R. G. Smith, A. A. Bellman, J. J. Levinstein, and K. Nassau. "Optically Induced Refractive Index Inhomogeneities in LiNbO<sub>3</sub> and LiTaO<sub>3</sub>." *Applied Physics Letters*: vol. 9, no. 1, 1966, pp. 72–74.
130. F. Yu and S. Yin, eds., *Photorefractive Optics: Materials, Properties, and Applications*. San Diego, CA: Academic Press, 2000.
131. P. Günter and J. P. Huignard, eds., *Photorefractive Materials and Their Applications, I, Basic Effects, volume 113 of Springer Series in Optical Sciences*. Berlin: Springer Verlag, 2006.
132. M. Yamamoto, S. R. Marder, and B. Kippelen. Polymer, producing method thereof, and photorefractive composition. US Patent 6 610 809, assigned to Nitto Denko Corporation (Osaka, JP) and Arizona Board of Regents on behalf of the University of Arizona (Tucson, AZ), 26 August 2003.
133. S. P. Ducharme, W. E. Moerner, J. C. Scott, and R. J. Twieg. Photorefractive materials. US Patent 5 064 264, assigned to International Business Machines Corporation (Armonk, NY), 12 November 1991.
134. F. Aslam, D. J. Binks, M. D. Rahn, D. P. West, P. O'Brien, N. Pickett, and S. Daniels. "Photorefractive Performance of a CdSe/ZnS Core/Shell Nanoparticle-Sensitized Polymer." *Journal of Chemical Physics*: vol. 122, no.18, May 2005, p. 84713.
135. F. Aslam, D. J. Binks, M. D. Rahn, D. P. West, P. O'Brien, and N. Pickett. "Photorefractive Performance of Polymer Composite Sensitized by cdse Nanoparticles Passivated by 1-hexadecylamine." *Journal of Modern Optics*: vol. 52, no. 7, May 2005, pp. 945–953.
136. G. B. Jung, T. Mutai, R. Fujimura, S. Ashihara, T. Shimura, K. Araki, and K. Kuroda. "Temperature Dependence of Photorefractive Properties of PVK-Based Composites." *Japanese Journal of Applied Physics: Part 1*, vol. 43, no. 12, December 2004, pp. 8316–8321.
137. D. Wright, U. Gubler, Y. Roh, W. E. Moerner, M. He, and R. J. Twieg. "High-Performance Photorefractive Polymer Composite with 2-Dicyanomethylen-3-cyano-2,5-Dihydrofuran Chromophore." *Applied Physics Letters*: vol. 79, no. 26, December 2001, pp. 4274–4276.
138. D. Van Steenwinckel, E. Hendrickx, A. Persoons, K. Van den Broeck, and C. Samyn. "Influence of the Chromophore Ionization Potential on Speed and Magnitude of Photorefractive Effects in Poly(N-vinylcarbazole) Based Polymer Composites." *Journal of Chemical Physics*: vol. 112, no. 24, June 2000, pp. 11030–11037.
139. Z. J. Chen, F. Wang, C. Yao, Z. W. Huang, Q. H. Gong, Y. W. Chen, and H. Y. Chen. "A fast-Response and Short-Wavelength Nonlinear Optical Chromophore for a Photorefractive Composite." *Applied Physics Letters*: vol. 73, no. 25, December 1998, pp. 3629–3631.
140. K. Meerholz, B. L. Volodin, Sandalphon, B. Kippelen, and N. Peyghambarian. "A Photorefractive Polymer with High Optical Gain and Diffraction Efficiency near 100%." *Nature*: vol. 371, 1994, pp. 497–500.

141. K. Tamura, A. B. Padias, H. K. Hall, Jr., and N. Peyghambarian. "New Polymeric Material Containing the Tricyanovinylcarbazole Group for Photo-Refractive Applications." *Applied Physics Letters*: vol. 60, 1992, pp. 1803–1805.
142. T. Kawakami and N. Sonoda. "Photoinduced Refractive Index Change in a Photoconductive Electrooptical Polymer." *Applied Physics Letters*: vol. 62, 1993, pp. 2167–2169.
143. D. Van Steenwinckel, C. Engels, E. Gubbelmans, E. Hendrickx, C. Samyn, and A. Persoons. "Fully Functionalized Photorefractive Polymethacrylates with Net Gain at 780 nm." *Macromolecules*: vol. 33, 2000, pp. 4074–4079.
144. Y. W. Chen, Y. K. He, H. Y. Chen, F. Wang, Z. J. Chen, and Q. H. Gong. "Photorefractive Effect in a New Bi-Functional Host Polymer Based Composite." *Journal of Modern Optics*: vol. 46, no. 6, May 1999, pp. 1003–1010.
145. C. Engels, D. Van Steenwinckel, E. Hendrickx, M. Schaeerlaekens, A. Persoons, and C. Samyn. "Efficient Fully Functionalized Photorefractive Polymethacrylates with Infrared Sensitivity and Different Spacer Lengths." *Journal of Materials Chemistry*: vol. 12, no. 4, 2002, pp. 951–957.
146. Y. W. Chen, Y. K. He, H. Y. Chen, F. Wang, Z. J. Chen, and Q. H. Gong. "Photorefractive Effect in a New Composite Based on Bifunctional Host Polymer." *Journal of Applied Polymer Science*: vol. 77, no. 1, July 2000, pp. 189–194.
147. E. Hattmer, M. Brehmer, R. Zentel, E. Mecher, D. Muller, and K. Meerholz. "Poly(4-diphenyl-aminostyrenes): New Polymers for Electrooptics." *Polymer Preprints (ACS)*: vol. 41, no. 1, 2000, pp. 785–786.
148. O. P. Kwon, S. H. Lee, G. Montemezzani, and P. Gunter. "Layer-Structured Photoconducting Polymers: A New Class of Photorefractive Materials." *Advanced Functional Materials*: vol. 13, no. 6, June 2003, pp. 434–438.
149. D. Day, M. Gu, and A. Smallridge. "Two-photon Optical Storage in Photorefractive Polymers in the Near-Infrared Spectral Range." In: *Infrared Holography for Optical Communications, volume 86 of Topics in Applied Physics*. Berlin: Springer-Verlag, 2002, pp. 75–90.
150. G. B. Jung, K. Honda, T. Mutai, O. Matoba, S. Ashihara, T. Shimura, K. Araki, and K. Kuroda. "Structural Design of Nonlinear Optical Chromophores for High-Performance Photorefractive Polymers." *Japanese Journal of Applied Physics: Part 1*, 42(5A), May 2003, pp. 2699–2704.
151. C. Fuentes-Hernandez, J. Thomas, R. Termine, G. Meredith, N. Peyghambarian, B. Kippelen, S. Barlow, G. Walker, S. R. Marder, M. Yamamoto, and K. Cammack, K. Matsumoto. "Video-rate Compatible Photorefractive Polymers with Stable Dynamic Properties under Continuous Operation." *Applied Physics Letters*: vol. 85, no. 11, September 2004, pp. 1877–1879.
152. E. H. Mecher, C. Brauchle, H. H. Horhold, J. C. Hummelen, and K. Meerholz. "Comparison of New Photorefractive Composites Based on a Poly(phenylene vinylene) Derivative with Traditional Poly(N-vinylcarbazole) Composites." *Physical Chemistry Chemical Physics*: vol. 1, no. 8, April 1999, pp. 1749–1756.

153. D. Wright, U. Gubler, W. E. Moerner, M. S. DeClue, and J. S. Siegel. "Photorefractive Properties of Poly(siloxane)-Triarylamine-Based Composites for High-Speed Applications." *Journal of Polymer Science Part B*: 107(20), May 2003, pp. 4732–4737.
154. F. Wang, Z. J. Chen, B. Zhang, Q. H. Gong, K. W. Wu, X. S. Wang, B. W. Zhang, and F. Q. Tang. "Nanometer-Au-Particle-Enhanced Photorefractivity in a Polymer Composite." *Applied Physics Letters*: vol. 75, no. 21, November 1999, pp. 3243–3245.
155. O. L. Antipov, I. V. Yurasova, and G. A. Domrachev. "Optical Nonlinearity of Fullerene-Doped Polymer Nanocomposites." *Quantum Electronics*: vol. 32, no. 9, September 2002, pp. 776–780.
156. J. Ortiz, F. Fernandez-Lazaro, A. Sastre-Santos, J. A. Quintana, J. M. Villalvilla, P. Boj, M. A. A. Diaz-Garcia, J. A. Rivera, S. E. Stepleton, C. T. Cox, and L. Echegoyen. "Synthesis and Electrochemical and Photorefractive Properties of New Trinitrofluorenone-C-60 Photo-Sensitizers." *Chemistry of Materials*: vol. 16, no. 24, November 2004, pp. 5021–5026.
157. J. D. Luo, J. G. Qin, H. Kang, and C. Ye. "A Postfunctionalization Strategy to Develop PVK-Based Nonlinear Optical Polymers with a High Density of Chromophores and Improved Processibility." *Chemistry of Materials*: vol. 13, no. 3, March 2001, pp. 927–931.
158. N. Nagayama and M. Yokoyama. "Optical Correlation System by Use of Photorefractive Polymer." *Molecular Crystals and Liquid Crystals Science and Technology*: Sect. A, 327, 1999, pp. 19–22.
159. S. Tanaka, S. Kurihara, N. Nagayama, and M. Yokoyama. "Improvement in Thermal Stability and Temperature Dependence of Diffractivity in low-t-g Photorefractive Polymers Dispersed with Plasticizers." *Japanese Journal of Applied Physics*: Part 1, 43(9A), September 2004, pp. 6097–6100.
160. E. J. Smiley, D. J. McGee, C. Salter, and C. R. Carlen. "Diffraction Efficiency and Phase Stability of Poly(N-vinylcarbazole)-Based Photorefractive Polymer Composites as a Function of azo-dye Concentration." *Journal of Applied Physics*, vol. 88, no. 8, October 2000, pp. 4910–4912.
161. S. P. Ducharme, W. E. Moerner, J. C. Scott, and R. J. Twieg. Photorefractive materials. US Patent 5 460 907, assigned to International Business Machines Corporation (Armonk, NY), 24 October 1995.
162. P. Dean, M. R. Dickinson, and D. P. West. "Full-field Coherence-Gated Holographic Imaging through Scattering Media Using a Photorefractive Polymer Composite Device." *Applied Physics Letters*: vol. 85, no. 3, July 2004, pp. 363–365.
163. E. Hendrickx, Y. D. Zhang, K. B. Ferrio, J. A. Herlocker, J. Anderson, N. R. Armstrong, E. A. Mash, A. P. Persoons, N. Peyghambarian, and B. Kippelen. "Photoconductive Properties of PVK-Based Photorefractive Polymer Composites Doped with fluorinated Styrene Chromophores." *Journal of Materials Chemistry*: vol. 9, no. 9, September 1999, pp. 2251–2258.
164. P. A. Blanche, B. Kippelen, A. Schulzgen, C. Fuentes-Hernandez, G. Ramos-Ortiz, J. F. Wang, E. Hendrickx, N. Peyghambarian, and S. R. Marder. "Photorefractive Polymers Sensitized by Two-Photon Absorption." *Optics Letters*: vol. 27, no. 1, January 2002, pp. 19–21.

165. R. Sivaraman, S. J. Clarson, B. K. Lee, A. J. Steckl, and B. A. Reinhardt. "Photoluminescence Studies and Read/Write Process of a Strong Two-Photon Absorbing Chromophore." *Applied Physics Letters*: vol. 77, no. 3, July 2000, pp. 328–330.
166. D. Day and M. Gu. "Use of Two-Photon Excitation for Erasable-Rewritable Three-Dimensional Bit Optical Data Storage in a Photo-Refractive Polymer." *Optics Letters*: vol. 24, no. 14, July 1999, pp. 948–950.
167. K. D. Harris, R. Ayachitula, S. J. Strutz, L. M. Hayden, and R. J. Twieg. "Dual-use chromophores for photorefractive and irreversible photochromic applications." *Applied Optics*: vol. 40, no. 17, June 2001, pp. 895–2901.
168. R. Bittner, C. Brauchle, and K. Meerholz. "Influence of the Glass-Transition Temperature and the Chromophore Content on the Grating Buildup Dynamics of Poly(N-vinylcarbazole)-Based Photorefractive Polymers." *Applied Optics*: vol. 37, no. 14, May 1998, pp. 2843–2851.
169. F. Wang, B. Zhang, Q. H. Gong, P. Wang, Z. M. Feng, and C. Ye. "Reversible and Irreversible Index Gratings in a NPP-doped low-t-g Polymer Composite." *Journal of Modern Optics*: vol. 48, no. 1, January 2001, pp. 47–53.
170. J.-M. Nunzi. "Organic Photovoltaic Materials and Devices." *Comptes Rendus Physique*: vol. 3, no. 4, 2002, pp. 523–542.
171. G. Yu, G. Srdanov, J. Wang, H. Wang, Y. Cao, and A. J. Heeger. "Large Area, Full-Color, Digital Image Sensors Made with Semiconducting Polymers." *Synthetic Metals*: vols. 111-112, 2000, pp. 133–137.
172. A. Goetzberger, C. Hebling, and H.-W. Schock. "Photovoltaic Materials, History, Status and Outlook." *Materials Science and Engineering Reports*: vol. 40, no. 1, January 2003, pp. 1–46.
173. F.-C. Chen, Q. Xu, and Y. Yang. "Enhanced Efficiency of Plastic Photo-voltaic Devices by Blending with Ionic Solid Electrolytes." *Applied Physics Letters*: vol. 84, 2004, pp. 3181–3183.
174. K. M. Coakley and M. D. McGehee. "Conjugated Polymer Photovoltaic Cells." *Chemistry of Materials*: vol. 16, 2004, pp. 4533–4542.
175. F. C. Krebs, J. E. Carle, N. Cruys-Bagger, M. Andersen, M. R. Lilliedal, M. A. Hammond, and S. Hvidt. "Lifetimes of Organic Photovoltaics: Photochemistry, Atmosphere Effects and Barrier Layers in ITO MEHPPV: PCBM-Aluminium Devices." *Solar Energy Materials and Solar Cells*: vol. 86, 2005, pp. 499–516.
176. G. Yu, J. Gao, J. C. Hummelen, F. Wudl, and A. J. Heeger. "Polymer Photo-Voltaic Cells: Enhanced Efficiencies via a Network of Internal Donor-Acceptor Heterojunctions." *Science*: vol. 270, December 1995, pp. 1789–1791.
177. J. Rostalski and D. Meissner. "Monochromatic Versus Solar Efficiencies of Organic Solar Cells." *Solar Energy Materials and Solar Cells*: vol. 61, no. 1, February 2000, pp. 87–95.
178. H. R. Kerp and E. E. van Faassen. "Effects of Oxygen on Exciton Transport in Zinc Phthalocyanine Layers." *Chemical Physics Letters*: vol. 332, nos. 1-2, December 2000, pp. 5–12.

179. D. Gebeyehu, M. Pfeiffer, B. Maennig, J. Drechsel, A. Werner, and K. Leo. "Highly Efficient p-i-n Type Organic Photovoltaic Devices." *Thin Solid Films*: vols. 451-452, March 2004, pp. 29-32.
180. M. A. Loi, P. Denk, H. Hoppe, H. Neugebauer, C. Winder, D. Meissner, C. Brabec, N. S. Sariciftci, A. Gouloumis, and a. Vazquez et. "Long-Lived Photoinduced Charge Separation for Solar Cell Applications in Phthalocyanine-Fulleropyrrolidine Dyad Thin films." *Journal of Materials Chemistry*: vol. 13, no. 4, April 2003, pp. 700-704.
181. R. Yang, R. Tian, J. Yan, Y. Zhang, J. Yang, Q. Hou, W. Yang, C. Zhang, and Y. Cao. "Deep-red Electroluminescent Polymers: Synthesis and characterization of New Low-Band-Gap Conjugated Copolymers for Light-Emitting Diodes and Photovoltaic Devices." *Macromolecules*: vol. 38, 2005, pp. 244-253.
182. H. Neugebauer, M. A. Loi, C. Winder, N. S. Sariciftci, G. Cerullo, A. Gouloumis, P. Vazquez, and T. Torres. "Photophysics and Photo-Voltaic Device Properties of Phthalocyanine-Fullerene Dyad: Conjugated Polymer Mixtures." *Solar Energy Materials and Solar Cells*: vol. 83, nos. 2-3, June 2004, pp. 201-209.
183. R.-Y. Tian, R.-Q. Yang, Q.-M. Zhou, J.-B. Peng, and Y. Cao. "Performances of Photovoltaic Cells Based on Se-containing Low-Bandgap Polymer." *Huanan Ligong Daxue Xuebao, Ziran Kexueban* (Journal of South China University of Technology): vol. 33, no. 18, 2005, pp. 6-9.
184. R.-Y. Tian, R.-Q. Yang, J.-B. Peng, and Y. Cao. "Efficient Photovoltaic Cells from Low Band-Gap fluorene-Based Copolymer." *Chinese Physics*: vol. 14, 2005, pp. 1032-1035.
185. Q. Zhou, Q. Hou, L. Zheng, X. Deng, G. Yu, and Y. Cao. "Fluorene Based Low Band-Gap Copolymers for High Performance Photovoltaic Devices." *Applied Physics Letters*: vol. 84, 2004, pp.1653-1655.
186. C. Yang, H. Li, Q. Sun, J. Qiao, Y. Li, Y. Li, and D. Zhu. "Photovoltaic Cells Based on the Blend of MEH-PPV and Polymers with Substituents Containing C60 moieties." *Solar Energy Materials and Solar Cells*: vol. 85, 2004, pp. 241-249.
187. J. Qiao, C. Yang, Q. He, F. Bai, and Y. Li. "Hyperbranched Conjugated Polymers for Photovoltaic Applications." *Journal of Applied Polymer Science*: vol. 92, 2004, pp. 1459-1466.
188. F. Zhang, M. Jonforsen, D. M. Johansson, M. R. Andersson, and O. Inganas. "Photodiodes and Solar Cells Based on the n-type Polymer Poly(pyridopyrazine Vinylene) as Electron Acceptor." *Synthetic Metals*: vol. 138, 2003, pp. 555-560.
189. T. W. Lee, O. O. Park, D. H. Choi, H. N. Cho, and Y. C. Kim. "Low-Threshold Blue Amplified Spontaneous Emission in a Statistical Copolymer and its Blend." *Applied Physics Letters*: vol 81, no. 3, July 2002, pp. 424-426.
190. M. A. Diaz-Garcia, S. F. De Avila, and M. G. Kuzyk. "Dye-doped Polymers for Blue Organic Diode Lasers." *Applied Physics Letters*: vol. 80, no. 24, June 2002, pp. 4486-4488.
191. H. Ukuda and M. Ohgane. Optical element and method of manufacturing the same. EP Patent 1 342 557, assigned to Canon KK (Jp), 10 September 2003.

192. G. F. Zamora, C. M. C. Gonzalez, and M. A. D. Franco. Process for obtaining an antistatic polymer based on poly(N-vinylcarbazole). ES Patent 2 092 427, assigned to Univ Pais Vasco; Diputacion Foral De Guipuzcoa, 16 November 1996.
193. H. Nakao, H. Hayashi, T. Yoshino, S. Sugiyama, K. Otobe, and T. Ohtani. "Development of Novel Polymer-Coated Substrates for Straightening and Fixing DNA." *Nano Letters*: vol. 2, no. 5, May 2002, pp. 475–479.
194. The physical and theoretical chemistry laboratory. Chemical and other safety information. Safety web pages, Oxford University, Oxford, 2006. [electronic] <<http://ptcl.chem.ox.ac.uk/MSDS>>.

## بوليميرات (پارا كزيليلىن)

يُرجعُ اكتشاف بوليميرات (پارا-كزيليلىن) (PPX) إلى م. شفارك (M. Szwarc) حوالى عام 1947<sup>1</sup>. لقد وجد أنّ التخلّل الحراري لمادة p-كزيليلىن يُنتج جذر p-كزيليلىل. يتفكك هذا الجذر على نحو متفاوت إلى جذر ثنائي أكثر استقراراً هو p-كينو ثنائي الميثان. الجذر الثنائي مستقرٌ إلى حدّ ما في الطور الغازي، ولكنّه ليس كذلك في الطور السائل. يتكوّن بوليمير غير قابل للانحلال ذو نقطة تليّن (Softening point) عند 175 درجة مئوية. لقد كان شفارك مهتماً بقوة الرابطة في الهيدروجينات العطرية<sup>2</sup>، ولكنه مع ذلك كتب مقالة استعرض فيها الموضوع<sup>3</sup>، ولكن من المحتمل أنّ شهرته تعود أكثر إلى البوليميرات الحبيّة. ثمّ جرى تحسين إجرائيّة التوضيع، وسوّقت من قبل وليام غورام (William Gorham) لدى شركة يونيون كاربايد (Union Carbide)<sup>4,5</sup>. استعمل غورام مركّبات السيكلوفان لزيادة العائد البوليميري. وفي عام 1968 انتقل الترخيص إلى شركة پاراتك للطلاء (Para Tech Coating, Inc.)، التي طوّرت الإجراءيّة إلى حدّ أبعد. وفي الوقت نفسه نجد أنّ الباريلين (Parylene) هي علامة تجارية تستعملها عدّة شركات، وتاريخ الباريلين مُبيّن في شبكة الإنترنت<sup>6</sup>.

أساساً، يمكن النظر إلى PPX بصفته حالة خاصّة من بولي (p-فينيلين ألكيلين). ولكن لم يجر كثيراً تحريّ بوليميرات بمُباعداً ألكيلية أخرى، وجرى وصفها بصفة "الصفّ المنسي من البوليميرات"<sup>7</sup>. نوّكد أنّ PPX يحتوي على زمرة الفينيلين  $\Phi$  وزمرة الإيثيلين في السلسلة الرئيسيّة، أي  $-\Phi-\text{CH}_2-\text{CH}_2-$ ، وهذا مُماثل لـ  $-\text{CH}_2-\Phi-\text{CH}_2-$ . تتعامل بعض أوراق البحث مع زمرة الفينيلين وزمرة الميثيلين كوحداً متكررة في السلسلة الرئيسيّة، أي  $-\Phi-\text{CH}_2-$ ، وهذا رمزٌ ناقصٌ. يُشار إلى هذا البوليمير الأخير بالقول بولي (p-فينيلين ميثيلين). وفي حالات نادرة يختصر اسم بوليميرات PPX بالقول بولي (p-فينيلين إيثيلين) (PPE)، ولكن من السائد استعمال الاختصار PPE دلالة على بولي (فينيلين إيثير).



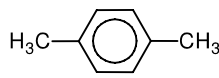
## الجدول (1-2): المونوميرات في حالة بوليمير PPX

المرجع	المونومير
1	p-كزيلين
9,8	[2,2] پارا سيكلوفان
10	4-فينيل بيفينيل
11	4-إيثيل [2,2] پارا سيكلوفان (Parylene E)
13,12	أمينو [2,2] پارا سيكلوفان
14	ثنائي سيانو [2,2] پارا سيكلوفان
15	4-كربوكسيل [2,2] پارا سيكلوفان
16	$\alpha,\alpha',\alpha,\alpha'$ -رباعي فلورو-p-كزيلين
17	ثنائي كلورو -[2,2] پارا سيكلوفان
18	3-(5-فينيل بنتيل)-(4-ميثيل كلور البنزيل
19	ثنائي كلورو رباعي فلورو [2,2] پارا سيكلوفان
20	4،1-بيس(تري فلورو ميثيل) بنزين (Parylene F)
21	1،1،2،2،9،10،10،10-ثمانى فلورو [2,2] پارا سيكلوفان
22	4،1-بيس(فينوكسي ميثيل) بنزين
22	4،1-بيس[(فينيل ميثوكسي) ميثيل] بنزين
23	p-كزيلين ثنائي الأستات
23	p-كزيلين ثنائي البروبيونات

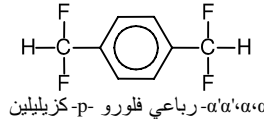
### 1.2. المونوميرات

يلخص الجدول (1-2) والشكل (1-2) المونوميرات في PPX. وتتنمي طلائع المونوميرات الشائعة إلى صفّ مركّبات السيكلوفان. ولقد جرى مؤخراً استعراض كيمياء مركّبات السيكلوفان<sup>24</sup>.

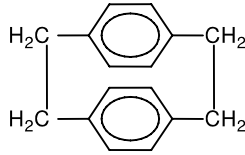
يمكن تحضير [2,2] پارا سيكلوفان بطريقة حذف هوفمان (Hofmann) لـ هيدروكسيد p-ميثيل بنزيل ثلاثي ميثيل أمونيوم بوجود 2-إيميدازوليدينون بصفته مُذيباً مُشاركاً، وإيثرات تاجية، مثل ثنائي ميثيل سلفوكسيد (DMSO) ومركّبات أخرى بصفقتها مُعزّزات التفاعل<sup>9,8</sup>. ولقد جرى ذكر عائد بوليميري أكبر من 70 في المئة.



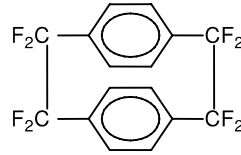
p-كزيلين



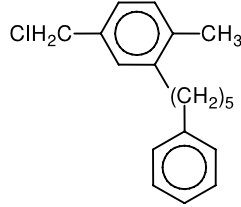
p-كزيلين رباعي فلورو - $\alpha'\alpha'\alpha\alpha$ -



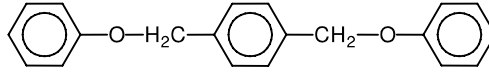
[2.2] پارا سيكلوفان



ثُماني فلورو [2.2] پارا سيكلوفان



3-(5-فَنِيل بنتيل) -4-ميثيل كلور البنزيل



4+1-بيس(فينوكسي ميثيل)بنزين

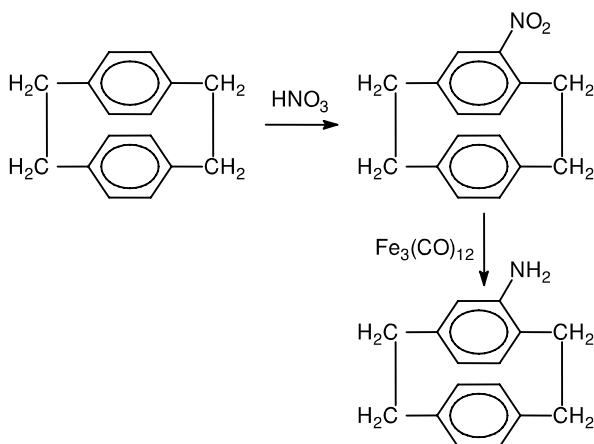
### الشكل (1-2) : مونوميرات مستعملة في PPX

إن اصطناع  $\alpha'\alpha'\alpha\alpha$ -رباعي فلورو-p-كزيلين (TFPX) مكلف نسبياً، ويستغرق زمناً طويلاً، وهو غير ملائم كمنتج تجاري<sup>16</sup>. يمكن الحصول على TFPX بتحضيره بمزج مثيله الكلوري مع فلوريد البوتاسيوم، وتركه يتفاعل مدة 12 ساعة عند درجة حرارة 260 إلى 280 درجة مئوية. وهذا ما يزيد خطر حدوث جلتنة. تخف وطأة هذه المشكلة عند إجراء هذا التفاعل في مذيب مثل السلفولان (Sulfolane). ويضاف ملح فوسفونيوم رباعي بصفته محفزاً لانتقال الطور. يجري تطبيق درجة حرارة أخفض حوالى  $160^\circ\text{C}$ ، ولكن زمن التفاعل يزيد إلى 48 ساعة.

يُحضّر ثُماني فلورو [2.2] پارا سيكوفان بالتقطير المرتد لمحلول رباعي هيدروفوران سداسي ميثيل فوسفورأميد أو DMSO من 4+1-بيس(برومو ثنائي فلورو ميثيل)بنزين. ويُستعمل ثلاثي ميثيل سيليل ثلاثي بوتيل قصدير بصفته عامل إرجاع. يُعطي فلوريد السيزيوم بصفته محفزاً عائداً أكبر (40 في المئة) وذلك مقارنةً بفلوريد البوتاسيوم. ولتسهيل تكوّن الحلقات ينبغي إجراء التفاعل في أنظمة عالية التمديد.

وبدلاً من ذلك يمكن تحضير ثُماني فلورو [2.2]پارا سيكوفان، واثنى عشري فلورو [2.2] پارا سيكوفان بمُعالجة 4،1-بيس(هالو ثنائي فلورو ميثيل) بنزين بمادة  $PbBr_2/Al$  في N،N-ثنائي ميثيل فورم أميد بدرجة حرارة الغرفة من خلال تفاعل قرْن حلقات<sup>26</sup>.

يمكن الوصول إلى أمينو [2.2] پارا سيكوفان وإلى ثنائي أمينو [2.2]پارا سيكوفان وذلك بتفاعل نترتة مع حمض ثلاثي فلوروميثان سلفونيك/حمض الآزوت يليه إرجاع لزمرة النترو باستراتيجية تتضمن ثلاثي حديد اثني عشري الكربونيل. إن  $Fe_3(CO)_{12}$  مُرجع قوي حتى في شروط تفاعل معتدلة<sup>12</sup>. وتستعمل الإيثرات التاجية بصفتها محفزات لانتقال الطور. يبيّن الشكل (2-2) مخطّط هذا التفاعل.



الشكل (2-2): اصطناع أمينو [2.2]پارا سيكوفان<sup>12</sup>

يجري استعمال المونوميرات الحاملة للوظائف بصفتها زمر إرساء (Anchor groups) لتعديل السطوح في التطبيقات الطبية. وإلى جانب مركّبات السيكلوفان، نجد أيضاً إيثرات الكزيلين مناسبة لتشكيل PPX بطريقة توضع الأبخرة كيميائياً (CVD). الإيثرات المناسبة هي 4،1-بيس(فينوكسي ميثيل) بنزين و 4،1-بيس[(فينيل ميثوكسي)ميثيل] بنزين<sup>22</sup>. وتوفّر هذه الإيثرات أيسر من مركّبات السيكلوفان.

## 2.2. البلمرة والتصنيع

لقد جرى اصطناع تشكيلة واسعة من بوليميرات PPX، ولكن لا يباع إلا مواد قليلة منها تجارياً.

### 1.2.2.1. توضع الأبخرة كيميائياً

إن إحدى أولى طرائق تحضير طلاءات p-كزيلين البوليميرية، تتمثل في التحلل الحراري لـ p-كزيلين في درجات حرارة عالية عند 800-1000 درجة مئوية وتحت ضغوط أدنى من الضغط الجوي، يلي ذلك تبريد للأبخرة المتحللة حرارياً إلى درجة حرارة البلمرة بتكثيفها على سطح بارد<sup>27,28</sup>. أثناء عملية التحلل الحراري تتكون جذور فعالة تتبلر عندما يجري تبريدها مجدداً.

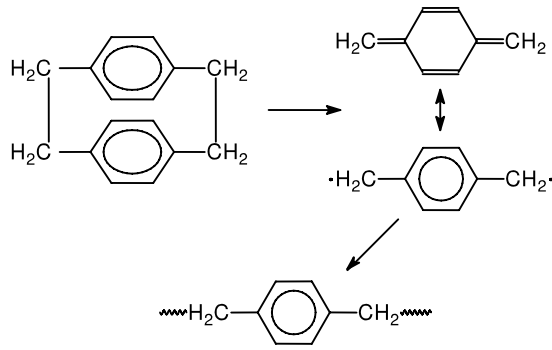
في الحقيقة، تتبع طرائق التحضير الأولى لـ PPX الموصوفة في أدبيات براءة الاختراع طريقة شفارك. ولقد كشف النقاب عن إجرائية تحضير PPX يجري فيها تحليل حراري لأبخرة p-كزيلين بوجود غاز الكلور<sup>28</sup>.

تستعمل إجرائية غورام مركبات [2.2] پارا سيكلوفان بصفتها مواد سابقة أو طبيعية لعملية التوضيع<sup>5</sup>. يجري تبخير هذه المركبات في درجة حرارة 150 درجة مئوية تحت الخلاء، وفي المرحلة اللاحقة تُنقل الأبخرة إلى غرفة تحليل حراري في درجة حرارة 700 درجة مئوية. وهنا يتكون الجذر الاثنائي المونوميري، ثم يصل البخار الفعال إلى غرفة التوضيع بدرجة حرارة الجو المحيط، حيث يتكاثف البخار ويتبلر على السطوح الباردة. ولقد جرى استعراض تقنية توضع الأبخرة كيميائياً للبوليميرات من قبل عدد من الكتاب<sup>29,30</sup>.

يبين الشكل (2-3) آلية البلمرة الأساسية. ولقد جرى وصف جهاز للتوضيع المستمر للأبخرة بهدف طلاء الأشياء<sup>31</sup>.

### 1.1.2.2. مواد الباريلين الحاوية على الفلور

إن الطريقة التقليدية لتصنيع بولي (رباعي فلورو p-كزيلين) (الباريلين F) طريقة صعبة، وتشمل العديد من الخطوات، وأعلى ثمناً من تلك الموافقة لتصنيع الباريلين N. عادة تشمل هذه الطريقة تكوين ديمير 1،1،2،2،9،9،10،10-ثمانى فلورو [2.2] پارا سيكلوفان.



الشكل (2-3): الآلية الأساسية للبلورة بتوضيح الأبخرة كيميائياً<sup>32</sup>

يجري بعد ذلك تحطيم الديميرات في درجة حرارة 720-730 درجة مئوية للحصول على مونومير TFPX.

يمكن استعمال 1،4-بيس (ثلاثي فلورو ميثيل) بنزين مع آثار من  $\alpha,\alpha'$ -ثنائي برومو  $\alpha,\alpha',\alpha,\alpha'$ -رباعي فلورو-p-كزيلين بصفته بادئاً هالوجينياً لإنتاج الباريلين F<sup>20, 33</sup>.

من الجدير بالذكر أن 1،4-بيس (ثلاثي فلورو ميثيل) بنزين متوفر تجارياً. يجري اصطناعه من تريفثال أدهيد، في تفاعل من مرحلتين. في المرحلة الأولى يجرى تفاعل تريفثال أدهيد مع رباعي فلوريد الكبريت عند درجة حرارة 150°C وتحت الضغط للحصول على رباعي فلورو-p-كزيلين. وفي المرحلة الثانية، تجري معالجة المركب بالبروم بتفاعل تحلل ضوئي بوجود N-برومو سكسين إيميد.

يمكن إنتاج أغشية من هذه المركبات الطليعية بنظام تفاعلات تقليدي. وقد وجد أن درجة حرارة السطح الأمثلية للتوضيع هي حوالي 15 درجة مئوية تحت الصفر.

### 2.1.2.2. البوليميرات المشتركة

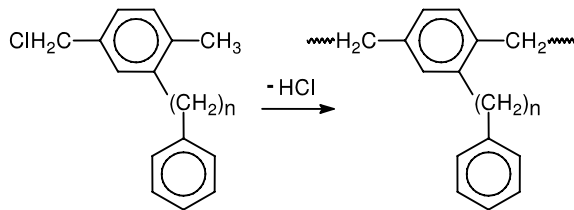
تمكن صياغة خواص مركبات الباريلين بتكوين بوليميرات مشتركة. يتكون الاصطناع من عملية تبخير لمادتين طليعتين في أن معاً مع توضيع لاحق للأبخرة<sup>10</sup>. تشمل المونوميرات المشتركة المناسبة كلاً من p-كزيلين، وكلورو-p-كزيلين، وپرفلورو-أوكتيل ميتاكريلات، و 4-فينيل بيفنيل، وبوجه عام [2.2] پارا سيكلوفان الموظف بزمير هيدروكسي، أو ميثوكسي، أو أمينو، أو تريفلات أو ثلاثي فلورو أسيتيل<sup>34</sup>.

فمثلاً تتيح عملية البلمرة المشتركة توليف ثابت العزل الكهربائي للمنتج. وفي التجهيزات المُصدرة للضوء، يمكن استعمال هذه البوليميرات المشتركة لتوليف طول موجة الضوء الصادر<sup>35</sup>.

### 2.2.2. البلمرة في المحاليل

إنّ اصطناع معظم أنماط PPX بالكيمياء المبلولة يؤدي إلى موادّ عسيرة يصعب التعامل معها، لأنّ هذه المواد غير قابلة للانحلال. ولكن، يمكن تعديل المونومير بسلسلة جانبية مناسبة، للحصول على أنماط طيعة من PPX في حالة سائلة.

إن الاستبدال بزمر ألكيل فنيل على الحلقة العطرية للسلسلة الرئيسية، مفيد في الحصول على أنماط PPX قابلة للانحلال<sup>36,37</sup>. ثمّ تمكن متابعة اصطناع البوليمير باستعمال هذه المونوميرات في محلول THF، أو الديوكسان، أو البنزين. يتكوّن البوليمير بتفاعل إزالة كلور الهيدروجين باستعمال أوكسيد تريت-بوتيل. يبيّن الشكل (2-4) هذا الاصطناع. يُطلق اسم طريق غيلش (Gilch) على تفاعل إزالة هالوجين الهيدروجين هذا.



الشكل (2-4): تفاعل إزالة كلور الهيدروجين من كلور الكزيليل

إنّ PPX الذي جرى فيه استبدال الألكيل-أريل قابلٌ للانحلال بدرجة الحرارة المحيطة، وله درجة انصهار منخفضة نسبياً. يبيّن الجدول (2-2) درجات حرارة الانتقال الزجاجي لبعض بوليميرات PPX المُستبدل فيها الألكيل فنيل.

لقد جرى بنجاح تحضير PPX مُستبدلٍ فيه نوربورنيل. إنّ زمرة نوربورنيل مناسبة لتوظيف البوليمير بوظائف أخرى إضافية. تبقى أنماط PPX ذات زمرة  $CF_3$  المتدلّية قابلة للانحلال، ولكنها تقترب في استقرارها الحراري من PPX النقي. مقارنةً

بالبوليميرات المحضرة بتوضيح الأبخرة كيميائياً تُبدي البوليميرات المحضرة في المحاليل تشتتية بوليميرية (Polydispersity) أخفض<sup>36</sup>.

الجدول (2-2): درجات حرارة الانصهار والانتقال الزجاجي في بوليميرات PPX

المُستبدلة<sup>36,18</sup>

$T_g$ / [°C]	$T_m$ / [°C]	المستبدل
420	-	-
	106	فنيل
	51	بنزيل
137	32	إيثيل فنيل
	5	بروبيل فنيل
86	-3	بوتيل فنيل
	-8	بنثيل فنيل
	177	ترت-بوتيل
	136	نوربورنيل
	89	ثلاثي فلوروميثيل

### 3.2. الخواص

يربط ذرة كلور واحدة إلى حلقة كزيليولين (الباريلين C) يمكن خفض النفوذية للرطوبة وغيرها من الغازات خفضاً جوهرياً. وتتمتع البوليميرات من ثنائي كلور و-p-كزيليولين بخواص كهربائية وحرارية أفضل من خواص بوليميرات PPX العادية. كما إن إدخال ذرات الفلور يحسن المقاومة الحرارية.

#### 1.3.2. الخواص الميكانيكية

يلخص الجدول (2-3) بعض هذه الخواص. يُظهر الباريلين E مع زم p-كزيليولين،<sup>69</sup> في المئة منها ثنائي الإيثيل و25 في المئة وحيد الإيثيل، خواص غير معهودة ضمن مجموعة الباريلين. فهو بصرياً متماثل الجهات تقريباً. ولذلك فإن هذا النوع من الباريلين مرشح لأداء دور أدلة موجات بصرية<sup>39</sup>. وهو يتمتع بدرجة تبلور منخفضة بعد المعالجة الحرارية عند 150 درجة مئوية. كما إنه قابل للانحلال في كلور الميثيلين، والكلوروفورم، والتولوين. الباريلين N مستقر في درجات حرارة تصل إلى 130 درجة مئوية.

تتمتع مركبات الباريلين بثوابت عزل كهربائية تقع بين 2.35 و 3.15. وتنخفض قيمة ثوابت العزل مع ازدياد كمية ذرات الفلور في البوليمير. لذلك يُعدُّ ثنائي فلورو [2.2] پارا سيكلوفان مونوميراً قيماً من هذه الناحية<sup>16</sup>.

الجدول (2-3): خواص الباريلين N<sup>38</sup>

المعيار	الوحدة	القيمة	الخاصة
ASTM D1505	g cm <sup>-3</sup>	1.11	الكثافة
ASTM D570	%	0.1	امتصاص الماء في 24 ساعة
ASTM D1894		0.25	معامل الاحتكاك
ASTM D882	MPa	2410	مِثْل القاطع MD
ASTM D882	MPa	42.1	مقاومة الشد عند الخضوع MD
ASTM D882	MPa	58.6	مقاومة الشد عند الكسر Brk MD
ASTM D882	%	2.5	الاستطالة عند الخضوع MD
ASTM D882	%	140	الاستطالة عند الكسر MD
ASTM D785		85	قساوة روكول (R-Scale) Rockwell
	°C	420	نقطة الانصهار
ASTM C351	J kg <sup>-1</sup> K <sup>-1</sup>	837	الحرارة النوعية عند 20 درجة مئوية
ASTM C177	W m <sup>-1</sup> K <sup>-1</sup>	0.13	الموصلية الحرارية
ASTM D257	Ω	1.0×10 <sup>13</sup>	المقاومة النوعية السطحية
ASTM D257	Ω cm	1.4×10 <sup>17</sup>	المقاومة النوعية الحجمية
ASTM D149	kV mm <sup>-1</sup>	276	قوة العازلية

يتمتع (باريلين N) PPX بثوابت عزل كهربائي منخفض مستقلاً عن التواتر، وله عامل ضياع منخفض أيضاً مما يجعله مثالياً في تطبيقات التواترات العالية.

إنّ طلاءات الباريلين خاملة وشفافة، ولكنّ مركبات الباريلين سيئة الاستقرار ضوئياً، وهذا ما يطرح إشكالية التطبيقات في الهواء الطلق. تؤدي الأشعة فوق البنفسجية بوجود الهواء إلى أكسدة الباريلين<sup>40</sup>. عند جرعات ضئيلة يبدأ التحلل بتكوّن الأدهيد، وعند جرعات أعلى تتكوّن زمر حموض كربوكسيلية إضافية. ولقد وُضع نموذج حركي لشرح إجمالي تفاعل التحلل الضوئي<sup>41</sup>.



## 4.2. تطبيقات

لقد جرى تلخيص خواص وتطبيقات مركّبات الباريلين<sup>42</sup>. يمكن تصنيف مجالات التطبيقات الرئيسية كما يلي :

1. التطبيقات الالكترونية،

2. والتطبيقات الطبيّة.

وفي كلا المجالين تؤدّي هذه البوليمرات مهمّات طلاء وحماية.

### 1.4.2. الطلاءات

يُستعمل الباريلين بصفته طلاء حماية في مجال الإلكترونيات، والطيران، والتطبيقات الطبيّة. يجري تكوين الباريلين على السطوح من الطور الغازي، وذلك بعكس مُعظم تقنيات الطلاء الأخرى التي تعتمد مواد طليعيّة سائلة. الغشاء الناتج رقيق ومتماثل الشكل، ولا يحتوي على ثقوب عند الثخانة الكافية، كما إنّه مُقاوم كيميائياً. تجمع هذه الطلاءات عدّة خواص في آن واحد، مثل العزل الكهربائي، والعزل الكيميائي، والحماية الميكانيكيّة، وقابليّة انزلاق مُحسّنة. كما إنّ ضعف التصاقيّة السطح تجعلانه يرفض الغبار والأتربة.

ولكنّ ضعف التصاقيّة السطح لا يتيح أيضاً إجراء مرحلة طلاء إضافية. يمكن في هذه الحالة تعديل سطح طلاء الباريلين باستعمال طلاء بلازما خاص. بهذا الأسلوب، توضع طبقة بينيّة توفّر التصاقاً جيّداً مع مادّة الركيزة وكذلك مع طلاء الأساس اللاحق. بعد هذه الإجراءيّة، يعود بالإمكان طلاء بوليمير الباريلين الكاره للماء بطلاءات الأساس، سواء منها تلك المحمولة بالمذيبات أو بالماء<sup>43</sup>.

يمكن اكتشاف الثقوب النقطية النفوذة للشوارد باستعمال قياسات فولطائية حلقيّة. تُبدّي الأغشيّة الموضّعة على سطوح حديديّة بطريقة غورام نفوذيّة محسوسة للشوارد عند سماكة غشاء أقلّ من 500 nm. ولكن لا تكون هذه الأغشية نفوذة على الإطلاق في أغشيّة سماكتها 700 nm أو أكثر. تتعلّق النزعة نحو تكوّن الثقوب بدرجة خشونة السطح<sup>44</sup>.

#### 1.1.4.2. طلاءات لمساحيق اللّحام

تُظهر مساحيق اللّحام المطليّة طبقة رقيقة من الباريلين مُقاومة عالية للتأكسد، وللتفاعل مع الصهارة المحتواة في معجون اللّحام، وذلك بدون تدخّل ملموس في خصائص انحسار اللّحام. تُستعمل المساحيق بصفتها أو كمعاجين لحام. إنّ نوع الباريلين المفضّل هو الباريلين E المصنوع من 4-إيثيل [2.2] پارا سيكلوفان لأنّه ينصهر تحت نقطة انصهار اللّحام، أي عند  $180^{\circ}\text{C}$ <sup>45</sup>. نجد في الجدول (2-4) تركيبات معاجين لحام نموذجيّة.

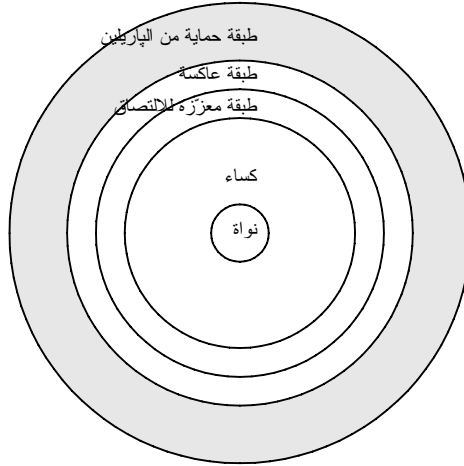
الجدول (2-4) : تركيبات معاجين اللّحام<sup>45</sup>

المركبة	% من الوزن
المعجون 1	
مسحوق لحام مطلي	90.0
راتنج ديميري	3.5
حمض لوريك	1.0
ثلاثي إيثانول أمين	0.5
2-ميثيل-1-بوتانول	4.5
زيت كاستور المهدرج	0.5
المعجون 2	
مسحوق لحام مطلي	90.0
بولي إيثيلين غليكول	4.0
2-ميثيل-1-بوتانول	4.8
حمض بيثين كلور الماء	0.5
إيثيل سللولوز	0.5
حمض كلور الماء	0.2
المعجون 3	
مسحوق لحام مطلي	90.0
راتنج إستري مشتق من الروزن	4.0
تريينول	2.0
2-ميثيل-1-بوتانول	2.0
حمض لوريك	0.5
أحادي إيثانول أمين	0.5
زيت كاستور المهدرج	1.0

#### 2.1.4.2. طلاءات الأدلة الموجية

تُصمَّم الأدلة الموجية لحصر وتوجيه انتشار الأمواج الضوئية. ويتحقق ربحٌ جوهري في الأداء عندما تستعمل مواد عالية الانعكاسية، بالتضافر مع مواد عالية الناقلية البصرية.

يتمتع معدن الفضة بانعكاسية تصل إلى 98 في المئة على كامل الطيف المرئي عند الورود الناظمي. وللمقارنة، نذكر أن الألمنيوم، ذا الاستعمال الأكثر شيوعاً كطبقة عاكسة، يتمتع بانعكاسية قدرها حوالي 93 في المئة عند الورود الناظمي. لذلك تُعدّ الفضة أكثر تميزاً بصفتها مادة عاكسة في مثل هذه التجهيزات. ومع أن معدن الفضة يتمتع بمميزات بصرية ممتازة، إلا أن هناك عدداً من المشاكل المتعلقة باستعماله كمعدن عاكس للضوء. يميل معدن الفضة إلى زوال بريقه عند تعرّضه للجو، وخاصة بوجود الغازات المسببة للصدأ، والملوثات، التي تشمل ثاني أكسيد الكبريت، وكبريت الهيدروجين، وثاني أكسيد الأزوت، والأوزون، وكلور الهيدروجين والحموض العضوية.



الشكل (2-5): دليل موجة من الألياف البصرية (مبسّطاً) <sup>46</sup>

لحماية الطبقة العاكسة من التعرّض للجو المحيط، والمواد المسببة للصدأ والأملاح والرطوبة وغيرها، يجري استعمال طبقة حماية من بوليمير الباريلين <sup>46</sup>. يبيّن الشكل (2-5) مقطعاً عرضياً في دليل موجة من الألياف البصرية. يضم دليل موجة من الألياف البصرية ما يلي :

- نواة من مادة زجاجية أو بوليميرية ناقلة بصرياً.
- كساء مكون من مادة زجاجية أو بوليميرية ناقلة بصرياً ذات قرينة انكسار أصغر من النواة.
- طبقة اختيارية مُعززة للاتصاق.
- طبقة عاكسة.
- طبقة حماية من بوليمير الباريلين تغلف الطبقة العاكسة.

#### 3.1.4.2. طبقات التقوية أو التدعيم

يعود أصل تقنيات التشغيل الميكروي إلى الإلكترونيات الميكروية، حيث يجري وضع معالم صغيرة على شريحة سيليكونية. يمكن تصنيع أغشية مرشحات الجسيمات بتقانات التشغيل الميكروي. تُصنع المرشحات انطلاقاً من غشاء ركيزة يجري تنقيته بثقوب. يمكن أن تأخذ الثقوب أشكالاً مختلفة، كأن تكون دائرية أو سداسية أو مستطيلة. وتتراوح أبعادها من 6 إلى 13 ميكروناً. وبهدف تحسين الخواص الميكانيكية للمرشح يجري طلاء طبقة من بوليمير الباريلين بانتظام على المرشحات وعلى السطوح الداخلية للثقوب<sup>47</sup>. المادة الأساسية التي يُصنع منه المرشح هي نتريد السيليكون. توضع هذه المادة على ركيزة من السيليكون لأهداف تصنيعية. مراحل التصنيع مبينة في الشكل (2-6).

#### 4.1.4.2. لوحات الدارات المطبوعة

تحتاج لوحات الدارات المطبوعة التي تعمل في بيئة قاسية حماية خاصة من الصدأ. وعلى الخصوص هناك حاجة ماسة في عدادات الاستهلاك التجارية، مثل عدادات استهلاك الغاز الطبيعي، وعدادات استهلاك المياه، وعدادات استهلاك الطاقة الكهربائية. كما يمكن بالإضافة إلى ذلك أن يُطلب إصلاح اللوحات، أو المركبات، أو إعادة استعمالها أو استرجاعها.

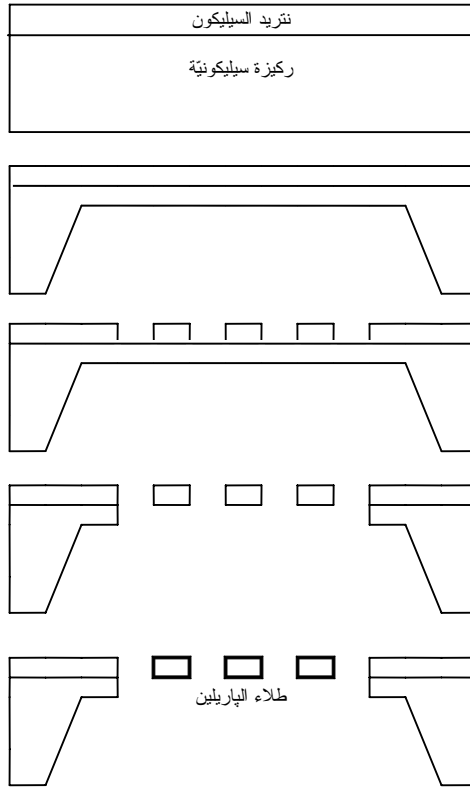
لقد جرى وصف طريقة طلاء تتكوّن من مرحلتين. مرحلة التوضيع الأولى وتتضمّن توضع الباريلين، ومرحلة التوضيع الثانية وتتضمن توضع مائع لزج مانع للصدأ. عادة يجري توضع الباريلين تحت الخلاء<sup>56</sup>.

## 2.4.2. التطبيقات الطبيّة

في مجموعة واسعة التنوّع من التجهيزات الطبيّة تستعمل مركّبات الباريلين بصفّتها طلاءات للحماية. الجدول (2-5) يلخّص بعض هذه التجهيزات.

### 1.2.4.2. تعديل السطح

إنّ تنوّع الزمر الوظيفيّة التي يمكن تحضيرها باللمرة بتوضيع الأبخرة كيميائيّاً يفسح الطريق أمام هندسة سطوح تجهيزات الموائع الميكروية<sup>57</sup>.



الشكل (2-6): تصنيع مرشّح مطلي بالباريلين باستعمال تقنيات التشغيل الميكروي

لقد أمكن تثبيت الأنسولين في مكانه على سطوح مطلية بتوضيع الأبخرة كيميائيّاً، بهدف تحسين التصاق الخلايا ونموّها في شروط المختبر. يمكن لبوليميرات مشتركة من كسرّ أمينو-p-كزيليلين و p-كزيليلين أن تحمل زمر أمين متدلّية، تؤدّي دور مرعاة لحمل الوظائف.

يمكن لزمر الأمينو هذه أن تستعمل لتثبيت مثبتات الثرومبين (مضادات تخثر الدم)، مثل هيرودين-R. إن حمل الوظائف هذا مفيد في التجهيزات التي تكون على تماس مباشر مع الدم. تمثل الدعامات المانعة للتضيّق (شبكات أنبوبية Stents)، أي ذات النزعة الضعيفة نحو إغلاق مجرى الدم، ميداناً من التطبيقات المحتملة<sup>13</sup>.

#### الجدول (2-5) : طلاءات الباريلين في التجهيزات الطبيّة<sup>42</sup>

المراجع	التطبيق
	محاور القسطرات
49, 48	تجهيزات التنظير والجراحة التنظيرية التعويضات الاصطناعية
52, 51	تجهيزات إغلاق الجروح الدعامات المانعة للتضيّق (شبكات أنبوبية)
55, 53	مكونات التعامل مع الدم بالونات القسطرة
	الإبر

#### 2.2.4.2. تحرير الأدوية

لقد جرى استعمال سطح وظيفي مطلي ببوليمير بولي(أمينو-p-كزيليلين) لتثبيت نظام تحرير دواء بوليميري مكوّن من بولي(N-إيزوبروبيل أكريل أميد)-CO-بولي(حمض الأكريليك). ولقد أدرج في نظام تحرير الدواء مُنَبِّط الثرومبين هيرودين-R<sup>58</sup>.

لقد جرى وصف تصنيع الزرعات، كالدعامات مثلاً، مرتبطة مع مواد فعّالة بيولوجياً باستعمال مركّبات الباريلين بصفتها طلاءات، وصفاً مفصلاً<sup>59</sup>.

#### 5.2. الموردون والعلامات التجاريّة

لمّا كان تكوين البوليمير يجري في الغالب عند الاستعمال. يجري عموماً بيع المونوميرات الطليعيّة وليس البوليميرات مصنّعة. وغالباً، عند الحديث عن الباريلين يكون المعنى الحقيقي المقصود هو الديمير الطليعي الموافق.

يجري بيع أنماط متنوعة من الباريلين. هناك أربعة أشكال من الباريلين. الباريلين N هو بوليمير الـp-كزيليلين. الباريلين C أو غالاكسيل الباريلين C وهو بولي (كلورو p-كزيليلين). الباريلين D وهو بولي (ثنائي كلورو-p-كزيليلين). الباريلين HT وهو بولي (2،3،5،6-رباعي فلورو-4،1-فينيلين)(1،2،1،2-رباعي فلورو-1،2-إيثان دي إيل). يبين الجدول (2-6) المنتجين والعلامات التجارية. وتظهر في الجدول (2-7) الأسماء التجارية الواردة في المراجع.

#### الجدول (2-6): أمثلة على بوليميرات الباريلين المتوفرة تجارياً

ملاحظات	المنتج	الاسم التجاري
النوع المكثور	Speciality Coating Systems (SCS)	الباريلين C
النوع الثنائي الكلورة	Speciality Coating Systems (SCS)	الباريلين D
البوليمير العادي	Speciality Coating Systems (SCS)	الباريلين N
النوع المفثور	Speciality Coating Systems (SCS)	الباريلين HT
	Para Tech Coating, Inc	الباريلين (ديميرات)
	Advanced Surfaces Technology, Inc	الباريلين (ديميرات)
	Daisan Kasei Co., Ltd	[2.2] پاراسيكلوفان
	Alpha Metals, Inc.	الباريلين (ديميرات)
ذو البنزويل المُستبدل	Solvay	بريموسبير

#### الجدول (2-7): الأسماء التجارية الواردة في المراجع

المنتج	الاسم التجاري
Schering Corp.	Eulexin® مضاد الأندروجين غير الستيرويدي <sup>51, 52</sup>
Abbott Laboratories Corp.	Hytrin® تحضير الأوعية القلبية <sup>51, 52</sup>
Merck	Proscar® تحضير دوائي لعلاج غدة البروستات <sup>51, 52</sup>
Eli Lilly and Co.	ReoPro® مُثبِّط غليكوبروتيني IIB/IIIa <sup>51</sup>
Bristol-Myers Squibb Co.	Taxol® تحضير مضاد لانتشار المرض <sup>51, 52</sup>

## 6.2. الأمان

لا يُعرَف الكثير عن سميّة مركّبات السيكلوفان. تُبدي مركّبات p-كزيليلين والسيكلوفان، ومركّبات p-كزيليلين المُستبدل فيها هالوجينات مفاعيل سميّة خفيفة<sup>60</sup>. ولكنّ الصفّ البوليميري واسع الاستعمال في التطبيقات الطبيّة. ولقد جرى اختبار السميّة على مستوى الخليّة لبوليمير بولي (2-3)-(4-فينيل بوتيل-1،4-فينيلين إيثيلين) في المختبر وأظهر ذلك سميّة معتدلة<sup>18</sup>.

## المراجع

1. M. Szwarc. "The p-quinodimethane Molecule." *Discussation of the Faraday Society*: 1947, pp.46–49.
2. M. Szwarc. "The C-H Bond Energy in Toluene and Xylene." *Journal of Chemical Physics*: vol. 16, 1948, pp. 128–136.
3. M. Szwarc. "Poly-para-xylelene: Its Chemistry and Application in Coating Technology." *Polymer Engineering and Science*: vol. 16, 1976, pp. 473–479.
4. W. F. Gorham. Alkylated di-p-xylylenes. US Patent 3 117 168, assigned to Union Carbide Corp., 7 January 1964.
5. W. F. Gorham. Para-xylylene polymers. US Patent 3 342 754, assigned to Union Carbide Corp, 19 September 1967.
6. Specialty Coating Systems. Parylene knowledge. [electronic] <[http://www.scscoatings.com/parylene\\_knowledge/history.cfm](http://www.scscoatings.com/parylene_knowledge/history.cfm)>, 2007.
7. D. Steiger, T. Tervoort, C. Weder, and P. Smith. "Poly(p-Phenylene Alkylene)s a Forgotten Class of Polymers." *Macromolecular Rapid Communications*: vol. 21, 2000, pp. 405–422.
8. H. Härtner. Process for the preparation of [2,2]-paracyclophane. US Patent 4 532 369, assigned to Merck Patent GmbH (DE), 30 July 1985.
9. C. Lee and D. R. Bassett. Process for the preparation of the parylene dimer. US Patent 4 769 505, assigned to Union Carbide Corporation (Danbury, CT), 6 September 1988.



10. J. F. Gaynor and S. B. Desu. "Room Temperature Copolymerization to Improve the Thermal and Dielectric Properties of Polyxylylene Thin films by Chemical Vapor Deposition." *Journal of Materials Research*: vol. 9, 1994, pp. 3125–3130.
11. C. E. King and A. J. Gulino. Preformed solder parts coated with parylene in a thickness effective to exhibit predetermined interference colors. US Patent 5 789 068, assigned to Fry's Metals, Inc. (Jersey City, NJ), 4 August 1998.
12. J. Lahann, H. Höcker, and R. Langer. "Synthesis of amino[2.2]Paracyclophanes – Beneficial Monomers for Bioactive coating of Medical Implant Materials." *Angewandte Chemie International Edition*: vol. 40, 2001, pp. 726–728.
13. J. Lahann, D. Klee, and H. Höcker. "CVD-polymerization of a functionalized poly(p-xylylene). a Generally Applicable Method for the Immobilization of Drugs on Medical Implants." *Materialwiss. Werkstofftech.*: vol. 30, 1999, pp. 763–766.
14. S. Y. Park, J. Blackwell, S. N. Chvalun, A. A. Nikolaev, K. A. Mailyan, A. V. Pebalk, and I. E. Kardash. "The Structure of Poly(cyano-p-xylylene)." *Polymer*: vol. 41, no. 8, April 2000, pp. 2937–2945.
15. H. Pu, Y. Wang, and Z. Yang. "Chemical Vapor Deposition Copolymerization of 4-carboxyl-[2,2] Paracyclophane and 4-amino-[2,2] paracyclophane." *Materials Letters*: vol. 61, no. 13, May 2007, pp. 2718–2722.
16. C.-Y. Ho, T.-F. Lin, C.-H. Lin, and S.-J. Wang. Method for synthesizing TFPX. US Patent 7 173 159, assigned to Yuan-Shin Materials Technology Corp. (Taipei, TW), 6 February 2007.
17. H. Maruyama. Process for the preparation of dichloro-(2,2)-paracyclophane. US Patent 5 679 874, assigned to Daisan Kasei Kabushiki Kaisha (Tokyo, JP), October 21, 1997.
18. O. Schäfer, F. Brink-Spalink, B. Smarsly, C. Schmidt, J. H. Wendorff, C. Witt, T. Kissel, and A. Greiner. "Synthesis and properties of  $\omega$ -phenylalkyl-substituted poly(p-xylylene)s prepared by base-induced 1,6dehydrohalogenation." *Macromolecular Chemistry and Physics*: vol. 200, 1999, pp. 1942–1949.
19. H. Maruyama. Dichloro tetrafluoro-{2,2}-paracyclopane, a Process for manufacturing thereof and poly- $\alpha$ ,  $\alpha$ -difluoro-chloro-p-xylylene film prepared therefrom. US Patent 6 194 620, assigned to Daisan Kasei Kabushiki Kaisha (Tokyo, JP), 27 February 2001.

20. L. You, G.-R. Yang, T.-M. Lu, J. A. Moore, and J. F. P. McDonald. Vapor deposition of parylene-F using 1,4-bis(trifluoromethyl) benzene. US Patent 5 268 202, assigned to Rensselaer Polytechnic Institute (Troy, NY), 7 December 1993.
21. W. R. Dolbier and W. F. Beach. "Parylene-AF4: A Polymer with Exceptional Dielectric and Thermal Properties." *Journal of Fluorine Chemistry*: vol. 122, no. 1, July 2003, pp. 97–104.
22. N. T. Tung, Y. J. Yu, K. Kim, S.-H. Joo, and J.-I. Jin. "Synthesis of poly(*p*-xylylene) from  $\alpha, \alpha$ -bis(alkoxy or aryloxy)-*p*-xylenes by Chemical Vapor Deposition Polymerization." *Bulletin of Korean Chemical Society*: vol. 25, 2004, pp. 31–32.
23. P. Simon, S. Mang, A. Hasenhindl, W. Gronski, and A. Greiner. "Poly(*p*-xylylene) and its Derivatives by Chemical Vapor deposition: Synthesis, Mechanism, and Structure." *Macromolecules*: vol. 31, 1998, pp. 8775–8780.
24. R. Gleiter and H. Hopf, eds., *Modern Cyclophane Chemistry*. Weinheim: Wiley-VCH Verlag GmbH and Co. KGaA, 2004.
25. W. R. Dolbier, Jr. and X. X. Rong. Process for the preparation of octafluoro(2,2) paracyclophane. US Patent 5 849 962, assigned to Specialty Coating Systems, Inc. (DE), 15 December 1998.
26. S.-z. Zhu, Y.-y. Mao, G.-f. Jin, C.-y. Qin, Q.-l. Chu, and C.-m. Hu. "A Convenient Preparation of Octafluoro[2,2]Paracyclophane and Dodecafluoro[2,2]Paracyclophane." *Tetrahedron Letters*: vol. 43, no. 4, January 2002, pp. 669–671.
27. T. E. Baker, G. L. Fix, and J. S. Judge. Process for forming polymeric paraxylylene coatings and films possessing improved oxidation resistance. US Patent 4 176 209, assigned to Raytheon Corporation (Lexington, MA), 27 November 1979.
28. L. A. R. Hall. Production of *p*-xylene polymers. US Patent 2 719 131, assigned to Du Pont, 27 September 1955.
29. S. Iwatsuki. "Polymerization of Quinodimethane Compounds." *Advances in Polymer Science*: vol. 58, 1984, pp. 93–120.
30. R. Vedula., S. Kaza, and S. B. Desu. "Chemical Vapor Deposition of Polymers: Principles, Materials and Applications." In: J.-H. Park and T. S. Sudarshan, eds. *Chemical Vapor Deposition, volume 2 of Surface Engineering Series*. Materials Park, OH: ASM International, 2001, chap. 8, pp. 243–285.
31. R. A. Olson, F. W. Kopitzke, III, and J. P. O'Connor. Continuous vapor deposition apparatus. US Patent 5 424 097, assigned to Specialty Coating Systems, Inc. (Indianapolis, IN), 13 June 1995.

32. B. Ratier, Y. S. Jeong, A. Moliton, and P. Audebert. "Vapor Deposition Polymerization and Reactive Ion Beam Etching of Poly(p-xylylene) Films for Waveguide Applications." *Optical Materials*: vol. 12, nos. 2-3, June 1999, pp. 229–233.
33. P. K. Wu, G. R. Yang, L. You, D. Mathur, A. Coccoziello, C. I. Lang, J. A. Moore, T. M. Lu, and H. Bakru. "Deposition of high purity parylene-F using low pressure low temperature chemical vapor deposition." *Journal of Electronic Materials*: vol. 26, no. 8, August 1997, pp. 949–953.
34. J. Lahann and R. Langer. "Novel poly(p-xylylenes): Thin Films with Tailored Chemical and Optical Properties." *Macromolecules*: vol. 35, 2002, pp. 4380–4386.
35. K. M. Vaeth and K. F. Jensen. "Blue Electroluminescent Copolymers by Parylene-based Chemical Vapor Deposition." *Macromolecules*: vol. 33, 2000, pp. 5336–5339.
36. M. Ishaque, S. Agarwal, and A. Greiner. Synthesis and Properties of Novel Poly(p-xylylene)s with Aliphatic Substituents. e-polymers 031/2002 [electronic] <<http://www.e-polymers.org>>.
37. O. Schäfer, A. Greiner, M. Antonietti, and M. Zisenis. "Synthesis and properties of a soluble, rigid poly(p-xylylene) with high molecular weight." *Acta Polymerica*: vol. 47, 1996, pp. 386–390.
38. IDES Integrated Design Engineering Systems. The Plastics Web®. IDES Inc. 209 Grand Avenue Laramie, WY 82070 USA [electronic] <<http://www.ides.com/prospector>>, 2006.
39. J. J. Senkevich, C. J. Mitchell, A. Vijayaraghavan, E. V. Barnat, J. F. McDonald, and T.-M. Lu. "Unique structure/properties of Chemical Vapor Deposited Parylene E." *Journal of Vacuum Science and Technology A*: vol. 20, 2002, pp. 1445–1449.
40. K. G. Pruden, K. Sinclair, and S. Beaudoin. "Characterization of parylene-N and parylene-C photooxidation." *Journal of Polymer Science Part A: Polymer Chemistry*: vol. 41, no. 10, 2003, pp. 1486–1496.
41. K. G. Pruden and S. P. Beaudoin. "Model for the photooxidation of parylenes." *Journal of Polymer Science Part A: Polymer Chemistry*: vol. 42, no. 11, 2004, pp. 2666–2677.
42. R. Wood. "To Protect and Preserve." *Water World*: vol. 8, 2000, pp. 30–32.
43. Q. Yu, J. Deffeyes, and H. Yasuda. "Engineering the Surface and Interface of Parylene C Coatings by Low-Temperature Plasmas." *Progress in Organic Coatings*: vol. 41, no. 4, May 2001, pp. 247–253..

44. P. Hanefeld, F. Sittner, W. Ensinger, and A. Greiner. Investigation of the ion permeability of poly(p-xylylene) films. e-polymers 026/2006 [electronic] <<http://www.e-polymers.org> 2006>.
45. M. W. Sowa and R. D. Jenkinson. Solder pastes. US Patent 5 328 522, assigned to Union Carbide Chemicals & Plastics Technology Corporation (Danbury, CT), 12 July 1994.
46. R. J. Saccomanno and G. A. West. Metallic coated dielectric substrates. US Patent 6 906 257, assigned to Honeywell International Inc. (Morristown, NJ), 14 June 2005.
47. Y.-C. Tai and X. Yang. Micromachined membrane particle filter using parylene reinforcement. US Patent 6 622 872, assigned to California Institute of Technology (Pasadena, CA), 23 September 2003.
48. C. J. Hess, M. F. Clem, G. W. Knight, K. L. Jambor, and G. L. Long. Vessel harvesting retractor with bilateral electro-surgical ligation. US Patent 6 740 102, assigned to Ethicon, Inc. (Somerville, NJ), 25 May 2004.
49. J. R. Morris. Electro-surgical instrument having a parylene coating. US Patent 5 380 320, assigned to Advanced Surgical Materials, Inc. (Littleton, CO), 10 January 1995.
50. J. G. Furst. Sutures and surgical staples for anastomoses, wound closures, and surgical closures. US Patent 2 005 038 472, assigned to Icon Interventional Systems In (US), 17 February 2005.
51. A. O. Ragheb, B. L. Bates, N. E. Fearnot, T. G. Kozma, W. D. Voorhees, III, and A. H. Gershlick. Coated implantable medical device. US Patent 6 774 278, assigned to Cook Incorporated (Bloomington, IN) MED Institute, Inc. (West Lafayette, IN), 10 August 2004.
52. B. L. Bates, N. E. Fearnot, T. G. Kozma, T. A. Osborne, A. O. Ragheb, J. W. Roberts, and W. D. Voorhees, III. Silver implantable medical device. US Patent 6 530 951, assigned to Cook Incorporated (Bloomington, IN) MED Institute Inc. (West Lafayette, IN), 11 March 2003.
53. A. K. Khair and D. A. Anderson. Coated sleeve for wrapping dilatation catheter balloons. US Patent 5 425 710, assigned to Medtronic, Inc. (Minneapolis, MN), 20 June 1995.
54. D. J. Zarbatany, R. Pintor, and M. Verbeek. Dilatation catheter with varied stiffness. US Patent 6 030 405, assigned to Medtronic Inc. (Minneapolis, MN), 29 February 2000.

55. S. E. Boatman and K. D. Brummett. Flexible stent having a pattern formed from a sheet of material. US Patent 6 409 752, assigned to Cook Incorporated (Bloomington, IN), 25 June 2002.
56. R. L. McCullough, J. L. Wayt, and J. N. Butch. Method of coating printed circuit board. US Patent 6 389 690, assigned to American Meter Company (Scott Depot, WV), 21 May 2002.
57. D. Klee, N. Weiss, and J. Lahann. "Vapor-based polymerization of functionalized [2.2]paracyclophanes: A Unique Approach towards Surface-Engineered Microenvironments." In: R. Gleiter and H. Hopf, eds. *Modern Cyclophane Chemistry*. Weinheim: Wiley-VCH Verlag GmbH & Co. KGaA, 2004, chap. 18, pp. 463-484.
58. A. Roos, D. Klee, K. Schuermann, and H. Höcker. "Development of a Temperature Sensitive Drug Release System for Polymeric Implant Devices." *Biomaterials*: vol. 24, no. 24, November 2003, pp. 4417-4423.
59. N. E. Fearnot, T. G. Kozma, A. O. Ragheb, and W. D. Voorhees. Coated implantable medical device. US Patent 5 609 629, assigned to MED Institute, Inc. (West Lafayette, IN), 11 March 1997.
60. A. D. Frolova, N. A. Minkina, V. G. Vasil'kovskii, O. A. Kuznetsova, E. L. Dolgoplova, E. S. Shaposhnikova, and T. G. Martinson. "Evidence for Control of dichlorodi-p-xylylene, dibromodi-p-xylylene, and di-p-xylylene." *Gigiena Truda i Professional'nye Zabolevaniya*: 1991, pp. 30-32.

## بوليميرات (الآريلين فينيلين)

ينتمي بولي (p-فينيلين فينيلين) (PPV) إلى صف البوليميرات المترافقة المتألفة كهربائياً. تُصدر هذه المواد الضوء عند مرور تيار كهربائي فيها. لهذا السبب يبرز اهتمام حقيقي فيها في مجال أنصاف النواقل العضوية.

نُشرت العديد من أوراق البحث عن هذا الموضوع، وكان معظمها يُركّز على الجوانب الفيزيائية، ولكن، هناك أوراق استعرضت الجوانب الكيميائية، مثل اصطناع هذه الأنماط من البوليميرات<sup>1</sup>.

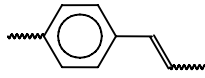
إلى عائلة البوليميرات المترافقة من النمط  $\pi$  نجد إلى جانب PPV أنواعاً أخرى، مثل بولي (p-بيريديل-فينيلين)، وبولي (p-فينيلين إيثينيلين)، وبولي (p-ثينيل فينيلين)، وبولي (3-هكسيل ثيوفين)، وبولي (9،9-ثنائي هكسيل فلورين) بيّن الشكل (3-1) البنية الأساسية لهذه البوليميرات.

### 1.3. المونوميرات

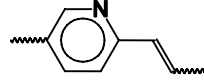
نجد في الجدول (1-3) قائمة بمونوميرات بوليمير PPV، ونستعرضها في الشكل (3-2).

#### الجدول (1-3): المونوميرات في حالة بولي (p-فينيلين فينيلين)

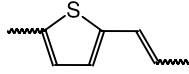
المونومير	ملاحظات
4،1-بيس-(ثنائي كلورو ميثيل)-بنزين	الإجرائية المعهودة
$\alpha\alpha$ -ثنائي برومو-p-كزيلين	لعدة أساليب تفاعل
السيكلوفان المُكلّور	توضيح الأبخرة كيميائياً <sup>2</sup>



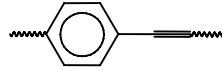
بولي (p-فينيلين فينيلين )



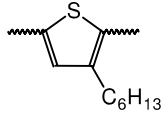
بولي (p-بيريديل - فينيلين )



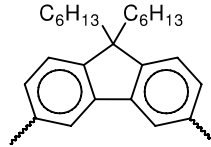
بولي (p-ثينيل فينيلين )



بولي (p-فينيلين إيثينيلين )

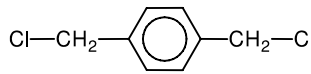


بولي(3-هكسيل ثيوفين )

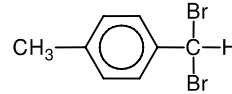


بولي(9,9-ثنائي هكسيل فلورين )

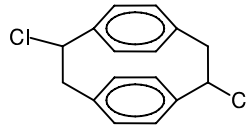
الشكل (1-3): بوليميرات مترافقة من النمط  $\pi$



1,4-بيس - (ثنائي كلورو ميثيل) - بنزين



$\alpha,\alpha$ -ثنائي برومو - p-كزولين



1,1'-ثنائي كلورو [2,2]باراسيكوفان

الشكل (2-3): مونوميرات مستعملة في بولي (p-فينيلين فينيلين )

## 2.3. البلمرة والتصنيع

لمّا كان من غير الممكن التعامل مباشرة مع هذا البوليمير بسبب خواصّه، يجري أولاً اصطناع بوليمير طبيعي، ثمّ يُعالج، على شكل أغشية مثلاً. في هذه الصيغة يجري الحصول على البوليمير النهائي في معالجة أخيرة. ولكن تُبدي بعض أنواع PPV مع بدائل ضخمة قابليّة انحلال في مذيبات عضويّة. يُمثّل بولي (2-ميثوكسي-5-(2'-إيثيل هكسيل أوكسي) -4,1-فينيلين فينيلين ) (MEH-PPV) أحد هذه الأنواع التجاريّة.

لقد جرى وصف طرائق متنوعة لتحضير البوليمير، وكذلك لتحضير البوليمير الطبيعي وذلك بواسطة<sup>1</sup>:

- طليعي السلفونيوم (طريق وسلينغ (Wessling))،
- البلمرة بالمناقلة الفاتحة للحلقات،
- توضيح الأبخرة كيميائياً،
- البلمرة الكهربائية،
- البلمرة بتكاثف إزالة الهيدروهاالوجينات (تفاعل غيلش (Gilch))،
- تحفيز انتقال الطور بإزالة الهيدروهاالوجينات،
- البلمرة الأنيونية.

لقد جرت مناقشة واستعراض هذه التفاعلات وآلياتها بالتفصيل<sup>3</sup>. من أجل التطبيقات في حقل الإلكترونيات من المرغوب أن تكون البوليميرات المكوّنة تامّة الترافق من النمط  $\pi$ . إذ إنّ العيوب مسؤولة عن انخفاض أداء التجهيزات المُصدرة للضوء.

### 1.2.3. طريق طليعي\* السلفونيوم

تتضمّن إجرائيّة التحضير التقليديّة لبوليمير PPV تفاعل 1،4-بيس-(ثنائي كلورو ميثيل)-بنزين مع رباعي هيدروثيوفين في المرحلة الأولى، انظر الشكل (3-3). يمكن بدلاً من رباعي هيدروثيوفين استعمال مركّبات كبريتية أخرى. تجري بلمرة الملح المونوميري بدرجة حرارة من 0 حتى 5 درجات مئوية وبإضافة مادة قلووية. يبقى البوليمير الطليعي الذي نحصل عليه بذلك قابلاً للانحلال، تجري بعد ذلك تنقيته بالتصفية الغشائية Dialysis لإزالة الشوائب ذات الأوزان الجزيئية المنخفضة. وأخيراً، يجري الحصول على البوليمير النهائي بالتسخين. يمكن الحصول على أوزان جزيئية تزيد على 100 كيلو دالتون. ويُعتقد أنّ الوسيط البوليميري يتكوّن بآلية جذرية، لأنّ وجود الأوكسجين يؤدي إلى انخفاض الوزن الجزيئي.

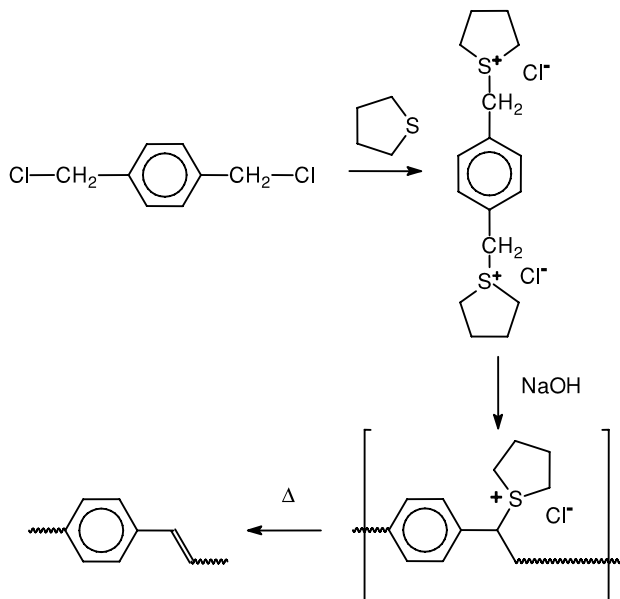
يمكن صنع البوليمير الطليعي، مثلاً، باستعمال الطلي الدوامي، أو الطلي بالتغطيس (Dip-coating)، أو بتقنيات لانغموير-بلودجيت (Langmuir-Blodgett) لتكوين أغشية رقيقة. يجري التحلّل الحراري للمواد في خلاء عالي الدرجة، وفي درجات حرارة من

---

\* طليعي أو بادئ (Precursor)



180 إلى 300 درجة مئوية، على مدى 12 ساعة. وفي المرحلة الأخيرة تجري إزالة كلور الهيدروجين ورباعي هيدروثيوفين.



الشكل (3-3): اصطناع بولي (p-فينيلين فينيلين)

لقد جرى تحضير بوليميرات طليعية لـ PPV حاملة للوظائف ذات زمر إستر وكربوكسيل جانبية<sup>4</sup>. يجري تحويل أملاح رباعي هيدروثيوفينيوم البوليميرية هذه إلى بوليميرات PPV بواسطة طريق السلفونيوم. بعد هذا التحويل يمكن مجدداً تبديل وظائف الكربوكسيل المتدلية بأخرى، مثل وظائف نترو، أو أمينو، أو ألدهيد.

### 2.2.3. سيرورة التقارن المتصالب المحفز بالمعادن الانتقالية

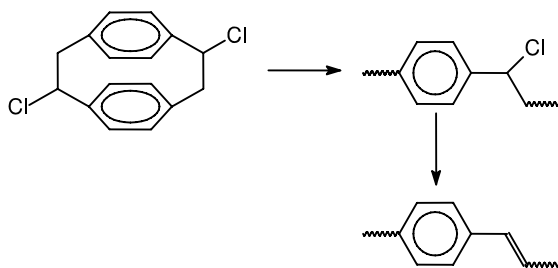
يمكن الوصول إلى بوليميرات PPV بطرائق بلمرة التكاثف المؤسسة على سيرورات التقارن المتصالب المحفز بالمعادن الانتقالية. وهناك عدة تفاعلات معروفة. فعلى سبيل المثال، باستعمال محفزات البالاديوم يُعطي ثنائي فينيل البنزين مع مشتقات ثنائي يودو بنزين مباشرة مشتقات PPV. وفي تفاعل آخر، هو تقارن سوزوكي (Suzuki) تُستعمل أحماض 4،1-أريل ثنائي البورون و 2،1-ثنائي برومو إيثين مع محفز البالاديوم للوصول إلى PPV.

يجب استبدال المونوميرات، وإلا حصلنا مباشرة على بوليمير غير قابل للانحلال. باستعمال بدائل ضخمة، يمكن الحصول على بوليميرات قابلة للانحلال في المذيبات الشائعة، مثل الكلوروفورم، أو N,N-ثنائي ميثيل فورم أميد (DMF)، والميثانول<sup>5</sup>. لا تمكن إزالة المعادن الانتقالية، المستعملة بصفتها محفزات، تماماً من البوليمير. يمكن لهذه البقايا من المعادن الانتقالية أن تسبب مشاكل فيما يتعلق بزمن خدمة المنتج النهائي.

### 3.2.3. توضع الأبخرة كيميائياً

لقد جرى استعراض تقنيات توضع الأبخرة كيميائياً في اصطناع البوليميرات المترافقة من النمط  $\pi$  في الأدبيات<sup>6</sup>. يمكن لهذه الطريقة أن تكون مفيدة جداً في تحضير تنوع واسع من بوليميرات PPV غير القابلة للانحلال، بالأشكال والأبعاد المرغوبة. يعود مجيء هذه التقنية إلى هذا الحقل بعينه إلى عام 1994<sup>7,8</sup>. في ذلك الحين كانت فقط بوليميرات (p-كزيلين) تصنع تجارياً بطريقة توضع الأبخرة كيميائياً. في الحقيقة، يمكن أيضاً الحصول على بوليميرات PPV بتقنيات توضع الأبخرة كيميائياً باستعمال 1،4-بيس-(ثنائي كلورو ميثيل)-بنزين أو  $\alpha,\alpha$ -ثنائي برومو-p-كزيلين أو السيكلوفان المكلور.

يمكن توضع 1،9-ثنائي كلورو [2،2] پاراسيكلوفان على سطح باستعمال وسيط. في المرحلة الثانية يجري حذف كلورالهيدروجين لنحصل على PPV. السيرورة موضحة في الشكل (3-4).



الشكل (3-4): توضع الأبخرة كيميائياً لـ 1،9-ثنائي كلورو [2،2] پاراسيكلوفان

يمكن تصنيع أغشية برقة 10 إلى 100 ميكرون. إحدى مساوئ هذه الطريقة هي أنه ليس من السهولة الوصول إلى مركبات السيكلوفان. لذلك يُفضل استعمال 4،1-بيس (-ثنائي كلورو ميثيل)-بنزين.

إضافة إلى ذلك، تتيح عملية توضع الأبخرة كيميائياً إنتاج بوليميرات مشتركة، وذلك عند توضع مونوميرين في آن معاً<sup>9</sup>. بهذه الطريقة يمكن توليف التآلق الكهربائي. ومن ناحية أخرى، فقد جرى إثبات أنه بالإمكان تحضير بوليميرات مشتركة بوحدات مونوميرية مختلفة انطلاقاً من مونومير واحد، وذلك عند تنويع شروط الحرارة. وهكذا يمكن الحصول على بوليميرات مشتركة مؤلفة من وحدات 4،1-فينيلين فينيلين و 4،1-فينيلين 2،1-إيثان داي إيل انطلاقاً من p-ميثوكسي ميثيل)بنزيل كلوريد بواسطة توضع الأبخرة كيميائياً<sup>10</sup>.

#### 4.2.3. البلمرة بالمناقلة الفاتحة للحلقات

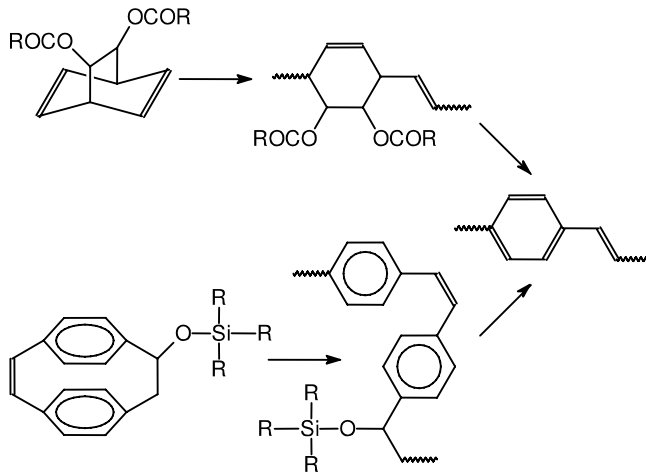
لقد كان غربس<sup>11</sup> (Grubbs) هو في الأصل من بين تحوّل بيسيكلو [2.2.2] أوكتا-2،5-دايين المُستبدل إلى بوليمير طبيعي لبوليمير PPV، بطريقة البلمرة بالمناقلة الفاتحة للحلقات (Ring Opening Metathesis Polymerization : ROMP) وذلك باستخدام محفز مناقلة أساسه الموليبيدينوم. يُصبح البوليمير الطبيعي عطرياً في جوّ خامل عند 280 درجة مئوية، أو بوجود ثلاثي أوكثيل أمين عند 200 درجة مئوية.

جرى لاحقاً استعمال مركبات السيكلوفان المُستبدل فيها سيلوكسي، كمادة انطلاق لعملية بلمرة بالمناقلة الفاتحة للحلقات للحصول على PPV<sup>12</sup>. بيّن الشكل (3-5) الآلية مبسّطة. يتحوّل البوليمير الطبيعي، المكوّن بالبلمرة بالمناقلة الفاتحة للحلقات، إلى البوليمير النهائي بالتحلّل الحراري.

ترتبط إجرائية مناقلة دايين اللاحقيّة (ADMET) بالبلمرة بالمناقلة الفاتحة للحلقات. هنا مونومير البدء هو p-ثنائي فينيل بنزين مُستبدل. أثناء البلمرة يُطرح الإيثين. ولكن لا نحصل إلاّ على بوليميرات منخفضة الوزن الجزيئي بطريقة مناقلة دايين اللاحقيّة.

تعتبر طريقة البلمرة بمناقلة غرينيارد (Grignard) تنوعاً في المناقلات. تجري بلمرة مركبات ثيوفين المُستبدلة بآلية تنمية سلسلة حيّة. يمكن اصطناع بوليمير MEH-PPV المعدل

بالثيوفين انطلاقاً من مونومير طبيعي مع كواشف غرينارد<sup>13</sup>. يبيّن الشكل (3-6) هذه الإجراءية.



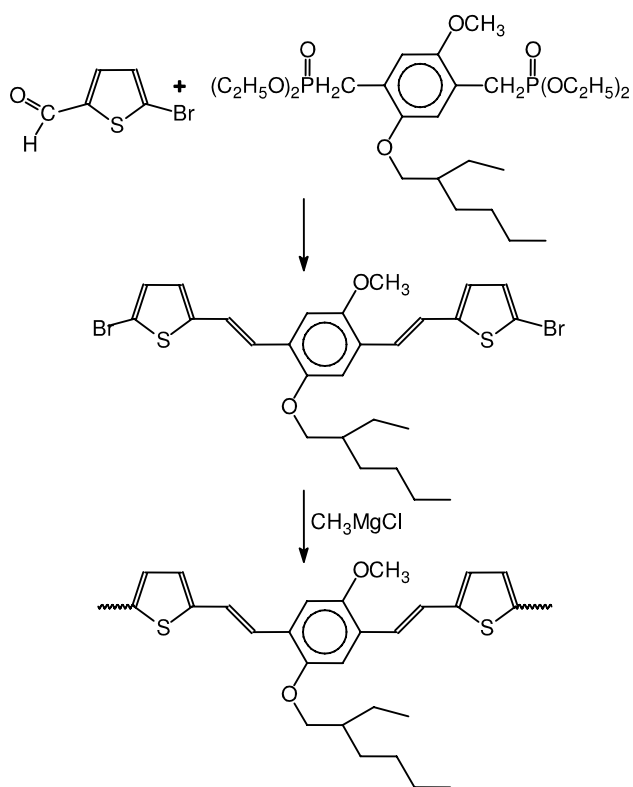
الشكل (3-5): اصطناع PPV بواسطة البلمرة بالمنافلة الفاتحة للحلقات<sup>12,11</sup>

### 5.2.3. البلمرة الكهربائيّة

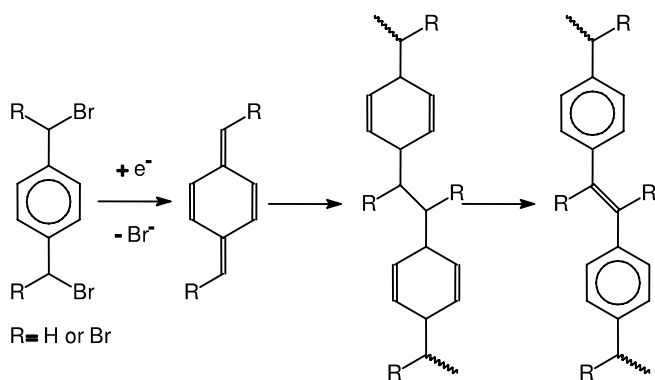
بعكس طرائق التخلّل الحراري والطرائق الكيميائيّة، يمكن في الطرائق الكهركيميائيّة إدخال بدائل واسعة التنوّع. ولكنّ هذه الطريقة ليست مناسبة في حالة مونوميرات مع بدائل من السهل إرجاعها. يبيّن الشكل (3-7) بأسلوب مبسّط عمليّة تكوين PPV ببلمرة كهربائيّة<sup>14</sup>.

يجري التفاعل مروراً بوسيط كينو ثنائي ميثان. عموماً، يجري التفاعل في مذيب لا بروتونيّ (Aprotic)، مثل DMF. ولكن لتحضير بولي (5،2-ثنائي ميثوكسي-1،4-فينيلين فينيلين) قابل للانحلال، يمكن استعمال خلية تدفّق غير مُجزّأة مع تيار ثابت عند مهبط من الرصاص، ومحلّول DMF مائيّ.

يؤدي التحليل الكهربائي المشترك لمركّبات 1،4-بيس-(هالو ميثيل)-آرين إلى بوليميرات مشتركة عشوائيّة<sup>15</sup>. تعطي وظائف الكربوكسيل أملاحاً بوليميريّة قابلة للانحلال بالماء.



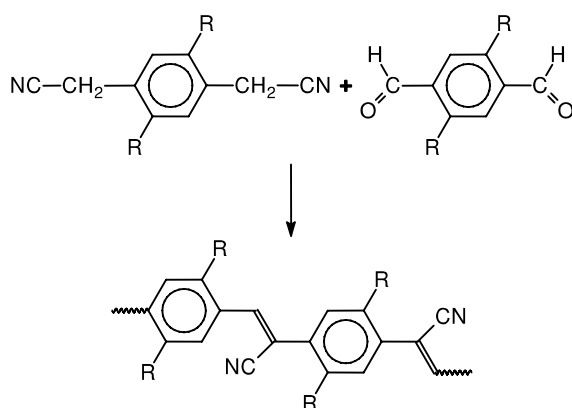
الشكل (6-3): البلمرة بمنافلة غرينيارد<sup>13</sup>



الشكل (7-3): اصطناع بوليمير (p-فينيلين فينيلين) بالبلمرة الكهربية

### 6.2.3. بلمرة بالتكاثف وفق نوفن أنجل

عادة، في البلمرة بالتكاثف وفق نوفن أنجل، يجري تكاثف الترفتاليك ألدهيد مع مركب ببس-(سيانو ميثيل)-بنزين. ولأننا نستعمل مونوميرين اثنين يمكن اصطناع بوليميرات PPV ذات بنية متناوبة تماماً. تتيح البلمرة بالتكاثف وفق نوفن أنجل الاصطناع المناسب لمركبات تكون فيها الروابط المضاعفة في السلسلة الرئيسية مُستبدلة. يُظهر بوليمير PPV المعدل بزمر سيانو نشاط تآلق كهربائي عالٍ<sup>16</sup>. الاصطناع مبيّن في الشكل (8-3). وبأسلوب مماثل، يمكن تكوين PPV بتفاعل فيتينغ (Wittig)<sup>17</sup>.



الشكل (8-3): اصطناع بوليمير PPV مع زمر سيانو متدلّية<sup>16</sup>

### 7.2.3. تفاعل غيلش

في تفاعل غيلش، يجري تكثيف مشتقات ببس-(هالوجين ميثيل) بنزين مع فائض من أساس قوي، مثل تريت-بوتيل كحولات البوتاسيوم للحصول على PPV. يتكوّن بذلك بوليمير طبيعي ذو زمر كلور متدلّية، على نحو مماثل لتلك التي نحصل عليها في بلمرة السيكلوفان، انظر الشكل (4-3)، ولكنّ هذا البوليمير الطبيعي يتحوّل مباشرة إلى PPV بوجود فائض الأساس. ومن ناحية أخرى يمكن عزل البوليمير الطبيعي إذا لم يكن الأساس فائضاً.

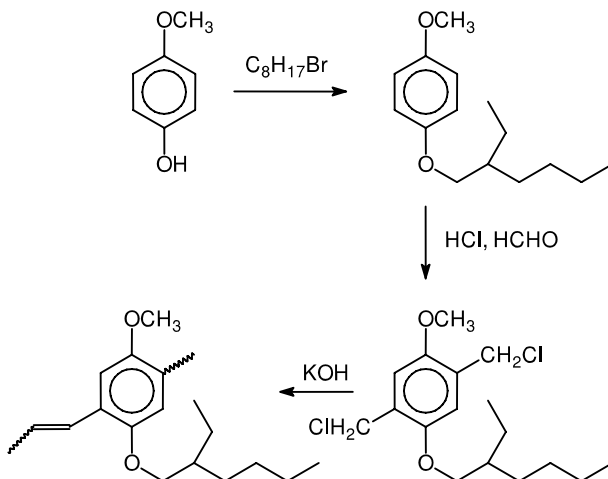
في الأصل، افترض أنّ للتفاعل آلية شاردية خاصة، وأنّ أساساً قوياً يُستعمل لبدء تفاعل البلمرة، ولكنّ بعض النتائج التجريبية لا تدعم مفهوم الآلية الشاردية، بل من المُعتقد

أن سيرورة جذرية، تتكوّن فيها جذور اثنائية، هي التي تقف وراء بدء التفاعل. ما يدعم الآلية الجذرية هو اكتشاف أن 2،6،6،2-رباعي ميثيل بيبريدين-N-أوكسيل يؤدي دور صياد للجذور (Scavenger) للجذور<sup>18</sup>.

### 8.2.3. تحفيز انتقال الطور بإزالة الهيدرومالوجينات

يمكن اصطناع MEH-PPV بتفاعل ثنائي الطور سائل - صلب<sup>19</sup>. يتكوّن الطور السائل من 1،4-بيس-(كلورو ميثيل)-2-ميثوكسي-5-(2-إيثيل هكسيل أوكسي) بنزين المنحلّ في رباعي هيدروفوران (THF) وبروميد رباعي بوتيل أمونيوم بصفته محفزاً لانتقال الطور. أمّا الطور الصلب فيتكوّن ببساطة من جسيمات صغيرة الحجم من هيدروكسيد البوتاسيوم. التفاعل موضّح في الشكل (3-9).

يُظهر البوليمير كتلة كبيرة حوالي 10 كيلو دالتون وتشتتية بوليميرية ضيقة. يمكن طليه دوامياً. وإجرائية مشابهة جرى اصطناع بوليميرات مشتركة من MEH-PPV وبولي (1،5-نفتالين فينيلين) (PNV)<sup>20</sup>. لا ينحلّ PNV في التولوين ولا في THF وذلك بسبب افتقاره لسلاسل جانبية ضخمة متدلّية من سلسلته الرئيسية. يُحسن إقحام كتل من بوليمير MEH-PPV في PNV انحلالية البوليمير المشترك.



الشكل (3-9): اصطناع بوليمير MEH-PPV<sup>19</sup>

### 9.2.3. البلمرة الأنيونية

في تفاعل غيلش تجري إضافة أساس قوي إلى المونوميرات مما يُعطي بوليميرات ذات وزن جزيئي كبير. يمكن الحصول على MEH-PPV بوجود مقادير ضئيلة من بادئ أنيوني، مثل p-ميثوكسي فينول المنزوع البروتون، بعد عكس ترتيب الإضافة. هذا يعني أن المونومير هو الذي يُضاف إلى الأساس. يجري نزع البروتون من p-ميثوكسي فينول بإضافة تريت-بوتوكسيد البوتاسيوم.

لأن ثابت الحموضة  $pK_a$  لـ p-ميثوكسي فينول يُتيح نزعاً كاملاً للبروتون بواسطة تريت-بوتوكسيد البوتاسيوم، فقد اقترح أن يكون الانتشار ناتجاً من هجوم نيوكليوفيلي من قبل الفينوكسيد على كينو ثنائي ميثان وسيط متكوّن من إزالة هيدروهاالوجين المونومير. لقد وُجد أن البلمرة تحت هذه الشروط تعطي بوليميرات ذات قيم تشنّية بوليميرية منخفضة جداً<sup>21</sup>.

يمكن بهذه السهولة إنتاج بوليميرات مُصدرة للضوء الأخضر، وبوليميرات مُصدرة للضوء الأحمر، وذلك باستعمال مونوميرات عطرية، مثل بولي (2-ثنائي ميثيل أوكثيل سيليل)-فينيلين ثينيلين (DMOS-PPV) الذي يُصدر ضوءاً أخضر مُصفاً، والبوليمير MEH-PPV الذي يُصدر الضوء الأحمر. ولقد جرى اصطناع بوليميرات مشتركة كثنائية التعاقب بواحدات ذات دليل تشنّية بوليميرية أقل من 1.5.

إضافة إلى ذلك، يمكن بواسطة طرائق البلمرة الأنيونية الحصول على بوليميرات مشتركة ثنائية الكتل التعاقبية، أو ثلاثيتها، أو بوليميرات متماثلة نجمية، أو بوليميرات مشتركة تعاقبية، وذلك باستعمال بواحد ثنائية الوظيفة أو ثلاثية الوظيفة. تضم البواحد المناسبة كلاً من سولفونيل ثنائي فينول ببسفينول A، وفلوروغلوسينول.

### 10.2.3. غير ما سبق

لما كان من الصعب تشغيل أو معالجة بوليمير PPV الخالص، فلقد جرى وصف عدد متنوع من البوليميرات المرتبطة به أو المعدلة عنه، وعلى وجه الخصوص تلك التي تتمتع ببعض الزمر الجانبية. يلخص الجدول (2-3) هذه الأنواع.



يمكن صنع الـ PPV المُستبدل فيه أمينو، وتحديدًا بولي (2-N,N-ثنائي ميثيل أمينو) (فينيلين فينيلين) بتفاعل ملح بييس-حلقي ألكيلين سلفونيوم مع ماءات الصوديوم عند حوالي صفر درجة مئوية. فيتكوّن بوليمير طليعي هو ملح حلقي ألكيلين سلفونيوم، الذي يجري بعد ذلك تسخينه للحصول على بوليمير PPV المُستبدل فيه أمينو<sup>22</sup>.

**الجدول (3-2) : تنوعات بوليمير (p-فينيلين فينيلين)**

المرجع <sup>a</sup>	البوليمير	الاختصار
26	بولي (5،2-بييس (N-ميثيل-N-هكسيل أمينو) فينيلين فينيلين)	BAMH-PPV
27	بوليمير PPV شجريّ التشعب	BB-PPV
28	بولي (5،2-بييس (كوليستانوكسي) 4،1-فينيلين فينيلين)	BCHA-PPV
29	بولي (15،2-ثنائي أوكسابيسيكلو (2.2.14) إيكوزا 1-19،17-إين فينيلين فينيلين)	BDA-PPV
30	بولي (5،2-بييس (7،3-ثنائي ميثيل أوكثيل أوكسي) 4،1-فينيلين فينيلين)	BDMO-PPV
31	بولي (5،2-بييس (ثنائي ميثيل أوكثيل سيليل) 4،1-فينيلين فينيلين)	BDMOS-PPV
32	PPV مع فينيل مُستبدل	BDMP-PPV
32	PPV مع فينيل مُستبدل	BDP-PPV
33	بولي (بييس (5،2-إبي -كوليستانوكسي -4،1-فينيلين فينيلين)	BeCHA-PPV
34	بولي (5،2-بييس (2-إيثيل هزيل أوكسي) 4،1-فينيلين فينيلين)	BEH-PPV
35	بولي (5،2-بييس (ثلاثي سينوكسي ميثوكسي) 4،1-فينيلين فينيلين)	BTEM-PPV
b 36	بولي (2-بوتيل -5-2-إيثيل هكسيل) 4،1-فينيلين فينيلين)	BuEH-PPV
37	بولي (5،2-بييس - (أوكتوكسي) 4،1-فينيلين فينيلين)	C8-PPV
38	PPV مع ثنائي سيليل مُستبدل	CN-Si-Carb-PPV
38	PPV مع ثنائي سيليل مُستبدل	CN-Si-Ph-PPV
39	بولي (5،2-ثنائي ميثوكسي -4،1-فينيلين فينيلين)	CH3O-PPV
b 40	PPV مع سيانو مُستبدل	CN-PPV
b	بولي (2-(كاربازول -9-إيل) -5-2-إيثيل هكسيل أوكسي) 4،1-فينيلين فينيلين [	CzEH-PPV

<sup>a</sup> أحدث المراجع.

الجدول (3 - 2) : تنوعات بوليمير (p-فينيلين فينيلين)

المرجع <sup>a</sup>	البوليمير	الاختصار
41	پولي (2،8-ثنائي بنزو ثيوفين -5،5-ثاني أوكسيد -فينيلين alt-4،1-فينيلين فينيلين)	DD-PPV
42	پولي (2،5-ثنائي ميثوكسي -4،1-فينيلين فينيلين )	Dimethoxy-PPV
43	پولي (2،5-ثنائي ميثوكسي -4،1-فينيلين فينيلين )	DMeO-PPV
44	پولي (2-ثنائي ميثيل أوكثيل سيليل p-فينيلين فينيلين )	DMOS-PPV
45	پولي (2،5-ثنائي ميثوكسي -4،1-فينيلين فينيلين )	DOO-PPV
46	پولي (4،1-فينيلين -2،1-ثنائي (4-فينوكسيفينيل ) فينيلين )	DPOP-PPV
47	پولي (2-فينيل -3-فينيل -4-(3،7-ثنائي ميثيل أوكثيل أوكسي )-4،1-فينيلين فينيلين )	DPO-PPV
48	پولي (2،3-ثنائي فينيل فينيلين فينيلين )	DP-PPV
49	پولي (4،1-فينيلين -2،1-ثنائي (4-فينيل ثيوفينيل ) فينيلين )	DPSP-PPV
50	پولي (2،5-ثنائي بروبوكسي سولفوناتو -4،1-فينيلين فينيلين )	DPS-PPV
51	PPV مُستبدل فيه أوكسيد الإيثيلين	EO-PPV
52	پولي (6،1-هكسان ثنائي أوكسيل -4،1-فينيلين -2،1-إيثيلين -5،2-ثنائي سيانو -4،1-فينيلين )-2،1-إيثيلين -4،1-فينيلين )	HCN-PPV
53	پولي (2-هكسيل أوكسي -5-((10-4-فينيل آزو ) فينوكسي ) ديسيل ) أوكسي )-4،1-فينيلين فينيلين )	HPA-10-PPV
54	پولي (1-ميثوكسي -4-سيكلو هكسيل إيثيل أوكسي -5،2-فينيلين فينيلين )	MCHE-PPV
55	پولي (2-ميثوكسي -5-(3،7-ثنائي ميثيل أوكثيل أوكسي )-4،1- فينيلين فينيلين )	MDMO-PPV
b	پولي (2-ميثوكسي -5-(2-إيثيل هكسيل أوكسي )-4،1-فينيلين فينيلين )	MEH-PPV
56	پولي (2-ميثوكسي -5-(2-إيثيل هكسيل أوكسي )-4،1-فينيلين فينيلين -5،2-ثنائي ميثوكسي -4،1-فينيلين فينيلين )	M3EH-PPV
57	پولي (2-ميثوكسي -5-(n-إيثيل هكزادسيل أوكسي )-4،1-فينيلين فينيلين )	MH-PPV
58	پولي (2-ميثوكسي -5-نونيل أوكسي -4،1-فينيلين فينيلين )	MN-PPV

<sup>a</sup> أحدث المراجع.

<sup>b</sup> غالباً ما يُدرس. انظر النص.

الجدول (3 - 2) : تنوعات بوليمير (p-فينيلين فينيلين)

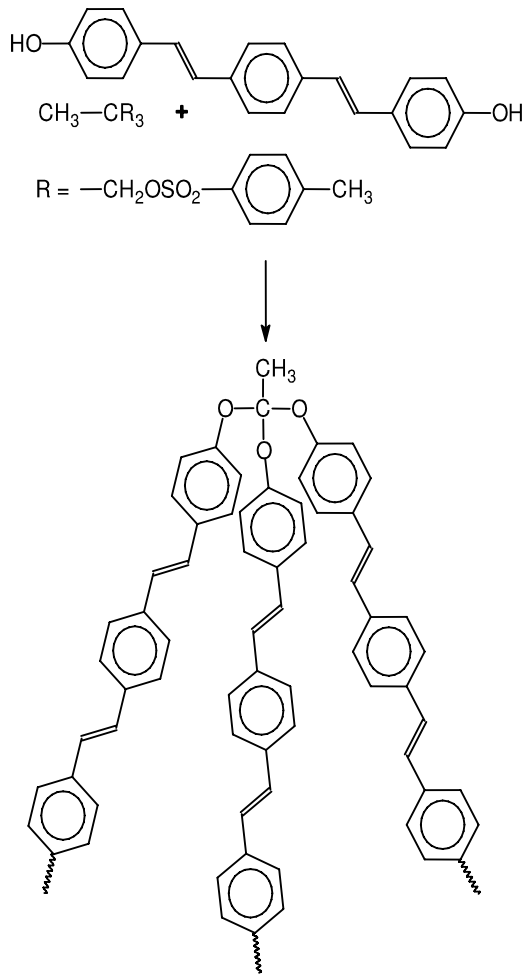
المرجع <sup>a</sup>	البوليمير	الاختصار
59	پولي (2-5-ثنائي ميتوكسي -4،1-فينيلين فينيلين )	MO-PPV
60	پولي (1-3-فينيلين ثنائي فينيل فينيلين )	m-PPV-DP
50	پولي ((2-ميتوكسي -5-سلفوبروبوكسي )-4،1-فينيلين فينيلين )	MPS-PPV
61	پولي (2-ميتوكسي -5-ثلاثي ايثوكسي -4،1-فينيلين فينيلين )	MTEO-PPV
62	پولي (2-3،7-ثنائي ميثيل اوكثيل اوكسي )-5-ميتوكسي -4،1-فينيلين فينيلين )	OC1C10-PPV
63	پولي (2-5-ثنائي اوكثيل اوكسي -4،1-فينيلين فينيلين )	OO-PPV
64	پولي (2-5-ثنائي فينيلين -4،3،1-اوكساديازوليل -4،4- فينيلين )	O-PPV
65	پولي ((2-4-5-4-ترت-بونيل فينيل -4،3،1-اوكساديازوليل )- فينيل )-5-2-ايتيل هكسيل اوكسي )-4،1-فينيلين فينيلين )	OxdEH-PPV
66	پولي (2-ميتوكسي -5-ثلاثي ايثوكسي ميتوكسي )-4،1-فينيلين فينيلين )	PEO-PPV
66	پولي (2-n-نونيل اوكسي )-5-ثلاثي ايثوكسي ميتوكسي )-4،1-فينيلين فينيلين )	PEO-OC9-PPV
67	پولي (2-فنوكسي -4،1-فينيلين فينيلين )	PO-PPV
68	بوليميرات هجينة فينيلين-ايتيلين فينيلين	PPE-PPV
13	پولي ((1،4-بيس -ثينيل -فينيل ))-2-ميتوكسي -5-2- ايتيل هكسيل اوكسي )-4،1-فينيلين فينيلين )	PTVMEH-PPV
69	پولي (2-5-ثنائي الكوكسي -4،1-فينيلين فينيلين )	RO-PPV
70	پولي (2-4-ثنائي ميثيل دوديسيل سيليل فينيل اوكسي -4،1-فينيلين فينيلين )	SiPhOPPV

<sup>a</sup> أحدث المراجع.

<sup>b</sup> غالباً ما يُدرس. انظر النص.

يمكن اصطناع بوليمير PPV الفائق التشعب ببنية مترافقة جزئياً من 1،1،1-ثلاثي (p-توسيل اوكسي ميثيل)-بروبان و 4،4-(p-فينيلين-ثنائي-1،2-ايتيلين-ثنائي ايل)-ثنائي فينول<sup>23</sup>. يبيّن الشكل (3-10) طريقة الاصطناع. يتكوّن بوليمير PPV الفائق التشعب عندما يجري الاستعاضة عن زمر التوسيلات بزمر الايثير من المونومير المترافق. تُبدي

البوليميرات الفائقة التشعب انحلالية جيدة وقابلة للتشغيل، ودرجة حرارة انتقال زجاجي مرتفعة، وتألّف فلورياً عالياً.



الشكل (3-10): اصطناع بوليمير PPV الفائق التشعب من 4,4'-p-فينيلين-ثنائي-1,2-إيثين

دي إيل)-ثنائي فينول و 1,1,1-ثلاثي-(p-توسيل أوكسي ميثيل)-بروبان<sup>23</sup>

### 3.3. الخواص

#### 1.3.3. الخواص الميكانيكية

إن بوليمير PPV الخالص غير قابل للانحلال، وعسير، وصعب الصهر. والبوليمير الذي نحصل عليه من الاصطناع له هذا الشكل. بعض مشتقاته ذات السلاسل الجانبية المناسبة قابلة للانحلال.

#### 2.3.3. الخواص الحرارية

يُبدى PPV استقراراً حرارياً أعلى من البوليميرات الأخرى المتعلقة به. يلخص الجدول (3-3) درجات حرارة التدهور الحراري لبعض البوليميرات المترافقة من النمط  $\pi$ . يُظهر القياس الوزني الحراري أن بداية التدهور عند PPV تظهر عند 500 درجة مئوية. ويتوافق هذا مع تجارب توضع الأبخرة<sup>24</sup>.

يوحي قياس المطيافية الكتلية في المكان أنه في المجال من 500 إلى 600 درجة مئوية تنطلق نواتج التدهور التي تحتوي على كسرة التولوين أو الكزولين.

باستعمال البلمرة الجذرية بانتقال الذرات يمكن الحصول على بوليميرات مشتركة كتلية التعاقب مكونة من كتل PPV و كتل بولي(ميثيل ميتاكريلات) (PMMA). يمكن تحسين الاستقرار الحراري تحسيناً طفيفاً مقارنةً بمشتقات PPV الخالص بإدخال كتل PMMA<sup>25</sup>. إن بدء التدهور الحراري يكون عند حوالي 200 درجة مئوية.

عند درجات تزيد على 800 درجة مئوية يمكن تحويل PPV إلى غرافيت<sup>72,73</sup>. أما الموصلية الكهربائية لبوليمير PPV المحلل حرارياً عند 3000 درجة مئوية فتتأثر كثيراً بالشد. وعند الإشابة بثالث أكسيد الكبريت يمكن الوصول إلى موصلية مقدارها  $10^5 \text{ Scm}^{-1}$ ، وتمكن الموازنة بين هذا والغرافيت عالي التوجه المحلل حرارياً أو الغرافيت الطبيعي. وتشير دراسة أخرى<sup>74</sup>، يجري فيها تحليل حراري حتى 1700 درجة مئوية لبوليمير PPV وبوليميرات أخرى متعلقة به، إلى موصلية كهربائية مقدارها  $0.26 \cdot 10^3 \text{ Scm}^{-1}$ . ولكن تبقى الموصلية الكهربائية للغرافيت الذي نحصل عليه من بولي(4-فينيلين إثنيلين) أعلى، وتحديداً  $0.80 \cdot 10^3 \text{ Scm}^{-1}$ .

### 3.3.3. الخواص الكهربائية

نظرياً، ينبغي أن يُظهر PPV بنية مترافقة من النمط  $\pi$  مثالية للتطبيقات الإلكترونية. ولكن لا يمكن تحقيق ذلك من الناحية العملية. فالعيوب المُشعبة تقطع البنية المترافقة من النمط  $\pi$ ، ومن ثمّ طول الترافق. ومن ناحية أخرى يمكن لكسارة الإثنيلين، عوضاً عن كسارة الفينيلين، أن تؤدي دور أفخاخ لحوامل الشحنة. تمكن محاصرة الشحنات أن تقع سواء كان الفخ في حالة مشعة أو غير مشعة. في الحقيقة، هناك نوعان من العيوب<sup>75</sup>:

1. العيوب البنيوية،

2. والعيوب الكيميائية.

تتضمّن العيوب البنيوية، حدود الحبيبات، والعيوب البلورية، وعيوب نهايات السلاسل، والعيوب المؤكسدة. وبالمقابل يمكن إرجاع العيوب الكيميائية إلى الشوائب المُتضمنة أثناء معالجة المادة، أو في سلسلة البوليمير الرئيسة نفسها. يمكن لمطيافية التآلق الضوئي والتآلق الكهربائي أن تُستعمل لتحديد مدى وجود الأفخاخ. وهناك تقنيات أخرى تشمل قياسات الشدة والكمون، وقياسات كمون السعة، ومطيافية السعة الانتقالية، ومطيافية القبولية<sup>76,75</sup>. وتحت شروط مناسبة يمكن تحديد طبيعة الفخ.

الجدول (3-3): درجات حرارة تدهور المركبات المترافقة من النمط  $\pi$

المراجع	$T_g / ^\circ C^a$	البوليمير
24	200	بولي (أسيتلين)
52	304	بوليمير PPV المؤسس على 5،2-ثنائي سيانو-4،1-فينيلين فينيلين
24	420	بولي (p-كزيلين)
24	450	بولي (p-فينيلين)
24	500	بولي (p-فينيلين فينيلين)
الأوليغوميرات		
71	200	2-هكزاديسيل أوكسي-5-ميثوكسي بنزين-4،1-بيس-(4-ثنائي ميثيل أمينو فينيلين فينيلين)
71	200	4،1-بيس-(2-ميثيل ستيريل)-بنزين
71	300	بنزين-4،1-بيس-(2-فينيلين فينيلين)

<sup>a</sup> عند بدء التدهور

### 4.3.3. الخواص البصريّة

إنّ PPV بوليمير متألّق بالفلّورة أصفر لامع. أمّا نقاط الإصدار الأعظمي فتقع في مجال الأصفر-الأخضر من الطيف المرئي، عند 551 nm و 520 nm. لقد جرى اكتشاف التألّق الكهربائي لبوليمير PPV عام 1990<sup>77</sup>. ولأنّ PPV يتمتّع بقدرات نقل ثقب جيّدة ضمن مجموعة البوليميرات الموصلة كهربائياً، فقد جرى استعماله ليس فقط بصفته طبقة مُصدرة للضوء بل أيضاً بصفته ناقلاً للثقوب في التجهيزات المتألّقة كهربائياً<sup>78</sup>.

يُبدى طيف التألّق الضوئي لبوليمير MEH-PPV قيمة أعظميّة عند 640 nm<sup>79</sup> تنزاح هذه القيمة نحو الأحمر مع ارتفاع درجة حرارة المعالجة الحراريّة. ولكنّ إصدار التألّق الضوئي لـ MEH-PPV وخليط من الأغشية مع 2-(4-بيفنيل)5-(4-تري-بوتيل فينيل)-1,3,4-أوكساديازول يصبح منزاحاً نحو الأزرق مع ارتفاع درجة الحرارة<sup>80</sup>.

في حالة PPV، يُلاحظ انزياح في القيمة العظمى لطيف التألّق الضوئي نحو الأحمر مع ازدياد الضغط الساكن<sup>81</sup>. وإضافة إلى ذلك تنخفض شدّة القمّة الرئيسيّة.

وتصبح هذه الظاهرة أكثر وضوحاً مع ازدياد ضغط المفاعيل المتبادلة بين السلاسل البوليميريّة. فالبنية تسعى لأن تصبح أكثر استواء، والطول المترافق يصبح أطول.

### 4.3. الإضافات الخاصّة

#### 1.4.3. الشوائب

تؤدّي الإشابة إلى إيجاد تعديلات بنيويّة وإلكترونيّة في سلسلة البوليمير الرئيسيّة. وعادة تؤدّي الإشابة إلى تحسين الموصليّة الكهربائيّة.

يمكن تحقيق الإشابة، ببدء تفاعلات أكسدة أو إرجاع في السلسلة الرئيسيّة للبوليمير. تسمّى الأكسدة إشابة من النوع p، ويسمّى الإرجاع إشابة من النوع n.

تتألّف الإشابة بالأصبغة من إضافة صباغ متألّق فلورياً إلى البوليمير<sup>82</sup>. لا يبقى التناظر بين الإلكترونات والثقوب قائماً في بوليمير PPV المشوب. وهذا ما يفسّر الاختلاف في حراك الإلكترونات والثقوب داخل السلسلة في PPV<sup>83</sup>. نجد سرداً بالشوائب وطرائق الإشابة في الجدول (3-4).

### 1.1.4.3. الإشابة التفاعلية

يؤدّي خماسي فلوريد الزرنيخ إلى توسّع السلسلة بتفاعل فريدل-كرافتس، وتشبيك تصالبي في بوليمير PPV<sup>84</sup>. وتتحقّق الموصلية الكهربائية بآلية قفز متغيّر المدى. يتبيّن التعديل بتقنيات الأشعة تحت الحمراء، إذ تبرغ قطاعات جديدة، يمكن إرجاع هذا مثلاً إلى تكوّن بنى شبه كينونية quinoid<sup>85</sup>.

الجدول (3-4): الشوائب وطرائق الإشابة في حالة بوليمير (p-فينيلين فينيلين)

المركّب	المراجع
خماسي فلوريد الزرنيخ	84
اليود	85
كلوريد الحديد	85
الكومارين	86
4-(ثنائي سيانو ميثيلين)-2-ميثيل-6-(4-ثنائي ميثيل أمينو-ستيريل)-4H-بيران	87
2-(4-بيفينيليل)-5-(4-ترت-بوتيل فينيل)-1،3،4-أوكساديازول	80
رباعي-n-بوتيل أمونيوم رباعي فلوروبورات	78
نقل أبخرة الصباغ	82

### 2.1.4.3. الإشابة بالصباغ

لمّا كان PPV غير قابل للانحلال كان من غير الممكن إشابته بالأصبغة باستعمال طرائق المحاليل. نقل الأبخرة هو طريقة إشابة بالأصبغة، حيث يجري إقحام جزيئات الصباغ في البوليمير بواسطة الطور الغازي في الخلاء<sup>82</sup>. إلى جانب صنع تجهيزات كهروضوئية، فقد جرى استعمال طريقة نقل الأبخرة في مجال الذواكر البصرية، وأدلة الموجة.

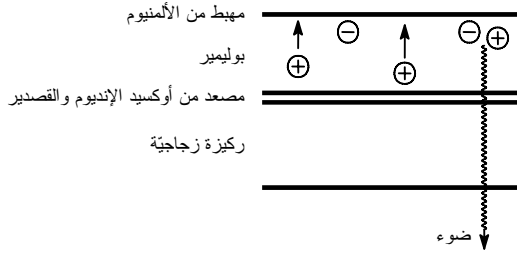
### 5.3. تطبيقات

إنّ بوليميرات PPV هي بوليميرات مترافقة من النمط  $\pi$ ، مهمّة في التجهيزات الإلكترونية وتلك المتألّقة ضوئياً.



### 1.5.3. التجهيزات المتألقة كهربائياً

يجري أساساً بناء التجهيزات المُصدرة للضوء البسيطة تبعاً للمبدأ المبين في الشكل (11-3). يشير المخطّط في الشكل (11-3) إلى ديود مُصدر للضوء، وهو الأكثر شيوعاً. ولكن لقد جرى أيضاً وصف ترانزستورات عضويّة مُصدرة للضوء<sup>88</sup>، وترانزستورات عضويّة ذات مفعول حقلي<sup>89</sup> مؤسّسة على مواد من PPV. نشرح فيما يلي المبدأ الأساسي في الديود المُصدر للضوء.



الشكل (11-3): العناصر الأساسيّة في تجهيزة مُصدرة للضوء

عند تطبيق فرق كمون بين المسريين، تُحقن في البوليمير الشحنات السالبة من المهبط، والشحنات الموجبة من المصعد. وعندما تلتحم الشحنات تنتقل طاقتها إلى البوليمير فتتكوّن بذلك مواقع وحادية أو ثلاثية. المواقع الواحديّة تُماثل تلك التي تتكوّن في حالة التألّق الضوئي. التألّق الضوئي يحدث بإثارة من الحالة المستقرّة يتبعها تألّق فلّوري. لذلك فإنّ عملية إصدار الضوء بالشحنات تتبع الطريق ذاتها للآلية التي تحدث في التألّق الضوئي. وعادة لا تمتلك المواقع الثلاثية، التي تتكوّن إلى جانب المواقع الواحديّة، طاقة كافية لإصدار الضوء في المجال المرئي. لهذا السبب، يتركّز تطوير المادة على تحسين عائد المراحل الواحديّة. عموماً، تتحسن كفاءة الإصدار الضوئي باستعمال بوليمير عالي الألفة الإلكترونيّة مع مهبط ذي طاقة تحرّر منخفضة.

إنّ الغشاء البوليميريّ من الرقّة بحيث يمكن أن تقع شدّة الحقل الكهربائيّ في مجال يزيد عن  $10^5$  فولطامتر، أمّا الكفاءة الكموميّة، التي يُعبّر عنها بنسبة عدد الفوتونات، إلى عدد الإلكترونات المحقونة، فهي في المجال من 0.1 إلى 5 في المئة. كفاءة الإضاءة، وكفاءة الطاقة هما مؤشران آخران على الأداء.

تُبقي طبقة المصعد من أوكسيد الإنديوم والقصدير (ITO) رقيقة إلى حوالي 15 nm وذلك كي تسمح بمرور الضوء الصادر من البوليمير. أمّا المهبط فيُصنع من مادة ذات حاجز طاقة منخفض بالنسبة إلى إصدار الإلكترونات، مثل الألمنيوم أو الكالسيوم أو الباريوم.

لتحسين الاستقرار العملائي، تُستعمل في المهبط خلائط من معادن ذات طاقة تحرر منخفضة مثل المغنزيوم والليثيوم، مع معادن أكثر استقراراً ذات طاقة تحرر مرتفعة مثل الألمنيوم والفضة<sup>90</sup>. وعلى الوجه الأبسط تتكوّن الطبقة البوليميرية من طبقة منفردة. ولكن الأكثر شيوعاً هو بنى متعدّدة الطبقات من بوليميرات مختلفة. تقليدياً، يجري بناء التجهيزات العضوية المتعدّدة الطبقات بأسلوب متسلسل كما يلي:

1. يجري ترذيد مسرى شفاف، عادة من أوكسيد الإنديوم والقصدير، تحت الخلاء على ركيزة زجاجية.

2. على الطبقة السابقة، يجري طلاء طبقة ناقلة للتقوب، مثل بولي (3،4-إيثيلين ثنائي أوكسي ثيوفين) (PEDOT).

3. ثمّ يجري طلاء طبقة من بوليمير مُصدر للضوء، مثل MEH-PPV، على الطبقة السابقة.

4. مسرى علوي، مثل الباريوم، يجري تبخيره حرارياً على الطبقة السابقة.

5. وأخيراً يجري توضع طبقة حماية مثل الألمنيوم فوق الطبقة الأخيرة.

تؤدّي مراحل التصنيع المبيّنة فيما سبق إلى تجهيزة بوليميرية مُصدرة للضوء نموذجية، ذات البنية الطبقيّة التالية :

زجاج/أوكسيد الإنديوم والقصدير/بوليمير PEDOT/بوليمير MEH-PPV/باريوم/ألمنيوم

يجري تطبيق البوليمير إمّا بالطلي الدوّامي أو بالطباعة بنفث الحبر، في حين يجري بناء المساري بالتوضع تحت الخلاء أو الترديد. في إجرائيّة التصنيع المتسلسلة هذه نحتاج إلى سيرورات مبلّلة وسيرورات جافّة معاً.

لتخفيض عدد الطبقات المتتالية التي ينبغي توضعها واحدة إثر أخرى، يمكن تصنيع التجهيزات من جزأين منفصلين، يجري تكوين كلّ جزء على ركيزة ذات طبقات وظيفيّة مختلفة. يمكن التغلّب على الصعوبات الناشئة من مُكاملة السيرورات المبلّلة والجافّة، ومن

ثمّ خفض تكاليف التصنيع بتصنيع الطبقات المحدّدة على كلّ ركيزة قبل تجميع الجزأين لتكوين تجهيزات أنصاف النواقل العضويّة أو الدارات. في المرحلة الأخيرة، يمكن تجميع الجزأين لتكوين التجهيزة النهائيّة. تجري محاذاة الجزأين على نحو دائم بتفاعل تصليد حراري<sup>91</sup>.

ستزوّدنا هذه الطريقة التجميعيّة في النهاية بالمرونة الناتجة من تتابع إمكانات تجميع التجهيزة النهائيّة. فمثلاً، إذا جرى إنتاج خمسة أجزاء أولى مختلفة، وخمسة أجزاء ثانية مختلفة، أمكن تصنيع خمسة وعشرين تكويناً لتجهيزات مختلفة<sup>91</sup>.

يمكن تصنيع تجهيزات الأغشية الرقيقة بتقنيّة التوضيع بالتجهير الكهربائي (Electrophoretic deposition)<sup>92</sup>. في طريقة التوضيع بالتجهير الكهربائي يجري تطبيق المواد كجسيمات غرويّة في لا مذيب. بتعريض الجسيمات لقوّة تهيير كهربائيّة يتكوّن غشاء نانويّ البنية، ثمّ يجري تجفيف الغشاء تحت شروط لا مذيب للمحافظة على البنية.

يمكن أن تتلف التجهيزة إذا بقيت في الطبقة بعض مخلفات المذيبات، أو غيرها من الشوائب مثل المونوميرات أو البوليميرات الطليعيّة. تمكن إزالة هذه الشوائب باستخلاصها مستعملين موائع فائقة الحرج، وذلك بين خطوات المعالجة كلّ على حدّتها. وعندما يكون بالإمكان إجراء المعالجة في شروط درجة حرارة منخفضة وضغط منخفض نسبياً، تمكن إزالة الشوائب من دون إحداث تغييرات كيميائيّة فيزيائيّة في الطبقة<sup>93</sup>. فمثلاً، لما كانت الدرجة الفائقة الحرجة للإيثانول هي 241 درجة مئويّة تحت ضغط 6.1 MPa، يمكن إجراء عمليّة التنظيف في درجة حرارة 260 درجة مئويّة تحت ضغط 8.0 MPa. ولكن مع ثاني أكسيد الكربون يمكن استعمال درجة حرارة 80 درجة مئويّة تحت ضغط 15 MPa.

جرى صنع تجهيزات متألّقة كهربائيّاً بالأزرق الساطع باستعمال بوليمير (9،9-ثنائي أوكنتيل فلورين) (POF) بصفته طبقة مُصدرة، وبوليمير PPV بصفته طبقة ناقلة للتقوب، ورباعي-n-بوتيل أمونيوم رباعي فلوروبورات بصفته شائباً، وخليطة الليثيوم-ألومنيوم بصفتها مسرى مهبطياً<sup>78</sup>.

لقد جرى تحضير بوليمير PPV معدّل ذي زمر كربازول وأوكساديازول متدلّية، وذلك بالبلمرة المباشرة لمونوميرات  $\alpha,\alpha$ -ثنائي برومو-p-كزولين الموافقة<sup>94</sup>.

جرت بعد ذلك إشابة هذه البوليميرات باستعمال 4-(ثنائي سيانو ميثيلين)-2-ميثيل 6-(4-ثنائي ميثيل أمينو-ستيريل)-4H-بيران (DCM). لقد نتج التألّق الضوئي بمعظمه من الشوائب. وتحديداً، أشارت الأطياف البصريّة إلى إمكان حدوث انتقال للطاقة وفق فورستر من البوليميرات المعدّلة إلى الشوائب، مما يؤدّي إلى حدوث إصدار ضوئي<sup>87</sup>.

يمكن، بمعالجة تحت الخلاء، نثر أصبغة وظيفيّة في PPV الخالص. يمكن تغيير لون PPV من الأصفر إلى الأخضر بصباغ أزرق، 1،4-(N,N-ثنائي إيثيل أمينو) أنثراكينون. وبعد ذلك يمكن تغيير اللّون المتألّق فلورياً لـ PPV من الأخضر إلى الأحمر بالإشابة بـ DCM. الإشابة وفق نموذج باستعمال DCM تؤدي إلى وسط متألّق متعدّد الألوان<sup>95</sup>. في البوليميرات المشتركة المتناوبة التي تحمل وحدة m-فينيلين فينيلين ووحدة p-فينيلين فينيلين، تكون وحدة m-فينيلين فينيلين هي سبب إصدار اللون الأخضر<sup>96</sup>.

لقد جرى تصنيع تجهيزات مُصدرة للضوء الأخضر متعدّدة الطبقات من بوليمير (N-فينيل كربازول) و 2-(4-بيفنيليل)-5-(4-ترت-بوتيل فينيل)-1،3،4-أوكساديازول. في هذه التجهيزات يتعلّق التألّق الكهربائيّ تعلّقاً كبيراً بثخانة طبقة PPV. ويتعلّق الأداء بقوة بالبنية البوليميريّة، التي يمكن توليفها بإقحام زمر جانبيّة ومونوميرات مشتركة. في البوليميرات ذات الزمر الجانبيّة الضخمة، تتخفّض التأثيرات المتبادلة بين الجزئيات، مما ينعكس في تحسّن الأداء<sup>98,97</sup>.

ولكن، هنالك طول أمثلي للسلاسل الجانبيّة<sup>99</sup>. إذ يمكن للسلاسل الجانبيّة الطويلة أن تتراكم أو أن تنتهي على نفسها في محاولة للتبلور. لهذا السبب يمكن إنقاص المسافة ما بين الجزئيّة مرّة أخرى في بعض المناطق على طول السلسلة الجانبيّة.

يمكن حذف التفاعلات ما بين السلاسل بمزج MEH-PPV بمقدار صغير من بوليمير حامل. كما يمكن بطريقة أخرى تخفيف التفاعلات ما بين السلاسل بتثبيت الوحدات إلى حدّ ما اعتماداً على التشابك المتصالب<sup>100</sup>. وبالمقابل، ففي أنواع PPV القادرة على تحقيق تشابك متصالب ضوئي أو حراري ينخفض الأداء بسبب وجود جذور متبقية في المادّة<sup>101</sup>.

يُبدى بوليمير PPV المعدل بالسيلكون مع PEDOT تألقاً كهربائياً أعظمياً حول  $550 \text{ nm}^{102}$  إن مقدار انفصال الطور بين الحوامل اللونيّة المختلفة هو عامل مهم في مدى فعاليّة التجهيزة. ففي خلائط الحوامل اللونيّة المتعدّدة المركّبات، يُعتبر PPV المعدل بالسيلكون عالي انفصال الطور. إن انفصال الطور الشديد، والمورفولوجيا الناتجة من ذلك يمنعان انتقال الطاقة بشكل فعّال.

تُظهر المواد المركّبة النانويّة الهجينة من MEH-PPV والصلصال، المحضّرة بالبلمرة في المكان لصلصال مونومريونيت المعدل عضويّاً، شدّة تيار أعلى وفرق كمون أخفض عند الإشعاع<sup>103</sup>. بالتحكّم بنسبة المونوميرات الطليعيّة إلى المونومريونيت، يمكن الحصول على مواد مركّبة نانويّة مقشّرة. في البنى المتداخلة، يجري مجرد إقحام للسلاسل البوليميريّة في الفراغات ما بين طبقات المونومريونيت. ولكن في البنى المقشّرة، لا تعود الفراغات النانويّة الثنائية البعد موجودة.

يشير التداخل هنا إلى تضمين جزئيات بين الطبقات، أمّا النقشّ فيشير إلى فصل الطبقات. وبكلمات أخرى، في البنى المتداخلة يحوي الصلصال السلاسل البوليميريّة المتداخلة كالشطائر، أمّا في المواد المركّبة النانويّة المقشّرة، فتكون الطبقات المنفردة منفصلة، وموزّعة بأسلوب منظم إلى حدّ ما في حاضنة بوليميريّة. لقد جرت دراسة هذا الصنف من المواد على نحو واسع بسبب خواصه الفريدة<sup>104</sup>. يلخّص الجدول (3-5) فعاليّة التجهيزات المتألّقة كهربائياً المتعلّقة ببوليمير PPV.

يمكن تصنيع الطبقات المتألّقة من نموذج باستعمال طريقة نفث الحبر<sup>105</sup>. يجري استعمال تركيبة لزوجتها من 0.002 إلى 0.004 Pa s وتوتّرها السطحي في المجال 0.025 إلى  $0.040 \text{ N m}^{-1}$  في آلة طباعة نافثة للحبر.

تحتوي الأحبار البوليميريّة المتألّقة كهربائياً والقابلة للطباعة بالمنخل على تنوّع كبير من الإضافات تفيد في التحكّم بلزوجة الحبر البوليميري المتألّق كهربائياً، ولتخفيض معدّل تبخر المذيب، ولتحسين اتساق الحبر وزمن عمله<sup>106</sup>.

إضافة إلى ذلك، يمكن للإضافات أن تحسّن حقن الشحنات، وفعاليّة طاقة التجهيزات المُصدرة للضوء المصنوعة من الحبر البوليميري المتألّق كهربائياً القابل للطباعة بالمنخل. يبيّن الجدول (3-6) تركيبة حبر بوليميري متألّق كهربائياً.

تتكوّن التجهيزة من أربع طبقات : ركيزة، ومسرى شفاف، وحبر بوليميري، ومسرى علوي. تجري طباعة الحبر المتألق كهربائياً بالمنخل باستعمل مرورات متعدّدة لنحصل على غشاء جاف تتراوح سماكته بين 100 نانومتر و 1 ميكرون.

الجدول (3-5) : فعالية التجهيزات المتألّقة كهربائياً المرتبطة ببوليمير PPV

المراجع	lm/W	بنية التجهيزة
107	0.12	MEH-PPV DEN-PPV
108	0.13	BDMO-PPV
109	0.42	ITO/MEH-PPV/LiF/Al
110	0.73	EHDVP-PPV <sup>a</sup>
108	1.2	BDMO-PPV مركّب فينيلين إثنيلين
111	1.31	DMOS-PPV-co-DMOS-PPDFV <sup>b</sup>
112	1.8	ITO/PEDOT/MEH-PPV:PF <sup>c</sup> /Ba/Al
113	1.83	MEH-PPV PF <sup>c</sup>
114	3	MEH-PPV
115	5.6	2-بوتيل -5-(2-إيثيل-هكسيل)-PPV
116	8	POF المشوب بـ MEH-PPV

<sup>a</sup> PPV مع زمرة جانبية (2,2-ثنائي فينيل فينيل) فينيل

<sup>b</sup> PPV المُقلّوَر

<sup>c</sup> بولي(ألكيفلورين)

الجدول (3-6) : حبر بوليميري متألق كهربائياً<sup>106</sup>

المركبة	[mg g <sup>-1</sup> ] <sup>a</sup>
MEH-PPV	12
بوليمير (أوكسيد الإيثيلين)	4
رباعي-n-بوتيل أمونيوم رباعي فلوروبورات	1.3
كلور البنزين	

<sup>a</sup> mg g<sup>-1</sup> كلور البنزين.

لأنّ المادة تُنفثُ وتنتشر، في طريقة نفث الحبر، فإذا كانت المسافة بين السطح المطلي وفوهة رأس نفث الحبر ليست مناسبة، يمكن أن تقع المشكلة المعروفة باسم المنحني الطائر، التي فيها يمكن أن تسقط قطرة في غير الموقع المقصود. للتغلب على هذا السلوك غير المرغوب، فقد جرى بناء جهاز تصنيع أغشية رقيقة مُحسّن<sup>117</sup>.

إنّ وحدات الطلاء في هذا الجهاز مزوّدة بآلية امتصاص راجع. يمكن في آن واحد وبإنتاجية عالية تكوين ثلاث طبقات متألّفة مُصدرة للألوان الأحمر، والأخضر، والأزرق. ومن الممكن تحقيق طلاء على شكل شريط بدون فجوات في سطر بعرض نقطة بكسل واحدة، وهذا ما يجعل الإنتاجية عالية جداً.

### 2.5.3. التجهيزات الفوتوفولطائية

يمكن تصنيف التجهيزات الفوتوفولطائية في نوعين<sup>118</sup>:

- النوع المتجدّد الذي يحوّل الضوء إلى طاقة كهربائية من دون أن يترك وراءه أي تغيير كيميائي. تنتقل الإلكترونات الحاملة للتيار إلى المصعد والدارة الخارجية، وتنتقل الثقوب إلى المهبط حيث تجري أكسدتها بالإلكترونات من الدارة الخارجية.
- في نوع التركيب الضوئي، يوجد نظاماً أكسدة وإرجاع، أحدهما يتفاعل مع الثقوب على سطح المسرى، والآخر يتفاعل مع الإلكترونات الداخلة من المسرى المقابل. فمثلاً، يتأكسد الماء إلى أوكسجين عند المصعد الضوئي، ويُرجع إلى هيدروجين عند المهبط.

نحن نتعامل هنا مع النوع المتجدّد. لقد جرى تطوير الخلايا الفوتوفولطائية أولاً في الخمسينات من القرن الماضي على شكل وصلات p-n من مواد لا عضوية. ومنذ جرى صنع أنواع واسعة التنوع من الخلايا باستعمال وصلات مثلّية، ووصلات متباينة، وبنى ترادفية بمواد لاعضوية، أكثرها شيوعاً هو السيليكون. تحوّل هذه التجهيزات الإشعاع الشمسي مباشرة إلى طاقة كهربائية<sup>119</sup>.

تتمتع الخلايا الشمسية العضوية بعدة ميزات محتملة مقارنةً بالخلايا الشمسية اللاعضوية التقليدية، تشمل هذه الميزات خفة الوزن، والمرونة، وإمكانية التصنيع الزهيد الثمن لمساحات واسعة باستعمال تقنيات الطباعة<sup>120</sup>. ولكن ما زال هناك نقص في كلّ

من كفاءة تحويل الطاقة، والاستقرار الطويل الأمد، وهو أمر مطلوب في تجهيزات التطبيقات العملية.

تعتمد كفاءة التجهيزات الفوتوفولطائية على أمرين : توليد الشحنات المُحرّض ضوئياً، الذي يعتمد كفاءة انتقال الإلكترونات، وعلى نقل الشحنات التي تولدها المساري، أي حراك حوامل الشحنات. يجب تحقيق هذين المطلبين في آن واحد معاً. يمكن إنشاء ترتيب بنيوي لمواد التجهيزة بهدف تحسين المطلبين معاً في منطقة مجهرية كل على حدّته.

في علم أنصاف النواقل يشير التعبير "وصلة متباينة" (Heterojunction) إلى وصلة بين طبقات من مواد ذات خواص كهربائية مختلفة، مثل القطاعات الممنوعة. لقد جرى إدخال التعبير "وصلة متباينة كتلية" في أنصاف النواقل العضوية ليدلّ على مادة مركبة بوليميرية ذات طور منفصل مجهرياً، بشبكة متداخلة مثلاً. تتميز هذه المواد بمساحة سطح بيني عالية.

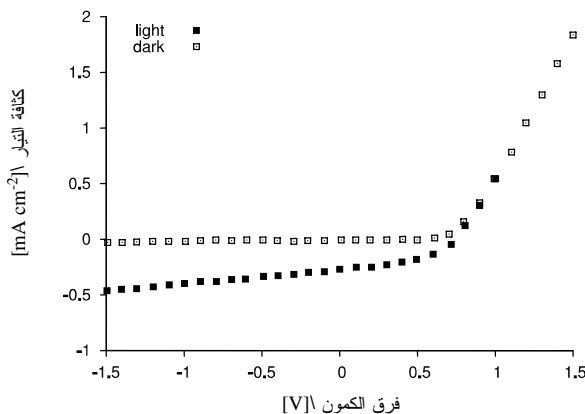
وكما هو شائع في أنصاف النواقل، يجب أن تتوفر في المادة أو المادة المركبة خواص مانح للإلكترونات ومقبّل لها في آن معاً. يؤدي في التجهيزات الفوتوفولطائية، الامتصاص الضوئي إلى انفصال الشحنات الكهربائية التي تتدفق إلى المساري، وتؤدي إلى نشوء فرق في الكمون الكهربائي.

تنشأ في المنطقة الانتقالية بين الطبقة الفعالة ضوئياً والمسرى مقاومة محسوسة ضد عبور حامل الشحنة، يمكن إرجاع هذه المقاومة إلى التفاعل بين المسرى المعدني والطبقة العضوية الفعالة ضوئياً. لذلك، إذا أمكن حذف هذه التأثيرات غير المباشرة، عندها يكون من المتوقع تحسين عبور الشحنات، ومن ثمّ زيادة الكفاءة، وذلك شريطة بقاء بقية الشروط على حالها. بوضع طبقة انتقالية عازلة يمكن إلى حدّ كبير إيقاف هذه التفاعلات غير المباشرة بين الطبقة العضوية الفعالة ضوئياً والمسرى. ولكن ينبغي ألاّ تزيد ثخانة هذه الطبقة العازلة على 5 nm، وذلك كي لا تعيق المقاومة الكهربائية لهذه الطبقة الانتقالية الانتقال الأسهل لحوامل الشحنات بين الطبقة الفعالة ضوئياً والمسرى<sup>121</sup>. ولقد جرى البرهان على تحسّن الكفاءة في تجهيزات ذات طبقة انتقالية صُنعت من فلوريد الليثيوم بطريقة توضع الأبخرة.



إن أكثر المواد البوليميرية المانحة للإلكترونات شيوعاً هي PPV وبوليميرات الألكيل ثيوفين. أما المواد البوليميرية المتقبلة للإلكترونات فهي بوليميرات PPV المُستبدل فيها سيانو، وبولي (p-بيريديل فينيلين). هنالك أيضاً متقبّلات إلكترونات منخفضة الوزن الجزيئي، تضم الفولرينات ومشتقات البيريلين، مثل رباعي بنزيل بيريلين-3،4،9،10- رباعي كربوكسيلات<sup>122</sup>.

لقد تلقت التجهيزات الفوتوفولطائية المبنية على أساس بوليميرات مترافقة اهتماماً كبيراً<sup>55</sup>. ولقد جرت دراسة التجهيزات الأكثر شيوعاً المؤسسة على MEH-PPV. وتحت شروط مؤاتية، جرى تحقيق نماذج مخبرية بكفاءة تحويل طاقة تعادل 3 في المئة. ولقد وُجدَ أنّ خلأط من بوليميرات مترافقة مع الفولرينات مناسبة للتجهيزات الفوتوفولطائية. ينجم المفعول الفوتوفولطائي عن انتقال إلكترونات محرّض ضوئياً من البوليميرات المترافقة إلى الفولرينات. يُبين الشكل (3-12) رسماً بيانياً لشدة التيار بدلالة فرق الكمون في حالة خلية فوتوفولطائية على أساس الفولرين وبولي (2-ميثوكسي-5-(3،7-ثنائي ميثيل أوكتيل أوكسي)-1،4-فينيلين فينيلين) (MDMO-PPV).



الشكل (3-12): التيار بدلالة الكمون في خلية فوتوفولطائية على أساس MDMO-PPV<sup>55</sup>

تُظهر التجهيزات ذات الأطوار المنفصلة أداءً فوتوفولطائياً مُحسّناً. يجري التحكم بفصل الأطوار من خلال فصل المزائج في شبكات متداخلة. أثناء عملية الطلي الدوامي، يكون مدى انفصال الطور عن حالة المزيج الجيد، القائمة في الحالة السائلة، محدوداً بزمن

تبخّر المذيب المتطاير. وبعد التبخر الكامل للمذيب تصبح أي إعادة للترتيب مستحيلة، وتتنبّت مورفولوجيا الخليطة في مكانها.

تتيح المعالجة الحرارية للتجهيز أن تعيد البوليميرات المستعملة ترتيبها في حالة طاقتها أخفض. بهذه الطريقة، يمكن بناء الترادف الجزيئي المرغوب. من المعروف عن بعض بوليميرات الثيوفن أنها تتعقد أثناء المعالجة، مما يؤدي إلى تكوّن مناطق مرتبة، يسهل فيها انتقال الشحنات. يتيح تعقد البوليميرات في الخلائط تحسين انتقال الشحنات المتكوّنة عند الإضاءة إلى نقاط الاتصال، مخففاً بذلك احتمال إعادة انضمام الشحنات قبل استخلاصها<sup>123</sup>. ولقد جرى تصميم تجهيزات فوتوفولطائية مرنة بطلاء أوكسيد الإنديوم والقصدير على أغشية بولي(إيثيلين تريفثالات).

يمكن تبيان أثر المورفولوجيا، إذا جرى تصنيع المواد نفسها بالطريقة نفسها، ولكن باستعمال مذيب مختلف عند الطلي الدوّامي. فهناك فارق كبير في الأداء النهائي إذا جرى إنتاج خلية فوتوفولطائية من MDMO-PPV والفولرين من محلول التولوين أو من محلول الكلوروبنزين.

لقد جرى صنع تجهيزات فوتوفولطائية على أساس PPV المشوب بـ DCM<sup>82</sup>. يمتص DCM الضوء بأطوال موجات أطول من PPV. تستعمل صفائح زجاجية مع ITO بصفتها ركائز، وتستعمل طبقة بينية من PEDOT المشوب ببولي(حمض ستيرين السلفوني)، ثم يُطبق بوليمير PPV المشوب بـ DCM. وفي النهاية يجري توضع المساري من الألمنيوم بالتبخير تحت الخلاء.

جرى اختبار التجهيزات باستعمال مصباح كزينون بوجود مرشح AM1.5،  $100 \text{ mW cm}^{-2}$ . ولقد ذُكر أنّ كثافة تيار الدارة المقصورة في هذه التجهيزة بعينها يساوي  $2.77 \mu\text{A cm}^{-2}$ ، وأنّ كمون الدارة المفتوحة يساوي 1.15 V. أمّا كفاءة تحويل الطاقة فهي 0.00055 في المئة تحت إضاءة AM1.5<sup>82</sup>.

تتوضع كسر البيفلورين متعامدة في قطع السبيرو. لذلك تكون السلاسل البوليميرية الناتجة ملتوية، مما يقلل من المفاعيل المتبادلة بين الجزيئات. وأكثر من ذلك فإنّ رصّ السلاسل البوليميرية يكون أقلّ كثافة. ومن ناحية أخرى، فإنّ ازدياد صلابة السلاسل يرفع درجة حرارة الانتقال الزجاجي. إنّ درجة حرارة الانتقال الزجاجي لهذه البوليميرات تتراوح بين 170 و222 درجة مئوية.

لهذا السبب فقد جرى اصطناع بوليمير بولي [6،3-بيس-(7،3)-ثنائي ميثيل أوكثيل أوكسي]-9،9-سبيروبيفلورينيل-7،2-فينيلين [ (OC10)2-spiro-PFV ]، وغيره من البوليميرات المشتركة المتعلقة به، واختبارها كتجهيزات فوتوفولطائية<sup>124</sup>. تقع ثخانة الطبقة الفعالة ضوئياً في المجال 70–75 nm، وجرى استعمال LiF/Al بصفته مسرى مهبطياً.

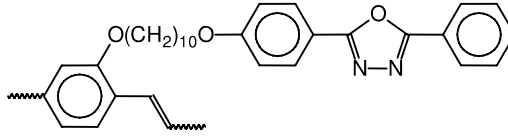
إنّ لنسبة تغذية البوليمير المشارك تأثيراً كبيراً على كفاءة تحويل الطاقة. فهي تزداد مع ازدياد المحتوى من MEH-PPV. ولقد جرى الحصول على كفاءة تحويل للطاقة أعظمية مقدارها 1.30 في المئة في حالة بوليمير مشترك من (OC10)2-spiro-PFV و MEH-PPV بنسبة 50:50. ولكن وُجدت كفاءة تحويل للطاقة مقدارها 2.10 في المئة مع بوليمير MEH-PPV أصيل.

يؤدّي استعمال مواد ذات درجة حرارة تحوّل زجاجي أعلى إلى تحسين جوهري في الاستقرار الحراري للأداء الفوتوفولطائي<sup>125</sup>. يُفسّر ذلك بالمورفولوجيا الضخمة الأكثر استقراراً لهذه المواد. يبيّن الجدول (7-3) درجات حرارة الانتقال الزجاجي لبوليميرات PPV.

الجدول (7-3): درجات حرارة التحوّل الزجاجي لبوليميرات PPV		
المراجع	T <sub>g</sub> / °C	البوليمير
125	45	MDMO-PPV
56	68	MEH-PPV
56	108	M3EH-PPV
126	150	PPV مع سلسلة جانبية C <sub>10</sub>
124	177	PPV معدّل بمونوميرات سبيروبيفلورينيل

لقد تبين أنّ المعالجة الحرارية في بوليمير MEH-PPV المعدّل بمركب رباعي بنزيل بيريلين-10،9،4،3-رباعي كربوكسيلات تؤدّي إلى تكوّن شبكات بلورية داخل البوليمير. وهذه الشبكة تحسّن تحسناً كبيراً الكفاءة الكمومية الخارجية، وكفاءة تحويل الطاقة<sup>122</sup>.

إنّ ضمّ كسارات الأوكساديازول، الفقيرة جداً بالإلكترونات في PPV/MEH-PPV بصفتها سلاسل جانبية يزيد معدل تفكك الإكسيتونات، ويعزز انتقال الإلكترونات<sup>127</sup>. تتصل كسرات الأوكساديازول بالسلسلة الرئيسية بواسطة روابط C<sub>10</sub> ألكيل أوكسي، انظر الشكل (3-13). من المفترض أنّ معدل تفكك الإكسيتونات يتبع قانون تفكك أسي. إنّ معامل التفكك  $\tau$  (وهو وضوحاً العمر الوسطي) لـ PPV/MEH-PPV المحتوي على الأوكساديازول يساوي 0.4 ns، في حين يساوي معامل التفكك في MEH-PPV النقي 0.65 ns.



الشكل (3-13): وحدات أوكساديازول المستعملة لتحسين أداء الخلايا الشمسية<sup>127</sup>

لقد ذُكر سابقاً أنّ وحدات الثيوفين تُظهرُ خواص مانح جيّد، ولكنّ التجهيزات المبنية على أساس بولي (ثيوفين) تُبدي فرق كمون منخفض في الدارة المفتوحة. وبالمقابل، نرى أنّ تجهيزات الخلايا الشمسية المؤسسة على بوليمير PPV تتمتع بفرق كمون أعلى في الدارة المفتوحة. هذا السبب يجعلنا نفكر في جمع كلتا الوندتين البنيويتين في بوليمير<sup>128,13</sup>. بمثل هذه التركيبية يمكن تحقيق فرق كمون في الدارة المفتوحة قدره 900 mV، وكفاءة في تحويل الطاقة قدرها 1.2 في المئة.

باستعمال تقنية نفث الحبر، يمكن وضع شبكات مرتبة إلى حدّ ما مكونة من مادتين اثنتين على الأقل تتمتعان بميل مختلف نحو الإلكترونات<sup>129</sup>. لقد جرت تجربة هذه الطريقة في حالة MEH-PPV و PPV مُستبدل فيه سيانو.

يضمن وجود موادّ مستجيبة ضوئياً، ذات ميل مختلف نحو الإلكترونات جنباً إلى جنب، عملية فصل فعّالة للشحنات عند تكوّن الإكسيتونات في منطقة الاستجابة الضوئية وذلك عند تعرّض هذه الأخيرة للضوء. ويفضّل جعل ثخانة البقع أصغر ما يمكن وذلك لجعل طول الانتشار الجانبي أصغرياً. المقصود هنا هو المسافة التي ينبغي أن يقطعها حامل الشحنة قبل أن يجري التقاطه في منطقة ذات ميل عالٍ أو منخفض للإلكترونات. إنّ التوزّع الفراغي للمواد المختلفة يحسّن فعالية التجهيزة.

إنّ التجهيزات الفوتوفولطائيّة حسّاسة عموماً للأوكسجين الجوّي والرطوبة، مما يُنقص زمن خدمتها. ولقد جرى البرهان على أنّ تغليف الخلايا الشمسيّة المبنيّة على أساس MDMO-PPV ببولي (إيثيلين نفتالات) (PEN) يزيد عمر خدمتها من عدّة ساعات إلى ما يزيد على أربعة أشهر<sup>130</sup>. وعموماً يُستعمل PEN بصفته مادّة حاجزة فائقة.

### 3.5.3. الألياف النانويّة من بوليمير (p-فينيلين فينيلين)

يمكن اصطناع ألياف نانويّة من PPV بغزل كهربائي (Electrospinning) لبوليمير طبيعي لـPPV في محلول كحولي. يستعمل الغزل الكهربائي شحنة كهربائيّة لتكوين ألياف رفيعة. يُشبه الغزل الكهربائي البخّ الكهربائي (Electrospraying). يُنفثُ محلول بوليميري من خلال إبرة رفيعة مشحونة كهربائياً. تجعل الشحنات الكهربائيّة القطيرة تمتدّ، وإذا كانت لزوجة القطيرة مرتفعة بقدر كاف، لا تنتشر القطرات كما في تقنيّة البخّ الكهربائي، بل يتكوّن دفقٌ سائل. يُطبّق فرق كمون من مرتبة 10 kV. وبعد معالجة حراريّة عند 180 درجة مئويّة يتحول بوليمير PPV الطبيعي إلى ألياف PPV.

يمكن التحكم بالمورفولوجيا باستعمال بولي(كحول فينيل) PVA/بوليميرات طبيعيّة لبوليمير PPV<sup>132,131</sup>. يمكن توصيف مورفولوجيا الألياف باستعمال مجهر ماسح إلكتروني، أو مجهر فلوري. مقارنةً بالمادّة الكتلّية يُبدي طيف التألّق الفلوري للألياف النانويّة من PPV/PVA، ومن الألياف النانويّة المركّبة المصنوعة من PPV/MEH-PPV، انزياحاً محسوساً نحو الأزرق، كما تكون شدّة تألّقه الفلوري أعلى، وكمونه الضوئي السطحي أعلى<sup>133,132</sup>.

إنّ، يمكن اصطناع ألياف نانويّة ذات تألّق فلوري من الأخضر المصفرّ حتى الأزرق. للألياف النانويّة تطبيقات محتملة في التجهيزات الإلكترونيّة والبصريّة.

### 4.5.3. الأنابيب النانويّة من بوليمير (p-فينيلين فينيلين)

تُظهر الأنابيب النانويّة من PPV أزمنة تحلّل تألّق فلوريّ مختلفة اختلافاً ملحوظاً مقارنةً بالعينيّات المُجملة Bulk<sup>6</sup>.

تقع الأنابيب النانوية الكربونية موقع الاهتمام بصفتها مدافع إلكترونية محتملة في شاشات العرض الرقيقة<sup>6</sup> وتُبدى الأنابيب النانوية الكربونية العديد من الخواص المرغوبة لتحسين إصدار الحقل فهي تتمتع بما يلي:

- موصليّة كهربائيّة وحراريّة جيّدتان،
- مقاومة ميكانيكيّة جيّدة،
- نسبة بُعديّة مرتفعة،
- وطاقة تحرّر منخفضة إلى حدّ مقبول.

ولقد جرى استعمال أنابيب نانوية كربونية جرافيتياً من PPV محضرة في غشاء ألومينا، بدلاً من أنابيب نانوية كربونية. جرى بعد ذلك استعمال هذه الأنابيب النانوية بعد تضمينها جسيمات نانوية من الذهب في تصنيع تجهيزات مُصدرة للحقل<sup>134</sup>. إن أداء هذه التجهيزات مماثل إذا لم نقل أنه أفضل من أداء مثيلاتها المؤسسة على أساس أنابيب نانوية كربونية. ونجد انخفاضاً ملموساً في طاقة التحرر وحقل الإشعاع بسبب وجود جسيمات الذهب النانوية. وكذلك فقد تضاعف معامل تضخيم الحقل مرتين بسبب تضمين جسيمات الذهب النانوية.

### 5.5.3. المَحَسَّات

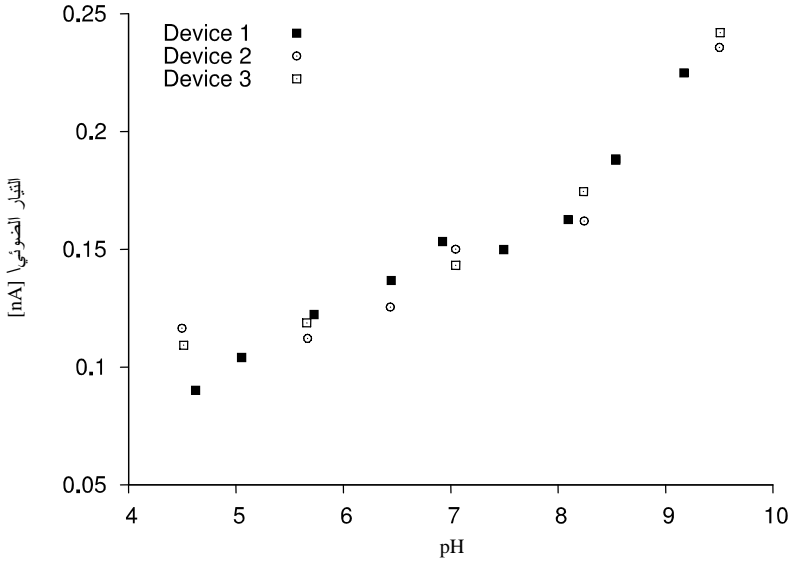
#### 1.5.5.3. مَحَسَّات الحموضة pH

لقد جرت الإشارة إلى موصل ضوئي حسّاس للـ pH على أساس PPV<sup>135</sup>. يعتبر كشف التغيرات الموضعية في مقدار الـ pH باستعمال محسّات صغيرة الحجم محطّ اهتمام خاصّ في تطبيقات طبية، وحيوية، وبيئية متنوّعة. لقد لوحظت زيادة في التيار العاتم، والتيار الضوئي عند تعريض صفائح رقيقة 25–30 nm من PPV لمحاليل مائية. إنّ تغيّر التيار الضوئي تابع لقيمة pH.

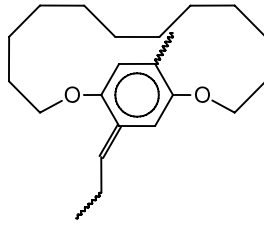
ولقد لوحظت تبعيّة خطيّة إلى حدّ ما للتيار الضوئي بدلالة الـ pH في المجال من 4.5 إلى 9.5. التيار العاتم هو من مرتبة  $10^{-14}$  A، بعد الإنارة يرتفع التيار بحدّة ويستقرّ بعد مرور 10 إلى 100 ثانية، ويكون التيار الضوئي من مرتبة النانو أمبير. النتائج عكوسة وقابلة للتكرار. يبيّن الشكل (3-14) تبعيّة التيار لقيمة الـ pH.

### 2.5.5.3. مُحسّنات الغاز

إنّ بوليمير BDA-PPV، وهو نوع جسريّ من PPV، مناسبٌ للاستعمال في نظام مسارٍ متداخلة، انظر الشكل (3-17)، وذلك للكشف الانتقائي عن  $\text{NO}_2$ <sup>29</sup>. الوحدات المتكرّرة في البوليمير مبيّنة في الشكل (3-15).



الشكل (3-14): التّيار الضوئي مقابل قيمة الـ pH<sup>135</sup>

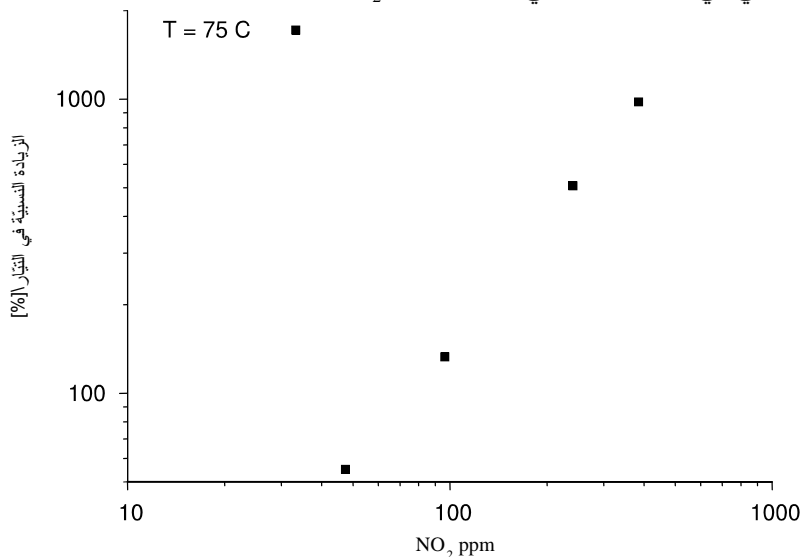


الشكل (3-15): الوحدات المتكرّرة في بوليمير (2،15-ثنائي أوكسابيسيكلو (2.2.14) إيكوزا-

1(19)16،(20)17-تريين -19،17-إيلين فينيلين) (BDA-PPV)<sup>29</sup>

تُقلّل البنى الجسريّة الجسيمة المفاعيل المتبادلة بين الجزيئات، وذلك مقارنةً بأنواع PPV الأخرى. يجري توضع أغشية متعدّدة الطبقات على ركائز سيليكونيّة ذات مسارٍ ذهبيّة متداخلة.

لقد جرى اختبار الخصائص التحسسية للتجهيزة على كل من  $\text{NO}_2$  و  $\text{CO}$  و  $\text{NH}_3$  و  $\text{SO}_2$  في درجات حرارة مختلفة. من بين الغازات المشار إليها، لم تستجب الموصلية الكهربائية إلا لغاز  $\text{NO}_2$ ، مبيّنة بذلك استجابة انتقائية لهذا الغاز. يبيّن الشكل (3-16) التغيّر النسبي في التيار الكهربائي تبعاً لتركيز  $\text{NO}_2$ .



الشكل (3-16): الاستجابة الكهربائية للتجهاز بدلالة تركيز  $\text{NO}_2$  <sup>29</sup>

إنّ البوليميرات المشتركة التعاقبية على أساس PPV مع وحدات أكسيد الفينيلين مناسبة لكشف الأبخرة العضوية مثل الأستيون، والإيثانول، وأستينات الإيثيل، والهكسان، والتولوين، وحمض الخل، والميثانول، وإيثر ثنائي إيثيل <sup>136</sup>. التجهيزة مبنية بشكل مسارٍ نحاسية مطلية بالذهب ومتداخلة تبعد عن بعضها البعض مسافة 1 mm. لم تسجل استجابة عند تعريض المحسّ للهواء المشبع بالماء، لذلك لا تؤثر الرطوبة في الأداء.

### 3.5.5.3. مُحسّات قياس الممانعة

يتمثّل عمل مُحسّات قياس الممانعة (Impedimetric sensors) بتغيّر الخواص الكهربائية للمسرى مع تغيّر خواص سطحه. يمكن استكشاف الخواص الكهربائية للمساري ذات السطح المعدّل باستعمال مطيافية الممانعة <sup>137,138</sup>.



من المناسب الآن أن نستعرض بعض التعابير التقنيّة. ترتبط المقاومة الكهربائيّة  $R$  بشدّة التيار  $I$  وبفرق الكمون  $U$  وفق قانون أوم بالعلاقة :

$$(1-3) \quad R = \frac{U}{I}$$

في النظم حيث فرق الكمون والتيار متناوبان، يمكن تمثيل هذه المقادير بأعداد عقديّة. يُعطى فرق الكمون بتبعية جيبية للزمن  $(t)$  بالعلاقة

$$u(t) = U_{\max} \cos(2\pi vt + \phi)$$

حيث  $v$  هو التواتر، و  $\phi$  هو فرق الصفحة. إنّ  $u(t)$  مقدار حقيقي. ولكنّ المختصين بالكهرباء يُفضلون استعمال المقدار العقدي الموافق، وذلك تسهيلاً للحسابات فيكتبون

$$U(t) = U_{\max} \exp(i2\pi vt) \exp(i\phi)$$

هنا  $U(t)$  مقدار عقدي. وهو يُمثّل في المستوي العقدي بشعاع يدور مع الزمن. الأمر نفسه صحيح دون تعديل فيما يتعلّق بالتيار الكهربائي. في نظم التيار المتناوب تُعرف المقاومة من المعادلة (1-3) باسم الممانعة  $Z$ ، وهي تُعرف إذن بالعلاقة

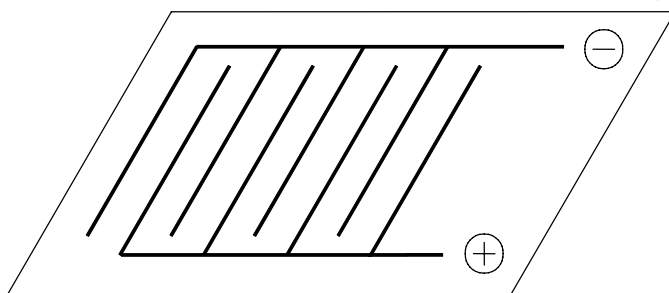
$$(2-3) \quad Z(t) = \frac{U(t)}{I(t)}$$

يمكن حساب الممانعة في العديد من التجهيزات الكهربائيّة الأساسيّة. فمثلاً، في حالة مقاومة أوميّة تكون الممانعة هي  $Z = R$ ، وفي حالة سعة مثاليّة تكون الممانعة هي  $Z = -i/(2\pi vC)$ ، وفي حالة وشيعة مثاليّة  $Z = -i2\pi vL$ ، حيث  $C$  هي السعة الكهربائيّة و  $L$  هي التحريضيّة الكهربائيّة.

يسمّى الجزء الحقيقي من الممانعة باسم الجزء المُقاوم، أو المُقاومة اختصاراً. أمّا الجزء التخيلي من الممانعة فيسمّى الجزء المُنفَعِل، أو الانفعاليّة Reactance اختصاراً.

تقيس مطيافية الممانعة تبعية الممانعة الكهربائية للتواتر. في مُحسّات قياس الممانعة، يجري امتصاص الجزيئات المراد توصيفها من قبل المساري، أو في السطح الواقع بين المساري. تُغيّر عملية الامتصاص هذه الأداء الكهربائي للتجهيزة، وبقياس الممانعة بين المسريين يمكن استخلاص بعض النتائج<sup>141</sup>.

إنّ المبدأ الأساسي الذي يقف وراء تقنيات قياس الممانعة هو مطيافية الممانعة الكهربائية. تستعمل هذه التقنيات، بسبب حساسيتها، في تطبيقات حيوية وبيئية، ولكن بدرجات نجاح متفاوتة. هناك تشكيلة واسعة معروفة من التصاميم لتجهيزات تهدف إلى تحليل موادّ حيوية<sup>141,138</sup>.



الشكل (3-17): مخطّط مبسّط لسعة متداخلة المساري<sup>140,139</sup>

يبين الشكل (3-17) مخطّطاً مبسّطاً ممكناً لنموذج نظام مساري. توضع المساري على ركيزة تمتص الجزيئات المراد تحليلها امتصاصاً انتقائياً، يؤدي ذلك إلى تغيير قابل للكشف في خواص العازلية الكهربائية للفراغ الواقع بين المسريين.

إنّ الوحدات الأساسية في التصميم المبين في الشكل (3-17) هي وحدات متكرّرة الاستعمال في تقانة المُحسّات. فقد جرى استعمال مثل هذه التجهيزة في كشف سلوك إنضاج الطلاءات<sup>142</sup>. التوجّه الحالي هو نحو التصنيع النانوي بهدف تحسين أداء المُحسّات الحيوية لقياس الممانعة، ويمكن الوصول إلى مساري وفراغات بين المساري عرضها يتراوح بين 250 إلى 500 nm<sup>139</sup>. عملياً، يجري استعمال تجهيزات ذات طبقات مُتمّمة حتّى يجري فيزيائياً ادمصاص بعض الأجسام المضادة على أغشية بوليميرية رقيقة، وذلك أثناء عملية التصنيع<sup>143</sup>.

## 6.3. الموردون والعلامات التجارية

يحتوي الجدول (3-8) أسماء الموردين والعلامات التجارية، ويضم الجدول (3-9) الأسماء التجارية التي جرت الإشارة إليها في المراجع.

## 7.3. الأمان

لم تجر الإشارة إلى أي مخاطر خاصة استثنائية في حالة MEH-PPV و MDMO-PPV.

الجدول (3-8): أمثلة على بوليميرات (الآريلين فينيلين) المتوفرة تجارياً

المورد	بوليميرات الـ PPV
<sup>a</sup> Sigma-Aldrich	BEHP-co-MEH-PPV
Sigma-Aldrich	PSS PPV-co-MEH-PPV
Sigma-Aldrich	BEHP -PPV
Sigma-Aldrich	MDMO-PPV
Sigma-Aldrich	ملح البوتاسيوم، MPS-PPV
Sigma-Aldrich	PSS PPV
Sigma-Aldrich	BTEM-PPV
Sigma-Aldrich	BEH-PPV
Sigma-Aldrich	PSS PPV-co-MEH-PPV
H. W. Sands	MEH-PPV
<sup>a</sup> Covion(Merck)	بوليميرات MDMO-PPV المشتركة
المركبات الطليعية	
Sigma-Aldrich	5،2-بيس-(بروموميثيل)-1-ميثوكسي-4-أوكثيل أوكسي بنزين
Sigma-Aldrich	5،2-بيس-(كلوروميثيل)-1،4-بيس-(أوكثيل أوكسي)-بنزين
Sigma-Aldrich	5،2-بيس-(كلوروميثيل)-1-ميثوكسي-4-(7،3'-ثنائي ميثيل أوكثيل أوكسي) بنزين
Sigma-Aldrich	5،2-بيس-(أوكثيل أوكسي)-بنزين-4،1-ثنائي أسيتونتريل
Sigma-Aldrich	5،2-بيس-(أوكثيل أوكسي)-ترفتال ألدهيد
Sigma-Aldrich	2-ميثوكسي-5-(7،3'-ثنائي ميثيل أوكثيل أوكسي) بنزين-4،1-ثنائي أسيتونتريل
Sigma-Aldrich	پولي ((m-فينيلين فينيلين)-alt-(5،2-ثنائي بوتوكسي-p-فينيلين فينيلين))
Sigma-Aldrich	محلول پولي (p-كزيلين رباعي هيدروثيوفينيوم كلوريد)
Sigma-Aldrich	پولي(5،2-ثنائي هكسيل أوكسي-4،1-فينيلين فينيلين)

<sup>a</sup> هناك أنواع أخرى من PPV متوفرة.

### الجدول (3-9): الأسماء التجارية الواردة في المراجع

المورد	الاسم التجاري
	Baytron® P
Bayer AG.	معقد من بولي (4،3-إيثان ثنائي أوكسي ثيوفين) وبولي (حمض ستيرين السلفوني) <sup>123</sup>
DuPont	Luxprint® 7144 حبر ناقل كربوني <sup>118</sup>
DuPont	Luxprint® 7145L حبر ناقل فضي <sup>118</sup>
DuPont	Luxprint® 7151 معجون فوسفوري متألق كهربائياً <sup>118</sup>
DuPont	Luxprint® 7153E معجون تيتانات الباريوم <sup>118</sup>
Goldschmidt Chemical Corp.	Tegoglide™ 410 خافض للتوتر السطحي من بولي (سيلوكسان) <sup>118</sup>
Goldschmidt Chemical Corp.	Tegowet® بوليمير مشترك خافض للتوتر السطحي من بولي (سيلوكسان)- بولي (إستر) <sup>118</sup>
DuPont	Zonyl® 7950 خافض للتوتر السطحي مُفلور <sup>118</sup>
DuPont	Zonyl® FSO 100 خافض للتوتر السطحي فلوري لا شاردي مُعالج بالإيثوكسيلات <sup>118</sup>

### المراجع

1. A. Kraft, A. C. Grimsdale, and A. B. Holmes. "Electroluminescent Conjugated Polymers-Seeing Polymers in a New Light." *Angewandte Chemie International Edition*: vol. 37, no. 4, 1998, pp. 403–428.
2. S. Iwatsuki, M. Kubo, and T. Kumeuchi. "New Method for Preparation of Poly(phenylenevinylene) Film." *Chemistry Letters*: (1991), pp. 1071–1074.

3. J. Wiesecke. "Untersuchungen zum Polymerisationsmechanismus der Gilch-Reaktion." (Ph.D Thesis, Technische Universität Darmstadt, Darmstadt, 2004).
4. I. Van Severen, F. Motmans, L. Lutsen, T. J. Cleij, and D. Vanderzande. "Poly(p-phenylene vinylene) Derivatives with Ester-and Carboxy-Functionalized Substituents: A Versatile Platform towards Polar Functionalized Conjugated Polymers." *Polymer*: vol. 46, no. 15, July 2005, pp. 5466–5475.
5. S. Kannoo, T. Saruhashi, S. Ishibe, K. Nakagawa, and I. Tomita. "Synthesis of Poly(p-phenylene-vinylene) Derivative Having Amphiphilic Substituents by Palladium-Catalyzed Three-Component Coupling Polymerization Of P-Bromophenylallene and Nucleophile Containing Oligooxyethylene Units." *Polymer Bulletin*: vol. 57, no. 6, October 2006, pp. 843–848.
6. S.-H. Joo, C.-Y. Lee, K. Kim, K.-R. Lee, and J.-I. Jin. "Chemical Vapor Deposition Polymerization of Poly(arylenevinylene)s and Applications to Nanoscience." *Bulletin of Korean Chemical Society*: vol. 27, 2006, pp. 169–184.
7. E. G. J. Staring, D. Braun, G. L. J. A. Rikken, R. J. C. E. Demandt, Y. A. R. R. Kessener, M. Bouwmans, and D. Broer. "Chemical Vapour Deposition of Poly(1,4-phenylenevinylene) Films." *Synthetic Metals*: vol. 67, no. 1-3, November 1994, pp. 71–75.
8. A. G. J. Staring, D. J. Broer, and R. J. C. E. Demandt. CVD method of providing a film of conjugated, substituted or unsubstituted poly(p-phenylene vinylene) on a substrate. US Patent 5 670 212, assigned to U.S. Philips Corporation (New York, NY), 23 September 1997.
9. K. M. Vaeth and K. F. Jensen. "Blue electroluminescent copolymers by par-ylene-based chemical vapor deposition." *Macromolecules*: vol. 33, 2000, pp. 5336–5339.
10. N. T. Tung, Y.-J. Yu, K. Kim, S.-H. Joo, Y. Park, and J.-I. Jin. "Versatile Preparation of Poly(1,4-phenylenevinylene-co-1,4-phenylene-1,2-ethanediyl) by CVD Polymerization of P-(methoxymethyl)benzyl chloride." *Journal of Polymer Science Part A: Polymer Chemistry*: vol. 43, 2005, pp. 742–751.
11. V. P. Conticello, D. L. Gin, and R. H. Grubbs. "Ring-opening Metathesis Polymerization of Substituted bicyclo[2.2.2]octadienes: A New Precursor Route to poly(1,4-phenylenevinylene)." *Journal of the American Chemical Society*: vol. 114, 1992, pp. 9708–9710.
12. Y.-J. Miao and G. C. Bazan. "Paracyclophene Route to Poly(p-phenylenevinylene)." *Journal of the American Chemical Society*: vol. 116, 1994, pp. 9379–9380.
13. L. Huo, J. Hou, C. He, M. Han, and Y. Li. "Synthesis, Characterization and Photovoltaic Properties of poly[1',4'-bis-(thienyl-vinyl)]-2-methoxy-5-(2'-ethylhexyloxy)-1,4-phenylene-vinylene." *Synthetic Metals*: vol. 156, nos. 2- 4, February 2006, pp. 276–281.

14. J. H. P. Utley and J. Gruber. "Electrochemical Synthesis of Poly(p-xylylenes) (PPXs) and Poly(p-phenylenevinylenes) (PPVs) and the Study of Xylylene (quinodimethane) Intermediates; an Underrated Approach." *Journal of Materials Chemistry*: vol. 12, 2002, pp. 1613–1624, 2002.
15. J. H. P. Utley and C. Z. Smith. "Electroorganic reactions. Part 53. The electrosynthesis of novel water-soluble poly-(p-xylylene)(PPX) and poly(p-phenylenevinylene)(PPV) polymers and co-polymers." *Journal of Materials Chemistry*: vol. 10, 2000, pp. 2642–2646.
16. E. G. J. Staring, R. C. J. E. Demandt, D. Braun, G. L. J. Rikken, Y. A. R. R. Kessener, A. H. J. Venhuizen, M. M. F. van Knippenberg, and M. Bouwmans. "Electroluminescence and Photoluminescence Efficiency of Poly(p-phenylenevinylene) Derivatives." *Synthetic Metals*: vol. 71, nos. 1-3, April 1995, pp. 2179–2180.
17. R. N. McDonald and T. W. Campbell. "Synthesis of hydrocarbon derivatives by the Wittig reaction. III. Wittig reaction as a polymerization method." *Journal of the American Chemical Society*: vol. 82, 1960, pp. 4669–4671.
18. J. Wiesecke and M. Rehahn. "The Effect of Persistent TEMPO Radicals on the Gilch Polymerization." *Macromolecular Rapid Communications*: vol. 28, 2007, pp. 78–83.
19. X. Wu, G. Shi, F. Chen, S. Han, and J. Peng. "High-quality Poly[2-methoxy-5-(2'-ethylhexyloxy)-p-phenylenevinylene] Synthesized by a Solid-Liquid Two-Phase Reaction: Characterizations and Electroluminescence Properties." *Journal of Polymer Science Part A: Polymer Chemistry*: vol. 42, no. 12, June 2004, pp. 3049–3054.
20. H. Bai, X. Wu, and G. Shi. "Synthesis and Characterization of Poly(1,5naphthylene vinylene) and its Copolymers with poly(2-methoxy-5-(2'-ethylhexyloxy)-p-phenylene Vinylene)." *Polymer*: vol. 47, no. 5, February 2006, pp. 1533–1537.
21. J. P. Ferraris and J. J. Gutierrez. Light-emitting block copolymers composition, process and use. US Patent 7 135 241, assigned to Board of Regents, The University of Texas System (Austin, TX), 14 November 2006.
22. J. D. Stenger-Smith, W. P. Norris, A. P. Chafin, and S. T. Sackinger. Process for making amino functional poly(para-phenylene vinylene)s. US Patent 5 578 699, assigned to The United States of America as represented by the Secretary of the Navy (Washington, DC), 26 November 1996.
23. H. Wang, N. Song, H. Li, Y. Li, and X. Li. "Synthesis and characterization of a partial-conjugated hyperbranched poly(p-phenylene vinylene) (HPPV)." *Synthetic Metals*: vol. 151, no. 3, August 2005, pp. 279–284.
24. C. A. Gedelian, G. A. Ten Eyck, and T.-M. Lu. "Onset of thermal degradation in poly(p-phenylene vinylene) films deposited by chemical vapor deposition." *Synthetic Metals*: vol. 157, no. 1, January 2007, pp. 48–52.

25. G. Qu, F. Jiang, S. Zhang, and S. Usuda. "A Novel Poly(p-phenylene vinylene)-b-poly(methyl methacrylate) Rod-Coil Diblock Copolymer." *Materials Letters*: vol. 61, no. 16, June 2007, pp. 3421–3424.
26. T.-Q. Nguyen, R. Y. Yee, and B. J. Schwartz. "Solution Processing of Conjugated Polymers: The Effects of Polymer Solubility on the Morphology and Electronic Properties of Semiconducting Polymer films." *Journal of Photochemistry and Photobiology A*: vol. 144, no. 1, October 2001, pp. 21–30.
27. R. Tang, Z. Tan, C. Cheng, Y. Li, and F. Xi. "Synthesis, Electroluminescence, and Photovoltaic Properties of Dendronized Poly(p-phenylene vinylene) Derivatives." *Polymer*: vol. 46, no. 14, June 2005, pp. 5341–5350.
28. B. H. Cumpston and K. F. Jensen. "Photo-oxidation of Polymers Used in Electroluminescent Devices." *Synthetic Metals*: vol. 73, no. 3, August 1995, pp. 195–199.
29. F. Babudri, G. M. Farinola, S. Giancane, F. Naso, R. Rella, A. Scarpa, and L. Valli. "Deposition and Application in Gas Sensors of Thin films of a Bridged Chain Dialkoxy PPV Derivative." *Materials Science and Engineering C*: vol. 22, no. 2, December 2002, pp. 445–448.
30. G. Wantz, L. Hirsch, N. Huby, L. Vignau, J. F. Silvain, A. S. Barriere, and J. P. Parneix. "Correlation between the Indium Tin Oxide Morphology and the Performances of Polymer Light-Emitting Diodes." *Thin Solid Films*: vol. 485, nos., 1-2, August 2005, pp. 247–251.
31. H. Y. Chu, D.-H. Hwang, L.-M. Do, J.-H. Chang, H.-K. Shim, A. B. Holmes, and T. Zyung. "Electroluminescence from Silyl-disubstituted PPV Derivative." *Synthetic Metals*: vol. 101, nos. 1-3, May 1999, pp. 216–217.
32. R. Tang, X. Xu, C. Cheng, G. Yu, Y. Liu, and F. Xi. "Synthesis and Luminescence Properties of Novel Phenyl-substituted Poly(p-phenylene vinylene) Derivatives." *Synthetic Metals*: vol. 150, no. 1, April 2005, 63–71.
33. S. Srinivasan, H. Neugebauer, and N. S. Sariciftci. "Electrochemically induced IRAV modes of BeCHA-PPV studied with in situ FTIR-ATR spectroscopy." *Synthetic Metals*: vol. 84, nos. 1-3, January 1997, pp. 635–636.
34. L. X. Chen, W. J. H. Jager, D. J. Gosztola, M. P. Niemczyk, and M. R. Wasielewski. "Effects of Chemical Modifications on Photophysics and Exciton Dynamics of [pi]-conjugation Attenuated and Metal-chelated Photoconducting Polymers." *Synthetic Metals*: vol. 116, nos. 1-3, January 2001, pp. 229–234.
35. H. Rost, B. S. Chuah, D.-H. Hwang, S. C. Moratti, A. B. Holmes, J. Wilson, J. Morgado, J. J. M. Halls, J. C. De Mello, and R. H. Friend. "Novel luminescent polymers." *Synthetic Metals*: vol. 102, nos. 1-3, June 1999, pp. 937–938.

36. C. Y. Yang, A. J. Heeger, and Y. Cao. "Microstructure of gel-processed blends of conjugated polymer and ultrahigh molecular weight polyethylene." *Polymer*, 41(11):4113–4118, May 2000.
37. C. Dridi, N. Blel, A. Chaieb, M. Majdoub, M. S. Roudesli, J. Davenas, H. B. Ouada, and H. Maaref. "The Effect of Synthesis Procedure on Physical Properties of Poly(p-phenylene vinylene) Derivatives." *European Polymer Journal*: vol. 37, no. 4, April, 2001, pp. 683–690.
38. Q. Zhang, M. Yang, P. Wu, H. Ye, and X. Liu. "New Disilyl-substituted poly(phenylene vinylene)-related Polymers: Synthesis and Photoelectric Properties." *Materials Science and Engineering B*: vol. 113, no. 2, October 2004, pp. 130–135.
39. K. Murata, S. Kuroda, Y. Shimoi, S. Abe, T. Noguchi, and T. Ohnishi. "Photon-energy Dependence of Light-induced ESR for Poly(p-phenylene vinylene) and its Derivatives." *Synthetic Metals*: vol. 91, nos. 1-3, December 1997, pp. 359–362.
40. G. S. Samal, A. K. Biswas, S. Singh, and Y. N. Mohapatra. "Electroabsorption Spectroscopic Study of Cyano-substituted Phenylene Vinylene Polymer (CN-PPV)." *Synthetic Metals*: vol. 155, no. 2, November 2005, pp. 303–305.
41. B.-h. Wang, J. Yin, M. Xue, J. Wang, G. Zhong, and X. Ding. "Synthesis and Characterization of a Novel Poly(p-phenylenevinylene) derivative containing dibenzothiophene-5,5-dioxide Moiety in the Main Chain with High Electron Affinity." *Thin Solid Films*: vol. 424, no. 2, v January 2003, pp. 186–190.
42. P.L. Burn, D. D. C. Bradley, A. R. Brown, R. H. Friend, and A. B. Holmes. "Studies on the Efficient Synthesis of Poly(phenylenevinylene) (PPV) and Poly (dimethoxy phenylenevinylene) (dimethoxy-PPV)." *Synthetic Metals*: vol. 41, nos. 1-2, April 1991, pp. 261–264.
43. S. Courric and V. H. Tran. "The Electromagnetic Properties of Poly(p-phenylene-vinylene) Derivatives." *Polymer*: vol. 39, no. 12, 1998, pp. 2399–2408.
44. D.-H. Hwang, S. T. Kim, H.-K. Shim, A. B. Holmes, S. C. Moratti, and R. H. Friend. "Highly Efficient Green Light-Emitting Diodes with Aluminium Cathode." *Synthetic Metals*: vol. 84, nos., 1-3, January 1997, pp. 615–618.
45. J. D. White, W. Y. Sun, S. C. Su, J. H. Hsu, T. L. Lim, and W. S. Fann. "On Sealing Effects and Oxygen Dependence of Non-recoverable Intensity Drops in Short-Chain-Conjugated Polymers." *Journal of Luminescence*: vol. 98, nos. 1-4, July 2002, pp. 45–48.
46. C. Belton, D. O'Brien, A. Cadby, P. Lane, H. J. Byrne, R. Stockmann, H.-H. Hörhold, D. D. C. Bradley, and W. J. Blau. "Excited State Inhibition of Luminescence in DPOP-PPV." *Synthetic Metals*: vol. 119, nos. 1-3, March 2001, pp. 567–568.



47. H.-C. Huang, G.-L. Huang, H.-L. Chen, and Y.-D. Lee. "Immobilization of TiO<sub>2</sub> Nanoparticles on Carbon Nanocapsules for Photovoltaic Applications." *Thin Solid Films*: vols. 511-512, July 2006, pp. 203–207.
48. S.-H. Yang, J.-T. Chen, A.-K. Li, C.-H. Huang, K.-B. Chen, B.-R. Hsieh, and C.-S. Hsu. "New soluble poly(2,3-diphenylphenylene vinylene) derivatives for light-emitting diodes." *Thin Solid Films*: vol. 477, nos. 1-2, April 2005, pp. 73–80.
49. W. Holzer, A. Penzkofer, R. Stockmann, H. Meysel, H. Liebegott, and H. H. Horhold. "Energy Density Dependent fluorescence Quenching of Diphenyl Substituted Phenylene-vinylene and Diphenylene-vinylene Polymers by Exciton-exciton Annihilation." *Synthetic Metals*: vol. 125, no. 3, December 2001, pp. 343–357.
50. G. Ramachandran, T. A. Smith, D. Gomez, and K. P. Ghiggino. "Fluorescence Studies on the Conjugated Polyelectrolyte DPS-PPV [poly (2,5-dipropoxy sulphonato para phenylene) vinylene] in Aqueous Solution." *Synthetic Metals*: vol. 152, nos., 1-3, September 2005, pp. 17–20.
51. G. Ramachandran, G. Simon, Y. Cheng, and L. Dai. "Control of fluorescence Emission Color of benzo 15-crown-5 ether Substituted Oligo Phenylene vinylene-ceramic Nanocomposites." *Polymer*: vol. 46, no. 18, August 2005, pp. 7176–7184.
52. M. Cheng, Y. Xiao, W. L. Yu, Z. K. Chen, Y. H. Lai, and W. Huang. "Synthesis and Characterization of a Cyano-substituted Electroluminescent Polymer with well-defined Conjugation Length." *Thin Solid Films*: vol. 363, nos. 1-2, March 2000, pp. 110–113.
53. E. J. Harbron, D. H. Hadley, and M. R. Imm. "Solvent Effects on Phototriggered Conformational Changes in an Azobenzene-Functionalized Poly(p-phenylene vinylene)." *Journal of Photochemistry and Photobiology A*: vol. 186, nos. 2-3, February 2007, pp. 151–157.
54. A. Talaie, Y. K. Lee, G. Huh, K. M. Kim, H. Y. Jeong, D. J. Choo, J. Y. Lee, and J. Jang. "Improvement of the Photoluminescence Properties of MEH-PPV by Means of Copolymerization." *Materials Science and Engineering B*: vol. 85, nos. 2-3, August 2001, pp. 199–202.
55. C. J. Brabec, N. S. Sariciftci, and J. C. Hummelen. "Plastic Solar Cells." *Advanced Functional Materials*: vol. 11, no. 1, February 2001, pp. 15–26.
56. H.-H. Hörhold, S. Pfeiffer, A. Uhlig, G. Heine, and M. Helbig. Organic light-emitting diodes (OLED) including poly[2-methoxy5-(2'-ethyl-hexyloxy) -1,4-phenylene-1,2-ethenylene-2,5-dimethoxy1,4-phenylene-1,2-ethenylene] as electroluminescent material. US Patent 6 403 238, 11 June 2002.
57. Z. K. Wu, S. X. Wu, J. H. Liao, D. G. Fu, and Y. Q. Liang. "Two-dimensional ordered array of poly(2-methoxy,5-(n-hexadecyloxy) -p- phenylene vinylene) in monolayer by langmuir-blodgett technique." *Synthetic Metals*: vol. 130, no. 1, August 2002, pp. 35–38.

58. S. Yang, Z. Wang, X. Chen, X. Yang, Y. Hou, Z. Xu, L. Wang, and X. Xu. "Color-variable Electroluminescence from Poly(p-phenylene vinylene) Derivatives." *Displays*: vol. 21, nos. 2-3, August 2000, pp. 65–68.
59. T. Kurihara, Y. Mori, T. Kaino, H. Murata, N. Takada, T. Tsutsui, and S. Saito. "Spectra of  $\chi(3)(-3\omega; \omega, \omega)$  in poly(2,5-dimethoxy p-phenylene vinylene) (MO-PPV) for various conversion levels." *Chemical Physics Letters*: vol. 183, no. 6, September 1991, pp. 534–538.
60. A. T. H. Koch, N. T. Harrison, N. Haylett, R. Daik, W. J. Feast, and R. H. Friend. "Enhanced photostability of poly(1,3-phenylene diphenylvinylene) derivatives by diphenyl-substitution." *Synthetic Metals*: vol. 100, no. 1, March 1999, pp. 113–122.
61. G. He, C. Yang, R. Wang, and Y. Li. "Light-emitting electrochemical cells based on poly(2-methoxy-5-triethoxy-1,4-phenylene vinylene)." *Displays*: vol. 21, nos. 2-3, August 2000, pp. 69–72.
62. E. Kesters, S. Swier, G. Van Assche, L. Lutsen, D. Vanderzande, and B. Van Mele. "Non-isothermal elimination process in the solid state of n-alkyl-sulphinyl precursor polymers towards conjugated poly[2-(3',7' -dimethyloctyloxy)-5-methoxy-1,4-phenylene vinylene] studied with MTDSC and TGA." *Polymer*: vol. 47, no. 23, October 2006, pp. 7935–7942.
63. K. Yoshino, A. A. Zakhidov, H. Kajji, H. Araki, K. Tada, T. Noguchi, T. Ohnishi, and K. Yakushi. "Multiphase superconductivity in OO-PPV/C60 composite doped by alkali metals low-field microwave absorption and SQUID study." *Physica C*: vol. 264, nos. 3-4, June 1996, pp. 161–171.
64. Z. Wang, X. Chen, S. Yang, and X. Xu. "Electronic states in conjugated polymers probed by excimers." *Displays*, 21(2-3):73–77, August 2000.
65. H. S. Kang, K. H. Kim, M. S. Kim, K. T. Park, K. M. Kim, T. H. Lee, C. Y. Lee, J. Joo, D. W. Lee, Y. R. Hong, K. Kim, G. J. Lee, and J.-I. Jin. "Electrical characteristics of light-emitting diode based on poly(p-phenylenevinylene) derivatives: Czeh-PPV and Oxdeh-PPV." *Synthetic Metals*: vol. 130, no. 3, October 2002, pp. 279–283.
66. M. Breselge, I. Van Severen, L. Lutsen, P. Adriaensens, J. Manca, D. Vanderzande, and T. Cleij. "Comparison of the electrical characteristics of four 2,5-substituted poly(p-phenylene vinylene) derivatives with different side chains." *Thin Solid Films*: vols. 511-512, July 2006, pp. 328–332.
67. J. N. Wilking, B. Hsieh, and G. A. Arbuckle-Keil. "Chlorine precursor route to poly(2-phenoxy p-phenylene vinylene): Synthesis and characterization." *Synthetic Metals*: vol. 149, no. 1, February 2005, pp. 63–72.

68. M. Al-Ibrahim, A. Konkin, H.-K. Roth, D. A. M. Egbe, E. Klemm, U. Zhokhavets, G. Gobsch, and S. Sensfuss. "Phenylene-ethynylene/phenylene-vinylene hybrid polymers: Optical and electrochemical characterization, comparison with poly[2-methoxy-5-(3',7'-dimethyloctyloxy)-1,4-phenylene vinylene] and application in flexible polymer solar cells." *Thin Solid Films*: vol. 474, nos. 1-2, March 2005, pp. 201–210.
69. H. B. Gu, S. Morita, X. H. Yin, T. Kawai, and K. Yoshino. "Electrical and optical properties of conducting polymer composites consisting of conducting polymers with non-degenerated structure." *Synthetic Metals*: vol. 69, nos. 1-3, March 1995, pp. 449–450.
70. S.-H. Jin, H.-J. Lee, Y.-S. Gal, T. Zyung, H.-N. Cho, E. E. Gürel, and F. E. Karasz. "An alkylsilylphenoxy PPV chromophore." *Synthetic Metals*: vol. 130, no. 2, September 2002, pp. 203–212.
71. A. Chaieb, A. Khoukh, R. Brown, J. Francois, and C. Dagron-Lartigau. "Characterization of model luminescent PPV analogues with donating or withdrawing groups." *Optical Materials*: vol. 30, no. 2, October 2007, pp. 318–327.
72. T. Ohnishi, I. Murase, T. Noguchi, and M. Hirooka. "Highly conductive graphite film prepared from pyrolysis of poly(p-phenylene vinylene)." *Synthetic Metals*: vol. 14, no. 3, April 1986, pp. 207–213.
73. T. Ohnishi, I. Murase, T. Noguchi, and M. Hirooka. "Preparation of graphite film by pyrolysis of polymers." *Synthetic Metals*: vol. 18, nos. 1-3, February 1987, pp. 497–502.
74. J.-I. Jin, J.-H. Kim, Y.-H. Lee, G.-H. Lee, and Y. W. Park. "Carbonization of poly(1,4-phenylene ethynylene)." *Synthetic Metals*: vol. 57, no. 1, April 1993, pp. 3742–3747.
75. T. P. Nguyen. "Defect analysis in organic semiconductors." *Materials Science in Semiconductor Processing*: vol. 9, nos. 1-3, February–June 2006, pp. 198–203.
76. P. Stallinga, H. L. Gomes, H. Rost, A. B. Holmes, M. G. Harrison, and R. H. Friend. "Minority effects in poly phenylene vinylene as studied by electrical characterization." *Journal of Applied Physics*: vol. 89, no. 3, February 2001, pp. 1713–1724.
77. J. H. Burroughes, D. D. C. Bradley, A. R. Brown, R. N. Marks, K. Mackay, R. H. Friend, P. L. Burns, and A. B. Holmes. "Light-emitting diodes based on conjugated polymers." *Nature*: vol. 347, October 1990, pp. 539–541.
78. T.-H. Kim, J. H. Park, O. O. Park, J.-W. Yu, J. K. Kim, and Y. C. Kim. "Effect of hole transporting layer doped with organic salts on performance of polymer electroluminescent devices." *Current Applied Physics*: vol. 6, no. 4, July 2006, pp. 616–619.

79. F. Kong, S. Y. Zhang, C. Z. Yang, and R. K. Yuan. "Interchain excited states in annealed poly [2-methoxy-5-(2'-ethyl-hexyloxy)-p-phenylene vinylene] films." *Materials Letters*: vol. 60, nos. 29-30, December 2006, pp. 3887–3890.
80. S. Quan, F. Teng, Z. Xu, L. Qian, T. Zhang, D. Liu, Y. Hou, Y. Wang, and X. Xu. "Temperature dependence of photoluminescence in MEH-PPV blend films." *Journal of Luminescence*: vol. 124, no. 1, May 2007, pp. 81–84.
81. Q. G. Zeng, Z. J. Ding, X. D. Tang, and Z. M. Zhang. "Pressure effect on photoluminescence and Raman spectra of PPV." *Journal of Luminescence* : vol. 115, nos. 1-2, October 2005, pp. 32–38.
82. N. Tanigaki, H. Mochizuki, X. Mo, T. Mizokuro, T. Hiraga, T. Taima, and K. Yase. "Molecular doping of poly(p-phenylenevinylene) under vacuum for photovoltaic application." *Thin Solid Films*: vol. 499, nos. 1-2, March 2006, pp. 110–113.
83. M. Baïtoul, J. Wéry, S. Lefrant, E. Faulques, J.-P. Buisson, and O. Chauvet. "Evidence of electron-hole symmetry breaking in poly(p-phenylene vinylene)." *Physical Review B: Condensed Matter*: vol. 68, no. 19, November 2003, pp. 195-203.
84. K. D. Gourley, C. P. Lillya, J. R. Reynolds, and J. C. W. Chien. "Electrically conducting polymers: arsenic pentafluoride-doped poly(phenylenevinylene) and its analogs." *Macromolecules*: vol. 17, no. 5, 1984, pp. 1025–1033.
85. M. R. Fernandes, J. R. Garcia, M. S. Schultz, and F. C. Nart. "Polaron and bipolaron transitions in doped poly(p-phenylene vinylene) films." *Thin Solid Films*: vol. 474, nos. 1-2, March 2005, pp. 279–284.
86. Y. Huang, Z.-y. Lu, Q. Peng, Q. Jiang, R.-G. Xie, S.-H. Han, L.-g. Dong, J.-B. Peng, Y. Cao, and M.-G. Xie. "Luminescent properties of coumarin-doped MEH-PPV and novel coumarin-terminated MEH-PPV." *Materials Chemistry and Physics*: vol. 3, no. 1, September 2005, pp. 95–99.
87. G. Zhong, K. Kim, D. W. Lee, and J.-I. Jin. "Photoluminescent and electroluminescent properties of DCM-1 dispersed poly(p-phenylene vinylene) derivatives." *Synthetic Metals*: vol. 156, nos. 9-10, May 2006, pp. 731–735.
88. H. Iechi, Y. Akiyama, H. Kondoh, and T. Tano. Organic transistor. US Patent 7 126 153, assigned to Ricoh Company, Ltd. (Tokyo, JP), October 24, 2006.
89. W. Geens, J. Poortmans, T. Aernouts, H. Andriessen, and D. Vanderezande. Ambipolar organic transistor. US Patent 6 815 711, assigned to Interuniversitair Microelektronica Centrum (IMEC) (Leuven, BE) Agfa Gevaert (Mortsel, BE), 9 November 2004.
90. Y. Cao. Electrically active polymer compositions and their use in efficient, low operating voltage, polymer light-emitting diodes with air-stable cathodes. US Patent 6 284 435, assigned to Uniax Corporation (Santa Barbara, CA), 4 September 2001.

91. S. S. Xiao, C. Qiu, and C. X. Qiu. Organic semiconductor devices and methods of fabrication including forming two parts with polymerisable groups and bonding the parts. US Patent 7 063 994, assigned to Organic Vision Inc. (Brossard, CA), 20 June 2006.
92. K. Tada and M. Onoda. "Preparation of donor-acceptor nanocomposite through electrophoretic deposition." *Current Applied Physics*: vol. 5, no. 1, January 2005, pp. 5–8.
93. T. Miyazawa. Method for manufacturing laminated film, electro-optical device, method for manufacturing electro-optical device, organic electroluminescence device, and electronic appliances. US Patent 7 025 647, assigned to Seiko Epson Corporation (Tokyo, JP), 11 April 2006.
94. D. W. Lee, K.-Y. Kwon, J.-I. Jin, Y. Park, Y.-R. Kirn, and I.-W. Hwang. "Luminescence properties of structurally modified PPVs: PPV derivatives bearing 2-(4-tert-butylphenyl)-5-phenyl-1,3,4-oxadiazole pendants." *Chemistry of Materials*: vol. 3, no. 2, February 2001, pp. 565–574.
95. H. Mochizuki, T. Mizokuro, X. Mo, N. Yamamoto, N. Tanigaki, and T. Hi-raga. "Multicolored luminescent device based on non-substituted PPV." *Thin Solid Films*: vol. 499, nos. 1-2, March 2006, pp. 410–414.
96. E. E. Gürel, Y. Pang, and F. E. Karasz. "Luminescence properties of modified poly(m-phenylenevinylene)-alt-(p-phenylenevinylene): Effects of side-chain length, blending and device configuration." *Thin Solid Films*: vol. 417, nos. 1-2, September 2002, pp. 147–150.
97. C. L. Gettinger, A. J. Heeger, J. M. Drake, and D. J. Pine. "A photoluminescence study of poly(phenylene vinylene) derivatives: The effect of intrinsic persistence length." *Journal of Chemical Physics*: vol. 101, 1994, pp. 1673–1678.
98. B. R. Hsieh, Y. Yu, E. W. Forsythe, G. M. Schaaf, and W. A. Feld. "A new family of highly emissive soluble poly(p-phenylene vinylene) derivatives. A step toward fully conjugated blue-emitting poly(p-phenylene vinylenes)." *Journal of the American Chemical Society*: vol. 120, 1998, pp. 231–232.
99. S. Vaidyanathan, H. Dong, and M. E. Galvin. "The role of sidechains in the luminescence of an electroactive polymer." *Synthetic Metals*: vol. 142, nos. 1-3, April 2004, pp. 1–6.
100. D. H. Choi, M. J. Cho, K. I. Han, I.-H. Chang, J. S. Song, J. H. Kim, S.-H. Paek, and S.-H. Choi. "Luminescence properties of MEH-PPV and its crosslinked polymer: Effect of crosslink on photoluminescence and electroluminescence." *Synthetic Metals*: vol. 156, nos. 9-10, May 2006, pp. 685–689.

101. C. Yang, J. Hou, B. Zhang, S. Zhang, C. He, H. Fang, Y. Ding, J. Ye, and Y. Li. "Electroluminescent and photovoltaic properties of the crosslink-able poly(phenylene vinylene) derivative with side chains containing vinyl groups." *Macromolecular Chemistry and Physics*: vol. 206, 2005, pp. 1311–1318.
102. S.-H. Jin and J.-H. Lee. Light-emitting polymers having high efficiency and color tunable properties. US Patent 6 368 732, assigned to Samsung SDI Co., Ltd. (Kyungki-do, KR), 9 April 2002.
103. C. Jing, L. Chen, Y. Shi, and X. Jin. "Synthesis and characterization of exfoliated MEH-PPV/clay nanocomposites by in situ polymerization." *European Polymer Journal*: vol. 41, no. 10, October 2005, pp. 2388–2394.
104. M. Alexandre and P. Dubois. "Polymer-layered silicate nanocomposites: Preparation, properties and uses of a new class of materials." *Materials Science and Engineering R*: vol. 28, nos. 1-2, June 2000, pp. 1-63.
105. H. Kiguchi, S. Kanbe, and S. Seki. Composition for an organic EL element and method of manufacturing the organic EL element. US Patent 6 843 937, assigned to Seiko Epson Corporation (Tokyo, JP), 18 January 2005.
106. S. A. Carter, J. G. Victor, S. Tuttle, and J. Breeden. Screen printable electroluminescent polymer ink. US Patent 7 115 216, assigned to Add-Vision, Inc. (Scotts Valley, CA), 3 October 2006.
107. K. Dinakaran, S.-M. Hsiao, C.-H. Chou, S.-L. Shu, and K.-H. Wei. "Synthesis and characterization of an efficiently fluorescent poly(phenylenevinylene) possessing pendant dendritic phenyl groups." *Macromolecules*: vol. 38, 2005, pp. 10429–10435.
108. G. Wantz, O. Dautel, L. Vignau, F. Serein-Spirau, J. P. Lere-Porte, L. Hirsch, J. J. E. Moreau, and J. P. Parneix. "Polymer light-emitting diodes with a phenyleneethynylene derivative as a novel hole blocking layer for efficiency enhancements." *Synthetic Metals*: vol. 156, nos. 9-10, May 2006, pp. 690–694.
109. D. Xu, Z. Deng, X. Li, Z. Chen, and C. Liang. "Enhanced quantum efficiency in polymer electroluminescence devices by inserting an ultrathin PMMA layer." *Applied Surface Science*: vol. 253, no. 7, January 2007, pp. 3378–3381.
110. D.-C. Shin, Y.-H. Kim, H. You, J. G. Jin, and S.-K. Kwon. "Intramolecular energy transferable (2,2-diphenylvinyl)phenyl substituted poly(p-phenylenevinylene) derivative with efficient photoluminescence and electroluminescence." *Journal of Polymer Science Part A: Polymer Chemistry*: vol. 42, 2004, pp. 5636–5646.
111. Y. Jin, J. Jee, K. Kim, J. Kim, S. Song, S. H. Park, K. Lee, and H. Suh. "Synthesis and electroluminescent properties of copolymers based on PPV with fluoro groups in vinylene units." *Polymer*: vol. 48, no. 6, March 2007, pp. 1541–1549.

112. F. Shen, F. He, D. Lu, Z. Xie, W. Xie, Y. Ma, and B. Hu. "Bright and colour stable white polymer light-emitting diodes." *Semiconductor Science and Technology*: vol. 21, 2006, L16– L19.
113. R.-H. Lee, K.-T. Lin, and C.-Y. Huang. "High red, green, and blue color purity electroluminescence from MEH-PPV and polyalkylfluorenes- based bright white polymer light emitting displays." *Journal of Polymer Science Part B: Polymer Physics*: vol. 45, 2006, pp. 330–341.
114. S. Sohn, K. Park, D. Lee, D. Jung, H. M. Kim, U. Manna, J. Yi, J.-h. Boo, H. Chae, and H. Kim. "Characteristics of polymer light emitting diodes with the LiF anode interfacial layer." *Japanese Journal of Applied Physics: Part 1*, no. 45, 2006, pp. 3733–3736.
115. G. Yu, Y. Cao, M. Andersson, J. Gao, and A. J. Heeger. "Polymer light-emitting electrochemical cells with frozen p-i-n junction at room temperature." *Advanced Materials*: vol. 10, 1998, pp. 385–388.
116. J. Huang, G. Li, E. Wu, Q. Xu, and Y. Yang. "Achieving high-efficiency polymer white-light-emitting devices." *Advanced Materials*: vol. 18, 2006, pp. 114–117.
117. S. Yamazaki, K. Yamamoto, M. Hiroki, and T. Fukunaga. Method for precisely forming light emitting layers in a semiconductor device. US Patent 7 115 434, assigned to Semiconductor Energy Laboratory Co., Ltd. (JP), 3 October 2006.
118. H. Andriessen. Layer configuration comprising an electron-blocking element. US Patent 6 977 390, assigned to Agfa Gevaert (Mortsel, BE), 20 December 2005.
119. J. Salafsky. Solid-state electric device. US Patent 6 991 958, assigned to The Trustees of Columbia University in the City of New York (New York, NY), 31 January 2006.
120. K. Kawano, R. Pacios, D. Poplavskyy, J. Nelson, D. D. C. Bradley, and J. R. Durrant. "Degradation of organic solar cells due to air exposure." *Solar Energy Materials and Solar Cells*: vol. 90, no. 20, December 2006, pp. 3520–3530.
121. S. Shaheen, C. Brabec, T. Fromherz, F. Padinger, S. Sariciftci, and E. Gloetzl. Photovoltaic cell. US Patent 6 933 436, assigned to Konarka Austria Forschungs und Entwicklungs GmbH (AU), 23 August 23, 2005.
122. S. Lu, J. Niu, W. Li, J. Mao, and J. Jiang. "Photophysics and morphology investigation based on perylenetetracarboxylate/polymer photovoltaic devices." *Solar Energy Materials and Solar Cells*: vol. 91, no. 4, February 2007, pp. 261–265.
123. J. J. Halls and R. H. Friend. Photoresponsive devices. US Patent 6 872 970, assigned to Cambridge Display Technology Limited (Cambridge, GB), 29 March 2005.

124. S. Chul Kim, B. Vijaya Kumar Naidu, S.-K. Lee, W.-S. Shin, S.-H. Jin, S.-J. Jung, Y.-R. Cho, J.-M. Shim, J. Kook Lee, J. Wook Lee, J. Hyeon Kim, and Y.-S. Gal. "Synthesis and photovoltaic properties of novel PPV-derivatives tethered with spiro-bifluorene unit for polymer solar cells." *Solar Energy Materials and Solar Cells*: vol. 91, no. 6, March 2007, pp. 460–466.
125. S. Bertho, I. Haeldermans, A. Swinnen, W. Moons, T. Martens, L. Lutsen, D. Vanderzande, J. Manca, A. Senes, and A. Bonfiglio. "Influence of thermal ageing on the stability of polymer bulk heterojunction solar cells." *Solar Energy Materials and Solar Cells*: vol. 91, no. 5, March 2007, pp. 385–389.
126. H. Becker, H. Spreitzer, W. Kreuder, E. Kluge, H. Schenk, I. Parker, and Y. Cao. "Soluble PPVs with enhanced performance -a mechanistic approach." *Advanced Materials*: vol. 12, no. 1, 2000, pp. 42–48.
127. S.-P. Huang, J.-L. Liao, H.-E. Tseng, T.-H. Jen, J.-Y. Liou, and S.-A. Chen. "Enhanced photovoltaic cells efficiency via incorporation of high electron-deficient oxadiazole moieties on side chains of poly(phenylene vinylene)s and poly(fluorene)s." *Synthetic Metals*: vol. 156, nos. 14-15, July 2006, pp. 949–953.
128. D. A. M. Egbe, L. H. Nguyen, B. Carbonnier, D. Muhlbacher, and N. S. Sariciftci. "Thiophene-containing poly(arylene-ethynylene)-alt- poly(arylene-vinylene)s: Synthesis, characterisation and optical properties." *Polymer*: vol. 46, no. 23, November 2005, pp. 9585–9595.
129. J. H. Burroughes. Optoelectronic devices. US Patent 7 091 516, assigned to Cambridge Display Technology Limited (Cambridge, GB), 15 August 2006.
130. G. Dennler, C. Lungenschmied, H. Neugebauer, N. S. Sariciftci, M. Latreche, G. Czeremuszkin, and M. R. Wertheimer. "A new encapsulation solution for flexible organic solar cells." *Thin Solid Films*: vols. 511-512, July 2006, pp. 349– 353.
131. W. Zhang, Z. Huang, E. Yan, C. Wang, Y. Xin, Q. Zhao, and Y. Tong. "Preparation of poly(phenylene vinylene) nanofibers by electrospinning." *Materials Science and Engineering A*: vol. 443, nos. 1-2, January 2007, pp. 292–295.
132. W. Zhang, E. Yan, Z. Huang, C. Wang, Y. Xin, Q. Zhao, and Y. Tong. "Preparation and study of PPV/PVA nanofibers via electrospinning PPV precursor alcohol solution." *European Polymer Journal*: vol. 43, no. 3, March 2007, pp. 802–807.
133. Q. Zhao, Z. Huang, C. Wang, Q. Zhao, H. Sun, and D. Wang. "Preparation of PVP/MEH-PPV composite polymer fibers by electrospinning and study of their photoelectronic character." *Materials Letters*: vol. 61, nos. 11-12, May 2007, pp. 2159–2163.



134. K. Kim, S. H. Lee, W. Yi, J. Kim, J. W. Choi, Y. Park, and J.-I. Jin. "Efficient field emission from highly aligned, graphitic nanotubes embedded with gold nanoparticles." *Advanced Materials*: vol. 15, 2003, pp. 1618–1622.
135. P. Pistor, V. Chu, D. M. F. Prazeres, and J. P. Conde. "pH sensitive photoconductor based on poly(para-phenylene-vinylene)." *Sensors and Actuators*: vol. 123, no. 1, April 2007, pp. 153–157.
136. L. O. Peres and J. Gruber. "The use of block copolymers containing PPV in gas sensors for electronic noses." *Materials Science and Engineering C*: vol. 27, no. 1, January 2007, pp. 67–69.
137. S. R. Mikkelsen. "Electrochemistry in bioanalysis." In: A. J. Bard, M. Stratmann, and G. S. Wilson, eds., *Bioelectrochemistry, volume 9 of Encyclopedia of Electrochemistry*. Weinheim: Wiley-VCH, 2002, pp. 309–340.
138. J.-G. Guan, Y.-Q. Miao, and Q.-J. Zhang. "Impedimetric biosensors." *Journal of Bioscience and Bioengineering*: vol. 97, no. 4, 2004, pp. 219–226.
139. P. Van Gerwen, W. Laureyn, W. Laureys, G. Huyberegts, M. Op De Beeck, K. Baert, J. Suls, W. Sansen, P. Jacobs, L. Hermans, and R. Mertens. "Nanoscaled interdigitated electrode arrays for biochemical sensors." *Sensors and Actuators B*: vol. 49, nos. 1-2, June 1998, pp. 73–80.
140. S. Laschi and M. Mascini. "Planar electrochemical sensors for biomedical applications." *Medical Engineering and Physics*: vol. 28, no. 10, December 2006, pp. 934–943.
141. P. Van Gerwen, K. Baert, and R. Rossau. Impedimetric detection system and method of production thereof. US Patent 6 440 662, assigned to Innogenetics N.V. (Ghent, BE), 27 August 2002.
142. J. K. Fink. Investigation of the curing behavior of unsaturated polyester resins. Vianova Resins AG, 1989.
143. P. Cooreman, R. Thoelen, J. Manca, M. van de Ven, V. Vermeeren, L. Michiels, M. Ameloot, and P. Wagner. "Impedimetric immunosensors based on the conjugated polymer PPV." *Biosens. Bioelectron.*: vol. 20, no. 10, April 2005, pp. 2151–2156.

## بوليميرات (إيثر الفينيلين)

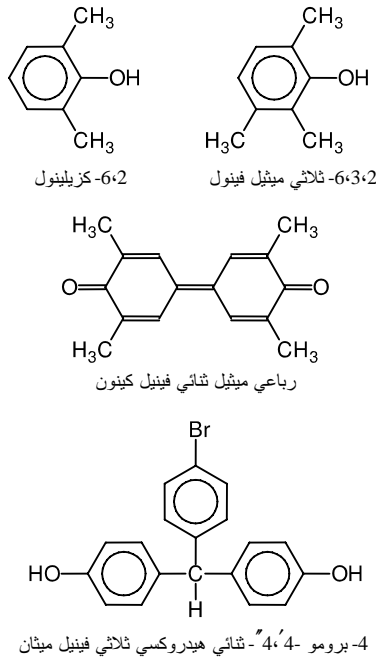
حوالى عام 1956، جرى اكتشاف أنّ التقارن المؤكسد لمركبات الفينول المُستبدل فيها الموقعين 6،2 يؤدي إلى الحصول على منتجات ذات وزن جزيئي عالٍ<sup>1,2</sup>. لقد جرى تسويق بوليمير بولي (إيثر الفينيلين) (PPE) المعروف أيضاً باسم بولي (أوكسيد الفينيلين) عام 1964 من قبل شركة جنرال إلكتريك<sup>3</sup> (General Electric) وشركة أكزو<sup>4</sup> (AKZO)، وأخيراً من قبل عدد من الشركات الأخرى. من الجدير بالملاحظة، أنّ التقارن المؤكسد لمركبات الفينول يؤدي دوراً في التفاعلات الحيوية، كتكوين اللينين والملائين<sup>5</sup>.

### 1.4. المونوميرات

إنّ المونوميرات المفضلة في حالة بوليمير PPE مبيّنة في الجدول (1-4)، وفي الشكل (1-4). تتأكسد مركبات الألكيل فينول في الهواء. لذا ينبغي حفظها في جوّ من الأزوت لمنع تفاعلات الأكسدة. إنّ تفاعل التقارن المؤكسد لمركبات الفينول المُستبدلة في الموقعين 6،2، هو تفاعل عام<sup>6</sup>. ولكن في حالة المستبدلات الضخمة يتكوّن فقط المنتج ذو التقارن C-C، أي ثنائي فينوكينون. تنخفض قابلية الفينول للأكسدة بوجود مستبدلات ألكيلية وتزايد بوجود مستبدلات ساحبة للإلكترونات.

#### الجدول (1-4): المونوميرات في حالة بولي (إيثر الفينيلين)

المونومير	ملاحظات
6-2-كزيلينول	القياسي
6-3،2-ثلاثي ميثيل فينول	
6-4،2-ثلاثي ميثيل فينول	موقف السلسلة <sup>7</sup>
p-فينيل فينول	موقف السلسلة <sup>8</sup>
6-2-ثنائي فينيل فينول	
4-برومو-4،4'-ثنائي هيدروكسي ثلاثي فينيل ميثان	الأنواع فائقة التشعب <sup>9</sup>
2-أليل-6-ميثيل فينول	أنواع التصدّد الحراري <sup>10</sup>



الشكل (4-1): مونوميرات مستعملة في بولي(إيثر الفينيلين)

يُسمّى 6,2-ثنائي ميثيل فينول باسم 6,2-كزيلينول. تشمل الطرائق الصناعيّة التقليديّة لتحضير 6,2-ثنائي ميثيل فينول تفاعل الفينول مع الميثانول بوجود أوكسيد معدني محفّز. إنّ الناتج الثانوي الرئيسي لهذا التفاعل هو 6,4,2-ثلاثي ميثيل فينول، الذي يجري لاحقاً إزالة زمر الألكيل منه، للحصول على 6,2-ثنائي ميثيل فينول. تجري هذه الإجرائيّة وفق ما يلي :

- عمليّة إزالة زمر الألكيل بالبخار المحفّز بمحفّزات أوكسيد التوتياء<sup>11</sup>.
- أو بعملية أكسدة انتقائية للحصول على پارا-هيدروكسي بنزالدهيد، متبوعة بعملية إزالة زمر الفورميل (-CH=O)<sup>12,13</sup>.

لقد جرى اقتراح محفّزات على أساس متافانادات الأمونيوم  $\text{NH}_4\text{VO}_3$  ونترات الحديد  $\text{Fe}(\text{NO}_3)_3 \times 9\text{H}_2\text{O}$ ، بهدف الأكلّة الانتقائية باستخدام الميثانول في الموقع أورثو-*o* من الفينول<sup>14</sup>. وفق هذه الإجرائيّة يجري تحقيق مردود قدره 64 في المئة من المنتج الخام 6,2-ثنائي ميثيل فينول. وبهذه العمليّة تجري إعادة تدوير الفينول و-*o*-كزيلينول بصفتهما موادّ البدء.

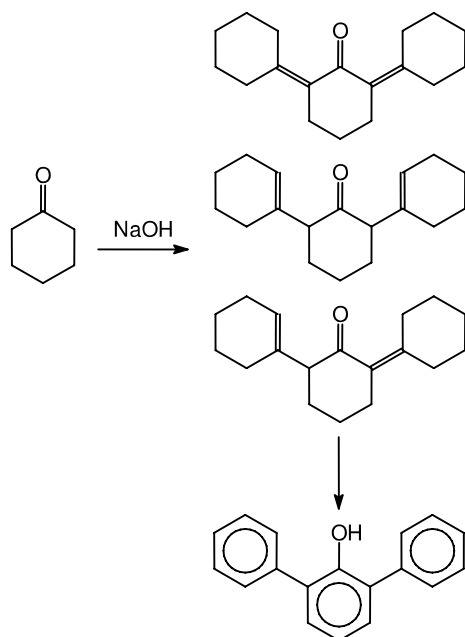
يمكن الحصول على 6،2-ثنائي ميثيل فينول من حلقي الهكزانون<sup>15</sup>. التفاعل مبين في الشكل (4-2). تؤدي عملية البلمرة المؤكسدة لمركب 6،2-ثنائي ميثيل فينول إلى تكوين بوليمير بولي (6،2-ثنائي فينيل-1-4-أوكسيد الفينيلين)، وهو شبيه تام العطرية لبوليمير PPE. يجري الحصول على 4-برومو-4،4'-ثنائي هيدروكسي ثلاثي فينيل ميثان من تفاعل پارا-برومو بنزالدهيد مع مولين اثنين من الفينول<sup>9</sup>.

## 2.4. البلمرة والتصنيع

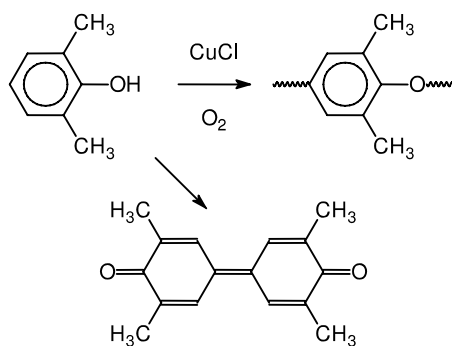
هنالك ثلاث طرائق معروفة للبلمرة هي :

- التقرارن المؤكسد.
- البلمرة الجذرية.
- تفاعل أولمان (Ullmann).

لقد جرى استعراض الجوانب المختلفة للبلمرة المؤكسدة لمركبات الفينول استعراضاً شاملاً<sup>5</sup>. يجري إنتاج بوليمرات PPE الأكثر شيوعاً بالتكاثف الذاتي للفينول وحيد التكافؤ بوجود الأوكسجين ومحفز معدن-أمين. يمكن لأي من المنغنيز أو النحاس أو الكوبالت أن يؤدي دور المعدن في المحفز. ولكن استعمال شاردة  $Cu^+$  هو الأكثر شيوعاً. فمثلاً يمكن تحضير المحفز بتحريك بروميد النحاسي وثنائي-n-بوتيل أمين في التولوين<sup>16</sup>. إلى جانب مركبات بروميد المعادن القلوية، يمكن استعمال أملاح الأمونيوم الرباعية، مثل كلور ميثيل ثلاثي-n-أوكثيل أمونيوم<sup>17</sup>، بصفتها مركبات معززة. إن طبيعة البروميد المعدني ليست مهمة على وجه الخصوص. ويمكن استعمال مركبات معززة أخرى مثل ثنائي فينيل غوانيديين بالاشتراك مع البروميد أو أملاح الأمونيوم الرباعية. تجري البلمرة بالتقرارن المؤكسد. إن الآلية الأساسية مبينة في الشكل (4-3). عند درجات حرارة حوالى 100 درجة مئوية وفوقها تتكون كميات محسوسة من مركب ثنائي فينوكينوني<sup>18</sup> هو رباعي ميثيل ثنائي فينيل كينون (TMDQ). تجري العملية بوجود مذيب عضوي. المذيبات المفضلة هي المذيبات العطرية مثل البنزين والتولوين والكلزولين و0-ثنائي كلوروبنزين. ومع ذلك يُستعمل أيضاً كل من رباعي كلور الميثان، وثلاثي كلور الميثان، وثنائي كلور الميثان، و1،2-ثنائي كلور الإيثان، وثلاثي كلور الإيثيلين.



الشكل (4-2) : اصطناع 6,2-ثنائي ميثيل فينول من الكزانون الحلقي مروراً بثلاثة إيزوميرات وسيطة<sup>15</sup>



الشكل (4-3) : التقارن المؤكسد لـ 6,2-ثنائي ميثيل فينول

تجري البلمرة بدرجة حرارة تزيد قليلاً على درجة حرارة الغرفة، من 35°C حتى حوالي 55°C، مع درجة حرارة أعلى قرب نهاية التفاعل. يجري إيقاف التفاعل بإزالة المحفز من المزيج المتفاعل. ويضاف إلى المزيج المتفاعل بروميد معدن قلوي لاعضوي، أو بروميد معدن قلوي ترابي بصفته مُعزّزاً.

يمكن إنتاج بولي(إيثر الفينيلين) ذي وزن جزيئي عالٍ ولزوجة جوهريّة (IV) قدرها  $0.70 \text{ dl g}^{-1}$  في محلول كلور الميثيلين بدون ترسب المعقد المحفّز. تجري بعد ذلك إزالة المحفّز إمّا بالاستخلاص باستعمال حمض مائي، يزيل مركّبتَي المحفّز الأُمينيّة والشاردة المعدنيّة في آن معاً، أو بالمعالجة بعامل تعقيد (Chelating agent)، مثل الإيثيلين ثنائي الأمين رباعي حمض الخل<sup>18</sup>.

يوضّح الجدول (2-4) التأثير المُجمَل لأُملاح رباعي الكيل الأُمونيوم وثنائي فينيل الغوانيديين على معدّل البلمرة. إنّ آليّة تحضير PPE المشتملة على إرجاع  $\text{Cu}^{2+}$  ثمّ استرجاعه لإعادة تكوين المحفّز معدّد  $\text{Cu}^+$  أمين، تمثّل آليّة صديقة للبيئة.

الجدول (2-4) : معدّل البلمرة في حالة PPE مع مُعزّزات<sup>17</sup>

اللزوجة الجوهريّة $[\text{dl g}^{-1}]$ بعد مرور			كزيلنول mol-% <sup>a</sup>
120 دقيقة	90 دقيقة	60 دقيقة	
0.55	0.44	0.25	0.00
0.12	b	b	1.20
0.72	0.58	0.27	0.16
0.67	0.52	0.27	0.08
0.68	0.51	0.26	0.04
0.62	0.51	0.29	0.02
b	b	b	2.00

تركيز كزيلنول يساوي 17 في المئة عند  $30^\circ\text{C}$ .

النسبة الجزيئيّة

(كزيلنول :  $\text{Cu Cl}_2$  : Na Br : ثنائي بوتيل أمين) = (200 : 1 : 2 : 12)

<sup>a</sup> مولات لكلّ مولٍ من ملح النحاس، كلور ميثيل ثلاثي-n-أوكثيل أُمونيوم.

<sup>b</sup> لا يوجد بوليمير.

يزيد استعمال محفّزات نحاسيّة من معدّل استعمال الأوكسجين في المراحل المبكرة من تفاعل البلمرة. وانخفاض تركيز الأوكسجين في الحيزّ الرأسي من المُفاعل يساعد في تخفيض خطر وقوع حريق أو انفجار في المُفاعل. كما إنّ تفاعل البدء الأكثر سرعة مع المحفّز النحاسي يودّي أيضاً إلى انخفاض كميّة المونومير غير المتفاعل، وكميّة TMDQ

المتولدة. في بعض الحالات، وتحديدًا عند تحميل الوظائف، يكون تكوّن TMDQ مرغوباً. ولقد جرى تطوير محفّرات قابلة للانحلال في الماء بهدف تقنيات البلمرة في محاليل مائيّة<sup>19</sup>. هذا الموضوع مفصّل في المقطع 8.4.

يمكن التحكم بالوزن الجزيئي بإضافة موقّفات السلسلة. عموماً، تُخفّض الفينولات المستبدلة في الموقع پارا، التي غالباً ما تكون موجودة كشوائب، الوزن الجزيئي. يعمل حمض 4،4'-بيس-(4-هيدروكسي-3،5-ثنائي ميثيل فينيل) بنتانويك بهذه الطريقة. وكذلك فإنّ 6،4،2-ثلاثي ميثيل فينول يعمل أيضاً موقّفاً للسلسلة<sup>7</sup>. وبالمقابل فإنّ موقعاً حرّاً أورثو يسعى إلى تفاعلات تشعيب.

أثناء عمليّة التقارن المؤكسد يمكن للمحفّز الأميني أن يصبح، على نحو متكرّر، مرتبطاً كيميائياً ببولي(إيثر الفينيلين). تؤثر زمر الأمينو هذه تأثيراً سلبياً في مقاومة الصدم في البوليمير النهائي<sup>20</sup>. يمكن تحسين التركيبة من جهة مقاومة الصدم، بإزالة أو تعطيل نسبة مهمّة من مركّبات الأمينو. تسمّى البوليميرات المعالجة بهذه الطريقة أحياناً باسم بوليميرات PPE المعطّلة.

#### 4.0.2.4. بولي (إيثر الفينيلين) الفائق التشعب

يمكن تحضير بوليميرات PPE فائقة التشعب ذات زمر فينوليّة نهائيّة من 4-برومو-4،4'-ثنائي هيدروكسي ثلاثي فينيل ميثان باستعمال تفاعل أولمان معدّل<sup>9</sup>. تجري معالجة المونومير بكاربونات البوتاسيوم أو هيدروكسيد الصوديوم بصفته أساساً. يُستعمل كلوريد النحاس محفّراً في محلول لا بروتوني، وتحديدًا، ثنائي ميثيل سلفوكسيد أو سلفولان. تتراوح درجات التشعب بين 48 في المئة و 71 في المئة. ويمكن بسهولة تعديل زمر الفينول النهائيّة.

باستعمال ثلاثي فينيل فوسفين وثنائي إيزوبروبيل آزو ثنائي كربوكسيلات يمكن تعليق زمر إيثر نهائيّة متنوّعة مثل زمر ميثوكسي مع ميثانول، وزمر 2-ميثوكسي إيثوكسي نهائيّة مع إيثيلين غليكول وحيد ميثيل إيثر، وغيرها.

تجد البوليميرات الفائقة التشعب تطبيقاتها في الريولوجيا كمعدّلات، وإضافات للمعالجة، وطلاءات وذلك بصفتها موادّ مجمّلة، أمّا بصفتها موادّ حاملة للوظائف فنجد لها تطبيقات كمحفّرات ومُحسّسات<sup>21</sup>.

## 1.2.4. بوليمير بولي (إيثر الفينيلين) الحامل للوظائف

يفيد تحميل الوظائف في تحسين توافق PPE مع غيره من البوليميرات، وفي ربط زمر فاعلة بالسلسلة الرئيسية. يمكن إنجاز تحميل الوظائف بطرائق متنوّعة، وتحديداً :

1. تفاعلات إعادة التوزيع،
  2. المعالجة بمركّبات البيروكسيد،
  3. المعالجة بمركّبات الفينيل،
  4. المعالجة بعامل تغطية (Capping agent)،
  5. تحميل الوظائف للصحارة في باثق.
- المركّبات المستعملة بهدف التوافقية ملخّصة في الجدول (3-4).

### 1.1.2.4. إعادة التوزيع باستعمال الفينول

يتمثّل أحد العوائق، في وجه مزج PPE براتنجات أخرى، في الافتقار إلى التوافقية بين الراتنجات. يتجلّى هذا الافتقار إلى التوافقية، بالميل إلى انفصال الصفيحات، أو بخواص فيزيائية رديئة مثل ضعف اللبونة.

تتمثّل إحدى الطرائق المفيدة لتحسين التوافقية بين الراتنجات بإدخال مونوميرات مشتركة مناسبة في السلسلة. وتتمثّل طريقة أخرى بتعديل الزمر النهائية في البوليمير. يمكن الحصول على راتنجات بولي (إيثر الفينيلين) الحاملة للوظائف بتفاعل إعادة توزيع مع مركّب فينولي حامل للوظائف وذلك في تفاعل البلمرة<sup>27</sup>. في تفاعل إعادة التوزيع لـ PPE من مركّبات الفينول، يتفرّق PPE إلى سلاسل أقصر حيث المركّب الفينولي متضمّن في الـ PPE.

لبدء تفاعل إعادة التوزيع، تجري إضافة TMDQ أو ثنائي فينيل كينون. يُصنع TMDQ من 6،2-ثنائي ميثيل فينول بتقارن مؤكسد. يسمّى TMDQ أيضاً باسم الـ ديمير الخلفي. ولكن من المفضل توليده في المكان أثناء عملية التقارن المؤكسد. لهذا السبب يجري اختيار شروط التفاعل المواتية لتكوين TMDQ. عند رفع مستوى المونوميرات في المراحل الأولى من الأكسدة، تُنتج مستويات أعلى من TMDQ. إضافة إلى ذلك، فإنّ بطء



تفاعل البدء بوجود محفّز نحاسي يؤدّي إلى زيادة تراكم المونوميرات غير المتفاعلة، ومن ثمّ إلى زيادة كميّة TMDQ.

الجدول (3-4): مركّبات مستعملة بهدف التوافقية

المركّب	المراجع
أنهيدريد المالبيك	22
حمض الفورماريك	22
أنهيدريد السيتر اكونيك	22
أنهيدريد الميتاكريليك	23
إبيكلورو هيدرين	24
إبيبرومو هيدرين	24
غليسيديل توسيلات	24
إبوكسي كلورو تريازين	25
كلوريد البنزويل	25
كلوريد حمض أنهيدريد ثلاثي المالبيك	26

يجري تفاعل إعادة التوزيع بدرجة حرارة ترتفع حتّى  $150^{\circ}\text{C}$ . بهذا الأسلوب يجري الحصول على راتنجات ذات وزن جزيئي منخفض، ولزوجة جوهريّة بين  $0.08\text{ dl g}^{-1}$  و  $0.16\text{ dl g}^{-1}$ . وإذا لم تجر إضافة مركّب فينولي حامل للوظائف في مرحلة إعادة التوزيع، يجري تضمين TMDQ في البوليمير PPE، وهذا ما يقود إلى بوليمير PPE ذي محتوى هيدروكسيلي عالٍ.

#### 2.1.2.4. المعالجة باستعمال مركّبات الفينيل

يمكن تحضير بوليمير PPE حامل للوظائف، بترك PPE يتفاعل مع أنواع تحتوي على كلٍّ من رابطة  $\text{C}=\text{C}$ ، وكسرة فعّالة مثل هيدروكسيل أو حمض أو أنهيدريد أو أمين، أو إيميد، أو إبوكسي أو غيرها. تشمل الأمثلة على أنواع الحمض أو الأنهيدريد كلاً من أنهيدريد المالبيك وحمض الفورماريك وأنهيدريد السيتر اكونيك<sup>22</sup>.

لمزج PPE بأنظمة راتنجية تنطوي على تفاعلات إنضاج أو بلمرة، تشمل تفاعلات جذرية، من المفضل العمل على بوليمير PPE يحتوي على عدم إشباع أليفاتي متبقي، وزمر نهائية فينولية مغطاة في آن معاً. وبهدف تحقيق توزيع مناسب في حاضنة أخرى يجب أن تكون لزوجة نوع PPE هذا منخفضة.

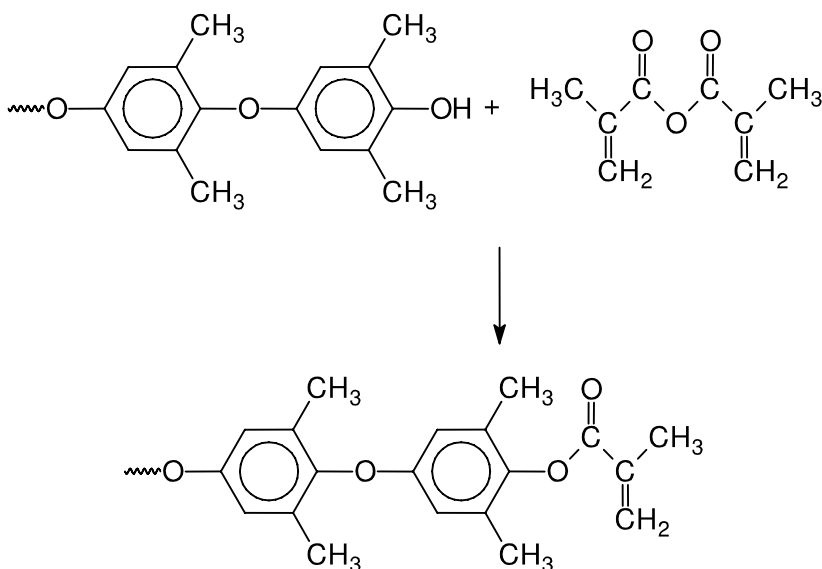
يمكن إدخال الكسر غير المشبعة بتفاعل زمر الهيدروكسيل في PPE مع أنهيدريد الميتاكريليك. يُجرى التفاعل في محلول تولوين. ويستعمل 4-ثنائي ميثيل أمينو بيريدين أو 4-ثنائي ميثيل بوتيل أمين بصفته مُحفزاً<sup>23</sup>. يبيّن الشكل (4-4) تفاعل التغطية.

يحدث تكوّن الإستر بين زمرة نهائية فينولية من PPE وزمرة كربوكسيلية من أنهيدريد الميتاكريليك. ويمكن ببسر تحقيق تغطية عالية الكفاءة بالنسبة إلى عدم الإشباع الأليفاتي. بدلاً من التولوين يمكن إجراء تفاعل التغطية في مونومير ستيرني. ويمكن استعمال المزيج في تصلّد حراريّ لاحق. وعندما لا تكون هناك حاجة إلى عزل بوليمر PPE المغطى بمعالجة لاحقة، يُلاحظ نقصان في اللون<sup>32</sup>.

#### 3.1.2.4. طرائق أخرى لتحميل الوظائف

يمكن تحضير PPE الحامل للوظائف بواسطة عامل أكسدة، مثل ثنائي بنزويل بيروكسيد، أو بواسطة مزيج من البيروكسيد والفينول مثل بيسفينول A<sup>22</sup>. تشبه هذه العملية عملية إعادة التوزيع.

يمكن ببسر تحضير PPE بنهايات مغطاة بالبنزوات بالسماح لزمر الهيدروكسيل الطرفية في PPE أن تتفاعل مع كلور البنزويل في الكلوروفورم<sup>25</sup>. ويمكن إدخال زمر أنهيدريد ثلاثي الملتيك بالتفاعل مع كلوريد حمض أنهيدريد ثلاثي الملتيك<sup>26</sup>. يُستعمل هذا العامل المحرّض لتحقيق توافقية PPE مع بوليمير بولي (أميد) (PA). ولقد جرى اقتراح عدّة كلوريدات أسيلية (حمضية) لتحميل PPE بالوظائف<sup>33</sup>.



الشكل (4-4): تفاعل التغطية لبولي (إيثر الفينيلين) مع أنهيدريد الميتاكريليك.

يُعتبر PPE مادة خصبة لإجراء تعديلات كيميائية على سلسلتها الرئيسية، إما على حلقة الفينيل أو على زمرة الميثيل. يمكن تعديل السلسلة الرئيسية لـ PPE بطرائق متنوعة. الأكثر شيوعاً هي إدخال زمر حمض السلفونيك، الذي يمكن أن يُجرى بواسطة حمض الكلوروسلفونيك. يبين الجدول (4-4) طرائق أخرى لتعديل السلسلة الرئيسية. تُستعمل هذه الطرائق أساساً في تحضير أغشية وستناقش في هذا المقطع بعينه. يقود التعديل بالبرومة متبوعاً بالألكاينيلية إلى بوليميرات تحتوي ألكاينات مُستبدلة على الحلقة العطرية<sup>29</sup>.

#### 2.2.4. البوليميرات المشتركة

يمكن أن يُستعمل PPE ذو الوزن الجزيئي المنخفض، المُحمل بالوظائف من زمر الميتاكريليك بصفته مونوميراً ضخماً (Macromonomer) ذا زمرة فينيل متدلّية<sup>34</sup>. يمكن لسلاسل PPE أن تمتلك نهايتين مغطّيتين توفّران موقعي تفاعل لتكوّن تشبيك تصالبي. كما إنّ المزائج من PPE وحيد الغطاء مع سلاسل PPE تحمل نهايتين مغطّيتين أو أكثر مفيدة أيضاً. تمكن بلمرة PPE، المتمتع بمثل هذه النهايات المغطّاة، بلمرة مشتركة مع مونوميرات الستيرين والأكريلونيتريل. ولقد جرى تبيان أنّ البلمرة بالمعلّقات هي تقنية بلمرة مناسبة.

الجدول (4-4): تعديل السلسلة الرئيسية والسطح في بولي (إيثرفينيلين)

الطريقة	العامل المحرّض
السلفنة	حمض الكلوروسلفونيك
المثيلة الكلورية	إيثر ميثيل كلوروميثيل 28
البُرؤمة ثَم الألكاينيلية	عوامل محرّضة متنوّعة 29
زرع السطح	
التثبيت الأنزيمي	أنزيمات متنوّعة 24
السيولة	ثلاثي ميثيل كلوروسيلان 30
النترّنة/الأمينة	31
الإبثرة	ميثانول، إيثر إيثيلين غليكول أحادي ميثيل 9

بوجود نهاية مغطّاة واحدة، جرت مُكاملة PPE مع وحدات الستيرين والأكريلونيتريل لتكوين بنية على هيئة مشط تكون قِطْع PPE أسنان المشط فيها. بدون النهايات المغطّاة، تسعى زمر الهيدروكسيل على سلاسل PPE إلى تثبيط تفاعل مونوميرات الستيرين. يمكن أن نتوقّع أن يزداد التشبيك مع PPE المحمّل بوظائف مُتعددة. تكون عادة كمّيّة PPE ذي النهايات المغطّاة المُدخّلة في التفاعل حوالي 10 في المئة إلى 15 في المئة.

تزداد درجات حرارة الانتقال الزجاجي للبوليميرات المشتركة بازدياد مستويات PPE، وتتراوح من 144°C إلى 170°C. تتمتع البوليميرات المشتركة بميّزة كونها قابلة للانحلال في الراتجات الستيرينية مثل البوليمير المشترك ستيرين أكريلونيتريل، فينتج من ذلك تركيبة تحتفظ بالخواص الإيجابية لـ PPE، وخصوصاً تبطيء ظهور اللهب، ودرجة حرارة انتقال زجاجي مرتفعة نسبياً.

### 3.2.4. المزائج

يصعب التعامل مع بوليمير PPE الخالص بالبتق أو القابلة بالحقن. إذ تبقى اللزوجة مرتفعة حتّى عند درجات حرارة 300°C إلى 350°C. ويجب اتخاذ احتياطات خاصّة للإقلال من تفاعلات الأكسدة. يمكن حلّ هذه المعضلة المتأصلة بمزج البوليمير مع بوليميرات أخرى. بيّن الجدول (4-5) المزائج الموصوفة في الأدبيات بعينها.

**الجدول (4-5) : المزايج التي تحوي بولي(إيثر الفينيلين)**

المراجع	المركب
36,35	بولي(ستيرين)
37	بولي(أميد)
38	بولي(سلفيد الفينيلين)
26	بولي(إثيلين)
36	سيلكون
39	بولي(ستيرين) (PS) المبروم

**1.3.2.4. المزايج القابلة للامتزاج**

تمكن دراسة قابلية الامتزاج بتقنيات متنوعة، مثل قياس كمية الحرارة بالمشح التفاضلي، والاستعانة بالمجهر الإلكتروني، والتحليل الحراري الميكانيكي، وقياس اللزوجة. يُظهر المزيج القابل للامتزاج درجة حرارة انتقال زجاجي منفردة. إن تقنية قياس اللزوجة تقنية فعالة وسريعة وزهيدة الثمن لتوضيح المفاعيل المتبادلة بوليميرابوليمير.

إن مزايج PPE مع بولي(ستيرين) PS هي مزايج متجانسة. يخفض المزج درجة حرارة التصنيع. ويعدّ نوريل Noryl® أحد هذه المزايج وقد قُدّم عام 1966. يمتزج PPE مع بولي(ستيرين) المبروم بنسبة PPE تفوق 75 في المئة<sup>39</sup>.

يخفّض كلّ من البولي(ستيرين) وراتنجات البوليميرات الأليفاتية الحلقية المشبعة، وفينول التربين للزوجة، ويعطي انسيابية عالية للتركيبية الناتجة. لهذا السبب تسمّى هذه البوليميرات المضافة في بعض الأحيان معزّزات الانسياب أو التدفق. لهذه المواد بعض الآثار السلبية، فهي تسبب انخفاض درجة حرارة الانحراف الحراري للمنتج (Heat deflection temperature) وتزيد قابليته للاشتعال. ولقد جرى وصف تركيبات راتنجية عالية الدفع من بولي(إيثر الفينيلين)<sup>40</sup>. تمتاز البوليميرات الشجرية التشعب المؤسسة على قاعدة البولي إسترات مع مركبات متعددة وظائف الهيدروكسي بكونها فعالة بكميات أقلّ بالمقارنة مع مُحسّنات الانسياب الشائعة<sup>41</sup>. إضافة إلى ذلك، فلقد جرى عرض مزايج غير متجانسة من PPE مع PA.

#### 2.3.2.4. التوافقية

يمكن تحقيق تحسين في التوافق بين PPE وغيره من المركبات في مزيج بالمعالجة بأنهدريد المالبك، أو حمض الفورامريك، أو N-فينيل مالإيميد وغيرها من المركبات. لقد جرى بثق مزائج من PPE و PS أو البوليميرات المشتركة التعاقبية: ستيرين بوتاديين ستيرين، مع أنهيدريد مالبك من حمض الفورامريك للحصول على مزائج متوافقة<sup>35</sup>. وبالمثل، يمكن بثق PPE ذي زمر غليسيديل متدلّية مع بوليمير بولي (أوليفين) بزمر أنهيدريد، بثقاً مشتركاً<sup>25</sup>. ويمكن زرع PPE على بوليمير بولي (إيثيلين) بعجن صهارة كلا البوليميرين المعدلين بوجود رابط مثل ثنائي أمين الفينيلين. كلا البوليميرين معدّل بأنهدريد المالبك. ويجري الزرع مكانياً. يمكن للأمينات أن تعزّز تحسّن بعض الخواص الفيزيائية، عند استعمالها إلى جانب موافقات متنوّعة<sup>26</sup>. إنّ البوليميرات المشتركة العشوائية من الإيثيلين/حمض الأكريليك مناسبة للزرع<sup>25</sup>. ويعتبر أسيتات المغنزيوم رباعي هيدرات محفّزاً يفيد في تحفيز تفاعلات الأسترّة بين زمر OH النهائية في PPE وزمر COOH من كسارة حمض الأكريليك المتدلّية. إذا جرى تحميل PPE بالوظائف من أنهيدريد المالبك، باستعمال مبخر خاص لأنهدريد المالبك، بحيث تجري التغذية بأنهدريد المالبك في الحالة الغازية وتحت شروط خاملة، حصلنا على مواد ذات درجات لونية مُحسّنة<sup>42</sup>.

#### 4.2.4. راتنجات التصلّد الحراري

إنّ تركيبات راتنجات التصلّد الحراري القابلة للإنضاج والمحتوية على PPE مفيدة في التطبيقات الكهربائية لأنها تتمتع بثوابت عزل كهربائية صغيرة. تستعمل مثل هذه التركيبات بصفتها أليفاً مركبة مقوّة سابقة التثريب، كالصفائح المغلّفة بالنحاس المناسبة للوحات الدارات المطبوعة (PCB). يستعمل PPE محمّل بالوظائف حتّى يؤدّي دوراً في تفاعل التصلّد الحراري. الجزء القابل للإنضاج هو راتنج إيبوكسيدي. ويفضّل في حالة لوحات الدارات المطبوعة، استعمال تركيبية مبطنّة للهب، مثل راتنج إيبوكسي على أساس بيس فينول A ثنائي غليسيديل إيثر رباعي برومو بيس فينول A<sup>22,43</sup>.

يمكن في مرحلة أولى ربط زمر غليسيديل إلى PPE، بزيادة كمية زمر الهيدروكسيل المتدلّية، بتفاعل إعادة توزيع مثلاً. ثمّ يسمح في مرحلة ثانية لزمر الهيدروكسيل هذه بالتفاعل مع إبيكلور هيدرين<sup>24</sup>. ولقد جرى الادعاء بأنّ الإبيروموهيدرين و توسيلات الغليسيديل هما أيضاً مفيدان كمواد متفاعلة.

يمكن استعمال PPE الحامل للوظائف بصفته راتنج تصلّد حراري، بالاشتراك مع راتنجات إپوكسي في الطلاءات المسحوقيّة (Powder coatings)<sup>7</sup>. كما تمثّل راتنجات إحكام إغلاق الأجزاء الكهربائيّة حقلاً آخر من التطبيقات<sup>44</sup>.

لقد تمّ وصف نوع آخر من التصلّد الحراري جرى فيه حلّ راتنجات الـ PPE في راتنجات إپوكسي. هناك تشكيلة من البوليميرات يمكن حلّها في راتنجات إپوكسي<sup>45</sup>. لتسهيل إمكانيّة معالجة PPE، يجري حلّه في راتنج إپوكسي بصفته مُعيناً على المعالجة. بعد المعالجة بالعجن يجري إنضاج راتنج الإپوكسي. بعكس المقاربات الأخرى التي يؤدي فيها البوليمير المتلدّن حرارياً دور مُقسّ لحاضنة الإپوكسي، يمكن ضبط كمية راتنج الإپوكسي المضافة ليكون بوليمير PPE الطور المستمرّة في الحالة النهائيّة.

تعطي البلمرة المؤكسدة لـ 2-أليل-6-ميثيل فينول مع 2،6-ثنائي ميثيل فينول بوليميرات تصلّد حراري قادرة على الإنضاج الحراري. تعطي البلمرة المشتركة بوليميرات مشتركة ذات أوزان جزيئيّة مرتفعة مع متوسط عددي  $M_n$  حوالي 50,000 Dalton. وللبوليميرات توزيعات وزن جزيئي واسعة فيها  $M_w/M_n$  حوالي 3.5. يمكن تحقيق تشبيك تصالبي للبوليميرات الطليعيّة بالمعالجة الحراريّة واختبارياً مع 2،5-ثنائي ميثيل-2،5-ثنائي (ترت-بوتيل بيروكسي)-3-بوتان<sup>10</sup>. من المتوقّع أن تكون هذه المواد مفيدة في تطبيقات لوحات الدارات المطبوعة للسرعات والتواترات العالية.

#### 5.2.4. أنماط أخرى متعلّقة بما سبق

يمكن الحصول على بولي (2،6-ثنائي فينيل-1،4-فينيلين أوكسيد) (P3O) من بلمرة 2،6-ثنائي ميثيل فينول. مقارنة بـ 2،6-ثنائي ميثيل فينول فإنّ كمون أكسدة 2،6-ثنائي فينيل فينول أعلى. ويلزم للبلمرة درجات حرارة أعلى<sup>2</sup>.

إنّ درجة حرارة الانتقال الزجاجي لبوليمير P3O هي  $230^{\circ}\text{C}$ ، ودرجة انصهاره هي  $480^{\circ}\text{C}$ . وبالعكس PPE فهو يتبلور ببسر من الصهارة<sup>47</sup>. كما يُبدي استقراراً حرارياً ممتازاً في الهواء أو تحت جو من الأزوت.

نظراً إلى ارتفاع درجة انصهاره، فإنّه من غير الممكن معالجة P3O بتقنيّات القولية بالحقن أو البثق. ولكن يمكن تصنيع أغشية P3O بتقنيّات صب المحاليل، أو ألياف P3O بتقنيّات الغزل الرطب. تصبح هذه المواد عند التوجيه أو المعالجة الحراريّة غير قابلة للانحلال.

الجدول (4-6): خواص بوليمير بولي(إيثر الفينيلين) الصرف<sup>46</sup>

المقياس	الوحدة	القيمة	الخاصّة
	$\text{g cm}^{-3}$	1.06	الكثافة
ASTM D638	GPa	2.7	مُعامل الشد
ASTM D638	%	40-20	استطالة الشد عند الانهيار
ASTM D790	MPa	114	مقاومة الانحناء
	$^{\circ}\text{C}$	205	درجة حرارة الانتقال الزجاجي
	$^{\circ}\text{C}$	267	درجة حرارة الانصهار

### 3.4. الخواص

يتراوح المتوسط العددي للوزن الجزيئي لبوليمر PPE عموماً بين 3000 و 40000 دالتون. وهو أساساً بوليمير لا متبلور عند تبريده من الصهارة. ويقبل الانحلال في الكلوروفورم، والبنزين والتولوين. يبيّن الجدول (4-6) بعض خواص PPE الصرف. ولكن غالباً ما يُستعمل PPE في مزيج لأجل التمكن من معالجته. يسرد الجدول (4-7) خصائص مزيج PPE/PS.

#### 1.3.4. الخواص الميكانيكيّة

تُظهر الأجزاء المقولبة استقراراً جيّداً في أبعادها. ينشأ ذلك من الصغر النسبي لثابت التمدّد الحراري. يبيّن الجدول (4-7) غير ذلك من الخصائص الميكانيكيّة لـ PPE القابل للقولبة.



الجدول (4-7): خواص مزيج لپولي(إيثر الفينيلين) <sup>48a</sup>

المقياس	الواحدة	القيمة	الخاصة
ASTM D792	g cm <sup>-3</sup>	1.06	الكثافة
ASTM D1238	g/10 min	9.2	معدّل الانسياب الكتلي للصحارة <sup>b</sup>
ASTM D955	cm/cm	7×10 <sup>-3</sup>	تقلص القالب، الانسياب الخطي <sup>c</sup>
ASTM D570	%	0.06	امتصاص الماء، 24 ساعة
ASTM D638	GPa	2.86	مُعامل الشد
ASTM D638	MPa	49.6	مقاومة الشد عند الانهيار
ASTM D638	%	7.2	استطالة الشد عند الخضوع
ASTM D638	%	28	استطالة الشد عند الانهيار
ASTM D790	MPa	90.0	مقاومة الانحناء
ASTM D256	J m <sup>-1</sup>	214	صدم أيزود المتلوم (23°C)
ASTM D150		2.56	ثابت العزل الكهربائي (60Hz)
ASTM D2863	%	22	دليل الأوكسجين

<sup>a</sup> نورييل Noryl®731، جنرال إلكتريك

<sup>b</sup> (289°C/5.0kg)

<sup>c</sup> 3.18 mm

#### 2.3.4. الخواص الحرارية

نحتاج إلى درجات حرارة مرتفعة عند المعالجة وذلك بسبب ارتفاع درجة حرارة الانتقال الزجاجي  $T_g$ . إنّ درجة حرارة الانتقال الزجاجي لـ PPE النقي تساوي 205°C ودرجة الانصهار تساوي 267°C. المسألة الحاسمة هي في تجاوز التحلل المؤكسد أثناء عملية الصهر. لذلك تستعمل مزائج PPE، وبالتفضيل مع PS. لقد اكتُشف أنّه في مزائج مكوّنة من PPE و PS سينديوتاكتي، فإنّ بوليمير PPE يُسبب فقدان بوليمير الپولي (ستيرين) لبعض من استقراره في منطقة التدهور الحراري (Thermal degradation) <sup>49</sup>. تشير المطيافية تحت الحمراء إلى أنّ PPE يمرّ بإعادة ترتيب يجري فيها كسر رابطة الإيثر ويُعاد تكوين السلسلة بزمرة الميثيل، وذلك قبل ظهور فقدان الكتلة.

ولأنّ درجات حرارة التدهور الحراري للبولي (ستيرين) السينديوتاكتي هي في المجال نفسه الذي تقع فيه إعادة الترتيب هذه، فمن المعقول أن يتدخلّ البولّي (ستيرين) السينديوتاكتي في عمليّة إعادة ترتيب PPE بعمليّة إنهاء تصالبي. وهكذا تجري إعاقه عمليّة إعادة الترتيب، وينخفض استقرار المزيج.

### 3.3.4. الخواص الكهربائية

يُبدى PPE قوّة عزل كهربائي (Dielectric strength) مرتفعة. لذلك يمكن استعماله كهربيساً (Electret) بوليميرياً<sup>50</sup>. كما يُظهر PPE الخالص سلوكاً ممتازاً في تخزين الشحنات، وهو أفضل في ذلك من البولّي (بروبيلين) والبولّي (إيثر إيמיד).

## 4.4. الإضافات الخاصة

### 1.4.4. معدّلات الصدم

كما ذكرنا بتوسّع فإنّ PPE لا يُستعمل بشكل أساسي كما هو، بل في مزائج بوليميريّة وفي بوليميرات مشتركة لتسهيل عمليّة التصنيع. ولكنّ بعض هذه البوليميرات المشتركة يؤدّي أيضاً دور معدّل للصدم، مثل البوليميرات المشتركة التعاقبية من الستيرين والإثيلين، والبوليتيلين والبروبيلين<sup>51</sup>. وبالطبع، يمكن تحسين الصدم باستعمال البولّي (ستيرين) عالي الصدم (HIPS) عوضاً عن البولّي (ستيرين) العادي في المزائج. تشمل معدّلات الصدم الأخرى المواد المطاطيّة مثل البولّي (أوكتينيلين) ومطاط المونومير إثيلين بروبيلين<sup>52</sup>.

### 2.4.4. الألياف

لقد جرت محاولات عدّة لزيادة صلابة تركيبات قولبة PPE وذلك بخلط ألياف مقويّة مكونة من موادّ عضويّة أو لاعضويّة في الراتنج. حتّى إنّنا نجد عام 1974، اقتراحاً لاستعمال الألياف الزجاجيّة موادّ مقويّة<sup>53,54</sup>. ولتحسين التصاق بين الألياف والحاضنة في التركيبة، فقد جرت الإشارة إلى ألياف غير موحّدة الأبعاد مع مركّبات سيلوكسان

تحتوي على روابط Si-H<sup>55</sup>. تفيد معالجة الألياف بالفينيل سيلان أو  $\gamma$ -غليسيديوكسي بروبييل-ثلاثي ميثوكسي سيلان في تحسين الالتصاق<sup>56</sup>.

هناك طريقة أخرى مستعملة لتعديل سطح الألياف المقوية، تعتمد على المعالجة بمركبات الأمينو ألكيل سيلان، مثل  $\gamma$ -أمينو بروبييل ثلاثي إيثوكسي سيلان. ولقد أُدمجت الألياف الزجاجية التي جرت معالجتها بهذه الطريقة في العديد من التركيبات المحتوية على PPE. إضافة إلى ذلك، فإنه دوماً من الضروري تعديل تركيب الحاضنة المتلدنة حرارياً لربط الألياف بالحاضنة. وغير الألياف الزجاجية، فقد استُعملت للتقوية ألياف الكربون، مثل ألياف الكربون المطلية براتنج إيبوكسي<sup>57</sup>.

#### 3.4.4. مَبَطَّنَات اللّهب

إنّ تركيبات PPE و PS ليست بشكلٍ طبيعي مَبَطَّنَة للّهب. هناك حالات نرغب فيها بإعطاء درجة من تبطيء اللهب للتركيب حتى تكون المواد المقولبة أقدر على مقاومة الاحتراق أو الانصهار عند تعرّضها لدرجات حرارة عالية، أو توضع إلى جانب اللهب. في الأصل، لقد جرى تفضيل مَبَطَّنَات اللهب الهالوجينية على تلك المؤسّسة على الفوسفات، لأنّ الأولى تُظهر تصدّعاً أقلّ عند الإجهاد. لقد تغيّر الأمر الآن لأنّ الهالوجينات قد أوقفت. ومع ذلك فهناك تحريات جارية حول مَبَطَّنَات اللهب الحاوية على الهالوجينات، لذلك سنناقش آخر ما جرى التوصل إليه في مجال مَبَطَّنَات اللهب الحاوية على الهالوجينات قبل الانتقال إلى مَبَطَّنَات اللهب على قاعدة الفوسفور.

يُرَكَّب البولولي (ستيرين) المَبْرُومَ مع ثالث أوكسيد الأنتيموان بصفته مَبَطَّنًا للهب<sup>58</sup>. إضافة إلى ذلك جرى أيضاً استعمال البولولي (إيثر الفينيلين) المَبْرُومَ. غير ذلك من مَبَطَّنَات اللّهب نجد رباعي برومو حلقي الأوكتان، أو رباعي برومو فينيل حلقي الهكسين، أو بيس-(أليل إيثر) رباعي برومو بيس فينول A. في حالة مَبَطَّنِ اللّهب الأخير تجري إضافة ثنائي كيوميل بيروكسيد بصفته مؤازراً<sup>59</sup> وتُستعمل الإضافات مع عوامل نفخ.

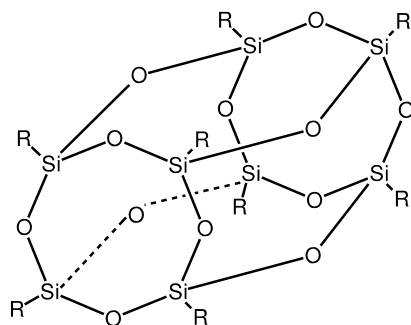
يمكن دمج زمر الهالوجين مباشرة في السلسلة الرئيسية لـ PPE. بالنتيجة، فقد جرى تكاثف مركبات ثلاثي برومو فينول للحصول أوكسيد بوليفينيلين المَبْرُومَ<sup>60</sup>. من الواضح أنّ آلية تكون البوليمير مختلفة عن آلية التقارن المؤكسد. تجري عملية التكاثف بوجود

هيدروكسيد الصوديوم بدرجة حرارة أخفض من درجة حرارة الغرفة عند البدء. بعد التكاثر يكون من الضروري إجراء معالجة إزالة اللون، ويستعمل الهيدرازين لهذه الغاية.

لقد عُرِيت مشاكل التآكل في القولية إلى مُبَطَّنات اللهب على قاعدة PPE المُبرَّوم عند إجراء المعالجة بدرجة حرارة مرتفعة. وأكثر من ذلك، يمكن أن يكون لهذه المبطّات تأثيراً سلبياً في الدرجة اللونية وفي الاستقرار الحراري للمقولبات.

تُظهر مبطّات اللهب المبنية على قاعدة الفوسفور بعض العيوب. إذ يجب إضافة بعضها بكميات كبيرة لتحقيق درجة تطيء اللهب المطلوبة، ولكن عندئذ تظهر بعض الآثار الجانبية غير المرغوبة. فمثلاً، يُلدّن ثنائي فوسفات الـريزورسينول التركيبية، ويقلّل بشكل ملموس درجة حرارة الانحراف الحراري للتشكيلة<sup>61</sup>. تشمل الأمثلة على مبطّات اللهب المبنية على قاعدة الفوسفور في حالة PPE ما يلي : ثنائي فوسفات الـريزورسينول، وبيس فينول A ثنائي الفوسفات، رباعي كزليل بيبيرازين ثنائي فوسفورأميد، وغيرها. تُظهر الإضافات من الصلصال العضوي مفعولاً تآزرياً مع الفوسفات فيما يتعلّق بتبطيع اللهب. لهذا السبب، يمكن إنقاص كمية مبطّ اللهب الفوسفاتي العضوي، ولكنه يبقى في المجال بين 5 في المئة و30 في المئة.

يتأثر مدى تبطيع اللهب بطبيعة المزيج<sup>36</sup>. تتحسن انسيابية الصهارة ومقاومة اللهب لتركيبات راتنج PPE تحسناً ملحوظاً بإضافة مركّب خاص من قفص سيل سسكي أو كسان (Silsequioxane). يبيّن الشكل (4-5) البنية الأساسية لقفص سيل سسكي أو كسان.



الشكل (4-5) : قفص سيل سسكي أو كسان

#### 4.4.4. عوامل النفخ

يمكن تقديم عوامل نفخ بهدف توليد الرغويات. إنّ عوامل النفخ المناسبة هي هيدروكربونات معالجة بالهالوجينات ذات درجات غليان منخفضة، وتلك التي تولّد غازات طيارة بالتحلل الكيميائي. يتضمّن الصفّ الأخير آزو ثنائي كربون أميد (ADC)، والأملاح المعدنية من ADC، و 4،4-أوكسي بيس-(بنزين سلفونيل هيدرازيد)<sup>34</sup> ويُسْتعمل بيكربونات الصوديوم، أو كربونات الأمونيوم بأفضليّة مع حمض الليمون<sup>58</sup>.

#### 5.4. تطبيقات

لمّا كانت الراتنجات المبنية على قاعدة البولي (إيثر الفينيلين) خفيفة الوزن وممتازة من جهة مقاومتها للصدم مقارنةً بالمعدن أو الزجاج، فقد جرى استعمال هذه الراتنجات في حقول متنوّعة تشمل قطع السيارات، وقطع الأجهزة الكهربائيّة المنزليّة، وقطع تجهيزات الأتمتة المكتبيّة. ولكن تتمتع راتنجات البولي (إيثر الفينيلين) بقابليّة قولبة سيّئة. لذلك، لا تستعمل هذه الراتنجات منفردة، بل ممزوجة براتنجات على أساس البولي (ستيرين) تامّة التوافق معها<sup>36</sup>.

ولكنّ الراتنجات على أساس البولي (ستيرين) أكثر قابليّة للاشتعال من تلك المؤسّسة على البولي (إيثر الفينيلين)، لذلك فإن دمجها معها يؤدّي إلى انخفاض درجة مقاومة الحرارة للمزيج الراتنجي PPE/PS ويجعل المزيج قابلاً للاشتعال. لذلك صار من المرغوب فيه إيجاد طريقة جديدة تتيح قولبة راتنج على أساس بولي (إيثر الفينيلين) بدون دمجه مع البولي (ستيرين). إضافة إلى ذلك فإنّه من المرغوب فيه أيضاً تطوير طريقة لتحقيق قابليّة القولبة ومقاومة اللهب في آن معاً.

#### 1.5.4. قطع السيّارات

توفّر المزايج العالّية التوافق من PPE وراتنجات البولي إستر الخطيّة تحسينات مفيدة في المقاومة الكيميائيّة اللازمة للتطبيقات في قطع السيّارات. تشمل مثل هذه التطبيقات لوحات الهيكل المقولبة الملدّنة حراريّاً<sup>20</sup>. وتعتبر تركيبات راتنجات PPE الرغويّة مناسبة بوجه خاص لبدائل بنيويّة خفيفة الوزن عن المعدن، وخاصة في صناعة السيّارات.

## 2.5.4. المواد اللاصقة

يعطي مزج الصهارة لكل من البولي (إيثر الفينيلين) والبولي (ستيرين) وراتنجات الإبوكسي القابلة للإنضاج مواد مناسبة للاستعمال بصفتها مواد لاصقة في التطبيقات الإلكترونية<sup>62</sup>. وبوجه خاص فإنّ هذا التركيب مناسب في أغشية الترقيق للتطبيقات الإلكترونية.

من المفضل أن يكون البولي (ستيرين) من النوع HIPS. إذ تُستعمل منصّجات من محفّزات ضوئية، مثل N-ميثيل-4-بيكولينيوم سداسي فلوروفوسفات، أو تُستعمل عوامل إنضاج حرارية. تشتمل المحفّزات الضوئية على نوعين عامين: أملاح الأونيوم، والأملاح الكاتيونية العضوية المعدنية. وكلاهما مفيد في إنضاج تركيبة المادة اللاصقة.

وعندما نرغب بالإنضاج الضوئي مباشرة بعد البثق، أي قبل أن يتبرد البوليمير المملّن حرارياً ويتصلّب، يمكن تشجيع المبتوق الساخن بالأشعة فوق البنفسجية مباشرة عند فتحة البثق.

## 3.5.4. الأغشية الفاصلة

إنّ بولي (إيثر الفينيلين) واسع الاستعمال في سيرورات الفصل بالأغشية الفاصلة (Membranes) مثل<sup>63</sup>:

- التناضح العكسي المنخفض الضغط،
- الترشيح النانوي،
- فصل الغازات بالأغشية،
- فصل الأبخرة بالأغشية،
- والكهرليت البوليميري.

تفرّق الأدبيات بين الأغشية الفاصلة الكثيفة والأغشية الفاصلة المسامية. ويُجزأ النوع الأخير إلى أغشية ذات مسامات ماكروية، وأخرى ذات مسامات ميكروية، وثالثة ذات مسامات نانوية، وذلك تبعاً لقياس المسامات.

بقطع النظر عن خواص الفصل التي يتمتع بها الغشاء، فإنّ الاستقرار الميكانيكي والحراري والكيميائي هي موسّطات مهمّة في تقدير أداء الأغشية. عموماً، تتعلّق كفاءة الغشاء الفاصل ببنية البوليمير وبالمعدّلات المستعملة. إنّ PPE مناسب بوجه خاصّ للأغشية وذلك بسبب تمتّعه بحجم حرّ كبير.

إنّ سهولة الحركة الدورانيّة لحلقات الفينيل، تؤدي إلى انتشاريّة ونفاذيّة غاز عاليتين<sup>64</sup>. كما يتمتّع PPE بخواص كارهة للماء نسبياً، لذلك فإنّ أداءه لا يتأثر ببخار الماء كما هي حال المواد المحبة للماء<sup>65</sup>.

#### 1.3.5.4. أغشية فصل الغازات

يتبع نفاذ غاز عبر غشاء المعادلة (1-4) التالية :

$$(1-4) \quad \dot{Q} = k_p \Delta p \frac{A}{l}$$

$\dot{Q}$  معدل النفاذ كمعدل تدفق حجم.

$k_p$  ثابت النفاذ.

$\Delta p$  انخفاض الضغط عبر الغشاء.

$A$  مساحة الغشاء.

$l$  سماكة الغشاء.

الانتقائيّة  $\alpha_{1,2}$  هي نسبة ثابتي النفاذ لغازين (1) و(2). تمكن دراسة المفاعيل المتبادلة بين الغازات والبولي (إيثر الفينيلين) باستعمال المطيافية تحت الحمراء<sup>66</sup>. يتغيّر شكل بعض مناطق الامتصاص عند نفاذ بعض الغازات، مثل الميثان وغيره من الهيدروكربونات، عبر الغشاء. ويُسْتَرَجَع الطيف الأصلي بالتطهير باستعمال الهيليوم. تُصَبّ الأغشية الكثيفة من محلول، كأن تُصَبّ من محلول ثلاثي كلور إيثيلين، وغيره من المحاليل. ولقد أُثبت أنّ لدرجة حرارة تبخّر المذيب أثراً ملموساً على خشونة سطح الأغشية وعلى أدائها<sup>68</sup>. تتخفّض النفاذيّة مع ارتفاع درجة حرارة تبخّر المذيب.

لقد جرى تعديل أغشية PPE المسلفنة بمبادلة البروتون من الزمر السلفونيّة مع كاتيونات معدنيّة بتكافؤات متنوّعة. بهذه الطريقة يمكن التفصيل حسب الرغبة استقطاب

البوليمير وكثافته. ولقد استعمل كلٌّ من ثاني أكسيد الكربون، والميثان، والأوكسجين، والآزوت لاختبار الأداء. إنّ الاستعاضة عن الهيدروجين بكاتيون معدني يزيد النفاذية لجميع الغازات. ويُعتقد أنّ هذا ناجم عن انخفاض كثافة التعبئة في الأغشية.

ولكن في سلسلة من الكاتيونات الوحيدة التكافؤ ذات نصف قطر شاردي متزايد، مثل  $Li^+$ ،  $K^+$ ،  $Cs^+$  تتناقص النفاذية بالترتيب نفسه في حالة الغازات غير القطبية. الأمر نفسه صحيح في حالة الكاتيونات القلوية الترابية في السلسلة  $Be^{2+}$ ،  $Mg^{2+}$ ،  $Ca^{2+}$ . لذلك نستنتج أنّ حجم الكاتيون الذي يؤدي دوراً في زيادة الحجم الحرّ، وتغيّر القطبية كلاهما عاملان مهمّان في الأداء<sup>69</sup>. في حالة PPE المبروم تزداد النفاذية للغازات مع درجة البرومة<sup>70</sup>.

إن تنقية الغاز الطبيعي تمثّل تطبيقاً محتملاً واسع المدى لعملية فصل الغازات. لذلك نرى أنّ يشكّل نظام ثاني أكسيد الكربون/ميثان موضوع بحث موسّع. ولقد جرت المقارنة بين PPE المُسلفن ومزيج من PPE مع مركّبات الحموض المتعددة المغايرة (Heteropolyacids) (HPA) بالنسبة إلى كفاءتهما في فصل مزائج من ثاني أكسيد الكربون والميثان<sup>67</sup>. يبيّن الجدول (8-4) معاملات النفاذ والانتقائية.

تتعلّق النفاذية بطبيعة الغشاء. عموماً يلاحظ انخفاض بمعدّل النفاذية في الأغشية المعدلة، ولكنّ هذا يكون مقترناً بزيادة في الانتقائية. يذكر الجدول (8-4) قيم النفاذية والانتقائية التي جرى الحصول عليها في حالة الغازات النقيّة. في حالة مزيج غازي يكون معدّل النفاذية أكثر انخفاضاً، بسبب انخفاض الضغط الجزئي لكلٍّ منها.

الجدول (8-4): معاملات النفاذية والانتقائية في مزائج ثاني أكسيد الكربون والميثان<sup>67</sup>

الانتقائية	النفاذية [Barrer] <sup>a</sup>		مادّة الغشاء
	CH <sub>4</sub>	CO <sub>2</sub>	
$\alpha_{CO_2,CH_4}$			
12.1	3.6	43.7	PPE
20.6	1.36	28.2	PPE/HPA
27.2	0.67	18.4	PPE المُسلفن

$$7.5 \times 10^{-18} \text{ m}^2 \text{ s}^{-1} \text{ Pa}^{-1} = 10^{-10} \text{ cm}^3 \text{ cm cm}^{-2} \text{ s}^{-1} \text{ cm Hg}^{-1} = 1 \text{ Barrer}^a$$

ضغط التغذية يساوي 30 ضغط جويّ عند 30°C.



#### 2.3.5.4. أغشية النفاذ البخاري

يمكن وصف عملية انتقال الكتلة في النفاذ البخاري بنموذج انتشار السوائل، الذي يشرح آلية الانتقال بضرورة تتكوّن مما يلي :

1. امتصاص المركّبات النفاذة من السائل عند جانب المنبع من الغشاء.
2. انتشار المركّبات النفاذة عبر الغشاء.
3. نزع الامتصاص عند الجانب ذي الضغط المنخفض من الغشاء.

لذلك فإنّ معدل النفاذ يتعلّق بقابليّة الانحلال وبالانتشاريّة، وكذلك فإنّ الانتقائيّة محكومة أيضاً بقابليّة الانحلال وبالانتشاريّة<sup>64</sup>.

يُعدّ فصل الميثانول عن الإيثيلين غليكول سيرورة صناعيّة مهمّة في اصطناع بولي (تريفثاليت الإيثيلين)<sup>64</sup>. ولقد جرت دراسة نظام الميثانول/الإيثيلين غليكول دراسة موسّعة باستعمال طرائق تحليليّة متنوّعة وتجارب نفاذ بخاري أيضاً. تصل انتقائيّة الميثانول إلى 250 عند تراكيز منخفضة للميثانول، ولكن التدفّق العام يتناقص في هذا المجال.

يُحسّن الفولرين  $C_{60}$  خواص نقل أغشية PPE. يمكن تحضير أغشية  $C_{60}$  PPE تحتوي حتّى 2% من الفولرين وزناً بمزج محلولي PPE و  $C_{60}$  في التولوين، ثمّ يلي ذلك صبّ وتجفيف<sup>71</sup>. يبيّن الجدول (4-9) ساعات امتصاص PPE. يمكن الاستفادة من خواص هذه الأغشية في تفاعلات الأسترة لأنّ البوليمير لا يمتص الماء.

لقد تلقى مركّب إيثر ميثيل-تريت-بوتيل (MTBE) اهتماماً كبيراً كمحسن للأوكتان ليُستعاض به عن رباعي إيثيل الرصاص. يُنتج MTBE بتفاعل الميثانول والإيزوبوتين مع محفّز راتنجي ذي تبادل شاردي قوي الحمضيّة. يؤدّي استعمال فائض من الميثانول في التفاعل إلى مشاكل تتعلّق بالفصل، لأنّ الميثانول يكوّن أزيوتروباً (Azeotrope) مع MTBE. لهذا السبب فإنّ طرائق بديلة للفصل تكون موضع الاهتمام.

يمكن استعمال أغشية PPE مملوءة بالسيليكا، وبجسيمات نانووية من السليكا المعدّلة بالسيلان، وذلك للفصل بالنفاذ البخاري لمزائج الميثانول و MTBE. مقارنةً بغشاء PPE غير مملوء، تُبدي الأغشية المملوءة انتقائيّة أعلى للميثانول، ونفوذية أخفض<sup>72</sup>.

الجدول (4-9) : ساعات امتصاص البولوي (إيثر الفينيلين)<sup>71</sup>

الامتصاص [%]		المركّب
PPE+2% C <sub>60</sub>	PPE	
15.0	13.0	الإيثانول
24.2	23.6	حمض الخل
0	0	ماء
26.4	23.4	أستات الإيثيل

#### 3.3.5.4. المحفّزات الغشائية

تستعمل المحفّزات الغشائية حاملاً بوليميرياً. تُستعمل المواد المركّبة البوليميرية على أساس PPE بصفقتها حاملاً بوليميرياً مع مركّبات HPA كمحفّزات<sup>73</sup>. يجري تحضير المواد المركّبة من النمط HPA-بوليمير بمزج HPA مع البوليمير في مذيب مكوّن من مزيج ميثانول وكلوروفورم. تكون هذه المواد المركّبة فعّالة في اصطناع كحول تريت-بوتيل، وإيثر إيثل تريت-بوتيل، وفي بعض التفاعلات التي تتطوي على الإيثانول و MTBE. لقد أظهر مفاعل غشائي على أساس PPE الأداء الأفضل بين عدد من الأغشية البوليميرية المُختبرة.

#### 4.3.5.4. أغشية الترشيح الفائق

إلى جانب المعالجة الكيميائية بحمض الكلوروسلفونيك، يمكن إدخال الزمر السلفونية بالزرع السطحي الذي تبادره البلازما باستعمال ستيرين سلفونات الصوديوم<sup>74</sup>. يزيد إدخال الزمر الشارديّة الاستقطاب السطحي، ومن ثمّ نفاذ الماء.

تعدّ الأغشية الفاصلة المُسلفة مواد قاعدية ممتازة للأغشية ثنائية الاستقطاب. يؤدي توضع بوليمير بلازما أليل أمين على السطح إلى الحصول على أغشية ثنائية الاستقطاب متذبذبة، مع خواص ترشيح فائق.

يمكن إدخال مواقع الإرساء في PPE بالمتيلة الكلورية باستعمال إيثر ميثيل كلوروميثيل، وذلك بوجود محفّز فريدل-كرافتس (Friedel-Crafts) مثل SnCl<sub>4</sub>. يفيد

PPE المُمْتَلِ كُورِيَاً فِي تَحْضِيرِ أَغْشِيَةِ فَاصِلَةِ مَسَامِيَّةٍ مَعْدَلَةٌ مِنْ 2،1-ثَنَائِي أَمِينُو إِيثَان<sup>28</sup>، الَّتِي يُمْكِنُ بَدْوَرُهَا أَنْ تَتَّبَتَّ إِنْزِيْمَاتٍ مِثْلَ أَنْزِيْمِ بَإِپِينِ (Papain).

بَإِپِينِ هُوَ إِنْزِيْمٌ يَهْضُمُ الْبِرُوْتِيْنَائَاتِ<sup>(\*)</sup>. وَهُوَ يُظْهَرُ نَشَاطُهُ الْهَاضِمِ نَحْوَ رَوَابِطِ إِسْتِرْ وَأَمِيْدٍ مَتَوَعَّةٍ، كَمَا تَظْهَرُ فِي الْبِرُوْتِيْنَائَاتِ وَالْبِيْتِيْدَاتِ. لَقَدْ جَرِيَ اخْتِبَارُ الْأَدَاءِ فِي تَجَارِبِ تَرْشِيْحِ فَائِقٍ لِمَحَالِيْلِ جُبْنِيْنِ (كَازِيْنِيْنِ). تُبْدِي الْأَغْشِيَةُ الْمَعْدَلَةُ مَفْعُولَ تَنْظِيْفٍ ذَاتِي. فَبِي حِيْنَ تَنْسَدُ الْأَغْشِيَةُ غَيْرَ الْأَنْزِيْمِيَّةِ بِالْكَامِلِ أَثْنَاءَ عَمَلِيَّةِ التَّرْشِيْحِ الْفَائِقِ، نَجِدُ أَنَّ الْأَغْشِيَةَ الْمَوْضَفَّةَ إِنْزِيْمِيَاً لَا تَنْسَدُ.

#### 5.3.5.4. أَغْشِيَةُ فَاصِلَةِ مِنَ الْمَنَاحِلِ الْجَزِيْنِيَّةِ الْكَرْبُوْنِيَّةِ

تَسْتَعْمَلُ أَغْشِيَةُ فَاصِلَةِ مِنَ الْمَنَاحِلِ الْجَزِيْنِيَّةِ الْكَرْبُوْنِيَّةِ فِي تَقْنِيَّةِ فَصْلِ الْغَازَاتِ، كَاسْتِرْجَاعِ  $H_2O$  وَ  $CO_2$  مِنَ الْغَازِ الطَّبِيْعِيِّ، وَغَيْرِهَا مِنْ مَرَاكِلِ التَّنْقِيَّةِ. يَتَوَفَّرُ الْعَدِيْدُ مِنَ الْمَوَادِّ الْبُولِيْمِيْرِيَّةِ الطَّبِيْعِيَّةِ لِأَغْشِيَةِ الْمَنَاحِلِ الْكَرْبُوْنِيَّةِ، مِثْلَ الرَّائِتْجَاتِ الْفَنُوْلِيَّةِ لِكُلِّ مِنَ الْبُولِي (إِيْمِيْدِ)، وَالْبُولِي (أَكْرِيْلُوْنِيْتْرِيْلِ)، وَالْبُولِي (كَحُوْلُ فُورْفُورِيْلِ). يُمْكِنُ تَعْدِيْلُ PPE بِطَرَائِقٍ مَتَوَعَّةٍ، وَذَلِكَ تَبْعاً لِلطَّرِيْقَةِ الْأَكْثَرِ فَائِدَةً فِي تَفْصِيْلِ الْإِنْتِقَائِيَّةِ الْمُنَاسِبَةِ<sup>75</sup>.

لَقَدْ جَرِيَ تَحْمِيْلُ PPE بِالْوِظَائِفِ بِكُلِّ مِنْ زَمْرِ الْحَمِضِ السُّلْفُونِيِّ، وَزَمْرِ الْحَمِضِ الْكَرْبُوْكْسِيْلِيِّ، وَالْبِرُوْمِ، وَزَمْرِ ثَلَاثِي مِيْثِيْلِ سِيْلِيْلِ، وَغَيْرِهَا مِنْ الزَّمْرِ فِي تَفَاعُلٍ مِنْ مَرْحَلَةٍ وَاحِدَةٍ. يُوَثِّرُ إِدْخَالُ كَاتِيُونَاتٍ مَعْدِنِيَّةٍ فِي PPE الْمُسْلَفْنَ فِي بِنَى الْأَغْشِيَةِ الْكَرْبُوْنِيَّةِ<sup>76</sup>. يَجْرِي إِدْخَالُ زَمْرَةٍ ثَلَاثِي مِيْثِيْلِ سِيْلِيْلِ بِمَعَالِجَةِ PPE بِالْمَرْكَبِ n-بُوْتِيْلِ لِيْثِيُوْمِ (وَفَوْقِ تَفَاعُلِ لِيْثِمَةٍ<sup>(\*\*)</sup> Lithiation) يَتَّبِعُ ذَلِكَ مَعَالِجَةُ بَكْلُورُو ثَلَاثِي مِيْثِيْلِ سِيْلَانِ. يُمْكِنُ تَحْضِيرُ طَلَائِعِ أَغْشِيَةٍ مَفْرَعَةٍ الْأَلْيَافِ بِعَمَلِيَّةِ غَزْلِ جَافَةٍ ارْطَبَةٍ. بَعْدَ التَّجْفِيْفِ تُسَخَّنُ طَلَائِعُ الْأَغْشِيَةِ تَسْخِيْنًا سَابِقًا حَتَّى  $280^\circ C$  ثُمَّ تُجْرَى عَمَلِيَّةُ الْكَرْبَنَةِ بِالتَّسْخِيْنِ الْمِيْرْمِجِ عَشْرَ دَرَجَاتٍ فِي الدَّقِيْقَةِ مِنْ  $550^\circ C$  حَتَّى  $750^\circ C$  فِي الْخَلَاءِ.

(\*) أَي يَكْسِرُ السَّلَاسِلَ الطَّوِيْلَةَ لِلْبِرُوْتِيْنَائَاتِ (الْمَتْرَجِم).

(\*\*) تَفَاعُلَاتٌ مَعَ مَرْكَبَاتٍ عَضْوِيَّةٍ لِلْيِثِيُوْمِ (الْمَتْرَجِم).

يمكن تعديل الأغشية الكربونية التي جرى الحصول عليها من PPE بالتحلل الحراري وذلك بمعالجتها في الهواء بدرجات حرارة مرتفعة<sup>77,78</sup>. حيث تحصل عملية أكسدة تؤدي إلى زيادة أبعاد المسامات.

وكذلك فإنّ المزائج من PPE بصفته بوليميراً مستقراً حرارياً والبوليمير الأقل استقراراً بولي (N-فينيل-2-بيروليدون) هي مزائج ممكنة. ويمكن بتغيير نسبة مزج هذين البوليميرين، وتغيير شروط التحلل الحراري تفصيل خواص النفاذ حسب الرغبة<sup>79</sup>.

#### 6.3.5.4. أغشية فاصلة كهربية بوليميرية

تتجه درجات حرارة عمل خلايا الوقود ذات أغشية الكهربية البوليميرية نحو الارتفاع، وذلك لتحقيق بعض المزايا مثل تحسين التسامح مع أول أكسيد الكربون، وتسهيل إدارة الماء والحرارة، ورفع كفاءة الطاقة. ولكن العديد من الأغشية الشائعة الاستعمال لا تتحمل درجات الحرارة المرتفعة. لذلك ظهرت الحاجة إلى مواد بديلة.

تمكن معالجة PPE المسلفن بالإيميدازول للحصول على كهريئات بوليميرية موصلة للبروتونات<sup>80</sup>.

تجري سلفنة PPE في محلول الكلوروفورم مع حمض الكلوروسلفونيك<sup>81</sup>. بعد عزل PPE المسلفن، يُكوّن معقد الإيميدازول في محلول N,N-ثنائي ميثيل فورم أميد بإضافة PPE المسلفن والإيميدازول بالكميات المرغوبة. ثمّ يُجانس المزيج في حمام فوق صوتي. تُصَبّ الأغشية على الزجاج بتبخير المذيب. توحى تبعية الموصلية البروتونية لدرجة الحرارة أن آلية انتقال الشحنة لا تتحقق بالانتقال الفعلي لحاملها، ولكن من خلال سلسلة منظمة من تكوّن لروابط هيدروجين وانكسارها، وهذه ما تُسمّى آلية غروتوس (Grotthus). من الواضح أنّ موصلية بروتونية عالية تتبع من هذا السلوك.

يؤثر المطّ الميكانيكي في الخواص الكهربائية لبوليمير PPE المسلفن<sup>82</sup>. وفي ظروف مؤاتية تزداد الموصلية الكهربائية حتى عشرة أضعاف الأغشية الأصلية.

تُظهر الأغشية المركّبة المحضّرة بصبّ مادّة Nafion®15 على أغشية مصنوعة من PPE وحمض الفوسفوموليبيديك نفاذية أخفض تجاه الميثانول، وذلك مقارنةً بمادّة Nafion®15 الصرفة<sup>83</sup>. لهذه الأغشية المركّبة تطبيقات محتملة بصفاتها كهليليات في خلايا الوقود بالميثانول المباشر (Direct methanol fuel cells).

#### 6.4. الموردون والعلامات التجارية

يبين الجدول (4-10) الموردّين والعلامات التجارية. العلامات التجارية في أغلبها هي مزائج مع PS. بعضها مقوّى بالألياف، أو مصوّغ كمبطّي للهب. وتتوفّر أغلب الأسماء التجارية بدرجات مختلفة. يبيّن الجدول (4-11) الأسماء التجارية الواردة في المراجع.

الجدول (4-10): أمثلة على بوليميرات PPE المتوفّرة تجاريّاً<sup>48</sup>

ملاحظات	المُنتج	الاسم التجاري
كريات	ACLO Compounders Inc.	ACCGUARD™
مقوّى بالألياف الزجاجية	ACLO Compounders Inc.	ACCUTECH™
PPE+PS	Aquafil Technopolymers S.p.A	ACNOR™
للاستعمال العام	Ashley Polymers, Inc.	ASHLENE®
	General Electric	Noryl®
PPE+PS+PA	Westlake Plastics Company	Norylux™ PPO
PPE+PS	PMC Engineered Plastics, Inc.	PMC EP PX1000
PPE+PS	Polymer Resources Ltd.	PRL PPX
PPE+PS+PA	QTR, Inc.	QR Resin QR-4000
PPE+PS	Ferro Corporation	Styvex
PPE+PS+PA	Taro Plast S.p.A.	TARONYL®
PPE+PS	LNP Engineering Plastics Inc.	Thermocomp
	Tyne Plastics LLC.	TYNELOY®
	Degussa AG	Vestoran
	Asahi Kasei Corporation	Xyron®

الجدول (4-11) : الأسماء التجارية الواردة في المراجع

المورد	الاسم التجاري الوصف
Cabot Corp.	Black Pearls® هاب الفحم <sup>51</sup>
General Electric	Blendex™
Perstorp Specialty Chemicals	بولي (6،2-ثنائي ميثيل فينيلين إيثر) <sup>62</sup> Boltorn® (Series)
Bunawerke Hüls GmbH	بولي (إستر) شجري التشعب <sup>41</sup> Buna® AP 437
Cabot Corp.	<sup>52</sup> EPDM Cabelec®
Repsol	هاب فحم موصل (دفعه رئيسه) ماسترباتش في PA 6 <sup>51</sup> Calprene® بوليمير مشترك ثلاثي الكتلة ستيرين- (إثيلين-بوتيلين)- ستيرين <sup>51</sup>
Shell	Cariflex® بوليمير مشترك ثلاثي الكتلة <sup>41, 40, 35, 34</sup>
Columbian Chemical Corp.	Conductex® هاب الفحم <sup>51</sup>
Bayer AG	Disflamoll® DPK ثنائي فينيل كريسيل فوسفات <sup>57</sup>
Nova Chemicals S.A. (Arco Chemical Co.)	DYLARK® بوليمير مشترك من الستيرين مع أنهريد المالبك <sup>62</sup>
Resolution Performance Products LLC. Corp. (Shell)	Epon® (Series) ثنائي غليسيديل إيثرات من بيس فينول A <sup>62</sup>
Union Carbide Corp.	ERL™ إيبوكسيدات أليقلية <sup>62</sup>
Fortafil Fibers, Inc.	Fortafil® ألياف الكربون <sup>51</sup>
General Electric	Geloy® resin بوليمير مشترك ASA <sup>35</sup>
Courtaulds Advanced Materials	Grafil® fibers ألياف الكربون <sup>57, 51</sup>

الجدول (4-11): الأسماء التجارية الواردة في المراجع

المورد	الاسم التجاري الوصف
Ciba Geigy	IrganoxR 1010 بنتا إريثريتول تترakis (3،3،5،3)-ثنائي-ترت-بوتيل-4-
Ciba Geigy	IrganoxR 1076 هيدروكسي فينيل) بروبيونات) مضاد أكسدة فينولي <sup>51، 57</sup> أوكتادسيل-3-(3،3،5،3)-ثنائي-ترت-بوتيل-4- هيدروكسي فينيل) بروبيونات <sup>51</sup>
Ciba Geigy	IrganoxR 1098 N·N'-سداسي ميثيلان بيس (3،5)-ثنائي-ترت-بوتيل-4- هيدروكسي هيدروسينام أميد <sup>51</sup>
DuPont-Toray Co., Ltd.	Kapton® بولي (إيميد) <sup>62</sup>
Akzo	Ketjenblack® هياص فحم موصل <sup>51</sup>
DuPont	Kevlar® أراميد <sup>41، 34</sup>
Shell	Kraton® بوليمير مشترك كتلي التعاقب ستيريني <sup>62، 51، 41، 35، 34</sup>
BASF AG	Luran® بوليمير مشترك SAN <sup>62</sup>
Arizona Chemical Co.	Nirez® 2150/7042 فينول التربين، معدل انسياب أو تدفق <sup>41</sup>
General Electric	Noryl® مزيج PPE مع PS <sup>62، 2</sup>
Clariant GmbH	Sandostab® 4020 بنتا إريثريتول تترakis (3-لوريل ثيوبروبينات) <sup>51</sup>
DSM Engineering Plastics	Sapron™ S بوليمير مشترك SMA <sup>62</sup>
Kuraray Co., Ltd.	Septon® بوليمير مشترك كتلي التعاقب ستيريني مهدرج <sup>51</sup>
Rhodia Inc.	Sniamid® ASN 32 بولي (أميد) <sup>51</sup>

الجدول (4-11) : الأسماء التجارية الواردة في المراجع

المورد	الاسم التجاري الوصف
Philips Petroleum Co. (Industrias Negromex, S.A.)	Solpren® بوليمير مشترك كتليّ التعاقب ستيريني <sup>51</sup>
DuPont	Surlyn® رانتج أيونوميري <sup>51</sup>
Akzo	Tenax® ألياف الكربون <sup>57</sup>
Toray Industries, Inc.	Torayca® ألياف الكربون <sup>51</sup>
BASF AG	Ultramid® (Series) بولي (أميد) <sup>52</sup>
General Electric	Valox® 315 بولي (تريفثاليت البوتيلين) <sup>20</sup>
Dexco Polymers LP	Vector® بوليمير مشترك كتليّ التعاقب ستيريني <sup>51</sup>
Hüls	Vestamid® بولي (أميد) <sup>52</sup>
Hüls	Vestenamer® 8012 بولي (أوكتينيلين) <sup>52</sup>
Cabot Corp.	Vulcan® XC72 هباب الفحم <sup>51</sup>
Zoltec Corp.	Zoltec® HT ألياف الكربون <sup>51</sup>
Dupont	Zytel® بولي (أميد) <sup>51</sup>

#### 7.4. الأمان

إنّ مركّبات الفينول مواد سامّة ويجب التعامل معها بحذر. الاستنشاق أو التعرّض الجلدي لمركّبات الفينول مهيج جداً للجلد والعيون.



ليست هناك مخاطر حادة أو مزمنة على الصحة مقرونة بالتعرض إلى راتنجات PPE. ولكنّ غازات تحللها سامّة، ولكنّ ترتيب سميتها يقع في المراتب الأخيرة، عند اختبارها على الفئران<sup>84</sup>. لذلك ينبغي تهوية تجهيزات التصنيع والمساحات التي يمكن أن تتطلق فيها غازات من البولييمير المصهور تهوية مناسبة.

#### 8.4. الأثر البيئي وإعادة التدوير

تجري البلمرة المؤكسدة لـ 6،2-ثنائي فينيل فينول بدرجة حرارة قريبة من درجة حرارة الغرفة. إضافة إلى ذلك فإنّ تفاعل البلمرة لا يُكوّن أيّة زمر مُغادرة. من وجهة نظر الكيمياء الخضراء يُفضّل الماء كمذيب في البلمرة المؤكسدة. تُعاني أكسدة 6،2-ثنائي فينيل فينول من كونها تكوّن بشكل أساسي TMDQ.

ولكن باستعمال فائض من المؤكسد، تمكن إزالة TMDQ، وذلك حتّى في المحاليل المائية القلوية<sup>19</sup>. لقد جرى تطوير محفّز نحاسي قابل للانحلال في الماء هو معقّد من  $Cu Cl_2 \times 2 H_2O$  وحمض ثنائي إيثيلين ثلاثي أمين -N،N،N،N،N- خماسي الأسيتيك، إلى جانب معقّلات أخرى. كما تزيد خافضات التوتر السطحي المرودود البولييميري.

لقد جرى تحديد نواتج التدهور الحراري في كلّ من الهواء والأزوت لبولييمير بولي(أوكسيد الفينيلين)- بولي أميد (Noryl GTX) وكذلك كمياتها. ولقد بيّنت اختبارات السميّة البيئيّة لمنتجات التحلّل الحراري على المتعضّيات المائية، أنّه في حالة حريق، فإنّ الضرر لا يتجاوز ذلك الضرر الناتج من احتراق خشب الزان عندما يصل الماء الذي جرى فيه إطفاء الخشب إلى البيئية المائية<sup>85</sup>.

يمكن فصل المزائج المحضّرة صناعياً من البولي (كلور الفينيل)، والبولي (كربونات)، والبولي (أوكسي ميثيلين) و PPE بتقنيّة الطفو، وذلك باستعمال عوامل ترطيب مثل لينين سلفونات الصوديوم، وحمض التانيك، والبولي (أوكسي إيثيلين)، والصابونين<sup>86</sup>. يبيّن الجدول (12-4) ترتيب استجابة الطفو.

الجدول (4-12): ترتيب استجابة الطفو للبوليميرات<sup>86</sup>

البوليمير	عامل الترطيب
PC = PVC < POM = PPE	حمض التانيك
PVC ≪ PC < POM = PPE	لينين سلفونات
PVC ≪ PC = POM < PPE	پولي(أوكسي إيثيلين)

## المراجع

1. A. S. Hay, H. S. Blanchard, G. F. Endres, and J. W. Eustance. "Polymerization by oxidative coupling." *Journal of the American Chemical Society*: vol. 81, 1959, pp. 6335–6336.
2. A. S. Hay. "Poly(phenylene oxides)s and poly(arylene ether)s derived from 2,6-diarylphenols." *Progress in Polymer Science*: vol. 24, no. 1, April 1999, pp. 45–80.
3. A. S. Hay. Oxidation of phenols. US Patent 3 306 874, assigned to General Electric Company (Schenectady, NY), 28 February 1967.
4. H. M. V. Dort. Process for the formation of high molecular weight polyarylene ethers. CA Patent 798 422, assigned to Polychemie Aku Ge Nv, 5 November 1968.
5. S. Kobayashi and H. Higashimura. "Oxidative polymerization of phenols revisited." *Progress in Polymer Science*: vol. 28, no. 6, June 2003, pp. 1015–1048.
6. A. S. Hay. "Polymerization by oxidative coupling. II. Oxidation of 2,6-disubstituted phenols." *Journal of Polymer Science*: vol. 58, 1962, pp. 581–591.
7. G. W. Yeager and M. T. Takemori. Powder coating of thermosetting resin(s), polyphenylene ether(s) and curing agent(s). US Patent 6 784 260, assigned to General Electric Company (Schenectady, NY), 31 August 2004.
8. M. Matzner and D. M. Papuga. Copolymers of polyphenylene oxides and polyarylates. US Patent 4 746 709, assigned to Amoco Corporation (Chicago, IL), 24 May 1988.
9. J. Zhang, H. Wang, and X. Li. "Novel hyperbranched poly(phenylene oxide)s with phenolic terminal groups: Synthesis, characterization, and modification." *Polymer*: vol. 47, no. 5, February 2006, pp. 1511–1518.
10. T. Fukuhara, Y. Shibasaki, S. Ando, and M. Ueda. "Synthesis of thermosetting poly(phenylene ether) containing allyl groups." *Polymer*: vol. 45, no. 3, February 2004, pp. 843–847.

11. J. J. Talley. Zinc oxide catalyzed dealkylation of alkylated phenols. US Patent 4 533 768, assigned to General Electric Company (Schenectady, NY), 6 August 1985.
12. A. J. Caruso and J. L. Lee. Method for making a 2,6-dialkylphenol. US Patent 5 475 156, assigned to General Electric Company (Schenectady, NY), 12 December 1995.
13. K.-T. Li and P. Y. Liu. Process for preparing 2,6-dimethylphenol. US Patent 6 399 838, assigned to National Science Council (TW), 4 June 2002.
14. H. Ota and M. Aga. Process for the preparation of 2,6-xyleneol. US Patent 6 593 501, assigned to Asahi Kasei Kabushiki Kaisha (Osaka, JP), 15 July 2003.
15. R. S. Kapner, D. L. Kippax, K. E. Murphy, and L. H. Udani. Process for the formation of 2,6-diphenyl-phenol. US Patent 3 972 951, assigned to General Electric Company (Pittsfield, MA), 3 August 1976.
16. J. J. H. Edema. Environmentally friendly method for poly(phenylene ether) polymerization and catalyst recycle. US Patent 5 621 066, assigned to General Electric Company (Pittsfield, MA), 15 April 1997.
17. J. G. Bennett and G. D. Cooper. Process for the preparation of polyphenylene ethers with activated copper-amine catalysts. US Patent 3 988 297, assigned to General Electric (Pittsfield, MA), 26 October 1976.
18. G. D. Cooper and I. Schraga. Improved polyphenylene ether polymerization process using methylene chloride as solvent. US Patent 4 035 357, assigned to General Electric Company (Pittsfield, MA), 12 July 1977.
19. K. Saito, N. Kuwashiro, and H. Nishide. "Catalyzed oxidative polymerization to form poly(2,6-dimethyl-1,4-phenylene oxide) in water using water-soluble copper complex." *Polymer*: vol. 47, no. 19, September 2006, pp. 6581–6584.
20. J. B. Yates, III and G. F. Lee, Jr. Compatible polyphenylene ether-linear polyester blends having improved impact strength. US Patent 5 008 333, assigned to General Electric Co. (Selkirk, NY), 16 April 1991.
21. C. Gao and D. Yan. "Hyperbranched polymers: From synthesis to applications." *Progress in Polymer Science*: vol. 29, no. 3, March 2004, pp. 183–275.
22. J. E. Tracy and G. W. Yeager. Curable polyphenylene ether-thermosetting resin composition and process. US Patent 6 051 662, assigned to General Electric Co. (Pittsfield, MA), 18 April 2000.
23. A. Freshour, H. Guo, R. L. Howe, E. N. Peters, and G. W. Yeager. Compositions comprising functionalized polyphenylene ether resins. US Patent 6 897 282, assigned to General Electric (Pittsfield, MA), 24 May 2005.
24. M.-S. Yin, C.-T. Lin, and H.-C. Kang. Process for preparing epoxy group-containing curable polyphenylene ether resin using high-molecular-weight polyphenylene resin. US Patent 6 693 149, assigned to Industrial Technology Research Institute (Hsinchu, TW), 17 February 2004.

25. S. G. Cottis and K. M. Natarajan. In situ compatibilization of ppe/polyethylene copolymer blends. US Patent 5 286 793, assigned to Istituto Guido Donegani (Milan, IT) Enichem America, Inc. (Monmouth Junction, NJ), 15 February 1994.
26. D. F. Aycock and S.-P. Ting. Functionalized polyphenylene ethers and blends with polyamides. US Patent 5 069 818, assigned to General Electric Company (Selkirk, NY), 3 December 1991.
27. A. J. F. M. Braat, H. G. E. Engelbrecht, and J. Liska. Process for the manufacture of low molecular weight polyphenylene ether resins through redistribution. US Patent 6 455 663, assigned to General Electric Company (Pittsfield, MA), 24 September 2002.
28. B. Turkiewicz, M. Rucka, G. Pozniak, and E. Zboinska. "Biofunctional membranes from poly(2,6-dimethyl-1,4-phenylene oxide) with self-cleaning properties." *Enzyme and Microbial Technology*: vol. 39, no. 4, August 2006, pp. 527–530.
29. C. Bonfanti, L. Lanzini, A. Roggero, and R. Sisto. "Chemical modification of poly(2,6-dimethyl-1,4-phenylene oxide) by bromination-alkynylation." *Journal of Polymer Science Part A: Polymer Chemistry*: vol. 32, no. 7, May 1994, pp. 1361–1369.
30. J. Zhang and X. Hou. "The gas permeation property in trimethylsilyl-substituted PPO and triphenylsilyl-substituted PPO." *Journal of Membrane Science*: vol. 97, no. 1, January 1994, pp. 275–282.
31. Y. S. Bhole, P. B. Karadkar, and U. K. Kharul. "Nitration and amination of polyphenylene oxide: Synthesis, gas sorption and permeation analysis." *European Polymer Journal*: vol. 43, no. 4, April 2007, pp. 1450–1459.
32. A. J. F. M. Braat, H. S.-I. Chao, H. Guo, J. Liska, and G. W. Yeager. Compositions comprising functionalized polyphenylene ether resins. US Patent 6 780 959, assigned to General Electric Company (Pittsfield, MA), 24 August 2004.
33. A. J. F. M. Braat, R. de Jongh, and J. Liska. Process for the manufacture of functionalized polyphenylene ether resins. US Patent 6 417 274, assigned to General Electric Co. (Schenectady, NY), 9 July 2002.
34. H. Guo, N. Devanathan, and C. Lewis. Copolymers of functionalized polyphenylene ether resins and blends thereof. US Patent 6 620 885, assigned to General Electric Company (Pittsfield, MA), 16 September 2003.
35. R. van der Meer and J. B. Yates, III. Functionalized polyphenylene ether from polyphenylene ether chain terminated with phenoxy moiety containing amino and hydroxy group. US Patent 4 888 397, assigned to General Electric Company (Schenectady, NY), 19 December 1989.
36. H. Saito and M. Ikeda. Polyphenylene ether-based resin composition containing silicon compound. US Patent 7 122 591, assigned to Asahi Kasei Kabushiki Kaisha (Osaka, JP), 17 October 2006.

37. N. A. McGaughan, G. F. Lee, Jr., R. J. Wroczynski, J. B. Yates, C. H. J. Koevoets, J. P. Keulen, and J. K. Gianchandani, deceased. Compositions of poly(phenylene ether) and polyamide resins, which exhibit improved beard growth reduction. US Patent 5 981 656, assigned to General Electric Company (Pittsfield, MA), 9 November 1999.
38. S. B. Brown, C.-F. R. Hwang, H. Ishida, J. J. Scobbo, Jr., and J. B. Yates, III. Functional poly(phenylene ether)/poly(arylene sulfide)/epoxy function alpha olefin elastomer/elastomeric block copolymer/metal salt compositions and process for making thereof. US Patent 6 303 708, assigned to General Electric Company (Pittsfield, MA), 16 October 2001.
39. A. Z. Aroguz and B. M. Baysal. "Miscibility studies on blends of poly(phenylene oxide)/brominated polystyrene by viscometry." *European Polymer Journal*: vol. 42, no. 2, February 2006, pp. 311–315.
40. N. Patel. High flow polyphenylene ether formulations. US Patent 7 056 973, assigned to General Electric (Pittsfield, MA), 6 June 2006.
41. A. Adedeji. High flow polyphenylene ether formulations with dendritic polymers. US Patent 6 809 159, assigned to General Electric Company (Pittsfield, MA), 26 October 2004.
42. T. Tokiwa. Functionalized polyphenylene ether resin. US Patent 6 835 795, assigned to Asahi Kasei Kabushiki Kaisha (Osaka, JP), 28 December 2004.
43. E. W. Walles, J. H. Lupinski, M. Markovitz, R. E. Colborn, J. R. Presley, M. J. Davis, M. G. Minnick, S. J. Kubisen, Jr., J. E. Hallgren, D. A. Bolon, V. J. Eddy, and P. C. Irwin. Printed circuit board from fibers impregnated with epoxy resin mixture, halogenated bisphenol and polyphenylene ether. US Patent 4 975 319, assigned to General Electric Company (Schenectady, NY), 4 December 1990.
44. K. Ishii, Y. Norisue, K. Hiramatsu, M. Miyamoto, M. Yamazaki, and D. Ohno. Polyphenylene ether oligomer compound, derivatives thereof and use thereof. US Patent 6 835 785, assigned to Mitsubishi Gas Chemical Company, Inc. (Tokyo, JP), 28 December 2004.
45. B. J. P. Jansen, H. E. H. Meijer, and P. J. Lemstra. "Processing of (in)tractable polymers using reactive solvents. Part 5: Morphology control during phase separation." *Polymer*: vol. 40, no. 11, May 1999, pp. 2917–2927.
46. D. Aycock, V. Abolins, and D. M. White. "Poly(phenylene ether)." In: H. F. Mark, N. Bikales, C. G. Overberger, and G. Menges, eds. *Encyclopedia of Polymer Science and Engineering*, 2<sup>nd</sup> ed. New York: Wiley Inter-science, 1988, vol. 13, pp. 1-31.
47. A. S. Hay. "Poly(2,6-diphenyl-1,4-phenylene oxide)." *Macromolecules*: vol. 2, 1969, pp. 107–108.
48. IDES Integrated Design Engineering Systems. The Plastics Web®. IDES Inc. 209 Grand Avenue Laramie, WY 82070 USA [electronic] <<http://www.ides.com/prospector>>, 2006.

49. S. Stack, O. O'Donoghue, and C. Birkinshaw. "The thermal stability and thermal degradation of blends of syndiotactic polystyrene and polyphenylene ether." *Polymer Degradation and Stability*: vol. 79, no. 1, 2003, pp. 29–36.
50. D. Lovera, H. Ruckdaschel, A. Goldel, N. Behrendt, T. Frese, J. K. Sandler, V. Altstadt, R. Giesa, and H.-W. Schmidt. "Tailored polymer electrets based on poly(2,6-dimethyl-1,4-phenylene ether) and its blends with polystyrene." *European Polymer Journal*: vol. 43, no. 4, April, 2007, pp. 1195–1201.
51. J. H. P. Bastiaens, G. J. C. Doggen, and J. G. M. van Gisbergen. Conductive polyphenylene ether-polyamide composition, method of manufacture thereof, and article derived therefrom. US Patent 7 022 776, assigned to General Electric (Pittsfield, MA), 4 April 2006.
52. W. Neugebauer. High impact strength thermoplastic molding compositions based on polyphenylene ether graft copolymers and polyamides and process for producing them. US Patent 5 115 044, assigned to Huels Aktiengesellschaft (Marl, DE), 19 May 1992.
53. A. Katchman. Glasverstärkte Zusammensetzungen aus Polyphenylenäthern und kristallinen Styrolharzen. DE Patent 2 364 901, assigned to General Electric, 4 July 1974.
54. A. Katchman. Glass reinforced compositions of polyphenylene ethers and crystal styrene resins. GB Patent 1 445 605, assigned to General Electric, 11 August 1976.
55. R. van der Meer. Polymer mixture comprising polyphenylene ether and reinforcing fibres. US Patent 4 749 737, assigned to General Electric Company (Selkirk, NY), 7 June 1988.
56. A. Nakanishi, S. Izawa, and K. Toyama. Reinforced polyphenylene ether compositions. US Patent 3 708 455, 2 January 1973.
57. T. Grosse-Puppendahl, C. Baron, and F. G. Schmidt. Fiber-reinforced polyphenylene ether molding compositions and process for their preparation. US Patent 5 338 789, assigned to Huels Aktiengesellschaft (Marl, DE), 16 August 1994.
58. E. Pressman. Modified flame retardant polyphenylene ether resins having improved foamability and molded articles made therefrom. US Patent 4 791 145, assigned to General Electric Company (Selkirk, NY), 13 December 1988.
59. J. M. Joyce and D. J. Kelley. Polyphenylene ether-alkenyl aromatic polymer blends having organobromine additives. US Patent 4 927 858, assigned to Huntsman Chemical Corporation (Salt Lake City, UT), 22 May 1990.
60. H. Onishi. Brominated polyphenylene oxide and flame retardant employing the brominated polyphenylene oxide. US Patent 6 864 343, assigned to Dai-Ichi Kogyo Seiyaku Co., Ltd. (Kyoto, JP), 8 March 2005.
61. N. Patel. Fire retardant polyphenylene ether-organoclay composition and method of making same. US Patent 6 579 926, assigned to General Electric Company (Pittsfield, MA), 17 June 2003.

62. R. S. Clough and M. A. Perez. Melt blending polyphenylene ether, polystyrene and curable epoxy. US Patent 6 518 362, assigned to 3M Innovative Properties Company (Saint Paul, MN), 11 February 2003.
63. G. Chowdhury, B. Kruczek, and T. Matsuura, eds., *Polyphenylene Oxide and Modified Polyphenylene Oxide Membranes: Gas, Vapor and Liquid Separation*. Dordrecht, The Netherlands: Kluwer Academic Publishers, 2001.
64. M. Khayet, J. P. G. Villaluenga, M. P. Godino, J. I. Mengual, B. Seoane, K. C. Khulbe, and T. Matsuura. "Preparation and application of dense poly(phenylene oxide) membranes in pervaporation." *Journal of Colloid and Interface Science*: vol. 278, no. 2, October 2004, pp. 410–422.
65. M. Pourafshari Chenar, M. Soltanieh, T. Matsuura, A. Tabe-Mohammadi, and K. C. Khulbe. "The effect of water vapor on the performance of commercial polyphenylene oxide and cardo-type polyimide hollow fiber membranes in CO<sub>2</sub>/CH<sub>4</sub> separation applications." *Journal of Membrane Science*: vol. 285, nos. 1-2, November 2006, pp. 265–271.
66. F. Hamad, K. C. Khulbe, and T. Matsuura. "Interaction of gaseous hydrocarbons with poly(phenylene oxide) membranes by infrared spectroscopic technique." *Journal of Membrane Science*: vol. 204, nos. 1-2, July 2002, pp. 27–36.
67. S. Sridhar, B. Smitha, M. Ramakrishna, and T. M. Aminabhavi. "Modified poly(phenylene oxide) membranes for the separation of carbon dioxide from methane." *Journal of Membrane Science*: vol. 280, nos. 1-2, September 2006, pp. 202–209.
68. K. C. Khulbe, F. Hamad, C. Feng, T. Matsuura, T. Gumi, and C. Palet. "Characterization of the poly(phenylene oxide) dense membrane prepared at different temperatures." *Separation and Purification Technology*: vol. 36, no. 1, April 2004, pp. 53–62.
69. F. Hamad, G. Chowdhury, and T. Matsuura. "Effect of metal cations on the gas separation performance of sulfonated poly (phenylene oxide) membranes." *Desalination*: vol. 145, nos. 1-3, September 2002, pp. 365–370.
70. F. Hamad, K. C. Khulbe, and T. Matsuura. "Characterization of gas separation membranes prepared from brominated poly (phenylene oxide) by infrared spectroscopy." *Desalination*: vol. 148, nos. 1-3, September 2002, pp. 369–375.
71. G. A. Polotskaya, A. V. Penkova, and A. M. Toikka. "Fullerene-containing polyphenylene oxide membranes for pervaporation." *Desalination*: vol. 200, nos. 1-3, November 2006, pp. 400–402.
72. M. Khayet, J. P. G. Villaluenga, J. L. Valentin, M. A. Lopez-Manchado, J. I. Mengual, and B. Seoane. "Filled poly(2,6-dimethyl-1,4-phenylene oxide) dense membranes by silica and silane modified silica nanoparticles: Characterization and application in pervaporation." *Polymer*: vol. 46, no. 23, November 2005, pp. 9881–9891.

73. I. K. Song and W. Y. Lee. "Heteropolyacid (HPA)-polymer composite films as heterogeneous catalysts and catalytic membranes." *Applied Catalysis A*: vol. 256, nos. 1-2, December 2003, pp. 77-98.
74. G. Pozniak, I. Gancarz, and W. Tylus. "Modified poly(phenylene oxide) membranes in ultrafiltration and micellar-enhanced ultrafiltration of organic compounds." *Desalination*: vol. 198, nos. 1-3, October 2006, pp. 215-224.
75. M. Yoshimune, I. Fujiwara, and K. Haraya. "Carbon molecular sieve membranes derived from trimethylsilyl substituted poly(phenylene oxide) for gas separation." *Carbon*: vol. 45, no. 3, March 2007, pp. 553-560.
76. M. Yoshimune, I. Fujiwara, H. Suda, and K. Haraya. "Gas transport properties of carbon molecular sieve membranes derived from metal containing sulfonated poly(phenylene oxide)." *Desalination*: vol. 193, nos. 1-3, May 2006, pp. 66-72.
77. H.-J. Lee, M. Yoshimune, H. Suda, and K. Haraya. "Effects of oxidation curing on the permeation performances of polyphenylene oxide-derived carbon membranes." *Desalination*: vol. 193, nos. 1-3, May 2006, pp. 51-57.
78. H.-J. Lee, D.-P. Kim, H. Suda, and K. Haraya. "Gas permeation properties for the post-oxidized polyphenylene oxide (PPO) derived carbon membranes: Effect of the oxidation temperature." *Journal of Membrane Science*: vol. 282, no. 1-2, October 2006, pp. 82-88.
79. H.-J. Lee, H. Suda, K. Haraya, and S.-H. Moon. "Gas permeation properties of carbon molecular sieving membranes derived from the polymer blend of polyphenylene oxide (PPO)/polyvinylpyrrolidone (PVP)." *Journal of Membrane Science*: vol. 296, nos. 1-2, June 2007, pp. 139-146.
80. Y. Liu, Q. Yu, and Y. Wu. "More studies on the sulfonated poly(phenylene oxide)+imidazole bronsted acid-base polymer electrolyte membrane." *Journal of Physics and Chemistry of Solids*: vol. 68, no. 2, February 2007, pp. 201-205..
81. Y. Liu, Q. Yu, J. Yuan, L. Ma, and Y. Wu. "Bronsted acid-base polymer electrolyte membrane based on sulfonated poly(phenylene oxide) and imidazole." *European Polymer Journal*: vol. 42, no. 9, September 2006, pp. 2199-2203.
82. C. Li, J. Liu, R. Guan, P. Zhang, and Q. Zhang. "Effect of heating and stretching membrane on ionic conductivity of sulfonated poly(phenylene oxide)." *Journal of Membrane Science*: vol. 287, no. 2, January 2007, pp. 180-186.
83. J. Sauk, J. Byun, and H. Kim. "Composite nafion/polyphenylene oxide (PPO) membranes with phosphomolybdic acid (PMA) for direct methanol fuel cells." *Journal of Power Sources*: vol. 143, nos. 1-2, April 2005, pp. 136-141.
84. C. J. Hilado and P. A. Huttlinger. "Polymer structure and relative toxicity of off-gases." *Journal of Elastomers*: vol. 13, 1981, pp. 177-182.



85. G. Schmaus, B. Beck, G. Matuschek, and A. Kettrup. "Thermolysis of new plastics and ecotoxicological evaluation." *Journal of Thermal Analysis and Calorimetry*: vol. 47, 1996, pp. 485–491.
86. J. Shibata, S. Matsumoto, H. Yamamoto, E. Kusaka, and Pradip. "Flotation separation of plastics using selective depressants." *International Journal of Mineral Processing*: vol. 48, nos. 3-4, December 1996, pp. 127–134.

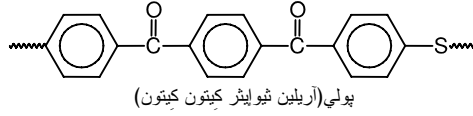
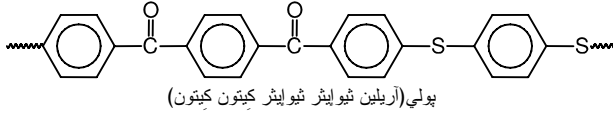
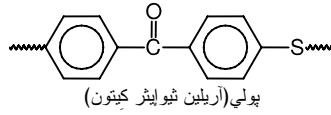
## بوليميرات (سلفيد الفينيلين)

يتكوّن بوليمير بولي (سلفيد الفينيلين) (PPS) من سلسلة متناوبة من حلقات عطرية وذرات الكبريت. ومن الأصح أن يسمّى بولي (سلفيد p-فينيلين). إنّ PPS هو بوليمير ذو نوعية عالية للتطبيقات الهندسية. يسمّى مركّب يحتوي على زمرة -S- ثيوإيثراً أو سلفيداً. أمّا المركّب الذي يحتوي على زمرة -S-S- فيسمّى ثنائي ثيوإيثراً.

يجب عدم الخلط بين بوليميرات البولي (ثيوإيثر) وبوليميرات البولي(سلفيد)، لأنّ البادئة بولي تشير مباشرة إلى رابطة السلفيد أي -S<sub>n</sub>- وفي الوقت نفسه إلى بوليمير. يُستعمل هذا النوع من البوليميرات في حقل مختلف تماماً من التطبيقات، كإضافات إلى المطاطيات، ومضادات أكسدة للزيوت المزلّقة، ومركّبات وسيطة لإنتاج مركّبات عضوية، مثل المبيدات الحشرية، والمبيدات الجرثومية، وكذلك إضافات إلى وقود الديزل بهدف تحسين رقم الأوكتان، وخواص الاشتعال لهذا النوع من الوقود<sup>1</sup>. لن ندرس هذا النوع من البوليميرات في هذا الفصل.

لقد اكتُشف بوليمير PPS من قبل تشارلز فريدل (Charles Friedel) وجيمس ماسون كرافتس (James Mason Crafts) عام 1888<sup>2</sup>. وفي عام 1967 طور إدmondز (Edmonds) وهيل (Hill) من شركة فيليبس بترولوم (Phillips Petroleum Company) طريقة لإنتاج PPS عبر اصطناع p-ثنائي كلورو بنزن و كبريت الصوديوم<sup>3</sup>. ولقد بدأ الإنتاج التجاري لبوليمير PPS عام 1972. إضافة إلى ذلك فقد جرى وصف عدّة أنواع من PPS<sup>4</sup>، وهي مبينة في الشكل (1-5).

تتصف بوليميرات بولي(أريلين ثيوإيثر كيتون) بمقاومة ممتازة للحرارة، ولكنها ذات استقرار حراري سيئ عند الصهر. أمّا بوليميرات بولي(أريلين ثيوإيثر كيتون كيتون) فهي غير مناسبة للإنتاج الصناعي بسبب الحاجة إلى استعمال مذيبات بلمرة، ومونوميرات خاصة<sup>4</sup>.



الشكل (5-1): أنواع بولي (سلفيد الفينيلين)<sup>4</sup>

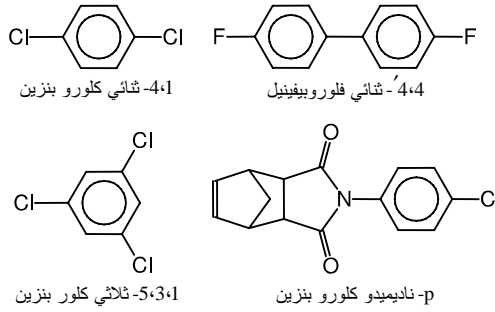
لبوليمير بولي (أريلين ثيوإيثر كيتون) درجة انصهار مرتفعة جداً عند  $410^{\circ}\text{C}$ ، ومن ثم فإن درجة معالجة صهارتها مرتفعة إلى حد أنها تسعى عند معالجة صهارتها إلى فقدان تبلّرها، والتعرض إلى التشبيك التصالبي أو الكربنة، مما يؤدي إلى ارتفاع سريع في لزوجتها<sup>4</sup>.

## 1.5. المونوميرات

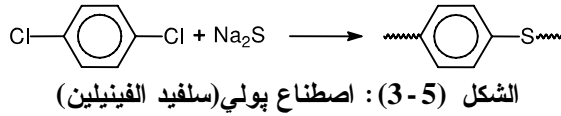
المونوميرات لاصطناع PPE مبيّنة في الجدول (5-1)، وفي الشكل (5-2). الأكثر شيوعاً هو استعمال p-ثنائي كلورو بنزن.

الجدول (5-1): المونوميرات في حالة بولي (سلفيد الفينيلين)

ملاحظات	المونومير
القياسي	p-ثنائي كلورو بنزين
مونومير مشترك	4،4-ثنائي بروموبيفينيل
مونومير مشترك	4،4-ثنائي فلوروبيفينيل
بوليميرات متشعبة <sup>5</sup>	1،3،5-ثلاثي كلورو بنزين
بوليميرات متصلة حراريًا <sup>5</sup>	p-ناديميديو كلورو بنزين
لتطبيقات بولي (أريل إيثر سلفيد) البصريّة <sup>6</sup>	بيس-(خماسي فلوروفينيل)-سلفيد
لتطبيقات بولي (أريل إيثر سلفيد)	بيس-(4-فلوروفينيل)-سلفيد
تحضير مخبري <sup>7</sup>	4-برومو بنزين ثيولات النحاس



الشكل (2-5) : مونوميرات مستعملة في بولي(سلفيد الفينيلين)



## 2.5. البلمرة والتصنيع

### 1.2.5. السيرورة القياسية

الطريقة التقليدية لتصنيع PPS هي بتفاعل مركب عطري مُهلجن، مثل p-ثنائي كلورو بنزين وسلفيد الصوديوم ( $\text{Na}_2\text{S} \times 9\text{H}_2\text{O}$ ) في مذيب عضوي لا بروتوني، من قبيل N-ميثيل-2-بيروليدون (NMP) تحت جو من الأروت. يبين الشكل (3-5) اصطناع PPS. في البدء تجري إزالة الماء من سلفيد الصوديوم بتسخين تحضيرى حتى درجة حرارة  $160^\circ\text{C}$ ، ثم تُرفع درجة الحرارة تدريجياً حتى  $260^\circ\text{C}$  على مدى 88 ساعة<sup>3</sup>. يمكن للمواد التي يجري الحصول عليها بهذه الطريقة أن تقولب على هيئة أغشية قاسية بدرجة حرارة  $290^\circ\text{C}$ . ولكن إجراء التفاعل في حجيرة من الفولاذ غير القابل للصدأ يستغرق زمناً أقل.

#### 1.1.2.5. إزالة الماء

من المهم إزالة الماء من سلفيد الصوديوم المائي لإنتاج عامل سلفدة مناسب. تجري إزالة الماء من سلفيد الصوديوم ذي التسع جزيئات ماء بالتقطير في كمية ضخمة من مذيب أميد عضوي. عملياً، يكون المحتوى المائي  $0.8 \text{ mol mol}^{-1}$  إلى  $1.2 \text{ mol mol}^{-1}$  من سلفيد

المعدن القلوي. إذا تجاوز المحتوى المائي مقدار  $2.5 \text{ mol mol}^{-1}$ ، ينخفض معدل التفاعل، وتتكوّن نواتج جانبية مثل الفينولات، وهذا يؤدي إلى زيادة مرحلة التنقية النهائية. إضافة إلى ذلك تكون درجة البلمرة منخفضة. أمّا إذا كان المحتوى المائي أخفض من  $0.5 \text{ mol mol}^{-1}$ ، فعندئذ يكون معدل التفاعل سريعاً إلى حدّ لا يتيح الحصول على أوزان جزيئية عالية بالقدر الكافي، ويمكن لتفاعلات غير مرغوبة، كالتفاعلات الجانبية، أن تحدث.

أثناء خطوة إزالة الماء ينطلق أيضاً سلفيد الهيدروجين. يمكن أن يسبب هذا مشكلة، لأنّ كمية سلفيد المعدن القلوي تتغيّر عندئذ بأسلوب غير متحكّم به. ولتحقيق درجة عالية من البلمرة، ينبغي أن يكون سلفيد المعدن القلوي والمركّب العطري الثنائي الكلور وفق نسبتهما الستوكيومترية (أي وفق الأمثال التفاعلية). وأبعد من ذلك فإنّ سلفيد الهيدروجين المتطاير من عملية إزالة الماء هو مادة مؤذية، لذلك يجب تحليل سلفيد الهيدروجين المتطاير من عملية إزالة الماء بدقة لتحديد كمية الكبريت المتبقية في وعاء التفاعل. ويجب جمع سلفيد الهيدروجين المفقود لإعادة استعماله مجدداً عملاً بالمقتضيات البيئية<sup>9</sup>. يمكن جمع سلفيد الهيدروجين المنطلق في NMP خارج وعاء التفاعل. درجة حرارة الامتصاص أخفض من درجة حرارة الغرفة. وتمكن إعادة توليد السلفيد بوسط قلوي.

### 2.1.2.5. المُحفّز

يمكن تقصير زمن اصطناع البوليمير، إمّا بتقصير زمن إزالة الماء لمركّب السلفيد، أو بتسريع معدل البلمرة باختيار محفّزات بلمرة مناسبة. محفّزات البلمرة المناسبة هي كربوكسيلات معدنية عضوية. إنّ أملاح الليثيوم عالية الانحلال في منظومة التفاعل، وذات مفعول محفّز كبير، ولكنه غالي الثمن. وتعدّ أملاح البوتاسيوم والروبيديوم والسيزيوم وأملاح المعادن القلوية الترابية سيئة الانحلال في منظومة التفاعل. وتعطى أملاح الصوديوم الأفضلية في الاستعمال لأنها رخيصة وتقبل باعتدال الانحلال في منظومة البلمرة. وعليه يعتبر ملح خلاّت الصوديوم محفّزاً مفضلاً<sup>10</sup>. وتعتبر مركّبات الأمين الحلقية، والمركّبات العطرية ذات الذرات المغايرة من النمط N، ومركّبات السلفوكسيد العضوية صفّاً آخر من المحفّزات.

يوضّح الجدول (2-5) أثر الليثيوم بصفته مُحفِّزاً. لقد جرى تحضير كلا البوليميرين في الجدول (2-5) بالأسلوب نفسه تقريباً. عملية إزالة الماء تمت في 50 دقيقة وعند درجة حرارة نهائية حوالى  $210^{\circ}\text{C}$  إلى  $220^{\circ}\text{C}$ . وكانت النسبة المولية للمحفِّز إلى المركَّب الكبريتي مثبتة عند 0.60. ووصلت درجة الحرارة النهائية عند نهاية التفاعل إلى  $265^{\circ}\text{C}$ .<sup>11</sup>

الجدول (2-5): أثر محفِّز الليثيوم<sup>11</sup>

معدّل تدفّق الصهارة <sup>a</sup>	المحفِّز	النسبة المولية $\text{H}_2\text{O}/\text{S}$
30	بنزوات الليثيوم	0.93
100	بنزوات الصوديوم	1.19

<sup>a</sup> معدّل تدفّق صهارة البوليمير بالغرام لكل 10 دقائق. ASTM D 1238-86.

في هذه السيرورة التقليديّة هناك مشكلة في صعوبة إزالة كلور الصوديوم كنتاج ثانوي من الراتجات بالغسل، لأنّ كلور الصوديوم لا ينحلّ في المذيبات مثل NMP، ويبقى مندمجاً بالراتجات. لذلك تجذب سيرورة تعتمد أحد أملاح الليثيوم، عوضاً عن ملح الصوديوم، الانتباه إليها بصفقتها سيرورة تفيد في تجاوز هذه العقبة. ينتج كلور الليثيوم بصفته ناتجاً ثانوياً من تفاعل البلمرة، وهو قابل للانحلال في العديد من المذيبات العضويّة اللا بروتونيّة مثل NMP. لذلك يكون من السهل نسبياً خفض محتوى الراتج من الليثيوم. ولكن الليثيوم أعلى ثمناً بكثير من الصوديوم، لذلك يُعدّ استرجاع وإعادة استعمال الليثيوم أمراً أساسياً. ولقد جرى اقتراح طرائق لإعادة تدوير الليثيوم<sup>12,13</sup>.

في المرحلة المبكّرة من إنتاج بولي (سلفيد الأريلين) (PAS) كان من الممكن الحصول على بوليمير ذي وزن جزيئي مرتفع فقط بتحضير بوليمير ذي درجة منخفضة من البلمرة ثمّ يسخّن البوليمير بوجود الهواء لإخضاعه لعملية تشبيك تصالبي مؤكسد. ومنذُ جرى تحسين عملية الإنتاج لتطوير سيرورة تفيد في الحصول على بوليمير PAS ذي وزن جزيئي مرتفع بتفاعل بلمرة. أتاحت هذه السيرورات الحصول على أنواع خطيّة

وذات وزن جزيئي مرتفع من PAS. يمكن تلخيص المشاكل التي تواجه إنتاج أنواع ذات وزن جزيئي مرتفع كما يلي<sup>9</sup>:

1. تتغير نسبة سلفيد المعدن القلوي إلى المونومير بسبب تبخر سلفيد الهيدروجين. وهذا يجعل درجة بلمرة البوليمير متغيرة.

2. إن تبخر سلفيد الهيدروجين يجعل أي سيرورة قابلة للتكرار لإنتاج PAS ذي درجة عالية من البلمرة سيرورة متعبة.

يمكن الحصول على PPS ذي وزن جزيئي مرتفع عندما تجرى سيرورة البلمرة في مرحلتين. نحصل في المرحلة الأولى على ما قبل البوليمير (Prepolymer)، وفي المرحلة الثانية تجري زيادة نسبة الماء إلى السلفيد إضافة إلى رفع درجة حرارة البلمرة وتُستكمل السيرورة تحت هذه الشروط<sup>14</sup>. ولقد جرى وصف سيرورة وتجهيزات للبلمرة المستمرة لبوليمير PPS<sup>15</sup>.

### 3.1.2.5. المُعدّلات

يمكن استعمال المركبات وحيدة الهالوجين بصفقتها مُعدّلات للوزن الجزيئي. وبالمقابل، لتكوين بوليمير متشابك أو متشعب، يمكن استعمال عامل تشبيك تصالبي أو عامل تشعيب، مثل 1،3،5-ثلاثي كلوروبنزين أو 1،2،4-ثلاثي كلوروبنزين. كما إن مركبات عطرية مُهلجنة ذات هيدروجين نشط، مثل مركبات ثنائي كلوروأنيلين، هي أيضاً وظيفية<sup>10</sup>.

يزيد ملح الصوديوم من البنزوسلفيميد، أي ساكارينات الصوديوم، الإيميد الحلقي من حمض 0-سلفوبنزيك، الوزن الجزيئي للبوليمير. الآلية ليست مشروحة<sup>16</sup>.

### 4.1.2.5. التنظيف

من الضروري، عندما تنتهي مرحلة البلمرة، أن يجري استرجاع المذيب، وأن يُغسل ويُجفف الراتنج. يشتمل العمل أساساً على الخطوات التالية<sup>17</sup>:

- تبريد مزيج التفاعل لتكوين PAS جُسمي معلق.
- فصل البوليمير ذي الوزن الجزيئي المرتفع عن الأوليغوميرات الخطية أو الحلقية، والمواد غير المتفاعلة، والماء.
- التجفيف تحت الخلاء.

لقد جرى وصف عدّة تنوّعات من هذه السيرورة<sup>17</sup>. بإضافة NMP، يفصل مزيج التفاعل إلى طورين، طور سائل كثيف غني بالبوليمير، وطور أقلّ كثافة يحتوي على الأوليغوميرات، والمواد غير المتفاعلة. يمكن استعمال الطور الأقلّ كثافة لاسترجاع لاحق لجزء عالي الوزن الجزيئي، أو لإعادة استعماله في خطوات بلمرة لاحقة<sup>18,19</sup>.

ولقد جرى تصميم سيرورة للغسيل المستمر بدفق مُعكس للتّيّار من سائل الغسيل. يجب أن يكون سائل الغسيل قابلاً للانحلال في الماء وفي المذيب المستعمل في تفاعل البلمرة، مثل NMP. لإعادة التدوير بالتقطير، يجب أيضاً أن يكون له درجة غليان أخفض من تلك الموافقة للماء. في عمليّة الغسيل، يجري استخلاص وغسل كلّ من NMP والنواتج الثانويّة الملحية، والأوليغوميرات من دقائق PPS الجسيمة. تتألّف عمليّة الغسل من مرحلتين، سائل الغسيل فيهما هما الأسيتون والماء بالترتيب<sup>20</sup>.

يجري بعد ذلك تجفيف الكعكة الرطبة مدّة 13 ساعة في فرن درجة حرارته  $105^{\circ}\text{C}$  بهدف استعادة البوليمير. إنّ تركيز NMP في الجسيمات المجفّفة هو حوالي 200 ppm، وتركيز  $\text{Na}^+$  فيها يساوي 1300 ppm. إنّ كمّيّة PPS المسترجعة بعمليّة الغسيل المستمر على مرحلتين هي 95 في المئة من كمّيّة PPS الموجودة أصلاً في المعلق الطيني البوليميري. لا تشتمل السيرورة على مرحلة النخل ذات الإشكاليّة التجاريّة بصفتها مرحلة أساسيّة، ولكن يمكنها فعليّاً استرجاع جسيمات PPS من المعلق البوليميري. ثمّ يعالج البوليمير بمحلول حمض قوي ذي pH أقلّ من 2، بصفتها طريقة لرفع درجة حرارة التبلور<sup>8</sup>.

يجري الحصول على PPS عالي البياض وذي لزوجة صهارة مرتفعة بإضافة كمّيّات صغيرة من مركّب للتوتياء إلى تغذية البلمرة<sup>8</sup>. ينبغي أن يكون مركّب التوتياء قابلاً للانحلال في المعلق الطيني البوليميري بعد التفاعل، ويفضّل أن يكون كلور التوتياء.

يمكن التحكّم بقياس جسيمات PPS المتكوّنة في المُفاعل بضبط الدفق الارتدادي في المرحلة الأخيرة من تفاعل البلمرة. يمكن تفسير هذا المفعول كما يلي: عند تبريد أو تسخين الجزء العلوي من المُفاعل يزداد أو ينقص، بالترتيب، الدفق الارتدادي من الطور الغازي إلى المُفاعل. إنّ هذا الدفق الارتدادي غني بالماء وذلك مقارنةً بمُجمل الطور السائل. ويتأثّر بذلك توزيع الماء قرب السطح العلوي للطور السائل في المُفاعل، وهذا



يؤدّي بدوره إلى تغيير المحتوى المائي لمجمل الطور السائل، ويجعل جسيمات PAS أدقّ أو أخشن<sup>21,22</sup>.

يمكن زيادة الوزن الجزيئي لـ PPS بالمعالجة الحرارية. تسمّى هذه السيرة إنضاجاً. إضافة إلى ذلك، يجري ضغط المسحوق أثناء المعالجة الحرارية. عموماً، يجري إنضاج مسحوق PPS والمسحوق المضغوط من PPS وذلك قبل استعماله في تكوين المنتجات النهائية<sup>23</sup>. في الأصل، تجري عملية الإنضاج دفعة واحدة، ولكن لقد جرى وصف سيرة نصف مستمرة يضاف فيها البوليمير غير الناضج إلى وعاء الإنضاج على نحو متقطع، ويزال منه البوليمير الناضج على نحو متقطع أيضاً<sup>24</sup>. يمكن استعمال إضافات للتأثير في الإنضاج، وهي تشمل 0-ثنائي هيدروكسي بنزين، و p-كينون و كينهيدرون<sup>25</sup>.

### 2.2.5. طرائق تحضير أخرى

تمكن بلمرة 4-برومو بنزين ثيولات النحاس بدرجة حرارة 200°C في محلول الكينولين<sup>26,7</sup>. تُظهر مطيافية طنين السبين الإلكتروني وجود جذور عضوية حرّة على مدى عملية البلمرة. كما تلاحظ بالإضافة إلى ذلك شوارد  $Cu^{2+}$ . توحى هذه الظواهر بوجود آلية بلمرة جذرية. ولقد كان هناك شكّ مبكراً أنّ آلية التفاعل لا تمكن أن تقتصر على مجرد بلمرة عادية بالتكاثف<sup>27</sup>. إضافة إلى ما سبق، يمكن تحضير PPS بأكسدة ثيوفينول مع كلوريد الثيونيل بوجود أمضاض فائقة<sup>28</sup>.

### 3.2.5. بولي(سلفيد الفينيلين) المؤكسد

تمكن أكسدة كسرة السلفيد في PPS لتكوين زمرة سلفوكسيد. يؤدّي ذلك إلى استقرار حراري أعلى. جرت الأكسدة كتفاعل بوليميري مشابه باستعمال حمض الخلّ وحمض الأزوت المركّز مدة 24 ساعة بدرجات حرارة بين 0°C و 5°C<sup>29</sup>. ولكن، تحتاج هذه السيرة أزمنة تفاعل طويلة، ويمكن أن يُهاجم حمض الأزوت الحلقات العطرية.

تقود أكسدة بوليميرات PAS بالأوزون إلى تكوّن بوليميرات بولي(أريلين سلفوكسيد)، بانتقائية عالية. يجري هذا التفاعل على الرغم من كون الأوزون مؤكسداً بالغ القوة. لذلك

فإنّ الكميّة المناسبة من الأوزون تتيح تحويل روابط الكبريت إلى روابط سُلُفوكسيد إمّا جزئياً أو كلياً<sup>30</sup>. تُجرى الأكسدة في تيار من مزيج الأوزون وغازٍ حامل تركيز الأوزون فيه 2-6 في المئة حجماً. إنّ لاختيار وسط التعليق تأثير حاسم. ففي حالة معلق كلوريد الميثيلين، تتحقّق أكسدة كاملة إلى السُلُفوكسيد في وقت قصير.

تمكن أكسدة زمرة السلفيد في PPS في مزيج حمض الخلّ الثلجي، وحمض الكبريت المركز وبيروكسيد الهيدروجين المركز عند درجة حرارة 55°C لمدة ثلاث ساعات لتعطي بوليميراً فيه زمر سلفون<sup>31</sup>. يُستعمل هذا البوليمير المعدّل مع بوليمير بولي(رباعي فلوروالإثيلين) (PTFE) في المواد المركّبة ذات المقاومة المحسّنة للسحج.

#### 4.2.5. البوليميرات المشتركة

لقد جرى تحضير بوليميرات مشتركة بوحدات فينيلين وبيفينيلين مفصولة بزمر سلفيد وفق سيرورة مشابهة بشكل أساسي للسيرورة التقليديّة. تُصنع وحدة البيفينيلين من 4،4-ثنائي فلوروبيفينيل و 4،4-ثنائي بروموبيفينيل، وتصنع وحدة الفينيل من p-ثنائي كلوروبنزين<sup>32</sup>. تُحمّل خلاّت الصوديوم وكبريت هيدروجين الصوديوم في محمّ مع NMP بصفته مذيباً. وفي نهاية فترة التسخين التي مدّتها 150 دقيقة ودرجة حرارة تصل إلى 310°C، يتكوّن ضغط مقداره حوالي 25 bar داخل المحمّ.

هناك سيرورة على مرحلتين تستعمل اصطناع أوليغومير لـ PPS درجة بلمرته تساوي حوالي 5 في المرحلة الأولى. يقترن هذا الأوليغومير مع 4،4-ثنائي كلورو بنزوفينون ليعطي بوليميراً مشتركاً يحمل روابط كيتون وسلفيد في السلسلة الرئيسيّة<sup>4</sup>. تتمتع هذه البوليميرات المشتركة باستقرار صهارة كافية لتطبيق تقنيات معالجة الصهارة التقليديّة.

#### 5.2.5. بوليميرات التصلّد الحراري

##### 1.5.2.5. وحدات الناديميدي

عندما يضاف p-ناديميديوكلوروبنزين بصفته مركباً ثنائي الكلور وحيد الوظيفة إلى المزيج التفاعلي من السلفيد ومركّب عطري ثنائي الكلور، نحصل على أوليغومير مغطّى

النهاية ذي رابطة ثنائية متدلّية<sup>5</sup>. ثمّ تمكّن إضافة مركّب ثلاثي الوظيفة، مثل ثلاثي كلوروبنزين، للتعويض عن المركّب ذي الوظيفة الوحيدة وذلك فيما يتعلّق بالوزن الجزيئي. يمكن بيّس الحصول على أوليغوميرات ذات أوزان جزيئية تتراوح بين 1000 و6000 دالتون. تجري عملية تكوّن الأوليغوميرات بدرجة حرارة 225-260 درجة مئوية. عند درجات الحرارة هذه تبقى الروابط الثنائية غير نشطة.

يستعمل محلول الأوليغوميرات في رباعي هيدروفران (THF) لتشريب الأقمشة. ثمّ تُجفّف الأقمشة وتُقوّى تحت ضغط 7 bar. ويجري الإنضاج عند 330°C لمدة ساعة أو ساعتين. تُبدّي المادة المركبة النهائية مقاومة عالية للمذيبات، ومقاومة إزاء النزاع الصفيحي، ومقاومة للقص، وخواص حرارية مؤكسدة، وحرارية ميكانيكية.

لا تقتصر طريقة تغطية النهاية على PPS بصفته أوليغوميراً وعلى الناديميد بصفته غطاء النهاية. إذ يمكن، بالاعتماد على المبدأ الموصوف أعلاه، تكوين أنماط من بوليميرات التصدّد الحراري ذات سلاسل رئيسية مختلفة<sup>33</sup>.

### 2.5.2.5. وحدات الإيثينيل

يحضّر بوليمير بولي(أريلين إيثر سلفيد) (PSI) المُقلّور من تكاثف بيس-(خماسي فلورو فينيل)-سلفيد مع 4،4'-(ثلاثي فلورو ميثيل فينيل-إيزوبروبيليدين) ثنائي فينول، وهو بيس فينول A مُقلّور ميثيلياً<sup>34</sup>.

وفي تفاعل مشابه، يُستعمل بيس-(خماسي فلورو فينيل)-سلفون في تحضير بوليمير بولي(أريلين إيثر سلفون) (PAES). يُحضّر بيس-(خماسي فلورو فينيل)-سلفون بأكسدة بيس-(خماسي فلورو فينيل)-سلفيد. وفي المرحلة التالية يُربط 3-إيثينيل فينول أو 4-فينيل إيثينيل فينول بـ PSI أو PAES<sup>35</sup>. هذه الزمر قادرة على التشبيك التصالبي الحراري. يمكن استعمال PSI المُقلّور<sup>6</sup> أو PAES<sup>34</sup> في تطبيقات أدلة الأمواج البصرية.

## 6.2.5. المزائج والمواد المركبة

يمكن تكييف أو تحسين خواص PPS لأجل بعض التطبيقات وذلك بتصنيع بعض التركيبات. يلخص الجدول (3-5) تركيبات مبنية على أساس PPS.

الجدول (3-5) : تركيبات بولي(سلفيد الفينيلين)

ملاحظة/مرجع	المعدّل
مقاومة للصدم مُحسنة <sup>37-39</sup>	بوليميرات مشتركة من ميثاكريلات الغليسيديل
مقاومة للصدم مُحسنة <sup>40</sup>	بوليميرات مشتركة من إيثيلين/أكريلات البوتيل/أنهيدريد المالبك
مقاومة للصدم مُحسنة <sup>39</sup>	بوليميرات مشتركة كثنائية التعاقب من ستيرين/إيثيلين-بوتيلين/استيرين
خواص كهربائية مُحسنة لتطبيقات الألياف البصرية. <sup>41</sup>	بولي(أميد) (PA)، MgO
خواص ميكانيكية مُحسنة. <sup>42</sup>	مطاط السيليكون وأمينوسيلان
تخفيض اللزوجة. <sup>43</sup>	بوليميرات البلورات السائلة

### 1.6.2.5. تعديل مقاومة الصدم

يُبدى بوليمير بولي(سلفيد الفينيلين) مقاومة ضعيفة للصدم، وهو لذلك هشّ. تعود المحاولات لتحسين مقاومة الصدم إلى عام 1983، عندما جرى دمج البوليميرات المشتركة من الإيثيلين/ميثاكريلات الغليسيديل في PPS بصفقتها مُعدّلات لمقاومة الصدم<sup>37</sup>. ولكن لم يكن التصاق مُعدّلات مقاومة الصدم إلى PPS مرضياً، واقترح تحسين ذلك بمعالجة PPS بحمض مائي قبل الاستعمال، وذلك لتحسين خواص الالتصاق<sup>38</sup>.

يُحسن تعديل PPS بمطاط السيليكون والأمينوسيلان الخواص الميكانيكية<sup>42</sup>. ويُعتقد أنّ الأمينوسيلان يعمل على تحقيق التوافق بين مطاط السيليكون وPAS. فقد وُجد أنّ راتنجات PAS المفترقة لإضافة الأمينوسيلان والمحتوية على مطاط سيليكون محمّل بوظائف تمتلك خصائص صدم واستطالة مختلفة مقارنة براتنجات PAS المحتوية على

أمينوسيلان ومطاط سيليكون غير محمل بوظائف. ويُعتقد أنّ الأمينوسيلان، ومطاط السيليكون غير المحمل بوظائف وPAS تتفاعل في الصهارة<sup>42</sup>.

طريقة أخرى لتحسين مقاومة الصدم تتمثل في استعمال تريبوليميرات<sup>(\*)</sup> مكوّنة من الإيثيلين وأكريلات الإيثيل وميتاكريلات الغليسيديل، وتريبوليميرات مكوّنة من الإيثيلين وأكريلات البوتيل وأنهريد المالبك بصفتهَا مُعدّلات<sup>40</sup>. تتحصّن مقاومة الصدم للتركيب مع PPS بناءً على السيرورة الخاصة التي تتّبع لدمج المُعدّلات. ينبغي توزيع المُعدّلات بتجانس داخل حاضنة PPS البوليميريّة، حيث يحدث تشبيك تصالبي جزئي. وهكذا تُمزج صهارة PPS مع مُعدّلات مطّاط الإبوكسي الذي يمكن أن يتشكّل تصالبياً أثناء مزج الصهارة.

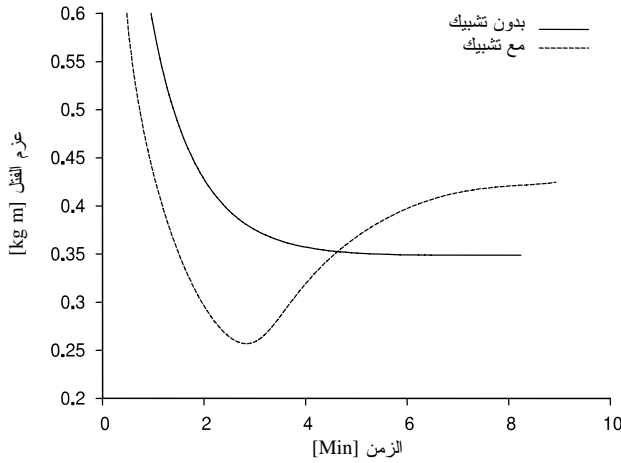
تُحضّر المادّة المركّبة بالمزج الجاف لأحد التريبوليميرات مع PPS، ثمّ الصهر فالعجن، ثم يُضاف التريبوليمير الآخر. لقد جرت تجربة طرائق تحضير أخرى، ولكنّ هذه الطريقة تُعطي أفضل النتائج. درجة حرارة العجن هي 290°C إلى 330°C. إذ لا تُتيح درجات حرارة منخفضة انصهاراً جيّداً لـ PPS يُحقّق توزيعاً متجانساً، وبالمقابل يمكن لدرجات الحرارة المرتفعة أن تُؤدّي إلى تلف الـ PPS وغيره من المركّبات. إنّ قياس عزم الفتل أثناء العجن هو أفضل مقياس على مدى التشبّث والتشبيك. في مرحلة البدء، عندما يبدأ المزيج البوليميري بالانصهار والتجانس، ينخفض عزم الفتل. وبعد إضافة البوليمير الثاني يحصل تشبيك تصالبي جزئي يدلّ عليه ازدياد في عزم الفتل. ثمّ بعد حوالي خمس دقائق، يستقر عزم الفتل عند القيمة العليا التي وصل إليها. ولكن عندما لا يحصل أيّ تشبيك تصالبي يبقى عزم الفتل مستقرّاً بعد إضافة المركّب الثاني.

عندما يُدخّل البوليمير المحتوي على أنهيدريد المالبك في آلة العجن يلاحظ ازدياد في عزم الفتل بعد ثلاث دقائق من مزج PPS والبوليمير، ويُرجع ذلك إلى تفاعل تشبيك تصالبي. وعندما تُمزج جميع المركّبات في آن معاً لا يلاحظ أي تشبيك<sup>40</sup>. يبيّن الشكل (4-5) عزم الفتل تابعاً للزمن. من الممكن بهذه الطريقة الحصول على تشبّث جيّد لطور مطّاطي في حاضنة PPS، مع تماسك جيّد للسطح البيني. تُظهر التركيبات ازدياداً عالياً في المرونة مُقارنة ببوليمير PPS الصافي.

<sup>(\*)</sup> بوليميرات مشتركة من ثلاثة أنواع من المونوميرات (المترجم).

في التطبيقات الكهربائية والإلكترونية، مثل فواصم الدارات، والقضبان المتعددة الأقطاب، ومصابيح الانقطاع، ينبغي أن تتوفر مادة تجمع بين مقاومة الحرارة، والخواص الكهربائية الجيدة، وتحديداً مقاومة الشرارات الكهربائية والتيارات السطحية. يُظهر PPS مقاومة جيدة للحرارة، ويمكن تحسين الخواص الكهربائية بصياغة تحتوي على PA وهيدروكسيد المغنيزيوم. وإضافة إلى ذلك تُقوى المادة المركبة بالألياف الزجاجية (GF) <sup>41</sup>.

لقد جرى وصف مزائج من PAS وپولي (إيثر الفينيلين)، براتج البولي إستر وموفاقات. يجب أن يكون البولي إستر عطرياً، مثل پولي (تريفثالات الإثيلين)، أو پولي (تريفثالات ثنائي ميثانول حلقي الهكسيلين)، أو پولي (تريفثالات البوتيلين) (PBT). وبسبب سعي البولي إستر إلى التحلل المائي عند البثق أو القولية في درجات الحرارة التي تواجهها التركيبات، يُفضل أن يكون البولي إستر خالياً من الماء خلواً جوهرياً. تعتبر الأورثوإستر (Orthoesters) والمركبات المحملة بوظائف الإيبوكسيد موافقات مناسبة <sup>41</sup>.



الشكل (4-5): عزم الفتل بدلالة الزمن

### 2.6.2.5. تخفيض اللزوجة

تُبدى مزائج بوليميرات البلورات السائلة (LCP) من البولي إستر وپولي (إستر أميد) بـ PAS لزوجة صهارة منخفضة <sup>43</sup>. تُصنع بوليميرات البولي إستر LCP من بلمرة حموض ثنائية الوظيفة عطرية مع كحول ثنائية الوظيفة، أو من بلمرة حموض هيدروكسيدية عطرية،

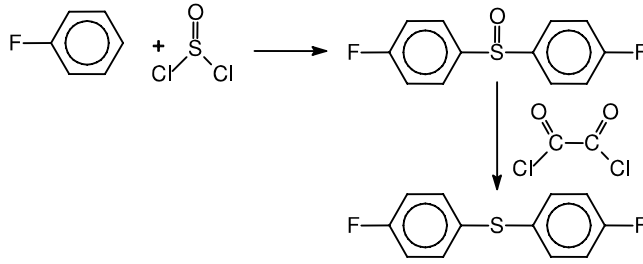
مثل حمض 4-هيدروكسي بنزويك وحمض 6-هيدروكسي-2-نفثويك. في بوليميرات البلّورات السائلة بولي(إستر أميد)، يُستعاض عن بعض زمر الهيدروكسيل في المونومير بزمر أمينو.

تُحضّر المزائج بمزج الصهارة في باثق. وإذا اشتمل ذلك على مالى غير عضوي، كالزجاج مثلاً، فيفضّل أن يُضاف في مرحلة المزج الأخيرة، وذلك بعد أن تُمزج البوليميرات، للإقلال من تحطّم أو تشظّي المالى. تُجفّف البوليميرات قبل المزج بتسخينها في جو جاف عدّة ساعات. تُعدّ هذه المزائج مفيدة بوجه خاص في تصنيع الوصلات الإلكترونية. إن خفض لزوجة الصهارة الناجم عن إضافة من بوليمير البلّور السائل بولي(إستر أميد) مفيد في قولبة القطع المعقّدة ذات الحفر الصغيرة، التي من الصعب ملؤها ببوليميرات لزوجتها أعلى.

### 7.2.5. بوليميرات بولي (أريلين إيثر سلفيد)

إنّ بوليميرات PSI هي نوعٌ من بوليميرات بولي(إيثرسلفون). يمكن الوصول إلى هذه المركّبات عن طريق بلمرة بيس-(4-فلوروفينيل)-سلفيد و بيس-فينول A مثلاً<sup>45</sup>. زمرة السلفيد موجودة أصلاً في الوحدة المونوميرية، وتشتمل البلمرة على تكوين زمرة الإيثر في السلسلة الرئيسيّة. يبيّن الشكل (5-5) اصطناع بيس-(4-فلوروفينيل)-سلفيد.

التفاعل أساساً هو تفاعل فريدل-كرافتس يستعمل كلوريد الثيونيل متبوعاً بإرجاع السلفوكسيد إلى السلفيد باستعمال كلوريد الأوكسالويل. تُنشط زمرة السلفيد ذرّة الفلور للبلمرة بالاستبدال العطري النيوكليوفيلي. وهكذا، يمكن بيسر إنتاج رابطة الإيثر في السلسلة الرئيسيّة للبوليمير باستبدال عطري نيوكليوفيلي. يجري التفاعل مع بيس فينول A بدرجة حرارة 150°C.



الشكل (5-5): اصطناع بيس-(4-فلوروفينيل)-سلفيد<sup>45</sup>

### 8.2.5. بوليمير بولي (فينيلين سلفيد فينيلين أمين)

لقد جرى اصطناع بوليميرات مشتركة عطرية تحمل رابطة السلفيد ورابطة الأمين في السلسلة الرئيسية، أي بولي (4،1-فينيلين سلفيد-4،1-فينيلين أمين) (PPSA). يبين الشكل (6-5) هذا التفاعل مبسطاً.

يمكن أيضاً الحصول على PPSA بتكاثف ميثيل-(4-أنيلينوفينيل)سلفيد مع خماسي كلوريد الأنثيمون<sup>46</sup>. يجري التفاعل في الكلوروفورم عند  $-68^{\circ}\text{C}$ . سيرورة التفاعل مبيّنة في الشكل (7-5). تتبع البلورة خطوة إزالة الميثيل، كما هو مبين في الشكل (6-5).

إن بوليمير بولي(أنيلين) (PANI) هو بوليمير موصل كهربائياً، ويُستعمل في تقانة أنصاف النواقل العضوية. إن هذه البوليميرات المشتركة مهمة لأنها يمكن أن تجمع الخواص الحرارية الجيدة لبوليمير PPS مع الخواص الفريدة لبوليمير PANI<sup>48,47</sup>.

وبالأسلوب نفسه جرى اصطناع بولي (فينيلين سلفيد- فينيلين أمين- فينيلين أمين) (PPSAA) عن طريق بوليمير طليعي قابل للانحلال عبر تفاعل بلورة بالتكاثف محرض حمضياً لـ N-(4-ميثيل سلفينيل) فينيلين-N'-فينيل-4،1-فينيلين ثنائي الأمين<sup>49</sup>. تجري البلورة بمعالجة المونومير بحمض الميثان السلفوني مدة 24 ساعة بدرجة حرارة الغرفة. تجري إزالة الميثيل بتقطير مرتد للبيريدين. يُعطي الترسيب في الميثانول PPSAA مركب صلب ذي لون أرجواني فاتح بمرود قدره 91 في المئة.

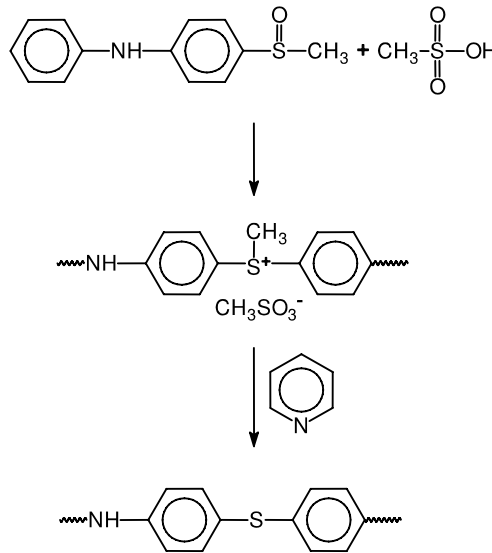
بيّنت تجارب أجريت على مركبات نموذجية في حالة PPSAA أن طبيعة الحمض مهمة لتحقيق النجاح. إن حمض الميثان السلفوني هو اختيار جيد. وإذا استعملت أحماض أقوى مثل حمض البركلوريك أو حمض ثلاثي فلوروميثان السلفوني، انخفض المرود انخفاضاً كبيراً.



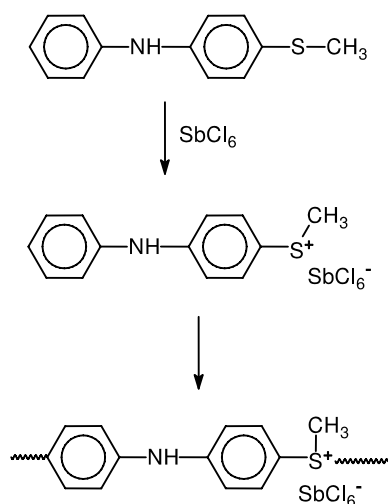
يمكن تفسير هذا السلوك بضرورة أكسدة وإرجاع بين الجزيئات، لكونها تفاعلاً مُسيطرًا على تفاعل التقارن بوجود أحماض قويّة جداً. بوجود أحماض قويّة، يتأكسد الأزوت ليكون بنية  $N=$ <sup>49</sup>. ينعكس هذا السلوك في حالة PPSA حيث تزداد الأوزان الجزيئيّة مع ازدياد قوّة الحمض. إنّ هذا المركّب ذا الوزن الجزيئي المرتفع يقبل الانحلال قبولاً استثنائياً في المذيبات العضويّة الشائعة مثل THF، و N,N-ثنائي ميثيل فورم أميد (DMF) و NMP. يبيّن التحليل الوزني الحراري لبوليمير PPSAA أنّ هذا البوليمير مستقرٌ تحت الأزوت حتى درجة حرارة 340°C.

### 9.2.5. بوليميرات بولي (ثنائي ثيا ثيانثرين)

ينتمي بوليمير بولي(ثنائي ثيا ثيانثرين) إلى البوليميرات من النمط السلّمي الشكل. يجري اصطناعه بتكوين حلقات داخل الجزيئات في بوليمير بولي (m-سلفيد الفينيلين) المُستبدل فيه ميثيل سلفونيل. تُعطي عمليّة إزالة الميثيل تحت تأثير حمض قوي بوليمير بولي(ثنائي ثيا ثيانثرين)<sup>50</sup>. التفاعل الأساسي هو نفسه المبين في الشكل (5-6).



الشكل (5-6): التكتاف العطري لزمرة الميثيل سلفونيل متبوعاً بإزالة الميثيل<sup>47</sup>



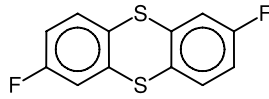
الشكل (5-7): تكاتف بتكاتف ميثيل-(4-أنيلينوفينيل) سلفيد مع خماسي كلور الأنتيمون

يمكن الوصول إلى بوليميرات بولي(إيميد) مع زمر ثنائي ثيا ثيانثرين من تفاعل ثنائيات الأمين العطرية من ثيان ثرين-2،3،7،8-رباعي كربوكسيل ثنائي أنهيدريد. يمكن اصطناع ثيان ثرين-2،3،7،8-رباعي كربوكسيل ثنائي أنهيدريد عبر استبدال عطري نيوكليوفيلي لمركب N-فينيل-4،5-ثنائي كلوروفتال إيميد مع ثيوبنز أميد، أو ثيوأسيت أميد، وكبريت الصوديوم. تتمتع البوليميرات التي نحصل عليها باستقرار حراري جيد في الهواء وفي جو الأزوت. البوليميرات ليست متبلورة ولا تتحلل إلا في حمض الكبريت  $\text{H}_2\text{SO}_4$ .

### 10.2.5. بوليميرات بولي (أريل إيثر ثيانثرين)

إنّ مركب 7،2-ثنائي فلوروثيانثرين، أي 7،2-ثنائي فلورو-9،10-ثنائي ثيا أنتراسين، انظر الشكل (5-8)، هو مونومير لبوليميرات بولي (أريل إيثر ثيانثرين). إنّ هذا المونومير مركب صلب بلّوري ذو درجة انصهار مرتفعة، ويتصدّد تحت الضغط المنخفض، مما يبسط عملية تنقية البوليمير عند اصطناعه. ويمكن أن يتكاتف مع بيس فينول ليعطي بوليميرات بولي(أريل إيثر ثيانثرين) <sup>45, 52</sup>.

تقاوم بوليميرات بولي (أريل إيثر ثيانثرين) اللهب، وتمتلك قرينة انكسار مرتفعة بين 1.61 و 1.70 تبعاً لطول الموجة، ولطبيعة بيس فينول الموافق. لهذا السبب تُعتبر هذه البوليميرات مهمّة للتطبيقات البصرية.



الشكل (5-8): 7,2-ثنائي فلوروثنائيرين

### 3.5. الخواص

إنّ PPS مادة نصف بلّورية. وهي تُبدي توازناً ممتازاً في الخواص، ويشمل ذلك مقاومة لدرجات الحرارة العالية، ومقاومة كيميائية، وتدفقية، واستقرار بُعديّ، وخصائص كهربائية. إنّ PPS هشّ. لذلك يجب ملؤه بالألياف والموالي.

تمكن قولبة PPS بحمولات كبيرة من الموالي أو مواد التقوية، وذلك بسبب انخفاض لزوجة صهارته. تُحسّن الموالي والمواد المقوية المقاومة، والاستقرار البُعدي، وغيرهما من الخواص. يُبدي PPS تبطيئاً للهب، وهو لذلك مثالي في التطبيقات الكهربائية ذات درجات الحرارة المرتفعة.

#### 1.3.5. الخواص الميكانيكية

إنّ PPS هشّ وحساس للخدش. ويمكن تحقيق تحسين جوهري في متانة صدم آيزود (Izod) المثلوم بإضافة مُعدّل مطاطي<sup>53</sup>.

#### 2.3.5. الخواص الحرارية

يُظهر PPS درجة حرارة انتقال زجاجي  $T_g$  من  $85^\circ\text{C}$  إلى  $90^\circ\text{C}$ ، وينصهر حول  $290^\circ\text{C}$ . إنّ PPS عالي الاستقرار الحراري. يشير قياس كمية الحرارة بالمسح التفاضلي والقياس الوزني الحراري إلى أنّ نقصان الوزن بسبب التفكك الحراري يبدأ عند  $450^\circ\text{C}$ <sup>54</sup>. ويحدث تشبيك تصالبي واسع تحت درجة حرارة  $450^\circ\text{C}$ <sup>55</sup>.

عند درجات التحلل الحراري حتّى  $550^\circ\text{C}$ ، يتكوّن الجزء الأكبر لنواتج التحلل الحراري الطيارة من الرباعيميرات (تتراميرات) الحلقية، والثلاثيميرات (تريميرات) الخطية، والديميرات. تتكوّن هذه النواتج من تقطع عشوائي للسلسلة متنوع بفقدان للبلمرة ثمّ تكوّن لحقات. وكما هو متوقّع، في المجال بين  $550^\circ\text{C}$  و  $800^\circ\text{C}$ ، تنزاح نواتج التحلل الحراري نحو كسر أصغر مثل البنزين، والبنزين ثيول، وكيريت الهيدروجين<sup>56,57</sup>.

### 3.3.5. الخواص الكهربائية

إنّ PPS عازل كهربائي جيّد، حتى في درجات الحرارة المرتفعة. وتبقى المقاومة النوعية الحجمية وقوة العزل الكهربائي مرتفعتين حتّى  $200^{\circ}\text{C}$ . ويتمتع البوليمير بثابت عزل كهربائي ومعامل ضياع صغيرين في مجال واسع من درجات الحرارة.

### 4.3.5. الخواص البصرية

يسعى بوليمير PPS غير المثبت إلى التفكك في ضوء الشمس. ينتج ذلك من تداخل طيف الامتصاص في PPS مع طيف الإشعاع الشمسيّ في المجال فوق البنفسجي. ولقد أجريت دراسة ممنهجة لإيجاد مُثَبِّتات ضوئية مناسبة<sup>58,59</sup>. لقد أُضيف عدد واسع من ماصّات الأشعّة فوق البنفسجيّة، المُطَفِّئات، ومضادّات الأكسدة إضافة بالمجمل إلى PPS. وجرى تقييم فعالية الإضافات في إلغاء التفكك بالأشعّة فوق البنفسجيّة.

تُظهر أسيتيل أسيتونات المعادن والمعدّات الثيو عضويّة تفاعلاً متبادلاً قوياً أثناء المُعالجة، وتُعطي عيّنات غامقة اللون. هذه المواد غير مقبولة بصفاتها مُثَبِّتات إزاء الأشعّة فوق البنفسجيّة. المثبتات الضوئية الأمينيّة المُعاقَة (HALS) هي مثبّتات شائعة الاستعمال كمثبّتات ضوئية بوليميريّة. إنّ المثبّتات الضوئية الأمينيّة المُعاقَة غير فعّالة في تأمين الاستقرار الضوئي للبوليمير. يمكن تحقيق استقرار ضوئي ناجح لبوليمير PPS باستعمال ماصّات الأشعّة فوق البنفسجيّة عوضاً عن الإضافات من نوع المُطَفِّئات.

### 5.3.5. الانحلالية

ينتمّع البوليمير بتوافقية واسعة مع المواد الكيميائيّة والمذيبات، ويقدم مقاومة كيميائيّة أفضل من الفولاذ المقاوم للصدأ. لا مذيب معروف لبوليمير PPS تحت  $200^{\circ}\text{C}$ ، ويُعتبر 1-كلورونفتالين مذيباً مناسباً في درجات حرارة أعلى من ذلك. يمكن إجراء التوصيف، كقياس الكتلة الجزيئيّة بكماتوغرافيا استبعاد المقاس، بدرجات حرارة معتدلة فقط عندما تكون المشتقات مكوتة قبل التحليل بهدف تحسين الانحلالية<sup>60</sup>. تجري أكسدة زمر

الكبريت، بمزيج من حمض الأزوت وحمض الميثان السلفوني فنحصل على بوليمير بولي(p-فينيلين سلفوكسيد) (PPSO). إن حمض سلفونيك الميثان هو حقيقةً مذبذبٌ لـ PPSO.

## 4.5. الإضافات الخاصة

### 1.4.5. مزيلات الألوان

في معظم الحالات يتمتع بوليمير PPS بلون أصفر شاحب. وحتى عندما يجري الحصول على PPS فائق البياض فإنه يتلون بسهولة أثناء قولبة الصهارة. وعليه، تظهر الحاجة إلى وسائل خاصة، للحصول على جسيمات PPS فائقة البياض. لقد جرى استعمال طرائق متنوعة للإزالة المتناقصة للون<sup>8</sup>.

تتمثل أبسط إجراءات إضافة صباغ أبيض إلى راتنج PPS لتبييضه. ولكن يمكن أن ينتج من ذلك نقصان في المقاومة الميكانيكية. يمكن تعويض النقصان في المقاومة الميكانيكية بإضافة راتنج إيبوكسي. وتعدُّ مركبات الفوسفور العضوي إضافات أخرى لإزالة اللون.

### 2.4.5. مثبطات التآكل

تسعى راتنجات PAS إلى تكوين غازات أكالة مثل ثاني أكسيد الكبريت عند تسخينها إلى درجات حرارة مرتفعة، وتُسبب من ثمَّ معضلات كتآكل الأجزاء المعدنية من آلات المعالجة، والقوالب، وغيرها عند قولبتها ومعالجتها. تُصنع آلة المعالجة المعتادة من مادة مبنية على أساس الحديد، وهي من ثمَّ تُعاني التآكل الكيميائي عندما تصبح في تماس مع راتنج PAS المصهور عند قولبته. ومن ناحية أخرى، تصبح المنتجات المقولبة عرضة للتلون.

يسبب تآكل القالب خسارة اقتصادية كبيرة بسبب ارتفاع ثمنه. وأكثر من ذلك، تصبح القولبة الدقيقة صعبة. وبهدف حلَّ معضلات التآكل المتعلقة براتنجات PAS، فلقد جرى اقتراح مزجه بأنواع متعددة من مثبطات التآكل.

ولكن تُبدي بعض مثبتّات التآكل مثل  $\gamma$ -ألومينا، وكربونات الكالسيوم، وأوكسيد التوتياء، وأوكزالات الصوديوم تثبيطاً غير كافٍ للتآكل. وفي حالة بعض مثبتّات التآكل تتدهور المقاومة الميكانيكيّة لراتنج PAS. وتعتبر مركّبات النيكل مثل كربونات النيكل، وهيدروكسيد النيكل، وسيترات النيكل مثبتّات تآكل أكثر إرضاءً<sup>61</sup>. يكون المفعول المضاد للتآكل مرضياً عندما يُضاف مثبتّ التآكل بنسبة 0.1 في المئة.

### 3.4.5. تخفيف الالتصاق

يمكن أن يسبب الالتصاق غير المرغوب بالسطوح المعدنيّة مشاكل في القوالب بالحقن، وغزل الصهارة، والتشكيل الحراري. وقد لوحظت مشاكل متنوّعة متعلّقة بالالتصاق عند غزل صهارة PAS. تشمل هذه المشاكل تجمّع البوليمير على سطوح المغزال الناتج من البثق الأوّلي للخيوط واللصق الراجع لتكسّرات الخيط. تقود هذه المشاكل المتعلّقة بالالتصاق إلى فشل مبكّر في مجموعة الغزل، وخفض زمن استبدال مجموعات المغزال التالفة، ويحدّ من استعمال PAS في بعض عمليات غزل الصهارة.

لقد جرى اقتراح تنوّع من المزلقات، ومُحرّرات القوالب، مثل إسترات وأميدات الحموض الدسمة بصفتها إضافات تُخفّف التصاق البوليمير بالسطوح المعدنيّة. تعمل هذه المواد على زيادة انزلاقيّة البوليمير عند نقاط تماسّه مع سطح. في حالة PAS، لم تكن المزلقات التقليديّة وحدها مفيدة في تخفيف مشاكل الالتصاق المتعلّقة بعمليات غزل الصهارة.

لقد تبين أنه يمكن معالجة PAS في عمليات غزل الصهارة على نحو أفضل بإضافة هيدروكسيد الباريوم إلى جانب المزلقات التقليديّة. في الحقيقة، لقد حسّنت المعالجة بالباريوم مقاومة صهارة PAS في توليد ألياف دقيقة رهلة. يُترجم هذا التحسين في مقاومة الصهارة بالقدرة على غزل صهارة بوليميرات ذات وزن جزيئي أخفض<sup>62</sup>.

### 5.5. تطبيقات

إنّ بوليميرات PPS مواد مفيدة للقطع والتجهيزات الكهربائيّة والإلكترونيّة، وكذلك بصفتها مواد عالية الجساءة في تطبيقات متنوّعة. وبوجه خاص، لقد وُجِدَت لبوليميرات

PPS تطبيقات في القطع التقنيّة مثل المضخات، وقطع السيّارات، ومكوّنات الطابعات، وشاشات البلّورات السائلة.

### 1.5.5. المزائج المتلدّنة حراريّاً الموّاتية للحام

بهدف تصغير حجم المنتجات، وتحسين الإنتاجيّة في الصناعة الإلكترونيّة، فقد جرى تطوير طريقة لحام للقطع الإلكترونيّة الراتنجيّة بهدف لصق القطع مثل الوصلات، والقواطع، والمرحلات، وشاشات الملفات إلى لوحات الدارات المطبوعة. تسمّى هذه الطريقة باسم تقنيّة التجميع السطحي (Surface-mount technology).

تشير هذه إلى نظام تجميع يجري فيه لصق القطع الإلكترونيّة على لوحة دارة مطبوعة. يستعمل رابط لحام قشدياني خال من الرصاص لتسهيل التصاق القطع الإلكترونيّة على لوحة الدارة المطبوعة. وتستعمل التركيبات المتلدّنة حراريّاً بصفتها مواد عازلة في القطع الإلكترونيّة. تُرسل بعد ذلك لوحة الدارة المطبوعة إلى فرن تسخين، ينصهر فيه اللحام مُثبِتاً بذلك القطع الإلكترونيّة إلى لوحة التوصيلات. تُتيح تقنيّة التجميع السطحي إجراء التجميع على وجهيّ لوحة الدارة المطبوعة، مُخفّفة بذلك تكاليف الإنتاج.

ولكنّ التركيبات المتلدّنة حراريّاً المعرّضة لرابط لحام خال من الرصاص والمستعملة بصفتها مواد عازلة تبدأ بالفشل. إنّ فقدان القدرة على العزل، الذي يحدث عموماً بعد عطل، يجعل التركيبات المتلدّنة حراريّاً غير موثوقة في مثل هذا النوع من التطبيقات.

لقد جرى تطوير تركيبية رابط لحام تتحمّل درجة حرارة عالية ولا تُعاني هذه النقطة السليبيّة. يتكوّن المزيج من بولي (أريلين إيثر) (PAE) و PPS وألياف زجاجيّة. يتمنّع PAE بلزوجة جوهريّة أصغر أو تساوي حوالي  $0.15 \text{ dl g}^{-1}$  مُحدّدة في الكلوروفورم بدرجة حرارة  $25^\circ\text{C}$ . يتحصّن المزج باستعمال PAE ذي لزوجة جوهريّة منخفضة، مما يؤدي إلى تحسين الخواص في درجات الحرارة العالية. البوليميرات المتجانسة من PAE هي تلك التي تحتوي على وحدات 6،2-ثنائي ميثيل فينيلين إيثر. تشتمل البوليميرات المشتركة المناسبة على بوليميرات مشتركة عشوائيّة تحتوي مثلاً على وحدات 6،2-ثنائي ميثيل فينيلين إيثر، إلى جانب وحدات 6،3،2-ثلاثي ميثيل-4،1-فينيلين إيثر، وتمثّل البوليميرات المشتركة من 6،2-ثنائي ميثيل فينول مع 6،3،2-ثلاثي ميثيل فينول خياراً

بديلاً. يمكن استعمال PPS المشبك جزئياً، إضافة إلى مزائج من PPS متشعب وخطي في تركيبات درجات الحرارة المرتفعة.

يُظهر التركيب على وجه مفيد مقاومة حرارية قادرة على تحمل درجات الحرارة العالية التي نواجهها في الفرن. وعلاوة على ذلك، فإن تركيبات درجات الحرارة العالية تُطابق إلى حد بعيد التقلص الحراري لـ PBT، الذي يُستعمل حالياً في تطبيقات وصلات اللحام.

يتحسن الأداء الحراري من دون أي تعديل في تجهيزات المعالجة القائمة، مثل آلات القولبة، والقوالب، والبواثق. كما تمكن قولبة التركيبات بهيئات وأشكال متنوعة؛ وصلات ولوحات دارات وأنابيب وقضبان وأغشية وصفائح وحمالات، وهذا ما يجعلها مفيدة في التطبيقات الكهربائية التي يمكن أن تقع في تماس مع روابط لحام خالية من الرصاص<sup>63</sup>.

### 2.5.5. مزائج بوليمير بولي (رباعي فلوروايثيلين) المقاومة للسحج

يُستعمل شريط PTFE في تطبيقات عديدة تشتمل على إحكام إغلاق الوصلات، وعزل الأسلاك الموصلة، وحماية المواد من عوامل التآكل. يُظهر PTFE مقاومة كيميائية وحرارية جيّدتين، كما يتمتع بمميزات عزل كهربائي، إضافة إلى معامل احتكاك منخفض. ولكن خواصها الميكانيكية هي عموماً أقل من المطلوب، وخصوصاً فيما يتعلق بمقاومة السحج ومقاومة الانضغاط.

تتمثل إحدى المقاربات الشائعة الاستعمال في صنع مواد مركبة تدمج راتنجات البولي (إيميد) مع بوليميرات فلورية. نموذجياً، يعتمد العزل على أغشية البولي (إيميد)، مثل كابتون® Kapton، يجري طلاؤها أو ترقيتها إلى صفائح بواسطة بوليميرات رباعي فلور الإيثيلين<sup>64</sup>.

تؤدي إضافة PPS الذي يحتوي على زمر سلفيد مؤكسدة إلى بوليميرات فلورية إلى تحسينها من ناحية ميلها إلى الزحف (Creep) أو السحج مع المحافظة على مقاومتها الكيميائية والحرارية محافظةً جوهريةً.



تمكن أكسدة زمرة السلفيد في PPS إمّا إلى مرحلة السلفوكسيد أو إلى مرحلة السلفون<sup>31</sup>. عملياً، في المراحل العليا من الأكسدة توجد كلّ من زمر السلفيد والسلفوكسيد والسلفون. يبيّن الجدول (4-5) أثر مقاومة السحج في بوليمير فلوري معدّل ببوليمير PPS. إضافة إلى ذلك، تُبدي مزائج بوليميريّة من هذا النوع خواص ميكانيكيّة جيّدة في اختبار الشدّ. هذه المزائج مناسبة على وجه الخصوص في التطبيقات التي تأخذ فيها هيئة أنابيب مثبتة كذلك التي تُستعمل في تغطية كبلات بودن (Bowden)<sup>65</sup>.

تؤمّن الأشرطة المملوءة ببوليمير PTFE وغير الملبّدة، المصنوعة من التوزيع المنتظم لبوليمير PPS المدورّ بشكل غير حراري والمطحون لتحقيق قياس وسطي للجسيمات من حوالي 1µm إلى 20µm، درجة جيّدة من المرونة والديمومة عند تليدها. وتكون هذه الخواص أفضل بشكل ملموس من خواص PTFE منفرداً، أو من تركيبات PTFE المحتوي على PPS المطحون والمعالج حراريّاً قبل الطحن. وعلاوة على ذلك يلاحظ تحسّن إضافي في خواص الديمومة والعزل عند إضافة من 1 في المئة إلى 3 في المئة من بولي (p-أوكسي بنزوات) إلى تركيبة PTFE و PPS<sup>64</sup>.

الجدول (4-5): مقاومة السحج في تركيبات بوليمير فلوري (سلفيد الفينيلين)<sup>31</sup>

المادّة	السحج [m m <sup>3</sup> Nm <sup>-1</sup> / 10 <sup>-7</sup> ]
بوليمير فلوري <sup>a</sup>	958
بوليمير فلوري <sup>a</sup> PPS مؤكسد، 5:95 وزناً	180
بوليمير فلوري <sup>a</sup> PPS مؤكسد، 20:80 وزناً	110

<sup>a</sup> نسبة 75.5 في المئة رباعي فلورو إيثيلين، و21.0 في المئة إيثيلين، و3.5 بر فلورو بوتيل إيثيلين.

عَيّنات الاختبار: القطر 10 mm، الارتفاع 20 mm

الضغط: 0.42 N mm<sup>-2</sup> سرعة الانزلاق: 4 ms<sup>-1</sup>

قرين الانزلاق: الحديد الرمادي 30 فولاذ X20Cd13

زمن الاختبار: 100 ساعة درجة حرارة الاختبار: 100°C

مسافة الاختبار: 1436 km

### 3.5.5. البوليميرات الموصلة كهربائياً

لقد جرى اصطناع بوليميرات مشتركة متنوعة سلسلتها الرئيسية  $-Ar-NH-Ar-S-$ ، أي بوليميرات مشتركة أمينو سلفيد عطرية. إن هذا النوع من البوليميرات المشتركة نصف ناقل، ويمكن استعماله في العديد من التطبيقات الإلكترونية والكهربصرية. فالطبقات المضادة للكهرباء الساكنة، وطبقات التدرج من الأشعة الكهرمغناطيسية، والطبقات المضادة للتآكل، والبطاريات، والتجهيزات المتألقة كهربائياً، والمسارات الموصلة من الترانزيستورات في الدارات الإلكترونية، هي أمثلة على هذه التطبيقات.

عموماً، ينبغي أن تمتلك البوليميرات نصف الناقل سلسلة مترافقة مستمرة من وحدات مترافقة متكررة. يُطلق عليها أيضاً اسم بوليميرات موصلة أو مترافقة. إن PPSA هو مثال على بوليمير مشترك يحتوي على زمر السلفيد<sup>48</sup>. يُحضّر PPSA من بولي (4،1-فينيلين-ميثيل سلفونيم-4،1-فينيلين أمين) ميثيل سلفونات، وذلك بالتسخين في البيريدين الجاف. ويُحضّر البوليمير الأخير من 4-ميثيل سولفوكسي-ثنائي فينيل أمين وحمض الميثان السلفوني. يوضّح الشكل (5-6) اصطناع PPSA.

يمكن لبوليميرات ذات أوزان جزيئية تزيد عن  $10^5$  دالتون أن تتحلّ حتى 20 في المئة في DMF و THF و NMP وثنائي ميثيل أسيتونتريل، وخصوصاً في سلفوكسيد ثنائي الميثيل.

البوليمير مستقرّ حتى درجات حرارة تصل إلى  $380^\circ\text{C}$ . ويمكن ابتداءً من محلول تحضير طبقات صافية بصرياً قائمة بحدّ ذاتها، ومعامل مرونتها 1.3 GPa. تلتصق طبقات البوليمير التصاقاً جيداً بالمعادن، وخصوصاً الذهب. وتمكن إشابة PPSA بمادة من النمط p باستعمال عوامل أكسدة. تؤدّي إشابة طبقة قائمة بحدّ ذاتها من PPSA بمركّب  $\text{SbCl}_5$  إلى موصليّة كهربائية قدرها  $0.18\text{S cm}^{-1}$ ، في حين تؤدّي الإشابة بمركّب  $\text{FeCl}_3$  إلى موصليّة قدرها  $0.8\text{S cm}^{-1}$ .

### 4.5.5. موادّ لأغشية تبادل البروتونات

تُصنع معظم الأغشية الشائعة الاستعمال في الشروط القاسية من بوليميرات فوق مُفلوّرة تحمل زمر حمض السلفونيك في سلسلتها الجانبية مثل نافيون  $\text{Nafion}^\circledR$ . إن هذه الأغشية باهظة الثمن، لهذا السبب، تتركز الأبحاث على تطوير مواد بديلة.

لقد جرى اختبار PPS، ضمن سلسلة من المواد الأخرى، بصفته مادة لأغشية تبادل البروتونات، وذلك بسبب خواصه الواعدة<sup>66</sup>. ولقد جرى صنع أغشية غير متجانسة على أساس PPS الوسطي السلفنة، وذلك بنتشيت PPS في حاضنة من بولي (أوليفين). ولقد جرى استعمال خلية وقود تجارياً لاختبار الغشاء، حيث تبين أن الأغشية ذات الكميات العالية من الجسيمات المُسلفنة هي إلى حد ما موصلة بقدر Nafion®117. ولكن، تُبدي هذه الأغشية نفوذية انتشارية تجاه الميثانول أخفض بكثير، وهي علاوة على ذلك أقل استقراراً من وجهة نظر التأكسد.

### 5.5.5. مواد ترشيح الأوزون

تتكوّن كميات صغيرة من الأوزون أثناء عمليات الطباعة، وعمليات النسخ الكهروفوتوغرافي. وينطلق الأوزون الناتج باستمرار إلى الجو المحيط بالأجهزة. تمكن إزالة الأوزون من تيار الهواء الذي ينبعث من الجهاز باستعمال مرشح بوليميري مكون من بوليمير PPS. فعندما يوضع PPS على تماس مع وسط محتوٍ على الأوزون، تتأكسد وحدات الكبريت إلى سلفوكسيد<sup>67</sup>.

يمكن استعمال البوليمير بهيئة مسحوق أو ألياف أو أغشية أو قوالب لإنتاج المرشح. تُطبّق البوليميرات ببيئات ذات سطوح كبيرة، مثل البنى الشبكية والبنى المشابهة لخلايا النحل السداسية (Honeycomb). تجري عملية إزالة الأوزون كميّاً، وتتبع أزمنة التفاعل سرعات التدفق، ومساحة سطح مادة المرشح أو ارتفاع علبة المسحوق.

### 6.5. الموردون والعلامات التجارية

يبين الجدول (5-5) الموردّين والعلامات التجارية. تُستعمل معظم مركّبات PPS بسبب تركيباتها المستقرّة في درجات الحرارة المرتفعة، ومقاومتها الكيميائية وثوقيتها البُعدية، وتبطينها للهب. كما إنها مناسبة للتطبيقات البنيوية في البيئات المُسببة للتآكل، أو كبدائل عن بوليمير بولي (إيثر إيثر كيتون) للتطبيقات في درجات حرارة منخفضة.

تُقوّى معظم أنواع PPS بالألياف. والأكثر شيوعاً هو التقوية بالألياف الزجاجية الطويلة. ويتوفّر طيف واسع من العلامات التجارية لبوليمير القولية بالحقن PPS. كما

تتوفّر راتنجات بوليمير PPS غير المقوّاة بهيئة مساحيق للطلاء بالمعلق الطيني القوام وللبخ الكهربائي الساكن. تُناسب هذه الطلاءات صناعات الأغذية والتجهيزات المستعملة في المعالجات الكيميائية.

تشتمل أنواع راتنجات PPS على النوعين المتشابهين والخطّي. وهناك تنوّع واسع في العلامات التجارية المعروضة، معظمها مقوّاة بالألياف الزجاجيّة أو (و) بالموالي اللاعضويّة. وكذلك تتوفّر خلّاط مع PTFE بصفتها أنواعاً غير ساحجة، وخلّاط مع مطّاطيات بصفتها أنواعاً مقاومة للصدم. يبيّن الجدول (5-6) الأسماء التجارية الواردة في المراجع.

## 7.5. الأمان

يمكن العثور على العديد من صفحات المعطيات، وكذلك صفحات معطيات أمان المواد في الإنترنت<sup>69</sup>.

## 8.5. الأثر البيئي وإعادة التدوير

أثناء إنتاج PPS، يجري الحصول على فضلات كنواتج ثانويّة. يمكن أن تتكوّن هذه الفضلات مما يلي :

- أوليغوميرات خطيّة أو حلقيّة.
  - نواتج ثانويّة في البلّمة.
  - موادّ غير متفاعلة، ومعدّلات بلّمة.
  - مواد ذات جسيمات دقيقة الحجم.
  - بوليميرات ليست ضمن الشروط المحدّدة للمنتج المرغوب.
- يمكن باستمرار إعادة استعمال جزء من الفضلات الناتجة من تصنيع بوليمير PAS، في عمليات بلّمة لاحقة، متجنّبين بذلك ضرورة التخلّص من جزء من هذه الفضلات على الأقل.<sup>19</sup>

الجدول (5-5): أمثلة على بوليميرات بولي(سلفيد الفينيلين) المتوفرة تجاريًا

ملاحظات	المنتج	الاسم التجاري <sup>a</sup>
بوليمير مقوّى	Albis Plastics Corp.	Albis PPS
	Celanese Ticona	Celstran® PPS
	A. Schulman Inc.	Comshield® PPS
	PolyOne Corp.	Edgetek™ PPS
بوليمير خطّي	LNP Engineering Plastics Inc.	Emi-X* PPS
	Celanese Ticona	Forton® PPS
	TP Composites, Inc.	HiFill® PPS
	A. Schulman Inc.	Hiloy® PPS
	LNP Engineering Plastics Inc.	Konduit* PPS
	TP Composites, Inc.	Lubriblend® PPS
	LNP Engineering Plastics Inc.	Lubricomp* PPS
	A. Schulman Inc.	Lubrilon® PPS
	PolyOne Corp.	Lubri-Tech™ PPS
	GE Plastics Asia Pacific	NORYL* PPS+PPE
	LNP Engineering Plastics Inc.	NORYL* PPS+PPE
	Solvay Advanced Polymers	PRIMEF® PPS
	RTP Company	RTP PPS (Series)
	Chevron Phillips Chem. Co.	Ryton® PPS
	A. Schulman Inc.	Schulatec® PPS
	TP Composites, Inc.	Statiblend® PPS
	LNP Engineering Plastics Inc.	Stat-Kon* PPS
	GE Plastics Asia Pacific	SUPEC* PPS
	Albis Plastics Corp.	TEDUR® PPS
	PolyOne Corp.	Therma-Tech™ PPS
LNP Engineering Plastics Inc.	Thermocomp* PPS	
LNP Engineering Plastics Inc.	Thermotuf* PPS	
عشاء	Toray	Torelina®
	LNP Engineering Plastics Inc.	Verton* PPS
	Chevron Phillips Chem. Co.	Xtel® PPS
	Asahi Kasei Corp.	Xyron® PPS+PPE

<sup>a</sup> نجد في الإنترنت تفاصيل أكثر<sup>68</sup>.

الجدول (5-6): الأسماء التجارية الواردة في المراجع

المورد	الاسم التجاري الوصف
Philips Petroleum Co.	Aqua-Cleen® مركابتان مؤظف بالإيثوكسي، عامل توتر سطحي <sup>1</sup>
Sumitomo Chemical Co.,Ltd.	Bondfast® پولي(أوليفين) بوظيفة إيبوكسي <sup>39</sup>
Norton Performance Plastics Corp.	Ekonol® پولي(p-أوكسي بنزوات) <sup>64</sup>
Hoechst Celanese Corp.	Forton® (Series) پولي(سلفيد الفينيلين) <sup>64, 63, 61, 43, 39</sup>
Lonza Inc.	Glycolube® (Series) إسترات دسمة، معزّز تدفق، وعامل تحرير القوالب <sup>63</sup>
Sumitomo Chemical Co.,Ltd.	Igetabond® پولي(أوليفين) بوظيفة إيبوكسي <sup>39</sup>
DuPont-Toray Co., Ltd.	Kapton® پولي(إيميد) <sup>64</sup>
Shell	Kraton® بوليمير مشترك تعاقبي سنيري <sup>64, 63, 39</sup>
Elf Atochem (Arkema)	Lotader® پولي(أوليفين) بوظيفة إيبوكسي لاصق <sup>40, 39</sup>
Philips Petroleum Co.	Ryton® (Series) پولي(سلفيد فنيلين) <sup>64, 43, 17, 11</sup>
Kuraray Co., Ltd.	Septon® بوليمير مشترك تعاقبي سنيري مهرج <sup>63</sup>
Philips Petroleum Co. (Industrias Negromex, S.A.)	Solprene® بوليمير مشترك تعاقبي سنيري <sup>63</sup>
General Electric	Supec® پولي(سلفيد الفينيلين) <sup>43</sup>
Tohpren Co., Ltd.	T-4 پولي(سلفيد الفينيلين) <sup>40</sup>
Mobay Corp.	Tedur® پولي(سلفيد الفينيلين) <sup>43</sup>

## الجدول (5-6): الأسماء التجارية الواردة في المراجع

المورد	الاسم التجاري الوصف
Dexco Polymers LP	Vector®
Hoechst Celanese Corp. (Ticona)	بوليمير مشترك تعاقبي ستيريني <sup>63</sup> Vectra® (Series)
بوليمير بلورات سائلة مكوّن أساساً من حمض 4-هيدروكسي بنزويك أو حمض 6-هيدروكسي-2-نفتويك، وحسب النوع : p-أسيتامينوفينول، وحمض تريفثاليك، وبيسفينول <sup>43</sup> .	

## المراجع

1. J. E. Shaw. Process for producing organic polysulfide compounds. US Patent 6 187 960, assigned to Phillips Petroleum Company (Bartlesville, OK), 13 February 2001.
2. C. Friedel and J. M. Crafts. "Sur une nouvelle méthode générale de synthèse des combinaisons aromatiques (deuxième mémoire)." *Annales de Chimie et de Physique*: vol. 6, no. 14, 1888, pp. 433-472.
3. J. T. Edmonds, Jr. and H. W. Hill, Jr. Production of polymers from aromatic compounds. US Patent 3 354 129, assigned to Phillips Petroleum Co. (Bartlesville, OK), 11 21, 1967.
4. Y. Satake, Y. Inaguma, and Y. Suzuki. Poly(arylene thioether-ketone) copolymer and production process thereof. US Patent 5 391 646, assigned to Kureha Kagaku Kogyo K.K. (Tokyo, JP), 21 February 1995.
5. H. R. Lubowitz and C. H. Sheppard. Reactive polyarylene sulfide oligomers. US Patent 5 780 583, assigned to The Boeing Company (Seattle, WA), 14 July 1998.
6. K.-S. Lee and J.-S. Lee. "Synthesis of highly fluorinated poly(arylene ether sulfide) for polymeric optical waveguides." *Chemistry of Materials*: vol. 18, 2006, pp. 4519-4525.
7. A. C. Archer and P. A. Lovell. "Formation of poly(1,4-phenylene sulfide) by solution polymerization of copper(II) 4-bromobenzenethiolate: Experimental evidence for operation of single-electron transfer processes." *Polymer*: vol. 36, no. 22, 1995, pp. 4315-4326.

8. S. Inoue and O. Komiyama. Process for the preparation of polyarylene sulfide. US Patent 6 600 009, assigned to Dainippon Ink and Chemicals, Incorporated (Tokyo, JP), 29 July 2003.
9. M. Miyahara, H. Sato, and Y. Satake. Process for producing poly(arylene sulfide). US Patent 5 840 830, assigned to Kureha Kagaku Kogyo K.K. (Tokyo, JP), 24 November 1998.
10. S. Horiuchi, A. Ishio, and K. Saitoh. Method for producing a polyarylene sulfide. US Patent 7 115 704, assigned to TORAY Industries, Inc. (Tokyo, JP), 3 October 2006.
11. C. E. Ash, J. F. Geibel, and H. D. Yelton. Process for preparing high molecular weight poly(arylene sulfide) polymers using lithium salts. US Patent 5 929 203, assigned to Phillips Petroleum Company (Bartlesville, OK), 27 July 1999.
12. J. T. Edmonds, Jr. and F. T. Sherk. Production of arylene sulfide polymer beads. US Patent 4 451 643, assigned to Phillips Petroleum Company (Bartlesville, OK), 29 May 1984.
13. Y. Koyama, N. Ogata, and H. Nishitani. Process for manufacturing polyarylene sulfide. US Patent 5 635 587, assigned to Idemitsu Petrochemical Co., Ltd. (Tokyo, JP), 3 June 1997.
14. M. Miyahara, H. Sato, and Y. Satake. Process for producing poly(phenylene sulfide). US Patent 5 744 576, assigned to Kureha Kagaku Kogyo K.K. (Tokyo, JP), 28 April 1998.
15. Y. Koyama. Process for producing polyarylene sulfide and apparatus used therein. US Patent 6 750 319, assigned to Idemitsu Petrochemical Co., Ltd. (Tokyo, JP) Petroleum Energy Center, a Juridical Incorporated Foundation (Tokyo, JP), 15 June 2004.
16. P. Dournel, D. Van Hoyweghen, and A. Momtaz. Process for the manufacture of poly(arylene sulphide). US Patent 5 380 821, assigned to Solvay (Societe Anonyme) (Brussels, BE), 10 January 1995.
17. R. A. Green and J. F. Geibel. Processes for the recovery of poly(arylene sulfide). US Patent 6 242 501, assigned to Phillips Petroleum Company (Bartlesville, OK), 5 June 2001.
18. J. F. Geibel, F. C. Vidaurri, Jr., and G. F. Kile. Process for producing poly (arylene sulfide). US Patent 6 201 097, assigned to Phillips Petroleum Company (Bartlesville, OK), 13 March 2001.
19. C. E. Ash and J. F. Geibel. Process for preparing poly(arylene sulfide) polymers using waste material. US Patent 6 281 326, assigned to Phillips Petroleum Company (Bartlesville, OK), 28 August 2001.



20. M. Miyahara, N. Saitou, and M. Matsuzaki. Method of continuously cleansing polyarylene sulfide. US Patent 7 094 867, assigned to Kureha Corporation (Tokyo, JP), 22 August 2006.
21. Y. Imai, O. Komiyama, and K. Ichikawa. Process for controlling a particle size of polyarylene sulfide and polyarylene sulfide thus produced. US Patent 5 475 081, assigned to Tonen Chemical Corporation (Tokyo, JP), 12 December 1995.
22. Y. Imai, O. Komiyama, and K. Ichikawa. Process for controlling a particle size of polyarylene sulfide and polyarylene sulfide thus produced. US Patent 6 369 191, assigned to Dainippon Ink and Chemicals, Incorporated (Tokyo, JP), 9 April 2002.
23. F. C. Vidaurri, A. South, Jr., D. A. Soules, and J. S. Fodor. Method of measuring extent of curing of compacted poly(arylene sulfide). US Patent 6 946 540, assigned to Chevron Phillips Chemical Company, LP (The Woodlands, TX), 20 September 2005.
24. J. S. Fodor, A. South, Jr., and F. C. Vidaurri, Jr. Pulse continuous curing of poly(arylene sulfide) polymers. US Patent 6 437 091, assigned to Phillips Petroleum Company (Bartlesville, OK), 20 August 2002.
25. M. Wejchan-Judek and B. Perkowska. "Curing of poly(*p*-phenylene sulfide)." *Polymer Degradation and Stability*: vol. 38, no. 3, 1992, pp. 261-264.
26. L. R. W., H. C. E., and C. W. K. Method for preparing linear polyarylene sulfide. US Patent 3 274 165, assigned to Dow Chemical Co, 20 September 1966.
27. W. Koch and W. Heitz. "Models and mechanism of the formation of poly(thio-1,4-phenylene)." *Makromol. Chem.*: vol. 184, no. 4, 1983, pp. 779 – 792.
28. M. Wejchan-Judek. "Synthesis of poly(1,4-phenylene sulphide) by oxidation of thiophenol with thionyl chloride in the presence of superacid." *Polymer Degradation and Stability*: vol. 37, no. 1, 1992, pp. 7–10.
29. H. A. Smith. Laminates comprising a linear polyarylene sulfoxide adhesive interlayer. US Patent 3 303 087, assigned to Dow Chemical Co., 7 February 1967.
30. D. Fleischer, H. Strutz, J. Kulpe, and A. Schleicher. Oxidized polyarylene sulfides. US Patent 6 020 442, assigned to Ticona GmbH (DE), 1 February 2000.
31. H. Scheckenbach, A. Schleicher, J. Kulpe, and B. Jansen. Mixtures of fluoropolymers and oxidized polyarylene sulfides. US Patent 5 708 089, assigned to Hoechst AG (Frankfurt, DE), 13 January 1998.
32. M. C. Yu and J. J. Straw. Preparation of poly (biphenylene/phenylene) sulfide. US Patent 5 219 983, assigned to Phillips Petroleum Company (Bartlesville, OK), 15 June 1993.

33. H. R. Lubowitz and C. H. Sheppard. Oligomers with multiple chemically functional end caps. US Patent 5 969 079, assigned to The Boeing Company (Seattle, WA), 19 October 1999.
34. J.-P. Kim, W.-Y. Lee, J.-W. Kang, S.-K. Kwon, J.-J. Kim, and J.-S. Lee. "Fluorinated poly(arylene ether sulfide) for polymeric optical waveguide devices." *Macromolecules*: vol. 34, 2001, pp. 7817–7821.
35. J. S. Lee, J. J. Kim, J. P. Kim, J. W. Kang, and W. Y. Lee. Poly (arylene ether sulfide) and poly (arylene ether sulfone) for optical device and method for preparing the same. US Patent 6 512 076, assigned to Kwangju Institute of Science and Technology (Kwangju, KR), 28 January 2003.
36. J.-P. Kim, J.-W. Kang, J.-J. Kim, and J.-S. Lee. "Fluorinated poly(arylene ether sulfone)s for polymeric optical waveguide devices." *Polymer*: vol. 44, no. 15, July 2003, pp. 4189–4195.
37. S. Inoue, M. Okamoto, and M. Yanagi. Polyarylene sulfide resin composition. JP Patent 58 154 757, assigned to Toray Industries, 14 September 1983
38. H. Kobayashi and A. Kishimoto. Polyphenylene sulfide resin composition and a process for producing it. US Patent 4 889 893, assigned to Toray Industries (Tokyo, JP), 26 December 1989.
39. C.-F. R. Hwang, J. J. Scobbo, Jr., and S. B. Brown. High flow, high ductility poly(arylene sulfide) resin blends. US Patent 5 723 542, assigned to General Electric Company (Pittsfield, MA), 3 March 1998.
40. M. Lambla, R. Mestanza, D.-J. Lin, E. Vandevijver, and M.-P. Collard. Polyphenylene sulphide-based compositions with improved impact strength and process for preparing them. US Patent 6 849 697, assigned to Solvay Polyolefins, S.A. (Brussels, BE), 1 February 2005.
41. M. Dubois, B. Guyot, and R. Thommeret. Compositions based on polyphenylene sulphide. US Patent 6 310 130, assigned to Solvay, S.A. (Brussels, BE), 30 October 2001.
42. V. J. Sullivan and A. B. Auerbach. Ductile poly(arylene sulfide) resin compositions. US Patent 5 652 287, assigned to Hoechst Celanese Corporation (Somerville, NJ), 29 July 1997.
43. P. C. Yung and H. C. Linstid, III. Blends of liquid crystalline polymers and poly(arylene sulfide)s having reduced viscosities. US Patent 5 418 281, assigned to Hoechst Celanese Corporation (Somerville, NJ), 23 May 1995.

44. S. B. Brown, K. H. Dai, C.-F. R. Hwang, S. T. Rice, J. J. Scobbo, Jr., and J. B. Yates. Compositions of poly(phenylene ether) poly(arylene sulfide) polyester resins and compatibilizer compound. US Patent 5 612 401, assigned to General Electric Company (Pittsfield, MA), 18 March 1997.
45. D. M. Knauss and J. B. Edson. "Poly(aryl ether sulfide)s by sulfide-activated nucleophilic aromatic substitution polymerization." *Polymer*: vol. 47, no. 11, May 2006, pp. 3996–4003.
46. L.-X. Wang, X.-B. Jing, F.-S. Wang, J.-P. Zhang, R.-S. Wang, T. Soczka-Guth, and K. Müllen. "Synthesis of poly(phenylenesulfide- phenylenamine) by self-polycondensation of methyl-(4-anilinophenyl) sulfide with antimony pentachloride." *Synthetic Metals*: vol. 101, nos. 1-3, May 1999, pp. 320–320.
47. J. Leuninger, C. Wang, T. Soczka-Guth, and K. Müllen. "Novel sulfur-and nitrogen containing polymers through acid-induced condensation reactions of methylsulfinylarenes." *Synthetic Metals*: vol. 101, nos. 1-3, May 1999, pp. 681–684.
48. E. E. Havinga, K. A. Müllen, and T. Soczka-Guth. Semiconductor polymer. US Patent 5 908 583, assigned to U.S. Philips Corporation (New York, NY), 1 June 1999.
49. J. Leuninger, J. Uebe, J. Salbeck, L. Gherghel, C. Wang, and K. Müllen. "Poly(phenylene sulfide-phenyleneamine-phenyleneamine) (PPSAA)—a soluble model for polyaniline." *Synthetic Metals*: vol. 100, no. 1, March 1999, pp. 79–88.
50. J. Leuninger, S. Trimpin, H.-J. Rader, and K. Müllen. "Novel approach to ladder-type polymers: Polydithiathianthrene via the intramolecular acid-induced cyclization of methylsulfinyl-substituted poly(meta-phenylene sulfide)." *Macromolecular Chemistry and Physics*: vol. 202, 2001, pp. 2832–2842.
51. M. Yoneyama, R. A. Johnson, and L. J. Mathias. "Thianthrene-containing polyimides with monomer formation via nucleophilic aromatic substitution." *Journal of Polymer Science Part A: Polymer Chemistry*: vol. 33, 1995, pp. 1891–1899.
52. J. B. Edson and D. M. Knauss. "Thianthrene as an activating group for the synthesis of poly(aryl ether thianthrene)s by nucleophilic aromatic substitution." *Journal of Polymer Science Part A: Polymer Chemistry*: vol. 42, no. 24, December 2004, pp. 6353–6363.
53. M. F. Cheung, A. Golovoy, V. E. Mindroiu, H. K. Plummer, Jr, and H. van Oene. "Polysulfone and poly(phenylene sulfide) blends: 3. Rubber toughening." *Polymer*: vol. 34, no. 8, September 1993, pp. 3809–3813.
54. Y. Cohen and Z. Aizenshtat. "Isothermal fluidized-bed studies on the kinetics and pyro-products of linear and branched poly(*p*-phenylene sulfide) and proposed mechanisms." *Journal of Analytical and Applied Pyrolysis*: vol. 27, no. 2, December 1993, pp. 131–143.

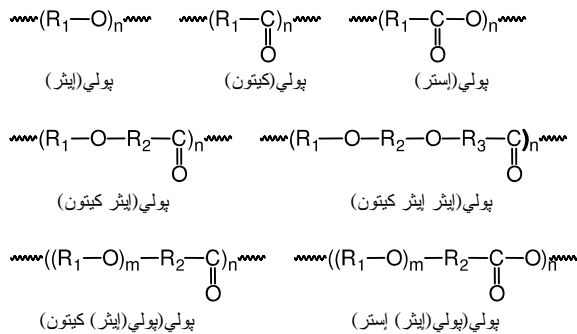
55. O. A. Peters and R. H. Still. "The thermal degradation of poly(phenylene sulphide)–part 1." *Polymer Degradation and Stability*: vol. 42, no. 1, 1993, pp. 41–48.
56. D. R. Budgell, M. Day, and J. D. Cooney. "Thermal degradation of poly(phenylene sulfide) as monitored by pyrolysis–GC/MS." *Polymer Degradation and Stability*: vol. 43, no. 1, 1994, pp. 109–115.
57. L. H. Perng. "Thermal decomposition characteristics of poly(phenylene sulfide) by stepwise Py-GC/MS and TG/MS techniques." *Polymer Degradation and Stability*: vol. 69, no. 3, September 2000, pp. 323–332.
58. P. K. Das, P. J. DesLauriers, D. R. Fahey, F. K. Wood, and F. J. Cornforth. "Photostabilization of poly (*p*-phenylene sulfide)." *Polymer Degradation and Stability*: vol. 48, no. 1, 1995, pp. 1–10.
59. P. K. Das, P. J. DesLauriers, D. R. Fahey, F. K. Wood, and F. J. Cornforth. "Photodegradation and photostabilization of poly(*p*-phenylene sulfide). Part 2. UV induced physicochemical changes." *Polymer Degradation and Stability*: vol. 48, no. 1, 1995, pp. 11–23.
60. D. Daoust, S. Bebelman, P. Godard, J. M. Coisne, and C. Strazielle. "Molecular characterization of poly(*p*-phenylene sulfide) (PPS) from size exclusion chromatography of a modified PPS and dilute solution properties." *Polymer*: vol. 37, no. 17, August 1996, pp. 3879–3888.
61. Y. Satake and T. Ono. Poly (arylene sulfide) resin composition. US Patent 5 650 459, assigned to Kureha Kagaku Kogyo K.K. (Tokyo, JP), 22 July 1997.
62. B. B. Gupta, A. B. Auerbach, and B. L. Davies. Poly(arylene sulfide) compositions having improved processability. US Patent 5 824 767, assigned to Hoechst Celanese Corporation (Warren, NJ), 20 October 1998.
63. B. Liu. Lead free solder friendly thermoplastic blends and methods of manufacture thereof. US Patent 7 037 986, assigned to General Electric Company (Pittsfield, MA), 2 May 2006.
64. P. E. Sarkis and D. Delgado. Abrasion-resistant polytetrafluoroethylene tape. US Patent 7 008 989, assigned to Coltec Industrial Products, Inc. (Charlotte, NC), 7 March 2006.
65. H. Scheckenbach, A. Schleicher, J. Kulpe, W. Neumann, and B. Jansen. Abrasion-resistant fluoropolymer mixtures. US Patent 5 864 095, assigned to Ticona GmbH (DE), 26 January 1999.
66. J. Schauer and L. Brozova. "Heterogeneous ion-exchange membranes based on sulfonated poly(1,4-phenylene sulfide) and linear polyethylene: Preparation, oxidation stability, methanol permeability and electrochemical properties." *Journal of Membrane Science*: vol. 250, nos. 1-2, March 2005, pp. 151–157.

67. H. Strutz, D. Fleischer, J. u. Kulpe, and A. Schleicher. Filter material and process for removing ozone from gases and liquids. US Patent 5 593 594, assigned to Hoechst Aktiengesellschaft (DE), 14 January 1997.
68. IDES Integrated Design Engineering Systems. The Plastics Web®. IDES Inc. 209 Grand Avenue Laramie, WY 82070 USA [electronic]  
<<http://www.ides.com/prospector>>, 2006.
69. Ryton® PPS data sheets. MSDS and data sheets, Chevron Phillips Chemical Company LLC, The Woodlands, TX, 2005. [electronic]  
<[http://www.cpchem.com/enu/ryton\\_pps\\_p\\_pps.asp](http://www.cpchem.com/enu/ryton_pps_p_pps.asp)>.

## بوليميرات (أريل إيثر كيتون)

تمتلك بوليميرات بولي (أريل إيثر كيتون) زمراً عطريّة إضافة إلى زمرتي الإيثر والكيثو في السلسلة الرئيسيّة. يبيّن الشكل (1-6) البنى المتكرّرة الرئيسيّة في هذا الصفّ من المواد. وبالطبع هناك عدّة أصناف من هذه البنى مبيّنة في الشكل (1-6)، وهي ناتجة من استعمال مونوميرات مشتركة. ويمثّل بولي (إيثر سلفون) صفّاً خاصّاً مرتبطاً بهذه العائلة.

تنتمي بوليميرات البولي (أريل إيثر كيتون) إلى صفّ البوليميرات الهندسيّة. في الفترة منذ بداية السبعينيات من القرن الماضي إلى منتصفها، أدخلت شركة رايكم (Raychem Corp.) تجارياً بوليميراً من بولي (أريل إيثر كيتون) اسمه ستيلان® Stilan. في هذا البوليمير تفصل وحدات 4:1-فينيلين كلّ زمرة إيثر وكيثو. وفي عام 1978 سوّقت شركة الصناعات الكيميائيّة (Imperial Chemical Industries PLC.) بوليمير بولي (أريل إيثر كيتون) تحت العلامة التجاريّة Victrex® PEEK<sup>1</sup>.



الشكل (1-6): بنى السلاسل الرئيسيّة في بوليميرات الإيثر كيتون والإيثر إستر

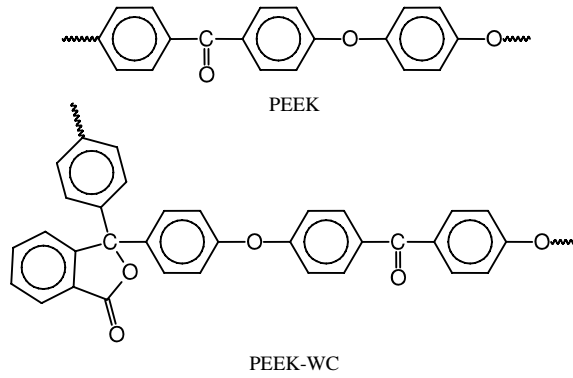
## 1.6. المونوميرات

يبين الجدول (1-6) المونوميرات لاصطناع بوليميرات بولي (إيثر إيثر كيتون) (PEEK)، وبوليميرات بولي (إيثر كيتون) (PEK). ونجد في الشكل (2-6) أصنافاً من PEEK، إن PEEK-WC هو بولي(أوكسا-p-فينيلين-أوكسي-فينيلين). إضافة إلى PEEK، تُعدّل زمرة الكربونيل جزئياً بوحدات الفثاليد فنحصل على PEEK لامتبلور.

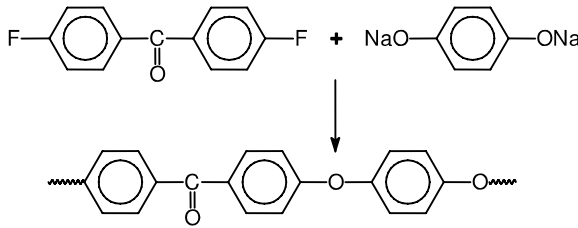
وتشمل أصنافاً مشدّبة أخرى كلاً من بولي (إيثر كيتون كيتون) (PEKK)، وبولي (إيثر كيتون كيتون) (PEEKK) وبولي (إيثر كيتون إيثر كيتون كيتون) (PEKEKK) <sup>2</sup>.

### الجدول (1-6): المونوميرات في حالة PEK و PEEK

الطريق النيوكليوفيلي	الطريق الإلكتروفيلي
مونومير محمّل بوظيفة هيدروكسي	مونومير محمّل بوظيفة هالوجينية
هيدروكينون	4،4-ثنائي فلوروثنائي فينيل كيتون
بيس فينول A، و 4-هيدروكسي فينيل-4-هيدروكسي بنزوات	4،4-ثنائي فلوروثنائي فينيل كيتون <sup>3</sup>
4،4-ثنائي هيدروكسي بنزو فينون	4،4-ثنائي كلوروثنائي فينيل سلفون <sup>4</sup>
أوليغومير PEEK	1،5-بيس-(4-4-فلورو بنزويل)-فينوكسي-نفثالين (1,5-BFPN) <sup>5</sup>
كاتيكول	4،4-ثنائي فلوروثنائي فينيل كيتون <sup>6</sup>
هيدروكينون وهيدروكينون	4،4-ثنائي فلوروثنائي فينيل كيتون <sup>7</sup>
الطريق الإلكتروفيلي	الطريق الإلكتروفيلي
مونومير محمّل بوظيفة إيثر	حمض هالوجينيّ
4،1-ثنائي فينوكسي بنزين	كلوريد ترِفتالويل
ثنائي فينيل إيثر	كلوريد ترِفتالويل و 4،1-ثنائي فينوكسي بنزين
مونومير متعدّد الوظائف	
كلوريد p-فينوكسي بنزويل	
كلوريد p-فينوكسي فينوكسي بنزويل	



الشكل (2-6): أصناف من PEEK <sup>10</sup>



الشكل (3-6): تكاتف 4،4'-ثنائي فلوروثنائي فينيل كيتون مع هيدروكينون

## 2.6. البلمرة والتصنيع

تُستعمل السيرورات الأساسية في البلمرة بالتكاتف، وتحديدًا أنماط التفاعل النيوكليوفيلية والإلكتروفيلية.

### 1.2.6. السيرورة النيوكليوفيلية

يستعمل الطريق النيوكليوفيلي الهيدروكينون و 4،4'-ثنائي فلوروثنائي هالوبنزوفينون مع أساس كمحفّز في مذيبات من قبيل N-مethyl-2-pyrrolidone (NMP) أو السلفولان. وعلى سبيل المثال، يُصنّع PEEK بتفاعل 4،4'-ثنائي فلوروثنائي فينيل كيتون مع ملح البوتاسيوم من الهيدروكينون، كما هو مبين في الشكل (3-6) (\*).

(\*) في الشكل (3-6) نجد ملح الصوديوم وليس البوتاسيوم (المترجم).



تتراوح درجات حرارة التفاعل بين 200°C و 250°C. يُبدي PEEK المُنتَج بهذه الطريقة وزناً جزيئياً منخفضاً، ولزوجة جوهريّة (IV) أقلّ من  $0.7 \text{ dl g}^{-1}$ ، وخواص ميكانيكيّة ضعيفة نسبياً.

يمكن تحسين الطريق النيوكليوفيلي باستعمال ثنائي فينيل سُلفون بصفته مذيباً ذا درجة غليان مرتفعة<sup>4</sup>. في هذه السيروورة يتحوّل الهيدروكينون إلى ملحه ثنائيّ البوتاسيوم بالتسخين مع كميّة مكافئة من كربونات البوتاسيوم أو بيكربونات البوتاسيوم، وحذف متزامناً للماء عند 150-200°C، ثمّ يتبع ذلك إضافة المونومير الثاني، أي 4،4'-ثنائي فلورو بنزو فينون. يُجرى تفاعل البلمرة عند 320-350°C للحصول على بوليمير تنتمي لزوجته الجوهريّة إلى المجال  $0.8-1.4 \text{ dl g}^{-1}$ ، ودرجة انصهاره حوالي 335-350°C. ويُقال إنّ البوليميرات التي يجري الحصول عليها بهذه الطريقة مفيدة في طلاء الأسلاك<sup>4</sup>.

#### 1.1.2.6. بوليميرات بولي(إيثر كيتون) ذات زمر إستر

من الصعب تحضير مواد بوليميريّة مركّبة من بولي إسترات البلورات السائلة، لأنّ جزيئات البلّورات السائلة تتجمّع ولا تمتزج مع بقية المكونات. ولذلك يجري تحضير بوليميرات مشتركة كئيّة التعاقب.

يمكن اصطناع البوليمير من 4،4'-ثنائي فلورو بنزو فينون بيس فينول A و 4-هيدروكسي فينيل-4-هيدروكسي بنزوات<sup>3</sup>. ويستعمل NMP والتولوين بصفتهما مذيبين، ولإزالة الأزيتروبيّة للماء. يجري التكاثف عند درجة حرارة 155°C مدّة ثماني ساعات باستعمال شَرَك دين-ستارك (Dean-Stark trap). في المرحلة الأخيرة من التكاثف، يُصرّف التولوين وترُفع درجة الحرارة إلى 190°C.

وبعدنذ تُحضّر بولي إسترات البلّورات السائلة من بولي(أريل إيثر كيتون) بإجراء بلمرة مشتركة لبولي(أريل إيثر كيتون) المحتوي على زمرة الإستر مع بولي إستر بلّورات سائلة. يجري اصطناع البولي إستر البلّوري من الفينيل هيدروكينون، تريت-بوتيل هيدروكينون، وكلوريد 2-كلوروتريفتالويل وكلوريد إيزوفتالويل<sup>3</sup>.

#### 2.1.2.6. تحضير المسحوق

في تنويع على هذه السيروورة، يمكن استعمال مونومير كيتيمين عوضاً عن المونومير الكيتوني في تحضير بولي (إيثر كيتيمين)<sup>11</sup>. يمكن حلّ بوليمير الكيتيمين في MNP.

وبعدها تُحلَّل زمر الكيتيمين مائياً (تُحلَّمه) باستعمال محلول حمضٍ مائيٍّ مُمدَّد. يُعيد التحلُّل المائي (الحلمهة) (Hydrolysis) البوليمير الكيتوني الذي يترسَّب مسحوقاً دقيقاً. بهذه السيروورة يجري إنتاج جسيمات قياسها  $0.5-5\mu\text{m}$ . ويقال إنَّ هذه السيروورة أفضل بما لا يُقاس من الطحن لأنها أرخص ثمناً، كما إنَّ الطحن يولِّد جسيمات أقطارها أكبر بكثير، وتحديدًا  $15-80\mu\text{m}$ .

### 2.2.6. السيروورة الإلكتروفيليَّة

يشتمل الطريق الإلكتروفيلي لإنتاج بوليميرات إيثرية كيتونية عطريَّة على استعمال مُحفِّزات فريدل-كرافتس (Friedel-Crafts). يُستعمل  $\text{AlCl}_3$  بصفته مُحفِّزاً لبلمرة كلوريد p-فينوكسي بنزويل منفرداً، أو كلوريد p-فينوكسي بنزويل أو كلوريد تريفثالويل مع 4،1-ثنائي فينوكسي بنزين ليعطي PEK. ويجري الحصول على PEEK باستعمال كلوريد p-فينوكسي بنزويل<sup>8</sup>. تُجرى السيروورة في درجات حرارة منخفضة من قبيل  $0-30^\circ\text{C}$ . وعموماً يجري، نظراً إلى الطبيعة غير المتجانسة لهذا التفاعل، إنتاج بوليميرات غير مرغوبة ذات أوزان جزيئيَّة منخفضة.

يمكن تغطية البوليمير من إحدى طرفي السلسلة البوليميريَّة على الأقل بإضافة عوامل تغطية إلى الوسط التفاعلي. يؤدي ذلك إلى إيقاف النمو المستمر لتلك السلسلة ويتحكَّم بالوزن الجزيئي للبوليمير الناتج، كما تُبيِّن ذلك اللزوجة الجوهرية للبوليمير. يُنتج الاستعمال المدروس لعوامل التغطية بوليميرات أوزانها الجزيئيَّة محصورة في مجال ضيق مُحْتار، ويُقلَّل من تكوّن الهلام أثناء البلمرة، ويُقلَّل من تشعُّب السلاسل البوليميريَّة، ويزيد من استقرار الصهارة. تُستعمل عوامل تغطية نيوكليوفيليَّة وإلكتروفيليَّة لتغطية البوليمير عند كلِّ نهاية لسلسلته.

عوامل التغطية النيوكليوفيليَّة المفضَّلة هي 4-كلوروبيفينيل، و 4-فينوكسي بنزو فينون، و 4-(4-فينوكسي فينوكسي) بنزو فينون، وبيفينيل، و 4-بنزين سلفونيل فينيل إيثر. يُبدي PEEK الذي نحصل عليه بهذه السيروورة درجة عالية من التشعُّب. وتؤدي هذه العيوب البنيويَّة إلى خفض درجة الانصهار من ما يزيد على  $330^\circ\text{C}$  إلى حوالي  $315-320^\circ\text{C}$ <sup>12</sup>.

تُعطى البلمرة بالتكاثف لكلوريد تريفثالويل مع ثنائي فينيل إيثر وثنائي فينوكسي بنزين بوليميراً مشتركاً من PEK و PEEK<sup>9</sup>. يستعمل ثلاثي كلور الألمنيوم وكلور الليثيوم بصفتها محفزات فرايدل-كرافتس، وتجري السيروورة في معلق طيني القوام من ثنائي كلوروميثان.

تحتوي البوليميرات المُحضّرة من ثنائي فينيل إيثر وكلوريد تريفثالويل، أو من مزيج من كلوريد تريفثالويل وكلوريد إيزوفثالويل على زمر كزانثيدرول (Xanthidrol) نهائية، وهي تسعى إلى جعل صهارة البوليمير غير مستقرّة. إنّ إضافة مونومير مشترك مناسب، مثل ثنائي فينوكسي بنزين، تؤدّي نوعاً ما إلى حذف محتوى زمر كزانثيدرول النهائية، ويُحسّن استقرار الصهارة. وعليه فإن محتوى أعلى من ثنائي فينوكسي بنزين يزيد الاستقرار الحراري.

لقد وُجِدَ أنه ليست فقط طبيعة الوحدات المتكرّرة هي عامل حاسم في الحصول على خواص حرارية وميكانيكية جيّدة، بل إنّ طبيعة الزمر النهائية هي أيضاً حاسمة في تحقيق الاستقرار الحراري<sup>12</sup>. ومن الممكن عن طريق التلاعب بالزمر النهائية تحقيق بني PEEK تُظهر استقراراً أفضل. ينتج من الزمر النهائية غير النشطة استقرار حراري أفضل ومعالجة للصهارة أيسر. تُتجزّ تغطية النهايات بواسطة مركّب عطري مثل البنزين أو التولوين أو الكزولين أو الفينول أو الأنيزول أو ثنائي فينيل إيثر.

### 3.2.6. المزايج

إنّ المزايج من بوليميرات بولي (أريل إيثر كيتون) وبعض بوليميرات بولي (أميد إيميد) وبولي (إيميد) (PI) عالية التوافق. إنّها تسعى إلى تكوين طور واحد في الحالة اللا متبلورة وهي من ثم أنظمة مرّوَجّة. ينتج من ذلك أنّ هذه الخلائط تحسّن قابليّة معالجة بوليميرات البولي (أميد إيميد) والبولي (إيميد) تحسناً ملموساً، وعلاوة على ذلك، فإننا بزيادة درجة حرارة التحوّل الزجاجي  $T_g$  لبوليمير بولي (أريل إيثر كيتون) نزيد درجة الحرارة القصوى لاستعماله بزيادة جوهريّة<sup>13</sup>.

نظراً إلى مَرُوجِيَّة (قابلية مزج) هذه الخلائط، فإنّ العيّنات المقولبة بالحقن منها تكون شفّافة، وذلك بالرغم من كون بولي (أريل إيثر كيتون) غير شفّاف في الشروط العادية للقولبة بالحقن. ولكن، بالمعالجة الحراريّة المناسبة، تمكن إزالة شفافيّة بولي (أريل إيثر كيتون) ببلورته.

إنّ PEEK مزوّج مع بولي (إيثر إيמיד) (PEI). بوليمير PEI أرخص من PEEK وهو يُستعمل كمادّة متلدّنة حراريّاً وغير متبلورة، ولقد جرى عرض حركيّة التبلور وغيرها من خواص هذه المزائج في الأدبيّات<sup>14</sup>.

#### 4.2.6. التعديل

تمكن سلفنة PEEK لتحقيق بعض قابليّة الانحلال في حمض الكبريت المركز<sup>15</sup>.

#### 1.4.2.6. تحميل السطوح بوظائف

يمكن التحكم بخواص سطح PEEK عبر تحميل سطحه بوظائف. على سبيل المثال يمكن لأغشية PEEK ذات السطح المعدل أن تستعمل في حقل زراعة الخلايا. لذلك هناك بعض الاهتمام بتعديل السطح.

يمكن إدخال زمر هيدروكسيل بالمعالجة ببوروهيدريد الصوديوم<sup>16</sup>. ثمّ يمكن بعد ذلك مُفاعلة زمر الهيدروكسيل (PEEK-OH) مع حمض 4-أمينو بنزويك أو حمض السوكسيناميك. إضافة إلى ذلك تمكن توظيف PEEK بزمر الأمين<sup>17</sup>. ويمكن زرع سطوح أغشية PEEK بمركّبات الأريل أزيد المحمّلة بالوظائف باستعمال التشعيع فوق البنفسجي<sup>18</sup>. تتتمي مركّبات الأزيد العطريّة مثل حمض 4-أزيدو-رباعي فلورو بنزويك أو N-بوتيل-N-(4-أزيدوفينيل) ثيو يوريا إلى صف الكواشف القابلة للتشيط ضوئياً. يمكن زرع هذه المركّبات ضوئياً على سطح PEEK.

إنّ المعالجة ببلازما الأوكسجين هي طريقة أخرى لتعديل السطح. تؤثر المعالجة ببلازما الأوكسجين في طبوغرافيا السطح وتكشف النقاب عن البنية المتكوّرة لبوليمير PEEK<sup>19</sup>.

### 3.6. الخواص

يبين الجدول (2-6) الخواص الفيزيائية لبوليميرات PEEK. بدون مواد مألوفة يتصف هذا البوليمير بلون مائل إلى البني الفاتح. تمتلك بوليميرات التلدن الحراري العنصرية البولي إيثرية الكيتونية، مثل PEEK، نقطة انصهار أعلى من  $330^{\circ}\text{C}$ ، ويمكن أن تزيد درجة حرارتها عند الخدمة عن  $260^{\circ}\text{C}$ . وهي تُبدي مقومات ميكانيكية عالية، فمقاومة شدتها أكبر من 85 MPa على سبيل المثال<sup>12</sup>. يمكن استعمال PEEK استعمالاً دائماً إلى درجة حرارة  $250^{\circ}\text{C}$ ، حتى في الماء الساخن أو بخار الماء.

يبين الجدول (3-6) المقاومة الكيميائية لبوليميرات PEEK. يُبدي PEEK مقاومة كيميائية مرموقة، تمكن مقارنتها بالبوليميرات الفلورية. ولقد حصل PEEK على الموافقة من إدارة الغذاء والدواء الأمريكية (FDA). يحصل تشبيك تصالبي في بوليمير PEEK عند تشعيه في الخلاء تحت الإجهاد. تُظهر خصائص الشدّ لرقائق PEEK بعد التشعيع بالأشعة فوق البنفسجية ميلاً نحو الهشاشة. وسبب ذلك ليس فقط التشبيك بل أيضاً توجه السلاسل الجزيئية الناتج من ارتفاع درجة حرارة العينة. علاوة على ذلك، فإن إجهاد الشد المطبق أثناء التعريض للإشعاع يُسرّع التقطع الجزيئي ويُعيق التشبيك<sup>20</sup>.

#### 1.3.6. الخواص الميكانيكية

تتحسن خواص الاهتراء للمواد المركبة على أساس PEEK والمملوءة بنسبة 5 في المئة من مركب  $\text{Al}_2\text{O}_3$  النانومتري أو الميكروني، مُقابل الفولاذ الكربوني الوسطي (Medium carbon steel)، وذلك عند إضافة  $\text{Al}_2\text{O}_3$ . ولكن بالمقابل، لا تتحسن خواص الاحتكاك. إلا أن الملاء بنسبة 10% من بوليمير بولي(رباعي فلورو إيثيلين) (PTFE) في PEEK النقي يؤدي في آن واحد إلى نقصان معاملي الاحتكاك والاهتراء للمادة المركبة المملوءة<sup>21</sup>.

لهذا السبب، نجد أن المواد المركبة من PTFE المملوءة بـ PEEK موادٌ جذابة بصفاتها مزلقات صلبة. ويُفترض أن مفعولاً تضامنياً يلغي آلية الاهتراء المسيطرة عند كل من مكونات المادة المركبة<sup>24,23</sup>. يبين الجدول (4-6) الوسطي الزمني لمعاملات الاحتكاك في تبعيته للتركيبات.

22a الجدول (2-6): خواص بولي (إيثر إيثر كيتون)

الواحدة	القيمة	الخواص الفيزيائية
$\text{g cm}^{-3}$	1.3	الكثافة
%	0.5	امتصاص الماء
%	0.5	امتصاص الرطوبة عند التوازن
$\text{cm mm m}^{-2} \text{d}^{-1}$	6.5	نفاذ بخار الرطوبة
$\text{cm mm m}^{-2} \text{d}^{-1}$	55	نفاذ الأوكسجين
<b>الخواص الميكانيكية</b>		
MPa	97	مقاومة الشد، خضوع
%	60 <	الاستطالة عند الانهيار
GPa	3.5	معامل المرونة
GPa	4.1	معامل الانحناء
MPa	170	مقاومة الانحناء عند الخضوع
MPa	118	مقاومة الانضغاط عند الخضوع
	0.4	نسبة بواسون
GPa	1.3	معامل إجهاد القص
MPa	53	مقاومة القص
$\text{J cm}^{-1}$	0.63	صدم أيزود، المتلوم
<b>الخواص الحرارية</b>		
$\text{J g K}^{-1}$	2.16	السعة الحرارية
$\text{W m}^{-1} \text{K}^{-1}$	0.25	الموصلية الحرارية
$^{\circ}\text{C}$	340	نقطة الانصهار
$^{\circ}\text{C}$	315	درجة حرارة الخدمة القصوى، هواء
$^{\circ}\text{C}$	160	درجة حرارة الانحراف عند 1.8MPa
$^{\circ}\text{C}$	-65	درجة حرارة الهشاشة
$^{\circ}\text{C}$	143	درجة حرارة التحول الزجاجي
	V-0	الاشتعالية، UL94
%	35	لدليل الأوكسجين

<sup>a</sup> فيكتريكس Victrex@PEEK 450G.

22a الجدول (3-6): المقاومة الكيميائية بولي(إيثر إيثر كيتون)

المادة الكيميائية	20°C	60°C	100°C
أدهيد الخل	لا يُنصح	لا يُنصح	مقاوم
حمض الخل (تلجي/لاماني)	مقاوم	مقاوم	لا يُنصح
أسيبتون	مقاوم	مقاوم	مقاوم
أسيبتيلين	مقاوم	مقاوم	مقاوم
كحولات	مقاوم	مقاوم	مقاوم
إستيرات أليفاتيّة	مقاوم	مقاوم	مقاوم
الماء الملكي	مقاوم	مقاوم	لا معطيات
مذيبات عطريّة	مقاوم	مقاوم	مقاوم
بنزين	مقاوم	مقاوم	مقاوم
محاليل ملحية مشبعة	مقاوم	مقاوم	مقاوم
بروم	لا يُنصح	لا يُنصح	لا يُنصح
كلور رطب	مقاوم	مقاوم	مقاوم
كلوروفورم	مقاوم	مقاوم	مقاوم
منظفات اصطناعيّة	مقاوم	مقاوم	مقاوم
مستحلبات مركزة	مقاوم	مقاوم	مقاوم
فلور جاف	مقاوم	مقاوم	مقاوم
فورم أدهيد (40 في المئة)	مقاوم	مقاوم	مقاوم
حمض النمل	مقاوم	مقاوم	مقاوم
حمض كلور الماء المركز	مقاوم	مقاوم	لا معطيات
بيروكسيد الهيدروجين (30 في المئة)	مقاوم	مقاوم	مقاوم
أوكسيد الكالسيوم (CaO)	مقاوم	مقاوم	مقاوم
ميثانول	مقاوم	مقاوم	مقاوم
نفثا	مقاوم	مقاوم	مقاوم
حمض الأزوت (50 في المئة)	مقاوم	مقاوم	مقاوم
حمض الأزوت المدخن	لا يُنصح	لا يُنصح	لا يُنصح
الزيوت، ديزل	مقاوم	مقاوم	مقاوم
الزيوت، أساسيّة	مقاوم	مقاوم	مقاوم
حمض البركلوريك	مقاوم	مقاوم	مقاوم
فينول	مقاوم	مقاوم	لا معطيات
ماء البحر	مقاوم	مقاوم	مقاوم
ثاني أوكسيد الكبريت الجاف	مقاوم	مقاوم	مقاوم
ثالث أوكسيد الكبريت	مقاوم	مقاوم	مقاوم
حمض الكبريت (70 في المئة)	مقاوم	مقاوم	مقاوم
حمض الكبريت (95 في المئة)	لا يُنصح	لا يُنصح	لا يُنصح
حمض الكبريت المدخن	لا يُنصح	لا يُنصح	لا يُنصح

الجدول (4-6): الوسطي الزمني لمعاملات الاحتكاك تابعاً للمحتوى من PEEK في PTFE <sup>23</sup>

معامل الاحتكاك	PTFE في PEEK
$\bar{\mu}$	%
0.135	0
0.111	50
0.353	100

## 4.6. الإضافات الخاصة

### 1.4.6. مثبتات الصهارة

أثناء معالجة الصهارة، يُبدي بوليمير بولي (أريل إيثر كيتون)، ميلاً قوياً إلى التشبيك. وهذا سلوكٌ غير مرغوب إذ تزداد لزوجة الصهارة وتعاني ذلك خواص البوليمير. ومع ازدياد طول فترة التعرض في حالة الصهارة، يُصبح تصنيع الصهارة تدريجياً أصعب فأصعب.

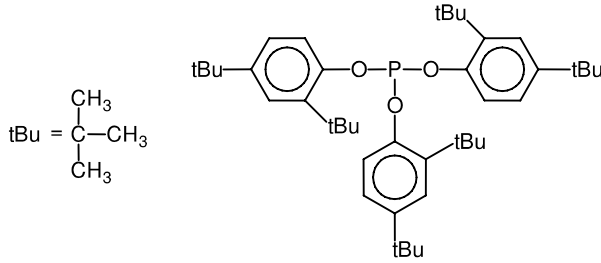
إن أكاسيد أو سلفيدات المعادن الثنائية التكافؤ غير القابلة للتحلل المائي مثل أكسيد التوتياء، أو كبريت التوتياء هي مثبتات جيدة لبوليميرات بولي (أريل إيثر كيتون). ولقد جرى أيضاً استعمال مركبات الفوسفيت وثنائي الفوسفونيت العطرية العضوية بصفتها مثبتات. هذه المركبات مبيّنة في الشكل (4-6).

ونجد في ثلاثي فينيل الفوسفات ومشتقاته المُستبدلة مثل ثلاثي كريسيل الفوسفات مركبات مُثبتة أخرى <sup>25</sup>. ولكن جرى الاعتراض على هذه المركبات، لأنه نظراً إلى ارتفاع ضغط أبخرتها، فهي يمكن أن تتطاير من الصهارة عند درجة الحرارة المعتادة لمعالجة بولي (أريل إيثر كيتون)، وهذا يمكن أن يؤدي إلى انطلاق روائح مزعجة، وإلى طلاءات تتكوّن على سطح القوالب في حالة القولية بالحقن. لهذا السبب فقد جرى اقتراح مُثبتات أقلّ تطايراً <sup>26</sup>.

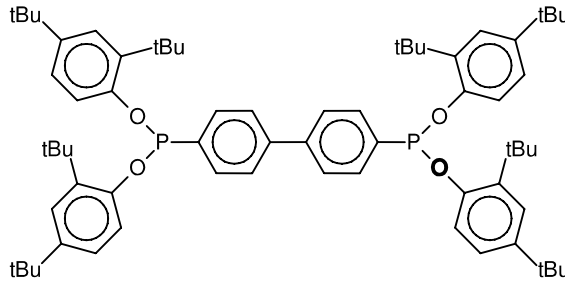


المركبات من نوع الفوسفونيت أقل فعالية بكثير من مركبات الفوسفيت في تثبيت بوليميرات بولي (أريل إيثر كيتون). إلا أن إضافة مركبات عضوية فوسفورية بالتزامن مع حمض عضوي مثل حمض الأوكزاليك أو حمض الخل يؤدي إلى انخفاض ملموس جداً في لزوجة الصهارة، حتى في الحالة التي يكون فيها للمركب الفوسفوري دور ضار. يمكن تلخيص نتائج استعمال المثبتات كما يلي<sup>1</sup>:

1. في الوقت الذي يُبدي الفوسفيت تأثيراً ضئيلاً في تدفق الصهارة، فإنّ الفوسفونيت يخفضها بقساوة وله من تمّ تأثير ضارّ.
2. لحمض الأوكزاليك دورٌ ضارٌ كبير على تدفق الصهارة.
3. إن جمع الفوسفيت أو الفوسفونيت مع حمض الأوكزاليك أو حمض الخل يُحسن تدفق الصهارة مقارنةً بالعينات غير المثبتة.



تريس (4،2- ثنائي-ترت- بوتيل فينيل)فوسفيت



تتراكيس (4،2- ثنائي-ترت- بوتيل فينيل )-4،4- بيفينيلين ثنائي فوسفونيت

الشكل (4-6): المثبتات على أساس الفوسفور. Mark 2112 : تريس (4،2- ثنائي-ترت- بوتيل فينيل) فوسفيت، و Sandostab®-P-EPQ : تتراكيس (4،2- ثنائي-ترت- بوتيل فينيل )-4،4- بيفينيلين ثنائي فوسفونيت

## 2.4.6. الموائى ومواد التقوية

في تطبيقات متنوّعة للمواد الهندسيّة، يُستعمل PEEK كمادّة مركّبة مع مواد مقويّة. تشتمل هذه المواد المقويّة على ما يلي :

- الألياف الزجاجيّة.
- ألياف الكربون.
- ألياف البولي(أميد).

كما إنّ الهيدروكسي أبائيت وأوكسيد الألمنيوم ونتريد الألمنيوم هي مواد مالئة أخرى<sup>27,28</sup>. وتُستعمل أيضاً موائى نانويّة. يُبدي بوليمير PEEK المملوء بالسيليكا أو الألومينا ذات القياسات النانويّة 15–30 nm تحسّناً في الخواص الميكانيكيّة بنسبة 20–50 في المئة<sup>29</sup>. يمكن تخفيض الميل نحو التكتل بتعديل سطح الموائى بحمض الستياريك<sup>30</sup>.

## 5.6. تطبيقات

تمتلك مشتقات PEEK فائدة تجاريّة مهمّة بصفقتها لدائن، وخصوصاً كقطع مقولبة ومواد مركّبة مع ألياف الزجاج والكربون والكفلار، وذلك في تطبيقات إنشائية متنوّعة، تشمل صناعات الطيران والصناعات الهندسيّة عموماً. يجد PEEK تطبيقاته أيضاً كقضبان ميثوقة ومقاطع لتصنيع بطانات، وسدادات إحكام، وغيرها.

عموماً، تجري المعالجة باستعمال البوائق وآلات القولبة بالحقن في درجات حرارة في المجال من 360°C إلى 400°C، مما يتطلّب استقراراً حراريّاً عالياً<sup>12</sup>. يعطي الجدول (5-6) أمثلة على استعمال هذه البوليميرات، وسنأتي لاحقاً على مناقشة بعضها تفصيلاً.

## 1.5.6. الطلاء غير اللاصق

من المعروف أنّه يمكن طلاء مقالي الطبخ ببوليمير PTFE للحصول على سطوح لا يلتصق عليها الطعام المقلي. تحسّن إضافة PEEK مقاومة الطلاء للخدش، وعلاوة على ذلك يمكن استعمال PEEK بدون مزجه مع راتنج فلوروكربوني لتكوين طبقة طلاء تحتيّة قاسية<sup>37</sup>.

## الجدول (5-6): حقول استعمال مواد البولي (إيثر إيثر كيتون)

المراجع	حقول الاستعمال
	تطبيقات الزلاقات والإحكام
32,31	مواد انزلاق
33	سدادات إحكام قواعد الصمامات
34	سدادات إحكام خلايا الدفع التحليلي
36,35	سدادات إحكام الخلاء العالي
	الطلاءات
37	مقالي الطبخ
38	سطوح مقاومة الاهتراء المطلية في المضخات
	التطبيقات الكهربائية
39	عقد الكبلات
40	عزل الكبلات
41	البطاريات القابلة لإعادة الشحن
	التطبيقات الطبية
43,42	مواد القطرات في الجسم
44	أنظمة التعويضات المفصليّة
45	صفائح انضغاط العظام
46	بدائل العظام

تُلبّد الطلاءات في درجة حرارة بين  $400^{\circ}\text{C}$  و  $420^{\circ}\text{C}$ . يتمتّع مسحوق PEEK بقياس حبيبات حوالي  $20\mu\text{m}$  وسطيّاً. الموائى الخاملة المناسبة هي من زمرة الأكاسيد المعدنية أو السيليكا أو جسيمات الميكا أو الموائى القشريّة.

### 2.5.6. الأغشية الفاصلة المساميّة

تُستعمل الأغشيّة البوليميريّة الفاصلة ذات المسامات المكروية استعمالاً واسعاً في سيرورات الترشيح والتنقية، من قبيل ترشيح مياه الصرف، وتحضير المياه الفائقة النقاوة، وفي التطبيقات الطبيّة أو الصيدلانيّة أو الغذائيّة، بما يشمل إزالة المتعضيات المكروية والديلزة (التصفية الغشائيّة) وترشيح البروتينات.

لقد وجدت هذه الأغشية استعمالاً واسعاً لأغراض متنوعة. ولكنها تعاني عدّة عيوب، مثل توزيع عريض وغير منتظم لقياس المسامات، ومقاومة محدودة للكيمائيات، والمذيبات والحرارة.

تُظهر بوليميرات بولي(أريل إيثر كيتون) مقاومة كيميائية وحرارية واضحتين. وهي عملياً غير قابلة للانحلال في جميع المذيبات الشائعة في درجة حرارة الغرفة. تجعل هذه الخواص بوليميرات البولي(أريل إيثر كيتون) مواد جذابة لتحضير أغشية مسامية.

ولكن تطبيق بوليميرات البولي(أريل إيثر كيتون) في صناعة الأغشية بقي محدوداً بسبب عسر معالجتها، الأمر الذي منع استعمال الطرائق التقليدية، على أساس المذيبات، في صبّ الأغشية. هناك عدّة طرق معروفة لتحضير أغشية بولي(أريل إيثر كيتون).

يمكن الحصول على أغشية مسامية من PEEK من محاليل في حمض الكبريت الكثيف. في هذه السيرة يمر PEEK بعملية سلفنة في بيئة حمض الكبريت الكثيف، ويفقد بعضاً من خواصه المرغوبة. واقتُرِح الحصول على غشاء PEEK غير مُسَلَّفَن باستعمال حمض كبريت أقل تركيزاً منعاً من السلفنة. تُكوّن الأغشية بصب محلول PEEK لتكوين طبقة رقيقة ثم يتبع ذلك تخثّر.<sup>47</sup> ينتج من هذه السيرة كميات كبيرة من الحمض للتخلص منها.

يمكن تجنب السلفنة، باستعمال درجات حرارة منخفضة؛  $15^{\circ}\text{C}$  مثلاً<sup>48</sup>. ولكن، عند درجات حرارة منخفضة يمكن فقط تكوين محاليل ممدّدة من PEEK في حمض الكبريت المركز. وفي مقاربة أخرى يمكن استعمال مذيبات حمضية غير مُسَلَّفَن مثل حمض الميثان السلفوني، وحمض ثلاثي فلور الميثان السلفوني<sup>10</sup>. بدلاً من أنظمة المذيبات على أساس حمضي لتحضير أغشية PEEK هناك طريقة بديلة تعتمد على استعمال مذيبات ومُلدّنات ذات نقطة غليان مرتفعة يمكنها حلّ PEEK عند درجات حرارة مرتفعة. نجد في الأدبيات<sup>49</sup> قيم الانحلالية في 104 مذيباً مختلفاً.

بعض هذه المعطيات مبينٌ في الجدول (6-6). يمثل كلٌّ من البنزوفينون و1-كلورو نفتالين مثلاً على مذيب عضوي قطبي ذي درجة غليان مرتفعة<sup>49</sup>. تتكوّن المادة المسامية النهائية بإزالة المذيبات القطبية أو المُلدّنات بحلّها في مذيب ذي درجة غليان منخفضة.

وتستعمل طريقةً أخرى لتحضير الأغشية سيرورةً عكس الطور المحرّض حرارياً (Thermally induced phase inversion (TIP)). تُشير TIP إلى سيرورة يجري فيها حلّ البوليمير في مذيب تكون انحلالية البوليمير فيه تابعة لدرجة الحرارة.

يُنق أو يُصب مزيج البوليمير/مذيب بدرجات حرارة مرتفعة. عندما تقترب درجة الحرارة من درجة حرارة الجو المحيط، ينفصل طورٌ غني بالبوليمير من المذيب. يجري بعدئذ إزالة المذيب من المزيج المنفصل الطور باستنزافه. إنّ بوليميرات مثل بولي (سلفون) مناسبة للاستنزاف<sup>52</sup>.

وبالمُماثلة، يجري في مرحلة أولى تحضير خلائط PEEK\PI. يُزال PI من المزيج بالتحليل الانتقائي<sup>53</sup>. على وجه الخصوص، يمكن تحليل PI بوضع الجزء المتشكل في تماس مع أمين أولي أليفاتي، مثل أحادي إيثانول أمين، فتتشكّل شظايا منخفضة الوزن الجزيئي سهلة الإزالة.

تُمكن أيضاً سلفنة PEEK لتكوين أغشية موصلة بروتونياً. تستعمل هذه الأغشية بصفتها أغشية كهربائية في خلايا الوقود<sup>51</sup>. البوليمير المُسلفن قابلٌ للانحلال في مزائج من المذيبات العضوية مع الماء، وهو أمرٌ غير مرغوب. لهذا السبب يجري تشبيك زمر حمض السلفونيك جزئياً، بتفاعل تكاتف مبيّن في الشكل (5-6). يتحقّق التشبيك التصالبي بتسخين المادة المُسلفنة حتى الدرجة 120°C في الخلاء. وتؤمّن الموصلية الكهربائية زمر حمض السلفونيك المُحتجزة.

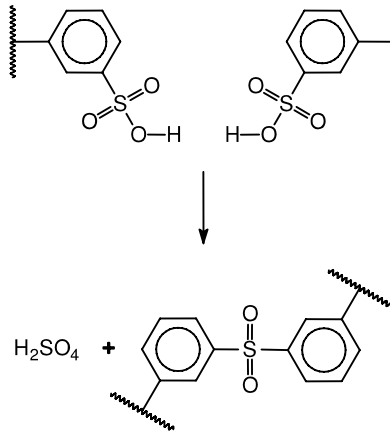
يمكن تحسين الموصلية البروتونية لبوليمير بولي (إيثر إيثر كيتون) المُسلفن باستعمال أنماط خاصة من PEEK، وتحديدًا البوليميرات المشتركة كتلية التعاقب المكونة من كتلة كارهة للماء وأخرى مُحبة له<sup>54</sup>.

إنّ بوليمير PEEK-WC هو بوليمير PEEK مُعدّل، كما هو مبيّن في الشكل (2-6). يمكن تحضير أغشية فصل غازات غير متناظرة فائقة الرقّة من PEEK المعدّل بتقنية عكس الطور جاف/ارطب<sup>55,56</sup>. يمكن تحت شروط أمثلية الحصول على أغشية ذات مورفولوجيا مفتوحة الخلايا، وقشرة كثيفة فائقة الرقّة سماكتها حوالي 50 nm. تُحضّر

الأغشية الفاصلة بصبّ طبقة رقيقة من محلول PEEK-WC على صفيحة زجاجية، ثم تُختر وتُجفّف وتُزال الأغشية عن الصفيحة الزجاجية.

الجدول (6-6): انحلالية PEEK في مذيبات متنوعة<sup>49</sup>

المركّب	الوزن الجزيئي [D]	نقطة الانصهار [°C]	نقطة الغليان [°C]	الانحلالية [%]	عند درجة [°C]
ثلاثي فينيل ميثانول	260	161	360	< 50.1	349
ثلاثي فينيل ميثان	244	93	359	< 50.2	349
ثلاثي فينيلين	228	196	438	< 50.0	350
1،2،3-ثلاثي فينيل بنزين	306	158	-	< 50.1	349
حمض 4-بيفينيل كربوكسيليك	198	225	-	> 50.1	349
ثنائي فينيل كربونات	214	79	301	> 10.1	302
بيبنزول	182	51	284	> 10.3	274
فوسفات ثنائي الفينيل والميثيل	264	-	389	> 10.0	349
1-برومو نفتالين	207	-1	280	> 9.8	274
N,N-ثنائي فينيل فورم أميد	197	71	337	> 25.2	302
بنزوات الفينيل	198	69	298	> 9.8	274
1-فينيل ديكان	218	-	293	> 10.2	274
1-ميثوكسي نفتالين	158	-	269	> 10.0	240
4-برومو ثنائي فينيل إيثر	249	18	305	> 24.8	302
4-برومو ثنائي فينيل إيثر	249	18	305	> 5.4	241
بنزوفينون	182	50	305	> 24.9	302
ثنائي فينيل إيثر	170	27	259	> 10.1	241
ثنائي أوكثيل فتالات	391	-50	384	> 10.8	349
خماسي كلوروفينول	266	189	310	> 50.6	302
4،4'-ثنائي هيدروكسي بنزوفينون	214	214	-	> 50.0	319



الشكل (5-6): تشبيك زمر السلفونات المتبادلية<sup>51</sup>

إضافة إلى ما سبق فقد جرى تحضير أغشية PEEK-WC بسيرورة عكس الطور باستعمال موائع فائقة الحدية. يؤدي المائع الفائق الحدية دور لأمذيب، ومقارنة بطريقة عكس الطور جاف أرطب فإنّ المائع الفائق الحدية يتيح تعديل قياس الخلايا ومورفولوجيا الغشاء تبعاً للشروط التجريبية، مثل تركيز البوليمير ودرجة الحرارة والضغط. يمكن الحصول على غشاء جاف بسرعة ومن دون معالجات لاحقة إضافية<sup>57</sup>. تُبدي أغشية PEEK المُسلفنة موصولة بروتونية، وهي من ثمّ مرشحة للاستعمال في تطبيقات خلايا الوقود. ولقد جرى وصف أنماط متنوعة من بوليميرات بولي(إيثر كيتون) في الأدبيات:

- بولي(إيثر كيتون) المُسلفن (SPEK)،
- بولي(إيثر إيثر كيتون) المُسلفن (SPEEK)،
- بولي(إيثر كيتون كيتون) المُسلفن (SPEKK)،
- بولي(إيثر إيثر كيتون كيتون) المُسلفن (SPEEKK)،
- بولي(إيثر إيثر كيتون) المُسلفن المعدل (SPEEK-WC).

يعود سبب الاهتمام بهذه المواد إلى أنّ الأغشية المصنّعة على أساس بوليميرات البولي(إيثر كيتون) تتمتع باستقرار كيميائي وميكانيكي جيدين، وموصولة بروتونية عالية، ونفوذية منخفضة للميثانول وكلفة زهيدة نسبة إلى غشاء نافيون (Nafion)<sup>58,59</sup>.

تتأثر الموصلية البروتونية بدرجة سلفنة البوليمير. ترتفع درجة حرارة الانتقال الزجاجي مع ازدياد درجة السلفنة<sup>60</sup>. ولتحسين الموصلية البروتونية، وخصوصاً في الأغشية ذات الدرجة المنخفضة من السلفنة، يمكن تضمين الحاضنة البوليميرية سلفوفينيلين فوسفونات فوسفات الزيركونيوم  $Zr(HPO_4)(O_3PC_6H_4SO_3H)$  اللامتبلور<sup>59</sup>.

لقد جرى اختبار أغشية PEEK-WC المُسلفنة بدرجة سلفنة 15-40 في المئة بصفقتها أغشية كثيفة في تطبيقات خلايا الوقود. ولقد جرى استعمال تقنية تبخير المذيب، مع المذيب ثنائي ميثيل أسيت أميد، لتحضير أغشية كثيفة. وقد لوحظت نسبة امتصاص للماء حتى 15 في المئة في حالة الأغشية الفاصلة الكثيفة عند  $80^\circ C$ . وتُبدى الأغشية أداءً كهربكيميائياً يُقارن بأغشية نافيون<sup>61</sup>.

يمكن تحسين أداء مثل هذه الأغشية بحجز الحموض المتعددة المُغايرة ضمن الحاضنة البوليميرية. حيث تُستعمل أحماض مثل حمض التنغستوفوسفوريك  $(H_3PW_{12}O_{40})$  وحمض السيليكوتنغستيك  $(H_4SiW_{12}O_{40})$  وحمض الفوسفوموليبيديك  $(H_3PMo_{12}O_{40})$  بصفقتها إضافات في الأغشية الفاصلة المركبة<sup>62,63</sup>.

إن الأغشية ذات المسامات المكروية المصنوعة من مزيج PEEK-WC وپولي (يورثان) هي موضع اهتمام في العلوم الطبية، مثلاً في دعم المحافظة الطويلة الأمد على خلايا الكبد البشرية وفي مفاضلتها<sup>64</sup>.

### 3.5.6. البطاريات القابلة لإعادة الشحن

تُستعمل البطاريات اللامائية القابلة للشحن الشبيهة بقطع النقود في حقل مصادر الطاقة الاحتياطية للتجهيزات الإلكترونية، وذلك بسبب مميزاتها المتمثلة في ارتفاع كثافة طاقتها وخفة وزنها. في حالة بطارية على أساس الليثيوم، يجب لحم الليثيوم بالضغط، أو توضع كهركيمائياً على المسرى السالب.

في هذه البطاريات، يكون مُهمّاً على وجه الخصوص اختيارُ المادّة التي تُصنع منها سدادات الإحكام، التي تجعل البطارية كتيمة للهواء والسوائل، وتضمن عزل غلبيتي المسريين الموجب والسالب. تقليدياً، يُستعمل بوليمير پولي (بروبيلين) (PP) بصفته مادّة



لسادات الإحكام ، بسبب مميّزاته في مُقاومة المواد الكيميائية، والمرونة، ومقاومة الزحف، وقابليته للقولبة مما يتيح قولبته بالحقن، وأخيراً لأنّه زهيد الثمن.

غالباً ما تُلحم بطاريات مصادر الطاقة الاحتياطية للذواكر على لوحات التوصيل إلى جانب تجهيزات الذواكر. يُنجز ذلك بتمرير لوحة التوصيل في فرن درجة حرارته 200-230 درجة مئوية، وهذا ما يتيح لمادة اللحام أن تنصهر وتُحقّق اللحام. تسمّى هذه السيرورة باسم اللحام بالانحسار (Reflow soldering).

إذا لم تُصمّم التجهيزة لتستعمل موادّ مُقاومة للحرارة، يمكن أن تفقد بعض وظائفها أثناء عملية اللحام بالانحسار. ويمكن أن تتفاعل خليطة الليثيوم مع المحلول الكهرليتي وغيره من مكونات البطارية ليسبّب انتفاخاً مباشراً أو انفجاراً. لهذا السبب، يجب استعمال موادّ مُقاومة لدرجة حرارة اللحام بالانحسار في كلّ من المحلول الكهرليتي والفواصل وسادة الإحكام.

لقد جرى اختيار مواد خاصة كمركّبات للبطاريات بعد أخذ هذه المشاكل بعين الاعتبار. لن نذكر طبيعة المساري أو الكهرليت بالتفصيل، ولكن سنركّز الاهتمام على البوليميرات المقترحة.

يُستعمل غشاءً عازل ذو ناقلية شاردية كبيرة، ومقاومة ميكانيكية محدّدة سابقاً، بصفته فاصلاً. الألياف الزجاجية هي الأكثر استقراراً بصفقتها مادة للاستعمال في اللحام بالفيضان. ولكن يمكن أيضاً استعمال راتنج ذي درجة تشوّه حراري  $230^{\circ}\text{C}$  أو أكثر مثل بولي (سلفيد الفينيلين) وبولي (ترفتالات الإيثيلين) وبولي (أميد) وبولي (إيميد) وغيرها. قياس المسامات في الفاصل مُحدّد في المجال المستعمل عموماً في البطاريات، أي مسامات من  $0.01\mu\text{m}$  إلى  $10\mu\text{m}$ .

أما بشأن سادة الإحكام، فلقد تبين أنه بدلاً من PP، فإنّ بولي (سلفيد الفينيلين) وبولي (ترفتالات الإيثيلين) وبولي (أميد) وبوليمير البلورات السائلة وراتنج البوليمير المشترك رباعي فلورو إيثيلين/برفلوروألكيل فينيل إيثر وPEEK وبولي(إيثر نتريل)، لا تُحدّث انفجاراً ولا تعاني العيوب الأخرى عند درجة حرارة اللحام بالانحسار<sup>41</sup>.

## 4.5.6. الطلاءات

يمكن تحضير طلاءات PEEK على ركائز الألمنيوم أو الفولاذ غير القابل للصدأ باستعمال تقنية البخ بالهلب. ولكن الطلاءات التي نحصل عليها بهذه الطريقة هي بكل بساطة تراكم للمسحوق بمسامية عالية بخواص ميكانيكية سيئة.

يمكن الحصول على طلاء كثيف بالمعالجة بالليزر. أثناء هذه المعالجة يُعاد صهر الطلاء البوليميري. لقد جرى اختبار عدّة أنواع من الليزر، أكثرها ملاءمة للحصول على طلاءات مترابطة هو ليزر ثاني أكسيد الكربون. تُظهر الطلاءات المُعالجة بالليزر بنية لا متبلورة. ولكن لم يُلاحظ أي تعديل كيميائي واضح بعد سيرورة البخ بالهلب والمعالجة الليزرية<sup>65</sup>.

يمكن إنجاز تلبيد طلاءات PEEK باستعمال تقنيات التلبيد بالأموح المكروية. ولقد أُثبت أنّ كربيد السليكون الموزع في الحاضنة البوليميرية هو ماصّ جيّد للإشعاع المكروي بسبب ارتفاع مُعامل الضياع الديليكتريكي فيه<sup>66</sup>. تزداد مساحة سطح التماس بين الحاضنة البوليميرية والمالي اللاعضوي مع نقصان أقطار الجسيمات، لهذا السبب تكون الجسيمات النانوية أفضل من الجسيمات المكروية. ينخفض خطر وقوع تسخين زائد في حالة الجسيمات الأصغر، ومن ثمّ يمكن إجراء التلبيد بشكل أسرع.

## 6.6. الموردون والعلامات التجارية

يبين الجدول (6-7) الموردّين والعلامات التجارية. ويمكن العثور في شبكة الإنترنت على أسماء مصنّعين آخرين وصفحات معطيات عن البولّي (إيثر إيثر كيتون)<sup>67</sup>. ويبين الجدول (6-8) الأسماء التجارية الواردة في المراجع.

## 7.6. الأمان

الأخطار على الصحة الناجمة عن PEEK هي أخطار ضئيلة. أمّا بشأن صفوف البوليمير الأخرى فيعتبر الدخان الناتج من تسخينها الزائد مؤذياً.

الجدول (6-7): أمثلة على بوليميرات بولي(أريلين إيثر كيتون) المتوفرة تجارياً

المنتج	الاسم التجاري
Invibio Inc.	PEEK-OPTIMA® Granular
Victrex	Victrex®PEEK
Quadrant Engineering Plastic Products	Ketron®PEEK
Ensinger Inc.	Ensinger PEEK
Degussa AG	Vestakeep®
PolyOne Corp.	Edgetek™-PK
Solvay Advanced Polymers	Avaspire™
Solvay Advanced Polymers	Ketaspire™
Gharda Chemicals Ltd.	Gatone™
RTP Compounds	<sup>a</sup> RTP Compounds 22XX
LATI S.p.A.	Larpeek

<sup>a</sup> هنا X = 0...9

الجدول (6-8): الأسماء التجارية الواردة في المراجع

المورد	الاسم التجاري الوصف
Dow	DC®-704 زيت سيليكون <sup>49</sup>
Dow	DC®-710 زيت سيليكون <sup>49</sup>
Asahi Glass Company	Flemion® بوليمير فلوري، غشاء تبادل شوارد <sup>2</sup>
Minnesota Mining and Manufacturing Co. (3M)	Fluorinert® زيت مفلور <sup>53,34</sup>
DuPont	Freon® 113 2،1،1-ثلاثي كلورو-2،1-ثلاثي فلوروإيثان <sup>53,49</sup>
Gharda Chemicals Ltd.	Gatone™ <sup>27</sup> PEEK

الجدول (6-8): الأسماء التجارية الواردة في المراجع

المورد	الاسم التجاري الوصف
W. L. Gore	Gore-Select® غشاء PTFE موسّع بمسامات ميكروية (ePTFE)، غشاء موصل للشوارد <sup>2</sup>
Advanced Energy Technology Inc.	Grafoil® غرافيت مرن <sup>33</sup>
Monsanto Co.	HB® -40 ترفينيل مهدرج <sup>49</sup>
DuPont	Kevlar® أراميد <sup>2</sup>
DuPont	Krytox® زيت مفلور <sup>34</sup>
Arkema, Inc.	Kynar® بولي (فلوريد فينيلدين) <sup>33</sup>
Lenzing AG	Lenzing® P84 بوليمير مشترك بنزوفينون رباعي كربوكسيلك ثنائي أنهيدريد -MDI-4،2-TDI، بولي (إيميد) <sup>53</sup>
Argus Chemical Corp.	Mark 2112 تريس (4،2-ثنائي-ترت- بوتيل فينيل) فوسفيت <sup>1</sup>
Ciba Geigy	Matrimid® بولي (إيميد) <sup>53</sup>
Mobil Oil Corp.	Mobiltherm® (Series) زيت نقل الحرارة <sup>49</sup>
DuPont	Nafion® 1100 EW PTEE مسلفن، غشاء نافيون بوزن مكافئ 1100 <sup>2</sup>
DuPont	Nafion® PTEE مسلفن، لتطبيقات الأغشية <sup>61,2</sup>
Solvay	Radel® R بولي (بيفينيل سلفون) <sup>2</sup>
Sandoz AG	Sandostab® -P-EPQ نتراكيس (4،2-ثنائي-ترت- بوتيل فينيل) -4،4-بيفينيلين ثنائي فوسفونيت <sup>1</sup>
Monsanto Co.	Santowax® R مركبات ترفينيل مختلطة <sup>49</sup>

الجدول (6-8): الأسماء التجارية الواردة في المراجع

المورد	الاسم التجاري الوصف
General Electric	Siltem® STM 1500 بولي (إيثر إيميد) <sup>49</sup>
Raychem Corp.	Stilan® بولي (إيثر كيتون) <sup>13,1</sup>
General Chemical Co.Corp.	Sulfan® B ثلاثي أوكسيد الكبريت <sup>2</sup>
DuPont	Teflon® AF 1600 بوليميرات مشتركة غير متبلورة من برفلورو-2،2- ثنائي ميثيل-3،1-ديوكسول مع رباعي فلورو إيثيلين <sup>34</sup>
DuPont	Teflon® AF 2400 بوليميرات مشتركة غير متبلورة من برفلورو-2،2- ثنائي ميثيل-3،1-ثنائي أوكسول مع رباعي فلورو إيثيلين <sup>34</sup>
Monsanto Co.	Therminol® 66 49
Monsanto Co.	Therminol® 75 ترفينيلات وكاتر فينيلات مختلطة <sup>49</sup>
Solvay (Amoco).	Torlon® (Series) بولي (أميد إيميد) <sup>33</sup>
Union Carbide (Dow)	Ucarsol® مزيج أمين <sup>53</sup>
Solvay	Udel® Polysulfone بولي (بيسفينيل A سلفون) <sup>2</sup>
General Electric	Ultem® (Series) بولي (إيميد)، متلدن حرارياً <sup>53</sup>
General Electric	Ultem® 6050 بولي (إيثر إيميد سلفون) <sup>53</sup>
BASF AG	Ultrapek® KR 4176 بوليمير مشترك 4،4-ثنائي فينوكسي بنزوفينون - كلوريد ترفثالويل <sup>10</sup>
DuPont	Vespel® بولي (إيميد)، متصلد حرارياً <sup>33</sup>

الجدول (6-8): الأسماء التجارية الواردة في المراجع

المورد	الاسم التجاري الوصف
Victrex PLC	Victrex® 381G
Victrex PLC	بولي (إيثر إيثر كيتون)، طلاء كبلات <sup>42</sup> Victrex® PEEK 450
Victrex Manufacturing Ltd.	بولي (أوكسي -4،1-فينيلين أوكسي -4،1-فينيلين كربونيل -4،1-فينيلين)، بولي (إيثر إيثر كيتون) <sup>42</sup> Victrex® PEK
	بولي (أوكسي -4،1-فينيلين كربونيل -4،1-فينيلين) <sup>10</sup>

## المراجع

1. J. E. Harris. Stabilized poly(aryl ether ketone) compositions. US Patent 5 063 265, assigned to Amoco Corporation (Chicago, IL), 5 November 1991.
2. R. M. Formato, R. F. Kovar, P. Osenar, N. Landrau, and L. S. Rubin. Composite solid polymer electrolyte membranes. US Patent 7 052 793, assigned to Foster-Miller, Inc. (Waltham, MA), 30 May 2006.
3. R. J. Kumpf, D. A. Wicks, D. K. Nerger, H. Pielartzik, and R. Wehrmann. Poly(arylether)/liquid crystalline polyester block copolymers and a process for their production. US Patent 5 618 889, assigned to Bayer Corporation (Pittsburgh, PA), 8 April 1997.
4. J. B. Rose and P. A. Staniland. Thermoplastic aromatic polyetherketones. US Patent 4 320 224, assigned to Imperial Chemical Industries Limited (London, GB2), 16 March 1982.
5. Y. Niu, S. Zhang, X. Zhu, L. Liu, G. Wang, and Z. Jiang. "New poly(aryl ether ketone) copolymers containing 1,5-naphthalene rings." *Journal of Macromolecular Science: Pure and Applied Chemistry*: vol. 42, no. 5, 2005, pp. 641–648.
6. A. Ben-Haida, H. M. Colquhoun, P. Hodge, and D. J. Williams. "Synthesis of a catechol-based poly(ether ether ketone) ("o-PEEK") by classical step-growth polymerization and by entropically driven ring-opening polymerization of macrocyclic oligomers." *Macromolecules*: vol. 39, no. 19, September 2006, pp. 6467–6472.
7. Y. M. Niu, X. L. Zhu, L. Z. Liu, Y. Zhao, G. B. Wang, and Z. H. Jiang. "Synthesis and properties of poly(aryl ether ketone) copolymers with trifluoromethyl-substituted benzene in the side chain." *Journal of Macromolecular Science: Pure and Applied Chemistry*: vol. 43, no. 9, September 2006, pp. 1459–1467.

8. V. Jansons, H. C. Gors, S. Moore, R. H. Reamey, and P. Becker. Preparation of poly(arylene ether ketones). EP Patent 0 174 207, assigned to Raychem Corp. (US), 12 March 1986.
9. K. J. Dahl, V. Jansons, and S. Moore. Aryl ether ketone copolymers. US Patent 4 808 693, assigned to Raychem Corporation (Menlo Park, CA), 28 February 1989.
10. L. C. Costa. Asymmetric semipermeable poly(aryletherketone) membranes and method of producing same. US Patent 5 089 192, assigned to Ionics, Incorporated (Watertown, MA), 18 February 1992.
11. J. E. McGrath, K. R. Lyon, R. M. Davis, A. Texier, and A. Gungor. Fine powders of ketone-containing aromatic polymers and process of manufacture. US Patent 5 357 040, assigned to The Center for Innovative Technology (Herndon, VA) Virginia Polytechnic Institute & State University (Blacksburg, VA) Virginia Tech Intellectual Properties, Inc. (Blacksburg, VA), 18 October 1994.
12. K. H. Gharda, P. D. Trivedi, V. S. Iyer, U. M. Vakil, and S. C. Limaye. Melt processible polyether ether ketone polymer. US Patent 6 881 816, assigned to Gharda Chemicals Ltd. (Mumbai, IN), April 19, 2005.
13. J. E. Harris, L. M. Robeson, M. D. Clifton, B. H. Eckstein, and M. Matzner. Miscible blends of a poly(aryl ether ketone) and an imide containing polymer. US Patent 5 171 796, assigned to Amoco Corporation (Chicago, IL), 15 December 1992.
14. M. J. Jenkins. "Crystallisation in miscible blends of PEEK and PEI." *Polymer*: vol. 42, no. 5, March 2001, pp. 1981–1986.
15. P. Zschocke and D. Quellmalz. Integral asymmetric, solvent-resistant ultra-filtration membrane made of partially sulphonated, aromatic polyether ether ketone. DE Patent 3 321 860, assigned to Berghof Forschungsinst (DE), 20 December 1984.
16. C. Henneuse, B. Goret, and J. Marchand-Brynaert. "Surface carboxylation of PEEK film by selective wet-chemistry." *Polymer*: vol. 39, no. 4, February 1998, pp. 835–844.
17. C. Henneuse-Boxus, T. Boxus, E. Duliere, C. Pringalle, L. Tesolin, Y. Adriaensen, and J. Marchand-Brynaert. "Surface amination of PEEK film by selective wet-chemistry." *Polymer*: vol. 39, no. 22, October 1998, pp. 5359–5369.
18. C. Henneuse-Boxus, E. Duliere, and J. Marchand-Brynaert. "Surface functionalization of PEEK films using photochemical routes." *European Polymer Journal*: vol. 37, no. 1, January 2001, pp. 9–18.
19. S.-W. Ha, R. Hauert, K.-H. Ernst, and E. Wintermantel. "Surface analysis of chemically-etched and plasma-treated polyetheretherketone (PEEK) for biomedical applications." *Surface and Coatings Technology*: vol. 96, nos. 2-3, November 1997, pp. 293–299.
20. H. Nakamura, T. Nakamura, T. Noguchi, and K. Imagawa. "Photodegradation of PEEK sheets under tensile stress." *Polymer Degradation and Stability*: vol. 91, no. 4, April 2006, pp. 740–746.

21. H.-B. Qiao, Q. Guo, A.-G. Tian, G.-L. Pan, and L.-B. Xu. "A study on friction and wear characteristics of nanometer Al<sub>2</sub>O<sub>3</sub>/PEEK composites under the dry sliding condition." *Tribology International*: vol. 40, no. 1, January 2007, pp. 105–110.
22. K-Mac Plastics. Data sheets. K-Mac Plastics 3821 Clay Ave. SW, Wyoming, MI 49548 [electronic] <<http://k-mac-plastics.net>>, 2006.
23. D. L. Burris and W. G. Sawyer. "A low friction and ultra low wear rate PEEK/PTFE composite." *Wear*: vol. 261, nos. 3-4, August 2006, pp. 410–418.
24. D. L. Burris and W. G. Sawyer. "Tribological behavior of PEEK components with compositionally graded PEEK/PTFE surfaces." *Wear*: vol. 262, nos. 1-2, January 2007, pp. 220–224.
25. E. Reske and A. Schneller. A mixture containing stabilised aromatic poly-ether ketones, and its use in the preparation of moulded products. EP Patent 0 308 803, assigned to Hoechst AG (DE), 29 March 1989.
26. J. Koch, G. Schuermann, and G. Heinz. Stabilized polyaryl ether ketone molding compositions containing a phosphorus compound. US Patent 5 145 894, 8 September 1992.
27. R. K. Goyal, A. N. Tiwari, U. P. Mulik, and Y. S. Negi. "Effect of aluminum nitride on thermomechanical properties of high performance PEEK." *Composites Part A*: vol. 38, no. 2, February 2007, pp. 516–524.
28. R. K. Goyal, A. N. Tiwari, U. P. Mulik, and Y. S. Negi. "Novel high performance Al<sub>2</sub>O<sub>3</sub>/poly(ether ether ketone) nanocomposites for electronics applications." *Composites Science and Technology*: vol. 67, no. 9, July 2007, pp. 1802–1812.
29. M. C. Kuo, C. M. Tsai, J. C. Huang, and M. Chen. "PEEK composites reinforced by nano-sized SiO<sub>2</sub> and Al<sub>2</sub>O<sub>3</sub> particulates." *Materials Chemistry and Physics*: vol. 90, no. 1, March 2005, pp. 185–195.
30. Y. H. Lai, M. C. Kuo, J. C. Huang, and M. Chen. "On the PEEK composites reinforced by surface-modified nano-silica." *Materials Science and Engineering A*: vol. 458, nos. 1-2, June 2007, pp. 158–169.
31. H.-D. Sturm, F. Sehr, and A. Dwars. Slide bearing for a centrifugal pump. US Patent 6 981 799, assigned to KSB Aktiengesellschaft (Frankenthal, DE), 3 January 2006.
32. W. Bickle and F. Hauptert. Plain bearing composite material. US Patent 7 056 590, assigned to KS Gleitlager GmbH (St. Leon-Rot, DE), 6 June 2006.
33. B. A. Hotton, C. R. Brown, G. A. Carlson, J. K. Iveljic, J. S. Timko, and K. J. Mracek. Ball valve seat seal. US Patent 6 695 285, assigned to Swagelok Company (Solon, OH), 24 February 2004.
34. T. A. Dourdeville, A. C. Gilby, and D. DellaRovere. Flow cell, analyte measurement apparatus and methods related thereto. US Patent 6 526 188, assigned to Waters Investments Limited, 25 February 2003.



35. A. Murari, C. Vinante, and M. Monari. "Comparison of PEEK and VESPEL(R)SP1 characteristics as vacuum seals for fusion applications." *Vacuum*: vol. 65, no. 2, April 2002, pp. 137–145.
36. A. Murari and A. Barzon. "Comparison of new PEEK(R) seals with traditional helicoflex for ultra high vacuum applications." *Vacuum*: vol. 72, no. 3, November 2003, pp. 327–334.
37. J.-P. Buffard, M. Fontaine, and C. Gardaz. Antiadhesive coating with improved scratch resistance. US Patent 6 596 380, assigned to Seb SA (FR), 22 July 2003.
38. S. C. Kennedy, T. H. F. Tan, M. L. Taylor, and B. H. Tan. Submergible pumping system with thermal sprayed polymeric wear surfaces. US Patent 6 565 257, 20 May 2003.
39. C. G. Hutter, III. Cable tie. US Patent 6 928 701, assigned to Physical Systems, Inc. (Carson City, NV), 16 August 2005.
40. M. W. Orlet, M. M. Darpi, and J. P. Varkey. Dual stress member conductive cable. US Patent 6 960 724, assigned to Schlumberger Technology Corporation (Sugarland, TX), 1 November 2005.
41. S. Watanabe, T. Harada, Y. Kanno, S. Takasugi, T. Sakai, H. Onodera, and T. Tamachi. Non-aqueous electrolyte rechargeable batteries. US Patent 6 713 215, assigned to Sii Micro Parts Ltd. (Miyagi, JP), 30 March 2004.
42. T. M. Williams and K. C. Gardeski. Deflectable tip catheter for CS pacing. US Patent 6 408 214, assigned to Medtronic, Inc. (Minneapolis, MN), June 18, 2002.
43. D. A. White and A. E. Williams. System and method for intraluminal imaging. US Patent 7 044 915, assigned to Boston Scientific SciMed, Inc. (Maple Grove, MN), 16 May 2006.
44. M. E. Graham. Sinus tarsi implant. US Patent 7 033 398, 25 April 2006.
45. K. Fujihara, Z.-M. Huang, S. Ramakrishna, K. Satknanantham, and H. Hamada. "Performance study of braided carbon/PEEK composite compression bone plates." *Biomaterials*: vol. 24, no. 15, July 2003, pp. 2661–2667, July 2003.
46. L. Mastronardi, A. Ducati, and L. Ferrante. "Anterior cervical fusion with polyetheretherketone (PEEK) cages in the treatment of degenerative disc disease. Preliminary observations in 36 consecutive cases with a minimum 12month follow-up." *Acta Neurochirurgica*: vol. 148, no. 3, March 2006, pp. 307–312.
47. T. Shimoda and H. Hachiya. Porous membrane. US Patent 6 017 455, assigned to Asahi Kasei Kogyo Kabushiki Kaisha (Osaka, JP), 25 January 2000.
48. T. Shimoda and H. Hachiya. Process for preparing a polyether ether ketone membrane. US Patent 5 997 741, assigned to Asahi Kasei Kogyo Kabushiki Kaisha (Osaka, JP), 7 December 1999.

49. H. N. Beck, R. A. Lundgard, and R. D. Mahoney. Process for making micro-porous membranes from poly(etheretherketone)-type polymers. US Patent 5 064 580, assigned to The Dow Chemical Company (Midland, MI), 12 November 1991.
50. R. E. Kesting. *Synthetic Polymer Membranes. A Structural Perspective*. 2<sup>nd</sup> ed. New York: Wiley, 1985.
51. S.-P. S. Yen, S. R. Narayanan, G. Halpert, E. Graham, and A. Yavrouian. Polymer material for electrolytic membranes in fuel cells. US Patent 5 795 496, assigned to California Institute of Technology (Pasadena, CA), 18 August 1998.
52. M. F. Sonnenschein. "Hollow fiber microfiltration membranes from poly(ether ether ketone) (PEEK)." *Journal of Applied Polymer Science*: vol. 72, no. 2, 1999, pp. 175–181.
53. Y. Yuan. Porous poly(aryl ether ketone) membranes, processes for their preparation and use thereof. US Patent 6 887 408, assigned to PoroGen LLC (Wilmington, MA), 3 May 2005.
54. C. Zhao, X. Li, Z. Wang, Z. Dou, S. Zhong, and H. Na. "Synthesis of the block sulfonated poly(ether ether ketone)s (S-PEEKs) materials for proton exchange membrane." *Journal of Membrane Science*: vol. 280, nos. 1-2, September 2006, pp. 643–650.
55. J. C. Jansen, M. G. Buonomenna, A. Figoli, and E. Drioli. "Ultra-thin asymmetric gas separation membranes of modified PEEK prepared by the dry-wet phase inversion technique." *Desalination*: vol. 193, nos. 1-3, May 2006, pp. 58–65.
56. M. Macchione, J. C. Jansen, and E. Drioli. "The dry phase inversion technique as a tool to produce highly efficient asymmetric gas separation membranes of modified PEEK. Influence of temperature and air circulation." *Desalination*: vol. 192, nos. 1-3, May 2006, pp. 132–141.
57. S. Cardea, A. Gugliuzza, E. Schiavo Rappo, M. Aceto, E. Drioli, and E. Reverchon. "Generation of PEEK-WC membranes by supercritical fluids." *Desalination*: vol. 200, nos. 1-3, November 2006, pp. 58–60.
58. E. Drioli, A. Regina, M. Casciola, A. Oliveti, F. Trotta, and T. Massari. "Sulfonated PEEK-WC membranes for possible fuel cell applications." *Journal of Membrane Science*: vol. 228, no. 2, January 2004, pp. 139–148.
59. A. Regina, E. Fontananova, E. Drioli, M. Casciola, M. Sganappa, and F. Trotta. "Preparation and characterization of sulfonated PEEK-WC membranes for fuel cell applications: A comparison between polymeric and composite membranes." *Journal of Power Sources*: vol. 160, no. 1, 2006, pp. 139–147.
60. L. Paturzo, A. Basile, A. Iulianelli, J. C. Jansen, I. Gatto, and E. Passalacqua. "High temperature proton exchange membrane fuel cell using a sulfonated membrane obtained via H<sub>2</sub>SO<sub>4</sub> treatment of PEEK-WC." *Catalysis Today*: vol. 104, nos. 2-4, June 2005, pp. 213–218.

61. A. Basile, L. Paturzo, A. Iulianelli, I. Gatto, and E. Passalacqua. "Sulfonated PEEK-WC membranes for proton-exchange membrane fuel cell: Effect of the increasing level of sulfonation on electrochemical performances." *Journal of Membrane Science*: vol. 281, nos. 1-2, September 2006, pp. 377–385.
62. E. Fontananova, A. Regina, E. Drioli, and F. Trotta. "Improving of the performances of sulfonated PEEK-WC membranes by introducing heteropolyacids in the polymeric matrix." *Desalination*: vol. 200, nos. 1-3, November 2006, pp. 658–659.
63. J. Shan, G. Vaivars, H. Z. Luo, R. Mohamed, and V. Linkov. "Sulfonated polyether ether ketone (PEEK-WC)/phosphotungstic acid composite: Preparation and characterization of the fuel cell membranes." *Pure and Applied Chemistry*: vol. 78, no. 9, September 2006, pp. 1781–1791.
64. L. De Bartolo, S. Morelli, M. C. Gallo, C. Campana, G. Statti, M. Rende, S. Salerno, and E. Drioli. "Effect of isoliquiritigenin on viability and differentiated functions of human hepatocytes maintained on PEEK-WC-polyurethane membranes." *Biomaterials*: vol. 26, no. 33, November 2005, pp. 6625–6634.
65. G. Zhang, H. Liao, H. Yu, S. Costil, S. G. Mhaisalkar, J.-M. Bordes, and C. Coddet. "Deposition of PEEK coatings using a combined flame spraying-laser remelting process." *Surface and Coatings Technology*: vol. 201, nos. 1-2, September 2006, pp. 243–249.
66. G. Zhang, S. Leparoux, H. Liao, and C. Coddet. "Microwave sintering of poly-ether-ether-ketone (PEEK) based coatings deposited on metallic substrate." *Scripta Materialia*: vol. 55, no. 7, October 2006, pp. 621–624.
67. IDES Integrated Design Engineering Systems. The Plastics Web®. IDES Inc. 209 Grand Avenue Laramie, WY 82070 USA [electronic] <<http://www.ides.com/prospector/>>, 2006.

## بوليميرات (أريلين إيثر سلفون)

لقد عُرِفَت بوليميرات بولي (أريلين إيثر سلفون) أو اختصاراً (PAES) منذ السبعينات من القرن الماضي. إنها بوليميرات خطية قاسية، تمتلك عدداً من الميزات الجذابة، مثل مقاومة ممتازة لدرجات الحرارة العالية، وخواص كهربائية جيدة، واستقراراً جيداً إزاء التحلل بالماء (الحملة). ولقد استُعرض الموضوع سابقاً في الأدبيات<sup>1,2</sup>.

في هذا النص نحن نفضل تعبير "أريلين إيثر" على "أريل إيثر"، بمعنى أن زمرة الأريل متوضعة في السلسلة الرئيسية للبوليمير؛ تذكر معنى تعبير "ميثيلين" على سبيل المثال. هناك تنوعات من هذا النمط من البوليميرات مثل بوليميرات بولي (إيثر كيتون سلفون) أو بوليميرات بولي (إيثر كيتون سلفون). أساساً، يمكن فهم بوليمير من النمط بولي (إيثر كيتون سلفون) وكأنه بوليمير مشترك يحمل معاً كسارة من بولي (إيثر كيتون) وكسارة بولي (إيثر كيتون)<sup>(\*)</sup> في سلسلته الرئيسية. تمكن دراسة هذا النوع من البوليميرات إمّا في بحث بولي (إيثر كيتون) أو في هذا البحث، وما هي إلا مسألة ذوق أن نختار شمله في هذا البحث. يضمّ الجدول (1-7) تنوعات أخرى أيضاً.

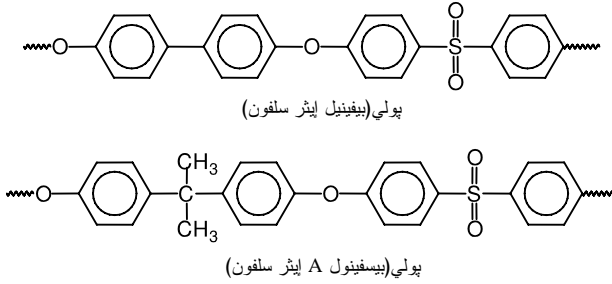
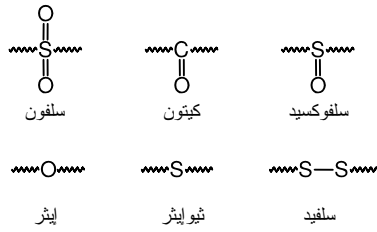
التسميات ليست وحيدة، في بعض الحالات يُطلق على بوليميرات PAES اسم راتنجات بولي (سلفون). وعند جمّع الأدبيات حول هذا البحث وجدنا ما يزيد على مئة اختصار يشير كلٌّ منها إلى بوليمير يحوي زمر السلفون. ولقد جمّعنا بعضها في الجدول (1-7). في الكيمياء العضوية، ثيوإيثر هو مرادفٌ للسلفيد (سلفيد). الثيوإيثر أو السلفيد هو مركّب يحوي الرابطة R-S-R، وهذا على نقيض التسميات في كيمياء البوليميرات<sup>3</sup>. البولي سلفيد هو بوليمير يحتوي على الزمرة -S-S- في سلسلته الرئيسية. أمّا البولي (سلفيد) مع "سلفيد" بين قوسين مثل البولي (سلفيد الفينيلين) الذي يُسمى أيضاً بولي (ثيو-1،4-فينيلين) فهو يحتوي على زمرة كبريت واحدة.

(\*) بولي (سلفون) عوضاً عن بولي (إيثر كيتون) (المترجم).

الجدول (1-7): السلفون العطري والبوليميرات المتعلقة به

الاختصار	البوليمير
PSF	پولي (سلفون)
PES	پولي (إيثر سلفون)
PES	پولي (فينيلين إيثر سلفون)
PASS	پولي (أريلين سلفيد سلفون)
PATKKS	پولي (أريلين ثيوإيثر كيتون كيتون سلفون)
PEBES	پولي (أريلين إيثر بيفينيل إيثر سلفون)
PEEKs	پولي (إيثر إيثر كيتون سلفون)
PEES	پولي (أريلين إيثر إيثر سلفون)
PESEKK	پولي (أريلين إيثر سلفون إيثر كيتون كيتون)
PHES	پولي (هيدروكسي إيثر سلفون)
PPES	پولي (فتالازينون إيثر سلفون)
PPESK	پولي (فتالازينون إيثر سلفون كيتون)
PPS	پولي (فينيلين سلفيد)
PPSE	پولي (فينيلين سلفيد إيثر)
PPSF <sup>4</sup>	پولي (بيفينيل إيثر سلفون)
PPSS	پولي (فينيلين سلفيد سلفون)
PSEK	پولي (فينيلين سلفون إيثر كيتون)
PTEK	پولي (فينيلين ثيوإيثر إيثر كيتون)
PTK	پولي (أريلين ثيوإيثر كيتون)
SPAEEKS	پولي (أريلين إيثر كيتون كيتون سلفون) المسلفن
SPAES	پولي (أريلين إيثر سلفون) المسلفن
SPATKKS	پولي (أريلين ثيوإيثر كيتون كيتون سلفون) المسلفن
SPEEKs	پولي (إيثر إيثر كيتون سلفون) المسلفن
SPEES	پولي (إيثر إيثر سلفون) المسلفن
SPES	پولي (إيثر سلفون) المسلفن
SPSS	پولي (سلفيد سلفون) المسلفن

تُستعمل بوليميرات البولي(سلفيد) موادّ لاصقة، وطلاءات، ومُحكّيات إغلاق، لأنّه من السهل تشديكها، حتى في درجة حرارة الغرفة. يبيّن الشكل (1-7) الزمر الوظيفيّة وكتل البناء لبولي(إيثر سلفون) (PES) ولمركّبات متعلّقة به.



الشكل (1-7): الزمر الوظيفية وكتل بناء أنماط من پولي (إيثر سلفون)

## 1.7. المونوميرات

يبين الجدول (2-7) المونوميرات في حالة بوليميرات PES، أكثرها شيوعاً هي 4,4'-ثنائي كلورو ثنائي فينيل سلفون بصفته سلفوناً متحداً مع 4,4'-بيفينول (BP) أو بيس فينول A بصفته مكّون هيدروكسي.

الجدول (2-7): المونوميرات في حالة PES

المراجع	تركيبية المونومير
7,6	4,4'-ثنائي كلورو ثنائي فينيل سلفون مع بيفينول
8	4,4'-ثنائي كلورو ثنائي فينيل سلفون مع ملح بيس فينول A ثنائي الصوديوم
6	4,4'-ثنائي كلورو ثنائي فينيل سلفون مع 4,4'-ثنائي هيدروكسي ثنائي فينيل سلفون
9	4-فلورو بنزين سلفينات المحفز بـ 4,4'-ثنائي فلورو ثنائي فينيل سلفون
10	4-فلورو 4'-هيدروكسي ثنائي فينيل سلفون مع البادئ (فلورو فينيل)-(ثلاثي فلورو فينيل) سلفون
11	4,4'-ثنائي فلورو ثنائي فينيل سلفون مع 4-ترت-بوتيل كاتيكول المُسَيَّل
12	حمض 5-[4-فلورو فينيل] سلفونيل [2-فلورو بنزويك و بيس-(4-هيدروكسي فينيل)-سلفون

### 1.1.7. 4،4'-بيفينول

يمكن تحضير BP كما يلي :

1. اندماج قلوي لحمض ثنائي فينيل ثنائي السلفوني،
2. أو حمض ثنائي برومو ثنائي فينيل،
3. أو الديمراة المؤكسدة لـ 6،2-ثنائي-ترت-بوتيل فينول إلى 3،3'،5،5'-رباعي-ترت-بوتيل بيفينول (TBBPL) يلي ذلك إزالة للبوتيل.

هناك حاجة لشروط تفاعل قاسية في الطريقتين الأولى والثانية. تنشأ المشاكل من الحاجة إلى فصل الكميات الضخمة من الأملاح اللاعضوية المستعملة. لذلك فإنّ الديمراة المؤكسدة لـ 6،2-ثنائي-ترت-بوتيل فينول هي الطريقة المفضلة للاستعمال في تحضير BP على المستوى الصناعي.

إنّ معدّلات إزالة البوتيل لزمر البوتيل الأربعة في TBBPL ليست متساوية، والمعدل ينخفض مع انخفاض عدد زمر البوتيل. لذلك فإنّ عملية إزالة البوتيل من TBBPL باستعمال سلسلة من المفاعلات المتعاقبة يمكن أن تنتج BP بمرودد ونقاوة عاليين وباستمرار على المستوى الصناعي. يُستعمل مُحفّزٌ حمضي في عملية إزالة البوتيل من TBBPL مثل حمض p-تولوين سلفونيك بدرجة حرارة تفاعل تصل إلى 250°C<sup>13</sup>.

### 2.1.7. A بيسفينول

يُنْتَجُ بيسفينول A بتفاعل تكاثف لفائض من الفينول مع الأسيتون بوجود محفّز حمضي. تشتمل مركّبات الكبريت التي يمكن أن تُستعمل بصفقتها محفّزات مشتركة على مركّبات ميركابتان ألكيلية مثل ميثيل ميركابتان وإيثيل ميركابتان وحمض الثيوغليكول. ولقد جرى الكشف حديثاً عن مُحفّزٍ مكوّنٍ من راتنج ذي تبادل شاردي من النوع الحمضي، وقد عدّل جزئياً بمركّب أميني محتوٍ على الكبريت<sup>14</sup>. يُستعمل بيس فينول A في تنوّع واسع من الراتنجات، ومعظمها في إنتاج راتنجات الإبوكسي.

### 3.1.7. بيس - (4-هيدروكسي فينيل) -سلفون

يسمى بيس - (4-هيدروكسي فينيل) -سلفون أيضاً باسم 4،4'-ثنائي هيدروكسي ثنائي فينيل سلفون، أو 4،4'-بيسفينول S. يتمتع هذا المركب بأهمية تجارية كبيرة في تحضير PES. يمكن تحضيره من تفاعل الفينول مع حمض الكبريت بدون استعمال مذيب. تُعطي هذه الإجراءية منتجاً خاماً فيه 60-70 في المئة بيس - (4-هيدروكسي فينيل) -سلفون. إضافة إلى ذلك، يحتوي المنتج الخام على 20-30 في المئة من إيزومير (متماكب) 4،2-ثنائي هيدروكسي ثنائي فينيل سلفون وحوالي 10 في المئة من 6-هيدروكسي [3،1]-بيس - (4-هيدروكسي فينيل سلفونيل) بنزين.

يجب أن يُبذل مجهود كبير لعزل بيس - (4-هيدروكسي فينيل) -سلفون المرغوب بنقاوة عالية من المزيج. يمكن تحسين مردود التفاعل وانتقائيته باستعمال مذيب. يمكن تبسيط عملية التنقية عندما يجرى توضع بيس - (4-هيدروكسي فينيل) -سلفون المتكوّن توضعاً انتقائياً على سطح تنوية، أي سطحٍ فائق البرودة، وذلك أثناء التفاعل أو بعده، فيُحدَف بذلك من وسط التفاعل<sup>15</sup>.

المذيبات المناسبة هي إما الفائض من الفينول أو مذيب عطري خامل. تُفضّل المذيبات التي يكون فيها الإيزومير 4،2-ثنائي هيدروكسي ثنائي فينيل سلفون أكثر انحلالاً من بيس - (4-هيدروكسي فينيل) -سلفون، مثل كلوروبنزين، وثنائي كلوروبنزين وثلاثي كلوروبنزين.

في سيرورة نصف مستمرة، يجري في المرحلة الأولى تفاعل الفينول بشكل واسع مع حمض الكبريت ليعطي حمض الفينول سلفونيك، ثم يُزال أي ماء ناتج من التفاعل بالتقطير. بعدئذ يُفاعل حمض الفينول سلفونيك مع الفينول ليعطي بيس - (4-هيدروكسي فينيل) -سلفون و يُزال الماء الناتج من التفاعل مُجدداً بالتقطير<sup>16</sup>.

### 4.1.7. بيس - (4-كلورو فينيل) -سلفون

يمثل بيس - (4-كلوروفينيل) -سلفون مركباً وسطياً يُستعمل أساساً في تحضير بوليميرات بولي (سلفون) العطرية، ولاصطناع بيس - (أمينو فينيل) -سلفون. نحتاج إلى هذا المركب في معالجة الجذام، وفي إنضاج راتنجات الإيبوكسي<sup>17</sup>.



أكثر الطرائق المعروفة لتحضير بيس-(4-كلورو فينيل)-سلفون هو تفاعل فريدل-كرافتس لمركّب 4-كلوروبنزين سلفونيل كلوريد مع كلوروبنزين، المُحفّز المستعمل هو مثلاً كلوريد الحديد(III). يُجرى التفاعل في مذيب كلوروبنزين عند درجة حرارة 140°C.

لكن يعمل كلوريد الحديد(III) أيضاً بصفته عامل كلورة للكلوروبنزين في درجة الحرارة هذه. لذلك، تتكوّن كميات كبيرة من ثنائي كلوروبنزين بصفقتها نواتج ثانوية. يمكن لثنائي كلوروبنزين أن يتفاعل مع كلوروبنزين سلفونيل كلوريد ليعطي مركّبات سلفونية غير مرغوبة.

عند إجراء التفاعل بمرحلة واحدة بدءاً من كلوروبنزين دون عزل كلوروبنزين سلفونيل كلوريد، ينبغي الحذر للتوثق أنّ حمض السلفونيك، وكلوريد الثيونيل، وكلوريدات الكبريت بصفقتها شوائب في كلوريد الثيونيل لم تعد موجودة في المزيج المتفاعل، وذلك لأنّ حمض السلفونيك الحرّ يلغي نشاط المُحفّز، ويؤدي كلوريد الثيونيل ومثله كلوريدات الكبريت إلى نواتج جانبية غير مرغوبة. وعلاوة على ذلك هناك صعوبة أخرى تتمثّل في الحاجة لمركّب N,N-ثنائي ميثيل فورم أميد لتحقيق تحويل كامل لحمض كلوروبنزين سلفونيك مع كلوريد الثيونيل إلى كلوريد السلفونيل الموافق. فيتكون المركّب المُسرطن N,N-ثنائي ميثيل كارباميل كلوريد بصفته ناتجاً ثانوياً<sup>17</sup>.

يمثّل تفاعل كلوروبنزين مع حمض كلوروبنزين سلفونيك طريقة أخرى لاصطناع بيس-(4-كلوروفينيل)-سلفون. حيث نحصل على بيس-(4-كلوروفينيل)-سلفون بمرود جيد للتفاعل الذي يجري عند درجات حرارة 220-260 درجة مئوية وتحت ضغط قدره 1.7 bar<sup>18</sup>.

إضافة إلى ما سبق، يمكن أيضاً تحضير بيس-(4-كلوروفينيل)-سلفون بتسخين مزيج من الكلوروبنزين وحمض الكبريت حتى 200-250 درجة مئوية<sup>17</sup>. ويُزال الماء المتكوّن أثناء التفاعل باستعمال التقطير الأزيوتروبي. تجري السيرورة تحت ضغط 4-5 bar. إنّ إضافة كميات مُحفّزة من حمض البوريك أو حمض ثلاثي فلورو ميثان سلفونيك تؤدي إلى خفض زمن التفاعل خفضاً كبيراً.

## 2.7. البلمرة والتصنيع

لقد استعرض كيرشلدورف (Kircheldorf) تقنيات الاصطناع والتعديل المتعلقة ببوليميرات PES<sup>19</sup>. يمكن الحصول على بوليميرات بولي(إيثرسلفون) إما بطريقة البلمرة بالتكاثف بالنمو المرحلي التقليديّة، أو بطريقة البلمرة بالتكاثف بنمو السلسلة، وهي حقيقةً، بلمرة حيّة بالتكاثف<sup>20</sup>.

### 1.2.7. البلمرة بالتكاثف بالنمو المرحلي

هناك مجال واسع من بوليميرات PES التي يمكن تكوينها بتفاعل تكاثف عطري نيوكليوفيلي لمركّب عطري ثنائي الهيدروكسي وبيس-(هالوفينيل)-سلفون<sup>21</sup>. يمكن إجراء التكاثف بطرائق متنوّعة. الطريقة الأكثر ملاءمة هي تحضير مركّب الملح العطري ثنائي الهيدروكسي في المكان، باستعمال مذيب ذي نقطة غليان مرتفعة يُكوّن مركّباً أزيوتروبياً مع الماء، ويتيح من ثمّ التفاعل مع بيس-(هالوفينيل)-سلفون. بهذه الطريقة يمكن تفادي المشاكل المتعلقة بالماء المتبقّي.

يمكن توقّع حدود للوزن الجزيئي للبوليمير عندما يكون المركّب العطري ثنائي الهيدروكسي، أو مشتقّه ذو المعدن القلوي محتوياً على زمر عالية السحب للإلكترونات. يمكن أن يؤدي ذلك إلى تكوين بوليميرات منخفضة الوزن الجزيئي أو سرعات تفاعل منخفضة. لذلك ينبغي أن يكون المركّب العطري ثنائي الهيدروكسي فينولاً ضعيف الحمضية مثل 2،2-بيس-(4-هيدروكسي فينيل)-بروبان، أو 1،1-بيس-(4-هيدروكسي فينيل)-2-فينيل إيثان، أو بيس-(4-هيدروكسي فينيل)-ميثان.

في حالة بيس-(هالوفينيل)-سلفون، تُنشط زمرة السلفون الهالوجينات إزاء تفاعل التكاثف. لهذا السبب يُفضّل ألاّ تحتوي الحلقات العطرية زمراً تقدّم الإلكترونات على الحلقة نفسها حيث يرتبط الهالوجين. نجد في الأدبيات أمثلة متنوّعة على كيفية تحضير بوليميرات PES<sup>21</sup>.

تمتلك بوليميرات بولي(بيفينيل إيثرسلفون) ذات التشبّثية البوليميرية المحسّنة، والمستوى الأقل من المركّبات الأوليغوميرية ذات الأوزان الجزيئية المنخفضة غير المرغوبة،

وخواص تدفّق الصهارة المُحسّنة، زمر 4،4'-بيفينيلين، و p-فينيلين، و 4،4'-ثنائي فينيل سلفون و 2،2'-ثنائي فينيل بروبان في سلسلتها الرئيسية<sup>7</sup>.

يمكن تحضير بوليميرات بولي (بيفينيل إيثر سلفون) باستعمال الكربونات أو مركّبات هيدروكسيد معدن قلوي بصفتها مُنشّطات. في طريقة الكربونات، يُحضّر البولي (سلفون) بتفاعل كمّيّات متساوية عدد المولات من مركّبات عطريّة ثنائيّة الهيدروكسي ومركّبات ثنائي هالو ثنائي أريل سلفون. المركّبات العطريّة الثنائيّة الهيدروكسي هي BP أو 4،4'-ثنائي هيدروكسي ثنائي فينيل سلفون أو هيدروكينون أوبيس فينول A. أمّا مركّبات ثنائي هالو ثنائي أريل سلفون فهي 4،4'-ثنائي كلورو ثنائي فينيل سلفون أو 4،4'-ثنائي فلورو ثنائي فينيل سلفون. يُضاف من 0.5 إلى 1.0 مول من كربونات معدن قلوي لكل مول من زمرة الهيدروكسيل. يجري التكاثف على أنه تكاثف آزوتروبي عند درجة حرارة 210–300°C لمدة 15 ساعة.

في تنويع على هذه السيرورة، اقترح مُبكراً ألا يُضاف 4،4'-ثنائي كلورو ثنائي فينيل سلفون بعدد المولات نفسه، بل بزيادة ضئيلة. وعندما يكتمل التفاعل بشكل أساسي يمكن إضافة 4،4'-ثنائي فلورو ثنائي فينيل سلفون.

يعتمد تأثير 4،4'-ثنائي فلورو ثنائي فينيل سلفون على النسبة المُضافة. فهو يمنع أي بلمرة لاحقة بالتكاثف، عند نسبة موليّة أقل من 0.5 في المئة بالنسبة إلى بيس-(كلورو أريل)-سلفون، وذلك بالتفاعل مع ملح هيدروكسي على سلسلة البوليمير. وعند نسبة موليّة من 0.5 في المئة إلى 5 في المئة يحدث استقرار أو انخفاض في الوزن الجزيئي للبوليمير. وإذا كان الوزن الجزيئي للبوليمير أعلى من المرغوب، فإن إضافة نسبة مُناسبة من 4،4'-ثنائي فلورو ثنائي فينيل سلفون يمكن أن تُخفّضه إلى القيمة المرغوبة<sup>22</sup>.

مع أن طريقة الكربونات لتحضير البوليميرات بسيطة ومُناسبة، إلّا أنه في بعض الحالات نحصل على منتجات ذات وزن جزيئي مرتفع بطريقة هيدروكسيد معدن قلوي. في هذه الطريقة، تجري مُفاعلة ملح معدن قلوي لفينول ثنائي الهيدريك<sup>(\*)</sup> مع مركّب ثنائي هالو بنزين-ويد.

(\*) فينول ثنائي الهيدريك هو فينول بوظيفتي هيدروكسيل (المترجم).

يمكن تصنيع بوليميرات بولي (بيفينيل إيثر سلفون) ضعيفة اللون، باستعمال كربونات البوتاسيوم اللامائية بقياس وسطي للجسيمات حوالى  $100\mu\text{m}$ <sup>23</sup>. تتمتع بوليميرات بولي (بيفينيل إيثر سلفون) الضعيفة اللون بمظهر رفيع. إنها مرغوبة بوجه خاص في التطبيقات حيث لا يكون اللون مقبولاً، مثل العدسات، والمرشحات، وغيرهما من السلع البصريّة، وللأغطية الشفافة أو الحاويات.

يمكن للراتجات أن تُصبغ أو تلون ببسر لتحقيق اللون المرغوب. يمتلك نوع من بوليمير PAES يحتوي على كسرة البيفينيلين درجة تحول زجاجي مرتفعة حوالى  $260^\circ\text{C}$  وهي أعلى بمقدار  $35^\circ\text{C}$  من تلك الموافقة لبوليميرات PES<sup>24</sup>.

يمكن أيضاً تحضير بوليميرات مشتركة عشوائية من PAES المُسلفن باستعمال بلمرة تكاثف بالاستبدال النيوكليوفيلي العطري المباشر بواسطة كربونات البوتاسيوم لمركب 3،3'-ثنائي سلفونات-4،4'-ثنائي كلورو ثنائي فينيل سلفون ثنائي الصوديوم، و 4،4'-ثنائي كلورو ثنائي فينيل سلفون، و BP<sup>25</sup>. يتقدّم تفاعل التكاثف هذا كمياً حتى وزن جزيئي مرتفع في N-ميثيل-2-بيروليدون (NMP) عند درجة حرارة  $190^\circ\text{C}$ . إضافة إلى ما سبق يمكن استعمال مونومير وحيد الوظيفة هو 4-ترت-بوتيل فينول بصفته مركب تغطية نهاية. تتمتع زمرة الفينول بتفاعلية مماثلة للبيس فينول<sup>26</sup>. ويمكن بهذه الطريقة التحكم بالوزن الجزيئي.

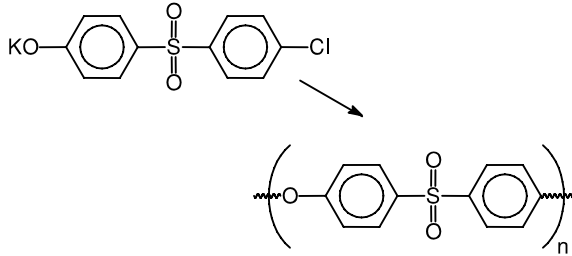
### 2.2.7. البلمرة بالتكاثف بنمو السلسلة

في البلمرة بالتكاثف بنمو السلسلة، يجري تنشيط زمرة البوليمير النهائية. يغيّر هذا التنشيط تفاعلية البدائل المرتبطة بالحلقة العطرية، وهذا ما يفسح المجال لتفاعل البلمرة بالتكاثف بنمو السلسلة بالحدوث<sup>20</sup>.

يتيح هذا النوع من البلمرة بالتكاثف اصطناع بوليميرات ذات تشبّثية بوليميرية منخفضة. ولكنّ هذا يتطلب حذفاً فعلياً لآليات البلمرة الأخرى مثل البلمرة بالتكاثف بالنمو المرحلي، وكذلك للتفاعلات الجانبية.

ربما كان أول مؤشر على البلمرة بنمو السلسلة قد لوحظ عند اصطناع بولي (سلفيد الفينيلين) باستعمال أملاح p-هالوثيوفينول<sup>27</sup>. ولقد لوحظ في حالة بعض المونوميرات أن الزمر النهائية في السلسلة البوليميرية تكون أكثر تفاعلية من المونوميرات. وفي وقت

لاحق اكتشفت التفاعلية الزائدة للزمر النهائية في البوليمير عند البلمرة بالتكاثف لكلورو فينيل سلفونيل فينوكسيد<sup>28</sup>. يبين الشكل (2-7) مخطّط التفاعل، تفوق سرعة تفاعل زمرة البوليمير النهائية سرعة تفاعل المونومير بحوالى عشرين مرّة.

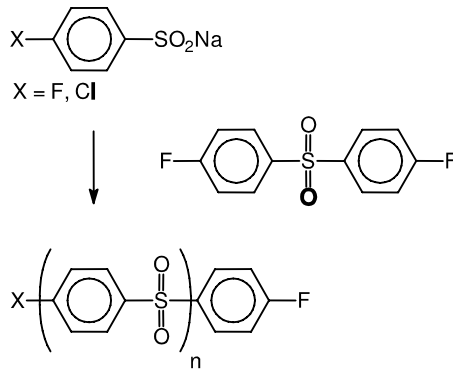


الشكل (2-7): تكاثف كلورو فينيل سلفونيل فينوكسيد

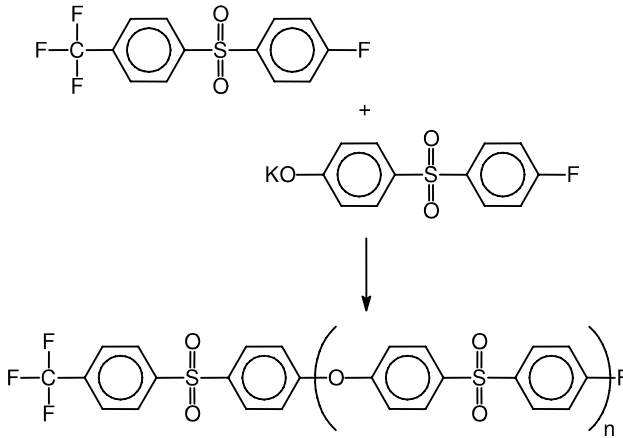
ولقد لوحظت أساساً الظاهرة نفسها عند البلمرة بالتكاثف لـ 4-كلورو بنزين سلفينات أو 4-فلورو بنزين سلفينات. تزيد إضافة كمية صغيرة من 4،4'-ثنائي فلورو ثنائي فينيل سلفون مردود البوليمير زيادة كبيرة. ولقد ذُكرَ صراحةً أن 4،4'-ثنائي فلورو ثنائي فينيل سلفون يؤدي دورَ بادئٍ لعملية البلمرة بالتكاثف بنمو السلسلة<sup>9</sup>. يبين الشكل (3-7) مخطّط التفاعل.

يمكن اصطناع بوليمير بولي(إيثر سلفون) جيّد التعريف من 4-فلورو-4'-هيدروكسي ثنائي فينيل سلفون مع (فلوروفينيل) (ثلاثي فلوروفينيل) سلفون بصفته بادئاً، كما هو مبين في الشكل (4-7). يجري التكاثف مع 18-تاج-6 إيثر في السلفولان عند 120°C. ولكن عند إجراء البلمرة بتغذية تكون فيها نسبة المونومير إلى البادئ أعلى، يحدث تفاعل بلمرة بالتكاثف بالنمو المرحلي وبنمو السلسلة في آن معاً<sup>10</sup>.

ينتج من البلمرة المشتركة لحمض 5-[4-فلوروفينيل(سلفونيل)-2-فلوروبنزويك مع بيس-(4-هيدروكسي فينيل)-سلفون بوليمير PES موظف بالكربوكسيل. ولكن، أثناء سيرورة البلمرة بالتكاثف تحدث عملية إزالة جزئية للكربوكسيل. أما عملية البلمرة المشتركة لحمض 5،2-ثنائي هيدروكسي بنزويك مع بيس-(4-فلورو فينيل)-سلفون فينتج منها بوليمير PES مع إزالة كمية للكربوكسيل<sup>12</sup>.



الشكل (7-3): تكاتف 4- هالو بنزين سلفينات المحفز بـ 4,4'-ثنائي فلورو ثنائي فينيل سلفون



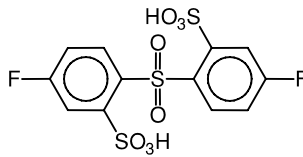
الشكل (7-4): تكاتف 4-فلورو-4'-هيدروكسي ثنائي فينيل سلفون مع (فلوروفينيل) (ثلاثي فلوروفينيل) سلفون بصفته بادناً

### 3.2.7. بوليميرات مشتركة من مونوميرات وظيفية الزمر الطرفية (تلكيلية)

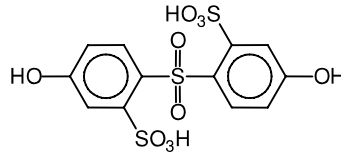
المركبات وظيفية الزمر الطرفية (Telechelic) (تلكيلية) هي أوليغوميرات أو بوليميرات منخفضة الوزن الجزيئي تحمل زمراً نهائيةً وحيدة الوظيفة أو زمراً نهائيةً تفاعليةً، عند طرفي السلسلة. لقد جرى اصطناع بوليميرات سلفون مشتركة تفاعليةً من PES المسلفن ذي زمر هيدروكسي ثنائية الطرفية و PES ذي زمر فلورو ثنائية الطرفية.

يُستعمل ملح 3،3'-سلفونيل بيس-(حمض 6-هيدروكسي بنزين سلفونيك) ثنائي الصوديوم بصفته مونوميراً للمركّب المسلفن ذي الزمر الطرفية الهيدروكسيلية<sup>29</sup>. يُصطنع هذا المركّب بسلفنة بيس-(4-هيدروكسي فينيل)-سلفون بحمض الكبريت المركز يلي ذلك تعديل.

وبالمثل يُستعمل ملح 3،3'-سلفونيل بيس-(حمض 6-فلورو بنزين سلفونيك) ثنائي الصوديوم بصفته مونوميراً للمركّب المسلفن ذي الزمر الطرفية الفلورية، ونحصل عليه بالسلفنة بحمض الكبريت المركز ثمّ التعديل. هذه المركّبات مبيّنة في الشكل (5-7).



3،3'-سلفونيل بيس-(6-فلورو بنزين حمض السلفونيك )



3،3'-سلفونيل بيس-(6-هيدروكسي بنزين حمض سلفونيك )

الشكل (5-7): مونومير مسلفن ثنائي الزمر الطرفية بوظيفة هيدروكسي، ومونومير مسلفن

ثنائي الزمر الطرفية بوظيفة فلورو<sup>29</sup>

يمكن توسيع سلسلة هذه المونوميرات بواسطة بيس-(4-فلورو فينيل)-سلفون أو بيس-(4-هيدروكسي فينيل)-سلفون بالترتيب، في مرحلة تكاثف لاحقة. وأخيراً، في مرحلة تكاثف أخيرة يجري الحصول على بوليميرات مشتركة تعاقبية تحتوي على كتل من مركّبات بولي إيثر سلفون عطرية غير مُسلفنة، وكتل من مركّبات بولي إيثر سلفون عطرية مُسلفنة على الحلقات العطرية. تُوفّر هذه البوليميرات التعاقبية مركّبات تتمتع في آن واحد بدرجة سلفنة قابلة للضبط، وبطول محدّد للكتل المُسلفنة وغير المُسلفنة. تُفيد هذه المواد في تحضير أغشية اصطناعية.

## 4.2.7. بوليميرات ذات الحلقات الضخمة

لقد جرى الحصول على بوليميرات ذات حلقات ضخمة إلى حدٍّ ما عند تحضير بوليميرات بولي (إيثر سلفون) باللمرة بالتكاثف لمركبي 4-تريت-بوتيل كاتيكول المُسَيَّل و 4،4'-ثنائي فلورو ثنائي فينيل سلفون<sup>11</sup>. لقد اكتشفت البوليميرات الحلقية باستعمال مطيافية الكتلة لقياس زمن الطيران للشوارد المنتزعة ليزرياً من الحاضنة (MALDI-TOF).

تحت شروط تفاعل بلمرة بالتكاثف مُتَحَكِّمٌ به حركياً، تتنافس تفاعلات التحلُّق مع مراحل الانتشار. يتعلَّق التحلُّق بمرونة السلاسل البوليميرية وبتكريز الأنواع الفعّالة. تُبدي المراتج من PES مع مثيلاته من الأوليغوميرات ذات الحلقات الضخمة لزوجة صهارة منخفضة جداً، مقارنةً ببوليمير PES الأصلي الموافق.

يمكن لهذا أن يسهل إنتاج هذه المواد وتصنيعها. يمكن للحلقات الضخمة أن تخضع لبلمرة بفتح الحلقة في المكان. تتحكَّم الأنتروبيّة بفتح الحلقة<sup>30</sup>.

## 5.2.7. بلمرة فريدل - كرافتس

في الحقيقة إنّ بلمرة فريدل-كرافتس هي بلمرة بالتكاثف، ولكن استعمال تعبير بلمرة أكثر شيوعاً. تشتهر بلمرة فريدل-كرافتس بسوء السمعة في توليد نواتج تفاعل عسيرة، تصعب إزالتها من وعاء التفاعل أو تنقيتها. علاوة على ذلك، فإنّها تعطي بوليميرات ذات أوزان جزيئية منخفضة أو استقرار حراريّ سيّئ، إذا لم يجرِ اختيار شروط التفاعل اختياراً مناسباً<sup>31</sup>.

في تفاعلات فريدل - كرافتس، يكون استبدال أورثو في البوليمير هو صاحب الحظ الأوفر في الحدوث إذا تمَّ إجراء التفاعل بدرجات حرارة مرتفعة ولفترة طويلة نسبياً. للتغلب على هذه المشاكل جرى اقتراح استعمال محفِّز من ثلاثي فلوريد البورون في بلاماء فلور الهيدروجين. وهناك إجراءات أخرى تعتمد استعمال كلوريد الليثيوم وكلوريد الألمنيوم في بلمرة كلوريد p-فينوكسي البنزويل بصفته المونومير الكيتوني وكلوريد p-فينوكسي بنزين السلفونيل بصفته مونومير السلفون<sup>31</sup>.



يمكن تحضير بوليميرات بولي (كيتون) وبولي (كيتون سلفون) بتفاعل أحماض ثنائية الوظيفة الكربوكسيلية مع مركبات عطرية بوجود حمض ثلاثي فلورو ميثان السلفوني وخماسي أو أكسيد الفوسفور لربط الماء.

تحدث البلمرة مع تكوّن الماء من حذف زمرة الهيدروكسيل من الحمض الكربوكسيلي، والهيدروجين من حلقة عطرية. بهذه الطريقة تصبح السلسلة البوليميرية مرتبطة معاً بين زمرة كربونيل وحلقة عطرية<sup>32</sup>. يجري التفاعل بدرجة أخفض قليلاً من درجة حرارة الغرفة عند  $16-20^{\circ}\text{C}$ .

غالباً ما يُشار إلى البلمرة الإلكترونية من هذا النوع باسم بلمرة فريدل-كرافتس. ونجد أمثلة عليها في البوليميرات التي يجري الحصول عليها من تغذية شبه متساوية عدد المولات من حمض تريفثاليك بصفته حمضاً ثنائياً الوظيفة الكربوكسيلية، و4-فينوكسي فينيل سلفون، أو 4-بيفينيل سلفون. إن استعمال 4،4'-ثنائي فينوكسي بنزوفينون يولّد بوليمير بولي (كيتون).

عندما يُستعاض عن الهيدروكينون بصفته مركّب هيدروكسي بـ 7،2-ثنائي هيدروكسي نفتالين، ترتفع درجة حرارة الانتقال الزجاجي، في حين تنخفض درجة حرارة الانصهار، ويقلّ الاستقرار الحراري مع زيادة كسرة 7،2-نفتالين<sup>33</sup>.

### 6.2.7. السلفنة

إنّ بوليميرات PES كارهة للماء. لذلك نجد من المرغوب فيه زيادة ألفتها للماء في التطبيقات المتعلقة بتقانات الأغشية. والسلفنة هي إحدى الطرائق الفعّالة لزيادة الألفة للماء. لقد استعرض كوشيرا (Kučera) وجانشار (Jančář) آليات سلفنة البوليميرات ذات الوزن الجزيئي المرتفع<sup>34</sup>. يتقدّم تفاعل السلفنة بسهولة بوجود زمر مثل  $\text{Cl}-$  و  $\text{NH}_2-$  و  $\text{OH}-$  و  $\text{SH}-$  وغيرها. في الحقيقة إنّ العامل النشط في تفاعل السلفنة هو الكاتيون  $\text{SO}_3^+$ . إنّ تفاعل سلفنة المركّبات العطرية تفاعل عكوس. ويمكن تصنيف عوامل السلفنة في ثلاث مجموعات، هي<sup>34</sup>:

1. عوامل الإلكترونية: حمض الكبريت، وحمض الكلورو سلفونيك، وحمض الفلورو سلفونيك.

2. عوامل نيوكليوفيلية : مركّبات السلفيت، وسلفيت الهيدروجين، وثاني أكسيد الكبريت، الذي يتفاعل مع المشتقات الهالوجينية والروابط الثنائية.
3. عوامل التفاعل الجذري : كلوريد السلفوريل، ومزائج ثاني أكسيد الكبريت والكلور.

إنّ سلفنة المونوميرات قبل التكاثر، أو السلفنة المباشرة للبوليمير تؤديان إلى مواد مُحبّبة للماء. تُستعمل هذه المواد في تقانات الأغشية. وخصوصاً في تصنيع خلايا الوقود.

عندما تجري سلفنة المونوميرات يمكن التحكم بدرجة سلفنة البوليمير عن طريق تغيير نسبة التغذية من المونومير غير المسلفن والمونومير المُسلفن. تزداد اللزوجة الجوهريّة للبوليميرات مع ازدياد درجة السلفنة<sup>35</sup>. يمكن إجراء سلفنة PES في الكلوروفورم أو في حمض الكلوروسلفونيك عند  $0^{\circ}\text{C}$ <sup>36</sup>. ويتمّ التفاعل بعد 15 دقيقة.

لسلفنة البوليميرات المشتركة التعاقبية من b-PAES-بولي (بوتادين) يُستعمل بنجاح سلفات الأسيتيل الذي يمكن تحضيره من حمض بلا ماء الخل وحمض الكبريت المركز<sup>37</sup>.

## 7.2.7. المزائج

يمكن تركيب مزائج PES غير قابلة للامتزاج ذات خواص مُحسّنة من بولي (بيفينيل إيثر سلفون) و بولي (4،1-فينيلين إيثر سلفون)<sup>38</sup>. تُظهر الخلائط الثلاثية للراتجات المشتمة على بوليمير من بولي (بيفينيل إيثر سلفون) وآخر من بولي (إيثر سلفون) وثالث من بولي (سلفون)، مميّزات مقاومة حرارية وبيئية جذابة جداً، وذلك بالإضافة إلى خواص ميكانيكية ممتازة.

يمكن تعقيم السلع المقولبة من هذه الخلائط الثلاثية بالبخار تكراراً بدون أن تتعرّض للتصدّع عند الإجهاد. كما إنّها لا تتأثّر بالإضافات المُحفّفة للتأكّل مثل المورفولين. وهي علاوة على ذلك تبدي مقاومة كيميائية جيّدة عند تماسّها مع المنظّفات الشائعة الاستعمال في المشافي<sup>4</sup>.

يمكن إنتاج بوليميرات بولي (سلفون) فائقة المتانة بمزج PES بمطاط أكريلات وبولي كربونات بصفته مُعدّلاً للصدم<sup>39</sup>. من هذا التركيب العالي المقاومة للصدم، نجد

أغشية وسلعاً مقبولة مفيدة في صناعة السيارات، وفي البضائع والأجهزة المنزلية المتينة، وفي التطبيقات الطبية والتمديدات الصحية حيث تكون مقاومة البيئات الحارة والرطوبة مهمة بوجه خاص، وفي معدّات الأمان والوقاية.

لا ينصهر قالبٌ مضغوطٌ على البارد لبوليمير PAES مع إضافة من بولي (سلفيد الفينيلين) حتّى عند درجات حرارة تزيد عن  $360^{\circ}\text{C}$ ، وذلك مع أنّ نقطة انصهار بولي (سلفيد الفينيلين) هي حوالي  $280-290^{\circ}\text{C}$ .

ولقد أُثبتَ أنّه بعد معالجة المزيج البوليميري فإنّ درجة الانتقال الزجاجي لـ PAES هي وحدها التي تُكتشف. وهذا يُشير إلى أنّ المزيج البوليميري غير المتجانس أصلاً يتحوّل بعد إجرائيّة المعالجة إلى كتلة بوليميريّة متجانسة<sup>40</sup>.

تُبدي الخلائط من بولي (بيفينيل إيثر سلفون) مع بولي (رباعي فلورو إيثيلين) (PTFE) وثاني أكسيد التيتانيوم بصفته مائلاً خصائص تبطيء اللهب. يمكن معالجتها ببثق الصهارة، وهي مفيدة في تطبيقات واسعة التنوّع، مثل قطع الأجزاء الداخليّة في الطائرات<sup>41</sup>.

### 8.2.7. أصناف من PES

في هذا المقطع نصف بعض الأصناف المتعلّقة ببولي (إيثر سلفون). تضمّ هذه الأصناف:

- بوليميرات بولي (أريلين ثيوإيثر كيتون)،
- بوليميرات بولي (أريلين ثيوإيثر سلفون)،
- بوليميرات بولي (أريلين سلفيد سلفون).

#### 1.8.2.7. بوليميرات بولي (أريلين ثيوإيثر كيتون)

إنّ بوليميرات بولي (أريلين ثيوإيثر كيتون) (PTK) هي بوليميرات عطريّة فائقة المقاومة للحرارة المرتفعة، فهي تجمع بين نقطة انصهار مرتفعة حوالي  $350^{\circ}\text{C}$  مع درجة حرارة تحوّل زجاجي مرتفعة حوالي  $135^{\circ}\text{C}$ . وهناك طلب قوي للتزوّد بهذه البوليميرات في مجالات التقانات الحديثة.

يمكن إنتاج بوليميرات PTK عن طريق جعل سلفيد معدن قلوي و 4،4-ثنائي هالو بنزوفينون يخضعان إلى تفاعل إزالة هلجنة وكبرتة في مذيب أميد عضوي<sup>42</sup>. ولكن بوليميرات PTK تعاني مشاكل عند معالجتها بالبتق، ثم الشد أو تشكيل الرقائق.

إنه صعب، من وجهة النظر التقنية، تشكيل هذه المواد أو تطبيق هذه المعالجات عليها. تُرجع هذه المشكلة إلى تكوّن متكوّرات<sup>(\*)</sup> خشنة في المنتج المكوّن بالبتق بسبب معدل التبلور المرتفع.

### 2.8.2.7. بوليميرات بولي (أريلين ثيوإيثر سلفون)

بعكس مواد PTK، تخفف إضافة زمر السلفون إلى البوليمير المشاكل. فعندما يُمزج 4،4-ثنائي هالو بنزوفينون بصفته مركباً عطرياً مُهلجناً مع 4،4-ثنائي هالو ثنائي فينيل سلفون، ثم يُفعلن مع سلفيد معدن قلوي، يتكوّن بوليمير مشترك عشوائي عطري من ثيوإيثر كيتون/ثيوإيثر سلفون ذو وزن جزيئي مرتفع<sup>43</sup>.

تُبدى البوليميرات المشتركة من ثيوإيثر كيتون/ثيوإيثر سلفون تبلوراً منخفضاً ونقطة انصهار مرتفعة، مع نقطة تحول زجاجي أعلى من بوليميرات PTK الموافقة. وعندما تحدّد نسبة 4،4-ثنائي هالو بنزوفينون إلى 4،4-ثنائي هالو ثنائي فينيل سلفون انتقائياً في مجال معين، يجري الحصول على بوليمير مشترك ذي معدل تبلور مخفّف نسبياً بهيئة حبيبات.

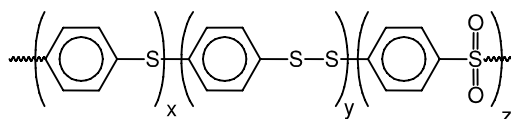
على سبيل المثال، يمكن تحضير مثل هذا البوليمير المشترك، بشحن محمّ بالمذيب NMP بصفته مذيب أميد عضوي، وسلفيد معدن قلوي، و 4،4-ثنائي كلورو بنزوفينون و 4،4-ثنائي كلورو ثنائي فينيل سلفون. ثم يُطهر المحمّ بالأزوت، ويفرغ من الغاز، وتجري عملية بلمرة بالتكاثف حتى 200°C<sup>43,45,46</sup>. لقد جرى توصيف المواد التي تم الحصول عليها توصيفاً واسعاً، ونجد النتائج مفصلة في الأدبيات<sup>43</sup>.

(\*) المتكوّرات هي أحد أشكال البلورات في البوليميرات (المترجم).

### 3.8.2.7. بوليميرات پولي (أريلين سلفيد سلفون)

في هذا المقطع نتعامل مع بوليميرات تحتوي على زمر -S-S-. تُبدي البوليميرات المشتركة، التي يمكن وصفها بوحدات متكررة موافقة للبنية المبينة في الشكل (6-7)، التصاقاً بينياً محسناً.

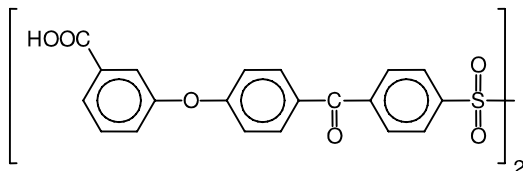
يُحضّر البوليمير المشترك بتفاعل الكبريت، و-p-ثنائي يودوبنزين، و-p,p'-ثنائي فينيل سلفون<sup>44</sup>. البوليمير الناتج هو مادة لامتبلورة ذات لزوجة مرتفعة ودرجة تحوّل زجاجي  $T_g$  حوالي 147°C.



الشكل (6-7): بوليميرات پولي (إيثرسلفون) مع كسارة -S-S-<sup>44</sup>

### 4.8.2.7. بوليميرات پولي (أميد) مع سلفون في السلسلة الرئيسيّة

لقد جرى وصف بوليميرات پولي (أميد) (PA) تحمل زمر سلفون في سلسلتها الرئيسيّة<sup>47</sup>. يُؤسّس هذه النوع من بوليميرات PA على أساس 4،4'-بيس-(3-كربوكسي فينوكسي)(p-بنزويل)-فينيل سلفون، انظر الشكل (7-7)، أو على مركبة حمض 4-كربوكسي الموافق<sup>48</sup>، ثمّ تعالج بثنائي أمين عطري مثل p-ثنائي أمينوبنزين. تستعمل البلمرة المباشرة بالتكاثف، لحمض ثنائي الوظيفة الكربوكسيلية مع مركبات ثنائي أمين عطريّة، ثلاثي فينيل فوسفيت وبيريدين. يزيد إدخال بنى من النمط ميتا انحلائية البوليميرات ويحسن إمكانية المعالجة. تُظهر بوليميرت PA الناتجة من m-ثنائي الحمض استقراراً حرارياً أعلى من بوليميرات PA ذات الروابط من النمط پارا.

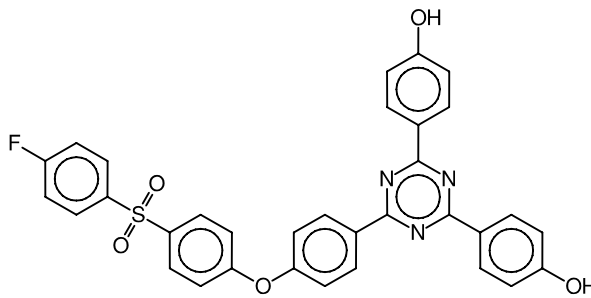


الشكل (7-7): 4،4'-بيس-(3-كربوكسي فينوكسي)(p-بنزويل)-فينيل سلفون

### 5.8.2.7. بوليميرات PES الفائقة التشعب

عموماً يجري الحصول على بوليميرات فائقة التشعب من بلمرة مونوميرات من النمط  $AB_2$ . لذلك يجب في المرحلة الأولى تصنيع PES الفائق التشعب. فمثلاً يمكن اصطناع 5،3-ثنائي فلورو-4-هيدروكسي ثنائي فينيل سلفون بتفاعل 5،3-ثنائي فلوروفينيل مغنزيوم بروميد مع 4-ميثوكسي فينيل سلفونيل كلوريد، يتبع ذلك إزالة حماية زمرة الفينول مع HBr في حمض الخل<sup>49</sup>.

يستمر التكوّن الفعلي للمادة الفائقة التشعب أثناء بلمرة 5،3-ثنائي فلورو-4-هيدروكسي ثنائي فينيل سلفون بوجود 5،4،3-ثلاثي فلوروفينيل سلفونيل بنزين، أو أوكسيد تريس (5،4،3- ثلاثي فلوروفينيل) فوسفين بصفته جزيئاً لبيئاً. تُساهم الأوليغوميرات الحلقية المتكوّنة أثناء عملية البلمرة هذه في الوصول إلى بوليمير منخفض الوزن الجزيئي يتراوح بين 3400 و8400 دالتون. ولقد جرى أيضاً وصف مونومير من النمط  $AB_2$  على أساس التريازين<sup>50</sup>. هذا المونومير مبيّن في الشكل (7-8). ولقد جرى تحضير بوليمير عطري فائق التشعب من بولي (إيثر سلفون) ذي زمر نهائية من كلوريد السلفونيل، وذلك بالبلمرة بالتكاثف لمركب 4،4'-m-فينيلين ثنائي (أوكسي)-بيس(-بنزين سلفونيل كلوريد). جرت البلمرة في النتروبنزين عند  $120^\circ\text{C}$  لمدة 3 ساعات بوجود كمية مُحفزة من  $\text{FeCl}_3$ <sup>51</sup>.



الشكل (8-7): 4،2-بيس - (4-هيدروكسي فينيل) - (4-4)-4-4-4-فلوروبنزين سلفونيل - (فينوكسي) - (فينيل) - (1،3،5-s-تريازين

## 9.2.7. التعديل

تُستعمل تقنيات التطعيم عندما ينبغي تغيير خواص السطح، كما هو الحال في تقانات الأغشية. ولكن، نرغب في بعض الحالات بتعديل مادة البناء نفسها، وذلك بالأسلوب نفسه الذي يفعله التطعيم في الطبقة السطحية. يمكن تعديل بولي (إيثرسلفون) بحله في NMP ثم إضافة حمض الأكرليك (AA) إلى المحلول. يُصب المحلول بين صفيحتين من الزجاج ويُشع بالأشعة فوق البنفسجية. تُرشح صفيحتا الزجاج الضوء فوق البنفسجي القصير الموجة، وتمنعان التحلل الكيميائي الضوئي لـ PES بتأثير الأشعة فوق البنفسجية المفرطة. يتحلل بوليمير PES نوعاً ما متيحاً بذلك بدء بلمرة حمض الأكرليك. وبهذه الطريقة يتكوّن بوليميركتلي التعاقب<sup>52</sup>.

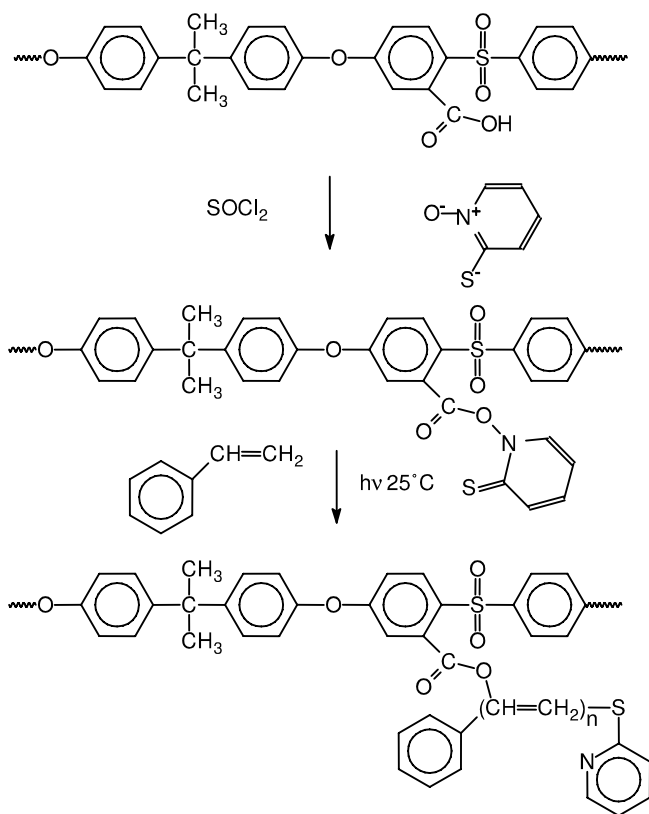
لقد كان بارتون (Barton) أول من استعمل إسترات الثيوهيدروكساميك مثل N-هيدروكسي بيريدين-2-ثيون بصفقتها مركبات طليعية بالجذر الحر<sup>53,54</sup>. يعطي التحلل الحراري، أو بالضوء المرئي، لهذه الإسترات جذور أسيل أوكسي وجذور بيريدين ثيول. ولكن عند التشعيع تحت درجات حرارة منخفضة، يُحذف جوهرياً التفاعل المتسلسل.

يمكن اصطناع PAES المؤظف بزمر الكربوكسيل عبر تفاعلات متعاقبة من الليثمة (تفاعلات مع مركبات عضوية لليثيوم) وإضافة الكربوكسيل، لبوليمير بولي (أريلين إيثر سلفون) في رباعي هيدروفوران. وبعد ذلك يجري تحويل زمر الكربوكسيل إلى زمر الكلوريد الحمضي (زمر كلوريد أسيلية) باستعمال كلوريد ثيونيل ثم تعطي لمعالجة بمركب N-أوكسي بيريدين-2-ثيون إسترات الثيوهيدروكساميك<sup>55</sup>. ونحصل على تفاعل تطعيم بإضافة بوليمير الستيرين والتشعيع. لا تجري البلمرة المتجانسة للستيرين تحت هذه الشروط. بهذه الطريقة يمكن أيضاً تطعيم مونوميرات فينيلية أخرى مثل ميتاكريلات الميثيل، والأكريل أميد. يبيّن الشكل (7-9) مخطط التطعيم.

يمكن الحصول على بوليميرات تصلد حراري من PAES بتغطية النهايات بكسارة الفينيل إثنيل<sup>56</sup>. تجري عملية الإنضاج بواسطة آلية جذر حر. يحتاج الإنضاج إلى درجة حرارة مرتفعة مثل 370°C مدة ساعتين في جو من الأروت.

### 3.7. الخواص

يبين الجدول (3-7) بعض الخواص الفيزيائية المختارة لنوع شفاف من PES يستعمل في القولية بالحقن.



الشكل (9-7): تطعيم بوليميرات PES الموضّفة بزمر الكربوكسيل<sup>55</sup>

#### 1.3.7. الخواص الحرارية

تمتلك بوليميرات بولي (سلفون) دلائل أوكسجين مرتفعة، وإصداراً منخفضاً للدخان عند الاحتراق، وتنطفئ المادة مباشرة بعد إزالة لهب الاختبار، وبوليميرات البولي (سلفون) هي في جوهرها مواد تطفئ ذاتها بسبب طبيعتها العالية العطرية<sup>57</sup>. ويمكن استعمال البوليمير المشترك إستر-سلفون المنتهي بهيدروكسي، المصطنع بالبلمرية بالتكاتف



للصهارة من ثنائي إيثيلين غليكول و 4،4-ثنائي هيدروكسي ثنائي إيثوكسي ثنائي فينيل سلفون مع حمض أدبيي، بصفته مُبطناً للهب في حالة بولي (تريفالات الإيثيلين).

جرت تجارب التحلل الحراري بنبض الشعيرة عند  $800^{\circ}\text{C}$ ، حيث غرفة التحلل الحراري مقترنة بكروماتوغرافيا غازية- مطيافية الكتلة، على كل من بولي (4،1-فينيلين إيثر سلفون) وبولي (بيس فينول A إيثر 4،1-فينيلين إيثر سلفون) <sup>58</sup>. يبيّن الجدول (4-7) النواتج الأساسية من هذا التحلل الحراري.

أثناء التحلل الحراري، يؤدي تكوّن زمر السلفيد في الطور المكثف من PES، عبر إرجاع زمر السلفون بجذور الهيدروجين، إلى زيادة تبطيء اللهب لبوليمير PES <sup>59</sup>.

الجدول (3-7): خواص بوليمير PES<sup>a</sup>

المقياس	الوحدة	القيمة	الخاصة
ASTM D792	$\text{g cm}^{-3}$	1.29	الكثافة
ASTM D570	%	0.37	امتصاص الماء في 24 ساعة
ASTM D570	%	1.1	امتصاص الماء عند التوازن
ASTM D638	GPa	2.3	معامل الشد
ASTM D638	MPa	69.6	مقاومة الشد عند الانهيار
ASTM D638	%	7.2	استطالة الشد، عند الخضوع
ASTM D638	%	120 – 60	استطالة الشد، عند الانهيار
ASTM D790	GPa	2.4	معامل الانحناء
ASTM D790	MPa	91.0	مقاومة الانحناء
ASTM D256	$\text{J m}^{-1}$	690	صدم أيزود المثلوم <sup>b</sup>
ASTM D1822	$\text{kJ m}^{-2}$	400	مقاومة صدم الشد <sup>b</sup>
ASTM E1356	$^{\circ}\text{C}$	220	درجة حرارة التحول الزجاجي
ASTM D150		3.44	ثابت العزل الكهربائي (60 Hz)
ASTM D542		1.672	قرينة الانكسار
ISO 4589	%	38	دليل الأوكسجين
	$^{\circ}\text{C}$	390 – 360	القولبة بالحقن

<sup>a</sup> بولي (فينيل سلفون)، RADEL®R R-5000 من شركة Slovac.

<sup>b</sup> 3.18 mm

الجدول (4-7): النواتج الرئيسية من التحلل الحراري لبوليمير بولي (إيثر سلفون)<sup>58</sup>

النواتج	موجود في
ثاني أكسيد الكبريت	b a
بنزين	b a
تولوين	b
ستيرين	b
فينول	b a
ثنائي فينيل إيثر	b a
ميثيل ثنائي فينيل إيثر	b
ثنائي بنزوفوران	a

<sup>a</sup> بولي (4،1-فينيلين إيثر سلفون)

<sup>b</sup> بولي (بيس فينول A إيثر 4،1-فينيلين إيثر سلفون)

### 2.3.7. الخواص الكيميائية

تُبدى بوليميرات السلفون درجات متنوعة من التوافق الكيميائي، وذلك تبعاً لبنيتها البوليميرية. يتأثر التوافق الكيميائي بطبيعة المتفاعل، وتركيزه، ودرجة الحرارة، وزمن التعرض له، وما إذا كان البوليمير خاضعاً للإجهاد. يمكن العثور على جداول تبين التوافقية الكيميائية في الأدبيات<sup>60</sup>.

تُظهر البوليميرات على أساس السلفون مقاومةً جيّدةً جداً للتعرض الطويل للكلور في درجات حرارة مرتفعة. فتغيّر الوزن كان شبه معدوم بعد تعرض دام ستة أشهر للماء الساكن المُكلور عند 60°C ومستويات من الكلور تصل إلى 30 ppm لبوليمير Udel®، في حين يُبدى بولي (أسيتال) فقداناً في الوزن بحوالي 5 في المئة بوجود 30 ppm كلور في الماء بعد ستة أشهر<sup>61</sup>. تقترح هذه الخاصة تطبيقات في مجال أنظمة توصيل المياه.

### 3.3.7. الخواص الكهربائية

تُظهر بوليميرات PAES خواصاً كهربائية جيّدة، انظر الجدول (3-7). وهي تمتلك ثابت عزل كهربائي مرتفع، وقوة عزل كهربائي قيمته  $15 \text{ kV mm}^{-1}$ . إنّ قوة العزل الكهربائي هي مقياس لقدرة المادة على مقاومة الكمون المرتفع بدون حدوث انهيار<sup>62</sup>.

## 4.7. تطبيقات

نظراً إلى خواصها المهمة، توجد بوليميرات PAES في حقل واسع من التطبيقات. ويبدو أنّ أكثرها انتشاراً هو في تقانة الأغشية الفاصلة. يُلخّص الجدول (5-7) هذه التطبيقات.

### الجدول (5-7): حقول استعمال مواد بولي (إيثرسلفون)

حقل الاستعمال
تقانات الأغشية الفاصلة
المواد المركّبة
أدوات الطبخ بالأموّاج الميكروية المقاومة للتلتخّح <sup>63</sup>
التطبيقات الكهربائية
التطبيقات الطبية
حواجز الصفائح السنية
مواد التمديدات الصحية للاستعاضة عن اللحم
تشتيت الطلاء <sup>64</sup>

### 1.4.7. الأغشية الفاصلة

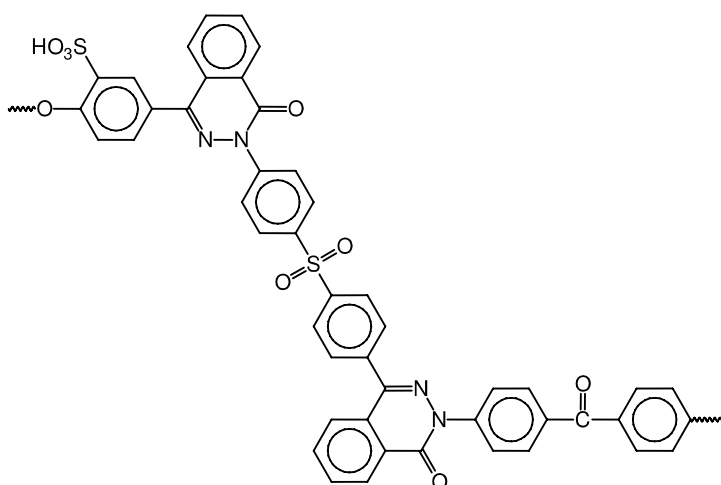
يستعرض كتاب مولدر<sup>65</sup> (Mulder) تقانة الأغشية، ونجدها مستعرضة بوجه أكثر حداثة في عمل ريكوكاوا (Rikukawa) وسانوي (Sanui)<sup>66</sup>.

#### 1.1.4.7. أغشية الترشيح الفائق

إنّ أكثرية الأغشية البوليميرية المستعملة في الترشيح المكروي والترشيح الفائق للسوائل تُحضّر وفق سيرورة عكس الطور الرطب. تُبدي مثل هذه الأغشية بنية لامتناظرة نموذجية، تتميز بطبقة سطحية رقيقة كثيفة، وكتلة مكروية المسامات سمكية. تُبدي البوليميرات المشتركة من بولي (فتالازينون إيثرسلفون كيتون) (PPESK)، انظر الشكل (10-7)، درجة حرارة تحوّل زجاجي في المجال  $263-305^{\circ}\text{C}$ <sup>67,68</sup>. تُظهر البوليميرات استقراراً كيميائياً ممتازاً. وهي قابلة للانحلال فقط في حمض الكبريت المركز

98 في المئة. أما المحاليل المائية المركزة من كلورات الصوديوم، أو بيروكسيد الهيدروجين، أو حمض الخل، أو حمض الآزوت فهي لا تظهر أي تأثير<sup>67</sup>.

تُسلّفن هذه البوليميرات المشتركة وتصنّع لتكوّن أغشية لامتناظرة للترشيح الفائق والترشيح النانوي<sup>69</sup>. أبدت صياغة الغشاء هذه معدّل رفض قدره 98 في المئة لبوليمير بولي (إيثيلين غليكول) 12000، وتدفعاً مرتفعاً للماء الصافي قدره  $0.867 \text{ kg m}^{-2} \text{ h}^{-1}$ . ووصلت الموصلية البروتونية للمواد المسلفنة قيمة أعلى من  $10^{-2} \text{ S cm}^{-1}$  عند درجة سلفنة قدرها 1.0. ولهذا فقد جرت تركيبة استعمال هذه المواد في خلايا الوقود<sup>70</sup>.



الشكل (10-7): البوليميرات المشتركة من بولي (فتالازينون إيثر سلفون كيتون)

يمكن إنجاز تعديل السطح بهدف تحسين مدى ودّ سطح الغشاء للماء، عن طريق مزج جزيئات ضخمة مُعدّلة للسطح مع المادة الأساسية. لقد جرى تحضير مزائج من بوليمير بولي (إيثر سلفون) الفينول فتاليني، وبولي (أكريلونتريل-co-حمض أكريل أميدو ميثيل بروبان سلفونيك) وهي مادة تحتوي على زمر مشحونة<sup>71</sup>. ولقد وُجِدَ أنّ الزمر المشحونة تسعى إلى التجمّع على سطح الغشاء وذلك باستعمال مطيافية الأشعة السينية الفوتوالكترونية، ومطيافية تحويل فورييه تحت الحمراء.

يمكن تحسين الخواص المضادة لنمو المتعضيات لأغشية الترشيح الفائقة بتعديلها بجسيمات نانوية من  $TiO_2$ <sup>72</sup>. يجري تحضير جسيمات نانوية بقياس أصغر أو يساوي 40 nm ببنية بلورية أناتازية باستعمال حلقة مضبوطة لرباعي إيزوبروبوكسيد التيتانيوم.

بتأثير التشعيع بالضوء فوق البنفسجي، يحدث تشبيك متصالب، وتقطع للسلسلة في مادة الغشاء القاعدية<sup>73</sup>. يزيد التشبيك المقاومة الهيدروديناميكية للغشاء. أما تقطيع السلسلة فهو مسؤول عن انخفاض انتقائية الغشاء. ويبدو أن وجود مونومير، مثل N-فينيل-2-بيروليدون (NVP)، أثناء التشعيع فوق البنفسجي يمكن أن يؤخر فقدان انتقائية الغشاء.

إنّ المعالجة بالأشعة فوق البنفسجية لغشاء PES بوجود NVP و 2-ميركابتيوانول بصفته عامل انتقال السلسلة، تزيد نفوذية الغشاء زيادة ملحوظة<sup>74</sup>. إن إضافة عامل انتقال السلسلة يسهل انتهاء المونومير عند نقاط متنوعة لإنقاص طول السلسلة المونوميرية المطعّمة. لذلك يُنقص عامل انتقال السلسلة درجة التطعيم.

عند إجراء التعديل بتقنية التغطية (Dip technique) بدلاً من تقنية الغمر (Immersion technique)، يفضل استعمال ضوء فوق بنفسجي منخفض الطاقة في المجال 280 nm إلى 300 nm منعاً من الإضرار بالغشاء، ذلك لأن كمية الضوء فوق البنفسجي التي تصل إلى الغشاء في حالة تقنية التغطية تكون أكبر. تعطي طريقة التعديل بالتغطية المعدلة باستعمال مرشح سائل أو صلب أغشية معدلة منخفضة الانسداد البروتيني، واتساعاً مختزلاً للمسامات<sup>75</sup>. يُنتج التعديل بالتغطية باستعمال 2-ميركابتيوانول متبوعاً بالتنظيف بالإيثانول أغشية أكثر نفوذية، ولكنها أقل احتجازاً.

يمكن تعديل السطح بتقنية تجمع بين التوضيع المُحكّم به لكسارة مشحونة بالتهجير الكهربائي (Electrophoresis)، والتطعيم بالأشعة فوق البنفسجية في آن معاً<sup>76</sup>. ولقد استُعملت لإجراء التعديل البوليميرات الكهليلتية (Polyelectrolyte) مثل حمض الميتاكريليك (MA)، وحمض الأكريليك AA، وحمض 2-أكري أميدو غليكوليك (AAG)، و 2-هيدروكسي إيثيل ميتاكريلات (HEMA)، و N-فينيل فورماميد.

تُبدى سطوح الأغشية المعدلة بعد المعالجة معالم سلبية الشحنة وميلاً أكثر للماء. يخفض التطعيم بـ MA و AAG نفوذية مادة عضوية طبيعية إلى أقل من النصف مقارنة

بالغشاء غير المعالج. يخفض التعديل الانسداد بالمواد المسببة للانسداد مثل المواد العضوية الطبيعية. وفي دراسة مماثلة، فإن أفضل النتائج المتعلقة باحتجاز البروتين وتدفق محاليل البروتين، هي تلك التي جرى الحصول عليها من تطعيم NVP، وحمض 2-أكريل أميدو-2-ميثيل-1-بروبان سلفونيك، و AA على PES-50 كيلو دالتون<sup>77</sup>.

إن الأغشية المعدلة بمونومير الحمض ضعيف AA قادرة على إنقاص الانسداد غير العكوس إلى الصفر، وذلك بعكس المونوميرات الشديدة الميل للماء مثل HEMA و AAG. تزيد هذه المركبات الانسداد غير العكوس بالمقارنة مع الأغشية غير المعدلة<sup>78</sup>.

#### 2.1.4.7. أغشية الألياف المفرّغة

لقد جرى تحضير أغشية الترشيح الفائق ذات الألياف المفرّغة من PPESK بتقنية عكس الطور جاف-رطب. ولقد جرى استعمال الإيثيلين غليكول وحيد الميثيل إيثر، وثنائي الإيثيلين غليكول، والميثيل إيثر كيتون بصفتها إضافات لا مذيية، في حين استعمل NMP بصفته مذيباً في تحضير الأغشية<sup>78,79</sup>.

مع ازدياد تركيز PPESK في محلول الصب، تزداد اللزوجة بقوة، وتصبح تابعة لمعدل القص. ثم تتغير مورفولوجيا الأغشية ذات الألياف المفرّغة من بنية إصبعية الشكل إلى بنية إسفنجية الشكل.

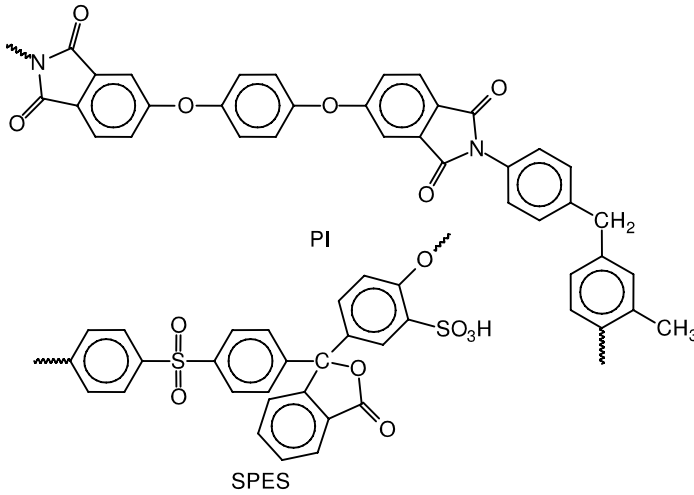
تُبدى الأغشية ذات الألياف المفرّغة المصنوعة من بولي (إيميد) PES مُسلفن، مع زمرة فتاليد، انتقائية عالية تصل إلى 12000 في نفوذية البخار لمزائج من الميثانول و إيثر ميثيل-ترت-بوتيل (MTBE)<sup>81</sup>. يبيّن الشكل (7-11) بنية البوليميرات المستعملة.

إن فصل الميثانول و MTBE مهم لأن MTBE يُصطنع من الإيزوبوتيلين والميثانول.

#### 3.1.4.7. أغشية الكربون

يمكن أن يُستعمل PPESK بصفته مركباً طليعيّاً بوليميرياً لتحضير أغشية الكربون<sup>82</sup>. إن مقدار فقدان الوزن في PPESK الطليعي هو حوالي 43.0 في المئة عند درجة تحلل حراري حوالي 800°C.

بعد المعالجة الحرارية، تختفي البنية الكيميائية النموذجية لـ PPESK الطبيعي. وفي الوقت نفسه تتكوّن بنية غرافيتية الشكل مع المزيد من الحلقات العطرية. تصل الانتقائية لأزواج الغازات  $N_2 \setminus O_2$  و  $N_2 \setminus CO_2$  و  $N_2 \setminus H_2$  إلى 278.5 و 213.8 و 27.5 بالترتيب.



الشكل (11-7): بولي (إيميد) و بولي (إيثر سلفون) المُسلفن<sup>81</sup>

#### 4.1.4.7. أغشية خلايا الوقود

لقد كان غرَب (Grubb) عام 1959 أول من وصف في حالة خلية وقود، مفهوم استعمال غشاء تبادل كاتيوني بوليميري بصفته كهربيًا صلباً في الخلايا الكهركيميائية<sup>83,66</sup>. مادة الغشاء التقليدية في حالة خلايا الوقود هي Nafion®، وهي PTFE مُسلفن. ولكن هناك محاولات لإيجاد مواد بديلة مثل الأغشية على أساس PAES<sup>84</sup>.

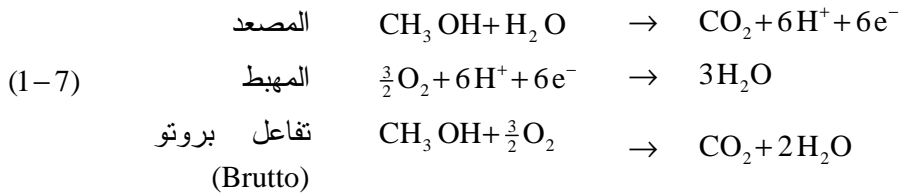
تعتبر بوليميرات PAES المُسلفنة بدائل جيّدة نظراً إلى جودة استقرارها الحمضي والحراري المؤكسد، وارتفاع درجات حرارة تحوّلها الزجاجي، وتميُّز مقاومتها الميكانيكية<sup>85,26</sup>. يمكن تحضير البوليميرات المشتركة من PPESK المُسلفن ذات زمر سلفونات الصوديوم المتدلّية بالبلمرة المشتركة المباشرة للمونوميرات المُسلفنة<sup>86</sup>.

إنّ الاصطناع المباشر انطلاقاً من مونوميرات مُسلفنة أكثر فائدة من طريقة السلفنة اللاحقة. في حالة المونوميرات المسلفنة المصنعة مباشرة يمكن التحكم ببيسر أكبر في تركيز زمر السلفونات ومواضعها، وذلك مقارنةً بالمواد المسلفنة لاحقاً. وعلاوة على ذلك تفيد طريقة السلفنة المباشرة في تجنب التشبيك التصالبي وغيره من التفاعلات الجانبية. يمكن أن يؤدي ذلك إلى استقرار حراري أفضل، وخواص ميكانيكية أفضل<sup>87</sup>.

يؤدي فوسفات هيدروجين الزيركونيوم بصفته إضافة لا عضوية إلى تحسين الموصلية في درجات الحرارة المرتفعة لأغشية PPESK<sup>88,89</sup>. ويمكن إدخال زمر نيتروجين رباعية في الغشاء باستعمال PPESK المُوَظَّف بالكلوروميثيل وغمر الغشاء في المحلول المائي لثلاثي ميثيل أمين<sup>90</sup>. تُظهر هذه الأغشية زيادة في تدفق الماء الصافي ويرفض الأصبغة و  $MgCl_2$ . تُظهر أغشية PPESK ذات زمر النيتروجين الرباعية والمُشابهة بحمض الفوسفور  $H_3PO_4$  موصلية بروتونية مرتفعة قدرها  $0.072 S cm^{-1}$  عند  $150^\circ C$ ، وهذا ما يرسحها للاستعمال في أغشية تبادل البروتونات عند درجات حرارة مرتفعة في خلايا الوقود<sup>91</sup>.

#### 5.1.4.7. خلايا الوقود بالميثانول المباشر

ولقد أُثبتَ أنّ مواد الأغشية من PPESK المُسلفن مُفيدة في أنماط متنوعة من خلايا الوقود، مثل خلايا وقود حمض النمل، وخلايا وقود الميثانول<sup>92</sup>. تمتلك خلايا الوقود بالميثانول المباشر بعض الفوائد التي تميّزها من خلايا الوقود ذات أغشية تبادل البروتونات، فهي مناسبة أكثر في التطبيقات المحمولة. وبسبب الاهتمام بهذه الخلايا نجد العديد من ورقات البحث التي تُركّز على المواد المناسبة للأغشية. التفاعلات في خلايا الوقود بالميثانول المباشر هي<sup>93</sup>:





تُنقل البروتونات عبر غشاء تبادل البروتونات إلى المهبط، وهناك تتفاعل البروتونات مع الأوكسجين وتستخلص إلكترونات من المهبط لتنتج الماء. إلى جانب الميثانول يُستهلك الماء عند المصعد، إذ لا يمكن استعمال الميثانول النقي. بسبب هجرة شوارد الهيدروجين عبر الغشاء من المصعد إلى المهبط، وبسبب عدم قدرة الإلكترونات الحرّة على العبور عبر الغشاء، وجب عليها المرور عبر دائرة خارجيّة، وهذا ما يُسبب تياراً كهربائياً عبر الدائرة الخارجيّة. إن نفاذية الميثانول عامل مهمّ في كون الأغشية مُناسبة، والموصليّة البروتونيّة هي عامل آخر.

يمكن التنبؤ بأداء الأغشية المحتوية على PPESK باستعمال العلاقات بين الخواص والبنى<sup>94</sup>. فهذه العلاقات مفيدة في تطوير مواد جديدة للأغشية من هذا النوع. فمثلاً يتأثر معدل استهلاك الماء وسعة التبادل الشاردي، بإقحام كسّارة الفلور أو زمر قطبيّة. فإقحام زمر الفلور يُنقص معدل استهلاك الماء ولكنه يزيد الموصليّة البروتونيّة عند سعة تبادل شاردي متقاربة، أي عند درجة سلفنة متشابهة. ومن ناحية أخرى يؤدي إدخال زمر قطبيّة، مثل البنزونتريل أو أوكسيد ثلاثي فينيل فوسفين، إلى خفض كلٍّ من استهلاك الماء، والموصليّة، ونفاذية الميثانول.

لقد تبين أنّ خواص الأغشيّة من بوليميرات PPESK المشتركة المسلفنة تتعلّق بتركيب البوليمير المشترك، وبشروط الصبّ وطرائقه، وتاريخه الهيدروحراري. ويمكن تحديد هويّة بنى أغشية ذات مورفولوجيات مختلفة تؤدي إلى اختلافات في الخواص الميكانيكيّة والكهربائيّة<sup>95</sup>.

تأتي الفائدة المهمّة الكامنة وراء تطوير أغشية من خلائط بوليميريّة، من كونها تُنتج أمثلة بنية الغشاء وخواصه بأسلوب هادف عن طريق تغيير مركّبات المزيج ونسبة المزج<sup>96</sup>. تُظهر بوليميرات PES المؤمّنة أو المُنترّة، وبوليميرات PAES تفاعلات متبادلة تُحسّن استقرار الغشاء فيما يتعلّق بسلوك التورّم أو الانتباج.

في مزائج PPESK مع بولي (إيثر إيثر كيتون) (PEEK) المُسلفن، تزداد نفاذية الميثانول، وكذلك الموصليّة البروتونيّة، ازدياداً لاخطياً مع ازدياد المحتوى من PEEK<sup>97</sup>. ولقد جرى اختبار البوليميرات المشتركة من PAES المُسلفن، التي جرى

الحصول عليها من 4،4-ثنائي كلورو ثنائي فينيل سلفون المُسلفن، و 4،4-ثنائي كلورو ثنائي فينيل سلفون، والفينول فتالين، بشأن استعمالها في تطبيقات خلايا الوقود بالميتانول المباشر. تزداد الموصلية البروتونية خطياً مع ازدياد درجة السلفنة، ولكن نفاذية الميتانول تزداد خطياً حتى محتوى من المونومير المُسلفن نسبته المولية تصل إلى 20 في المئة. وبعد هذه النسبة يلاحظ ارتفاع مفاجئ في النفاذية<sup>98</sup>. يُسمى هذا المفعول باسم عتبة التخلخل.

#### 2.4.7. التطبيقات الطبية

تُبدى البوليميرات المشتركة من ألكيل إيثر PAES والبوليميرات المشتركة من ألكيل إيثرابولي (إيثر كيتون) توافقية ممتازة مع الدم. لذلك يمكن استعمال هذه المواد على نحو مفيد في إنتاج مواد طبية تُستعمل على تماس مع الدم<sup>99</sup>.

إن قابلية التعقيم مسألة ذات أهمية أساسية عندما يُستعمل البوليمير في التطبيقات الطبية، يُفضل التعقيم ببخار الماء على التعقيم الكيميائي والتعقيم بالإشعاع. يقوم التعقيم ببخار الماء على معالجة الغشاء ببخار الماء الفائق التسخين بدرجة حرارة أعلى من 110°C مدة ثلاثين دقيقة. تشمل الأغشية القابلة للتعقيم ببخار الماء كلاً من بولي (إيثر إيميد) و PES وبولي (فلوريد الفينيلدين).

تُحقّق بوليميرات PES الخواص الميكانيكية والحرارية المطلوبة، وتُبدى مقاومة ممتازة للمواد الكيميائية. ولكن العائق الأساسي يكمن في كون مواد الأغشية كارهة للماء، مما يحول دون ترطيبها التلقائي في الأوساط المائية. يُمكن تعديل PES تعديلاً مُحيداً للماء بالسلفنة بحمض الكبريت. ولكن هذه الطريقة تتيح فقط تحقيق توزيع عشوائي لزمر حمض السلفونيك في البوليمير.

يُفضل أن يكون بالإمكان التأثير في العدد الكلي لزمر حمض السلفونيك، وكذلك في توزيعها ضمن السلسلة البوليميرية، وذلك لتنظيم التوافقية الحيوية. بالإدخال الانتقائي لمناطق ذات درجات عالية من السلفنة وأخرى ذات درجات منخفضة منها، يمكن زيادة إمكانات التنوع المتعلقة بالزمر البوليميرية الوظيفية، ويمكن من ثمّ تدريب خواص الميل إلى الماء على نحو أكثر انتقائية<sup>29</sup>. لهذا السبب، فإن البوليميرات المشتركة التعاقبية المحتوية على كتل مسلفنة وأخرى غير مسلفنة من البولي إيثر سلفون هي مناسبة أكثر من بوليميرات PES المسلفنة.

#### 1.2.4.7. حواجز اللويحات السنية

تنتج لويحات الأسنان (Plaques) السنية عندما تتعقد البكتريا المسببة للنخر في مستعمرات على سطوح الأسنان وتكون عليها ترسبات عنيدة. يُعتقد أن اللويحات السنية مسؤولة عن حدوث التهابات اللثة، وتسوس الأسنان.

لقد جرى اصطناع مشتقات ملحية من حمض السلفونيك المحب للماء، وحمض السلفونيك لبعض أنواع PES. ولقد وجد أن هذا الصف من البوليميرات يثبط توضع الصفائح السنية على الأسنان البشرية. وعليه يجري تطبيقها على الأسنان باستعمال تشكيلات متنوعة من معاجين الأسنان، وغسول الفم، وغيرها من إجراءات الصحة الفموية.

البوليميراتُ المسلفنة أنيونية بطبيعتها، وشديدة الانحلال في الماء، وذلك بسبب ارتفاع درجة السلفنة التي يجري تحقيقها أثناء تحضير هذه المشتقات. يُفترض أن أغشية من بوليميرات مشحونة أنيونياً تترسب على الأسنان مسببة تنافراً متبادلاً بين الغشاء البوليميري المشحون سلبياً والمتعضيات المشحونة سلبياً الموجودة في سوائل الفم والمسؤولة عن توليد اللويحات.

لقد أُثبتَ باستعمال قياس كمون زيتا أنه عند نثر مسحوق ميناء أسنان بشرية في وسط مائي يحتوي على أملاح من السلفونات البوليميرية، تتكون شحنة سطحية سالبة مهمة على جسيمات الميناء<sup>100</sup>.

تمكن سلفنة PES المتوفر تجارياً باستعمال ثلاثي أكسيد الكبريت، ومعقدات ثلاثي إيثيل الفوسفات (TEP) من ثلاثي أكسيد الكبريت، وحمض كلوروسلفونيك. نظراً إلى التفاعلية العالية لثالث أكسيد الكبريت وخواصه المزيلة للماء، يمكن لتفاعلات السلفنة مع ثالث أكسيد الكبريت أن تؤدي أحياناً إلى تكون معلقات بوليميرية غير قابلة للانحلال وذلك بسبب التشبيك الناتج من تكون السلفون داخل السلسلة البوليميرية. في مثل هذه الحالات، يُفضل تخفيف تفاعلية السلفنة باستعمال معقدات ثلاثي أكسيد الكبريت مع TEP.

يمكن إجراء تفاعل السلفنة في مذيبات مثل كلوريد الميثيلين، أو 1،2-ثنائي كلورو الإيثان، والكلوروفورم. هذه المركبات هي عموماً مذيبات جيدة للبوليمير العطري الذي نبدأ به، وهي مذيبات سيئة للبوليمير المسلفن، الذي يترسب مباشرة في وسط التفاعل ويُرشح<sup>100</sup>.

#### 2.2.4.7. أنظمة التحرير المضبوط للدواء

لقد جرى اختبار مزائج من PES وپولي (N-فينيل-2-بيروليدون) (PVP) للاستعمال في حقل أنظمة التحرير المضبوط للدواء<sup>101</sup>. الخلائط ليست قابلة للامتزاج بسبب الطبيعة الكارهة والمُحبة للماء للبوليميرات. ولكن، المزائج متوافقة على كامل مجال التركيبات، وتُبدى ترتيباً عالي التنظيم لكلا الطورين. وحتى في الحالة التي يكون فيها بوليمير PVP هو المكوّن الأكثرى ينتشر هذا البوليمير بانتظام في الوسط المتصل لبوليمير PES.

لقد جرى اختبار الكفاءة فيما يتعلّق بالتحرير المضبوط للدواء على الأستامينوفين. فبعد اندفاعا بدء تحدث أثناء الثلاثين دقيقة الأولى، ينخفض تحرير الدواء ويستقر عند قيمة ثابتة لبقية الوقت. تُرجع اندفاعا البدء إلى الفارق المرتفع في التركيز بين طرفي الغشاء في بداية الإجرائية.

#### 3.2.4.7. مقلّادات النيوكليوتيدات

لقد جرى اقتراح أحماض نووية من پولي (إيثر ثيوإيثر) أو پولي (إيثر سلفوكسيد) أو PES، لتؤدي دور مقلّادات للمواد الطبيعية مثل دور متعدد نيوكليوتيدات مُعاكس. يمكن للسلسلة الرئيسية أن تحمل العديد من الربيطات بما في ذلك بعض الأسس النووية الموجودة طبيعياً.

متعدّات النيوكليوتيدات المعاكسة هي جزيئات قصيرة السلسلة يمكنها أن ترتبط بالحمض النووي المُستهدف إمّا بتزاوج الأسس من نوع واتسون-كريك (Watson-Crick) أو بتزاوج الأسس من نوع هوغستين (Hoogsteen) أو مضاد-هوغستين. عندما يُعاد توليد نيوكليوتيدٍ باستعمال مراسل RNA (وهو حمض نووي وحيد السلسلة) يمكن أن يتدخل متعدد نيوكليوتيدات مُعاكس، ليمنع نسخ بعض أجزاء المتتالية الأساسية.

تشتمل سيرورة صوغ المورثة لبناء البروتينات على بعض الخطوات المتباينة الحسنة التنظيم<sup>102</sup>. تضم المرحلة الأساسية الأولى من سيرورة صوغ المورثة عملية نسخ مراسل RNA (mRNA) وهو متتالية RNA مُتممة لجديلة DNA المُعاكسة، أو بكلمات أخرى، مطابقة بالمتتالية لجديلة DNA المعنوية المكوّنة للمورثة.

تضمّ المرحلة الأساسيّة الثانية من سيرورة صوغ المورثة ترجمة بروتين، مثل أنزيمات أو بروتينات بنيوية أو بروتينات مُفرّزة أو مُعاملات صوغ المورثات وغيرها. يتفاعل في هذه المرحلة المرسل mRNA مع الجسيمات الريبية وRNA الناقل ذي الأحماض الأمينية المنشّطة، ليُدِير عملية اصطناع البروتين المُرمَز بمتتالية المرسل mRNA.

يتطلّب استهلال عملية النسخ، أن يتعرّف بوليميراز RNA سلسلة DNA طليعيّة موجودة عند بداية متتالية الترميز لمورثة. يسبق هذا التعرّف ارتباط متتالية مميّزة لواد أو أكثر من عوامل نسخ البروتين بمتتالية الطليعي. المُحسّنات هي بروتينات إضافيّة، ترتبط عند المتتالية الطليعيّة أو بقربها لتحسّن تنظيم النسخ، أمّا تلك التي ترتبط عند المتتالية الطليعيّة أو بقربها ويمنع ارتباطها عمل بوليميراز RNA فتسمّى قامعات.

هناك أيضاً دليلٌ على أنه في بعض الحالات يسوء تنظيم النسخ بقامعات RNA مُعاكسة داخل المورثة تربط نسخة mRNA المُتمّمة، فتمنع بذلك ترجمتها إلى بروتين وظيفي. وهكذا نرى أنّ تنظيم سيرورة صوغ المورثات يتحسّن بعوامل النسخ والمُحسّنات، ويسوء أو يُقمع بالقامعات.

تتمتّع متعدّات النيوكليوتيدات المعاكسة بالقدرة على تنظيم تكاثر المورثات، وعلى إيقاف الوظائف الأساسيّة للحموض النووية. لهذا السبب يمكن استعمال متعدّات النيوكليوتيدات المعاكسة في التحكّم بطيف واسع من الأمراض<sup>102,103</sup>.

لذلك يمكن تشكيل أحماض نووية من بولي (إيثر-ثيوإيثر) أو بولي (إيثر-سلفوكسيد) أو بولي (إيثرسلفون) في تركيبات صيدلانيّة لمعالجة الأمراض أو الوقاية منها.

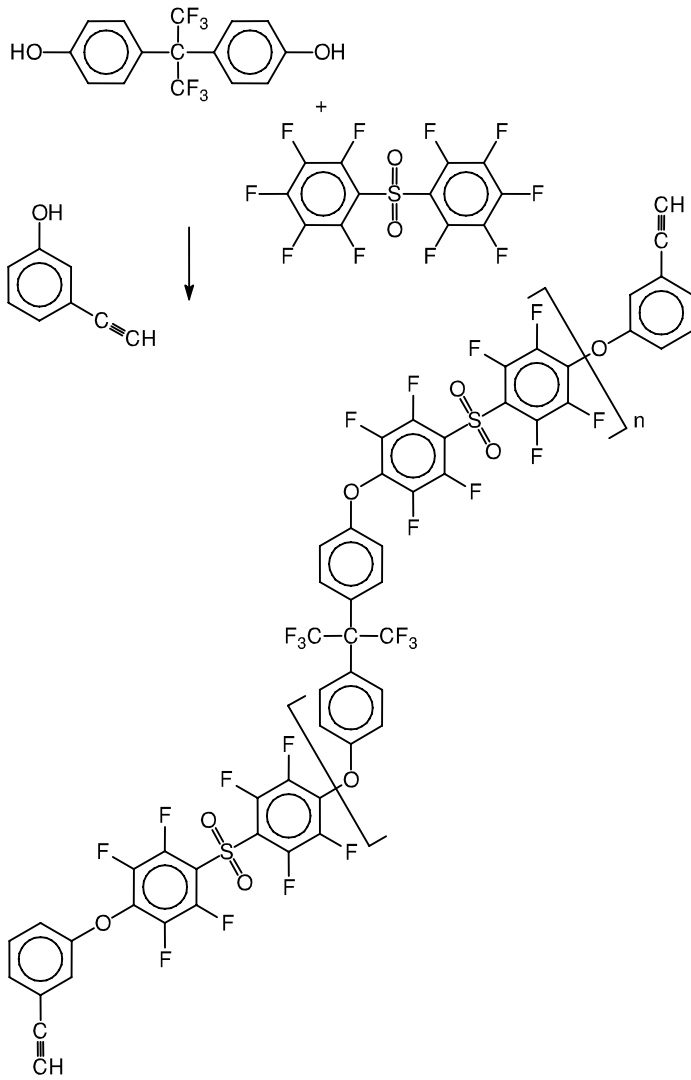
### 3.4.7. تطبيقات أدلة الموجات البصريّة

هناك استعمال ممكن لبوليميرات PAES المُفلورة المنتهية بالإيثينيل في تطبيقات أدلة الموجات البصريّة. يبيّن الشكل (7-12) اصطناع بوليميرات PAES المُفلورة المنتهية بالإيثينيل، حيث يجري إنضاج البوليمير عند 270°C مدّة ساعتين.

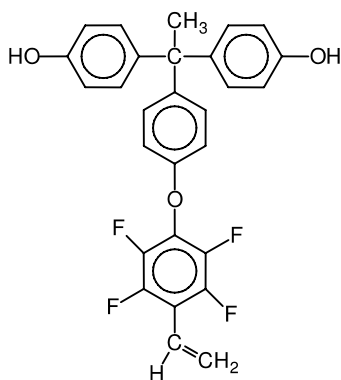
المتطلبات المفتاحية الواجب توفرها في مواد أدلة الموجات البصرية تشمل ضياعاً بصرياً منخفضاً في منطقة الأشعة تحت الحمراء، واستقراراً حرارياً، وإمكان التحكم بقرينة الانكسار، وانكساراً اثنائياً (Birefringence) منخفضاً. تمتلك المادة امتصاصاً منخفضاً للضوء عند أطوال موجات الاتصالات بين 1300 nm و 1550 nm، وذلك بسبب محتواه المرتفع من الفلور. ضياع الانتشار عند 1550 nm أقل من  $0.37 \text{ dB cm}^{-1}$ . يقع الانكسار الاثنائي للبوليميرات المشتركة في المجال  $0.0021 - 0.0025$ ، هذه القيمة أخفض بكثير من تلك التي تمتلكها بوليميرات بولي(إيميد) المُفلورة المُستعملة في تطبيقات أدلة الموجات البصرية<sup>105,104</sup>.

تتعلق الخواص البصرية، مثل قرينة الانكسار والانكسار الاثنائي والاستقرار الحراري والضياع البصري، في حالة البوليميرات المُفلورة بالبنية الجزيئية للبوليميرات<sup>106</sup>. فمثلاً يعتمد الانكسار الاثنائي على نسبة اللاتماثل الميكروي في المناحي لاستقطاب الوحدات الجزيئية المتكررة. وهو يُظهر اعتماداً خطية جيداً على الزمر البوليميرية. وبأسلوب مماثل، يمكن اصطناع بوليمير قابل للتشبيك من عشري فلورو ثنائي فينيل كيتون، و 4،4'-سداسي فلوروايزوبروبيليدين) ثنائي فينول و 1،1-بيس-(4-هيدروكسي فينيل)-إيثيل-1-فينيل-2،3،5،6-رباعي فلورو-4-فينيل فينيل إيثر<sup>107</sup>، انظر الشكل (7-13). وهناك مونوميرات أخرى مثل سداسي فلوروايزوبروبيليدين، أو 4،4'-سداسي فلوروايزوبروبيليدين) ثنائي فينيل، أو 4،4'-إيزوبروبيليدين ثنائي فينيل<sup>108</sup>. يمكن تفصيل قرينة الانكسار في المجال من 1.50 إلى 1.57، مما يتيح استعمال البوليميرات مواداً للنواة وللغلاف في تطبيقات أدلة الموجات البصرية<sup>109</sup>.

إن مركب خماسي فلورو فينيل سلفون مركب عالي التفاعلية حتى في درجة حرارة الغرفة<sup>110</sup>. يُحفز التفاعل بواسطة فلوريد البوتاسيوم، الذي يُنشط زمرة الفينول ويعمل بصفته أساساً لامتصاص فلوريد الهيدروجين، الذي هو ناتج ثانوي من عملية البلمرة بالتكاثف. بضبط معدل التغذية بالمونوميرات يمكن بيسر التحكم بقرينة انكسار البوليميرات وكثافة تشبيكها<sup>111</sup>.



الشكل (7-12): اصطناع بوليميرات PAES المفلورة المنتهية بالإيثينيل <sup>104,105</sup>



الشكل (7-13): 1،1-بيس - (4- هيدروكسي فينيل) - إيثيل - 1- فينيل - 2،3،5،6- رباعي

فلورو - 4- فينيل فينيل إيثر<sup>107</sup>

## 5.7. مواد أنابيب التمديدات الصحية

لسنوات عديدة كانت المواد التقليدية المستعملة في صناعة الأنابيب والمثبتات والوصلات وغيرها من قطع التمديدات الصحية معدنية، من النحاس والشبه أساساً. ولقد أدخلت مواد بديلة لتصنيع مثل قطع التمديدات الصحية هذه. تتمتع اللدائن بخواص تميزها من المعادن من حيث كونها أخف وزناً، وأسهل قصاً وتشكيلاً. إضافة إلى ذلك، يمكن أثناء بناء منزل أو مبنى تجاري، أن يصل عامل التمديدات الصحية أنابيب اللدائن باستعمال مزاج.

لقد وُجدَ أنّ مزائج من بوليمير بولي (بيفينيل إيثر سلفون) وبوليمير ثانٍ مصنوع على أساس بيسفينول A من بولي (أريلين إيثر سلفون)، هي أكثر المواد مناسبة في تطبيقات التمديدات الصحية. يتمتع المزيج بمقاومة متميزة للماء الساخن<sup>112</sup>.

## 6.7. الموردون والعلامات التجارية

يبين الجدول (6-7) الموردین والعلامات التجارية. ويبين الجدول (7-7) الأسماء التجارية الواردة في المراجع.



الجدول (6-7): أمثلة على بوليميرات بولي(أريلين إيثر سلفون) المتوفرة تجارياً

المُنتج	الاسم التجاري
Solvay Advanced Polymers	RADEI®
PolyOne Corp.	Edgetek™
Westlake Plastics Co.	Westlake PES
Ovation Polymers Inc.	UTTAP SF 50030 GF
LNP Engineering Plastics Inc	Thermocomp®
Sumitomo Chemical America, Inc.	Sumiploy®
Sumitomo Chemical America, Inc.	Sumikaexcel®
RTP Co.	RTP Compounds ESD
CoorsTek	CoorsTek Neat PES
Gharda Chemicals Ltd.	Gafone™
Solvay Advanced Polymers	Udel®
Solvay Advanced Polymers	Mindel®
Solvay Advanced Polymers	Epispire

## 7.7. الأمان

يمكن لبوليميرات PES المنخفضة الوزن الجزيئي، ولراتنجات بولي(سلفون) أن تسبب تهيجاً للعيون والجلد والجهاز الهضمي.

## 8.7. الأثر البيئي وإعادة التدوير

في المحلول الممدد من ثنائي ميثيل أستاميد، تُفْتَح روابط الإيثر في PES وتتكوّن حلقات ضخمة. تُظهر نتائج التفاعل محتوى خطياً من الأوليغوميرات أقل من 4 في المئة. ولقد جرى عزل حلقات ضخمة مكونة من ثماني حلقات عطرية أو اثنتي عشرة، أو ست عشرة أو حتى عشرين منها. ومن ناحية أخرى، يمكن أن تمرّ الحلقات الأوليغوميرية الضخمة بتفاعل بلمرة فاتح للحلقات بوجود مركّب فينوكسيد، وخصوصاً بوادئ

الثيوفينوكسيد، لتعيد توليد بوليميرات ذات وزن جزيئي مرتفع. لذلك يُعتقد أن استرجاع وإعادة تدوير PES أمر ممكن<sup>113,114</sup>.

### الجدول (7-7): الأسماء التجارية الواردة في المراجع

المورد	الاسم التجاري الوصف
Asahi Chemical Industry	Aciplex® غشاء حمض برفلوروسلفونيك <sup>66</sup>
Mitsubishi Chemical Industries Ltd.	Diaion® (Series) راتنج تبادل شاردي من نمط حمض السلفونيك المعدل بـ 2-ميركابنتوليثيل أمين <sup>14</sup>
Nova Chemicals S.A. (Arco Chemical Co.)	DYLARK® بوليمير مشترك من الستيرين وأنهيدريد الماليك <sup>63</sup>
Asahi Glass Company	Flemion® غشاء تبادل شاردي فلوروبوليميري <sup>66</sup>
W. L. Gore	Gore-Select® غشاء PTFE موسّع بمسامات ميكروية (ePTFE) غشاء موصل للشوارد <sup>66</sup>
General Electric	Lexan™ بولي (كربونات) <sup>39</sup>
Bayer AG	Makrolon® بولي (كربونات) <sup>39</sup>
Mobay	Merlon® بولي (كربونات) <sup>39</sup>
DuPont	Nafion® PTFE مسلفن لتطبيقات الأغشية <sup>97,93,66</sup>
ASTOM Corp. (Tokuyama Soda Co.)	Neosepta® أغشية تبادل شاردي برمفلورة <sup>66</sup>
Rohm & Haas	Paraloid® مطاط أكريلات. مُعدل صدم <sup>39</sup>
Solvay Solexis (Ausimont USA, Inc.)	Polymist® (Series) بولي (رباعي فلورو إيثيلين) مساحيق تزيق <sup>41</sup>
Solvay	Radel® A بولي (إيثر سلفون) <sup>41,4</sup>
Solvay	Radel® R بولي (بيفينيل سلفون) <sup>41,4</sup>

## الجدول (7-7): الأسماء التجارية الواردة في المراجع

المورد	الاسم التجاري الوصف
Solvay	Udel® Polysulfone
General Electric	100,39,4 <sup>4</sup> بولي (بيستينول A سلفون) Ultem® (Series) 63 بولي (إيميد)، ملدن حراري

## المراجع

1. M. J. El-Hibri, J. Nazabal, J. I. Equiazabal, and A. Arzak. "Poly(aryl ether sulfone)s." *Plastics Engineering*: vol. 41, 1997, pp. 893–930.
2. V. L. Rao. "Polyether sulfones." *Journal of Macromolecular Science - Reviews in Macromolecular Chemistry and Physics*: C39, 1999, pp. 655–711.
3. E. S. Wilks. "Polymer nomenclature: The controversy between source-based and structure-based representations (a personal perspective)." *Progress in Polymer Science*: vol. 25, no. 1, February 2000, pp. 9–100.
4. M. J. El-Hibri. Ternary poly(biphenyl ether sulfone) resin blends having improved environmental stress cracking resistance. US Patent 6 075 100, assigned to BP Amoco Corporation (Chicago, IL), 13 June 2000.
5. M. Inaba, N. Mine, and M. Mizutani. Method for preparing 4,4'-biphenol. US Patent 5 324 868, assigned to Mitsubishi Petrochemical Company, Ltd. (Tokyo, JP), 28 June 1994.
6. N. Zutty, D. C. Priest, R. A. Clendinning, and A. G. Farnham. Process for preparing polyarylene polyethers. CA Patent 847 963, assigned to Union Carbide Corp, 28 July 1970.
7. S. Savariar. Poly (biphenyl ether sulfone). US Patent 6 228 970, assigned to BP Amoco Corporation (Chicago, IL), 8 May 2001.
8. R. N. Johnson and A. G. Farnham. Polyarylene polyethers. US Patent 4 108 837, assigned to Union Carbide Corporation (New York, NY), 22 August 1978.
9. D. R. Robello, A. Ulman, and E. J. Urankar. "Poly(*p*-phenylene sulfone)." *Macromolecules*: vol. 26, no. 25, December 1993, pp. 6718–6721.

10. T. Yokozawa, T. Taniguchi, Y. Suzuki, and A. Yokoyama. "Chain-growth polycondensation of monomer consisting of two aromatic rings: Synthesis of well-defined poly(ether sulfone) from 4-fluoro-4-hydroxydiphenyl sulfone." *Journal of Polymer Science Part A: Polymer Chemistry*: vol. 40, 2002, pp. 3460–3464.
11. H. R. Kricheldorf, L. Vakhtangishvili, G. Schwarz, G. Schulz, and R.-P. Krüger. "Macrocycles 25. Cyclic poly(ether sulfone)s derived from 4-*tert*-butylcatechol." *Polymer*: vol. 44, no. 16, July 2003, pp. 4471–4480.
12. H. Weisse, H. Keul, and H. Höcker. "A new route to carboxylated poly(ether sulfone)s: Synthesis and characterization." *Polymer*: vol. 42, no. 14, June 2001, pp. 5973– 5978.
13. M. Kawahara and T. Kitaura. Method of producing 4,4'-biphenol. US Patent 6 794 548, assigned to Honschu Chemical Industry Co., Ltd. (Tokyo, JP), 21 September 2004.
14. M. Iwahara and T. Saruwatari. Process for producing bisphenol a. US Patent 7 129 382, assigned to Idemitsu Petrochemical Co., Ltd. (Tokyo, JP), 31 October 2006.
15. M. Stumpp, P. Neumann, W. Ruehenback, and M. Bergner. Preparation of bis(4-hydroxyphenyl)sulfone. US Patent 5 059 715, assigned to BASF Aktiengesellschaft (Ludwigshafen, DE), 22 October 1991.
16. G. Pabst and J. Kast. Semi-continuous method for producing 4,4'-dihydroxydiphenyl sulfone. US Patent 6 700 020, assigned to BASF Aktiengesellschaft (Ludwigshafen, DE), 2 March 2004.
17. M. Stumpp, P. Neumann, and H. Eilingsfeld. Preparation of bis-(4-chlorophenyl) sulfone. US Patent 4 983 773, assigned to BASF Aktiengesellschaft (Ludwigshafen, DE), 8 January 1991.
18. P. J. Horner. Production of di-4-chlorophenyl sulphone. GB Patent 1 393 929, assigned to Imperial Chemical Industries Ltd., 14 May 1975.
19. H. R. Kricheldorf. "Aromatic Polyethers." In: H. R. Kricheldorf, O. Nuyken, and G. Swift, eds. *Handbook of Polymer Synthesis*, volume 70 of *Plastics Engineering*. New York: Marcel Dekker, 2005, chap. 7, pp. 427-501.
20. T. Yokozawa and A. Yokoyama. "Chain-growth polycondensation: The living polymerization process in polycondensation." *Progress in Polymer Science*: vol. 32, no. 1, January 2007, pp. 147–172.
21. R. N. Johnson and A. G. Farnham. Polyarylene polyethers. US Patent 4 175 175, assigned to Union Carbide Corporation (New York, NY), 20 November 1979.

22. R. R. Cooper and D. G. Parker. Preparation of polyarylenesulfone from bis(chloroaryl) sulfone, dihydric phenol and difluorodiphenylsulfone. US Patent 5 239 044, assigned to Imperial Chemical Industries, PLC (Welwyn Garden City, GB2), 24 August 1993.
23. T. H. Schwab. Low color poly(biphenyl ether sulfone) and improved process for the preparation thereof. US Patent 6 593 445, assigned to Solvay Advanced Polymers, LLC (Alpharetta, GA), 15 July 2003.
24. M. Shibata, J. Cao, and R. Yosomiya. "Synthesis and properties of the block copolymers of poly(ether ether ketone) and the poly(aryl ether sulfone) containing biphenylene moiety." *Polymer*: vol. 38, no. 12, June 1997, pp. 3103–3108.
25. F. Wang, M. Hickner, Y. S. Kim, T. A. Zawodzinski, and J. E. McGrath. "Direct polymerization of sulfonated poly(arylene ether sulfone) random (statistical) copolymers: Candidates for new proton exchange membranes." *Journal of Membrane Science*: vol. 197, nos. 1-2, March 2002, pp. 231–242.
26. Y. Li, F. Wang, J. Yang, D. Liu, A. Roy, S. Case, J. Lesko, and J. E. Mc-Grath. "Synthesis and characterization of controlled molecular weight disulfonated poly(arylene ether sulfone) copolymers and their applications to proton exchange membranes." *Polymer*: vol. 47, no. 11, May 2006, pp. 4210–4217.
27. R. W. Lenz, C. E. Handlovits, and H. A. Smith. "Phenylene sulfide polymers. III. The synthesis of linear polyphenylene sulfide." *Journal of Polymer Science*: vol. 58, no. 166, 1962, pp. 351–367.
28. A. B. Newton and J. B. Rose. "Relative reactivities of the functional groups involved in synthesis of poly(phenylene ether sulphones) from halogenated derivatives of diphenyl sulphone." *Polymer*: vol. 13, no. 10, October 1972, pp. :465– 474.
29. H. Weisse, H. Keul, and H. Höcker. Block copolymers with sulfonated polyether sulfone units. US Patent 6 451 921, assigned to Membrana GmbH (Wuppertal, DE), 17 September 2002.
30. A. Ben-Haida, H. M. Colquhoun, P. Hodge, and J. L. Stanford. "A novel approach to processing high-performance polymers that exploits entropically driven ring-opening polymerization." *Macromolecular Rapid Communications*: vol. 26, 2005, pp. 1377–1382.
31. V. Jansons and H. C. Gors. Preparation of aromatic ketone-sulfone copolymers. US Patent 4 593 086, assigned to Raychem Corporation (Menlo Park, CA), 3 June 1986.
32. W. R. Darnell and W. J. Jackson, Jr. Process for the preparation of polyketone and poly(ketone-sulfone) polymers. US Patent 4 861 856, assigned to Eastman Kodak Company (Rochester, NY), 29 August 1989.

33. S.-J. Liu, Y.-M. Niu, X.-L. Zhu, G.-B. Wang, and Z.-H. Jiang. "Synthesis and properties of poly(aryl ether ketone) copolymers containing 2,7-naphthalene moieties." *Chemical Research in Chinese Universities*: vol. 22, no. 1, January 2006, pp. 114–117.
34. J. J. F. Kučera. "Homogeneous and heterogeneous sulfonation of polymers: A review." *Polymer Engineering and Science*: vol. 38, no. 5, May 1998, pp. 783–792.
35. Z. Wang, X. Li, C. Zhao, H. Ni, and H. Na. "Synthesis and characterization of sulfonated poly(arylene ether ketone sulfone) membranes for application in proton exchange membrane fuel cells." *Journal of Power Sources*: vol. 160, no. 2, October 2006, pp. 969–976, October 2006.
36. G. S. Gohil, R. K. Nagarale, V. V. Binsu, and V. K. Shahi. "Preparation and characterization of monovalent cation selective sulfonated poly(ether ether ketone) and poly(ether sulfone) composite membranes." *Journal of Colloid and Interface Science*: vol. 298, no. 2, June 2006, pp. 845–853.
37. X. Zhang, S. Liu, L. Liu, and J. Yin. "Partially sulfonated poly(arylene ether sulfone)-b-polybutadiene for proton exchange membrane." *Polymer*: vol. 46, no. 6, February 2005, pp. 1719–1723.
38. B. L. Dickinson, M. J. El-Hibri, and M. E. Sauers. Poly(aryl ether sulfone) compositions comprising poly(phenylene ether sulfone). US Patent 5 174 958, assigned to Amoco Corporation (Chicago, IL), 29 December 1992.
39. M. J. El-Hibri. High impact strength polysulfones. US Patent 6 124 399, assigned to Bz Amoco Corporation (Chicago, IL), 26 September 2000.
40. H. Scheckenbach, A. Schleicher, and J. Kulpe. Mixtures of polyarylene sulfones with polyarylene sulfoxides and polyarylene sulfides. US Patent 5 780 561, assigned to Hoechst Aktiengesellschaft (DE), 14 July 1998.
41. W. E. Kelly, L. J. Male, and G. C. Plithides. Flame retardant thermoplastic compositions. US Patent 5 916 958, assigned to Amoco Corporation (Chicago, IL), 29 June 1999.
42. Y. Satake, S. Yamamoto, T. Kaneko, M. Tada, T. Kashiwadate, Y. Mizuno, H. Endo, T. Katto, and Y. Shiiki. Polyarylene thioether block copolymer and its production. JP Patent 2 225 527, assigned to Kureha Chemical Ind Co. Ltd, 7 September 1990.
43. Y. Kawakami and Z. Shiiki. Production process for aromatic thioether ketone/thioether sulfone copolymers. US Patent 5 484 876, assigned to Kureha Kagaku Kogyo K.K. (Tokyo, JP), 16 January 1996.

44. S. Bagrodia, D. R. Fagerburg, J. J. Watkins, and P. B. Lawrence. Blends of copoly(arylene sulfide) and poly(aryl sulfone). US Patent 5 276 111, assigned to Eastman Kodak Company (Rochester, NY), 4 January 1994.
45. R. L. Bobsein, M. L. Stone, and J. F. Geibel. Reinforced plastic comprising poly(arylene sulfide sulfone) polymer containing ether groups matrix. US Patent 5 024 876, assigned to Phillips Petroleum Company (Bartlesville, OK), 18 June 1991.
46. T. Sakane, T. Kato, and K. Ogawara. Production of poly(arylene sulfide sulfone) with excess water to alkali metal sulfide. US Patent 5 093 467, assigned to Tosoh Corporation (Yamaguchi, JP), 3 March 1992.
47. G. Di Pasquale and A. Recca. "Synthesis and characterization of metalinked polyamides containing sulfone, ether and ketone linkages." *Polymer*: vol. 39, no. 4, February 1998, pp. 949–952.
48. M. R. Bellomo, G. Di Pasquale, A. La Rosa, A. Pollicino, and G. Siracusa. "New aromatic polyamide materials containing sulfone, ether and ketone linkages." *Polymer*: vol. 37, no. 13, June 1996, pp. 2877–2881.
49. P. Himmelberg and E. Fossum. "Development of an efficient route to hyperbranched poly(arylene ether sulfone)s." *Journal of Polymer Science Part A: Polymer Chemistry*: vol. 43, 2005, pp. 3178–3187.
50. Y. Chang, Y. C. Kwon, K. Park, and C. Kim. "Hyperbranched poly(ether sulfone) with 1,3,5-s-triazine moiety." *Korean Polymer Journal*: vol. 8, 2000, pp. 142–146.
51. K. Matsumoto and M. Ueda. "Synthesis of hyperbranched aromatic poly(ether sulfone) with sulfonyl chloride terminal groups." *Chemistry Letters*: vol. 35, 2006, pp. 1196–1197.
52. J. Charkoudian. Compositions of a copolymer including a sulfone polymer. US Patent 5 883 150, assigned to Millipore Corporation (Bedford, MA), 16 March 1999.
53. D. H. R. Barton and G. Kretschmar. "Radical chemistry of thiohydroxamic acid esters." *Tetrahedron Letters*: vol. 24, no. 52, 1983, pp. 5889–5892.
54. D. H. R. Barton, D. Bridon, I. Fernandez-Picot, and S. Z. Zard. "The invention of radical reactions: Part XV. Some mechanistic aspects of the decarboxylative rearrangement of thiohydroxamic esters." *Tetrahedron Letters*: vol. 43, no. 12, 1987, pp. 2733–2740.
55. W. H. Daly and T. S. Evenson. "Grafting of vinyl polymers to carboxylated poly(arylene ether sulfone) utilizing barton ester intermediates and nitroxide mediation." *Polymer*: vol. 41, no. 13, June 2000, pp. 5063–5071.

56. A. Ayambem, S. J. Mecham, Y. Sun, T. E. Glass, and J. E. McGrath. "Endgroup substituent effects on the rate/extent of network formation and adhesion for phenylethynyl-terminated poly(arylene ether sulfone) oligomers." *Polymer*: vol. 41, no. 13, June 2000, pp. 5109–5124.
57. D. Macocinski, A. Grigoriu, and D. Filip. "Aromatic polysulfones for flame retardancy." *European Polymer Journal*: vol. 38, no. 5, May 2002, pp. 1025–1031.
58. P. Almen and I. Ericsson. "Studies of the thermal degradation of polysulfones by filament-pulse pyrolysis–gas chromatography." *Polymer Degradation and Stability*: vol. 50, no. 2, 1995, pp. 223–228.
59. L.-H. Perng. "Comparison of thermal degradation characteristics of poly(arylene sulfone)s using thermogravimetric analysis/mass spectrometry." *Journal of Applied Polymer Science*: vol. 81, 2001, pp. 2387–2398.
60. Anonymous. Chemical compatibility of sulfone polymers. Technical Bulletin G-50414, Solvay Advanced Polymers, Alpharetta, Georgia, 2006. [electronic] <<http://www.solvayadvancedpolymers.com/static/wma/pdf/6/3/8/2/ChemResTB.pdf>>.
61. Anonymous. Effects of chlorinated water on plastic-based water delivery systems. Technical Bulletin G-50177, Solvay Advanced Polymers, Alpharetta, Georgia, 2002. [electronic] <<http://www.solvayadvancedpolymers.com/static/wma/pdf/2/4/7/ECWPBWDS.pdf>>.
62. Anonymous. Electrical properties for radel® polyphenylsulfone. Technical Bulletin MD-50135, Solvay Advanced Polymers, Alpharetta, Georgia, 2002. [electronic] <[http://www.solvayadvancedpolymers.com/static/wma/pdf/2/3/8/RR\\_Elec\\_Prop.pdf](http://www.solvayadvancedpolymers.com/static/wma/pdf/2/3/8/RR_Elec_Prop.pdf)>.
63. L. A. McKenna. Stain resistant cookware from blends comprising an interpolymers of an unsaturated dicarboxylic acid compound. US Patent 4 772 653, assigned to Amoco Corporation (Chicago, IL), 20 September 1988.
64. U. Eichenauer, E. Neufeld, A. Ludwig, T. Sauer, and A. Ulzhöfer. Production of polyarylene-ether-sulfone useful for coating, especially to produce sliding surface. DE Patent 19 816 955, assigned to Basf AG (DE), 21 October 1999.
65. M. Mulder. *Basic Principles of Membrane Technology*. 2<sup>nd</sup> ed. Dordrecht: Kluwer Academic, 1996.
66. M. Rikukawa and K. Sanui. "Proton-conducting polymer electrolyte membranes based on hydrocarbon polymers." *Progress in Polymer Science*: vol. 25, no. 10, December 2000, pp. 1463–1502.



67. X. Jian, Y. Dai, G. He, and G. Chen. "Preparation of UF and NF poly (phthalazine ether sulfone ketone) membranes for high temperature application." *Journal of Membrane Science*: vol. 161, nos. 1-2, August 1999, pp. 185–191.
68. Y. Su, X. Jian, S. Zhang, and C. Yan. "Preparation of novel PPES-B UF membrane with good thermal stability: The effect of additives on membrane performance and cross-section morphology." *Journal of Membrane Science*: vol. 271, nos. 1-2, March 2006, pp. 205–214.
69. Y. Dai, X. Jian, S. Zhang, and M. D. Guiver. "Thermostable ultrafiltration and nanofiltration membranes from sulfonated poly(phthalazinone ether sulfone ketone)." *Journal of Membrane Science*: vol. 188, no. 2, July 2001, pp. 195–203.
70. Y. Gao, G. P. Robertson, M. D. Guiver, X. Jian, S. D. Mikhailenko, K. Wang, and S. Kaliaguine. "Sulfonation of poly(phthalazinones) with fuming sulfuric acid mixtures for proton exchange membrane materials." *Journal of Membrane Science*: vol. 227, nos. 1-2, December 2003, pp. 39–50,.
71. M. Wang, L.-G. Wu, X.-C. Zheng, J.-X. Mo, and C.-J. Gao. "Surface modification of phenolphthalein poly(ether sulfone) ultrafiltration membranes by blending with acrylonitrile-based copolymer containing ionic groups for imparting surface electrical properties." *Journal of Colloid and Interface Science*: vol. 300, no. 1, August 2006, pp. 286–292,
72. M.-L. Luo, J.-Q. Zhao, W. Tang, and C.-S. Pu. "Hydrophilic modification of poly(ether sulfone) ultrafiltration membrane surface by self-assembly of TiO<sub>2</sub> nanoparticles." *Applied Surface Science*: vol. 249, nos. 1-4, August 2005, pp. 76–84.
73. B. Kaeselev, P. Kingshott, and G. Jonsson. "Influence of the surface structure on the filtration performance of UV-modified PES membranes." *Desalination*: vol. 146, nos. 1-3, September 2002, pp. 265–271.
74. J. Pieracci, J. V. Crivello, and G. Belfort. "Increasing membrane permeability of UV-modified poly(ether sulfone) ultrafiltration membranes." *Journal of Membrane Science*: vol. 202, nos. 1-2, June 2002, pp. 1–16.
75. G. Belfort, J. V. Crivello, and J. Pieracci. UV-assisted grafting of PES and PSF membranes. US Patent 6 852 769, assigned to Rensselaer Polytechnic Institute (Troy, NY), 8 February 2005.
76. X. Wei, R. Wang, Z. Li, and A. G. Fane. "Development of a novel electrophoresis-UV grafting technique to modify PES UF membranes used for NOM removal." *Journal of Membrane Science*: vol. 273, nos. 1-2, March 2006, pp. 47–57.

77. M. Taniguchi and G. Belfort. "Low protein fouling synthetic membranes by UV-assisted surface grafting modification: Varying monomer type." *Journal of Membrane Science*: vol. 231, nos. 1-2, March 2004, pp. 147–157.
78. M. Taniguchi, J. E. Kilduff, and G. Belfort. "Low fouling synthetic membranes by UV-assisted graft polymerization: Monomer selection to mitigate fouling by natural organic matter." *Journal of Membrane Science*: vol. 222, nos. 1-2, September 2003, pp. 59–70.
79. Y. Yang, D. Yang, S. Zhang, J. Wang, and X. Jian. "Preparation and characterization of poly(phthalazinone ether sulfone ketone) hollow fiber ultra-filtration membranes with excellent thermal stability." *Journal of Membrane Science*: vol. 280, nos. 1-2, September 2006, pp. 957–968.
80. Y. Yang, X. Jian, D. Yang, S. Zhang, and L. Zou. "Poly(phthalazinone ether sulfone ketone) (PPESK) hollow fiber asymmetric nanofiltration membranes: Preparation, morphologies and properties." *Journal of Membrane Science*: vol. 270, nos.1-2, February 2006, pp. 1–12.
81. B. Shi, Y. Wu, and J. Liu. "Vapor permeation separation of MeO-H/MTBE through polyimide/sulfonated poly(ether-sulfone) hollow-fiber membranes." *Desalination*: vol. 161, no. 1, February 2004, pp. 59–66.
82. B. Zhang, T. Wang, S. Zhang, J. Qiu, and X. Jian. "Preparation and characterization of carbon membranes made from poly(phthalazinone ether sulfone ketone)." *Carbon*: vol. 44, no. 13, November 2006, pp 2764–2769.
83. W. T. Grubb. "Ionic migration in ion-exchange membranes." *Journal of Physical Chemistry*: vol. 63, January 1959, pp. 55–58.
84. H. A. Every, M. A. Hickner, J. E. McGrath, and T. A. Zawodzinski, Jr. Nafion versus sulfonated poly(arylene ether sulfone)s. A comparison of the methanol diffusion behavior. In: *Fuel Cells from Materials to Systems*, The Electrochemical Society, Pennington, New Jersey 08534-2839, USA, 2003. 203<sup>rd</sup> Meeting of the the Electrochemical Society, Paris.
85. S. Wang and J. E. McGrath. "Synthesis of poly(arylene ether)s.: In: M. Rogers and T. E. Long, eds., *Synthetic Methods in Step-growth Polymers*. New York: Wiley, 2003, chap. 6, pp. 327-374.
86. Y. Gao, G. P. Robertson, M. D. Guiver, X. Jian, S. D. Mikhailenko, K. Wang, and S. Kaliaguine. "Direct copolymerization of sulfonated poly(phthalazinone arylene ether)s for proton-exchange-membrane materials." *Journal of Polymer Science Part A: Polymer Chemistry*: vol. 41, 2003, pp. 2731–2742.

87. X. Li, C. Zhao, H. Lu, Z. Wang, and H. Na. "Direct synthesis of sulfonated poly(ether ether ketone)s (SPEEKs) proton exchange membranes for fuel cell application." *Polymer*: vol. 46, no. 15, July 2005, pp. 5820–5827.
88. M. L. Hill, Y. S. Kim, B. R. Einsla, and J. E. McGrath. "Zirconium hydrogen phosphate/disulfonated poly(arylene ether sulfone) copolymer composite membranes for proton exchange membrane fuel cells." *Journal of Membrane Science*: vol. 283, nos. 1-2, October 2006, pp. 102–108.
89. G. M. Anilkumar, S. Nakazawa, T. Okubo, and T. Yamaguchi. "Proton conducting phosphated zirconia-sulfonated polyether sulfone nanohybrid electrolyte for low humidity, wide-temperature PEMFC operation." *Electrochemistry Communications*: vol. 8, no. 1, January 2006, pp. 133–136.
90. Y. Su, X. Jian, S. Zhang, and G. Wang. "Preparation and characterization of quaternized poly(phthalazinone ether sulfone ketone) NF membranes." *Journal of Membrane Science*: vol. 241, no. 2, October 2004, pp. 225–233.
91. M. Li, H. Zhang, and Z.-G. Shao. "Quaternized poly(phthalazinone ether sulfone ketone) membrane doped with H<sub>3</sub>PO<sub>4</sub> for high-temperature PEMFC operation." *Electrochemical and Solid-State Letters*: vol. 9, 2006, A60–A63.
92. H.-J. Kim, N. N. Krishnan, S.-Y. Lee, S. Y. Hwang, D. Kim, K. J. Jeong, J. K. Lee, E. Cho, J. Lee, and J. Han. "Sulfonated poly(ether sulfone) for universal polymer electrolyte fuel cell operations." *Journal of Power Sources*: vol. 160, no. 1, September 2006, pp. 353–358.
93. A. J. Curello, F. Fairbanks, and C. Loonis. Fuel gauge for fuel cartridges. US Patent 7 117 732, assigned to Societe BIC (Clichy Cedex, FR), 10 October 2006.
94. Y. S. Kim, B. Einsla, M. Sankir, W. Harrison, and B. S. Pivovar. "Structure-property-performance relationships of sulfonated poly(arylene ether sulfone)s as a polymer electrolyte for fuel cell applications." *Polymer*: vol. 47, no. 11, May 2006, pp. 4026–4035.
95. Y. S. Kim, L. Dong, M. A. Hickner, B. S. Pivovar, and J. E. McGrath. "Processing induced morphological development in hydrated sulfonated poly(arylene ether sulfone) copolymer membranes." *Polymer*: vol. 44, no. 19, September 2003, pp. 5729–5736.
96. W. Cui. Polymer blend membranes for use in fuel cells. US Patent 6 869 980, assigned to Celanese Ventures GmbH (DE), 22 March 2005.
97. H.-L. Wu, C.-C. M. Ma, F.-Y. Liu, C.-Y. Chen, S.-J. Lee, and C.-L. Chiang. "Preparation and characterization of poly(ether sulfone)/ sulfonated poly(ether ether ketone) blend membranes." *European Polymer Journal*: vol. 42, no. 7, July 2006, pp. 1688–1695.

98. D. S. Kim, K. H. Shin, H. B. Park, Y. S. Chung, S. Y. Nam, and Y. M. Lee. "Synthesis and characterization of sulfonated poly(arylene ether sulfone) copolymers containing carboxyl groups for direct methanol fuel cells." *Journal of Membrane Science*: vol. 278, nos. 1-2, July 2006, pp. 428-436.
99. H. Kuwahara, T. Kawaguchi, S. Ohmori, and S. Matsumura. Application of sulfone, ketone and ester containing polyalkyl ether units to medical materials. US Patent 5 969 082, assigned to Teijin Limited (Osaka, JP), 19 October 1999.
100. C. J. Buck. Sulfonated poly(arylene ether sulfone) polymers as dental plaque barriers. US Patent 4 360 513, assigned to Johnson & Johnson Products, Inc. (New Brunswick, NJ), 23 November 1982.
101. R. Bhattacharya, T. N. Phaniraj, and D. Shailaja. "Polysulfone and polyvinyl pyrrolidone blend membranes with reverse phase morphology as controlled release systems: Experimental and theoretical studies." *Journal of Membrane Science*: vol. 227, nos. 1-2, December 2003. pp. 23-37.
102. D. Segev. Nucleic acid derivatives. US Patent 7 034 131, assigned to Bio-Rad Laboratories Inc. (Hercules, CA), 25 April 2006.
103. D. Segev. Poly(ether-thioether), poly(ether-sulfoxide) and poly(ether-sulfone) nucleic acids. WO Patent 0 116 365, assigned to Bio Rad Laboratories (US); Segev David (IL), 8 March 2001.
104. J.-P. Kim, J.-W. Kang, J.-J. Kim, and J.-S. Lee. "Fluorinated poly(arylene ether sulfone)s for polymeric optical waveguide devices." *Polymer*: vol. 44, no. 15, July 2003, pp. 4189-4195.
105. J. S. Lee, J. J. Kim, J. P. Kim, J. W. Kang, and W. Y. Lee. Poly (arylene ether sulfide) and poly (arylene ether sulfone) for optical device and method for preparing the same. US Patent 6 512 076, assigned to Kwangju Institute of Science and Technology (Kwangju, KR), 28 January 2003.
106. J.-W. Kang, J.-P. Kim, J.-S. Lee, and J.-J. Kim. "Structure-property relationship of fluorinated co-poly(arylene ether sulfide)s and co-poly(arylene ether sulfone)s for low-loss and low-birefringence waveguide devices." *Journal of Lightwave Technology*: vol. 23, 2005, pp. 64-373.
107. Y. Qi, C. L. Callender, J. Jiang, T. Norsten, M. Day, and J. Ding. Cross-linkable highly fluorinated poly(arylene ethers) for optical waveguide applications. CA Patent 2 507 981, assigned to National Research Council (CA), 19 November 2005.
108. J. Ding, F. Liu, M. Zhou, M. Li, M. Day, and P. Vuillaume. Techniques for the preparation of highly fluorinated polyethers. WO Patent 03 099 907, assigned to National Research Council (CA), 4 December 2003.

109. Y. Qi, J. Jiang, C. L. Callender, J. Ding, and M. Day. "Cross-linkable highly fluorinated polymers with tunable refractive index." *Materials Research Society Symp. Proc.*: vol. 888, 2006, pp. 263–268.
110. J. Ding, Y. Qi, M. Day, J. Jiang, and C. L. Callender. "A low temperature polycondensation for the preparation of highly fluorinated poly(arylene ether sulfone)s containing crosslinkable pentafluorostyrene moieties." *Macromolecular Chemistry and Physics*: vol. 206, 2005, pp. 2396–2407.
111. Y. Qi, J. Ding, M. Day, J. Jiang, and C. L. Callender. "Cross-linkable highly fluorinated poly(arylene ether ketones/sulfones) for optical waveguiding applications." *Chemistry of Materials*: vol. 17, 2005, pp. 676–682.
112. M. J. El-Hibri and B. L. Dickinson. Plumbing articles from poly(aryl ether sulfones). US Patent 6 329 493, assigned to BP Corporation North America Inc. (Chicago, IL), 11 December 2001.
113. H. M. Colquhoun, D. F. Lewis, P. Hodge, A. Ben-Haida, D. J. Williams, and Baxter. "Ring-chain interconversion in high-performance polymer systems. 1. [poly(oxy-4,4'-biphenyleneoxy-1,4-phenylenesulfonyl-1,4-phenylene)] (Radel-R)." *Macromolecules*: vol. 35, 2002, pp. 6875–6882.
114. H. M. Colquhoun, D. F. Lewis, A. Ben-Haida, and P. Hodge. "Ring-chain interconversion in high-performance polymer systems. 2. ring-opening polymerization-copolyetherification in the synthesis of aromatic poly(ether sulfones)." *Macromolecules*: vol. 36, 2003, pp. 3775–3778.

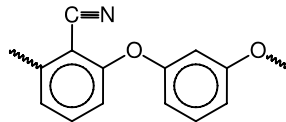
## بوليميرات (أريلين إيثر نتريل)

لقد جرى وصف سيرورات تصنيع بوليميرات بولي(أريلين إيثر نتريل) (PEN) منذ السبعينيات من القرن الماضي<sup>1</sup>، إلا أنّ الإنتاج التجاري يعود إلى عام 1986 من قبل شركة إيديمتسو (Idemitsu)<sup>2</sup>. تنتمي بوليميرات PEN إلى البوليميرات العالية الأداء، نصف المتبلّرة، المتلدّنة حرارياً والتي تتمتع بدرجة انصهار مرتفعة، وخواص ميكانيكية ممتازة، ومقاومة كيميائية عالية.

أساساً، يمتلك بوليمير PEN البنية المبيّنة في الشكل (1-8)<sup>3</sup>. يُطلق على هذا البوليمير أيضاً اسم بولي(سيانو أريل إيثر). بالطبع لا يمكن لزمرة النتريل أن تكون السلسلة الرئيسيّة ولكنها زمرة سلسلة جانبيّة. ولقد جرى استعراض طرائق اصطناع بوليميرات PEN وخواصّها في الأدبيات<sup>2</sup>.

### 1.8. المونوميرات

يلخّص الجدول (1-8) والشكلان (2-8) و(3-8) المونوميرات في حالة بوليميرات PEN. تُستعمل مونوميرات اثنائيّة الوظيفة لبناء السلسلة البوليميريّة، في حين تُستعمل المونوميرات الوحيدة الوظيفة للتحكّم بالوزن الجزيئي للسلسلة البوليميريّة.



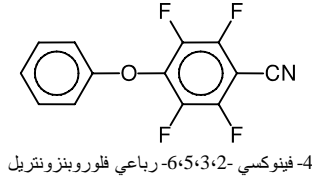
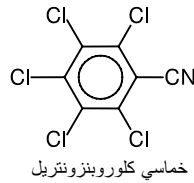
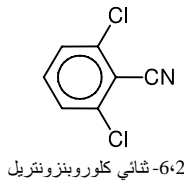
الشكل (1-8): بولي(أريلين إيثر نتريل)

الجدول (1-8): المونوميرات في حالة بولي (أريلين إيثر نتريل)

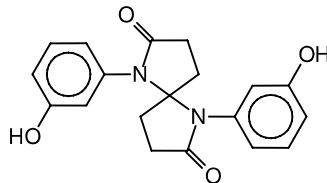
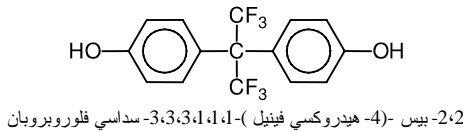
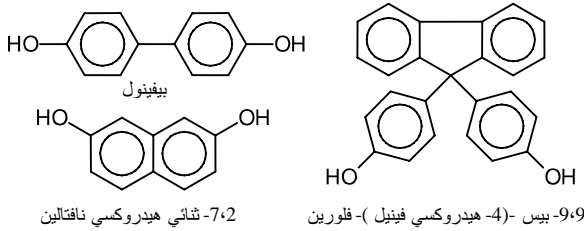
ملاحظات	مونومير النتريل
الشائع الاستعمال <sup>4</sup>	6،2-ثنائي كلوروبنزونتريل
بوليميرات متشعبة <sup>5</sup>	خماسي كلوروبنزونتريل
النوع العشائي <sup>6</sup>	خماسي فلوروبنزونتريل
النوع العشائي <sup>7</sup>	4-فينوكسي-2،3،5،6-رباعي فلوروبنزونتريل
موقف السلسلة <sup>8</sup>	2-فلوروبنزونتريل
ملاحظات	مونومير الهيدروكسي
شائع	ريزورسينول
شائع	هيدروكينول
شائع	بيفينول
يزيد $4T_g$	7،2-ثنائي هيدروكسي نفتالين
شائع <sup>1</sup>	بيسفينول A
أغشية <sup>9</sup>	4،4'-سداسي فلوروايزوبروبيليدين (ثنائي فينول
7	9،9-بيس (4-هيدروكسي فينيل)-فلورين
7	فينول فتالئين
	4،4'-ثنائي هيدروكسي ثنائي فينيل سلفون
	مركبات السبيروديلاكتام المُستبدل فيها هيدروكسي آريل.
يزيد $10T_g$	مثل 6،1-ثنائي (4-هيدروكسي فينيل)-1،6-ديازاسبيرو [4.4]نونان
	7،2-ديون
النوع العشائي <sup>7</sup>	2،2-بيس (4-هيدروكسي فينيل)-1،1،1،3،3،3-سداسي فلوروبروبان
موقف السلسلة <sup>8</sup>	p-فينيل فينول

### 1.1.8. مركبات بنزونتريل المهجنة

إنّ 6،2-ثنائي فلوروبنزونتريل أكثر تفاعلية من 6،2-ثنائي كلوروبنزونتريل. وبوجه خاصّ تحسّن المونوميرات المُفلورة عملية صب الأغشية، بسبب ازدياد في الانحلالية.



الشكل (8-2): مونوميرات النتريل في حالة بولي(أريلين إيثر نتريل)



601-3-ثنائي (3-هيدروكسي فينيل)-1-6-ديازاسبيرو [4.4]-نونان-702-ديون

الشكل (8-3): مونوميرات الهيدروكسي في حالة بولي(أريلين إيثر نتريل)

### 1.1.1.8 .602-ثنائي كلوروبنزونتريل

يُنتَج 602-ثنائي كلوروبنزونتريل بالأكسدة بالأمونيوم باستعمال أوكسيد القاناديوم-موليبدين محفّزاً<sup>11</sup>. درجة حرارة التفاعل هي حوالي 360°C، مع زمن تماس لغاز التفاعل مع المحفّز حوالي 7.5 ثانية. وهو يستعمل بصفته مادّة أوليّة للمبيدات الحشرية ومبيدات الأعشاب الضارة، وذلك إلى جانب استعماله في البوليميرات.



### 2.1.1.8. 6،2-ثنائي فلوروبنزونتريل

يُحضّر 6،2-ثنائي فلوروبنزونتريل بتفاعل 6،2-ثنائي كلوروبنزونتريل مع فلوريد البوتاسيوم بوجود مُذيب مثل ثنائي ميثيل سلفوكسيد وسفلولان عند  $180^{\circ}\text{C}$  لعدّة ساعات.

في سيرورات صنع 6،2-ثنائي فلوروبنزونتريل التي لا تتضمن مُذيباً، يُفاعل 6،2-ثنائي كلوروبنزونتريل مع فلوريد معدن قلوي لامائي بقدر كافٍ عند  $225^{\circ}\text{C}$ <sup>12</sup>. في هذه المرحلة يتكوّن لدينا مزيج من 2-كلورو-6-فلوروبنزونتريل، و6،2-ثنائي فلوروبنزونتريل، و6،2-ثنائي كلوروبنزونتريل غير المتفاعل. ثم يُعزل 6،2-ثنائي فلوروبنزونتريل، ويُغذى المفاعل ببقية المنتجات تغذية راجعة. وتستعمل إثيرات تاجية بصفتها مُحفّزات.

هناك طريق أخرى للحصول على 6،2-ثنائي فلوروبنزونتريل تقوم على فلورة 6،3،2-ثلاثي كلوروبنزونتريل في مرحلة أولى للحصول على 3-كلورو-6،2-ثنائي فلوروبنزونتريل. ثم يُهدرج 3-كلورو-6،2-ثنائي فلوروبنزونتريل في مرحلة ثانية للحصول على المنتج النهائي<sup>13</sup>. أمّا مادة البدء 6،3،2-ثلاثي كلوروبنزونتريل فيمكن اشتقاقها من حمض p-تولوين سلفونيك بغاية السهولة.

### 3.1.1.8. خماسي كلوروبنزونتريل وخماسي فلوروبنزونتريل

يجري الحصول على خماسي كلوروبنزونتريل بالكلورة في الطور الغازي لبنزونتريل باستعمال معادن انتقالية على الكربون النشط<sup>14،15</sup>. ويمكن اصطناع خماسي فلوروبنزونتريل من خماسي كلوروبنزونتريل باستعمال عامل فلورة لتفاعل تبادل هالوجينات في البنزونتريل<sup>16</sup>. يغلي فلوروبنزونتريل عند نقطة غليان قدرها  $162^{\circ}\text{C}$ ، وهي أقل بكثير من نقطة غليان البنزونتريل ( $191^{\circ}\text{C}$ ) ومن نقطة غليان خماسي كلوروبنزونتريل. لذلك يمكن بسهولة تقطير المنتج. إنّ فلوريد البوتاسيوم الجاف عامل فلورة مناسب<sup>17</sup>. وقد تظهر الحاجة إلى شروط تفاعل قاسية.

## 2.1.8. مركبات الهيدروكسي العطرية

إن اصطناع معظم مركبات الهيدروكسي العطرية الواردة في الجدول (1-8) معروف جيداً. سنناقش تفصيلاً فقط بعضاً من أقلها شيوعاً.

يُحضّر الهيدروكينون (HQ) بأكسدة الفينول. ويُحضّر الريزورسينول بأكسدة m-ثنائي إيزوبروبيل بنزين. ويُحضّر البيفينول بالديمرّة المؤكسدة لمركب 6،2-ثنائي - ترت-بوتيل فينول يلي ذلك إزالة للبوتيل<sup>18</sup>. يُحضّر 4،4'-ثنائي هيدروكسي ثنائي فينيل سلفون بتفاعل الفينول مع حمض الكبريت. ويجري الحصول على الفينول فتالئين من أنهيدريد الفتاليك والفينول بوجود راتنجات تبادل كاتيونات حمضية ومركبات الأريل فوسفيت.

### 1.2.1.8. 9،9-بيس - (4-هيدروكسي فينيل)-فلورين

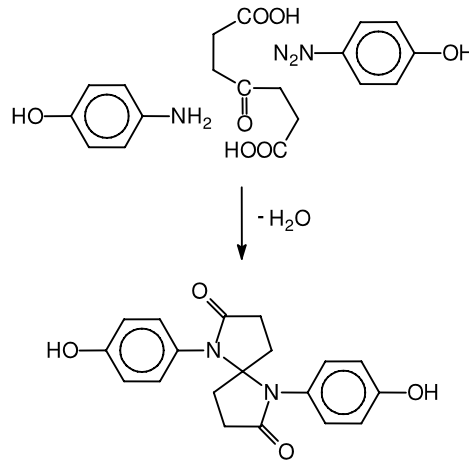
يُصنّع 9،9-بيس - (4-هيدروكسي فينيل)-فلورين تجارياً بتفاعل الفينول مع 9-فلورينون، بأسلوب اصطناع البيسفينول A نفسه<sup>19</sup>. ويستعمل كلوريد الهيدروجين أو حمض 3-ميركاتوبروبيونيك أو حمض ميثان سلفونيك بصفته مُحفّزاً. يجري تفاعل تكاثف الفلورينون والفينول بوجود كلوريد الهيدروجين الغازي بسرعة كافية حتى عند 30°C<sup>20</sup>. ويمكن الحصول على مونومير عالي النقاء باتباع سيرورة تنقية في مرحلتين<sup>21</sup>. في المرحلة الأولى يُقطّر 9،9-بيس - (4-هيدروكسي فينيل)-فلورين الخام تقطيراً مرتداً في الأسيتونتريل وتُعاد بلورته. وفي المرحلة الثانية، تجري بلورة المُنتج من مزيج تولوين/إيزو بروبانول.

### 2.2.1.8. مركبات السبيروديلاكتام

يُحضّر 6،1-ثنائي (4-هيدروكسي فينيل)-6،1-ديازا سبيرو [4.4]نونان-7،2-ديون من 6،1-ثنائي أوكساسبيرو [4.4]نونان-7،2-ديون و p-أمينوفينول، وبوجهٍ أساسيٍّ أكثر، من تفاعل p-أمينوفينول وحمض 4-أوكسو هيبتان ثنائي أوك<sup>22</sup>. يبين الشكل (4-8) مخطّط التفاعل.

عندما تستعمل مركبات 6،1-ديازا[4.4]سبيروديلاكتام ذات زمر أوكسي آريل بصفتها مركبات ثنائي الهيدروكسي، تتكوّن بوليميرات ذات درجات انتقال زجاجي مرتفعة. فمثلاً يُبدي بوليميرٌ مصنوعٌ من 6،1-ثنائي(3-هيدروكسي فينيل)-6،1-ديازاسبيرو[4.4]نونان-7،2-ديون و 6،2-ثنائي كلوروبنزونتريل درجة انتقال زجاجي قدرها 254°C<sup>10</sup>.

عموماً تتمتع البوليميرات التي تحتوي على بنية سبيروديلاكتام في سلسلتها الرئيسية باستقرار حراري جيد، ودرجات حرارة انتقال زجاجي مرتفعة نسبياً. إضافة إلى PEN، فلقد جرى اصطناع وتوصيف عدد من بوليميرات بولي (إيثر) الأخرى<sup>23</sup>. تتحلّ هذه البوليميرات في العديد من المذيبات العضوية، وتكوّن أغشية مرنة وصافية.



الشكل (4-8): اصطناع 6،1-ثنائي(4-هيدروكسي فينيل)-6،1-ديازاسبيرو

[4.4]نونان-7،2-ديون<sup>22</sup>

## 2.8. البلمرة والتصنيع

كما هي حال بوليميرات بولي (إيثر كيتون) (PEK)، يجري تحضير بوليميرات PEN إمّا وفق الطريق النيوكليوفيلي أو وفق الطريق الإلكتروفيلي.

## 1.2.8. الطريق الإلكتروفيلي

لقد جرى تحضير بوليميرات PEK مغطاة النهايات بوظائف نتريل باستعمال بلمرة فريدل-كرافتس<sup>24</sup>. فمثلاً تجري مُفاعلة m-هكزافينيل إيثر مع كلوريد p-سيانوبنزويل بوجود  $AlCl_3$  بصفته مُحفزاً في 2،1-ثنائي كلوروايثان الجاف ليتكوّن أوليغومير ذو نهاية مغطاة بالنتريل<sup>25</sup>. وفي دراسة أخرى، جرى استعمال كلوريد 5-سيانوإيزوفتالويل بصفته مونوميراً مشاركاً محتويّاً على النتريل في بلمرة فريدل-كرافتس<sup>26</sup>.

في بلمرة فريدل-كرافتس، لا يحتاج مركّب النتريل أن يحمل بالضرورة وظيفة كلورية، إذا كان هناك مركّب عطري كلوري آخر. ولقد جرت بالفعل بلمرة فريدل-كرافتس باستعمال 2،6-ثنائي فينوكسي بنزونتريل بصفته مركّب نتريل مع المونوميرات المشتركة المبيّنة في الشكل (5-8)<sup>27</sup>.

يمكن تشبيك الراتنجات بالتسخين مع محفّزات فريدل-كرافتس. من المفترض أن زمر النتريل تكوّن مركّبات تريازين بالتسخين. التشبيك ممكن حتّى بدون محفّزات فريدل-كرافتس، ولكن يتقدّم التفاعل عندئذ ببطء. المقصود من هذه المواد استعمالها في راتنجات الترقيق<sup>25</sup>.

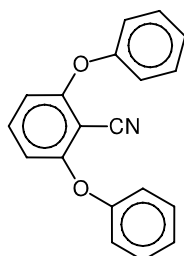
## 2.2.8. الطريق النيوكليوفيلي

يبدو أنّ الطريق النيوكليوفيلي هو الطريق المفضّل في السيرورات الصناعيّة. تُحضّر البوليميرات من ثنائي كلوروبنزونتريل، وديولات عطريّة مثل الريزورسينول، أو HQ، أو البيفينول. يتقدّم التفاعل في مذيبات قطبيّة باستعمال أساس بصفته مُحفزاً<sup>3</sup>.

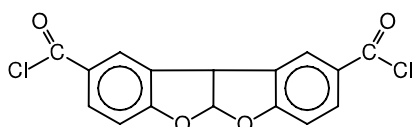
فمثلاً لقد جرى تكثيف 2،6-ثنائي كلوروبنزونتريل مع مزيج من 2،7-ثنائي هيدروكسي نفتالين والهيدروكينون، مع فائض ستوكيومتري طفيف لمركّب الهيدروكسي، عند درجات حرارة  $160-190^\circ C$  في جوّ خامل. يُستعمل كربونات البوتاسيوم بصفته مُحفزاً، ويُستعمل مزيج من السلفولان والتولوين بصفته مذيباً<sup>4</sup>.

يمكن بلوغ درجات حرارة تكاثف أعلى باستعمال المذيب 1،3-ثنائي ميثيل إيميدازوليدينون<sup>8</sup>. ونحصل في الوقت نفسه على أوزان جزيئيّة أعلى، لذلك يُعتبر المذيب

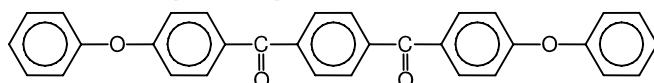
3،1-ثنائي ميثيل إيميدازوليدينون مفضلاً. تؤدّي مركّبات النتريل الوحيدة التكافؤ، مثل  
2-فلوروبنزونتريل، دور عامل تنظيم الوزن الجزيئي<sup>8</sup>.



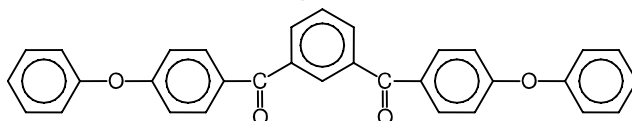
6،2-ثنائي فينوكسي بنزونتريل



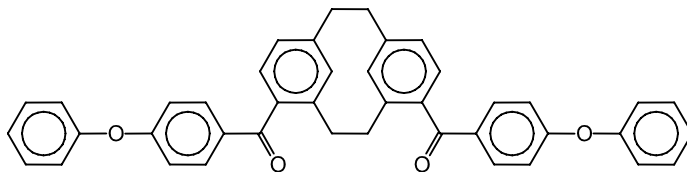
بنزوفورو [b-3,2] بنزوفوران -2،9-ثنائي كاربونيل ثنائي كلوريد



4،1-بيس (p-فينوكسي بنزويل) بنزين



4،1-بيس (p-فينوكسي بنزويل) بنزين



1،1'-بيس (p-فينوكسي بنزويل) [2.2] ميتاسيكلوفان

الشكل (5-8): مونوميرات لبلمرة فريدل-كرافتس<sup>27</sup>

### 1.2.2.8. الأوليغوميرات الحلقية

في سيرورات القولية، بدلاً من صهر البوليميرات النهائية، يمكن تكوينها أثناء القولية في سيرورة تفاعلية. ولكن عندما تكون السيرورة التفاعلية تفاعل تكاثف، تتكوّن أثناء حدوثها نواتج جانبية ذات أوزان جزيئية منخفضة. إلا أنّ استعمال أوليغوميرات حلقية

طليعية، تفتح الحلقة عند التسخين بوجود مُحفِّز في قالب، يمنع تكوّن النواتج الجانبية. وهكذا لا تعود هناك نواتج أخرى يجب إزالتها. تُبدي أوليغوميرات بولي (أريل إيثر) لزوجات صهارة منخفضة.

لقد جرى وصف طريقة عامة لتحضير أوليغوميرات حلقيّة<sup>28</sup>. ولقد وُصِفَت عدّة أنواع من أوليغوميرات بولي (أريل إيثر) الحلقيّة، بما في ذلك تحضير أوليغومير PEN حلقي. ما يُحبَّذ تكوّن الحلقات هو إجراء تفاعل البلمرة في وسط مُمدّد خامل. لمزيج المذيب من N-ميثيل-2-بيروليدين (NMP) والتولوين مع كربونات البوتاسيوم مُحفِّزاً، الذي يُعاد ضخّه، تضاف باستمرار محاليل منفصلة من مونوميرات الريزورسينول و 2،6-ثنائي فلوروبنزونتريل في NMP، بواسطة مضخّات حقن<sup>28</sup>. وهكذا فإنّ المكونات هي نفسها التي تُستعمل في تحضير الأنواع ذات الوزن الجزيئي المرتفع، إلا أنّ طريقة التحضير مختلفة.

#### 2.2.2.8. البوليميرات المتشعّبة

يجري تحضير بوليميرات بولي (أريلين إيثر) متشعّبة، ذات وزن جزيئي مرتفع، ومثلدنة حرارياً، وحاوية زمر نتريل باستعمال خماسي كلوروبنزونتريل، أو رباعي كلوروفتالو ثنائي نتريل، أو رباعي كلوروايزوفتالو ثنائي نتريل<sup>5</sup>. يجري الحصول على البوليميرات بالتكاثف مع مركّب عطري ثنائي الهيدروكسي، مثل بيس فينول A. يؤدي مركّب بيس-(4-كلورو فينيل)-سلفون بصفته مركّب كلوريّ ثنائي الوظيفة دور ممدّد للسلسلة (Chain extender)، إذ ينقل وظيفة سلفون إلى البوليمير. تقود هذه المركّبات إلى بوليميرات تكون قساوة سطحها جيّدة جداً، وكذلك هي انحلاليتها في المذيبات العضوية، مثل كلور الميثيلين، والأسيتون، والكلوروبنزين.

#### 3.2.2.8. البوليميرات المشتركة من إيثر الأريل كربونات سيانو أريلين

يمكن تحضير البوليميرات المشتركة من إيثر الأريلين كربونات سيانو أريلين من تفاعل محلول من أوليغومير إيثر السيانو أريلين المغطّي بالبيس فينوليك مع الفوسجين بوجود أساس. يُجرى التفاعل مع الفوسجين في جوّ خامل. وتجرى البلمرة بدرجة حرارة أخفض من درجة حرارة المحيط حتى يتقدّم التفاعل بمعدّل قابل للضبط<sup>29,30</sup>. هذه المواد مفيدة كأغشية فصل للغازات.

### 3.8. الخواص

تُبدى عائلة بوليميرات PEN مُقاومة جيّدة للأشعة، وقابليّة احتراق منخفضة، وإصداراً مُنخفضاً للغازات السامة. وتُضفي عليها زمرة السيانو، بسبب قطبيّتها، خواص التصاق جيدة على الألياف الزجاجيّة. لذلك فإنّ هذه البوليميرات مُناسبة لتكون حاضنة بوليميريّة لمواد مركّبة.

#### 1.3.8. الخواص الميكانيكيّة

يبين الجدول (2-8) الخواص الميكانيكيّة لبعض بوليميرات PEN. تمتع بوليميرات PEN بمواصفات ميكانيكيّة وحراريّة ممتازة. إلا أنّ معدلات تبلّرها بطيئة. تؤدّي هذه الخاصّة إلى إطالة دورة القولبة أثناء عمليّة التصنيع<sup>8</sup>. وبالمقابل، لا تُعاني بعض الأنواع المُهلجنة هذا العيب.

الجدول (2-8): الخواص الميكانيكيّة لبعض بوليميرات بولي(أريلين إيثر نتريل)

العينة	مقاومة الخضوع [kp cm <sup>-2</sup> ]	مقاومة الكسر [kp cm <sup>-2</sup> ]	معامل الشد [kp cm <sup>-2</sup> ]	الاستطالة عند الكسر [%]
<sup>8a</sup> 1:1 = (R):(DCBN)	1 400	1 320	32 000	60
<sup>8b</sup> 1:1 = (R):(DCBN)	1 350	1 300	31 000	50
<sup>8a</sup> 1:1 = (R):(DFBN)	1 450	1 320	32 000	50
<sup>a</sup> (PPh) + <sup>8</sup> 1:1 = (R):(DCBN)	950	900	30 000	20
<sup>10</sup> 1:1 = (S):(DCBN)	-	1 030	28 500	7

(DCBN) 6·2-ثنائي كلوروبنزونتريل

(DFBN) 6·2-ثنائي فلوروبنزونتريل

(PPh) p-فينيل فينول بصفته موقف سلسلة.

(R) ريزورسين.

(S) 6·1-ثنائي (4-هيدروكسي فينيل)-6·1-ديازاسبيرو [4.4]نونان-7·2-ديون.

<sup>a</sup> محضّر في مذيب MNP.

<sup>b</sup> محضّر في مذيب 3·1-ثنائي ميثيل إيميدازوليدينون

### 2.3.8. الخواص الحرارية

يبين الجدول (3-8) الخواص الحرارية لبعض بوليميرات PEN.

الجدول (3-8): الخواص الحرارية لبعض بوليميرات بولي(أريلين إيثر نتريل)<sup>8</sup>

العينة	اللزوجة المختزلة [dl g <sup>-1</sup> ]	درجة الانتقال الزجاجي [°C]	نقطة الانصهار [°C]	درجة التحلل [°C]
<sup>a</sup> 1:1 = (R):(DCBN)	0.91	148	340	484
<sup>b</sup> 1:1 = (R):(DCBN)	0.86	146	345	481
<sup>a</sup> 1:1 = (R):(DFBN)	1.01	148	345	486
<sup>a</sup> (PPh) + 1:1 = (R):(DCBN)	0.45	144	343	475
<sup>10</sup> 1:1 = (S):(DCBN)	-	267	-	-

(DCBN) 6،2-ثنائي كلوروبنزونتريل

(DFBN) 6،2-ثنائي فلوروبنزونتريل

(PPh) p-فينيل فينول بصفته موقف سلسلة

(R) ريزورسين

(S) 6،1-ثنائي (4-هيدروكسي فينيل)-6،1-ديازاسبيرو [4.4]نونان-7،2-ديون

<sup>a</sup> محضّر في مذيب MNP

<sup>b</sup> محضّر في مذيب 3،1-ثنائي ميثيل إيميدازوليدينون

### 3.3.8. الانحلالية

يقبل PEN الانحلال مثلاً في p-كلوروفينول. قابلية الانحلال في بعض المذيبات مهمة في تطبيقات الصب. يُبدي PEN التقليدي نقصاً في قابلية الانحلال. يمكن تصميم أصناف ذات انحلالية مُحسّنة مع المحافظة على الخواص المرغوبة الأخرى، مثل مقاومة الحرارة، ومقاومة التحلل المائي والعوامل الجوية، عن طريق الاستعاضة عن ذرات الهيدروجين في المونوميرات بذرات الفلور<sup>7</sup>. فمثلاً، تقبل أصنافٌ مكونةٌ من 2،2-بيس-(4-هيدروكسي فينيل)-1،1،1،3،3،3-سداسي فلوروبروبان و 4-فينوكسي-2،3،5،6-رباعي فلوروبنزونتريل الانحلال في كلٍّ من ثنائي ميثيل أسيتاميد و NMP والكلوروفورم والتولوين عند درجة حرارة الغرفة.



## 4.8. تطبيقات

لقد وجدت التركيبات الراتنجية المنلدنة حرارياً المحتوية على PEN استعمالاً واسعاً بسبب مقاومتها الحرارية، ومقاومتها الميكانيكية الممتازين. فعلى سبيل المثال، يمكن استعمال هذه المواد في الأدوات الكهربائية والإلكترونية وفي القطع الميكانيكية بصفتها منتجات مُرَقَّعة ومُقَوَّاة<sup>8</sup>. تشمل مجالات التطبيقات صناعة الطيران، والطلاءات الكهربائية<sup>31</sup>، وقطع السيارات.

### 1.4.8. الراتنجات المقوَّاة

يمكن الحصول على تركيبات راتنجية مقوَّاة بمزج بوليمير PEN مع مادة ليفية مقوية، ثمَّ عجن المزيج. تتراوح نسبة الألياف بين 5 في المئة و60 في المئة. أما إذا تجاوزت كمية الألياف نسبة 60 في المئة فعندها لن يتوزَّع PEN بالشكل المرغوب في فراغات المادة المقوية. يُفضل أن تكون درجة حرارة العجن في المجال  $340^{\circ}\text{C}$ – $360^{\circ}\text{C}$  ويتراوح زمن العجن بين دقيقة وثلاث دقائق<sup>8</sup>.

### 2.4.8. مواد المرشحات

تُستعمل المرشحات من ألياف بولي(سلفيد الفينيلين) (PPS) أو ألياف راتنجات فلورية استعمالاً واسعاً بصفتها مرشحات للغبار في محارق القمامة في المدن، أو في حراقات الفحم الحجري. تعمل هذه المنشآت في درجات حرارة داخلية مرتفعة، وهي آخذة بالازدياد بهدف الإقلال من كمية الديوكسين الذي يمكن أن يتولَّد فيها. ولكن للأسف، كلما ارتفعت درجة الحرارة الداخلية للمحارق صغُرَ قياس جسيمات الغبار الناتجة من الاحتراق. لذلك ينبغي تعديل المرشحات لزيادة قدرتها على حجز الغبار لتعمل بدون مشاكل في درجات حرارة مرتفعة.

تقع نقطة انصهار بوليميرات PES في المجال  $270^{\circ}\text{C}$ – $280^{\circ}\text{C}$ ، وأعلى درجة حرارة يمكن عندها استعماله استعمالاً مستمراً هي  $200^{\circ}\text{C}$ . لذلك فإنَّ هذا النوع من المرشحات البوليميرية محدود الاستعمال في تطبيقات درجات الحرارة المرتفعة. ولكن تبين أن ألياف PPS المعدلة ببوليمير PEN تمثل مواد مرشحات تتمتع بمزايا زمن الاستعمال الطويل الأمد، ومقاومة درجات الحرارة المرتفعة، وسهولة إزالة الغبار<sup>32</sup>.

### 3.4.8. المغناط المحتجزة بالراتنج

تقليدياً، جرى تحضير المغناط الدائمة المحتجزة بالراتنج أساساً باستعمال طريقة القولية بالضغط أو طريقة القولية بالحقن. وفي طريقة القولية بالضغط جرى استعمال راتنجات الإيبوكسي.

أما الراتنجات الرابطة في حالة القولية بالحقن فهي بوليميرات بولي(أميد) والبوليميرات المشتركة من الإيثيلين فينيل أسيتات، وحديثاً بولي(إيثر إيثر كيتون) (PEEK) و PPS، وذلك بسبب خواصها الأكثر تميزاً. تحتاج الراتنجات المتبلرة مثل PPS أو PEEK إلى درجات حرارة مرتفعة حوالى  $350^{\circ}\text{C}$  أو أكثر لقولية الاندماج، لذلك نواجه عقبة تتمثل في إمكان تأكسد مسحوق المعدن الترابي الممغنط أثناء عملية القولية.

في حالة بوليميرات قابلة للانحلال، من الممكن تشتيت المادة المغناطيسية في المحلول البوليميري، ثم يجري ترسيب التشتت باستعمال لا مذيب. أو يمكن تبخير المذيب في الخلاء. يمكن لإجرائية التصنيع هذه أن تجري في درجات حرارة منخفضة. إن أصناف PEN مناسبة جداً بصفاتها بوليميرات قابلة للانحلال لتحضير مغناط محتجزة بالراتنج، ذات خواص جيدة<sup>33</sup>. ويُعدّ NMP مذيباً مناسباً يُطبق عند درجة حرارة حوالى  $190^{\circ}\text{C}$ .

لقد وُجد أنه عند استعمال PPS بصفته حاضنة راتنجية لكوبالت السماريوم، وهي مادة مغناطيسية متحملة لدرجات الحرارة العالية، تُحفّز هذه المادة التحلل في الحالة المنصهرة. ولمنع التحلل فقد نُصح بطلاء المادة المغناطيسية بطلاء سيليكات البوتاسيوم/كاؤولين. بهذه الطريقة يجري فصل المادة العضوية عن المادة المغناطيسية، فيمنع ذلك التحلل أثناء التصنيع<sup>34</sup>.

### 4.4.8. أغشية تبادل البروتونات

يؤدّي إدخال زمر النتريل في اللدائن الحرارية المسلفنة الموصلة للبروتونات إلى إنقاص امتصاصها للرطوبة<sup>9</sup>. وتُعزّز زمر النتريل التصاق البوليميرات إلى متعددات الأحماض المغايرة (HPA) في أغشية المواد المركبة، أو المساري. وهي إضافة إلى ذلك

تحسّن الاستقرار البُعدي. لذلك نرى أنه يجب أن يكون ممكناً تحقيق أغشية PEN ذات سعة شارديّة مرتفعة وتعمل في درجات رطوبة أخفض<sup>35</sup>.

يمكن تحضير بوليميرات مشتركة من بولي(أريلين إيثر) مؤسّسة على أساس (سداسي فلورو إيزو بروبيلايدين) ثنائي فينول، ذات وظائف نتريل وزمر حمض سلفونيك متدلّية من البلمرة المشتركة لـ 4،4'-سداسي فلورو إيزو بروبيلايدين) ثنائي فينول، و 6،2-ثنائي كلورو بنزو نتريل، و 3،3'-ثنائي سلفونات-4،4'-ثنائي كلورو ثنائي فينيل سلفون<sup>9</sup>. إنّ (سداسي فلورو إيزو بروبيلايدين) ثنائي فينول هو مركّب بيسفينول A مفلور.

يمكن تحضير أغشية مواد مركّبة من متعدّات الأحماض المغايرة HPA وبوليمير بولي (أريلين إيثر نتريل كيتون) المسلفن (SPAENK) بطريقة صب المحلول من الشكل الحمضي لـ SPAENK مع محتويات مختلفة من حمض الفوسفوتونغستيك  $H_3PW_{12}O_{40}$ <sup>36</sup>. تُشير شفافية الغشاء المصنوع من المواد المركّبة، وصور مطيافية المسح الإلكتروني إلى أنّ جسيمات HPA منتشرة انتشاراً جيّداً داخل الحاضنة البوليميريّة.

في البوليميرات المشتركة المكوّنة من 6،2-ثنائي فلوروبنزونتريل مع ملح 8،2-ثنائي هيدروكسي نفتالين-6-سلفونات الصوديوم و 4،4'-بيفينول بصفتها مركّبات هيدروكسي، يمكن تنويع محتوى زمرة حمض السلفونيك بتغيير نسبة مونوميرات الهيدروكسي<sup>37</sup>.

في البوليمير تكون زمرة حمض السلفونيك في الموقع ميتا بالنسبة إلى رابطة الإيثر. لذلك، يُعتقد أنّها زمر حمض السلفونيك تفقد نشاطها، وهذا ما يعطي الأغشية موصليّة بروتونيّة عالية بسبب ازدياد حمضيّتها. إضافة إلى ذلك، يُعتقد أنّ الموقع ميتا يُساهم في الاستقرار الهيدروليتي. تزداد درجة الانتقال الزجاجي للبوليمير المشترك مع ازدياد المحتوى من زمر حمض السلفونيك، وهي تتحوّل من 233°C إلى 336°C في حالة شكل ملح الصوديوم، ومن 230°C إلى 260°C في حالة الشكل الحمضي. ولقد جرى أيضاً استعمال الهيدروكينون المُسلفن بصفته مونوميراً مُسلفناً بدلاً من 8،2-ثنائي هيدروكسي نفتالين-6-سلفونات<sup>38</sup>.

تُبدى البوليميرات المشتركة من بولي (فتالازينون إيثر كيتون نتريل) المسلفن (SPPENK) المحضرة بالبلمرة المشتركة لثنائي صوديوم 3،3'-ثنائي سلفونات -4،4'-ثنائي فلوروبنزوفينون، و 2،6-ثنائي فلوروبنزونتريل، و 4-4-هيدروكسي فينيل-(2H)1-فتالازينون، مقاومةً للشدّ تفوق Nafion®117. أما الموصليّة البروتونيّة للشكل الحمضي من البوليميرات المشتركة SPPEKN، مع نسبة تغذية بالمونومير المسلفن إلى غير المسلفن أعلى من 0.35، فهي حوالى  $10^{-1} \text{Scm}^{-1}$  عند  $80^\circ\text{C}$ ، وهي من ثمّ قريبة من تلك الموافقة لـ Nafion®117.<sup>39</sup>

## 5.8. الموردون والعلامات التجارية

يبين الجدول (4-8) الأسماء التجارية الواردة في المراجع.

الجدول (4-8): الأسماء التجارية الواردة في المراجع

المورد	الاسم التجاري الوصف
Dow	DER ® 332 رانتج إيبوكسي على أساس بيسفينول A ثنائي غليسيديل إيثر <sup>29</sup>
Mitsubishi Chemical Industries Ltd.	Diaion ® (Series) رانتج تبادل شاردي من نمط حمض السلفونيك المعتدل بـ 2-ميركابنتوإيثيل أمين <sup>19</sup>
Dow	Dowex ® (Series) مُبدلات أنيون كاتيون <sup>19</sup>
DuPont Japan	Lynite ® بولي (ترفتالات الإيثيلين) <sup>12</sup>
Idemitsu	PENT <sup>TM</sup> بولي (أريلين إيثر نتريل) <sup>2</sup>
Solvay	Radel ® A بولي (إيثر سلفون) <sup>28</sup>
Philips Petroleum Company	Ryton ® (Series) بولي (فينيلين سلفيد) <sup>8</sup>
Toray Industries, Inc.	Toreca <sup>TM</sup> ألياف كربون <sup>8</sup>
Solvay	Udel® Polysulfone بولي (بيس فينول A سلفون) <sup>28,2</sup>

### الجدول (4-8): الأسماء التجارية الواردة في المراجع

المورد	الاسم التجاري الوصف
General Electric	Ultem® (Series) بولي (إيميد)، متلدّن حراري <sup>28</sup>
General Electric	Ultem® 6050 بولي (إيثر إيميدسلفون) <sup>28</sup>
BASF AG	Ultrapek® بولي (أريلين إيثر كيتون) <sup>28</sup>
Victrex PLC	Victrex® 381G بولي (إيثر إيثر كيتون)، طلاء كبلات <sup>2</sup>
Victrex PLC	Victrex® PEEK (Series) بولي ( إيثر إيثر كيتون) <sup>28,8</sup>
Victrex PLC	Victrex® PES (Series) بولي (أريل إيثرسلفون) <sup>28</sup>

## 6.8. الأمان

يعمل 6،2-ثنائي كلورو بنزو نتريل مبيدًا للأعشاب الضارة. ويُسمّى أيضاً ديكلوبينيل (dichlobenil). يمتصّه الجلد الجاف، وهو سام للمتعضيات المائية. علاوة على ذلك، فهو يتحلّل عند التسخين أو الاحتراق مُطلقاً غازات سامة بما فيها كلوريد الهيدروجين، وسيانيد الهيدروجين، وأكاسيد الأوزون، والفوسجين. يجري الحصول على 6،2-ثنائي كلوروبنزونتريل من تفاعل كلورثياميد مع أسس.

أمّا فيما يتعلّق بمركّبات الهيدروكسي المذكورة، فالأنظمة النموذجية في حالة مركّبات الفينول صالحة. لا يوجد في الأدبيات الكثير من دراسات السمية الخاصة.

1. R. Heath, Darrel and J. G. Wirth. Process for making cyanoaryloxy polymers and products derived therefrom. US Patent 3 730 946, assigned to General Electric Company (Schenectady, NY), 1 May 1973.
2. V. L. Rao, A. Saxena, and K. N. Ninan. "Poly(arylene ether nitriles)." *Journal of Macromolecular Science: C42*, 2002, pp. 513–540.
3. T. Takahashi, H. Kato, S. P. Ma, T. Sasaki, and K. Sakurai. "Morphology of a wholly aromatic thermoplastic, poly(ether nitrile)." *Polymer*: vol. 36, no. 20, 1995, pp. 3803–3808.
4. S. Matsuo, T. Murakami, and R. Takasawa. Preparation of cyanoaryl ether copolymer. US Patent 4 703 104, assigned to Idemitsu Kosan Company Limited (Tokyo, JP), 27 October 1987.
5. G. Blinne, H. Bender, and P. Neumann. Branched, high molecular weight, thermoplastic polyarylene ethers containing nitrile groups, and their preparation. US Patent 4 567 248, assigned to BASF Aktiengesellschaft (DE), 28 January 1986.
6. K. Kimura, Y. Tabuchi, A. Nishichi, Y. Yamashita, Y. Okumura, and Y. Sakaguchi. "Synthesis of novel fluorine-containing poly(aryl ether nitrile)s derived from 2,3,4,5,6-pentafluorobenzonitrile." *Polymer Journal* (Tokyo): vol. 33, 2001, pp. 290–296.
7. K. Kimura, Y. Yamashita, Y. Okumura, and S. Ito. Polycyanoaryl ether and method for production thereof. US Patent 6 506 872, assigned to Nippon Shokubai Co., Ltd. (Osaka, JP), 14 January 2003.
8. S. Matsuo, T. Murakami, T. Bando, and K. Nagatoshi. Reinforced resinous composition comprising polycyano arylene ether. US Patent 4 812 507, assigned to Idemitsu Kosan Company Limited (Tokyo, JP), 14 March 1989.
9. M. J. Sumner, W. L. Harrison, R. M. Weyers, Y. S. Kim, J. E. McGrath, J. S. Riffle, A. Brink, and M. H. Brink. "Novel proton conducting sulfonated poly(arylene ether) copolymers containing aromatic nitriles." *Journal of Membrane Science*: vol. 239, no. 2, August 2004, pp. 199–211.
10. P.-C. Wang. Novel polyaryl ethers. US Patent 4 968 769, assigned to Shell Oil Company (Houston, TX), 6 November 1990.
11. Y. Kiyomiya, Y. Yamaguchi, M. Ushigome, and H. Murata. Process for producing 2,6-dichlorobenzonitrile. US Patent 4 883 897, assigned to Nitto Chemical Industry Co., Ltd. (Tokyo, JP), 28 November 1989.

12. M. W. Zettler, R. E. Tobey, and R. B. Leng. Solventless process for making 2,6-difluorobenzonitrile. US Patent 5 502 235, assigned to DowElanco (Indianapolis, IN), 26 March 1996.
13. R. Nishiyama, K. Fujikawa, Y. Tsujii, S. Murai, and H. Jyonishi. Process for producing 2,6-difluorobenzonitrile. US Patent 4 406 841, assigned to Ishihara Sangyo Kaisha Ltd. (Osaka, JP), 27 September 1983.
14. T. Yamada, S. Kimura, T. Hotsuta, and A. Mouri. Preparation of pentachlorobenzonitrile. JP Patent 60 239 452, assigned to Ishihara Sangyo Kaisha, 28 November 1985.
15. H. Zhou, H. Luo, and P. Lin. Benzotrile chlorination for preparing pentachlorobenzonitrile catalyst and its application. CN Patent 1 213 585, assigned to Dalian Chemical Physics Inst (CN), 14 April 1999.
16. O. Kaieda, K. Hirota, N. Tominaga, and T. Nakamura. Preparation of pentafluorobenzonitrile. JP Patent 60 184 057, assigned to Nippon Catalytic Chem Ind, 19 September 1985.
17. K. Hirota. Method for production of aromatic fluorine compound. US Patent 6 437 168, assigned to Nippon Shokubai Co., Ltd. (Osaka, JP), 20 August 2002.
18. M. Inaba, N. Mine, and M. Mizutani. Method for preparing 4,4'-biphenol. US Patent 5 324 868, assigned to Mitsubishi Petrochemical Company, Ltd. (Tokyo, JP), 28 June 1994.
19. B. Carvill, K. Glasgow, and M. Roland. Process for the synthesis of bisphenol. US Patent 7 132 575, assigned to General Electric Company (Schenectady, NY), 7 November 2006.
20. W. Orth, E. Pastorek, W. Weiss, and H. W. Kleffner. Preparation of 9,9-bis(4-hydroxyphenyl)-fluorene. US Patent 5 169 990, assigned to Rütgerswerke Aktiengesellschaft (DE), 8 December 1992.
21. S. Angiolini and M. Avidano. High purity 9,9-bis-(hydroxyphenyl)- fluorene and method for the preparation and purification thereof. US Patent 6 620 979, assigned to Ferrania, S.P.A. (Ferrania, IT), 16 September 2003.
22. P. C. Wang. Novel spirolactones. US Patent 4 939 251, assigned to Shell Oil Company (Houston, TX), 3 July 1990.
23. H. Zhou, E. Bucio, S. R. Venumbaka, J. W. Fitch, and P. Cassidy. "New spirodilactam polymers." *Polymer*: vol. 47, no. 20, September 2006, pp. 6927–6930.
24. J. Verborgt and C. S. Marvel. "Aromatic polyethers, polysulfones, and poly-ketones as laminating resins." *Journal of Polymer Science - Polymer Chemistry Edition*: vol. 11, no. 1, 1973, pp. 261–273.

25. C. S. Marvel and J. Verborgt. Nitrile terminated aromatic polyethers. US Patent 3 970 681, assigned to University Patents, Inc. (Stamford, CT), 20 July 1976.
26. K. P. Sivaramakrishnan and C. S. Marvel. "Aromatic polyethers, polysulfones, and polyketones as laminating resins. II." *Journal of Polymer Science - Polymer Chemistry Edition*: vol. 12, no. 3, 1947, pp. 651–662.
27. A. Banihashemi and B. Akhlaghinia. "Synthesis and crosslinking of poly(ether-ketone)s, and poly(ether-ketone-sulphone)s with pendant nitrile groups (II)." *Iranian Polymer Journal*: vol. 11, 2002, pp. 365–371.
28. M. J. Mullins, E. P. Woo, K. E. Balon, D. J. Murray, and C.-C. C. Chen. Cyclic poly(aryl ether) oligomers. US Patent 5 264 538, assigned to The Dow Chemical Company (Midland, MI), 23 November 1993.
29. E. S. Sanders, Jr. and T. L. Parker. Novel aryl carbonate cyanoaryl ether gas separation membranes. US Patent 5 034 034, assigned to The Dow Chemical Company (Midland, MI), 23 July 1991.
30. T. L. Parker and T. O. Jeanes. Arylene carbonate cyanoaryl ether copolymer. US Patent 5 124 430, assigned to The Dow Chemical Company (Midland, MI), 23 June 1992.
31. L. M. Maresca, A. G. Farnham, T. H. Schwab, and U. A. Steiner. Crystalline polyarylnitrile ether polymer. US Patent 4 963 643, assigned to Amoco Corporation (Chicago, IL), 16 October 1990.
32. T. Tomura and T. Murakami. Filter material containing a polycyanoaryl ether. US Patent 6 074 449, assigned to Idemitsu Petrochemical Co., Ltd. (Tokyo, JP), 13 June 2000.
33. H. Kawato and T. Tomioka. Methods for preparing magnetic powder material and magnet, process for preparation of resin composition and process for producing a powder molded product. US Patent 5 350 558, assigned to Idemitsu Kosan Co., Ltd. (Tokyo, JP), 27 September 1994.
34. J. Carlberg and P. R. Nastas. Thermally stable, high temperature, samarium cobalt molding compound. US Patent 6 737 451, assigned to Arnold Engineering Co., Ltd. (Marengo, IL), 18 May 2004.
35. Y. Sakaguchi, K. Kitamura, S. Nagahara, and S. Takase. "Preparation of sulfonated poly(ether sulfone nitrile)s and characterization as proton-conducting membranes." *Polymer Preprints (ACS)*: vol. 45, 2004, pp. 56–57.
36. H. Zhang, J. h. Pang, D. Wang, A. Li, X. Li, and Z. Jiang. "Sulfonated poly(arylene ether nitrile ketone) and its composite with phosphotungstic acid as materials for proton exchange membranes." *J. Membr. Sci.*, 264(1-2):56–64, November 2005.



37. Y. Gao, G. P. Robertson, M. D. Guiver, S. D. Mikhailenko, X. Li, and S. Kaliaguine. "Low-swelling proton-conducting copoly(aryl ether nitrile)s containing naphthalene structure with sulfonic acid groups meta to the ether linkage." *Polymer*, 47(3):808–816, January 2006.
38. Y. Gao, G. P. Robertson, M. D. Guiver, S. D. Mikhailenko, X. Li, and S. Kaliaguine. "Synthesis of copoly(aryl ether ether nitrile)s containing sulfonic acid groups for pem application." *Macromolecules*, 38:3237–3245, 2005.
39. Y. Gao, G. P. Robertson, M. D. Guiver, G. Wang, X. Jian, S. D. Mikhailenko, X. Li, and S. Kaliaguine. "Sulfonated copoly (phthalazinone ether ketone nitrile)s as proton exchange membrane materials." *Journal of Membrane Science*: vol. 278, nos. 1-2, July 2006, pp. 26–34.

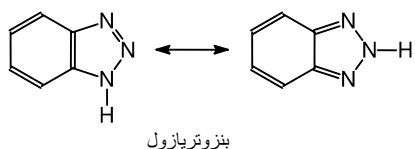
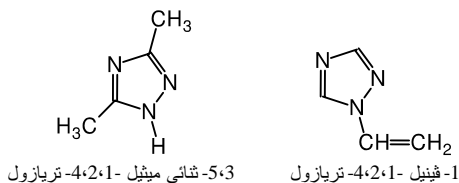
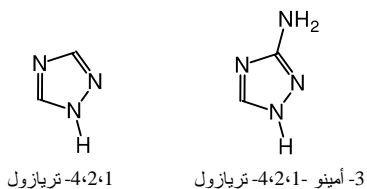
## بوليميرات التريازول

إنّ بوليميرات بولي (4،2،1-تريازول) (PT) هي بوليميرات متغايرة الحلقات، جرى اصطناعها بداية بتفاعل مركّبات بيس تيترازول وأحد مركّبات كلوريد بيس إيميدو إيل<sup>1</sup>. ومنذئذ جرى تطوير عدّة طرائق تفاعل لتحضير هذه البوليميرات<sup>2</sup>.

### 1.9. المونوميرات

يبين الشكل (1-9) مونوميرات تحتوي على وحدة تريازول. ولقد جرى استعراض طرائق الاصطناع للحصول على مركّبات 3،2،1-تريازول في الأدبيات<sup>3</sup>. يلخص الجدول (1-9) المونوميرات المناسبة. إنّ مركّب 4،2،1-تريازول مركّب صلب أبيض مائل إلى الأصفر الشاحب، ذو نقطة انصهار حوالي 120°C. وهو يُسمّى أيضاً بيروديازول، أو H1-4،2،1-تريازول، أو s-تريازول، ولا يجوز الخلط بين هذا المركّب وأحد مركّبات السلفانيل أميد الذي يُسمّى تريازول. بعكس التريازول، يشير التريازين إلى حلقة سداسية العناصر ذات ثلاث ذرّات نيتروجين. يُستعمل 4،2،1-تريازول في اصطناع المواد الزراعية الكيميائية، والمواد الصيدلانية، والسوائل الهيدروليكيّة، والمنتجات الضوئيّة الكيميائيّة. إنّ كلاً من المركّبين 4،2،1-تريازول و 3،2،1-تريازول مُذيبٌ فعّال للكهرليّات الناقلة بروتونياً<sup>4،5</sup>.

إنّ 3،5-ثنائي ميثيل-4،2،1-تريازول صلبٌ لا لون له، ذو نقطة انصهار عند 144°C. يمكن تحضير 1-فينيل-4،2،1-تريازول بتفاعل 4،2،1-تريازول مع الأسيتيلين تحت الضغط، وتحت شروط قلوية<sup>6</sup>. يمكن لمركّب بنزوتريازول أن يوجد في شكلين نزوحين (Tautomeric forms) كما هو موضّح في الشكل (1-9).



الشكل (9-1): مونوميرات تحتوي على وحدات تريازول

الجدول (9-1): مونوميرات في حالة بوليميرات التريازول

المونومير
4,2,1-تريازول
5,3-ثنائي ميثيل-4,2,1-تريازول
3-أمينو-4,2,1-تريازول
بنزوتريازول
1-فينيل-4,2,1-تريازول

يمكن تكوين مركبات 1,2,3-تريازول المُستبدلة، عن طريق الإضافة الحلقية لمركب أزيد الصوديوم مع الأسيتيلين بوجود يوديد عضوي R-I الذي سيكوّن فيما بعد الجذور المتجاورة<sup>7</sup>.

علاوة على ذلك فقد جرى إثبات إمكان الإضافة الحلقية لأزيد، مدعوم ببوليمير بولي (إيثيلين غليكول)، نحو مركبات الأسيتيلين. ولقد جرى نشر دراسة شاملة حول سلوك هذه الأنواع من مركبات الأزيد نحو الأسيتيلين، والإيثيلين، وزمر السيانو<sup>8</sup>.

## 2.9. البلمرة والتصنيع

### 1.2.9. تفاعلات مركبات ثنائي النتريل مع مركبات ثنائي هيدرازيد

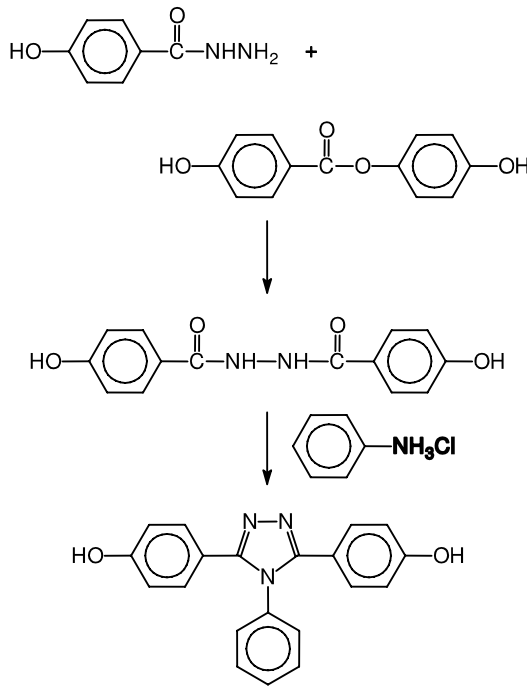
يمكن الحصول على بوليميرات بولي (1،2،4-تريازول) بتفاعل مركبات ثنائي النتريل مع مركبات ثنائي هيدرازيد، أو بتسخين أحماض سيانوكر بوكسيليك<sup>9</sup>. ولقد وُجدَ أنها مقاومة لدرجات الحرارة العالية، وخصوصاً عندما تحتوي على مركبات عطرية في السلسلة الرئيسية.

### 2.2.9. الإزاحة النيوكليوفيلية العطرية

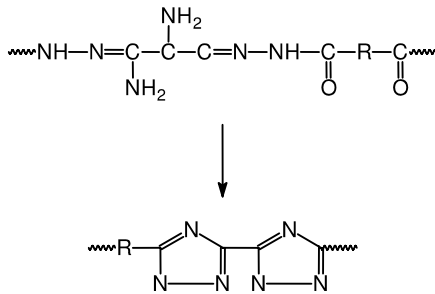
يمكن تحضير بوليميرات PT باستعمال تفاعل إزاحة نيوكليوفيلية عطرية لمونوميرات ثنائي (هيدروكسي فينيل) (1،2،4-تريازول مع مركبات ثنائي هاليد عطرية منشّطة أو مركبات ثنائي نثرو عطرية منشّطة. تُجرى التفاعلات في مذيب لابروتوني قطبي، مثل السلفولان أو ثنائي فينيل سلفون، باستعمال أسس معادن قلوية، مثل كربونات البوتاسيوم، في درجات حرارة مرتفعة وفي جو من الآزوت.

يجري اصطناع ثنائي (هيدروكسي فينيل) (1،2،4-تريديازول بتفاعل بيس-4-هيدروكسي فينيل) (1،2،4-هيدرازيد مع هيدروكلوريد الأنيلين عند حوالي 250°C في الصهارة، أو بتفاعل 1،3 أو 1،4-بيس-4-هيدروكسي فينيل) - فينيلين ثنائي الهيدرازيد مع مولين اثنين من هيدروكلوريد الأنيلين في الصهارة. يبيّن الشكل (9-2) هذا الاصطناع. وتجري تنقية مونوميرات ثنائي (هيدروكسي فينيل) (1،2،4-تريازول بإعادة التبلر. تؤدي طريقة الاصطناع هذه إلى بوليميرات PT عالية الوزن الجزيئي.

تُفضّل هذه الطريقة اقتصادياً واصطناعياً على الطرائق الأخرى، وهي تتيح تغييراً سهلاً للبنية الكيميائية، بسبب توفر تنوع واسع من مركبات ثنائي الهاليد العطرية المنشّطة. تفيد هذه البوليميرات كراتجات حاضنة مواد مركبة، في الطائرات والطبقات البينية العازلة كهربائياً في التجهيزات الإلكترونية<sup>2</sup>.



الشكل (2-9): اصطناع مونوميرات ثنائي (هيدروكسي فينيل) -4،2،1-تريازول<sup>2</sup>



الشكل (3-9): اصطناع بولي (بيس -4،2،1-تريازول)<sup>9</sup>

### 3.2.9. بوليميرات بولي (بيس -4،2،1-تريازول)

إنّ بولي (بيس -4،2،1-تريازول) هو صفّ من البوليميرات فيه حلقتا تريازول متجاورتان مباشرة. يمكن الحصول على هذه البوليميرات بتفاعل حمض الأوكساليك

بيس-أميدرازون مع ثنائي هاليد حمض عطري ثنائي الكربوكسيليك أو مع كلوريد الفومارويل متبوعاً بتحلُّق مع نزع الماء لبوليميرات بولي(أسيل أوكساميدرازون). يبين الشكل (9-3) هذه السيورة.

تتمتع البوليميرات بمقاومة جيّدة جداً للحرارة، فدرجات حرارة التحلل هي عموماً أعلى من  $350^{\circ}\text{C}$ . ولكنه من المستحيل تشكيل هذه البوليميرات نظراً إلى كونها غير قابلة للانحلال، وصعبة الانصهار.

ولكن يمكن تشكيل مواد من بوليميرات بولي (بيس-1،2،4-تريازول) بحلّ بوليميرات من بولي (أسيل أوكساميدرازون) مثل بولي (ترفتالويل أوكساميدرازون) في محلول قلوي مائي ممدّد. يجري بعد ذلك غزل المحلول أو صبّه في حمّام ترسيب<sup>9</sup>. يجري بعد ذلك غسل الخيوط أو الصفائح المكوّنة وتسخينها في غاز خامل حتى  $240^{\circ}\text{C}$ – $320^{\circ}\text{C}$ .

#### 4.2.9. بوليميرات بولي (1-فينيل-1،2،4-تريازول)

إنّ بوليميرات 1-فينيل-1،2،4-تريازول غير سامّة، وتتمتع بميل كبير للماء واستقرار عالٍ ضد التحلل المائي. وهذا ما يجعل تطبيقاتها في مجالات صناعة الأغذية والطب ممكنة<sup>6</sup>. وتستعمل بوليميرات مشتركة مع 2-هيدروكسي إيثيل ميثاكريلات (HEMA) في التطبيقات البيولوجية والطبية. يمكن تحضيرها في الإيثانول و N,N-ثنائي ميثيل فورماميد (DMF) بوجود 2،2'-أزوبيس إيزوبوتيرونتريل (AIBN) بصفته بادئاً.

الجدول (9-2): نسب تفاعلية مونومير 1-فينيل-1،2،4-تريازول (1)

مع مونوميرات مشتركة متنوّعة (2) في DMF<sup>10,6</sup>

$r_2$	$r_1$	المونومير (2)
2.40	0.09	2-هيدروكسي إيثيل ميثاكريلات
1.48	0.62	ميثيل ميثاكريلات
1.77	0.23	3،3،2،2-رباعي فلوروبروبيل ميثاكريلات
2.42	0.25	5،5،4،4،3،3،2،2-ثمانى فلوروبروبيل ميثاكريلات

يلخص الجدول (9-2) نسب تفاعلية مونوميرات مشتركة متنوعة. في حالة جميع المونوميرات المشتركة، يسعى الميتاكريلات إلى تكوين كتل متكررة يفصل بينها وحدة واحدة من 1-فينيل-4،2،1-تريازول.

### 5.2.9. البوليميرات الشجرية التشعب من 1،2،4-تريازول

إن البوليميرات الشجرية التشعب (Dendrimers) مهمة بصفاتها حوامل قابلة للانحلال للتحفيز المتجانس، لأن حجمها الكبير يُتيح إعادة التدوير باستعمال تقنيات الفصل الغشائي.

تُعرف كسارة التريازول المترافقة، مثل 3-(4-بيفينيل)-4-فينيل-5-(4-ترت-بوتيل فينيل)-1،2،4-تريازول (TAZ) بقدرتها الممتازة على نقل الإلكترونات وحجز الثقب. لذلك يُستعمل هذا الصف في بناء تجهيزات عضوية مُصدرة للضوء إما بصفاتها أو باعتبارها متدلية من بوليميرات. الميزة الأساسية للبوليميرات الشجرية التشعب على مثيلاتها من البوليميرات ذات الحلقات المتغايرة هي في إمكان أمثلة خواصها الفيزيائية والإلكترونية بوجه مستقل.

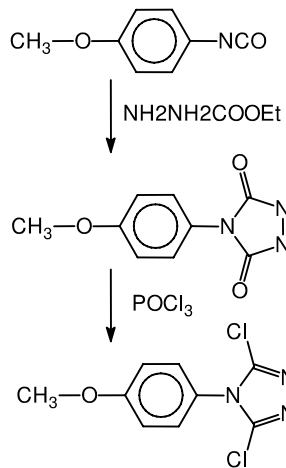
يبدأ اصطناع بوليميرات التريازول الشجرية من 3،5-ثنائي كلورو-4-(4-ميثوكسي فينيل)-4H-1،2،4-تريازول، الذي يمكن الحصول عليه من ميثوكسي فينيل إيزوسيانات، كما هو مبين في الشكل (9-4). تتمتع هذه المادة بالتناظر  $AB_2$  المطلوب. لذلك، فهي مناسبة جيداً لاصطناع البوليميرات الشجرية التشعب. يتقدم التفاعل بطريقة اصطناع الإيثر من نمط ويليامسون (Williamson). وللتحكم بالتشعب يُضاف 3،5-بيس-(ترت-بوتيل)-فينول<sup>11</sup>.

## 3.9. الخواص

### 1.3.9. الخواص الحرارية

يؤدي إدخال مركبات التريازول في أنواع مختلفة من البوليميرات إلى تحسين خواصها الحرارية. فيمكن تحضير بوليميرات البولي(أميد) التي تتشكل عند درجات حرارة أعلى من 340°C بدون انصهار، من تنوع من مركبات الديازول والتريازول. يُبين

الجدول (3-9) هذه المواد. يؤدي التحلل الحراري في الهواء لبوليميرات بولي (تريازولوكينازولين) إلى فقدان في الوزن قدره 10 في المئة عند  $460-540^{\circ}\text{C}$ .<sup>12</sup>



الشكل (4-9): اصطناع 5,3-ثنائي كلورو -4- (4-ميثوكسي فينيل) -4H-1,2,4-تريازول<sup>11</sup>

الجدول (3-9): مركبات الديازول والتريازول اللازمة لتحضير بوليميرات البولي (أميد)<sup>12</sup>

المركب
3,1-بيس [5'-3]- (p-أمينوفينوكسي) - (فينيل) - [أوكساديازول -2- إيل [بنزين
4,4-بيس - (p-أمينوفينوكسي) ثنائي فينيل -1,3,4-ثياديازول
3-3 (أمينوفينيل) - (5-3'-4) - (أمينوفينوكسي) فينيل - [1-2,4-تريازول
3-3 (أمينوفينيل) - (5-3'-4) - (أمينوفينيل سلفونيل) فينيل - [1-2,4-تريازول

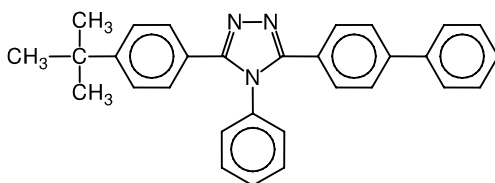
### 2.3.9. الخواص الكهربائية

يمكن استعمال كسرة 4-4- (4-هكسيل أوكسي) فينيل - (5,3-ثنائي فينيل) -4,2,1-H- يمكن استخدامها كمواد ناقلة للإلكترونات<sup>13,14</sup>. وهي تظهر تآلقاً كهربائياً في مشتقات بولي (p-فينيلين فينيلين) (PPV).



تؤدي البوليميرات ذات زمر التريازول دور مُحسّن لكفاءة التآلق الكهروضوئي عند استعمالها في التجهيزات ذات الطبقتين مع PPV بصفته باعثاً ناقلاً للتقوب<sup>15</sup>. يمكن اصطناع بوليميرات مشتركة على أساس PPV حاملة وحدة تريازول ساحبة للإلكترونات في سلسلتها الرئيسية بتفاعل فيتيغ (Wittig) بين ملح تريازول ثنائي الفوسفونيوم، والمونومير الثنائي الألهيد الموافق<sup>16</sup>.

إن TAZ، انظر الشكل (9-5)، هو مادة ذات حراك إلكتروني منخفض. ويمكن استعماله كطبقة حاجزة للتقوب. فهي تضع حدوداً على حقن الإلكترونات وانتقالها في تجهيزات التآلق الكهربائي<sup>17,18</sup>. لقد وُجد أن وحدة التريازول هي قاطع فعلي للترافق من النمط  $\pi$ ، ويمكنها أن تؤدي دورَ مُباعدٍ جاسئ في تحديد لون الإصدار في البوليمير المشترك الناتج<sup>19</sup>.



الشكل (9-5): 3-(4-بيفينيليل)-4-فينيل-5-(4-ترت-بوتيل فينيل)-1,2,4-تريازول

### 3.3.9. الخواص البصريّة

#### 1.3.3.9. الديودات البوليميريّة المُصدرة للضوء

يمكن تحضير بوليميرات مترافقة متألّقة كهربائياً بإدخال زمر حلقيّة متغايرة عالية الكهرسلبية مثل كسر 4,3,1-أوكساديازول و 4,3,1-ثياديازول و 4,2,1-تريازول<sup>20</sup>. يجري الحصول على هذه البوليميرات المتألّقة كهربائياً ببلمرة مونومير عطري من بيس-(هالوميثيل) مُعدّل بزمرة حلقيّة غير متجانسة<sup>21</sup>.

يُصنّع البوليمير المُصدر للضوء باختيار مناسب للمونوميرات ولنسبها أثناء البلمرة. يمكن استعمال الغشاء البوليميري أو البوليميري المشترك المُصدر للضوء كطبقة مُصدرة للضوء في ديود بوليميري مُصدر للضوء وحيد الطبقة.

### 2.3.3.9. الإنضاج الضوئي

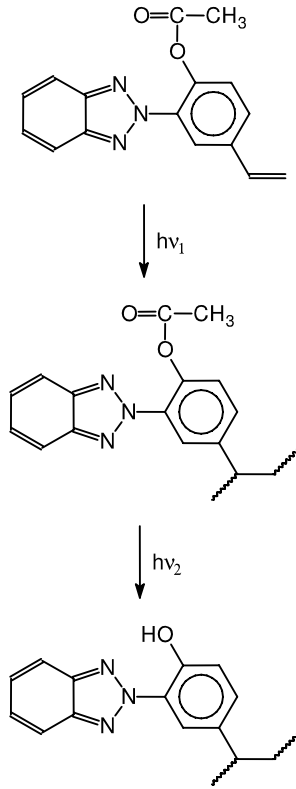
تمتلك تقنية الإنضاج الضوئي محدودية كبرى لأن المواد الماصة للأشعة فوق البنفسجية المدموجة مع الطلاء لحماية الركيزة ولجعل الطلاء مستقرًا، تتنافس مع إشعاع الإنضاج، وتثبط سيرورة الإنضاج الضوئي. يؤدي ذلك إلى زيادة حاجة منبع الإنضاج إلى الطاقة، وإلى معدل إنضاج بطيء أو غير كافٍ. ولكن يمكن التغلب على هذه العقبة بحماية الزمرة الماصة للأشعة فوق البنفسجية مؤقتًا، أثناء فترة البلورة.

يمكن توفير اصطناع "في المكان" لمركب، مثل هيدروكسي فينيل تريازول، ماصٌ للأشعة فوق البنفسجية، وحامل لزمرة تحميه أثناء البلورة المنشطة ضوئيًا عند تواتر محدد. تتكون الزمرة الحامية بالاستعاضة عن الهيدروجين في زمرة الهيدروكسيل بزمرة أسيل. وبعد البلورة تُزال الزمرة الحامية بتفاعل كيميائي ضوئي عند تواتر آخر أخفض من الأول. المخطط الأساسي لهذا التفاعل موضَّح في الشكل (9-6).

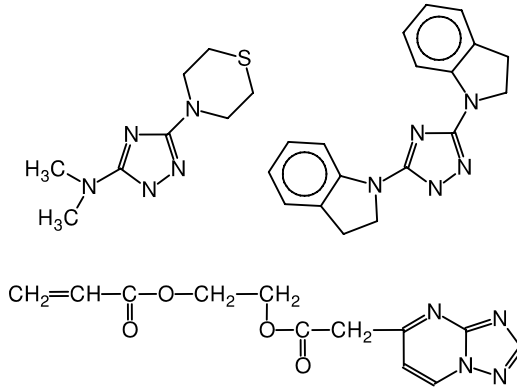
فمثلاً، جرى مزج 2-أسيتوكسي-5-فينيل فينيل-بنزوتريازول في بنسبة 0.1 في المئة إلى 1.0 في المئة مع إسترات الميثاكريلات مثل ميثاكريلات الميثيل، أو ميثاكريلات n-بوتيل، أو ميثاكريلات الإيثيل<sup>22</sup>. تحتفظ مشتقات الأسيتوكسي بقطاع الامتصاص لكلا مشتقي 2-هيدروكسي عند 300 nm، ولكنها تفقد قطاع الامتصاص عند 340 nm. كان المحفز الضوئي مزيجاً من ثنائي فينيل كاربونيول وثلاثي إيثيل أمين. ويمكن أيضاً بنجاح استعمال محفزات ضوئية أخرى مثل أملاح الأريل أونيوم (فلوروبورات بنزين اليودونيوم، وفلوروبورات بنزين الأرسونيوم). لقد جرى تشجيع المزيج المونوميري عند 366 nm بهدف تكوين البوليمير. ويمكن إعادة تكوين زمرة 2-هيدروكسي بالتشجيع عند 310 nm للوصول إلى زمرة ماصة للأشعة فوق البنفسجية.

### 3.3.3.9. المواد الفوتوغرافية

تتجاوز الدراسة المفصلة لكيمياء ووظائف المقرنات الفوتوغرافية نطاق هذا النص. ولقد جرى استعراضها في الأدبيات<sup>23</sup>. تُستعمل مركبات التريازول بصفتها مقرنات فوتوغرافية<sup>24</sup>. يمكن ترسيب مركبات هالوجينيد الفضة بوجود بوليميرات تحتوي على التريازول<sup>25</sup>.



الشكل (6-9): تكوين ماصٍ للأشعة البنفسجية في المكان " 22



الشكل (7-9): مركبات أمينو (4,2,1)-تريازول لزيادة الحساسية الطيفية في مستحلبات هاليد الفضة :

ثنائي ميثيل-(5-ثيومورفولين-4-إيل [4.2.1]2H-تريازول-3-إيل)-أمين، و 5-أكريلويل أوكسي

إيثوكسي كاربونيل ميثيل-7-هيدروكسي-4,2,1-تريازولو [1.5-a]بيريميدين

تفيد مركبات أمينو (4،2،1)-تريازول في إنتاج مواد فوتوغرافية ذات حساسية طيفية زائدة<sup>26</sup>. وهي ذات أمد تخزين جيد الطول، وخصوصاً عند التخزين بشروط مناخية رطبة. يبين الشكل (7-9) أمثلة على مركبات أمينو (4،2،1)-تريازول.

لقد جرى استعمال مركبات 4،2،1-تريازولو [1،5-a]بيريميدين، مثل 4-هيدروكسي 6-ميثيل-7،8،3،1-رباعي أزا إيندين، استعمالاً واسعاً بصفاتها مثبتات للمواد الفوتوغرافية الحساسة للضوء من نوع هاليد الفضة. وبسبب تفاعلات الانتثار فإنه من الصعب صنع طبقة مستقرة باستعمال مركبات منخفضة الوزن لجزيئي. لتجنب هذه المشكلة جرى دمج 4،2،1-تريازولو [1،5-a]بيريميدين في البوليميرات. إذا جرى ربط المركب بالسلسلة البوليميرية عبر زمرة المميّزة النشطة، كان المفعول صغيراً، لذلك يجب ربط المركب إلى البوليمير عن طريق زمر وظيفية أخرى غير الزمرة النشطة.

مثلاً يمكن الحصول على 5-أكريلويل أوكسي إيثوكسي كاربونيل ميثيل-7-هيدروكسي-4،2،1-تريازولو [1،5-a]بيريميدين، انظر الشكل (7-9)، من 7-هيدروكسي 5-كربوكسي ميثيل-4،2،1-تريازولو [1،5-a]بيريميدين بالاسترة مع أكريلات 2-هيدروكسي إيثيل. يتمتع هذا المركب بزمرة فينيل، لذلك تمكن بلمرته مع مونوميرات فينيلية بلمرة مشتركة.<sup>28،27</sup> المونوميرات المشتركة المفضلة هي 2-أكريل أميدو-2-ميثيل بروبان سلفونات، و-N-فينيل-2-بيروليدون، و2-هيدروكسي إيثيل أكريلات، و2-هيدروكسي إيثيل ميتاكريلات، والأكريل أميد، والميتاكريل أميد. ويمكن اصطناع بوليمير متجانس باستعمال بادئ جذري مثل 2،2'-أزوبيس-4،2-ثنائي ميثيل فاليرونتريل.

#### 4.3.3.9. ماصّات الأشعة فوق البنفسجية

غالباً ما تكون البوليميرات التي تُستعمل في تطبيقات الهواء الطلق حساسة للضوء، وينبغي من ثمّ حمايتها من الأشعة فوق البنفسجية منعاً من تحلل البوليمير في المُنتج النهائي.

إنّ مركبات التريازول، مثل فينيل بنزوتريازول وبنزوتريازول والمركبات المتعلقة بها مثل البنزوفينون هي مركبات ماصة للأشعة فوق البنفسجية. وبوجه خاصّ تؤلّف المركبات المؤسّسة على هيدروكسي فينيل بنزوتريازول مجموعة معروفة جيداً من

مُثَبِّتات تجاه الأشعة فوق البنفسجية. ولكن غالباً ما يُفقد هذا النوع من المثبتات تجاه الأشعة فوق البنفسجية من المنتج المدموجة فيه بالرشح أو التبخر. وللتغلب على هذه الصعوبات، بُذلت جهود موجّهة نحو الدمج الكيميائي للمُثَبِّت في السلسلة الرئيسية لبوليمير المادة المرغوب بحمايتها<sup>29</sup>.

إنّ ماصّات الأشعة فوق البنفسجية القابلة للبلمره متوافقة توافقاً عالياً مع اللدائن التي يمكن دمجها فيها بسهولة. يمكن ربط المواد الماصّة كيميائياً بالمادّة البوليميرية باتّباع إمّا تقنيات البلمره المشتركة أو تقنيات التطعيم أو أثناء تشغيل البوليمير. فتصبح بذلك المادّة الماصّة للأشعة فوق البنفسجية جزءاً أساسياً من السلسلة البوليميرية.

لا ترشح ماصّات الأشعة فوق البنفسجية المربوطة إلى خارج الحاضنة البوليميرية بالنضح أو التطاير أثناء المعالجة بدرجات الحرارة المرتفعة. وعلاوة على هذا لا تخضع هذه المواد للاستخلاص بالمذيبات أو الهجرة الفيزيائي.

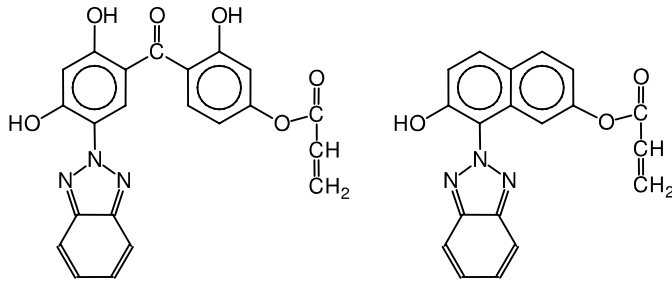
يمكن دمج ماصّات الأشعة فوق البنفسجية القابلة للبلمره التي تحتوي على زمر هيدروكسي إيثوكسي في البوليمير بتفاعل بلمره بالتكاثف.

يمكن تحضير المونوميرات بتفاعل 5-(2H-بنزوتريازول-2-إيل)-2،4،4'-رباعي هيدروكسي بنزوفينون، ومشتقاته من الكلورو والميثوكسي مع بروميد أليل، وكلوريد أكريلويل وكلوريد ميتاكريلويل وجليسيديل أكريلات والإيثيلين كلورو هيدرين<sup>30</sup>.

يجب استعمال نسب موليّة مناسبة من المواد الداخلة في التفاعل لتتفاعل مع زمر الهيدروكسيل عند الموقع 4 وترك زمر الهيدروكسيل في المواقع 2،2 و 4 بدون مسّها.

ولقد أثبت أنّ المونومير المبين في الشكل (8-9) وشبيهه الميتاكريلي يخضعان لتفاعل بلمره متجانسة وتفاعل بلمره مشتركة مع الستيرين والميثيل ميتاكريلات. ولكن في البلمره المتجانسة للمونوميرات المحتوية على نفتيل-2H-بنزوتريازول لا نحصل إلّا على أوزان جزيئية منخفضة وذلك بسبب ضخامة الزمرة<sup>31,32</sup>.

إنّ المزج مع راتنج بوليستر غير مشبع ممكن. وعلاوة على ذلك يمكن أيضاً التطعيم على بولي (ستيرين) بالمزج الساخن عند  $180^{\circ}\text{C}$ <sup>30,33</sup>. تمنح المركّبات الموصوفة زيادة في كفاءة المُثَبِّت تجعلها تُقارَن بكفاءة مركّبات البنزوتريازول والبنزو فينون المونوميرية.



الشكل (8-9): مواد ماصة للأشعة فوق البنفسجية قابلة للبلمره:

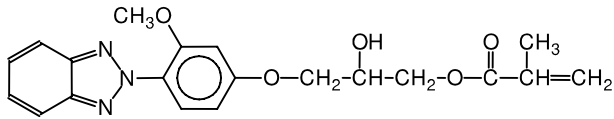
5-(2H-بنزوتريازول-2-إيل)-4،2،4-ثلاثي هيدروكسي-4-أكريل أوكسي بنزوفينون،

و 2-(2-هيدروكسي-7-أكريلويل أوكسي نفتاليل)-2H-بنزوتريازول<sup>31,30</sup>

لقد جرى توصيف البولييميرات المشتركة من السنيرين وميتاكريلات الميثيل المرتبطة بكسر المثبتات تجاه الأشعة فوق البنفسجية، باستعمال مطيافية الأشعة فوق البنفسجية وكروماتوغرافيا استبعاد المقاس. إن استقرار روابط الهيدروجين داخل الجزيئة مهم لأداء المثبتات تجاه الأشعة فوق البنفسجية. نحصل على أعلى استقرارية لروابط الهيدروجين داخل الجزيئة في البولييميرات ذات وحدات فينيل بنزوتريازول مرتبطة بسلسلتها الرئيسية. ولقد تبين أن وحدات المثبتات تجاه الأشعة فوق البنفسجية تتوزع توزعاً إحصائياً على طول السلسلة الرئيسية للبوليمير<sup>34</sup>.

لقد جرى اصطناع عدد من المثبتات تجاه الأشعة فوق البنفسجية القابلة للبلمره من نوع 2-(2-هيدروكسي فينيل)-2H-بنزوتريازول. فمثلاً، جرى تحضير مشتقات 5-فينيل و5-إيزوبروبينيل من 2-(2-هيدروكسي فينيل)-2H-بنزوتريازول، و4-أكريلات أو 4-ميتاكريلات من 2-(4،2-ثنائي هيدروكسي فينيل)-2H-بنزوتريازول أو 2-(4،2-ثنائي هيدروكسي فينيل)-1،3،2H-ثنائي بنزوتريازول وبلمرتها بلمره مشتركة مع أنواع متنوّعة من المونوميرات<sup>29</sup>.

ويُشكّ أن 4-أكريلات أو 4-ميتاكريلات من 2-(4،2-ثنائي هيدروكسي فينيل)-2H-بنزوتريازول، مع كونها يسيرة التحضير وشديدة النفاذية مع المونوميرات المشتركة، إلا أنها غير مستقرة من جهة التحلل المائي، بسبب وجود زمرة الإستر العطرية.



الشكل (9-9): 2-2-هيدروكسي-4-ألكوكسي-(2-أوكسي بروبيل ميتاكريلات) فينيل [4-2H-

ميثوكسي بنزوتريازول (MBDHG)<sup>29</sup>

لذلك جرت محاولات لتحضير مشتقات إستر أكريلات وميتاكريلات من 2-2-هيدروكسي فينيل-(2H-بنزوتريازول حيث تتصل وحدات 2-2-هيدروكسي فينيل)-2H-بنزوتريازول بزمر الأكريلات أو الميتاكريلات بروابط إستر أليفاتية. يجب أن تمتلك نواتج هذا التفاعل البوليميري استقراراً جيداً من جهة التحلل المائي.

بدلاً من كلوريد الأكريلويل أو كلوريد الميتاكريلويل، تستعمل مركبات غليسيديل إستر لتحميل الوظائف للمركبات القابلة للبلورة. يبين الشكل (9-9) أحد هذه المركبات وهو 2-2-هيدروكسي-4-ألكوكسي-(2-أوكسي بروبيل ميتاكريلات) فينيل [4-2H-ميثوكسي بنزوتريازول. يجري تحضير هذا المركب بتفاعل 4-5-ميثوكسي-2H-بنزوتريازول-2-إيل) ريزورسينول مع ميتاكريلات غليسيديل. ويستخدم بروميد رباعي بوتيل الأمونيوم بصفته مُحفِّزاً، والهيدروكينون بصفته مثبِّطاً للبلورة.

ولقد جرى اصطناع مركبات 2-2-هيدروكسي فينيل-(2H-بنزوتريازول قابلة للبلورة مُستبدلٌ فيها، في الموقع 5، زمر هيدروكسيل وزمر كربوكسيل تفاعلية، وذلك عن طريق التفاعل مع N-هيدروكسي ميثيل ميتاكريل أميد<sup>35</sup>.

يمكن بلورة مركبات الأكريل أميدوميثيل-2-2-هيدروكسي فينيل-(2H-بنزوتريازول التي نحصل عليها في المرحلة الأولى، بلورة مشتركة مع مونوميرات أكريلية أو ميتاكريلية. ينتج من الاستبدال في الموقع 5 بأحماض طويلة السلسلة، أو هيدروكربونات طويلة السلسلة أو فلوروكربون أو كحولات السيليكون الأوليغوميرية، مركبات نشطة السطح، هي في الوقت نفسه مُثبتات تجاه الأشعة فوق البنفسجية.

تفيد العدسات التي تحجز الأشعة فوق البنفسجية بوجه خاص أولئك الذين جرى استئصال عدسات عيونهم الطبيعية، إذ تتمتع العدسات الطبيعية بالقدرة على امتصاص الأشعة فوق البنفسجية لحماية داخل العين. وهكذا فإن العدسات الماصّة للأشعة فوق

البنفسجیة التي تُزرع داخل العين IOL مرغوبة جداً لأنها تُزرع مكان العدسات الطبيعيّة للعين. تُفضّل مركّبات الهيدروجل أو الهلام المائي (Hydrogels) للاستعمال في العدسات، وخصوصاً تلك التي تُزرع داخل العين IOL، إلا أن الطبيعة المُحبّة للماء والبنية الموسّعة للمركّبات المنخفضة الوزن الجزيئي والمركّبات الماصّة للأشعّة فوق البنفسجیة، تجعلان من الصعب دمجها في مركّبات الهيدروجل.

يمكن استعمال المواد البوليميريّة الماصّة للأشعّة فوق البنفسجیة في العدسات اللاصقة، والعدسات الاصطناعيّة داخل العينيّة، وغيرها. تُصنع هذه من بوليميرات أكريليّة<sup>36</sup>. أحد المواد الماصّة للأشعّة فوق البنفسجیة هو مشتق من البنزوتريازول، والآخر هو مشتق من البنزوفينون.

عموماً يجري تحضير العدسات بالبلمرة بالجزر الحر للمونوميرات المكوّنة للعدسة. يمكن تعديل المكوّنات لتشكيل عدسات تتمتع بالمحتوى المائي المطلوب، وغير ذلك من الخواص الفيزيائيّة. وتُدّمج عادة المواد الماصّة للأشعّة فوق البنفسجیة القابلة للبلمرة المشتركة، مثل HEMA، مباشرة في تركيبة العدسة.

قد لا يكون من الممكن دمج المواد الماصّة للأشعّة فوق البنفسجیة الوحيدة الوظيفة في السلسلة البوليميريّة الرئيسيّة بنسبة 100 في المئة. ولذلك اقترح استعمال مواد ماصّة للأشعّة فوق البنفسجیة متعدّدة الوظائف وقابلة للتشبيك<sup>37</sup>.

## 4.9. إضافات خاصّة

### 1.4.9. مثبتّات التفكّك

البوليميرات الحاوية هالوجينات حسّاسة للتفكّك بإطلاق كلوريد الهيدروجين. ويتعرّز هذا المفعول أكثر بوجود مركّبات التوتياء، إذ يتكوّن كلوريد التوتياء، الذي يعمل كحمض لويس (Lewis) ويُحفّز تفكّك البوليمير. يمكن منع التفكّك بإضافة مركّبات التريازول العطريّة إلى التركيبات البوليميريّة المُهلجنة. إنّ مركّبات التريازول فعّالة، على وجه الخصوص، في تثبيت البوليميرات المُهلجنة بوجود أكسيد التوتياء. المثبتّات الفعّالة هي بنزوتريازول، وتوليل تريازول<sup>38</sup>.



## 5.9. تطبيقات

### 1.5.9. الإيزوسيانات المُحتَجَزة

إن كسرة الإيزوسيانات شديدة النفاذية نحو بوليميرات بولي (أول). يُستعمل هذا التفاعل في تحضير بوليميرات بولي (يوريثان) (PU). بوجود محفزات مثل مركبات الأمين يجري التفاعل بسرعة في درجة حرارة الغرفة. إذن، تُحضّر بوليميرات اليوريثان عموماً من مُركبتين، الأولى تحتوي على مركبة الإيزوسيانات، والثانية تحتوي على مركبة البوليول. يجري مزج المركبات قبل الإنضاج.

ولكن هناك أيضاً تشكيلة وحيدة المركبة يمكن إنضاجها بالتسخين. تتكوّن الطلاءات المسحوقية من PU بشكل أساسي من مركب بوليول ومركب بولي (إيزوسيانات)، تكون فيه زمر NCO محجوبة حجاً كاملاً أو جزئياً بواسطة عامل احتجاز (Blocking agent)، مما يمنع حدوث تفاعل البلمرة بالإضافة في درجات حرارة أخفض من  $140^{\circ}\text{C}$ .

إن  $\epsilon$ -كابرولاكتام عامل احتجاز شائع. بهذا الطريق تحتاج الإيزوسيانات المحتجزة درجات حرارة إنضاج بين  $170^{\circ}\text{C}$  و  $200^{\circ}\text{C}$ . وهناك عوامل احتجاز أخرى يمكن إنضاجها بدرجات حرارة أخفض، مثل مالونات ثنائي إيثيل أو 4،2-ثنائي ميثيل-3-بننتانول أوكسيم أو 6،2-ثنائي ميثيل-4-هيبنتانول أوكسيم، إلا أنّ طلاءاتها تميل إلى الاصفرار.

4،2،1-تريازول هو عامل احتجاز بديل<sup>39</sup>. ويمكن أيضاً تطبيق مزائج ثنائي إيزوبروبيل أمين و 4،2،1-تريازول للاحتجاز.

درجة حرارة التشبيك التصالبي للبوليمير الأليفاتي بولي (إيزوسيانات) على أساس 6،1-هكسان ثنائي إيزوسيانات، التي يجري احتجازها بكميات متساوية مولياً من ثنائي إيزوبروبيل أمين و 4،2،1-تريازول، هي  $139^{\circ}\text{C}$ ، وذلك دون إضافة مُحفّز. أمّا البوليميرات الأليفاتية بولي (إيزوسيانات) التي يجري احتجازها بكميات متساوية مولياً من ثنائي إيزوبروبيل أمين و مالونات ثنائي إيثيل فدرجة حرارة تشبيكها تساوي  $130^{\circ}\text{C}$ <sup>40</sup>.

تبقى الإيزوسيانات المحتجزة بالتريازول مستقرّة حتى  $130^{\circ}\text{C}$ – $140^{\circ}\text{C}$ . أما تفاعل الاحتجاز فيمكن أن يجري عند درجة حرارة أخفض من درجة فكّ الاحتجاز بحوالى

15°C-25<sup>39</sup>. استقرارية التخزين مُحسنة بوضوح مقارنةً بالتشكيلات التي تُحتجز حصرًا بإستراتات CH-حمضية، مثل مالونات ثنائي إيثيل<sup>40</sup>.

تعدُّ بوليميرات بولي (إيزوسيانات) المُحتجزة بواسطة 1،2،4-تريازول مُناسبة على وجه الخصوص، بصفاتها عوامل تشبيك تصالبي لتركيبات الطلاءات المسحوقية. إلا أنها بشكل أساسي غير مناسبة للاستعمال في تركيبات الطلاء المحتوية على مذيب، لأنَّ محاليلها في المذيبات العضوية تكون عالية اللزوجة نسبيًا، وغالبًا ما تكون غير مستقرة بسبب سعي البولي (إيزوسيانات) المُحتجزة إلى التبلر. إلا أنَّ بوليميرات بولي (إيزوسيانات) المُحضرة من 1،6-هكسان ثنائي إيزوسيانات والمُحتجزة بواسطة 3،5-ثنائي ميثيل-1،2،4-تريازول تكون مستقرة في التخزين وتتمتع بلزوجة منخفضة<sup>41</sup>.

وفي حالة بوليميرات بولي (إيزوسيانات) الهجينة المُحتجزة، تستعمل عوامل احتجاز متعدّدة في آن معاً، مثل ε-كابرولاكتام وثنائي إيزوبروبيل أمين و 1،2،4-تريازول. يوفر هذا النوع من المركّبات من اللّكر المنضّج حراريًا طلاءات ذات قابليّة سحب عميق في درجة حرارة الغرفة، ومقاومة للشّد اللاحق بعد تقادم الطلاءات. تُستعمل هذه المواد بالتنضيل لإنتاج طلاءات أساس لطلاء الوشائع<sup>42</sup>.

### 2.5.9. تشبيك المطاط

نحصل على معدّل تشبيك أعلى عندما يجري تشبيكٌ حراريٌّ لمطاط بوتيل، أو لمونومير إيثيلين بروبيلين ديين (EPDM) من النمط إيثيلدين نوربورنين (ENB)، أو لمزيج بالنسب المرغوبة من مطاط بوتيل ومن EPDM من النمط ENB، باستعمال راتنج ألكيل فينول-فورمالدهيد ومركّب تريازول. كما نحصل على معدلات تشبيك تصالبي تفوق ذلك عندما يُستعمل أيضاً مركّب هيدرازيد.

يُبدى 3-(N-ساليسيلويل) أمينو-1،2،4-تريازول درجة تشبيك مرتفعة بشكل ملحوظ في راتنج ألكيل فينول-فورمالدهيد يشبّك مطاط بوتيل أو EPDM من النمط ENB.

وتحت الشروط نفسها لا يُظهر 3-أمينو-1،2،4-تريازول، الذي يتمتع ببنية كيميائية شديدة الشبه بـ 3-(N-ساليسيلويل) أمينو-1،2،4-تريازول، أي قدرة على التشبيك التصالبي<sup>43</sup>.

### 3.5.9. الطلاءات

يُعتبر 5،3-ثنائي أمينو-4،2،1-تريازول أحد المكونات في طلاءات بولي إستر إيميد ذات القساوة الزائدة وهو يُستعمل في التصليد الحراري لورنيش عازل لطلاء الأسلاك الكهربائية<sup>44،45</sup>. أما المكونات الحمضية فهي إسترات حمض تريفثاليك، وأنهيدريد حمض ثلاثي الميليتيك.

### 4.5.9. اللواصق المحتملة لدرجات الحرارة العالية

يؤدي إقحام البيريدين أو التريازول إلى تحسين التصاق بوليميرات بولي (إيميد) والنحاس<sup>46</sup>. يحتوي بولي (3،3،4،4'-بنزوفينون رباعي كربوكسيليك ثنائي أنهيدريد-3،5-ثنائي أمينو-4،2،1-تريازول) (BTDA-DATA) على كسرة التريازول كوحدة متكررة. ويحتوي بولي (4،4'-أوكسي ثنائي فتاليك أنهيدريد-3،1-أmino فينوكسي بنزين-8-أزاديينين) (ODPA-APB-8-AA) على كسر التريازول في النهاية<sup>47</sup>. يبدأ BTDA-DATA بالتفكك عند 350°C. في حين يبدأ ODPA-APB-8-AA بالتفكك عند 400°C. جرى اختبار البوليميرات بصفقتها لواصلق للسطوح النحاسية. يزداد الالتصاق بتكوّن معقدات النحاس.

لقد جرى مزج 4،4'-أوكسي ثنائي الأنيلين مع 6،2-ثنائي أمينو بيريدين و 5،3-ثنائي أمينو-4،2،1-تريازول على نحو منفصل لتكوين مزيج من مركبات ثنائي الأمين. ثم جرى اصطناع بوليميرات بولي (إيميد) (PI) بتفاعل مزيج ثنائيات الأمين مع ثنائي أنهيدريد بيروميليتيك. تتناسب التصاقية النحاس الموضّع بالترديد على أغشية PI مع المحتوى من الزمر الوظيفية<sup>48</sup>.

إنّ التصاقية وصلات النحاس ورائتج الإبوكسي هي في الغالب ضعيفة. يعود سبب ذلك إلى أنّ أوكسيد النحاس الذي يتكوّن طبيعياً يمتلك مقاومة ميكانيكية منخفضة. ولتحسين التصاقية هذه الوصلات، يجري إنشاء أطر نحاسية رصاصية مع مركبات آزول بصفقتها معزّزات التصاق. مركبات الأزول المستعملة هي بنزوتريازول (CBTA) وغيرها من الصفوف غير التريازولية<sup>49</sup>.

أظهرت مركبات التريازول، مثل CBTA و 8-أزدينين، التصاقية ممتازة، في حين لم تحسن مركبات الأزول على أساس الإيميدازول الالتصاقية. إلا أن التصاقية الوصلات المعالجة بـ CBTA أو 8-أزدينين قد انخفضت بازدياد زمن المعالجة، لأن معقدات النحاس-أزول السميكة المسامية تمتلك مقاومة ميكانيكية أضعف عند تشكيلها. ولقد أظهر مركب الأزول البوليميري بوليبيزيميدازول أعلى درجات الالتصاقية، التي وصلت  $785 \text{ N m}^{-1}$ ، بسبب تغطية أفضل للسطح.

### 5.5.9. مثبطات التآكل البوليميرية

تمتلك كسرة التريازول عموماً خواص مضادة للتآكل. ومثبط التآكل الأوسع استعمالاً، في حالة النحاس وخالطه في وسط مائي، هو بنزوتريازول. ويستخدم 5-أمينوتريازول مثبطاً للتآكل في تركيبات الزيوت المزلقة المضادة للتآكل<sup>50</sup>. يُنبط تآكل المعادن في المحاليل الحمضية بإضافة نسبة وزنية حوالى 0.01 في المئة إلى 1 في المئة من بوليمير ذي سلسلة رئيسية من 1،2،4-تريازول<sup>51</sup>.

#### 1.5.5.9. التوضيح الكهربائي

لقد جرى اختبار غشاء من بولي (أمينو تريازول) موضع كهربائياً على الفضة منعاً من فقدان بريقها. إن الحماية باستعمال بولي (أمينو تريازول) ليست موثوقة لجميع تدرجات لون الفضة. وبالمقابل يُظهر غشاء من هكزاديكان ثيول خواص مُقنعة<sup>52</sup>.

لحماية أغشية النحاس على اللوحات الكهربائية، تمكن تغطية السطح النحاسي بغشاء بوليميري يُحصل عليه بالأكسدة المصعدية لمثبط تآكل، مثل مونومير أمين أو إيميدازول. ليست فقط مونوميرات الفينيل التي تمكن بلمرتها بالأكسدة الكهربائية بل يمكن كذلك بلمرة مركبات ذات وظائف أخرى مثل مركبات الفينول والأكرولين والبنزوتريازول وغيرها<sup>53,54</sup>.

تنتج الأكسدة الكهربائية لمركب 3-أمينو-1،2،4-تريازول على ركيزة نحاسية في محلول ميثانول قلوي غشاءً بوليميرياً متجانساً ملتصقاً<sup>55</sup>. ثخانة الغشاء البوليميري هي

حوالى بضعة ميكرونات. إلا أن كفاءة سيرورة البلمرة الكهربائيّة الحاليّة ضعيفة بسبب تكون أوليغوميرات وتأكسد الكهرليت.

يمنع مركّب ثلاثي فينيل فوسفين تكون المعقد البوليمري السطحي، إذ يتكون معقد قابل للانحلال. يؤدي ذلك إلى انخفاض جوهري في كفاءة التثبيط السطحي<sup>56</sup>.

#### 2.5.5.9. التثتتات المائيّة

في تثتتات راتنج الإبوكسي المائيّة المؤسّسة على بولي(غليكول) وإبوكسي البيسفينول و3-أمينو-4،2،1-تريازول في إيثر غليكول البروبيلين أحادي البوتيل، يكون مركّب التريازول وراء تحسّن خواص الحماية من التآكل<sup>57</sup>. وتتمتع المواد المركّبة بعمر تخزين جيّد<sup>58،59</sup>.

يمكن جعل جسيمات التريازول غير قابلة للانحلال في الماء باستعمال تقنيّة البلمرة بالبلازما<sup>60</sup>. فتتكون أغشية بوليميريّة فائقة الرقّة على هذه الجسيمات، كما تؤكد ذلك مطيافيّة الكتلة ذات الأيون الثانوي. يُحرّر التريازول المُغلّف التريازول النشط ببطء، ويمكن أن يُستعمل بصفته صباغ دهان في طلاءات الإبوكسي على أساس الماء. يمكن لهذه التقنيّة أن تحلّ محلّ الأصبغة اللونية في الدهانات.

#### 6.5.9. التركيبات المولّدة للغاز

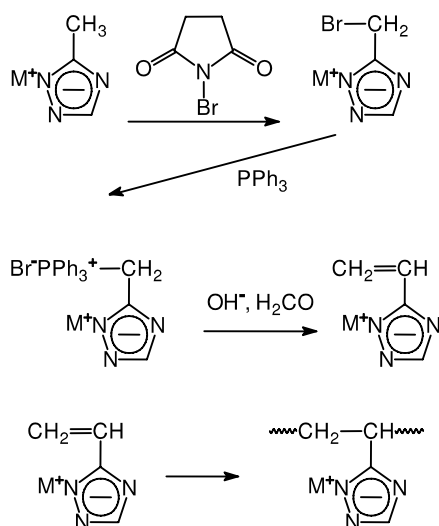
إنّ التركيبات المولّدة للغازات مُناسبة لأنظمة الوسادات الهوائية في السيارات. يجب ألاّ يكون الغاز ساماً. ويجب أن يتولّد الغاز من التركيبات المولّدة للغازات بسرعة عند اشتعالها. نحتاج مواد مركّبة مولّدة للغازات لا أزيديّة ومستقرّة حراريّاً وتمتلك معدّل احتراق مقبول وتطلق حجماً غازيّاً كبيراً بالنسبة إلى حجم الجسيمات الصلبة عند درجات حرارة مقبولة للهب<sup>61،62</sup>. ولتركيبات الألعاب النارية(\*) القابلة للبتق يمكن استعمال بولي(5-أمينو-1-فينيل تترازول) أو بولي(5-فينيل تترازول) أو بولي(2-ميثيل-5-فينيل) تترازول أو بولي(1-فينيل تترازول) أو بولي(3-فينيل-1،2،4-أوكساديازول) أو بولي(3-فينيل-1،2،4-تريازول).

(\*) مركبات ناشرة للحرارة نتيجة تفاعل كيميائي ذاتي الاستمرار (المترجم).

تشمل مركبات الفينيل تترازول كلاً من 5-أمينو-1-فينيل تترازول وپولي (5- فينيل تترازول). تُبدي هذه المركبات تحللاً حراريًا ذاتي الانتشار أو تفككاً حراريًا.

لا يُظهر پولي (5-أمينو-1-فينيل تترازول) تفاعلاً ماصاً للحرارة قبل بدء التحلل الناشئ للحرارة. لذلك فإن المرحلة المُستهلكة للحرارة التي تسبق عادة مراحل الاحتراق اللاحقة التي تُحرر الطاقة، التي تؤدي دور حاجز طاقي غير موجودة.

يبدأ اصطناع تركيبية مولدة للغاز باصطناع بوليمير پولي (فينيل تترازول). يُضاف ملح تريازول مُستبدل إلى عامل تفاعل مُبروم بالجذر الحر، مثل N-برومو سكسين إيميد، وإلى بادئ جذري لتكوين تريازول مُبروم. ثم يُضاف التريازول المُبروم إلى ثلاثي فينيل فوسفين لتكوين ملح فينيل Wittig. يُؤدّي الفورمالدهيد في وسط قلوي إلى تكوين ملح فينيل تريازول، الذي يمكن بعدئذ بلمرته مع AIBN وكمية مُحفزة من بادئ كاتيوني أو محفز زيغلر-ناتا Ziegler-Natta. سلسلة التفاعل مبينة في الشكل (9-10).



الشكل (9-10): تكوين أملاح بوليميرية من الفينيل تريازول<sup>61</sup>

يُجمَع مؤكسد مع الوقود البوليميري، وهو مصنوع من نترات الأمونيوم المثبت الطور، أي نترات الأمونيوم المُرسب ترسيباً مشتركاً مع 10 في المئة من نترات البوتاسيوم.

يمكن للتشكيلات النارية المولدة للغازات والمحتوية على نترات الأمونيوم أن تعاني تغييرات الطور في البنية البلورية المرتبطة بالتوسع الحجمي أثناء الدورة الحرارية. تؤدي نترات البوتاسيوم وأوكسيد النحاس دوراً تعاضدياً في استقرار نترات الأمونيوم<sup>63</sup>.

### 7.5.9. البوليميرات المبيدة حيوياً

يملك 3-أمينو-4،2،1-تريازول خواصّ مبيدة للأعشاب. إلا أنّ هذه المادة عالية الانحلال في الماء وسرعان ما تُغسل وتزول من التربة. يمكن زيادة الفعالية بربط المادة الفعالة إلى بوليمير. بهذه الطريقة تتحرر المادة الفعالة ببطء وتؤدي دورها على فترة طويلة من الزمن<sup>64</sup>.

لقد جرى تحضير بوليميرات ذات زمر متدلّية مبيدة للأعشاب، باللمرة بالجزر الحر لمركبات أمينو تريازول. فمثلاً تمكن بلمرة 1-(4-فينيل بنزويل)-5-أمينو-4،2،1-تريازول، أو 1-(3-كاربوميثوكسي أكريلويل)-5-أمينو-4،2،1-تريازول بلمرة مشتركة مع الميثيل ميثاكريلات أو الستيرين.

يعتمد تحرير المبيد العشبي بالحلمهة على طبيعة روابط الأמיד<sup>65</sup>. فمثلاً يؤدي بولي [1-(4-فينيل بنزويل)-5-أمينو-4،2،1-تريازول] تحريراً عالياً لمبيدات الأعشاب، في حين يؤدي بولي [3-(4-فينيل بنزويل)-5-أمينو-4،2،1-تريازول] تحريراً منخفضاً لهذه المواد.

### 6.9. الموردون والعلامات التجارية

جوهرياً، لا توجد علامات تجارية مسجلة لبوليميرات التريازول، هذا صحيح على الأقل في الولايات المتحدة الأميركية. وبالمقابل توجد بعض العلامات التجارية متعلقة بالمنتجات الزراعية. يبيّن الجدول (4-9) الأسماء التجارية الواردة في المراجع.

### 7.9. الأمان

يُشكّ أن 4،2،1-تريازول مادة سامّة عصبياً وتنفّسياً.

الجدول (4-9): الأسماء التجارية الواردة في المراجع

المورد	الاسم التجاري الوصف
BASF AG	Acronal® 4F
Hoechst/Italy	بولي (أكريلات n-بوتيل) <sup>42</sup> Alftalat® AN 739
Fuji Photo Film Co., Ltd.	بولي إستر <sup>39</sup> CP-45X
UCB	مُظَهَّر <sup>34</sup> Crylcoat® 2392
Bayer AG	بولي إستر <sup>39</sup> Desmodur® W
Bayer AG	بيس - (4-إيزوسياناتو حلقي هكسيل) ميثان (H <sub>12</sub> MDI) <sup>42</sup> Desmophen® 690
Showa Chemical	لَكر بولي إستر متشعب بزمر OH <sup>42</sup> Hakkol FWA-SF
Elf Atochem	ثلاثي أزينيل أمينو ستيلبين عامل تلميع فلوري <sup>24</sup> Lupersol® 256
Grace & Co.	5،2-ثنائي ميثيل -5،2-بيس (2-إيثيل هكزانويل) بيروكسي (هكسان) <sup>36</sup> Shieldex® C 303
Shin-Etsu Chemical Co., Ltd.	سيليكاستبدل فيها شاردة كالسيوم، صباغ مضاد للتآكل <sup>42</sup> Silicone KF351A
Exxon	بولي (ثنائي ميثيل سيلوكسان)، عامل توتر سطحي <sup>24</sup> Slovesso®
Ciba Geigy	مزائج مذيبات عالية العطرية <sup>40</sup> Tinuvin® 326
Ciba Geigy	2-2- (هيدروكسي-3-ترت-بوتيل-5-ميثيل فينيل)-5- كلورو بنزوتريازول، ماص للأشعة فوق البنفسجية <sup>36</sup> Tinuvin® P.
Tronox Inc. (Kerr-McGee Chemical Corp.)	2-2- (هيدروكسي-5-ميثيل فينيل) بنزوتريازول، ماص للأشعة فوق البنفسجية <sup>36</sup> Tronox® R-KB-2
DSM	روتيل (ثنائي أوكسيد تيتانيوم) المُعالج بالألومينا سيليكاستبدل، صباغ <sup>42</sup> Uralac® P 1460
	بولي إستر بوليول <sup>39</sup>



1. C. J. Abshire and C. S. Marvel. "Some oxadiazole and triazole polymers." *Makromolekulare Chemie*: vols. 44-46, 1961, pp. 388-397.
2. J. W. Connell, P. M. Hergenrother, and P. Wolf. Poly(1,2,4-triazole) via aromatic nucleophilic displacement. US Patent 5 182 356, assigned to The United States of America as represented by the United States (Washington, DC), 26 January 1993.
3. V. P. Krivopalov and O. P. Shkurko. "1,2,3-triazole and its derivatives. Development of methods for the formation of the triazole ring." *Russian Chemical Reviews*: vol. 74, no. 4, 2005, pp. 339-379, [electronic] <<http://www.turpion.org>>, paper 893.
4. S. W. Li, Z. Zhou, Y. L. Zhang, M. L. Liu, and W. Li. "1h-1,2,4-triazole: An effective solvent for proton-conducting electrolytes." *Chemistry of Materials*: vol. 17, no. 24, November 2005, pp. 5884-5886.
5. Z. Zhou, S. W. Li, Y. L. Zhang, M. L. Liu, and W. Li. "Promotion of proton conduction in polymer electrolyte membranes by 1h-1,2,3-triazole." *Journal of the American Chemical Society*: vol. 127, no. 31, August 2005, pp. 10824-10825,.
6. T. G. Ermakova, N. P. Kuznetsova, and K. A. Maksimov. "Copolymerization of 1-vinyl-1,2,4-triazole with 2-hydroxyethyl methacrylate." *Russian Journal of Applied Chemistry*: vol. 76, no. 12, December 2003, pp. 1971-1973.
7. A. K. Feldman, B. Colasson, and V. V. Fokin. "One-pot synthesis of 1,4-disubstituted 1,2,3-triazoles from in situ generated azides." *Organic Letters*: vol. 6, no. 22, 2004, pp. 3897 - 3899
8. G. Molteni and P. Del Buttero. "1,3-dipolar cycloadditions of MeOPEGbounded azides." *Tetrahedron*: vol. 61, no. 21, May 2005, pp. 4983-4987.
9. H.-D. Rupp, E.-G. Worbs, W. Michael, S. Erhard, G. Meyer, and A. Schöpf. Process for the production of filaments and foils from poly-bis-1,2,4-triazoles. GB Patent 1 215 067, assigned to Glanzstoff Ag (DE), 9 December 1970.
10. T. G. Ermakova, N. P. Kuznetsova, and V. V. Annenkov. "Radical copolymerization of 1-vinyl-1,2,4-triazole with 1,1,omega- trihydrotetrafluoropropyl methacrylate." *Russian Journal of Applied Chemistry*: vol. 72, no. 6, June 1999, pp. 1055-1057.

11. W. Maes, B. Verstappen, and W. Dehaen. "Synthesis of 1,2,4-triazole dendrimers." *Tetrahedron*: vol. 62, no. 11, March 2006, pp. 2677–2683.
12. H. E. Kuenzel, F. Bentz, G. Lorenz, and G. Nischk. High-molecular-weight aromatic polyamides. GB Patent 1 238 511, assigned to Farbenfabriken Bayer A.-G., 1971.
13. S. H. Chen and Y. Chen. "Luminescent copoly(aryl ether)s with new electron transporting bis(3-(trifluoromethyl)phenyl)-1,3,4-oxadiazole or bis(3-(trifluoromethyl)phenyl)-4-(4-hexyloxyphenyl)4h-1,2,4-triazole segments." *Journal of Polymer Science Part A: Polymer Chemistry*: vol. 42, no. 23, December 2004, pp. 5900–5910.
14. S. H. Chen and Y. Chen. "Poly(p-phenylenevinylene) derivatives containing electron-transporting aromatic triazole or oxadiazole segments." *Macromolecules*: vol. 38, no. 1, January 2005, pp. 53–60.
15. D. D. C. Bradley, M. Grell, A. Grice, A. R. Tajbakhsh, D. F. O'Brien, and Bleyer. "Polymer light emission: Control of properties through chemical structure and morphology." *Optical Materials*: vol. 9, nos. 1-4, January 1998, pp. 1–11.
16. Z. Liu, Y. X. Cheng, G. P. Su, L. X. Wang, X. B. Jing, and F. S. Wang. "Novel PPV-based light-emitting copolymers containing triazole moiety." *Synthetic Metals*: vol. 137, nos. 1-3, April 2003, pp. 1113–1114.
17. J. Kido, C. Ohtaki, K. Hongawa, K. Okuyama, and K. Nagai. "1,2,4-triazole derivative as an electron transport layer in organic electroluminescent devices." *Japanese Journal of Applied Physics: Part 2*, 32(7A), July 1993, L917–L920.
18. J. Peng, N. Takada, and N. Minami. "Red electroluminescence of a europium complex dispersed in poly(N-vinylcarbazole)." *Thin Solid Films*: vol. 405, nos. 1-2, February 2002, pp. 224–227.
19. Z. Liu, L. X. Wang, X. B. Jing, and F. S. Wang. "Synthesis and characterization of novel bipolar PPV-based copolymer containing triazole and carbazole units." *Chinese Journal of Polymer Science*: vol. 19, no. 6, November 2001, pp. 615–621.
20. T. Taguchi. Polymer and light emitting element using the same. US Patent 6 803 124, assigned to Fuji Photo Film Co., Ltd. (Kanagawa, JP), 12 October 2004.
21. S.-A. Chen and Y.-Z. Lee. Electroluminescent conjugated polymers modified with high electronegative. US Patent 6 693 158, assigned to National Science Council (Taipei, TW), 17 February 2004.

22. V. B. McKoy and A. Gupta. Photocurable acrylic composition, and UV curing with development of. US Patent 5 141 990, assigned to California Institute of Technology (Pasadena, CA), 25 August 1992.
23. P. Bergthaller. "Couplers in colour photography -chemistry and function part 2." *Imaging Science Journal*: vol. 50, no. 3, 2002, pp. 187–229,
24. H. Satoh, T. Nakamine, N. Seto, and H. Yoneyama. 1h-pyrazolo[1,5-b]-1,2,4triazole compound, coupler and silver halide color photographic. US Patent 6 995 273, assigned to Fuji Photo Film Co., Ltd. (Kanagawa-ken, JP), 7 February 2006.
25. D. Brennecke and B. Weber. Production of emulsion based on tabular silver chloride, with increased gradation. DE Patent 19 731 576, assigned to Agfa Gevaert Ag (De), 28 January 1999.
26. P. Bergthaller, J. Siegel, and H.-U. Borst. Photographic silver halide material. US Patent 6 498 003, assigned to Agfa-Gevaert (BE), 24 December 2002.
27. S. Ishiguro, Y. Fuseya, T. Heki, and A. Mitsui. Silver halide photographic light-sensitive material. US Patent 4 397 943, assigned to Fuji Photo Film Co., Ltd. (Kanagawa, JP), 9 August 1983.
28. S. Ishiguro, T. Heki, A. Mitsui, and Y. Fuseya. Light-sensitive photographic silver halide material. DE Patent 3 223 316, assigned to Fuji Photo Film Co., Ltd., Japan, 5 January 1983.
29. O. Vogl and C. Zhang. 2(2-Hydroxyphenyl)2H-benzotriazole compounds and homopolymers or copolymers thereof. US Patent 5 099 027, assigned to PPG Industries, Inc. (Pittsburgh, PA), 24 March 1992.
30. K. Shuhaibar and F. A. Rasoul. Ultraviolet light absorbing benzotriazolylbenzophenone compounds and their copolymerizable derivatives. GB Patent 2 232 667, assigned to Kuwait Institute for Scientific Research, Kuwait, 19 December 1990.
31. F. A. Rasoul and K. Shuhaibar. Naphthylbenzotriazole UV light absorbers for plastics. GB Patent 2 237 567, assigned to Kuwait Institute for Scientific Research, Kuwait, 8 May 1991.
32. K. F. Shuhaibar, F. A. Rasoul, H. Pasch, and A. Mobasher. "Synthesis and characterization of polymers containing naphthyl-2H-benzotriazoles. 1. Monomer synthesis and characterization." *Die Angewandte Makromolekulare Chemie*: vol. 193, 1991, pp. 147–158.

33. F. A. Rasoul, H. Pasch, K. F. Shuhaibar, and A. Attari. "Synthesis and characterization of polymers containing naphthyl-2H-benzotriazoles. 2. Polymer synthesis and characterization." *Die Angewandte Makromolekulare Chemie*: vol. 193, 1991, pp. 159–167.
34. H. Pasch, K. F. Shuhaibar, and S. Attari. "A comparative study on polymers containing different ultraviolet stabilizer moieties." *Journal of Applied Polymer Science*: vol. 42, 1991, pp. 263–271.
35. L. Stoeber, A. Sustic, W. J. Simonsick, Jr., and O. Vogl. "Functional polymers 65. Synthesis and brief characterization of surface active 2(2-hydroxyphenyl)2H-benzotriazole ultraviolet stabilizers." *Journal of Macromolecular Science: Pure and Applied Chemistry*: A37(9), 2000, pp. 943–970.
36. H. Faubl. UV blocking lenses and material containing benzotriazoles and benzophenones. US Patent 6 244 707, assigned to Wesley Jessen Corporation (Des Plaines, IL), 12 June 2001.
37. S.-G. Hong. Crosslinkable UV absorbing agent for UV absorbing lens. US Patent 6 914 086, 5 July 2005.
38. C. A. Schneider and T. C. Rees. Halogenated polymers stabilized with triazoles. US Patent 4 274 997, assigned to The Sherwin-Williams Company (Cleveland, OH), 23 June 1981.
39. R. Gras. Blocked polyisocyanates, a process for their preparation, and their use. US Patent 6 437 074, assigned to Huels Aktiengesellschaft (Marl, DE), 20 August 2002.
40. E. König, H. Casselmann, F. Kobelka, and K.-A. Foster. At least partially blocked organic polyisocyanates, a process for their preparation and their use in coating compositions. US Patent 5 350 825, assigned to Bayer Aktiengesellschaft (Leverkusen, DE), 27 September 1994.
41. G. Kurek, E. König, K. Nachtkamp, and T. Engbert. Polyisocyanates blocked with 3,5-dimethyl-1,2,4-triazole. US Patent 6 005 046, assigned to Bayer Aktiengesellschaft (Leverkusen, DE), 21 December 1999.
42. E. König, B. Baumbach, and C. Füssel. Polyisocyanates blocked with epsilon-caprolactam and either diisopropylamine or 1,2,4-triazole, their preparation and use. US Patent 6 723 817, assigned to Bayer Aktiengesellschaft (Leverkusen, DE), 20 April 2004.

43. M. Onizawa. Method for crosslinking of isoprene-isobutylene rubber, ethylene-propylene-diene rubber containing ethyldenenorbornene as unsaturated component, or mixture thereof; and crosslinked rubber product obtained by said method. US Patent 6 403 713, 11 June 2002.
44. A. Dobbstein, H. D. Hille, and H. Holfort. Terephthalic trimellitic polyesterimides for electric insulation. DE Patent 1 937 311, assigned to Herberts, Dr. Kurt, und Co., 18 February 1971.
45. A. Dobbstein, H. D. Hille, and H. Holfort. Thermosetting insulating varnishes for coating electrical conductors. DE Patent 1 966 084, assigned to Herberts, Dr. Kurt, und Co., 23 September 1971.
46. J. Seo, J. Kang, K. Cho, and C. E. Park. "Synthesis of polyimides containing triazole to improve their adhesion to copper substrate." *Journal of Adhesion Science and Technology*: vol. 16, no. 13, 2002, pp. 1839–1851.
47. R.-W. Lee, G. F. Walker, and A. Viehbeck. "Formation of polyimide-Cu complexes: Improvement of direct Cu-on-PI and PI-on-Cu adhesion." *Journal of Adhesion Science and Technology*: vol. 9, 1995, pp. 1125–1141.
48. C. K. Ku, C. H. Ho, and Y. D. Lee. "Synthesis of polyimides containing pyridine or triazole moiety to improve their adhesion to sputter-deposited copper." *Journal of Adhesion Science and Technology*: vol. 19, no. 11, 2005, pp. :909–925.
49. S. M. Song, C. E. Park, H. K. Yun, C. S. Hwang, S. Y. Oh, and J. M. Park. "Adhesion improvement of epoxy resin copper lead frame joints by azole compounds." *Journal of Adhesion Science and Technology*: vol. 12, no. 5, 1998, pp. 541–561.
50. R. L. Sung and B. H. Zoleski. Polyoxyalkylene polyamine triazole complexes. US Patent 4 464 276, assigned to Texaco Inc., USA, 7 August 1984.
51. A. Kotone, T. Hori, M. Hoda, and Y. Nakane. Corrosion inhibition of metals in acidic solutions. JP Patent 48 089 141, assigned to Sakai Chemical Industry Co., Ltd., 21 November 1973.
52. M. C. Bernard, E. Dauvergne, M. Evesque, M. Keddou, and H. Takenouti. "Reduction of silver tarnishing and protection against subsequent corrosion." *Corrosion Science*: vol. 47, 2005, pp. 663–679.
53. R. V. Subramanian. "Electroinitiated polymerization on electrodes." In: *Electric Phenomena in Polymer Science, volume 33 of Advances in Polymer Science*. Berlin: Springer-Verlag Berlin, 1979. pp. 33–58.

54. G. Mengoli. "Feasibility of polymer film coatings through electroinitiated polymerization in aqueous medium." In: *Electric phenomena in polymer science, volume 33 of Advances in Polymer Science*. Berlin: Springer-Verlag Berlin, 1979. pp. 1–31.
55. B. Trachli, M. Keddami, H. Takenouti, and A. Srhiri. "Protective effect of electropolymerized 3-amino 1,2,4-triazole towards corrosion of copper in 0.5 M NaCl." *Corrosion Science*: vol. 44, no. 5, May 2002, pp. 997–1008
56. J.-L. Yao, Y.-X. Yuan, and R.-A. Gu. "Negative role of triphenylphosphine in the inhibition of benzotriazole at the Cu surface studied by surface-enhanced Raman spectroscopy." *Journal of Electroanalytical Chemistry*: vol. 573, no. 2, December 2004, pp. 255–261.
57. H. Matsuki and R. Nishida. Aqueous epoxy resin dispersions and thermosetting coating compositions with good corrosion resistance. JP Patent 2 003 034 713, assigned to Kansai Paint Co., Ltd., Japan, 7 February 2003.
58. H. Matsuki, R. Nishida, and M. Murata. Storage-stable one-liquid waterborne epoxy resin dispersions for coatings with good thermal curability and resistance to corrosion and impact. JP Patent 2 003 253 004, assigned to Kansai Paint Co., Ltd., Japan, 10 September 2003.
59. T. Miyoshi, A. Matsuzaki, K. Sasaki, K. Okai, T. Sakamoto, N. Yoshimi, M. Yamashita, and M. Murata. Environmentally friendly corrosion-resistant pre-coated steel sheet and its manufacture. JP Patent 2 004 162 097, assigned to JFE Steel Corp., Japan; Kansai Paint Co., Ltd., 10 June 2004.
60. H. Yang and W. J. van Ooij. "Plasma-treated triazole as a novel organic slow-release paint pigment for corrosion control of AA2024-T3." *Progress in Organic Coatings*: vol. 50, no. 3, August 2004, pp. 149–161.
61. G. K. Williams, S. P. Burns, and I. B. Mishra. Gas generating compositions. WO Patent 2 005 035 466, assigned to Automotive Systems Laboratory, Inc., USA, 21 April 2005.
62. G. K. Williams and R. J. Matlock. Gas generant and manufacturing method thereof. WO Patent 2 005 097 711, assigned to Automotive Systems Laboratory, Inc., USA, 20 October 2005.
63. B. K. Hamilton. Phase-stabilized ammonium nitrate. US Patent 6 872 265, assigned to Autoliv ASP, Inc. (Ogden, UT), 29 March 2005.

64. K. Wermann, H. J. Bauer, M. Hartmann, G. Globig, G. Schwarz, and I. Seewald. Polymeric triazole herbicides. DD Patent 224 203, assigned to VEB Fahlberg-List, Ger. Dem. Rep., 3 July 1985.
  
65. M. Hartmann, D. Kohrs, and K. Wermann. "Biocidal polymers. X. Synthesis and hydrolytic behavior of polymers with pendantly bound 3-amino-1,2,4-triazole." *Acta Polymerica*: vol. 36, 1985, pp. 185–187.

## بوليميرات پولي (أوكساديازول)

أول ما وُصفت بوليميرات پولي (4,3,1-أوكساديازول) (PODA) كان في عام 1961<sup>1</sup>. غالباً ما ترتبط كسارة الأوكساديازول بالوحدات العطرية، ومع ذلك فقد جرى وصف بوليميرات PODA ذات روابط أليفاتية، ودرجات انصهار أخفض بشكل ملموس. الأكثر شيوعاً هو الإيزومير 4,3,1-أوكساديازول، وتمتلك المركبات المتعلقة به حلقة 4,2,1-أوكساديازول، أو حلقة 5,2,1-أوكساديازول، أو حلقة ثيازول، أو حلقة أوكسازول، أو حلقة إيزوثيازول، أو حلقة إيزوأوكسازول أو حلقة ثيوفين في السلسلة الرئيسية. تجد بوليميرات PODA استعمالاً في التطبيقات المتقدمة وذلك نظراً إلى خواصها المثيرة للاهتمام.

لقد جرى استعراض صف بوليميرات PODA في الأدبيات 4-2. كما إنّ مشتقات 4,3,1-أوكساديازول تُستعمل في التطبيقات الطبية والزراعية، مثلاً في مجال العلاج الكيميائي أو بصفتها مبيدات للأعشاب الضارة أو الحشرات 6,5.

### 1.10. المونوميرات

إنّ المونوميرات مبيّنة في الجدول (1-10) والشكل (1-10). ولقد جرى وصف مونوميرات فينيل ذات كسرة أوكساديازول<sup>7</sup>. يبيّن الشكل (2-10) اصطناع مثل هذا المونومير. إنّ مشتقات الأوكساديازول هذه بلورية سائلة، وهي لذلك يمكن توجيهها في أحد أطوارها الوسطية (ميزو) (Mesophases) لتعطي مواد ذات خواص بصرية أو كهربائية لامتماثلة المناحي مفيدة.

يمكن بلمرة (4,4'-تترازوليل-4-ميثيل) ثلاثي فينيل أمين بواسطة أحماض الكلوريد ثنائية الوظيفة<sup>8</sup>. إضافة إلى ذلك، تحمل هذه المركبات زمر ثنائي فينيل سيلان.

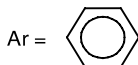
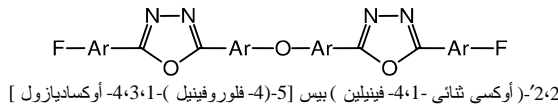
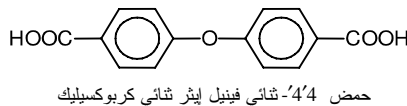
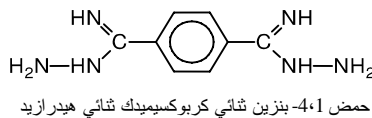
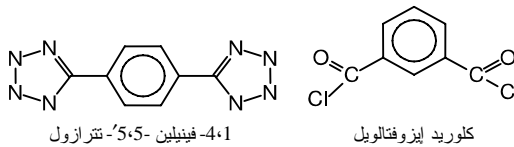
يستعمل 5,2-بيس-(4-كربوكسي فينيل)-4,3,1-أوكساديازول (ODCA) لتعديل پولي (تريفالات الإيثيلين) (PET)<sup>11</sup>. فعند إضافة كميات صغيرة من ODCA بصفتها



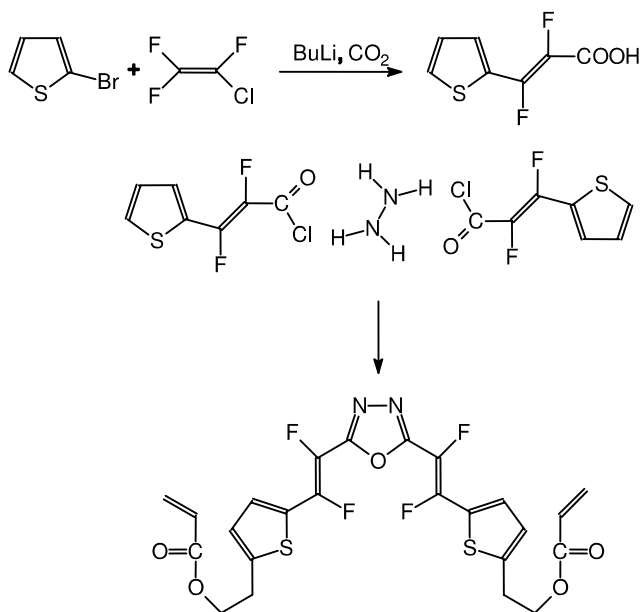
مركبة حمضية عند التغذية المونوميرية لتصنيع PET، ترتفع درجة حرارة الانتقال الزجاجي. تظهر البوليميرات المشتركة المحتوية على ODCA انحلالية أعلى في الأسيتون، من مجرد بوليميرات PET الصرفة.

الجدول (1-10): مونوميرات في حالة بوليميرات بولي (1,3,4-أوكساديازول)

المراجع	المونومير
1	p-فينيلين-5,5'-تترازول
1	حمض 4,1-بنزين ثنائي كربوكسيميدك ثنائي هيدرازيد
1	كلوريد إيزوفتالويل
9	حمض 4,4'-ثنائي فينيل إيثر ثنائي كربوكسيليك
10	2,2'-(أوكسي ثنائي-4,1-فينيلين) بيس [5-(4-فلوروفينيل)-1,3,4-أوكساديازول]
10	5,1-نفتالين ديول
8	(4,4'-تترازوليل-4-ميثيل) ثلاثي فينيل أمين
11	5,2-بيس-(4-كربوكسي فينيل)-1,3,4-أوكساديازول



الشكل (1-10): مونوميرات تستعمل في PODA



الشكل (10-2): اصطناع مونومير أوكساديازول قابل للتشبيك التصالبي<sup>7</sup>

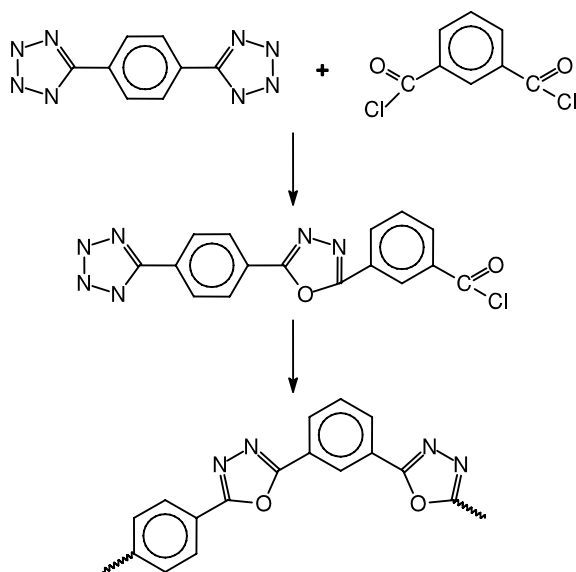
## 2.10. البلمرة والتصنيع

يمكن اصطناع بوليميرات PODA بإحدى الطريقتين التاليتين<sup>4</sup>:

- تكوين كسّر أوكساديازول أثناء اصطناع البوليمير، في الغالب عن طريق بوليمير طبيعي.
- تكاثف مونوميرات تمتلك كسّر أوكساديازول على نحو سابق.

### 1.2.10. البلمرة بالتكاثف

في البداية كان اصطناع PODA يجري بتفاعل مركّب بيس تيترازول مع كلوريد ثنائي حمض عطري، مثل p-فينيلين-5،5'-تيترازول وكلوريد الإيزوفتالويل<sup>1</sup>. التفاعل مبين في الشكل (10-3). إلا أن البوليميرات التي نحصل عليها باتباع هذه الطريقة تعاني من الانحلالية، وارتفاع الوزن الجزيئي<sup>4</sup>.

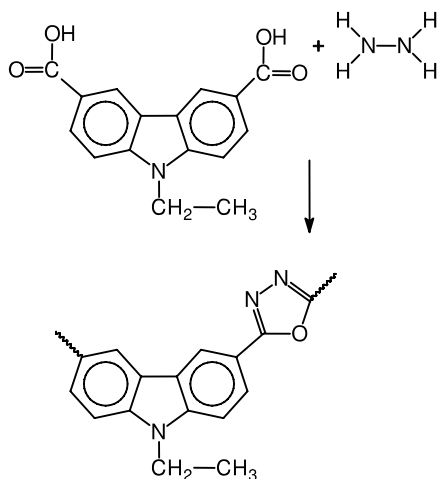


الشكل (10-3): اصطناع PODA من بيس تيترازول وكلوريد ثنائي الحمض العطري

لقد جرى ذكر طريقة أخرى تتمثل في تكاثف مركبات بيس-(أميدرازون) مع مركبات كلوريد ثنائي الحمض، متبوعاً بإزالة ضمن جزيئية للنشادر، أو بتكاثف مركبات بيس-(أميدرازون) مثل حمض 4،1-بنزين ثنائي كربوكسيميدك ثنائي هيدرازيد مع أمحاض ثنائي كربوكسيليك بتفاعل من مرحلة واحدة. إلا أنه ليس من اليسير الحصول على مونوميرات بيس-(أميدرازون).

لهذا السبب يُفضل إجراء تفاعل على مرحلتين لمركبات ثنائي الهيدرازيد مع حمض كلوريد ثنائي كربوكسيليك لتكوين بوليميرات بولي (هيدرازيد) في المرحلة الأولى. ويمكن استعمال تنوع واسع من الكسّر العطرية<sup>12</sup>. وفي الخطوة الثانية، يُنجز التحلّق إلى PODA بتحلّق مع نزع الماء عند 300°C في الخلاء، أو بتطبيق مذيبات نازعة للماء. وبأسلوب مماثل يمكن صب أو غزل بولي (هيدرازيد) المرهلي، ثم تحوّل المادة المصنوعة إلى .PODA

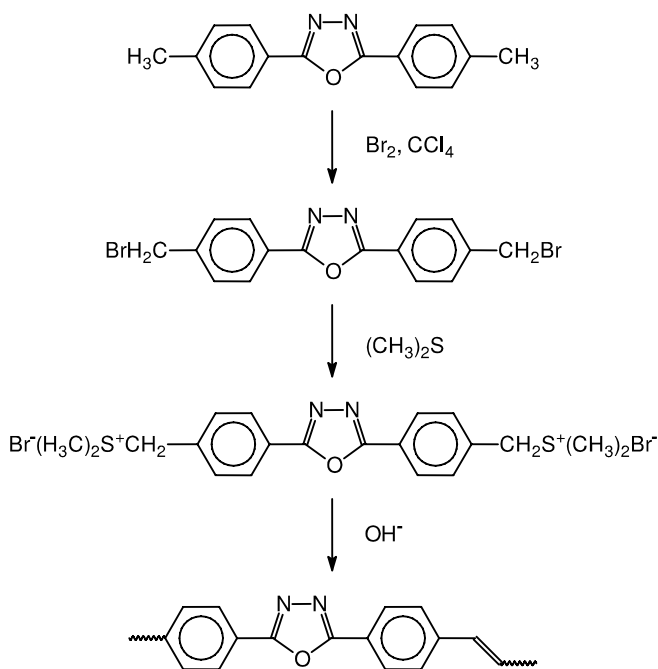
يعتمد تفاعل التحلّق مع نزع الماء على البنية المورفولوجية للبوليمير الطبيعي<sup>13</sup>. يمكن أن يحدث تفكك بتفاعل جانبي مما يؤدي إلى خفض الخواص الميكانيكية.



الشكل (10-4): اصطناع البوليميرات المشتركة من إيثيل كاربازول أوكساديازول<sup>14</sup>

يمكن اصطناع PODA ذي نوع واحد من الكسر العطرية بتفاعل حمض عطري ثنائي كربوكسيليك مع سلفات هيدرازين، كما هو مثبت في حالة حمض 4'4'-ثنائي فينيل إيثر ثنائي كربوكسيليك. بهذه الطريقة يجري الحصول على بولي (4،4'-ثنائي فينيل إيثر -1،3،4-أوكساديازول) (POD-DPE). يجري التفاعل في بولي (حمض الفوسفور) (PPA). يجب ضبط شروط التفاعل بدقة، وإلا واجهنا تنوعاً واسعاً في الوزن الجزيئي وفي البنية الجزيئية الضخمة<sup>9</sup>. ترجع الحساسية العالية لشروط التفاعل إلى اللزوجة العالية لوسط التفاعل، ولتفاعلات التفكك التي تسببها حموضة المذيب، وللتفاعلات الثانوية. يمكن اصطناع البوليمير الطليعي بتفاعل بلمرة بالتكاثف في المجال من  $-20^{\circ}\text{C}$  إلى  $0^{\circ}\text{C}$ <sup>15</sup>. يُستعمل N-ميثيل-2-بيروليدون بصفته مذيباً، ويستعمل كلوريد الليثيوم بصفته مذيباً مشتركاً. ترتبط درجات حرارة الانتقال الزجاجي للبوليمير الطليعي مع لزوجته الجوهريّة، ومن ثمّ مع وزنه الجزيئي. يُسبب استعمال سلفات الهيدرازين في التفاعل سلفنة جزيئية للبوليمير<sup>16</sup>. في الحقيقة، يمكن الحصول على بوليميرات قابلة للانحلال.

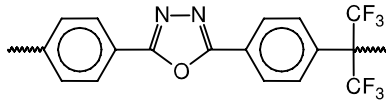
يمكن تحضير بوليميرات مشتركة تمتلك زمر كاربازول وزمر أوكساديازول مباشرة في السلسلة الرئيسية، أي بولي [N-6،3-إيثيل كاربازول-1،3،4-أوكساديازول-2،5-ثنائي إيل] من حمض N-إيثيل كاربازول-6،3-ثنائي كربوكسيليك وهيدروكلوريد الهيدرازين<sup>14</sup>. يجري التفاعل عند  $140^{\circ}\text{C}$  في PPA. يبيّن الشكل (10-4) هذا الاصطناع.



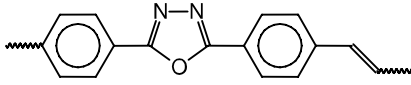
الشكل (5-10): البوليميرات المشتركة من أوكساديازول فينيلين فينيلين<sup>17</sup>

يمكن إدخال كسرة الأوكساديازول في السلسلة الرئيسية من بولي (p-فينيلين فينيلين) (PPV) باتباع متتالية من عدة خطوات<sup>17,18</sup>. يبين الشكل (5-10) مخطط التفاعل. يجري الحصول على أوليغوميرات قابلة للانحلال في كل من الكلوروفورم ورباعي هيدروفوران. ويمكن تحضير بوليميرات مشتركة متتابة من 9,9-ثنائي أوكسيل فلورين والأوكساديازول باتباع طريق التيترازول أو تفاعل تقارن سوزوكي (Suzuki)<sup>19</sup>. يتمتع طريق التيترازول بميزة إمكان تحضير بوليميرات PODA ذات بنى جيدة التعريف، وذلك مقارنةً بطرائق تحضير أخرى. تبدي البوليميرات المشتركة درجات حرارة تفكك حوالى 430°C.

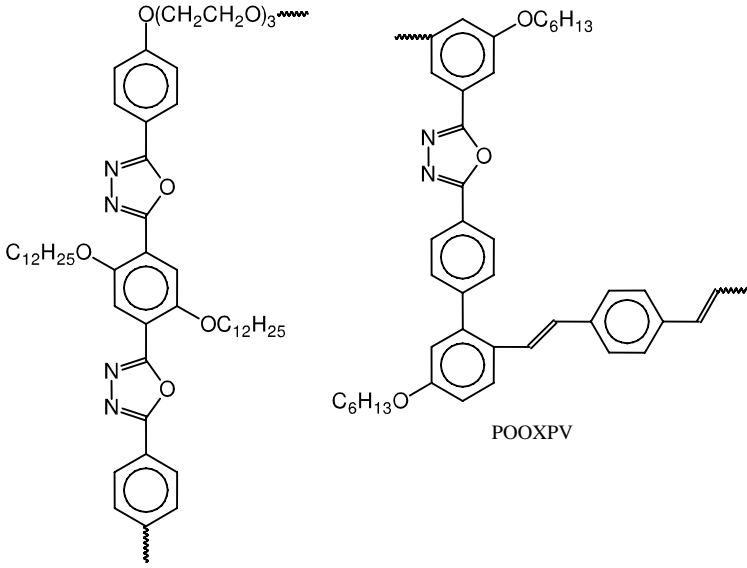
يمثل الشكل (6-10) بوليميرات متألفة كهربائياً تحمل كسرة أوكساديازول<sup>20</sup>. يتمتع PPV الأوليغوميري بخواص نقل إلكترونات مُحسنة، وذلك بسبب وجود نتروجين منقوص الإلكترون في الأوكساديازول<sup>21</sup>. تبدي بوليميرات PODA المحتوية على الفلور إصداراً للضوء الأزرق<sup>22</sup>. يبين الشكل (6-10) اصطناع بولي ((5,2-بيس-(5-هكسيل أوكسي فينيل)-4,3,1-أوكساديازول)-(2,2-ثنائي إيل-فينيلين-alt-4,1-فينيلين فينيلين(POOXPV)). إنه قابل للانحلال في المذيبات العضوية، ومستقر حرارياً حتى 400°C.



بولي(فينيلين -4,3,1-أوكساديازول -فينيلين - هيكسافلوروايزوبروبيلدين)



بولي [5,2-ثنائي فينيلين -4,3,1-أوكساديازول (-4,4-فينيلين ] (OPPV)



بوليمير متقارب أوكساديازول - ألكوكسي فينيلين

### الشكل (10-6): بوليميرات تحتوي على الأوكساديازول متألقة ضوئياً<sup>20</sup>

يمكن الحصول على بوليميرات مشتركة عشوائية عن طريق السماح بتفاعل مزيج من حمض ترفثاليك وإيزوفتاليك مع الهيدرازين<sup>24</sup>. الوزن الجزيئي للبوليميرات التي يجري الحصول عليها من هذا الطريق أعلى من الوزن الجزيئي للبوليميرات التي يجري الحصول عليها من كلوريد الأحماض الموافقة.

تؤدي البلمرة بالتكاثف لحمض ترفثاليك، وثنائي ميثيل ترفثالات وسلفات الهيدرازين إلى تكوّن بوليميرات مشتركة من p-فينيلين أوكساديازول-N\ميثيل هيدرازيد<sup>25</sup>. تجري العملية في حمض الكبريت المدخن.

زمرة الأوكساديازول موجودة أصلاً في 2،2'- (أوكسي ثنائي-1،4-فينيلين) بيس (5)-(4-فلوروفينيل)-(1،3،4-أوكساديازول]، انظر الشكل (10-1). يُكاثف المركب في مركبات نافثالين ديول متنوعة مثل 1،5-نافثالين ديول لينتج من ذلك أنواع من PODA<sup>10</sup>. جميع البوليميرات مواد لا متبلرة، وبعضها يقبل الانحلال في مذيبات لا بروتونية. يمكن تكاثف مركبات 2،7-ثنائي برومو-9H-فلورين الخاضعة للألكلة ذات وحدات كربازول وأوكساديازول متدلّية بوجود محفّزات نيكل<sup>26،27</sup>.

يُسمّى هذا النوع من البلمرة باسم تقارن ياماموتو (Yamamoto)<sup>28،29</sup>. تُبدى البوليميرات المحضّرة وفق تقارن ياماموتو درجة أعلى من البلمرة من تلك المحضّرة بتفاعل هك (Heck)<sup>30</sup>.

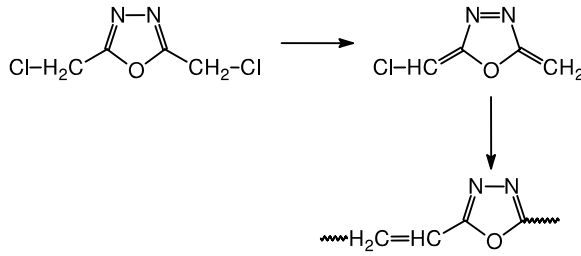
### 2.2.10. البلمرة الأيونية

لقد جرى إثبات أنّ 2،5-بيس-(كلوروميثيل)-(1،3،4-أوكساديازول يمكن أن يخضع لبلمرة أيونية. إذ يتكوّن بولي(1،3،4-أوكساديازول-2،5-ثنائي إيل-1،2-فينيلين) بوجود كحولات الصوديوم<sup>31</sup>، ولكن لا يمكن التحكم بالتفاعل حتّى في درجات حرارة منخفضة جداً مثل 40°C-. عوضاً عن ذلك، يمكن التحكم بهذا التفاعل المولّد للحرارة بإجراء البلمرة عند سطح بيني تولوين/ماء مع بروميد رباعي بوتيل الفوسفونيوم بصفته مُحفّز انتقال الطور. الآلية مبينة في الشكل (10-7).

تشبه آلية التفاعل هذه، طريق بلمرة غيلش (Gilch)<sup>32</sup>. تُبدى البوليميرات الناتجة أوزاناً جزيئية أعلى بشكل ملموس، وتمتلك عيوباً بنيوية أقلّ من تلك التي يجري تحضيرها عن طريق البلمرة بالتكاثف.

### 3.2.10. السلفنة

يمكن سلفنة بوليميرات PODA بيسر باستعمال حمض الكبريت. وبالمقابل لا تنتج السلفنة باستعمال حمض كلور الكبريت ثلاثي ميثيل سيليل إستر. يمكن تحقيق درجة سلفنة من 1.0 إلى 4.0. لا تقبل بوليميرات PODA المسلفنة بكسر  $C(CF_3)_2$  الانحلال في الماء حتّى عند درجة سلفنة قدرها 2.0<sup>33</sup>.



الشكل (7-10): البلمرة الآيونية لـ 5،2-بيس - (كلوروميثيل) - 1،3،4-أوكسدايازول

### 3.10. الخواص

تُبدى بوليميرات PODA العطرية استقراراً حرارياً تمكن إعادته إلى كلٍّ من الوحدة العطرية ووحدة الأوكسدايازول. يزداد الاستقرار الحراري مع ازدياد المحتوى من كسر p-فينيلين في السلسلة الرئيسية للبوليمير<sup>24</sup>.

علاوة على ذلك، فهي تُبدى خواص مرغوبة أخرى مثل استقرار جيد تجاه التحلل المائي، ودرجات انتقال زجاجي مرتفعة، وثوابت عزل كهربائي منخفضة، وخواص ميكانيكية جيدة. يمكن الحصول على أغشية PODA مرنة فقط عندما تكون اللزوجة الأصلية للبوليميرات أعلى من  $2.7 \text{ dl g}^{-1}$ <sup>24</sup>. يمكن تفصيل خواص PODA لإعطائه خواص بلورات سائلة.

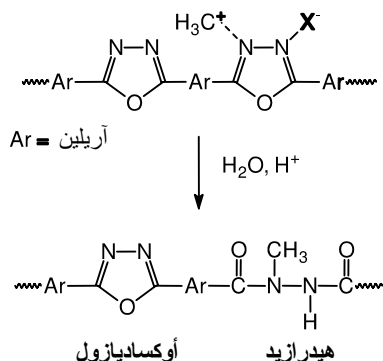
لا تقبل بوليميرات PODA الكاملة العطرية الانحلال في المذيبات العضوية، بل تتحلل فقط في الأحماض القوية، مثل حمض الكبريت، أو حمض الكلورو سلفونيك، أو حمض ميثان سلفونيك. ولكن بإدخال مستبدلات في السلسلة الجانبية، تتحسن قابلية الانحلال في المذيبات العضوية تحسناً ملموساً.

الموصلية الكهربائية لبوليميرات p-PODA عند درجة حرارة الغرفة هي حوالي  $10^{22} \text{ Scm}^{-1}$ <sup>(\*)</sup>، وهي توافق قيمتها في البوليميرات العازلة الشائعة في حالتها الزجاجية. ولكن تلاحظ موصلية شاردية عند درجات حرارة تفوق  $440 \text{ K}$ <sup>34</sup>. يمكن الحصول على بوليميرات PODA موصلة كهربائياً بإشابتها بمواد مانحة للإلكترونات أو مواد مُتقبلة لها. وتكون بعض أنواع PODA نصف ناقلة، وتُبدى خواص موصلية ضوئية. وهي لذلك

(\*) يجب أن تكون الموصلية الكهربائية  $10^{22} \text{ Scm}^{-1}$  وإلا أصبح البوليمير ناقلاً (المترجم).



تُستعمل في التطبيقات الكهربائية. وتُبدى أغشية PODA خواص فصل غازات استثنائية<sup>35</sup>.



الشكل (8-10): تفاعل الحممة وبنية البوليمير المشترك p-فينيلين أوكساديازول \ N-ميثيل هيدرازيد

## 4.10. تطبيقات

### 1.4.10. الألياف

تُبدى البوليميرات المشتركة من p-فينيلين أوكساديازول وكسر N-ميثيل هيدرازيد معامل شدّ ومقاومة شدّ عاليتين<sup>25</sup>. يبيّن الشكل (8-10) بنية البوليمير المشترك العشوائي. تجذب هذه الخواص المرموقة الاهتمام بهذه المواد في تقوية بعض السلع مثل إطارات السيارات. لا تُظهر الخيوط المصنوعة من هذه البوليميرات أي تدهور ملحوظ تحت الشروط التي تخضع لها مواد الإطارات أثناء تصنيع الإطارات أو أثناء استعمالها. تتأفّس هذه المواد في أدائها في إطارات السيارات والحبال أداء عوامل التقوية الأخرى مثل الألياف الزجاجية، والفولاذ، وبوليمير بولي (p-فينيلين ترفثالاميد).

تُحضّر الألياف بسيرورة غزل مبتلّ، يجري فيها بثق بوليمير مشترك طليعي مع كسر N-ألكيل أوكساديازوليم هيدروسلفات في حمض الكبريت أو الأوليوم في وسط تخثر مائي. هناك تتكوّن ألياف، ويمر البوليمير المشترك بتفاعل حممة ليعطي الهيدرازيد والأوكساديازول<sup>36</sup>.

لذلك تسمى هذه السيرورة باسم تفاعل الغزل. ولقد جرى كشف السريّة عن تفاصيل إجرائيّة الغزل هذه. ولما كان رأس الغزل، وغيره من التجهيزات على تماس مع حمض الكبريت المركز وجب أن تُصنع من مواد مُقاومة للحموض<sup>37</sup>.

#### 2.4.10. الأغشية الفاصلة

لقد جرت دراسة بوليميرات PODA المسلفنة المحتوية على الفلورين في التطبيقات باعتبارها أغشية تبادل بروتونات في خلايا الوقود ذات الكهربية البوليميري<sup>38</sup>. البوليمير مستقرّ حراريّاً استقراراً عالياً، ويظهر استقراراً مُحسناً تجاه التأكسد. ألا أن الموصلية البروتونيّة هي حوالي  $10^{-3} \text{ S cm}^{-1}$ ، وهي أصغر بخمسين مرّة من تلك الموافقة لأغشية Nafion®.

#### 3.4.10. المُحسّات

بنثر هباب الفحم في بوليمير POD-DPE، يمكن الحصول على مواد مركّبة ناقلة. يحسّن هباب الفحم الاستقرارية الحرارية. تنخفض الممانعة النوعيّة بوجه مستمر مع ازدياد الضغط. وعلاوة على ذلك، تبدي المادّة المركّبة سلوك أنصاف نواقل نموذجية، مميّزة بزيادة الموصلية مع ارتفاع درجة الحرارة<sup>39</sup>. إنّ الخواص الحرارية والكهربائيّة والحساسيّة للضغط تجعل هذا المركّب مرشحاً جيّداً لتصنيع مُحسّات الضغط في درجات حرارة محيطيّة مرتفعة.

#### 4.4.10. التجهيزات المُصدرة للضوء

يجد عددٌ من مشتقات الأوكساديازول، التي هي ليست بوليميرات بالضرورة، استعمالاً له في التجهيزات المُصدرة للضوء<sup>40</sup>. يُبرّر هذا بكون زمرة الأوكساديازول واحدة من أفضل البنى الناقلة للإلكترونات<sup>20</sup>. المادّة الشائعة هي 2-(4-بيفينيليل)-5-(4-ترت-بوتيل فينيل)-1,3,4-أوكساديازول (PBD) وهي تُؤدي دور مادّة ناقلة للإلكترونات. إنّ PBD ليس بوليميراً، بل هو مركّب منخفض الوزن الجزيئي.

يؤدي بولي (N-فينيل كاربازول) (PVK) دور بوليمير ناقل للثقوب. ويمكن استعمال المعقّات مثل تريس (2-فينيل بيريدين) إيريديوم بصفتها مواد ضيقة<sup>41</sup>. وتستعمل مزائج

من PVK و PBD بنسبة 100:40 مجتمعة مع أصبغة عضوية<sup>42</sup>. ويُعدّ كلٌّ من الكومارين بإصداره للون الأزرق، والكومارين 6 المصدر للون الأخضر، وأحمر النيل المصدر للون الأحمر، مثلاً على صباغ عضوي.

يُبدى PBD أعمار عمل قصيرة، بسبب إعادة تبلّره أو تعنّقه. يؤدي ذلك إلى انفصال الطور، وتكوّن أفخاخ لحوامل الشحنات، تسبّب تثبيط إصدار الضوء. لهذا السبب، جرى اقتراح ربط بنية PBD الناقلة للإلكترونات بسلسلة بوليميرية في مادة لا متبلورة. وفي هذا السياق جرى ذكر بوليميرات بولي (ميتاكريلات الميثيل) مع زمر أوكساديازول جانبية<sup>43</sup>. يمكن لزمرة الأوكساديازول أن تكون جزءاً من السلسلة البوليميرية الرئيسية، إلى جانب كسرّ كاربازول أو كسرّ فينيلين فينيلين<sup>14,17</sup>.

لقد جرى وصف مونوميرات أوكساديازول قابلة للتشبيك التصالبي ذات وحدات أكريليك متدلّية<sup>7</sup>. الاصطناع مبين في الشكل (10-2). يمكن توجيه الجزيئات، ومن ثمّ تجميدها بالبلمرة أو بعملية تشبيك تصالبي، مؤلّدة بذلك مادة ذات خواص غير متماثلة المناحي.

يمكن بلمرة مونوميرات الفينيل مع كسرّ أوكسازول متدلّية بلمرة مشتركة مع مونوميرات أخرى مثل PVK. تعطي 2- فينيل-4-5-[4-فينيل فينيل]ميثوكسي[فينيل-1-4،3،1-أوكساديازول و 2-4-ثرت-بوتيل فينيل]-4-5-[4-فينيل فينيل]ميثوكسي[فينيل-1-4،3،1-أوكساديازول أمثلة على ذلك<sup>44</sup>. بهذه الطريقة توجد كسرّ نقل الشحنة في الزمر الجانبية للبوليميرات. تعطي عملية البلمرة المشتركة بوليميرات مشتركة متجانسة من الناحية الإحصائية، في طيف واسع من التركيبات، ومن ثمّ خواص نقل للشحنات قابلة للتوليف. ولأنّ درجات حرارة الانتقال الزجاجي لهذه البوليميرات المشتركة مرتفعة، ليس هناك أية إمكانية لانفصال طور وحدات الأوكساديازول عبر إعادة التبلّ. لقد جرى صنع تجهيزات وحيدة الطبقة مشابهة بالصباغ مُصدرة للضوء الأزرق والأخضر والبرتقالي.

بديلاً لما سبق، فقد جرى اصطناع مركّبات شجرية التشعب أو نجمية تحتوي على الأوكساديازول، قادرة على تكون زجاج مستقر<sup>45</sup>. ولقد جرى استعراض الطرائق العامة حول كيفية اصطناع هذا النوع من البوليميرات في الأدبيات<sup>46</sup>.

## 5.4.10. طلائع الغرافيت

يمكن غرفنةُ أنواع PODA العالية العظريّة، مثل بولي (p-فينيلين-1،3،4-أوكساديازول) لتعطي غرافيتاً عالي النوعية<sup>47</sup>. تجري عمليةُ الغرفنةُ عند درجات حرارة 2800–3000°C. من أغشية PODA المعالجة عند 3000°C تمّ الحصول على موصلية كهربائية في المجال  $1.4 \cdot 10^4 - 1.8 \cdot 10^4 \text{ Scm}^{-1}$ . كما جرى الحصول على ألياف غرافيتية تتمتع بخواص ميكانيكية ممتازة<sup>48</sup>.

## 5.10. الموردون والعلامات التجارية

يبين الجدول (2-10) الموردّين والعلامات التجارية. ويبين الجدول (3-10) الأسماء التجارية الواردة في المراجع.

الجدول (2-10): أمثلة على بوليميرات PODA المتوفرة تجارياً

الاسم التجاري	المنتج	ملاحظات
Oxalon®	Gordono KHIMVOLOKNO	ألياف بولي (أوكساديازول)

الجدول (3-10): الأسماء التجارية الواردة في المراجع

المورد	الاسم التجاري الوصف
Kaneka	Apical® بولي (إيميد) <sup>42</sup>
Dupont-Toray Co., Ltd.	Kapton® بولي (إيميد) <sup>42</sup>
Shiple Company Inc.	Multiposit® XP-9500 رانتج إيبوكسي متصلد حرارياً <sup>42</sup>
Dupont	Mylar® (Series) بولي (ترفتالات الإيثيلين) <sup>42</sup>
Gordono KHIMVOLOKNO	Oxalon® ألياف بولي (أوكساديازول) <sup>4</sup>
General Electric	Ultem® 6050 بولي (إيثر إيميد سلفون) <sup>42</sup>
Ube Industries, Ltd	Upilex® 6050 بولي (إيميد) <sup>42</sup>

بعض المركبات المونوميرية المحتوية على كسر أوكساديازول معروفة بكونها تسبب التخرش. ومن جهة أخرى يُستخدم هذا الصنف من المواد في تطبيقات طبية.

## المراجع

1. C. J. Abshire and C. S. Marvel. "Some oxadiazole and triazole polymers." *Makromolekulare Chemie*: vols. 44-46, 1961, pp. 388-397.
2. P. E. Cassidy and N. Fawcett. "Thermally stable polymers: Polyoxadiazoles, polyoxadiazole-*N*-oxides, polythiazoles, and polythiadiazoles." *Journal of Macromolecular Science. Reviews in Macromolecular Chemistry*, C17 (2), 1979, pp. 209-266.
3. M. J. Nanjan. *Polyhydrazides and polyoxadiazoles*. In H.F. Mark, N. Bikales, C. G. Overberger, and G. Menges, editors, *Encyclopedia of Polymer Science and Engineering*. 2<sup>nd</sup> ed. New York: Wiley Interscience, 1988. vol. 12, pp. 332-339.
4. B. Schulz, M. Bruma, and L. Brehmer. "Aromatic poly(1,3,4-oxadiazole)s as advanced materials." *Advanced Materials*: vol. 9, 1997, pp. 601-613.
5. S. G. Kucukguzel, I. Kucukguzel, E. Tatar, S. Rollas, F. Sahin, M. Gulluce, E. De Clercq, and L. Kabasakal. "Synthesis of some novel heterocyclic compounds derived from diflunisal hydrazide as potential anti-infective and anti-inflammatory agents." *European Journal of Medicinal Chemistry*: vol. 42, no. 7, July, 2007, pp. 893-901.
6. Y.-P. Luo and G.-F. Yang. "Discovery of a new insecticide lead by optimizing a target-diverse scaffold: Tetrazolinone derivatives." *Bioorganic and Medicinal Chemistry*: vol. 15, no. 4, February 2007, pp. 1716-1724.
7. P. Kirsch and A. Hahn. Oxadiazole derivative and its use as charge transport and light emitting material. US Patent 6 863 841, assigned to Merck Patent GmbH (Darmstadt, DE), 8 March 2005.
8. R.-H. Lee, H.-F. Hsu, L.-H. Chan, and C.-T. Chen. "Synthesis and electroluminescence properties of a novel tetraphenylsilane-oxadiazole-diphenyl(para-tolyl)amine polymer." *Polymer*: vol. 47, no. 20, September 2006, pp. 7001-7012.

9. D. Gomes, C. Borges, and J. C. Pinto. "Effects of reaction variables on the reproducibility of the syntheses of poly-1,3,4-oxadiazole." *Polymer*: vol. 45, no. 15, July 2004, pp. 4997–5004.
10. F. A. Bottino, G. Di Pasquale, and A. Pollicino. "Synthesis and characterization of new poly(arylene ether 1,3,4-oxadiazole)s based on dihydroxynaphthalene isomers." *Polymer Bulletin*: vol. 45, 2000, pp. 345–350, 2000.
11. C. C. McDowell, J. M. Partin, B. D. Freeman, and G. W. McNeely. "Acetone solubility and diffusivity in poly(ethylene terephthalate) modified with low levels of 2,6-naphthalene dicarboxylic acid, isophthalic acid, and 2,5-bis(4-carboxyphenyl)-1,3,4-oxadiazole." *Journal of Membrane Science*: vol. 163, no. 1, October 1999, pp. 39–49.
12. J. W. Connell, P. M. Hergenrother, and P. Wolf. Poly(1,3,4-oxadiazoles) via aromatic nucleophilic displacement. US Patent 5 118 781, assigned to Administrator of the National Aeronautics and Space Administration (Washington, DC), 2 June 1992.
13. E. Leibnitz. "Zur Optimierung der Synthese von Poly(*p*-phenylen-1,3,4-oxadiazol) in Oleum (Optimization of preparation of poly(*p*-phenylene-1,3,4 oxadiazole) in oleum)." *Die Angewandte Makromolekulare Chemie*: vol. 204, 1993, pp. 101–110.
14. P. Denisevich, Jr., A. H. Schroeder, V. P. Kurkov, and S. Suzuki. Carbazole oxadiazole electroactive polymers. US Patent 4 597 896, assigned to Chevron Research Company (San Francisco, CA), 1 July 1986.
15. D. Gomes, S. P. Nunes, J. Carlos Pinto, and C. Borges. "Synthesis and characterization of flexible polyoxadiazole films through cyclodehydration of polyhydrazides." *Polymer*: vol. 44, no. 13, June 2003, pp. 3633–3639.
16. D. Gomes, J. Roeder, M. L. Ponce, and S. P. Nunes. "Characterization of partially sulfonated polyoxadiazoles and oxadiazole-triazole copolymers." *Journal of Membrane Science*: vol. 295, nos. 1-2, May 2007, pp. 121–129.
17. S. Yin, J. Peng, C. Li, W. Huang, X. Liu, W. Li, and B. He. "Heterocycle-substituted poly(*p*-phenylene vinylene) for light-emitting devices." *Synthetic Metals*: vol. 93, no. 3, March 1998, pp. 193–195.
18. Z. Wang, S. Yin, X. Yang, Z. Sun, X. Xu, and X. Zhang. "Interchain charge-transfer states in poly[(2,5-diphenylene-1,3,4-oxadiazole)-4,4'-vinylene] (O-PPV) oligomer." *Chemical Physics Letters*: vol. 307, nos. 1-2, June 1999, pp. 75–80.
19. J. Ding, M. Day, G. Robertson, and J. Roovers. "Synthesis and characterization of alternating copolymers of fluorene and oxadiazole." *Macromolecules*: vol. 35, no. 9, April 2002, pp. 3474–3483.
20. L. Akcelrud. "Electroluminescent polymers." *Progress in Polymer Science*: vol. 28, no. 6, June 2003, pp. 875– 962.

21. X. Yang, Y. Hua, S. Yin, Z. Wang, Y. Hou, Z. Xu, X. Xu, J. Peng, and W. Li. "A novel oligomer poly(phenylene vinylene) derivative containing oxadiazole segment." *Synthetic Metals*: vols. 111-112, June 2000, pp. 455–457.
22. Q. Pei and Y. Yang. "Bright blue electroluminescence from an oxadiazole containing copolymer." *Advanced Materials*: vol. 7, no. 6, 1995, pp. 559–561.
23. S.-Y. Song, M. S. Jang, H.-K. Shim, I.-S. Song, and W.-H. Kim. "New soluble light-emitting diode polymer containing oxadiazole unit." *Synthetic Metals*: vol. 102, nos. 1-3, June 1999, pp. 1116–1117.
24. E. R. Hensema, J. P. Boom, M. H. V. Mulder, and C. A. Smolders. "Two reaction routes for the preparation of aromatic polyoxadiazoles and polytriazoles: Syntheses and properties." *Journal of Polymer Science Part A: Polymer Chemistry*: vol. 32, no. 3, 1994, pp. 513–525.
25. H. C. Bach, F. Dobinson, K. R. Lea, and J. H. Saunders. "High-strength/highmodulus fibers of *p*-phenylene oxadiazole/*n*-methyl hydrazide copolymers – a new class of high-performance organic materials." *Journal of Applied Polymer Science*: vol. 23, no. 7, 1979, pp. 2125–2131.
26. Y. Jin, J. Y. Kim, S. H. Park, J. Kim, S. Lee, K. Lee, and H. Suh. "Syntheses and properties of electroluminescent polyfluorene-based conjugated polymers, containing oxadiazole and carbazole units as pendants, for LEDs." *Polymer*: vol. 46, no. 26, December 2005, pp. 12158–12165.
27. S.-J. Lee, J. R. Gallegos, J. Klein, M. D. Curtis, and J. Kanicki. "Poly(fluorene-oxadiazole) copolymer-based light-emitting devices on a plastic substrate." *Synthetic Metals*: vol. 155, no. 1, October 2005, pp. 1–10.
28. T. Yamamoto. "Electrically conducting and thermally stable  $\pi$ -conjugated poly(arylene)s prepared by organometallic processes." *Progress in Polymer Science*: vol. 17, no. 6, 1992, pp. 1153–1205.
29. A.-D. Schlüter and G. Wegner. "Palladium and nickel catalyzed polycondensation -the key to structurally defined polyarylenes and other aromatic polymers." *Acta Polymerica*: vol. 44, no. 2, 1993, pp. 59–69.
30. J. A. Mikroyannidis. "Synthesis, characterization and photophysics of novel conjugated polymers with 1,3,4-oxadiazole pendant on a vinylene unit." *Synthetic Metals*: vol. 145, nos. 2-3, September 2004, pp. 271–277.
31. R. Zhang, R. Jordan, and O. Nuyken. "Preparation of poly(1,3,4-oxadiazole-2,5-diyl-1,2-vinylene) via anionic mechanism." *Macromolecular Rapid Communications*: vol. 24, 2003, pp. 246–250.
32. J. Wiesecke. "Untersuchungen zum Polymerisationsmechanismus der Gilch-Reaktion." (Ph. D Thesis, Technische Universität Darmstadt, Darmstadt, 2004).

33. S. Vetter and S. P. Nunes. "Synthesis and characterization of new sulfonated poly(arylene ether 1,3,4-oxadiazole)s." *React. Funct. Polym.*, 61(2):171–182, September 2004.
34. T. Tsutsui, Y. Fukuta, T. Hara, and S. Saito. "Electronic conduction in poly(*p*-phenylene-1,3,4-oxadiazole) films." *Polymer Journal* (Tokyo): vol. 19, 1987, pp. 719–725.
35. B. Gebben. "Thermally stable and chemically polymer membranes-aromatic polyoxadiazoles and polytriazoles." (Ph. D Thesis, Twente University, Enschede, Holland, 1988).
36. H. C. Bach. Novel process for the preparation of fiber of arylene oxadiazole/arylene *N*-alkylhydrazide copolymer. US Patent 4 115 503, assigned to Monsanto Company (St. Louis, MO), 19 September 1978.
37. H. C. Bach. Fibers of arylene oxadiazole/arylene *N*-alkylhydrazide copolymer. US Patent 4 202 962, assigned to Monsanto Company (St. Louis, MO), 13 May 1980.
38. X. Y. Shang, D. Shu, S. J. Wang, M. Xiao, and Y. Z. Meng. "Fluorene-containing sulfonated poly(arylene ether 1,3,4-oxadiazole) as proton-exchange membrane for pem fuel cell application." *Journal of Membrane Science*: vol. 291, nos.140–147, March 2007.
39. F. G. Souza, Jr., M. E. Sena, and B. G. Soares. "Thermally stable conducting composites based on a carbon black-filled polyoxadiazole matrix." *Journal of Applied Polymer Science*: vol. 93, no. 4, March 2004, pp. 1631–1637.
40. S. H. Chen, A. C.-A. Chen, J. U. Wallace, and L. Zeng. Light-emitting organic materials. WO Patent 2 007 016 454, assigned to Univ. Rochester (US); Chen Shaw H (US); Chen Andrew Chien-an (US); Wallace Jason U (US); Zeng Lichang (US), 8 February 2007.
41. S. Seo, M. Murakami, and S. Yamazaki. Organic light emitting element and light emitting device using the element. US Patent 7 199 515, assigned to Semiconductor Energy Laboratory Co., Ltd. (Kanagawa-ken, JP), 3 April 2007.
42. A. R. Duggal and J. D. Michael. Method for making an OLED device. US Patent 7 198 533, assigned to General Electric Company (Niskayuna, NY), 3 April 2007.
43. N. N. Barashkov, T. V. Sakhno, N. N. Alekseev, T. M. Murav'eva, L. M. Bulgakova, and L. A. Gorbunov. "Spectral and luminescence properties of copolymers of poly(methy methacrylate) and poly(allyl carbonate) with fragments of anthracene and diphenyloxadiazole." *Zhurnal Prikladnoi Spektroskopii*: vol. 53, 1990, pp. 386–391.
44. X. Jiang, R. A. Register, K. A. Killeen, M. E. Thompson, F. Pschenitzka, and J. C. Sturm. "Statistical copolymers with side-chain hole and electron transport groups for single-layer electroluminescent device applications." *Chemistry of Materials*: vol. 12, no. 9, 2000, pp. 2542 – 2549.



45. J. Bettenhausen, M. Greczmiel, M. Jandke, and P. Strohriegl. "Oxadiazoles and phenylquinoxalines as electron transport materials." *Synthetic Metals*: vol. 91, nos. 1-3, December 1997, pp. 223–228.
46. K. Inoue. "Functional dendrimers, hyperbranched and star polymers." *Progress in Polymer Science*: vol. 25, no. 4, May 2000, pp. 453–571.
47. H. Yasujima, M. Murakami, and S. Yoshimura. "Electrical properties of pyrolytic polyoxadiazole." *Synthetic Metals*: vol. 18, nos. 1-3, February 1987, pp. 527–530.
48. M. Murakami, K. Watanabe, and S. Yoshimura. Production of graphite fiber. JP Patent 63 256 721, assigned to Japan Res Dev Corp; Matsushita Electric Ind Co. Ltd, 24 October 1988.

## بوليميرات پولي (أوكساديازول)

أول ما وُصفت بوليميرات پولي (4,3,1-أوكساديازول) (PODA) كان في عام 1961<sup>1</sup>. غالباً ما ترتبط كسارة الأوكساديازول بالوحدات العطرية، ومع ذلك فقد جرى وصف بوليميرات PODA ذات روابط أليفاتية، ودرجات انصهار أخفض بشكل ملموس. الأكثر شيوعاً هو الإيزومير 4,3,1-أوكساديازول، وتمتلك المركبات المتعلقة به حلقة 4,2,1-أوكساديازول، أو حلقة 5,2,1-أوكساديازول، أو حلقة ثيازول، أو حلقة أوكسازول، أو حلقة إيزوثيازول، أو حلقة إيزوأوكسازول أو حلقة ثيوفين في السلسلة الرئيسية. تجد بوليميرات PODA استعمالاً في التطبيقات المتقدمة وذلك نظراً إلى خواصها المثيرة للاهتمام. لقد جرى استعراض صف بوليميرات PODA في الأدبيات 4-2. كما إن مشتقات 4,3,1-أوكساديازول تُستعمل في التطبيقات الطبية والزراعية، مثلاً في مجال العلاج الكيميائي أو بصفتها مبيدات للأعشاب الضارة أو الحشرات 6,5.

### 1.10. المونوميرات

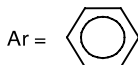
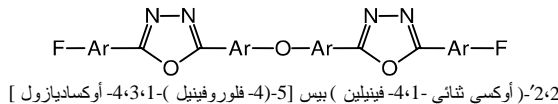
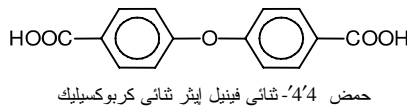
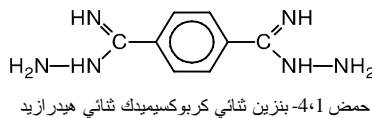
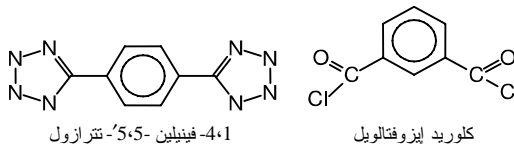
إن المونوميرات مبيّنة في الجدول (1-10) والشكل (1-10). ولقد جرى وصف مونوميرات فينيل ذات كسرة أوكساديازول<sup>7</sup>. يبيّن الشكل (2-10) اصطناع مثل هذا المونومير. إن مشتقات الأوكساديازول هذه بلورية سائلة، وهي لذلك يمكن توجيهها في أحد أطوارها الوسطية (ميزو) (Mesophases) لتعطي مواد ذات خواص بصرية أو كهربائية لامتماثلة المناحي مفيدة.

يمكن بلمرة (4,4'-تترازوليل-4-ميثيل) ثلاثي فينيل أمين بواسطة أحماض الكلوريد ثنائية الوظيفة<sup>8</sup>. إضافة إلى ذلك، تحمل هذه المركبات زمر ثنائي فينيل سيلان. يستعمل 5,2-بيس-(4-كربوكسي فينيل)-4,3,1-أوكساديازول (ODCA) لتعديل بولي (تريفالات الإيثيلين) (PET)<sup>11</sup>. فعند إضافة كميات صغيرة من ODCA بصفتها

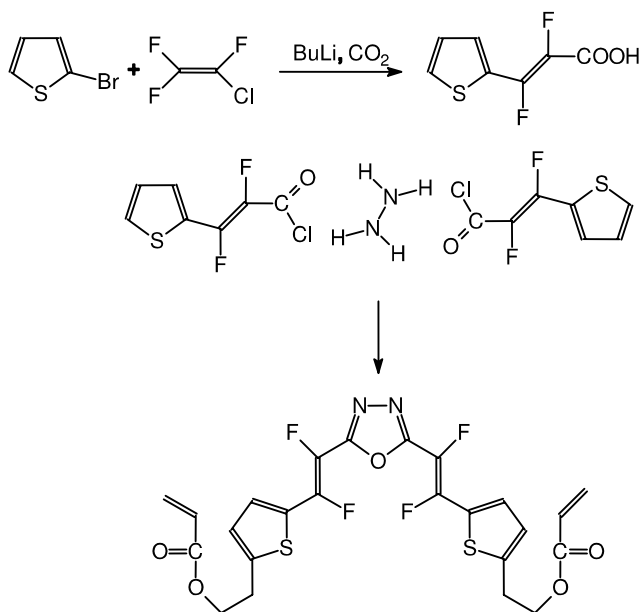
مركبة حمضية عند التغذية المونوميرية لتصنيع PET، ترتفع درجة حرارة الانتقال الزجاجي. تظهر البوليميرات المشتركة المحتوية على ODCA انحلالية أعلى في الأسيتون، من مجرد بوليميرات PET الصرفة.

الجدول (1-10): مونوميرات في حالة بوليميرات بولي (1,3,4-أوكساديازول)

المراجع	المونومير
1	p-فينيلين-5,5'-تترازول
1	حمض 4,1-بنزين ثنائي كربوكسيميدك ثنائي هيدرازيد
1	كلوريد إيزوفتالويل
9	حمض 4,4'-ثنائي فينيل إيثر ثنائي كربوكسيليك
10	2,2'-(أوكسي ثنائي-4,1-فينيلين) بيس [5-(4-فلوروفينيل)-1,3,4-أوكساديازول]
10	5,1-نفتالين ديول
8	(4,4'-تترازوليل-4-ميثيل) ثلاثي فينيل أمين
11	5,2-بيس-(4-كربوكسي فينيل)-1,3,4-أوكساديازول



الشكل (1-10): مونوميرات تستعمل في PODA



الشكل (10-2): اصطناع مونومير أوكساديازول قابل للتشبيك التصالبي<sup>7</sup>

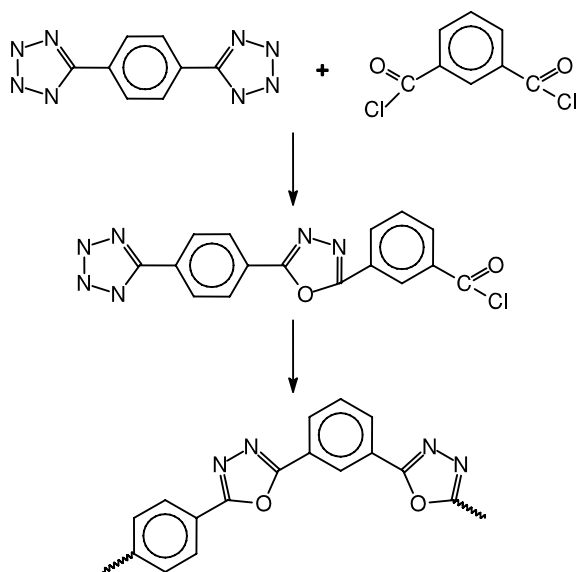
## 2.10. البلمرة والتصنيع

يمكن اصطناع بوليميرات PODA بإحدى الطريقتين التاليتين<sup>4</sup>:

- تكوين كسّر أوكساديازول أثناء اصطناع البوليمير، في الغالب عن طريق بوليمير طبيعي.
- تكاثف مونوميرات تمتلك كسّر أوكساديازول على نحو سابق.

### 1.2.10. البلمرة بالتكاثف

في البداية كان اصطناع PODA يجري بتفاعل مركّب بيس تيترازول مع كلوريد ثنائي حمض عطري، مثل p-فينيلين-5،5'-تيترازول وكلوريد الإيزوفتالويل<sup>1</sup>. التفاعل مبين في الشكل (10-3). إلا أن البوليميرات التي نحصل عليها باتباع هذه الطريقة تعاني من الانحلالية، وارتفاع الوزن الجزيئي<sup>4</sup>.

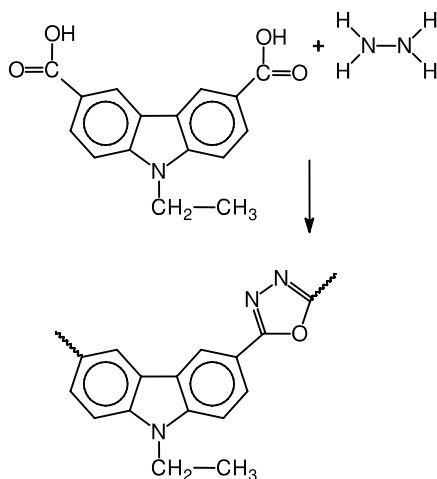


الشكل (10-3): اصطناع PODA من بيس تيترازول وكلوريد ثنائي الحمض العطري

لقد جرى ذكر طريقة أخرى تتمثل في تكاثف مركبات بيس-(أميدرازون) مع مركبات كلوريد ثنائي الحمض، متبوعاً بإزالة ضمن جزيئية للنشادر، أو بتكاثف مركبات بيس-(أميدرازون) مثل حمض 4،1-بنزين ثنائي كربوكسيميدك ثنائي هيدرازيد مع أمحاض ثنائي كربوكسيليك بتفاعل من مرحلة واحدة. إلا أنه ليس من اليسير الحصول على مونوميرات بيس-(أميدرازون).

لهذا السبب يُفضل إجراء تفاعل على مرحلتين لمركبات ثنائي الهيدرازيد مع حمض كلوريد ثنائي كربوكسيليك لتكوين بوليميرات بولي (هيدرازيد) في المرحلة الأولى. ويمكن استعمال تنوع واسع من الكسّر العطرية<sup>12</sup>. وفي الخطوة الثانية، يُنجز التحلّق إلى PODA بتحلّق مع نزع الماء عند 300°C في الخلاء، أو بتطبيق مذيبات نازعة للماء. وبأسلوب مماثل يمكن صب أو غزل بولي (هيدرازيد) المرهلي، ثم تحوّل المادة المصنوعة إلى .PODA

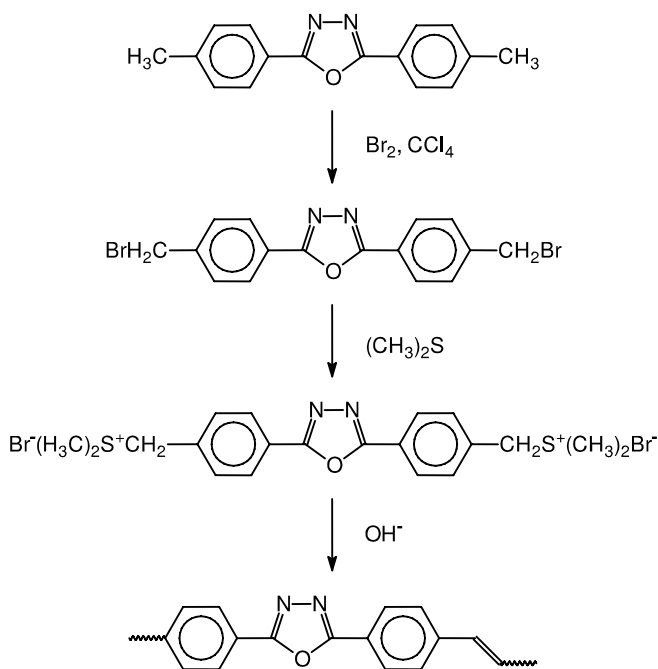
يعتمد تفاعل التحلّق مع نزع الماء على البنية المورفولوجية للبوليمير الطبيعي<sup>13</sup>. يمكن أن يحدث تفكك بتفاعل جانبي مما يؤدي إلى خفض الخواص الميكانيكية.



الشكل (10-4): اصطناع البوليميرات المشتركة من إيثيل كاربازول أوكساديازول<sup>14</sup>

يمكن اصطناع PODA ذي نوع واحد من الكسر العطرية بتفاعل حمض عطري ثنائي كربوكسيليك مع سلفات هيدرازين، كما هو مثبت في حالة حمض 4,4'-ثنائي فينيل إيثر ثنائي كربوكسيليك. بهذه الطريقة يجري الحصول على بولي (4,4'-ثنائي فينيل إيثر -1,3,4-أوكساديازول) (POD-DPE). يجري التفاعل في بولي (حمض الفوسفور) (PPA). يجب ضبط شروط التفاعل بدقة، وإلا واجهنا تنوعاً واسعاً في الوزن الجزيئي وفي البنية الجزيئية الضخمة<sup>9</sup>. ترجع الحساسية العالية لشروط التفاعل إلى اللزوجة العالية لوسط التفاعل، ولتفاعلات التفكك التي تسببها حموضة المذيب، وللتفاعلات الثانوية. يمكن اصطناع البوليمير الطليعي بتفاعل بلمرة بالتكاثف في المجال من  $-20^{\circ}\text{C}$  إلى  $0^{\circ}\text{C}$ <sup>15</sup>. يُستعمل N-ميثيل-2-بيروليدون بصفته مذيباً، ويستعمل كلوريد الليثيوم بصفته مذيباً مشتركاً. ترتبط درجات حرارة الانتقال الزجاجي للبوليمير الطليعي مع لزوجته الجوهريّة، ومن ثمّ مع وزنه الجزيئي. يُسبب استعمال سلفات الهيدرازين في التفاعل سلفنة جزيئية للبوليمير<sup>16</sup>. في الحقيقة، يمكن الحصول على بوليميرات قابلة للانحلال.

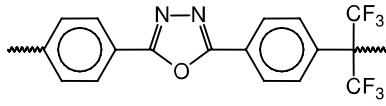
يمكن تحضير بوليميرات مشتركة تمتلك زمر كاربازول وزمر أوكساديازول مباشرة في السلسلة الرئيسية، أي بولي [N-6,3-إيثيل كاربازول-1,3,4-أوكساديازول-2,5-ثنائي إيل] من حمض N-إيثيل كاربازول-6,3-ثنائي كربوكسيليك وهيدروكلوريد الهيدرازين<sup>14</sup>. يجري التفاعل عند  $140^{\circ}\text{C}$  في PPA. يبيّن الشكل (10-4) هذا الاصطناع.



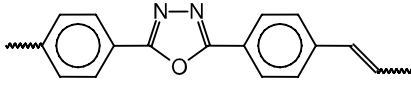
الشكل (5-10): البوليميرات المشتركة من أوكساديازول فينيلين فينيلين<sup>17</sup>

يمكن إدخال كسرة الأوكساديازول في السلسلة الرئيسية من بولي (p-فينيلين فينيلين) (PPV) باتباع متتالية من عدّة خطوات<sup>17,18</sup>. يبيّن الشكل (5-10) مُحطّط التفاعل. يجري الحصول على أوليغوميرات قابلة للانحلال في كل من الكلوروفورم ورباعي هيدروفوران. ويمكن تحضير بوليميرات مشتركة متتابة من 9,9-ثنائي أوكسيل فلورين والأوكساديازول باتباع طريق التيترازول أو تفاعل تقارن سوزوكي (Suzuki)<sup>19</sup>. يتمتّع طريق التيترازول بميزة إمكان تحضير بوليميرات PODA ذات بنى جيّدة التعريف، وذلك مقارنةً بطرائق تحضير أخرى. تُبدي البوليميرات المشتركة درجات حرارة تفكّك حوالى 430°C.

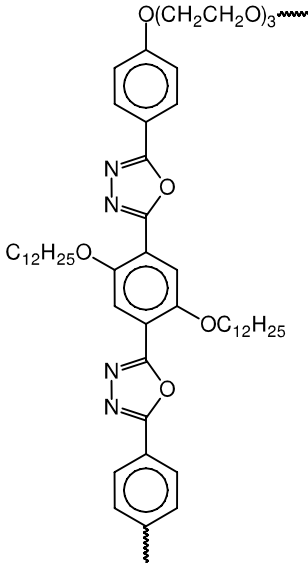
يمثّل الشكل (6-10) بوليميرات متألفة كهربائياً تحمل كسرة أوكساديازول<sup>20</sup>. يتمتّع PPV الأوليغوميري بخواص نقل إلكترونات مُحسّنة، وذلك بسبب وجود نتروجين منقوص الإلكترون في الأوكساديازول<sup>21</sup>. تبدي بوليميرات PODA المحتوية على الفلور إصداراً للضوء الأزرق<sup>22</sup>. يبيّن الشكل (6-10) اصطناع بولي ((5,2-بيس-(5-هكسيل أوكسي فينيل)-4,3,1-أوكساديازول)-(2,2-ثنائي إيل-فينيلين-alt-4,1-فينيلين فينيلين(POOXPV)). إنّه قابل للانحلال في المذيبات العضوية، ومستقرّ حرارياً حتى 400°C.



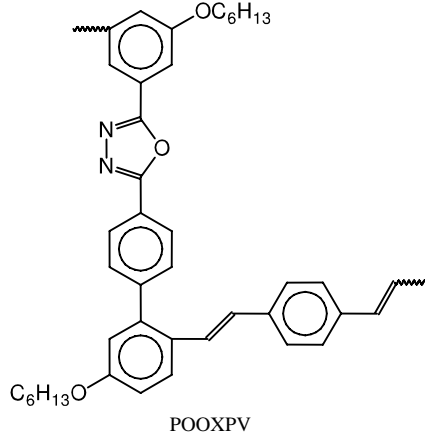
بولي(فينيلين -4,3,1-أوكساديازول -فينيلين - هيكسافلوروايزوبروبيلدين)



بولي [5,2-ثنائي فينيلين -4,3,1-أوكساديازول (-4,4-فينيلين ] (OPPV)



بوليمير متقارب أوكساديازول - ألكوكسي فينيلين



POOXPV

### الشكل (10-6): بوليميرات تحتوي على الأوكساديازول متألقة ضوئياً<sup>20</sup>

يمكن الحصول على بوليميرات مشتركة عشوائية عن طريق السماح بتفاعل مزيج من حمض ترفثاليك وإيزوفتاليك مع الهيدرازين<sup>24</sup>. الوزن الجزيئي للبوليميرات التي يجري الحصول عليها من هذا الطريق أعلى من الوزن الجزيئي للبوليميرات التي يجري الحصول عليها من كلوريد الأحماض الموافقة.

تؤدي البلمرة بالتكاثف لحمض ترفثاليك، وثنائي ميثيل ترفثالات وسلفات الهيدرازين إلى تكوّن بوليميرات مشتركة من p-فينيلين أوكساديازول-N\ميثيل هيدرازيد<sup>25</sup>. تجري العملية في حمض الكبريت المدخن.



زمرة الأوكساديازول موجودة أصلاً في 2،2'- (أوكسي ثنائي-1،4-فينيلين) بيس (5)-(4-فلوروفينيل)-(1،3،4-أوكساديازول]، انظر الشكل (10-1). يُكاتف المركب في مركبات نافتالين ديول متنوعة مثل 1،5-نافتالين ديول لينتج من ذلك أنواع من PODA<sup>10</sup>. جميع البوليميرات مواد لا متبلرة، وبعضها يقبل الانحلال في مذيبات لا بروتونية. يمكن تكاتف مركبات 2،7-ثنائي برومو-9H-فلورين الخاضعة للألكلة ذات وحدات كربازول وأوكساديازول متدلّية بوجود محفّزات نيكل<sup>26،27</sup>.

يُسمّى هذا النوع من البلمرة باسم تقارن ياماموتو (Yamamoto)<sup>28،29</sup>. تُبدى البوليميرات المحضّرة وفق تقارن ياماموتو درجة أعلى من البلمرة من تلك المحضّرة بتفاعل هك (Heck)<sup>30</sup>.

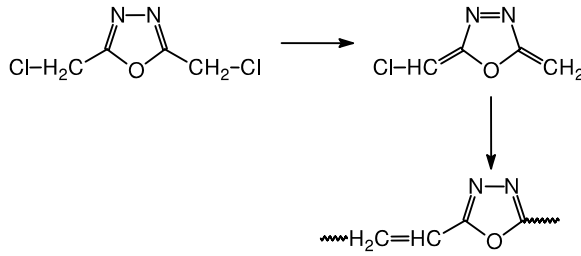
### 2.2.10. البلمرة الأيونية

لقد جرى إثبات أنّ 2،5-بيس-(كلوروميثيل)-(1،3،4-أوكساديازول يمكن أن يخضع لبلمرة أيونية. إذ يتكوّن بولي(1،3،4-أوكساديازول-2،5-ثنائي إيل-1،2-فينيلين) بوجود كحولات الصوديوم<sup>31</sup>، ولكن لا يمكن التحكم بالتفاعل حتّى في درجات حرارة منخفضة جداً مثل 40°C-. عوضاً عن ذلك، يمكن التحكم بهذا التفاعل المولّد للحرارة بإجراء البلمرة عند سطح بيني تولوين/ماء مع بروميد رباعي بوتيل الفوسفونيوم بصفته مُحفّز انتقال الطور. الآلية مبينة في الشكل (10-7).

تشبه آلية التفاعل هذه، طريق بلمرة غيلش (Gilch)<sup>32</sup>. تُبدى البوليميرات الناتجة أوزاناً جزيئية أعلى بشكل ملموس، وتمتلك عيوباً بنيوية أقلّ من تلك التي يجري تحضيرها عن طريق البلمرة بالتكاتف.

### 3.2.10. السلفنة

يمكن سلفنة بوليميرات PODA بيسر باستعمال حمض الكبريت. وبالمقابل لا تنتج السلفنة باستعمال حمض كلور الكبريت ثلاثي ميثيل سيليل إستر. يمكن تحقيق درجة سلفنة من 1.0 إلى 4.0. لا تقبل بوليميرات PODA المسلفنة بكسر  $C(CF_3)_2$  الانحلال في الماء حتّى عند درجة سلفنة قدرها 2.0<sup>33</sup>.



الشكل (7-10): البلمرة الآيونية لـ 5,2-بيس - (كلوروميثيل) - 4,3,1-أوكسدايازول

### 3.10. الخواص

تُبدى بوليميرات PODA العطرية استقراراً حرارياً يمكن إعادته إلى كلٍّ من الوحدة العطرية ووحدة الأوكسدايازول. يزداد الاستقرار الحراري مع ازدياد المحتوى من كسر p-فينيلين في السلسلة الرئيسية للبوليمير<sup>24</sup>.

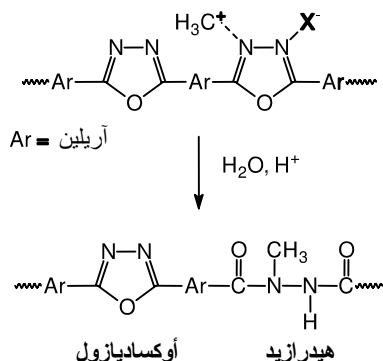
علاوة على ذلك، فهي تُبدى خواص مرغوبة أخرى مثل استقرار جيد تجاه التحلل المائي، ودرجات انتقال زجاجي مرتفعة، وثابت عزل كهربائي منخفضة، وخواص ميكانيكية جيدة. يمكن الحصول على أغشية PODA مرنة فقط عندما تكون اللزوجة الأصلية للبوليميرات أعلى من  $2.7 \text{ dl g}^{-1}$ <sup>24</sup>. يمكن تفصيل خواص PODA لإعطائه خواص بلورات سائلة.

لا تقبل بوليميرات PODA الكاملة العطرية الانحلال في المذيبات العضوية، بل تتحلل فقط في الأحماض القوية، مثل حمض الكبريت، أو حمض الكلورو سلفونيك، أو حمض ميثان سلفونيك. ولكن بإدخال مستبدلات في السلسلة الجانبية، تتحسن قابلية الانحلال في المذيبات العضوية تحسناً ملموساً.

الموصلية الكهربائية لبوليميرات p-PODA عند درجة حرارة الغرفة هي حوالى  $10^{22} \text{ Scm}^{-1}$ <sup>(\*)</sup>، وهي توافق قيمتها في البوليميرات العازلة الشائعة في حالتها الزجاجية. ولكن تلاحظ موصلية شاردية عند درجات حرارة تفوق  $440 \text{ K}$ <sup>34</sup>. يمكن الحصول على بوليميرات PODA موصلة كهربائياً بإشابتها بمواد مانحة للإلكترونات أو مواد مُتقبلة لها. وتكون بعض أنواع PODA نصف ناقلة، وتُبدى خواص موصلية ضوئية. وهي لذلك

(\*) يجب أن تكون الموصلية الكهربائية  $10^{22} \text{ Scm}^{-1}$  وإلا أصبح البوليمير ناقلاً (المترجم).

تُستعمل في التطبيقات الكهربائية. وتُبدى أغشية PODA خواص فصل غازات استثنائية<sup>35</sup>.



الشكل (8-10): تفاعل الحمهة وبنية البوليمير المشترك p-فينيلين أوكساديازول \ N-ميثيل هيدرازيد

## 4.10. تطبيقات

### 1.4.10. الألياف

تُبدى البوليميرات المشتركة من p-فينيلين أوكساديازول وكسر N-ميثيل هيدرازيد معامل شدّ ومقاومة شدّ عاليتين<sup>25</sup>. يبيّن الشكل (8-10) بنية البوليمير المشترك العشوائي. تجذب هذه الخواص المرموقة الاهتمام بهذه المواد في تقوية بعض السلع مثل إطارات السيارات. لا تُظهر الخيوط المصنوعة من هذه البوليميرات أي تدهور ملحوظ تحت الشروط التي تخضع لها مواد الإطارات أثناء تصنيع الإطارات أو أثناء استعمالها. تتأفّس هذه المواد في أدائها في إطارات السيارات والحبال أداء عوامل التقوية الأخرى مثل الألياف الزجاجية، والفولاذ، وبوليمير بولي (p-فينيلين ترفثالاميد).

تُحضّر الألياف بسيرورة غزل مبتلّ، يجري فيها بثق بوليمير مشترك طليعي مع كسر N-ألكيل أوكساديازوليوم هيدروسلفات في حمض الكبريت أو الأوليوم في وسط تخثر مائي. هناك تتكوّن ألياف، ويمر البوليمير المشترك بتفاعل حمهة ليعطي الهيدرازيد والأوكساديازول<sup>36</sup>.

لذلك تسمى هذه السيرورة باسم تفاعل الغزل. ولقد جرى كشف السريّة عن تفاصيل إجرائيّة الغزل هذه. ولما كان رأس الغزل، وغيره من التجهيزات على تماس مع حمض الكبريت المركز وجب أن تُصنع من مواد مُقاومة للحموض<sup>37</sup>.

#### 2.4.10. الأغشية الفاصلة

لقد جرت دراسة بوليميرات PODA المسلفنة المحتوية على الفلورين في التطبيقات باعتبارها أغشية تبادل بروتونات في خلايا الوقود ذات الكهربية البوليميري<sup>38</sup>. البوليمير مستقرٌ حراريّاً استقراراً عالياً، ويظهر استقراراً مُحسناً تجاه التأكسد. ألا أن الموصلية البروتونيّة هي حوالي  $10^{-3} \text{ S cm}^{-1}$ ، وهي أصغر بخمسين مرّة من تلك الموافقة لأغشية Nafion®.

#### 3.4.10. المُحسّات

بنثر هباب الفحم في بوليمير POD-DPE، يمكن الحصول على مواد مركّبة ناقلة. يحسّن هباب الفحم الاستقرارية الحرارية. تنخفض الممانعة النوعيّة بوجه مستمر مع ازدياد الضغط. وعلاوة على ذلك، تبدي المادة المركّبة سلوك أنصاف نواقل نموذجية، مميّزة بزيادة الموصلية مع ارتفاع درجة الحرارة<sup>39</sup>. إنّ الخواص الحرارية والكهربائية والحساسية للضغط تجعل هذا المركّب مرشحاً جيّداً لتصنيع مُحسّات الضغط في درجات حرارة محيطيّة مرتفعة.

#### 4.4.10. التجهيزات المُصدرة للضوء

يجد عددٌ من مشتقات الأوكساديازول، التي هي ليست بوليميرات بالضرورة، استعمالاً له في التجهيزات المُصدرة للضوء<sup>40</sup>. يُبرّر هذا بكون زمرة الأوكساديازول واحدة من أفضل البنى الناقلة للإلكترونات<sup>20</sup>. المادة الشائعة هي 2-(4-بيفينيل)-5-(4-ترت-بوتيل فينيل)-4,3,1-أوكساديازول (PBD) وهي تُؤدي دور مادة ناقلة للإلكترونات. إنّ PBD ليس بوليميراً، بل هو مركّب منخفض الوزن الجزيئي.

يؤدي بولي (N-فينيل كاربازول) (PVK) دور بوليمير ناقل للثقوب. ويمكن استعمال المعقدات مثل تريس (2-فينيل بيريدين) إيريديوم بصفتها مواد ضيقة<sup>41</sup>. وتستعمل مزائج

من PVK و PBD بنسبة 100:40 مجتمعة مع أصبغة عضوية<sup>42</sup>. ويُعدّ كلٌّ من الكومارين بإصداره للون الأزرق، والكومارين 6 المصدر للون الأخضر، وأحمر النيل المصدر للون الأحمر، مثلاً على صباغ عضوي.

يُبدى PBD أعمار عمل قصيرة، بسبب إعادة تبلّره أو تعنّقه. يؤدي ذلك إلى انفصال الطور، وتكوّن أفخاخ لحوامل الشحنات، تسبّب تثبيط إصدار الضوء. لهذا السبب، جرى اقتراح ربط بنية PBD الناقلة للإلكترونات بسلسلة بوليميرية في مادة لا متبلورة. وفي هذا السياق جرى ذكر بوليميرات بولي (ميتاكريلات الميثيل) مع زممر أوكساديازول جانبية<sup>43</sup>. يمكن لزمرة الأوكساديازول أن تكون جزءاً من السلسلة البوليميرية الرئيسية، إلى جانب كسرّ كاربازول أو كسرّ فينيلين فينيلين<sup>14,17</sup>.

لقد جرى وصف مونوميرات أوكساديازول قابلة للتشبيك التصالبي ذات وحدات أكريليك متدلّية<sup>7</sup>. الاصطناع مبين في الشكل (10-2). يمكن توجيه الجزيئات، ومن ثمّ تجميدها بالبلمرة أو بعملية تشبيك تصالبي، مُولدة بذلك مادة ذات خواص غير متماثلة المناحي.

يمكن بلمرة مونوميرات الفينيل مع كسرّ أوكساديازول متدلّية بلمرة مشتركة مع مونوميرات أخرى مثل PVK. تعطي 2- فينيل-4-5-4-[(4-فينيل فينيل)ميثوكسي]فينيل-1-4،3،1-أوكساديازول و 2-4-ثرت-بوتيل فينيل-4-5-4-[(4-فينيل فينيل)ميثوكسي]فينيل-1-4،3،1-أوكساديازول أمثلة على ذلك<sup>44</sup>. بهذه الطريقة توجد كسرّ نقل الشحنة في الزمر الجانبية للبوليميرات. تعطي عملية البلمرة المشتركة بوليميرات مشتركة متجانسة من الناحية الإحصائية، في طيف واسع من التركيبات، ومن ثمّ خواص نقل للشحنات قابلة للتوليف. ولأنّ درجات حرارة الانتقال الزجاجي لهذه البوليميرات المشتركة مرتفعة، ليس هناك أية إمكانية لانفصال طور وحدات الأوكساديازول عبر إعادة التبلّ. لقد جرى صنع تجهيزات وحيدة الطبقة مشابهة بالصباغ مُصدرة للضوء الأزرق والأخضر والبرتقالي.

بديلاً لما سبق، فقد جرى اصطناع مركّبات شجرية التشعب أو نجمية تحتوي على الأوكساديازول، قادرة على تكون زجاج مستقر<sup>45</sup>. ولقد جرى استعراض الطرائق العامة حول كيفية اصطناع هذا النوع من البوليميرات في الأدبيات<sup>46</sup>.

## 5.4.10. طلائع الغرافيت

يمكن غرفنةُ أنواع PODA العالية العظريّة، مثل بولي (p-فينيلين-1،3،4-أوكساديازول) لتعطي غرافيتاً عالي النوعية<sup>47</sup>. تجري عمليةُ الغرفنةُ عند درجات حرارة 2800–3000°C. من أغشية PODA المعالجة عند 3000°C تمّ الحصول على موصلية كهربائية في المجال  $1.4 \cdot 10^4 - 1.8 \cdot 10^4 \text{ Scm}^{-1}$ . كما جرى الحصول على ألياف غرافيتية تتمتع بخواص ميكانيكية ممتازة<sup>48</sup>.

## 5.10. الموردون والعلامات التجارية

يبين الجدول (2-10) الموردّين والعلامات التجارية. ويبين الجدول (3-10) الأسماء التجارية الواردة في المراجع.

الجدول (2-10): أمثلة على بوليميرات PODA المتوفرة تجارياً

الاسم التجاري	المنتج	ملاحظات
Oxalon®	Gordono KHIMVOLOKNO	ألياف بولي (أوكساديازول)

الجدول (3-10): الأسماء التجارية الواردة في المراجع

المورد	الاسم التجاري الوصف
Kaneka	Apical® بولي (إيميد) <sup>42</sup>
Dupont-Toray Co., Ltd.	Kapton® بولي (إيميد) <sup>42</sup>
Shiple Company Inc.	Multiposit® XP-9500 رانتج إيبوكسي متصلد حرارياً <sup>42</sup>
Dupont	Mylar® (Series) بولي (ترفتالات الإيثيلين) <sup>42</sup>
Gordono KHIMVOLOKNO	Oxalon® ألياف بولي (أوكساديازول) <sup>4</sup>
General Electric	Ultem® 6050 بولي (إيثر إيميد سلفون) <sup>42</sup>
Ube Industries, Ltd	Upilex® 6050 بولي (إيميد) <sup>42</sup>

بعض المركبات المونوميرية المحتوية على كسر أوكساديازول معروفة بكونها تسبب التخرش. ومن جهة أخرى يُستخدم هذا الصنف من المواد في تطبيقات طبية.

## المراجع

1. C. J. Abshire and C. S. Marvel. "Some oxadiazole and triazole polymers." *Makromolekulare Chemie*: vols. 44-46, 1961, pp. 388-397.
2. P. E. Cassidy and N. Fawcett. "Thermally stable polymers: Polyoxadiazoles, polyoxadiazole-*N*-oxides, polythiazoles, and polythiadiazoles." *Journal of Macromolecular Science. Reviews in Macromolecular Chemistry*, C17 (2), 1979, pp. 209-266.
3. M. J. Nanjan. *Polyhydrazides and polyoxadiazoles*. In H.F. Mark, N. Bikales, C. G. Overberger, and G. Menges, editors, *Encyclopedia of Polymer Science and Engineering*. 2<sup>nd</sup> ed. New York: Wiley Interscience, 1988. vol. 12, pp. 332-339.
4. B. Schulz, M. Bruma, and L. Brehmer. "Aromatic poly(1,3,4-oxadiazole)s as advanced materials." *Advanced Materials*: vol. 9, 1997, pp. 601-613.
5. S. G. Kucukguzel, I. Kucukguzel, E. Tatar, S. Rollas, F. Sahin, M. Gulluce, E. De Clercq, and L. Kabasakal. "Synthesis of some novel heterocyclic compounds derived from diflunisal hydrazide as potential anti-infective and anti-inflammatory agents." *European Journal of Medicinal Chemistry*: vol. 42, no. 7, July, 2007, pp. 893-901.
6. Y.-P. Luo and G.-F. Yang. "Discovery of a new insecticide lead by optimizing a target-diverse scaffold: Tetrazolinone derivatives." *Bioorganic and Medicinal Chemistry*: vol. 15, no. 4, February 2007, pp. 1716-1724.
7. P. Kirsch and A. Hahn. Oxadiazole derivative and its use as charge transport and light emitting material. US Patent 6 863 841, assigned to Merck Patent GmbH (Darmstadt, DE), 8 March 2005.
8. R.-H. Lee, H.-F. Hsu, L.-H. Chan, and C.-T. Chen. "Synthesis and electroluminescence properties of a novel tetraphenylsilane-oxadiazole-diphenyl(para-tolyl)amine polymer." *Polymer*: vol. 47, no. 20, September 2006, pp. 7001-7012.

9. D. Gomes, C. Borges, and J. C. Pinto. "Effects of reaction variables on the reproducibility of the syntheses of poly-1,3,4-oxadiazole." *Polymer*: vol. 45, no. 15, July 2004, pp. 4997–5004.
10. F. A. Bottino, G. Di Pasquale, and A. Pollicino. "Synthesis and characterization of new poly(arylene ether 1,3,4-oxadiazole)s based on dihydroxynaphthalene isomers." *Polymer Bulletin*: vol. 45, 2000, pp. 345–350, 2000.
11. C. C. McDowell, J. M. Partin, B. D. Freeman, and G. W. McNeely. "Acetone solubility and diffusivity in poly(ethylene terephthalate) modified with low levels of 2,6-naphthalene dicarboxylic acid, isophthalic acid, and 2,5-bis(4-carboxyphenyl)-1,3,4-oxadiazole." *Journal of Membrane Science*: vol. 163, no. 1, October 1999, pp. 39–49.
12. J. W. Connell, P. M. Hergenrother, and P. Wolf. Poly(1,3,4-oxadiazoles) via aromatic nucleophilic displacement. US Patent 5 118 781, assigned to Administrator of the National Aeronautics and Space Administration (Washington, DC), 2 June 1992.
13. E. Leibnitz. "Zur Optimierung der Synthese von Poly(*p*-phenylen-1,3,4-oxadiazol) in Oleum (Optimization of preparation of poly(*p*-phenylene-1,3,4 oxadiazole) in oleum)." *Die Angewandte Makromolekulare Chemie*: vol. 204, 1993, pp. 101–110.
14. P. Denisevich, Jr., A. H. Schroeder, V. P. Kurkov, and S. Suzuki. Carbazole oxadiazole electroactive polymers. US Patent 4 597 896, assigned to Chevron Research Company (San Francisco, CA), 1 July 1986.
15. D. Gomes, S. P. Nunes, J. Carlos Pinto, and C. Borges. "Synthesis and characterization of flexible polyoxadiazole films through cyclodehydration of polyhydrazides." *Polymer*: vol. 44, no. 13, June 2003, pp. 3633–3639.
16. D. Gomes, J. Roeder, M. L. Ponce, and S. P. Nunes. "Characterization of partially sulfonated polyoxadiazoles and oxadiazole-triazole copolymers." *Journal of Membrane Science*: vol. 295, nos. 1-2, May 2007, pp. 121–129.
17. S. Yin, J. Peng, C. Li, W. Huang, X. Liu, W. Li, and B. He. "Heterocycle-substituted poly(*p*-phenylene vinylene) for light-emitting devices." *Synthetic Metals*: vol. 93, no. 3, March 1998, pp. 193–195.
18. Z. Wang, S. Yin, X. Yang, Z. Sun, X. Xu, and X. Zhang. "Interchain charge-transfer states in poly[(2,5-diphenylene-1,3,4-oxadiazole)-4,4'-vinylene] (O-PPV) oligomer." *Chemical Physics Letters*: vol. 307, nos. 1-2, June 1999, pp. 75–80.
19. J. Ding, M. Day, G. Robertson, and J. Roovers. "Synthesis and characterization of alternating copolymers of fluorene and oxadiazole." *Macromolecules*: vol. 35, no. 9, April 2002, pp. 3474–3483.
20. L. Akcelrud. "Electroluminescent polymers." *Progress in Polymer Science*: vol. 28, no. 6, June 2003, pp. 875– 962.



21. X. Yang, Y. Hua, S. Yin, Z. Wang, Y. Hou, Z. Xu, X. Xu, J. Peng, and W. Li. "A novel oligomer poly(phenylene vinylene) derivative containing oxadiazole segment." *Synthetic Metals*: vols. 111-112, June 2000, pp. 455–457.
22. Q. Pei and Y. Yang. "Bright blue electroluminescence from an oxadiazole containing copolymer." *Advanced Materials*: vol. 7, no. 6, 1995, pp. 559–561.
23. S.-Y. Song, M. S. Jang, H.-K. Shim, I.-S. Song, and W.-H. Kim. "New soluble light-emitting diode polymer containing oxadiazole unit." *Synthetic Metals*: vol. 102, nos. 1-3, June 1999, pp. 1116–1117.
24. E. R. Hensema, J. P. Boom, M. H. V. Mulder, and C. A. Smolders. "Two reaction routes for the preparation of aromatic polyoxadiazoles and polytriazoles: Syntheses and properties." *Journal of Polymer Science Part A: Polymer Chemistry*: vol. 32, no. 3, 1994, pp. 513–525.
25. H. C. Bach, F. Dobinson, K. R. Lea, and J. H. Saunders. "High-strength/highmodulus fibers of *p*-phenylene oxadiazole/*n*-methyl hydrazide copolymers – a new class of high-performance organic materials." *Journal of Applied Polymer Science*: vol. 23, no. 7, 1979, pp. 2125–2131.
26. Y. Jin, J. Y. Kim, S. H. Park, J. Kim, S. Lee, K. Lee, and H. Suh. "Syntheses and properties of electroluminescent polyfluorene-based conjugated polymers, containing oxadiazole and carbazole units as pendants, for LEDs." *Polymer*: vol. 46, no. 26, December 2005, pp. 12158–12165.
27. S.-J. Lee, J. R. Gallegos, J. Klein, M. D. Curtis, and J. Kanicki. "Poly(fluorene-oxadiazole) copolymer-based light-emitting devices on a plastic substrate." *Synthetic Metals*: vol. 155, no. 1, October 2005, pp. 1–10.
28. T. Yamamoto. "Electrically conducting and thermally stable  $\pi$ -conjugated poly(arylene)s prepared by organometallic processes." *Progress in Polymer Science*: vol. 17, no. 6, 1992, pp. 1153–1205.
29. A.-D. Schlüter and G. Wegner. "Palladium and nickel catalyzed polycondensation -the key to structurally defined polyarylenes and other aromatic polymers." *Acta Polymerica*: vol. 44, no. 2, 1993, pp. 59–69.
30. J. A. Mikroyannidis. "Synthesis, characterization and photophysics of novel conjugated polymers with 1,3,4-oxadiazole pendant on a vinylene unit." *Synthetic Metals*: vol. 145, nos. 2-3, September 2004, pp. 271–277.
31. R. Zhang, R. Jordan, and O. Nuyken. "Preparation of poly(1,3,4-oxadiazole-2,5-diyl-1,2-vinylene) via anionic mechanism." *Macromolecular Rapid Communications*: vol. 24, 2003, pp. 246–250.
32. J. Wiesecke. "Untersuchungen zum Polymerisationsmechanismus der Gilch-Reaktion." (Ph. D Thesis, Technische Universität Darmstadt, Darmstadt, 2004).

33. S. Vetter and S. P. Nunes. "Synthesis and characterization of new sulfonated poly(arylene ether 1,3,4-oxadiazole)s." *React. Funct. Polym.*, 61(2):171–182, September 2004.
34. T. Tsutsui, Y. Fukuta, T. Hara, and S. Saito. "Electronic conduction in poly(*p*-phenylene-1,3,4-oxadiazole) films." *Polymer Journal* (Tokyo): vol. 19, 1987, pp. 719–725.
35. B. Gebben. "Thermally stable and chemically polymer membranes-aromatic polyoxadiazoles and polytriazoles." (Ph. D Thesis, Twente University, Enschede, Holland, 1988).
36. H. C. Bach. Novel process for the preparation of fiber of arylene oxadiazole/arylene *N*-alkylhydrazide copolymer. US Patent 4 115 503, assigned to Monsanto Company (St. Louis, MO), 19 September 1978.
37. H. C. Bach. Fibers of arylene oxadiazole/arylene *N*-alkylhydrazide copolymer. US Patent 4 202 962, assigned to Monsanto Company (St. Louis, MO), 13 May 1980.
38. X. Y. Shang, D. Shu, S. J. Wang, M. Xiao, and Y. Z. Meng. "Fluorene-containing sulfonated poly(arylene ether 1,3,4-oxadiazole) as proton-exchange membrane for pem fuel cell application." *Journal of Membrane Science*: vol. 291, nos.140–147, March 2007.
39. F. G. Souza, Jr., M. E. Sena, and B. G. Soares. "Thermally stable conducting composites based on a carbon black-filled polyoxadiazole matrix." *Journal of Applied Polymer Science*: vol. 93, no. 4, March 2004, pp. 1631–1637.
40. S. H. Chen, A. C.-A. Chen, J. U. Wallace, and L. Zeng. Light-emitting organic materials. WO Patent 2 007 016 454, assigned to Univ. Rochester (US); Chen Shaw H (US); Chen Andrew Chien-an (US); Wallace Jason U (US); Zeng Lichang (US), 8 February 2007.
41. S. Seo, M. Murakami, and S. Yamazaki. Organic light emitting element and light emitting device using the element. US Patent 7 199 515, assigned to Semiconductor Energy Laboratory Co., Ltd. (Kanagawa-ken, JP), 3 April 2007.
42. A. R. Duggal and J. D. Michael. Method for making an OLED device. US Patent 7 198 533, assigned to General Electric Company (Niskayuna, NY), 3 April 2007.
43. N. N. Barashkov, T. V. Sakhno, N. N. Alekseev, T. M. Murav'eva, L. M. Bulgakova, and L. A. Gorbunov. "Spectral and luminescence properties of copolymers of poly(methy methacrylate) and poly(allyl carbonate) with fragments of anthracene and diphenyloxadiazole." *Zhurnal Prikladnoi Spektroskopii*: vol. 53, 1990, pp. 386–391.
44. X. Jiang, R. A. Register, K. A. Killeen, M. E. Thompson, F. Pschenitzka, and J. C. Sturm. "Statistical copolymers with side-chain hole and electron transport groups for single-layer electroluminescent device applications." *Chemistry of Materials*: vol. 12, no. 9, 2000, pp. 2542 – 2549.

45. J. Bettenhausen, M. Greczmiel, M. Jandke, and P. Strohriegl. "Oxadiazoles and phenylquinoxalines as electron transport materials." *Synthetic Metals*: vol. 91, nos. 1-3, December 1997, pp. 223–228.
46. K. Inoue. "Functional dendrimers, hyperbranched and star polymers." *Progress in Polymer Science*: vol. 25, no. 4, May 2000, pp. 453–571.
47. H. Yasujima, M. Murakami, and S. Yoshimura. "Electrical properties of pyrolytic polyoxadiazole." *Synthetic Metals*: vol. 18, nos. 1-3, February 1987, pp. 527–530.
48. M. Murakami, K. Watanabe, and S. Yoshimura. Production of graphite fiber. JP Patent 63 256 721, assigned to Japan Res Dev Corp; Matsushita Electric Ind Co. Ltd, 24 October 1988.

## بوليميرات بولي (نفتالات)

يمكن الرجوع بطرائق الاصطناع الصناعيَّة للبوليسترَات إلى كاروذرز (Carothers). لقد اكتشف بولي (تريفتالات الإيثيلين) من قبل وينفيلد (Whinfield) وديكسون (Dikson) في أربعينات القرن الماضي<sup>1-3</sup>. وفي الوقت نفسه جرى وصف بولي (نفتالات الإيثيلين) في الأدبيَّات<sup>4</sup>. ولقد جرى البدء بإنتاجه صناعيًّا مباشرة بعد ذلك من قبل شركتي ICI و DuPont.

### 1.1.11 المونوميرات

#### 1.1.11.1 حمض نفتالين ثنائي الكربوكسيليك

يمكن تحضير حمض 6،2-نفتالين ثنائي كربوكسيليك الخام (2,6-NDA) بأكسدة 6،2-ثنائي ألكيل نفتالين في الطور السائل بالأوكسجين الجزيئي بوجود محفِّز من معدن انتقالي ومحفِّز أكسدة. نموذجيًّا، تشتمل هذه المحفِّزات على مزائج من الكوبالت والمنغنيز المعززة بالبروم بصفته مُحفِّز أكسدة. يحتوي 2,6-NDA المحضَّر بهذه الطريقة على شوائب مثل حمض ثلاثي الميليتيك (TMLA)، وألدهيدات. يبيِّن الجدول (1-11) الكميات النموذجيَّة من الشوائب.

يُنْتج TMLA من أكسدة إحدى حلقات جزيئة 6،2-ثنائي ميثيل نفتالين. وينتج حمض 2-فورميل-6-نفتويك من الأكسدة غير الكاملة لإحدى زمر الميثيل في جزيئة 6،2-ثنائي ميثيل نفتالين<sup>5</sup>.

عند استعمال البروم بصفته مُحفِّز أكسدة، تحدث برومَّة حلقة النفثالين أثناء تفاعل الأكسدة، ويؤدِّي ذلك إلى تكوّن حمض برومونفتالين ثنائي كربوكسيليك. يؤدي فقدان إحدى مكونات الميثيل أو الكربوكسيليك أثناء تفاعل الأكسدة إلى تشكُّل حمض 2-نفتويك.

الجدول (1-11): الشوائب في حمض نفتالين ثنائي كربوكسيليك الخام<sup>6</sup>

الكمية [ppm]	المركب
140	كوبالت
676	منغنيز
130	حمض ثلاثي ميليتيك
5590	2-فورميل-6-نفثويك

إذا جرى استعمال 2,6-NDA الخام نقطة انطلاق لتحضير بولي (نفتالات الإيثيلين) (PEN)، كان بوليمير PEN الناتج ملوئاً أحياناً. ويمكن أن تتلخّ القوالب أثناء عملية القولبة مما يؤدي إلى إقصاء شفافية المنتج، ويُقلل من نوعية المنتج. وبهدف الحصول على بوليميرات PEN ذات نوعية عالية ينبغي تنقية 2,6-NDA الخام قبل استعماله نقطة انطلاق لتحضير PEN<sup>6</sup>.

يمكن تنقية 2,6-NDA بأسترتها مع الميثانول، للسماح بالتبلر الجزئي لثنائي ميثيل-6،2-نفتالين ثنائي كربوكسيلات (NDC) ولأحادي ميثيل-2،6-نفتالين ثنائي كربوكسيلات.

تشتمل طريقة تنقية أخرى على حلّ حمض المادة الخام في الماء في حالة فوق أو تحت حدية، ثم إعادة تبلرها. إلا أن سيرورة تكاثف في مرحلتين أبسط، حيث يتكوّن في المرحلة الأولى أوليغومير تجري تنقيته، ثم تأتي مرحلة تكاثف ثانية للوصول إلى المنتج ذي الوزن الجزيئي الأعلى<sup>6</sup>.

تمتلك نواتج التأكسد الجزئي المؤسّرة، الناتجة أثناء عملية الأسترة، نقاط غليان أخفض بشكل ملموس من إسترات حمض ثنائي الكربوكسيليك. لذلك تمكن تنقية أحماض آريل ثنائي الكربوكسيليك الخام بأسترة متبوعة بتقطير دون تدخل أية معالجة كيميائية، مثل الهدرجة أو المعالجة بالسلفيت. يمكن بعد ذلك إخضاع إسترات حمض ثنائي الكربوكسيليك للبلمرية بالأسترة لإنتاج رانتج البوليستر<sup>5</sup>.

يمكن استعمال الشوائب المستخلصة من تقطير نواتج الأسترة بإعادة إدخالها في مُفاعل الأكسدة حيث تؤدي دور مُعزّزات أكسدة، مُتيحة بذلك إجراء عملية أكسدة خالية من البروم لهيدروكربونات الأريل المُستبدلة.

## 2.11. البلمرة والتصنيع

لقد استعرض بانغ (Pang) السيرورات التقليدية والجديدة لبلمرة البوليستر إضافة إلى خواص هذا الصف من البوليميرات<sup>2</sup>. تمر الطرائق التقليدية للبلمرة بالتكاثف عبر الأسترة التبادلية لإستر ثنائي الميثيل مع مركبات ديول، أو عن طريق الأسترة المباشرة لأحماض ثنائية مع مركبات ديول. وتحاول طرق مطوّرة حديثاً إزالة الأوليغوميرات الحلقية التي تتكوّن أثناء البلمرة بالتكاثف. إضافة إلى ما سبق هناك طريق يعتمد على تحويل الأوليغوميرات الحلقية إلى بوليميرات خطية ذات وزن جزيئي مرتفع بطرائق البلمرة بفتح الحلقات.

### 1.2.11. بولي (نفتالات الإيثيلين)

لقد وُصف PEN أول مرة عام 1948<sup>4</sup>. وهو يُحضّر تجارياً بتفاعل ذي مرحلتين مكوّن من:

1. أسترة بين حمض 2،6-نفتالين ثنائي كربوكسيليك والجليكول للحصول على مركّب إستريّ منخفض الوزن الجزيئي.

2. تفاعل بلمرة بالتكاثف للمركّب الإستريّ للحصول على بوليمير PEN مرتفع الوزن الجزيئي.

يمكن إما استعمال NDC أو الحمض نفسه. عند استعمال إستر ثنائي الميثيل، نحتاج خلاّات التوتياء أو خلاّات المنغنيز بصفته مُحفّزاً عند درجة حرارة  $180-260^{\circ}\text{C}$  للحصول على ( $\beta$ -هيدروكسي إيثيل) نفتالات، أو ما قبل بوليميره المنخفض الكتلة. ولكن عند استعمال الحمض، لا نحتاج مُحفّزاً أثناء مرحلة الأسترة الأولى.

بعد الأسترة، يمكن بيسر بلمرة الإسترات المنخفضة الأوزان الجزيئية بلمرة بالتكاثف بوجود مُحفّز بلمرة مثل ثلاثي أوكسيد الأنثيمون، عند درجة حرارة تفاعل  $280-300^{\circ}\text{C}$ ، وتحت ضغط منخفض لأقلّ من 1 torr لإنتاج بوليمير مرتفع الوزن الجزيئي<sup>7</sup>.

لمّا كان PEN يمتلك حلقات نفتالين في بنيته الجزيئية، ويتمتع بلزوجة صهارة أعلى من تلك الموافقة لبوليمير بولي (إيثيلين ترفتالات) (PET)، فإنّه يحتاج عند البلمرة درجات

حرارة أعلى، وذلك مقارنةً بـ PET. لذلك نجد PEN أكثر عرضةً للتلون بسبب الشوائب والأكسدة من PET. ولقد جرى اقتراح عدة تنويعات على إجرائية تصنيع PEN.

على المستوى الصناعي، يمكن قرن سيرورة إنتاج 2,6-NDA بسيرورة إنتاج PEN إذا كانت منشآت التصنيع قريبتين من بعضهما البعض. يؤدي ذلك إلى حذف بعض الخطوات المرحلية، مثل تجفيف 2,6-NDA، والتعامل مع 2,6-NDA الصلب<sup>8</sup>.

### 1.1.2.11. الأسترة

يتطلب إنهاء تفاعل الأسترة فترة طويلة من الزمن. ويمكن أن يترافق تفاعل الأسترة مع تكوّن نواتج تفاعل يمكنها على سبيل المثال أن تشوّه مظهر قالب PEN الناتج.

لذلك، فإنّ تسريع تفاعل الأسترة لا يفيد فقط في تقصير الزمن اللازم لإنتاج PEN، بل يؤدي أيضاً إلى الإقلال من تكوّن نواتج التفاعل التي تسبّب تدهوراً في نوعية المنتج النهائي، وهذا ما يُعطي لعملية التسريع قيمة تقاينية رائعة.

يقود تفاعل 2,6-NDA مع الإيثيلين غليكول إلى تكوين نواتج ثانوية، مثل أوليغوميرات إيثرية تحمل وحدات ثنائي إيثيل غليكول. تُسبّب هذه الكسر تدهوراً في نوعية المنتج، وفي المظهر النهائي لبوليمير PEN الذي نحصل عليه.

وبهدف تقليل وحدات ثنائي الإيثيلين في المادة التي يجري تكثيفها، يمكن إجراء عملية التكاثف على مرحلتين. في المرحلة الأولى، يُكاثف 2,6-NDA مع الإيثيلين غليكول بوجود الماء في محمّ تحت ضغط من الآزوت قدره  $10 \text{ kpcm}^{-2}$  ودرجة حرارة  $250^\circ\text{C}$  لمدة ساعتين. ثم يُبرّد المحمّ ويُسترجع المزيج السائل من المنتج المتبلّر. يتكوّن المنتج المتبلّر من NDA، وأحادي الإستر 2-كربوكسيل-6-هيدروكسي إيثوكسي كربونيل نفتالين، وثنائي الإستر 6،2-بيس-(هيدروكسي إيثوكسي كربونيل) نفتالين وبعض الأوليغوميرات.

إذا جرى في المرحلة الأولى للتكاثف، ضغط المحمّ ليس فقط بالآزوت بل أيضاً بضغط جزئي من الهيدروجين، كانت الشوائب في NDA مُهدرجة<sup>6</sup>. الشوائب المُهدرجة قابلة للانحلال في محلول مائي من الإيثيلين غليكول، يمكن منه إعادة تبلّر الأوليغوايستر.

وأيضاً في طريقة أخرى، يمكننا السماح للألدهيدات، المحتواة في 2,6-NDA الخام، أن تتفاعل مع سُلْفيت لتعطي منتجات ألدهيدية، تُحلّ المنتجات الألدهيدية في محلول مائي كحولي<sup>6</sup>.

ولقد جرى اقتراح إجرائية بديلة، يجري فيها تغذية مستمرة بطين مكوّن من المواد المتفاعلة، ولكنه محضّر من الميثانول بدلاً من الماء لتسريع مرحلة الأستر<sup>7</sup>. السيرورة ممكنة حتى تحت الضغط الجوي.

### 2.1.2.11. البلمرة بالتكاثف

تجري أسترّة المُنتج المتبلّر المسترجع من سيرورة التنقية بالمحمّ المرهليّة<sup>9</sup> أسترّة إضافية بالإيثيلين غليكول عند  $260-290^{\circ}\text{C}$ ، حيث يجري تقطير الماء الناتج.

التفاعلات الجانبية هي تكوّن زمر محذوفة الماء من زمر 2-هيدروكسي إيثيل إستر المتدلية لينتج منها زمر فينيل إستر متدلية. يمكن لهذه أن تتفاعل لاحقاً تحت طرد خلاّت الألدheid. المحفّزات المناسبة هي مركّبات الجرمانيوم، مثل أكسيد الجرمانيوم، وخلاّت التوتياء، وخلاّت المنغيز<sup>9</sup>، أو تشكيلة من ثلاثي أكسيد الأنتيمون وثلاثي ميثيل الفوسفات<sup>7</sup>.

ولكن توجد هناك مصادر قلق تتعلق بالبيئة والصحة العامة، حول درجة التحميل بالمعادن، واستعمال المعادن الثقيلة، بما في ذلك المحفّزات المؤسّسة على الأنتيمون، في تصنيع مواد التغليف البوليميرية للمواد الغذائية<sup>10</sup>.

### 3.1.2.11. التبلّر

إنّ بوليميرات PET وPEN المُنتجة بالبلمرة في طور الصهارة، هي في طبيعتها تامّة اللاتبلّر تقريباً. يمكن أن يتبلّر PEN إمّا انطلاقاً من الحالة الزجاجية أو من الحالة المنصهرة. يمكن الحصول على تعديل متبلّر من النمط  $\alpha$  لبوليمير PEN عند تبلّره من الحالة الزجاجية، في حين نحصل على تعديل متبلّر من النمط  $\beta$  عندما يتبلّر PEN انطلاقاً من الحالة المنصهرة عند درجة حرارة أعلى. ولكن يمكن الحصول على تبلّر من النمط  $\alpha$  عندما يتبلّر PEN من صهارة ذات درجة حرارة منخفضة<sup>11</sup>. إنّ إضافة عامل تنوية،



بنزوات الصوديوم (SB) مثلاً، يؤثر في التعديل البلوري، وفي سلوك صهارة بوليمير PEN وذلك عندما يتبلّر مزيجُ PEN مع SB عند درجات حرارة مرتفعة، ولكن ليس عند درجات الحرارة المنخفضة. يلاحظ تكون مزيج من بلّورات PEN من النمطين  $\alpha$  و  $\beta$ . في منحنيات المقياس الحراري بالمسح التفاضلي (DSC) تظهر قممًا انصهار متداخلتان عندما تجري بلورة PEN تحت درجات حرارة عالية بوجود SB، وذلك بدلاً من نمط بلّوري واحد وقمة انصهار واحدة في حالة PEN النقي<sup>12</sup>.

يجري عادة تحويل بوليميرات البوليستر اللامتبلّرة من الحالة اللامتبلّرة إلى الحالة البلّورية، وذلك قبل الوصول إلى بلمرة الحالة الصلبة وذلك لرفع درجة حرارة دبقها. يجري ذلك لمنع كريات أو رقائق ما قبل بوليمير البوليستر من الالتصاق معاً لتكوّن كتلة صلبة واحدة عندما يجري التعامل معها في درجات حرارة مرتفعة<sup>13</sup>.

عندما يجري تسخين بوليستر لا متبلّر من درجة حرارة المحيط إلى أعلى من درجة حرارة انتقاله الزجاجي  $T_g$ ، فإنّه يصبح طرياً ودبقاً قبل أن يبدأ بالتبلّر. إنّ درجة حرارة التدبّق لبوليستر غير متبلّر هي حوالي  $20^\circ\text{C}$  أعلى من درجة حرارة انتقاله الزجاجي  $T_g$ . ولكنّ معدّل تبلّر البوليستر لا يصبح سريعاً بالقدر اللازم للعمليات التقيّنة حتى تُرفع درجة حرارته فوق ذلك بمقدار  $30^\circ\text{C}$  إضافية. ولتحقيق أعلى معدّل للتبلّر يجب رفع درجة حرارة البوليستر حتّى أكثر من ذلك.

يملك PET درجة حرارة انتقال زجاجي  $T_g$  قدرها  $74^\circ\text{C}$ ، ودرجة حرارة التدبّق قدرها  $95^\circ\text{C}$ . ويبقى معدّل التبلّر منخفضاً حتّى يجري رفع درجة حرارة PET إلى ما يفوق  $125^\circ\text{C}$ ، وعملياً تجري عموماً بلورة PET عند درجات حرارة تتراوح بين  $150-190^\circ\text{C}$ .

يملك PEN درجة حرارة انتقال زجاجي  $T_g$  قدرها  $120^\circ\text{C}$ ، ونقطة انصهار بلّوري  $T_m$  قدرها  $270^\circ\text{C}$ . ويؤدي نروة تبلّر بين  $180^\circ\text{C}$  و  $220^\circ\text{C}$ . أمّا درجة حرارة تدبّقه فهي حوالي  $140-150^\circ\text{C}$  عندما يكون في حالته اللامتبلّرة. أمّا درجة حرارة التبلّر المنصوح بها لبوليمير PEN فهي في المجال  $180-220^\circ\text{C}$ .

أثناء عمليّة التبلّر، يمر البوليستر بمرحلة دبقة. يحدث ذلك في الفترة الزمنية بين اللحظة التي تتجاوز فيها حرارة البوليستر درجة حرارة التدبّق، واللحظة التي يصبح فيها

البوليستر جيد التبلر. لذلك يجب أن توفر معظم الأجهزة التجارية للبلورة المستمرة للبوليستر تحريكاً نشطاً منعاً من تعقد أو تكثف كريات البوليستر. هناك نوعان واسعا الاستعمال من تجهيزات البلورة المستمرة، وتحديداً، الأوعية الهزازة، والأسرة المميعة.

إلا أنه يمكن لما قبل البوليمير (البوليمير المرحلي) أن يمتص الرطوبة من الجو ضمن الظروف المحيطة أثناء تكوّن الكريات أو غير ذلك من العمليات. تكوّن الرطوبة، أو المحتوى المائي مكتوفاً طياراً مهماً، يجب أخذه في الحسبان أثناء تسخين الكريات عند التبلر.

عند تعريض كريات PEN للشروط المطلوبة للتبلر، تخضع الكريات لتمدد سريع وهي تسخن إلى ما يقارب درجة حرارة التبلر. ينتج من ذلك تكوّن قشرة منتفخة، تصبح دبقاً جداً، على معظم الكريات. وبثوانٍ تتعقد الكريات بقوة مكونة كتلات ضخمة، لاتصمد أمام التحريك النشط.

يمكن منعاً من تكوّن القشرة المنتفخة، أن يجري تبلر كريات PEN تحت ضغط مساوٍ أو أعلى من ضغط أبخرة المركبات الطيارة المحتواة في كريات PEN. وهذا ما يفيد في تجنب تشوه كريات PEN أثناء التبلر<sup>13</sup>.

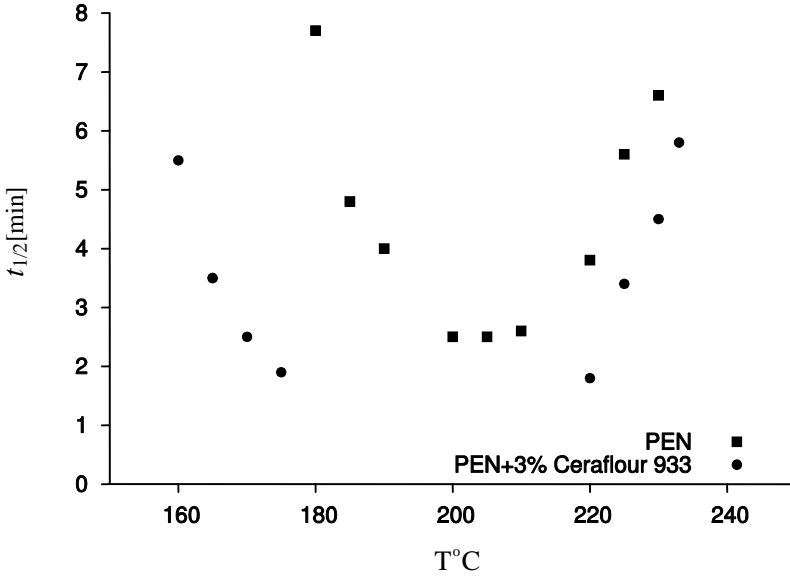
**المعالجة بثاني أكسيد الكربون في الحالة فوق الحرجة.** تتأثر سيرورة التبلر بالمعالجة بثاني أكسيد الكربون في الحالة فوق الحرجة<sup>14</sup>. حيث يجري الحصول على بنية من مرتبة أعلى مع بلّيرات (Crystallites) دقيقة في درجات حرارة تقع في المجال 110-170°C. بعد المعالجة تنخفض درجة حرارة الانتقال الزجاجي بأكثر من 50°C، وتجري بلورة أغشية PEN. يُرجع الانخفاض الكبير في درجة الانتقال الزجاجي إلى امتصاص غشاء PEN لجزيئات CO<sub>2</sub>. تؤدي زيادة ضغط CO<sub>2</sub> إلى زيادة كمية CO<sub>2</sub> الممتصة، ويخفض درجة حرارة الانتقال الزجاجي T<sub>g</sub> ويُعزز التبلر.

ينقص قياس البلّيرات مع نقصان درجة حرارة المعالجة. ويُقترح أنّ المعالجة بثاني أكسيد الكربون تعزز تكوّن نوى في الحالة اللامتبلرة عند درجات حرارة منخفضة، يلي ذلك تكوّن البلّيرات الدقيقة.

**الإضافات.** تُسرّع بعض الإضافات، مثل بولي (إيثيلين) منخفض الكتلة المولية، CerafLOUR 991<sup>TM</sup>، أو بولي (أميد) منخفض الكتلة المولية CerafLOUR 993<sup>TM</sup>، أو

بولي(1،4-بوتيلين سيباكات)، سيرورة تيلّر PEN عند درجات الحرارة المنخفضة أو المرتفعة تسريعاً ملموساً<sup>15،16</sup>.

ولقد جرى تحريّ معدل التيلّر بشكل أعمق عن طريق قياس  $t_{1/2}$  في تجارب DSC. يمثّل  $t_{1/2}$  معدل التيلّر الإجمالي، وهو يُعيّن بمعدّلات التتوية والنمو الخطّي. يبين الشكل (1-11) أزمنة أنصاف عمر التيلّر بدلالة درجة حرارة التيلّر.



الشكل (1-11): أنصاف عمر معدّل التيلّر بدلالة درجة حرارة التيلّر لكلّ من PET و PEN بوجود إضافات

يجري التحكّم بمعدّل التتوية للنوى الأوّليّة بالاعتماد على الأنثالبيّة الحرّة لتيلّر نواة ذات حجم حرج ( $\Delta G^*$ )، وبالطاقة الحرّة للتنشيط ( $\Delta G_{\eta}$ )، التي تتحكّم بانتشار المقاطع البوليميريّة عبر حدود الطور. في منطقة درجات الحرارة المرتفعة، تُسيطر  $\Delta G^*$  مُتحكّمةً بمعدّل التتوية، في حين تتحكّم  $\Delta G_{\eta}$  بمعدّل التتوية في منطقة درجات الحرارة المنخفضة في حالة التيلّر البارد.

عند درجات الحرارة المنخفضة يجري إرجاع الفعل إلى تحسّن في الحركة الجزيئية لـ PEN، وتحديداً تتخفّف درجة حرارة الانتقال الزجاجي عند إضافة الإضافات. وعند

درجات الحرارة المرتفعة، يفترض حدوث انفصالٍ للطور بين الإضافة وPEN. حيث تعمل القطيرات المنفصلة من الإضافات بصفتها نوى غير متجانسة لتبدأ تفاعل تنوية أولي.

**معادلة أفرامي (Avrami).** غالباً ما يجري وصف حركية التبلر بواسطة معادلة

أفرامي<sup>17</sup>.

$$(1-11) \quad 1 - \phi = \exp(-kt^n)$$

$\phi$  النسبة الحجمية للمادة البلورية

$k$  مُعامل الحركية

$t$  الزمن

$n$  الأس في معادلة أفرامي

يمكن إعادة كتابة المعادلة (1-11) بالصيغة التالية

$$\ln \ln \frac{1}{1-\phi} = \ln k + n \ln t$$

يمكن تحقيق تبلر عال لبوليمير PEN وذلك عندما يجري تحت درجة حرارة ثابتة.

يمكن وصف معدل التبلر بمعادلة أفرامي مع أس  $n$  يساوي 2.5. أما طاقة التنشيط للتبلر

تحت درجة حرارة ثابتة فهي محددة بالقيمة  $250 \text{ kJ mol}^{-1}$ <sup>18</sup>.

#### 4.1.2.11. البلورة في الحالة الصلبة

بعد أن يتبلر ما قبل بوليمير PEN، يمكن تجفيفه ثم بلمرته في الحالة الصلبة دفعة

واحدة أو في سيرورة مستمرة<sup>13</sup>. البلورة في الحالة الصلبة هي تقنية تهدف إلى زيادة

الوزن الجزيئي للبوليمير. ومن الشائع إنتاج بوليستر ذات أوزان جزيئية أعلى من

أخرى ذات التركيب نفسه، ولكن بوزن جزيئي أخفض باستعمال البلورة في الحالة الصلبة.

تعتبر البلورة في الحالة الصلبة لما قبل البوليميرات مفيدة لأنها تتيح تفادي التعامل مع

البوليميرات ذات الأوزان الجزيئية المرتفعة وذات اللزوجة الفائقة الارتفاع عند الانصهار

أثناء طور البلورة. كما يجري جوهرياً تفادي التفكك الحراري أثناء البلورة في الحالة

الصلبة لما قبل البوليميرات.

في بلمرة الصهارة يكون الجزء الأكبر من التفاعل تفاعل أسترة تبادلية، وذلك بسبب حقيقة أنّ التحلل الحراري يُبطل جزءاً كبيراً من أسترة زمر الكربوكسيل النهائية. في البلمرة في الحالة الصلبة يكون جزءاً أكبر من التفاعل تفاعل أسترة<sup>19</sup>. تشمل الأسترة زمر الكربوكسيل وزمر الهيدروكسيل المتبقية. وهناك نمط آخر من التفاعل هو إضافة زمر الهيدروكسيل المتبقية إلى زمر الفينيل إستر.

أثناء التسخين الطويل الأمد في الحالة الصلبة، تتعقد سلاسل البوليمير في بنى فوق جزيئية تسمى المتكورات، وهي بطريقة ما شبيهة بالبنى الحبيبية في المعادن. تنمو هذه المتكورات قطرياً بدءاً من نقطة التنوية حتى تلتقي بمتكورة أخرى. تسبب المتكورات الضخمة هشاشة وتخفض مقاومة الشد في البوليمير. يمكن التحكم بحجم المتكورات بالتحكم بعدد النوى الموجودة، حيث كلما زاد عدد نوى التبلر صغر حجم الكريات. كما تؤدي أيضاً فترات التسخين الأقصر إلى متكورات أصغر. يؤدي غياب المتكورات الكبيرة إلى بوليميرات أقوى وأقل هشاشة<sup>20</sup>.

تتراوح درجات حرارة البلمرة المناسبة في الحالة الصلبة بين درجة الحرارة التي تأتي مباشرة بعد عتبة درجة حرارة تفاعل البلمرة وترتفع لتصل إلى قرب درجة حرارة التدبق لما قبل بوليمير PEN ببضع درجات.

تتراوح درجة الحرارة المستعملة في البلمرة في الحالة الصلبة لبوليمير PEN المتبلر بين 240°C وتصل إلى حوالي 265°C. ومع تقدم البلمرة في الحالة الصلبة لما قبل بوليمير PEN، ترتفع درجة حرارة تدبقه. لذلك يمكن رفع درجة حرارة البلمرة في الحالة الصلبة تدريجياً مع تقدم السيرورة<sup>13</sup>.

تجري البلمرة في الحالة الصلبة بوجود تيار من غاز خامل أو تحت الخلاء. ويجري تصميم المفاعل بحيث يتدفق الغاز تدفقاً متجانساً عبر بوليستر ما قبل البوليمير. تكون اللزوجة الجوهرية لما قبل البوليمير، المقاسة في مزيج فينول : رباعي كلورو إيثان بنسبة 40:60، مساوية  $0.2 \text{ dl g}^{-1}$ ، على نحو نموذجي، وهي سترتفع لتصل إلى  $0.8 \text{ dl g}^{-1}$ . يتراوح زمن الإقامة في المفاعل بين 6 إلى 24 ساعة.

يؤدي استعمال ما قبل بوليمير اسفنجي من PEN، المترافق مع مرحلة إزالة للمواد الطيارة، وذلك قبل البلمرة في الحالة الصلبة، إلى سيرورة بلمرة في الحالة الصلبة سريعة

وعالية الانتاجية لبوليمير PEN. كما إن استعمال ما قبل بوليمير PEN الاسفنجي يتيح درجة حرارة أخفض للبلمرة في الحالة الصلبة<sup>21</sup>.

يمكن تحقيق بلمرة سريعة في الحالة الصلبة تحت درجات حرارة عالية لبوليميرات متبلرة متلدنة حرارياً بتطبيق شروط من الإجهاد السطحي المحرض ميكانيكياً والاحتكاك على جسيمات البوليمير عند درجات حرارة بواحد نقاط الانصهار<sup>20</sup>.

تتطلب هذه التقنية تبريداً سريعاً للبوليميرات إلى درجة حرارة أخفض من درجة حرارة الانتقال الزجاجي باستعمال التبريد بالتماس المباشر مع أبخرة سوائل مبردة. توفر البلمرة السريعة في الحالة الصلبة تحت درجات حرارة عالية إمكانية تحضير بوليميرات عالية الوزن الجزيئي، ذات لزوجة جوهريّة عالية، وخواص ميكانيكيّة متميّزة. كما إن هذه الطريقة تفيد في التخلص بشكل ملحوظ من التفكك الكيميائي للبوليميرات.

يمنع التبريد السريع الآني المباشر نمو متكوّرات كبيرة، التي تسبب هشاشة البوليمير وتدهور الخواص الميكانيكيّة للبوليميرات المتبلمرة في الحالة الصلبة. ولقد جرى تطبيق هذه الطريقة على بوليميرات مثال بولي(أميد) (PA) وبولي(ترفتالات البوتيلين) (PBT).

يمكن زيادة معدل البلمرة في الحالة الصلبة للمواد التي لا تحتوي على محفّزات الأنتيمون أو الجرمانيوم من المراحل السابقة، بإضافة كميّة مُحفّزة من p-تولوين سلفونات التوتياء<sup>10</sup>.

الأسترة التبادليّة. في مزائج 1:1 من PET وPEN، وعند مستويات أسترة تبادليّة أعلى من 23 في المئة، تسعى المزائج إلى التحول إلى نظام من طور واحد، ويُنَبِّط التبلر البارد لبوليمير PET بسبب النقصان المهم في أطوال مقاطع PET. أمّا عند مستويات أخفض من الأسترة التبادليّة فتبقى المزائج منفصلة الطور<sup>22</sup>.

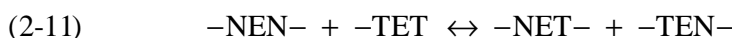
لقد جرت دراسة تفاعل الأسترة التبادليّة في حالة مزائج 1:1 من بولي(ترفتالات البننتيلين) (PPT) مع PEN. إن مزائج PEN وPPT هي أساساً غير قابلة للامتزاج. ولكن عند التسخين أو المعالجة الحرارية عند درجات حرارة قدرها 300°C ولفترة طويلة من الزمن، يندمج الطوران الأصليّان في طور واحد مكون من بوليسترين وبعض نسب صغيرة من بوليسترات مشتركة. لا يرجع الارتفاع في قابليّة الامتزاج إلى الأسترة

التبادلية، كما تبين ذلك تجارب مطيافية الطنين المغناطيسي النووي (NMR). يُظهر التحليل بالأشعة السينية أنّ المزيج يفقد تماماً قدرته على التبلر فقط عندما يسخن إلى 300°C مدة 60 دقيقة أو أكثر. مشيراً إلى تكوّن بوليستر مشترك تامّة العشوائية<sup>23</sup>.

لقد جرت دراسة حركية تفاعل الأسترة التبادلية لمزائج PEN/PET باستعمال المركبات النموذجية ثنائي بنزوات الإيثيلين (BEB) وثنائي نفتالات الإيثيلين (NEN). ولقد جرى اتباع تفاعل التبادل بين BEB وNEN بمطيافية  $^1\text{H-NMR}$ <sup>24</sup>.

لقد وُجد أنّ تفاعل الأسترة التبادلية الإجمالي يتبع قانوناً من المرتبة الثانية. وجرى التيقن من عكسية الأسترة التبادلية بتسخين سلسلة مختلطة من 1-بنزوات 2-نفتالين إيثيلين (BEN). وصل كلٌّ من التفاعل المباشر لكميات متساوية مولياً من المواد المتفاعلة، والتفاعل العكسي، إلى التوازن عند النسب المولية نفسها من المواد الداخلة في التفاعل وتلك الناتجة منه وهي تقريباً 0.25:0.50:0.25 من BEB وBEN وNEN بالترتيب.

يمكن تعزيز تفاعلات الأسترة التبادلية بالتشجيع بحزمة إلكترونية<sup>25</sup>. ويمكن كتابة تفاعل الأسترة التبادلية شكلياً، كما يلي :



هنا E هي وحدة الإيثيلين غليكول، و T هي وحدة ترفنالات، و N هي وحدة نفتالات.

إذا كانت النسب المولية في البدء لوحدة NEN وTET هي  $a$  و  $b$  مع  $a+b=1$ ، و  $x$  هي النسبة المولية من البوليمير المشترك NET، عندئذ، بافتراض حدوث تفاعل عكوس من الدرجة الثانية، يظهر قانون حركية التفاعل التالي:

$$(3-11) \quad \frac{dx}{dt} = k_1(a-x)(b-x) - k_2x^2$$

عند التوازن يكون  $dx/dt=0$  و  $x=x_e$ . بوضع  $k = k_1 = k_2$  والتعويض في المعادلة (3-11) يمكن الحصول على صيغة أبسط،

$$(4-11) \quad \frac{dx}{dt} = k(x_e - x)$$

وبوضع  $r = x/a$  لترمز إلى نسبة الأسترة، ثمّ مُكاملة المعادلة (4-11) يمكن الحصول على العلاقة التالية :

$$(5-11) \quad \ln \frac{b}{b-r} = kt$$

يمكن تحديد مدى الأسترة التبادليّة باستعمال تقنيّات NMR، وبهذا يمكن تحديد الثوابت الحركيّة  $k = k_1 = k_2$  برسم تغيّرات  $-\ln[(b-r)/r]$  بدلالة زمن التفاعل  $t$ . لقد جرى الحصول على علاقة خطيّة في حالة تركيبات مختلفة من المزائج، وهذا ما يشير إلى أنّ آليّة التفاعل المفترضة صالحة<sup>26</sup>. ونجد أمثلة على الثوابت الحركيّة التي جرى الحصول عليها في حالة نسب موليّة بدئيّة مختلفة لـNDA عند  $300^\circ\text{C}$  في الجدول (2-11).

الجدول (2-11): ثوابت حركيّة تفاعل الأسترة التبادليّة عند  $300^\circ\text{C}$ <sup>26</sup>

$k/[\text{min}^{-1}]$	النسبة المئويّة الموليّة من NDA عند البدء
0.08	03.2
0.07	13.6
0.05	31.2
0.08	56.3
0.11	78.2

عند  $290^\circ\text{C}$  يكون ثابت الحركيّة  $0.050 \text{ min}^{-1}$ ، وعند  $310^\circ\text{C}$  يكون ثابت الحركيّة  $0.141 \text{ min}^{-1}$ ، ومن هذه المعطيات تُحسب طاقة التنشيط لنجدها  $140.4 \text{ kJ mol}^{-1}$ .

درجة البلمرة. لقد جرى إيجاد علاقة تجريبية تعبر عن تغيّر الوزن الجزيئي، عن طريق مراقبة اللزوجة الجوهرية كتابع للزمن عند درجات حرارة مختلفة للحالة الصلبة<sup>27</sup>. وقد وُجدَ:

$$(6-11) \quad M_n = M_{n,0} + k\sqrt{t}$$

$M_n$  المتوسط العددي للوزن الجزيئي عند اللحظة  $t$   
 $M_{n,0}$  المتوسط العددي للوزن الجزيئي عند لحظة البدء  
 $k$  ثابت الحركيّة  
 $t$  الزمن



يمكن الحصول على موسطات آرينيوس (Arrhenius) بإجراء التجارب عند درجات حرارة مختلفة. وهكذا نجد أنه في حالة PEN نحصل على العلاقات :

$$M_n = 1.33 \times 10^4 + 1.78 \times 10^6 \times \exp\left(-\frac{27922.83}{RT}\right) \times k\sqrt{t}$$

أما في حالة PET، فنجد أن<sup>28</sup>

$$M_n = 1.99 \times 10^4 + 624 \times 10^{10} \times \exp\left(-\frac{22800}{RT}\right) \times k\sqrt{t}$$

### 2.2.11. البوليميرات المشتركة

في حالة البوليميرات المشتركة بولي (إيثيلين ترفتالات-co-نفتالات) مع كمية صغيرة من النفثالات، يُلاحظ انخفاض نقطة الانصهار، في حين تكون درجة حرارة الانتقال الزجاجي أعلى منها في حالة PET. تتخضع معدلات تبلر البوليميرات المشتركة مع ازدياد المحتوى من المونوميرات المشتركة. وتحسن خواص الشد للبوليميرات المشتركة، مع نسبة 3-4 في المئة من النفثالات، تحسناً ملموساً بالمقارنة مع PET. وهكذا تتحسن خواص PET مع استعمال كميات صغيرة من النفثالات، وذلك دون زيادة ملحوظة في التكلفة<sup>29</sup>.

تتبلر البوليميرات المشتركة العشوائية بولي (إيثيلين-co-بوتيلين 6،2-نفتالات) على كامل طيف التركيبات<sup>30</sup> وهي تبدي نقطة بوتكتية. تكوّن البوليميرات المشتركة حصرياً بلورات من النمط PEN أو بلورات من النمط PBN حيث يرمز PBN إلى بولي (نفتالات البوتيلين). يحدث انتقال من البلورات من النمط PEN إلى البلورات من النمط PBN بنسبة تساوي 1:1 تقريباً من مركبات الكحول في البوليمير المشترك<sup>31</sup>. تسمى هذه الظاهرة ظاهرة التبلر المشترك المتساوي الشكل الإثنائي isodimorphic co-crystallization.

تسلك البوليميرات المشتركة بولي (4،1-حلقي هكسيلين ثنائي ميثيلين ترفتالات-co-4،1-حلقي هكسيلين ثنائي ميثيلين 6،2-نفتالات) (P(CT-co-CN)) سلوكاً مماثلاً، فيما يتعلّق بالتبلر، لسلوك بولي (إيثيلين-co-بوتيلين 6،2-نفتالات)<sup>32</sup>. أما البوليميرات المشتركة بولي (إيثيلين 6،2-نفتالات-co-4،1-حلقي هكسيلين ثنائي ميثيلين 6،2-نفتالات) (P(EN-co-CN)) فهي لا تتبلر عند وسط التركيبة البوليميرية المشتركة، في حين تبدي البوليميرات المشتركة بولي (بوتيلين 6،2-نفتالات-co-4،1-حلقي هكسيلين ثنائي ميثيلين

6،2-نفطالات (P(BN-co-CN)) وپولي (سداسي ميثيلين 6،2-نفطالات -co-4،1-حلقي هكسيلين ثنائي ميثيلين 6،2-نفطالات) (P(HN-co-CN)) قم انصهار وتبلر واضحة. يشير هذا السلوك إلى أن البوليميرين المشتركين P(BN-co-CN) و P(HN-co-CN) كليهما يُبديان سلوك تبلر مشترك. وتبدي البوليميرات المشتركة من P(BN-co-CN) نقطة يوتكتية وتبلراً مشتركاً متساوي الشكل الإثنائي.

وبالمقابل تزداد درجة حرارة الانصهار للبوليمير المشترك P(HN-co-CN) ازدياداً مستمراً مع ازدياد المحتوى من CN بدون ظهور درجة انصهار يوتكتية. يشير هذا إلى أن البوليمير المشترك P(HN-co-CN) يُظهر تبلراً مشتركاً متساوي الشكل<sup>33،34</sup>. وغالباً ما تجري بلمرة بوليسترات PET وPEN بلمرة مشتركة مع مُعدلات تبلر مثل حمض الإيزوفتاليك (IPA) و 4،1-حلقي هكسان ثنائي ميثانول (CHDM)، لتكوين بوليسترات مشتركة ذات خواص تشغيل أفضل. سوف نصنف بوليسترات الترفطالات وبوليسترات النفطالات بأنها بوليميرات پولي (أريلات).

طريق الاصطناع المُفضل لهذه البوليميرات المشتركة هو الأسترة التبادلية. هناك مرحلتان في تحضير پولي (إيثيلين-4،1-حلقي هكسان ثنائي ميثيلين أريلات) (PECA).

المرحلة الأولى هي تكوين 6،2-بيس-(هيدروكسي إيثيل) أريلات (BHEA) وبيس-(هيدروكسي ميثيل حلقي هكسان)-أريلات (BHCA)، بالترتيب، من الأسترة التبادلية لمركب 6،2-ثنائي ميثيل نفطالات أو ثنائي ميثيل ترفطالات (DMT) مع الإيثيلين غليكول أو CHDM. المرحلة الثانية هي تكوين PECA من البلمرة بالتكاثف لمزيج BHEA و BHCA عند درجات حرارة مرتفعة وضغط منخفض<sup>35</sup>.

تُبطن مستويات متواضعة من IPA التبلر، وترفع خواص حاجز الأوكسجين. وتكسر مستويات أعلى من IPA البنية البلورية وتؤدي إلى بوليميرات مشتركة لا متبلرة، ذات خواص حاجزة جيدة. ومن ناحية أخرى تظهر هذه البوليميرات المشتركة مقاومة سيئة للصدم وغير ذلك من الخواص الميكانيكية. إلا أن مستويات متواضعة من CHDM تُبطن التبلر وتخفض خواص حاجز الأوكسجين.

من المعلوم أن مستويات أعلى من CHDM تكوّن بوليسترات مشتركة غير متبلرة. تستعمل هذه المواد استعمالاً تجارياً واسعاً في العديد من التطبيقات التي تشمل الصفائح

العالية السماكة، لوحات إشارات الطرقات، والطرود الطبيّة، وغيرها. تتمتع هذه البوليسترات المشتركة بمقاومة ممتازة للصدم وغير ذلك من الخواص الميكانيكيّة، ولكن خواص حاجز الأوكسجين لديها أخفض من تلك الموافقة للبوليسترات المشتركة المعدّلة بمركّب IPA، وخواص حاجز الأوكسجين أخفض من تلك الموافقة لـ PET<sup>36</sup>. وفي حالة البوليميرات المشتركة المكوّنة من PEN وبولي (إيثيلين-7،2-فينانترات) (PEP) تزداد درجة حرارة الانتقال الزجاجي  $T_g$  مع ازدياد مُركّبة PEP<sup>37</sup>.

### 1.2.2.11. مركّبات ثنائي هيدروكسي إيثوكسي العطريّة

تمتلك البوليسترات المشتركة من 6،2-نفتالات ومشتقات ثنائي هيدروكسي إيثوكسي العطريّة، انظر الجدول (3-11)، انحلائيّة أفضل من PEN و PBN في المذيبات اللابروتونية. أمّا الخواص الحراريّة وامتصاص الرطوبة للبوليسترات المشتركة فهي تُقارن أو أفضل من تلك الموافقة التي يمتلكها PEN أو PBN<sup>38</sup>. نظراً إلى الانحلائيّة المحسّنة، تمتلك البوليسترات المشتركة تطبيقات مفيدة مثل الدهانات، والورنيش، واللواصق الإنشائية.

لقد جرى اصطناع وبناء واستعمال عدد من المونوميرات المشتركة المسرودة في الجدول (3-11). فمثلاً جرى تحضير مركّبات ثنائي هيدروكسي الإيثوكسي بتفاعل 1mol من بيسفينول A مع 2.1mol كربونات الإيثيلين بوجود يوديد البوتاسيوم عند 80-120°C. وقد جرى تحقيق مردود قدره 70 في المئة أو يزيد عن ذلك.

الجدول (3-11): مونوميرات مشتركة لبوليسترات النفثالات<sup>38</sup>

نقطة الانصهار °C	المركّب
111-110	بيس-(2-هيدروكسي إيثيل)-بيسفينول A
106-105	بيس-(2-هيدروكسي إيثيل)-هيدروكينون
211-210	بيس-(2-هيدروكسي إيثيل)-بيفينول
121-119	بيس-(4-2-هيدروكسي إيثوكسي) بنزين)-إيثر
181-180	بيس-(4-2-هيدروكسي إيثوكسي) بنزين)-سلفون
110-109	بيس-(2-هيدروكسي إيثيل)-بيسفينول H
128-126	بيس-(4-2-هيدروكسي إيثوكسي) بنزين)-فلورين

لقد جرى اصطناع البوليسترات المشتركة باستعمال المنتجات المذكورة في الجدول (3-11) و 6،2-بيس-(هيدروكسي إيثيل) نفتالات أو 6،2-بيس-(هيدروكسي بوتيل) نفتالات، وذلك بتقنية تكاثف الصهارة، والتقطير لإزالة الإيثيلين غليكول<sup>38</sup>. ولقد جرى استعمال خلّات التوتياء، وثالث أكسيد الأنثيمون بصفتها مُحفّزان. ولقد جرى توصيف البوليسترات المشتركة توصيفاً موسّعاً وذلك فيما يتعلّق بلزوجتها الجوهرية وانحلالياتها، وخواصها الحرارية، وامتصاصها للرطوبة. يمكن العثور على التفاصيل في الأدبيات<sup>38</sup>.

#### 2.2.2.11. مطاطيات بولي (إيثر إستر)

يجري اصطناع مطاطيات بولي (إيثر إستر) كتلية التعاقب (PEE) باستعمال DMT وNDC. المركّبات الكحولية هي 4،1-بوتان ديول، وبولي (رباعي ميثيلين إيثر) غليكول ذو وزن جزيئي قدره 1000. تؤدّي وحدات بولي (رباعي ميثيلين إيثر غليكول ترفتالات) دور المقاطع الطرية في البنية التعاقبية. يؤدي إقحام زمرة 2،6-NDA في المقطع القاسي المكوّن من وحدات ترفتالات و 6،2-نفتالين ثنائي كربوكسيلات و 4،1-بوتان ديول، إلى تحسين مقاومة الأشعة فوق البنفسجية لمركّب PEE الناتج<sup>39</sup>.

#### 3.2.2.11. البوليميرات المشتركة الثلاثية

تُبدي البوليسترات نصف البلورية المحتوية على كسر ترفتالات وإيزوفتالات ونفتالات خواص ممتازة في حيز مرور الغازات. ويمكن الوصول إلى مستوى عالي الكثافة، بجمع التبلر الحراري مع التبلر المحرّض بالإجهاد.

يجري تكاثف الإيثيلين غليكول و 2،6-NDA وحمض الترفتاليك (TPA) و IPA باستعمال محلول مائي 10 في المئة من هيدروكسيد رباعي ميثيل الأمونيوم. ويستعمل ثلاثي أكسيد الأنثيمون وخلّات الكوبالت بصفتها مُحفّزين. يجري التفاعل في جو من غاز خامل وتحت الضغط عند البدء، حتى درجة حرارة 260°C، ثمّ يجري خفض الضغط على مراحل مع رفع درجة الحرارة لتصل إلى حوالي 274-288°C.

يجري بثق البوليمير في خيوط باستعمال مضخة للصهارة عند قعر المُفاعل. وتُبرّد الخيوط في حمام مائي وتقطّع إلى كريات لابلورية. تمتلك الكريات لزوجة جوهرية قدرها

$0.60 \text{ dl g}^{-1}$  في مزيج فينول/رباعي كلورو إيثان بنسبة 60\40 عند  $30^\circ\text{C}$ . وبعد تكوين الكريات يمكن زيادة الوزن الجزيئي للبوليمير بالبلمره في الحالة الصلبة.

يمكن تحقيق كتلة حجمية قدرها  $1.455 \text{ g cm}^{-3}$  بجمع التبلر المحرض بالإجهاد مع التبلر الحراري.

في التبلر المحرض بالإجهاد، يجري شدّ المادة البوليميرية بمعدّل ودرجة حرارة مناسبين لتحقيق التبلر في البوليمير. وهي، في حالة التركيبات البوليميرية التي ندرسها هنا، تتراوح في المجال  $80-140^\circ\text{C}$  بالنسبة إلى درجة الحرارة، ومن  $300/\text{s}$  في المئة إلى  $1500/\text{s}$  في المئة بالنسبة إلى معدّل الشد. أمّا نسبة الشدّ المناسبة فهي حوالي 8 إلى حوالي 24. أمّا في حالة شدّ الألياف أو توجيهها فنسبة الشدّ المناسبة هي حوالي 2 إلى حوالي 8.

يمكن صنع السلع المقولبة، وخصوصاً الحاويات كالبلاستيك أو الجرار، من راتنجات بوليستر البوليميرات المشتركة باستعمال طرائق قولبة الصهارة. يمكن صنع الحاويات والقوارير دون الحاجة إلى إضافة مسرّعات أو مبطّئات تبلر. وتحتوي هذه المواد مستويات منخفضة من خلاّات الألدهيد<sup>40</sup>.

### 3.2.11. المزايا

#### 1.3.2.11. المزايا من PET وPEN

تزيد إضافة PEN إلى بوليمير PET الأداء الحراري. إلا أنه في طيف واسع من التركيبات يكون المزيج لا متبلراً بشكل جوهري، وهذا ما يعني أنه لا يمكن بلورته.

في حالة سلعة مقولبة بالشدّ والنفخ، نحتاج التبلر لأنه يوفر المستويات الضرورية من التوجيه، وخواص الحجز، ويتحكّم بتوزيع المادة. وهناك أيضاً مشكلة مع الأطوار غير المتوافقة التي تجعل السلعة غير شفافة.

يمكن إخضاع مزايا PEN\PET لبلمره في الحالة الصلبة لزيادة اللزوجة الجوهريّة أو لتخفيض توليد خلاّات الألدهيد. أثناء سير عملية البلمره في الحالة الصلبة، يزداد مدى تقدّم تفاعل الأسترة التبادليّة. يُسبّب المستوى المنخفض من الأسترة التبادليّة شفافية سيّئة في حين يمنع المستوى المرتفع منها التبلر المحرض بالإجهاد والخواص الميكانيكية السيّئة.

يمكن قياس الأسترّة التبادليّة بواسطة مطيافية NMR. حيث تجرى فيها المقارنة بين شدّات الإشارة الناتجة من بروتونات الإيثيلين المتعلّقة بسلاسل 6،2-نفثالين ثنائي كربوكسيلات/الإيثيلين غليكول ترفّاتلات، وشدّات الإشارة الناتجة من بوليمير مشترك تامّ العشوائيّة مكوّن من 2،6-NDA و TPA والإيثيلين غليكول.

ولمّا كان الوزن الجزيئي يزداد أثناء المعالجة الحرارية، فإنّ كلاً من التكاليف والأسترّة التبادليّة وجب أخذهما في الاعتبار معاً<sup>41</sup>.

تؤدي إضافة مثبتّ على أساس الفوسفيت هو بيس (4،2-ثنائي-ترت-بوتيل فينيل)- خماسي إيريثريتول ثنائي فوسفيت (Ultranox 626<sup>TM</sup>) إلى خفض مدى تقدّم الأسترّة التبادليّة أثناء البلمرة في الحالة الصلبة. كان من المتوقّع أن يُنبط ثلاثي فينيل فوسفيت الأسترّة التبادليّة، ولكن لم يكن بالإمكان التوثّق من ذلك تجريبياً<sup>42</sup>.

وبالمقابل، فإنّ إضافة 2،2'-بيس (3،1-أوكسازولين) (BOZ) إلى مزائج من PET وPEN تسرّع تسريعاً جوهرياً الأسترّة التبادليّة بين PET وPEN عند 275°C<sup>43</sup>. إن طاقة تنشيط تفاعل الأسترّة التبادليّة للمزيج التفاعلي PEN/PET بوجود BOZ هي  $94.0 \text{ kJ mol}^{-1}$  وهي أخفض من  $168.9 \text{ kJ mol}^{-1}$  التي توافق قيمة طاقة تنشيط التفاعل نفسه بدون BOZ<sup>44</sup>.

إنّه من الممكن التحكم في آن معاً بمعدّل تغيّر اللزوجة الجوهريّة (IV) ومعدّل الأسترّة التبادليّة لمزيج من PET وPEN أثناء البلمرة في الحالة الصلبة. تشتمل الطريقة على توفير PEN ذي لزوجة جوهريّة أولى وPET ذي لزوجة جوهريّة ثانية. ثمّ يتفاعل PEN وPET بوجود مركّب إيثيلين غليكول وبكميّة كافية للوصول إلى اللزوجة الجوهريّة النهائيّة المرغوبة، ولتحقيق مستوى الأسترّة التبادليّة في المنتج المبلمر بلمرة مشتركة من PEN/PET<sup>45</sup>. ونظراً إلى المقاومة الحراريّة المُحصّنة، يمكن استعمال المادّة للحواليات ذات المحتوى الساخن.

### 2.3.2.11. المزائج من PBT أو بولي (أميد) وPEN

تُبدى مزائج PEN/PBT تحسّناً في الخواص الميكانيكيّة. وتصبح مزائج PA 6.6 وPEN أكثر هشاشة من مكوّناتها البوليميريّة المتجانسة. لا يحدث أي تفاعل كيميائي في

مزائج 66 PEN\PA و PEN\PBT عند معالجة الصهارة. إلا أن مقياس المنطقة في حالة مزائج PEN\PBT هو على الأقل أصغر بمرتبة من الصغر من ذلك الموافق لمزائج 66 PEN\PA<sup>47,46</sup>. يبيّن الجدول (4-11) درجات حرارة الانتقال الزجاجي لمزائج PEN\PBT. تُظهر المنظومة درجتَي حرارة انتقال زجاجي.

الجدول (4-11): درجات حرارة الانتقال الزجاجي لمزائج PEN \ PBT<sup>47</sup>

100	70	60	50	40	30	0	<sup>a</sup> PEN%
	76.3	70.0	65.7	65.2	65.5	59.2	$T_g / ^\circ C$ (PBT)
132.6	123.2	123.1	119.2	117.4	117.3		$T_g / ^\circ C$ (PEN)

<sup>a</sup> النسبة المئوية وزناً.

### 3.3.2.11. المزائج من HDPE و PEN

إن HDPE مادة معروفة وناجحة في تشكيل القوارير بسيرورة قولبة النفخ بالبتق التي تجري في خطوة واحدة. وهي السيرورة التي يجري وفيها تصنيع السواد الأعظم من القوارير البلاستيكية والحاويات المشابهة. يتمتع HDPE بعدد من الخواص الجيدة المطلوبة في القوارير النهائية، مثل القدرة على الملء الساخن، والمقاومة الكيميائية، والأثر على حاجز الماء H<sub>2</sub>O. المساوي الأساسية في قوارير HDPE تكمن في سوء حاجز الغاز، والنفاذية العالية للأشعة فوق البنفسجية، وفقدان الشفافية البصرية.

وبالمقابل، فإنّ PEN يُحقّق جميع المتطلّبات ولكن نحتاج في حالته إلى تقنيات تصنيع أكثر تعقيداً. إذ لا يمكن إنتاج قوارير PEN بقولبة النفخ بالبتق ذات الخطوة الوحيدة، بل هو يتطلّب استعمال سيرورة قولبة بالحقن ثمّ النفخ والشدّ ذات الخطوتين والأكثر تعقيداً. في هذه السيرورة يجري أولاً قولبة بالحقن لشكل أولي يتبعها قولبة بالنفخ والشدّ للحصول على القارورة النهائية. هذه هي السيرورة نفسها التي تُستعمل لإنتاج قوارير من بوليستر PET.

وكما ذكر سابقاً، يُعتبر تصنيع قوارير متعدّدة الطبقات تقنيّة مناسبة. إلا أن إنتاج مثل هذه القوارير المتعدّدة الجدران يتطلّب استعمال تقنيّة القولبة بالنفخ والبتق المشترك

الأكثر تعقيداً، والأعلى ثمناً. إنّ استعمال مزائج من HDPE و PEN يمكن أن يُحسّن الخواص المُستهدفة في قوارير HDPE، باستعمال قوالبه النفخ بالبتق التي تجري في خطوة واحدة.

إنّ عدم توافق HDPE و PEN يمثّل مشكلة مهمّة. يمكن تجاوز هذه العقبة باستعمال بوليمير مشترك من الإيثيلين\ميثيل أكريلات بصفته عامل توافق<sup>48</sup>. المزيج مفيد في قوالبه النفخ بالبتق لصنع سلع مثل القوارير.

#### 4.3.2.11. المزائج من بولي (تريفنالات ثلاثي ميثيلين) و PEN

تقبل المزائج من بولي (تريفنالات ثلاثي ميثيلين) (PTT) و PEN الامتزاج في الحالة اللامتبلّرة في مجال واسع من التركيبات<sup>49</sup>. ما يُثبت ذلك هو امتلاك المزيج لدرجة حرارة انتقال زجاجي واحدة ( $T_g$ )، تتعلّق بالتركيبه. يمكن التنبؤ بتغيّر  $T_g$  تبعاً للتركيبه باستعمال معادلة غوردون-تايلور (Gordon-Taylor)<sup>50</sup>، مع مُعامل مُلاءمة قدره 0.57.

$$(7-11) \quad T_g = \frac{w_1 T_{g,1} + k w_2 T_{g,2}}{w_1 + k w_2}$$

$w_1$  النسبة الوزنيّة للمركّب 1

$w_2$  النسبة الوزنيّة للمركّب 2

$T_{g,1}$  درجة حرارة الانتقال الزجاجي للمركّب 1

$T_{g,2}$  درجة حرارة الانتقال الزجاجي للمركّب 2

وهناك معادلة أخرى واسعة الاستعمال تعود إلى فوكس (Fox)<sup>51</sup>. هي

$$(8-11) \quad \frac{1}{T_g} = \frac{w_1}{T_{g,1}} + \frac{w_2}{T_{g,2}}$$

تنخفض درجة حرارة ذروة التبلّر البارد خطياً مع ازدياد المحتوى من PTT بدءاً من 180°C في حالة PEN النقي إلى 65°C في حالة PTT النقي.



### 5.3.2.11. المزائج من بولي (ستيرين) وPEN

إن بولي (ستيرين) (PS) ليس متوافقاً مع PEN. تتفاعل البوليميرات المشتركة من ستيرين/غليسيديل ميتاكريلات (SG) مع الزمر النهائية من PEN أثناء مزج الصهارة. يؤدي هذا إلى تكوّن بوليميرات مشتركة من SG-g-PEN في المزيج. تسعى هذه البوليميرات المشتركة إلى الإقامة على السطح البيني مع PS، وتؤدي وظيفة عامل توافق في مزائج PS وPEN<sup>52</sup>.

تُبدى المزائج الموافقةً لزوجةً أعلى، ومنطقة طور أكثر دقةً، وخواص ميكانيكيةً مُحسّنة. وفي المزائج الموافقةً باستعمال البوليمر المشترك SG، وذات المحتوى العالي من الغليسيديل ميتاكريلات، تنتج بوليميرات مشتركة عالية التلطيح. أمّا طول مقاطع الستيرين في هذه البوليميرات المشتركة المُطعمّة فهو قصير جداً ما يحول دون دخولها عميقاً في طور البولي (ستيرين) وتكوين ارتباطات فعلية. وهذا يؤدي إلى خفض فعالية التوافقية لمزائج PS وPEN.

### 6.3.2.11. المزائج من بولي (كربونات) وPEN

يمكن الحصول على مزائج بيسفينول A بولي (كربونات) (PC) وPEN بدون إضافة مُحفّز في خلاط عجن عند 290°C. تُبدى جميع المزائج المحضّرة عند تركيبات مختلفة طورين، وتمتلك خواص ميكانيكيةً جيّدة.

يفترض أنّ تكوّن بوليمير مشترك في الطور الوسطي يقف فعلياً وراء تحقيق توافقية المنظومة. يُعتبر تكوّن البوليمير المشترك التعاقبي نتيجة من تفاعلات الأسترة التبادلية بين PEN وPC. ولقد جرى التحقّق من ذلك بتجارب استخلاص وتحليل للجزئين القابل للانحلال وغير القابل للانحلال<sup>53</sup>.

### 7.3.2.11. البوليميرات المشتركة

بههدف تحسين المقاومة الحرارية وخواص حاجز الغاز لراتنجات بوليستر PET، اقترح استعمال مزائج من PET مع PEN. تولّد مزائج PET وPEN خلات الألهيد عند

عجن صهارتها في درجات حرارة عالية بهدف تحسين توافقها. يؤدي هذا إلى مشاكل، مثل تغيير طعم المحتويات التي يجري ملء الحاويات بها، ويخفض درجة شفافيّتها.

لذلك جرى اقتراح استعمال تركيبات بوليسترية من الإيثيلين غليكول ومزيج من TPA، بصفته مقداراً أساسياً، و 2,6-NDA. تعاني هذه التركيبات خواص حاجز غاز غير كافية وتولّد خلّات الأدهيد.

تتكوّن تركيبة بوليسترية ذات خواص حاجز غاز أفضل، وأقل إنتاجاً لخلّات الأدهيد، من مزيج من ما قبل بوليميرات PET و PEN، أو من بوليمير مشترك. ثم يخضع المزيج إلى إجرائية بلمرة في الحالة الصلبة<sup>54</sup>.

يُحضّر بوليمير PEN المشترك من 6،2-ثنائي ميثيل نفتالات وثنائي ميثيل إيزوفتالات والإيثيلين غليكول و بولي (رباعي ميثيلين غليكول)، مع وسطي وزن جزئي قدره 1000 دالتون.

بعد ذلك يجري عجن صهارة مزيج جاف مكوّن بنسبة 90 في المئة من ما قبل بوليمير PET، وبنسبة 10 في المئة من ما قبل بوليمير PEN، وذلك عند درجة حرارة قولبة قدرها 295°C، وباستعمل باثق وحيد اللولب وزمن إقامة قدره 120 ثانية. يُقَطَّع الخيط الذي قطره 2.5 mm إلى رقائق اسطوانية. يُبدي المزيج ما قبل البوليميري تبلراً عند درجة حرارة قدرها 150°C.

تُسَخَّن الرقائق حتّى 170°C مدّة ساعتين بوجود الأزوت حتّى تتبلّر. ثم تُسَخَّن حتّى 210°C مدّة ست عشرة ساعة لإجراء بلمرة في الحالة الصلبة. يبيّن الجدول (5-11) خواص الغشاء الموجّه المُنتج من تركيبة البوليمير هذه.

الجدول (5-11): خواص تركيبة البوليمير المشترك

الخاصة	القيمة	
اللزوجة الجوهرية	0.835	dl g <sup>-1</sup>
المحتوى من خلّات الأدهيد	11	ppm
نفاذية (CO <sub>2</sub> )	9.1	cm <sup>3</sup> m <sup>-2</sup> d <sup>-1</sup>
عدد هيز (Haze)	9.8	%
الأسرة التبادلية	9.2	mol-%

## 4.2.11. 4.2.11. بولي (3،1-بروبيلين 6،2-نفتالات)

### 1.4.2.11. التكاثف

يجري اصطناع بولي(3،1-بروبيلين 6،2-نفتالات) (3GN) من ثنائي ميثيل-6،2-نفتالين ثنائي كربونات و 3،1-بروبان ديول<sup>55</sup>. تجري مُفاعلة المكونات تحت ضغط جوي من النيتروجين بوجود Tyzor™ وهو مُحفِّز من رباعي إيزوبروبوكسيد التيتانيوم. سُخِّن الوعاء حتَّى 240°C على مدى 330 دقيقة تقريباً. عند 188°C بدأ الميثانول بالتطوّر. في المرحلة النهائية، جرى خفض الضغط في وعاء التفاعل، ورفع درجة الحرارة إلى حوالي 280°C مدّة 90 دقيقة، وتُركت عملية البلمرة تستمر مدّة 30 دقيقة إضافية. يمتلك البوليمير الناتج لوناً أبيض شافياً ونقطة انصهار عند 203°C–201°C، ودرجة حرارة تبلّر قدرها 166°C، ودرجة حرارة انتقال زجاجي قدرها 79°C. وكانت اللزوجة الجوهرية لهذا البوليمير  $0.56 \text{ dl g}^{-1}$ ، مع متوسط عددي للوزن الجزيئي  $M_n$  قدره 22000 دالتون، ومتوسط وزني للوزن الجزيئي  $M_w$  قدره 36000 دالتون. ولقد جرى وصف المزائج الفيزيائية من تركيبات بوليمير 3GN مع بوليميرات أخرى<sup>55</sup>.

### 2.4.2.11. الشدّ

ينفرد 3GN بمجموعة من الخواص التي تُعطيها عدداً من الميزات على PEN عند استعماله في طبقات متعدّدة مع PET<sup>56</sup>. يمتلك 3GN نقطة انصهار تتراوح بين 181–213°C وهي أخفض من تلك التي توافق PEN (264–267°C) و PET (250–256°C)، إلّا أنّ درجة انتقاله الزجاجي وهي 79°C للأغشية غير المشدودة، و 94°C في الأغشية التامة التوجيه، فهي إذن قريبة لتلك التي توافق PET (70°C) للأغشية غير المشدودة، وحوالي 80°C للأغشية التامة التوجيه).

درجة حرارة التوجيه المفضّلة لبوليمير 3GN وللبوليميرات المشتركة والمزائج الغنيّة به هي 90–135°C. أمّا حرارة التوجيه المفضّلة لبوليمير PET فهي 90–115°C، وهذا ما يتيح توجيه 3GN توجيهاً اثنائي المحور تحت شروط الشدّ الحرارية الأمثلية لبوليمير PET.

ومن ناحية أخرى يمتلك PEN درجة حرارة انتقال زجاجي أعلى بقدر ملموس حوالي 113–125°C للأغشية غير المشدودة، و 140°C في الأغشية التامة التوجيه، وهو من ثمّ يتطلّب درجات حرارة توجيه أعلى حوالي 120–150°C.

في حالة شرائح PET/PEN المتعددة الطبقات، تؤدي هذه الخاصة إلى سماكات غير متساوية، وعدم تجانس في الشفافية، ومقاومة ضعيفة لطبقة PET الموجهة، وذلك بسبب تقسية الإجهاد أثناء شدّ PET عند درجات حرارة أعلى.

إضافة إلى ميزة امتلاكه درجة حرارة انتقال زجاجي  $T_g$  أخفض، يمتلك 3GN معدل تبلر منخفض هو أبداً من معدل تبلر PEN. يؤدي ذلك إلى كون طبقة 3GN أقل تبلراً، ويترجم هذا في تحسن شفافية طبقة 3GN في السلع المصنعة بقولبة النفخ أو البثق، ويمكن أيضاً أن يُرجع إليه الالتصاق المحسن مع PET، وذلك مقارنة بالبنى المتعددة الطبقات من PET وPEN. علاوة على ما سبق يمتلك 3GN خواص حيز ممتازة، وهو من ثمّ مفيداً بصفته طبقة حاجزة في أغشية PET وفي الحاويات.

الأغشية غير الموجهة. يمكن الحصول على أغشية متعددة الطبقات غير موجهة بالبثق المشترك لطبقات من 3GN وPET. وبطريقة بديلة، يمكن تشكيل أغشية متعددة الطبقات بضرورة تطبيق صفائح مستمرة باستعمال الحرارة، أو بالاستعمال الاختياري لطبقات لاصقة لربط الطبقات المنفصلة. يمكن أيضاً استعمال طريقة تطبيق الصفائح بالضغط لتكوين أغشية متعددة الطبقات، عن طريق ضغط طبقات الأغشية عند درجات حرارة وضغط مرتفعة. قبل تكوين الأغشية يجري عموماً تجفيف البوليميرات بالتسخين إلى درجة حرارة أخفض بخمس درجات مئوية من درجة التبلر، وذلك تحت الخلاء، أو بوجود جو من غاز خامل. ثمّ تبرّد الأغشية بسرعة بعد إخراجها لتثبيت تبلرها<sup>56</sup>.

تفيد الأغشية غير الموجهة في العديد من الاستعمالات، بما في ذلك سيرورات التشكيل الحراري، وتشكيل السلع ذات الأشكال، مثل القوارير، كما يمكن شدّها لتكوين أغشية موجهة مستوية. فعلى سبيل المثال، فمثلاً غشاءً سماكته 10 mil<sup>(\*)</sup> مناسباً لتشكيل أكواب سماكة جدرانها حوالي 1 mil تشكيلاً حرارياً. ويمكن الحصول على أطباق سماكته 10 mil من أغشية سماكته 100 mil.

(\*) 1 mil هو جزء بالألف من الإنش ويساوي 0.0254 ميليمتراً (المترجم).

الأغشية الموجهة. يمكن تحضير أغشية متعددة الطبقات موجهة بشدّ أغشية غير موجهة مسخنة<sup>56</sup>. يمكن شدّ الغشاء إما باتجاه يتفق مع جهة الآلة أو باتجاه عمودي على جهة الآلة، وذلك للحصول على غشاء موجّه وفق محور واحد. يجري شدّ الأغشية الموجهة توجيهاً اثنائي المحور وفق جهة الآلة وبتجاه عمودي على جهة الآلة.

يمكن إجراء الشدّ وفق محورين تسلسلياً، بالشدّ أولاً باتجاه الآلة، يلي ذلك شدّ بالاتجاه العمودي على السابق. وبالمقابل يمكن أيضاً إجراء الشدّ بالاتجاهين معاً في آن واحد. قبل الشدّ يجري تسخين الأغشية إلى حرارة الشدّ وهي حوالي  $90-115^{\circ}\text{C}$ . ويفضّل شدّ الأغشية في محورين حوالي مرتين إلى أربع مرّات طول الغشاء قبل الشدّ، وفي كلّ اتجاه، وذلك للحصول على أغشية موجهة ذات خواص حيز وخواص فيزيائية جيّدة.

في سيرورة الأغشية الأنبويّة، يجري بثق المادّة الميثوقة بثقاً مشتركاً والمكوّنة من 3GN وPET عبر فتحة ضيّقة لتكوّن أنبوباً. يجري نفخ هواء مضغوط وبدرجة حرارة متحكّم بها عبر الأنبوب الذي يتمدّد بعد ذلك مكوّناً حُبابة ذات قطر أكبر<sup>57</sup>. يجري إدخال التوجيه الاثنائي المحور في الغشاء أثناء شدّه، وذلك في اتجاه الآلة، وفي الاتجاه العمودي عليه. وبدلاً من ذلك، يُسخن الغشاء المتعدّد الطبقات، أثناء سيرورة إطار التخييم (Tenting frame process)، إلى درجة توجيه أمثليّة، ثمّ يُشدّ في إطار التخييم. أثناء الشدّ، يحدث إجهاد توجيه وتبلّر، مما يؤدّي إلى تحسين الخواص الفيزيائية.

تصلد الأغشيّة المشدودة بالحرارة عند درجة حرارة أعلى من درجة حرارة تبلّر البوليمير. أثناء التصليد الحراري يُسخن الغشاء الموجّه ويُعالج حرارياً مع بقاء الغشاء مقيد الأبعاد. يؤدي ذلك إلى استقرار بنية البوليميرات في الغشاء المتعدّد الطبقات عن طريق زيادة تبلّره، مما يُقلّل انكماشه. درجات حرارة التصليد الحراري تقع في المجال  $167-180^{\circ}\text{C}$  ويستمر 2-5 دقائق. تمتلك الأغشيّة المصلدة بالحرارة وضوحاً ممتازاً، وبنفاذية ضوئية 80 في المئة.

تُبدى الأغشية الموجهة التصاقاً ممتازاً بين طبقات 3GN وPET، مما يلغي الحاجة إلى طبقة لاصقة. الأغشية الموجهة مفيدة في الاستعمالات التي تتطلّب مقاومة حاجز أوكسجين جيّدة، مثل تطبيقات تغليف الأطعمة.

### 3.4.2.11. 3.4.2.11. بولي (3،1-بروبيلين ترفتالات \ 6،2-نفتالات )

تُصنع البوليميرات المشتركة بولي (3،1-بروبيلين ترفتالات \ 6،2-نفتالات ) من بوليمير بولي (بروبيلين 6،2-نفتالات ) وبوليمير بولي (3،1-بروبيلين ترفتالات ) بالأسترة التبادلية عند  $260^{\circ}\text{C}$  في جوٍّ من غاز خامل مع 50 ppm من  $\text{Ti}(\text{OBu})_4$ .

تُظهر جميع البوليميرات استقراراً حرارياً جيداً. الأثر الأساسي لعملية البلمرة المشتركة هو درجة أخفض من التبلر، وانخفاض في نقطة الانصهار  $T_m$  وذلك مقارنةً بالبوليميرات المتجانسة<sup>58</sup>. كما إن معادلة فوكس، المعادلة (8-11)، تصف معطيات درجة حرارة الانتقال الزجاجي  $T_g$  بدلالة التركيبية وصفاً جيداً.

## 3.11. الخواص

### 1.3.11. الخواص الميكانيكية

بوجه عام يتفوق PEN على PET. درجة حرارة الخدمة الدائمة لبوليمير PEN هي  $160^{\circ}\text{C}$ ، وهي بالمقابل  $105^{\circ}\text{C}$  في حالة PET<sup>59</sup>. ونجد في الجدول (6-11) مقارنة بين الخواص الميكانيكية لأغشية PEN وPET.

#### الجدول (6-11): الخواص الميكانيكية لأغشية PEN وPET

مشدودة شداً اثنائي المحور (Boaxoal)<sup>59</sup>

<sup>b</sup> PET	<sup>b</sup> PEN	<sup>a</sup> PET	<sup>a</sup> PEN	أغشية سماكتها 50 ميكرونًا
4200	5350	3500	5000	معامل يونغ، MPa
110	150	190	265	مقاومة الشد، MPa
100	70	140	80	الإجهاد عند استطالة 5 في المئة، MPa
100	70	140	80	الاستطالة عند الكسر، في المئة
1.3	0.4	1.3	0.6	التقلص الحراري عند $150^{\circ}\text{C}$ ، في المئة

<sup>a</sup> شدُّ باتجاه الآلة.

<sup>b</sup> شدُّ عمودي على اتجاه الآلة.

### 2.3.11. الخواص الحرارية

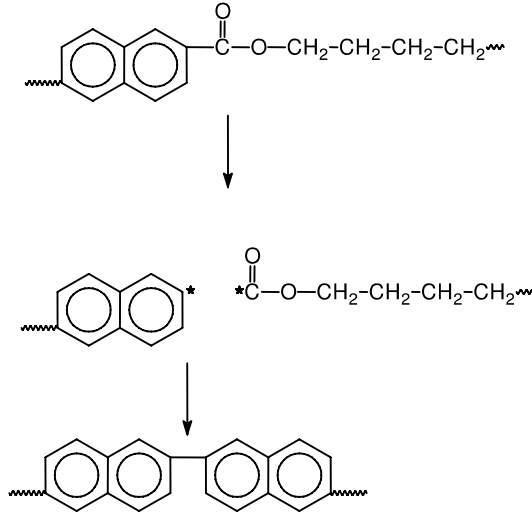
درجة حرارة الانتقال الزجاجي لبوليمير PEN هي  $122^{\circ}\text{C}$ ، وهي أعلى بحوالي  $40^{\circ}\text{C}$  من تلك التي توافق PET. درجة حرارة انصهار PEN هي  $267^{\circ}\text{C}$ ، في حين أنها تساوي  $254^{\circ}\text{C}$  في حالة PET<sup>29</sup>.

### 3.3.11. الخواص الكهربائية

لقد جرى تحريّ الخواص الكهربائية لبوليمير PEN. يُظهر PEN تآلفاً كهربائياً<sup>60</sup>. ويحدث تدهور أثناء مرور التيار الكهربائي. أظهرت تجارب التقادم باستعمال تفريغ كورونا الكهربائي تأثر الموصلية الكهربائية بشدة.

### 4.3.11. الخواص البصرية

يشتمل التدهور الضوئي لبوليمير PEN على تكوّن أوليغوميرات. الأكسدة الضوئية مسؤولة عن تكوّن زمر نهائية حمضية، بصفتها نواتج غالبية<sup>61</sup>. ولقد جرى اقتراح آلية لتفسير الاصفرار في حالة PBN<sup>62</sup>، الآلية مبينة في الشكل (2-11).



الشكل (2-11): آلية الاصفرار

فلقد لوحظ اصفرار ضوئي شديد ناتج من تحول وحدات النفثالات إلى بنى مترافقة أكثر، وتلازم ذلك مع تكوّن هُلام. تبقى هذه التفاعلات الكيميائية الضوئية محصورة على سطح البوليمير ضمن طبقة سماكتها حوالي  $10\mu\text{m}$ .

### 5.3.11. النفاذية الغازية

تتمتع البوليميرات العضوية بنفاذية غازية مرتفعة نسبياً. نجد في الجدول (7-11) مقارنة بين نفاذية بعض البوليميرات. تتعلّق خواص نقل الغاز في بوليميرات PEN بدرجة تبلّره<sup>63</sup>. يُلاحظ انخفاض في النفاذية في العينات المتبلّرة حرارياً.

الجدول (7-11): نفاذية الأوكسجين في بعض البوليميرات<sup>65</sup>

البوليمير	$P^a$
بولي (إيثيلين) ، منخفض الكثافة	2500
بولي (إيثيلين) ، عالي الكثافة	500
بولي (ستيرين)	2000
بولي (كلوريد الفينيل)	5.9
بولي (أكريلونتريل)	5
بوليميرات بلورية سائلة متحوّلة حرارياً	0.4
بولي (ترفتالات الإيثيلين) + $12\text{ nm SiO}_2$	0.15

$$P^a : \text{النفاذية} \setminus [10^6 \text{ Std cm}^3 \text{ cm cm}^{-2} \text{ s}^{-1} \text{ Pa}^{-1}]$$

لم يلاحظ أيّ تغيير في خواص الامتصاص في الطور اللامتبلّر عند المعالجة الحرارية. النفاذية الغازية المنخفضة في حالة الأغشية المشدودة شدّاً اثنائي المحور التي جرى قياسها تتعلّق بتغيّر توزيع قياسات الحجم الحرّ، وبمفعول تعرجي. تحافظ الأغشية المشدودة شدّاً اثنائي المحور على خواص الحجز حتّى بعد معالجتها حرارياً عند  $250^\circ\text{C}$ .

لقد جرى في سلسلة من التجارب تعديل TPA في PET بواسطة أحماض عطرية ثنائية الكربوكسيليك، مثل IPA، حمض o-فتاليك، وبعض إيزوميرات حمض النفثالين ثنائي الكربوكسيليك، أي 2,6-NDA و 1,5-NDA و 1,8-NDA<sup>64</sup>. يبيّن الجدول (8-11) نفاذية الأوكسجين وغير ذلك من خواص البوليميرات المشتركة اللامتبلّرة من PET المعدل بمقدار 10 في المئة من وحدات حمض كربوكسيليك آخر.



يُظهر تفحص الجدول (8-11) أنه من بين إيزوميرات حمض النفثالين ثنائي الكربوكسيليك، فقط 2,6-NDA فعال حقيقة في خض النفاذية. الأكثر فعالية هو حمض o-فتاليك، إلا أن هناك انخفاضاً في درجة حرارة الانتقال الزجاجي. بالمعالجة الحرارية، تزداد نسبة التبخر بحوالي 30 في المئة وتزداد خواص الحجز ازدياداً ملحوظاً. يمكن إنقاص النفاذية بسيرورة توضع فيزيائي للأبخرة (PVD)، وتوضع كيميائي للأبخرة (CVD). تجري سيرورة التوضع الفيزيائي للأبخرة تحت ضغط منخفض وتشتمل على تبخير وترديد، بغياب تفاعلات كيميائية في الطور الغازي عند سطح الركيزة. تُظهر نظرة عامة على سيرورات التوضع الكيميائي للأبخرة أنها تستعمل مركبات طليعية طيارة تتحلل بواسطة الحرارة أو الفوتونات أو البلازما. يطبق التوضع الكيميائي للأبخرة المحسن بالبلازما (PECVD)، في حالة الركائز الحساسة حرارياً مثل البوليميرات. ولقد أصبحت هذه السيرورة الأوسع استعمالاً لتوضع طلاءات السيليكون.

الجدول (8-11): نفاذية الأوكسجين في بوليمير PET المعدل 66,64

معدل بوليميرات لامتبلة <sup>64</sup>						
$^{\circ}C \backslash T_g$	$c_S$	$b_D$	$a_P$	$[gcm^{-3}] \rho$	%	
81	0.098	5.6	0.469	1.3350	10.0	PET
80	0.098	4.7	0.398	1.3369	10.0	حمض إيزوفتاليك
74	0.089	4.7	0.364	1.3381	10.0	حمض o-فتاليك
89	0.105	4.3	0.390	1.3345	10.0	2,6-NDA
91	0.108	4.9	0.464	1.3339	10.0	1,5-NDA
89	0.104	5.2	0.470	1.3344	10.0	1,8-NDA

معدل بوليميرات متبلة<sup>66</sup>

$^{d_0}C \backslash T_g$	$c_S$	$b_D$	$a_P$	$[gcm^{-3}] \rho$	%	
117	0.068	2.3	0.141	1.3381	10.0	حمض o-فتاليك
122	0.072	2.5	0.154	1.3792	10.0	حمض إيزوفتاليك
129	0.091	2.9	0.228	1.3754	10.0	2,6-NDA

$P^a$ : النفاذية  $[Std cm^3 cm cm^{-2} s^{-1} atm^{-1}]$

$D^b$ : الانتشارية  $[m^2 s^{-1}] 10^{12}$

$S^c$ : الانحلالية  $[Std cm^3 cm^{-3} atm^{-1}]$

$T_a^d$ : معالجة حرارية لمدة 360 دقيقة عند

تُستعمل أغشية رقيقة من الأكاسيد موضّعة على ركائز بوليميريّة بتقنيّات توضع الأبخرة في تطبيقات متنوّعة. يؤدّي الجمع بين المواد البوليميريّة والطلاءات الوظيفيّة الواقية إلى العديد من المميّزات المفتاحيّة على المواد المُجمّلة البديلة، مثل خفّة الوزن، والشكل المعقّد، وحرية التصميم، والشفافيّة، أو حتّى المميّزات البصريّة المفصّلة وفق الرغبة<sup>65</sup>.

تُستعمل طبقات أكسيد الألمنيوم استعمالاً واسعاً بصفتها طلاءات حاجزة للغاز على مواد بوليميريّة. ولقد وُجِدَ أن طبقة واحدة من  $Al_xO_y$  تحسّن حاجز الرطوبة بمقدار مرتبة واحدة في حالة PET، ومرتبتيّن اثنتيّن في حال PC، في حين لم يُلاحظ أي تحسّن في حالة PEN<sup>67</sup>.

تُبدّي بوليميرات PET وPEN وPC خشونة سطح، وطاقة سطح مختلفة. تُعتبر هذه الوسائط عوامل مهمّة تؤثر في نمو  $Al_xO_y$ . لقد وُجِدَ أن نعومة سطح الركيزة هو شرط لازم للحصول على حاجز رطوبة جيّد، وبشكل مستقلّ عن خاصّة الحجز للركيزة البوليميريّة. تتخفّض خشونة السطح من PEN إلى PC مروراً بـPET. لهذا السبب، نجد أن المعالجة بأوكسيد الألمنيوم غير فعّالة في حالة PEN.

### 6.3.11. المقاومة الكيميائيّة

في حالة البوليسترّات على أساس 2,6-NDA جرى تغيير المركّبة الكحوليّة. إذ جرت الاستعاضة عن الإيثيلين غليكول جزئياً بكحولات ذات سلاسل جانبيّة أليفاتيّة، على أساس 3،1-بروبان ديول (HH) مثل 2،2-ثنائي ميثيل-3،1-بروبان ديول (CC) أو 2،2-ثنائي إيثيل-3،1-بروبان ديول (C2C2) أو 2-بوتيل-2-إيثيل-3،1-بروبان ديول (C2C4)<sup>68</sup>.

جرى تحضير بوليميرات مشتركة بطريقة تكاثف الصهارة باستعمال ثنائي ميثيل 6،2-نفثالات. تتخفّض درجة تبلّر الأغشية المعالجة حراريّاً وكثافتها مع ازدياد المحتوى من المونوميرات المشتركة، وطول سلسلة الألكيل الجانبيّة فيها. تزداد المقاومة القلوية بشكل ملحوظ بعد دمج مونوميرات مشتركة تمتلك سلسلة ألكيل جانبيّة.

تمتلك جميع البوليميرات المشتركة انحلايّة أعلى، ودرجة حرارة انتقال زجاجي أعلى، واستقراريّة حراريّة أفضل من PET. تُقارن الخواص الحراريّة بتلك التي يتمتّع بها PEN، بل هي أفضل من PEN في حالة العينات المعدّلة بـ 3،1-بروبان ديول. تؤدّي

سلاسل ألكيل جانبية أطول إلى خفض الخواص الحرارية. لقد جُمعت المعطيات عن المقاومة الكيميائية في الجدول (9-11)، حيث جرى التعبير عن المقاومة الكيميائية بالمحافظة على مقدار الاستطالة عند الكسر بعد المعالجة الكيميائية.

الجدول (9-11): المقاومة الكيميائية لبوليميري PEN و PET<sup>59</sup>

<sup>a</sup> PEN	<sup>a</sup> PET	الأسابيع	العامل الكيميائي
85	72	2	حمض كلور الماء 1%
106	74	5	حمض كلور الماء 1%
69	4	2	حمض كلور الماء 10%
60	0	5	حمض كلور الماء 10%
97	76	2	هيدروكسيد الصوديوم 1%
126	60	20	هيدروكسيد الصوديوم 1%
70	0	1	هيدروكسيد الصوديوم 10%
50	0	2	هيدروكسيد الصوديوم 10%
93	15	2	غاز الأمونيا
96	0	10	غاز الأمونيا
80	0	2	التقادم الحراري <sup>b</sup>
50	20	2	التقادم الحراري <sup>c</sup>

<sup>a</sup> النسبة المئوية للمحافظة على الاستطالة عند الكسر

<sup>b</sup> أسبوعان عند درجة حرارة 180°C و 0 RH %

<sup>c</sup> أسبوعان عند درجة حرارة 130°C و 100 RH %

## 4.11. الإضافات الخاصة

### 1.4.11. مبطّات الذهب

يمكن جعل البولي أميدات، مثل PA 6 أو PA 12 أو PA 6.6 أو PET أو PEN، مبطّات لذهب بإضافة مزيج من سيانورات الميلايين ومركّب بولي(فوسفونات) عضوي<sup>69</sup>. يؤدي البولي(فوسفونات) أيضاً دور مُلدن، مُحسناً الخواص الميكانيكية للبوليمير، ومساعداً في تشتت سيانورات الميلايين.

## 2.4.11. الطلاءات الواقية

يمكن طلاء السلع المصنوعة من بوليستر النفتالات بواسطة تركيبات قابلة للبلمرة والتشبيك التصالبي. تُصنع التركيبات من الحاضنة ومن كمية كبيرة من مشتقات البنزوتريازول. يمتص هذا الصف من المركبات الضوء فوق البنفسجي. تُساعد التركيبات المنضجة في حماية بوليستر النفتالات من التعرض للأشعة فوق البنفسجية، وغيرها من العوامل الجوية<sup>70</sup>. تتكوّن الحاضنة من راتنجات أكريلية وراتنجات ميتاكريلية. تقبل هذه التركيبات البلمرة الضوئية.

## 5.11. تطبيقات

### 1.5.11. بولي (نفتالات الإيثيلين)

لقد كان PET أول بوليستر عطري تجاري متلذّن حرارياً. ولكن جرى حديثاً تركيز الانتباه على PEN لأن الألياف والأغشية المصنوعة من PEN تمتلك مقاومة ميكانيكية وخواص حرارية مُحسّنة، بالمقارنة مع المنتجات المصنوعة من PET<sup>5</sup>.

لقد وجد PEN العديد من التطبيقات : فمقاومة الشدّ الأعلى واستقرار أبعاده يجعلان من أغشية PEN خياراً ممتازاً لتصنيع أشرطة التسجيل المغناطيسية والقطع الإلكترونية. إضافة إلى ذلك، فإنّ مقاومته الممتازة لتغلغل الغازات، وخصوصاً تغلغل غاز ثاني أكسيد الكربون والأوكسجين وبخار الماء تجعل من أغشية PEN مفيدة لتصنيع حاويات الأغذية الساخنة. كما يمكن استعمال PEN لتحضير ألياف شديدة المقاومة صالحة لتصنيع حبال الإطارات<sup>38</sup>.

ولقد وُجِدَ أنّ البوليستر المصنوعة من مزائج من TPA و 2,6-NDA أو NDC، تمتلك خواص فريدة ومرغوبة، مثل مقاومة تغلغل الغازات. تجعلها هذه الخاصّة مُناسبة لتصنيع حاويات الأغذية والمشروبات<sup>5</sup>.

يُبدى PBN مُعدّل تبلّر سريع، ويصعب تحديد درجة حرارة انتقاله الزجاجي  $T_g$  ببساطة عن طريق تسخين العيّنة المسقّية<sup>71</sup>. ولأنّ معدّل تبلّر PBN أسرع بكثير من معدّل تبلّر PBT، فمن الممكن تقصير زمن دورة معالجته. وبسبب سهولة التعامل معه، تمكن قولة PBN إمّا بالحقن أو بالبتق لصنع قطع كهربائية أو إلكترونية أو ميكانيكية. يُبدى PBN خواص مقاومة ميكانيكية ومقاومة حرارية واستقراراً بُعدياً ومقاومة كيميائية

حمضية وقلوية ممتازة، إضافة إلى عدم نفاذية الغازولين والغازوهول. لذلك فهو مناسب بشكل خاص لصنع قطع السيارات التي تقع على تماس مع الوقود، والزيت، وغاز الاحتراق. إضافة إلى ذلك فقد جرت الإشارة إلى PBN مَقْوَى بالألياف للاستعمال في شروط درجات الحرارة المرتفعة والرطوبة<sup>38</sup>.

تقبل المزائج من PBN مع بولي (فينيل فينول) (PVPPh) الامتزاج على كامل طيف التركيبات في الحالة اللامتبلرة<sup>72</sup>.

ولقد لوحظت في حالة مزائج PBN وبولي (إيثر إيميد) (PEI) درجة حرارة انتقال زجاجي  $T_g$  واحدة. تزداد درجة حرارة الانتقال الزجاجي بأطراد مع ازدياد المحتوى من PEI<sup>73</sup>. تُلائم درجات حرارة الانتقال الزجاجي للمزائج معادلة فوكس، مما يشير إلى امتزاج المكونات.

## 2.5.11. الأغشية

### 1.2.5.11. وسائط التسجيل المغناطيسي

تُستعمل الأغشية الموجهة الاثنائية المحور من بوليستر PET استعمالاً متكرراً في حقل وسائط التسجيل المغناطيسي، مثل أشرطة التسجيل السمعي، أو أشرطة التسجيل البصري، أو الأشرطة الحاسوبية، أو الأقراص المرنة. ومع وجود اتجاه إلى تصغير حجم ووزن التجهيزات الكهربائية والإلكترونية بهدف تحسين أدائها، صارت الطلبات أكثر إلحاحاً.

فمثلاً في حقل وسائط التسجيل المغناطيسي يجب أن يكون الغشاء القاعدي من الرقّة بحيث يتيح زمن تسجيل طويل، مع خفض بالقياس والوزن. في حالة شريط تخزين مغناطيسي خطّي نموذجي، إذا كان عدم اتفاق على الخط قدره 10 في المئة مقبولاً، فإنّ تشوّهاً جانبياً أقلّ من  $5 \mu\text{m}$  مرغوب<sup>74</sup>. وفي الوقت نفسه، من المهمّ المحافظة على جساءة الغشاء عن طريق تحسين معامل مرونته. في بعض الحالات يكون الغشاء القاعدي الفائق الرقّة المصنوع من PET التقليدي غير مرض فيما يتعلّق بمعامل مرونته.

لقد جرى توصيف الخواص الميكانيكية والحرارية لأغشية PET وPEN وPA على نطاق واسع<sup>75-77</sup>. يتفوق PEN على PET بخواص المرونة، في حين نجده أسوأ من

PET فيما يتعلق بخواص اللزوجة المرنة. ولقد وُجِدَ أنَّ أغشية PEN تمتلك خواص تخميد أفضل من تلك التي تملكها أغشية PET. وهذا يقتضي أنها تمتلك أداء أفضل عند التعامل معها أثناء تصنيع الأشرطة. إلا أنَّ غشاء PEN يمتلك مقاومة أخفض للتمزق، ومن ثمَّ مقاومة أخفض إزاء النزاع الصفيحي من غشاء PET عادي.

وخصوصاً عندما يجري شدّه كغشاء موجّه اثنائي المحور، تكون مقاومة التمزق، للمنتج المرهلي أو النهائي في عملية القولبة، منخفضة في العديد من الحالات. لذلك يُكسر الغشاء تكراراً مما يحول مثلاً دون الحصول على منتج من سيرورة إنتاج غشاء موجّه تسلسلياً اثنائي المحور من PEN. وحتى لو جرى الحصول على مُنتج، فإنّه يجري الحصول على غشاء يسهل تمزيقه في اتجاه محدّد.

يفيد بوليمير مشترك من PEN محتوٍ على كميات ضئيلة من مركّبة IPA أو مركّبة حمض ديكالين-2،6-ثنائي كربوكسيليك، في تحسين الخواص الميكانيكيّة<sup>78</sup>. تُستعمل المركّبات الحمضيّة تفضيلاً بصفتها إسترات ميثيل. وعلاوة على ذلك، يجب أن تكون كميات كسر ثنائي إيثيلين غليكول المتكوّنة بالتفاعلات الجانبيّة أقلّ من 3 في المئة مولياً. إذا تجاوزت كميّة مركّبة ثنائي إيثيلين غليكول نسبة 3 في المئة مولياً ازدادت المقاومة إزاء النزاع الصفيحي للغشاء الناتج، ولكن يُفقد التبلّر مما يُسبب انخفاضاً كبيراً في المقاومة الميكانيكيّة. ومن المفيد، لإزالة الناتج الثانوي المتمثّل بثنائي الإيثيلين غليكول أثناء إنتاج PEN المُعدّل، جعل زمن الأسترة قصيراً قدر الإمكان.

يمكن انطلاقاً من البوليسترات المعدّلة إنتاج أغشية موجّهة اثنائيّة المحاور بالطرائق التقليديّة. يمكن الحصول على أغشية موجّهة اثنائيّة المحاور ذات معامل يونغ حوالي  $500 \text{ kg mm}^{-2}$  أو أكثر من ذلك، في كلا الاتجاهين الطولي أو العرضي. إلا أنه عندما يُصبح معامل يونغ مرتفعاً جدّاً تصبح المقاومة إزاء النزاع الصفيحي غير كافية.

تساوي الكتلة الحجميّة المرغوبة  $1.350 \text{ g cm}^{-3}$  أو تزيد على ذلك. إذا كانت الكتلة الحجميّة أقلّ من ذلك يصبح تبلّر التوجيه غير كافٍ، وتُتلف المقاومة الميكانيكيّة المادّة. وعلاوة على ذلك تُصبح المقاومة إزاء النزاع الصفيحي غير كافية. ومن ناحية أخرى للمحافظة على سطح الغشاء مستوياً، يُفضّل أن تكون الكتلة الحجميّة  $1.362 \text{ g cm}^{-3}$  أو أقل.

تمتلك الأغشية الموجّهة الاثنائية المحاور خاصّة مقاومة تجعدّ ممتازة. تعني خاصّة مقاومة التجعدّ أنّ الغشاء لا يبقى متجعّداً بعد لفّه مرّةً ثمّ إعادة بسطه. ونادراً ما يلاحظ ابيضاضٌ عند ثبته حيث يجري ثني الغشاء. تُسمّى هذه الخاصّة المقاومة لإزاء النزاع الصفيحي، وهي مؤشر مهمّ عند تقييم الغشاء القاعدي في حالة أوساط التسجيل المغناطيسي، وكذلك في حالة الأفلام الضوئيّة.

يُعبّر عن المقاومة لإزاء النزاع الصفيحي اعتماداً على عرض الابيضاض عند خط ثني النزاع الصفيحي، أو على نسبة الابيضاض عند خط ثني النزاع الصفيحي. إنّ نسبة ابيضاض عند خط ثني النزاع الصفيحي أقل من 10 في المئة هي النسبة المرغوبة.

يمكن أن تتراوح سماكة الغشاء من  $0.5 \mu\text{m}$  إلى  $250 \mu\text{m}$ . وإحدى مواصفات الأغشية القاعدية لوسائط التسجيل المغناطيسي هي أنّ خشونة سطح الغشاء يجب أن تساوي  $2.0 \text{nm}$  أو أقلّ من ذلك. لأنّه إذا جرى توضع طبقة لاصقة، أو طبقة حاجزة، أو طبقة مغناطيسية على الغشاء القاعدي وكان خشونة سطحه أكثر من  $2.0 \text{nm}$  تشوّه انبساط الغشاء، ومن ثمّ فسدت خواص التحويل الكهربائي بشكل سيئ جداً.

يُعاق التبلّر بالشكل المناسب باللمرة المشتركة مع مركّبة IPA أو مركّبة حمض ديكالين-6،2-ثنائي كربوكسيليك، لأنّ هذا يُخفّف خشونة السطح الناتجة عن نمو بلّورات دقيقة أثناء التصليد الحراري. ولجعل السطح أكثر استواءً، هناك طريقة يجري فيها خفض درجة حرارة التصليد الحراري لمنع التبلّر من تكوين بقع وطريقة يجري فيها تبلّر سطح الغشاء عندما يجري تبريد البوليمير المبتّوق من فوهة البثق بواسطة أسطوانة صبّ. هذه الطرائق هي الأكثر فعالية.

في هذه الطرائق يُحافظ على درجة حرارة أسطوانة الصبّ حوالي  $40^\circ\text{C}$ – $80^\circ\text{C}$ ، ويُصب الماء البارد على الغشاء على أسطوانة الصب لتبريده.

### 2.2.5.11. الأغشية الفوتوغرافية

لقد جرى استعمال غشاء من ثلاثي خلات السيلولوز بصفته غشاءً قاعدياً لغشاء فوتوغرافي. يطرح غشاء ثلاثي الخلات هذا مشاكل في الأمان والبيئة بسبب استعمال مذيب عضوي في سيرورة إنتاجه. وإضافة إلى ذلك، نجده محدوداً من جهة مقاومته

الميكانيكية، واستقراره البُعدي. لذلك تُستعمل أغشية PET جزيئياً كأغشية قاعدية بديلة. إلا أنه عند حفظ هذه الأغشية ملفوفة ثم تُبسَط، تبقى أغشية PET متجعّدة، وتصبح إزالة هذا التجعّد.

إن استعمال أغشية PEN أكثر إرضاءً وذلك فيما يتعلّق بالمقاومة الميكانيكية، والاستقرار البُعدي، وخاصة مقاومة التجعد عند لفّه بأقطار صغيرة. إلا أن أغشية PEN تخضع للزّرع الصفّحي، وبخاصّة عند لفّ الغشاء وتثقيبه. إن ظهور الزّرع الصفّحي يجعل من الصعب استعمال الغشاء قاعدياً لغشاء فوتوغرافي، بسبب ابيضاض الجزء الخاضع للزّرع الصفّحي.

يفيد بوليمير مشترك من PEN محتوٍ على كمّيّات ضئيلة من مركّبة IPA أو مركّبة حمض ديكالين-2،6-ثنائي كربوكسيليك، في تحسين الخواص الميكانيكية<sup>78</sup>. إنه يعمل بالطريقة نفسها كما في حالة وسائط التسجيل المغناطيسي التي وصفناها في 1.2.5.11.

### 3.2.5.11. تغليف الخلايا الشمسية العضوية المرنة

إن البوليميرات المترافقة مثل بولي (p-فينيلين فينيلين) (PPV) المستعملة في الخلايا الشمسية العضوية معروفة بكونها غير مستقرّة في الهواء. إذ تعمل الخلايا الشمسية المصنوعة على أساس PPV فقط عدّة ساعات في الهواء. لذلك يُعدّ التغليف المناسب لهذه التجهيزات أمراً إلزامياً.

لا يمكن للبوليميرات العضوية كما هي أن تُحقّق معدلات منخفضة لِنفاذ الأوكسجين والضرورية للحصول على عمر مقبول لهذه التجهيزات. إلا أنه يمكن لتقانات توضيح خاصّة أن تخفض معدلات نفاذ الغازات.

لقد جرى إدخال مادة على أساس PEN ذات حاجزٍ غازٍ فائق العلو، مصنوعة كاملة بطريقة توضيح الأبخرة كيميائياً المُحسّن بالبلازما PECVD، بشكل مادة طلاء للخلايا الشمسية العضوية المرنة<sup>79</sup>. لقد كانت أغشية PEN للتغليف مُفضّلة على أغشية PET بسبب كون درجة حرارة انتقالها الزجاجي أعلى.



#### 4.2.5.11. ركائز للتجهيزات الإلكترونية

يستند التطور في حقل الإلكترونيات اللدائنية على التطور في المواد وفي تقانة التصنيع. لقد جرى عرض ترانزستور مصنوع حصرياً من البوليميرات، جرى فيه طباعة مساري المنبع والمصبّ باستعمال الطباعة الفلكسوغرافية<sup>(\*)</sup>. في تجهيزة الترانزستور البوليميري جرى استعمال كل من البولي (أنيلين) والبوليمير المنتظم مناطقياً بولي (3-هكسيل ثيوفين) و PVPPh والبوليمير المشترك بولي (3،4-إيثيلين ثنائي أوكسي ثيوفين) بولي (ستيرين سلفونات) بالترتيب بصفتها مساري المنبع والمصبّ ومادة نصف ناقلة نشطة القناة وعازل ومسرى بوابة. ولقد جرى استعمال صفائح مرنة من PET و PEN كركائز<sup>80</sup>.

#### 3.5.11. الألياف

إنّ البوليسترات مثل PET واسعة الاستعمال في تصنيع الألياف للصناعات النسيجية وغيرها من التطبيقات. ومع أنّ PET يتمتع بالعديد من الخواص المرغوبة التي تجعل منه مناسباً لتصنيع الألياف، إلا أنّ الحاجة مستمرة لألياف بوليسترية ذات خواص محسنة، أو خواص مختلفة عن تلك التي يملكها PET، فاتحة بذلك الطريق لاستعمالات جديدة للألياف البوليسترية. فمثلاً، وجد PEN تطبيقات في أقمشة الأشرعة العالية الأداء، أو في تطبيقات الترشيح الصناعية. يمكن الحصول على ألياف مكروية من الألياف باستعمال طريقة ترفيع أو ترفيق بالليزر<sup>81</sup>.

تُحضّر ألياف البوليستر ذات الخواص المحسنة من مزائج PET مع PEN، أو مزيج PET مع بوليمير مشترك يحتوي على وحدات ترفتالات وفتالات<sup>82</sup>. إضافة إلى ذلك، يمكن استعمال بوليمير PET المُعاد تدويره، فنحصل بذلك على استعمال قيم للمواد البوليسترية المُعاد تدويرها.

تمتلك الألياف البوليسترية خواص انكماش مرتفعة، وهذا ما يجعلها مفيدة في تطبيقات الألياف حيث يكون استبقاء التموج أو الحجم الكبيرة مطلوبين. تتمثل التطبيقات

<sup>(\*)</sup> الطباعة الفلكسوغرافية هي تقنية طباعة مرنة تتيح الطباعة على جميع أنواع السطوح (الترجم).

النموذجية في خيوط السجاد، والمواد القماشية غير المنسوجة، المستعملة في البطانات أو لملاء الوسادات أو في الترشيح، وكذلك كخيوط متخصصة للنسج أو الحياكة. تمتلك الألياف درجة حرارة انصهار منخفضة مقارنة ببوليمير PET ، وهذا ما يجعلها مفيدة كألياف رابطة في الأقمشة غير المنسوجة، وخصوصاً مجتمعة مع ألياف بوليمير PET المتجانس.

تشير قياسات DSC وقياسات انتشار الأشعة السينية الواسعة الزاوية على بوليمير PEN المسحوب بارداً والمشدود من ألياف غير متبلرة والمغزول بسرعات بطيئة، أنه يمكن لتبلر محرض بالإجهاد أن يحدث عند درجات حرارة أخفض من درجة حرارة الانتقال الزجاجي، وأن تتكون من ثم بلورات من النمط  $\alpha$ . وبالمقابل عندما يجري تعريض بوليمير PEN نفسه للمعالجة الحرارية المقيدة، تبقى خواصه كمادة لا متبلرة بدون تغيير حتى ولو جرت المعالجة الحرارية عند  $200^{\circ}\text{C}$ <sup>84</sup>.

توحي هذه النتائج بأن تطبيق إجهاد الشد أكثر أهمية من درجات الحرارة المرتفعة في توليد البلورات من النمط  $\alpha$ . وعند سرعات أعلى تتكون إلى حد ما بلورات من النمط  $\beta$ . ولقد جرى رفع غطاء السرية في الأدبيات<sup>82</sup> عن وصفة لتحضير بوليمير مشترك من PET معدّل بالنفثالات بنسبة 20 في المئة مولياً (PETN-20).

ولقد جرى تحضير مزائج ثلاثية من بوليمير بلورات سائلة متبدل حرارياً وPEN وPET عن طريق مزج الصهارة وغزلها في ألياف. يمكن تحسين الخواص الميكانيكية للمزيج الثلاثي بشكل ملموس عن طريق المعالجة الحرارية عند  $180^{\circ}\text{C}$  لمدة ساعتين. يرجع ذلك إلى نمو بلورات أكثر ترتيباً، وإلى تكون بنى بلورية أكثر مثالية<sup>85</sup>. يتحسن الالتصاق عند السطوح البينية لطوري PEN والبوليمير البلوري السائل عندما تجري معالجة المزيج بشائي بوتيل قصدير ثنائي لورات بصفته محفزاً تفاعلياً لتعزيز الأسترة التبادلية<sup>86</sup>.

## 6.11. الموردون والعلامات التجارية

يبين الجدول (10-11) أمثلة على العلامات والأسماء التجارية المتوفرة تجارياً. ويبين الجدول (11-11) الأسماء التجارية الواردة في المراجع.

الجدول (10-11): أمثلة على بوليميرات PEN المتوفرة تجارياً

ملاحظات	المُنتج	الاسم التجاري
PEN، لقوارير الشرب	M&G Polymers	Hipertuf®
PEN، أغشية	DuPont Teijin	Kaladex®
PEN و PET <sup>83</sup>	Kolon Industries, Inc.	Nopla®
PEN، ألياف	Performance Fibers, Inc.	PenTec®
PEN مُعدّل، ألياف	Honeywell	Pentec®
PEN <sup>83</sup>	SK Chemicals	Skypet® PEN
أغشية مشدودة اثنتان المحور	DuPont Teijin	Teonex®

## 7.11. الأمان

لا يشكّل NDC أي أخطار صحيّة ملموسة عند التعرّض له عبر الطرق الطبيعيّة، مثل الاستنشاق أو الابتلاع أو التماس مع الجلد أو العيون. وحتى عام 2004 لم يكن هناك أيّة تجهيزات وقاية شخصيّة مطلوبة للتعامل مع NDC أو استعماله<sup>87</sup>. تقترح بعض الدراسات أنّ لمركّب NDC سميّة جينيّة أصغريّة على الإنسان. ندف NDC قابلة للاشتعال ويجب توخي الحذر لتفادي الحريق أو الانفجار. ولكنّ ندف NDC الصلبة نفسها لا تمثّل أي خطر ملموس. يمكن لـ NDA أن يُسبب تهيجاً خفيفاً للعين<sup>87</sup>.

الجدول (11-11): الأسماء التجاريّة الواردة في المراجع

المورد	الاسم التجاري	الوصف
Degussa-Hüls	Aerosil®	سيلিকা مدخّن <sup>70</sup>
Dupont	Bynel® (Series)	راتنج خلات الفينيل إيثيلين المعدّل بأنهيديريد، مُعزّز التصاق <sup>70,56</sup>
Cabot Corp.	Cabosil™ M5	سيلিকা <sup>70</sup>

الجدول (11-11): الأسماء التجارية الواردة في المراجع

المورد	الاسم التجاري الوصف
Union Carbide Corp.	Carbowax® (Series) بولي (غليكول أوكسيد الإيثيلين) (PEG) <sup>19</sup>
Ciba	Darocure® 1173 2- هيدروكسي-2- ميثيل-1- فينيل بروبان-1- أون، بادئ ضوئي <sup>70</sup>
Dyneon	Dyneon® HTE بوليمير فلوري <sup>70</sup>
Cytec Industries (UCB)	Ebecryl® (Series) أكريلات اليوريثان <sup>70</sup>
Cytec Industries (UCB)	Ecdel® بوليمير مشترك إستر إيثر مطاطي <sup>70</sup>
DuPont	Elvamide® بولي (أميد) ذو درجة انصهار منخفضة <sup>56</sup>
DuPont	Engage™ resins بولي (إيثيلين) ذو كثافة منخفضة <sup>70</sup>
Fratelli Lamberti S.p.a.	Esacure® بوادئ ضوئية <sup>70</sup>
Clariant GmbH	Highlink® (Series) محلول (سول) سيليك غروي <sup>70</sup>
Ciba	Irgacure® 184 1- هيدروكسي حلقي هكسيل فينيل كيتون، بادئ ضوئي <sup>70</sup>
Clariant GmbH	Klebosol® محلول (سول) سيليك <sup>70</sup>
BASF AG	Larmer® LR 8739 مونومير أكريلات اليوريثان <sup>70</sup>
Dupont	Ludox® (Series) سيليكون غروي <sup>70</sup>
Dupont	Melinar® Laserplus بولي (ترفتالات الإيثيلين) (PET)، للقوارير <sup>56</sup>
Dupont	Mylar® (Series) بولي (إيثيلين ترفتالات) <sup>55</sup>
Nalco Chemical Co.	Nalco® 2327 هيدروسول (معلق غروي مائي) سيليك <sup>70</sup>

الجدول (11-11): الأسماء التجارية الواردة في المراجع

المورد	الاسم التجاري الوصف
Eastman Chemical Co.	PCTA Durastar 1000 بولي إستر مشترك من 65% مولياً حمض ترفتاليك، و 35% مولياً حمض إيزوفتاليك و <sup>36</sup> CHDM
Lucite International	Perpex® CP63 زجاج أكريل <sup>70</sup>
Eastman Chemical Co.	PETG 6736 بولي إستر مشترك من حمض ترفتاليك، و EG و <sup>36</sup> CHDM
Henkel (Cognis)	Photomer™ 6210 أوليغومير أكريلات البوريثان، راتنج مُعدّل الريولوجيا <sup>70</sup>
Qo Chemical Co. (Lyondell Chem. Co.)	Polymeg® بولي (رباعي ميثيلين غليكول) <sup>19</sup>
Rexene Corp.	Rexflex® W111 بولي (أوليفين) ، مرن <sup>70</sup>
Solvay	Solef® بولي (فلوريد الفينيلدين) <sup>70</sup>
Tego Degussa	TEGO® RAD 2100 بولي (سيلوكسان) ، أكريليك، دقق قابل للتشبيك جذرياً، وإضافات تبلييل <sup>70</sup>
Ciba Geigy	Tinuvin® 144 بيس (1،2،6،6-6-6،2،2-4-مبييريدينيل) بوتيل (3،5-ثنائي - ترت -بوتيل -4-هيدروكسي بنزيل) مالونات، ماص أشعة UV <sup>70</sup>
Ciba	Tinuvin® 234 2-2-2-هيدروكسي -3،5-ثنائي - $\alpha$ -كوميل فينيل (-2H-بنزوتريازول <sup>70</sup>
DuPont	Tyzor® TPT رباعي إيزو برووكسيد التيتانيوم (تيتانات رباعي إيزوبروبيل) ، محفّز 56،55
BASF AG	Tyzor® TPT 4،4،2،2-رباعي هيدروكسي بنزوفينون، ماص أشعة UV <sup>70</sup>

## 8.11. الأثر البيئي وإعادة التدوير

يمكن فصل الحاويات المصنوعة من PET وPEN وپولي (كلوريد الفينيل) عن طريق تحديد طبيعة كل واحد منها باستعمال طرائق المطيافية.

فمثلاً، عند فصل PET عن PEN، يجري تمرير الضوء فوق البنفسجي عبر الجسم ثم إلى مجزئ. تمرّ الحزمة الأولى عبر مرشّح حول 380 nm، في حين تمرّ الحزمة الثانية عبر مرشّح حول 400 nm. المرشّحان هما مرشّحان تداخل ضيقاً الحزمة، وتُحسب النسبة بين كميّة الطاقة التي تمر عبر مرشّح 380 nm وكميّة الطاقة التي تمر عبر مرشّح 400 nm. فإذا كانت النسبة قريبة من 1 صنّف الغرض على أنه قارورة PET، وبالمقابل إذا كانت النسبة قريبة من 0 صنّف الجسم على أنه PEN<sup>88</sup>. وهكذا تُفصل المواد أوتوماتيكياً على السير الناقل.

يمكن إعادة تدوير PET كيميائياً بالتحلل الكحولي. ويُعتقد أنّ كميّة صغيرة من PEN في حاويات من PET لا تعيق عملية إعادة تدوير PET.

يؤدّي ثاني أكسيد الكربون فوق الحرج دور مُلدن للبوليميرات. ولقد اقترح إدخال ثاني أكسيد الكربون فوق الحرج في عمليّة إزالة البلمرة لتسهيل هذه العمليّة<sup>89</sup>.

## المراجع

1. K. E. Perepelkin. "Polyester fibres abroad in the third millennium." *Fibre Chemistry*: vol. 33, no. 5, 2001, pp. 333–339.
2. K. Pang, R. Kotek, and A. Tonelli. "Review of conventional and novel polymerization processes for polyesters." *Progress in Polymer Science*: vol. 31, no. 11, November 2006, pp. 1009–1037.
3. R. J. Whinfield and T. J. Dickson. Polymeric linear terephthalic esters. US Patent 2 465 319, assigned to Du Pont, 22 March 1949.
4. J. G. Cook, H. P. W. Huggill, and A. R. Lowe. Manufacture of new highly polymeric linear esters and the production of filaments, fibres and the like therefrom. GB Patent 604 073, assigned to ICI Ltd., 28 June 1948.
5. K. K. Rao, R. D. Sellen, X. Feng, and J. Spanswick. Production, purification and polymerization of aromatic dicarboxylic acids. US Patent 6 642 407, assigned to Exxon Mobil Chemical Patents Inc. (Houston, TX), 4 November 2003.

6. H. Iwasaki, S. Inoki, and H. Ueki. Method of purifying crude naphthalenedicarboxylic acid and process for. US Patent 6 100 374, assigned to Mitsui Chemicals Inc. (Tokyo, JP), 8 August 2000.
7. H. N. Cho, J. M. Hong, H.-W. Lee, Y. C. Ko, and I. S. Choi. Process for preparing polyethylene naphthalate based polymers by using NDCA or its derivatives. US Patent 6 323 305, assigned to Korea Institute of Science and Technology (Seoul, KR), 27 November 2001.
8. J. B. Rodden and G. W. Elliott. Closely linking a NDA process with a PEN process. US Patent 6 297 348, assigned to Shell Oil Company (Houston, TX), 2 October 2001.
9. H. Iwasaki, M. Ishibashi, H. Ueki, and S. Hiraoka. Process for producing polyethylene naphthalate. US Patent 5 811 513, assigned to Mitsui Petrochemical Industries, Ltd. (Tokyo, JP), 22 September 1998.
10. A. Parthasarathy. Method for increasing solid state polymerization rate of polyester polymers. US Patent 6 699 545, assigned to E. I. du Pont de Nemours and Company (Wilmington, DE), 2 March 2004.
11. X. Gao, W. M. Hou, J. J. Zhou, L. Li, and L. Q. Zhao. "Relationships between the crystal structures and the multiple melting behaviors of poly(ethylene 2,6-naphthalate)." *Macromolecular Materials and Engineering*: vol. 289, no. 2, February 2004, pp. 174–180.
12. X. Gao, R. G. Liu, Y. Yu, M. Jin, and H. S. Bu. "Influence of additives on the crystal structure and melting behavior of poly(ethylene-2,6-naphthalene dicarboxylate)." *Journal of Polymer Science Part B: Polymer Physics*: vol. 42, no. 2, January 2004, pp. 296–301.
13. B. Duh. Process for the crystallization of polyethylene naphthalate prepolymers. US Patent 5 750 644, assigned to Shell Oil Company (Houston, TX), 12 May 1998.
14. S. Asai, Y. Shimada, Y. Tominaga, and M. Sumita. "Characterization of higher-order structure of poly(ethylene-2,6-naphthalate) treated with supercritical carbon dioxide." *Macromolecules*: vol. 38, no. 15, July 2005, pp. 6544–6550.
15. X. Gao, M. N. Jin, and H. S. Bu. "Crystallization of poly(ethylene 2,6-naphthalate) containing additives." *Journal of Polymer Science Part B: Polymer Physics*: vol. 38, no. 24, December 2000, pp. 3285–3288.
16. X. Gao, M. N. Jin, and H. S. Bu. "Influence of additives on crystallization of poly(ethylene 2,6-naphthalate)." *Journal of Macromolecular Science: Physics*: B40, no. 1, 2001, pp. 69–81.
17. M. Avrami. "Kinetics of phase change. II. Transformation-time relations for random distribution of nuclei." *Journal of Chemical Physics*: vol. 8, 1940, pp. 212–224.
18. S. W. Lee and M. Cakmak. "Growth habits and kinetics of crystallization of poly(ethylene 2,6-naphthalate) under isothermal and nonisothermal conditions." *Journal of Macromolecular Science: Physics*: B37, no. 4, 1998, pp. 501–526.

19. V. R. Rinehart. Solid state polymerization of polyester prepolymers. US Patent 4 876 326, assigned to The Goodyear Tire & Rubber Company (Akron, OH), 24 October 1989.
20. W. P. Moore. Friction heat, cryogenic quench solid state polymerization. US Patent 6 774 208, assigned to Agri-Nutrients Technology Group, Inc. (Disputanta, VA), 10 August 2004.
21. B. Duh. Solid state polymerization process for foamed poly(ethylene naphthalate). US Patent 5 478 868, assigned to Shell Oil Company (Houston, TX), 26 December 1995.
22. C. Alvarez, A. Nogales, M. C. Garcia-Gutierrez, A. Sanz, Z. Denchev, S. S. Funari, M. Bruix, and T. A. Ezquerro. "Confined crystallization in phase-separated poly(ethylene terephthalate)/poly(ethylene naphthalene 2,6-dicarboxylate) blends." *European Physical Journal E*: vol. 18, no. 4, December 2005, pp. 459–465.
23. E. M. Woo, S.-S. Hou, D.-H. Huang, and L.-T. Lee. "Thermal and NMR characterization on trans-esterification-induced phase changes in blends of poly(ethylene-2,6-naphthalate) with poly(pentylene terephthalate)." *Polymer*: vol. 46, no. 18, August 2005, pp. 7425–7435.
24. L. Alexandrova, A. Cabrera, M. A. Hernandez, M. J. Cruz, M. J. M. Abadie, O. Manero, and D. Likhatchev. "Transesterification in poly(ethylene terephthalate) and poly(ethylene naphthalate 2,6-dicarboxylate) blends: Model compounds study." *Polymer*: vol. 43, no. 20, September 2002, pp. 5397–5403.
25. J. Y. Kim, O. S. Kim, S. H. Kim, and H. Y. Jeon. "Effects of electron beam irradiation on poly(ethylene 2,6-naphthalate)/poly(ethylene terephthalate) blends." *Polymer Engineering and Science*: vol. 44, no. 2, February 2004, pp. 395–405.
26. Y. Shi and S. A. Jabarin. "Transesterification reaction kinetics of poly(ethylene terephthalate)/poly(ethylene 2,6-naphthalate) blends." *Journal of Applied Polymer Science*: vol. 80, no. 13, June 2001, pp. 2422–2436.
27. Y. M. Sun and J. Y. Shieh. "Kinetic and property parameters of poly(ethylene naphthalate) synthesized by solid-state polycondensation." *Journal of Applied Polymer Science*: vol. 81, no. 9, August 2001, pp. 2055–2061.
28. S. A. Jabarin and E. A. Lofgren. "Solid-state polymerization of poly(ethylene terephthalate): Kinetic and property parameters." *Journal of Applied Polymer Science*: vol. 32, no. 6, 1986, pp. 5315–5335.
29. G. P. Karayannidis, N. Papachristos, D. N. Bikiaris, and G. Z. Papageorgiou. "Synthesis, crystallization and tensile properties of poly(ethylene terephthalate-co-2,6-naphthalate)s with low naphthalate units content." *Polymer*: vol. 44, no. 26, December 2003, pp. 7801–7808.
30. G. Z. Papageorgiou, G. P. Karayannidis, D. N. Bikiaris, A. Stergiou, G. Litsardakis, and S. S. Makridis. "Wide-angle x-ray diffraction and differential scanning calorimetry study of the crystallization of poly(ethylene naphthalate), poly(butylene naphthalate), and their copolymers." *Journal of Polymer Science Part B: Polymer Physics*: vol. 42, no. 5, March 2004, pp. 843–860.



31. G. Z. Papageorgiou, D. S. Achilias, and G. P. Karayannidis. "Melting point depression and cocrystallization behavior of poly(ethylene-co-butylene 2,6-naphthalate) copolymers." *Polymer International*: vol. 53, no. 9, September 2004, pp. 1360–1367.
32. Y. G. Jeong, W. H. Jo, and S. C. Lee. "Synthesis and isodimorphic cocrystallization behavior of poly(1,4-cyclohexylenedimethylene terephthalate-co-1,4-cyclohexylenedimethylene 2,6-naphthalate) copolymers." *Journal of Polymer Science Part B: Polymer Physics*: vol. 42, no. 1, January 2004, pp. 177–187.
33. Y. G. Jeong, W. H. Jo, and S. C. Lee. "Cocrystallization behavior of poly(butylene terephthalate-co-butylene 2,6-naphthalate) random copolymers." *Macromolecules*, vol. 33, no. 26, December 2000, pp. 9705–9711.
34. Y. G. Jeong, W. H. Jo, and S. C. Lee. "Synthesis and crystallization behavior of poly(*m*-methylene 2,6-naphthalate-co-1,4-cyclohexylenedimethylene 2,6-naphthalate) copolymers." *Macromolecules*: vol. 36, no. 11, June 2003, pp. 4051–4059.
35. Y.-M. Sun and C.-S. Wang. "Preparation and characterization of poly(ethylene-1,4-cyclohexanedimethylene arylate)." *European Polymer Journal*: vol. 35, no. 6, June 1999, pp. 1087–1096.
36. S. R. Turner, B. J. Sublett, and G. W. Connell. Low melt viscosity amorphous copolyesters with enhanced glass transition. US Patent 6 183 848, assigned to Eastman Chemical Company (Memphis, TN), 6 February 2001.
37. K. Yonetake, H. Yashiro, N. Madachi, M. Ueda, and T. Masuko. "Fine structures of copolyesters containing naphthalene and phenanthrene rings." *Polymer*: vol. 39, no. 22, October 1998, pp. 5523–5528.
38. C.-S. Wang and Y.-M. Sun. Copolyesters containing naphthalene and the preparation thereof. US Patent 5 663 238, assigned to National Science Council (Taipei, TW), 2 September 1997.
39. T. H. Ahn, Y. H. Park, S. H. Kim, and D. H. Baik. "Preparation and characterization of poly(ether ester) thermoplastic elastomers containing the 2,6-naphthalenedicarboxyl group." *Journal of Applied Polymer Science*: vol. 90, no. 13, December 2003, pp. 3473–3480.
40. E. E. Paschke, C. W. Bauer, F. C. Robertson, and J. M. Tibbitt. Polyester compositions. US Patent 6 262 220, assigned to BP Amoco Corporation (Chicago, IL), 17 July 2001.
41. K. H. Yoon, S. C. Lee, I. H. Park, H. M. Lee, O. O. Park, and T. W. Son. "The change of the molecular weight of poly(ethylene 2,6-naphthalate) and poly(ethylene terephthalate) blend with reaction time." *Polymer*: vol. 38, no. 24, November 1997, pp. 6079–6081.
42. M. L. Dias and A. P. F. Silva. "Transesterification reactions in triphenyl phosphite additivated-poly(ethylene terephthalate)/poly(ethylene naphthalate) blends." *Polymer Engineering and Science*: vol. 40, no. 8, August 2000, pp. 1777–1782.

43. H. H. Yang, J. H. Ma, W. G. Li, and B. R. Liang. "Reactive blending of poly(ethylene terephthalate)(pet)/poly(ethylene 2,6-naphthalate)(pen). 1: Effect of mixing conditions on chain structure." *Polymer Engineering and Science*: vol. 42, no. 8, August 2002, pp. 1629– 1641.
44. H. H. Yang, J. He, and B. R. Liang. "Transesterification kinetics of poly(ethylene terephthalate) and poly(ethylene 2,6-naphthalate) blends with the addition of 2,2-bis(1,3-oxazoline)." *Journal of Polymer Science Part B: Polymer Physics*: vol. 39, no. 21, November 2001, pp. 2607–2614.
45. S. L. Schmidt, B. Lynch, and A. S. Agrawal. Process for making PEN/PET blends and transparent articles therefrom. US Patent 6 586 558, assigned to Continental PET Technologies, Inc. (Florence, KY), 1 July 2003.
46. D. D. Jung, D. Bhattacharyya, and A. J. Easteal. "Some aspects of the properties of nylon-6, 6/poly(ethylene naphthalate) blends." *Journal of Applied Polymer Science*: vol. 82, no. 6, November 2001, pp. 1504–1514.
47. D. D. B. Jung, D. Bhattacharyya, and A. J. Easteal. "Mechanical and thermal properties of poly(butylene terephthalate)/poly(ethylene naphthalate), and nylon66/poly(ethylene naphthalate) blends." *Journal of Materials Science*: vol. 38, no. 12, June 2003, pp. 2597– 2606, June 2003.
48. B. Woodfine and M. D. Thompson. Compositions of high density polyethylene and poly(ethylene naphthalate). US Patent 6 251 490, assigned to Kabushiki Kaisha Kobe Seiko Sho (Kobe, JP), 26 June 2001.
49. P. Krutphun and P. Supaphol. "Thermal and crystallization characteristics of poly(trimethylene terephthalate)/poly(ethylene naphthalate) blends." *European Polymer Journal*: vol. 41, no. 7, July 2005, pp.1561–1568.
50. M. Gordon and J. S. Taylor. "Ideal copolymers and the second-order transitions of synthetic rubbers. I. Noncrystalline copolymers." *Journal of Applied Chemistry*: vol. 2, 1952, pp. 493–500.
51. T. G. Fox. "Influence of diluent and of copolymer composition on the glass temperature of a polymer system." *Bull. Am. Phys. Soc., Ser. II*: vol. 1, 1956, p. 123.
52. J. M. Huang, M. Y. Ju, C. J. Hung, W. C. Luoh, and F. C. Chang. "Polymer blends of poly(ethylene-2,6-naphthalate) with polystyrene compatibilized by styrene-glycidyl methacrylate copolymers. I. Rheology, morphology, and mechanical properties." *Journal of Applied Polymer Science*: vol. 87, no. 6, February 2003, pp. 967–975.
53. V. K. Karavia, E. G. Koulouri, and J. K. Kallitsis. "Characterization of melt-mixed poly(ethylene-2,6-naphthalate) (PEN)/polycarbonate (PC) blends." *Journal of Macromolecular Science, Pure and Applied Chemistry*: vol. 39, no. 6, 2002, pp. 527– 544.
54. K. Nakamachi. Polyester and process for preparing polyester. US Patent 6 355 738, assigned to Mitsui Chemicals INC (Tokyo, JP), 12 March 2002.
55. H. C.-H. Ng. Blends of poly(1,3-propylene 2,6-naphthalate). US Patent 6 531 548, assigned to E. I. Du Pont de Nemours and Company (Wilmington, DE), 11 March 2003.

56. P. M. Subramanian, H. C.-H. Ng, and R. A. Lee. Multilayer structures of poly(1,3-propylene 2,6 naphthalate) and poly(ethylene terephthalate). US Patent 6 749 785, assigned to E. I. du Pont de Nemours and Company (Wilmington, DE), 15 June 2004.
57. D. V. Rosato, A. V. Rosato, and D. P. Di Mattia, eds. *Blow Molding Handbook: Technology, Performance, Markets, Economics: The Complete Blow Molding Operation*. 2<sup>nd</sup> ed. Munich: Carl Hanser Verlag, 2003.
58. C. Lorenzetti, L. Finelli, N. Lotti, M. Vannini, M. Gazzano, C. Berti, and A. Munari. "Synthesis and characterization of poly(propylene terephthalate/2,6-naphthalate) random copolyesters." *Polymer*: vol. 46, no. 12, May 2005, pp. 4041–4051.
59. Naphthalates: General properties of naphthalate-containing polymers. Company Data Sheet N-9, BP Sales Administration and Customer Service, 150 West Warrenville Road, 605-CS 3, Naperville, Illinois 60563-8460, June 2001.
60. J. Guastavino, D. Mary, E. Krause, C. Laurent, and C. Mayoux. "On the electrical properties of poly(ethylene naphthalate 2,6-dicarboxylate) biaxially-oriented films." *Polymer International*: vol. 46, no. 1, May 1998, pp. 72–76.
61. J. Scheirs and J.-L. Gardette. "Photo-oxidation and photolysis of poly(ethylene naphthalate)." *Polymer Degradation and Stability*: vol. 56, no. 3, June 1997, pp. 339–350.
62. J. Scheirs and J.-L. Gardette. "Photo-oxidation of poly(butylene naphthalate)." *Polymer Degradation and Stability*: vol. 56, no. 3, June 1997, pp. 351–356.
63. L. Hardy, E. Espuche, G. Seytre, and I. Stevenson. "Gas transport properties of poly(ethylene-2,6-naphthalene dicarboxylate) films: Influence of crystallinity and orientation." *Journal of Applied Polymer Science*: vol. 89, no. 7, August 2003, pp. 1849–1857.
64. A. Polyakova, D. M. Connor, D. M. Collard, D. A. Schiraldi, A. Hiltner, and E. Baer. "Oxygen-barrier properties of polyethylene terephthalate modified with a small amount of aromatic comonomer." *Journal of Polymer Science Part B: Polymer Physics*: vol. 39, no. 16, August 2001, pp. 1900–1910.
65. Y. Leterrier. "Durability of nanosized oxygen-barrier coatings on polymers." *Progress in Materials Science*: vol. 48, no. 1, 2003, pp. 1–55.
66. A. Polyakova, E. V. Stepanov, D. Sekelik, D. A. Schiraldi, A. Hiltner, and E. Baer. "Effect of crystallization on oxygen-barrier properties of copolyesters based on ethylene terephthalate." *Journal of Polymer Science Part B: Polymer Physics*: vol. 39, no. 16, August 2001, pp. 1911–1919.
67. H. Low and Y. Xu. "Moisture barrier of alxoy coating on poly(ethylene terephthalate), poly(ethylene naphthalate) and poly(carbonate) substrates." *Applied Surface Science*: vol. 250, nos. 1-4, August 2005, pp.135–145.
68. Y. M. Sun and H. H. Liu. "Novel copolyesters containing naphthalene structure III. Copolyesters prepared from 2,6-dimethyl naphthalate, ethylene glycol, and 2,2-dialkyl-1,3-propanediols." *Journal of Applied Polymer Science*: vol. 81, no. 11, September 2001, pp. 2754–2763.

69. L. H. Martin. Flame-retardant molded component. US Patent 6 828 365, assigned to T&N Technology Limited (Cawston, GB), 7 December 2004.
70. S. J. McMan, S. A. Johnson, C. L. Jones, E. W. Nelson, and E. S. Goenner. UV resistant naphthalate polyester articles. US Patent 7 153 588, assigned to 3M Innovative Properties Company (St. Paul, MN), 26 December 2006.
71. M.-Y. Ju and F.-C. Chang. "Multiple melting behavior of poly(butylene-2,6-naphthalate)." *Polymer*: vol. 42, no. 11, May 2001, pp. 5037–5045.
72. J. Y. Lee and J. Y. Han. "Miscibility in binary blends of poly(vinyl phenol) and poly(*n*-alkylene 2,6-naphthalates)." *Macromolecular Research*: vol. 12, no. 1, February 2004, pp. 94–99.
73. C. H. Lin and C. S. Wang. "Miscibility of poly(etherimide) and poly(butylene naphthalate) blends." *Polymer Bulletin*: vol. 46, nos. 2-3, April 2001, pp. 191–196.
74. B. Bhushan. *Mechanics and Reliability of Flexible Magnetic Media*. 2<sup>nd</sup> ed. Berlin: Springer-Verlag, 2000.
75. B. Bhushan, T. J. Ma, and T. Higashioji. "Tensile and dynamic mechanical properties of improved ultrathin polymeric films." *Journal of Applied Polymer Science*: vol. 83, no. 10, March 2002, pp. 2225–2244.
76. T. J. Ma and B. Bhushan. "Dynamic mechanical and thermal analyses of magnetic particle and metal evaporated tapes and their individual layers." *Journal of Applied Polymer Science*: vol. 89, no. 2, July 2003, pp. 548–567.
77. T. J. Ma and B. Bhushan. "Mechanical, hygroscopic, and thermal properties of ultrathin polymeric substrates for magnetic tapes." *Journal of Applied Polymer Science*: vol. 89, no. 11, September 2003, pp. 3052–3080.
78. R. Tsukamoto, S. Ito, M. Teramoto, S. Watanabe, K. Furuya, S. Kawai, and K. Suzuki. Biaxially oriented film. US Patent 6 124 043, assigned to Teijin Limited (Osaka, JP), 26 September 2000.
79. G. Dennler, C. Lungenschmied, H. Neugebauer, N. S. Sariciftci, M. Latreche, G. Czeremuszkin, and M. R. Wertheimer. "A new encapsulation solution for flexible organic solar cells." *Thin Solid Films*: vols. 511-512, July 2006, pp. 349–353.
80. T. Makela, S. Jussila, H. Kosonen, T. G. Backlund, H. G. O. Sandberg, and H. Stubb. "Utilizing roll-to-roll techniques for manufacturing source-drain electrodes for all-polymer transistors." *Synthetic Metals*: vol. 153, nos. 1-3, September 2005, pp. 285–288.
81. A. Suzuki and M. Tojyo. "Poly(ethylene-2,6-naphthalate) microfiber prepared by carbon dioxide laser-thinning method." *European Polymer Journal*: vol. 43, no. 7, July 2007, pp. 2922–2927.
82. S. Sakellerides. Polyester fibers containing naphthalate units. US Patent 5 955 196, assigned to BP Amoco Corporation (Chicago, IL), 21 September 1999.

83. IDES Integrated Design Engineering Systems. The Plastics Web®. IDES Inc. 209 Grand Avenue Laramie, WY 82070 USA [electronic] <<http://www.ides.com/prospector/>>, 2006.
84. G. Wu, M. Liu, X. N. Li, and J. A. Cuculo. "Structure development and physical properties achieved in the drawing and/or annealing of PEN fibers." *Journal of Polymer Science Part B: Polymer Physics*: vol. 38, no. 11, June 2000, pp. 1424–1435.
85. J. Y. Kim, E. S. Seo, S. H. Kim, and T. Kikutani. "Effects of annealing on structure and properties of TLCP/PEN/PET ternary blend fibers." *Macromolecular Research*: vol. 11, no. 1, February 2003, pp. 62–68.
86. S. M. Hong, H. O. Yoo, S. S. Hwang, K. J. Ihn, and C. H. Lee. "Structures and physical properties of poly(ethylene 2,6-naphthalate)/liquid crystalline polymer blends." *Polymer Journal*: vol. 33, no. 6, 2001, pp. 457-463.
87. Naphthalates: Physical properties and handling information for dimethyl 2,6-naphthalene dicarboxylate. Company Data Sheet N-2, BP Sales Administration and Customer Service, 150 West Warrenville Road, 605-CS 3, Naperville, Illinois 60563-8460, November 2004.
88. M. G. Roe and G. R. Kenny. System and method for distinguishing an item from a group of items. US Patent 5 966 217, assigned to Magnetic Separation Systems, Inc. (Nashville, TN), 12 October 1999.
89. S. A. Khan, G. W. Roberts, and J. R. Royer. Co<sub>2</sub>-assisted depolymerization, purification and recycling of step-growth polymers. US Patent 6 919 383, assigned to North Carolina State University (Raleigh, NC), 19 July 2005.

## بوليميرات بولي (فتال أميد)

لقد كان الحرير هو أول بوليمير بولي (أميد) (PA) استعملَ استعمالاً تجارياً. فالحرير هو PA طبيعي، تُنتجُه يرقات دودة القز. حرير العنكب هو أيضاً PA طبيعي مكون من أحماض أمينية بسيطة. ويمكن النظر إليه كبوليمير طبيعي عالي الأداء. ولقد جرى إنتاج أول بوليميرات PA الاصطناعية في الثلاثينيات من القرن الماضي، يُطلق عليها الآن اسم النايلون (Nylon)، وقد كانت أليفاتية محضة. على الجانب الآخر من طيف منتجات PA نجد بوليميرات PA العطرية البحتة، التي يُطلق عليها اسم الأراميدات (Aramids). في الأراميدات تكون كل من كسر ثنائي الحمض وثنائي الأمين عطرية بطبيعتها. وفي الوقت الذي يُصنّف فيه النايلون بوليميراً هندسياً تُصنّف الأراميدات بوليميرات عالية الأداء. يُركّز هذا الفصل على بوليميرات PA العطرية جزئياً التي تتوضع وسطياً بين هذين الحدين.

من وجهة النظر الكيميائية، يمكن النظر إلى بوليميرات PA العطرية جزئياً بصفتها نايلوناً جرى فيه استبدال زمر عطرية بكسر أليفاتية إلى حد ما. الأكثر شيوعاً هو إدخال كسر ثنائية الحمض عطرية. إلا أنه هناك أنواع تستعمل إضافة إلى ذلك كسر ثنائية الأمين عطرية.

تُعتبر بوليميرات PA العطرية جزئياً بوليميرات بولي (فتال أميد) (PPA) عندما تزيد نسبة ثنائيات الحمض العطرية إلى ثنائيات الحمض فيها عن نسبة 60 في المئة، وبشكل سائد من حمض ترفتاليك (TPA) أو حمض إيزوفتاليك (IPA)<sup>1</sup>. تُعتبر بوليميرات PPA وبعض أنواع بوليميرات PA العطرية جزئياً بوليميرات عالية الأداء.

تعود فكرة استبدال ثنائيات حمض عطرية بثنائيات حمض أليفاتية إلى منتصف خمسينات القرن الماضي<sup>2</sup>. وفي الأدبيات لا يجري الإعلان عن بوليميرات PPA بصفتها بل يُنظر إليها كمجموعة جزئية من بوليميرات PA. لذلك فإن بحثاً في الأدبيات عن بوليميرات بولي (فتال أميد) لا يعطي جميع العناوين ذات الصلة.

الجدول (1-12): أمثلة على تسميات لبوليميرات PA

التسمية	المركبات
PA 6	ε-كابرولاكتام
PA 12	لورولاكتام
PA 66	سداسي ميثيلين ثنائي أمين، حمض أدبييك
PA 6I	سداسي ميثيلين ثنائي أمين، حمض إيزوفتاليك
PA 6T	سداسي ميثيلين ثنائي أمين، حمض ترفتاليك
PA 6T/6I	CO-بولي (أميد) ، بوليمير مشترك
PA 6T/66	CO-بولي (أميد) ، بوليمير مشترك

الجدول (2-12): خواص ألياف بوليميرات PA وبوليميرات PA العطرية جزئياً<sup>3</sup>

الخاصة	PA 6T	PA 66
نقطة الانصهار [°C]	370	265
الكتلة الحجمية [g cm <sup>-3</sup> ]	1.21	1.14
مقاومة الشد [MPa]	425	490
الاستطالة عند الكسر [%]	35	57

## 1.12. المونوميرات

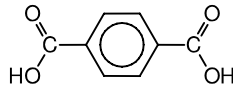
قبل أن نناقش المونوميرات المستعملة في بوليميرات PPA، من المفيد أن نتحدث باختصار عن تسمية هذه الأنواع من البوليميرات. في حالة النايلون، هناك اصطلاح شائع بتحديد هوية كل نمط بإعطائه رمازاً رقمياً، تُشير الأرقام إلى أطوال سلاسل ثنائي الأمين وثنائي الحمض. في حالة المركبات العطرية، تُستعمل I دلالة على حمض الإيزوفتاليك وIPA، وتُستعمل T دلالة على حمض الترفتاليك TPA. في حالة بوليميرات PPA، تُستعمل اصطلاحات مماثلة. يبين الجدول (1-12) أمثلة على ذلك. إلا أن هذه المصطلحات لا تشمل حالة بوليميرات PA التامة العطرية لأسباب عملية.

يبين الجدول (2-12) خواص PA وPPA. ويبين الجدول (3-12) المونوميرات في حالة بوليميرات PPA. ثنائيات الحمض مبيّنة في الشكل (1-12) وثنائيات الأمين مبيّنة في الشكل (2-12)، ومركبات اللاكتام مبيّنة في الشكل (3-12).

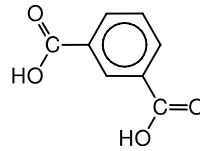
الجدول (3-12): مونوميرات في حالة بوليميرات بولي (فتال أميد)<sup>9</sup>

المراجع	ثنائي الحمض
4	حمض ترفتاليك
4	حمض إيزوفتاليك
	حمض أدبيك
4	حمض سوبيريك
4	حمض آزيلايك
4	حمض سيياسيك
10	بيس (4-كربوكسي فينيل) فينيل فوسفين أوكسيد
	ثنائي الأمين
11	سداسي ميثيلين ثنائي الأمين
13,12	ثلاثي ميثيل سداسي ميثيلين ثنائي الأمين
5	2-ميثيل خماسي ميثيلين ثنائي الأمين
5	2-إيثيل رباعي ميثيلين ثنائي الأمين
14	عشاري ميثيلين ثنائي الأمين
15	نيوبنتيل ثنائي الأمين
16,4	4,4'-ثنائي أمينو ثنائي حلقي هكسيل ميثان
16,4	2,2-(4,4'-ثنائي أمينو ثنائي حلقي هكسيل) بروبان
16,6	3,3'-ثنائي ميثيل 4,4'-ثنائي أمينو ثنائي حلقي هكسيل ميثان
4	بيبيرازين
8	m-كزيلين ثنائي الأمين
	أحماض أمينو كربوكسيليك
4	حمض ω-أمينو أنديكانويك
	مركبات اللاكتام
4	ε-كابرو لاكتام
4	إينانثو لاكتام
4	لورو لاكتام
	عوامل تغطية النهايات
9	حمض البنزويك

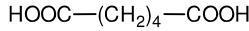




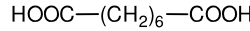
حمض ترفثاليك



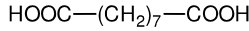
حمض إيزوفثاليك



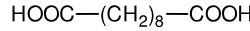
حمض أدبييك



حمض سوبيريك



حمض آزيليك



حمض سيپاسيك

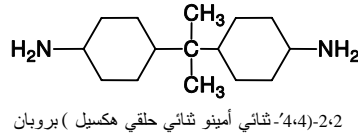
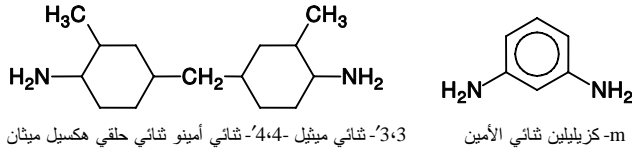
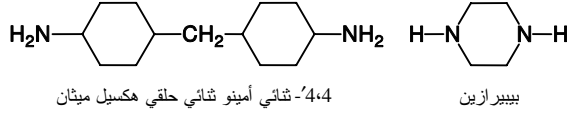
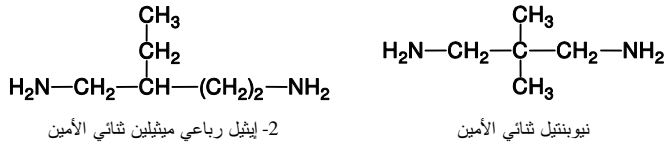
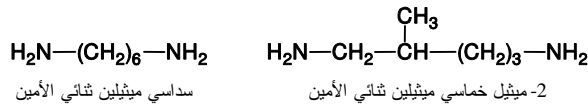
### الشكل (1-12): ثنائيات الحموض المستعملة في بوليميرات بولي(فتال أميد)

إنّ المونوميرات الشائعة في حالة البوليميرات المشتركة CO-بولي (أميد) هي حمض الأدبييك، و TPA، وسداسي ميثيلين ثنائي أمين (HMD) و  $\epsilon$ -كابرولاكتام<sup>4</sup>. ويستعمل 2-ميثيل خماسي ميثيلين ثنائي الأمين و 2-إيثيل رباعي ميثيلين ثنائي الأمين في حالة PPA الشفاف مجتمعاً مع IPA<sup>5,6</sup>. يمكن تحضير ثنائيات الأمين هذه بدرجة ثنائيات النتريل الموافقة. مثلاً، يمكن تحضير 2-ميثيل خماسي ميثيلين ثنائي الأمين بدرجة 2-ميثيلين غلوتاريك ثنائي النتريل، وهو ناتج من ديمرة الأكريلونتريل.

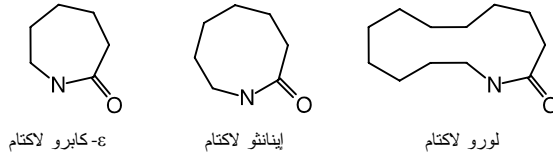
يُنتج m-كزيليلين ثنائي الأمين (MXDA) بدرجة الإيزوفتالونتريل<sup>7</sup>. يمكن استعماله لتحسين خواص الحجز في بوليميرات PPA<sup>8</sup>. ولقد جرى وصف سيرورة لصنع بوليميرات تحتوي على MXDA<sup>17</sup>. توجد استعمالات لأنماط MXDA سواءً كانت في الحالة اللامتبصرة<sup>15</sup> أو في الحالة البلورية<sup>18</sup>.

## 2.12. البلمرة والتصنيع

عموماً يجري إنتاج بوليميرات PA بتفاعل بلمرة بالتكاثف مع إزالة الماء لمونومير ثنائي الأمين ومونومير حمض ثنائي الكربوكسيليك.



الشكل (12-2): ثنائيات الأمين المستعملة في بوليميرات بولي(فتال أميد)



الشكل (12-3): مركبات اللاكتام المستعملة في بوليميرات بولي(فتال أميد)

### 1.2.12. الطريق التقليدي

تستعمل التقانات التقليديّة للبلمرة بالتكاثف لبوليميرات PA محلولاً مائياً للمكونات. وتتحرّق البلمرة عن طريق الإزالة التدريجيّة للماء من المزيج تحت ضغوط عالية، ومع الزيادة التدريجيّة لدرجة حرارة وسط التفاعل. بهذه الطريقة تجري إزالة معظم الماء، وتتجاوز درجة حرارة وسط التفاعل نقطة انصهار بوليمير PA. يجري اختيار موسطات السيرورة من درجة حرارة وضغط بحيث لا يحدث انفصال في الطور ضمن المزيج

المتفاعل. في المراحل الأخيرة من البلمرة تجري إزالة الماء بالخفض التدريجي للضغط مع رفع تدريجي لدرجة الحرارة<sup>19</sup>. ويمكن في المرحلة الأخيرة من البلمرة بالتكاثف أن تحدث تفاعلات تفكك تؤدي إلى خفض نوعية المنتج النهائي.

وعلى الخصوص يمكن لتقنية بلمرة أن تجري كما يلي : يُغذى المُفاعل بمحلول مائي من سداسي ميثيلين ثنائي الأمين، ويُضاف إلى هذا المحلول كل من حمض الأديبيك وحمض الإيزوفتاليك وحمض الترفتاليك، وبحيث يكون الأمين بفائض مولي ضئيل حوالي 5-10 في المئة. ثم يضاف 2 في المئة من حمض البنزويك بصفته عامل تغطية النهائية. أثناء إضافة الأحماض ترتفع درجة الحرارة إلى حوالي 70°C وذلك بسبب تفاعل التعديل. وأخيراً يُضاف هيبوفوسفيت التوتياء بصفته مُحفِّزاً. يجري بعد ذلك إحكام إغلاق المُفاعل، وتطهيره من الهواء بالآزوت، مع إبقاء فائض بسيط من ضغط الآزوت فيه. ثم يُسخن المُفاعل إلى حوالي 120°C ويبقى عند درجة الحرارة هذه. بعد الانتهاء، تُسخن المواد تسخيناً إضافياً وتُجفّف تحت الخلاء في درجات حرارة مرتفعة.

هناك تقنيات للإنتاج نصف المستمر مؤسّسة على هذه الطريقة، يجري فيها استعمال مُفاعلين على التوازي لتأمين تغذية مستمرة من المحلول الملحي لإجرائية المصب، وذلك عن طريق التناوب بين المُفاعلين<sup>9</sup>. يُسمّى البوليمير الذي نحصل عليه باستعمال السيرورة المشار إليها باسم PA 6T/6I/6A. مقارنةً ببوليمرات PA الأليفاتية يكون التحكم بالتفاعلات الجانبية في حالة PPA أكثر صعوبة. تتألف التفاعلات الجانبية في حالة HMD من تكوّن الأمونيا، والتكاثف الذاتي.

### 2.2.12. السيرورة الآنية أو سيرورة المعلقات الهوائية

سيرورة المعلقات الهوائية هي طريقة أخرى للبلمرة، حيث تجري المرحلة الأخيرة من البلمرة بالتكاثف عند درجة حرارة في المجال 275-330°C تحت الضغط. وبعد الوصول إلى التوازن، يُمرّر المزيج المضغوط عبر فوهة فيتكوّن معلق هوائي. شروط التدفق المضطربة ضرورية منعاً من حدوث توضع على جدران المُفاعل. يُطلق على المُفاعل اسم المُفاعل الأنوبيومي الموضي، تُسخن جدرانه حتى 370-4300°C. أثناء الوميض يتبخّر الماء المتبقي بسرعة من على سطح المعلق الهوائي<sup>20,12</sup>. لا يبلغ المزيج

المتفاعل أبدأً درجة حرارة الجدران بل تبقى درجة حرارته حول  $275^{\circ}\text{C}$ – $320$ . بعد المرور في المفاعل الومضي، يوجّه المزيج إلى مفاعل نهائي هو عبارة عن بانق ثنائي اللولب.

### 3.2.12. السيرورات على دفعات

للتوثق من إنتاج PA بنوعيّة منتظمة ومستقرّة، فإنّه من المهمّ المحافظة على التوازن المولي السابق الضبط وعلى شروط البلمرة السابقة التثبيت أيضاً. تُستعمل عدّة طرائق للمحافظة على القيم المُستهدفة من التوازن المولي، وزمن البلمرة ودرجة حرارتها وضغطها، وغير ذلك من المتوسطات. ويُعتبر التوازن المولي مُعاملَ سيرورة مهماً أهميّة خاصّة، ويجب ضبطه.

في طرائق البلمرة على دفعات يمكن لثنائي الأمين أن يتسرّب خارج منظومة التفاعل، ويمكن للكميّة المتسرّبة أن تتغيّر من دفعة إلى أخرى، بطريقة يصعب التنبؤ بها. لذلك يجب ضبط التوازن المولي سريعاً وباستمرار. هناك عدّة طرائق للتحكّم بالتوازن المولي، وتشمل<sup>21</sup>:

- مُعايرة التعديل لتعيين تركيز زمر الكربوكسيل وزمر الأمينو النهائيّة،
- قياس اللزوجة في الزمن الحقيقي،
- ومطيافية الأشعّة تحت الحمراء في الزمن الحقيقي.

في تحليل المعايرة يجب سحب عيّنة من المُفاعل، وتصلبها ثمّ حلّها في مذيب نوعي وإخضاعها لمعايرة تعديل. تتطلّب هذه الإجراءيّة وقتاً طويلاً. يقرن قياس اللزوجة مقدار لزوجة الصهارة بدرجة البلمرة. إلا أن هذه الطريقة ليست حسّاسة مباشرة للتوازن المولي. أمّا مطيافية الأشعّة تحت الحمراء فهي مُناسبة للتحليل اللا إتلافي وفي الزمن الحقيقي. إضافة إلى ذلك فقد جرى ذكر طرائق إنتاج لبوليميرات بولي (إستر) جرى فيها قياس خواص البوليمير باستعمال مطيافية الأشعّة تحت الحمراء. يجري ضبط شروط التفاعل تبعاً للقيم التي يجري قياسها. بدلاً من TPA يمكن استعمال مونومير ثنائي ميثيل تريفنالات<sup>5</sup>.

## 4.2.12. الطرق المستمرة

لقد جرى وصف سيرورات للبلمرة المستمرة لبوليميرات PA، مثلاً في مُفاعلٍ مَلْفٍ<sup>22</sup>، أو في مُفاعلٍ ومضي<sup>19</sup>. التسخين السريع، والإقامة القصيرة الأمد في مرحلة درجات الحرارة العالية تحسّنان خواص البوليميرات. تجري إحدى السيرورات كما يلي<sup>19</sup>:

1. يجري تغذية وحدة ما قبل البلمرة تغذية مستمرة بمزيج مائي من ثنائيات الحمض وثنائيات الأمين. تتكوّن في المزيج أوليغوميرات درجة بلمرتها حوالى 4-10 تحت درجة حرارة وضغط مرتفعين.

2. يُضخّ المزيج باستمرار في مُفاعل أنبوبي مُسخّن، الومّاض. الوظيفة الأساسية للومّاض هي تسخين المزيج التفاعلي تحت الضغط.

3. الإناء الأخير في نظام البلمرة، هو إناء اللمسة الأخيرة حيث ينفصل تيارا البخار والسائل المنفلتين من الومّاض، ويُجمع التيّار السائل في حوض الصهارة داخل الإناء.

إحدى ميّزات هذه الإجرائيّة هو قصر الزمن الذي يتعرّض فيه المزيج البوليميري لدرجات حرارة مرتفعة، الذي هو نموذجياً حوالى 15 دقيقة، وذلك عن طريق أمثلة الانتقال الحراري في المراحل اللاحقة من السيرورة.

## 5.2.12. التكاثف في السطح البينيّ

تبدأ طريقة التكاثف في السطح البينيّ بحلّ المونوميرات بمذيبات غير قابلة للامتزاج المتبادل. بدلاً من الأحماض تُستعمل كلوريدات الأحماض التي يجري حلّها في رباعي كلوريد الكربون. وتُحضّر المركّبة الأمينيّة في محلول مائي، ويزاد pH المحلول بإضافة KOH. يُعدّل KOH حمض كلور الماء HCl الذي ينتج أثناء التكاثف. يُمزج المحلولان بواسطة خلّاط، ويتم التفاعل في زمن قدره عدّة دقائق<sup>15</sup>. لقد جرى استعمال التكاثف في السطح البينيّ لتحضير مواد PPA لامتبلّرة.

لقد جرى تطبيق تعديل على طريقة التكاثف في السطح البينيّ على مثال بوليميرات PA تامّة العطريّة، ولكن جرى الادعاء أنّ هذه السيرورة تعمل أيضاً في حالة بوليميرات

PA العطرية جزئياً<sup>23</sup>. تجري السيرورة باستمرار. في مرحلة التفاعل الأولى، تتفاعل مركبات ثنائي الأمين مع مركبات كلوريد ثنائي الحمض في مذيب عضوي، مثل رباعي هيدروفوران بدون إزالة حمض كلور الماء من منظومة التفاعل، وهذا ما يتيح تكوّن ما قبل بوليميرات منخفضة الوزن الجزيئي. في المرحلة الثانية، يوضع المحلول العضوي لما قبل البوليمير على تماس مع محلول مائي لمتقبل حمضي مثل كربونات الصوديوم. يتفاعل المتقبل الحمضي مع حمض كلور الماء ويُسبب تفاعل تكاثف إضافي لما قبل البوليمير في المذيب العضوي. تُنتج هذه السيرورة بفعالية مركبات بولي أميد ذات درجات عالية من البلورة وبمعدل بلورة مرتفع أيضاً. مقارنةً بطريقة التكاثف في السطح البيني التقليديّة، يمكن بهذه الطريقة التحكم بالوزن الجزيئي للمنتج النهائي بسهولة أكبر.

### 6.2.12. طريق إعادة تدوير الإستر

يمكن استعمال الإسترات الناتجة من تفكك بولي (ترفتالات الإيثيلين) (PET) بصفقتها مواد أولية لبوليميرات PPA<sup>24</sup>. يمكن إجراء بلورة بالتكاثف لبوليمير PPA بعد تفكك البوليمير المستعمل. يمكن تحويل زمر الإستر تحويلاً كاملاً تقريباً إلى زمر أميد. ويمكن بعد إزالة الكحولات والديولات المتحررة، معالجة المواد بالطرائق التقليديّة.

وتحديداً، يُضاف حمض البنزويك بصفته موقفاً للسلسلة إلى مزيج من نواتج إعادة تدوير قوارير PET و PA 6. ويضاف ثنائي فوسفات الصوديوم كمضاد أكسدة. يُصهر المزيج تحت غاز حامل، ويضاف إلى الصهارة HMD. بعد تفريغ المزيج والتبريد، يُزال الإيثيلين غليكول الذي تحرر أثناء الأميّة التبادليّة (Transamidation) في فرن تجفيف تحت الخلاء لمدة أربع ساعات تحت درجة حرارة  $180^{\circ}\text{C}$ . يجري الحصول على CO-بولي (أميد) عطري جزئياً، له نقطة انصهار عند  $255^{\circ}\text{C}$ ، ودرجة حرارة تحول زجاجي قدرها  $83^{\circ}\text{C}$ . لقد جرى وصف عدّة تنويعات على هذه الإجراءيّة<sup>24</sup>.

### 7.2.12. التفاعلات الجانبية

يمكن أثناء عمليّة البلورة بالتكاثف أن تحدث تفاعلات جانبية متنوّعة. تمتلك بوليميرات الأמיד المشتركة العطرية جزئياً والمحصّرة بالسيرورات التقليديّة محتوى من ثلاثي الأمين يزيد على 0.5 في المئة. يودّي هذا إلى تدهور نوعيّة المُنتج،

وإلى مشاكل في تحضيره بطرائق مستمرة. فمثلاً يتكوّن ثنائي سداسي ميثيلين ثلاثي الأمين من HMD المُستعمل في التحضير<sup>25</sup>. تمتلك بوليميرات الأמיד المشتركة العطرية جزئياً ذات المحتوى المنخفض من ثلاثي الأمين لزوجة المحلول نفسها، ولكن لزوجات صهارة أخفض عند مقارنتها ببوليميرات الأמיד المشتركة العطرية جزئياً ذات المحتوى الأعلى من ثلاثي الأمين. تسهل معالجة البوليمير وتحسن خواص المنتج كثيراً بانخفاض محتوى ثلاثي الأمين. يمكن حذف ديمرة ثنائي الأمين باستعمال طرائق خاصّة للبلورة<sup>25</sup>. إنّ أزمنة الإقامة القصيرة في مرحلة درجة الحرارة المرتفعة من سيرورة البلورة بالتكاثف تؤدي إلى كبح تكوّن ثلاثيات الأمين<sup>26</sup>.

يصعب تحضير بوليميرات PA مع 2-ميثيل خماسي ميثيلين ثنائي أمين بطرائق تكاثف الصهارة التقليديّة. وتحديدًا يمكن لـ 2-ميثيل خماسي ميثيلين ثنائي أمين أن يتحلّق إلى ميثيل بيبيريدين مُحَرَّراً الأمونيا. وهكذا تُفقد زمرة أמיד كامنة، ويُصبح المركّب وحيد الوظيفة ويعمل كموقف لسلسلة<sup>6</sup>.

### 8.2.12. المزائج والبوليميرات المشتركة

يُبدى بولي (سداسي ميثيلين ثنائي الأمين حمض ترفتاليك) نقطة انصهار عند  $360^{\circ}\text{C}$ . ولا تمكن معالجته أو تشكيله عند الصهارة بهذه الصفة من دون تفكيكه تفكيكاً ملموساً<sup>27</sup>. لهذا السبب، تُصنع بوليميرات مشتركة، تُستبدل فيها جزئياً مركّبات أليفاتيّة بالمركّب العطري.

#### 1.8.2.12. مزائج مع بولي (بروبيلين)

تتحسّن راتنجات بولي (بروبيلين) (PP) من جهة خواصها الميكانيكيّة وجساءتها بدون نقص في إمكان تشغيلها حرارياً عند مزجها مع راتنجات PPA وكميّة ضئيلة من عامل توافق<sup>28</sup>. تُبدى عموماً المزائج من PP و PP المحمّل بوظائف من PPA بنسبة وزنيّة 1:3-3:1 خواص صدم ممتازة<sup>29</sup>. وبالمثل، فإن التركيبات المملوءة، بما في ذلك تركيبات PP المملوءة بالزجاج، تتحسّن عند مزجها بالأسلوب نفسه.

إنّ طوري البوليمير غير متوافقين بوجه عام. لهذا السبب يجب إضافة عامل توافق إلى المزائج بهدف تحقيق انتشار جيّد وإرساء متبادل للطورين البوليميريّين. عوامل التوافق

المناسبة هي بوليميرات بولي (أوليفين) المعالجة بالكربوكسيل أو المطعّمة بالأنهيدريد. عوامل التوافق هذه متوفرة تجارياً بوجه عام. مثل Exxelor® و Polybond® و Admer® و Hostamont® و Orevac® و Epolene® و Hostaprime®<sup>16</sup>.

### 2.8.2.12. مزائج مع بولي (أريلين إيثر)

يؤدي جمع راتنجات بولي (أريلين إيثر) (PAE) مع PA في مزائج متوافقة إلى تحسين إجمالي للخواص، مثل المقاومة الكيميائية، والمقاومة الميكانيكية العالية. ويمكن تحسين خواص هذه المزائج تحسيناً إضافياً بإضافة إضافات متنوّعة، مثل مُعدّلات الصدم، ومبطنات اللهب، المثبتات الضوئية، ومثبتات التشغيل، ومثبتات الحرارة، ومضادات الأكسدة، والمالنات<sup>30</sup>.

تعتبر هذه المزائج جذابة في العديد من سلع الاستعمال النهائي في سوق صناعة السيارات، وخصوصاً للقطع تحت غطاء المحرك وللقطع الخارجية. تمتلك بعض هذه التطبيقات، الوصلات مثلاً، جدراناً ذات مقاطع رقيقة جداً، لذلك يتطلب تصنيعها راتنجات ذات لزوجة منخفضة جداً ليجري ملء القوالب ملئاً كاملاً. يمكن تحسين تدفق الصهارة بالمزج مع راتنج بوليستر شجري التشعب. إنّ ضمّ حوالي 0.5 في المئة فقط من راتنج بوليستر شجري التشعب أمرٌ كافٍ لزيادة تدفق الصهارة بنسبة 100 في المئة<sup>30</sup>.

إنّ حمض الليمون، وحمض الفوماريك، وأنهيدريد المالبك هي عوامل التوافق لمزائج PAE وراتنجات PA العطرية جزئياً<sup>31</sup>. يتحقّق التوافق في باثق ثنائي اللولب عن طريق مزج الصهارة.

### 3.8.2.12. مزائج بولي (أميد)-بولي (أميد)

تُبدى مركّبات PA التي تستعمل فقط البولي أميد البلّوري بصفته حاضنة بوليميرية، مقاومة لحام غير كافية بسبب تبلّرها عند إخضاعها للحام. يمكن تحسين مقاومة اللحام بالنسبة إلى طرائق لحام متنوّعة بإضافة كمّيات صغيرة من بولي أميد عطري جزئياً لا متبلّر إلى أنواع PA البلّورية<sup>32,33</sup>.



ويمكن تحسين خواص المزيج أبعد من ذلك بإضافة مونومريونيت مُعدّل عضوياً لتكوين مواد نانوية مركّبة ذات سيليكات مُطبّقة<sup>34,35</sup>.

### 9.2.12. تقنيات التصنيع

يتطلّب تصنيع PPA في سلع مقولبة وبضائع ذات أشكال مبنوثة وصفائح، تشغيل الراتنجات عند درجات حرارة قريبة من درجة حرارة تفكّك الراتنج، مصحوبة بإجهاد قصّ قاس أثناء عمليات القولبة أو البثق<sup>36</sup>. ويخضع غزل الصهارة لإنتاج الألياف أو الخيوط الراتنجات لإجهاد قاس عبر تطبيق قصّ عالٍ عند درجات حرارة مرتفعة.

### 1.9.2.12. تشغيل الصهارة التفاعلي

بلمرة الصهارة التفاعلية. إنّ طريقة قولبة المواد المركّبة السائلة LCM طريقة متعارفة لتصنيع بوليميرات التصلّد الحراري. وبالمقابل جرى تطوير سيرورات قولبة مواد مركّبة سائلة تفاعلية متلدّنة حرارياً فقط لعدد قليل من البوليميرات الهندسية. جرى تطبيق هذه التقنية على أوليغوميرات PA 6T/6I ذات نقطة الانصهار المنخفضة<sup>37</sup>.

عند التسخين، تنصهر المادّة عند حوالي  $135^{\circ}\text{C}$ . يُلاحظ ترقّق قصّ عند لزوجة قدرها حوالي 102Pas. تستمرّ اللزوجة بالانخفاض مع التسخين اللاحق. ولكن عند  $180^{\circ}\text{C}$  يحدث تبلّر درجات حرارة عالية. وفي المجال  $220-290^{\circ}\text{C}$  تحدث البلمرة. تُشير النتائج إلى أنّ طريقة قولبة المواد المركّبة السائلة تمثّل تقنية تشغيل قابلة للتطبيق.

مزج الصهارة التفاعلية. يمكن تحضير بوليميرات مشتركة تعاقبية من أنواع PA ذات الوزن الجزيئي المرتفع أو البولي (إستر أميد) باستعمال تقنيات مزج الصهارة<sup>38</sup>. وتُستعمل مركّبات البيس لاكتام مثل ترفثالويل ببس لوروكابرولاكتام، وإيزوفثالويل ببس لوروكابرولاكتام أو مركّبات البيس كابرولاكتام الموافقة، بصفتها ممدّات للسلسلة.

تمتلك هذه المركّبات بعض النقاط السلبية مثل معدل التفاعل المنخفض نسبياً، مما يتطلّب زمن إقامة طويل نسبياً في البائق. ونتيجة ذلك يمكن أن تحدث تفاعلات جانبية غير مرغوبة، مثل التلون.

لقد وُجِدَ أنّ مركّب كربونيل بيس لاكتام أكثر تفاعليّة من مركّبات البيس لاكتام الأخرى المذكورة سابقاً<sup>38</sup>. يمكن الحصول على الكربونيل بيس لاكتام بتفاعل اللاكتام مع الفوسجين. والأفضل إضافة كربونيل البيس لاكتام إلى تيار مُنتَج البولي أميد أو البوليستر المصهور في عمليّة البلمرة وذلك عند خروجه من مُفاعل البلمرة.

### 3.12. الخواص

لقد جرى تطوير بوليميرات البولي (أميد) العطريّة جزئياً وبوليميرات البولي (أميد) المشتركة للاستعمال في تطبيقات درجات الحرارة المرتفعة. إنّ بوليميرات البولي (أميد) المشتركة البلوريّة منها ونصف البلوريّة التي تحتوي على وحدات ترفثاليك أليفاتيّة جزئياً بنسبة 40% مولياً على الأقل معروفة بوجه خاص بخواصها الحراريّة الجيدة، وبجودة أدائها في البيئات المتطلّبة<sup>36</sup>. تمتلك مركّبات PPA هذه نقاط انصهار مرتفعة نسبياً، حوالي  $290^{\circ}\text{C}$ . ومن جهة أخرى، فإنّ درجات حرارة تفكّك هذه المواد لا تتجاوز كثيراً نقاط انصهارها. لذلك فإنّ متطلّبات تشغيل الصهارة أكثر صرامة وتعقيداً من تلك التي توافق مركّبات PA ذات نقط الانصهار الأخفض مثل PA 66، الذي ينصهر عند  $260-265^{\circ}\text{C}$ <sup>9</sup>. يبيّن الجدول (4-12) خواص نوع خالص من PPA.

#### 1.3.12. الخواص الميكانيكيّة

إنّ مركّبات PPA عادة منخفضة اللبونة، كما ينعكس ذلك بوجه عام بالقيم المنخفضة للاستطالة عند الكسر، وبعدم وجود أي تمدّد ملموس في اختبار الشدّ<sup>29</sup>. يمكن تحسين اللبونة والجساءة بالمزج مع بوليميرات بولي (أوليفين).

#### 2.3.12. الخواص الحراريّة

لقد جرى تحريّ الاستقرار الحراري لبوليميرات PA في سلسلة من الأوراق البحثية من قبل لانسكا (Lánská). تؤثر طريقة التحضير في الاستقرار الحراري لبوليميرات PA<sup>40</sup>. تتعلّق التفاعلات الجانبية بدرجة الحرارة. ذلك لأن البوليميرات تحتوي على تراكيز مختلفة من بنى تُسرّع أو تبطّئ سيرورة الأكسدة الحراريّة. إلّا أنّه عند درجة حرارة بلمرة تحت  $250^{\circ}\text{C}$ ، لا يؤثّر زمن التفاعل في الأكسدة اللاحقة للبوليمير.

39a Amodel® AT-1002 HS الجدول (4-12): خواص

المقياس	الواحدة	القيمة	الخاصة
ISO 1183	g cm <sup>-3</sup>	1.13	الكتلة الحجمية
ASTM D955	cm/ cm	0.020	تقلص القالب، خطي - مع التدفق
ASTM D955	cm/ cm	0.021	تقلص القالب، خطي - عرضي
ASTM D570	%	0.5	امتصاص الماء، 24 ساعة
ASTM D638	MPa	2760	معامل الشد
ASTM D638	MPa	83.4	مقاومة الشد
	MPa	68.3	إجهاد الشد عند الكسر <sup>b</sup>
ASTM D638	%	5.0	استطالة الشد عند الخضوع
ASTM D638	%	11	استطالة الشد عند الكسر
ASTM D790	MPa	2210	معامل الانحناء
ASTM D790	MPa	103	مقاومة الانحناء
ASTM D732	MPa	64.1	مقاومة القص
ASTM D256	J m <sup>-1</sup>	128	صدمة أيزود المتلوم
ISO 180	kJ m <sup>-2</sup>	12.6	مقاومة صدمة أيزود المتلوم <sup>b</sup>
ASTM D256	J m <sup>-1</sup>	801	صدمة أيزود غير المتلوم
ISO 180	kJ m <sup>-2</sup>	177	مقاومة صدمة أيزود غير المتلوم <sup>b</sup>
ASTM D648	°C	163	DTUL 66psi، المعالج حرارياً
ASTM D257	Ω	8.0×10 <sup>13</sup>	الممانعة النوعية السطحية
ASTM D257	Ωcm	1.2×10 <sup>16</sup>	الممانعة النوعية الحجمية
ASTM D149	kV mm <sup>-1</sup>	16.1	مقاومة العزل الكهربائي
ASTM D150		3.3	ثابت العزل الكهربائي

Slovay Advanced Polymers<sup>a</sup>

23°C<sup>b</sup>

تتأثر الاستقرارية إزاء الأكسدة الحرارية متأثراً ملحوظاً بتركيز الزمر النهائية الكربوكسيلية والأساسية معاً<sup>41</sup>. تبدأ زمر الحمض الكربوكسيلي التفكك المتجانس لمركب 6-هيدروبيروكسي-6-هكسان لاكتام. فتتكون جذور الكوكسيل وجذور هيدروكسيل كجذور مرحلية وسطية. وأخيراً يتكون أحادي الأميد من حمض الأديبيك. وتتأكسد بالأسلوب نفسه

بوليميرات PA ذات زمر الكربوكسيليك النهائية. يزداد معدل الأكسدة بازدياد المحتوى من زمر الكربوكسيليك<sup>42</sup>.

يُلاحظ تألق كيميائي أثناء التفكك الحراري المؤكسد لبوليميرات PA التي جرى تثبيتها بمضادات أكسدة مثل الفينولات والأمينات العطرية الثانوية، وجذور النيتروكسي المعاقة<sup>43</sup>. يرجع هذا الأثر إلى تفاعلات تثبيط الأكسدة والإرجاع.

### 3.3.12. الخواص الكيميائية

يُظهر PPA مقاومة كيميائية جيدة. وجرت الإشارة على وجه الخصوص، إلى مقاومة عوامل نزع الكلس مثل حمض الأميدوسلفونيك وللزيوت الساخنة، ولحمض البطاريات، ولموانع الكواح<sup>44</sup>.

### 4.12. الإضافات الخاصة

الإضافات المعتادة للأنواع المستعملة في القولية هي المثبتات ومضادات الأكسدة، وعوامل مقاومة للهب، وعوامل مضادة للتفكك الحراري، والتفكك بالضوء فوق البنفسجي، والمزلقات، وعوامل تحرير القوالب، والملونات، والأصبغة، والملدنات. يُلخص الجدول (5-12) بعض هذه الإضافات.

### 1.4.12. المواد المألوفة

عند تكديس الألياف الزجاجية ضمن البولي أميد بمحتوى عالٍ، يمكن لعملية تغطية المنتج المقولب أن تصبح مشكلة. يُبدي الوولاستونيت (Wollastonite) خواصاً أفضل فيما يخص هذا الأمر<sup>46</sup>. الـ وولاستونيت هو فلزّ أبيض اللون مكون أساساً من ميتاسيليكات الكالسيوم. وهو يُستعمل استعمالاً شائعاً بصفته مادة مألوفة غير عضوية للبوليميرات المتلدنة حرارياً للقولية. تُعالج ألياف الـ وولاستونيت بالسيلان معالجة سطحية باستعمال  $\gamma$ -أمينوبروبيل ثلاثي إيثوكسي سيلان أو  $\gamma$ -غليسيديل بروبييل ميثوكسي سيلان.

الجدول (5-12): إضافات لأنواع القولية<sup>26</sup>

الإضافة	الاستعمال
فينولات معاقلة فراغياً	مضاد أكسدة
هاليدات نحاسية	مضاد أكسدة
مركّبات الـريزورسينول	مثبّت إزاء الأشعة فوق البنفسجية
مركّبات الساليسيلات	مثبّت إزاء الأشعة فوق البنفسجية
مركّبات البنزوتريازول	مثبّت إزاء الأشعة فوق البنفسجية
مركّبات البنزوفينون	مثبّت إزاء الأشعة فوق البنفسجية
كحول ستياريل	عامل تحرير القوالب
مشتقات حمض ستياريك	عامل تحرير القوالب
مركّبات N-ألكيل ستيار أميد	عامل تحرير القوالب
المطاطيات	مُعدّل صدم
ألياف زجاجية	مادّة مالئة ومقوية
وولاستونيت	مادّة مالئة ومقوية
بولي (ثنائي برومو ستيرين)	مبطئ لهب

#### 2.4.12. مضادات الأكسدة

ينبغي تشغيل بوليميرات PPA عند درجات حرارة أعلى من تلك التي توافق بوليميرات PA الأليفاتية. ويمكن أن تكون درجة حرارة التشغيل قريبة من درجة حرارة التفكك. لهذا السبب، لا بُدّ من التثبيت قبل إجراء عمليات قولبة مثل هذه المواد<sup>47,36</sup>. وأثناء عمليات قولبة مطوّلة تتكوّن مع الزمن توضعات تشكّل ترسّبات صلبة عسيرة. وعندما لا تتمكّن الغازات الحارّة ونواتج التفكك الثانوية من التحرّر، يحدث انضغاط كظوم في منطقة التغذية النهائية. ومن ثمّ ترتفع درجة حرارة القالب أبعد من ذلك، مما قد يُسبّب تكربن الراتنج واسوداده. وأخيراً يجب إيقاف عملية القولية، وينبغي تنظيف الجهاز. وفي أسوأ الحالات، قد تضطر إلى إعادة طلاء حجرة القولية أو غير ذلك من عمليات التجديد المكلفة، بسبب تكون الترسبات العسيرة.

تحتوي بوليميرات PPA على كسارة أليفاتية وكسارة عطرية في آن معاً، ويُتوقّع أن تكون المعارف الأساسية حول بوليميرات PA الأليفاتية البحتة صالحة في حالة بوليميرات

PA العطرية جزئياً. يُلخّص الجدول (6-12) مضادات الأكسدة، ونجد في الشكل (4-12) بنية 12 IRGAFOS®.

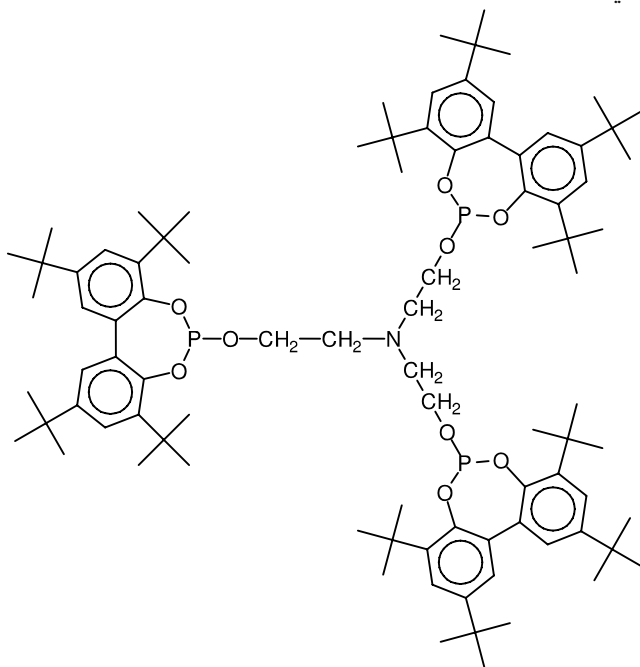
الجدول (6-12): مضادات الأكسدة في حالة بولي (فتال أميد)

المراجع	مضاد الأكسدة
	مضاد أكسدة فينولي
46	بنتا إيريثريتيل - تترakis [3-(5,3-ثنائي - تريت - بوتيل -4-هيدروكسي فينيل) بروبيونات ]
46	N,N'-سداسي ميثيلين بيس (3,5-ثنائي - تريت - بوتيل -4-هيدروكسي هيدروسين أميد)
	مضاد أكسدة فوسفوري مساعد
46	2-[10,8,4,2]-تترakis (1-ثنائي ميثيل إيثيل) ثنائي بنزو [f,d][2,3,1]ثنائي أوكسا فوسفيبين -6- إيل [أوكسي -N,N-بيس [2-[10,8,4,2]-تترakis (1-ثنائي ميثيل إيثيل) ثنائي بنزو [f,d][2,3,1]ثنائي أوكسا فوسفيبين -6- إيل [أوكسي - إيثيل ] إيثان أمين (IRGAFOS® 12)
	مضاد أكسدة كبريتي مساعد
46	2,2-ثيو ثنائي إيثيلين بيس [3-(5,3-ثنائي - تريت - بوتيل -4-هيدروكسي فينيل) بروبيونات ]
46	تترakis [ميثيلين -3-(دوديسيل ثيو) بروبيونات ]ميثان

في حالة بوليميرات PA الأليفاتية، يمكن تحقيق الاستقرار الحراري القصير الأمد الذي نحتاجه في معظم إجراءات التشغيل، بإحكام مضاد أكسدة فينولي مُعاق مثل ثنائي-تريت-بوتيل كريسول<sup>36</sup>. إن مضادات الأكسدة الأولية المؤسّسة على أمينات عطرية ثانوية هي مثبتات فعّالة لتفاعلات أكسدة PA 6. ويمكن زيادة الفعّالية أكثر من ذلك بالتجميع مع مضاد أكسدة فوسفيتي. وبالمقابل، فإنّ مضادات الأكسدة الأولية المؤسّسة على الفينول ليست فعّالة في أكسدة PA 6<sup>48</sup>.

من الواضح أنه في صهارة PA تمرّ الفينولات بتفاعلات، ونواتج التفاعل لا تكون قادرة على التفاعل مع جذر بيروكسي الأמיד. ومن ناحية أخرى، فإنّ مضادات الأكسدة من نوع المثبتات الضوئية ذات الأمين المُعاق توقف تفاعل أكسدة PA 6 بعد فترة تحريض.

أثناء فترة التحريض تجري أكسدتها إلى شكل N-أوكسيل الذي هو أساساً الشكل التفاعلي مع جذر بيروكسي الأמיד<sup>48</sup>.



الشكل (4-12): بنية IRGAFOS® 12

لقد جرى استعمال تشتتات من فتالات نحاسية صلبة ويوديد البوتاسيوم بمقدار 60 ppm نحاس لتثبيت PA 66 وبوليميرات مشتركة تحتوي على كِسْر HMD و IPA.

ولكن مركبات النحاس هي أيضاً عوامل إزالة الكربوكسيل من الأحماض العطرية. وإضافة مثل هذه المثبتات بهدف تثبيط أكسدة الجزء الأليفاتي من البولي أميد يمكن أن يُعزّز التفكك الحراري للجزء العطري من البوليمير. يمكن تحسين الاستقرار الحراري للجزء العطري عن طريق التحكم بالتوازن في الزمر النهائية بإدخال زمر تغطية النهايات لخفض عدد زمر الحمض والأمين النهائية عند استعمال مُثَبِّت حراري مؤكسد على قاعدة النحاس.

يمكن تحقيق تغطية النهايات بإدخال زمر أسيتاميد نهائية. فينخفض عدد زمر الحمض النهائية انخفاضاً مناسباً باستعمال فائض ستوكيومترية من ثنائي الأمين. يجري تثبيت

بوليميرات PA المُحسّنة لتحمل درجات الحرارة العالية، مثل بوليميرات PA العظريّة جزئياً، التي تحتوي كميات قليلة من زمر حمض كربوكسيليك النهائيّة، باستعمال عوامل تثبيت مثل يوديد النحاس أو بروميد النحاس بصفتها إضافات تثبيت حراري. تُبدي بوليميرات PA هذه استقراراً مُحسّناً إزاء الأكسدة الحرارية<sup>36</sup>. يبيّن الجدول (7-12) الاستقرار الحراري للبوليميرات المشتركة من فتال-أميد-كابرولاكتام مع كميات مختلفة من الزمر النهائيّة ومُثبت نحاسي. لقد جرت المحافظة على قيم اللزوجة الجوهرية والوزن الجزيئي ومقاومة الشد عند البدء للعينات متقاربة في سلسلة التجارب. جرى تحديد اللزوجة الجوهرية بحلّ العينات في مزيج فينول : رباعي كلورو إيثان بنسبة 40:60 عند درجات حرارة مرتفعة وبتركيز قدره 0.1g لكل 25ml، ثمّ قياس أزمنة الانسياب باستعمال مقياس لزوجة من نوع Cannon Ubbelohde عند درجة حرارة قدرها 30°C. ولقد اتفق بحث مستقلّ لاحق على أنه يمكن لمُثبت نحاسي أن يُحسّن فعلاً الاستقرار الطويل الأمد للتركيبة.

الجدول (8-12): الاستقرار الحراري للبوليميرات المشتركة من فتال-أميد-كابرولاكتام<sup>36</sup>

الزمن بالساعات لفقدان		مقاومة الشد	اللزوجة	الزمر النهائيّة		
50% في الشد		في البدء	الجوهرية	NH <sub>2</sub>	COOH	
210°C	220°C	k psi	dl g <sup>-1</sup>	μ eq g <sup>-1</sup>	μ eq g <sup>-1</sup>	Cu ppm
1125	960	30.8	0.89	46	56	250
1635	1120	30.9	0.89	62	34	196
1565	1340	30.7	0.92	71	18	246
2090	1570	29.6	0.84	100	2	231
1075	840	31.7	0.93	39	54	121
1265	935	32.4	0.94	60	20	113
1480	1175	30.0	0.92	67	22	127
1620	1330	31.2	0.90	98	0	110
800	685	29.5	0.89	60	46	2
935	735	28.9	0.89	65	40	1



إلا أن تكون نواتج ثانوية مسببة لانسداد فتحات القوالب يزداد أيضاً ازدياداً ملموساً، مما يؤدي إلى انسداد سريع للفتحات<sup>47</sup>. وفي الحقيقة، لا تُظهر التركيبات التي لا تحتوي على مُثَبِّتات نحاسية انسداداً سريعاً. ولمنع تكون النواتج الجانبية المسببة لانسداد الفتحات ينبغي إضافة فينولات مُعاقَة عالية الوزن الجزيئي وقليلة التطاير، مركّبات أريل أمين ثانوية إلى جانب المُثَبِّتات النحاسية. تُبدي هذه الصياغات، إضافة إلى الاستقرار الحراري، خواص قولبة بالحقن مُحسّنة.

### 3.4.12. مُعدّلات الصدم

لقد كان تعديل الصدم لبوليمرات PA الأليفاتية معروفاً منذ زمن بعيد. مُعدّلات الصدم في حالة PPA هي بوليميرات الأكريليك المكوّنة من الإيثيلين و n-بوتيل أكريلات وحمض الأكريليك وأنهيدريد الماليك. كما إنّ مطاطيات الإيثيلين بروبيلين المطعّمة وأنهيدريد الماليك تمثّل أنواعاً أُخرى من مُعدّلات الصدم<sup>26</sup>.

### 4.4.12. مُبطّئات اللهب

عندما يُستعمل بوليميرٌ من PA في تطبيقات تتطلّب خصائص انطفاء ذاتي وخواص تبطيء اللهب، يكون من الضروري اللجوء إلى إضافة مُبطّئٍ لهب. يمكن على نطاق واسع تكييف صياغات تبطيء اللهب المعروفة في مجال بوليميرات الهولي (إستر) للاستعمال في حالة بوليمرات PA. يمكن استعمال الهولي (ستيرين) المُبروم مجتمعاً مع مركّب أنتيمون مثل أنتيمونات الصوديوم<sup>45</sup>. يتحسّن الأداء عند إضافة كمّيات ضئيلة من أكسيد الكالسيوم. إنّ الاستقرار الحراري لهذه التركيبات أفضل بكثير مقارنة بالتشكيلات الحاوية أكسيد المغنزيوم أو أكسيد التوتياء.

تُعتبر تركيبات تبطيء اللهب مفيدة بوجه خاصّ في حالة التطبيقات الإلكترونية<sup>49</sup>. تمتلك المركّبات الهالوجينية سيّئة كونها تُحرّر عند تعرّضها للاحتراق منتجات تفكّك عالية السميّة ومسببةً شديدةً للتأكل مثل كلور الهيدروجين وبروم الهيدروجين. ولتجنّب المساوئ المقترنة بالمركّبات الهالوجينية، هناك توجّه نحو استعمال مبطنات لهب خالية من الهالوجينات. إنّ مبطنات اللهب الخالية من الهالوجين المستعملة في حالة PA العطري

جزئياً هي مركبات الهولي (فوسفونات) <sup>50</sup>. تُحافظ بوليميرات PA الشفافة على شفافيّتها. يجب إضافة الهولي (فوسفونات) بكميَّات حوالى 8-15 في المئة. يمكن دمج كسر أوكسيد ثلاثي أريل فوسفين مباشرة في السلسلة الرئيسيّة لبوليمير PA <sup>10</sup>. تحسّن الزمرة القطبيّة انحلاّليّة بوليميرات PA وتُعطيها خواص تبطيء اللهب.

## 5.12. تطبيقات

تجد بوليميرات PA العطريّة جزئياً قبولاً واسعاً للاستعمال في التطبيقات التي يمكن أن يصادف فيها درجات حرارة عالية، وبيئات قاسية. تشمل هذه التطبيقات وصلات <sup>45</sup> للتجهيزات الكهربائيّة أو الإلكترونيّة، وتطبيقات في صناعة السيارات، وطلاءات، وأدوات الطبخ، وأدوات العناية بالحدائق، وأدوات الطاقة، والتجهيزات الطبيّة. يتيح الاستقرار الحراري لبعض أنواع PPA سيرورات لحام تحت شروط خالية من الرصاص في التطبيقات الإلكترونيّة <sup>51</sup>.

### 1.5.12. الأنواع الشفافة

لقد جرى اقتراح قاعدة تجربيّة تتنبأ ما إذا كان بوليمير أميد مشترك متبلراً أو لامتبلراً. تعتمد هذه القاعدة على مساهمات البنى الفراغيّة الكيميائية للمونوميرات المكوّنة، في البنية الكلّيّة للسلسلة البوليميريّة <sup>52</sup>. فقد تبين أنّ بوليميرات PA ذات نقاط الانصهار المرتفعة تكون بلوريّة إذا كان ما نسبته أكثر من 80 في المئة من الوحدات المونوميريّة متناظراً. لذلك فإنّ انعدام التناظر يُحبذ البوليميرات اللامتبلرة.

يرتبط التبلر بالخواص البصريّة للبوليمير. وعموماً تكون بوليميرات PA البلوريّة غير شفافة. وإذا رغبتنا ببوليمير PA شفاف فينبغي أن يكون لامتبلراً وليس بلورياً. يمكن تحديد مدى التبلر بملاحظة نقطة انصهار البوليمير. يُستدلّ على الطبيعة اللامتبلرة بعدم وجود نقطة انصهار.

تمتلك بوليميرات PPA اللامتبلرة المؤسّسة على قاعدة IPA و HMD باستقرارٍ بُعدي منخفض عند درجات الحرارة العالية. وللتغلّب على هذه السيّئة جرى اقتراح إجراء استعاضة جزئية لـ HMD بمزيج إيزوميري من 2،2،4-ثلاثي ميثيل هكزا ميثيلين ثنائي

الأمين و 4،4،2- ثلاثي ميثيل هكزا ميثيلين ثنائي الأمين بالترتيب. إن بوليميرات PA المكوّنة من حمض الأديبيك و TPA و 4،4-ثنائي ميثيل-1،7-هيبتان ثنائي الأمين شفافة<sup>15</sup>.

إضافة إلى ما سبق فإنّ 2-ميثيل خماسي ميثيلين ثنائي الأمين و 2-إيثيل رباعي ميثيلين ثنائي الأمين و 3،3'-ثنائي ميثيل-4،4'-ثنائي أمينو ثنائي سيكلو هكسيل ميثان هي ثنائيات أمين لبوليميرات PA الشفافة. كما إنّ جمع MXDA و IPA يؤدي إلى أنواع شفافة.

يبين الجدول (8-12) درجات حرارة الانتقال الزجاجي لبعض بوليميرات PA العطرية جزئياً اللامتبلّرة. إنّ زيادة نسبة نيوبنتيل ثنائي الأمين (NPDA) في التركيبة البوليميرية تؤدي إلى زيادة درجة حرارة الانتقال الزجاجي. ولكن إذا استعمل فقط HMD بقية درجة حرارة الانتقال الزجاجي منخفضة.

الجدول (8-12): درجات حرارة الانتقال الزجاجي لبعض بوليميرات PA العطرية جزئياً<sup>15</sup>

التركيبة	$T_g$ [°C]
TPA/IPA(40/60)-HMD40/60	127
TPA/IPA(40/60)-NPDA/HMD(50/50)	147
IPA NPDA	184
TPA-NPDA	188
TPA/IPA(60/40)-NPDA	190
حمض نافثالين كربوكسيليك-NPDA	213

## 2.5.12. تركيبات للحام

عند إنتاج قطع مقولبة سميكة الجدران مفرّغة، أو قطع ذات أشكال فيها مقاطع سميكة الجدران وأخرى رقيققتها تجري قولبة هذه القطع في جزأين. في النهاية يجري وصل هذه القطع باللحام. بدلاً من ذلك يمكن وضع هاتين القطعتين في قالب آخر بحيث تواجهان بعضهما البعض على طول الخطّ الفاصل، ثمّ يُحقن راتنج مصهور على طرفي الوجهين المتقابلين لوصل الأجزاء. تسمّى هذه التقنية باسم القولبة بالإقحام، أو القولبة بالتداخل<sup>33</sup>. تشمل طرائق أخرى للحام ما يلي<sup>32</sup>:

1. اللحام بالحقن،

2. اللحم بالاهتزاز،
3. اللحم بالأمواج فوق السطحيّة،
4. اللحم الدوّامي،
5. اللحم بالصفحة الساخنة،
6. اللحم بالشعاع الحراري،
7. اللحم بالليزر،
8. اللحم بالتسخين بالتحريض عالي التواتر.

تُظهر بوليميرات PA التامة التبلّر مقاومة لحم غير مرضية. لذلك لا يمكن استعمال هذه المواد لقطع تتطلّب مقاومة لحم عالية. وبهدف تحسين مقاومة اللحم، ينبغي أن تحتوي التركيبات في آن معاً على بوليميرات PA عطريّة جزئياً متبلّرة ولا متبلّرة<sup>32,33</sup>.

تتحسّن مقاومة اللحم في طرائق اللحم المتنوّعة عن طريق إضافة كمّيّات صغيرة، حوالي 3 في المئة من PA عطريّ جزئياً لا متبلّر إلى أنواع PA المتبلّرة<sup>32</sup>. يمكن تشكيل التركيبة الراتنجيّة بخلط كريات الراتنج الموافقة، ومزج صهارتها في مرحلة الحصول على المنتج النهائي، أو بمزج الصهارة مزجاً مسبقاً في باثق وحيد المحور أو اثنائي المحور قبل إخضاعها للقولبة. يمكن استعمال التركيبة الراتنجيّة في القولبة بالبتق، أو القولبة بالحقن.

على سبيل المثال، يجري مسبقاً مزج 97 في المئة من PA 6 مع 3 في المئة من PA 6I/6T مزجاً منتظماً ويُعجن المزيج وتحضّر كريات من تركيبة PA الراتنجيّة. وقبل أي استعمال لاحق أو تفحص للخواص يجري تجفيف الكريات مدّة 24 ساعة تحت ضغط منخفض عند 110°C<sup>32</sup>.

### 3.5.12. السلع المطلية كهربائياً

تحتوي المركبات ذات المحركات عدداً محسوساً من القطع المطلية بالكروم إمّا لأغراض تزيينية أو لأغراض وظيفيّة. يتحسّن المظهر العام للعربة تحسناً ملموساً بسطوح الكروم العالية الانعكاسيّة هذه.

ولكن عناصر الزينة تؤدي أيضاً غرضاً وظيفياً في أنها تساعد في امتصاص الصدمات عند حدوث تصادم أو عند تلقّي العربة بعض الحجارة أو الأنقاض المتطايرة من الطريق. وبناءً عليه يجب أن يتحمل المعدن، المطلي على عنصر الزينة، الاصطدام بدون أن يتشظى أو ينكسر أو يتقشر.

تقليدياً كانت عناصر الزينة في السيارات تُصنع من المعادن، ولكن تُعتبر القطع المصنوعة من اللدائن المطلية بالمعدن بدائل مهمة من النواحي الاقتصادية، لأنها تخفف وزن المركبة، وتمتلك مرونة في التصميم أكثر من المعادن. كما يمكن تحقيق وفر محسوس عند تكوين القطع من اللدائن مقارنة بالقطع المعدنية.

هناك تنوع واسع من اللدائن المطلية المعروفة، مثل الأكريلو نيتريل-يوتاديين-ستيرين (ABS)، وبولي (كربونات) (PC). لقد جرى طلاء ABS للحصول على قطع تزيينية مثل محيط المصابيح الرأسية، وأنابيب المياه، والعتاد البحري. ولقد جرى استعمال PC بصفته الركيزة للمقايض المطلية لأبواب السيارات. تُعتبر راتجات PPA مهمة لتطبيقات درجات الحرارة العالية.

يمكن معدّنة القطع المكوّنة من راتجات PPA المملوءة بالفلزات باستعمال تقنيات الطلي الكهربائي واللاكهربائي<sup>53</sup>. تمكن معدّنة بعض تشكيلات PPA الخاصة بتقنيات الطلي اللاكهربائي المطوّرة للاستعمال مع راتجات ABS. تتألف هذه التقنيات مما يلي :

1. التخرّيش بمحلول حمض كروميّ-حمض الكبريت،
2. معالجة السطح المنمّش بمحلول مُعدّل،
3. محلول مُحفّز من محلول ملح معدنٍ نبيل،
4. محلول حمضي مُسرّع،
5. محلول طلاء لا كهربائي.

إلا أنه في حالة بوليميرات PPA يُلاحظ التصاق سيئ للمعدن. ومن الصعب جداً طلي راتجات PPA غير المملوءة المعدلة للصدم. ولقد جرى اقتراح طرائق متوّعة لتحسين الالتصاق بين الطلاء المعدني والركيزة اللدائنية، مثل التهيئة ما قبل التخرّيش<sup>54</sup>. ولكنّ هذه الطرائق ليست واعدة في حالة PPA.

الجدول (9-12): مقاومة التفتشير تبعاً لتركيز الكروم الثلاثي التكافؤ ودرجة حرارة الغسل<sup>53</sup>

مقاومة التفتشير \ [N]	تركيز الكروم ثلاثي التكافؤ \ [g l <sup>-1</sup> ]
0	27
0	32
19.7-9.8	45
53.4-35.6	52
مقاومة التفتشير \ [N]	درجة حرارة غسل التخريش \ [°C]
5.8	54
20.9	39
30.7	33

لقد جرى تطوير سيورورة للطلاء الكهربائي لراتنج PPA المعدل بمطاط مونومير الإيثيلين بروبيلين ديثن، ومطاط الإيثيلين-بروبيلين، ومطاط الستيرين-بوتاديين. ويُستعمل حمض الكروم بصفته محلول تخريش. ولكن وُجدَ أنّ تركيز  $Cr^{3+}$  مهمٌ جداً لنجاح هذه الطريقة<sup>53</sup>. يقع تركيز  $Cr^{3+}$  في المجال  $50-55 \text{ g l}^{-1}$ . تؤدي تراكيز منخفضة من  $Cr^{3+}$  إلى التصاق سيئٍ للطلاء المعدني النهائي، في حين يمكن أن تُسبب التراكيز المرتفعة من  $Cr^{3+}$  نفاخات في الطلاء المعدني. يبيّن الجدول (9-12) تأثير مستويات السيورورة على مقاومة التفتشير.

#### 4.5.12. لواصلق الصهارة الحارة

تُستعمل لواصلق الصهارة الحارة المؤسسة على قاعدة بوليميرات الأמיד المشتركة الأليفاتيّة في حقل صناعة النسيج. درجات حرارة الانصهار المرغوبة هي حوالي  $80-130^\circ\text{C}$ . يجري التحكّم بهذه الخواص من خلال التركيبة الخاصة للمونوميرات. يجري اصطناع بوليميرات الأמיד المشتركة الإحصائيّة المناسبة كواصلق صهارة ساخنة عن طريق البلمرة بالتكاثف مع حملة للمركبات المونوميريّة المنفردة.

يمكن الحصول على تمديد للزمن المفتوح (open time) عن طريق استعمال ثنائي أمين إضافي إلى جانب HMD. يمكن الحصول على منتجات ذات خواص لصق أطول

عمرًا عن طريق إقحام كميات صغيرة من البيبيرازين أو 2-ميثيل-1،5-ثنائي أمينو بنتان في البوليمير. ويبدو أنه إذا أضيف البيبيرازين كان المفعول أكثر قوة بقليل<sup>55</sup>.

الجدول (10-12): مقاومة تركيبات اللواصق الصهارة الحارة<sup>55</sup>

التغذية المونوميرية						% نسبة موليّة
30	25	27	30	30	40	كابرو لاكتام
40	50	40	50	40	40	لورولاكتام
10	—	3	—	—	20	حمض الأديبيك
10	—	11	—	15	—	حمض الأزيليك
10	19	10	—	15	—	حمض السيباسيك
—	—	—	20	—	—	ثنائي حمض دوديكان
—	6	9	—	—	—	حمض ترفتاليك
25	20	25	—	—	20	HMD
5	—	—	20	—	—	بيبيرازين
—	5	8	—	30	—	2-ميثيل بنتان ثنائي الأمين
1.37	1.36	1.34	1.41	1.38	1.35	<sup>a</sup> [dl g <sup>-1</sup> ] RV
104	100	79	113	109	121	نقطة الانصهار [°C]

<sup>a</sup> RV اللزوجة النسبية : 0.5 في المئة في m-كريزول

يبين الجدول (10-12) أمثلة على تركيبات اللواصق الصهارة الحارة ودرجات حرارة انصهارها الموافقة. يجب الحديث عن هذه المواد باسم بوليميرات PA العطرية جزئياً، ولكن مع محتوى منخفض من الوحدات العطرية. وحتى مع وجود مركبات من أحماض عطرية يمكن الحصول على تركيبات ذات درجات انصهار منخفضة. ولكن لا يمكن أن تزيد نسبة ثنائيات الحمض العطرية على نسبة موليّة قدرها 10 في المئة. ينتج من أي زيادة على هذه النسبة من المحتوى من الأحماض العطرية مواد ذات درجة انتقال زجاجي أعلى مرتفعة. لا يمكن لهذه المنتجات أن تتبلر بعد ذلك وتبقى تامّة اللاتبلر. إن هذه المواد بمعظمها غير مناسبة لتكون لواصل صهارة حارة، لأنها تُظهر مقاومة سيئة للغسيل وللتنظيف الجاف.

## 6.12. الموردون والعلامات التجارية

يبيّن الجدول (11-12) الموردين العلامات التجارية. ويبيّن الجدول (12-12) الأسماء التجارية الواردة في المراجع.

الجدول (11-12): أمثلة على بوليميرات بولي (فتال أميد) المتوفرة تجارياً

الاسم التجاري	المنتج
Amodel®	Slovay Advanced Polymers
Balpound™	Shikoku Chemicals Corp.
Grivory™	Ems-Grivory
Laramid®	Lati SpA
Zytel® HTN PPA	DuPont

## 7.12. الأمان

تُصنّف معظم ثنائيات الحمض المستعملة كمونوميرات كمواد مهيجة للعيون والجلد والجهاز التنفسي. إنّ ثنائيات الأمين أكثر سميّة من ثنائيات الحمض، وأكثر من ذلك فهي تسبب التآكل ويمكن أن تسبب حروق. عموماً، يجب ألا يكون هناك تماس، أثناء التصنيع، مع المونوميرات، ولا حتى عند استعمال التشغيل التفاعلي للأوليغوميرات. ولقد جرت الإشارة إلى مساحيق بعض أنواع PA على أنها مهيجة. ويجب أخذ نصيحة المصنّع بشأن أية معلومات إضافية.

في إحدى منشآت بلمرة PPA، سببت بعض الأجزاء غير المتفاعلة المتبقية في وعاء التفاعل بتكوّن ضغط مرتفع. وأثناء صيانة لاحقة تسرّبت الغازات بطريقة أشبه بالانفجار<sup>56</sup>.

## 8.12. الأثر البيئي وإعادة التدوير

يمكن استعمال الإسترات البوليميرية أو الأوليغوميرية أو المونوميرية من أحماض ثنائي الكربوكسيل العطرية، أيّاً كان مصدرها، حتى ولو كانت نفايات بوليسترية، بصفتها مواد أولية لتصنيع PPA<sup>24</sup>. تساهم الطريقة في حل مسألة إعادة التدوير المتعلقة ببوليميرات بولي (إستر) بوجه عام. لقد جرى وصف السيرة بالتفصيل في الفقرة 6.2.12.



الجدول (12-12): الأسماء التجارية الواردة في المراجع

المورد	الاسم التجاري الوصف
Mitsui Petrochemical Corp.	Admer® L2100 بولي (إيثيلين) مطعم بمقدار 0.1 في المئة أنهيدريد الماليك <sup>16</sup>
Mitsui Petrochemical Corp.	Admer® بولي (إيثيلين) أو بولي (بروبيلين) مطعم بأنيهيدريد الماليك، راتنجات لاصقة <sup>16</sup>
Amoco	Amodel® (Series) بولي (فتال أميد) (45,29,28)
Amoco	Amodel® 1000 بولي (فتال أميد) (36,9)
Amoco	Amodel® A 1000 تربوليمير سداسي ميثيلين ترفتالاميد إيزوفتالاميد أدبياميد <sup>29</sup>
Amoco	Amodel® AF 1113 بوليمير أميد مشترك عطري 4 6.T\6.I\6.6 <sup>49</sup>
Amoco	Amodel® AF 4133 بوليمير أميد مشترك عطري 6.T5 \6.6 <sup>49</sup>
Amoco	Amodel® X 4000 تربوليمير سداسي ميثيلين ترفتالاميد إيزوفتالاميد أدبياميد 35\65 <sup>9</sup>
Mitsui	Arlene® CH 230 56 PA 6.6/6.T 5
Mitsui	Arlene® بولي (فتال أميد) (45)
Akzo	Arnitel® بولي (إستر) مطاطي <sup>16</sup>
Union Carbide Corp.	Carbowax® (Series) بولي (غليكول أوكسيد إيثيلين) (PEG) <sup>14</sup>
Denki Kagaku Kogyo	Denka® SMI بوليمير مشترك ستيرين مالييد إيبيد <sup>49</sup>
Exxon	Exxelor® PO 1015 بولي (بروبيلين) مطعم بمقدار 0.3 في المئة أنهيدريد الماليك <sup>28,16</sup>
Exxon	Exxelor® VA 1801 مطاط إيثيلين بروبيلين مطعم بمقدار 0.6 في المئة أنهيدريد الماليك <sup>47,29,9</sup>

الجدول (12-12): الأسماء التجارية الواردة في المراجع

المورد	الاسم التجاري الوصف
Exxon	Exxelor® VA 1803
Ems	مطاط إيثيلين بروبيلين مطعم بمقدار 0.4% أنهيدريد المالبك <sup>26,16</sup> Grivory® HTV-4X2VO 49 6.6/6.T
Ems	Grivory® HTVS-3X2VO 49 6.6/6.T 7
DuPont	Hytrel® بولي (إستر) مطاطي <sup>16</sup>
Shell	Kraton®
BASF AG	بوليمير مشترك كتلي التعاقب ستيريني <sup>47,29,9</sup> Lucalen® A 3710 MX
BASF AG	بوليمير مشترك من LDPE و 7% حمض أكريليك <sup>16</sup> Lupolen® (Series) بولي (إيثيلين) <sup>16</sup>
Uniroyal Chemical Co.	Naugard® 445
BASF AG	444 ثنائي (α,α-ثنائي ميثيل - بنزيل) ثنائي فينيل أمين <sup>47</sup> Novolen® 1100
BASF AG	بولي (بروبيلين) إيزوتاكتي <sup>16</sup> Novolen® 2500 HX
BASF AG	بروبيلين\إيثيلين بوليمير مشترك كتلي التعاقب، 10% إيثيلين <sup>16</sup> Novolen® 3200 HX
Great Lakes Chemicals Corp.	بروبيلين\إيثيلين بوليمير مشترك كتلي التعاقب، 2.5% إيثيلين <sup>16</sup> PDBS® 80
Dow	بولي (ثنائي برومو ستيرين) <sup>49</sup> Primacor® 1410 XT
Ferro Corp.	إيثيلين حمض أكريليك، بوليمير مشترك مع 10% حمض أكريليك <sup>9</sup> Pyrocheck® 68 PB
Elf Atochem	بولي (ستيرين) مبروم <sup>49,45</sup> Rilsan® B MNO
DuPont	49 PA12 Selar® PA 3426 15 PA 6 T/I

الجدول (12-12): الأسماء التجارية الواردة في المراجع

المورد	الاسم التجاري الوصف
DSM	Stanyl® KS 200 PA 4.6 منخفض الوزن الجزيئي <sup>49</sup>
DSM	Stanyl® KS 300 PA 4.6 متوسط الوزن الجزيئي <sup>49</sup>
DuPont	Surlyn® راتنج أيونوميري <sup>9</sup>
Dynamit Nobel	Trogamid®T PA من حمض ترفتاليك و 4,2,2-ثلاثي ميثيل سداسي ميثيلين ثنائي أمين و 4,4,2-ثلاثي ميثيل سداسي ميثيلين ثنائي أمين <sup>15</sup>
Ashi Chemical Industry	Tuftec® (Series) بوليمير مشترك كتلي التعاقب ستيريوني <sup>31</sup>
Solvay	Udel® Polysulfone بولي (بيسفينول A سلفون) <sup>54</sup>
BASF AG	Ultramid® (Series) بولي (أميد) <sup>26,25</sup>
Victrex PLC	Victrex® PES (Series) بولي (آريل إيثر سلفون) <sup>49</sup>
DuPont	Zytel® بولي (أميد) <sup>9</sup>

## المراجع

1. Standard specification for polyphthalamide (PPA) injection molding materials. ASTM Standard ASTM D5336-03, ASTM International, West Conshohocken, PA, 2003.
2. P. Schlack. Verfahren zur Herstellung hochpolymerer linearer Polyamide. DE Patent 929 151, assigned to Hoechst AG, 20 June 1955.
3. J. Preston. "Polyamides, Aromatic." In: H. F. Mark, N. Bikales, C. G. Overberger, and G. Menges, eds. *Encyclopedia of Polymer Science and Engineering*. 2<sup>nd</sup> ed. New York: Wiley Interscience, 1988. vol. 11, pp. 381-409.

4. H. Reimann, G. Pipper, H.-P. Weiss, C. Plachetta, and E. M. Koch. Partly aromatic copolyamides of reduced triamine content. US Patent 5 298 595, assigned to BASF Aktiengesellschaft (Ludwigshafen, DE), 29 March 1994.
5. G. Bier, F. Blaschke, H. aus der Funten, and G. Schade. Transparent polyamides. US Patent 4 111 921, assigned to Dynamit Nobel Aktiengesellschaft (Troisdorf, DE), 5 September 1978.
6. G. Schade, N. Vollkommer, and H. Wemheuer. Method of preparing modified or unmodified poly-(alkylpentamethyleneterephthalamide). US Patent 4 163 101, assigned to Dynamit Nobel Aktiengesellschaft (Cologne, DE), 31 July 1979.
7. K. Amakawa and T. Shitara. Process for production of xylylenediamine and/or cyanobenzylamine. US Patent 7 119 230, assigned to Mitsubishi Gas Chemical Co., Inc. (Tokyo, JP), 10 October 2006.
8. J. D. Matlack, J. G. Villanueva, B. A. Newman, L. D. Lillwitz, M. L. Luetkens, Jr., and G. E. Schmidt. Polyamide having improved gas barrier properties from adipic acid, isophthalic acid and *m*-xylylene diamine. US Patent 5 175 238, assigned to Amoco Corporation (Chicago, IL), 29 December 1992.
9. R. A. Montag, G. A. Corbin, and D. W. Garrett. Polyphthalamide composition. US Patent 6 306 951, assigned to BP Corporation North America Inc. (Chicago, IL), 23 October 2001.
10. Y. Zhang, J. C. Tebby, and J. W. Wheeler. "Polyamides incorporating phosphine oxide groups: IV. Aromatic-aliphatic polymers." *European Polymer Journal*: vol. 35, no. 2, February 1999, pp. 209–214.
11. M. Kosaka, Y. Muranaka, and K. Wakatsuru. Process for preparing aromatic polyamides. US Patent 6 133 406, assigned to Mitsui Chemicals, Inc. (Tokyo, JP), 17 October 2000.
12. J. A. Richardson, W. Poppe, B. A. Bolton, and E. E. Paschke. Polycondensation process with mean dispersion residence time. US Patent 4 831 108, assigned to Amoco Corporation (Chicago, IL), 16 May 1989.
13. W. Poppe, Y.-T. Chen, and E. E. Paschke. Crystalline copolyamide from terephthalic acid, isophthalic acid and C6. US Patent 4 617 342, assigned to Amoco Corporation (Chicago, IL), 14 October 1986.
14. H. Ng. Partially aromatic polyamides and a process for making them. US Patent 6 355 769, assigned to DuPont Canada, Inc. (Mississauga, CA), 12 March 2002.
15. E. E. Paschke, W. Poppe, and D. P. Sinclair. Amorphous polyamide from neopentyl diamine. US Patent 5 081 223, assigned to Amoco Corporation (Chicago, IL), 14 January 1992.
16. A. Gottschalk, H. Fisch, G. Pipper, and M. Weber. Polyamide/polyolefin blends. US Patent 5 883 186, assigned to BASF Aktiengesellschaft (Ludwigshafen, DE), 16 March 1999.

17. U. Presenz, S. Schmid, R. Hartmann, and H. R. Luck. Method for producing a polyamide compound. US Patent 6 881 477, assigned to EMS-Chemie AG (Domat/Ems, CH), 19 April 2005.
18. Y.-T. Chen. Composition comprising crystallizable polyamide from terephthalic acid, adipic acid, aliphatic diamine and *m*-xylylene diamine. US Patent 5 194 577, assigned to Amoco Corporation (Chicago, IL), 16 March 1993.
19. J. Willis-Papi and T. Mutel. Single-phase or multi-phase continuous polyamide polymerization processes. US Patent 6 759 505, assigned to E. I. du Pont de Nemours and Company (Wilmington, DE), 6 July 2004.
20. J. A. Richardson, W. Poppe, B. A. Bolton, and E. E. Paschke. Polycondensation process with aerosol mist of aqueous solution of reactant salts. US Patent 4 603 193, assigned to Amoco Corporation (Chicago, IL), 29 July 1986.
21. K. Tanaka, H. Kurose, T. Shida, and M. Kikuchi. Production method of polyamide. US Patent 7 138 482, assigned to Mitsubishi Gas Chemical Company, Inc. (Tokyo, JP), 21 November 2006.
22. W. Nielinger, W. Alewelt, R. Binsack, L. Bottenbruch, and H.-J. Fullmann. Process for the preparation of copolyamide from adipic acid, terephthalic acid and hexamethylene diamine. US Patent 4 762 910, assigned to Bayer Aktiengesellschaft (Leverkusen, DE), 9 August 1988.
23. A. W. Etchells, III and F. K. Mallon. Continuous process for the production of polyamides. US Patent 7 009 028, assigned to E. I. du Pont de Nemours and Company (Wilmington, DE), 7 March 2006.
24. H. Wagner, J. Ensinger, and E. Krumpschmid. Method of producing partially aromatic copolyamides from aromatic dicarboxylic acid esters. US Patent 5 895 809, assigned to EMS-Polyloy GmbH (Gross-Umstadt, DE), 20 April 1999.
25. W. Goetz, C. Plachetta, U. Wolf, G. Blinne, and H. Reimann. Toughened partly aromatic copolyamides. US Patent 5 504 146, assigned to BASF Aktiengesellschaft (Ludwigshafen, DE), 2 April 1996.
26. H. Reimann, G. Pipper, H.-P. Weiss, C. Plachetta, E. M. Koch, G. Blinne, W. Goetz, and P. Steiert. Impact modifying rubber and partly aromatic copolyamides. US Patent 5 252 661, assigned to BASF Aktiengesellschaft (Ludwigshafen, DE), 12 October 1993.
27. R. G. Keske. "Polyphthalamides." In: J. C. Salamone, ed., *Concise Polymeric Materials Encyclopaedia*. Boca Raton, FL: CRC Press, 1999, pp. 1264-1265.
28. G. T. Brooks, B. L. Joss, and C. L. Myers. Polypropylene-polyphthalamide blends. US Patent 5 283 284, assigned to Amoco Corporation (Chicago, IL), 1 February 1994.
29. G. P. Desio, R. A. Montag, and G. A. Corbin. Polyphthalamide blends. US Patent 5 436 294, assigned to Amoco Corporation (Chicago, IL), 25 July 1995.
30. A. Adedeji. High flow compositions of compatibilized poly(arylene ether) polyamide blends. US Patent 6 794 450, assigned to General Electric Company (Pittsfield, MA), 21 September 2004.

31. M. D. Elkovitch, J. R. Fishburn, and S.-P. Ting. Poly (arylene ether)/polyamide composition. US Patent 7 182 886, assigned to General Electric Company (Schenectady, NY), 27 February 2007.
32. K. Nakamura and A. Miyamoto. Polyamide resin composition showing excellent weld strength. US Patent 6 541 559, assigned to UBE Industries, Ltd. (Ube), 1 April 2003.
33. M. Nozaki and T. Kuroe. Polyamide composition for welding. US Patent Application 2004 0 087 735, assigned to E. I. du Pont de Nemours and Company (Wilmington, DE), 6 May 2004.
34. L. Incarnato, P. Scarfato, G. M. Russo, L. Di Maio, P. Iannelli, and D. Acierno. "Preparation and characterization of new melt compounded copolyamide nanocomposites." *Polymer*: vol. 44, no. 16, July 2003, pp. 4625–4634.
35. L. Incarnato, P. Scarfato, L. Scatteia, and D. Acierno. "Rheological behavior of new melt compounded copolyamide nanocomposites." *Polymer*: vol. 45, no. 10, May 2004, pp. 3487–3496.
36. R. G. Keske. Partially aromatic polyamides having improved thermal stability. US Patent 5 962 628, assigned to BP Amoco Corporation (Chicago, IL), 5 October 1999.
37. N. Pini, C. Zaniboni, S. Busato, and P. Ermanni. "Perspectives for reactive molding of PPA as matrix for high-performance composite materials." *Journal of Thermoplastic Composite Materials*: vol. 19, 2006, pp. 207–216.
38. J. A. Loontjens, B. J. M. Plum, and P. M. M. Nossin. High-molecular polyamide. US Patent 6 750 316, assigned to DSM N.V. (Heerlen, NL), 15 June 2004.
39. IDES Integrated Design Engineering Systems. The Plastics Web®. IDES Inc. 209 Grand Avenue Laramie, WY 82070 USA [electronic] <<http://www.ides.com/prospector>>, 2006.
40. B. Lánská and J. Šebenda. "Thermo-oxidation of lactam polymers related to the conditions of their preparation by hydrolytic polymerization." *European Polymer Journal*: vol. 21, no. 10, 1985, pp. 891–894.
41. B. Lánská and J. Šebenda. "The effect of carboxylic and basic end-groups on the thermo-oxidation of hydrolytic polymers of lactams." *European Polymer Journal*: vol. 22, no. 3, 1986, pp. 199–202.
42. B. Lánská. "Thermo-oxidation of lactam-based polyamides with carboxylic end-groups: Decomposition of 6-hydroperoxy-6-hexanelactam in the presence of carboxylic acids." *European Polymer Journal*: vol. 30, no. 2, February 1994, pp. 197–204.
43. B. Lánská, L. Matisová-Rychlá, and J. Rychlý. "Chemiluminescence of polyamides III. Luminescence accompanying thermooxidation of lactam-based polyamides stabilized by antioxidants." *Polymer Degradation and Stability*: vol. 72, no. 2, May 2001, pp. 249–258.
44. R. Hagen. "Alternatives to high-performance plastics. Special properties of partially aromatic copolyamide." *Kunststoffe*: vol. 87, 1997, pp. 622–624 and 626.

45. M. G. Reichmann. Flame retardant high temperature polyphthalamides having improved thermal stability. US Patent 5 773 500, assigned to Amoco Corporation (Chicago, IL), 30 June 1998.
46. M. Nozaki, R. Koshida, T. Tasaka, and T. Ushida. Aromatic polyamide compositions for molding. US Patent 6 784 279, assigned to E. I. du Pont de Nemours and Company (Wilmington, DE), 31 August 2004.
47. J. M. Hurley and B. H. Bersted. Method for reducing mold deposit formation during moldings of polyamide and composition therefor. US Patent 6 518 341, assigned to Solvay Advanced Polymers, LLC (Alpharetta, GA), 11 February 2003.
48. B. Lánská. "Stabilization of polyamides-I: The efficiency of antioxidants in polyamide 6." *Polymer Degradation and Stability*: vol. 53, no. 1, 1996, pp. 89–98.
49. H. G. J. Havenith, W. J. M. Sour, J. Tijssen, and R. M. Leeuwendal. High-melting polyamide composition for electronic applications. US Patent 6 441 072, assigned to DSM N.V. (Heerlen, NL), 27 August 2002.
50. W. Nielinger, H. Kauth, and H.-J. Fuellmann. Flame-resistant polyamides. DE Patent 3 613 490, assigned to Bayer AG (DE), 29 October 1987.
51. K. J. Steffner. "Lead-free soldering. High-temperature polyamides." *Kunststoffe*: vol. 95, 2005, pp. 195–198.
52. J. G. Dolden. "Structure-property relationships in amorphous polyamides." *Polymer*: vol. 17, no. 10, October 1976, pp. 875–892.
53. R. J. Timmer. Method for electroplating elastomer-modified polyphthalamide articles. US Patent 5 928 727, assigned to Lacks Industries, Inc. (Grand Rapids, MI), 27 July 1999.
54. L. P. Donovan, E. Maguire, and L. A. Kadison. Pre-etch conditioning of polysulfone and other polymers for electroless plating. US Patent 4 125 649, assigned to Crown City Plating (El Monte, CA), 14 November 1978.
55. G. Poessnecker, J. Spindler, and E. Kinkelin. Low-melting copolyamide and their use as hot-melt adhesives. US Patent 6 590 063, assigned to EMS-Chemie AG (Domat/EMS, CH), 8 July 2003.
56. N. N. Thermal decomposition incident. Investigation Report 2001-03-I-GA; NTIS number PB2002-107365, U.S. Chemical Safety and Hazard Investigation Board, National Technical Information Service, 5285 Port Royal Road, Springfield, VA 22161, June 2002.

## مركبات الأراميد

الأراميد (Aramide) هي تسمية مختصرة يرجع أصلها إلى "بولي (أميد) عطري" من بوليميرات البولي (أميد) العطرية كلياً (PA) العطرية كلياً في الستينيات من القرن الماضي<sup>1-3</sup>. ولقد كان الهدف من ألياف الأراميد أن يستعاض بها عن أحزمة الفولاذ في إطارات السيارات. مركبات الأراميد مُستعرضة في الأدبيات<sup>4-7</sup>.

إلى جانب بوليميرات البولي (أميد) العطرية كلياً، يُطلق وصف العطرية على بوليميرات البولي (أميد) إذا كانت إحدى المركبات التي تكونها عطرية بطبيعتها<sup>8</sup>. تقع هذه الأنواع من بوليميرات البولي (أميد) العطرية جزئياً بين النايلون والأراميد. الفوائد الخاصة ببوليميرات البولي (أميد) العطرية هي في كونها تتمتع بتقنيات بلمرة وتصنيع أسهل. لذلك إذا كانت خواص بوليميرات PA العطرية جزئياً كافية لبعض التطبيقات الخاصة فيمكن استعمالها بدلاً من بوليميرات PA العطرية كلياً. نتعامل مع بوليميرات PA العطرية جزئياً تعاملًا هامشياً في هذا البحث، لقد جرى تلخيصها في بحث بولي (فتال أميد).

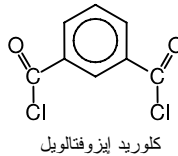
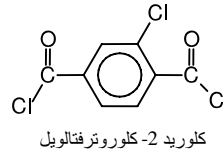
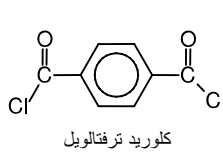
### 1.13. المونوميرات

يبين الجدول (1-13) المونوميرات في حالة بولي (أريل أميد). كما في حالة النايلون، تستعمل المونوميرات كتجميع لثنائيات الأمين وثنائيات الحمض، أو مشتقات من ثنائيات الحمض. يجري تفعيل زمر الحمض عند تحويلها إلى مركبات كلوريد الحمض. يبين الشكل (1-13) أكثر مركبات كلوريد ثنائي الحمض شيوعاً. ويبين الشكل (2-13) أكثر مركبات ثنائي الأمين شيوعاً.

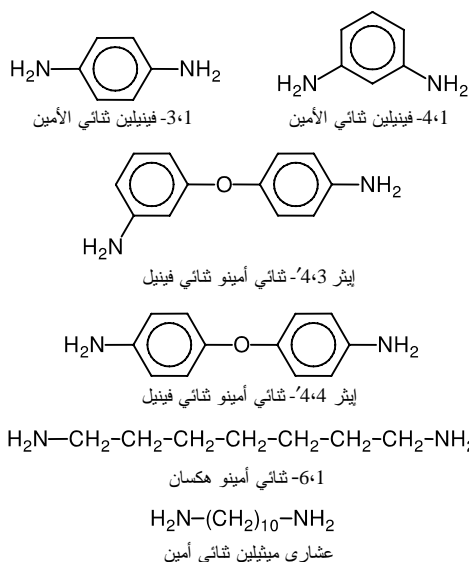


الجدول (1-13): مونوميرات في حالة بوليميرات بولي (أريل أميد )

ملاحظات	ثنائيات الأمين
Kevlar®, Twaron®	4-1-فينيلين ثنائي الأمين
Nomex®	3-1-فينيلين ثنائي الأمين
Technora®	إيثر 4'3-ثنائي أمينو ثنائي فينيل
أغشية <sup>9</sup>	إيثر 4'4-ثنائي أمينو ثنائي فينيل
ثنائيات الحمض	
Kevlar®, Twaron®	كلوريد ترفتالويل
	كلوريد إيزوفتالويل
أغشية <sup>9</sup>	كلوريد 2-كلورو ترفتالويل
10 قابل للانحلال بمذيب عضوي	4-1-بيس (4-كربوكسي فينو كسي) نفتالين
10 قابل للانحلال بمذيب عضوي	6-2-بيس (4-كربوكسي فينو كسي) نفتالين
11 قابل للانحلال بمذيب عضوي	5-أمينو -2-(4-أمينو فينو كسي) - بيريدين
أنماط AB <sub>2</sub>	
12 بوليميرات فائقة التشعب	حمض 3-2-بيس (4-أمينو فينيل) - كينوكزالين -6-كربوكسيليك
12 بوليميرات فائقة التشعب	حمض 3-2-بيس (4-أمينو فينيل أوكسي فينيل) - كينوكزالين -6-كربوكسيليك



الشكل (1-13): مركبات كلوريد ثنائي الحمض

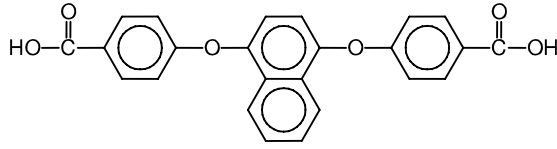


### الشكل (13-2): مركبات ثنائي الأمين

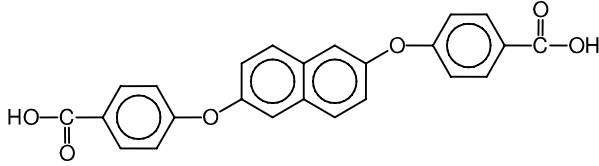
تقبل بوليميرات PA العطرية كلياً المؤسسة على 401-بيس (4-كربوكسي فينوكسي) نفتالين أو 602-بيس (4-كربوكسي فينوكسي) نفتالين وثنائيات الأمين العطرية الانحلال بيسر في تنوع من المذيبات العطرية مثل ثنائي ميثيل أسيتاميد و N-ميثيل-2-بيروليديون (NMP)<sup>13,10</sup>. يبين الشكل (13-3) مونوميرات ثنائي الحمض المؤسسة على النفتالين.

يمكن صبباً أغشية شفافة متينة وطبقة من محاليل هذه البوليميرات. يمثل 5-أمينو-2-(4-أمينو فينوكسي)-بيريدين نوعاً آخر من ثنائيات الأمين المستعملة في بوليميرات PA العطرية كلياً والقابلة للانحلال في مذيبات عضوية<sup>11</sup>. لا تتغير البنية الأساسية لبوليمير PA كثيراً. لاحظ أنّ 5-أمينو-2-(4-أمينو فينوكسي)-بيريدين يُشبه كثيراً إيثر 404-ثنائي أمينو ثنائي فينيل. من الواضح أنه يكفي إدخال بعض من عدم التناظر في الجزيئة لتحقيق قابلية الانحلال. وبوجه أساسي، تبقى الخواص الحرارية لمركبات الأراميد الناتجة بدون تغيير.

لقد جرت الإشارة إلى بوليميرات مؤسسة على أنواع AB<sub>2</sub> ليجري استعمالها إلى جانب بوليميرات البيس مالميميد، بهدف بدء الإنضاج<sup>11</sup>. يبين الشكل (13-4) المونوميرات في حالة بوليميرات بولي (أريل أميد) الفائقة التشعب.

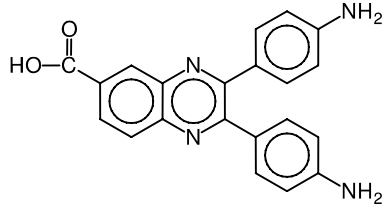


4+1-بيس (4-كربوكسي فينوكسي) نفتالين

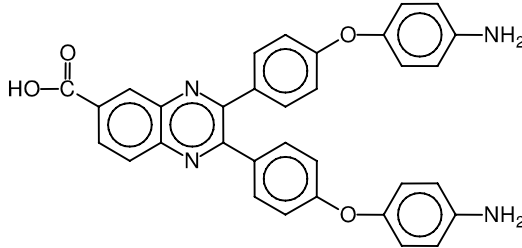


6+2-بيس (4-كربوكسي فينوكسي) نفتالين

الشكل (3-13): مونوميرات ثنائية الحمض على أساس النفثالين<sup>10</sup>



حمض 3+2-بيس (4-أمينو فينيل) -كينوكزالين -6-كربوكسيليك



حمض 3+2-بيس (4-أمينو فينيل أوكسي فينيل) -كينوكزالين -6-كربوكسيليك

الشكل (4-13): مونوميرات في حالة بولي(أريل أميد) الفائقة التشعب<sup>11</sup>

## 2.13. البلمرة والتصنيع

يجري تحضير البولي أميدات العطرية باتباع أحد طريقتين عامين رئيسيين<sup>12</sup>:

1. تفاعل بلمرة بالتكاثف عبر كلوريد ثنائي حمض عطري وثنائي أمين،

2. تفاعل بلمرة بالتكاثف لحمض ثنائي كربوكسيليك وثنائي أمين.

إضافة إلى ذلك فقد جرى اقتراح طرق أخرى، يبدو أنها نادرة الاستعمال.

في حالة الطريق الأول، تجري البلمرة عادة عند درجة حرارة تساوي  $0^{\circ}\text{C}$  أو أقل من ذلك تحت جو من غاز خامل. هذا ضروري بسبب الحساسية العالية للرطوبة التي تمتلكها مركبات كلوريد ثنائي الحمض العطري، والطبيعة الشديدة النشر للحرارة للتفاعل بين أمين وكلوريد حمض كربوكسيليك. وبهدف تحقيق وزن جزيئي مرتفع للبولي أميدات الناتجة، ينبغي تنقية مونوميرات كلوريد ثنائي الحمض قبل البلمرة.

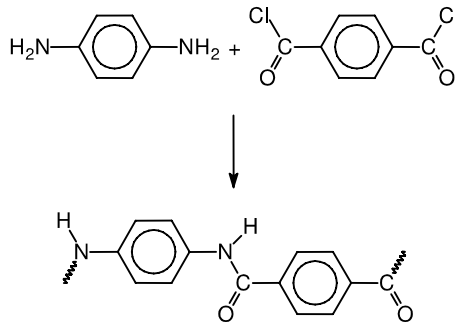
إنّ مونوميرات حمض ثنائي الكربوكسيليك المستعملة في الطريق الثاني أرخص ثمناً، مقارنة بمونوميرات كلوريد ثنائي الحمض. إنّها أقل حساسية للرطوبة، ومن السهل تنقيتها عبر إعادة التبلر. إلا أن تفاعل التكاثف يتقدم بوجه سيئ تحت شروط درجات الحرارة المحيطة. لذلك يُستعمل معزّز على أساس الفوسفور، مثل ثلاثي فينيل الفوسفيت، لتنشيط الزمرة الكربوكسيلية، ويجرى التفاعل تحت درجات حرارة مرتفعة.

### 1.2.13. طريق كلوريد الحمض

يجرى اصطناع كيفلار® Kevlar بتكاثف 4،1-فينيلين ثنائي الأمين وكلوريد ترفتالويل. يبيّن الشكل (13-5) هذا الاصطناع. يُستعمل NMP بصفته مذيباً، إلى جانب  $\text{CaCl}_2$  بصفته مركبة أيونية<sup>14</sup>. تجري السيرورة عند  $0^{\circ}\text{C}$ . وقبل اكتشاف فائدة  $\text{CaCl}_2$ ، جرى اقتراح استعمال مزيج من سداسي ميثيل فوسفور أميد و NMP<sup>15</sup>.

### 2.2.13. طريق الحمض

يُطلق على تحضير الأميدات عبر الحمض الحرّ وثنائي الأمين والمحفّزات أيضاً اسم تفاعل يامازاكي (Yamazaki)<sup>16</sup>. تُستعمل المركّبات المحتوية على الفوسفور العضوي، مثل ثلاثي فينيل فوسفيت، بصفحتها مُحفّزات. إضافة إلى مذيبات NMP بيريدين يجري حلُّ أملاح مثل  $\text{LiCl}$  و  $\text{CaCl}_2$  لتسهيل البلمرة.



الشكل (13-5): اصطناع الأميدات من ثنائيات الأمين وثنائيات الكلوريد

ينبغي إجراء التفاعل عند درجات حرارة مرتفعة بهدف الحصول على بوليميرات مرتفعة الوزن الجزيئي. يُعطي حمض الإيزوفتاليك بوليميرات ذات أوزان جزيئية أعلى إلى حدٍّ ما من حمض الترفتاليك. إلا أنه في بعض أنواع PA لا يجري الحصول إلا على منتجات ذات أوزان جزيئية منخفضة<sup>17</sup>. في الحقيقة يُستعمل الطريق الحمضي هذا لتحضير بعض الأنواع الخاصة من البولي أميدات.

### 3.2.13. طريق أول أوكسيد الكربون

كما جرت الإشارة إليه سابقاً، يجري تحضير بوليميرات البولي أميد العطرية تقليدياً بتكاثف كلوريدات ثنائي الحمض العطري وثنائيات الأمين العطرية في مذيبات قطبية لا بروتونية. وإحدى سيئات مثل هذه السيرورات هي أن تتوّع مركّبات البولي أميد العطرية محدود بالعدد الضئيل من مركّبات كلوريدات ثنائي الحمض المتوفرة تجارياً. إضافة إلى ذلك فإن كلوريدات ثنائي الحمض حساسة جداً للحلّمة.

لذلك جرى اقتراح سيرورة تستعمل أول أوكسيد الكربون، وثنائي كلوريد عطري، وثنائي أمين. ويُستعمل معقّد البالاديوم، كلوريد ببس (ثلاثي فينيل فوسفين) بالاديوم (II)، بصفته مُحفّزاً<sup>18</sup>. يُحرّض المحفّز كربلة مركّبات كلور الأريل العطرية<sup>(\*)</sup>.

(\*) الكربلة تعني إدخال وظيفة كربونيل على مركّب عضوي (المترجم).

### 4.2.13. بوليميرات البولي (أميد) العطرية جزئياً

تتكوّن بوليميرات البولي أميد العطرية جزئياً من وحدات مونوميرية من حمض ثنائي كربوكسيليك عطري، وثنائي أمين. تتميز عادة مركّبات البولي أميد هذه بارتفاع نقاط انصهارها، وارتفاع درجات حرارة انتقالها الزجاجي، وانخفاض امتصاصها للرطوبة، وتمتلك، بعكس مركّبات البولي أميد الأليفاتية مثل النايلون 6 والنايلون 66، استقراراً بُعدياً جيّداً تحت شروط الرطوبة.

إنّ جمع شرطيّ درجات الحرارة العالية والاستقرار البُعدي يجعل من مركّبات البولي أميد العطرية جزئياً موادّ مناسبة في الإلكترونيات، وفي اللدائن الهندسية، والأغشية والألياف<sup>19</sup>.

يمكن تحضير مركّبات البولي أميد العطرية جزئياً من الحمض بدلاً من كلوريد الحمض في سيرورات متعدّدة المراحل. تُجرى المراحل الأولى على نحو البلمرة في الحالة الصلبة، وذلك في مراحل تزداد درجات حرارتها تدريجياً، مع إمكانية اختيار التغذية بالمونوميرات بعد كل مرحلة تفاعل، وتتابع المراحل النهائية على شاكلة تفاعل تكاثف الصهارة<sup>8</sup>.

بدلاً من ذلك، يمكن الاستعاضة عن الحموض بالإسترات الموافقة بصفقتها مواد للبدء منها<sup>19</sup>. تخفض أسترة حمض الكربوكسيل المضايف خفضاً مفيداً نقطة الانصهار إلى درجة حرارة تتيح صهر الحمض مع الإقلال من تفكّكه الحراري. وهذا ما يسهّل إضافة ومزج مركّبة حمض ثنائي الكربوكسيليك، ومركّبة ثنائي الأمين في هيئة صهارة.

وأبعد من ذلك، تحتوي مركّبات البولي أميد العطرية جزئياً المكوّنة من هذه المواد على سلاسل ألكيل جانبية. تُسبب هذه السلاسل الجانبية انخفاض نقطة الانصهار في البولي أميد النهائي. لذلك يمكن تشغيل البولي أميد الناتج تشغيلاً أكثر يسراً من بوليميرات البولي أميد الموافقة التي لا تحتوي على سلاسل ألكيل جانبية.

### 5.2.13. الألياف

تنتج الألياف في واحد من ثلاثة أشكال أساسية :

1. خيوط متعدّدة الشعيرات مستمرة،
2. تيلات (مقصوفة ومجّعة)،
3. لب (قطع صغيرة ليفية).

### 1.5.2.13. الغزل

لقد جرى استعراض ألياف الأراميد في الأدبيات<sup>20,5</sup>. تُعاني بوليميرات PA العنطرية التقليدية كونها لا تقبل الانحلال في المذيبات العضوية. لذلك يجري غزل الألياف في حالة كيفلار® Kevlar في حمض الكبريت المركز بصفته مُذيباً. يجري تحضير مادة الغزل المستعملة بمزج حمض الكبريت مع البوليمير عند  $70-100^{\circ}\text{C}$ <sup>22,21</sup>.

في سيرورة الغزل في الفجوة الهوائية، يُنفثُ محلول الأراميد عبر فتحة المغزال. يكون وجه الفتحة فقط على تماس مع غاز، الهواء عموماً. وبعد أن يقطع المحلول الذي يأخذ شكل نفث رفيع مسافة قصيرة في الهواء يدخل في مادة مُخرّرة.

تستخلص المادة المُخرّرة المُذيب من البوليمير مكونة بذلك أليافاً بوليميرية<sup>23</sup>. المادة المُخرّرة هنا هي الماء. تُتيح إضافة كميات صغيرة من بوليمير خافض للسحب (Drag reducer) معدّل إنتاج أكبر، أو إنتاج ألياف بأقطار أصغر. ويُعتبر بولي (أوكسيد الإيثيلين) مُخفّضاً مناسباً للسحب.

### 2.5.2.13. التعديل والمعالجة

لقد جرى وصف أقمشة مصنوعة من مزيج من ألياف الأراميد وألياف سيللوز مُقاوم للهب. إنّ خلائط الأقمشة هذه رائجة الاستعمال في ملابس الوقاية. وهي مريحة عند الاستعمال أكثر من الأقمشة المصنوعة من ألياف الأراميد وحدها<sup>24</sup>.

تمتلك ألياف p-أراميد بنية ليفية عالية الترتيب مع ميل إزاء تكوّن الوبر يُرجع إلى فقدان القوى الجانبية بين الجزيئات الضخمة. عندما يزداد المحتوى من الـp-أراميد في نسيج على نسبة 5 في المئة يزداد مدى التوبر في ألياف الـp-أراميد، ويمكن للأوبار أن

تصبح ملحوظة وموضع اعتراض. لأنه مع الاهتراء والسحج والغسل الذي تخضع له السلعة المنسوجة مع مضي الزمن، تفقد الأقمشة مظهرها الجمالي.

يمكن استرجاع مظهر القماش بمعالجة صباغية. يمكن وضع أجزاء الملابس العالية التليّف في حمام مائي مع صباغ أصفر أساسي 40 (Basic Yellow 40). وتبقى المواد على تماس مع محلول الصباغ المائي مدة ثلاثين دقيقة، يلي ذلك معالجة بمحلول منظّف تركيزه 10 في المئة من الهكسيلين غليكول عند  $60^{\circ}\text{C}$  مدة عشر دقائق. وأخيراً تُشطف المادة شطفاً عميقاً بالماء وتجفّف<sup>25</sup>.

يمكن إنتاج أقمشة أراميد مُعالجة لتصبح كارهة للماء بواسطة عوامل نابذة للماء. كما إنّ إضافة عامل مُضاد للكهرباء الساكنة أمرٌ مفيد أيضاً<sup>26</sup>. العامل النابذ للماء هو مزيج من بوليميرات الفلورو أكريلات.

### 6.2.13. ورق الأراميد

يمكن للّب ورق الأراميد أن يتكوّن من كِلا شكليّ الأراميد ميتا وبارا. يمكن للألياف القصيرة، والتيلتات، واللبّ، والجسيمات البوليميرية من الأراميد المنتج بالماء أن تستعمل مواد بدء لصنع ورق الأراميد. يجري صنع الورق بالطرائق التقليدية.

يمكن أن يحتوي لبّ ورق الأراميد كلاً من ندف الأراميد وأليافه. تسمّى الندف أليافاً قصيرة مقصوفة من ألياف أراميد أطول. يمكن الحصول على ورق عالي المسامية باستعمال مستويات أعلى من الندف بدلاً من الألياف<sup>27</sup>.

المعالجة القلوية للّب تنتج ورقاً ذا مقاومة شدّ مُحسّنة<sup>28</sup>. ويُعتقد أنّ المعالجة القلوية تسبب تفاعل تحلّل مائي لسطح البوليمير. وهكذا يصبح السطح محتوياً على كمية زائدة من الزمر الأمينية. يمكن استعمال هذه المواد في مقابض الانزلاق.

يُستعمل لبّ الأراميد استعمالاً واسعاً بصفته بديلاً من الأسبستوس (الأميانت)<sup>29</sup>. ويُستعمل ورق الأراميد بصفته ورقاً عازلاً. وفي هذه الحالة يمكن إقحام الميكا أو الكوارتز المطحون أو الألياف الزجاجية أو الألومينا أو التالك لتحسين خواص العزل. وبالمقابل، إذا جرى إقحام صفائح ألومينا أو هباب الفحم أو ألياف قصيرة من الفولاذ الذي لا يصدأ، حصلنا على ورق موصل كهربائياً. وكذلك يُستعمل ورق الأراميد كعامل تقوية في بني خلايا النحل السداسية.



### 7.2.13. بنى خلايا النحل السداسية

تجد بنى خلايا النحل من الأراميد استعمالاً في صناعة الطيران، وفي تجهيزات النقل. تتمتع صفائح بنى خلايا النحل من الأراميد التي تحتوي راتنجاً من نوع النايلون، وعلى الخصوص راتنج خلية نحل من الـ p-أراميد، بخواص إبطاء اللهب، والمتانة وغير ذلك من الخواص الممتازة المرغوبة في قلب بنية خلية نحل. إلا أن طريقة صنع بنى خلايا نحل من الأراميد هي سيرورة معقدة. وهي مشروحة بالتفصيل في الأدبيات<sup>31,30</sup>.

### 8.2.13. أغشية الأراميد

يجري إنتاج أغشية الأراميد بصبّ محلول للبوليمير في حمض الكبريت على حزام دوّار لا نهاية له. يحتوي المحلول إضافة إلى ما سبق على جسيمات مكروية من السيليكا لتحسين خواص السطح. تجري قيادة محلول الصبّ بعد تسخين مرحلي إلى حمّام تخثير، ويُحرّر الغشاء من الحزام ويُعالج معالجة لاحقة<sup>32</sup>.

من الممكن تكثيف الأراميد مباشرة في محلول NMP ثم يُصبّ المحلول. تُنتج هذه السيرورة مباشرة غشاء شفافاً من سائل لزج لبولي أميد عطري بدون الحاجة إلى حلّ البولي أميد العطري في حمض الكبريت المركز. لا تتطلب هذه الطريقة أية تجهيزات مقاومة للحموض وهي زهيدة الثمن<sup>33</sup>.

ولقد جرى ذكر طريقة لإنتاج غشاء كما يلي<sup>9</sup>:

يُحلّ في NMP مقدار 0.85 مولاً من 2-كلورو-p-فينيلين ثنائي الأمين و 0.15 مولاً من إيثر 4،4'-ثنائي أمينو ثنائي فينيل. ويُضاف مقدار 0.985 مولاً من كلوريد 2-كلورو ترفثالويل. تنتهي البلمرة بعد مرور ساعتين. عندئذ يجري تعديل المحلول بواسطة هيدروكسيد الليثيوم. يُرشّح المحلول البوليميري ويُصبّ على حزام دوّار. ويُبخّر المذيب عند  $160^{\circ}\text{C}$ . ويمكن بشكل مستمرّ قشر غشاء بمحتوى بوليميري قدره 45 في المئة من الحزام. بعد ذلك يوجّه الغشاء إلى حمّام من NMP والماء لإزالة بقايا المذيب، والملح اللاعضوي، والشوائب. ثم يُشدّ الغشاء بين اسطوانتي شدّ بالاتجاه الطولي بنسبة شدّ قدرها 1.20.

تطبيقات الأغشية هي في :

- وسائط التسجيل المغناطيسي.
- الأغشية الصوتية في مكبرات الصوت.
- التطبيقات الإلكترونية.

الجدول (2-13): خواص أحد ألياف الأراميد<sup>34a</sup>

الخاصة	القيمة	الواحدة
الكتلة الحجمية	1.44	$\text{g cm}^{-3}$
اختبار مباشر على خيوط مهيةة		
طويلة الشد	70500	MPa
الاستطالة عند الكسر	3.6	%
تماسك الكسر	2900	MPa
السعة الحرارية (25°C)	1.42	$\text{J kg}^{-1} \text{K}^{-1}$
الموصلية الحرارية	0.04	$\text{W m}^{-1} \text{K}^{-1}$
درجة حرارة التحلل (هواء)	482 – 427	°C

<sup>a</sup>مركب DuPont ، Kevlar™ 29

### 3.13. الخواص

يبين الجدول (2-13) خواص أحد ألياف الأراميد. ونجد جداول موسعة عن الاستقرار الكيميائي في الأدبيات<sup>34</sup>. تمكن كلورة نومكس Nomex® بدون تفكك ملموس، إلا أن كيفلار Kevlar® يتحلل تحت شروط الكلورة نفسها. ولقد أظهرت تجارب على مركبات نموذجية أنه عند المعالجة بحمض تحت كلوري تجري أكسدة كسرة الـ-p-ثنائي أمينو فينيلين إلى مركب كينون مرحلي غير مستقر. وبالمقابل فإن آلية مثل هذا التفاعل غير ممكنة في حالة نومكس Nomex®.

#### 1.3.13. الخواص الميكانيكية

تُقرن مقاومة الشد لمركبات الأراميد بتلك الموافقة للمعادن المصبوبة. وهي إضافة إلى ذلك تُبدي زحفاً ضئيلاً تحت الإجهاد وامتصاصاً ضعيفاً للماء. لذلك تُعتبر هذه المواد مناسبة للاستعاضة بها عن المعادن.

في حالة معدلات التحميل العالية يمكن أن يحدث ازدياد في جساءة المادة ومقاومتها مقارنةً بسلوكها في الحالة الساكنة. يُسمّى هذا الأثر مفعول معدل الاجتهاد. إنّ هذا المفعول مهمّ في حسابات تحريك العناصر المنتهية. في الحقيقة، بأخذ هذا المفعول بعين الاعتبار يمكن تصميم المادة لتكون أكثر خفة. لقد جرى إثبات مفعول معدل الاجتهاد في حالة بنى خلايا النحل من ورق الأراميد<sup>36</sup>.

### 1.1.3.13. خواص الاحتكاك والاهتراء

غالباً ما تُستعمل المواد المركّبة المحتوية على الأراميد في تطبيقات الزلق. ويُعتبر تقدير الخواص الاحتكاكية لمثل هذه المواد المركّبة والتنبؤ بها مهارة مرغوبة. وعلى الرغم من الاستعمال المتزايد للمواد المركّبة البوليميرية إلا أن المعرفة حول سلوكها إزاء الاحتكاك محدودة، وتفتقد إمكانية التنبؤ.

لقد أجريت دراسات باستعمال جهاز مسمار-على-قرص لشرح السلوك إزاء الاحتكاك للمواد المركّبة البوليميرية المحتوية على الأراميد. تضمّ هذه الدراسات اعتبارات نظرية، ويمكن أن تفيد كتوجهات حول كيفية الحصول على معلومات عن خواص الاحتكاك والاهتراء جراء الاحتكاك في منظومات مماثلة أخرى<sup>37</sup>.

### 2.1.3.13. خواص سلوك الصدم

لقد أصبحت مسائل الصدم تحظى بأهمية متزايدة في الصناعة، فيما يتعلّق بقضايا الأمان. يجب أن يأخذ المصمّم في الحسبان الأحمال العرضية المفاجئة الواقعة على المواد بنتيجة سقوط أشياء عليها أو الاصطدامات أو الانفجارات. وعلى الخصوص، فيما يتعلّق بمواد الأراميد، تُعتبر تطبيقات الوقاية من القذائف قضية مهمة. ينبغي أن تتمتع المواد بميزة امتصاص الطاقة الحركية.

هناك طرائق اختبار قياسية لاختبار مقاومة الصدم تحت شروط عادية<sup>38,39</sup>. وإضافة إلى ذلك هناك مقيس ISO يتعلّق بمقاومة الملابس الواقية من الطلقات<sup>40</sup>، ولكن يلاحظ عدم وجود مقيس ASTM يتعلّق بهذا الموضوع.

في اختبارات المقذوفية التقليدية، يُطلق المقذوف على هدف ثابت، مكون من المادة التي يجري اختبارها، وتُدرس بقايا الطاقة الحركية. تستعمل تقنية مطوّرة حديثاً لدراسة المواد المنخفضة الوزن أسلوبَ الصدم المقذوفي المعكوس. بعكس الاختبار التقليدي، يتحرك الهدف ويبقى المقذوف ثابتاً<sup>41</sup>. يُستعمل الآزوت من أسطوانات غاز مضغوط تجارياً مُسرّعاً. يمكن الوصول إلى سرعات حوالى  $400 \text{ ms}^{-1}$ ، وذلك تبعاً لطبيعة الغاز وضغطه.

وكمثال على النتائج التي وصلت إليها الدراسة، فقد وُجد أنه مقارنةً باختبارات الإطلاق القياسية بطلقات طرية، فإنّ لوحات الأراميد المنسوجة تمتلك مقاومة أفضل بقليل من اللوحات المُحاكاة بكثافة مساحية متقاربة<sup>41</sup>.

### 2.3.13. الخواص الحرارية

يساعد التميّع المرتفع لمركبات الأراميد عند درجات الحرارة المرتفعة في صنع الأجزاء الرقيقة بتقنيات القولية بالحقن التقليدية. وتبقى خواص التدفق محفوظة حتى عند محتوى مرتفع من الألياف الزجاجية يصل إلى 60 في المئة.

### 3.3.13. الخواص البصرية

إن مركب الأراميد حسّاس للضوء فوق البنفسجي. ولقد جرت دراسة مفاعيل مُحاكاة الإشعاع الشمسي فوق البنفسجي على الخواص الميكانيكية والبنوية لألياف أحد بوليميرات بولي (p-فينيلين ترفتال أميد)<sup>42</sup>. يسبب الإشعاع فوق البنفسجي تدهور السطح ومناطق العيوب في الألياف عبر تقطع السلاسل المُحرّض ضوئياً.

ينخفض كلُّ من تماسك الشعيرات، وامتطاطها عند الكسر، وطاقة الكسر انخفاضاً سريعاً وشبه خطّي. بعد 144 ساعة من التشيع تنخفض طاقة الكسر تحت 40 في المئة من قيمتها عند البدء. تحدث أكسدة للزمر النهائية في الهواء. في حين تبقى البنية البلورية على حالها تقريباً.

## 4.13. الإضافات الخاصة

### 1.4.13. المثبتات إزاء الأشعة فوق البنفسجية

تمتلك ألياف الأراميد بطبيعتها مقاومة ضعيفة للضوء فوق البنفسجي. لذلك تُغيّر الأقمشة المصنوعة من ألياف الأراميد لونها عند تعرّضها للضوء فوق البنفسجي. وإضافة إلى ذلك هناك نقص محسوس في مقاومة القماش. لذلك غالباً ما تُضمّن ماصّات الأشعة فوق البنفسجية أو الواقيات الضوئية داخل ألياف الأراميد أثناء التصنيع، أو تُستعمل لمعالجة ألياف الأراميد في مراحل معالجة لاحقة بهدف تحسين أدائها.

في سيرورة صباغة النسيج الطبيعية، تخترق جزيئات الصباغ الألياف وتُصبح مُحتجزة داخلها. ويمكن بدلاً من ذلك أن ترتبط جزيئات الصباغ كيميائياً مع الألياف. إلاّ أنه من الصعب صباغة ألياف الأراميد باستعمال التقنيات التقليدية.

وعليه، فإنّه لا يمكن بسهولة تحقيق استقرار ألياف الأراميد إزاء الأشعة فوق البنفسجية عن طريق استعمال ماصّات الأشعة فوق البنفسجية أو الواقيات الضوئية في حمّام الصباغ. وفعلياً، لا تُحسّن سيرورة الصباغ الطبيعية استقرار ألياف الأراميد إزاء الأشعة فوق البنفسجية.

تتضمّن طباعة الألوان على الأقمشة طباعة مادة ملوّنة غير قابلة للانحلال على القماش. إنّ الصباغ، الذي لا يمتلك أي إلفة نحو ألياف القماش، يلتصق على القماش بواسطة رابط راتنجي. ولقد تبين أنّه يمكن لصباغ مناسب أن يؤدي دور عامل استقرار إزاء الأشعة فوق البنفسجية<sup>43</sup>. المواد التي تؤدي دور رابط راتنجي هي بوليميرات أكريليك مشتركة، أو لاتكس الستيرين-بوتاديين، أو بوليميرات نتريل مُعدّلة.

ولقد جرى استعمال تيتانات رباعي بوتيل كطليعي محلول-هلام لطلاء نانوي من  $TiO_2$  لألياف أراميد. ولقد ارتفع الاستقرار الضوئي لألياف الأراميد بهذه المعالجة<sup>44</sup>.

### 2.4.13. المُعدّلات الموصلة كهربائياً

غالباً ما تكون هناك حاجة لتفريغ أو تثبت شحنت كهربائية من على السطوح البوليميرية. ومن المرجح أن مركّبات الأراميد تجمع الشحنت الكهربائية. لذلك، هناك

تهديد متأصل بحدوث شرارات عند التفريغ. يمكن إضافة بوليمير بولي (أنيلين) المُسلفن إلى الأراميد بهدف زيادة الموصلية الكهربائية<sup>46,45</sup>.

ليست المواد المركبة الموصلة كهربائياً المُحضرة بهذه الطرائق موصلةً بالقدر اللازم لتحقيق تدريع كافٍ إزاء التداخل الكهروطيسي. الطلي اللا كهربائي أكثر فعاليةً في إنتاج مركّبات أراميد موصلة. إذ يمكن الحصول على ألياف عالية الموصلية الكهربائية. تُشرب الألياف بمعدّات معدنية باستعمال ثاني أكسيد الكربون فوق الحرج. تُنشط المعدّات المعدنية بالإرجاع بالهيدروجين، ثمّ تُغمس في محلول طلي لا كهربائي. لقد استعملت السيرورة معقّد بالاديوم (II)-سداسي فلورو أسيتيل أسيتونات. يمكن تنشيط معقّد البلاديوم بغياب الهيدروجين<sup>47</sup>. وهذا ما يقلل من خطر حدوث انفجار في سيرورة تقنية.

### 5.13. تطبيقات

تشتهر ألياف الأراميد لتطبيقاتها في السترات الواقية من الطلقات، التي تُسمّى عموماً باسم السلع القماشية الواقية من المقذوفات<sup>49,48</sup>. وهناك تطبيقات أقلّ إثارة في مجال صناعة السيارات، والحقول الكهربائية والإلكترونية. كما إنّها تُستعمل في التجهيزات الطبية. يُلخص الجدول (3-13) بعض الاستعمالات النوعية.

الجدول (3-13): مجالات استعمال مركّبات الأراميد

أمثلة	الاستعمال
صفيحات الكوابح، بطانات، وجوه القوابض	مواد الاحتكاك
تعويضات، رباط عظم ليفي	مانعات تسرب
كبلات ألياف بصرية	تطبيقات طبية
ورق عزل، ورق احتكاك	تطبيقات بصرية
إطفاء النيران، الوقاية من القص والمقذوفات	ورق
الإطارات، الأنابيب	تطبيقات الوقاية
	ألياف تقوية
	الحوال والكبلات
الأشعة، خيوط مضارب كرة المضرب	التجهيزات الرياضية

### 1.5.13. مواد الاحتكاك

عند تصنيع مواد الاحتكاك، يجري خلط موادّ مسحوقية ومواد ليفية في آن معاً. أما المواد الرابطة فتتكوّن من راتنجات فينولية. تُمثّل راتنجات الميلامين أو الإيبوكسي أو البولي (إيميد) مواد رابطة بديلة.

في هذه الأيام، بدلاً من الأسبستوس، تُستعمل مقويات ليفية تشتمل على الألياف الزجاجية، وألياف الفولاذ، وألياف الأراميد، وألياف تيتانات البوتاسيوم، وغيرها. ولأن هذه المقويات الليفية خواصها النوعية الخاصة بها، يجري عملياً استعمال خليط منها<sup>50</sup>. إنّ ألياف تيتانات البوتاسيوم ألياف لا عضوية، يمكنها تحسين المقاومة الميكانيكية والمقاومة الحرارية ومقاومة الاهتراء لمواد الاحتكاك. وهي إضافة إلى ذلك تُحسّن معامل الاحتكاك للمادة عبر خاصّة حتّها.

تضمّ معدّلات الاحتكاك معدّلات احتكاك لاعضوية مثل الألومينا أو السيليكا أو المغنيزيا أو الزيركونيا أو أكسيد الكروم أو الكوارتز، كما تضمّ معدّلات احتكاك عضوية مثل المطاط الاصطناعي أو غبار الكاجو. يؤدّي الغرافيت أو ثنائي سلفيد الموليبدينيوم دور مُزلّق صلب. وتزيد ألياف النحاس الموصليّة الحرارية للشكيلة.

يبين الجدول (13-4) المركّبات الأساسية في مادّة احتكاك. تُتضجّ الصياغات تحت ضغط عال ودرجات حرارة عالية. ولقد وُجد أنّه من الواجب استعمال سداسي تيتانات البوتاسيوم وثمانية تيتانات البوتاسيوم في آن معاً، بهذه الطريقة يمكن تحسين أداء المزيج تحسیناً ملحوظاً.

### 2.5.13. مانعات التسرّب

نحتاج إلى مانعات التسرّب وغيرها من وسائل الإحكام في العديد من التطبيقات حيث يجب إحكام الوصلات بين السطوح المتجاورة لمنع تسرّب السوائل أو الغازات<sup>51</sup>. تتكوّن المواد المركّبة المستعملة في المانعات المصنوعة باتتباع سيرورة الوضع المبلّل، من مركّبة من الألياف منثورة بانتظام ضمن حاضنة مطاطية رابطة، إلى جانب موالئ صلبة مُحسّنة للخواص<sup>52</sup>.

الجدول (4-13): المركبات في مادة احتكاك<sup>50</sup>

النسبة المئوية	المركبة
10	راتنج فينولي
10	غبار كاجو
25	كبريتات الباريوم
2	زيركونيا
8	غرافيت
10	ألياف نحاس
5	ألياف أراميد
15	ألياف سداسي تيتانات البوتاسيوم
15	ألياف ثماني تيتانات البوتاسيوم

المحتوى من الألياف هو حوالي 3-15 في المئة. والمحتوى من الرابط المطاطي هو أيضاً حوالي 3-15 في المئة ، والبقية موالئ. تُستعمل ألياف الأراميد في الموانع المقواة بالألياف بدلاً من ألياف الأسبستوس. أما المواد الرابطة فهي عادة مطاط اصطناعي. يبيّن الجدول (5-13) المركبات المعتادة في تشكيلة مانعة تسرب.

الجدول (5-13): المركبات في تشكيلة موانع<sup>52</sup>

النسبة المئوية	المركبة
7.6	أراميد
7.6	NBR مُهدرج
30.4	ترفتالات الكالسيوم
38	كاؤولين
15	مواد أخرى <sup>a</sup>
2	راتنج فينولي

<sup>a</sup> غرافيت، فرميكوليت، ثلاثي هيدرات الألمنيوم، هيدروكسيد المغنيزيوم.

### 3.5.13. مواد التقوية

إن ألياف الأراميد واسعة الاستعمال بصفقتها ألياف تقوية في المواد المركبة العالية الأداء. إحدى سيئاتها هي سوء التصاقها بالحاضنة البوليميرية. وهذا ناجم عن عدم وجود



زمر وظيفية في البوليمير<sup>53</sup>. للتغلب على عدم الالتصاق هذا، تُعالج الألياف بما يُسمى صياغات الإنهاء، والتي هي أساساً معالجة للسطوح.

لقد جرت معالجة حبال الإطارات من الأراميد بالتخريش ببلازما الأرجون ثم بالبلمرة بالبلازما للأسيثيلين. يؤدي الجمع بين التخريش ببلازما الأرجون والبلمرة ببلازما الأسيثيلين إلى تحسين كبير في قوة النسل من الإطار لتصبح 91N بدلاً من 34N في حالة حبال الأراميد غير المعالجة. وهكذا فإنّ المعالجة بالبلازما تحسّن الالتصاق مع المركّبات المطاطية<sup>54</sup>.

ولقد جرت الإشارة إلى تعديل للسطح بواسطة المعالجة بالبلازما باستعمال غاز الأوكسجين<sup>55</sup>. مباشرة بعد المعالجة بالبلازما، تُبدي الألياف المعالجة زوايا تماس مع الماء أصغر، ومحتوى سطحياً أعلى من الأوكسجين والأزوت، ومقاومة قصّ أعلى للسطح البيئي مع راتنجات الإيبوكسي. وبعد التقادم، تبقى الألياف مُحافَظة على الخواص المُحسّنة إلى حدّ ما.

يمكن اختبار فعالية عملية الإنهاء هذه بطرائق متنوعة، تشمل<sup>53</sup>:

- تحليل تركيب السطح بمطيافية الأشعة السينية الفوتوإلكترونية،
- قياسات زوايا التماس.
- اختبارات سحب ليف وحيد.
- الاختبار الميكانيكي للمواد المركّبة.

### 4.5.13. حوامل المُحفّزات

المحفّزات ذات الحوامل اللاعضوية هي في أغلب الأحيان ثقيلة ويصعب التعامل معها. وهي عموماً تأخذ شكل جسيمات صغيرة، ونجد من نوعها جسيمات ناعمة وغبار. غالباً ما تكون هذه المُحفّزات هشة أو يمكن أن تصبح كذلك مع الاستعمال. يمكنها أن تتكسر أو تتفتت مسببة زيادة بمقادير انخفاض الضغط أو نقصاناً بمردود التفاعل الكيميائي الذي جرى تصميمها لتحفيزه.

لقد جرى تقديم بوليمير p-أراميد بصفته حاملاً لعامل تحفيز للعديد من التفاعلات<sup>56</sup>. يُبدي التركيب نشاطاً تحفيزياً مُحسناً مقارنةً بحوامل عوامل التحفيز من بوليمير m-أراميد. يلتصق عامل التحفيز الفعلي على الحامل أو في داخله.

إنّ تقنية توضيح أو إقحام عامل التحفيز، أو طليعي عامل التحفيز، على البوليمير الحامل تعتمد على تركيب المُحفّز. إذ لا تحتل جميع المواد النشطة تحفيزياً الشروط اللازمة لغزل بوليمير p-أراميد، أو لصبّ أغشية من بوليمير p-أراميد. في هذه الحالات يُفضّل أن يجري صنع تركيبة المُحفّز بتوضيح عامل التحفيز المرغوب أو طليعي عامل التحفيز على سطح بوليمير p-أراميد.

تُمثّل مُحفّزات البالاديوم لتفاعل إزالة هالوجين الهيدروجين، ومحفّزات تفاعلات هدرجة المركّبات العضويّة أمثلة على مُحفّزات حواملها بوليميرات p-أراميد.

### 5.5.13. المركّبات الطليعيّة لألياف الكربون

لقد جرى اقتراح بولي (m-فينيلين إيزوفتال أميد) وغيره من الأراميدات بصفتها مركّبات طليعيّة لمواد كربون منشّط<sup>57</sup>. تُبدي هذه المواد مسامات مكرويّة ذات قياسات متجانسة جداً. تجعل هذه الخاصّة تلك المواد قابلة للاستعمال بصفتها مواد ممتزّة، أو مناخل جزئيّة، أو مُحفّزات، أو مسارٍ.

يمكن تنشيط ألياف الكربون المشتقّة من بولي (m-فينيلين إيزوفتال أميد) بتوضيح بخار الكربون من البنزين. إنّ ألياف الكربون المنشّطة مناسبة للاستعمال كمناخل جزئيّة لفصل الهواء<sup>58</sup>. يمكن الحصول على ألياف الكربون من الأراميد بالتحلل الحراري عند  $750-850^{\circ}\text{C}$ . يمكن إجراء التحلّل الحراري في جو من الأرجون أو من  $\text{CO}_2$ .

يمكن تشريب الألياف تشريباً مسبقاً بحمض الفوسفور  $\text{H}_3\text{PO}_4$ . يؤدي بخار الماء و  $\text{CO}_2$  و  $\text{H}_3\text{PO}_4$  دور منشّطات. يُحوّل التنشيط زمر الأמיד في طليعة البوليمير إلى وظائف أزوت غير متجانسة التوزيع ومعقّدة<sup>59</sup>.

### 6.5.13. خزانات الوقود الفائقة البرودة

إنّ خزانات الوقود الفائقة البرودة مركّبات أساسية في أنظمة النقل الفضائي. يجب أن تتحمّل خزانات الوقود الفائقة البرودة الضغط العالي، والحمولات على بنيتها الخارجية، وأن تقاوم التسرّب، وتعمل في مجال واسع من درجات الحرارة. تُبدي مركّبات الأراميد مجالاً واسعاً من درجات حرارة الخدمة، وهي لذلك مرشحة لمثل هذه التطبيقات. لقد جرى اختبار تنوّع واسع من مواد الأغلفة والنوى من جهة نفاذية الهليوم<sup>60</sup>. ولقد تبين أن نومكس® Nomex أفضل من كيفلار® Kevlar. إذ يمكن تحقيق مستوى منخفض من النفاذية بما يلاقي الاحتياجات.

### 7.5.13. مركّبات الأراميد الفائقة التشعب

عند استعمال مونوميرات من النمط  $AB_2$  تتكوّن بوليميرات فائقة التشعب عند البلورة<sup>12</sup>. تُستعمل هذه البوليميرات لبدء بلمرة بيبس مالإيميد. كما إنّ زيادة متانة بوليميرات التصليد الحراري مثل بوليميرات البيبس مالإيميد والإيبوكسي تُمثّل تطبيقاً آخر لهذه البوليميرات.

### 6.13. الموردون والعلامات التجارية

تتوفّر مركّبات الأراميد بأنواع مختلفة. تشمل هذه الأنواع:

- الأراميدات المُقوّاة بألياف الزجاج،
- الأراميدات المملوءة بالفلزات،
- الأراميدات المجهّزة بمبطّات لهب،
- وأنواع الأراميدات المعدّلة للصدم.

تُسلّم الألياف بشكل لُبّ، وهي ألياف مقصوصة ومنقّاة ذات مساحة سطح مرتفعة. يُستعمل اللب كإضافات خاصّة تحسّن الأداء بتقديمها تقوية ممتازة. يمكن تحقيق تقوية ميكانيكية منخفضة الوزن بواسطة شعيرات مستمرة. كما تتوفّر نوى ذات بنى خلايا النحل لصناعات الطيران والفضاء. تُستعمل الخيوط المغزولة لطلاءات الوقاية<sup>63</sup>.

يبين الجدول (6-13) الموردين والعلامات التجارية. تستعمل ألياف الأراميد في عدد كبير من الحاضنات البوليميرية كألياف تقوية، هذه الأنواع ليست مشمولة في الجدول (6-13). ويبين الجدول (7-13) الأسماء التجارية الواردة في المراجع.

الجدول (6-13): أمثلة على بوليميرات بولي (أريل أميد) المتوفرة تجارياً

ملاحظات	المنتج	الاسم التجاري
أغشية p-أراميد	Asahi	Aramica®
	Chimvolokno JSC	Aramos®
	Kolon Industries, Inc.	Heracron®
ألياف أراميد مقواة	A.L. Hyde Co.	Hydlar®
	Slovay Advanced Polymers	Ixef®
ألياف p-أراميد	DuPont	Kevlar®
أغشية p-أراميد	Toray Industries	Mictron®
ألياف m-أراميد	DuPont	Nomex®
	<sup>62,61</sup> Termotex Co. Mytishchi	Rusar®
أراميد مُعدّل بالكبريت	Teijin Chemicals	Sulfron®
	Teijin Chemicals	Technora®
ألياف m-أراميد	Teijin Chemicals	Teijinconex®
أقمشة أراميد، وأقمشة خلأط أراميد	Difco Performance Fabrics, Inc.	Thermatex®
	Teijin Twaron B. V.	Twaron®

## 7.13. الأمان

لقد جرى توثيق دراسات سمية استنشاق المواد الليفيّة (Fibrils) المصنوعة من p-أراميد<sup>65</sup>. لقد اكتشفت بعض الاستجابات، إلا أنّ تفسيرات هذه الدراسات بقيت موضع جدل. هناك بعض الأدلة على التفكك الحيوي للجسيمات ذات الشكل الليفي والحجم الممكن استنشاقه من p-أراميد<sup>66</sup>، وهو مفهوم جرى تدعيمه في دراسات لاحقة<sup>67</sup>. في الحقيقة، تُشير بطاقات معطيات الأمان إلى احتمال إصابة الرئة، إذا جرى استنشاق غبار الألياف فترة طويلة من الزمن. ومن جهة أخرى، لا تُعتبر مركبات الأراميد خطيرة عند تماسها مع الجلد أو ابتلاعها.

الجدول (7-13): الأسماء التجارية الواردة في المراجع

المورد	الاسم التجاري الوصف
Amoco	Amodel® 1000 بولي (فتال أميد) <sup>64</sup>
Micro-coax, DuPont	Aracon® ألياف كفلار مطبقة بالمعدن <sup>47</sup>
BASF AG	Basofil® ألياف راتنج الميلامين <sup>43</sup>
Shaw Industries	Caprolan® نايلون <sup>6</sup> <sup>48</sup>
Amoco	Amodel® X 4000 بوليمير مشترك ثلاثي من سداسي ميثيلين ترفتالاميد إيزوفتالاميد أدياميد 35\65 <sup>9</sup>
Union Carbide Corp.	Carbowax® (Series) بولي (إيثيلين غليكول) (PEG) <sup>19</sup>
Teijin	Conex® -m أراميد <sup>56</sup>
DuPont	Kevlar® أراميد <sup>56,48,47,43,30</sup>
Shell	Kraton® بوليمير مشترك كثلي التعاقب ستيريني <sup>47,29,9</sup>
Clairan GmbH	Leomin® AN مزلق أولييل فوسفونات، مساعد في الصناعة النسيجية <sup>26</sup>
DuPont	Nomex® -m أراميد <sup>48,43,24</sup>
Ciba	OLEOPHOBOL® (Series) بوليمير فلورو أكريلات، نابذ للزيت والماء <sup>26</sup>
Union Carbide Corp.	Polyox® 301 بولي (أوكسيد الإيثيلين) <sup>23</sup>
Teijin Twaron B. V.	Twaron® أراميد <sup>43,42,26</sup>

## 8.13. الأثر البيئي وإعادة التدوير

تقليدياً كان الأسبستوس يُستعمل في مواد الاحتكاك كمكابح السيارات، ومركبات القوابض بسبب متانته وعدم قابليته للاحتراق. ولقد جرى منع استعمال الأسبستوس في العديد من الدول. ولقد تزايد استعمال الأراميد كمادة بديلة من الأسبستوس. الأراميد مادة متينة ليفية اصطناعية يُعتقد أنها أكثر أماناً على الصحة من الأسبستوس.

لقد جرى تطوير طرائق للتمييز بين الأسبستوس والأراميد<sup>68</sup>. تعتمد هذه الطريقة على حك عينة من المادة المجهولة بمادة مرجعية. ثم يجري قياس الكهرباء الساكنة الناتجة في موقع الحك.

وبهدف تطوير تطبيقات لهباب الفحم، جرى تطوير مواد مركبة احتكاكية لكوابح السيارات. وهي مؤسسة على قاعدة راتجات فينولية، ولب الأراميد، والألياف الزجاجية، وتيتانات البوتاسيوم، والغرافيت، وألياف الألمنيوم، ومسحوق النحاس إضافة إلى هباب الفحم<sup>69</sup>.

## المراجع

1. H. W. Hill, Jr., L. S. Kwolek, and W. P. Morgan. Polyamides from reaction of aromatic diacid halide dissolved in cyclic nonaromatic oxygenated organic solvent and an aromatic diamine. US Patent 3 006 899, assigned to Du Pont, 31 October 1961.
2. L. S. Kwolek, W. P. Morgan, and R. W. Sorenson. Process of making wholly aromatic polyamides. US Patent 3 063 966, assigned to Du Pont, 13 November 1962.
3. H. F. Mark, S. M. Atlas, and N. Ogata. "Aromatic polyamide." *Journal of Polymer Science*: vol. 61, 1962, S49–S53.
4. H. H. Yang. *Kevlar Aramid Fiber*. Chichester: John Wiley and Sons, 1993.
5. S. S. Kathiavelu. "Aramid fibers." *Synthetic Fibres*: vol. 32, 203, pp. 12–15.
6. Y. Imai. "Recent advances in synthesis of high-temperature aromatic polymers." *Reactive and Functional Polymers*: vol. 30, nos. 1-3, June 1996, pp. 3–15.
7. S. Reboullai. "Aramids." In: J. W. S. Hearle, ed., *High-performance fibres*, Woodhead Publishing Limited series on fibres. Boca Raton, FL: CRC Press, 2004, pp. 23-61.

8. M. Kosaka, Y. Muranaka, and K. Wakatsuru. Process for preparing aromatic polyamides. US Patent 6 133 406, assigned to Mitsui Chemicals, Inc. (Tokyo, JP), 17 October 2000.
9. A. Tsukuda, T. Ieki, and Y. Nakajima. Highly size-stabilized polymer film and magnetic recording medium using the film. US Patent 6 797 381, assigned to Toray Industries, Inc. (Tokyo, JP), 28 September 2004.
10. G.-S. Liou, S.-H. Hsiao, and J.-C. Yang. Organic soluble wholly aromatic polyamides and preparation of the same. US Patent 5 856 572, assigned to Industrial Technology Research Institute (Hsinchu, TW), 5 January 1999.
11. I. In and S. Y. Kim. "Soluble wholly aromatic polyamides containing unsymmetrical pyridyl ether linkages." *Polymer*: vol. 47, no. 2, January 2006, pp. 547–552.
12. J.-B. Baek and L.-S. Tan. Quinoxaline-containing AB<sub>2</sub> monomers for hyper-branched aromatic polyamides. US Patent 6 552 195, assigned to The United States of America as represented by the Secretary of the Air Force (Washington, DC), 22 April 2003.
13. G.-S. Liou and Y.-T. Chern. "Synthesis and properties of new polyarylates from 1,4-bis(4-carboxyphenoxy)naphthyl or 2,6-bis(4-carboxyphenoxy)naphthyl and various bisphenols." *Journal of Polymer Science Part A: Polymer Chemistry*: vol. 37, 1999, pp. 645–652.
14. L. Vollbracht and T. J. Veerman. Process for the preparation of poly-*p*-phenyleneterephthalamide. US Patent 4 308 374, assigned to Akzo N.V. (Arnhem, NL), 29 December 1981.
15. H. Blades. High strength polyamide fibers and films. US Patent 3 869 429, assigned to E. I. du Pont de Nemours and Company (Wilmington, DE), 4 March 1975.
16. N. Yamazaki and F. Higashi. "New condensation polymerizations by means of phosphorus compounds." In: A. Berlin, ed., *Polymerization Processes, volume 38 of Advances in Polymer Science*. Berlin: Springer, 1981, pp. 1-25.
17. G. Keil, K. Heinrich, and P. Klein. Wholly aromatic polyamide. US Patent 4 987 216, assigned to Hoechst Aktiengesellschaft (Frankfurt am Main, DE), 22 January 1991.
18. R. J. Perry. Preparation of aromatic polyamides from carbon monoxide, a diamine and an aromatic chloride. US Patent 5 693 746, assigned to Eastman Chemical Company (Kingsport, TN), 2 December 1997.
19. H. Ng. Partially aromatic polyamides and a process for making them. US Patent 6 355 769, assigned to DuPont Canada, Inc. (Mississauga, CA), 12 March 2002.
20. V. Gabara, J. D. Hartzler, K.-S. Lee, D. J. Rodini, and H. H. Yang. "Aramid Fibers." In: M. Lewin, ed. *Handbook of Fiber Chemistry, volume 16 of International Fiber Science and Technology Series*. 3<sup>rd</sup> ed. London: Taylor and Francis, 2007, chap. 13, pp. 975-1029.

21. D. R. Owens. Process of wet spinning polyamides and prevention of gel formation. US Patent 3 154 610, assigned to Celanese Corp., 27 October 1964.
22. H. T. Lammers. Process for the manufacture of fibres from poly-*p*-phenylene terephthalamide. US Patent 4 320 081, assigned to Akzo N.V. (Arnhem, NL), 16 March 1982.
23. S. D. Ittel and H. Shih. Air gap spinning process for aramids. US Patent 5 393 477, assigned to E. I. Du Pont de Nemours and Company (Wilmington, DE), 28 February 1995.
24. F. Lapierre. Fabric blends of aramid fibers and flame resistant cellulosic fibers. US Patent 6 576 025, assigned to Difco Performance Fabrics, Inc. (North Charleston, SC), 10 June 2003.
25. P. D. Yarborough and H. M. Ghorashi. Process for restoring the natural appearance of para-aramid clothing. US Patent 6 669 741, assigned to E. I. du Pont de Nemours and Company (Wilmington, DE), 30 December 2003.
26. C. K. Böttger, R. Hartert, K. R. Stolze, J. Jäger, H. van de Ven, and P. G. Akker. Method for producing a hydrophobically finished aramid fabric and use thereof. US Patent 7 132 131, assigned to Teijin Twaron GmbH (Wuppertal, DE), 7 November 2006.
27. L. J. Hesler and S. C. Park. Aramid papers containing aramid paper pulp. US Patent 5 026 456, assigned to E. I. Du Pont de Nemours and Company (Wilmington, DE), 25 June 1991.
28. H. Werlich, W. Zwilling, and U. Wecker. Process for preparing *p*-aramide paper, *p*-aramide pulp, and the use of the paper and the pulp. EP Patent 1 277 880, assigned to Teijin Twaron GmbH (DE), 22 January 2003.
29. M. Iwama and T. Takahashi. Process for preparing para-aromatic polyamide paper. US Patent 6 942 757, assigned to Teijin Twaron B.V. (Arnhem, NL), 13 September 2005.
30. P.-Y. Lin. High shear modulus aramid honeycomb. US Patent 5 137 768, assigned to E. I. Du Pont de Nemours and Company (Wilmington, DE), 11 August 1992.
31. K. Nomoto. Aramid honeycombs and a method for producing the same. US Patent 6 544 622, assigned to Showa Aircraft Industry Co., Ltd. (Tokyo, JP), 8 April 2003.
32. T. Yamada and M. Nakatani. Aromatic polyamide film, method for producing the same, and magnetic recording medium and solar cell using the same. US Patent 5 853 907, assigned to Asahi Kasei Kogyo Kabushiki Kaisha (Osaka, JP), 29 December 1998.
33. K. Akiyoshi, K. Iwasaki, M. Niwano, and Y. Ohbe. Process for producing aromatic polyamide film. US Patent 5 659 007, assigned to Sumitomo Chemical Company, Limited (Osaka, JP), 19 August 1997.



34. Anonymous. Kevlar® aramid fiber. Technical Guide H-77848 4/00, DuPont Advanced Fibers Systems, Richmond, VA, 2001. [electronic] <[http://www2.dupont.com/Kevlar/en\\_US/tech\\_info/index.html](http://www2.dupont.com/Kevlar/en_US/tech_info/index.html)>.
35. A. Akdag, H. B. Kocer, S. D. Worley, R. M. Broughton, T. R. Webb, and T. H. Bray. "Why does kevlar decompose, while nomex does not, when treated with aqueous chlorine solutions?." *Journal of Physical Chemistry B*: vol. 111, 2007, pp. 5581–5586.
36. S. Heimbs, S. Schmeer, P. Middendorf, and M. Maier. "Strain rate effects in phenolic composites and phenolic-impregnated honeycomb structures." *Composites Science and Technology*: vol. 67, no. 13, October 2007, pp. 2827–2837.
37. T. Ø. Larsen, T. L. Andersen, B. Thorning, A. Horsewell, and M. E. Vigild. "Comparison of friction and wear for an epoxy resin reinforced by a glass or a carbon/aramid hybrid weave." *Wear*: vol. 262, nos. 7-8, March 2007, pp. 1013–1020.
38. Test methods for determining the izod pendulum impact resistance of plastics. ASTM Standard ASTM D256-06a, ASTM International, West Conshohocken, PA, 2007.
39. Plastics -determination of Charpy impact properties -part 1: Non-instrumented impact test. ISO Standard 179, International Organization for Standardization, Geneva, Switzerland, 2005.
40. Protective clothing -body armour -part 2: Bullet resistance; requirements and test methods. ISO Standard ISO/FDIS 14876-2, International Organization for Standardization, Geneva, Switzerland, 2002.
41. M. Hockauf, L. Meyer, F. Pursche, and O. Diestel. "Dynamic perforation and force measurement for lightweight materials by reverse ballistic impact." *Composites Part A*: vol. 38, no. 3, March 2007, pp. 849–857.
42. H. Zhang, J. Zhang, J. Chen, X. Hao, S. Wang, X. Feng, and Y. Guo. "Effects of solar uv irradiation on the tensile properties and structure of PPTA fiber." *Polymer Degradation and Stability*: vol. 91, no. 11, November 2006, pp. 2761–2767.
43. G. M. Kent, K. L. Johnson, D. R. Gadoury, and R. L. Mumford. Ultraviolet stability of aramid and aramid-blend fabrics by pigment dyeing or printing. US Patent 6 451 070, assigned to BASF Corporation (Mount Olive, NJ), 17 September 2002.
44. Y. Xing and X. Ding. "Uv photo-stabilization of tetrabutyl titanate for aramid fibers via sol-gel surface modification." *Journal of Applied Polymer Science*: vol. 103, 2007, pp. 3113–3119.
45. C.-H. Hsu. Electrically conductive fibers. WO Patent 9 722 740, assigned to Du Pont (US), 26 June 1997.
46. J. D. Hartzler. Electrically-conductive para-aramid pulp. US Patent 6 436 236, assigned to E. I. du Pont de Nemours & Company (Wilmington, DE), 20 August 2002.

47. X. Zhao, K. Hirogaki, I. Tabata, S. Okubayashi, and T. Hori. "A new method of producing conductive aramid fibers using supercritical carbon dioxide." *Surface and Coatings Technology*: vol. 201, nos. 3-4, October 2006, pp. 628–636.
48. D. C. Prevorsek, G. A. Harpell, and D. Wertz. Ballistic resistant fabric articles. US Patent 5 677 029, assigned to AlliedSignal Inc. (Morristown, NJ), 14 October 1997.
49. Chitrangad. Aramid ballistic structure. US Patent 6 030 683, assigned to E. du Pont de Nemours and Company (Wilmington, DE), February 29, 2000.
50. A. Hikichi, M. Haruta, and K. Horiguchi. Friction material. US Patent 6 670 408, assigned to Akebono Brake Industry Co., Ltd. (Tokyo, JP), 30 December 2003.
51. J. H. Bickford, editor. *Gaskets and Gasketed Joints*. New York: Marcel Dekker, 1998.
52. R. P. Foster. Gasket material. US Patent 5 240 766, assigned to Hollingsworth & Vose Company (East Walpole, MA), 31 August 1993.
53. P. J. de Lange, P. G. Akker, E. Mader, S.-L. Gao, W. Prasithphol, and R. J. Young. "Controlled interfacial adhesion of twaron(r) aramid fibres in composites by the finish formulation." *Composites Science and Technology*: vol. 67, no. 10, August 2007, pp. 2027–2035.
54. H. M. Kang, T. H. Yoon, and W. J. Van Ooij. "Enhanced adhesion of aramid tire cords via argon plasma etching and acetylene plasma polymerization." *Journal of Adhesion Science and Technology*: vol. 20, 2006, pp. 1155–1169.
55. Y. Ren, C. Wang, and Y. Qiu. "Influence of aramid fiber moisture regain during atmospheric plasma treatment on aging of treatment effects on surface wettability and bonding strength to epoxy." *Applied Surface Science*: vol. 253, no. 23, September 2007, pp. 9283–9289.
56. T. A. Koch, V. Gabara, E. W. Tokarsky, and J. J. McEvoy. Aramid polymer catalyst supports. US Patent 6 159 895, assigned to E. I. du Pont de Nemours and Company (Wilmington, DE), 12 December 2000.
57. S. Villar-Rodil, F. Suárez-García, J. I. Paredes, A. Martínez-Alonso, and J. M. D. Tascón. "Activated carbon materials of uniform porosity from polyaramid fibers." *Chemistry of Materials*: vol. 17, no. 24, 2005, pp. 5893–5908.
58. S. Villar-Rodil, A. Martinez-Alonso, and J. M. D. Tascon. "Carbon molecular sieves for air separation from nomex aramid fibers." *Journal of Colloid and Interface Science*: vol. 254, no. 2, October 2002, pp. 414–416.
59. J. Boudou, P. Parent, F. Suarez-Garcia, S. Villar-Rodil, A. Martinez-Alonso, and J. Tascon. "Nitrogen in aramid-based activated carbon fibers by tpd, xps and xanes." *Carbon*: vol. 44, no. 12, October 2006, pp. 2452–2462.
60. M. Bubacz, A. Beyle, D. Hui, and C. C. Ibeh. "Helium permeability of coated aramid papers." *Composites Part B*: vol. 39, no. 1, January 2008, pp. 50–56.

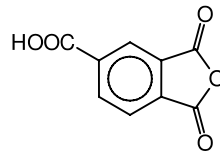
61. I. V. Tikhonov. "New organic materials with improved consumer properties and articles made from them." *Fibre Chemistry*: vol. 30, no. 5, September 1998, pp. 312–317.
62. I. V. Slugin, G. B. Sklyarova, A. I. Kashirin, and L. V. Tkacheva. "Rusar para-aramid fibers for composite materials for construction applications." *Fibre Chemistry*: vol. 38, 2006, pp. 25–26.
63. DuPont™ Kevlar®. [electronic], <[http://www2.dupont.com/Kevlar/en\\_US/products/index.html](http://www2.dupont.com/Kevlar/en_US/products/index.html)>, 2007.
64. R. G. Keske. Partially aromatic polyamides having improved thermal stability. US Patent 5 962 628, assigned to BP Amoco Corporation (Chicago, IL), 5 October 1999.
65. D. B. Warheit. "A review of inhalation toxicology studies with para-aramid fibrils." *Annals of Occupational Hygiene*: vol. 39, no. 5, October 1995, pp. 691–697.
66. D. B. Warheit, K. L. Reed, K. E. Pinkerton, and T. R. Webb. "Biodegradability of inhaled *p*-aramid respirable fiber-shaped particulates (RFP): Mechanisms of RFP shortening and evidence of reversibility of pulmonary lesions." *Toxicology Letters*: vol. 127, nos. 1-3, February 2002, pp.259–267.
67. D. B. Warheit, K. L. Reed, J. D. Stonehuerner, A. J. Ghio, and T. R. Webb. "Biodegradability of para-aramid respirable-sized fiber-shaped particulates (RFP) in human lung cells." *Society of Toxicology*: vol. 89, 2006, pp. 296–303.
68. G. L. Hearn, J. A. Amner, and P. J. Walker. Method and apparatus to identify asbestos and aramid. US Patent 6 144 208, assigned to Ford Global Technologies, Inc. (Dearborn, MI), 7 November 2000.
69. S. Mohanty and Y. Chugh. "Development of fly ash-based automotive brake lining." *Tribology International*: vol. 40, no. 7, July 2007, pp. 1217–1224.

## بوليميرات الپولي (أמיד إيميد)

لقد جرى استعمال بوليميرات الپولي (أמיד إيميد) (PAI) في نهاية الستينيات من القرن الماضي بصفقتها مواد لطلاء الأسلاك<sup>1-3</sup>. وسرعان ما جرى أخذ هذه البوليميرات بعين الاعتبار في تطبيقات الطيران<sup>4</sup>. ولقد جرت مناقشة تنوعات على هذه البوليميرات ذات وحدات يوريثان ووحدات إستر. والآن تتوفر أنواع متنوّعة تصلح للبتق وللقولبة بالحقن. كما توجد في الأسواق أنواع صالحة للتصليد الحراري. تقع بوليميرات PAI في موقع الوسط في خواصها بين بوليميرات الپولي (أמיד) (PA) وبوليميرات الپولي (إيميد) (PI).

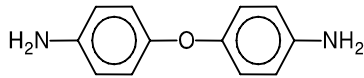
### 1.14. المونوميرات

يلخص الجدول (1-14) المونوميرات الشائعة. ويبين الشكل (1-14) ثنائيات الحمض المستعملة في حالة الپولي (أמיד إيميد)، في حين يبين الشكل (2-14) ثنائيات الأمين وثنائيات الإيزوسيانات، ويبين الشكل (3-14) مركّبات أخرى.

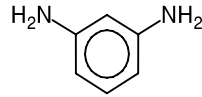


أنهيدريد حمض ثلاثي ميليتيك

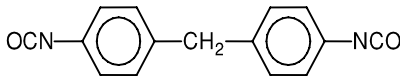
الشكل (1-14): ثنائيات الحمض المستعملة في حالة الپولي (أמיד إيميد)



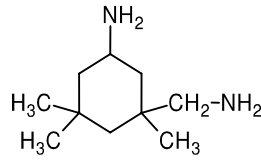
إيثر ثنائي أمينو ثنائي فينيل



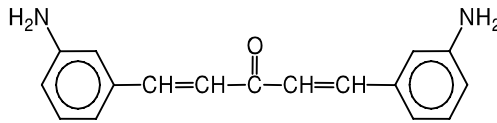
3-3'-فينيلين ثنائي الأمين



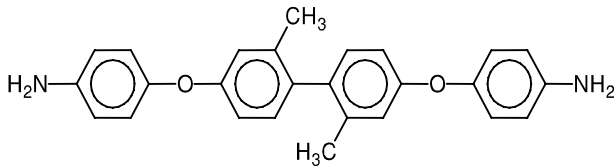
ثنائي إيزو سياناتو ثنائي فينيل ميثان



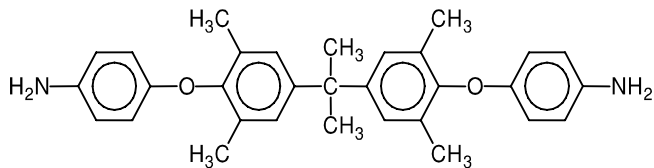
إيزوفورون ثنائي الأمين



5-1-بيس (3-أمينوفينيل)-4-1-بنتادينين-3-أون

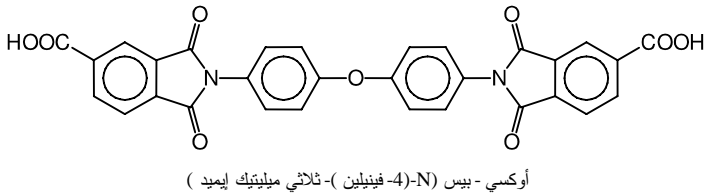
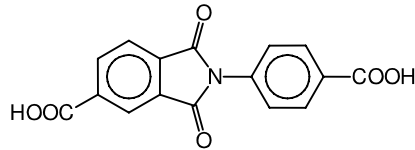
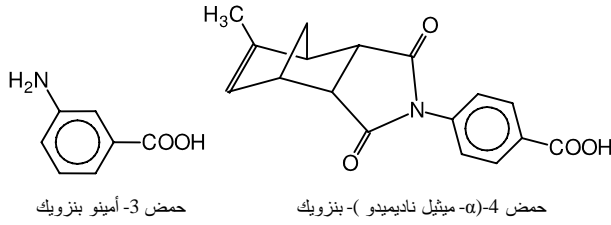


2-2-ثنائي ميثيل-4-4'-بيس (4-أمينو فينيوكسي) بيفينيل



3-3'-رباعي ميثيل-2-2-بيس [4-4-أمينو - فينيوكسي] فينيل إيثان

الشكل (2-14): ثنائيات الأمين وثنائيات الإيزوسيانات المستعملة في حالة البولي (أميد إيميد)



### الشكل (14-3): أحماض أمينو وإيمينو مستعملة في حالة البولي (أميد إيميد)

إن أنهيدريد ثنائي الحمض الوحيد ذا الأهمية العملية هو أنهيدريد حمض ثلاثي ميليتيك. يجري إنتاج حمض ثلاثي الميليتيك عن طريق أكسدة شبه الكومين<sup>12</sup>. ويُحضّر حمض 4-( $\alpha$ -ميثيل ناديميديو)-بنزويك من حمض 4-أمينوبنزويك وأنهيدريد  $\alpha$ -ميثيل ناديك<sup>5</sup>.

أما أوكسي-بيس (N-(4-فينيلين)-ثلاثي ميليتيك إيميد) فهو ناتج تكاثف أنهيدريد حمض ثلاثي الميليتيك وإيثر 4,4'-ثنائي أمينو ثنائي فينيل<sup>6</sup>. ويمكن تحضير مركبات بيس إيميد مُشابهة من أنهيدريد حمض ثلاثي ميليتيك و MDI أو 4,4'-ثنائي أمينو ثنائي فينيل ميثان أو ثنائي أمين إيزوفورون.

إن إيثر ثنائي أمينو ثنائي فينيل هو اسم آخر لـ 4,4'-أوكسي ثنائي الأنيلين (ODA). تُحضّر هذه المركبات بعملية تقطير مرتد لأمينوفينات معدن قلوي مع كلورو نثرو بنزين في ثنائي ميثيل فورماميد<sup>13</sup>. يُحضّر إيثر 4,3'-ثنائي أمينو ثنائي فينيل بتفاعل نزع الهيدروجين من 3-أمينو-2-حلقي هكسين-1-أون<sup>14</sup>.

الجدول (1-14): مونوميرات في حالة بوليميرات بولي (أميد إيميد)

المراجع	ثنائيات الحمض والأنهيدريدات
6,5	أنهيدريد حمض ثلاثي ميليتيك
	ثنائيات الأمين
7,6	ثنائي أمينو ثنائي فينيل إيثر
5	ثنائي إيزو سياناتو ثنائي فينيل ميثان (MDI)
6	m-فينيلين ثنائي الأمين
8	2,2'-ثنائي ميثيل-4,4'-بيس (4-أمينو فينيوكسي) بيفينيل
9	1,5-بيس (3-أمينو فينيل)-4,1-بنتادينين-3-أون
10	إيزو فورون ثنائي الأمين
	أحماض أمينو وإيمينو
11	حمض 3-أمينو بنزويك
5	حمض 4-( $\alpha$ -ميثيل ناديميدو)-بنزويك
6	أوكسي-بيس (N-(4-فينيلين)-ثلاثي ميليتيك إيميد)
9	حمض 2-(4-كربوكسي فينيل)-3,1-ثنائي أوكسو إيزو إندولين-5-كربوكسيليك

يمتلك مركب 2,2'-ثنائي ميثيل-4,4'-بيس (4-أمينو فينيوكسي) بيفينيل كسرة بيفينيلين ثنائية الاستبدال وغير واقعة في مستوٍ واحد ووحدات أريل مرنة. لن يغير ضمّ البيفينيلين، ثنائي الاستبدال إلى السلسلة البوليميرية، البنية على شكل قضيب للسلسلة البوليميرية الرئيسية، ولكنه سيقلل التفاعلات المتبادلة بين السلاسل. فينخفض الميل نحو التبلر وكذلك درجات حرارة الانتقال الزجاجي، في حين تتحسن الانحلالية<sup>8</sup>.

يُحضّر ثنائي الأمين بتقارن 2,2'-ثنائي ميثيل بيفينيل-4,4'-ديول مع p-كلورو نيترو بنزين. بعد ذلك يجري إرجاع زمر النترو. لأسباب مُماثلة جرى تقديم 3,3',5,5'-رباعي ميثيل-2,2-بيس [4-(4-أمينو-فينيوكسي)فينيل] بروبان بصفته مونوميراً ثنائي الأمين<sup>15</sup>. ولقد جرى تحضير بوليميرات قابلة للانحلال في N-ميثيل-2-بيروليديون (NMP)، وثنائي ميثيل أسيتاميد (DMAC)، و N,N-ثنائي ميثيل فورماميد، و m-كربوزول، وبيريدين، ورباعي هيدروفوران.

يمكن تحسين الانحلالية في المذيبات اللابروتونية بإدخال زمر إيثر وأكسيل مرنة<sup>16</sup>. ولقد جرى اصطناع مُباعدات أوليغو إيثرية بتكاثف أنهيدريد حمض ثلاثي ميليتيك مع 8،1-ثنائي أمينو-3،6-ثنائي أوكسا أوكتان.

## 2.14. البلمرة والتصنيع

يمكن تحضير بوليميرات PAI بتكاثف أحادي أنهيدريد لحمض ثلاثي الكربوكسيليك، وثنائي أمين أولي. وكذلك يمكن تحضير PAI بتفاعل كلوريدات حمض ثنائي الكربوكسيليك وثنائيات الأمين. هنا إما أن تكون ثنائيات الأمين أو هاليدات ثنائي الحمض محتوية أصلاً على روابط إيמיד، والأمر نفسه في حالة روابط الأميد. عادة يجري الحصول على بوليمير PAI التقليدي بتفاعل كميات متساوية مولياً من أنهيدريد هاليد حمض ثلاثي الميليتيك وثنائي أمين<sup>17</sup>.

### 1.2.14. طريق الإيزوسانات

يشتمل طريق الإيزوسانات على تكاثف ثنائي إيزوسانات عطري مع أنهيدريد حمض ثلاثي الكربوكسيليك عطري ليعطي بوليمير PAI دون بوليمير بولي (حمض أميك) كنتاج وسطي<sup>18</sup>. يمكن أن يواجه طريق الإيزوسانات بعض المشاكل إذ يمكن أن يحدث تَهَلْم أثناء التفاعل. وأكثر من ذلك فإنه من الصعب الحصول على بوليميرات خطية عالية الوزن الجزيئي بسبب تكون نواتج جانبية<sup>6</sup>. وتتسأ عند البلمرة بالترسيب لمركبات ثنائي الإيزوسانات العطرية مشاكل في الأمان في بيئة العمل وفي التكلفة، وذلك لأن التفاعل يجري باستعمال مركبات نetro سامة أو مذيبات سلفولان باهظة الثمن<sup>19</sup>.

تمتلك راتجات PAI المُحضرة بهذه الطريقة انسيابية صهارة ضعيفة، وقابلية تشغيل سيئة، إضافة إلى خواص ميكانيكية ومقاومة حرارية سيئة أيضاً<sup>6</sup>. ولكن عند استعمال مركبات إيزوسانات أوليغوميرية، يمكن اصطناع أنواع من PAI ذات ذات مقاطع طرية، يمكن استعمال هذه الأنواع في أغشية النفاذ البخاري، وذلك بهدف تفصيل الخواص حسب الحاجة<sup>20</sup>.



### 2.2.14. طريق كلوريد الحمض

تتكوّن طريقة كلوريد الحمض من تكاثف كلوريد حمض ثلاثي الكربوكسيليك عطري مع ثنائي أمين عطري. يمكن تجزئة هذه الطريقة إلى <sup>6</sup>:

1. طريقة بلمرة محلول متجانس في درجة حرارة منخفضة،

2. طريقة بلمرة بالترسيب في درجة حرارة منخفضة.

مثال نموذجي على طريقة بلمرة محلول متجانس في درجة حرارة منخفضة هو تفاعل البلمرة بدرجة حرارة الغرفة في مذيب قطبي لا مائي مثل DMAC <sup>7</sup>.

تشتمل طريقة البلمرة بالترسيب في درجة حرارة منخفضة على تفاعل بلمرة في مذيب عضوي يقبل بصعوبة الانحلال في الماء، مثل ميثيل إيثيل كيتون، وفي مذيب مائي باستعمال ثلاثي إيثيل أمين بصفته متقبلاً حمضياً. هذا التفاعل هو نوع من طرائق البلمرة في السطح البيني <sup>6</sup>.

### 3.2.14. طريق البلمرة المباشرة

تشتمل طريقة البلمرة المباشرة على بلمرة مباشرة لثنائي أمين عطري مع أنهيدريد حمض ثلاثي الكربوكسيليك عطري بوجود مُحفّز إزالة ماء. تضمّ مُحفّزات إزالة الماء كلاً من ثلاثي فينيل الفوسفيت، وثلاثي فينيل الفوسفات وثلاثي-n-بوتيل فوسفيت <sup>11</sup>. يجري حذف الماء بالتسخين لأعلى من 200°C في تيار من الآزوت. يمكن إجراء العملية في مرحلتين، باستعمال مُحفّز مختلف في كلّ مرحلة <sup>19</sup>.

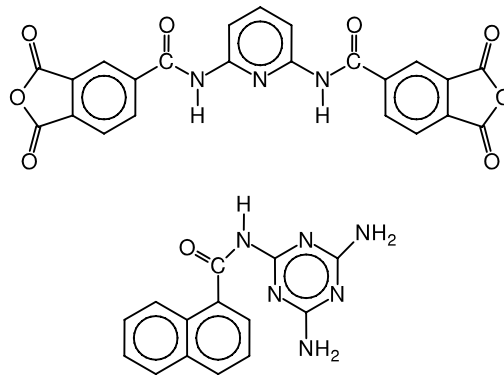
وبدلاً من ذلك يمكن استعمال تقنيّة التكاثف الأزيوتروبي لإزالة الماء. في طريقة البلمرة المباشرة المعدّلة هذه يجري تكاثف إيثر ثنائي أمينو ثنائي فينيل، و-m-فينيلين ثنائي الأمين (MPD) وأنهيدريد حمض ثلاثي ميليتيك بنسبة قدرها 1 mol من مركّب ثنائي الأمينو و 2 mol من مركّب الأنهيدريد في NMP باستعمال الكزولين لإزالة الماء المتكوّن. يُعالج حمض ثنائي إيهد ثنائي كربوكسيليك الناتج بكلوريد الثيونيل ليتشكّل كلوريد الحمض مباشرة ويتكوّن PAI بإضافة مزيج من إيثر ثنائي أمينو ثنائي فينيل و MPD <sup>6</sup>.

يمكن تحضير بوليمير PAI ذي سلسلة رئيسية مُحدّدة من النمط رأس-إلى-ذيل بتكاثف أنهيدريد حمض ثلاثي ميليتيك مع إيثر 4-أمينو-4'-نيترو ثنائي فينيل. ثمّ يجري إرجاع زمرة النيترو لتعطي مونوميراً ذا زمر وظيفية أمينية وحمضية. ثمّ يُخضع هذا المونومير لتفاعل بلمرة مباشر<sup>21</sup>. تفيد هذه السيرورة في تحضير بوليميرات لا متناظرة. كما إن مركّبات 3-نيتروأنيلين و 2-ميثيل-5-نيتروأنيلين و 3-نيترومزيدين، أي 2،4،6-ثلاثي ميثيل-3-نيترو أنيلين، هي مركّبات أخرى ذات زمر أمينو وزمر نيترو.

#### 4.2.14. البلمرة بالأموح المكروية

يبين الشكل (4-14) مونوميرات لأنواع PAI النشطة ضوئياً. يجري تحضير ثنائي الأمين النشط ضوئياً بزمرة نفتالينيك جانبية عن طريق تفاعل 1-نفتالدهيد مع كلوريد السلفوريل، متبوعاً بالتكاثف مع 2،4،6-ثلاثي أمينو-3،5-تريازين<sup>22</sup>. وفي دراسة مشابهة، جرى استعمال إيثر 4،4'-ثنائي أمينو ثنائي فينيل بصفته ثنائي أمين، وجرى استعمال وحدة فينانثرين بدلاً من وحدة نفتالين<sup>23</sup>.

لقد جرت محاولة إيمدة المونوميرات المبيّنة في الشكل (4-14) بطرائق تقليدية. ولكنّ التفاعل لا يتقدّم حتى عند تطبيق أزمنة تفاعل طويلة، ودرجات حرارة مرتفعة، وتكاثف آزبوتروبي. إلا أن تطبيق تشيع بأموح مكروية يُنتج بوليميرات بمرود كمّي ولزوجة جوهرية مرتفعة في زمن قصير.



الشكل (4-14): مونوميرات في حالة PAI النشطة ضوئياً

إنّ اختيار المذيب المناسب أمرٌ أساسي. فالتقارن مع التشعيع المكروي يزداد مع ثابت العزل الكهربائي. واستعمال كمّيّة ضئيلة من مذيب قطبي، يجري تسخينه عند تشعيه في فرن أمواج مكروية يجعله يؤدي دور:

1. ماصّ أولي،

2. مذيب.

ولقد وُجد أن 0-كربزل يمثّل إضافة جيّدة بوجه خاص في حالة تكاثف مركّبات الأنهيدريد مع الأمينات<sup>24,25</sup>.

#### 5.2.14. بوليميرات بولي (أميد إيميد) ذات النهايات المغطّاة

يمكن تحسين الكمال الحراري ومقاومة المذيبات تحسیناً كبيراً بتغطية وحدات الأميد إيميد في السلسلة الرئيسيّة بمونوميرات يمكن تشبيكها<sup>26</sup>.

وإذا جرى استعمال فائض من ثنائي الأمين، يمكن تغطية زمر الأمينو النهائيّة الحرّة، مثلاً بواسطة أنهيدريد الناديك أو أنهيدريد الماليك. يمكن تشبيك هذه المواد عبر زمر الفينيل التفاعليّة بواسطة تفاعل تصليد حراري.

ولقد جرى تطوير طرائق اصطناع مثل هذه المواد المغطّاة النهايات استعملت فيها ثنائيات إيزوسيانات وأنهيدريدات أحماض عطريّة<sup>5</sup>. ولقد اقترح أنّه يمكن مزج تنوّع واسع من المواد الأوليغوميريّة ذات الزمر الوظيفيّة المختلفة، وذلك لتفصيل خواص المُنْتَجَات التي يجري إنصاجها<sup>17,26</sup>.

#### 6.2.14. بوليميرات بولي (أميد إيميد) غير المُشْبَعَة

لقد جرى تحضير PAI غير مُشبع من 1-5-بيس (3-أمينوفينيل)-1،4-بنتادينين-3-أون وحمض 2- (4-كربوكسي فينيل)-1،3-ثنائي أوكسو إيزو إندولين-5-كربوكسيليك<sup>9</sup>. يفيد كلوريد الثيونيل في تنشيط زمرة الحمض بصفتها كلوريد حمض مرحلي. ويُستعمل كلوريد الليثيوم كمحفّز مشترك. يجري التفاعل عند درجات حرارة  $5^{\circ}\text{C}$  -  $0^{\circ}\text{C}$ . تُبدى البوليميرات درجة حرارة انتقال زجاجي قدرها  $220^{\circ}\text{C}$ . ويمكن تحقيق تشبيك البوليمير بواسطة ثنائي بنزويل بيروكسيد، فترتفع عندئذ درجة حرارة الانتقال الزجاجي إلى  $235^{\circ}\text{C}$ .

## 7.2.14. المزائج

تُبدى المزائج من بوليمير PAI وبوليمير بولي (أريل إيثر كيتون) مقاومة مذب مُحسنة، إضافة إلى استقرار إزاء التحلل المائي<sup>27</sup>. لقد جرى اختبار المزائج من بولي (إيثر إيثر كيتون) المسلفن وPAI كمواد للأغشية للاستعمال في خلايا الوقود بالميثانول المباشر<sup>28,29</sup>. يمكن الحصول على خلائط قابلة للامتزاج. ولقد جرت الإشارة إلى مزائج من بولي (يوريثان) (PU) وPAI بصفتها المركبات الصغرى في تطبيقات الأغشية<sup>30</sup>. إن الأغشية الناتجة لا تقبل الامتزاج. ويحدث انفصال في الطور عند انخفاض كمية PU.

## 8.2.14. الرغويات

يؤدي تكوين رغويات من PAI إلى رغويات مقاومة للحرارة. هناك رغويات أخرى مصنوعة من أنواع أخرى من البوليميرات. نجد في الجدول (14-2) مقارنة بين مساوئ وحسنات رغويات نموذجية مقاومة للحرارة المرتفعة.

يُنظر إلى رغويات راتنج PI كواحدة من أكثر المواد قابلية للتطبيق بسبب استقرارها الحراري الممتاز وتبطينها للهب. وتستهدف الأبحاث تحسين الخواص الفيزيائية، وتبسيط سيرورة تحضيرها. ومن ناحية أخرى، تُبدى راتنجات PAI مقاومة حرارية أفضل من راتنجات بولي (إيثر إيثر). وإضافة إلى ذلك فإن معالجة صهارتها وتشغيلها أسهل.

الجدول (14-2): حسنات وسيئات رغويات مقاومة للحرارة<sup>10</sup>

البوليمير	الحسنات	السيئات
بولي (إيزوسيانورات)	خواص ميكانيكية جيدة، تبطين لهب، استقرار مورفولوجي، زهد الثمن	مقاومة حرارية سيئة
بولي (بنزي إيثيرول)	مقاومة حرارية ممتازة	مقاومة أكسدة سيئة
بولي (إيميد)	مقاومة حرارية ممتازة، تبطين لهب، خواص كهربائية جيدة، نفاذية منخفضة.	باهظ الثمن
بولي (أميد إيثير)	متانة، مقاومة ميكانيكية جيدة	

#### 1.8.2.14. تكوين الرغويات بأسلوب فيزيائي مستمر

لقد كانت بوليميرات PAI ذات البنى الخلوية معروفة لفترة طويلة، وجرت ملاحظتها في مراحل مختلفة من تحضير البوليمير أو تشغيله<sup>31</sup>. في الحقيقة، في عدد من الحالات لا يكون تكوّن الرغويات مرغوباً أو مقصوداً. فمثلاً، لقد كان معلوماً لعدّة سنوات أنّ الرغويات من PAI يمكن أن تتشكّل عند انطلاقه من فوهة برميل الحقن، في آلة قولبة بالحقن. ولذلك نجد مجموعة من النشرات العلميّة تهدف إلى تعليم كيفية منع تكوّن هذه الرغويات<sup>32,33</sup>.

تُبدى الرغويات المنتجة بالصدفة وبدون قصد بنيةً غير منتظمة، ذات خلايا مفتوحة ومتّصلة، وذات قياسات عشوائية وتختلف الفراغات فيها شكلاً، وقياساً وتوزيعاً من منطقة في المادة الرغوية إلى أخرى.

ومن جهة أخرى، يمكن إنتاج الرغويات من PAI بشكلٍ مقصود. فمثلاً يمكن الحصول على بنية رغوية وخواص مرضية بتسخين مسحوق PAI من تورلون® Torlon التجاري في قالب مُغلق إلى درجة أعلى من درجة انتقاله الزجاجي لزمّن كافٍ حتى يلين وتتصهر جسيماته<sup>31</sup>. ثمّ تقوم المواد الطيّارة المُمتصّة بجعل البوليمير يتمدّد ويملأ القالب تتراوح أزمنة الإقامة في القالب من عدّة دقائق إلى عدّة ساعات. بعد التسخين يُبرّد القالب إلى ما تحت درجة الانتقال الزجاجي. فتتصلّب الكتلة الخلوية المتمدّدة ويجري الحصول على سلع رغوية ذات شكل مطابق للتجويف في القالب. يُشار إلى هذه التقنية أحياناً باسم تكوّن الرغوة بالارتفاع الحر المقيد أو تكوّن الرغوة بالتمدّد الحر المقيد. تُستعمل هذه التقنية لتصنيع سلع رغوية ذات أشكال هندسية بسيطة مثل اللوحات أو الأوراق أو اللبّانات. يمكن أيضاً الحصول على سلع رغوية بتقنيات البثق.

#### 2.8.2.14. تكوين الرغويات كيميائياً

**تكوين رغويات ما قبل البوليمير.** لقد جرى تطوير ما قبل بوليميرات من PAI لتتيح تقنيات تكوين رغوة بسيطة. تتميز هذه الأنماط بانخفاض لزوجة صهارتها. يُساهم استعمال ثنائي أمين الإيزوفورون في PAI في خفض لزوجة الصهارة بسبب انخفاض كثافة التعبئة العائد إلى مستبدلات الميثيل الثلاث<sup>10</sup>.

تُحضّر الرغويات بأسلوب مماثل لراتجات PI عن طريق تسخين ما قبل بوليمير بولي (أميد حمض أميك). يُسبّب الماء أثناء التفاعل الرغوة. وتفصيلاً تتكوّن السيرورة من:

1. طحن راتج ما قبل بوليمير بولي (أميد حمض أميك)، إلى قياس قدره حوالي  $400\mu\text{m}$ ،
  2. ترقيق مسحوق بولي (أميد حمض أميك)، وتوزيعه بانتظام في القالب،
  3. ضغط،
  4. تكوين رغوة تحت ضغط قدره  $300\text{kp cm}^{-2}$  عند درجة حرارة  $330^\circ\text{C}$ .
- تُحضّر ما قبل البوليميرات من مزيج من ثنائي أمين الإيزوفورون بنسبة 30 في المئة مولياً و ODA بنسبة 70 في المئة مولياً، في DMAC، ثم يُفاعل المزيج مع كميات ستوكيومترية من كلوريد أنهيدريد حمض ثلاثي ميليتيك عند  $0-10^\circ\text{C}$ . وأخيراً يُضاف ثلاثي إيثيل أمين بصفته صياد حمضي.
- تمكن إضافة أنهيدريد الأسيتيك (أنهيدريد حمض الخل) والبيريدين كمحفّزات تفاعل بهدف إيمنة بولي (أميد حمض أميك) إذا شئنا. درجة حرارة الانتقال الزجاجي لبوليميرات PAI هي  $270-320^\circ\text{C}$ . أما كثافة المادة الرغوية فهي  $0.1-0.5\text{g cm}^{-3}$ . يُظهر الجدول (3-14) خواص المواد النهائية تبعاً لدرجة إيمنتها.

الجدول (3-14): خواص الرغويات<sup>10</sup>

الخواص	الكثافة	درجة الإيمدة	
		الدرجة [%]	الزمن [h]
اسفنج مرن	0.15	24.3	0
اسفنج جاسئ	0.38	63.6	12
لا اسفنج	—	79.6	24

تكوّن رغويات من الإيزوسيانات. بدلاً من ذلك، يمكن تحضير رغويات PAI من تفاعل إيزوسيانات متعدّدة الوظائف مع أحماض إيبدو كربوكسيلية<sup>34,35</sup>. يُحفّز التفاعل بواسطة أمينات ثالثية. ونحصل على أفضل النتائج من ثنائي إيزوسيانات بوليميرية من نوع MDI. ويمكن إضافة خافضات التوتر السطحي لتحسين انتظام المادة الرغوية وتخفيف الفراغات وغير ذلك من العيوب<sup>34</sup>.

### 3.14. الخواص

تقبل معظم أنواع PAI القابلة بالحقن، وهي مواد لامتلّرة متلدّنة حرارياً. وهي تمتص الماء عند إخضاعها لبيئة رطبة، أو عند غمسها بالماء. يُعطي الجدول (4-14) خواص نوع من PAI عامّ الاستعمال.

#### 1.3.14. الخواص الميكانيكية

تُبدي بوليميرات PAI مقاومة ميكانيكية عالية عند درجات حرارة عالية تصل حتى  $260^{\circ}\text{C}$ . وهي تُبدي مقاومة ممتازة للزحف (التشوّه تحت الإجهاد) وللاعتراء تحت هذه الشروط. لذلك تُستعمل هذه المواد في الأجزاء الدوّارة والزلزقة في التطبيقات الصناعيّة وفي صناعة السيارات، مثل الحمّالات والبطنات وحلقات الإحكام وحلقات المكابس<sup>37</sup>. ولا حاجة إلى مُرلّقات خارجيّة.

الجدول (4-14): خواص <sup>36a</sup>Torlon® 4301

المقياس	الوحدة	القيمة	الخاصّة
ASTM D792	$\text{g cm}^{-3}$	1.46	الكثافة
ASTM D570	%	0.28	امتصاص الماء، 24 ساعة
ASTM D638	MPa	6830	معامل الشد
ASTM D638	MPa	163	مقاومة الشد
ASTM D638	%	7	استطالة الشد عند الكسر
ASTM D790	MPa	6890	معامل الانحناء ( $23^{\circ}\text{C}$ )
ASTM D790	MPa	215	مقاومة الانحناء ( $23^{\circ}\text{C}$ )
ASTM D695	MPa	5310	معامل الانضغاط
ASTM D695	MPa	166	مقاومة الانضغاط
ASTM D256	$\text{J m}^{-1}$	64.1	صدمة أيزود المثلوم
ASTM D256	$\text{J m}^{-1}$	406	صدمة أيزود غير المثلوم
ASTM D177	$\text{W m}^{-1} \text{K}^{-1}$	0.53	الموصلية الحرارية
ASTM D257	$\Omega$	$8.0 \times 10^{17}$	الممانعة السطحية
ASTM D257	$\Omega \text{cm}$	$8.0 \times 10^{15}$	الممانعة الحجمية

Slovay Advanced Polymers<sup>a</sup>

## 4.14. تطبيقات

تجد راتنجات PAI المتلدنة حرارياً استعمالاً في العديد من التطبيقات، مثل المواد اللاصقة، والطلاءات، وتركيبات القولية المملوءة وغير المملوءة والألياف والأغشية والمواد المركبة والمصفحات. وهي تُستعمل بوجه خاص في الطائرات، وفي التطبيقات الكهربائية والإلكترونية للسيارات كطلاءات وسدادات إحكام، وفي تجهيزات معالجة الزيت والغاز.

### 1.4.14. الأغشية الفاصلة

تشمل تطبيقات الأغشية الفاصلة كلاً من تطبيقات خلايا الوقود بالميثانول المباشر، وفصل الغازات، وأغشية النفاذ البخاري والتحفيز الكيميائي.

#### 1.1.4.14. أغشية فصل الغازات

يُبدى PAI خواص مثيرة للاهتمام تتعلق بتطبيقات أغشية فصل الغاز. يمكن تحسين كل من النفاذية والانتقائية بإدخال زمر متدلّية ضخمة. تجعل هذه الزمر البنية الجزيئية جاسئة وتُحافظ على الفراغات فيها. ومقارنةً ببوليميرات PI فإنّ أغشية PAI أسهل تصنيعاً.

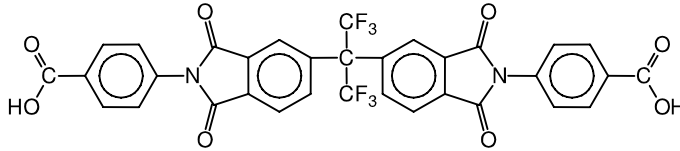
يمكن استعمال بوليميرات PAI المُفلورة في الأغشية العالية الانتقائية. يلخص الجدول (5-14) بعضاً منها. تُكَاثَف هذه المركبات بواسطة أمينات متنوّعة لتعطي أنواعاً من PAI<sup>38</sup>. وهي تشمل المونوميرات المبيّنة في الشكلين (5-14) و(2-14). ويمكن تفصيل أداء الأغشية إزاء فصل الغازات حسب الحاجة بتنويع بنية البوليمير.

لقد جرى تكاثف سلسلة من بوليميرات PAI باستعمال حمض ثلاثي ميليتيك، وأيضاً حمض 3-أمينو-4-ميثيل بنزويك وثنائيات أمين متنوّعة. لقد وُجد أنّ النفاذية تجاه الهيليوم تزداد بازدياد المحتوى من الفلور. وإضافة إلى ذلك تُساهم الكسر اللاخطية في النفاذية<sup>39</sup>. وفي حالة PAI ذي مقاطع أوليغوميرية من رباعي فلورو إيثين، لا تؤثر نماذج استبدال زمر الفينيل في كسر ثنائي الأمين تأثيراً ملحوظاً في الانتشارية<sup>40</sup>.

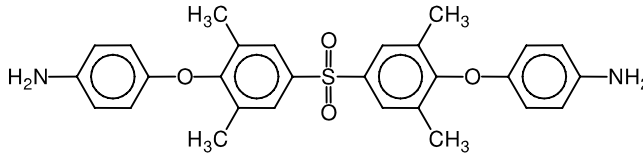


الجدول (5-14): مونوميرات للأغشية الفاصلة

المراجع	أحماض أمينو وإيمينو
38	2،2-بيس [N-(4-كربوكسي فينيل)-فتال إيميديل] سداسي فلورو بروبان
ثنائيات الأمين	
38	4،4'-بيس (4-أمينو فينوكتسي) بيفينيل
38	2،2'-ثنائي ميثيل 4،4'-بيس (4-أمينو فينوكتسي) بيفينيل
38	3،3'،5،5'-رباعي ميثيل -بيس [4-(4-أمينو فينوكتسي) فينيل] سلفون
39	2،4،6-ثلاثي ميثيل -3،1-فينيلين ثنائي أمين
39	3،3'-ثنائي ميثوكسي بنزدين
39	3،3'،5،5'-رباعي ميثيل بنزدين
39	3،3'-ثنائي ميثيل -1،1'-بينفثالين
مونوميرات أخرى	
39	حمض 3-أمينو -4-ميثيل بنزويك



2،2-بيس [N-(4-كربوكسي فينيل)-فتال إيميديل] سداسي فلورو بروبان



3،3'،5،5'-رباعي ميثيل -بيس [4-(4-أمينو فينوكتسي) فينيل] سلفون

الشكل (5-14): مونوميرات تُستعمل في تطبيقات أغشية فصل الغاز<sup>38</sup>

#### 2.1.4.14. الأغشية المحفزة

تُستعمل المحفزات في هدرجة الزيوت الغذائية مثل زيت دوار الشمس. تقليدياً، جرى استعمال مُحفّزات نيكل محمولة على هلام سيليكات في مُفاعلات طينية. ويُستعاض الآن عن النيكل بالبالاديوم أو البلاتين بهدف الإقلال من تكوّن إيزوميرات "مفروقة" أثناء عملية

تكوّن الإيزوميرات. ولأنّه ينبغي إرجاع المحفّزات بعد الهدرجة، فإنّ إعادة الاستعمال مرغوبة وبخاصّة في حالة المحفّزات من المعادن النبيلة.

لقد جرى تطوير الأغشية الفاصلة المحفّزة المؤسّسة على أساس PAI وغيره من المواد المستقرّة عند درجات حرارة مرتفعة<sup>41</sup>. إنّ الأغشية المؤسّسة على قاعدة PAI وأوكسيد الألمنيوم كثيفة وتبدي نفاذية منخفضة. إلّا أنّه عند إضافة بولي (أوكسيد الإيثيلين أوكسيد البروبيلين) مع إبقاء درجة حرارة الصبّ تحت 9°C، يُلاحظ ازدياد كبير في نفاذية الأروت والزيت والماء.

يمكن جعل الغشاء نشطاً تحفيزياً بإضافة مُحفّزٍ محمول سابق التحضير بدلاً من مالىّ عادي إلى محلول الصبّ. وفي طريقة بديلة يمكن تشريب الغشاء بمحلول  $PdCl_2$  أو  $H_2PtCl_6$ .

في هذه الحالة، يتنبّت المعدن على الغشاء إمّا بإرجاع كيميائي باستعمال بوروهيدريد أو تكليس الغشاء عند درجات حرارة 175–200°C. وفي الطريقة الثانية يكون المحفّز أقلّ عرضة للانجراف أثناء تفاعل الهدرجة.

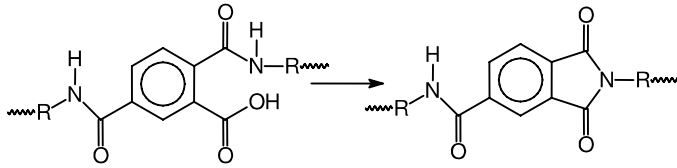
وبعكس حالة مُحفّزات النيكل حيث درجات الحرارة الضرويّة للهدرجة هي حوالي 170–200°C، فإنّ الأغشية تعمل بشكل مرضٍ عند درجة حرارة 100°C وضغط هيدروجين قدره 4 bar.

#### 2.4.14. الطلاءات والمواد اللاصقة

هناك أنواع من PAI تُستعمل طلاءات<sup>42</sup>. هذه الأنواع هي ذات خواص تصلّد حراري. يجري تسويق البوليمير بشكله غير الإيميدي أو بشكله ذي حمض الأميك. وعند التسخين، يمر البوليمير بتفاعل تحلّق متحوّلاً إلى الشكل الإيميدي. يبيّن الشكل (14-6) تفاعل التحلّق هذا. يحدث تفاعل الإيميدة في درجات حرارة في المجال 90–150°C. تشمل المذيبات لشكل حمض الأميك كلاً من DMAC وثنائي ميثيل سلفوكسيد وثنائي ميثيل فوراميد وNMP. ولكن يُفضّل NMP بسبب رائحته الضعيفة وانخفاض مستوى سمّيته نسبياً.

تكون المذيبات باهظة الثمن نسبياً، لذلك تُستعمل مواد أرخص ثمناً، ولكنها تعمل مذيبات في مجال محدود من التراكيز. تُسمّى هذه المواد ممدّات. يمكن استعمال الممدّات

فقط في مجال حدود انحلاليتها. تشمل الممدّات الهيدروكربونات العطرية وخلات الإيثيل والأسيتون وحلقي الهكزانون والأسيتانيليد<sup>42</sup>.



الشكل (14-6): تحلّق شكل حمض الأميك إلى شكل الإيميد

#### 1.2.4.14. ميناء الأسلاك

في الأصل، كان يُفهم من الميناء مادة زجاجية تُطبّق على المعدن أو الخزف. إلا أن التسمية توسّعت لتشمل طلاءات، وهي شائعة الاستعمال من قبل الخبراء وفي المقاييس<sup>43</sup>. إن استعمال PAI في ميناء الأسلاك أمرٌ معروف<sup>44</sup>.

تشتمل المنتجات التقليدية من ميناء الأسلاك من PAI مثلاً على أنهيدريد حمض ثلاثي ميليتيك وMDI. ويُستعمل NMP مذيباً، ويجري في بعض الحالات توسيعه بهيدروكربون. إن NMP مسؤول عن المستويات المرتفعة من انبعاثات NO الصادرة من منشآت الطلاء المقترنة بمحرقة للنفايات الغازية. وأبعد من ذلك يستجيب NMP استجابة سيئة للإضافات، مثلاً لتحسين تسوية ميناء الأسلاك.

لهذه الأسباب جرت محاولات لاستبدال مذيبات أخرى بمذيب NMP. ولقد اقترح استعمال كريسول بدلاً من NMP، إلا أن هذا يتطلب استعمال أنواع أخرى من PAI بسبب عدم انحلاله في الكريسول<sup>45</sup>.

يمكن إنتاج أنواع PAI قابلة للانحلال في الكريسول بتفاعل أنهيدريد حمض ثلاثي ميليتيك مع الكريسول لتكوين إستر الكريسول. ثم يجري تفاعل هذا الإستر مع MDI ومن ثم مع 4،4'-ثنائي أمينو ثنائي فينيل ميثان. وهكذا يُصبح PAI قابلاً للانحلال في الكريسول بتعديله بواسطة ε-كابرولاكتام. إحدى سيئات هذه الطريقة هي أنّ هذا النوع لم يعد عطرياً تاماً، فتتأثر الخواص الحرارية سلباً من ذلك.

لقد وُجد أنّ الإيميد والأميد العطريين اللذين يُكوّنان مُركّبات ذات وظائف تزيد على اثنتين تُعطي منتجات قابلة للانحلال في الكريزول<sup>45</sup>. الإضافات في حالة ميناء الأسلاك هي الراتنجات الفينوليّة، أو راتنجات الميلامين، أو المركّبات المُفلورة، أو كحول البنزول. أمّا محفّزات التشبيك التصالبي فهي أوكتوات التوتياء أو أوكتوات الكادميوم أو التيتانات مثل تيتانات رباعي البوتيل. أمّا الموسّعات فهي الكزيلين والتولوين والإيثيل بنزين والكومين وغير ذلك من المواد المشابهة المتوفرة تجارياً.

#### 2.2.4.14. الطلاءات المُقاومة للتشقّقات

لقد جرى وصف صياغات ذات مُقاومة مُحسّنة لتكوّن التشقّقات<sup>46</sup>. إن لزيادة الوزن الجزيئي أثراً ضعيفاً في حذف التشقّقات المُحرّضة بالورنيش في أغشية PAI. إلا أن مقاومة التشقّقات مرتبطة بالإنضاج والتشبيك التصالبي. إن نسبة الإيميد إلى الأميد، والتوتر السطحي لطلاءات الأغشية، يؤثران في مدى الميل نحو تكوّن التشقّقات.

وأبعد من ذلك فإن طوراً ثانياً مشتتاً يُقلّل الإجهاد المتبقي، ويُقلّل من تكوّن التشقّقات الضارة. لقد جرى وصف سلسلة من الصياغات<sup>46</sup>. إن مُكوّنات PAI هي أنهيدريد حمض ثلاثي ميليتيك وMDI وحمض الأديبيك وحمض الإيزوفتاليك وبوليمير بولي (أكريلو نتريل-co-بوتاديين) المنتهي بكربوكسيل. المذيب هو NMP. ويُضاف إلى البوليمير طين من بولي (رباعي فلورو إيثيلين).

#### 3.2.4.14. الطلاءات اللاصقة

لقد جرى تطوير صياغات مناسبة للمواد اللاصقة ذات المقاومة العالية والمتحمّلة لدرجات الحرارة العالية. ولقد لوحظت قوى ربط ممتازة مع الفولاذ غير القابل للصدأ، وخليط الألمنيوم والتيتانيوم، وأغشية PI<sup>42</sup>.

ولقد جرى تطوير تركيبات راتنج PAI المعدل بسيلوكسان بهدف إنتاج أغشية لاصقة صفيحية للوحات الدارات الإلكترونيّة. تلتصق التركيبة بقوة إلى طبقة PI القاعدية، وإلى طبقة النحاس<sup>48,47</sup>.

### 3.4.14. الألياف

لقد جرى اقتراح استعمال ألياف PAI في أكياس الترشيح في درجات الحرارة العالية لمرافق غاز العادم. تقليدياً، جرى استعمال الألياف الأراميد بصفحتها أليفاً مقاومة للحرارة لأكياس الترشيح. إن ألياف PAI أسهل إنتاجاً من ألياف الأراميد.

على سبيل المثال، يمكن بثق بوليمير، محضّر من أنهيدريد حمض ثلاثي ميليتيك وMDI في NMP، من المحلول عبر فوهة وحيدة التقب. يُتبع ذلك بجهاز غزل جافّ مزوّد بفرن طوله 1.5 m. يجري الحصول على الألياف عند  $270^{\circ}\text{C}$  وبمقدار 220 متراً بالدقيقة. ثمّ تُجفّف الألياف غير المسحوبة بعناية في الخلاء لجعل المحتوى من المذيب أقلّ من 1%. ثمّ تمرّر الألياف عبر منطقة تسخين في جوّ من الآزوت، حيث تخضع الألياف للسحب بنسبة سحب قدرها 5 49.

### 4.4.14. التطبيقات البصريّة

#### 1.4.4.14. مواد أدلة الأمواج البصريّة

لقد جرت محاولات لاستعمال أنواع PAI لمواد أدلة الأمواج البصريّة، لنقل الضوء في مجال أطوال موجات تحت الأحمر القريب. لقد انزاح مجال أطوال موجات الضوء في الاتصالات البصريّة من 800 nm إلى 1550 nm، وهو يوافق أطوال موجات تحت الأحمر القريب. تمتصّ البوليميرات التقليديّة الضوء في المجال 1000–1700 nm، أي في مجال أطوال موجات تحت الأحمر القريب. إنّ امتصاص البوليميرات العضويّة للضوء في مجال أطوال موجات تحت الأحمر القريب ناجمّ عن التواترات التوافقية الناتجة من اهتزازات الامتطاط والتشوّه في روابط الكربون-هيدروجين في زمر الألكيل، والفينيل، وغير ذلك من الزمر الوظيفيّة المشابهة.

إنّ البوليميرات التقليديّة ليست مناسبة لمواد أدلة الأمواج البصريّة بسبب الضياع البصري المرتفع. وهذا أيضاً صحيح في حالة أنواع PAI، التي تُبدي مع ذلك خواص بصريّة جذابة أخرى للاستعمال في التجهيزات البصريّة. وبهدف الإقلال من الضياع البصري، يجب إزاحة منطقة أطوال موجات الامتصاص الضوئي لبوليمير من منطقة تحت الأحمر القريب إلى مناطق أطوال موجاتها أطول أو أقصر. لقد جرى اقتراح استبدال

الفلور بذرات الهيدروجين. إلا أنه عند الاستعاضة عن الهيدروجين بالفلور تنخفض قرينة انكسار البوليمير. وهناك سيئة أخرى هي انخفاض التوتر السطحي، مما يؤدي عموماً إلى التصاق ضعيف.

يتكوّن بوليمير PAI ذو قرينة انكسار أعلى من تلك الموافقة لبوليمير PI التقليدي المُفلور من مونوميرات مُكلورة. عند استعمال مثل هذا النوع من PAI بصفته مادة قلب ليف بصري، يُصبح مجال الاختيار لمادة القشرة أكثر اتساعاً. إضافة إلى ذلك يتحسن أداء الطلاء والالتصاق إلى الركيزة مقارنةً ببوليمير PI التقليدي. ولقد جرى اقتراح مونوميرات محتوية على الإيميد على أساس أنهيدريد حمض 3،5،6-ثلاثي كلورو-4-كلوروفورميل فتاليك للتطبيقات البصريّة، لأن قرينة الانكسار مرتفعة بقدر كاف<sup>50</sup>.

يجري الحصول على المونوميرات بتكاثف أنهيدريد حمض 3،5،6-ثلاثي كلورو-4-كلوروفورميل فتاليك، انظر الشكل (14-7)، مع ثنائيات أمين متنوّعة لتكوين مونوميرات محتوية على إيميد. إلى جانب المونوميرات المبيّنة في الشكل (14-7) فقد جرى إعطاء أمثلة على عدد من ثنائيات الأمين الأخرى<sup>50</sup>.

وبعد تكوّن مونومير الإيميد بتفاعل زمر الفتاليك النهائيّة، يتكوّن بوليمير PAI بتفاعل زمر الكلوروفورميل مع ثنائي أمين إضافي. وبشكل أساسي هي نفسها ثنائيات الأمين المستعملة في تفاعل الإيميدة.

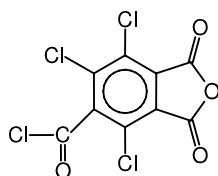
#### 2.4.4.14. المواد المتلوّنة ضوئياً

البوليميرات المحتوية على زمر متلوّنة ضوئياً مهمّة للتطبيقات البصريّة. فمثلاً تُصبح العدسات المتلوّنة ضوئياً عاتمة عند التعرّض للضوء فوق البنفسجيّ. يمكن الحصول على البوليميرات المتلوّنة ضوئياً بإدخال زمر آزوبنزين. تمرّ هذه الزمر بتفاعل تشكّل إيزوميرات مقرون-مفروق عند التعرّض للضوء. يبيّن الجدول (14-6) ثنائيات أمين ذات زمر آزو.

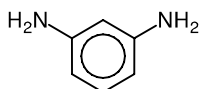
يتداخل قطاع تحت الأحمر لرابطة  $N=N$  مع ذلك الموافق لاهتزاز  $C=C$  في حلقة البنزين عند حوالي  $1600\text{ cm}^{-1}$ . تُبدي بوليميرات PAI درجة حرارة انتقال زجاجي مرتفعة، واستقراراً حرارياً عالياً. وتزيد مستبدلات الألكيل الجانبيّة أثر التوجيه المحرّض ضوئياً<sup>51</sup>.

الجدول (6-14): ثنائيات أمين ذات زمر آزو

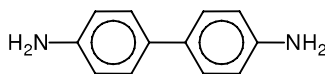
المراجع	ثنائيات الأمين
51	4-2-ثنائي أمينو-4'-فلورو آزو بنزين
51	4-2-ثنائي أمينو-4'-ميثيل آزو بنزين
51	4-2-ثنائي أمينو-4'-ثلاثي فلورو ميثوكسي آزو بنزين
51	4-2-ثنائي أمينو-4'-نيترو آزو بنزين
52	4-2-ثنائي أمينو-4'-4-نيترو فينيل-ثنائي آزينيل (آزو بنزين
52	4-4-نترو فينيل-ثنائي آزينيل (فينيل-3,1-ثنائي أمين



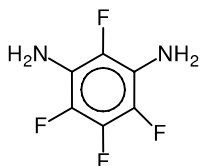
أنهيدريد حمض 3,6,4-ثلاثي كلورو-4-كلوروفورميل فتاليك



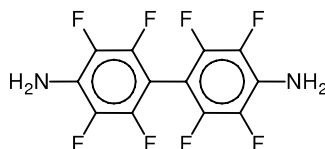
3-1-ثنائي أمينو بنزين



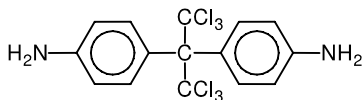
4-4'-ثنائي أمينو بيفينيل



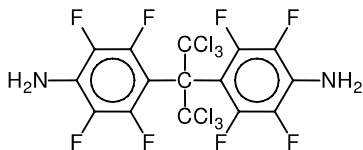
3-1-ثنائي أمينو رباعي فلوروفينزين



4-4'-ثنائي أمينو ثماني فلورو بيفينيل

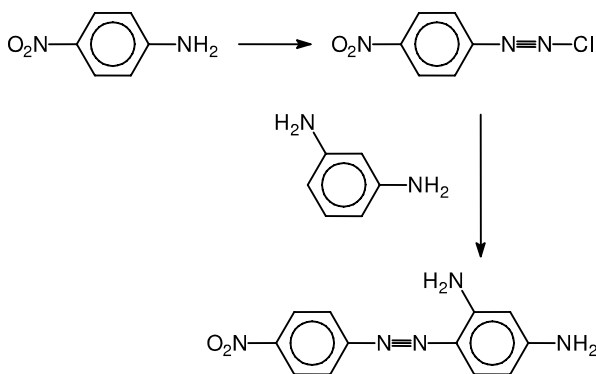


2-2-بيس (4-أمينو فينيل) سداسي كلوروبروبان



2-2-بيس (4-أمينو رباعي فلورو فينيل) سداسي كلوروبروبان

الشكل (7-14): مونوميرات للتطبيقات البصرية<sup>50</sup>



الشكل (8-14): اصطناع 4-(4'- نيترو فينيل-ثنائي آزينيل) فينيل-1،3-ثنائي أمين

تُستعمل حوامل اللون المؤسسة على زمر آزو كسلاسل جانبية في PAI للتطبيقات في الضوء اللاخطي. يبيّن الشكل (8-14) اصطناع مثل هذه المركبات.

#### 3.4.4.14. المواد المتلونة كهربائياً

التلون الكهربائي (Electrochromism) هو تغيّر عكوس في الخواص البصرية لمادة سببه تفاعلات أكسدة وإرجاع<sup>54,53</sup>. يمكن دفع تفاعلات الأكسدة والإرجاع للبدء عند وضع المادة على سطح مسرى. وعندما تكون المادة المتلونة كهربائياً قادرة على إظهار عدّة ألوان يُطلق عليها اسم مادة متعدّدة التلون الكهربائي.

يمكن أن يحدث التغيّر في اللون عندما يُجبر حامل للون (كروموفور) على تغيير طيف امتصاصه عن طريق تطبيق فرق كمون كهربائي. وبذلك يمكن أن يتغيّر الامتصاص من منطقة الأشعة فوق البنفسجية إلى منطقة الضوء المرئي. تُستعمل المواد المتلونة كهربائياً للتحكّم بتدفّق الضوء. تتلخّص هذه التطبيقات بنوافذ ومرايا ذكية. نجد تطبيقات في مرايا الرؤية الخلفية المضادة للإبهار في السيارات<sup>55</sup>، والنظارات الشمسية الذكية، وفي تجهيزات المعلومات البصرية والتخزين.

هناك عدّة صفوف معروفة من المواد العضوية المتلونة كهربائياً. يمكن استعمال وحدة ثلاثي فينيل أمين لإعطاء خاصّة تلوّن كهربائي لراتنجات PAI. وعلى الخصوص، يمكن تكثيف N,N-بيس (4-أمينو فينيل)-N',N'-ثنائي فينيل-1،4-فينيلين ثنائي أمين<sup>57,56</sup> و 4،4'-ثنائي أمينو-4'-ميثوكسي ثلاثي فينيل أمين مع مركبات بيس (ثلاثي ميليت إيميد) للحصول على أنواع PAI المتلونة كهربائياً<sup>58</sup>.



يكون ثلاثي فينيل أمين كاتيوناً جذرياً عند الأكسدة الأنيونية فيخضع لدمرة متحولاً إلى رباعي فينيل بنزدين. يمكن توليف كمون الأكسدة والإرجاع باستبدال الحلقة العطرية. يمكن توصيف سلوك PAI إزاء الأكسدة والإرجاع بقياس الفولطائية الحلقية. تُصب الأغشية على ركيزة زجاجية مطلية بأوكسيد الإنديوم والتصدير بصفتها مسرى العمل في الأستونتريل الجاف. يُفحص التلون الكهربائي بواسطة مسرى رقيق الطبقة شفافاً بصرياً مقترناً بمطيافية الأشعة المرئية-فوق البنفسجية.

## 5.14. الموردون والعلامات التجارية

يبين الجدول (7-14) الموردين والعلامات التجارية. ويبين الجدول (8-14) الأسماء التجارية الواردة في المراجع.

الجدول (7-14): أمثلة على بوليميرات بولي (أميد إيبيد) المتوفرة تجارياً

الاسم التجاري	المنتج
AI Polymer	Mitsubishi Gas Company
Alphamide®	Quadrant Engineering Plastic Products
Pyropel®	Albany International
Sintimid™	Ensinger
Torlon®	Slovay Advanced Polymers
Vylomax®	Toyobo
Pebax®	Atofina

## 6.14. الأمان

يوفر المصنعون بطاقات معطيات الأمان لبوليميرات PAI. يُنصح باتخاذ الإجراءات المعهودة عند التعامل مع البوليميرات الساخنة. يمكن أن تحدث تهيجات بتأثير مفاعيل ميكانيكية. التسخين المبالغ فيه أثناء التشغيل يولد دخاناً مجهول السمية. وبشكل أساسي، لا توجد في الأدبيات دراسات على التحلل الحراري لبوليميرات PAI. إلا أنه يمكن أن نتوقع أن آلية التفكك تشبه ما نجده في حالة بوليميرات PA و PI معاً. بالطبع إنّ المونوميرات المستعملة في حالة PAI أكثر خطورة من البوليميرات نفسها. فمثلاً يمكن ل ODA أن يُسبب السرطان وضرراً جينياً يورث. إنه سام عند الاستنشاق، أو عند التماس مع الجلد،

أو عند ابتلاعه. وأكثر من ذلك فهو سامٌ للأحياء المائية، لأنه يُسبب آثاراً سلبيةً طويلة الأمد على البيئة المائية.

#### الجدول (14-8): الأسماء التجارية الواردة في المراجع

المورد	الاسم التجاري الوصف
Bayer AG	Desmodur® (Series)
Olin Chemical	أوليغومير على قاعدة 4،4'-ثنائي فينيل ميثان ثنائي إيزوسيانات <sup>45</sup> Expandex® 150
PMI	ملح كالسيوم من 5-فينيل تيترازول، عامل نفخ <sup>31</sup> Galwick®
Dow	مائع مبلل <sup>41</sup> Isonate®
BASF	تشكيلة للرغويات على قاعدة الإيزوسيانات <sup>45</sup> Lupranat® (Series)
BASF AG	تشكيلات على قاعدة الإيزوسيانات <sup>45</sup> Pluronic® (Series)
PMI	بوليمير مشترك كتلي التعاقب أوكسيد إيثيلين أوكسيد بروبيلين، مانع ترغى <sup>41</sup> Porewick®
Solvay	مائع مبلل <sup>41</sup> Radel® A
Exxon	بولي (إيثر سلفون) <sup>41</sup> Solventnaphtha™
Solvay(Amoco)	مذيب هيدروكربوني عطري <sup>45</sup> Solvesso®
Toyobo	مزائج مذيبات عالية العطرية <sup>45</sup> Torlon® (Series)
	بولي (أميد إيميد) <sup>31,6</sup> Vylomax®
	بولي (أميد إيميد) <sup>41</sup>

1. Wire coating. NL Patent 6 611 895, assigned to du Pont de Nemours, E. I., and Co., 27 February 1967.
2. Polyamide-imide resins. GB Patent 1 119 791, assigned to Sumitomo Electric Industries, Ltd., 10 July 1968.
3. E. G. Redman and J. S. Skinner. Poly(amide imide) electrical insulation. FR Patent 1 501 198, assigned to Mobil Oil Corp., 10 November 1967.
4. R. E. Mauri. Organic materials for structural applications. NASA Spec. Publ. SP-3051, USA., 1969.
5. Y. Camberlin and P. Michaud. Linear aromatic poly(amideimide)s having latent maleimide endgroups. US Patent 5 086 154, assigned to Rhone-Poulenc Chimie (Courbevoie, FR), 4 February 1992.
6. K.-Y. Choi, D.-H. Suh, M.-H. Yi, Y.-T. Hong, and M.-Y. Jin. Process for preparing polyamideimide resins by direct polymerization. US Patent 5 955 568, assigned to Korea Research Institute of Chemical Technology (Daejeon, KR), 21 September 1999.
7. J. R. Stephens. Preparation of film forming polymer from carbocyclic aromatic diamine and acyl halide of trimellitic acid anhydride. US Patent 3 920 612, assigned to Standard Oil Company (Chicago, IL), 18 November 1975.
8. D.-J. Liaw and B.-Y. Liaw. 2,2'-dimethyl-4,4'-bis (4-aminophenoxy) biphenyl, and polymers prepared therefrom by polycondensation. US Patent 5 844 065, assigned to National Science Council (TW), 1 December 1998.
9. S. Maiti and A. Ray. "Unsaturated polyamideimide from 1,5-bis(3-aminophenyl)-1,4-pentadien-3-one." *Makromolekulare Chemie-Rapid Communications*: vol. 2, 1981, pp. 649-653.
10. K.-Y. Choi, M.-H. Yi, M.-Y. Jin, and Y.-T. Hong. Polyamideamic acid resin prepolymers, high heat resistant polyamideimide foams prepared therefrom, and processes for preparing them. US Patent 5 824 766, assigned to Korea Research Institute of Chemical Technology (Daejeon, KR), 20 October 1998.
11. M. Minami and M. Taniguchi. Method of preparing a soluble high molecular weight aromatic polyamide imide composition. US Patent 3 860 559, assigned to Toray Industries, Inc. (Tokyo, JA), 14 January 1975.
12. S. Nagao, I. Kuzuhara, and H. Ogawa. Process for producing trimellitic acid. US Patent 6 835 852, assigned to Mitsubishi Gas Chemical Company, Inc. (Tokyo, JP), 28 December 2004.
13. P. H. Merrell and M. F. Ellis. Preparation of diaminodiphenyl ethers. US Patent 4 539 428, assigned to Mallinckrodt, Inc. (St. Louis, MO), 3 September 1985.

14. S. E. Jacobson. Method for the manufacture of 3,4'-diaminodiphenyl ether. US Patent 5 434 308, assigned to E. I. Du Pont de Nemours and Company (Wilmington, DE), 18 July 1995.
15. D.-J. Liaw and B.-Y. Liaw. Preparation of soluble polyamide, polyimide and poly(amide-imide). US Patent 6 087 470, assigned to National Science Council of Republic of China (Taipei, TW), 11 July 2000.
16. S. Mehdipour-Ataei and F. Zigheimat. "Soluble poly(amide imide)s containing oligoether spacers." *European Polymer Journal*: vol. 43, no. 3, March 2007, pp. 1020–1026.
17. H. R. Lubowitz and C. H. Sheppard. Oligomers with multiple chemically functional end caps. US Patent 5 969 079, assigned to The Boeing Company (Seattle, WA), 19 October 1999.
18. M. Nakano and T. Koyama. Novel polyimidamide resin. US Patent 3 541 038, assigned to Hitachi Chemical Co. Ltd, 17 November 1970.
19. T. Sakata, K. Hattori, and Y. Mukoyama. Process for the production of high molecular weight polyamide-imide resin. US Patent 5 047 499, assigned to Hitachi Chemical Co., Ltd. (Tokyo, JP), 10 September 1991.
20. A. Jonquière, R. Clément, and P. Lochon. "New film-forming poly(urethane-amide-imide) block copolymers: influence of soft block on membrane properties for the purification of a fuel octane enhancer by pervaporation." *European Polymer Journal*: vol. 41, no. 4, April 2005, pp. 783–795.
21. K.-Y. Choi, J. H. Lee, Y.-T. Hong, M. Y. Jin, K.-S. Choi, and H.-J. Park. Polyamide-imide having head-to-tail backbone. US Patent 6 433 184, assigned to Korea Research Institute of Chemical Technology (Daejeon, KR), 13 August 2002.
22. S. Khoei, F. Sadeghi, and S. Zamani. "Preparation, characterization and fluorimetric studies of novel photoactive poly(amide-imide) from 1-naphthaldehyde and 2,6-diaminopyridine by microwave-irradiation." *Journal of Photochemistry and Photobiology A*: vol. 189, no. 1, June 2007, pp. 30–38.
23. S. Khoei and S. Zamani. "Synthesis, characterization and fluorimetric studies of novel photoactive poly(amide-imide) from anthracene 9-carboxaldehyde and 4,4'-diaminodiphenyl ether by microwave irradiation." *European Polymer Journal*: vol. 43, no. 5, May 2007, pp. 2096–2110.
24. S. E. Mallakpour, A.-R. Hajipour, and S. Khoei. "Polymerization of 4,4'-(hexafluoroisopropylidene)-N,N'-bis(phthaloyl-L-leucine) diacid chloride with aromatic diamines by microwave irradiation." *Journal of Polymer Science Part A: Polymer Chemistry*: vol. 38, 2000, pp. 1154–1160.
25. S. E. Mallakpour, A.-R. Hajipour, and S. Khoei. "Microwave-assisted polycondensation of 4,4'-(hexafluoroisopropylidene)-N,N'-bis(phthaloyl-L-leucine) diacid chloride with aromatic diols." *Journal of Applied Polymer Science*: vol. 77, 2000, pp. 3003–3009.
26. C. H. Sheppard and H. R. Lubowitz. Phenylethynyl capped imides. US Patent 5 817 744, assigned to The Boeing Company (Seattle, WA), 6 October 1998.

27. J. E. Harris and J. P. Gavula. Blends of a poly(amide imide) and a poly(aryl ether ketone). US Patent 5 079 308, assigned to Amoco Corporation (Chicago, IL), 7 January 1992.
28. H.-L. Wu, C.-C. M. Ma, C.-H. Li, T.-M. Lee, C.-Y. Chen, C.-L. Chiang, and C. Wu. "Sulfonated poly(ether ether ketone)/poly(amide imide) polymer blends for proton conducting membrane." *Journal of Membrane Science*: vol. 280, nos. 1-2, September 2006, pp. 501–508.
29. C. Zhao, Z. Wang, D. Bi, H. Lin, K. Shao, T. Fu, S. Zhong, and H. Na. "Blend membranes based on disulfonated poly(aryl ether ether ketone)s (SPEEK) and poly(amide imide) (PAI) for direct methanol fuel cell usages." *Polymer*: vol. 48, no. 11, May 2007, pp. 3090–3097.
30. M.-J. Kim, B. Sea, K.-H. Youm, and K.-H. Lee. "Morphology and carbon dioxide transport properties of polyurethane blend membranes." *Desalination*: vol. 193, nos. 1-3, May 2006, pp. 43–50.
31. G. T. Brooks, B. C. Connolly, and R. Riley. Process for preparing polyamideimide foam. US Patent 4 960 549, assigned to Amoco Corporation (Chicago, IL), 2 October 1990.
32. Y.-T. Chen. Method for heat treating shaped articles of amide-imide or amic acid polymers. US Patent 4 167 620, assigned to Standard Oil Company (Indiana) (Chicago, IL), 11 September 1979.
33. G. T. Brooks and R. E. Bockrath. Injection moldable amide-imide polymers and copolymers containing metal oxides capable of forming hydrates stable at temperatures in excess of 500.degree. f. US Patent 4 403 061, assigned to Standard Oil Company (Indiana) (Chicago, IL), 6 September 1983.
34. J. Gagliani and J. V. Long. Polyamide-imide foams and methods of making same. US Patent 4 585 805, 29 April 1986.
35. D. G. Wernsing and C. J. Claypool. Open celled foam and method of making an open celled foam. US Patent 5 919 833, assigned to Inspee Foams, Inc. (Plano, TX), 6 July 1999.
36. IDES Integrated Design Engineering Systems. The Plastics Web®. IDES Inc. 209 Grand Avenue Laramie, WY 82070 USA [electronic] <<http://www.ides.com/prospector>>, 2006.
37. Anonymous. Torlon® 4435 delivers unmatched performance in non-lubricated, high PV conditions. Technical Bulletin T-50211, Solvay Advanced Polymers, Alpharetta, Georgia, 2002, [electronic] <[http://www.solvayadvancedpolymers.com/static/wma/pdf/2/5/2/TB\\_Torlon4435.pdf](http://www.solvayadvancedpolymers.com/static/wma/pdf/2/5/2/TB_Torlon4435.pdf)>.
38. S.-H. Huang, C.-C. Hu, K.-R. Lee, D.-J. Liaw, and J.-Y. Lai. "Gas separation properties of aromatic poly(amide-imide) membranes." *European Polymer Journal*: vol. 42, no. 1, January 2006, pp. 140–148.
39. D. Fritsch and N. Avella. "Synthesis and properties of highly gas permeable poly(amide-imide)s." *Macromolecular Chemistry and Physics*: vol. 197, no. 2, February 1996, pp. 701–714.

40. Z. K. Xu, M. Bohning, J. Springer, N. Steinhauser, and R. Mulhaupt. "Gas transport properties of highly fluorinated polyamideimides." *Polymer*: vol. 38, no. 3, February 1997, pp. 581–588.
41. D. Fritsch and G. Bengtson. "Development of catalytically reactive porous membranes for the selective hydrogenation of sunflower oil." *Catalysis Today*: vol. 118, nos. 1-2, October 2006, pp. 121–127.
42. Anonymous. Torlon® AI-10 coatings. Technical Bulletin T-49977, Solvay Advanced Polymers, Alpharetta, Georgia, 2006. [electronic] <[http://www.solvayadvancedpolymers.com/static/wma/pdf/9/5/9/1/Torlon\\_AI10\\_Coatings\\_TB.pdf](http://www.solvayadvancedpolymers.com/static/wma/pdf/9/5/9/1/Torlon_AI10_Coatings_TB.pdf)>.
43. Standard test methods for magnet-wire enamels. ASTM Standard ASTM D3288-03, ASTM International, West Conshohocken, PA, 2003.
44. N. J. George. Polyamide-imide resins. US Patent 3 554 984, assigned to The P. D. George Co. (St. Louis, MO), 12 January 1971.
45. S. König, K. W. Lienert, and G. Schmidt. Polyamide-imide resin solution and the use thereof for producing wire enamels. US Patent 7 122 244, assigned to Altana Electrical Insulation GmbH (Wesel, DE), 17 October 2006.
46. J. J. Xu. Polyamideimide composition. US Patent 6 914 093, assigned to Phelps Dodge Industries, Inc. (Ft. Wayne, IN), 5 July 2005.
47. K. Takeuchi, T. Saito, and K. Nanaumi. Siloxane-modified polyamideimide resin composition, adhesive film, adhesive sheet and semiconductor device. US Patent 6 252 010, assigned to Hitachi Chemical Company, Ltd. (Tokyo, JP), 26 June 2001.
48. K. Takeuchi, T. Saito, and K. Nanaumi. Adhesive film formed of a siloxanemodified polyamideimide resin composition, adhesive sheet and semiconductor device. US Patent 6 475 629, assigned to Hitachi Chemical Company, Ltd. (Tokyo, JP), 5 November 2002.
49. C. Inukai, T. Kurita, and K. Uno. Polyamide-imide fibers for a bag filter. US Patent 5 681 656, assigned to Toyo Boseki Kabushiki Kaisha (Osaka, JP), 28 October 1997.
50. D.-H. Suh, E.-Y. Chung, and T.-H. Rhee. Polyamideimide for optical communications and method for preparing the same. US Patent 6 028 159, assigned to Samsung Electronics Co., Ltd. (Suwon, KR) Korea Research Institute of Chemical Technology (Daejeon, KR), 22 February 2000.
51. E. Schab-Balcerzak, B. Sapich, and J. Stumpe. "Photoinduced optical anisotropy in new poly(amide imide)s with azobenzene units." *Polymer*: vol. 46, no. 1, January 2005, pp. 49– 59.
52. H.-L. Chang, H.-L. Lin, Y.-C. Wang, S. A. Dai, W.-C. Su, and R.-J. Jeng. "Thermally stable NLO poly(amide-imide)s via sequential self-repetitive reaction." *Polymer*: vol. 48, no. 7, March 2007, pp. 2046–2055.
53. W. Dautremont-Smith. "Transition metal oxide electrochromic materials and displays: A review -1. oxides with cathodic coloration." *Displays*: vol. 3, no. 1, January 1982, pp. 3– 22.

54. P. M. S. Monk, R. J. Mortimer, and D. R. Rosseinsky. *Electrochromism and Electrochromic Devices*. Cambridge, MA: Cambridge University Press, 2007.
55. A. R. Watson and M. A. Bryson. Rearview mirror assemblies incorporating hands-free telephone components. US Patent 7 266 204, assigned to Gentex Corporation (Zeeland, MI), 4 September 2007.
56. S.-H. Cheng, S.-H. Hsiao, T.-H. Su, and G.-S. Liou. "Novel electrochromic aromatic poly(amine-amide-imide)s with pendent triphenyl-amine structures." *Polymer*: vol. 46, no. 16, July 2005, pp. 5939–5948.
57. G.-S. Liou, S.-H. Hsiao, and Y.-K. Fang. "Electrochromic properties of novel strictly alternating poly(amine-amide-imide)s with electroactive triphenylamine moieties." *European Polymer Journal*: vol. 42, no. 7, July 2006, pp. 1533–1540.
58. C.-W. Chang and G.-S. Liou. "Stably anodic green electrochromic aromatic poly(amine-amide-imide)s: Synthesis and electrochromic properties." *Organic Electronics*: vol. 8, no. 6, December 2007, pp. 662–672.

## بوليميرات پولي (إيميد)

لقد كتب فلوري (Flory) عام 1951 عن تفاعل تكاثف كلوريدات ثنائي الحمض، مع أملاح إيميد البوتاسيوم، مثل تكاثف كلوريد السيباسيل مع فتال إيميد البوتاسيوم<sup>1</sup>. بهذه الطريقة تتكوّن مركّبات N-أسيل ثنائي الإيميد. لقد أشار فلوري إلى إمكان تكوّن بوليميرات، عند استعمال مركّبات أعلى وظائفياً. ولقد كتب إدواردز (Edwards) ومكسويل (Maxwell) لدى دوبون (DuPont) عن بوليميرات پولي (إيميد) (\*) (PI) عام 1955<sup>2</sup>. كانت ثنائيات الأمين المستعملة أليفاتيّة بطبيعتها. وفي وقت لاحق جرى استعمال ثنائيات أمين عطريّة إضافة إلى ما سبق<sup>3</sup>. هناك نوعان أساسيان من بوليميرات PI هي:

- النوع المتصلّد حرارياً،
- النوع المتلدّن حرارياً.

إنّ بوليميرات پولي (إيثر إيميد) (PEI) هي نوع خاص من PI تجمع ميّزات درجات الحرارة العالية لـ PI وتمتلك ما يكفي من إمكانيّة معالجة الصهارة مما يتيح استعمال تقنيات القولية التقليديّة، كالقولية بالضغط، والقولية المدعومة بالغاز، وبنق المقاطع، والتشكيل الحراري والقولية بالحقن<sup>4</sup>.

ينتمي نوع التصليد الحراري إلى مركّبات بيسمالميميد وبيسناديميد إضافة إلى الإيميدات الأوليغوميريّة ذات النهايات المغطاة. تحدث تغطية النهايات بواسطة زمر فينيل إيثل تفاعليّة. تُستعمل هذه الأنواع في القولية التفاعليّة بالحقن، وغير ذلك من التقانات المرتبطة. إنّ كيمياء تكوّن كسرة إيميد متشابهة في حالة كل من النوع المتصلّد حرارياً والنوع المتلدّن حرارياً. هناك عدد من الكتب عن بوليميرات PI<sup>5-9</sup>. مركّبات البيسمالميميد هي صفّ منفصل من بوليميرات PI يُعالج هنا معالجة هامشية لأن التركيز موجّه نحو بوليميرات PI المتلدّنة حرارياً.

(\*) غالباً ما تُكتب "پولي إيميد" دون تأثير لذلك في فهم المقصود (المترجم).



## 1.15. المونوميرات

لقد جرى استعراض اصطناع المونوميرات المناسبة لبوليميرات PI، وتكوين البوليميرت الموافقة استعراضاً معمقاً<sup>10</sup>. المونوميرات مجمعة في الجدول (1-15)، ومركبات ثنائي الأنيهيدريد المستعملة في بوليميرات PI مبيّنة في الشكل (1-15). تُصنّف مركبات ثنائي الأنيهيدريد في الصفوف التالية :

1. ثنائيات أنهيديد البنزين،
2. ثنائيات الأنيهيدريد الجسرية،
3. مركبات بيس (إيثر أنهيديد).

في معظم مركبات ثنائي الأنيهيدريد، تكون زمر الأنيهيدريد مرتبطة بكسر عطرية. يُحضّر ثنائي أنهيديد البيروميليتيك (PMDA) بأكسدة الدورين، الذي هو 1،2،4،5-رباعي ميثيل بنزين. الاصطناع مشابه تماماً لاصطناع أنهيديد الفتاليك. مركب البدء لثنائي أنهيديد بيفينيل رباعي كربوكسيليك هو ثنائي ميثيل فتالات. تجري ديمرة ثنائي ميثيل فتالات بوجود محفّزات بالاديوم، تتحلّمه زمر الإستر ويُزال ماؤها في النهاية<sup>11</sup>. يمكن أيضاً اصطناع ثنائي أنهيديد بيفينيل رباعي كربوكسيليك بالديمرة المباشرة لأنهيديد الفتاليك<sup>12</sup>.

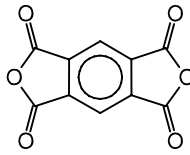
يُسخّن أنهيديد الفتاليك بوجود خلات البالاديوم حتى  $280^{\circ}\text{C}$ . ويجرى الحصول على مزيج من ثنائي أنهيديد بيفينيل-3،3،4،4'-رباعي كربوكسيليك وثنائي أنهيديد بيفينيل-2،3،4'-رباعي كربوكسيليك بمرود كلي حوالى 20 في المئة.

يمكن تحضير أنهيديد 3،3،4،4'-أوكسي ثنائي فتاليك (4,4'-ODPA) من أنهيديد كلوروفتاليك في 0-ثنائي كلوروبنزين وكربونات البوتاسيوم. ويُستعمل سداسي إيثيل غوانيدينيوم بصفته محفّز انتقال الطور<sup>13</sup>.

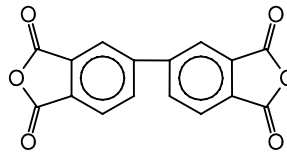
يُسمّى ثنائي أنهيديد 4،4'-بيس (3،4-ثنائي كربوكسيل فينوكسي فينيل)-إيزوبروبيلدين باسم ثنائي أنهيديد بيسفينول A. إن اصطناع تتوّع واسع من مركبات ثنائي الأنيهيدريد الأخرى مُفصّل في الأدبيات<sup>10</sup>. نجد في الشكل (1-15) مُعدّلات ل PI.

الجدول (1-15): مونوميرات في حالة بوليميرات بولي (إيميد)<sup>14</sup>

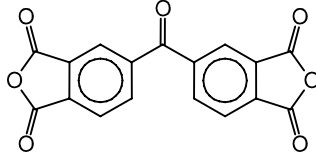
ثنائيات الأنهيدريد
ثنائي أنهيدريد بيروميليتيك (PMDA)
ثنائي أنهيدريد 4،4،3،3'-بيفينيل (4،4'-BPDA)
ثنائي أنهيدريد 4،4،3،3'-بنزو فينون (4،4'-BTDA)
أنهيدريد 4،4،3،3'-أوكسي ثنائي فتاليك (4،4'-ODPA)
ثنائي أنهيدريد 4،1-بيس (4،3-ثنائي كربوكسيل فينوكسي)-بنزين (4،4'-HQDPA)
ثنائي أنهيدريد 3،1-بيس (3،2-ثنائي كربوكسيل فينوكسي)-بنزين (3،3'-HQDPA)
ثنائي أنهيدريد 4،4'-بيس (4،3-ثنائي كربوكسيل فينوكسي فينيل)-إيزوبروبيليدين (4،4'-BPADA)
ثنائي أنهيدريد 4،4'-2،2،2-ثلاثي فلورو-1-خماسي فلورو فينيل إيثيليدين (ثنائي فتاليك (3FDA))
ثنائيات الأمين
4،4'-أوكسي ثنائي أنيلين (ODA)
m-فينيلين ثنائي الأمين (MPD)
p-فينيلين ثنائي الأمين (PPD)
m-تولوين ثنائي الأمين (TDA)
4،1-بيس (4-أمينو فينوكسي)-بنزين (1،4،4-APB)
3،3'-m-فينيلين بيس (أوكسي) ثنائي الأنيلين (APB)
4،4'-ثنائي أمينو 3،3'-ثنائي ميثيل ثنائي فينيل ميثان (DMMDA)
2،2'-بيس (4-4-أمينو فينوكسي) فينيل (بروبان (BAPP))
4،1-حلقي هكسان ثنائي الأمين
2،2'-بيس (4-4-أمينو -فينوكسي) فينيل [سداسي فلورو إيزوبروبيليدين (4-BDAF)]
6-أمينو -1-4-أمينو فينيل (-3،3،1-ثلاثي ميثيل إيندان (DAPI))
مُعدّلات
أنهيدريد ماليك (MA)
أنهيدريد سيتراكونيك (CA)
أنهيدريد ناديك (NA)
أنهيدريد حمض 4- (فينيل إيثينيل) (-2،1-بنزين ثنائي كربوكسيليك (PEPA))



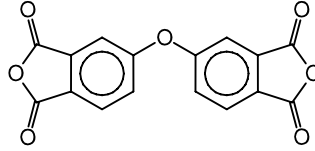
ثنائي أنهيدريد بيرومليتيك



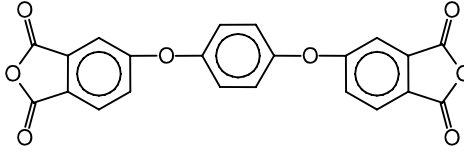
ثنائي أنهيدريد 4,4',3,3'-بيفينيل



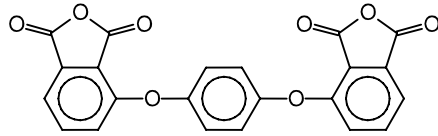
ثنائي أنهيدريد 4,4',3,3'-بنزوفينون



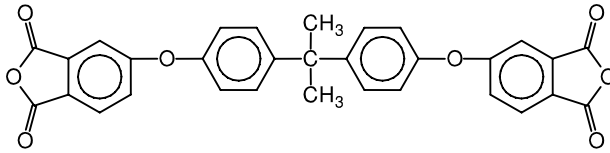
أنهيدريد 4,4',3,3'-أوكسي ثنائي فتاليك



ثنائي أنهيدريد 4+1-بيس (4+3-ثنائي كربوكسيل فينوكسي)-بنزين



ثنائي أنهيدريد 3+1-بيس (3+2-ثنائي كربوكسيل فينوكسي)-بنزين

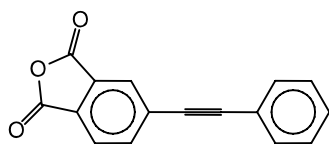


ثنائي أنهيدريد 4+4-بيس (4+3-ثنائي كربوكسيل فينوكسي فينيل)-إيزوبروبيليدين

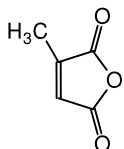
### الشكل (1-15): مركبات ثنائي الأنهيدريد المستعملة في بوليميرات بولي (إيميد)

يُستعمل أنهيدريد حمض 4-(فينيل إيتينيل)-2,1-بنزين ثنائي كربوكسيليك (PEPA) لإدخال زمر وظيفية في البولي إيميدات، بهدف جعلها قابلة للإنضاج حرارياً. ويعمل أنهيدريد السيتراكونيك (CA) بالطريقة نفسها. إضافة إلى ذلك تعمل هذه المُعدّلات كعوامل تغطية للنهايات.

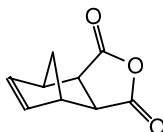
مركبات ثنائي الأمين المستعملة في البولي إيميدات مبيّنة في الشكل (15-3). يمكن اصطناع 4,4'-ثنائي أمينو-3,3'-ثنائي ميثيل ثنائي فينيل ميثان من تكاثف 0-تولويدين مع الفورمالدهيد.



أنهيدريد حمض 4- (فينيل إيثنيل) -2،1- بنزين ثنائي كربوكسيليك

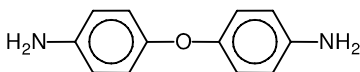


أنهيدريد سبترأكونيك

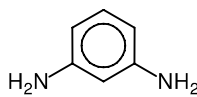


أنهيدريد ناديك

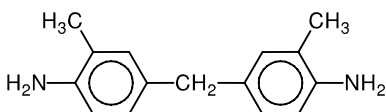
### الشكل (2-15): مُعدّلات لبوليميرات بولي (إيميد)



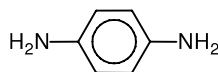
4،4'-أوكسي ثنائي الأنيلين



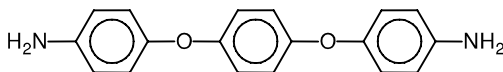
m-فينيلين ثنائي الأمين



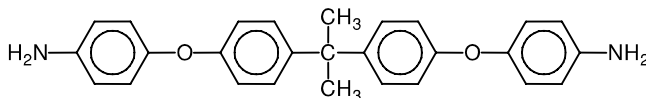
4،4'-ثنائي أمينو -3،3'-ثنائي ميثيل ثنائي فينيل ميثان



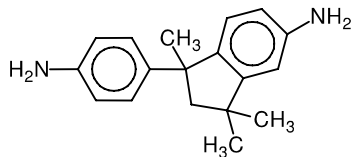
p-فينيلين ثنائي الأمين



4،1-بيس (4-أمينو فينوكسي) - بنزين



2،2-بيس (4-4-أمينو فينوكسي) (فينيل) بروبان



6-أمينو -1-(4-أمينو فينيل) -3،3،1-ثلاثي ميثيل إندان

### الشكل (3-15): مركّبات ثنائي الأمين

يُستعمل 6-أمينو-1-(4'-أمينو فينيل)-3،3،1-ثلاثي ميثيل إندان (DAPI) في بوليميرات PI القابلة للإيضاح. يقبل بوليمير بولي (حمض أميك) وبوليمير PI، مع DAPI في سلسلته الرئيسية ونهايات مغطاة بكسر آليل ناديك، الانحلال في مذيبات عضوية قطبية بتراكيز مرتفعة جداً<sup>15</sup>. تُظهر بوليميرات PI الناتجة متانة ممتازة. ولقد أُشير إلى أن بوليميرات PI على قاعدة 4,4'-ODPA وبيس [4-(p-أمينو-فينوكسي)فينوكسي] ثنائي ميثيل سيلان تتمتع بانحلالية جيدة، وبقدرة على تكوين أغشية<sup>16</sup>.

## 2.15. البلمرة والتصنيع

هناك طرق متعددة لاصطناع بولي إيميدات. أكثرها شيوعاً هو اصطناعها من ثنائيات أنهيدريد وثنائيات أمين. هناك أيضاً سيرورات تجارية تستعمل ثنائيات الأنهيدريد ومركبات الإيزوسانات للحصول على PI.

### 1.2.15. الطريق التقليدي

يتم اصطناع PI بمرحلتين. في المرحلة الأولى يجري تكوين بولي (حمض أميك) من ثنائي الأنهيدريد وثنائي الأمين. ويُستعمل في المرحلتين N-ميثيل-2-بيروليدون (NMP) بصفته مذيباً.

في المرحلة الثانية، يُنزع الماء من بولي (حمض أميك) ليتحول إلى PI. أثناء عملية إيميدة بولي (حمض أميك) يتولد ماء، ويمكن نزع الماء بطرائق عدة:

1. التسخين حتى  $250^{\circ}\text{C}$ . تُسمى هذه السيرورة باسم نزع الماء حرارياً.
2. نزع الماء آزوتروبياً. إذ يُستعمل مذيب آزوتروبي مثل التولوين أو الكزولين لنزع الماء.
3. نزع الماء كيميائياً. بوجود أنهيدريد أسيتيك، تتقدم عملية الإيميدة عند درجة حرارة  $100^{\circ}\text{C}$ .

وعند استعمال ثنائيات أمين عالية الأساسية، مثل ثنائيات الأمين الأليفاتية الحلقية بصفقتها مونوميرات ثنائية الأمين، يتكوّن ملح يتفاعل تعديل قبل تكون بولي (حمض أميك) حين تمتزج ثنائيات الأمين الأليفاتية الحلقية مع ثنائيات أنهيدريد الحمض وتترسّب. ولأن

هذا الملح يكون في حالة مستقرّة، يكون من غير الممكن تكوين بولي (حمض أميك) بتفاعل بلمرة، ولا إيميدة بولي (حمض أميك) بالتفاعل مع عامل تَمِيّه<sup>17</sup>.

عندما يُنزع الماء كيميائياً، يُضاف مُحفّز أساسي مثل ثلاثي إيثيل أمين أو بيريدين أو  $\beta$ -بيكولين أو إيزوكينولين وأنهيدريد أسيتيك. يُنزع الماء المتولّد من تفاعل الإيميدة كيميائياً بالتفاعل مع أنهيدريد حمض. إلا أن هذه الطريقة تتطلّب سيرورة لتنقية مزيج التفاعل وإزالة المواد الباقية مثل الأمينات الثالثية وأنهيدريدات الأسيتيك من المنظومة.

بعض بوليميرات PI لا تقبل التشغيل. وعندما تُوَدّي مرحلة نزع الماء النهائيّة إلى صنع مواد غير قابلة للتشغيل بعد ذلك، يبقى ممكناً صبّ معظم المادة الوسطيّة في أغشية من محاليل الصبّ.

### 2.2.15. طريق الإيزوسيانات

هو طريق بمرحلة واحدة يتضمّن تفاعل ثنائي أنهيدريد الحمض وثنائي إيزوسيانات. تتطلّب هذه الطريقة عادة التسخين حتى  $250^{\circ}\text{C}$ ، تحت ضغط عادي لإتمام الإيميدة بسبب التفاعليّة المنخفضة لثنائي أنهيدريد الحمض إزاء ثنائي الإيزوسيانات<sup>17</sup>.

يجري مزج ثنائي الإيزوسيانات وثنائي أنهيدريد الحمض بكميّات متساوية مولياً، وذلك بعد حلّها بمذيب مناسب. يجري مزج ثنائي أنهيدريد 3،3،4،4'-بنزوفينون (4,4'-BTDA) عند درجة حرارة الغرفة مع ثنائي فينيل ميثان ثنائي إيزوسيانات باستعمال N,N-ثنائي ميثيل فورماميد (DMF) بصفته مذيباً ثمّ يُسخن تحت الخلاء حتى  $210^{\circ}\text{C}$ . نحصل على بوليمير PI ذي وزن جزيئي قدره 50000 دالتون، ودرجة حرارة انتقال زجاجي قدرها  $250^{\circ}\text{C}$ .

لإنفاص زمن التفاعل بين ثنائيات الإيزوسيانات وثنائيات الأنهيدريد، يمكن اختيارياً استعمال مُحفّزات مثل مركّبات ميثوكسيد معدن قلوي<sup>19</sup>، أو فلوريد معدن قلوي مجتمعة مع ملح أونيوم رباعي<sup>20</sup>. إلاّ أنّه لا يُنصح باستعمال المُحفّزات لإنتاج الخيوط التي يجب أن تتمتع بمميّزات جيدة<sup>21</sup>.

تُصنع بعض الألياف والأقمشة غير المنسوجة تجارياً بطريق الإيزوسيانات مثل P84<sup>22</sup>. في حالة هذه العائلة، يُستعمل 4,4'-BTDA و PMDA بصفتهما مركّبات ثنائي

الأنهيدريد، ويُستعمل ثنائي إيزوسيانات التولوين وثنائي إيزوسياناتو ثنائي فينيل ميثان بصفتهما مركّبات ثنائي إيزوسيانات<sup>23</sup>.

### 3.2.15. الطريق المائي

يمكن استعمال الماء بصفته مذيباً لاصطناع PI. ولقد أُقيم الدليل على طريق الاصطناع هذا لإنتاج بوليميرات PI تجارية<sup>18</sup>.

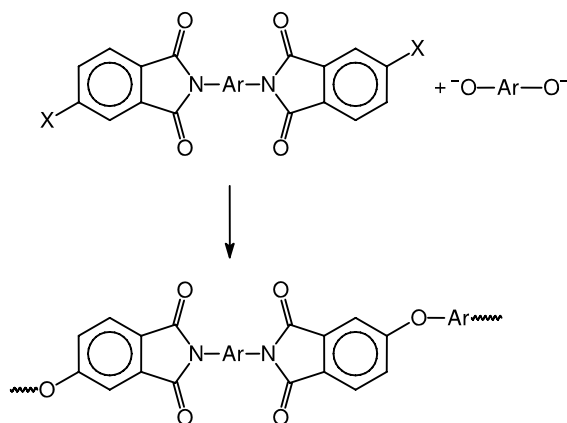
بعكس الطريق التقليدي، يمر الطريق المائي عبر مركّبات طليعية من ملح كربوكسيلي وملح أميني. في المرحلة الأولى من الاصطناع يجري تقطير مرتد في الماء لثنائي الأنهيدريد لحمته حلماً كاملة. وبعد التبريد إلى درجة حرارة الغرفة، يُعدّل المحلول المائي من حمض ثنائي الكربوكسيليك بملاح ثنائي الأمين الموافق فيتكوّن ملح. ويترسّب الملح من المحلول المائي. يُجفّف الراسب ويُسخن إلى درجة حرارة 180°-220 C لنزع الماء وتكوين منتج PI النهائي<sup>24,18</sup>.

يبين الجدول (2-15) المنتجات التي جرى إنتاجها بالطريق المائي. وفعلياً، لا يمكن تمييز الطيف تحت الأحمر (IR) لمركّب Ultem®1000 المتوفّر تجارياً عن ذلك الموافق للنوع المُنتج بالطريق المائي<sup>18</sup>.

يقدم الماء فوائد بيئية واقتصادية. ولكن تظهر نقطة سيئة لهذه الطريقة، بسبب كونها تُتجزّ في خطوة واحدة. فالطريق المائي لاصطناع بولي(إيميد) يُنتج مركّبات غير قابلة للتشغيل، إذا كان البولي إيميد الناتج غير قابل للانحلال أو الانصهار<sup>25</sup>. بدلاً من ذلك يمكن استعمال مونوميرات مُفلورة للحصول على منتجات قابلة للتشغيل ومستقرّة عند درجات الحرارة العالية. وإلاّ يمكن إنتاج منتجات وسطية منخفضة الوزن الجزيئي تتصلّد حرارياً.

الجدول (2-15): بوليميرات بولي (إيميد) مُنتجة بالطريق المائي<sup>18</sup>

النوع	ثنائي أمين	ثنائي أنهيدريد
P84	TDA	4,4'-BTDA
Ultem®1000	MPD	4,4'-BPADA
PETI-5	APB+ أنيلين	4,4'-BPDA+PEPA



الشكل (4-15): البلمرة بالإزاحة النيوكليوفيلية

#### 4.2.15. البلمرة بالإزاحة النيوكليوفيلية

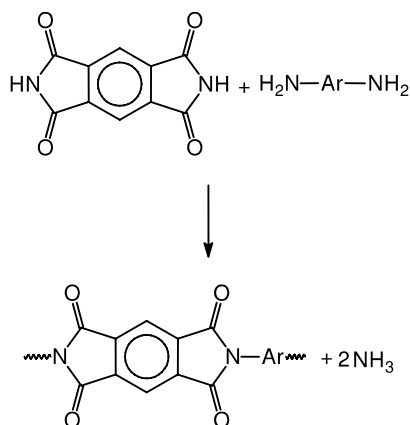
تبدأ البلمرة بالإزاحة النيوكليوفيلية من مركّبات البيس إيميد المونوميرية، التي جرى فيها استبدال هالوجين على الحلقة العطرية. تُوسّع سلسلة مركّبات البيس إيميد عند الحلقة العطرية باستعمال مركّبات بيسفينول. يُبيّن الشكل (4-15) مخطّط هذه السيرورة.

#### 5.2.15. الإيمدة التبادلية

يعود تفاعل الإيمدة التبادلية (Transimidization) للحصول على بوليميرات PI إلى بدايات تصنيع PI. إلا أنه في البداية جرى الحصول على بوليميرات منخفضة الوزن الجزيئي. يبيّن الشكل (5-15) تفاعل الإيمدة التبادلية.

لقد جرى صقل مفهوم الإيمدة التبادلية<sup>26</sup>. يشتمل هذا الطريق على تفاعل أنهيدريد 4-هالو رباعي هيدروفتاليك مع أمين أولي مُنشّط مثل 2-بيريديل أمين للحصول على 4-هالو رباعي هيدروفتال إيميد. تدعم الزمرة المُنشّطة إمكانيةً عطرنة لاحقة. تتأثر العطرنّة تأثراً كبيراً بالاختيار المناسب للمُحفّز. يُعطي الكربون المُنشّط المُعالج بمركّبات النحاس مردوداً في جوار 90 في المئة. يجري قرّن 4-هالو رباعي هيدروفتال إيميد بالتفاعل بملح ثنائي الصوديوم من أحد مركّبات البيسفينول لنحصل على بيس إيميد. ويمكن عندئذٍ مُعالجة البيس إيميد مباشرةً بثنائي أمين لنحصل على بوليميرات بولي (إيثر إيميد).





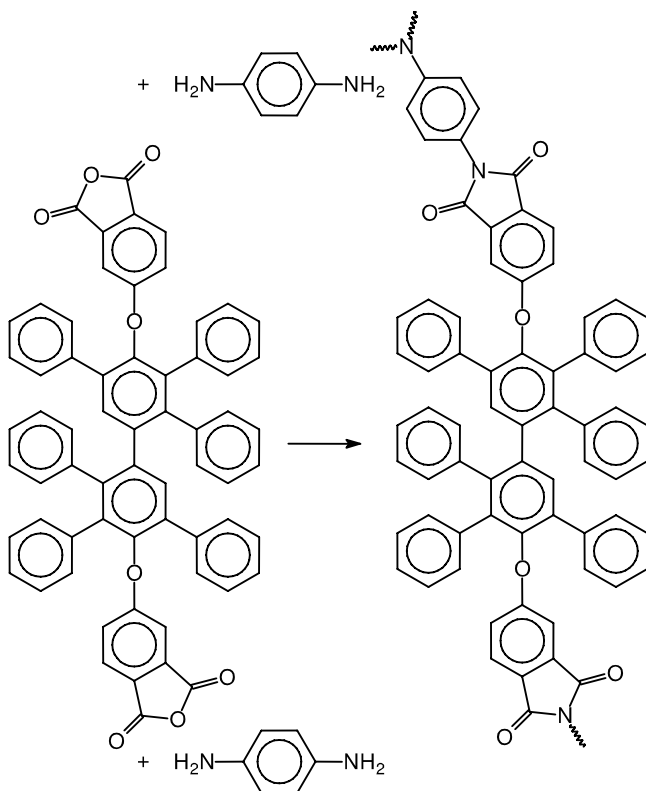
الشكل (5-15): تفاعل الإيميدية التبادلية

### 6.2.15. توضع الأبخرة كيميائياً

إن توضع الأبخرة كيميائياً (CVD) هي تقنية أنيقة لوضع طلاءات بوليميرية على ركائز متنوعة بدون استعمال مذيبات<sup>27</sup>. إلا أن التجهيزات المطلوبة أكثر تعقيداً مقارنة بالتقنيات التقليدية. تُستعمل تقنية توضع الأبخرة كيميائياً في فروع متنوعة من الصناعة لأجل الطلاءات الواقية والمقاومة للتآكل.

يمكن توضع أغشية من بولي (حمض أميك) و PI بطريقة توضع الأبخرة كيميائياً. يجري تبخير مونوميرات ثنائي الأنهيدريد وثنائي الأمين في آن معاً. السيرورة جافة تماماً بطبيعتها. يجب التحكم بمعدل التبخير للحصول على كميات المواد التي سيجري توضعها وفق النسب الستوكيومترية (التفاعلية) المناسبة<sup>28</sup>.

تُبدي البوليميرات PI التي نحصل عليها بتوضع الأبخرة كيميائياً خواص شدّ أفضل وِنفاذية للغاز أخفض، وذلك مقارنةً بعينات جرى الحصول عليها من صبّ المحاليل. يرجع ذلك إلى تفاعلات تشبيك تصالبي في بوليمير PI الذي نحصل عليه بتوضع الأبخرة كيميائياً<sup>29</sup>. ولقد جرت مناقشة تفاصيل بنية تجريبية حديثة في الأدبيات<sup>30</sup>.



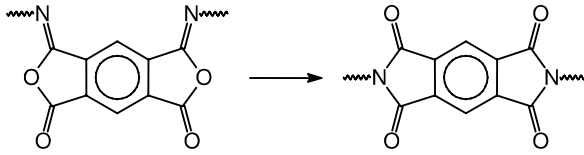
الشكل (6-15): تفاعل مركبات بيفينول مُعاقفة مع ثنائي أمين<sup>31</sup>

### 7.2.15. مركبات البيفينول المُعاقفة

من الممكن اصطناع ثنائيات أنهيدريد بيفينول ابتداء من موافقاتها من مركبات البيفينول المُعاقفة بقوة. ينتج من التفاعل مع ثنائيات الأمين بوليميرات PEI عالية الوزن الجزيئي، انظر الشكل (6-15). تقبل بوليميرات PEI التي نحصل عليها بهذه الطريقة الانحلال في تنوع من المذيبات العضوية، وتُبدى درجات حرارة انتقال زجاجي مرتفعة<sup>31,32</sup>.

### 8.2.15. بوليميرات بولي (إيزوإيميد)

يبين الشكل (7-15) كسرة إيزوإيميد وتفاعل تكوّن الإيزوميرات. يمكن تحويل بوليميرات بولي (حمض أميك) إلى بولي (إيزوإيميد) باستعمال مركبات كربو ثنائي الإيميد، أو أنهيدريد ثلاثي فلورو أسيتيك<sup>33</sup>.



الشكل (7-15): تفاعل تكوّن الإيزومير إيميد من الإيزوإيميد

تلقت بوليميرات بولي (إيزوإيميد) الاهتمام بصفتها بوليميرات وسيطة لبوليميرات PI، لأنّ إغلاق الحلقة في بوليمير بولي (حمض أميك) يجري بسرعة أكبر مع مركّبات كربو ثنائي الإيميد، مثل ثنائي حلقي هكسيل كربو ثنائي إيميد، وذلك مقارنةً بأنهدريد الأسيتيك<sup>34</sup>. إلّا أنّ استعمال مركّب كربو ثنائي الإيميد يؤدّي حصرياً إلى كسر إيزوإيميد في حين يؤدي استعمال أنهيدريد الأسيتيك إلى الإيميد العادي. ولكن بالمعالجة بعوامل التماكب المناسبة، مثل 1-هيدروكسي بنزو تريازول، أو 3-هيدروكسي-1،2،3-بنزوتريازين-4-أون، يمكن تحويل الإيزوإيميد إلى الإيميد. هذه التقنية مناسبة لاصطناع راتنجات مال إيميد السائلة المتصلدة حرارياً.

إنّ بوليميرات بولي (إيزوإيميد) أكثر انحلالاً من بوليميرات PI القريبة منها، وكذلك فإنّ لزوجة صهارتها أكثر انخفاضاً. لهذا السبب يجري استعمالها على نحو مقصود كصفّ بديل عن بوليميرات PI. فمثلاً يمكن توسيع سلسلة بوليمير بولي (إيزومال إيميد) بمونومير بولي (نيوكليوفيلي)، مثل بولي (ثيول) أو بولي (أول) أو بولي (أمين)<sup>35</sup>.

### 9.2.15. بوليميرات بولي (إيميد) المحمّلة بالوظائف

#### 1.9.2.15. أنواع PETI

عندما تُضاف مُركّبة وحيدة الوظيفة إلى المزيج المونوميري ينخفض الوزن الجزيئي. إن PEPA مركّب يحمل زمرة أنهيدريد واحدة وزمرة فينيل إيثينيل واحدة أيضاً. تتفاعل زمرة الأنهدريد مع زمرة الأמיד وتعمل كموقف للسلسلة أثناء التكتاف. وفي مرحلة لاحقة، تكون زمر الفينيل إيثينيل المتدلالية جاهزة للإنضاج الحراري. بالطريقة نفسها، يمكن استعمال أنهيدريد الناديك بصفته مُعدّلاً تفاعلياً<sup>36</sup>.

الجدول (3-15): نقاط انصهار بوليميرات PETI<sup>14</sup>

نقطة الانصهار [°C]	نوع PETI
297	4,3'-بيس [4-فينيل إيثينيل] فتال إيميدو [ثنائي فينيل إيثر PEPA-3,4'-ODA
260	2,2'-N,N [4-فينوكسي فينيل] سداسي فلورو إيزوبروبيليدين [بيس-4- فينيل إيثينيل فتال إيميد) PEPA-4-BDAF
285	4,4'-N,N [ثنائي فينيلين إيثيلين] (بيس-4-فينيل إيثينيل فتال إيميد) PEPA-4,4'-MDA
296	4,1'-N,N (بيس-4-فينيل إيثينيل فتال إيميد) PEPA-p-phenylenediamine
248	3,1'-N,N (بيس-4-فينيل إيثينيل فتال إيميد) PEPA-m-phenylenediamine(MPD)
167	4-N [3-فينوكسي]-4'-فينيل إيثينيل بنزوفينون [4'-فينيل إيثينيل فتال إيميد PEPA-APDE

تُبدى المواد المبنية على هذا المبدأ لزوجة صهارة منخفضة. وهي مستقرة لعدة ساعات عند  $210-275^{\circ}\text{C}$ . ولا يحدث الإنضاج الحراري لزمرة الفينيل إيثينيل إلى أي درجة محسوسة تحت درجة حرارة  $300^{\circ}\text{C}$ . يحدث الإنضاج الحراري عند  $300-350^{\circ}\text{C}$ . تتفاعل زمر الفينيل إيثينيل لتوفر منظومة راتنج متشابك<sup>37</sup>.

يمكن استعمال مونوميرات الإيميد المنتهية بمركب فينيل إيثينيل (PETI) كمُددات تفاعلية لأوليجوميرات PETI القابلة للتشغيل بالصهارة<sup>14</sup>. يبين الجدول (3-15) نقاط انصهار مثل هذه المونوميرات.

يمكن إنقاص لزوجة أوليغوميرات PETI بمزجها مع مونوميرات PETI. تمتلك الأوليغوميرات أوزاناً جزيئية في المجال 2000-5000 دالتون.

في حالة بوليميرات PI على قاعدة ثنائيات الأنهيدريد 4,4'-BTDA و 3,3',4,4'-بيفينيل (4,4'-BPDA)، تُبدى تلك التي تنتهي بأنهيدريد 4-(1-فينيل إيثينيل)-8-1-نفتاليك (PENA) خواص أفضل مقارنةً بـ PEPA<sup>38</sup>. يمكن إنضاج الأوليغوميرات المشتقة من PENA عند درجات حرارة أخفض، وتُبدى البوليميرات الناصجة استقراراً أفضل إزاء التحلل المائي من تلك الموافقة لـ PEPA.

### 2.9.2.15. أنواع أنهيدريد السيتراكونيك

تؤسس أنواع أخرى من الراتنج ذات اللزوجة المنخفضة المناسبة للتشغيل بالقلوبة بانتقال الراتنج، وسكب الراتنج، على قاعدة 4,4'-BPDA و 2,2'-بيس (4-4-أمينو فينوكسي) (فينيل) بروبان و CA<sup>39</sup>. يُستعمل مول واحد من 4,4'-BPDA ويجري تغذية بقتة المركبات بكميات قدرها مولين.

وهكذا، يتكوّن مركّب بنيتُه CA-BAPP-BPDA-BAPP-CA. نهايات الأوليغومير مغطاة بكسّر CA. تُبدي راتنجات PI درجات حرارة انصهار حوالى 150-175°C. لزوجة الصهارة عند 200°C هي أقلّ من 2000 cP. يجري إنضاج الوحدات ذات النهايات المغطاة عند 330-350°C. يمكن تحضير مواد مركبة مقواة بنسج كربوني من هذه المواد.

### 3.9.2.15. أنواع الإيزوسيانات

يمكن توسيع بوليميرات PI العطرية ذات زمر أنهيدريد نهائية بمفاعلتها مع مركبات بولي إيزوسيانات عطرية<sup>40</sup>.

### 10.2.15. مركبات بيس (مال إيميد)

إنّ راتنجات بيس (مال إيميد) هي أكثر راتنجات PI المتصلة حرارياً شيوعاً. إن تنوعاً واسعاً من هذه الراتنجات معروف. تشتهر تركيبات البيس مال إيميد المتصلة حرارياً المتوفرة تجارياً بارتفاع معامل مرونتها، ومقاومتها الممتازة للتفكك الحراري. ومن ناحية أخرى، تشتهر تركيبات التصلد الحراري هذه بهشاشتها<sup>41</sup>. تمكن الاستفادة أكثر من صف البيس مال إيميد المتصلد حرارياً، من خلال صياغات أقل هشاشة تحتفظ بالخواص الحرارية وتلك المتعلقة بالمرونة.

يمكن تحقيق تحسين في أداء بوليميرات التصلد الحراري من المال إيميد عبر دمج مركبات مال إيميد موسّع بإيميد. يجري تحضير مركبات المال إيميد بيسر من تكاتف الأنهيدريدات المناسبة مع ثنائيات الأمين المناسبة لتعطي مركبات منتهية بأمين. وبعدها تُكاتف هذه المركبات مع فائض من أنهيدريد المالبك لتعطي مركبات مال إيميد موسّعة بإيميد.

### 11.2.15. بوليميرات بولي (إيميد سلفون)

يمكن جمع الخواص المرغوبة من بوليميرات PI وبوليميرات بولي(سلفون) في راتنج واحد، كما في حالة بولي (إيثر إيميد سلفون)<sup>4</sup>. تمتلك هذه الراتنجات مستويات منخفضة من أنواع طيِّارة متبقِّية، ومستويات منخفضة من الزمر التفاعليّة. لذلك يمكن تحضير سلع من هذه الراتنجات، تكون بشكل أساسي خالية من الفراغات والفقاعات والتباعدات والعروق، وغير ذلك من العيوب. يبيّن الجدول (4-15) المونوميرات التي تُدخِل زمر السلفون في البوليمير.

يمكن تحضير بوليميرات بولي(إيثر إيميد سلفون) مع أنواع طيِّارة متبقِّية بتركيز أخفض من 500 ppm. تمتلك الراتنجات مقاومة حراريّة، وإمكانيّة تشغيل صهارة جيّدتين.

#### الجدول (4-15): مونوميرات ذات زمر سلفون<sup>4</sup>

ثنائيات الأنهيدريد
ثنائي أنهيدريد 4،4'-بيس (3،4-ثنائي كربوكسي فينوكسي) ثنائي فينيل سلفون
ثنائي أنهيدريد 4،4'-بيس (2،3-ثنائي كربوكسي فينوكسي) ثنائي فينيل سلفون
ثنائيات الأمين
ثنائي أمينو ثنائي فينيل سلفون
بيس (أمينو فينوكسي فينيل)-سلفون

### 3.15. الخواص

يُستعمل PI استعمالاً واسعاً بصفته مادّة واقية، أو مادّة عازلة في حقل الإلكترونيات نظراً إلى خواصه الجيدة، مثل مقاومته الميكانيكيّة العالية، ومقاومته الحراريّة العالية، ومقاومته للمذيبات. يُبيّن الجدول (5-15) بعض الخواص الفيزيائيّة المُختارة لبوليمير PEI مُتلدّن حراريّاً. يجري الحصول على أولتيم® Ultem من ثنائي أنهيدريد بيسفينول A وMPD. إن درجة حرارة انتقاله الزجاجي هي 217°C. يجب تأكيد وجود الكثير من أنواع راتنجات PI المختلفة ذات الخواص المتباعدة. لذلك فالمعطيات في الجدول (5-15) ليست مُمثلةً لكامل صف بوليميرات PI.

الجدول (5-15): خواص Ultem® 1000<sup>48</sup>

المقياس	الوحدة	القيمة	الخاصة
ASTM D792	g cm <sup>-3</sup>	1.27	الكثافة
ASTM D1238	g/ 10 min	9.0	معدل انسياب الصهارة (MFR) <sup>a</sup>
ASTM D570	%	0.25	امتصاص الماء، 24 ساعة
ASTM D570	%	1.3	امتصاص الماء عند التوازن (23 °C)
ASTM D638	MPa	3590	معامل الشد
ASTM D638	MPa	110	مقاومة الشد عند الخضوع
ASTM D638	%	7	استطالة الشد عند الخضوع
ASTM D638	%	60	استطالة الشد عند الكسر
ASTM D790	MPa	3520	معامل الانحناء <sup>b</sup>
ASTM D790	MPa	165	مقاومة الانحناء عند الخضوع <sup>b</sup>
ASTM E132		0.36	نسبة بواسون
ASTM D1044	mg	10.0	مقاومة حثّ تابر (Taber) <sup>c</sup>
ASTM D256	J m <sup>-1</sup>	53.4	صدم أيزود المثلوم (23 °C)
ASTM D256	J m <sup>-1</sup>	1330	صدم أيزود غير المثلوم (23 °C)
ASTM D256	J m <sup>-1</sup>	1300	عكس صدم أيزود المثلوم <sup>d</sup>
ASTM D3029	J	36.6	صدم غاردنر (Gardner) (23 °C)
ASTM D785	J	109	قساوة روكول (Rockwell) (سُلّم M)
ASTM D648	°C	210	DTUL 66psi، غير المعالج حرارياً <sup>e</sup>
ASTM D648	°C	201	DTUL 264psi، غير المعالج حرارياً <sup>e</sup>
ASTM D1525	°C	219	نقطة تليّن فيكات (Vicat)
ASTM C117	W m <sup>-1</sup> K <sup>-1</sup>	0.22	الموصلية الحرارية
ASTM D257	Ωcm	1.0×10 <sup>17</sup>	الممانعة النوعية الحجمية

(6.40 mm)<sup>e</sup> (3.20 mm)<sup>d</sup> (1000 Cycles)<sup>c</sup> (100 mm Span)<sup>b</sup> (337 °C/6.6kg)<sup>a</sup>

كثيراً ما تُستعمل بوليميرات PEI بصفقتها مواد عازلة للدارات المتكاملة والدارات المطبوعة لتمييزها في مقاومة الحرارة، وخواص العزل الكهربائي والخواص الميكانيكية. ومع ذلك يمكن تحسين الخواص الكهربائية بالمزج مع بولي (إيثر الفينيلين)، الذي يمتلك سماحيةً نسبيةً منخفضة، ولكنه بالمقابل سيئ من جهة مقاومته الميكانيكية، وقابليته للقولبة، ومقاومته للحرارة. بدلاً من ذلك، فقد جرى تطوير أنواع من PEI ذات سماحية نسبية

ومُعامل تبديد عزل كهربائي منخفضين<sup>42</sup>. وتتمثل مُقاربة أخرى بتوفير مواد PI مسامية<sup>43</sup>. يُحسّن إدخال زمر ثلاثي فلورو ميثيل جانبية إلى السلسلة الرئيسية الخواص البصرية<sup>44</sup>. إن بوليميرات PI حساسة للتحلل المائي<sup>45</sup>. وهناك عدّة أنواع من PI تقبل الامتزاز فيما بينها<sup>47,46</sup>.

إنّ الخلائط القابلة للامتزاز في الغالب مهمّة لأنها تُسهّل تصنيع المنتجات النهائية. يُبين الجدول (6-15) الخلائط القابلة للامتزاز الشائعة من PI مع بوليميرات أخرى. تمكن زيادة انحلاية بوليميرات PI بإدخال كسر مرنة في السلسلة الرئيسية.

الجدول (6-15): خلائط PI القابلة للامتزاز أو القابلة للامتزاز جزئياً

المراجع	بوليمير آخر	بولي (إيميد)
49	Torlon®4000T	Matrimid®5218
50	بولي بنزيميدازول	Matrimid®
51	بولي (إيثر سلفون)	Matrimid®5218
52	بولي (إيثر إيثر كيتون)	(ODA+4,4'-ODPA) YS-30
53	PEI	(Ciba) XU-218

#### 4.15. إضافات خاصّة

تُعرّف راتنجات PEI بارتفاع درجات حرارة التشوّه الحراري، وارتفاع درجات حرارة انتقالها الزجاجي، وهذا ما يجعل استعمالها كطلاءات أو سلع مقولبة أو موادّ مركّبة، أو ما شابه ذلك، أمراً جذاباً حيث تكون مقاومة درجات الحرارة المرتفعة أمراً مرغوباً. ولكن نظراً إلى ارتفاع درجة حرارة الانتقال الزجاجي وارتفاع لزوجة الصهارة، فإنّه من الصعوبة بمكان تشغيل بوليميرات PEI وصولاً إلى المنتج النهائي. إذ يجب إجراء القولبة والبتق والبخ وغير ذلك عند درجات حرارة عالية لتلدين راتنج PEI. هناك خاصّتان تحدّان من استعمال تركيبات PEI، وخصوصاً في تطبيقات القولبة بالحقن، هما تحرير القالب وتدفّق الصهارة<sup>54</sup>. إن ارتفاع تدفّق الصهارة أمرٌ أساسي لتحقيق دورات قولبة سريعة، ولقولبة أجزاء معقّدة. ولقد جرى تطوير عوامل تحرير القوالب، مثل حمض الستياريك. تُحسّن هذه الإضافات أيضاً خواص التدفّق.



لقد جرى استعمال ألياف الكربون لجعل مزائج PEI وبولي (ترفتالات الإيثيلين) ناقلة كهربائياً. تُظهر مثل هذه التركيبات استقراراً بُعدياً جيّداً عند درجات حرارة مرتفعة، وخصوصاً عند تسخينها تسخيناً سريعاً باستعمال الإشعاع الكهربي، وهذا ما يجعلها مفيدة في القطع والعمليات التي يكون فيها التجميع السريع أمراً مهماً<sup>55</sup>.

## 5.15. تطبيقات

### 1.5.15. الرغويات

تُستعمل الرغويات من PI<sup>56</sup>:

- في وصل المعادن إلى المعادن أو المعادن إلى بنى من مواد مركّبة،
- وبصفتها رغويات إنشائية، ذات جساءة إنشائية متزايدة دون زيادة كبيرة بالوزن،
- ومواد عازلة منخفضة الكثافة للتطبيقات الحرارية أو الصوتية.

في الأصل كانت هناك ثلاثة طرق معروفة لإنتاج الرغويات من بولي (إيميد)<sup>57</sup>:

1. يُسخّن مزيج مونوميري مكوّن من إستر لحمض بنزوفينون رباعي كربوكسيليك ومن بولي أمين، مع محتوى قدره 9 في المئة من موادّ طيارة إلى درجة حرارة حرجة يجري عندها تكوّن الرغوة بالتزامن مع بلمرّة مركّبات رباعي الكربوكسيليك والبولي أمين حتّى تتكوّن رغوة PI<sup>58</sup>.

2. يُضاف مزيج من ثنائيات الأمين إلى محلول كحولي من نصف الإستر لحمض بنزوفينون رباعي كربوكسيليك، ويجرى التفاعل حتّى يتكوّن سائل ثقيل. يُسخّن هذا السائل ليتكوّن مركّب طليعي لراتنج PI. يُطحن المركّب الطليعي إلى مسحوق يُنثر على رقاقة ألومنيوم موضوعة على صفيحة ألومنيوم ويُسخّن حتّى 315°C<sup>59,57</sup>.

3. يمكن استعمال الأمواج المكروية لتحويل طليعي PI إلى بنية خلوية، يجري بعد ذلك إخضاعها لعملية إنضاج نهائية في فرن حراري.

تستعمل بعض طرائق صنع رغويات PI محاليل ثنائيات الأمين وثنائيات الأنهيدريد أو مشتقات ثنائيات الأنهيدريد في مذيب كحولي ألكيلي منخفض الوزن الجزيئي. يجري بعدئذ معالجة محاليل المواد الطليعية أو مساحيقها لتكوين الرغويات عبر طرد الماء والكحول أثناء عملية الإيمدة الحرارية. تتطلب بعض هذه السيرورات تطبيق أمواج مكروية لاستهلال سيرورة تكون الرغوة.

يمكن بترغية محلول إيزوسيانات تحضير رغويات بمجال واسع من الكثافات، وخصوصاً منخفضة الكثافة منها، مع التركيبة المرغوبة من الخواص الميكانيكية، ومقاومة اللهب. يجري تحضير محلولين، يحتوي أحد هذه المحاليل على ثنائي الأنهيدريد، ومحفزات لترغية الإيزوسيانات وغير ذلك من المكونات، مثل عوامل النفخ ومبطنات اللهب. ويحتوي المحلول الآخر على الإيزوسيانات. المذيب المفضل هو DMF. عندما يجري مزج المحلولين، يبدأ تكوّن الرغوة. تتكوّن رغوة PI بتسخين الرغوة في فرن أمواج مكروية<sup>56</sup>. ونحصل على رغويات صفراء ساطعة.

#### 1.1.5.15. الهلاميات الهوائية

الهلاميات الهوائية (Aerogels) هي مواد صلبة تتكون من شبكة عالية المسامية من مسامات ذات قياسات مكروية وميزوية. يمكن للمسامات في هلاميات هوائية أن تكون أكثر من 90 في المئة من الحجم عندما تكون كثافتها حوالي  $0.05 \text{ g cm}^{-3}$ . يجري عموماً تحضير الهلاميات الهوائية بتقنية تجفيف فوق الحرج، أي سيرورة محلول-هلام، لإزالة المذيب من الهلام. تجري السيرورة بطريقة لا يمكن فيها أن يحدث تبخر للمذيب، ومن ثم لا يحدث أي تقلص.

يُحضّر هلام هوائي في ثلاث مراحل<sup>60</sup>:

1. حلّ المادة الحلولة في المذيب.

2. تكوّن المحلول المعلق (sol) وتكوّن الهلام.

3. إزالة المذيب بدون أن يتسبب ذلك بانهايار المسامات.

تنتج هلاميات PI الهوائية باصطناع بوليمير PI عالي التمديد في مذيب. ثمّ يُستبدل ثنائي أكسيد الكربون فوق الحرج بالمذيب. وعندما لا يكون المذيب قابلاً للامتزاج مع ثنائي أكسيد الكربون فوق الحرج، يمكن الاستعاضة عنه بأي مذيب يقبل الامتزاج مع

ثنائي أكسيد الكربون فوق الحرج. ويمكن إجراء إنضاج لاحق قبل استبدال ثنائي أكسيد الكربون فوق الحرج أو بعده.

إن هلاميات PI الهوائية مناسبة للاستعمال كمواد للعزل الحراري مع درجات حرارة خدمة تتراوح بين درجات الحرارة الفائقة البرودة وحتى  $500^{\circ}\text{C}$ . ويمكن انطلاقاً من هلاميات PI الهوائية اصطناع هلاميات كربون الهوائية عند تحلل هلاميات PI الهوائية حرارياً<sup>60</sup>.

### 2.5.15. تقانة الأغشية الفاصلة

تعتبر بوليميرات PI مواد جذابة لأغشية فصل الغازات، وذلك بسبب جودة خواص فصلها للغاز وخواصها الفيزيائية. ولقد جرت عدة محاولات لتعديل البنية الكيميائية لبوليميرات PI بهدف بناء مواد أغشية عالية النفاذية وذات نفاذية انتقائية. ولقد وُجد أن مزائج من PI تُبدي أداءً مُحسناً في تطبيقات فصل الغازات<sup>23</sup>.

يمكن أن تعاني بوليميرات PI تقادماً قاسياً وتدهوراً في الأداء بسبب تكثيفها أو تلدنّها. ولقد جرى تقديم دراسة أساسية حول التلدن مع بوليمير PI على قاعدة ثنائي أنهيدريد 4،4'-سداسي فلورو إيزو بروبيلايدين ثنائي فتاليك و 2،3،5،6-رباعي ميثيل-1،4-فينيلين ثنائي الأمين، باستعمال  $\text{CO}_2$  و  $\text{N}_2$  و  $\text{O}_2$  بصفتها غازات نافذة<sup>61</sup>. ففي حين تزداد نفاذية  $\text{N}_2$  و  $\text{O}_2$  مع ارتفاع درجة الحرارة، تنخفض نفاذية  $\text{CO}_2$  مع ارتفاع درجة الحرارة. يُرجعُ هذا الأثر إلى حقيقة أن الانحلالية الغازية تنخفض مع ارتفاع درجة الحرارة، كما يُلاحظ هذا كثيراً مع البوليميرات الزجاجية. تتغير النفاذية مع الضغط، أو بدقة أكثر مع مُعامل بُعد ضغط الغاز عن ضغط الغاز المثالي (Fugacity). يتميز الأثر التلديني بمنحن محدب ذي قيمة صغرى، ويُشار إلى القيمة الصغرى باسم ضغط التلدين.

يوفر تشبيك بوليمير PI أغشية فصل ذات خواص مضادة للتلدين ومقاومة كيميائية جيدة. يمكن تحقيق التشبيك التصالبي بعدة طرائق تضم<sup>62</sup>:

- تفاعلات تشبيك تصالبي كيميائية صوتية (فوتوكيميائية) مُحرضة بالضوء فوق البنفسجي في بوليميرات PI المحتوية على البنزوفينون،
- تكوين شبكات متداخلة باستعمال مزائج بوليميرية، يليها معالجة حرارية تحت درجات حرارة مرتفعة.

### 1.2.5.15. الأغشية المتشبكة تصالبياً

تؤدي الجزئيات الشجرية التشعب المؤسسة على قاعدة ثنائي أمينو بوتان دور عوامل تشبيك تصالبي لأنواع بوليميرات PI المفلورة، وهي نشطة عند درجة حرارة الغرفة<sup>62,63</sup>.

إن أنواع PI المبنية من 6،4،2-ثلاثي ميثيل-3،1-فينيلين ثنائي الأمين وثنائي أنهيدريد 3،3،4،4'-بنزوفينون رباعي كربوكسيليك هي بوليميرات قابلة للتشبيك التصالبي فوتوكيميائياً بسبب البنزوفينون المقحم فيها. إنه من الأساسي أن ترتبط زمر الألكيل المتدلية بالبنية العطرية<sup>64</sup>. ولكن أثير الاعتراض إلى أن التشبيك التصالبي الفوتوكيميائي لا يمثل طريقة عملية لصنع أغشية فصل الغاز بثمن مقبول<sup>65</sup>.

### 2.2.5.15. المزايج

غالباً ما تتلذّن المواد البوليميرية الزجاجية عند استعمالها في أغشية فصل الغازات بسبب الامتصاص. يمكن التغلّب على هذا بالمعالجة الحرارية أو التشبيك التصالبي، ومع أنّ هذه الطريقة لا تؤثر في انتقائية الغشاء، فإنها تخفض النفاذية. طريقة أخرى تساعد في جعل التلدين مستقراً هي في استعمال مزايج بوليميرية، كما جرى إثبات ذلك باستعمال مركّب Matrimid®5218 وبوليمير الإيميد المشترك P84. تُصبح المادة مستقرة إزاء التلذّن بثنائي أكسيد الكربون، وتتحمّن الانتقائية إزاء مزيج من ثنائي أكسيد الكربون والميثان<sup>66</sup>. لقد جرى تطوير أغشية ذات ألياف مفرّغة مكوّنة من مزايج من بوليميرات PI ذات مقاومة مُحسّنة تجاه الهيدروكربونات<sup>67</sup>.

### 3.2.5.15. الأغشية الفاصلة ذات الحاضنة المختلطة

بعكس أغشية الفصل العادية، تتكوّن أغشية الحاضنة المختلطة من بوليميرات عضوية مُتضمّن فيها جسيمات لا عضوية مثل الزيوليت، والمناخل الكربونية الجزئية، أو جسيمات نانوية. يُعتقد أنّ أغشية الفصل ذات الحاضنة البوليميرية تُحقّق أداءً أعلى من الأغشية البوليميرية التقليدية. إضافة إلى ذلك يتحمّن الأداء الميكانيكي السيئ للأغشية اللاعضوية بتضمينها في مصفوفات بوليميرية طيّعة<sup>68</sup>.

لقد جرى تحضير أغشية ذات حاضنة مختلطة مع الزيوليت كجسيمات لا عضويّة، وحاضنات بوليميريّة مثل بولي (أسيئات الفينيل) (PVAc) و Ultem® و Matrimid®. وتصل انتقائيّة الأزوت إلى الأوكسجين إلى ضعفي ما تُحقّقه الأغشية البوليميريّة النقيّة التقليديّة. بوليمير PI أفضل من بوليمير PVAc في الأغشية ذات الحاضنة المختلطة. يعود هذا إلى الانتقائيّة الجوهريّة الأعلى للبوليمير نفسه. يمكن استعمال مركّبات الأمينو سيلان كعوامل تقارن. زمرة الهيدروكسيل زمرة تفاعليّة مع سطح الزيوليت، ويمكن لزمرة الأمينو أن تتفاعل مع زمرة الإيميد<sup>68</sup>.

#### 4.2.5.15. أغشية الفصل الكربونية

يمكن تحضير أغشية فصل كربون بالتحلل الحراري لبوليمير كابتون® Kapton عند درجات حرارة مختلفة. يحدث التحلل الحراري في الخلاء أو تحت دفع من الأزوت. تُبدي أغشية الكربون المحضّرة عند 1273 K وتحت الخلاء أعلى حجم مكروي المسامات. بالمقابل تبدي الأغشية الفاصلة المحضّرة عند 1073 K أعلى طاقة امتزاز<sup>69</sup>. يبيّن الجدول (7-15) النفاذيّة الغازيّة، ومُعاملات الفصل لأغشية الكربون.

تعتمد الانتقائيّة التي يجري الحصول عليها بقوّة على طريقة التحلل الحراري المستعملة، إمّا في الخلاء أو تحت دفع من الأزوت، وعلى درجة حرارة هذه السيرورة. عموماً، تكون الانتقائيّة أفضل بكثير عند إجراء التحلل الحراري تحت الخلاء. وبالمقابل، تُبدي الأغشية المحضّرة تحت دفع من الأزوت نفاذيّة أعلى من تلك المحضّرة في الخلاء عند درجة الحرارة نفسها.

الجدول (7-15): النفاذيّة الغازيّة ومُعاملات الفصل في حالة أغشية الكربون

التي يجري الحصول عليها تحت الخلاء عند 1173 K<sup>69</sup>

مُعامل الفصل	المزيج	النفاذيّة	الغاز
		$\text{mol m}^{-2} \text{ s}^{-1} \text{ Pa}^{-1}$	
558.27	He/ N <sub>2</sub>	7.26	He
60.87	CO <sub>2</sub> /N <sub>2</sub>	0.79	CO <sub>2</sub>
19.69	O <sub>2</sub> /N <sub>2</sub>	0.26	O <sub>2</sub>
138.53	CO <sub>2</sub> /CH <sub>4</sub>	0.13	N <sub>2</sub>
		0.006	CH <sub>4</sub>

### 5.2.5.15. إغناء الغازات الحيويّة بالميثان

لقد جرى ذكر أغشية لفصل الغازات الحيويّة<sup>70</sup>. تحتوي الغازات الحيويّة الخام على نسبة حوالى 55-65 في المئة من  $CH_4$ ، ونسبة 30-45 في المئة من  $CO_2$  إضافة إلى  $H_2O$  و  $H_2S$ . وباستعمال أغشية PI يمكن إغناء المحتوى من  $CH_4$  إلى ما يفوق 90 في المئة.

### 6.2.5.15. أغشية النفاذ البخاري

إن فصل المزائج الأزيوتروبيّة باستعمال السيرورات التقليدية مثل التقطير أمرٌ صعب. وبالمقابل تُعتبر تقنيّة النفاذ البخاري طريقة واعدة بسبب بساطتها واستهلاكها المنخفض للطاقة. تستعمل تقنيّة النفاذ البخاري أغشية لا متناظرة لفصل مزائج سائلة، يبقى السطح الكثيف والانتقائي من الغشاء على تماس مع السائل في حين يُخلّى الجانب المقابل أو يُجرف بواسطة غاز حامل.

وتتوفر دراسة منهجيّة عن الخواص الفيزيائيّة وعن أداء تقنيّة النفاذ البخاري لأنواع متعدّدة من أغشية PI<sup>71</sup>. في معظم أنواع الأغشية التي جرى تحريّها، تسعى مُعاملات الفصل إلى المزائج نحو الزيادة مع ارتفاع درجة حرارة العمل. ولقد جرى إثبات وجود ارتباط بين التدفق والمسافة بين السلاسل (التباعد من النمط d). بالمقابل، لا توجد علاقة واضحة بين التدفق وبين الحجم الجزئي الحرّ.

لقد جرى استعمال مواد PI لإزالة الماء من مزائج ماء-كحول بطريقة النفاذ البخاري<sup>72</sup>. ولقد جرى استعمال الألياف المفرّغة من البوليمير المشترك P84-co-PI<sup>73</sup> مع أغشية البوليمير P84-co-PI المملوءة بالزبوليت<sup>74</sup> في إزالة الماء بالنفاذ البخاري من الإيزوبروبانول. إضافة إلى ما سبق، تُستعمل أغشية من الألياف المفرّغة المضاعفة الطبقة من البوليمير المشترك P84-co-PI في إزالة الماء من رباعي فلورو بروبانول<sup>75</sup>.

### 7.2.5.15. أغشية التبادل الأيوني

لقد جرى تطوير أنواع PI مُسلفنة ومنتشبكة تصالبياً للاستعمال بصفتها أغشية لتبادل الكاتيونات. تمتلك بوليميرات PI المُسلفنة موصليّة بروتونيّة ممتازة إضافة إلى انخفاض ثمن تحضيرها. يمكن استعمال هذه الأغشية بصفتها أغشية كهربائيّة بوليميري في خلايا

الوقود الهيدروجينية أو ذات الميثانول المباشر، للسيارات الكهربائية أو المصادر المحمولة للطاقة الكهربائية<sup>76</sup>.

يبدأ اصطناع الأمينات ذات زمر حمض السلفوني، مثل حمض 4،4-بيس (4-أمينو فينوكسي) بنزوفينون-3،3-ثنائي سلفونيك وحمض 4،4-بيس (4-أمينو فينيل ثيو) بنزوفينون-3،3-ثنائي سلفونيك، من 4،4-ثنائي كلورو بنزوفينون بالسلفنة بحمض الكبريت. وفي المرحلة الثانية يجري قَرْن 4-أمينوفينول بوجود كربونات البوتاسيوم اللامائية<sup>77</sup>.

وعند استعمال حمض 5،3-ثنائي أمينو بنزويك (DBA) بصفته ثنائي أمين، تتكوّن بوليميرات PI ذات زمر كربوكسيل متدلّية<sup>78</sup>. إنّ زمر الكربوكسيل هذه قابلة للتشبيك بواسطة ديولات خطية أليفاتية. يعتمد أداء الغشاء بقوة على طول سلسلة الديولات المتشبكة. ينتج من سلاسل أطوالها أقصر من أربع ذرات كربون بنية مترابطة للمادة، في حين تُبدي مَبَاعِدَات أطول امتصاصاً للماء وموصلية بروتونية أعلى، مع نفاذية أخفض للميثانول وذلك بالمقارنة مع مواد غير متشبكة.

يمكن تقوية الأغشية بواسطة مواد بولي (رباعي فلورو إيثيلين) (PTFE) مسامية. على وجه الخصوص يجري تشريب PTFE المسامي ببوليمير PI المُسَلَفَن في محلول من ثنائي ميثيل السلفوكسيد. يزيد PTFE الاستقرار إزاء التحلل المائي لبوليمير PI<sup>79</sup>.

يجب توخي الحذر بشأن الاستقرار في شروط التطبيق الطويل الأمد. فالأغشية ذات الكسر الفتالية ليست مستقرة استقراراً مرضياً في شروط خلايا الوقود<sup>80</sup>. يمكن تحسين الاستقرار تحسيناً ملموساً باستعمال مونوميرات نفتالينية بدلاً من مونوميرات فتالية. إلا أن هذه الأنواع صعبة التصنيع والإنهاء.

إن بوليميرات PI حساسة للتحلل المائي بوجه عام. وتحسّن الحساسية بإدخال زمر حمض السلفونيك. تتجم نقطة الضعف إزاء التحلل المائي من سيرورة أكسدة منشطة حرارياً<sup>81</sup>.

تُظهر الدراسة بالأشعة تحت الحمراء للأغشية الفاصلة المتضررة تدهوراً كيميائياً محسوساً، يُرجع إلى التحلل المائي لكسر الإيميد. حيث تتكسر السلاسل الرئيسية. وإلى جانب تفكك السلاسل الرئيسية، يبدو أنّ سطح الغشاء الذي يواجه الحجرة المصعدية يخضع

لسيرورة مؤكسدة إضافية<sup>80</sup>. يمكن، إلى جانب التحري بالأشعة تحت الحمراء، تتبع التفكك الكيميائي بواسطة قياسات لزوجة<sup>82</sup>.

### 3.5.15. تقانة المحسّات

يمكن توضع مسالك نحاسية منمّطة على أغشية PI مرنة. تُستعمل هذه التجهيزات في التطبيقات الإلكترونية.

باستعمال طابعة مكتب نفّاثة للحبر تقليدية، يجري بخّ محلول مائي من البلاتيوم (II) على سطح غشاء مُعالج من PI. ثمّ يجري إرجاع البلاتيوم (II) بالمعالجة بواسطة بوروهيدريد الصوديوم ( $\text{NaBH}_4$ ). وأخيراً يجري توضع طبقة من النحاس بواسطة طلي النحاس اللاكهربائي<sup>83</sup>. تتكوّن معالجة سطح PI بهدف جعله يتقبّل البلاتيوم (II) إما من أكسدة قلووية بمركّب  $\text{KMnO}_4$  عند  $80^\circ\text{C}$  لمدة 60 دقيقة، أو ببساطة باستعمال مركّب  $\text{NaOH}$  عند درجة حرارة الغرفة مدة اثنتين وسبعين ساعة. تُعطي المعالجة الأخيرة نتائج أفضل. ويمكن إنشاء بنى أبعادها تصل إلى  $100\mu\text{m}$  مع التصاق جيّد للنحاس.

بأسلوب مشابه جرى وضع طبقات من أنماط ذهبية على ركائز من PI بواسطة الطباعة بالتماس المكروي<sup>84</sup>. في الطباعة بالتماس المكروي، يجري ضغط ختم بوليميري مبلّل بمحلول هيدروكسيد البوتاسيوم على الركيزة من PI، فتصبح المناطق المُعالجة قلوياً من الركيزة مُحبّة للماء وتسعى إلى الإمساك بمحلول البلاتيوم (II). وبالطريقة التي وصفناها سابقاً، يجري إرجاع أيونات البلاتيوم الملتصقة بواسطة  $\text{NaBH}_4$ ، ثمّ تُطلى كهربائياً.

لقد جرى تطوير مسارٍ مرنة من PI على هيئة أنساق من المساري المكروية بهدف الاستعمال في تطبيقات سبر الكمون الكهربائي في الكائنات الحية<sup>85</sup>. يمكن استعمال المساري المكروية القابلة للزرع لتسجيل الكمونات الناجمة عن النشاط العصبي، أو الحقول الكهربائيّة الموضعية من داخل الدماغ. تتكوّن أنساق PI من طبقات متناوبة من PI والبلاتين. يجري تصنيع هذه التجهيزات بواسطة التخريش بالأيونات التفاعلية.

يمكن استعمال المواد المركّبة النانوية المكوّنة من جسيمات نانوية من Ag المتضمّنة في أغشية رقيقة من PI المُفلور بصفاتها مُحسّات ضوئية للأبخرة العضوية<sup>86</sup>. مقارنةً بـ PI العادي، يُبدي PI المُفلور شفافيةً بصريّة مُحسّنة في المجال المرئي. تتكوّن بوليميرات



PI المُفلورة من ثنائي أنهيديد 4،4'-سداسي فلورو إيزوبروبيليدين ثنائي الفثاليك، ورباعي ميثيل-p-فينيلين-ثنائي الأمين، أو 4،4'-BPDA و 1،1-بيس (4-أمينوفينيل)-فينيل-2،2،2-ثلاثي فلورو إيثان. وبهدف تحسين مسامية الأغشية، تُضاف كميات صغيرة من عامل نفخ مثل أزو ثنائي كربون أميد (ADC) إلى محلول PI قبل صبه. ثم يمكن إزالة ADC انتقائياً بمعالجة حرارية. يُسبب تفاعل المادة المُحللة مع الأغشية تغييراً في موضع ذروة امتصاص البلازمون<sup>(\*)</sup> (Plasmon) للجسيمات النانوية سببه تغيير في وسطي قرينة انكسار الوسط المحيط في المجال المرئي أوفوق البنفسجي القريب.

#### 4.5.15. كهريئات الحاضنات البوليميرية

يمكن للكهريئات المستعملة في بطاريات الليثيوم أن تكون سائلة أو مؤسسة على قاعدة البوليميرات. إنّ بطاريات الليثيوم المحتوية على كهريئات سائلة متوفرة في الأسواق منذ عدة سنوات. ويجري إنتاج بطاريات الليثيوم القابلة لإعادة الشحن ذات الكهريئات السائل إنتاجاً كمياً لتطبيقات مثل الحواسيب المحمولة، وكمرات التصوير، والهواتف الخليوية<sup>87</sup>. تمتلك بطاريات الليثيوم المؤسسة على تقانة الكهريئات السائل بعض النقاط السلبية.

يتطلب الكهريئات السائل عموماً سداً محكماً مما قد يُسبب تخفيضاً في كثافة الطاقة، إضافة إلى ذلك، يجري لأسباب تتعلق بالأمان تصميم بطاريات أيونات الليثيوم القابلة لإعادة الشحن وبطاريات معدن الليثيوم العادية، ذات الكهريئات السائل بحيث تُنفّس تلقائياً عند تعرّضها لشروط إساءة استعمال، مثل ارتفاع كبير في الضغط الداخلي، يمكن أن يكون ناتجاً من سخونة زائدة داخلية أو خارجية. إذا لم تُنفّس الخلية تحت الضغط العالي، يمكنها أن تتفجر بسبب كون الكهريئات السائل المستعمل في خلايا الليثيوم سائلة شديد القابلية للاشتعال.

بديلاً عن بطاريات الليثيوم ذات الكهريئات السائل هي تلك ذات الكهريئات البوليميرية الصلب. الكهريئات البوليميرية الصلبة هي عموماً من النوع الهلامي الذي يحصر المذيب والملح في مسامات البوليمير ليوفر وسطاً للموصلية الأيونية. يبيّن الجدول (15-8) الكهريئات البوليميرية النموذجية.

<sup>(\*)</sup> البلازمون هو تكميم لاهتزاز البلازما كما يكون الفوتون تكميماً لاهتزاز الضوء (المترجم).

## الجدول (8-15): بوليميرات للكهرليت<sup>87</sup>

### البوليمير

بولي (أكسيد الإيثيلين)

بولي (أكريلونتريل)

بولي (ميتاكريلات الميثيل)

بولي (فلوريد الفينيلدين)

بولي (إيميد)

تعمل الكهرليتات البوليميرية عموماً كفواصل تفصل بين غشاءي المهبط والمصعد في البطارية.

وبسبب كون كهرليتها مادة غير طيارة وهي عموماً لا تتسرب من البطارية في شروط العمل العادية، فإنّ بطارية ليثيوم ذات كهرليت بوليميري هي جوهرياً أكثر أماناً من بطارية ليثيوم ذات كهرليت سائل. يلغي الكهرليت البوليميري الحاجة إلى التنفيس وضبط ضغط التغليف اللازمة عموماً لعمل بطاريات الليثيوم ذات الكهرليت السائل.

لقد جرى اصطناع أنواع خاصة من PI للاستعمال بصفتها كهرليتات بوليميرية<sup>87</sup>. ولقد وُجِدَ أنّ المكافئ البوليميري لوسطي قوة العزل الكهربائي يزداد مع ازدياد عدد حلقات الإيميد الموجودة في واحدة الكتلة. يُعتقد أنّ ارتفاع قوة العزل الكهربائي المكافئة يؤدي إلى تحسّن التأثيرات المتبادلة للملح، الذي يؤدي بدوره إلى تحسّن الموصلية الأيونية للكهرليت ذي الحاضنة البوليميرية. نحصل على أعلى موصلية أيونية عندما تتشكّل المنظومة المكوّنة من PI والملح والمذيب، حاضنة صافية تامة التجانس. ويُتوقع أن يؤدي أيّ انفصال في الطور إلى انخفاض في قيم الموصلية الأيونية.

### 5.5.15. الأغشية والطلاءات للتطبيقات الإلكترونية

تجد أغشية PI الشفافة التي لا لون لها تطبيقات في مواد شاشات العرض من البلّورات السائلة أو مواد الاتصالات البصرية أو مواد أدلة الموجة أو أغشية وقاية البطاريات الشمسية<sup>88</sup>.

من المرجح أن تتحوّل أغشية PI، أثناء التصنيع، إلى الأصفر أو البني بسبب التفكك الحراري الناتج من تاريخ من المعالجة الحرارية القاسية. ولكي نتكّن من صنع أغشية

عالية الشفافية ينبغي استعمال تقنيات خاصة. مثل إقحام ذرات فلور في البنية لجعل المواد أكثر مقاومة للحرارة. تشتمل طريقة أخرى على اتباع الخطوات التالية في صنع الغشاء<sup>88</sup>:

1. مزج وبلمرة المركبة ثنائية الأمين ومركبة ثنائي أنهيدريد الحمض في مذيب للحصول على محلول حمض بولي أميك،
2. تسخين محلول حمض بولي أميك تحت ضغط منخفض للحصول على راتنج PI،
3. حل راتنج PI في مذيب،
4. صب المحلول وتجفيفه.

يُمكن استعمال أغشية PI المُعدّنة في التطبيقات الإلكترونية، مثل لوحات الدارات المطبوعة المرنة. تستعمل التقنيات التقليدية لتصنيع الربط باللصق لرقائق النحاس. إلا أن الحاجة إلى تعليب أكثر كثافة للتجهيزات الإلكترونية يتطلب تخفيضاً أكبر في سماكة هذه الركائز. من الممكن ترديد جسيمات معدنية على سطح الغشاء PI بسماكة قدرها 20 nm، مكونة بذلك طبقة وسطية تمهيداً لتكوين طبقة موصلة من النحاس أو من خليطة نحاسية<sup>89,90</sup>.

تُستعمل راتنجات PI بصفاتها طبقات غطائية. تُستعمل الطبقة الغطائية لحماية الدارات المطبوعة أثناء المعالجة اللاحقة، وبشكل أساسي عمليات اللحام، ومن العوامل البيئية أثناء الاستعمال<sup>91</sup>. يُمكن استعمال بوليميرات PI مجتمعة مع مواد الإيبوكسي. إضافة إلى ذلك، يمكن استعمال الإضافات مثل مُبطّئات اللهب على قاعدة الفوسفور، أو مُعزّزات الالتصاق في هذه الصياغات.

يُستعمل PI لتكوين غشاء رصفٍ لشاشات البلّورات السائلة (LCD) يمكنه توفير مفعول رصف مستقر ومنتظم لجزيئات البلّورات السائلة<sup>92</sup>.

### 6.5.15. التركيبات الحساسة ضوئياً

تُستعمل تركيبات راتنج PI الحساسة ضوئياً في أغشية العزل في التطبيقات الإلكترونية، مثل تجهيزات أنصاف النواقل وشاشات البلّورات السائلة. وتُعتبر الشفافية الزائدة خاصة مرغوبة في التجهيزات البصرية. وبشكل أساسي نُفرّق بين:

- الراتنجات من النمط السالب، التي يتشبيك فيها الجزء المعرض للضوء فيُصبح غير قابل للانحلال،
- والراتنجات الحساسة ضوئياً من النمط الموجب، التي تُصبح فيها الأجزاء المعرضة للضوء قابلة للانحلال.

تتوفّر في حالة بوليميرات PI راتنجات من النوعين. ولقد جرت الإشارة إلى أنّ الأنواع الموجبة أكثر فائدة من الأنواع السالبة<sup>93</sup>. ففي حالة الأنواع الموجبة لا يكون من المرجح تكوّن الفقاعات الصغيرة أو الثقوب. أمّا في حالة الأنواع السالبة، فعند التصاق الغبار، لا تتعرّض تلك المنطقة للضوء مما يؤدي لحفرها وتكوّن ثقوب.

### 1.6.5.15. الأنواع السالبة

تُظهر بوليميرات PI بصفتها هذه نوعاً سالباً من الحساسيّة الضوئيّة عند تشعيها بحزمة ضوئية فعّالة كيميائياً<sup>94</sup>.

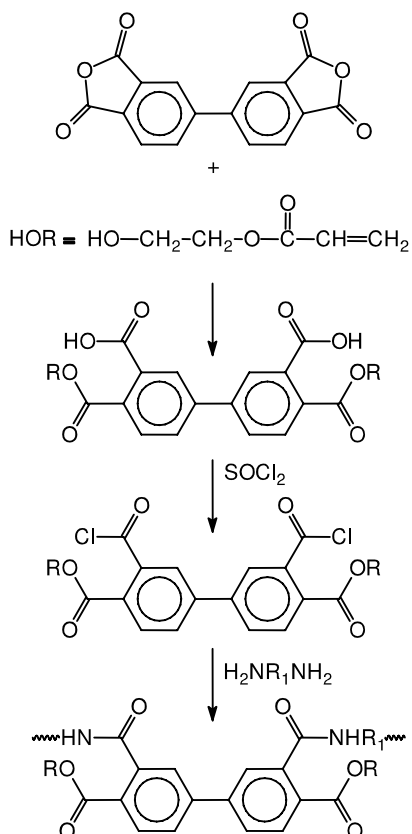
يُمكن إدخال زمر فينيل قابلة للبلمرّة في طلائع PI وذلك بمعالجة ثنائيات الأنهيدريد بكحولات محتوية على الفينيل، مثل 2-هيدروكسي إيثيل ميثاكريلات (HEMA)، وتحويلها إلى كلوريد الأسيل وتكثيفها بثنائيات الأمين مثل DBA<sup>95</sup>. يُبين الشكل (8-15) مخطّط التفاعل.

في الحقيقة، يُبدي بوليمير طليعي يحتوي على السيلوكسان، خواص التصاق مُحسّنة على الركيزة. يُضاف إلى المزيج في مُذيب مُناسب، بادئٍ ضوئيٍّ ومُحسّسٍّ، مثل كيتون ميتششر (Michler) و-4-ثنائي إيثيل أمينو إيثيل بنزوات. يمكن إضافة إسترات ثنائي أكريلات أعلى بصفتها مونوميرات مشتركة قابلة للبلمرّة.

تُصبّب التركيبة دوامياً على ركيزة وتُجفّف. بعد التشيع تتشبيك المناطق المُشعّعة وتصبح غير قابلة للانحلال. يُظهِر الطلاء في محلول مائي من هيدروكسيد رباعي ميثيل أمونيوم. وأخيراً، يُحوّل الغشاء إلى PI بالتسخين حتى  $400^{\circ}\text{C}$ . وفي هذه المرحلة تتحرّر الزمرة الحساسة للضوء مع تحوّل الطليعي إلى بوليمير PI.

ولقد جرى، اعتماداً على هذا المبدأ، تحضير أنواع أخرى من بوليميرات طليعية لـ PI على قاعدة PMDA، و-4،4'-أوكسي ثنائي الأنيلين و HEMA وتوصيفها<sup>96</sup>.

يُمكن إدخال البادئ الضوئي مباشرة في السلسلة البوليميرية الرئيسية. يمتلك مركب 4-4-بيس [(4-أمينو) ثيو فينيل] بنزوفينون زمر أمينو وهو حساسٌ ضوئياً في الوقت نفسه. 97

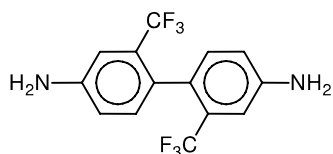


الشكل (8-15): بوليميرات طليعية لـ PI ذات زمر فينيل متدلّية<sup>95</sup>

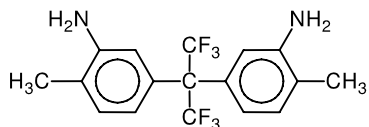
### 2.6.5.15. الأنواع الموجبة

يمكن صنع تركيبة من راتنج PI حساسة ضوئياً من النوع الموجب ابتداءً من بوليمر PI قابل للانحلال بمذيب، ومركبٌ بولي(حمض أميك)، ومركبٌ من نوع 0-كينون ثنائي أزيد<sup>98</sup>. يُطلق المركب الأخير زمراً حمضية عند تشعبه بالضوء فوق البنفسجي. تعتمد طريقة التخريش على مبدأ كون المادة الحساسة ضوئياً تُصبح قابلةً للانحلال قلويّاً عند تعرّضها للتشعيع ويجري حلّها في محلول قلوي مع راتنج PI، وذلك على الرغم من كون راتنج PI نفسه غير حساسٍ ضوئياً<sup>99</sup>.

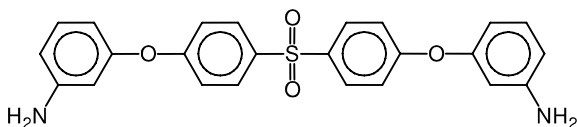




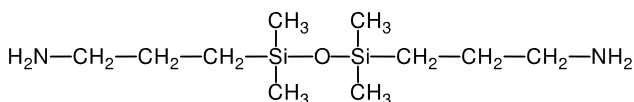
بيس 2،2- (ثلاثي فلورو ميثيل) بنزيدين



بيس 2،2- (3- أمينو -4- تولويل) سداسي فلورو بروبان

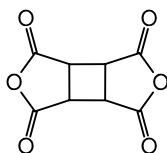


بيس [4-(3- أمينو فينو كسي) فينيل] سلفون

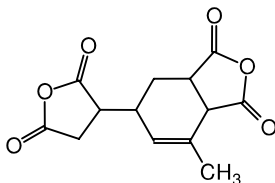


بيس (3- أمينو بروپيل) -1،1،3،3- رباعي ميثيل ثنائي سيلوكسان

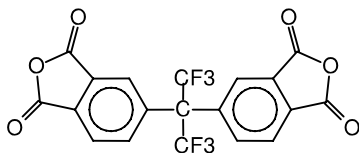
### الشكل (9-15): ثنائيات الأمين في حالة بوليميرات PI القابلة للتحلل



ثنائي أنهيديد حلقي بوتان رباعي كربوكسيليك



ثنائي أنهيديد 5-(5،2-ثنائي أوكسو رباعي هيدروفوريل) -3-ميثيل -3- حلقي هكسين -1،2- ثنائي كربوكسيليك



ثنائي أنهيديد 4،4'-سداسي فلورو إيزو بروبيلاين ثنائي فتاليك

### الشكل (10-15): ثنائيات الأنهيديد في حالة بوليميرات PI القابلة للتحلل

يجري طلاء التركيبة النهائية على الركيزة بالطلي الدوامي. وبعد التجفيف، يمكن تعريض المادة للضوء فوق البنفسجي عبر قناع. ثم يجري تخريش لاحق باستعمال محلول مائي قلوي<sup>100</sup>.

تستعمل طريقة معدلة فقط بوليميرات بولي (إستر حمض أميك). هذه المركبات هي مركبات طليعية لبوليميرات PI. وبعد التخريش، يجري تسخين الركيزة ويتكوّن بوليمير PI مباشرة<sup>93</sup>. يمكن تعديل المركبات الطليعية بواسطة زمر تغطي النهايات<sup>101</sup>. تُحوّل هذه الزمر إلى زمر تفاعلية تسبب تشبيكاً تصاليباً إضافياً أثناء المرحلة النهائية من التحويل. يُبين الجدول (11-15) زمر تغطية النهايات.

الجدول (11-15): مركبات لتغطية النهايات التفاعلية<sup>101</sup>

المركب
أنهيدريد ناديك
أنهيدريد إيتاكونيك
أنهيدريد 3،2-ثنائي ميثيل مالبيك
إيثينيل أنيلين

## 6.15. الموردون والعلامات التجارية

يبيّن الجدول (12-15) الموردين والعلامات التجارية. ويمكن العثور في كتاب بيسونوف (Bessonov) [5، الفصل 4] على تفاصيل إضافية تتعلّق بالمكونات الكيميائية لبوليميرات PI المتوفرة تجارياً وبعض الخواص المميزة. ويبين الجدول (13-15) الأسماء التجارية الواردة في المراجع.

## 7.15. الأمان

هناك العديد من صفحات المعطيات عن أمان المواد التي يجب الرجوع إليها عند التعامل مع بوليميرات PI. في حالة الأنواع المتصلدة حرارياً، يُنظر إلى المنتجات غير المنضجة كفضلات خطيرة. ولكنها لا تُعتبر ضارة عند التعامل الصحيح معها. في حالة الأنواع المحلولة، هناك أخطار محتملة يمكن أن تسببها المذيبات الطيارة. ويمكن أن تسبب الأبخرة المولدة من تسخين الصباغات المحتوية على الفلورو كربون ترفعاً حرارياً أو حمى، (حمى دخان البوليمير) عند استنشاقها. ولا يُنصح باستعمال بعض درجات PEI في التطبيقات الطبية التي تتطلب توافقاً حيوياً. تُستعمل الجسيمات المكروية المصنوعة من PEI كحوامل



بوليميريّة في إزالة السموم من الدم خارج الجسم<sup>102</sup>. لقد جرى اقتراح بعض البوليميرات المشتركة، مثل بولي (أنهيدريد-co-إيميد) لتسليم الجزيئات الضخمة المُتحكّم به. يمكن تحمّل هذه البوليميرات المشتركة تحملاً جيّداً في دراسات السميّة الشديدة على الجرذان، وهي لذلك تُعتبر مواد حيويّة واعدة<sup>103</sup>.

الجدول (12-15): أمثلة على بوليميرات بولي (إيميد) المتوفرة تجارياً

ملاحظات	المُنتج	الاسم التجاري
غشاء	Indopco	Ableloc®
غشاء، تصليد حراري	Kaneka	Apical®
تلدن حراري	Mitsui Chemicals	Aurum®
	DuPont. Cytec	Avimid®
غشاء	DuPont	Cirlex®
تلدن حراري	General Electric	Extem®
غشاء	Westlake Plastics	Imidex®
تصليد حراري	DuPont	Kapton®
	Ciba	Kerimid®
	Huntsman (Ciba)	Matrimid®
تصليد حراري	St.-Gobain Performance Plastics	Meldin®
صفيحي	Mitsui Chemicals	Neoflex®
	Kolon Industries, Inc.	Onlymide®
تلدن حراري، مقوّى بالألياف الزجاجية	Oxford Polymers	OP-PEI...GF
تلدن حراري، مقوّى بالألياف الزجاجية	Polymers Resources Ltd	PRL PEI-G
PTFE و PI	Lenzing	P84
رغوي	Johns Manville International, Inc.	Polycoustic®
لاصق	DuPont	Pyralin®
طلاء أسلاك	I.S.T. Corp.	Pyre®
طلاء	Furukawa Electric	Pyrocoat®
رغوي	Inspec Foams, Inc.	Solimide®
PEI	Ensinger	Tecapei®
غشاء PEI	Westlake Plastics	Tempalux® HI
طلاء	Toray Industries, Inc	Toray®
تلدن حراري	General Electric	Ultem®
	Nytec Plastics	Unitem®
غشاء	Ube Industries	Upilex®
مسحوق	Ube Industries	Upimol®
تصليد حراري	DuPont	Vespe®

## 8.15. الأثر البيئي وإعادة التدوير

تُستعمل بوليميرات PI مُحفّزات لمُعقدّات المعادن الانتقاليّة. إنّ هذه المعقدّات المعدنيّة مُناسبة لتفاعل تكوّن الإيبوكسي من مركّبات الأوليفين. توفرّ مُحفّزات معقدّات المعادن الانتقاليّة المدعومة ببوليميرات PI غير المتجانسة نشاطاً تحفيزياً وانتقائيّة واستقراراً أكثر تميّزاً في تفاعل تكوّن الإيبوكسي من مركّبات الأوليفين العليا. وبسبب الطبيعة غير المتجانسة، يمكن بسهولة فصل المُحفّزات من نواتج التفاعل، وهذا ما يُسهّل عملية إعادة تدوير المُحفّزات<sup>104</sup>.

### الجدول (13-15): الأسماء التجاريّة الواردة في المراجع

المُورّد	الاسم التجاري الوصف
Rhodia Inc.	Antiblaze (Series) مُبطّي لهب <sup>56</sup>
Bayer AG, ARCO Chemical Co.	Arcol® بولي (أوكسيد بروبيلين) <sup>35</sup>
DuPont	Avimid® بولي (إيميد) <sup>25</sup>
Henkel	Capcure® 3-800 بوليمير ذو نهايات مغطاة بالثيول <sup>35</sup>
Union Carbide Corp.	Carbowax® (Series) بولي (إيثيلين أوكسيد غليكول) (PEG) <sup>35</sup>
Shell	Cariflex® بوليمير مشترك ثلاثي <sup>55</sup>
Columbian Chemical Corp.	Conductex® هباب الفحم <sup>55</sup>
DuPont	Crystar® 5005 بولي (ترفتالات الإيثيلين) <sup>54</sup>
Air Products and Chemicals, Inc.	DABCO® 8154 محفّز أمين ثالثي حلقي <sup>56</sup>

الجدول (13-15): الأسماء التجارية الواردة في المراجع

المورد	الاسم التجاري الوصف
Air Products and Chemicals, Inc.	DABCO® K-15 محفّز على قاعدة معدنية <sup>56</sup>
Dover Chemical Corp.	Doverphos® S9228 بيس (4،2-ثنائي كوميل فينيل بنتا إريثريتول) ثنائي فوسفيت <sup>54</sup>
Yuka Shell Co.	Epikote® (Series) مركبات إيبوكسي بيسفينول A و F <sup>91</sup>
Resolution Performance Products LLC. Corp. (Shell)	Epon® (Series) إيثرات ثنائي غليسيديل من بيسفينول A <sup>35</sup>
Albemarle Corp.	Ethacure® 100 ثنائي إيثيل تولوين ثنائي الأمين <sup>35</sup>
Röhm	Eupergit® C250L بولي (ميتاكريل أميد) مُنشَّط بالإيبوكسي <sup>102</sup>
Clariant GmbH	Exolit® OP 1311 مزيج من أملاح الألمنيوم من ثنائي إيثيل فوسفينات وميلامين بولي فوسفينات <sup>91</sup>
Shell	H-2™ مزيج من الإيثيلين ثنائي الأمين وميثيل إيزوبوتيل كيتون كيتيمين (معامل إنضاج) <sup>35</sup>
Lubrizol Advanced Materials, Inc., (B. F. Goodrich Co.)	Hycar® (Series) بوتادينين - أكريلونتريل منته بأمين <sup>35</sup>
Ciba Geigy	Irganox® 1010 خماسي إيريثريتول تترakis 3-(5،3-ثنائي - نرت - بوتيل -4- هيدروكسي فينيل) بروبيونات ) ، مضاد أكسدة فينولي <sup>54</sup>
Huntsman Petro- chemical Corp.	Jeffamine® (Series) بولي ألكوكسيلين غليكول مغطى بأمين <sup>35</sup>
DuPont-Toray Co., Ltd.	Kapton® بولي (إيميد) <sup>91,25</sup>
Shell	Kraton® بوليمير مشترك تعاقبي ستيريني <sup>55</sup>

الجدول (13-15): الأسماء التجارية الواردة في المراجع

المورد	الاسم التجاري الوصف
Lenzing AG	Lenzing® P84 بوليمير مشترك ثنائي أنهيدريد بنزوفينون رباعي كربوكسيليك 67,65,62,23,18 (إيميد) TDI-4+2-MDI-
Azko Nobel Chemicals, Supresta	Lindol® XP Plus ثلاثي كريسيل فوسفات <sup>91</sup>
Cognis	Loxiol® G40 إستر حمض دهني إيزو كحول <sup>54</sup>
Morton International, Inc.	LP-2™ بولي (سلفيد) <sup>35</sup>
Ciba Geigy	Matrimid® بولي (إيميد) <sup>68,67,65</sup>
DSM	Melapur® 200 ميلامين بولي (فوسفات) (مُبطئ لهب) <sup>91</sup>
O Si Specialities, Inc.	Niax® A33 محفز أميني <sup>56</sup>
General Electric, O Si Specialities, Inc.	Niax® L-620 عامل استحلاب سيليكوني لإسفنج بولي (يوريثان) مرن <sup>56</sup>
O Si Specialities, Inc.	Niax® L-6900 عامل توتر سطحي <sup>56</sup>
General Electric	Noryl® مزيج PPE و PS <sup>32</sup>
Air Products and Chemicals, Inc.	PACM™ 20 بيس (4-أمينو حلقي هكسيل) ميثان <sup>35</sup>
Huntsman Poly- urethanes	PAPI® (Series) إيزوسيانات <sup>56</sup>
Air Products and Chemicals, Inc.	Polycat® (Series) محفزات على أساس أميني <sup>56</sup>
BASF AG	PolyTHF® CD بوليميرات THF مشتركة <sup>35</sup>
Rohm & Haas	Primene® MD 8-1 ثنائي أمينو p-ميثان <sup>35</sup>
Rohm & Haas	Primene® أمينات أليفاتية أولية مع سلاسل ألكيلية عالية التشعب <sup>35</sup>

الجدول (13-15): الأسماء التجارية الواردة في المراجع

المورد	الاسم التجاري الوصف
Huntsman Poly-urethanes	Rubinate® (Series) إيزوسيانات <sup>56</sup>
GE Healthcare	Sepharose® CL بولي (سكريد) مُشبَّك <sup>102</sup>
DuPont	Surlyn® راتنج أيونوميري <sup>55</sup>
Dow	Slygard® 184 مطاط سيليكوني <sup>65</sup>
DuPont	Teflon® بوليمير رباعي فلور الإيثيلين <sup>91,64,47</sup>
DuPont	Tetrathane® بولي (رباعي ميثيلين أوكسيد غليكول) (PTMEG) <sup>35</sup>
ICI	Teric® (Series) بولي (إيثيلين غليكول) أحادي (نونيل فينيل) إيثر <sup>24</sup>
National Starch and Chemical Co.	Thermid® بولي (إيميد) من نوع PETI <sup>37</sup>
Union Carbide Corp.	Tone® (Series) بوليول <sup>35</sup>
General Electric	Ultem ® (Series) بولي (إيميد) متلدن حرارياً <sup>68,55,54,24,18</sup>
Dorf Ketal Chemicals (UOP, Inc.)	Unilink ® (Series) ثنائيات أمين ثانوية عطرية <sup>35</sup>
Ube Industries, Ltd.	Upilex ® بولي (إيميد) <sup>25</sup>
Air Products and Chemicals, Inc.	Versalink ® (Series) بولي-THF منته بأمين و PPO في حالة راتنجات PU <sup>35</sup>
Rhodia Inc.	Vircol® 82 مُبطئ لهب <sup>56</sup>

1. P. J. Flory. *N*-acyl polyimides of polycarboxylic acids. US Patent 2 558 675, assigned to Wingfoot Corp, 26 June 1951.
2. W. M. Edwards and R. I. Maxwell. Polyimides of pyromellitic acid. US Patent 2 710 853, assigned to Du Pont, 14 June 1955.
3. Method of preparing polyimides. GB Patent 903 272, assigned to DuPont, 15 August 1962.
4. R. R. Gallucci and R. R. Odle. Polyimide sulfones, method and articles made therefrom. US Patent 7 041 773, assigned to General Electric Company (Pittsfield, MA), 9 May 2006.
5. M. I. Bessonov, M. M. Koton, V. V. Kudryavtsev, and L. A. Laius. *Polyimides: Thermally Stable Polymers*. Translated from Russian by L.V. Backinowsky and M.A. Chlenov; translation edited by W.W. Wright. Macromolecular Compounds. New York: Consultants Bureau, 1987.
6. K. Horie and T. Yamashita, eds. *Photosensitive Polyimides: Fundamentals and Applications*. Lancaster, PA.: Technomic, 1995.
7. M. K. Ghosh and K. L. Mittal, eds., *Polyimides. Fundamentals and Applications, volume 36 of Plastics Engineering*. New York: Marcel Dekker, 1996.
8. K. L. Mittal, ed., *Synthesis, Characterization and Applications: Synthesis, Characterization, and Applications, volume 3 of Polyimides and Other High Temperature Polymers*. Utrecht: VSP International Science Publishers, 2005.
9. K. L. Mittal, ed. *Synthesis, Characterization, and Applications: Synthesis, Characterization and Applications, volume 4 of Polyimides and Other High Temperature Polymers*. Utrecht: VSP International Science Publishers, 2007.
10. M. Ding. "Isomeric polyimides." *Progress in Polymer Science*: vol. 32, no. 6, June 2007, pp. 623–668.
11. H. Itatani, M. Kashima, M. Matsuda, H. Yoshimoto, and H. Yamamoto. Process for producing biphenyltetracarboxylic dianhydrides. US Patent 3 940 426, assigned to UBE Industries, Ltd. (Ube, JA), 24 February 1976.
12. Y. Katsuro and H. Matsuda. Process for producing biphenyltetra- carboxylic dianhydride. US Patent 5 258 530, assigned to Mitsubishi Kasei Corporation (Tokyo, JP), 2 November 1993.
13. D. J. Brunelle and Q. Ye. Method for preparing oxydiphthalic anhydrides using guanidinium salt as catalyst. US Patent 6 706 897, assigned to General Electric Company (Niskayuna, NY), 16 March 2004.

14. D. A. Scola and C. D. Simone. Low viscosity melt processable high temperature polyimides. US Patent 6 911 519, assigned to University of Connecticut (Farmington, CT), 28 June 2005.
15. M. A. Chaudhari, J. J. King, and B. Lee. Polyamic acids and polyimides. US Patent 5 606 013, assigned to Ciba-Geigy Corporation (Tarrytown, NY), 25 February 1997.
16. Y. Shao, Y. F. Li, X. L. Wang, J. S. Guo, and X. Zhao. "Synthesis of a new siloxane-containing diamine and related polyimide." *Chinese Chemical Letters*: vol. 18, no. 6, June 2007, pp. 762–763.
17. T. Kikuchi, H. Tsuji, K. Okada, H. Furutani, K. Tanaka, S. Hara, and H. Nojiri. Process for producing polyimide resin. US Patent 6 790 930, assigned to Kaneka Corporation (Osaka, JP), 14 September 2004.
18. J. Chiefari, B. Dao, A. M. Groth, and J. H. Hodgkin. "Water as solvent in polyimide synthesis: Thermoset and thermoplastic examples." *Journal of High Performance Polymers*: vol. 15, no. 3, 2003, pp. 269–279.
19. B. K. Onder. Preparation of polyimide from organic diisocyanate with alkali metal salt of alcohol as catalyst. US Patent 4 001 186, assigned to The Upjohn Company (Kalamazoo, MI), 4 January 1977.
20. M. Kouno, A. Yamaguchi, M. Osawa, K. Shizuka, H. Nakano, and K. Mizutani. Preparation process of heat-resistant polymers. EP Patent 0 235 388, assigned to Mitsui Toatsu Chemicals (JP), 9 September 1987.
21. P. Michaud and J. Russo. Polyimide solutions and method of obtaining them. US Patent 5 596 073, assigned to S.N.C. Kermel (Cedex, FR), 21 January 1997.
22. K. Weinrotter and R. Vodiunig. Flame retardant high-temperature-resistant polyimide fibers and molded articles manufactured therefrom. US Patent 5 271 889, assigned to Lenzing Aktiengesellschaft (Lenzing, AT), 21 December 1993.
23. J. T. Macheras. Fluid separation membranes prepared from blends of polyimide polymers. US Patent 5 635 067, assigned to Praxair Technology, Inc. (Danbury, CT), 3 June 1997.
24. B. G. Laycock, D. G. Hawthorne, J. H. Hodgkin, and T. C. Morton. Aqueous polyimide process. US Patent 6 333 391, assigned to Commonwealth Scientific and Industrial Research Organisation (Australian Capital Territory, AU) The Boeing Company (Seattle, WA), 25 December 2001.
25. B. Dao, A. M. Groth, and J. H. Hodgkin. "Water as solvent in polyimide synthesis II: Processable aromatic polyimides." *Journal of High Performance Polymers*: vol. 18, no. 1, 2006, pp. 31–44.
26. R. R. Odle and T. L. Guggenheim. Method for the preparation poly(etherimide)s. US Patent 6 881 815, assigned to General Electric Company (Pittsfield, MA), 19 April 2005.
27. J.-H. Park and T. S. Sudarshan, eds. *Chemical Vapor Deposition, volume 2 of Surface Engineering Series*. Materials Park, Ohio: ASM International, 2001.

28. J. R. Salem, F. O. Sequeda, J. Duran, W. Y. Lee, and R. M. Yang. "Solventless polyimide films by vapor deposition." *Journal of Vacuum Science and Technology A*: vol. 4, no. 3, May 1986, pp. 369–374.
29. F.-Y. Tsai, E. L. Alfonso, D. R. Harding, and S. Chen. "Processing vapour deposited polyimide." *Journal of Physics D Applied Physics*: vol. 34, no. 20, October 2001, pp. 3011–3018.
30. J. P.-P. Gonzalez, A. Lamure, and F. Senocq. "Polyimide (PI) films by chemical vapor deposition (CVD): Novel design, experiments and characterization." *Surface and Coatings Technology*: vol. 201, nos. 22-23, September 2007, pp. 9437–9441,
31. W. G. Kim and A. S. Hay. "Synthesis of soluble poly(ether imides) from bis(ether anhydrides) containing bulky substituents." *Macromolecules*: vol. 26, 1993, pp. 5275–5280.
32. A. S. Hay. "Poly(phenylene oxides)s and poly(arylene ether)s derived from 2,6-diarylphenols." *Progress in Polymer Science*: vol. 24, no. 1, April 1999, pp. 45–80.
33. J. D. Harper. Thermosetting bis(isoimide) resin compositions. US Patent 5 082 920, 21 January 1992.
34. S. M. Dershem, D. B. Patterson, and J. A. Osuna, Jr. Maleimide compounds in liquid form. US Patent 7 102 015, assigned to Henkel Corporation (Rocky Hill, CT), 5 September 2006.
35. S. A. Ezzell, R. G. Hansen, and G. J. Anderson. Isomaleimides and polymers derived there from. US Patent 5 744 574, assigned to Minnesota Mining and Manufacturing Company (St. Paul, MN), 28 April 1998.
36. C.-H. Chuang. Solvent free low-melt viscosity imide oligomers and thermosetting polyimide composites. US Patent 7 015 304, assigned to The United States of America as represented by the Administrator of the National Aeronautics and Space Administration (Washington, DC) N/A 21 March 2006.
37. J. W. Connell, J. G. Smith, Jr., and P. M. Hergenrother. High temperature transfer molding resins. US Patent 6 124 035, assigned to The United States of America as represented by the Administrator of the (Washington, DC), 26 September 2000.
38. X. Rao, H. Zhou, G. Dang, C. Chen, and Z. Wu. "New kinds of phenylethynyl-terminated polyimide oligomers with low viscosity and good hydrolytic stability." *Polymer*: vol. 47, no. 17, August 2006, pp. 6091–6098.
39. G. L. Deets and J. Xiong. Rtm and ri processable polyimide resins. US Patent 7 129 318, assigned to I.S.T. (MA) Corporation (Indian Orchard, MA), 31 October 2006.
40. G. F. D'Alelio. Chain-extending polyimides with aromatic polyisocyanates. US Patent 4 026 833, assigned to University of Notre Dame (Notre Dame, IN), 31 May 1977.
41. F. G. Mizori and S. M. Dershem. Imide-linked maleimide and polymaleimide compounds. US Patent 7 208 566, assigned to Designer Molecules, Inc. (San Diego, CA), 24 April 2007.



42. T. Hikita, H. Sugihara, and A. Mochizuki. Polyimide resin for electrical insulating material. US Patent 7 074 882, assigned to Nitto Denko Corporation (Osaka, JP), 11 July 2006.
43. M. Kanada, T. Fukuoka, and N. Kinjou. Method for producing porous polyimide resin and porous polyimide resin. US Patent 7 022 377, assigned to Nitto Denko Corporation (Osaka, JP), 4 April 2006.
44. C.-P. Yang, Y.-Y. Su, and Y.-C. Chen. "Colorless poly(ether-imide)s deriving from 2,2-bis[4-(3,4-dicarboxyphenoxy)phenyl]propane dianhydride (BPADA) and aromatic bis(ether amine)s bearing pendent trifluoromethyl groups." *European Polymer Journal*: vol. 42, no. 4, April 2006, pp. 721–732.
45. R. DeIasi and J. Russell. "Aqueous degradation of polyimides." *Journal of Applied Polymer Science*: vol. 15, 1971, pp. 2965–2974.
46. T.-S. Chung and E. Ronald Kafchinski. "Miscibility of fluoro-containing polyimide blends." *Polymer*: vol. 37, no. 9, April 1996, pp. 1635–1640.
47. T.-S. Chung and E. R. Kafchinski. Miscible blends of polyimide polymers. US Patent 5 155 179, assigned to Hoechst Celanese Corp. (Somerville, NJ), 13 October 1992.
48. IDES Integrated Design Engineering Systems. The Plastics Web®. IDES Inc. 209 Grand Avenue Laramie, WY 82070 USA [electronic] <<http://www.ides.com/prospector>>, 2006.
49. Y. Wang, S. H. Goh, and T.-S. Chung. "Miscibility study of torlon(r) polyamide-imide with matrimid(r) 5218 polyimide and polybenzimidazole." *Polymer*: vol. 48, no. 10, May 2007, pp. 2901–2909.
50. T.-S. Chung, W. F. Guo, and Y. Liu. "Enhanced matrimid membranes for pervaporation by homogenous blends with polybenzimidazole (PBI)." *Journal of Membrane Science*: vol. 271, nos. 1-2, March 2006, pp. 221–231.
51. G. C. Kapantaidakis, G. H. Koops, and M. Wessling. "Preparation and characterization of gas separation hollow fiber membranes based on polyethersulfone-polyimide miscible blends." *Desalination*: vol. 145, nos. 1-3, September 2002, pp. 353–357.
52. X. Kong, F. Teng, H. Tang, L. Dong, and Z. Feng. "Miscibility and crystallization behaviour of poly(ether ether ketone)/polyimide blends." *Polymer*: vol. 37, no. 9, April 1996, pp. 1751–1755.
53. J. A. Campbell, A. A. Goodwin, F. W. Mercer, and V. Reddy. "Studies on a miscible polyimide blend." *Journal of High Performance Polymers*: vol. 9, no. 3, 1997, pp. 263–279.
54. S. B. Brown, J. L. David, R. R. Gallucci, Y. Jin, and M. J. Lindway. Polyetherimide composition, method, and article. US Patent 6 753 365, assigned to General Electric Company (Pittsfield, MA), 22 June 2004.
55. N. C. Patel. Methods of forming conductive thermoplastic poly-etherimide polyester compositions and articles formed thereby. US Patent 6 734 262, assigned to General Electric Company (Pittsfield, MA), 11 May 2004.

56. J. M. Vazquez, R. J. Cano, B. J. Jensen, and E. S. Weiser. Polyimide foams. US Patent 6 956 066, assigned to The United States of America as represented by the Administrator of the National Aeronautics and Space Administration (Washington, DC), 18 October 2005.
57. J. R. Barringer, H. E. Broemmelsiek, C. W. Lanier, and R. Lee. Polyimide foam products and methods. US Patent 5 096 932, assigned to Ethyl Corporation (Richmond, VA), 17 March 1992.
58. E. Lavin and I. Serlin. Process for the preparation of a polyimide foam. US Patent 3 554 939, assigned to Monsanto Co., 12 January 1971.
59. J. Gagliani. Fire resistant resilient foams. Report NASA-CR-147496, Res. Dep., Solar, San Diego, CA, 1976.
60. W. Rhine, J. Wang, and R. Begag. Polyimide aerogels, carbon aerogels, and metal carbide aerogels and methods of making same. US Patent 7 074 880, assigned to Aspen Aerogels, Inc. (Marlborough, MA), 11 July 2006.
61. X. Duthie, S. Kentish, C. Powell, K. Nagai, G. Qiao, and G. Stevens. "Operating temperature effects on the plasticization of polyimide gas separation membranes." *Journal of Membrane Science*: vol. 294, nos. 1-2, May 2007, pp. 40- 49.
62. T.-S. N. Chung, M. L. Chng, and L. Shao. Polyimide membranes. US Patent 7 169 885, assigned to National University of Singapore (Singapore, SG), 30 January 2007.
63. L. Shao, T.-S. Chung, S. H. Goh, and K. P. Pramoda. "Transport properties of cross-linked polyimide membranes induced by different generations of diaminobutane (DAB) dendrimers." *Journal of Membrane Science*, vol. 238, nos. 1-2, July 2004, pp. 153-163.
64. R. A. Hayes. Polyimide gas separation membranes. US Patent 4 717 393, assigned to E. I. Du Pont de Nemours and Company (Wilmington, DE), 5 January 1988.
65. J. W. Simmons and O. M. Ekiner. Polyimide blends for gas separation membranes. US Patent 7 018 445, assigned to L'Air Liquide, Societe Anonyme a Directoire et Conseil de Surveillance Pour l'Etude et l'Exploitation des Procedes Georges Claude (Paris, FR) N/A, 28 March 2006.
66. A. Bos, I. Punt, H. Strathmann, and M. Wessling. "Suppression of gas separation membrane plasticization by homogeneous polymer blending." *AIChE Journal*: vol. 47, 2001, pp. 1088-1093.
67. J. W. Simmons, S. Kulkarni, and O. M. Ekiner. Method for separating hydrocarbon-containing gas mixtures using hydrocarbon-resistant membranes. US Patent 7 025 804, assigned to L'Air Liquide, Societe Anonyme A Directoire et Conseil De Surveillance Pour L'Etude et L'Exploitation Des Procedes Georges Claude (Paris, FR) N/A, 11 April 2006.
68. T.-S. Chung, L. Y. Jiang, Y. Li, and S. Kulprathipanja. "Mixed matrix membranes (MMMs) comprising organic polymers with dispersed inorganic fillers for gas separation." *Progress in Polymer Science*: vol. 32, no. 4, April 2007, pp. 483-507.

69. A. C. Lua and J. Su. "Effects of carbonisation on pore evolution and gas permeation properties of carbon membranes from kapton(r) polyimide." *Carbon*: vol. 44, no. 14, November 2006, pp. 2964–2972.
70. M. Harasimowicz, P. Orluk, G. Zakrzewska-Trznadel, and A. Chmielewski. "Application of polyimide membranes for biogas purification and enrichment." *Journal of Hazardous Materials*: vol. 144, no. 3, June 2007, pp. 698–702.
71. Y. Xu, C. Chen, and J. Li. "Experimental study on physical properties and pervaporation performances of polyimide membranes." *Chemical Engineering Science*: vol. 62, no. 9, May 2007, pp. 2466–2473.
72. X. Qiao, T.-S. Chung, and K. Pramoda. "Fabrication and characterization of BTDA-TDI/MDI (P84) co-polyimide membranes for the pervaporation dehydration of isopropanol." *Journal of Membrane Science*: vol. 264, nos. 1-2, November 2005, pp. 176–189.
73. R. Liu, X. Qiao, and T.-S. Chung. "The development of high performance P84 co-polyimide hollow fibers for pervaporation dehydration of isopropanol." *Chemical Engineering Science*: vol. 60, no. 23, December 2005, pp. 6674–6686.
74. X. Qiao, T.-S. Chung, and R. Rajagopalan. "Zeolite filled P84 co-polyimide membranes for dehydration of isopropanol through pervaporation process." *Chemical Engineering Science*: vol. 61, no. 20, October 2006, pp. 6816–6825.
75. K. Y. Wang, T.-S. Chung, and R. Rajagopalan. "Dehydration of tetrafluoropropanol (TFP) by pervaporation via novel PBI/BTDA-TDI/MDI co-polyimide (P84) dual-layer hollow fiber membranes." *Journal of Membrane Science*: vol. 287, no. 1, January 2007, pp. 60–66.
76. Y.-M. Lee, H.-B. Park, and C.-H. Lee. Crosslinked sulfonated polyimide films. US Patent 7 157 548, assigned to Hanyang Hak Won Co., Ltd. (KR), 2 January 2007.
77. F. Zhai, X. Guo, J. Fang, and H. Xu. "Synthesis and properties of novel sulfonated polyimide membranes for direct methanol fuel cell application." *Journal of Membrane Science*: vol. 296, nos. 1-2, June 2007, pp. 102–109.
78. H. B. Park, C. H. Lee, J. Y. Sohn, Y. M. Lee, B. D. Freeman, and H. J. Kim. "Effect of crosslinked chain length in sulfonated polyimide membranes on water sorption, proton conduction, and methanol permeation properties." *Journal of Membrane Science*: vol. 285, nos. 1-2, November 2006, pp. 432–443.
79. L. Wang, B. Yi, H. Zhang, Y. Liu, D. Xing, Z.-G. Shao, and Y. Cai. "Sulfonated polyimide/PTFE reinforced membrane for PEMFCs." *Journal of Power Sources*: vol. 167, no. 1, May 2007, pp. 47–52.
80. G. Meyer, G. Gebel, L. Gonon, P. Capron, D. Marscaq, C. Marestin, and R. Mercier. "Degradation of sulfonated polyimide membranes in fuel cell conditions." *Journal of Power Sources*: vol. 157, June 2006, pp. 293–301.
81. C. Perrot, G. Meyer, L. Gonon, and G. Gebel. "Aging mechanisms of proton exchange membrane used in fuel cell applications." *Fuel Cells* (Weinheim, Germany): vol. 6, 2006, pp. 10–15.

82. H.-J. Kim, M. H. Litt, E.-M. Shin, and S. Y. Nam. "Hydrolytic stability of sulfonic acid-containing polyimides for fuel cell membranes." *Macromolecular Research*: vol. 12, 2004, pp. 545–552.
83. S. Busato, A. Belloli, and P. Ermanni. "Inkjet printing of palladium catalyst patterns on polyimide film for electroless copper plating." *Sensors and Actuators, B*: vol. 123, no. 2, May 2007. pp. 840–846, May 2007.
84. S. Yoon, D. Kim, S. Park, Y. Lee, H. Chae, S. Jung, and J.-D. Nam. "Direct metallization of gold patterns on polyimide substrate by microcontact printing and selective surface modification." *Microelectronic Engineering*: vol. 85, no. 1, January 2008, pp. 136–142.
85. K. C. Cheung, P. Renaud, H. Tanila, and K. Djupsund. "Flexible polyimide microelectrode array for in vivo recordings and current source density analysis." *Biosensors and Bioelectronics*: vol. 22, no. 8, March 2007, pp. 1783–1790.
86. A. Quaranta, S. Carturan, M. Bonafini, G. Maggioni, M. Tonezzer, G. Mattei, C. de Julian Fernandez, G. Della Mea, and P. Mazzoldi. "Optical sensing to organic vapors of fluorinated polyimide nanocomposites containing silver nanoclusters." *Sensors and Actuators, B*: vol. 118, nos. 1-2, October 2006, pp. 418–424.
87. C. G. Wensley, A. Vallee, D. Brouillette, and S. Gustafson. Polyimide matrix electrolyte. US Patent 7 198 870, assigned to Solicore, Inc. (Lakeland, FL) Avestor Limited Partnership (Boucherville, Quebec, CA), 3 April 2007.
88. M. Nishinaka and T. Itoh. Polyimide film and process for producing the same. US Patent 7 247 367, assigned to Kaneka Corporation (Osaka, JP), 24 July 2007.
89. S. Katsuki and H. Mii. Process for preparing metal-coated aromatic polyimide film. US Patent 7 232 610, assigned to UBE Industries, Ltd. (Yamaguchi, JP), 19 June 2007.
90. M. Aida. Metallized polyimide film and manufacturing method therefor. US Patent 7 241 490, assigned to Mitsubishi Shindoh Co., Ltd. (Tokyo, JP), 10 July 2007.
91. T. E. Dueber, M. W. West, B. C. Auman, and R. V. Kasowski. Polyimide based adhesive compositions useful in flexible circuit applications, and compositions and methods relating thereto. US Patent 7 220 490, assigned to E. I. du Pont de Nemours and Company (Wilmington, DE), 22 May 2007.
92. C.-D. Lee, H.-M. Liu, K.-H. Shen, and J.-M. Chen. Vertical alignment polyimide and vertical alignment film compositions for lcd. US Patent 7 132 137, assigned to Industrial Technology Research Institute (Hsinchu, TW), 7 November 2006.
93. T. Yamanaka, K. Okada, and K. Takagahara. Polyimide precursor, manufacturing method thereof, and resin composition using polyimide precursor. US Patent 7 189 488, assigned to Kaneka Corporation (Osaka, JP), 13 March 2007.
94. H. Itatani, S. Matsumoto, T. Itatani, T. Sakamoto, S. Gorwadkar, and M. Komuro. Method for forming polyimide pattern using photosensitive polyimide and composition for use therein. US Patent 6 777 159, assigned to PI R&D Co., Ltd. (Kanagawa, JP) The National Institute of Advanced Industrial Science and Technology (Tokyo, JP), 17 August 2004.

95. H. Kikkawa, F. Kataoka, I. Takemoto, J. Tanaka, K. Isoda, S. Uchimura, M. Kaji, and M. Sugiura. Photosensitive polyimide precursor and its use for pattern formation. US Patent 6 319 656, assigned to Hitachi Chemical Company, Ltd. (Tokyo, JP), 20 November 2001.
96. L. T. T. Nguyen, H. N. Nguyen, and T. H. T. La. "Synthesis and characterization of a photosensitive polyimide precursor and its photocuring behavior for lithography applications." *Optical Materials*: vol. 29, no. 6, February 2007, pp. 610–618.
97. X. Jiang, H. Li, H. Wang, Z. Shi, and J. Yin. "A novel negative photoinitiator-free photosensitive polyimide." *Polymer*: vol. 47, no. 9, April 2006, pp. 2942–2945.
98. K. Ishii, T. Nakayama, T. Nihira, and H. Fukuro. Positive type photosensitive polyimide resin composition. US Patent 6 677 099, assigned to Nissan Chemical Industries, Ltd. (Tokyo, JP), 13 January 2004.
99. M. Yukawa, T. Abe, and N. Kohtoh. Positive photosensitive polyimide resin composition comprising an *o*-quinone diazide as a photosensitive compound. US Patent 5 288 588, assigned to Nissan Chemical Industries Ltd. (Tokyo, JP), 22 February 1994.
100. T. Nakayama, M. Kato, and T. Nihira. Positive photosensitive polyimide resin composition. US Patent 7 026 080, assigned to Nissan Chemical Industries, Ltd. (Tokyo, JP), 11 April 2006.
101. M. S. Jung, S. K. Jung, Y. Y. Park, B. S. Moon, and B. K. Kim. Positive-type photosensitive polyimide precursor and composition comprising the same. US Patent 6 600 006, assigned to Samsung Electronics Co., Ltd. (Kyungki-do, KR), 29 July 2003.
102. W. Albrecht, K. Lutzow, T. Weigel, T. Groth, M. Schossig, and A. Lendlein. "Development of highly porous microparticles from poly(ether imide) prepared by a spraying/coagulation process." *Journal of Membrane Science*: vol. 273, nos. 1-2, March 2006, pp. 106–115
103. J. Hanes, M. Chiba, and R. Langer. "Degradation of porous poly(anhydride-*co*-imide) microspheres and implications for controlled macromolecule delivery." *Biomaterials*: vol. 19, 1998, pp. 163–172.
104. S. K. Ihm, C. G. Oh, J. H. Ahn, J. C. Kim, and D. C. Sherrington. Polyimide-supported transition metal complex catalyst and process for preparing epoxy compounds using the same. US Patent 6 063 943, assigned to Korea Advanced Institute of Science and Technology (KR), 16 May 2000.

## بوليميرات البلّورات السائلة

لقد جرى اكتشاف البلّورات السائلة من قِبَل عالم النبات فريديش راينتزر<sup>(\*)</sup> 1,2. (Friedrich Reinitzer)، مع أنّه يُمكن إرجاع أوّل ملاحظة للبلّورات السائلة إلى جورج لويس لوكلكرك (George Luis LeClerc)<sup>3</sup>. وبعد اكتشافها بقيت البلّورات السائلة فترة طويلة تُعتبر تحفة مثيرة للفضول.

كان راينتزر مهتماً بتكوين الكولستروول، ولقد أشار راينتزر بشأن بنزوات الكولستيريل إلى وجود انتقالين للطور أثناء الانصهار. يبدأ الانصهار بتكوّن سائل عكّر يتحوّل عند التسخين اللاحق إلى سائل رائق. يُسمّى هذا النوع من البلّور السائل باسم البلّور السائل المتحوّل حرارياً أو الترموتروبي (Thermotropic). إضافة إلى ما سبق، هناك البلّورات السائلة الليوتروبيّة (Lyotropic) التي تُغيّر سلوكها تبعاً لتركيزها في المذيب، ودرجة الحرارة.

يرجع أصل البلّورات السائلة إلى الظاهرة الطبيعيّة التي يجري فيها المحافظة جزئياً على البنية البلّوريّة في الطور السائل فوق نقطة الانصهار. وهي، على الخصوص، تُبدي ترتيباً اتجاهياً بعيد المدى، ولكن دون إبداء ترتيب موضعي. يُمكن تصنيف الأنواع المختلفة لأطوار البلّورات السائلة، التي تسمّى أيضاً أطواراً وسطية، تبعاً لنمط ترتيبها وفق ما يلي:

1. الأطوار النيماتية (Nematic)،
2. الأطوار السميكتيّة (Smectic)،
3. الأطوار الكولستيريوليّة (Cholesteric)،
4. الأطوار الكيراليّة (اللانطباقية) (Chiral)،
5. الأطوار القرصيّة (Discotic).

(\*) فريديش راينتزر، وُلِدَ عام في 25 شباط/فبراير من عام 1857 في مدينة براغ، جمهوريّة التشيك حالياً، وتوفّي في 16 شباط/فبراير عام 1927 في مدينة غراز، النمسا (المترجم).

لقد جرى وصف صفوف جزئية متنوعة من البلورات السائلة<sup>3,4</sup>. من وجهة النظر الجزيئية، تُبنى البلورات السائلة من كسر على هيئة قضبان جاسئة في الجزيئة. وهذا الأمر صحيح في حالة بوليميرات البلورات السائلة (LCP).

تأخذ جزيئات البلورات السائلة القرصية هيئة أقراص<sup>5</sup>. وتمثل مركبات سداسي ألكانويل أو كسي بنزين، وسداسي ألكوكسي ثلاثي فينيلين، وبيس-(4-ديسيل بنزويل) ميثاناتو النحاس(II)، وسداسي-n-ألكاناتو التروكسين، والفتالوسيانين الثماني الاستبدال، أمثلة عليها<sup>6</sup>.

إلى جانب نوع البلورات السائلة، يمكن تصنيف البلورات السائلة البوليميرية إلى بلورات سائلة بوليميرية في سلسلتها الرئيسية وبلورات سائلة بوليميرية في السلسلة الجانبية. ولقد جرى استعراض البلورات السائلة البوليميرية في السلسلة الرئيسية<sup>7-12</sup>، والبلورات السائلة البوليميرية في السلسلة الجانبية<sup>13,14</sup> في الأدبيات.

## 1.16. المونوميرات

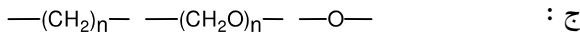
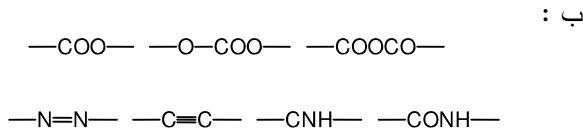
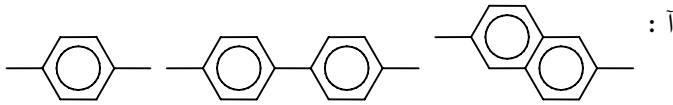
تتكوّن المونوميرات في حالة البلورات السائلة البوليميرية نموذجياً من وحدات جاسئة مترابطة بواسطة وحدات ارتباط. يُخصّص الشكل (1-16) هذه الوحدات. تشتمل الوحدات الجاسئة وحدات الفينيل، والبيفينيل والنفتيك. وتشتمل وحدات الربط وحدات إستر وإيثر وأמיד، وغير ذلك من الوحدات. لذلك لا تنتمي البلورات السائلة البوليميرية إلى صف بوليميري واحد بالمعنى الشائع. تتكوّن وحدات المبادعات المرنة من سلاسل أليفاتية أو سلاسل بولي إيثرية.

يُبين الجدول (1-16) والشكل (2-16) المونوميرات الشائعة في حالة البلورات السائلة البوليميرية. البوليميرات المؤسّسة حصرياً على مونوميرات من حمض الترفثاليك (TPA)، أو من حمض 4-هيدروكسي بنزويك (HBA) أو الهيدروكينون (HQ) هي بوليميرات عسيرة بسبب تبلّرها. لذلك تُصنّع بوليميرات مشتركة يجري فيها الاستعاضة جزئياً عن كسر البنزين بكسر نفتالين أو بيفينيل<sup>7</sup>.

تُعطي زمر الأמיד بلورات سائلة بوليميرية ذات درجات حرارة انتقال زجاجي مرتفعة. ينشأ هذا السلوك من قدرة زمر الأמיד على تكوين روابط هيدروجينية تُثبت السلاسل.

الجدول (1-16): مونوميرات في حالة بوليميرات البلّورات السائنة

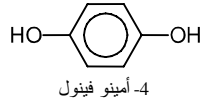
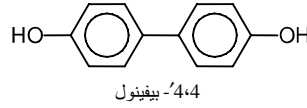
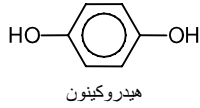
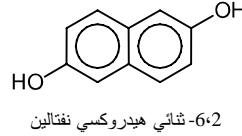
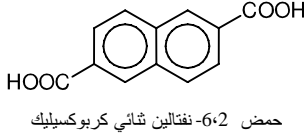
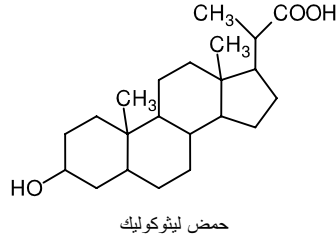
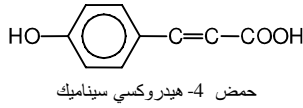
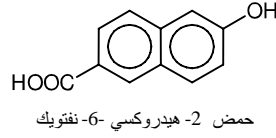
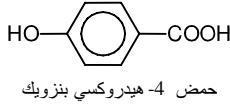
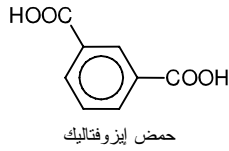
المراجع	المونوميرات الأساسية
15	حمض ترفثاليك
16	حمض ايزوفثاليك
15	حمض 6،2-نفتالين ثنائي كربوكسيليك
17	حمض 4-هيدروكسي بنزويك
7	حمض 2-هيدروكسي-6-نفتويك
18	حمض 4-هيدروكسي سيناميك
18	حمض ليثوكولييك
7	هيدروكينون
19	ترت-بوتيل هيدروكينون
15	4،4'-بيفينول
	6،2-ثنائي هيدروكسي نفتالين
15	4-أمينوفينول
المونوميرات الحاملة للوظائف	
20	حمض بنزويك، 4-[4-(3-اينيل-3-أوكسيتانيل)ميثوكسي]بوتوكسي-، 1،4-فينيلين إستر
20	حمض بنزويك، 4-[4-(3-اينيل-3-أوكسيتانيل)ميثوكسي]-، 4-[4-(أوكثيل أوكسي)فينوكسي]كربونيل إستر



الشكل (1-16): وحدات لبوليميرات البلّورات السائنة. أ: وحدات جاسئة،

ب: وحدات رابطة، ج: وحدات مبادعة مرنة





### الشكل (2-16): مونوميرات لبوليميرات البلورات السائلة

يؤدي استبدال 4,4'-بيفينول (BP) بالهيدروكينون إلى خفض درجة حرارة الانصهار. وبالطريقة نفسها، يؤدي استعمال مونوميرات مشتركة إلى خفض درجة حرارة الانصهار، لأن السلسلة البوليميرية الرئيسية مصنوعة من كسر ذات قياسات مختلفة مما يعرقل التعنق ما بين الجزيئات. يؤدي إدخال زمر نفتويك إلى ظهور فتلات في السلسلة الرئيسية مما يفقدها تناظرها. وبالمقابل فإن إدخال زمر خطية يمكن أن تدور بسهولة، مثل تلك الموجودة في TPA وفي HQ يؤدي إلى زيادة نقطة الانصهار زيادة ملحوظة.

يُستعمل حمض 4-هيدروكسي سيناميك وحمض الليثوكوليك في المواد المتوافقة بيولوجياً<sup>18</sup>. يُمكن استعمال البوليميرات المكوّنة من هذه المركّبات في القطع الطبيّة، مثل أطباق حضانة الخلايا، والخيوط الجراحية، وبراغي تثبيت العظام، وأوعية الدم الصناعيّة.

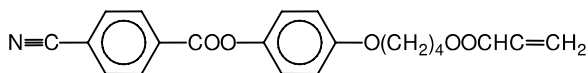
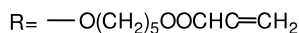
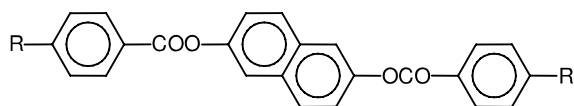
### 1.1.16. الأستلة

لا تُستعمل غالباً المونوميرات المسرودة في الجدول (1-16) كما هي، بل بصيغتها المؤسّلة<sup>22,17</sup>. يمكن تحضير حمض 4-أسيتوكسي بنزويك من HBA عن طريق التعديل بهيدروكسيد الصوديوم، والتبريد بالتلج، والمعالجة بأنهيدريد الخل.

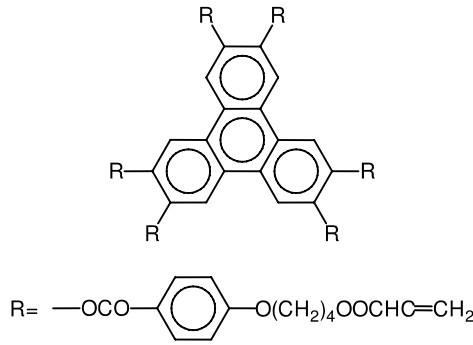
بعد إضافة حمض كلور الماء المركّز، نحصل على معلق طيني يمكن منه عزل المنتج الخام. ثم تجري بلورة المنتج الخام من الميثيل إيزوبوتيل كيتون. يتطلّب تحضير 1،4-ثنائي أسيتوكسي بنزين تقطيراً مرتداً للهيدروكينون مع أنهيدريد الخل. لقد جرى تحضير عدد من المونوميرات المؤسّلة بهذه الطريقة<sup>17</sup>.

### 2.1.16. المونوميرات الحاملة للوظائف

تُستعمل المونوميرات ذات الزمر التفاعلية، مثل وحدات الأكريليك والإيثر الحلقي، في صنع شاشات العرض بالبلّورات السائلة (LCD). يبيّن الشكلان (3-16) و(4-16) مونوميرات ذات وحدات أكريليك، ويبيّن الشكل (4-16) مونومير بلّورات سائلة قرصي قابل للبلّرة ضوئياً.



الشكل (3-16): مونومير بلّورات سائلة قابل للبلّرة ضوئياً<sup>21</sup>



الشكل (4-16): مونومير قرصي<sup>24</sup>

مُرْكَب البدء للمونوميرات القرصيّة هو سداسي هيدروكسي ثلاثي فينيلين. وترتبط المركّبات المناسبة الحاملة لوحدات الأكريليك بزمر الهيدروكسي<sup>23</sup>. عموماً، تُبدي مركّبات البلّورات السائلة القرصيّة قرينة انكسار اثنائيّة الكسر عالية، وهذا يعني أن هذه المواد غير متماثلة الاتجاهات على نحو عالٍ.

نجد في الأدبيات سلسلة من أمثلة أخرى<sup>24</sup>. ولقد جرى وصف طريقة تحضير غشاء التعويض البصري بالتفصيل<sup>24</sup>. يمكن تحضير مونوميرات ذات وحدات أوكسيتان بثلاث خطوات، انظر الشكل (5-16)، وذلك بتفاعل<sup>20</sup>:

1. ثنائي برومو ألكان مع مركّب هيدروكسي أوكسيتان،
2. تفاعل مع حمض 4-هيدروكسي بنزويك،
3. وأسترة زمر الكربونيل مع HQ.

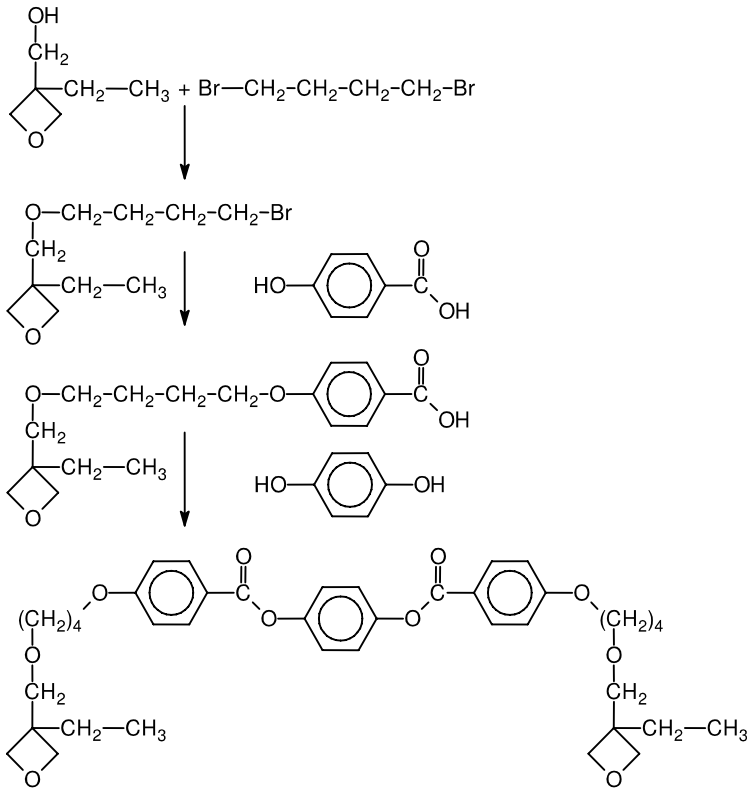
مُخَطَّط الاصطناع مبيّن في الشكل (6-16)، المرحلتان الأولى والثانية هما اصطناع ويليامسون (Williamson) للإيثر، والمرحلة الأخيرة هي أسترة.

## 2.16. البلمرة والتصنيع

### 1.2.16. بوليميرات الإستر المشتركة

بدلاً من استعمال الديولات وأحماض الهيدروكربوكسيليك كمونوميرات للتكاتف يمكن استعمال ثنائي خلات الديولات العطريّة مع أحادي خلات من حمض هيدروكربوكسيليك





الشكل (6-16): اصطناع مونوميرات أوكسيتان مُحَمَّلة بالوظائف

## 2.2.16. بوليميرات بولي (إستر أميد)

تُتيح إضافة 4-أمينوفينول إلى التركيبات الشائعة الاستعمال في حالة بوليميرات البولي(إستر) إنتاج بوليميرات بولي (إستر أميد). فمثلاً، يجري تكاثف مزيج من حمض 6,2-نفتالين ثنائي كربوكسيليك و TPA و BP و HBA و 4-أمينوفينول بوجود أنهيدريد حمضي<sup>15</sup>. تُبدي هذه المواد مُقاومة جيّدة عند اللحام مما يسمح باستعمالها كمواد كهربائية أو إلكترونية، مثل الوصلات الكهربائية، والمقابس للدارات المتكاملة، وغيرها.

### 3.16. الخواص

إنّ بوليميرات البلّورات السائلة أعلى بكثير من البوليميرات الهندسيّة العاديّة. لهذا السبب، هناك توجّه نحو استعمال بوليميرات البلّورات السائلة كمكوّنات ثانويّة في الصياغات البوليميريّة.

لقد جرى توصيف بعض بوليميرات البلّورات السائلة المتوفرة تجارياً، بما يشمل Xydar® و Zenite®، توصيفاً موسّعاً بواسطة مطيافية الأشعة تحت الحمراء، والقياس الحراري بالمشح التفاضلي، والإجهار بالضوء المُستقطب، والقياس الوزني الحراري، والتحليل العنصري<sup>26</sup>. يُبيّن الجدول (2-16) بعض الخواص المُختارة لبوليمير بلّور سائل خالص.

الجدول (2-16): خواص Vectra® A 950<sup>a</sup>

المقياس	الوحدة	القيمة	الخاصّة
ISO 1183	g cm <sup>-3</sup>	1.40	الكثافة
ISO 62	%	0.03	امتصاص الماء عند التوازن (23°C, 50% RH)
ISO 527	GPa	10.6	معامل الشد
ISO 527	MPa	182	إجهاد الشد عند الكسر
ISO 527	%	3.4	انفعال الشد عند الكسر
ISO 178	GPa	9.1	معامل الانحناء
ISO 178	MPa	158	مقاومة الانحناء
ISO 306	°C	128	نقطة تليّن فيكات (Vicat)
ISO 11357	°C	280	نقطة الانصهار

<sup>a</sup> Ticona، نوع للبق غير مقوى

### 1.3.16. الخواص الميكانيكيّة

في حالة المواد المركّبة البوليميريّة، يجري توجيه بوليميرات البلّورات السائلة أثناء سيرورة القولبة باتجاه التدفق. فنتكوّن بذلك لبيفات. تُقوي هذه اللبيفات الحاضنة البوليميريّة. يُسمّى هذا النوع من المواد المركّبة باسم مواد مركّبة "في المكان"<sup>27</sup>.

### 2.3.16. الخواص الحرارية

يزيد إقحام كسر جاسئة في السلسلة الرئيسية درجة حرارة الانصهار. ولكن درجة حرارة الانصهار المرتفعة تجعل إمكانية تشغيل الصهارة أسوأ. يمكن تخفيض درجة حرارة الانصهار عن طريق تعديل بنوي، مثل إدخال:

- لفات أو انحناءات،
- أو زمر جانبية جسيمة،
- أو مباعداً مرنة.

يُبين الجدول (3-16) تغيرات درجات حرارة الانتقال الزجاجي، ونقاط الانصهار مع تغيير تركيبة البوليمرات المشتركة المحضرة من حمض 3-بنزويل-4-أسيتوكسي بنزويك وحمض 4-أسيتوكسي بنزويك.

الجدول (3-16): تبعية درجة حرارة الانتقال الزجاجي ونقطة الانصهار للتركيبية

$T_m$ [°C]	$T_g$ [°C]	نسبة مئوية موليّة من 4-ABA <sup>a</sup>
152	110	0.35
152	120	0.50
184	112	0.65
306	114	0.75
334	—	0.85

<sup>a</sup> 4-ABA : حمض 4-أسيتوكسي بنزويك

مونومير مشترك: حمض 3-بنزويل-4-أسيتوكسي بنزويك

لا تتغير درجة حرارة الانتقال الزجاجي تغييراً جوهرياً مع التركيبة. ولكن نقطة الانصهار تزداد مع كمية حمض 4-أسيتوكسي بنزويك، الذي هو أقل جساماً من حمض 3-بنزويل-4-أسيتوكسي بنزويك<sup>17</sup>. تمتلك البوليمرات العظيمة مقاومة حرارية مرتفعة بسبب ارتفاع تبلرها.

### 3.3.16. الخواص الكهربائية والبصرية

يمكن التأثير في توجيه البلورات السائلة بواسطة حقل كهربائي. تجعل هذه الخاصية البلورات السائلة البوليميرية جذابة للاستعمال في شاشات البلورات السائلة LCDs. تخضع بعض البلورات السائلة لاستقطاب كهربائي تلقائي حتى مع غياب حقل كهربائي خارجي. تُسمى هذه الظاهرة باسم الكهرحديدية.

## 4.16. التطبيقات

لقد وجدت بوليميرات البلّورات السائلة عدداً من التطبيقات، تشمل ما يلي<sup>7,14</sup>:

- الألياف العالية الجساءة والعالية المقاومة،
- المكونات المقولبة الدقيقة،
- الأغشية الحاجزة،
- البوليميرات الكهليلتية الصلبة،
- إضافات معالجة الصهارة،
- تجهيزات تخزين المعلومات العكوسة،
- أدوات الجراحة بالتنظير،
- البضائع الرياضية،
- الشاشات الكهلبصرية.

## 1.4.16. المواد المركّبة في المكان

المواد المركّبة في المكان<sup>27</sup> (in situ composites) هي مواد مركّبة مكوّنة من بوليمير مُتَلدّن حرارياً وبلّور سائل بوليميري. يُطبّق هذا المفهوم على صفوف متنوّعة من البوليميرات. يُلخّص الجدول (4-16) الدراسات الحديثة والبوليميرات التي تُكوّن المواد المركّبة في المكان.

أثناء التصنيع، تُكوّن بوليميرات البلّور السائل أُييفات دقيقة تُقوّي الحاضنة البوليميرية المتلدّنة حرارياً. تُشبه آليّة التقوية تلك الموافقة للألياف الزجاجية. ولكن حين تكون خفّة الوزن مسألة أساسية تصبح المواد المركّبة في المكان أفضل مقارنةً بالألياف الزجاجية<sup>7</sup>.

إضافة إلى ذلك، تُبدي بوليميرات البلّور السائل لزوجات أخفض بكثير من البوليميرات الأخرى. لهذا السبب، فإنّ إمكانية تشغيل المواد المركّبة المقوّاة ببوليميرات البلّور السائل أفضل. وبالطبع فإنّ ثمن بوليميرات البلّور السائل أعلى من ثمن الألياف الزجاجية.



الجدول (16-4): البوليميرات الحاضنة في حالة المواد المركبة في المكان

المراجع	البوليمير
29	مطاط الإيثيلين أكريليك
30	مطاطيات الفلوروكربون
32,31	بولي (أميد)
36-33	بولي (كربونات)
37	بولي (إستر)
39,38	بولي (ترفتالات الإيثيلين)
40	بولي (نفتالات الإيثيلين)
41	بولي (إيثر إيثر كيتون)
42	بولي (إيثيلين)
45-43	بولي (بروبيلين)
27	بولي (سلفون)
50-46	بوليمير مشترك ثلاثي الكتلة: ستيرين- (إيثيلين بوتيلين)-ستيرين

إنّ التوجيه الخاصّ لبوليميرات البلّور السائل في اتجاه التدفّق يُسبّب ترقّق قصّ عند معدلات قصّ منخفضة. تحبّد قوى القصّ المرتفعة تكوين اللييفات. في حالة مزائج البولوي (إستر) العطري وLCP تكون نسبة اللزوجة أكثر استجابة في التحكم بالموورفولوجيا<sup>40</sup>.

ولأنّ معظم بوليميرات البلّور السائل لا تقبل الامتزاج مع البوليميرات التقليدية، تكون الخواص الميكانيكية أقل من تلك التي تنتبأ بها الدراسة النظرية. ينتج هذا من سوء الالتصاق في السطح البيئي. وفي الحقيقة، يمكن التغلّب على هذه المشكلة بإجراء وفاق مناسب. يمكن استعمال عوامل التوافق نفسها التي تُستعمل في الحقول الأخرى. تُساعد عوامل التوافق في تحسين تشنّت الألياف، وتزيد النسبة البعدية لليف. يُلخص الجدول (16-5) عوامل التوافق هذه.

يمكن بناء مخططات الطور للنظم التي جرى وفاقها بهدف توقّع الشروط التي يحدث فيها تكوّن اللييفات في المكان<sup>51</sup>.

الجدول (16-5): عوامل توافق لمزائج بوليميرات البلّورات السائلة

المراجع	المركّب	الحاضنة
52	PP مُطعم بأنهدريد المالبك	پولي (بروبيلين)
53	مطاطيات ملدنة حرارياً	پولي (بروبيلين)
53	پولي(ستيرين - إيثيلين بوتيلين - ستيرين)	پولي (بروبيلين)
54	پولي(ايوكسيد)	پولي (اينثر ايميد)
55	بوليمير مشترك أنهدريد المالبك استيرين	پولي (أميد)

تؤثر شروط المعالجة تأثيراً كبيراً في مورفولوجيا الطورين. المورفولوجيا المثالية هي حيث يمتط بوليمير البلور السائل ليعطي لبيفات، ولكن يمكن أن نحصل على مورفولوجيا بهينة قطيرات كروية. القضية الأخرى، هي ارتفاع درجة حرارة انصهار بوليميرات البلور السائل. ولذلك تمكن ملاحظة تدهور في الراتنج الحاضن عند المزج براتنجات حاضنة تقليدية.

لقد تبين أن تكون الليفيات في مزائج پولي (كربونات) (PC) و LCP يتحسن عند إضافة خزرات زجاجية<sup>56,35</sup>. تعمل السيليكا النانوية بالأسلوب نفسه. فمثلاً، وجد أن إضافة سيليكات نانوي إلى مزائج LCP\PC يؤدي إلى خفض اللزوجة<sup>36</sup>. يتعلق انخفاض اللزوجة بتكون لبيفات LCP الذي تُعزّزه السيليكا النانوية. تؤدي إضافة حوالي 5 في المئة من السيليكا النانوية إلى مزائج LCP والپولي (سلفون) إلى تكون لبيفات طويلة وموجهة بشكل تام في التدفق الشعري<sup>57</sup>. تُكون السيليكا النانوية شبكة في الحاضنة تزيد من مرونتها، وهذا المفعول مسؤول عن تحسن تكون الليفيات.

في راتنجات الپولي (إستر) غير المشبعة، تؤدي إضافة بوليميرات بلورات سائلة إلى تحسين الالتصاق بالألياف الزجاجية<sup>37</sup>. وتحسن بالإضافة إلى ذلك الخواص الميكانيكية. كما تؤدي إضافة بوليميرات بلورات سائلة إلى حاضنات مطاطية إلى تحسين الاستقرار الحراري<sup>50</sup>.

## 2.4.16. تخزين المعطيات ضوئياً

إنّ بوليميرات البلّورات السائلة ذات السلاسل الجانبية النيماتية والسميكتية مناسبة كوسائط بصرية لتخزين المعطيات. وتقنية التسجيل بالأسلوب الحراري هي تقنية خاصة في هذا الشأن<sup>58</sup>. حيث يجري توليد مركز تبديد بصري عن طريق تسخين موضعي. ولكن يمتلك التسجيل بالأسلوب الحراري عدداً من المساوئ مثل بطء زمن الاستجابة، وانخفاض الميز<sup>14</sup>.

وكذلك، يمكن استعمال أغشية البلّورات السائلة، أو الأغشية البوليميرية اللامتبلّرة، المحتوية على زمر الأزوبنزين الحساسة للضوء في التخزين البصري للمعطيات. تمرّ مركّبات الأزوبنزين بسيرورات تكوّن إيزوميرات بفعل الضوء<sup>59</sup>. تُبدي مركّبات الأزوبنزين المرتبطة بالبوليميرات توجيهاً موجّهاً عند تعريضها لضوء مُستقطب ذي طول موجة مناسب. إنّ التعرّض لضوء مُستقطب خطياً يقود إلى توجيه هذه الزمر توجيهاً عمودياً على اتجاه الاستقطاب. ويمكن أن يحدث في البوليمير انكسار مُضاعف مُحرّض ضوئياً.

تعود فكرة استعمال هذا الأثر في التخزين البصري العكوس للمعطيات إلى تودوروف (Todorov)<sup>60,61</sup> ورينغسدورف (Ringsdorf)<sup>62</sup>، وهو يُسمّى حالياً باسم التسجيل بالأسلوب الضوئي. تكمن ميزة التسجيل بالأسلوب الضوئي على التسجيل بالأسلوب الحراري في الميز الأعلى، وسرعة الكتابة، وإمكانية التسجيل المتعدّد (Multiplex recording)<sup>14</sup>.

وعليه، عند تشيع غشاء من هذه الموادّ بضوء مُستقطب خطياً أو غير مُستقطب، يمكن لمعلومات بصرية أن تُكتب، أو تُحى، أو أن تُعاد كتابتها على الغشاء البوليميري. وتحديداً يُسبّب التشيع انكساراً ثنائياً مُحرّضاً بصرياً<sup>63</sup>. يمكن سبر المعلومات المكتوبة بهذه الطريقة بقياس الخواص البصرية للمادة. وبهذه الطريقة يجري استرجاع المعلومات.

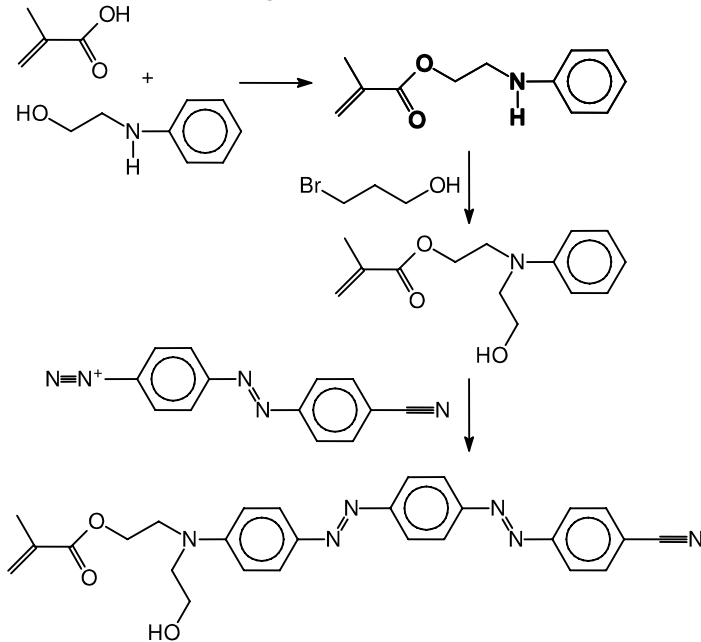
من وجهة النظر الجزيئية، يتحوّل الأزوبنزين من الحالة مفروق trans إلى الحالة مقرون cis. بتفاعل تكوّن الإيزوميرات هذا تترادف زمر الأزوبنزين غير الموجهة سابقاً ترادفاً عمودياً على مستوي استقطاب الضوء الوارد. يتسبّب هذا الترادف بجعل المساحات المُشعّعة ذات انكسار ثنائي عالٍ.

يمكن إدخال زمر الأزو في البوليميرات عن طريق مونوميرات مؤسّسة على قاعدة وحدات أكريلات أو ميثاكريلات يجري ربط سلاسل جانبية محتوية على زمر أزو إليها. يبيّن الشكل (7-16) اصطناع مثل هذه المونوميرات.

إضافة إلى ذلك، يجري إدخال وحدات ميزوجينية<sup>(\*)</sup> (Mesogenic units) إلى البوليمير. تُربط الوحدات الميزوجينية بالطريقة نفسها التي يجري فيها ربط أصبغة الأزو. وهي لا تحتاج بالضرورة إلى امتصاص الضوء الفاعل لأنها تؤدي دور زمر جزيئية منفصلة. تقتصر مهمتها على زيادة شدة الانكسار المضاعف المحرّض ضوئياً، وعلى جعله مستقرّاً بعد انتهاء فعل الضوء<sup>59</sup>.

وبهدف تحسين انحلائية البوليمير يمكن دمج كسر أخرى :

1. كوحداث مونوميرية تجري مكاملتها عشوائياً في السلسلة الرئيسية،
2. أو كزمر جانبية عند مواقع الارتباط بين الأزوبنزين والمُباعِد،
3. أو كزمر نهائية عند الطرف الحرّ من صباغ الأزو.



الشكل (7-16): اصطناع ميثاكريلات محتو على أزوبنزين<sup>59</sup>

<sup>(\*)</sup> وحدات تُعطي للبوليمير طبيعته البلورية السائلة (المترجم).

فمثلاً، يمكن تحسين الانحلالية بواسطة جزيئات الصباغ المحتوية على زمر هيدروكسيل مندلية أو بإدخال ثنائي ميثيل أكريل أميد في البوليمير. يُحسّن إدخال ثنائي ميثيل أكريل أميد أيضاً عكسية حركية الإضاءة.

لإنتاج تجهيزات تخزين، يجري إنتاج بوليميرات من المونوميرات، ويجري إنتاج أغشية بوليميرية بالطلاء الدوامي من محلول. وتُحضّر أغشية بسماكة نموذجية قدرها 200 nm.

عند الكتابة يجري تشجيع العيّنات من جهة البوليمير بواسطة ضوء ليزري مُستقطب وارد عمودي عليها (سيرورة الكتابة). يُستعمل ليزر بشوارد الأرغون عند طول موجة قدره 514 nm بصفته مصدراً ضوئياً بشدة قدرها  $100 \text{ mW cm}^{-2}$ . بهذه الطريقة، تتحرّض دورات تكوّن إيزوميرات مفروق-مفروق في جزيئات زمرة آزوبنزين الجانبية في البوليمير، مؤدية بذلك إلى توجيه صافٍ للزمر الجانبية بعيداً عن اتجاه استقطاب الليزر. يُمكن أن تُتبع هذه التفاعلات بانكسار مُضاعف  $\Delta n$  في مستوي الغشاء البوليميري. يجري تعيين سلوك الانكسار المُضاعف المُحرّض عند 633 nm تجريبياً بواسطة ليزر هيليوم-نيون بشدة قدرها  $\text{mW cm}^{-2}$ ، وهو ما يُعرف بليزر القراءة.

الإسترات المالونية هي أنواع أخرى من المونوميرات المحتوية على الأزوبنزين<sup>63</sup>. يُنبت صباغ الأزو، المعروف باسم ديسبرس رد 1 Disperse Red 1، بصفته وظيفة إستر. ثم تُحضّر بوليميرات بولي (إستر مالونيك) بتفاعل ذرات الهيدروجين النشطة في مركّب الإستر مالونيك مع مركّبات  $\omega, \alpha$ -ألكان أو المركّبات العطرية، مثل ثنائي بروموكزيليلين بوجود هيدريد الصوديوم.

### 3.4.16. الأطوار المستقرّة

تنفصل الأطوار المستقرّة التقليدية تبعاً لقطبيتها، وتبعاً لتفاعلاتها المتبادلة مع المادة المُحلّلة. وبالمقابل تمتلك بوليميرات البلّورات السائلة خاصّة تقنية إضافية هي أنها تنفصل بهيئتها الجزيئية عن المادة المُحلّلة. تُركّز أكثرية الدراسات على الكروماتوغرافيا الغازية (GC).

يمكن أن تعاني مواد البلّورات السائلة ذات الوزن الجزيئي المنخفض تطايراً عالياً. لهذا السبب يمكن تحقيق الانفصالات التي تحتاج إلى درجات حرارة عالية بنجاح أكبر بواسطة بوليميرات البلّورات السائلة. يمكن توصيف مواد البلّورات السائلة بما فيها بوليميرات البلّورات السائلة بواسطة الكروماتوغرافيا الغازية العكسية<sup>64</sup>.

تُستعمل البوليميرات ذات السلسلة الرئيسية من بولي (سيلوكسان) وسلسلة جانبية متدلّية من زمر بلّورية سائلة استعمالاً شائعاً. أما زمر السلاسل الجانبية البلّورية السائلة فهي مُعدّات عضوية مع التوتياء أو النيكل أو الإيثرات التاجية<sup>65</sup>. يُسمّى هذا النوع من البوليميرات باسم البولي (سيلوكسان) الميزومورفي أي البلوريّ السائل. تُبدي السلاسل الجانبية المؤسّسة على 4-بيفينيل-4-أليل أوكسي بنزوات أداء فصل خاصّ في حالة المركّبات الراسيمية.<sup>66</sup>

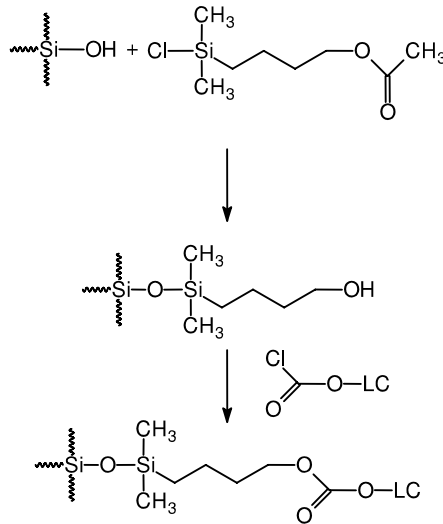
لقد جرى استعمال بعض السلاسل الجانبية البلّورية السائلة المؤسّسة على الأكريلات بصفتها أطواراً مستقرّة لكلّ من الكروماتوغرافيا السائلة (LC) والكروماتوغرافيا الغازية (GC)<sup>67,68</sup>. لقد جرى وصف تحضير بوليميرات بلّورات سائلة مناسبة لفصل مركّبات ثنائي بنزو ديوكسين، وثنائي بنزو فوران المتعدّدة الكلّورة، وغير ذلك من المركّبات العطرية المتعدّدة الكلّورة<sup>69</sup>. إضافة إلى ذلك، فقد جرى في الأدبيات عرض مجموعة موسّعة من الأطوار المستقرّة للكروماتوغرافيا الغازية من بوليميرات البلّورات السائلة، مع أمثلة على تطبيقات<sup>65</sup>.

إنّ تطبيق استعمال بوليميرات البلّورات السائلة كطور مستقر في الكروماتوغرافيا السائلة أقلّ شيوعاً من استعمالها في الكروماتوغرافيا الغازية<sup>70</sup>. هناك طريقتان أساسيتان لتحضير أطوار مستقرّة بلّورية سائلة، وتحديداً:

1. ربط جزيئات بلّورات سائلة منخفضة الوزن الجزيئي بجسيمات هلام سيليك،
  2. أو طلاء بوليميرات البلّورات السائلة على السيليكا أو ربطها بها.
- بالطبع، كما الطريقة الثانية تؤدي الطريقة الأولى إلى بوليميرات، إلّا أنّه في الطريقة الأولى نحصل على مواد هجينة تحتوي على مواد غير عضوية ومواد عضوية.
- ولقد جرت محاولة استعمال مواد بلّورات سائلة حاملة وظيفة كلوريد حمض لربطها بزمرة السيلانول في السيليكا. لا يبدو التفاعل المباشر ناجحاً، وكذلك لم ينجح المُبعد ذو

السيلان المُستبدل فيه ثنائي كلورو ثنائي الميثيل. يُبين الشكل (8-16) مُخطّط التفاعل. ولكن يُلاحظ أداء فصل في حالة توزيع البلّورات السائلة أكثر منه في حالة ربطها<sup>71</sup>. لقد كانت مواد البلّورات السائلة المُستعملة في هذه الدراسة مؤسّسة على قاعدة كسر كولستيرية. ويُشكّ أن فشل التفاعل ناتج من كبر حجم زمرة الكولستيريل. وفي دراسة أخرى جرت إضافة ثنائي ميثيل كلورو سيلان إلى زمرة الأليل في 4-ميثوكسي فينيل-4-أليل أوكسي بنزوات. يمكن ربط هذه المادّة الوسيطية إلى السيليكا<sup>72</sup>. ولقد جرى استعراض طرق متعدّدة أخرى لتثبيت كسر البلّورات السائلة على السيليكا<sup>70</sup>.

إنّ الميزة الأساسيّة في استعمال بوليميرات البلّورات السائلة بصفتها أطواراً مستقرّة لتطبيقات الكروماتوغرافيا السائلة هي أنّ طلاء البوليميرات على هلام السيليكا هي إجرائيّة بسيطة. ومن ناحية أخرى، يمكن تثبيت البوليميرات المشطيّة الشكل، المحضّرة من أكريلات الأوكتاديسيل و 3-ميركابتوبروبيل ثلاثي ميثوكسي سيلان بصفته عامل انتقال سلسلة، على هلام السيليكا بالربط. لقد تبيّن أن التلومير (Telomer) يسلك سلوك مادّة نيماتية في المجال  $47^{\circ}\text{C} - 42$ . ويمكن تحقيق فصل للإيزوميرات الهندسيّة<sup>73</sup>.



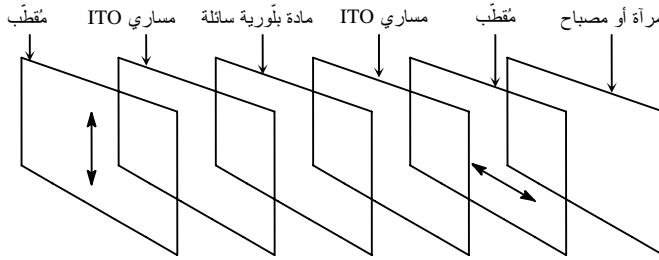
الشكل (8-16): تثبيت كسر البلّورات السائلة على السيليكا<sup>71,70</sup>

#### 4.4.16. شاشات البلّورات السائلة

لقد قدّم موزلي (Mosley)<sup>74</sup> وكاستيلانو (Castellano)<sup>75</sup> تاريخ شاشات البلّورات السائلة (LCD). يتطلّب تطوير تركيبات شاشات البلّورات السائلة معرفة خبيّرة، أبعد بكثير من الكيمياء العضويّة، وهي معروضة في مكان آخر<sup>76</sup>. سنكتفي هنا بمناقشة المفاهيم الأساسيّة لشاشات البلّورات السائلة، وسنستعرض بوليميرات البلّورات السائلة المستعملة في هذا الحقل.

يُبيّن الشكل (9-16) رسماً تخطيطياً لشاشة عرض بالبلّورات السائلة. في أبسط الحالات تُبنى شاشة البلّورات السائلة من:

1. مُقطّب شاقولي،
2. نسق من مساري أكسيد القصدير والإنديوم الموضّعة على زجاج،
3. حاضنة من البلّور السائل،
4. نسق من مساري أكسيد القصدير والإنديوم الموضّعة على زجاج،
5. مُقطّب أفقي،
6. مرآة أو منبع ضوئي.



الشكل (9-16): مخطط شاشة بلّورات سائلة

تُعالج سطوح المساري التي تكون على تماس مع الحاضنة البلّورية السائلة بطبقة بهدف مُحاذاة جزيئات البلّور السائل في اتجاه مُحدّد. تتكوّن طبقة المحاذاة هذه من بوليمير مُمشط في اتجاه محدّد. هناك عدّة مبادئ حول كفيّة تحقيق المُحاذاة. في تجهيزة نيماتية ملفوفة، تكون اتجاهات مُحاذاة السطح عند المسريين متعامدة. ولهذا السبب، تتحاذى الجزيئات في نمط لولبي على طول الخليّة عند غياب حقل كهربائي. وهذا هو النمط



الشفاف في حالة تجهيزه نيماتية ملفوفة. عند تطبيق حقل كهربائي، تترادف البلورات السائلة موازية للحقل الكهربائي. ويحدث تغيير في زاوية دوران الضوء، مما يسبب تغييراً في شفافية التجهيز. عندما يكون العنصر الأخير مرآة تكون شاشة البلورات السائلة من النوع العاكس، وعندما يجري تركيب مصدر للضوء، تكون شاشة البلورات السائلة من النوع المضاء من الخلف. هناك مركبات إضافية في شاشة بلورات سائلة، مثل مرشحات الألوان، وعناصر تأخير الانعكاس وغير ذلك.

في حالة شاشات البلورات السائلة المترادفة شاقولياً، ينعكس الموقف. تصطف المحاور الطويلة لجزيئات البلور السائل عمودية على الركيزة في حالة عدم وجود حقل كهربائي بين المساري. وعليه، باستعمال صفائح استقطاب، يُحتجز الضوء تماماً عند غياب الحقل الكهربائي. ولأن سطوع النمط العاتم ضعيف جداً، يمكن تحقيق نسبة تباين أعلى من تلك التي نجدها في التجهيزات النيماتية الملفوفة<sup>77</sup>.

يمكن أن يكون البولييمير في طبقة المُحاذاة بوليمر بولي (إيميد)، يجري طليه طلياً دوامياً من محلول. وبعد التجفيف، يجري تكوين غشاء سماكته  $0.1\mu\text{m}$  عند درجة حرارة قدرها  $200^\circ\text{C}$ . يجري بعد ذلك مسح الغشاء باتجاه واحد حتى يؤدي دور طبقة ترادف أو مُحاذاة.

أظهرت الدراسة بسرعة أن لزوجة معظم البوليميرات النيماتية مرتفعة إلى درجة تجعل منها مواد غير مناسبة للاستعمال في التجهيزات السريعة التبدل. ولكن يمكن استعمال هذه المواد في المركبات المُساعدة المُتعلقة بشاشات العرض، مثل المقطبات، وأغشية التأخير، وحاضنات التثنية البوليميرية<sup>14</sup>.

#### 1.4.4.16. تثبيت البوليميرات

ليست المواد البلورية السائلة في شاشات البلورات السائلة بالضرورة بلورات سائلة بوليميرية. ولكن حتى يجري تثبيت المادة البلورية السائلة، تستعمل بوليميرات تقليدية للتضمين وبوليميرات بلورات سائلة أيضاً. تجمع السلاسل الجانبية من بوليميرات البلورات السائلة خواص البلورات السائلة والبوليميرات ذات السلاسل الرئيسية المرنة. ولأن كسر

البُّورات السائلة مُثبتة على السلاسل الرئيسيّة للبوليمير، فإنّ هذا النوع من البُّورات السائلة لا يسيل كما هي حال البُّورات السائلة المونوميريّة.

تتكوّن مواد البُّورات السائلة الشائعة من <sup>78</sup>:

- بُّورات سائلة في شبكات بوليميريّة،
- أو بُّورات سائلة مُشتتة بوليميرياً.

تُصنع الشبكات البوليميريّة ذات البُّورات السائلة بطريقة بلمرة فصل الطور. يُصنع محلول من البُّور السائل بنسبة (70-90 في المئة) ومن مونومير قابل للبلمرة أو أوليغومير يوضع في الخليّة. تُستهلّ البلمرة بالتشعيع بالضوء فوق البنفسجي. ومع تقدّم البلمرة يمكن أن يحدث فصلٌ في الطور بين البُّور السائل والبوليمير. وبذلك يُكوّن البوليمير نموذج شبكة في البُّور السائل <sup>78</sup>.

يمكن للمونوميرات أن تتكوّن من مزيج من 2-هيدروكسي إيثيل ميثاكريلات، وفينوكسي إيثيل أكريلات، وپولي (إيثيلين غليكول ثنائي أكريلات)، وپولي (رباعي ميثيلين غليكول) <sup>79</sup>. تُبدي البُّورات السائلة، من أنواع السيانوبيفينيل والسيانوفينيل حلقي الهكسان والسيانو هكسيل حلقي الهكسان، استجابة عاليةً للحقل الكهربائي.

في نظام تثبيت بوليميري، تُحبس بإحكام مادة مركّبة بُّوريّة سائلة، فيها مُركّبة قابلة للبلمرة ممزوجة ببُّور سائل، بين ركيزتين. تُرصف جزيئات البُّور السائل عن طريق تطبيق فرق كمون بين الركيزتين، ثم تبدأ البلمرة.

وبذلك يجري الحصول على طبقة من البُّور السائل تكون فيها الجزيئات مرصوفة في اتجاه محدّد سلفاً، ويمكن بذلك تثبيت اتجاه رصف جزيئات البُّورات السائلة. ويجري اختيار المواد التي تقبل البلمرة بالتسخين أو بالأشعة فوق البنفسجيّة كمونوميرات <sup>80</sup>.

يُضاف أحادي أكريلات بُّور سائل بكميّة حوالي 2.5 في المئة إلى بُّور سائل. وبعد حقن مادة البُّور السائل بين الركيزتين، يجري إنضاج المونوميرات عن طريق تشعيع طبقة البُّور السائل بالأشعة فوق البنفسجيّة بينما يُطبّق فرق كمون قدره 5 فولت على طبقة البُّور

السائل. يمكن، بهذه السيورة تكوين بوليميرات مترادفة في اتجاه ارتصاف جزيئات البلور السائل. وبكلمات أخرى، يمكن تثبيت ترادف البلور السائل أثناء تطبيق فرق كمون منخفض.

في الغالب تكون مونوميرات البلور السائل القابلة للبلمرة الضوئية مؤسّسة على قاعدة زمر الأكريلات التي يجري إدخالها في وحدات البلور السائل. الأمثلة على ذلك مبيّنة في الشكلين (3-16) و(4-16). إضافة إلى ذلك، تمكن بلمرة مونوميرات البلورات السائلة ذات وحدات الأوكسيتان المتدلّية، انظر الشكل (5-16)، بفتح الحلقات. يجري طليّ دوامي للتركيبات ثمّ تستهلّ البلمرة بالضوء فوق البنفسجي.

#### 2.4.4.16. التبعيّة لزاوية الرؤية

يُمكن أن تُعاني شاشات البلورات السائلة التقليديّة تبعيّة لزاوية الرؤية. هذا يعني أن جودة الشاشة تكون أخفض عند النظر إلى الشاشة بشكل مائل مقارنة بحالة النظر إليها من موقع ناظمي عليها<sup>21</sup>. وعموماً تكون زاوية الرؤية الواسعة أمراً مرغوباً.

يمكن توسيع زاوية الرؤية في شاشات البلورات السائلة من النمط النيماتّي الهجينة الترادف، أو في شاشات البلور السائل من النمط المنحني المَعوّض بصرياً<sup>81</sup>. في النوع الأخير، تكون جزيئات البلور السائل مترادفة على نحو موازٍ للمسريين، إلى حدّ ما، في المناطق الخارجيّة من الخليّة، ثمّ يزداد ميلها تدريجياً حتّى تصل إلى مركز الخليّة فتكون جزيئات البلور السائل عموديّة على المسريين. وبنتيّة ذلك يجري تحقيق زاوية رؤية واسعة. للحصول على هذا الترادف المنحني لجزيئات البلور السائل، يُستعمل عامل توجيه أفقي موجّه بالاتجاه نفسه، ويُطبّق بدايةً فرق كمون مرتفع. وكذلك تتحرّك جزيئات البلورات السائلة في الاتجاه نفسه عند عملها، مُحقّقة بذلك زاوية رؤية واسعة إضافة إلى أزمنة استجابة سريعة.

يمكن توسيع زاوية الرؤية إذا جرى إدخال طبقة إضافية بين خلية البلور السائل والمقطّب. يُمكن استعمال كِسْر كولستيريّة قابلة للبلمرة ضوئياً، مُعدّلة بمُباعداً ووحدات أكريلية لبناء مثل طبقات التبطين هذه<sup>21</sup>. يبيّن الشكل (3-16) أمثلة على هذه المونوميرات.

## 5.4.16. تركيبات موصلة كهربائياً

إنّ التركيبات الموصلة كهربائياً القابلة للقولبة بالحقن والمؤسّسة على بوليميرات بلّوريّة سائلة مفيدة في تنوّع واسع من التطبيقات، يشمل:

- التجهيزات الكهركيميائيّة،
- جامعات تيار البطّاريات،
- التدرّيع عالي الكفاءة إزاء تداخل التواترات الراديويّة،
- تطبيقات خلايا الوقود.

يجري صنع التركيبات الموصلة كهربائياً عن طريق مزج بوليميرات بلّوريّة سائلة قابلة للقولبة بالحقن وألياف غرافيت مطلية بالنيكل مُشربّة براتنج رابط متلدّن حرارياً غير بلّوري سائل. يجري المزج عند درجة حرارة تحت نقطة انصهار البوليمير البلّوري السائل. يُعالج المزيج في آلة قولبة بالحقن. إنّ التوازن بين الموصلية الكهربائيّة، وقابليّة التشغيل، والخواص البنيويّة أمرٌ مرغوب<sup>82</sup>. يُلخّص الجدول (6-16) المواد في حالة التركيبات الموصلة كهربائياً.

الجدول (6-16): المواد في حالة التركيبات الموصلة كهربائياً<sup>82</sup>

المُركّبة	ملاحظة	المُصنّع
Zenite® HX8000	بوليمير بلّوري سائل	DuPont
PPI-1204-Ni60	ألياف غرافيت <sup>a</sup>	Composite Materials
PPI-1208-Ni60	ألياف غرافيت <sup>a</sup>	Composite Materials
PPI-1204-NiCu40	ألياف غرافيت <sup>b</sup>	Composite Materials
Thermocarb® CF300	مسحوق غرافيت	Conoco

<sup>a</sup> مطلي بالنيكل، راتنج مشرب.

<sup>b</sup> مطلي بالنيكل - النحاس، راتنج مشرب.

## 5.16. الموردون والعلامات التجارية

يبين الجدول (7-16) الموردين والعلامات التجارية. ولقد جرى تلخيص المونوميرات والوحدات البنوية المستعملة في بوليميرات البُلورية السائلة في الأديبات<sup>7,8</sup>. إن أنواع فيكترا Vectra® هي بوليميرات إسترية مشتركة عشوائية مؤسّسة على HBA وحمض 2-هيدروكسي-6-نفثويك أو بوليميرات إستر أميد مشتركة مؤسّسة على 4-أمينوفينول وTPA<sup>7</sup>. أمّا أنواع كسيدار Xydar® فهي بوليميرات بولي(إستر) تامّة العطرية مؤسّسة على HBA وBP وTPA<sup>7</sup>. إن بوليمير بولي (ترفتالات الإيثيلين) الخالص ليس بوليميراً بلورياً سائلاً، ولكنه يُصبح كذلك عند إدخال HBA. تعمل زمر الإيثيلين كمباعدات مرنة تُخفّض درجة حرارة الانتقال النيماتى. الأنواع المتوفرة تجارياً من هذا النمط هي X7G وأنواع Rodrun. ويبين الجدول (8-16) الأسماء التجارية الواردة في المراجع.

الجدول (7-16): أمثلة على بوليميرات بلورية سائلة متوفرة تجارياً

الاسم التجاري	المنتج
Ekonal®	Sumitomo Chemicals
Laxtar®	Lati
Novaccurate®	Mitsubishi Engineering Plastics
Octa®	Dainippon Ink & Chemicals
Rodrun...	Unitika
Siveras™	Toray Industries
Sumikasuper®	Sumitomo Chemicals
Titan®	Eastman
Vecstar®	Kuraray Co., Ltd.
Vectra® A	Celanese Ticona, Polyplastics CO., Ltd.
Vectran®	Ticona
Xydar®	Solvay Advanced Polymers LLC
Zenite®	DuPont
RTP Compounds 34...	RTP Company
X7G	Eastman

الجدول (16-8): الأسماء التجارية الواردة في المراجع

المورد	الاسم التجاري الوصف
Sumitomo Chemicals Co. Ltd.	Ekono® E-101 بولي (حمض p-هيدروكسي بنزويك) <sup>25</sup>
Ciba	Irgacure® 907 2-ميثيل-1-[4-(ميثيل ثيو) فينيل]-2-[4-مورفولينيل]-1-بروبانول بادئ صوئي <sup>21</sup>
Japan Synthetic Rubber Co.	Optomer® AL1254 بولي (إيميد) <sup>21</sup>
Unitika	Rodrun® بوليمير بلوري سائل <sup>33</sup>
Conoco	Thermocarb® ألياف غرافيت <sup>82</sup>
DuPont	Zenite® بوليمير بلوري سائل <sup>82</sup>

## 6.16. الأثر البيئي وإعادة التدوير

لمّا كانت المواد المركّبة في المكان تحتوي بوليميرات هندسيّة، كانت قضية إعادة تدويرها قضية مهمّة. لقد جرى تحريّ خواص مزائج PC و LCP المُعاد تدويرها. فقد جرى إعداد عينات اختبارٍ بمزج PC و LCP ثمّ قولبتها بالحقن للحصول على عينات بكر.

جرى بعد ذلك سحق هذه العيّنة ثمّ قولبتها بالحقن للحصول على عيّنة مُعادة التدوير بمرحلة واحدة. ثمّ جرى تكرار عملية السحق والقولبة بالحقن للحصول على عيّنة مُعادة التدوير بعدة مراحل <sup>33</sup>. لقد جرى تحضير عينات مُعادة التدوير حتّى أربع مراحل. ولقد جرى توصيف العينات البكر وتلك المُعاد تدويرها بواسطة خواصها الميكانيكيّة والريولوجيّة. أثناء عملية إعادة التدوير يبقى معامل يونغ (Young) شبه ثابت، وتُخفض مقاومة الشدّ بحوالى 20 في المئة، وبالمقابل يزداد مُعدّل تدفق الصهارة ازدياداً جوهرياً بازدياد عدد مرّات إعادة التدوير.

يهدف طريق آخر لإعادة التدوير إلى فصل LCP من الحاضنة البوليميرية<sup>83</sup>. في حالة حاضنة من بوليمير بولي (بروبيلين) (PP) جرى استعمال بثق تفاعلي لخفض الوزن الجزيئي لبوليمير PP. يُسهّل خفض الوزن الجزيئي عملية فصل الطور اللاحقة في الزيت المعدني. بهذه الطريقة يمكن استرجاع حوالي 70 في المئة من البوليمير البلّوري السائل بنقاوة تزيد على 96 في المئة. ولقد وُجد أنه يمكن الاستعاضة جزئياً عن البوليمير البلّوري السائل البكر بالبوليمير البلّوري السائل المُسترجع لصنع مزائج من PP و LCP، وذلك بدون تغيير الخواص الميكانيكية.

## المراجع

1. F. Reinitzer. "Beiträge zur Kenntniss des Cholesterins." *Monatsh Chemie*: vol. 9, no. 1, December 1888, pp. 421–441.
2. T. J. Sluckin, D. A. Dunmur, H. Stegemeyer, eds., *Crystals that Flow: Classic Papers from the History of Liquid Crystals*. Liquid Crystals Book Series. New York: Taylor and Francis, Inc., 2004.
3. P. Palfy-Muhoray. "Orientationally ordered soft matter: The diverse world of liquid crystals." *Liquid Crystal Communications*: August 2007, pp. 1-16 [electronic] <[http://www.e-lc.org/docs/2007\\_08\\_26\\_01\\_36\\_22](http://www.e-lc.org/docs/2007_08_26_01_36_22)>.
4. P. Palfy-Muhoray. "The diverse world of liquid crystals." *Physics Today*: vol. 60, no. 9, September 2007, pp. 54–60.
5. S. Chandrasekhar and G. S. Ranganath. "Discotic Liquid Crystals." *Reports on Progress in Physics*: vol. 53, no. 1, 1990, pp. 57–84.
6. S. Chandrasekhar, S. K. Prasad, G. G. Nair, D. S. S. Rao, S. Kumar, and M. Manickam. Liquid crystal display device. US Patent 6 558 759, assigned to Centre for Liquid Crystal Research (ID), 6 May 2003.
7. S. C. Tjong. "Structure, morphology, mechanical and thermal characteristics of the in situ composites based on liquid crystalline polymers and thermoplastics." *Materials Science and Engineering R*: vol. 41, nos. 1-2, September 2003, pp. 1–60.
8. A. A. Collyer, ed., *Liquid Crystalline Polymers: From Structures to Applications, volume 1 of Polymer Liquid Crystal Series*. London: Elsevier, 1992.
9. D. Acierno and A. A. Collyer, editors. *Rheology and Processing of Liquid Crystal Polymers, volume 2 of Polymer Liquid Crystal Series*. London: Chapman and Hall, 1996.
10. W. Brostow, editor. *Mechanical and Thermophysical Properties of Polymer Liquid Crystals, volume 3 of Polymer Liquid Crystal Series*. London: Chapman and Hall, 1998.

11. A. M. Donald, A. H. Windle, and S. Hanna. *Liquid Crystalline Polymers*. 2<sup>nd</sup> ed. Cambridge, MA: Cambridge University Press, 2006.
12. M. Warner and E. M. Terentjev. *Liquid Crystal Elastomers, volume 120 of International Series of Monographs on Physics*. Rev. ed. Oxford: Clarendon Press, 2007.
13. C. B. MacArdle, ed., *Side Chain Liquid Crystal Polymers*. Glasgow: Blackie, 1989.
14. C.-S. Hsu. "The application of side-chain liquid-crystalline polymers." *Progress in Polymer Science*: vol. 22, no. 4, 1997, pp. 829–871.
15. O. Kishiro, H. Kamata, and H. Sakai. Aromatic polyester, aromatic polyesteramide and processes for producing the same. US Patent 5 025 082, assigned to Mitsubishi Kasei Corporation (Tokyo, JP), 18 June 1991.
16. H. Reimann, G. Pipper, H.-P. Weiss, C. Plachetta, and E. M. Koch. Partly aromatic copolyamides of reduced triamine content. US Patent 5 298 595, assigned to BASF Aktiengesellschaft (Ludwigshafen, DE), 29 March 1994.
17. J. L. Brewbaker and W. B. Marshall. Liquid crystalline copolyesters of 4-hydroxybenzoic acid and substituted 4-hydroxybenzoic acids. US Patent 5 268 443, assigned to The Dow Chemical Company (Midland, MI), 7 December 1993.
18. T. Kaneko, M. Matsusaki, T. T. Hang, M. Akashi, and N. Kuriyama. Bio-liquid crystal polymer and shaped material using same. US Patent 7 182 884, assigned to Akashi; Mitsuru (Osaka-fu, JP) Toyoda Gosei Co., Ltd. (Aichiken, JP), 27 February 2007.
19. M. S. Connolly. Optically anisotropic melt forming aromatic copolyesters based on t-butylhydroquinone. US Patent 4 664 972, assigned to E. I. Du Pont de Nemours and Company (Wilmington, DE), 12 May 1987.
20. T. Matsumoto and H. Mazaki. Liquid crystalline oxetane compound, polymerizable liquid crystalline composition, method for producing liquid crystal film, optical film, and liquid crystal display. US Patent 7 087 273, assigned to Nippon Oil Corporation (Tokyo, JP), 8 August 2006.
21. K. Kashima. Cholesteric reflective retardation optical element with directors at top surface of optical element parallel to those at the bottom surface of the optical element. US Patent 7 202 926, assigned to Dai Nippon Printing Co., Ltd. (Tokyo, JP), 10 April 2007.
22. J. L. Brewbaker and W. B. Marshall. Melt processable thermotropic aromatic copolyesters. US Patent 5 071 942, assigned to The Dow Chemical Company (Midland, MI), 10 December 1991.
23. K. Matsuoka and K. Kawata. Optical compensation sheet, liquid crystal display device, and liquid crystal composition. US Patent 6 444 280, assigned to Fuji Photo Film Co., Ltd. (Minami-Ashigara, JP), 3 September 2002.
24. K. Tasaka, T. Yajima, N. Kuzuhara, and H. Umeda. Optical compensation film, viewing angle compensation integral type polarizing plate and liquid crystal display apparatus. US Patent 7 105 213, assigned to Konica Minolta Holdings, INC (Tokyo, JP), 12 September 2006.



25. H. Sugimoto, Y. Ohbe, and K. Hayatsu. Process for producing aromatic polyesters. US Patent 5 055 546, assigned to Sumitomo Chemical Company, Ltd. (Osaka, JP), 8 October 1991.
26. T.-S. Chung and X. Jin. "Studies on the phase transition and thermal stability of Xydar and Zenite series liquid crystalline polymers." *Polymer Engineering and Science*: vol. 40, no. 4, 2000, pp. 841–856.
27. G. Kiss. "In situ composites: Blends of isotropic polymers and thermotropic liquid crystalline polymers." *Polymer Engineering and Science*: vol. 27, 1987, pp. 410–423.
28. IDES Integrated Design Engineering Systems. The Plastics Web@. IDES Inc. 209 Grand Avenue Laramie, WY 82070 USA [electronic] <<http://www.ides.com/prospector>>, 2006.
29. E. Shiva Kumar, C. Das, K. Banik, and G. Mennig. "Viscoelastic properties of in situ composite based on ethylene acrylic elastomer (AEM) and liquid crystalline polymer (LCP) blend." *Composites Science and Technology*: vol. 67, no. 6, May 2007, pp. 1202–1209.
30. E. Shivakumar, C. Das, E. Segal, and M. Narkis. "Viscoelastic properties of ternary in situ elastomer composites based on fluorocarbon, acrylic elastomers and thermotropic liquid crystalline polymer blends." *Polymer*: vol. 46, no. 10, April 2005, pp. 3363–3371.
31. M. Kurokawa and S. Nagai. "Reinforcement of polyamide 6 with thermotropic liquid crystalline polymer." *Polymer Engineering and Science*: vol. 39, 1999, pp. 872–880.
32. S. C. Tjong, R. K. Y. Li, and X. Xie. "Properties of in situ composites based on semiflexible thermotropic liquid crystalline copolyesteramide and polyamide 66 blends." *Polymer Journal* (Tokyo): vol. 32, 2000, pp. 907–914.
33. Q. W. Xu and H. C. Man. "Recycling of the Rodrun LC-5000 LCP/polycarbonate in situ composites." *Polymer*: vol. 41, no. 20, September 2000, pp. 7391–7397.
34. X. Zheng, B. Zhang, J. Zhang, Y. Xue, and J. He. "Flow properties and morphology of PC/LCP blends affected by the addition of glass fiber and resulted mutual influences." *International Polymer Processing*: vol. 18, 2003, pp. 3–11.
35. P. Chen, J. Zhang, and J. He. "Morphology evolution of a liquid crystalline polymer confined by highly packed glass beads in polycarbonate." *Polymer*: vol. 46, no. 18, August 2005, pp. 7652–7657.
36. L.-C. Wu, P. Chen, J. Chen, J. Zhang, and J.-S. He. "Noticeable viscosity reduction of polycarbonate melts caused jointly by nano-silica filling and TLCP fibrillation." *Polymer Engineering and Science*: vol. 47, 2007, pp. 757–764.
37. X.-B. Yu, C. Wei, and F.-A. Zhang. "Studies on the mechanical and dynamic mechanical properties of thermotropic liquid crystalline polymer/unsaturated polyester/glass fiber in situ hybrid composites." *Advanced Polymer Technology*: vol. 17, 2006, pp. 534–539.

38. L. Pan and B. Liang. "A comparative study of in-situ composite fibers reinforced with different rigid liquid crystalline polymers." *Journal of Applied Polymer Science*: vol. 70, 1998, pp. 1035–1045.
39. W. Grasser, H.-W. Schmidt, and R. Giesa. "Fibers spun from poly(ethylene terephthalate) blended with a thermotropic liquid crystalline copolyester with non-coplanar biphenylene units." *Polymer*: vol. 42, no. 21, October 2001, pp. 8517–8527.
40. J. Y. Kim and S. H. Kim. "In situ fibril formation of thermotropic liquid crystal polymer in polyesters blends." *Journal of Polymer Science Part B: Polymer Physics*: vol. 43, 2005, pp. 3600–3610.
41. J. He, Y. Wang, and H. Zhang. "In situ hybrid composites of thermoplastic poly(ether ether ketone), poly(ether sulfone) and polycarbonate." *Composites Science and Technology*: vol. 60, 2000, pp. 1919–1930.
42. S. Saengsuwan, S. Bualek-Limcharoen, G. R. Mitchell, and R. H. Olley. "Thermotropic liquid crystalline polymer (Rodrun LC5000)/ polypropylene in situ composite films: Rheology, morphology, molecular orientation and tensile properties." *Polymer*: vol. 44, 2003, pp. 3407–3415.
43. B. Wannoo, J. Samran, and S. Bualek-Limcharoen. "Effect of melt viscosity of polypropylene on fibrillation of thermotropic liquid crystalline polymer in in situ composite film." *Rheologica Acta*: vol. 39, 2000, pp. 311–319.
44. S. Saengsuwan, G. R. Mitchell, and S. Bualek-Limcharoen. "Determination of orientation parameters in drawn films of thermotropic liquid crystalline polymer/polypropylene blends using WAXS." *Polymer*: vol. 44, 2003, pp. 5951–5959.
45. P. Sukananta and S. Bualek-Limcharoen. "In situ modulus enhancement of polypropylene monofilament through blending with a liquid- crystalline copolyester." *Journal of Applied Polymer Science*: vol. 90, 2003, pp. 1337–1346.
46. S. Saikrasun, S. Bualek-Limcharoen, S. Kohjiya, and K. Urayama. "Thermotropic liquid-crystalline copolyester/thermoplastic elastomer in situ composites. I. Rheology, morphology, and mechanical properties of extruded strands." *Journal of Applied Polymer Science*: vol. 89, 2003, pp. 2676–2685.
47. S. Saikrasun, S. Bualek-Limcharoen, S. Kohjiya, and K. Urayama. "Thermotropic liquid-crystalline copolyester (Rodrun LC3000)/ thermoplastic elastomer (SEBS) in situ composites: II. Mechanical properties and morphology of monofilaments in comparison with extruded strands." *Journal of Applied Polymer Science*: vol. 90, 2003, pp. 518–524.
48. S. Saikrasun, S. Bualek-Limcharoen, S. Kohjiya, and K. Urayama. "Anisotropic mechanical properties of thermoplastic elastomers in situ reinforced with thermotropic liquid-crystalline polymer fibers revealed by biaxial deformations." *Journal of Polymer Science Part B: Polymer Physics*: vol. 43, 2004, pp. 135–144.
49. S. Saikrasun and T. Amornsakchai. "Phase behavior and properties of in situ-reinforcing elastomer composites based on thermoplastic elastomers and thermotropic liquid crystalline copolyester." *Journal of Applied Polymer Science*: vol. 101, 2006, pp. 1610–1619.

50. S. Saikrasun and T. Amornsakchai. "Isothermal decomposition behavior and dynamic mechanical properties of in situ-reinforcing elastomer composites based on thermoplastic elastomers and thermotropic liquid crystalline polymer." *Journal of Applied Polymer Science*: vol. 103, 2007, pp. 917–927.
51. L. P. Tan, C. Y. Yue, X. Hu, and K. Nakayama. "Phase diagram for predicting in situ fibrillation of LCP during molding." *Materials and Manufacturing Processes*: vol. 21, 2006, pp. 127–134.
52. Q. W. Xu, H. C. Man, and W. S. Lau. "The effect of a third component on the morphology and mechanical properties of liquid-crystalline polymer and polypropylene in situ composites." *Composites Science and Technology*: vol. 59, 1999, pp. 291–296.
53. S. Bualek-Limcharoen, J. Samran, T. Amornsakchai, and W. Meesiri. "Effect of compatibilizers on mechanical properties and morphology of in-situ composite film of thermotropic liquid crystalline polymer/polypropylene." *Polymer Engineering and Science*: vol. 39, 1999, pp. 312–320.
54. N. Silvi, S. B. Brown, M. H. Giammattei, and K. L. Howe. Compatibilized blends of polyetherimides and liquid crystalline polyesters. US Patent 5 633 319, assigned to General Electric Company (Schenectady, NY), E. I. Du pont de Nemours & Company (Wilmington, DE), 27 May 1997.
55. S. C. Tjong, R. K. Y. Li, and X. L. Xie. "Compatibilizing effect of styrenemaleic anhydride copolymer on the properties of polyamide-6/liquid crystalline copolyester composites." *Journal of Applied Polymer Science*: vol. 77, 2000, pp. 1964–1974.
56. P. Chen, L. Wu, Y. Ding, J. Zhang, and J. He. "Morphology evolution of a liquid crystalline polymer in polycarbonate matrix enhanced by the addition of glass beads." *Composites Science and Technology*: vol. 66, nos. 11-12, September 2006, pp. 1564–1574.
57. J. Chen, P. Chen, L. Wu, J. Zhang, and J. He. "Fibrillation of liquid crystalline polymer in polysulfone promoted by increased system elasticity via adding nano-silica." *Polymer*: vol. 48, no. 14, June 2007, pp. 4242–4251.
58. V. P. Shibaev, S. G. Kostromin, N. A. Plate, S. A. Ivanov, V. Y. Vetrov, and A. Yakovlev. "Thermotropic liquid-crystalline polymers. 14. Thermorecording on liquid-crystalline polymers with the aid of a laser beam." *Polymer Communications*: vol. 24, 1983, pp. 364–365.
59. H. Berneth, T. Bieringer, R. Hagen, and S. Kostromine. Rewriteable optical recording material having good solubility. US Patent 7 214 451, assigned to Bayer Aktiengesellschaft (Leverkusen, DE), 8 May 2007.
60. T. Todorov, L. Nikolova, and N. Tomova. "Polarization holography. 1: A new high-efficiency organic material with reversible photoinduced birefringence." *Applied Optics*: vol. 23, 1984, pp. 4309–4312.
61. T. Todorov, L. Nikolova, and N. Tomova. "Polarization holography. 2: Polarization holographic gratings in photoanisotropic materials with and without intrinsic birefringence." *Applied Optics*: vol. 23, 1984, pp. 4588–4591.

62. M. Eich, J. H. Wendorff, B. Peck, and H. Ringsdorf. "Reversible digital and holographic optical storage in polymeric liquid crystals." *Makromolekulare Chemie-Rapid Communications*: vol. 8, 1987, pp. 59–63.
63. Y.-K. Han and B.-S. Ko. "Synthesis of new erasable optical data storage polymers and their applications." *Optical Materials*: vol. 21, nos. 1-3, January 2003, pp. 621–625.
64. G. J. Price, S. J. Hickling, and I. M. Shillcock. "Applications of inverse gas chromatography in the study of liquid crystalline stationary phases." *Journal of Chromatography A*: vol. 969, nos. 1-2, September 2002, 193–205.
65. Z. Witkiewicz, J. Oszczudłowski, and M. Repelewicz. "Liquid- crystalline stationary phases for gas chromatography." *Journal of Chromatography A*: vol. 1062, no .2, January 2005, pp. 155– 174.
66. C.-H. Lin and C.-S. Hsu. "Synthesis and characterization of cholesteric liquid crystalline copolysiloxanes containing 4-biphenyl 4-allyloxybenzoate and [S]-1-(2-naphthyl)ethyl 6-[4-(10-undecen-1- yloxy) biphenyl-4-carbonyloxy]-2-naphthoate side groups." *Journal of Polymer Research*: vol. 7, 2000, pp. 167–173.
67. S. Rokushika, K. P. Naikwadi, A. L. Jadhav, and H. Hatano. "Polyacrylate liquid crystalline stationary phases in supercritical fluid chromatography with carbon dioxide mobile phase." *Chromatographia*: vol. 22, 1986, pp. 209–212.
68. K. P. Naikwadi, A. L. Jadhav, S. Rokushika, H. Hatano, and M. Ohshima. "Synthesis of liquid-crystalline polyacrylates and their use in capillary gas chromatography." *Makromolekulare Chemie*, vol. 187, 1986, pp. 1407–1414.
69. K. P. Naikwadi and P. P. Wadgaonkar. Liquid crystal stationary phases for chromatography. US Patent 5 900 145, assigned to J & K Environmental Ltd. (Sydney, CA), 4 May 1999.
70. F. Gritti and G. Felix. "Application of liquid crystals in liquid chromatography: From low-to high-molecular-weight liquid crystals." *Chromatographia*: vol. 55, 2002, pp. 523–531.
71. P. J. Taylor and P. L. Sherman. "Liquid crystals as stationary phases for high-performance liquid chromatography." *Journal of Liquid Chromatography*: vol. 2, 1979, pp. 1271–1290.
72. J. Pesek and T. Cash. "A chemically bonded liquid crystal as a stationary phase for high-performance liquid chromatography. Synthesis on silica via an organochlorosilane pathway." *Chromatographia*: vol. 27, 1989, pp. 559–564.
73. T. Fukumoto, H. Ihara, S. Sakaki, H. Shosenji, and C. Hirayama. "Chromatographic separation of geometrical isomers using highly oriented polymer-immobilized silica gels." *Journal of Chromatography A*: vol. 672, nos. 1-2, June 1994, pp. 237–241.
74. A. Mosley. "Liquid crystal displays—an overview." *Displays*: vol. 14, no. 2, April 1993, pp. 67–73.

75. J. A. Castellano. *Liquid Gold: The Story of Liquid Crystal Displays and the Creation of an Industry*. New Jersey: World Scientific, 2005.
76. S.-T. Wu and D.-K. Yang. *Fundamentals of Liquid Crystal Devices*. Wiley Series in Display Technology. Chichester: Wiley, 2006.
77. J.-H. Mun and J.-K. Song. Liquid crystal display having wide viewing angle. US Patent 7 209 204, assigned to Samsung Electronics Co., Ltd. (Gyeonggi-do, KR), 24 April 2007.
78. K. Yamagishi, K. Kurematsu, O. Koyama, and T. Nakazawa. Matrix substrate, liquid crystal display device using it, and method for producing the matrix substrate. US Patent 6 927 829, assigned to Canon Kabushiki Kaisha (Tokyo, JP), 9 August 2005.
79. T. Asada. Liquid crystal display device and its production method. US Patent 6 924 873, assigned to Tadahiyo Asada (Kyoto, JP), 2 August 2005.
80. K. Hanaoka. Liquid crystal display and method of manufacturing the same. US Patent 7 113 241, assigned to Sharp Kabushiki Kaisha (Osaka, JP), 26 September 2006.
81. J.-J. Lyu, C.-H. Lee, and H.-S. Chang. Liquid crystal display with a wide viewing angle using a compensation film. US Patent 7 265 802, assigned to Samsung Electronics Co., Ltd. (KR), 4 September 2007.
82. M. K. Bisaria, P. Andrin, M. Abdou, and Y. Cai. Injection moldable conductive aromatic thermoplastic liquid crystalline polymeric compositions. US Patent 6 379 795, assigned to E. I. du Pont de Nemours and Company (Wilmington, DE), 30 April 2002.
83. M. C. Collier and D. G. Baird. "Separation of a thermotropic liquid crystalline polymer from polypropylene composites." *Polymer Composites*: vol. 20, 1999, pp. 423–435.

## فهرس العلامات التجارية

Ableloc®

Poly(imide),	پولي (إيميد)
--------------	--------------

Accugard™

Poly(phenylene ether),	پولي (إيثر الفينيلين)
------------------------	-----------------------

Accutech™

Poly(phenylene ether),	پولي (إيثر الفينيلين)
------------------------	-----------------------

Aciplex®

Perfluorosulfonic acid membrane,	غشاء حمض برفلوروسلفونيك
----------------------------------	-------------------------

Acnor™

Poly(phenylene ether),	پولي (إيثر الفينيلين)
------------------------	-----------------------

Acronal® 4F

Poly( <i>n</i> -butylacrylate),	پولي (أكريلات <i>n</i> -بوتيل)
---------------------------------	--------------------------------

Admer®

Adhesive resins, maleic anhydride grafted poly(ethylene) or poly(propylene),	راتجات لاصقة، پولي (إيثيلين) أو پولي (بروبيلين) مطعم بالأنهيدريد ماليك
--	--

Admer® L 2100

Poly(ethylene) grafted with 0.1% maleic anhydride,	پولي (إيثيلين) مطعم بمقدار 0.1% أنهيدريد ماليك
--	--

Aerosil®

Fumed Silica,	سيليكا مدخنة
---------------	--------------

AI Polymer

Poly(amide imide),	پولي (أميد إيميد)
--------------------	-------------------

Albis PPS

Poly(phenylene sulfide),	پولي (سلفيد الفينيلين)
--------------------------	------------------------

Alftalat® AN 739

Polyester,	پولي إستر
------------	-----------

Alphamide®

Poly(amide imide),	پولي (أميد إيميد)
--------------------	-------------------

Amodel® (Series)

Poly(phthalamide),	پولي (فتال أميد)
--------------------	------------------

Amodel® 1000

Poly(phthalamide),	پولي (فتال أميد)
--------------------	------------------

Amodel® A 1000

Hexamethylene terephthalamide isophthalamide adipamide terpolymer,	بوليمير مشترك ثلاثي من سداسي ميثيلين ترفتالاميد و إيزوفتالاميد وأدياميد
--	---

Amodel® AF 1113

Aromatic copolyamide 6.6/6.I/6.T 4,	بوليمير أميد مشترك عطري 6.6\6.I\6.T4
-------------------------------------	--------------------------------------

Amodel® AF 4133

Aromatic copolyamide 6.6/6.T 5,	بوليمير أميد مشترك عطري 6.6\6.T5
---------------------------------	----------------------------------

Amodel® X4000

Hexamethylene terephthalamide isophthalamide adipamide terpolymer 65/35,	بوليمير مشترك ثلاثي من سداسي ميثيلين ترفتالاميد و إيزوفتالاميد وأدياميد 65\35
--	---

Antiblaze (Series)

Flame retardant,	مبطئ لهب
------------------	----------

Apical®

Poly(imide),	پولي (إيميد)
--------------	--------------

Aqua-Clean®

Ethoxylated mercaptan, surfactant,	مركباتان مَوْظَف بِالْإِيثوكسي، عامل توتّر سطحي
------------------------------------	---

Aracon®

Metal coated Kevlar® fiber,	ليف كيفلار مطلي بمعادن
-----------------------------	------------------------

Aramica®

Aramid,	أراميد
---------	--------

Arcol®

Poly(propylene oxide),	پولي (أوكسيد البروبيلين)
------------------------	--------------------------

Arlene®

Poly(phthalamide),	پولي (فتال أميد)
--------------------	------------------

Arlene® CH 230

PA 6.6/6.T 5,	PA 6.6/6.T 5 بولي أميد
---------------	------------------------

Armos®

Aramid,	أراميد
---------	--------

Arnitel®

Poly(ester) elastomer,	بولي (إستر) إلاستوميري
------------------------	------------------------

Ashlene®

Poly(phenylene ether),	بولي (إيثر الفينيلين)
------------------------	-----------------------

Aurum®

Poly(imide),	بولي (إيميد)
--------------	--------------

Avaspire™

Poly(ether ether ketone),	بولي (إيثر إيثر كيتون)
---------------------------	------------------------

Avimid®

Poly(imide),	بولي (إيميد)
--------------	--------------

Balpound™

Poly(phthalamide),	بولي (فتال أميد)
--------------------	------------------

Basofil®

Melamine resin fiber,	ليف رانتج الميلامين
-----------------------	---------------------

Baytron® P

Complex of poly(3,4-ethylenedioxythiophene) and poly(styrenesulfonic acid),	معقد من بولي (3،4-إيثيلين ثنائي أوكسي ثيوفين) وبولي (حمض ستيرين السلفوني)
---	---

Black Pearls®

Carbon black,	هباب الفحم
---------------	------------

Blendex™

Poly(2,6-dimethylphenylene ether),	بولي (2،6-ثنائي ميثيل فينيلين إيثر)
------------------------------------	-------------------------------------

Boltorn® (Series)

Dendritic poly(ester)s,	بولي (إستر) شجري التشعب
-------------------------	-------------------------

Bondfast®

Epoxy functional poly(olefin),	بولي (أوليفين) بوظيفة إيبوكسي
--------------------------------	-------------------------------

Buna® AP 437

EPDM, Ethylene propylene diene monomer,	مونومير الإيثيلين بروبيلين ديين
---	---------------------------------



Bynel® (Series)

Anhydride modified ethylene vinyl acetate resin, adhesion promoter,	راتنج خلات الفينيل إيثيلين المعدل بأنهيدريد، مُعزّر التصاق
---	---

Cabelec®

Conductive carbon black masterbatch in PA 6,	هباب فحم موصل (دفعة رئيسة) ماسترباتش في PA 6
--	---

Cabosil™ M5

Silica,	سيليكا
---------	--------

Calprene®

Styrene-(ethylene-butylene)-styrene triblock copolymer,	بوليمير مشترك ثلاثي الكتلة ستيرين- (إيثيلين- بوتيلين)-ستيرين.
---	--

Capcure® 3-800

Thiol end-capped polymer,	بوليمير بنهايات مغطاة بالثيول
---------------------------	-------------------------------

Caprolan®

Nylon 6,	نايلون 6
----------	----------

Carbowax® (Series)

Poly(ethyleneoxide glycol) (PEG),	بولي (غليكول أوكسيد الإيثيلين)
-----------------------------------	--------------------------------

Cariflex®

Triblock copolymer,	بوليمير مشترك ثلاثي الكتلة
---------------------	----------------------------

Celstran® PPS

Poly(phenylene sulfide),	بولي (سلفيد الفينيلين)
--------------------------	------------------------

Cirlex®

Poly(imide),	بولي (إيميد)
--------------	--------------

Comshield® PPS

Poly(phenylene sulfide),	بولي (سلفيد الفينيلين)
--------------------------	------------------------

Conductex®

Carbon black,	هباب الفحم
---------------	------------

Conex®

m-Aramid,	m-أراميد
-----------	----------

CoorsTek Neat PES

Poly(arylene ether sulfone),	بولي (أريلين إيثر سلفون)
------------------------------	--------------------------

CP-45X Developer,

Developer,	مطوّر
------------	-------

Crylcoat® 2392

Polyester,	بولي إستر
------------	-----------

Crystar® 5005

Poly(ethylene terephthalate),	بولي (تريفثالات الإيثيلين)
-------------------------------	----------------------------

DABCO® 8154

Cyclic tertiary amine catalyst,	محفز أمين ثالثي حلقي
---------------------------------	----------------------

DABCO® K-15

Metallic based catalyst,	محفز أساسه معدني
--------------------------	------------------

Darocure® 1173

2-Hydroxy-2-methyl-1-phenylpropan-1-one, photoinitiator,	2- هيدروكسي -2-ميثيل -1-فينيل بروبان -1- أون، بادئ ضوئي
--	--

DC® -704

Silicone oil,	زيت سيليكون
---------------	-------------

DC® -710

Silicone oil,	زيت سيليكون
---------------	-------------

Denka® SMI

Styrene maleide imide copolymer,	بوليمير مشترك ستيرين مالييد إيميد
----------------------------------	-----------------------------------

DER® 332

Bisphenol A diglycidyl ether based epoxy resin,	راتنج إيبوكسي على أساس بيسفينول A ثنائي غليسيديل إيثر
---	--

Desmodur® (Series)

Oligomers based on 4,4'-diphenylmethane diisocyanate,	أوليغومير على قاعدة 4,4'-ثنائي فينيل ميثان ثنائي إيزوسيانات
---	--

Desmodur® W

Bis-(4-isocyanatocyclohexyl) methane (H <sub>12</sub> MDI),	بيس-(4- إيزوسياناتو حلقي هكسيل) ميثان (H <sub>12</sub> MDI)
---	---

Desmophen® 690

Branched lacquer polyester with OH groups,	لكر بولي إستر متشعب بزمر OH
--	-----------------------------

Diaion® (Series)

Sulfonic acid type ion exchange resin modified with 2-mercaptoethylamine,	راتنج تبادل شاردني من نمط حمض السلفونيك المعدل بـ 2- ميركابتو إيثيل أمين
---	---

Disflamoll® DPK

Diphenylcresyl phosphate,	ثنائي فينيل كريسيل فوسفات
---------------------------	---------------------------

## DOVERPHOS® S9228

Bis(2,4-dicumylphenyl pentaerythritol) diphosphite,	بيس (4,2-ثنائي كوميل فينيل بنتا إيريثريتول) ثنائي فوسفيت
---	--

## Dowex® (Series)

Anion and cation exchangers,	مُبدلات أنيون كاتيون
------------------------------	----------------------

## DYLARK®

Copolymers of styrene with maleic anhydride,	بوليمير مشترك من الستيرين مع أنهيدريد الماليك
--	---

## Dyneon® HTE

Fluoropolymer,	بوليمير فلوري
----------------	---------------

## Ebecryl® (Series)

Urethane acrylate,	أكريلات اليوريثان
--------------------	-------------------

## Ecdel®

Copolyester ether elastomer,	بولي إستر مشترك إيثر إلاستومير
------------------------------	--------------------------------

## Edgetek® -PK

Poly(ether ether ketone),	بولي (إيثر إيثر كيتون)
---------------------------	------------------------

## Edgetek™

Poly(arylene ether sulfone),	بولي (أريلين إيثر سلفون)
------------------------------	--------------------------

## Edgetek™ PPS

Poly(phenylene sulfide),	بولي (سلفيد الفينيلين)
--------------------------	------------------------

## Ekonol®

Poly( <i>p</i> -oxybenzoate),	بولي ( <i>p</i> -أوكسي بنزوات)
-------------------------------	--------------------------------

## Ekono® E-101

Poly( <i>p</i> -hydroxybenzoic acid),	بولي (حمض <i>p</i> -هيدروكسي بنزويك)
---------------------------------------	--------------------------------------

## Elvamide®

Low melting poly(amide),	بولي (أميد) ذو درجة انصهار منخفضة
--------------------------	-----------------------------------

## Emi-X\* PPS

Poly(phenylene sulfide),	بولي (سلفيد الفينيلين)
--------------------------	------------------------

## Engage™ resins

Low density poly(ethylene),	بولي (إيثيلين) ذو كثافة منخفضة
-----------------------------	--------------------------------

Ensinger PEEK

Poly(ether ether ketone),	پولي (إيثر إيثر كيتون)
---------------------------	------------------------

Epikote® (Series)

Bisphenol A/F epoxies,	مركبات إيبوكسي بيسفينول A و F
------------------------	-------------------------------

Epispire

Poly(arylene ether sulfone),	پولي (أريلين إيثر سلفون)
------------------------------	--------------------------

Epon® (Series)

Diglycidyl ethers of bisphenol A,	ثنائي غليسيديل إيثرات من بيسفينول A
-----------------------------------	-------------------------------------

ERL™

Alicyclic epoxides,	إيبوكسيدات أليحلقية
---------------------	---------------------

Esacure®

Photoinitiators,	بوادئ ضوئية
------------------	-------------

Ethacure® 100

Diethyltoluene diamine,	ثنائي إيثل تولين ثنائي أمين
-------------------------	-----------------------------

Eulexin®

Nonsteroidal antiandrogen,	مضاد الأندروجين غير الستيروئيدي
----------------------------	---------------------------------

Eupergit® C250L

Epoxy-activated poly(methacrylamide),	پولي (ميتاكريل أميد) منشط بالإيبوكسي
---------------------------------------	--------------------------------------

Exolit® OP 1311

Mixture of aluminum salts of diethylphosphinate and melamine polyphosphate,	مزيج من أملاح الألمنيوم من فوسفينات ثنائي إيثل و پولي فوسفات الميلامين
---	--

Expandex® 150

Calcium salt of 5-phenyltetrazole, blowing agent,	ملح كالسيوم من 5-فينيل تيترازول، عامل نفخ
---	---

Extem®

Poly(imide),	پولي (إيميد)
--------------	--------------

Exxelor® PO 1015

Poly(propylene) grafted with 0.3% maleic anhydride,	پولي (بروبيلين) مطعم بمقدار 0.3% أنهيدريد الماليك
---	---

Exxelor® VA 1801

Ethylene propylene rubber grafted with 0.6% maleic anhydride,	مطاط إيثلين بروبيلين مطعم بمقدار 0.6% أنهيدريد الماليك
---	--

Exxelor® VA 1803

Ethylene propylene rubber grafted with 0.4% maleic anhydride,	مطاط إيثيلين بروبيلين مطعم بمقدار 0.4% أنهيدريد المالبك
---	---

Flemion®

Fluoropolymer ion-exchange membrane,	بوليمير فلوري-غشاء تبادل شوارد
--------------------------------------	--------------------------------

Fluorinert®

Fluorinated oil,	زيت مفلور
------------------	-----------

Fortafil®

Carbon fiber,	ليف كربوني
---------------	------------

Forton® (Series)

Poly(phenylene sulfide),	بولي (سلفيد الفينيلين)
--------------------------	------------------------

Freon® 113

1,1,2-Trichloro-1,2,2-trifluoroethane,	2،1،1-ثلاثي كلورو -2،2،1-ثلاثي فلوروإيثان
--	---

Gafone™

Poly(arylene ether sulfone),	بولي (أريلين إيثر سلفون)
------------------------------	--------------------------

Galwick®

Wetting fluid,	مائع مبلل
----------------	-----------

Gatone™ PEEK,

Poly(ether ether ketone),	بولي (إيثر إيثر كيتون)
---------------------------	------------------------

Geloy® resin

ASA copolymer,	بوليمير مشترك ASA
----------------	-------------------

Glycolube® (Series)

Fatty esters, flow promotor, mold release agent,	إسترات دسمة، معزّر تدفق، وعامل تحرير القوالب
--	--

Gore-Select®

Microporous expanded PTFE membrane (ePTFE), ion conductive membrane,	غشاء PTFE موسع بمسامات ميكروية (ePTFE)، غشاء موصل للشوارد
--	---

Grafil® fibers

Carbon fiber,	ليف كربوني
---------------	------------

Grafoil®

Flexible graphite,	غرافيت مرن
--------------------	------------

Grivory® HTV-4X2VO

Poly(phthal amide), 6.6/6.T	پولي (فتال أميد)
-----------------------------	------------------

Grivory® HTVS-3X2VO

Poly(phthal amide), 6.6/6.T 7	پولي (فتال أميد)
-------------------------------	------------------

H-2™

Mixture of ethylenediamine and methyl isobutyl ketone ketimine (curing agent),	مزيج من ثنائي أمين الإيثيلين وميثيل إيزوبوتيل كيتون كيتيمين (معامل إنضاج)
--	---

Hakkol FWA-SF

Triazinylaminostilbene fluorescent brightening agent,	ثلاثي أزينيل أمينو ستيلبين عامل تلميع فلوري
---	---

HB® -40

Hydrogenated terphenyl,	ترفينيل مهدرج
-------------------------	---------------

HERACRON®

Aramid,	أراميد
---------	--------

HiFill® PPS

Poly(phenylene sulfide),	پولي (سلفيد الفينيلين)
--------------------------	------------------------

Highlink® (Series)

Colloidal silica sols,	محلول (سول) سيليكات غروي
------------------------	--------------------------

Hiloy® PPS

Poly(phenylene sulfide),	پولي (سلفيد الفينيلين)
--------------------------	------------------------

Hipertuf®

Poly(ethylene naphthalate) for drinking bottles,	پولي (نفتالات الإيثيلين) لقوارير الشرب
--	--

Hycar® (Series)

Amine-terminated butadiene-acrylonitrile,	بوتاديين - أكريلونتريل منته بأمين
---	-----------------------------------

Hydlar®

Aramid,	أراميد
---------	--------

Hytrel®

Poly(ester) elastomer,	پولي (إستر) إلاستومير
------------------------	-----------------------

Hytrin®

Cardiovascular preparation,	تحضير الأوعية القلبية
-----------------------------	-----------------------

Igetabond®

Epoxy functional poly(olefin),	پولي (أوليفين) بوظيفة إيبوكسي
--------------------------------	-------------------------------

Imidex®

Poly(imide),	پولي (إيميد)
--------------	--------------

Irgacure® 369

2-Benzyl-2-dimethylamino-1-(4-morpholinophenyl)butanone-1,	2-بنزيل-2-ثنائي ميثيل أمينو-1-(4-مورفولينو فينيل) بوتانون-1
--	---

Irgacure® 184

1-Hydroxycyclohexylphenylketone (photo initiator),	1-هيدروكسي حلقي هكسيل فينيل كيتون، بادئ ضوئي
--	--

Irgacure® 907

2-Methyl-1-[4-(methylthio)phenyl]-2-(4-morpholinyl)-1-propanone (photo initiator),	2-ميثيل-1-(4-ميثيل ثيو) فينيل [2-(4-مورفولينيل)-1-بروبانون (بادئ ضوئي)]
--	---

Irganox® 1010

Pentaerythritol tetrakis(3-(3,5-di-tert-butyl-4-hydroxyphenyl)propionate), phenolic antioxidant,	بنتا إريثريتول تترakis (3-(3,5-di-tert-butyl-4-hydroxyphenyl)propionate) هيدروكسي فينيل بروبيونات) مضاد أكسدة فينولي
--	--

Irganox® 1076

Octadecyl-3-(3',5'-di-tert-butyl-4'-hydroxyphenyl) propionate,	أوكتاديسيل-3-(3',5'-ثنائي-ترت-بوتيل-4'-هيدروكسي فينيل) بروبيونات
--	--

Irganox® 1098

N,N'-hexamethylenebis(3,5-di-tert-butyl-4-hydroxyhydrocinnamide),	N,N'-سداسي ميثيلين بيس (3,5-ثنائي-ترت-بوتيل-4-هيدروكسي هيدروسينام أميد)
---	---

Isonate®

Isocyanate based formulation for foams,	تشكيلة للرغويات على قاعدة الإيزوسيانات
---	--

Ixef®

Aramid,	أراميد
---------	--------

Jeffamine® (Series)

Amine capped polyalkoxyene glycol,	بولي ألكوكسيلين غليكول مغطى بأمين
------------------------------------	-----------------------------------

Kaladex®

Poly(ethylene naphthalate) films,	أغشية بولي(نفتالات الإيثيلين)
-----------------------------------	-------------------------------

Kapton®

Poly(imide),	بولي (إيميد)
--------------	--------------

Kerimid®

Poly(imide),	بولي (إيميد)
--------------	--------------

Ketaspire™

Poly(ether ether ketone),	بولي (إيثر إيثر كيتون)
---------------------------	------------------------

Ketjenblack®

Conductive carbon black,	هباب فحم موصل
--------------------------	---------------

Ketron®

PEEK, Poly(ether ether ketone),	بولي (إيثر إيثر كيتون)
---------------------------------	------------------------

Kevlar®

Aramid,	أراميد
---------	--------

Klebosol®

Silica sol,	محلول (سول) سيليكيا
-------------	---------------------

Konduit\* PPS

Poly(phenylene sulfide),	بولي (سلفيد الفينيلين)
--------------------------	------------------------

Kraton®

Styrenic block copolymer,	بوليمير مشترك كتلي التعاقب ستيريني
---------------------------	------------------------------------

Krytox®

Fluorinated oil,	زيت مفلور
------------------	-----------

Kynar®

Poly(vinylidene fluoride),	بولي (فلوريد الفينيلدين)
----------------------------	--------------------------



Laramid®

Poly(phthalamide),	پولي (فتال أميد)
--------------------	------------------

Laromer® LR 8739

Urethane acrylate monomer,	مونومير أكريلات اليوريثان
----------------------------	---------------------------

Larpeek

Poly(ether ether ketone),	پولي (إيثر إيثر كيتون)
---------------------------	------------------------

Laxtar™

Liquid crystalline polymer,	بوليمير بلورات سائلة
-----------------------------	----------------------

Lenzing® P84

Benzophenone tetracarboxylic dianhydride-MDI-2,4-TDI copolymer, poly(imide),	بوليمير مشترك ثنائي أنهيدريد بنزوفينون رباعي كربوكسيليك MDI-4,2-TDI ، پولي (إيميد)
--	--

Leomin® AN

Oleyl phosphonate lubricant, textile auxiliary,	مزلق أوليل فوسفونات، مساعد في الصناعة النسيجية
---	--

Lexan®

Poly(carbonate),	پولي (كربونات)
------------------	----------------

Lindol® XP Plus

Tricresyl phosphate,	ثلاثي كريزيل فوسفات
----------------------	---------------------

Lotader®

Epoxy functional poly(olefin), Adhesive,	پولي (أوليفين) بوظيفة إيبوكسي لاصق
--	------------------------------------

Loxiol® G40

Fatty acid isoalcohol ester,	إستر حمض دهني إيزو كحول
------------------------------	-------------------------

LP-2™

Poly(sulfide),	پولي (سلفيد)
----------------	--------------

Lubri-Tech™ PPS

Poly(phenylene sulfide),	پولي (سلفيد الفينيلين)
--------------------------	------------------------

Lubriblend® PPS

Poly(phenylene sulfide),	پولي (سلفيد الفينيلين)
--------------------------	------------------------

Lubricomp\* PPS

Poly(phenylene sulfide),	پولي (سلفيد الفينيلين)
--------------------------	------------------------

Lubrilon® PPS

Poly(phenylene sulfide),	پولي (سلفيد الفينيلين)
--------------------------	------------------------

Lucalen® A 3710 MX

Copolymer of LDPE and 7% acrylic acid,	بوليمير مشترك من LDPE و 7% حمض أكريليك
--	---

Ludox® (series)

Silicon colloid,	سيليكاً مدخّن
------------------	---------------

Lupersol® 256

2,5-Dimethyl-2,5-bis(2-ethylhexanoylperoxy)hexane,	5,2-ثنائي ميثيل-2-بيس (2-إيثيل هكزانويل بيروكسي) هكسان
--	---

Lupolen® (Series)

Poly(ethylene),	پولي (إيثيلين)
-----------------	----------------

Lupranat® (Series)

Isocyanate based formulations,	تشكيلات على قاعدة الإيزوسيانات
--------------------------------	--------------------------------

Luran®

SAN copolymer,	بوليمير مشترك SAN
----------------	-------------------

Luvican®

Poly(vinyl carbazole),	پولي (فينيل كاربازول)
------------------------	-----------------------

Luxprint® 7144

Carbon conductor ink,	حبر ناقل كربوني
-----------------------	-----------------

Luxprint® 7145L

Silver conductor ink,	حبر ناقل فضي
-----------------------	--------------

Luxprint® 7151

Electroluminescent phosphor paste,	معجون فوسفوري متألق كهربائياً
------------------------------------	-------------------------------

Luxprint® 7153E

Barium titanate paste,	معجون تيتانات الباريوم
------------------------	------------------------

Lynite®

Poly(ethylene terephthalate),	پولي (ترفتالات الإيثيلين)
-------------------------------	---------------------------

Makrolon®

Poly(carbonate),	پولي (كربونات)
------------------	----------------

Mark 2112

Tris(2,4-di- <i>tert</i> -butyl phenyl) phosphite,	تريس (2،4-ثنائي-ترت- بوتيل فينيل) فوسفيت
--	--

Matrimid®

Poly(imide),	پولي (إيميد)
--------------	--------------

Melapur® 200

Melamine poly(phosphate) (flame retardant),	ميلامين پولي (فوسفات) (مُبطئ لهب)
---	-----------------------------------

Meldin®

Poly(imide),	پولي (إيميد)
--------------	--------------

Melinar® Laserplus

Poly(ethylene terephthalate) (PET), bottle grade,	پولي (ترفتالات الإيثيلين) (PET)، للقوارير
---	---

Merlon®

Poly(carbonate),	پولي (كربونات)
------------------	----------------

Mictron®

Aramid,	أراميد
---------	--------

Mindel® PES

Poly(arylene ether sulfone),	پولي (أريلين إيثر سلفون)
------------------------------	--------------------------

Mobiltherm® (Series)

Heat transfer oil,	زيت نقل الحرارة
--------------------	-----------------

Multiposit® XP-9500

Thermoset epoxy resin,	راتنج إيبوكسي متصلد حرارياً
------------------------	-----------------------------

Mylar® (Series)

Poly(ethylene terephthalate),	پولي (ترفتالات الإيثيلين)
-------------------------------	---------------------------

Nafion®

Sulfonated PTFE, for membrane applications,	PTFE مسلفن لتطبيقات الأغشية
---	-----------------------------

Nafion® 1100 EW

Sulfonated PTFE, Nafion membrane, of equivalent weight (EW) of 1100,	PTFE مسلفن، غشاء نافيون بوزن مكافئ 1100
--	---

Nalco® 2327

Silica hydrosol,	هيدروسول سيليكيا
------------------	------------------

Naugard® 445

4,4-di( $\alpha, \alpha$ -Dimethylbenzyl)diphenylamine,	4,4 ثنائي ( $\alpha, \alpha$ -ثنائي ميثيل - بنزيل) ثنائي فينيل أمين
---	---

Neoflex®

Poly(imide),	بولي (ترفتالات الإيثيلين)
--------------	---------------------------

Neosepta®

Perfluorinated ion exchange membranes,	أغشية تبادل شاردني برمفلورة
--	-----------------------------

Niax® A-33

Amine catalyst,	محفز أميني
-----------------	------------

Niax® L-620

Silicone emulsifier, for flexible poly(urethane) foam,	عامل استحلاب سيليكوني لإسفنج بولي (يوريثان) مرن
--	---

Niax® L-6900

Surfactant,	عامل توتر سطحي
-------------	----------------

Nirez® 2150/7042

Terpene phenol flow modifier,	معدل الانسياب أو التدفق من فينول التربين
-------------------------------	--

Nomex®

<i>m</i> -Aramid,	<i>m</i> -أراميد
-------------------	------------------

Nopla®

Poly(ethylene naphthalate)-Poly(ethylene terephthalate),	بولي (نفتالات الإيثيلين)-بولي (ترفتالات الإيثيلين)
--	--

Noryl\* PPS+PPE

Poly(phenylene sulfide),	بولي (سلفيد الفينيلين)
--------------------------	------------------------

Norylux™ PPO

Poly(phenylene ether),	بولي (إيثر الفينيلين)
------------------------	-----------------------

Noryl®

PPE PS Blend,	مزيج بولي (إيثر الفينيلين) مع بولي (ستيرين)
---------------	---

Novaccurate®

Liquid crystalline polymer,	بوليمير بلورات سائلة
-----------------------------	----------------------

Novolen® 1100

Isotactic poly(propylene),	بولى (بروبيلين) إيزوتاكتي
----------------------------	---------------------------

Novolen® 2500 HX

Propylene/ethylene block copolymer, 10% ethylene,	بوليمير مشترك كتلي التعاقب بروبيلين/إيثيلين، 10% إيثيلين
---	---

Novolen® 3200 HX

Propylene/ethylene block copolymer, 2.5% ethylene,	بوليمير مشترك كتلي التعاقب بروبيلين/إيثيلين، 2.5% إيثيلين
--	--

Octa®

Chemicals,	كيماويات
------------	----------

OLEOPHOBOL® (Series)

Fluoroacrylate polymer, Oil and water repellent,	بوليمير فلورو أكريلات، نابذ للزيت والماء
--	--

Onlymide®

Poly(imide),	بولى (إيميد)
--------------	--------------

OP-PEI...GF

Poly(imide),	بولى (إيميد)
--------------	--------------

Optomer® AL1254

Poly(imide),	بولى (إيميد)
--------------	--------------

Oxalon®

Poly(oxadiazole) fibers,	ألياف بولي (أوكساديازول)
--------------------------	--------------------------

PACM™ 20

Bis(4-aminocyclohexyl)methane,	بيس (4-أمينو حلقي هكسيل) ميثان
--------------------------------	--------------------------------

PAPI® (Series)

Isocyanate,	إيزوسيانات
-------------	------------

Paraloid®

Acrylate rubber, impact modifier,	مطاط أكريلات. مُعدّل صدم
-----------------------------------	--------------------------

Parylene C

Chlorinated Parylene type,	نوع من الباريلين المكثور
----------------------------	--------------------------

Parylene D

Dichlorinated Parylene type,	نوع من الباريلين ثنائي الكلورة
------------------------------	--------------------------------

Parylene HT

Fluorinated Parylene type,	نوع من الباريلين المفلور
----------------------------	--------------------------

Parylene N

Standard Parylene polymer,	الباريلين النظامي (غير المستبدل)
----------------------------	----------------------------------

PCTA Durastar 1000

Copolyester based on 65 mol % terephthalic acid, 35 mol % isophthalic acid and CHDM,	بولي إستر مشترك من 65% مولياً حمض ترفثاليك، و 35% مولياً حمض إيزوفثاليك و CHDM
--	--

PDBS® 80

Poly(dibromostyrene),	بولي (ثنائي برومو ستيرين)
-----------------------	---------------------------

Pebax

Poly(amide imide),	بولي (أميد إيميد)
--------------------	-------------------

PEEK-OPTIMA®

Granular Poly(ether ether ketone),	بولي (إيثر إيثر كيتون) حَبَبِي
------------------------------------	--------------------------------

PenTec®

Poly(ethylene naphthalate) fiber,	ليف بولي (نفتالات الإيثيلين)
-----------------------------------	------------------------------

Pentex®

Modified Poly(ethylene naphthalate) fiber,	ليف معدّل من بولي (نفتالات الإيثيلين)
--	---------------------------------------

PEN™

Poly(arylene ether nitrile),	بولي (أريلين إيثر نتريل)
------------------------------	--------------------------

Perspex® CP63

Acryl glass,	زجاج أكريلي
--------------	-------------

PETG 6736

Copolyester based on terephthalic acid and EG and CHDM,	بولي إستر مشترك من حمض ترفثاليك، و EG و CHDM
---	--

Photomer™ 6210

Urethane acrylate oligomer, rheology modifier resin,	أوليغومير أكريلات البوريثان، راتنج مُعدّل الريولوجيا
--	---

Pluronic® (Series)

Ethylene oxide/propylene oxide block copolymer, defoamers,	بوليمير مشترك كثلي التعاقب أوكسيد إيثيلين/أوكسيد بروبيلين، مانع ترغّي
--	--

PMC EP PX1000

Poly(phenylene ether),	پولي (إيثر الفينيلين)
------------------------	-----------------------

Polectron®

Poly(vinyl carbazole),	پولي (ڤينيل كاربازول)
------------------------	-----------------------

Policarb™

Poly(vinyl carbazole),	پولي (ڤينيل كاربازول)
------------------------	-----------------------

Polycat® (Series)

Amine based catalysts,	مُحفّزات على أساس أميني
------------------------	-------------------------

Polycoustic®

Poly(imide),	پولي (إيميد)
--------------	--------------

Polymeg®

Poly(tetramethylene glycol),	پولي (رباعي ميثيلين غليكول)
------------------------------	-----------------------------

Polymist® (Series)

Poly(tetrafluoroethylene) lubricant powders,	پولي (رباعي فلورو إيثيلين) مساحيق تزيق
--	--

Polyox® 301

Poly(ethylene oxide),	پولي (أوكسيد الإيثيلين)
-----------------------	-------------------------

PolyTHF® CD

THF copolymers,	بوليميرات THF مشتركة
-----------------	----------------------

Porewick®

Wetting fluid,	مانع مبلّل
----------------	------------

Primacor® 1410 XT

Ethylene acrylic acid copolymer with 10% acrylic acid,	بوليمير مشترك إيثيلين حمض أكريليك، مع 10% حمض أكريليك
--	--

Primef® PPS

Poly(phenylene sulfide),	پولي (سلفيد الفينيلين)
--------------------------	------------------------

Primene®

Primary aliphatic amines with highly branched alkyl chains,	أمنيات أليفاتية أولية مع سلاسل ألكيلية عالية التشعب
---	---

Primene® MD

1,8-Diamino- <i>p</i> -menthane,	1-8-ثنائي أمينو - <i>p</i> -ميثان
----------------------------------	-----------------------------------

Primospire

Benzoyl-substituted Parylene type,	نوع من الباريلين مستبدل بالبنزويل
------------------------------------	-----------------------------------

PRL PEI-G. .

Poly(imide),	پولي (إيميد)
--------------	--------------

PRL PPX

Poly(phenylene ether),	پولي (إيثر الفينيلين)
------------------------	-----------------------

Proscar®

Medicinal preparation for treatment of the prostate gland,	تحضير دوائي لعلاج غدة البروستات
--	---------------------------------

Pyralin®

Poly(imide),	پولي (إيميد)
--------------	--------------

Pyre® ML

Pyromellitic dianhydride/4,4'-oxydianiline poly(imide),	ثنائي أنهيدريد بيروميليتيك/4,4'-أوكسي ثنائي أنيلين پولي (إيميد)
---	---

Pyrocheck® 68 PB

Brominated poly(styrene),	پولي (ستيرين) مبروم
---------------------------	---------------------

Pyrocoat®

Poly(imide),	پولي (إيميد)
--------------	--------------

Pyropel®

Poly(amide imide),	پولي (أميد إيميد)
--------------------	-------------------

QR Resin QR-4000

Poly(phenylene ether),	پولي (إيثر الفينيلين)
------------------------	-----------------------



Radel® A

Poly(ether sulfone),	پولي (إيثر سلفون)
----------------------	-------------------

Radel® R

Poly(biphenyl sulfone),	پولي (بيفينيل سلفون)
-------------------------	----------------------

ReoPro®

Glycoprotein IIb/IIIa inhibitor,	مثبط غليكوبروتيني IIb/IIIa
----------------------------------	----------------------------

Rexflex® W111

Poly(olefin), flexible,	پولي (أوليفين) ، مرن
-------------------------	----------------------

Rilsan® B MNO PA 12,

PA 12,	پولي (أميد) ، PA 12
--------	---------------------

Rodrun®

Liquid crystalline polymer,	بوليمير بلورات سائلة
-----------------------------	----------------------

RTP Compounds ESD

Poly(arylene ether sulfone),	پولي (أريلين إيثر سلفون)
------------------------------	--------------------------

RTP PPS (Series)

Poly(phenylene sulfide),	پولي (سلفيد الفينيلين)
--------------------------	------------------------

Rubinate® (Series)

Isocyanate,	إيزوسيانات
-------------	------------

Rusar®

Aramid,	أراميد
---------	--------

Ryton® (Series)

Poly(phenylene sulfide),	پولي (سلفيد الفينيلين)
--------------------------	------------------------

Sandostab® 4020

Pentaerythritol tetrakis(3-laurylthiopropionate),	بنتا إريثريتول تترakis (3-لوريل ثيوبروبيونات)
---	---

Sandostab® -P-EPQ

Tetrakis(2,4-di-tert-butyl phenyl)-4,4,-biphenylene diphosphonite,	تترakis (2،4-ثنائي-ت-رت- بوتيل فينيل) -4،4-بيفينيلين ثنائي فوسفونيت
--	---

Santowax® R

Mixed terphenyls,	مركبات ترفينيل مختلطة
-------------------	-----------------------

Sapron™ S

SMA copolymer,	بوليمير مشترك SMA
----------------	-------------------

Schulatec® PPS

Poly(phenylene sulfide),	بولي(سلفيد الفينيلين)
--------------------------	-----------------------

Selar® PA3426

PA 6 T/I Poly(amide),	بولي(أميد) PA 6 T/I
-----------------------	---------------------

Sepharose® CL

Crosslinked poly(saccharide),	بولي(سكريد) مشبك تصالبياً
-------------------------------	---------------------------

Septon®

Hydrogenated styrenic block copolymer,	بوليمير مشترك كتليّ التعاقب ستيريني مهدرج
--	---

Shieldex® C 303

Ca ion-exchanged silica, anticorrosion pigment,	سيليكاً مستبدل فيها شاردة كالسيوم، صباغ مضاد للتآكل
---	---

Silicone KF351A

Poly(dimethyl siloxane) surfactant,	بولي(ثنائي ميثيل سيلوكسان)، عامل توتر سطحي
-------------------------------------	--

Siltem® STM 1500

Poly(ether imide),	بولي(إيثر إيميد)
--------------------	------------------

Sintimid™

Poly(amide imide),	بولي(أميد إيميد)
--------------------	------------------

Siveras™

Liquid crystalline polymer,	بوليمير بلورات سائلة
-----------------------------	----------------------

Skypet® PEN

Poly(ethylene naphthalate),	بولي(نفتالات الإيثيلين)
-----------------------------	-------------------------

Sniamid® ASN 32

Poly(amide),	بولي(أميد)
--------------	------------

Solef®

Poly(vinylidene fluoride),	بولي(فلوريد فينيلدين)
----------------------------	-----------------------

Solimide®

Poly(imide),	بولي(إيميد)
--------------	-------------

Solprene®

Styrenic block copolymer,	بوليمير مشترك كتليّ التعاقب ستيريني
---------------------------	-------------------------------------

Solventnaphtha™

Aromatic Hydrocarbon solvent,	مذيب هيدروكربوني عطريّ
-------------------------------	------------------------

Solvesso®

Higher aromatic solvent mixtures,	مزائج مذيبات عالية العطرية
-----------------------------------	----------------------------

Stanyl® KS 200

Low molecular weight PA 4.6,	PA 4.6 منخفض الوزن الجزيئي
------------------------------	----------------------------

Stanyl® KS 300

Medium molecular weight PA 4.6,	PA 4.6 متوسط الوزن الجزيئي
---------------------------------	----------------------------

Stat-Kon\* PPS

Poly(phenylene sulfide),	بولي(سلفيد الفينيلين)
--------------------------	-----------------------

Statiblend® PPS

Poly(phenylene sulfide),	بولي(سلفيد الفينيلين)
--------------------------	-----------------------

Stilan® 230

Poly(etherketone),	بولي(إيثر كيتون)
--------------------	------------------

Styvex

Poly(phenylene ether),	بولي(إيثر الفينيلين)
------------------------	----------------------

Sulfan® B

Sulfur trioxide,	ثلاثي أكسيد الكبريت
------------------	---------------------

Sulfron®

Aramid,	أراميد
---------	--------

Sumikaexcel®

Poly(arylene ether sulfone),	بولي(أريلين إيثر سلفون)
------------------------------	-------------------------

Sumikasuper®

Liquid crystalline polymer,	بوليمير بلورات سائلة
-----------------------------	----------------------

Sumiploy®

Poly(arylene ether sulfone),	بولي(أريلين إيثر سلفون)
------------------------------	-------------------------

Supec®

Poly(phenylene sulfide),	بولي(سلفيد الفينيلين)
--------------------------	-----------------------

Surlyn®

Ionomer resin,	راتنج أيونوميري
----------------	-----------------

Sylgard® 184

Silicone elastomer,	سيليكون إلاستوميري
---------------------	--------------------

T-4

Poly(phenylene sulfide),	پولي (سلفيد الفينيلين)
--------------------------	------------------------

Taronyl

Poly(phenylene ether),	پولي (ايثر الفينيلين)
------------------------	-----------------------

Taxol®

Antiproliferative preparation,	تحضير مضاد لانتشار المرض
--------------------------------	--------------------------

Tecapei®

Poly(imide),	پولي (ايميد)
--------------	--------------

Technora®

Aramid,	أراميد
---------	--------

Tedur®

Poly(phenylene sulfide),	پولي (سلفيد الفينيلين)
--------------------------	------------------------

Teflon®

Tetrafluoroethylene polymer,	بوليمير رباعي فلورو الإيثيلين
------------------------------	-------------------------------

Teflon® AF 1600

Amorphous copolymers of perfluoro-2,2-dimethyl-1,3-dioxole with tetrafluoroethylene,	بوليميرات مشتركة غير متبلورة من برفلورو-2،2-ثنائي ميثيل-3،1-ديوكسول مع رباعي فلورو إيثيلين
--	--

Teflon® AF 2400

Amorphous copolymers of perfluoro-2,2-dimethyl-1,3-dioxole with tetrafluoroethylene,	بوليميرات مشتركة غير متبلورة من برفلورو-2،2-ثنائي ميثيل-3،1-ديوكسول مع رباعي فلورو إيثيلين
--	--

Tegoglide™ 410

Poly(siloxane) surfactant,	خافض للتوتر السطحي من پولي (سيلوكسان)
----------------------------	---------------------------------------

Tegowet™

Poly(siloxane)-poly(ester) copolymer surfactant,	بوليمير مشترك خافض للتوتر السطحي من پولي (سيلوكسان) - پولي (إستر)
--	---

TEGO® RAD 2100

Poly(siloxane), acrylic, Radically crosslinkable flow and wetting additive,	پولي (سيلوكسان) ، أكريليك ، دفق قابل للتشبيك جذرياً ، وإضافات تبليل
---	---

Teijinconex®

Aramid,	أراميد
---------	--------

Tempalux® HI

Poly(imide),	پولي (إيميد)
--------------	--------------

Tenax®

Carbon fiber,	ليف كربوني
---------------	------------

Teonex®

Biaxially Poly(ethylene naphthalate) film,	غشاء ثنائي المحور من پولي (نفتالات الإيثيلين)
--	---

Terathane®

Poly(tetramethyleneoxide glycol) (PTMEG),	پولي (رباعي ميثيلين أوكسيد غليكول) (PTMEG)
---	--

Teric® (Series)

Poly(ethylene glycol) mono(nonylphenyl) ether,	پولي (إيثيلين غليكول) أحادي (نونييل فينيل) إيثر
--	---

Therma-Tech™ PPS

Poly(phenylene sulfide),	پولي (سلفيد الفينيلين)
--------------------------	------------------------

Thermatex®

Aramid,	أراميد
---------	--------

Thermid®

PETI type Poly(imide),	پولي (إيميد) من نوع PETI
------------------------	--------------------------

Therminol® 66

Partially hydrogenated terphenyls,	ترفينيلات مهدرجة جزئياً
------------------------------------	-------------------------

Therminol® 75

Mixed terphenyls and quaterphenyls,	ترفينيلات وكاترفينيلات مختلطة
-------------------------------------	-------------------------------

Thermocarb®

Graphite fiber,	ليف غرافيت
-----------------	------------

Thermocomp

Poly(phenylene ether),	پولي (إيثر الفينيلين)
------------------------	-----------------------

Thermocomp\* PPS

Poly(phenylene sulfide),	پولي(سلفيد الفينيلين)
--------------------------	-----------------------

Thermocomp®

Poly(arylene ether sulfone),	پولي(أريلين إيثر سلفون)
------------------------------	-------------------------

Thermotuf\* PPS

Poly(phenylene sulfide),	پولي(سلفيد الفينيلين)
--------------------------	-----------------------

Tinuvin® 144

Bis(1,2,2,6,6-pentamethyl-4-piperidinyl) butyl(3,5-di- <i>tert</i> -butyl-4-hydroxy-benzyl)malonate, UV absorber,	بيس (1,2,2,6,6-خماسي ميثيل 4-بيبيريدينيل) بوتيل (3,5-ثنائي - تريت - بوتيل 4-هيدروكسي بنزيل) مالونات، ماص أشعة UV
---	--

Tinuvin® 234

2-(2-hydroxy-3,5-di- $\alpha$ -cumylphenyl)-2H-benzotriazole,	2-(2-هيدروكسي 3,5-ثنائي $\alpha$ -كوميل فينيل)-2H-بنزوتريازول
---	---

Tinuvin® 326

2-(2-Hydroxy-3- <i>tert</i> -butyl-5-methylphenyl)-5-chlorobenzotriazole, UV absorber,	2-(2-هيدروكسي 3-تريت - بوتيل 5-ميثيل فينيل)-5-كلورو بنزوتريازول، ماص للأشعة فوق البنفسجية
--	---

Tinuvin® P,

2-(2-Hydroxy-5-methylphenyl)benzotriazole, UV absorber, 322 Titan® Liquid crystalline polymer,	2-(2-هيدروكسي 5-ميثيل فينيل) بنزوتريازول، ماص للأشعة فوق البنفسجية
--	--

Tone® (Series)

Polyols,	پوليول
----------	--------

Torayca®

Carbon fiber,	ليف كربوني
---------------	------------

Toray®

Poly(imide),	پولي(إيميد)
--------------	-------------

Toreca™

Carbon fiber,	ليف كربوني
---------------	------------

Torelina®

Poly(phenylene sulfide),	پولي(سلفيد الفينيلين)
--------------------------	-----------------------

Torlon® (Series)

Poly(amide imide),	پولي(أميد إيميد)
--------------------	------------------

Trogamid® T

PA from terephthalic acid, 2,2,4-trimethylhexamethylenediamine and 2,4,4-trimethylhexamethylenediamine,	PA من حمض ترفثاليك و 2،4،2-ثلاثي ميثيل سداسي ميثيلين ثنائي أمين و 2،4،4-ثلاثي ميثيل سداسي ميثيلين ثنائي أمين
---	--

Tronox® R-KB-2

Alumina silica treated, rutile titanium dioxide, pigment,	روتيل (ثنائي أوكسيد تيتانيوم) المُعالج بالأومينا سيليكاً، صباغ
---	--

Tuftec® (Series)

Styrenic block copolymer,	بوليمير مشترك كثلي التعاقب ستيريني
---------------------------	------------------------------------

Twaron®

Aramid,	أراميد
---------	--------

Tyneloy®

Poly(phenylene ether),	پولي(إيثر الفينيلين)
------------------------	----------------------

Tyzor® TPT

Titanium tetraisopropoxide (tetraisopropyltitanate), catalyst,	رباعي إيزوبروبوكسيد التيتانيوم (تيتانات رباعي إيزوبروبيل ) ، محفز
--	---

Ucarsol®

Amine mixture,	مزيج أمين
----------------	-----------

Udel® Polysulfone

Poly(bisphenol A sulfone),	پولي(بيسفينول A سلفون)
----------------------------	------------------------

Ultem® (Series)

Poly(imide), thermoplastic,	پولي(إيميد)، مثلدن حرارياً
-----------------------------	----------------------------

Ultem® 6050

Poly(ether imidesulfone),	پولي(إيثر إيميد سلفون)
---------------------------	------------------------

Ultramid® (Series)

Poly(amide),	پولي(أميد)
--------------	------------

Ultrapek®

Poly(arylene ether ketone),	بولي (آريلين إيثر كيتون)
-----------------------------	--------------------------

Ultrapek® KR 4176

4,4'-Diphenoxybenzophenone-terephthaloyl chloride copolymer,	بوليمير مشترك 4،4'-ثنائي فينوكسي بنزوفينون - كلوريد تريفثالويل
--	--

Unilink® (Series)

Aromatic secondary diamines,	ثنائيات أمين ثانوية عطرية
------------------------------	---------------------------

Unitem

Poly(imide),	بولي (إيميد)
--------------	--------------

Upilex®

Poly(imide),	بولي (إيميد)
--------------	--------------

Upimol®

Poly(imide),	بولي (إيميد)
--------------	--------------

Uralac® P 1460

Polyester polyol,	بولي إستر بوليول
-------------------	------------------

UTTAP SF 50030 GF

Liquid crystalline polymer,	بوليمير بلورات سائلة
-----------------------------	----------------------

Uvinul® D-50

2,2',4,4'-Tetrahydroxy benzophenone, UV absorber,	2،2'،4،4'-رباعي هيدروكسي بنزوفينون، ماص أشعة UV
---	---

Valox® 315

Poly(butylene terephthalate),	بولي (تريفثالات البوتيلين)
-------------------------------	----------------------------

Vecstar®

Liquid crystalline polymer,	بوليمير بلورات سائلة
-----------------------------	----------------------

Vector®

Styrenic block copolymer,	بوليمير مشترك كتلي التعاقب ستيريني
---------------------------	------------------------------------



Vectran®

Liquid crystalline polymer,	بوليمير بلورات سائلة
-----------------------------	----------------------

Vectra® (Series)

Liquid Crystal Polymer, composed from mainly 4-hydroxybenzoic acid or 6-hydroxy-2-naphthoic acid, further, depending on type: <i>p</i> -acetaminophenol, terephthalic acid, and biphenol,	بوليمير بلورات سائلة مكوّن بصورة رئيسة من حمض 4-هيدروكسي بنزويك أو حمض 6-هيدروكسي -2-نفتويك ، وحسب النوع : <i>p</i> -أستامينوفينول وحمض ترفثاليك وبيفينول
---	---

Versalink® (Series)

Amine terminated poly-THF and PPO for PU resins,	بولي THF-منته بأمين و PPO في حالة راتنجات PU
--	--

Verton\* PPS

Poly(phenylene sulfide),	بولي(سلفيد الفينيلين)
--------------------------	-----------------------

Vespel®

Poly(imide), thermosetting,	بولي(إيميد)، متصلّد حرارياً
-----------------------------	-----------------------------

Vestakeep®

Poly(ether ether ketone),	بولي(إيثر إيثر كيتون)
---------------------------	-----------------------

Vestamid®

Poly(amide),	بولي(أميد)
--------------	------------

Vestenamer® 8012

Poly(octenylene),	بولي(أوكتينيلين)
-------------------	------------------

Vestoran

Poly(phenylene ether),	بولي(إيثر الفينيلين)
------------------------	----------------------

Victrex® 381G

Poly(etheretherketone) , cable coating	بولي(إيثر إيثر كيتون)، طلاء للكبلات
--	-------------------------------------

Victrex® PEEK (Series)

Poly(etheretherketone),	بولي(إيثر إيثر كيتون)
-------------------------	-----------------------

Victrex® PEEK 450

Poly(oxy-1,4-phenyleneoxy-1,4-phenylenecarbonyl-1,4-phenylene), poly(etheretherketone),	بولي(أوكسي -1،4-فينيلين أوكسي -1،4-فينيلين كربونيل -1،4-فينيلين)، بولي(إيثر إيثر كيتون)
---	---

Victrex® PEK

Poly(oxy-1,4-phenylenecarbonyl-1,4-phenylene),	پولي (أوكسي -4،1- فينيلين كربونيل -4،1- فينيلين)
--	--

Victrex® PES (Series)

Poly(aryl ethersulfone),	پولي (أريل إيثرسلفون)
--------------------------	-----------------------

Vircol® 82

Flame retardant,	مبطئ للهب
------------------	-----------

Vulcan® XC72

Carbon black,	هباب الفحم
---------------	------------

Vylomax®

Poly(amide imide),	پولي (أميد إيميد)
--------------------	-------------------

Westlake PES

Poly(arylene ether sulfone),	پولي (أريلين إيثر سلفون)
------------------------------	--------------------------

Xtel® PPS

Poly(phenylene sulfide),	پولي (سلفيد الفينيلين)
--------------------------	------------------------

Xydar®

Liquid crystalline polymer,	بوليمير بلورات سائلة
-----------------------------	----------------------

Xyron®

Poly(phenylene ether),	پولي (إيثر الفينيلين)
------------------------	-----------------------

Xyron® PPS+PPE

Poly(phenylene sulfide),	پولي (سلفيد الفينيلين)
--------------------------	------------------------

Zenite®

Liquid crystalline polymer,	بوليمير بلورات سائلة
-----------------------------	----------------------

Zoltek® HT

Carbon fiber,	ليف كربوني
---------------	------------

Zonyl® 7950

Fluorinated surfactant,	خافض للتوتر السطحي مُفلور
-------------------------	---------------------------

Zonyl® FSO 100

Ethoxylated nonionic fluorosurfactant,	خافض للتوتر السطحي فلوري لا شاردِي مُوظَّف بالإيثوكسيلات
--	---

Zytel®

Poly(amide),	پولي (أميد)
--------------	-------------

## فهرس الاختصارات

$\alpha$  -TPT

2,5-Bis-(2-thienyl-1-cyanovinyl)-1-(2-ethylhexyloxy)-4-methoxybenzene,	5,2-بيس-(2-ثينيل-1-سيانوفينيل)-1-(2-إيثيل هكسيل أوكسي)-4-ميثوكسي بنزين
--	--

$\beta$  -TPT

2,5-Bis-(2-thienyl-2-cyanovinyl)-1-(2-ethylhexyloxy)-4-methoxybenzene,	5,2-بيس-(2-ثينيل-2-سيانوفينيل)-1-(2-إيثيل هكسيل أوكسي)-4-ميثوكسي بنزين
--	--

2,6-NDA

2,6-Naphthalenedicarboxylic acid,	6,2-نفتالين ثنائي كربوكسيليك
-----------------------------------	------------------------------

3GN

Poly(1,3-propylene 2,6-naphthalate),	بولي (3,1-بروبيلين 6,2-نفتالات)
--------------------------------------	---------------------------------

4,4-BPDA

3,3,4,4-Biphenyl dianhydride,	ثنائي أنهيدريد 4,4,3,3-بيفينيل
-------------------------------	--------------------------------

4,4-BTDA

3,3,4,4- Benzophenone dianhydride,	ثنائي أنهيدريد 4,4,3,3-بنزوفينون
------------------------------------	----------------------------------

4,4-ODPA

3,3,4,4-Oxydiphthalic anhydride,	أنهيدريد 4,4,3,3-أوكسي ثنائي فتاليك
----------------------------------	-------------------------------------

7-DCST

2-(4-Azepan-1-yl-benzylidene)-malononitrile,	2-(4-أزيبان-1-إيل-بنزليدين)-مالونونتريل
--	---

AA

Acrylic acid,	حمض الأكريليك
---------------	---------------

AAG

2-Acrylamido glycolic acid,	حمض 2-أكريل أميدو غليكوليك
-----------------------------	----------------------------

ABS

Acrylonitrile-butadiene-styrene,	أكريلونتريل-بوتاديئين-ستيرين
----------------------------------	------------------------------

ADC

Azodicarbonamide,	أزو ثنائي كربون أميد
-------------------	----------------------

ADMET

Acyclic diene metathesis,	مُناقلة داينين اللاحقيّة
---------------------------	--------------------------

## ADMVN

2,2'-Azobis-(2,4-dimethylvaleronitrile),	2,2'-آزوبيس (4,2-ثنائي ميثيل فالرو نتريل )
--	--

## AF-50

N,N-Diphenyl-7-(2-(4-pyridinyl)-ethenyl)-9,9-di-n-decyl-9H-fluorene-2-amine,	N,N-ثنائي فينيل -7-(2-(4-بيريدينيل)-إيثينيل -9,9-ثنائي -نظامي -ديسيل -9H-فلورين -2-أمين
--	---

## AFM

Atomic force microscopy,	إجهارية القوة الذرية
--------------------------	----------------------

## AIBN

2,2'-Azobisisobutyronitrile,	2,2'-آزو بيس إيزو بوتيرو نتريل
------------------------------	--------------------------------

## Alq3

Tris-(8-hydroxyquinoline)-aluminum,	تريس-(8-هيدروكسي كينولين)-المنيوم
-------------------------------------	-----------------------------------

## ASE

Amplified spontaneous emission,	الإصدار التلقائي المضخم
---------------------------------	-------------------------

## BEB

Ethylene dibenzoate,	ثنائي بنزوات الإيثيلين
----------------------	------------------------

## BEN

1-Benzoate 2-naphthoate ethylene,	1-بنزوات -2-نفتاوات الإيثيلين
-----------------------------------	-------------------------------

## BHCA

Bis-(hydroxymethylcyclohexane)-arylate,	بيس-(هيدروكسي ميثيل حلقي الهكسان)-أريلات
---	--

## BHEA

2,6-Bis-(hydroxyethyl)arylate,	2,6-بيس-(هيدروكسي ميثيل) أريلات
--------------------------------	---------------------------------

## BisCzPro

1,3-Biscarbazolyl propane,	1,3-بيس كاربازوليل بروبان
----------------------------	---------------------------

## BOZ

2,2'-Bis-(1,3-oxazoline),	2,2'-بيس-(3,1-أوكسازولين)
---------------------------	---------------------------

## BP

4,4'-Biphenol,	4,4'-بيفينول
----------------	--------------

## BPD

2-tert-Butylphenyl-5-biphenyl-1,3,4-oxadiazole,	2-ترت -بوتيل فينيل -5-بيفينيل -1,3,4-أوكساديازول
---	--

## BTDA-DATA

Poly(3,3',4,4'-benzophenone tetracarboxylic dianhydride-3,5-diamino-1,2,4triazole),	پولي (3،3'،4،4'-بنزوفينون رباعي كربوكسيليك ثنائي أنهيدريد -3،5-ثنائي أمينو -4،2،1- تريازول)
---	---

## C12O-PPP

Poly(2-dodecyl- <i>p</i> -phenylene),	پولي (2-دوديسيل -بارا- فينيلين)
---------------------------------------	---------------------------------

## CA

Citraconic anhydride,	أنهيدريد السيتراكونيك
-----------------------	-----------------------

## CBTA

Benzotriazole,	بنزوتريازول
----------------	-------------

## CHDM

1,4-Cyclohexanedimethanol,	4،1- حلقي هكسان ثنائي ميثانول
----------------------------	-------------------------------

## CHO

Cyclohexene oxide,	أوكسيد حلقي الهكسين
--------------------	---------------------

## CPDHPV

Poly(9,9'-dihexylfluorene-2,7-divinylene- <i>m</i> -phenylene vinylene- <i>stat-p</i> -phenylene vinylene),	پولي (9،9'-ثنائي هكسيل فلورين -7،2-ثنائي فينيلين - <i>m</i> - فينيلين فينيلين - <i>stat-p</i> - فينيلين فينيلين)
---	--

## CTA

Chain transfer agent,	عامل انتقال السلسلة
-----------------------	---------------------

## CVD

Chemical vapor deposition,	التوضيع الكيميائي للأبخرة
----------------------------	---------------------------

## DAPI

6-Amino-1-(4-aminophenyl)-1,3,3-trimethylindane,	6- أمينو -1-(4- أمينوفينيل) -3،3،1- ثلاثي ميثيل ايندان
--	--

## DBA

3,5-Diaminobenzoic acid,	حمض 3،5-ثنائي أمينو بنزويك
--------------------------	----------------------------

## DCM

4-(Dicyanomethylene)-2-methyl-6-(4-dimethylamino-styryl)-4H-pyran,	4-(ثنائي سيانو ميثيلين) -2- ميثيل -6-(4-ثنائي ميثيل أمينو - سنيريل) -4H- بيران
--	--

## DMAC

Dimethylacetamide,	ثنائي ميثيل أسيتاميد
--------------------	----------------------

DMF

N,N-Dimethylformamide,	N,N-ثنائي ميثيل فورم أميد
------------------------	---------------------------

DMNPAA

2,5-Dimethyl-4-( <i>p</i> -nitrophenylazo)anisole,	5،2-ثنائي ميثيل-4-(بارا-نترو فينيل آزو) أنيسول
--	--

DMOS-PPV

Poly(2-dimethyloctylsilyl)-phenylene vinylene,	بولي (2-ثنائي ميثيل أوكتيل سيليل)-فينيلين فينيلين
--	---

DMSO

Dimethyl sulfoxide,	ثنائي ميثيل سلفوكسيد
---------------------	----------------------

DMT

Dimethyl terephthalate,	ثنائي ميثيل ترفثالات ترفثالات ميثيل
-------------------------	-------------------------------------

DNA

Deoxyribonucleic acid,	الحمض النووي الريبسي منقوص الأوكسجين
------------------------	--------------------------------------

DR-1

Disperse Red 1,	المُشَنَّت الأحمر 1 (حامل لوني)
-----------------	---------------------------------

DSC

Differential scanning calorimetry,	قياس الحرارة بالمسح التفاضلي
------------------------------------	------------------------------

DyC-82

Dysprosium fulleride,	داي سبروزيوم فولريد
-----------------------	---------------------

E3VC

N-Ethyl-3-vinylcarbazole,	N-إيثيل-3-فينيل كاربازول
---------------------------	--------------------------

ECZ

N-Ethylcarbazole,	N-إيثيل كاربازول
-------------------	------------------

EL

Electroluminescence,	تألق كهربائي
----------------------	--------------

ENB

Ethylidene norbornene,	إيثيليدين نوربورنين
------------------------	---------------------

EPDM

Ethylene propylene diene monomer,	مونومير الإيثيلين بروبيلين ديين
-----------------------------------	---------------------------------

ESIPT

Intramolecular proton-transfer,	انتقال بروتوني ضمن الجزيء
---------------------------------	---------------------------

GC

Gas chromatography,	كروماتوغرافيا غازية
---------------------	---------------------

GF

Glass fiber,	ليف زجاجي
--------------	-----------

HALS

Hindered amine light stabilizer,	مثبت ضوئي أميني مُعاق
----------------------------------	-----------------------

HBA

4-Hydroxybenzoic acid,	حمض 4-هيدروكسي بنزويك
------------------------	-----------------------

HEMA

2-Hydroxyethyl methacrylate,	2-هيدروكسي إيثيل ميثاكريلات
------------------------------	-----------------------------

HIPS

High impact poly(styrene),	بولي(ستيرين) عالي الصدم
----------------------------	-------------------------

HMD

Hexamethylenediamine,	ثنائي أمين سداسي الميثيلين
-----------------------	----------------------------

HPA Heteropolyacid,

Heteropolyacid,	الحموض المتعددة المغايرة
-----------------	--------------------------

HQ

Hydroquinone,	هيدروكينون
---------------	------------

IOL

Intraocular lenses,	عدسات داخل العين
---------------------	------------------

IPA

Isophthalic acid,	حمض الإيزوفتاليك
-------------------	------------------

IR

Infrared,	تحت الأحمر
-----------	------------

ITO

Indium tin oxide,	أوكسيد الإنديوم والقصدير
-------------------	--------------------------

IV

Intrinsic viscosity,	اللزوجة الجوهرية
----------------------	------------------

LC

Liquid chromatography,	كروماتوغرافيا سائلة
------------------------	---------------------



LCD

Liquid crystalline display,	شاشة بلورات سائلة
-----------------------------	-------------------

LCM

Liquid composite molding,	قوالبه المواد المركبة السائلة
---------------------------	-------------------------------

LCP

Liquid crystal polymer,	بوليمير بلورات سائلة
-------------------------	----------------------

LED

Light-emitting diode,	ديود مصدر للضوء
-----------------------	-----------------

MA

Methacrylic acid,	حمض الميثاكريليك
-------------------	------------------

MDI

Diisocyanatodiphenyl methane,	ثنائي إيزوسياناتو ثنائي فينيل ميثان
-------------------------------	-------------------------------------

MDMO-PPV,

Poly(2-methoxy-5-(3',7'-dimethyloctyloxy)-1,4-phenylene vinylene)	بولي (2-ميثوكسي-5-(3',7'-ثنائي ميثيل أوكتييل أوكسي)-4،1-فينيلين فينيلين )
---	---

MEH-PPV

Poly(2-methoxy-5-(2'-ethylhexyloxy)-1,4-phenylene vinylene),	بولي (2-ميثوكسي-5-(2'-إيثيل هكسيل أوكسي)-4،1-فينيلين فينيلين )
--	--

MPD

<i>m</i> -Phenylenediamine,	<i>m</i> -فينيلين ثنائي أمين
-----------------------------	------------------------------

MTBE Methyl-*tert*-butyl ether,

Methyl- <i>tert</i> -butyl ether,	إيثر ميثيل-ترت-بوتيل
-----------------------------------	----------------------

MXDA

<i>m</i> -Xylylenediamine,	<i>m</i> -كزيلين ثنائي أمين
----------------------------	-----------------------------

NDC

Dimethyl-2,6-naphthalene dicarboxylate,	ثنائي ميثيل-2،6-نفتالين ثنائي كربوكسيلات
---	--

NEN

Ethylene dinaphthoate,	ثنائي نفتاوات الإيثيلين
------------------------	-------------------------

NLO

Nonlinear optical,	لا خطية ضوئية
--------------------	---------------

NMP,

N-Methyl-2-pyrrolidone,	<i>N</i> -ميثيل-2-بيروليديون
-------------------------	------------------------------

## NMR

Nuclear magnetic-resonance spectroscopy,	مطيافية الطنين المغناطيسي النووي
--	----------------------------------

## NOM

Natural organic matter,	مادة عضوية طبيعية
-------------------------	-------------------

## NPDA

Neopentyl diamine,	نيوبنتيل ثنائي أمين
--------------------	---------------------

## NVK

N-Vinylcarbazole,	N-فينيل كاربازول
-------------------	------------------

## NVP

N-Vinyl-2-pyrrolidone,	N-فينيل-2-بيروليدون
------------------------	---------------------

## ODA

4,4'-Oxydianiline,	4,4'-أوكسي ثنائي أنيلين
--------------------	-------------------------

## ODCA

2,5-Bis-(4-carboxyphenyl)-1,3,4-oxadiazole,	5,2-بيس (4-كربوكسي فينيل) -1,3,4-أوكساديازول
---	--

## ODPA-APB-8-AA

Poly(4,4-oxydiphthalic anhydride-1,3-aminophenoxybenzene-8-azaadenine),	بولي (4,4'-أوكسي ثنائي فتاليك أنهيدريد 1,3-أمينو فينووكسي بنزين 8-أز آدينين)
---	--

## OXD

Oxadiazole,	أوكساديازول
-------------	-------------

## P3O

Poly(2,6-diphenyl-1,4-phenylene oxide),	بولي (2,6-ثنائي فينيل -1,4-فينيلين أوكسيد)
---	--

## PA

Poly(amide),	بولي (أميد)
--------------	-------------

## PAE

Poly(arylene ether),	بولي (أريلين إيثر)
----------------------	--------------------

## PAES

Poly(arylene ether sulfone),	بولي (أريلين إيثر سلفون)
------------------------------	--------------------------

## PAI

Poly(amide imide),	بولي (أميد إيميد)
--------------------	-------------------

## PANI

Poly(aniline),	بولي (أنيلين)
----------------	---------------

PAS

Poly(arylene sulfide),	پولي(سلفيد الأريلين)
------------------------	----------------------

PBD,

2-(4-Biphenyl)-5-(4- <i>tert</i> -butylphenyl)-1,3,4-oxadiazole,	2-(4-بيفينيليل)-5-(4-تيرت-بوتيل فينيل)-1,3,4-أوكساديازول
--	--

PBN

Poly(butylene naphthalate),	پولي(نفتالات البوتيلين)
-----------------------------	-------------------------

PBT

Poly(butylene terephthalate),	پولي(تريفثالات البوتيلين)
-------------------------------	---------------------------

PC

Poly(carbonate),	پولي(كربونات)
------------------	---------------

PCB

Printed circuit board,	لوح دائرة مطبوعة
------------------------	------------------

PECA

Poly(ethylene-1,4-cyclohexanedimethylene arylate),	پولي (إيثيلين-1,4-حلقي هكسان ثنائي ميثيلين آريلات)
--	--

PECVD Plasma enhanced CVD,

Plasma enhanced CVD,	التوضيع الكيميائي للأبخرة المحسن بالبلازما
----------------------	--

PEDOT

Poly(3,4-ethylenedioxythiophene),	پولي (3,4-إيثيلين ثنائي أوكسي ثيوفين)
-----------------------------------	---------------------------------------

PEE

Poly(ether ester),	پولي (إيثر إيستر)
--------------------	-------------------

PEEK

Poly(ether ether ketone),	پولي (إيثر إيثر كيتون)
---------------------------	------------------------

PEG

Poly(ethylene glycol),	پولي (غليكول الإيثيلين)
------------------------	-------------------------

PEI

Poly(ether imide),	پولي (إيثر إيמיד)
--------------------	-------------------

PEK

Poly(ether ketone),	پولي(إيثر كيتون)
---------------------	------------------

PEN

Poly(arylene ether nitrile),	پولي(أريلين إيثر نتريل)
------------------------------	-------------------------

PEN

Poly(ethylene naphthalate),	پولي(نفتالات الإيثيلين)
-----------------------------	-------------------------

PENA

4-(1-Phenylethynyl)1,8-naphthalic anhydride,	أنهيدريد 4-(1-فينيل إيثينيل)-8،1-نفتاليك
--	--

PEP

Poly(ethylene-2,7-phenanthrate),	پولي (إيثيلين -7،2-فينانترات)
----------------------------------	-------------------------------

PEPA

4-(Phenylethynyl)-1,2-benzenedicarboxylic acid anhydride,	أنهيدريد حمض 4-(فينيل إيثينيل)-2،1-بنزين ثنائي كربوكسيليك
---	---

PEPC

Poly(N-epoxypropyl)carbazole,	پولي (N-إپوكسي بروبيل)كاربازول
-------------------------------	--------------------------------

PES

Poly(ethersulfone),	پولي(إيثر سلفون)
---------------------	------------------

PET

Poly(ethylene terephthalate),	پولي (تريفثالات الإيثيلين)
-------------------------------	----------------------------

PETI

Phenylethynyl terminated imide,	إيميد منته بفينيل إيثينيل
---------------------------------	---------------------------

PHDP

Poly(1-hexyl-3,4-dimethyl-3,5-pyrrolylene),	پولي (1-هكسيل-3،4-ثنائي ميثيل-5،3-بيروليلين)
---	--

PI

Poly(imide),	پولي(إيميد)
--------------	-------------

PL

Photoluminescence,	التألق الضوئي
--------------------	---------------

PMDA

Pyromellitic dianhydride,	ثنائي أنهيدريد بيروميليتيك
---------------------------	----------------------------

PMMA

Poly(methyl methacrylate),	پولي(ميثيل ميثاكريلات)
----------------------------	------------------------

PNV

Poly(1,5-naphthylene vinylene),	پولي (1،5-نفتالين فينيلين)
---------------------------------	----------------------------

POD-DPE

Poly(4,4'-diphenyl ether-1,3,4-oxadiazole),	پولي (4،4'-ثنائي فينيل إيثر-1،3،4-أوكساديازول)
---	--

PODA

Poly(1,3,4-oxadiazole),	پولي (1،3،4-أوكساديازول)
-------------------------	--------------------------

POF

Poly(9,9-dioctylfluorene),	پولي (9،9-ثنائي أوكثيل فلورين )
----------------------------	---------------------------------

PP

Poly(propylene),	پولي (بروبيلين)
------------------	-----------------

PPA

Poly(phosphoric acid),	پولي (حمض الفوسفور)
------------------------	---------------------

PPA

Poly(phthalamide),	پولي (فتال أميد)
--------------------	------------------

PPE

Poly(phenylene ether),	پولي (إيثر الفينيلين)
------------------------	-----------------------

PPESK

Poly(phthalazinone ether sulfone ketone),	پولي (فتالازينون إيثر سلفون كيتون )
---	-------------------------------------

PPS

Poly(phenylene sulfide),	پولي (سلفيد الفينيلين ) ، پولي (كبريتيد الفينيلين )
--------------------------	---

PPSA

Poly(1,4-phenylene sulfide-1,4-phenyleneamine),	پولي (4،1-فينيلين سلفيد -4،1-فينيلين أمين)
---	--

PPSAA

Poly(phenylene sulfide-phenyleneamine-phenyleneamine),	پولي (فينيلين سلفيد -فينيلين أمين -فينيلين أمين)
--	--

PPSO

Poly( <i>p</i> -phenylene sulfoxide),	پولي (بارا -فينيلين سلفوكسيد )
---------------------------------------	--------------------------------

PPT

Poly(pentylene terephthalate),	پولي (تريفالات البنثيلين )
--------------------------------	----------------------------

PPV

Poly( <i>p</i> -phenylene vinylene),	پولي (بارا -فينيلين فينيلين )
--------------------------------------	-------------------------------

PPX

Poly( <i>p</i> -xylylene),	پولي (بارا -كزيليلين )
----------------------------	------------------------

PPY

Poly(pyrrole),	پولي (بيرول )
----------------	---------------

PS

Poly(styrene),	پولي (ستيرين )
----------------	----------------

PSI

Poly(arylene ether sulfide),	پولي (أريلين إيثر سلفيد)
------------------------------	--------------------------

PT

Poly(1,2,4-triazole),	پولي (4،2،1-تريازول )
-----------------------	-----------------------

PTFE

Poly(tetrafluoroethylene),	بولي (رباعي فلورو الإيثيلين)
----------------------------	------------------------------

PTK

Poly(arylene thioether ketone),	بولي (أريلين ثيوإيثر كيتون)
---------------------------------	-----------------------------

PTT

Poly(trimethylene terephthalate),	بولي (تريفثالات ثلاثي الميثيلين)
-----------------------------------	----------------------------------

PU

Poly(urethane),	بولي (يوريثان)
-----------------	----------------

PVA

Poly(vinyl alcohol),	بولي (كحول الفينيل)
----------------------	---------------------

PVAc

Poly(vinyl acetate),	بولي (أستات الفينيل)
----------------------	----------------------

PVD

Physical vapor deposition,	التوضيع الفيزيائي للأبخرة
----------------------------	---------------------------

PVK

Poly(N-vinylcarbazole),	بولي (N-فينيل كاربازول)
-------------------------	-------------------------

PVP

Poly(N-vinyl-2-pyrrolidone),	بولي (N-فينيل -2-بيروليدون)
------------------------------	-----------------------------

PVPh

Poly(vinylphenol),	بولي (فينيل فينول)
--------------------	--------------------

RAFT

Reversible addition-fragmentation chain transfer,	انتقال السلسلة العكوس من نمط إضافة-تجزئة (إحدى طرائق البلمرة)
---	---

ROMP

Ring opening metathesis polymerization,	البلمرة بالمنافلة الفاتحة للحلقات
---	-----------------------------------

SB

Sodium benzoate,	بنزوات الصوديوم
------------------	-----------------

SG

Styrene/glycidyl methacrylate,	ستيرين أغليسيديل ميتاكريلات
--------------------------------	-----------------------------

SPAENK

Sulfonated poly(arylene ether nitrile ketone),	بولي (أريلين إيثر نتريل كيتون) المسلفن
--	--

SPPEKN

Sulfonated poly(phthalazinone ether ketone nitrile),	بولي (فتالازينون إيثر كيتون نتريل) المسلفن
--	--

TAZ

3-(4-Biphenyl)-4-phenyl-5-(4-tert-butylphenyl)-1,2,4-triazole,	3-(4-بيفينيل)-4-فينيل-5-(4-ترت-بوتيل فينيل)-1,2,4-تريازول
--	---

TBBPL

3,3',5,5'-Tetra- <i>tert</i> -butyl biphenol,	3,3',5,5'-رباعي - تريت - بوتيل بيفينول
---	--

TEP

Triethyl phosphate,	فوسفات ثلاثي الإيثيل
---------------------	----------------------

TFPX

$\alpha, \alpha, \alpha', \alpha'$ -Tetrafluoro- <i>p</i> -xylylene,	$\alpha, \alpha, \alpha', \alpha'$ -رباعي فلورو - <i>p</i> -كزيلين
--	--

THF

Tetrahydrofuran,	رباعي هيدروفوران
------------------	------------------

TIP

Thermally induced phase inversion,	عكس الطور المحرض حرارياً
------------------------------------	--------------------------

TMDQ

Tetramethyldiphenyl quinone,	رباعي ميثيل ثنائي فينيل كينون
------------------------------	-------------------------------

TMLA

Trimellitic acid,	حمض ثلاثي الميليتيك
-------------------	---------------------

TNF

2,4,7-Trinitro-9-fluorenone,	2,4,7-ثلاثي نيترو -9-فلورينون
------------------------------	-------------------------------

TNFDM (2,4,7-Trinitrofluorene-9-ylidene)-malononitrile,

(2,4,7-Trinitrofluorene-9-ylidene)-malononitrile,	(2,4,7-ثلاثي نيترو فلورين -9-إيليدين)-مالونونتريل
---	---

TPA

Terephthalic acid,	حمض الترفثاليك
--------------------	----------------

TPD

N,N'-Bis-(3-methylphenyl)-N,N'-diphenylbenzidine,	N,N'-بيس-(3-ميثيل فينيل)-N,N'-ثنائي فينيل بنزيدين
---	---

UF

Ultrafiltration,	الترشيح الفائق
------------------	----------------

## فهرس المركبات الكيمائية

p-Acetaminophenol,	بارا-أستامينو فينول *
Acetic anhydride,	بلا ماء حمض الخل - أنهيدريد أستيك
Acetonitrile,	أستونتريل
4-Acetoxybenzoic acid,	حمض 4- أستوكسي البنزويك
2-Acetoxy-5-vinylphenyl-benzotriazole,	2- أستوكسي -5- فينيل فينيل - بنزوتريازول
Acetylacetone,	أستيل أسيتون
Acetylene,	أستيلين
Acrolein,	أكرولين
2-Acryamido glycolic acid,	حمض 2- أكريل أميدو الغليكوليك حمض 2- أكراميدو غليكوليك *
Acrylamide,	أكريل أميد
2-Acrylamido-2-methylpropanesulfonate,	2- أكريل أميدو -2- ميثيل بروبان سلفونات
2-Acrylamido-2-methyl-1-propane sulfonic acid,	حمض 2- أكريل أميدو -2- ميثيل -1- بروبان السلفوني
Acrylic acid,	حمض الأكريليك
Acrylonitrile-butadiene-styrene,	أكريلونتريل - بوتادين - ستيرين
Acryloyl chloride,	كلوريد أكريلويل
5-Acryloyloxyethoxycarbonylmethyl-7-hydroxy-1,2,4-triazolo[1.5-a]pyrimidine,	5- أكريلويل أوكسي إيثوكسي كاربونيل ميثيل ميثيل -7- هيدروكسي -1،2،4- تريازولو - [1.5-a] بيريميدين
Adipic acid,	حمض أدبيي - حمض أدبييك
N-Alkyloxadiazolium hydrosulfate,	هيدروسلفات N- ألكيل أوكساديازوليوم
2-Allyl-6-methylphenol,	2- أليل -6- ميثيل فينول
γ-Alumina,	γ- ألومينا
Aluminum chloride,	كلوريد الألمنيوم
Aluminum oxide,	أوكسيد الألمنيوم
Amidosulfonic acid,	حمض أميدو سلفونيك



5-Amino-2-(4-aminophenoxy)-pyridine,	5- أمينو 2-(4- أمينو فينو كسي)- بيريدين
6-Amino-1-(4'-aminophenyl)-1,3,3-trimethylindane,	6- أمينو 1-(4'- أمينو فينيل)- (3,3,1- ثلاثي ميثيل ايندان
3-Aminobenzoic acid,	حمض 3- أمينو بنزويك
4-Aminobenzoic acid,	حمض 4- أمينو بنزويك
3-Amino-2-cyclohexene-1-one,	3- أمينو 2- حلقي هكسين 1- أون
3-Amino-4-methylbenzoic acid,	حمض 3- أمينو 4- ميثيل بنزويك
4-Amino-4'-nitrodiphenyl ether,	إيثر 4- أمينو 4'- نيترو ثنائي فينيل
Amino[2.2]paracyclophane,	أmino [2.2] پارا سيكلوفان
4-Aminophenol,	4- أمينو فينول
p-Aminophenol,	p- أمينو فينول
3-(3-Aminophenyl)-5-[3'-(4-aminophenoxy)phenyl]-1,2,4-triazole,	3-(3- أمينو فينيل)- (4- أمينو فينو كسي) فينيل [4,2,1]- تريازول
3-(3-Aminophenyl)-5-[3'-(4-aminophenylsulfonyl)phenyl]-1,2,4-triazole,	3-(3- أمينو فينيل)- (4- أمينو فينيل سلفونيل) فينيل [4,2,1]- تريازول
$\gamma$ -Aminopropyltriethoxysilane,	$\gamma$ - أمينو بروبييل ثلاثي إيثوكسي سيلان
3-Amino-1,2,4-triazole,	3- أمينو 4,2,1- تريازول
5-Aminotriazole,	5- أمينو تريازول
$\omega$ -Aminoundecanoic acid,	حمض $\omega$ - أمينو أنديكانويك
5-Amino-1-vinyltetrazole,	5- أمينو 1- فينيل تترازول
Amino-p-xylylene,	أmino p- كزيلين
Ammonium carbonate,	كربونات الأمونيوم
Ammonium metavanadate,	مِثافانادات الأمونيوم
Ammonium nitrate,	نترات الأمونيوم
Aniline hydrochloride,	هيدروكلوريد الأنيلين
Anthracene,	أنتراسين
Antimony pentachloride,	خماسي كلوريد الأنتيمون
Antimony trioxide,	ثلاثي أوكسيد الأنتيمون
Arsenic pentafluoride,	خماسي فلوريد الزرنيخ
8-Azaadenine,	8- آزادينين
Azelaic acid,	حمض آزيليك
2-(4-Azepan-1-yl-benzylidene)-malononitrile,	2-(4- آزيبان 1- ايل - بنزيلدين)- مالونونتريل

4-Azido-tetrafluorobenzoic acid,	حمض 4-أزيدو-رباعي فلورو البنزويك
1,1'-Azobis-(1-acetoxy-1-phenylethane),	1,1'-أزوبيس-(1-أستوكسي-1-فينيل إيثان)
4,4'-Azobis-(4-cyanopentanoic acid),	4,4'-أزوبيس-(حمض 4-سيانوبنتانويك)
2,2'-Azobis-(2-cyanopropanol),	2,2'-أزوبيس-(2-سيانوبروبانول)
2,2'-Azobis-(2,4-dimethylvaleronitrile),	2,2'-أزوبيس-(4,2-ثنائي ميثيل فالرونتريل)
2,2'-Azobis-2,4-dimethylvaleronitrile,	2,2'-أزو بيس 4,2-ثنائي ميثيل فالرونتريل
2,2'-Azobisisobutyronitrile,	2,2'-أزو بيس إيزو بوتيرو نتريل
Azodicarbonamide,	أزو ثنائي كربون أميد
Benzene arsonium fluoroborate,	فلوروبورات بنزين الأرسونيوم
Benzene-1,4-bis-(phenylene vinylene),	بنزين 1-4-بيس-(2-فينيلين فينيلين)
1,4-Benzenedicarboximidic acid dihydrazide,	حمض 4,1-بنزين ثنائي كربوكسيميدك ثنائي هيدرازيد
Benzene iodonium fluoroborate,	فلوروبورات بنزين اليودونيوم
4-Benzenesulfonylphenyl phenyl ether,	4-بنزين سلفونيل فينيل فينيل إيثر
1-Benzoate 2-naphthoate ethylene,	1-بنزوات 2-نفتاوات الإيثيلين
Benzoic acid,	حمض البنزويك
Benzonitrile,	بنزونتريل
Benzophenone,	بنزوفينون
3,3',4,4'-Benzophenone dianhydride,	ثنائي أنهيدريد 3,3',4,4'-بنزوفينون
3,3',4,4'-Benzophenone tetracarboxylic dianhydride,	ثنائي أنهيدريد 3,3',4,4'-بنزوفينون رباعي كربوكسيليك
1-Benzothiazol-3-phenyl-pyrazoline,	1-بنزوثيازول 3-فينيل - بيرازولين
Benzotriazole,	بنزوتريازول
5-(2H-Benzotriazole-2-yl)-2,2',4,4'-tetrahydroxybenzophenone,	5-(2H-بنزوتريازول 2-إيل)-4,4',2,2'-رباعي هيدروكسي بنزوفينون
5-(2H-Benzotriazole-2-yl)-2,2',4-trihydroxy-4'-acryloxybenzophenone,	5-(2H-بنزوتريازول 2-إيل)-4,2,2'-ثلاثي هيدروكسي 4'-أكريل أوكسي بنزوفينون
3-Benzoyl-4-acetoxybenzoic acid,	حمض 3-بنزويل 4-أستوكسي بنزويك
Benzoyl chloride,	كلوريد البنزويل
Benzyl alcohol,	كحول بنزويل
2-Benzyl-2-dimethylamino-1-(4-morpholinophenyl)butanone-1,	2-بنزويل 2-ثنائي ميثيل أمينو 1-(4-مورفولينو فينيل) بوتانون 1

Benzyl-1-pyrrolecarbodithioate,	بنزيل-1-بيرول كاربو ثنائي ثيوات
4,4'-Biphenol,	4,4'-بيفينول
4-Biphenyl-4-allyloxybenzoate,	4-بيفينيل-4-أليل أوكسي بنزوات
4-Biphenylcarboxylic acid,	حمض 4-بيفينيل كربوكسيليك
3,3',4,4'-Biphenyl dianhydride,	ثنائي أنهيدريد 4,4',3,3'-بيفينيل
4,4'-Biphenylene,	4,4'-بيفينيلين
Biphenyl-2,3,3',4'-tetracarboxylic dianhydride,	ثنائي أنهيدريد بيفينيل 4',3,3,2'-رباعي كربوكسيليك
Biphenyl-3,3',4,4'-tetracarboxylic dianhydride,	ثنائي أنهيدريد بيفينيل 4,4',3,3'-رباعي كربوكسيليك
Biphenyltetracarboxylic dianhydride,	ثنائي أنهيدريد بيفينيل رباعي كربوكسيليك
2-(4-Biphenyl)-5-(4-tert-butylphenyl)-1,3,4-oxadiazole,	2-(4-بيفينيليل)-5-(4-ترت-بوتيل فينيل)-1,3,4-أوكساديازول
3-(4-Biphenyl)-4-phenyl-5-(4-tert-butylphenyl)-1,2,4-triazole,	3-(4-بيفينيل)-4-فينيل-5-(4-ترت-بوتيل فينيل)-1,2,4-تريازول
Bis-(allyl ether) tetrabromobisphenol A,	بييس-(أليل إيثر) رباعي برومو بييس فينول A
1,4-Bis(4-aminophenoxy)benzene,	1,4-بييس (4-أمينو فينيوكسي) بنزين
4,4'-Bis(4-aminophenoxy)benzophenone-3,3'-disulfonic acid,	حمض 4,4'-بييس (4-أمينو فينيوكسي) بنزوفينون 3,3'-ثنائي سلفونيك
4,4'-Bis(4-aminophenoxy)biphenyl,	4,4'-بييس (4-أمينو فينيوكسي) بيفينيل
4,4'-Bis-(p-aminophenoxy)diphenyl-1,3,4-thiadiazole,	4,4'-بييس (p-أمينو فينيوكسي) ثنائي فينيل-1,3,4-ثياديازول
Bis[4-(p-aminophenoxy)phenoxy] dimethylsilane,	بييس [4-(p-أمينو فينيوكسي) فينيوكسي] ثنائي ميثيل سيلان
2,2'-Bis[4-(4-amino-phenoxy) phenyl] hexafluoroisopropylidene,	2,2'-بييس [4-(4-أمينو فينيوكسي) فينيل] سداسي فلورو إيزوبروبيليدين
1,3-Bis[5'-(3''-(p-aminophenoxy)-phenyl)-oxadiazol-2-yl]benzene,	1,3-بييس [5'-3''-(p-أمينو فينيوكسي)-فينيل]-أوكساديازول 2-إيل [بنزين
2,2'-Bis(4-(4-aminophenoxy) phenyl)propane,	2,2'-بييس (4-(4-أمينو فينيوكسي) فينيل) بروبان
Bis(aminophenoxy phenyl)-sulfone,	بييس (أمينو فينيوكسي فينيل)-سلفون
Bis[4-(3-aminophenoxy)phenyl]sulfone,	بييس [4-(3-أمينو فينيوكسي) فينيل] سلفون

N,N'-Bis(4-aminophenyl)-N,N'-diphenyl-1,4-phenylenediamine,	N,N-بيس (4-أمينو فينيل)-ثنائي فينيل-4,1-فينيلين ثنائي أمين
2,3-Bis(4-aminophenoxyphenyl)-quinoxaline-6-carboxylic acid,	حمض 3,2-بيس (4-أمينو فينيل)-كينوكزالين-6-كربوكسيليك
1,5-Bis(3-aminophenyl)-1,4-pentadien-3-one,	1,5-بيس (3-أمينو فينيل)-4,1-بنتادينين-3-أون
1,1-Bis(4-aminophenyl)-1-phenyl-2,2,2-trifluoroethane,	1,1-بيس (4-أمينو فينيل)-1-فينيل-2,2,2-ثلاثي فلورو إيثان
2,3-Bis(4-aminophenyl)-quinoxaline-6-carboxylic acid,	حمض 3,2-بيس (4-أمينو فينيل) أوكسي فينيل)-كينوكزالين-6-كربوكسيليك
Bis-(aminophenyl)-sulfone,	بيس-(أمينو فينيل)-سلفون
4,4'-Bis(4-aminophenylthio)benzophenone-3,3'-disulfonic acid,	حمض 4,4'-بيس (4-أمينو فينيل ثيو) بنزوفينون-3,3'-ثنائي سلفونيك
Bis(3-aminopropyl)-1,1,3,3-tetramethyldisiloxane,	بيس (3-أمينو بروبيل)-1,1,3,3-رباعي ميثيل ثنائي سيلوكسان
4,4-Bis[(4-amino)thiophenyl] benzophenone,	4,4-بيس [(4-أمينو) ثيوفينيل] بنزوفينون
2,2'-Bis(3-amino-4-toluy)hexafluoropropane,	2,2'-بيس (3-أمينو-4-توليل) سداسي فلورو بروبان
1,4-Bis(bromodifluoromethyl)benzene,	1,4-بيس(برومو ثنائي فلورو ميثيل)بنزن
3,5-Bis-(tert-butyl)-phenol,	3,5-بيس-(ترت-بوتيل)-فينول
1,3-Bis[(4-tert-butylphenyl)-1,3,4-oxadiazolyl]-phenylene,	1,3-بيس [(4-ترت-بوتيل فينيل)-1,3,4-أوكساديازول]-فينيلين
1,3-Biscarbazolyl propane,	1,3-بيس كاربازوليل بروبان
4,4'-Bis-((3-carboxyphenoxy)(p-benzoyl))-phenyl sulfone,	4,4'-بيس-((3-كربوكسي فينوكسي)(p-بنزويل))-فينيل سلفون
1,4-Bis(4-carboxyphenoxy)naphthalene,	1,4-بيس (4-كربوكسي فينوكسي) نفتالين
2,6-Bis(4-carboxyphenoxy)naphthalene,	2,6-بيس (4-كربوكسي فينوكسي) نفتالين
2,5-Bis-(4-carboxyphenyl)-1,3,4-oxadiazole,	2,5-بيس (4-كربوكسي فينيل)-1,3,4-أوكساديازول
Bis(4-carboxyphenyl)phenylphosphine oxide,	أوكسيد بيس (4-كربوكسي فينيل) فينيل فوسفين
2,2-Bis[N-(4-carboxyphenyl)-phthalimidyl]hexafluoropropane,	2,2-بيس [N-(4-كربوكسي فينيل)-فتال إيميديل] سداسي فلورو بروبان

1,4-Bis-(chloromethyl)-2-methoxy-5-(2'-ethylhexyloxy)benzene,	4،1-بيس-(كلورو ميثيل)-2-ميثوكسي-5-(2'-ايثيل هكسيل أوكسي)بنزين
2,5-Bis-(chloromethyl)-1,3,4-oxadiazole,	2،5-بيس-(كلورو ميثيل)-1،3،4-أوكساديازول
Bis-(4-chlorophenyl)-sulfone,	بيس-(4-كلوروفينيل)-سلفون
Bis-(2,4-di-tert-butylphenyl)-pentaerythritol diphosphite,	بيس-(2،4-ثنائي-ترت-بوتيل فينيل)-بنتا إريثريتول ثنائي فوسفيت
1,3-Bis(2,3-dicarboxyl-phenoxy)benzene dianhydride	ثنائي أنهيدريد 1،3-بيس(2،3-ثنائي كربوكسيل - فينووكسي) بنزين
1,4-Bis(3,4-dicarboxyl-phenoxy)benzene dianhydride,	ثنائي أنهيدريد 1،4-بيس(3،4-ثنائي كربوكسيل - فينووكسي) بنزين
4,4'-Bis(3,4-dicarboxyl phenoxyphenyl)-isopropylidene dianhydride,	ثنائي أنهيدريد 4،4'-بيس(3،4-ثنائي كربوكسيل فينووكسي فينيل)-إيزوبروبيليدين
4,4'-Bis(2,3-dicarboxyphenoxy)diphenyl sulfone dianhydride,	ثنائي أنهيدريد 4،4'-بيس(2،3-ثنائي كربوكسي فينووكسي) ثنائي فينيل سلفون
4,4'-Bis(3,4-dicarboxyphenoxy)diphenyl sulfone dianhydride,	ثنائي أنهيدريد 4،4'-بيس(3،4-ثنائي كربوكسي فينووكسي) ثنائي فينيل سلفون
1,4-Bis-(dichloromethyl)-benzene,	4،1-بيس-(ثنائي كلورو ميثيل)-بنزين
Bis-((4,6-difluorophenyl)-pyridinato-N,C-2') (picolinato)Ir(III),	بيس-((4،6-ثنائي فلورو فينيل)-بيريديناتو-N،C-2') (بيكوليناتو)Ir(III)
1,5-Bis-(4-(4'-fluorobenzoyl)-phenoxy)-naphthalene,	1،5-بيس-(4-(4'-فلورو بنزويل)-فينووكسي)-نفتالين
Bis-(4-fluorophenyl)-sulfide,	بيس-(4-فلوروفينيل)-سلفيد
Bis-(4-fluorophenyl)sulfone,	بيس-(4-فلوروفينيل)سلفون
2,6-Bis-(hydroxybutyl) naphthalate,	2،6-بيس-(هيدروكسي بوتيل) نفتالات
4,4'-Bis-(4-hydroxy-3,5-dimethylphenyl) pentanoic acid,	حمض 4،4'-بيس-(4-هيدروكسي-3،5-ثنائي ميثيل فينيل) بنتانويك
Bis-(4-(2-hydroxyethoxy)benzene)-ether,	بيس-(4-(2-هيدروكسي إيثوكسي)بنزين)-إيثر
Bis-(4-(2-hydroxyethoxy)benzene)-fluorene,	بيس-(4-(2-هيدروكسي إيثوكسي)بنزين)-فلورين
Bis-(4-(2-hydroxyethoxy)benzene)-sulfone,	بيس-(4-(2-هيدروكسي إيثوكسي)بنزين)-سلفون
2,6-Bis-(hydroxyethoxycarbonyl)naphthalene,	2،6-بيس-(هيدروكسي إيثوكسي كربونيل) نفتالين
2,6-Bis-(hydroxyethyl)arylate,	2،6-بيس-(هيدروكسي إيثيل) أريلات

Bis-(2-hydroxyethyl)-biphenol,	بيس-(2-هيدروكسي إيثل)-بيفينول
Bis-(2-hydroxyethyl)-bisphenol A,	بيس-(2-هيدروكسي إيثل)-هيدروكينون
Bis-(2-hydroxyethyl)-bisphenol H,	بيس-(2-هيدروكسي إيثل)-بيسفينول H
Bis-(2-hydroxyethyl)-hydroquinone,	بيس-(2-هيدروكسي إيثل)-هيدروكينون
2,6-Bis-(hydroxyethyl) naphthalate,	2,6-بيس-(هيدروكسي إيثل) نفتالات
Bis-(hydroxymethylcyclohexane)-arylate,	بيس-(هيدروكسي ميثل حلقي الهكسان)-آريلات
1,1-Bis-(4-hydroxyphenyl)-ethyl-1-phenyl-2,3,5,6-tetrafluoro-4-vinylphenyl ether,	1,1-بيس-(4-هيدروكسي فينيل)-إيثل-1-فينيل-2,3,5,6-تتراهيدرو-4-فينيل إيثر
9,9-Bis-(4-hydroxyphenyl)-fluorene,	9,9-بيس-(4-هيدروكسي فينيل)-فلورين
2,2-Bis-(4-hydroxyphenyl)-1,1,1,3,3,3-hexafluoropropane,	2,2-بيس-(4-هيدروكسي فينيل)-1,1,1,3,3,3-سداسي فلوروبروبان
Bis-(4-hydroxyphenyl)-hydrazide,	بيس-(4-هيدروكسي فينيل)-هيدرازيد
Bis-(4-hydroxyphenyl)-methane,	بيس-(4-هيدروكسي فينيل)-ميثان
1,4-Bis-(4-hydroxyphenyl)-phenylene dihydrazide,	1,4-بيس-(4-هيدروكسي فينيل)-فينيلين ثنائي الهيدرازيد
1,1-Bis-(4-hydroxyphenyl)-2-phenyl ethane,	1,1-بيس-(4-هيدروكسي فينيل)-2-فينيل إيثنان
2,2-Bis-(4-hydroxyphenyl)-propane,	2,2-بيس-(4-هيدروكسي فينيل)-بروبان
Bis-(4-hydroxyphenyl)-sulfone,	بيس-(4-هيدروكسي فينيل)-سلفون
Bis-(4-hydroxyphenyl) sulfone,	بيس-(4-هيدروكسي فينيل) سلفون
N,N'-Bis-(3-methylphenyl)-N,N'-diphenylbenzidine,	N,N'-بيس-(3-ميثيل فينيل)-N,N'-ثنائي فينيل بنزيدين
1,4-Bis-(2-methylstyryl)-benzene,	1,4-بيس-(2-ميثيل ستيريل)-بنزين
(1,4-Bis-(1,3,4-oxadiazole)-2,5-di(2-ethylhexyloxy)phenylene)-5,5'-diyl,	(1,4-بيس-(1,3,4-أوكساديازول)-2,5-ثنائي إيثل هكسيل أوكسي) فينيلين (5,5'-ثنائي إيثل)
2,2'-Bis-(1,3-oxazoline),	2,2'-بيس-(3,1-أوكسازولين)
Bis-(pentafluorophenyl)-sulfide,	بيس-(خماسي فلوروفينيل)-سلفيد
Bis-(pentafluorophenyl)-sulfone,	بيس-(خماسي فلوروفينيل)-سلفون
4,4'-Bisphenol S,	4,4'-بيسفينول S
Bisphenol A,	بيسفينول A
Bisphenol A dianhydride,	ثنائي أنهيدريد بيسفينول A
1,4-Bis(phenoxyethyl)benzene,	1,4-بيس(فينوكسي إيثل) بنزن

1,4-Bis[(phenylmethoxy)methyl]benzene,	4،1-بيس[(فينيل ميثوكسي) ميثيل] بنزن
2,5-Bis-(2-thienyl-1-cyanovinyl)-1-(2'-ethylhexyloxy)-4-methoxybenzene,	2،5-بيس-(2-ثينيل-1-سيانوفينيل)-(2'-إيثيل هكسيل أوكسي)-4-ميثوكسي بنزين
2,5-Bis-(2-thienyl-2-cyanovinyl)-1-(2'-ethylhexyloxy)-4-methoxybenzene,	2،5-بيس-(2-ثينيل-2-سيانوفينيل)-(2'-إيثيل هكسيل أوكسي)-4-ميثوكسي بنزين
1,4-Bis(trifluoromethyl)benzene,	4،1-بيس (ثلاثي فلورو ميثيل) بنزين
2,2'-Bis(trifluoromethyl)benzidine,	2،2'-بيس (ثلاثي فلورو ميثيل) بنزيدين
Boron trifluoride,	ثلاثي فلوريد البورون
Bromoanil,	بروموأنيل
p-Bromobenzaldehyde,	پارا-برومو بنزالدهيد
4-Bromo-4',4''-dihydroxytriphenylmethane,	4-برومو-4،4''-ثنائي هيدروكسي ثلاثي فينيل ميثان
4-Bromodiphenyl ether,	4-برومو ثنائي فينيل إيثر
1-Bromonaphthalene,	1-برومو نفتالين
Bromonaphthalenedicarboxylic acid,	حمض برومو نفتالين ثنائي كربوكسيليك
N-Bromo succinimide,	N-برومو سكسين إيميد
1,4-Butanediol,	4،1-بوتان ديول
4-Butoxy-3-propyl-1-(4'-nitrophenylazo)benzene,	4-بوتوكسي-3-بروبيل-1-(4'-نترو فينيل أزو) بنزن
Butyl acrylate,	أكريلات البوتيل
n-Butylacrylate,	نظامي-بوتيل أكريلات، أكريلات نظامي-البوتيل
tert-Butyl alcohol,	كحول ترت-بوتيل، كحول بوتيل ثالثي
N-Butyl-N'-(4-azidophenyl)thiourea,	N-بوتيل-N'-(4-أزيدوفينيل)ثيو يوريا
Butyl benzyl phthalate,	فتالات البوتيل والبنزيل-بوتيل بنزيل فتالات
4-tert-Butylcatechol,	4-ترت-بوتيل كاتيكول
2-Butyl-2-ethyl-1,3-propanediol,	2-بوتيل-2-إيثيل-1،3-بروبان ديول
tert-Butylhydroquinone,	ترت-بوتيل هيدروكينون
n-Butyllithium,	نظامي بوتيل الليثيوم أو n-بوتيل الليثيوم
n-Butyl methacrylate,	ميتاكريلات n-بوتيل
tert-Butyl oxide,	أوكسيد ترت-بوتيل
4-tert-Butylphenol,	4-ترت-بوتيل فينول

2-tert-Butylphenyl-5-biphenyl-1,3,4-oxadiazole	2-ترت - بوتيل فينيل -5- بيفينيل -4,3,1- أوكساديازول
2-(4-tert-Butylphenyl)-5-4-[(4-vinylphenyl)methoxy]phenyl-1,3,4-oxadiazole,	2-(4-ترت - بوتيل فينيل )-4-5-[(4-فينيل فينيل ) (ميثوكسي ) فينيل ]-4,3,1- أوكساديازول
Cadmium octoate,	أوكتوات الكاديوم
Cadmium selenide,	سسلنيد الكاديوم
Calcium metasilicate,	ميثا سيليكات الكالسيوم
Calcium oxide,	أوكسيد الكالسيوم
Calcium terephthalate,	ترفتالات الكالسيوم
$\epsilon$ -Caprolactam,	$\epsilon$ -كابرولاكتام
2-(Carbazol-9-yl)ethyl methacrylate,	2-(كاربازول -9- إيل ) إيثيل ميتاكريلات
6-(Carbazol-9-yl)hexyl methacrylate,	6-(كاربازول -9- إيل ) هكسيل ميتاكريلات
1-(3-Carbomethoxyacryloyl)-5-amino-1,2,4-triazole,	1-(3-كاربوميثوكسي أكريلويل )-5- أمينو -1,2,4-تريازول
2-Carboxyl-6-hydroxyethoxycarbonylnaphthalene,	2-كربوكسيل -6- هيدروكسي إيثوكسي كربونيل نفتالين
4-Carboxyl[2.2]paracyclophane,	4-كربوكسيل [2.2]بارا سيكلوفان
2-(4-Carboxyphenyl)-1,3-dioxoisindoline-5-carboxylic acid,	حمض 2-(4-كربوكسي فينيل )-3,1-ثنائي أوكسو إيزو إندولين -5-كربوكسيليك
Cellulose triacetate,	ثلاثي أستات السلولوز
Chloroanil,	كلوروأنييل
Chlorobenzene,	كلوروبنزين
4-Chlorobenzenesulfinate,	4-كلوروبنزين سلفينات
Chlorobenzenesulfonic acid,	حمض كلوروبنزين السلفوني
4-Chlorobenzenesulfonyl chloride,	4-كلوروبنزين سلفونيل كلوريد
3-Chloro-2,6-difluorobenzonitrile,	3-كلورو -6,2-ثنائي فلوروبنزونتريل
2-Chloroethyl ether,	2-كلورو إيثيل إيثر
2-Chloroethyl vinyl ether,	إيثر 2-كلورو إيثيل فينيل
2-Chloro-6-fluorobenzonitrile,	2-كلورو -6-فلوروبنزونتريل
1-Chloronaphthalene,	1-كلورونفتالين
p-Chloronitrobenzene,	p-كلورونيتروبنزين
p-Chlorophenol,	p-كلوروفينول



2-Chloro-p-phenylenediamine,	2-كلورو -p- فينيلين ثنائي أمين
Chlorophenylsulfonyl phenoxide,	كلورو فينيل سلفونيل فينو كسيد
Chlorophthalic anhydride,	أنهيدريد كلورو فتاليك
Chlorophyll,	كلوروفيل
Chlorosulfonic acid,	حمض الكلوروسلفونيك
2-Chloroterephthaloyl chloride,	كلوريد 2-كلوروتريفتالويل
Chlorotrimethylsilane,	كلورو ثلاثي ميثيل سيلان
Chloro-p-xylylene,	كلورو -p- كزيلين
Cholesteryl benzoate,	بنزوات الكولستريل
Chrome oxide,	أوكسيد الكروم
Citraconic anhydride,	أنهيدريد السيتراكونيك
Citric acid,	حمض الليمون-حمض السيتريك
Cobalt acetate,	خلات الكوبالت- أستات الكوبالت
Copper bromide,	بروميد النحاس
Copper 4-bromobenzenethiolate,	4-برومو بنزين ثيولات النحاس
Copper chloride,	كلوريد النحاس
Copper iodide,	يوديد النحاس
Coronene,	كورونين
Coumarin,	كومارين
m-Cresol,	ميثا-كريزول
o-Cresol,	أورثو-كريزول
Cumene,	كومين
p-Cyanobenzoyl chloride,	كلوريد -p- سيانوبنزويل
5-Cyanoisophthaloyl chloride,	كلوريد 5-سيانوايزوفتالويل
1,4-Cyclohexanediamine,	1,4-حلقي هكسان ثنائي الأمين
1,4-Cyclohexanedimethanol,	1,4-حلقي هكسان ثنائي ميثانول
Cyclohexanone,	حلقي الهكسانون
Cyclohexene oxide,	أوكسيد حلقي الهكسين
Decafluorodiphenyl ketone,	عشري فلورو ثنائي فينيل كيتون
Decamethylenediamine,	عشاري ميثيلين ثنائي أمين
Deoxyribonucleic acid,	حمض ريبوي منقوص الأوكسجين
1,4-Diacetoxybenzene,	1,4-ثنائي أستوكسي بنزين

$\beta,\beta$ -Diacetyl-4-methoxystyrene,	$\beta,\beta$ -ثنائي أسيتيل-4-ميثوكسي ستيرين
p-Diaminobenzene,	بارا-ثنائي أمين البنزن
3,5-Diaminobenzoic acid,	حمض 3,5-ثنائي أمينو بنزويك
4,4'-Diaminodicyclohexylmethane,	4,4'-ثنائي أمينو ثنائي حلقي هكسيل ميثان
2,2-(4,4'-Diaminodicyclohexyl)propane,	2,2-(4,4'-ثنائي أمينو ثنائي حلقي هكسيل) بروبان
4,4'-Diamino-3,3'-dimethyldiphenylmethane,	4,4'-ثنائي أمينو 3,3'-ميثيل ثنائي فينيل ميثان
1,8-Diamino-3,6-dioxaoctane,	1,8-ثنائي أمينو 3,6-ثنائي أوكسا أوكتان
3,4'-Diaminodiphenyl ether,	إيثر 3,4'-ثنائي أمينو ثنائي فينيل
4,4'-Diaminodiphenyl ether,	إيثر 4,4'-ثنائي أمينو ثنائي فينيل
4,4'-Diaminodiphenylmethane,	4,4'-ثنائي أمينو ثنائي فينيل ميثان
2,4-Diamino-4'-fluoroazobenzene,	2,4-ثنائي أمينو 4'-فلورو آزو بنزين
4,4'-Diamino-4'-methoxytriphenylamine,	4,4'-ثنائي أمينو 4'-ميثوكسي ثلاثي فينيل أمين
2,4-Diamino-4'-methylazobenzene,	2,4-ثنائي أمينو 4'-ميثيل آزو بنزين
2,4-Diamino-4'-nitroazobenzene,	2,4-ثنائي أمينو 4'-نترو آزو بنزين
2,4-Diamino-4'-(4-nitrophenyl-diazonyl)azobenzene,	2,4-ثنائي أمينو 4'-(4-نترو فينيل ديازونيل) آزو بنزين
2,6-Diaminopyridine,	2,6-ثنائي أمينو بيريدين
3,5-Diamino-1,2,4-triazole,	3,5-ثنائي أمينو 1,2,4-تريازول
2,4-Diamino-4'-trifluoromethoxyazobenzene,	2,4-ثنائي أمينو 4'-ثلاثي فلوروميثوكسي آزو بنزين
Dibenzoylperoxide,	ثنائي بنزويل بيروكسيد
4,4'-Dibromobiphenyl,	4,4'-ثنائي بروموبيفينيل
1,2-Dibromoethene,	1,2-ثنائي برومو إيثين
$\alpha,\alpha'$ -Dibromo- $\alpha,\alpha,\alpha,\alpha'$ -tetrafluoro-p-xylene,	$\alpha,\alpha'$ -ثنائي برومو $\alpha,\alpha,\alpha,\alpha'$ -رباعي فلورو p-كزيلين
$\alpha,\alpha'$ -Dibromo-p-xylene,	$\alpha,\alpha'$ -ثنائي برومو p-كزيلين
2,6-Di-tert-butyl phenol,	2,6-ثنائي تيرت-بوتيل فينول
N,N-Di(4-tert-butylphenyl)-4-(2-pyridyl)phenylamine,	N,N-ثنائي (4-تيرت-بوتيل فينيل)-(2-بيريديل) أمين
Dibutyltindilaurate,	ثنائي بوتيل قصدير ثنائي لورات

N,N'-Di(carbazol-3-yl)-N,N'-diphenyl-1,4-phenylenediamine,	N,N'-ثنائي (كاربازول-3-ايل) -N,N'-ثنائي الفينيل-4،1-فينيلين ثنائي الأمين
1,2-Dichlorobenzene,	1،2-ثنائي كلورو بنزين
o-Dichlorobenzene	o-ثنائي كلورو بنزين
p-Dichlorobenzene,	p-ثنائي كلورو بنزين
2,6-Dichlorobenzonitrile,	2،6-ثنائي كلورو بنزونتريل
4,4'-Dichlorobenzophenone,	4،4'-ثنائي كلورو بنزوفينون
4,4'-Dichlorodiphenyl sulfone,	4،4'-ثنائي كلورو ثنائي فينيل سلفون
1,2-Dichloroethane,	1،2-ثنائي كلورو الإيثان
3,5-Dichloro-4-(4-methoxyphenyl)-4H-1,2,4-triazole,	3،5-ثنائي كلورو-4-(4-ميثوكسي فينيل)-4H-1،2،4-تريازول
1,9-Dichloro[2.2]paracyclophane,	1،9-ثنائي كلورو-[2.2]پارا سيكلوفان
Dichloro-p-xylylene,	ثنائي كلورو-p-كزيبيلين
Dicumyl peroxide,	ثنائي كوميل بيروكسيد
2-Dicyanomethylene-3-cyano-2,5-dihydrofuran,	2-ثنائي سيانو ميثيلين-3-سيانو-5،2-ثنائي هيدروفوران
4-(Dicyanomethylene)-2-methyl-6-(4-dimethylamino-styryl)-4H-pyran,	4-(ثنائي سيانو ميثيلين)-2-ميثيل-6-(4-ثنائي ميثيل أمينو-ستيريل)-4H-بيران
4-(Dicyanovinyl-N,N-diethylaniline),	4-(ثنائي سيانو فينيل -N,N-ثنائي إيثيل أنيلين)
9,9'-Didodecylfluorene-2,7-diyl,	9،9'-ثنائي دوديسيل فلورين-7،2-ثنائي ايل 9،9-ثنائي دوديسيل فلورين-7،2-ثنائي ايل
1,4-(N,N'-Diethylamino)anthraquinone,	1،4-(N,N)-4،1-ثنائي إيثيل أمينو (أنثراكينون
Diethylaminodicyanostyrene,	ثنائي إيثيل أمينو ثنائي سيانو ستيرين
4-Diethylaminoethyl benzoate,	4-ثنائي إيثيل أمينو إيثيل بنزوات
Diethylene glycol,	ثنائي إيثيلين غليكول
Diethylfumarate,	ثنائي إيثيل فومارات
2,2-Diethyl-1,3-propanediol,	2،2-ثنائي إيثيل-3،1-بروبان ديول
2,6-Difluorobenzonitrile,	2،6-ثنائي فلورو بنزونتريل
4,4'-Difluorobenzophenone,	4،4'-ثنائي فلورو بنزوفينون
4,4'-Difluorodiphenyl ketone,	4،4'-ثنائي فلورو ثنائي فينيل كيتون
4,4'-Difluorodiphenyl sulfone,	4،4'-ثنائي فلورو ثنائي فينيل سلفون
2,7-Difluoro-9,10-dithiaanthracene,	2،7-ثنائي فلورو-9،10-ثنائي ثيا أنتراسين

3,5-Difluoro-4'-hydroxydiphenyl sulfone,	3،5-ثنائي فلورو -4- هيدروكسي ثنائي فينيل سلفون
3,5-Difluorophenylmagnesium bromide,	3،5-ثنائي فلوروفينيل بروميد المغنزيوم
2,7-Difluorothianthrene,	2،7-ثنائي فلوروثيان ثرين
4,4'-Difluorobiphenyl,	4،4'-ثنائي فلوروبيفينيل
Dihexamethylenetriamine,	ثنائي سداسي ميثيلين ثلاثي أمين
9,9-Dihexylfluorene-2,7-divinylene-m-phenylene vinylene,	9،9-ثنائي هكسيل فلورين -2،7-ثنائي فينيلين - ميتا - فينيلين فينيلين
o-Dihydroxybenzene,	0-ثنائي هيدروكسي بنزين
2,5-Dihydroxybenzoic acid,	حمض 2،5-ثنائي هيدروكسي البنزويك
4,4'-Dihydroxybenzophenone,	4،4'-ثنائي هيدروكسي بنزو فينون
4,4'-Dihydroxydiethoxydiphenyl sulfone,	4،4'-ثنائي هيدروكسي ثنائي ايثوكسي ثنائي فينيل سلفون
2,4-Dihydroxydiphenyl sulfone,	2،4-ثنائي هيدروكسي ثنائي فينيل سلفون
4,4'-Dihydroxydiphenyl sulfone,	4،4'-ثنائي هيدروكسي ثنائي فينيل سلفون
2,6-Dihydroxynaphthalene,	2،6-ثنائي هيدروكسي نفتالين
2,7-Dihydroxynaphthalene,	2،7-ثنائي هيدروكسي نفتالين
2-(2,4-Dihydroxyphenyl)-2H-benzotriazole,	2 - (4،2-ثنائي هيدروكسي فينيل) - 2H-بنزوتريازول
1,6-Di(3-hydroxyphenyl)-1,6-diazaspiro[4.4]nonane-2,7-dione,	6،1-ثنائي (3-هيدروكسي فينيل) -6،1-ديازا سبيرو [4.4]نونان -2،7-ديون
1,6-Di(4-hydroxyphenyl)-1,6-diazaspiro[4.4]nonane-2,7-dione,	6،1-ثنائي (4-هيدروكسي فينيل) -6،1-ديازا سبيرو [4.4]نونان -2،7-ديون
2-(2,4-Dihydroxyphenyl)-1,3,2H-dibenzotriazole,	2 - (4،2-ثنائي هيدروكسي فينيل) - 2H-3،1-ثنائي بنزوتريازول
p-Diiodobenzene,	p-ثنائي يودوبنزين
p,p'-Diiododiphenyl sulfone,	p،p'-ثنائي فينيل سلفون
Diisocyanatodiphenyl methane,	ثنائي ايزوسياناتو ثنائي فينيل ميثان
Diisopropylamine,	ثنائي ايزوبروبيل أمين
Diisopropyl azodicarboxylate,	ثنائي ايزوبروبيل آزو ثنائي كربوكسيلات
m-Diisopropylbenzene,	m-ثنائي ايزوبروبيل بنزين
3,3'-Dimethoxybenzidine,	3،3'-ثنائي ميثوكسي بنزيدين

4-Di(2-methoxyethyl) aminobenzylidene malononitrile,	4-ثنائي (2-ميثوكسي - إيثيل ) أمينو بنزليدين مالونونتريل
2,2-Dimethoxy-2-phenylacetophenone,	2،2-ثنائي ميثوكسي -2-فينيل أستوفنون
Dimethylacetamide	ثنائي ميثيل أسيتاميد
Dimethylacetonitrile,	ثنائي ميثيل أسيتو نتريل
Dimethylacrylamide,	ثنائي ميثيل أكريل أميد
4-Dimethylaminopyridine,	4-ثنائي ميثيل أمينو بيريدين
3,3'-Dimethyl-1,1'-binaphthalene,	3،3'-ثنائي ميثيل -1،1'-بينفثالين
2,2'-Dimethyl-4,4'-bis(4-aminophenoxy)biphenyl,	2،2'-ثنائي ميثيل -4،4'-بيس (4-أمينو فينوكسي ) بيفينيل
4-Dimethylbutylamine,	4-ثنائي ميثيل بوتيل أمين
N,N-Dimethylcarbanyl chloride,	N،N-ثنائي ميثيل كارباميل كلوريد
Dimethylchlorosilane,	ثنائي ميثيل كلوروسيلان
3,3'-Dimethyl-4,4'-diaminodicyclohexylmethane,	3،3'-ثنائي ميثيل -4،4'-ثنائي أمينو ثنائي حلقي هكسيل ميثان
2,5-Dimethyl-2,5-di(tert-butylperoxy)-3-butane,	2،5-ثنائي ميثيل -5،2-ثنائي (ترت-بوتيل بيروكسي) -3-بوتان
2,9-Dimethyl-4,7-diphenyl-1,10-phenanthroline,	2،9-ثنائي ميثيل -7،4-ثنائي فينيل -10،1-فنانترولين
N,N-Dimethylformamide,	N،N-ثنائي ميثيل فورماميد
4,4-Dimethyl-1,7-heptanediamine,	4،4-ثنائي ميثيل -7،1-هبتان ثنائي أمين
2,6-Dimethyl-4-heptanone oxime,	2،6-ثنائي ميثيل -4-هبتانون أوكسيم
1,3-Dimethylimidazolidinone,	1،3-ثنائي ميثيل إيميدازوليدينون
Dimethyl isophthalate,	ثنائي ميثيل إيزوفتالات
2,3-Dimethylmaleic anhydride,	أنهيدريد 2،3-ثنائي ميثيل مالبيك
2,6-Dimethyl naphthalate,	2،6-ثنائي ميثيل نفتالين
Dimethyl-2,6-naphthalene dicarboxylate,	ثنائي ميثيل -6،2-نفتالين ثنائي كربوكسيلات
2,5-Dimethyl-4-(p-nitrophenylazo)anisole,	2،5-ثنائي ميثيل -4-(بارا -نترو فينيل آزو ) أنيسول
2,5-Dimethyl-4-(4'-nitrophenylazo)phenyl benzyl ether,	2،5-ثنائي ميثيل -4-(4'-نترو فينيل آزو ) فينيل بنزيل إيثر
2,5-Dimethyl-4-(4'-nitrophenylazo)phenyl octyl ether,	2،5-ثنائي ميثيل -4-(4'-نترو فينيل آزو ) فينيل أوكتيل إيثر

2,4-Dimethyl-3-pentanone oxime,	4،2-ثنائي ميثيل-3-بنتانون أوكسيم
2,6-Dimethylphenol,	6،2-ثنائي ميثيل فينول
Dimethyl phthalate,	ثنائي ميثيل فتالات
2,2-Dimethyl-1,3-propanediol,	2،2-ثنائي ميثيل-3،1-بروبان ديول
2-(5,5-Dimethyl-3-styryl-cyclohex-2-enylidene)-malononitrile,	2- (5،5-ثنائي ميثيل-3-ستيريل - حلقي هكس -2- إنيليدين) - مالونونتريل
Dimethyl sulfoxide,	سلفوكسيد ثنائي ميثيل
Dimethyl terephthalate,	تريفتالات ثنائي ميثيل
3,5-Dimethyl-1,2,4-triazole,	3،5-ثنائي ميثيل-4،2،1-تريازول
3,6-Dimethyl-9-vinylcarbazole,	6،3-ثنائي الميثيل-9-فينيل كاربازول
3,6-Dinitro-9-vinylcarbazole,	3،6-ثنائي نترو-9-فينيل كاربازول
9,9-Dioctylfluorene,	9،9-ثنائي أوكثيل فلورين
1,6-Dioxaspiro[4.4]nonane-2,7-dione,	1،6-ثنائي أوكساسبيرو [4.4]نونان-7،2-ديون
1,4-Diphenoxybenzene,	4،1-ثنائي فينوكسي بنزين
2,6-Diphenoxybenzotrile,	2،6-ثنائي فينوكسي بنزونتريل
4,4'-Diphenoxybenzophenone,	4،4'-ثنائي فينوكسي بنزوفينون
N,N'-(4,4'-Diphenyleneethylene)bis(4-phenylethynylphthalimide),	N،N'-(4،4'-ثنائي فينيلين إيثيلين) بيس (4-فينيل إيثينيل فتال إيميد)
4,4'-Diphenyl ether dicarboxylic acid,	حمض 4،4'-ثنائي فينيل إيثر ثنائي كربوكسيليك
9,10-Diphenylethynylanthracene,	9،10-ثنائي فينيل إيثينيل أنتراسين
N,N-Diphenylformamide,	N،N-ثنائي فينيل فورم أميد
Diphenylguanidine,	ثنائي فينيل غوانيدين
Diphenyl methyl phosphate,	فوسفات ثنائي الفينيل والميثيل
2,6-Diphenylphenol,	2،6-ثنائي فينيل فينول
N,N'-Diphenyl-1,4-phenylenediamine,	N،N'-ثنائي فينيل-4،1-فينيلين ثنائي أمين
2,2-Diphenyl-1-picryl-hydrazyl,	2،2-ثنائي فينيل-1-بيكريل-هيدرازيل
N,N-Diphenyl-7-(2-(4-pyridinyl)-ethenyl)-9,9-di-n-decyl-9H-fluorene-2-amine,	N،N-ثنائي فينيل-7-(2-(4-بيريدينيل)-إيثينيل-9،9-ثنائي-نظامي-ديسيل-9H-فلورين-2-أمين)
4,4'-Diphenyl sulfone,	4،4'-ثنائي فينيل سلفون
3,6-Diphenyl-vinylcarbazole,	3،6-ثنائي فينيل-فينيل-كاربازول

4,7-Diselenophen-2'-yl-2,1,3-benzoselenadiazole,	4،7-ثنائي سيلينوفين-2'-ايل-3،1،2-بنزوسيلينا ديازول
4,7-Diselenophen-2'-yl-2,1,3-benzothiadiazole,	4،7-ثنائي سيلينوفين-2'-ايل-3،1،2-بنزو ثياديازول
Disperse Red 1,	المُشْتَت الأحمر 1 (حامل لوني)
3,3'-Disulfonate-4,4'-dichlorodiphenyl sulfone,	3،3'-ثنائي سلفونات-4،4'-ثنائي كلورو ثنائي فينيل سلفون
4,7-Di-2-thienyl-2,1,3-benzothiadiazole,	4،7-ثنائي-2-ثينيل-3،1،2-بنزو ثياديازول
Dodeca-fluoro[2.2]paracyclophane,	اثنا عشر فلورو [2.2]پارا سيكوفان
Durene,	ديورين
Dysprosium fulleride,	داي سبروزيوم فولريد
Enantholactam,	إينانثولاكتام - هيبثولاكتام
Epibromohydrin,	إيبيروموهيدرين
Epichlorohydrin,	إيكلوروهيدرين
9-(2,3-Epoxypropyl)carbazole,	9-(2،3-إيبوكسي بروبيل) كاربازول
Ethyl acetate,	أستات الإيثيل
Ethyl-2-bromo-2-methylpropionate,	إيثيل-2-برومو-2-ميثيل بروبيونات
N-Ethylcarbazole,	N-إيثيل كاربازول
9-Ethyl-3-carbazolecarboxaldehyde,	9-إيثيل-3-كاربازول-كربوكس ألدهيد
N-Ethylcarbazole-3,6-dicarboxylic acid,	حمض N-إيثيل كاربازول-3،6-ثنائي كربوكسيليك
Ethylene carbonate,	كربونات الإيثيلين
Ethylene chlorohydrin,	كلوروهيدرين الإيثيلين - إيثيلين كلوروهيدرين
Ethylenediamine tetraacetic acid,	الإيثيلين ثنائي الأمين رباعي حمض الخل
Ethylene dibenzoate,	ثنائي بنزوات الإيثيلين
Ethylene dinaphthoate,	ثنائي نفتاوات الإيثيلين
Ethylene glycol,	إيثيلين غليكول
Ethylene glycol mono methyl ether,	إيثيلين غليكول وحيد ميثيل إيثر
Ethylene propylene diene monomer,	مونومير إيثيلين بروبيلين ديين
1-(2-Ethylhexyloxy)-2,5-dimethyl-4-(4-nitrophenylazo)benzene,	1-(2-إيثيل هكسيل أوكسي)-5،2-ثنائي ميثيل 4-(4-نترو فينيل آزو) بنزن
1-(2'-Ethylhexyloxy)-2,5-dimethyl-4-(4'-nitrophenylazo)benzene,	1-(2'-إيثيل هكسيل أوكسي)-5،2-ثنائي ميثيل 4-(4'-نترو فينيل آزو) بنزن

Ethyl mercaptan,	إيثيل ميركابتان
Ethyl methacrylate,	إيثيل ميتاكريلات-ميتاكريلات الإيثيل
4-Ethyl[2.2]paracyclophane,	4- إيثيل [2.2] بارا سيلوفان
2-Ethyltetramethylenediamine,	2- إيثيل رباعي ميثيلين ثنائي أمين
N-Ethyl-3-vinylcarbazole,	N- إيثيل 3-فينيل كاربازول
Ethynylaniline,	إيثينيل الأنيلين
3-Ethynylphenol,	3- إيثينيل فينول
9-Fluorenone,	9- فلورينون
4-Fluorobenzenesulfinate,	4- فلورو بنزين سلفينات
2-Fluorobenzonitrile,	2- فلورو بنزونتريل
4-Fluoro-4-hydroxydiphenyl sulfone,	4- فلورو 4-هيدروكسي ثنائي فينيل سلفون
5-[(4-Fluorophenyl)sulfonyl]-2-fluorobenzoic acid,	حمض 5-[(4-فلورو فينيل) سلفونيل]-2-فلورو بنزويك
(Fluorophenyl)(trifluorophenyl) sulfone,	(فلورو فينيل)-(ثلاثي فلورو فينيل) سلفون
2-Formyl-6-naphthoic acid,	حمض 2-فورميل-6-نفتاويك
Fumaric acid,	حمض الفورمايك
Fumaroyl chloride,	كلوريد الفورماويل
Germanium oxide,	أوكسيد الجرمانيوم
Glycidyl acrylate,	أكريلات الغليسيديل-غليسيديل أكريلات
N-Glycidylcarbazole,	N-غليسيديل كاربازول
Glycidyl methacrylate,	ميتاكريلات الغليسيديل
$\gamma$ -Glycidylpropylmethoxysilane,	$\gamma$ -غليسيديل بروبيل ميثوكسي سيلان
Glycidyl tosylate,	توسيلات الغليسيديل
Heteropolyacid,	الحموض المتعددة المغايرة
1-Hexadecylamine,	1-هكسادسيل أمين
2-Hexadecyloxy-5-methoxybenzene-1,4bis-(4-dimethylaminophenylene vinylene),	2-هكساديسيل أوكسي-5-ميثوكسي بنزين-1،4-بيس-(4-ثنائي ميثيل أمينو فينيلين فينيلين)
1,5-Hexadiene,	1،5-هكسادين
4,4'-(Hexafluoroisopropylidene)diphenol,	4،4'-سداسي فلورو إيزوبروبيليدين (ثنائي فينول
4,4'-(Hexafluoroisopropylidene)-diphenyl,	4،4'-سداسي فلورو إيزوبروبيليدين (ثنائي فينيل



4,4'-Hexafluoroisopropylidene diphthalic dianhydride,	4،4'-سداسي فلوروإيزوبروبيليدين ثنائي فتاليك ثنائي أنهيدريد
Hexahydroxytriphenylene,	سداسي هيدروكسي ثلاثي فينيلين
N,N'-Hexamethylenebis(3,5-di-tert-butyl-4-hydroxyhydrocinnamide),	N،N'-سداسي ميثيلين بيس (3،5-ثنائي-ترت-بوتيل-4-هيدروكسي هيدروسيناميد
Hexamethylenediamine,	سداسي ميثيلين ثنائي الأمين
Hexamethylphosphoramide,	سداسي ميثيل فوسفورأميد
1,6-Hexane diisocyanate,	6،1-هكسان ثنائي إيزوسيانات
m-Hexaphenyl ether,	m-هكزا فينيل إيثر
4-(4-(Hexyloxy)phenyl)-3,5-diphenyl-4H-1,2,4-triazole,	4-(4-هكسيل أوكسي) فينيل (3،5-ثنائي فينيل)-4،2،1-4H-تريازول
High impact poly(styrene),	پولي(ستيرين) عالي المقاومة للصدم
R-Hirudin,	R-هيرودين
Hydrazine	هيدرازين
Hydrazine sulfate,	كبريتات الهيدرازين - سلفات الهيدرازين
Hydrogen fluoride,	فلوريد الهيدروجين
Hydrogen sulfide,	سلفيد الهيدروجين - كبريتيد الهيدروجين
6-Hydroperoxy-6-hexanelactam,	6-هيدروبروكسي-6-هكسان لاكتام
Hydroquinone,	هيدروكينون
2-(2-Hydroxy-7-acryloyloxynaphthyl)-2H-benzotriazole,	2-(2-هيدروكسي-7-أكريلويل أوكسي نفتاليل)-2H-بنزوتريازول
2-[2-Hydroxy-4-alkoxy-(2-oxypopyl methacrylate)phenyl]2H-4-methoxybenzotriazole,	2-2-هيدروكسي-4-ألكوكسي-(2-أوكسي بروبيل ميثاكريلات) فينيل [2H-4-ميثوكسي بنزوتريازول
Hydroxyapatite,	هيدروكسي آباتيت
p-Hydroxy benzaldehyde,	پارا-هيدروكسي بنزالدهيد
4-Hydroxybenzoic acid,	حمض 4-هيدروكسي بنزويك
3-Hydroxy-1,2,3-benzotriazin-4-one,	3-هيدروكسي-3،2،1-بنزوتريازين-4-أون
1-Hydroxybenzotriazole,	1-هيدروكسي بنزوتريازول
6-Hydroxy[1,3-bis(4-hydroxyphenylsulfonyl)]benzene,	6-هيدروكسي [1،3-بيس (4-هيدروكسي فينيل سلفونيل) بنزين

7-Hydroxy-5-carboxymethyl-1,2,4-triazolo[1,5-a]pyrimidine,	7- هيدروكسي -5- كربوكسي ميثيل 1-4,2- تريازولو [1,5-a] بيريميدين
4-Hydroxycinnamic acid,	حمض 4- هيدروكسي سيناميك
1-Hydroxycyclohexyl-phenyl-ketone,	1- هيدروكسي حلقي هكسيل -فينيل -كيتون
2-Hydroxyethyl acrylate,	2- هيدروكسي ايثيل اكريلات
2-Hydroxyethyl methacrylate,	2- هيدروكسي ايثيل ميتاكريلات
( $\beta$ -Hydroxyethyl)naphthalate,	( $\beta$ - هيدروكسي ايثيل) نفتالات
N-Hydroxymethylmethacrylamide,	N- هيدروكسي ميثيل ميتاكريل اميد
2-Hydroxy-6-naphthoic acid,	حمض 2- هيدروكسي -6- نفتويك
6-Hydroxy-2-naphthoic acid,	حمض 6- هيدروكسي -2- نفتويك
4'-Hydroxy phenyl-4-hydroxybenzoate,	4'- هيدروكسي فينيل -4- هيدروكسي بنزوات
4,4'-[1-[4-[1-(4-Hydroxyphenyl)-1-methylethyl]phenyl]ethylidene],	4,4'-[1-[4-[1-(4- هيدروكسي فينيل)-1- ميثيل ايثيل] فينيل] ايثيليدين ]
2-(4-Hydroxyphenyl)-5-phenyl-1,3,4-oxadiazole,	2-4- هيدروكسي فينيل (-) 5-3,1- اوكساديازول
4-(4-Hydroxyphenyl)-1(2H)-phthalazinone,	4-4- هيدروكسي فينيل (-) 1(2H)- فتالازينون
9-(3-Hydroxypropyl)carbazole,	9-3- هيدروكسي بروبيل (كاربازول
N-Hydroxypyridine-2-thione,	N- هيدروكسي بيريدين -2- ثيون
Hypochlorous acid,	حمض تحت الكلور - حمض الهيبوكلوري
2-Imidazolidinone,	2- ايميدازوليدينون
Indium tin oxide,	اوكسيد الينديوم والقصدير
Isophorone diamine,	ايزوفورون ثنائي الامين
Isophthalic acid,	حمض الايزوفتاليك
Isophthalonitrile,	ايزوفتالونتريل
Isophthaloyl bislaurocaprolactam,	ايزوفتالويل بيس لوروكابرولاكتام
Isophthaloyl chloride,	كلوريد ايزوفتالويل
4,4'-Isopropylidene diphenyl,	4,4'- ايزوبروبيليدين ثنائي فينيل
Lauro lactam,	لورولاكتام
Liquid crystal polymer,	بوليمير البلورات السائلة
Lithium hydroxide,	هيدروكسيد الليثيوم
Lithium naphthalene,	نفتالين الليثيوم

Lithocholic acid,	حمض ليثوكولييك
Magnesia,	الماغنيزيا
Magnesium acetate tetrahydrate,	أستات المغنيزيوم رباعي هيدرات
Maleic anhydride,	أنهيدريد الماليك
Malonic acid diethyl ester,	مالونات ثنائي الإيثيل - إستر حمض المالونيك ثنائي الإيثيل
Manganese acetate,	خلات المنغنيز - أستات المنغنيز
Melamine cyanurate,	سيانورات الميلامين
2-Mercaptoethanol,	2-ميركابتوإيثانول
3-Mercaptopropionic acid,	حمض 3-ميركابتوبروبيونيك
3-Mercaptopropyltrimethoxysilane,	3-ميركابتوبروبيل ثلاثي ميثوكسي سيلان
Methacrylamide,	ميتاكريل أميد
Methacrylic acid,	حمض الميتاكريليك
Methacrylic acid 6-[3-(2-cyano-2-(4-nitrophenyl)-vinyl)-carbazol-9-yl]hexyl ester,	إستر حمض ميتاكريليك 6-[3-(2-سيانو-2-(4-نتروفينيل)-فينيل)-كاربازول-9-إيل]هكسيل
Methacrylic acid 6-[3-(diphenylhydrazonomethyl)-carbazol-9-yl]hexyl ester,	إستر حمض ميتاكريليك 6-[3-(ثنائي فينيل - هيدرازونوميثيل)-كاربازول-9-إيل]هكسيل
Methacrylic acid 6-[3-[2-(4-nitrophenyl)-vinyl]-carbazol-9-yl]hexyl ester,	إستر حمض ميتاكريليك 6-[3-[2-(4-نتروفينيل)-فينيل]-كاربازول-9-إيل]هكسيل
Methacrylic anhydride,	أنهيدريد الميتاكريليك
N-Methacryloxypropyl carbazole,	N-ميتاكريل أوكسي بروبييل كاربازول
N-Methacryloxypropyl-3-(p-nitrophenyl)azo carbazole,	N-ميتاكريل أوكسي بروبييل 3-(بارا-نتروفينيل) أزو كاربازول
Methacryloyl chloride,	كلوريد ميتاكريلويل
Methanesulfonic acid,	حمض ميثان سلفونيك
4-(5-Methoxy-2H-benzotriazole-2-yl)resorcinol,	4-(5-ميثوكسي-2H-بنزوتريازول-2-إيل) ريزورسينول
2-Methoxy-5-(3',7'-dimethyloctyloxy)benzene-1,4-diacetonitrile,	2-ميثوكسي-5-(3',7'-ثنائي ميثيل أوكثيل أوكسي) بنزين-1,4-ثنائي أسيتونتريل
p-(Methoxymethyl)benzyl chloride,	p-(ميثوكسي ميثيل) بنزيل كلوريد
1-Methoxynaphthalene,	1-ميثوكسي نفتالين
p-Methoxyphenol,	p-ميثوكسي فينول

4-Methoxyphenyl-4-allyloxy benzoate,	4-ميثوكسي فينيل 4-أليل أوكسي بنزوات
Methoxyphenylisocyanate,	ميثوكسي فينيل إيزوسيانات
4-Methoxyphenylsulfonyl chloride,	4-ميثوكسي فينيل سلفونيل كلوريد
Methyl-(4-anilino-phenyl) sulfide,	ميثيل (4-أنيلينو فينيل) سلفيد
N-( $\alpha$ -Methylbenzyloxy)-2,2,6,6-tetramethylpiperidine,	N-( $\alpha$ -ميثيل بنزيل أوكسي)-2,2,6,6-رباعي ميثيل بيبيريدين
p-Methylbenzyltrimethylammonium hydroxide,	هيدروكسيد p-ميثيل بنزيل ثلاثي ميثيل أمونيوم
2-Methyl-1-butanol,	2-ميثيل 1-بوتانول
Methyl-tert-butyl ether,	إيثر ميثيل-ترت-بوتيل
Methyl chloromethyl ether,	إيثر ميثيل كلوروميثيل
2-Methyl-1,5-diaminopentane,	2-ميثيل 1,5-ثنائي أمينو بنتان
Methylene chloride,	كلوريد الميثيلين
2-Methyleneglutaric dinitrile,	2-ميثيلين غلوتاريك ثنائي نتريل
Methyl ethyl ketone,	ميثيل إيثيل كيتون
Methyl isobutyl ketone,	ميثيل إيزوبوتيل كيتون
Methyl mercaptan,	ميثيل ميركابتان
Methyl methacrylate,	ميثاكريلات الميثيل
$\alpha$ -Methylnadic anhydride,	أنهيدريد $\alpha$ -ميثيل ناديك
4-( $\alpha$ -Methylnadimido)-benzoic acid,	حمض 4-( $\alpha$ -ميثيل ناديميديو)-بنزويك
2-Methyl-5-nitroaniline,	2-ميثيل 5-نيترو أنيلين
2-Methylpentamethylenediamine,	2-ميثيل خماسي ميثيلين ثنائي أمين
N-Methyl-4-picolinium hexafluorophosphate,	N-ميثيل 4-بيكولينيوم سداسي فلوروفوسفات
Methylpiperidine,	ميثيل البيبيريدين
4-Methyl-pyrazolo[3.4-b]quinoline,	4-ميثيل بيرازولو [3.4-b] كينولين
N-Methyl-2-pyrrolidone,	N-ميثيل 2-بيروليدين
N-(4-Methylsulfinyl)phenylene-N'-phenyl-1,4-phenylenediamine,	N-(4-ميثيل سلفينيل)فينيلين-N'-فينيل-1,4-فينيلين ثنائي الأمين
4-Methylsulfoxy-diphenylamine,	4-ميثيل سلفوكسي-ثنائي فينيل أمين
Methyltri-n-octylammonium chloride,	كلوريد ميثيل ثلاثي n-أوكتيل الأمونيوم كلوريد ميثيل ثلاثي-نظامي-أوكتيل الأمونيوم
Molybdenum disulfide,	ثنائي سلفيد الموليبدينيوم

Monoethanolamine,	أحادي إيثانول أمين
Monomethyl-2,6-naphthalene dicarboxylate,	أحادي ميثيل-2،6-نفتالين ثنائي كربوكسيلات
Montmorillonite,	مونموريونيت (نوع من الصلصال، نسبة إلى مدينة مونموريون الفرنسية)
Morpholine,	مورفولين
Nadic anhydride,	أنهيدريد ناديك
p-Nadimidochlorobenzene,	p-ناديميديو كلورو بنزين
1-Naphthaldehyde,	1-نفتالدهيد
2,6-Naphthalenedicarboxylic acid,	حمض 2،6-نفتالين ثنائي كربوكسيليك
1,5-Naphthalenediol,	1،5-نفتالين ديول
Naphthalocyanine,	نفتالوسيانين
2-Naphthoic acid,	حمض 2-نفتاويك
1,2-Naphthoquinone-2-diazo-5-sulfonyl chloride,	كلوريد 1،2-نفتوكوينون-2-ديازيدو-5-سلفونيل
2- $\alpha$ -Naphthyl-5-(4-vinylphenyl)-1,3,4-oxadiazole,	2- $\alpha$ -نفتيل-5-(4-فينيل فينيل)-1،3،4-أوكساديازول
Neopentylidiamine,	نيوبنتيل ثنائي أمين
3-Nitroaniline,	3-نترو أنيلين
Nitrogen dioxide,	ثنائي أكسيد الآزوت
3-Nitromesidine,	3-نترو ميزيدين
4-(4-Nitrophenyl-diazenyl) phenyl-1,3-diamine,	4-(4-نترو فينيل-ديازنيل) فينيل-1،3-ثنائي أمين
N-(4-Nitrophenyl)-1-prolinol,	N-(4-نترو فينيل)-1-برولينول
Octadecylacrylate,	أكريلات أوكتاديسيل
1,1,2,2,9,9,10,10-Octafluoro[2.2]paracyclophane,	1،1،2،2،9،9،10،10-ثمانية فلورو [2.2]بارا سيكلوفان
Octafluoro[2.2]paracyclophane,	ثمانية فلورو [2.2]بارا سيكلوفان
2,2,3,3,4,4,5,5-Octafluoropropyl methacrylate,	2،2،3،3،4،4،5،5-ثمانية فلورو بروبيل ميثاكريلات
1,3,4-Oxadiazole,	1،3،4-أوكساديازول
Oxalic acid,	حمض الأوكساليك
Oxaloyl chloride,	كلوريد الأوكسالويل
4-Oxoheptanedioic acid,	حمض 4-أوكسو هيبتان ثنائي أويك

4,4'-Oxybis-(benzenesulfonylhydrazide),	4،4'-أوكسي بيس-(بنزين سلفونيل هيدرازيد)
Oxy-bis(N-(4-phenylene)-trimellitic imide),	أوكسي -بيس (N-(4-فينيلين)-ثلاثي ميليتيك إيميد)
3,4'-Oxydianiline,	4،3'-أوكسي ثنائي أنيلين
4,4'-Oxydianiline,	4،4'-أوكسي ثنائي أنيلين
2,2'-(Oxydi-4,1-phenylene)bis[5-(4-fluorophenyl)-1,3,4-oxadiazole],	2،2'-(أوكسي ثنائي -1-4-فينيلين) بيس [5-(4-فلوروفينيل)-1،3،4-أوكساديازول]
3,3',4,4'-Oxydiphthalic anhydride,	أنهيدريد 3،3'،4،4'-أوكسي ثنائي فتاليك
N-Oxypyridine-2-thione,	N-أوكسي بيريدين -2-ثيون
Ozone,	أوزون
Palladium acetate,	أستات البالاديوم
Palladium(II)-hexafluoroacetylacetonate,	بالاديوم (II)-سداسي فلورو أستيل أستونات
Papain,	بابين
Pentachlorobenzonitrile,	خماسي كلوروبنزونتريل
Pentaerythryl-tetrakis[3-(3,5-di-tert-butyl-4-hydroxyphenyl)propionate],	بنتا إريثريتول تترakis [3-(3،5-ثنائي-ترت-بوتيل -4-هيدروكسي فينيل) بروبيونات]
Pentafluorobenzonitrile,	خماسي فلوروبنزونتريل
Pentafluorophenyl sulfone,	خماسي فلوروفينيل سلفون
Perchloric acid,	حمض البركلوريك -حمض فوق الكلور
Perfluoroalkyl vinyl ether copolymer resin,	راتنج بوليمير مشترك إيثر برفلورو ألكيل فينيل
Perfluorooctyl methacrylate,	برفلوروأوكثيل ميثاكريلات
Perlenetetracarboxylic-bis-benzimidazole,	بيريلين رباعي كربوكسيليك-بيس-بنزإيميدازول
Perylene,	بريلين
Phenol,	فينول
Phenolphthalein,	فينول فتالين
Phenolsulfonic acid,	حمض فينول السلفونيك
p-Phenoxybenzenesulfonyl chloride,	كلوريد p-فينوكسي بنزين السلفونيل
4-Phenoxybenzophenone,	4-فينوكسي بنزو فينون
p-Phenoxybenzoyl chloride,	كلوريد p-فينوكسي بنزويل
Phenoxyethylacrylate,	فينوكسي إيثيل أكريلات
4-(4-Phenoxyphenoxy)benzophenone,	4-(4-فينوكسي فينوكسي) بنزو فينون

p-Phenoxyphenoxybenzoyl chloride,	كلوريد p-فينوكسي فينوكسي بنزويل
N-[4-(3-Phenoxy)-4'-phenylethynylbenzophenone]4'-phenylethynylphthalimide,	N-[4-(3-فينوكسي)-4'-فينيل إيثينيل بنزو فينون ] 4'-فينيل إيثينيل فتاليميد
N,N'-[2,2-(4-Phenoxyphenyl)hexafluoroisopropylidene]bis-(4-phenylethynyl phthalimide),	N,N'-[2,2-(4-فينوكسي فينيل) سداسي فلورو إيزو بروبيلايدين ] بيس-(4-فينيلين إيثينيل فتاليميد )
4-Phenoxyphenyl sulfone,	4-فينوكسي فينيل سلفون
4-Phenoxy-2,3,5,6-tetrafluorobenzonitrile,	4-فينوكسي -2,3,5,6-رباعي فلوروبنزونتريل
Phenyl benzoate,	بنزوات الفينيل
1-Phenyldecane,	1-فينيل ديكان
N-Phenyl-4,5-dichlorophthalimide,	N-فينيل -4,5-ثنائي كلوروفتال إيميد
3,3'-(m-Phenylenebis(oxy))dianiline,	3,3'-(m-فينيلين بيس (أو كسي)) ثنائي الأنيلين
N,N'-(1,3-Phenylene)bis(4-phenylethynylphthalimide),	N,N'-(1,3-فينيلين) بيس (4-فينيلين إيثينيل فتاليميد )
N,N'-(1,4-Phenylene)bis(4-phenylethynylphthalimide),	N,N'-(1,4-فينيلين) بيس (4-فينيلين إيثينيل فتاليميد )
1,3-Phenylenediamine,	1,3-فينيلين ثنائي الأمين
1,4-Phenylenediamine,	1,4-فينيلين ثنائي الأمين
m-Phenylenediamine,	m-فينيلين ثنائي الأمين
p-Phenylenediamine,	p-فينيلين ثنائي الأمين
4,4'-(p-Phenylenedi-1,2-ethenediyl)-diphenol,	4,4'-(p-فينيلين -ثنائي -2,1-إيثين دي إيل)-ثنائي فينول
4,4'-(m-Phenylenedioxy)-bis-(benzenesulfonyl chloride),	4,4'-(m-فينيلين ثنائي أوكسي)-بيس (-بنزين سلفونيل كلوريد )
p-Phenylene oxadiazole,	p-فينيلين أوكساديازول
p-Phenylene-5,5'-tetrazole,	p-فينيلين -5,5'-تترازول
p-Phenylene vinylene,	p-فينيلين فينيلين
4-(Phenylethynyl)-1,2-benzenedicarboxylic acid anhydride,	أنهيدريد حمض 4-(فينيل إيثينيل)-1,2-بنزين ثنائي كربوكسيليك
4-(1-Phenylethynyl)1,8-naphthalic anhydride,	أنهيدريد 4-(1-فينيل إيثينيل)-8,1-نفتاليك
4-(Phenylethynyl)phenol,	4-(فينيل إيثينيل) فينول
Phenylhydroquinone,	فينيل هيدروكينون

N-Phenylmaleimide,	N-فينيل مالإيميد
3-Phenyl-7-methacryloyloxyethoxy-1-methyl-1H-pyrazolo[3,4-b]-quinoline,	3-فينيل -7-ميثاكريل أوكسي إثوكسي -1-ميثيل -HI-بيرازولو [b-4,3] كينولين
3-(5-Phenylpentyl)-4-methylbenzyl chloride,	3-(5-فينيل بنتيل)-4-ميثيل كلور البنزيل
p-Phenylphenol,	p-فينيل فينول أو بارا -فينيل فينول
2-Phenyl-5-4-[(4-vinylphenyl)methoxy]phenyl-1,3,4-oxadiazole,	2-فينيل -4-5-[(4-فينيل فينيل)-ميثوكسي] فينيل 1-3,4-أوكساديازول
Phosphomolybdic acid,	حمض الفوسفومولبيديك
Phosphorus pentoxide,	خماسي أوكسيد الفوسفور
o-Phthalic acid,	حمض أورثو فتاليك
Phthalic anhydride,	بلا ماء حمض الفتاليك - أنهيدريد فتاليك
Phthalocyanine,	فتالوسيانين
$\beta$ -Picoline,	$\beta$ -بيكولين
Poly(acenaphthylene),	پولي (أسنفتلين)
Poly(acetylene),	پولي (أستيلين)
Poly(acrylic acid),	پولي (حمض الأكريليك)
Poly(acrylonitrile),	پولي (أكريلونتريل)
Poly(amide),	پولي (أميد)
Poly(amide imide),	پولي (أميد إيميد)
Poly(5-amino-1-vinyltetrazole),	پولي (5-أمينو -1-فينيل تترازول)
Poly(amino-p-xylylene),	پولي (أمينو -p-كزيلين)
Poly(aniline),	پولي (أنيلين)
Poly(arylene ether nitrile),	پولي (أريلين إيثر نتريل)
Poly(arylene ether sulfide),	پولي (أريلين إيثر سلفيد)
Poly(arylene ether sulfone),	پولي (أريلين إيثر سلفون)
Poly(arylene sulfide),	پولي (سلفيد الأريلين)
Poly(arylene thioether ketone),	پولي (أريلين ثيو إيثر كيتون)
Poly(benzimidazole),	پوليبنزيميدازول
Polybenzimidazole,	پولي (بنزيميدازول)



Poly(3,3',4,4'-benzophenone tetracarboxylic dianhydride-3,5-diamino-1,2,4-triazole),	پولي (3,3',4,4'-بنزوفينون رباعي كربوكسيديك ثنائي أنهيدريد -3,5-ثنائي أمينو -4,2,1- تريازول )
Poly[3,6-bis-(3,7-dimethyloctyloxy)-9,9-spirobifluorenyl-2,7-vinylene],	پولي [3,6-بيس (3,7-ثنائي ميثيل أوكتيل أوكسي )-9,9-سبيروبيفلورينيل -2,7-فينيلين ]
Poly(bis-1,2,4-triazole),	پولي (بيس -4,2,1-تريازول )
Poly(1,4-butylene sebacate),	پولي (1,4-بوتيلين سيبكات )
Poly(butylene terephthalate),	پولي (تريفثالات البوتيلين )
Poly-γ-carbazolyethylglutamate,	پولي -γ-كاربازوليل إيثيل غلوتامات
Poly[2-(carbazol-9-yl)-5-(2-ethylhexyloxy)-1,4-phenylene vinylene],	پولي [2-(كاربازول -9-إيل )-5-(2-إيثيل هكسيل أوكسي )-1,4-فينيلين فينيلين ]*
Poly[2-(carbazol-9-yl)-1,4-phenylene vinylene],	پولي [2-(كاربازول -9-إيل )-1,4-فينيلين فينيلين ]
Poly(carbonate),	پولي (كربونات )
Poly(chloro-p-xylylene),	پولي (كلورو -p-كزيليلين )
Poly(cyclohexylenedimethanol terephthalate),	پولي (تريفثالات ثنائي ميثانول حلقي الهكسيلين )
Poly(dibromostyrene),	پولي (ثنائي برومو ستيرين )
Poly(dichloro-p-xylylene),	پولي (ثنائي كلورو -p-كزيليلين )
Poly(9,9-dihexylfluorene),	پولي (9,9-ثنائي هكسيل فلورين )
Poly(9,9'-dihexylfluorene-2,7-divinylene-m-phenylene vinylene-stat-p-phenylene vinylene),	پولي (9,9'-ثنائي هكسيل فلورين -2,7-ثنائي فينيلين -m-فينيلين فينيلين -p-stat -p-فينيلين فينيلين )
Poly(2,5-dimethoxy-1,4-phenylene vinylene),	پولي ( 2,5-ثنائي ميثوكسي -1,4-فينيلين فينيلين )
Poly(2-(N,N-dimethylamino) phenylene vinylene),	پولي (2-(N,N)-ثنائي ميثيل أمينو )فينيلين فينيلين )
Poly(2-dimethyloctylsilyl)-phenylene vinylene,	پولي (2-ثنائي ميثيل أوكتيل سيليل )-فينيلين فينيلين
Poly(9,9-dioctylfluorene),	پولي (9,9-ثنائي أوكتيل فلورين )
Poly(9,9-dioctylfluorene-co-fluorenone),	پولي (9,9-ثنائي أوكتيل فلورين -مشارك -فلورينون )
Poly(4,4'-diphenyl ether-1,3,4-oxadiazole),	پولي (4,4'-ثنائي فينيل إيثر -1,3,4-أوكساديازول )
Poly(2,6-diphenyl-1,4-phenylene oxide),	پولي ( 2,6-ثنائي فينيل -1,4-أوكسيد الفينيلين )

Poly(2,6-diphenyl-1-4-phenylene oxide),	پولي ( 6،2-ثنائي فينيل -1-4-أوكسيد الفينيلين )
Poly(dithiathianthrene),	پولي(ثنائي ثيا ثيانثرين)
Poly(2-dodecyl-p-phenylene),	پولي (2-دوديسيل -بارا- فينيلين )
Poly(N-epoxypropyl)carbazole,	پولي ((N-إپوكسي بروبيل )كاربازول )
Poly(ether ether ketone),	پولي(إيثر إيثر كيتون)
Poly(ether imide),	پولي(إيثر إيמיד)
Poly(ether ketone),	پولي(إيثر كيتون)
Poly(ether nitrile),	پولي(إيثر نتريل)
Poly(ethersulfone),	پولي(إيثر سلفون)
Poly(ethylene-1,4-cyclohexanedimethylene arylate),	پولي(إيثيلين -1،4-حلقي هكسان ثنائي ميثيلين أريلات)
Poly(3,4-ethylenedioxythiophene),	پولي (4،3-إيثيلين ثنائي أوكسي ثيوفين )
Poly(ethylene glycol),	پولي(إيثيلين غليكول)
Poly(ethylene glycol diacrylate),	پولي(إيثيلين غليكول ثنائي أكريلات)
Poly(ethylene naphthalate),	پولي(نفتالات الإيثيلين)
Poly(ethylene oxide),	پولي(أوكسيد الإيثيلين)
Poly(ethylene terephthalate),	پولي(تريفتالات الإيثيلين)
Poly(N-ethyl-3-vinylcarbazole),	پولي (N-إيثيل -3-فينيل كاربازول )
Poly(furfuryl alcohol),	پولي(كحول فورفوريل)
Poly(1-hexyl-3,4-dimethyl-3,5-pyrrolylene),	پولي ( 1-هكسيل -4،3-ثنائي ميثيل -3،5-بيروليلين )
Poly(3-hexylthiophene),	پولي( 3-هكسيل ثيوفين)
Poly(imide),	پولي إيמיד
Poly(2-methoxy-5-(3',7'-dimethyloctyloxy)-1,4-phenylene vinylene),	پولي (2-ميثوكسي -5-(3،7'-ثنائي ميثيل أوكثيل أوكسي )-4،1-فينيلين فينيلين )
Poly(2-methoxy-5-(2'-ethylhexyloxy)-1,4-phenylene vinylene),	پولي (2-ميثوكسي -5-(2'-إيثيل هكسيل أوكسي )-4،1-فينيلين فينيلين )
Poly(methyl-bis-(3-methoxyphenyl)-(4-propylphenyl)amine)siloxane,	پولي (ميثيل -بيس -3-ميثوكسي فينيل )-(4-بروبيل فينيل ) أمين )سيلوكسان
Poly(methyl methacrylate),	پولي(ميثيل ميتاكريلات)
Poly(2-methyl-5-vinyl)tetrazole,	پولي (2-ميثيل -5-فينيل ) تترازول
Poly(1,5-naphthylene vinylene),	پولي (5،1-نفتالين فينيلين )

Poly(1,3,4-oxadiazole),	پولي (4،3،1-أوكساديازول)
Poly(1,3,4-oxadiazole-2,5-diyl-1,2-vinylene),	پولي (4،3،1-أوكساديازول -2،5-ثنائي ايل -1،2-فينيلين)
Poly(4,4'-oxydiphthalic anhydride-1,3-aminophenoxybenzene-8-azaadenine),	پولي (4،4'-أوكسي ثنائي فتاليك أنهيدريد -1،3-أمينو فينوڪسي بنزين -8-آز آدينين)
Poly(oxyethylene),	پولي (أوكسي إيثيلين)
Poly(oxymethylene),	پولي (أوكسي ميثيلين)
Poly(pentylene terephthalate),	پولي (تريفثالات البنثيلين)
Poly(phenazasiline),	پولي (فناز اسيلين)
Poly(2(3)-(4-phenylbutyl)-1,4-phenyleneethylene),	پولي (2(3)-(4-فينيل بوتيل -1،4-فينيلين إيثيلين)
Poly(p-phenylene),	پولي (بارا-فينيلين)
Poly[1,4-phenylene-1,2-di(4-benzyloxyphenyl)vinylene],	پولي [1،4-فينيلين -1،2-ثنائي (4-بنزيل أوكسي فينيل) فينيلين]
Poly(phenylene ether),	پولي (إيثر الفينيلين)
Poly(1,4-phenylene ether sulfone),	پولي (1،4-فينيلين إيثر سلفون)
Poly(p-phenylene ethylene),	پولي (p-فينيلين إيثيلين)
Poly(1,4-phenylene ethynylene),	پولي (1،4-فينيلين إيثينيلين)
Poly(p-phenylene ethynylene),	پولي (p-فينيلين إيثينيلين)
Poly(m-phenylene isophthalamide),	پولي (m-فينيلين إيزوفتال أميد)
Poly(p-phenylene methylene),	پولي (p-فينيلين ميثيلين)
Poly(1,4-phenylene-methylsulfonium-1,4-phenyleneamine)methylsulfonate,	پولي (1،4-فينيلين-ميثيل سلفونوم -1،4-فينيلين أمين)ميثيل سلفونات
Poly(p-phenylene-1,3,4-oxadiazole),	پولي (p-فينيلين -1،3،4-أوكساديازول)
Poly(phenylene oxide),	پولي (أوكسيد الفينيلين)
Poly(m-phenylene sulfide),	پولي (m-فينيلين سلفيد)
Poly(phenylene sulfide),	پولي (سلفيد الفينيلين)
Poly(1,4-phenylene sulfide-1,4-phenyleneamine),	پولي (1،4-فينيلين سلفيد -1،4-فينيلين أمين)
Poly(phenylene sulfide-phenyleneamine-phenyleneamine),	پولي (فينيلين سلفيد -فينيلين أمين -فينيلين أمين)
Poly(p-phenylene sulfoxide),	پولي (بارا -فينيلين سلفوكسيد)
Poly(p-phenylene terephthalamide),	پولي (p-فينيلين تريفتالاميد)
Poly(p-phenylene vinylene),	پولي (p-فينيلين فينيلين)

Poly(phosphoric acid),	پولي (حمض الفوسفور)
Poly(phthalamide),	پولي (فتال أميد)
Poly(propylene),	پولي (بروبلين)
Poly(1,3-propylene 2,6-naphthalate),	پولي (3،1-بروبيلين 6،2-نفتالات)
Poly(1,3-propylene terephthalate),	پولي (3،1-بروبيلين ترفتالات)
Poly(pyridopyrazine vinylene),	پولي (بيريدوپيرازين فينيلين)
Poly(p-pyridyl-vinylene),	پولي (p-بيريديل - فينيلين)
Poly(pyrrole),	پولي (بيروول)
Poly(styrene),	پولي (ستيرين)
Poly(tetrafluoroethylene),	پولي (رباعي فلوروايثيلين)
Poly(tetramethylene ether) glycol,	پولي (رباعي ميثيلين ايثر) غليكول
Poly(tetramethylene ether glycol terephthalate),	پولي (رباعي ميثيلين ايثر غليكول ترفتالات)
Poly(tetramethylene glycol),	پولي (رباعي ميثيلين غليكول)
Poly(p-thienyl vinylene),	پولي (بارا-ثينيل فينيلين)
Poly(1,2,4-triazole),	پولي (1،2،4-تريازول)
Poly(trimethylene terephthalate),	پولي (ترفتالات ثلاثي الميثيلين)
Poly(urethane),	پولي (يورثان)
Poly[1-(4-vinylbenzoyl)-5-amino-1,2,4-triazole],	پولي [1-(4-فينيل بنزويل)-5-امينو-1،2،4-تريازول]
Poly[3-(4-vinylbenzoyl)-5-amino-1,2,4-triazole],	پولي [3-(4-فينيل بنزويل)-5-امينو-1،2،4-تريازول]
Poly(vinyl butyral),	پولي (فينيل بوتيرال)
Poly(N-vinylcarbazole),	پولي (N-فينيل كاربازول)
Poly(vinyl chloride),	پولي (فينيل كلورايد)
Poly(vinylidene fluoride),	پولي (فلوريد الفينيليدين)
Poly(1-vinylnaphthalene),	پولي (1-فينيل نفتالين)
Poly(3-vinyl-1,2,5-oxadiazole),	پولي (3-فينيل -1،2،5-أوكساديازول)
Poly(vinyl phenanthrene),	پولي (فينيل فينانثرين)
Poly(vinylphenol),	پولي (فينيل فينول)
Poly(vinyl pyrene),	پولي (فينيل بيرين)
Poly(N-vinyl-2-pyrrolidone),	پولي (N-فينيل -2-بيروليدون)

Poly(1-vinyltetrazole),	پولي (1-فينيل تترازول)
Poly(5-vinyltetrazole),	پولي (5-فينيل تترازول)
Poly(3-vinyl-1,2,4-triazole),	پولي (3-فينيل -1،2،4-تريازول)
Poly(vinyltriazole),	پولي (فينيل تريازول)
Poly(p-xylene),	پولي (p-كزيلين)
Poly(p-xylylene),	پولي (p-كزيلين)
Potassium tert-butoxide,	بوتاسيوم بوتوكسيد ثالثي
Potassium fluoride,	فلور البوتاسيوم-فلوريد البوتاسيوم
Potassium hexatitanate,	سداسي تيتانات البوتاسيوم
Potassium iodide,	يود البوتاسيوم-يوريد البوتاسيوم
Potassium octatitanate,	ثمانتي تيتانات البوتاسيوم
Potassium phthalimide,	فتال إيميد البوتاسيوم
1,3-Propanediol,	1،3-بروبان ديول
Propylene glycol monobutyl ether,	إيثر غليكول البروبيلين أحادي البوتيل
Pyrazoloquinoline,	بيرازولوكينولين-بيرازوكينولين
4-(1-Pyrenyl)butyl vinyl ether,	4-(1-بيرينيل)بوتيل فينيل إيثر
Pyridine,	بيريدين
2-Pyridylamine,	2-بيريديل أمين
Pyromellitic acid,	حمض بيروميليتيك
Pyromellitic dianhydride,	ثنائي أنهيدريد بيروميليتيك
Quinacridone,	كيناكريدون
8-(Quinolinolate)-aluminum,	8-(كينولينولات)-الألمنيوم
p-Quinone,	بارا-كينون
Resorcinol,	ريزورسينول
Resorcinol diphosphate,	ثنائي فوسفات الريزورسينول
Rubrene,	الروبرين
3-(N-Salicyloyl)amino-1,2,4-triazole,	3-(N-ساليسيلويل) أمينو-1،2،4-تريازول
Sebacic acid,	حمض سيباسيك
Sebacyl chloride,	كلوريد سيباسيل
Silicone nitride,	نتريد السيليكون
Silicotungstic acid,	حمض السيليكوتنغستيك
Sodium acetate,	أساتات الصوديوم

Sodium antimonate,	أنْتيمونات الصوديوم
Sodium azide,	أزيد الصوديوم
Sodium benzoate,	بنزوات الصوديوم
Sodium bicarbonate,	بيكربونات الصوديوم
Sodium borohydride,	بوروهيدريد الصوديوم
Sodium chlorate,	كلورات الصوديوم
Sodium hydride,	هيدريد الصوديوم
Sodium hydrogen sulfide,	سلفيد هيدروجين صوديوم
Sodium oxalate,	أوكزالات الصوديوم
Sodium saccharinate,	ساكارينات الصوديوم
Sodium sulfide,	كبريتيد الصوديوم، سلفيد الصوديوم
Stearic acid,	حمض الستياريك
Stearyl alcohol,	كحول ستياريل
Styrene acrylonitrile copolymer,	بوليمير مشترك ستيرين أكريلونتريل
Styrene buadiene styrene block copolymer,	بوليمير مشترك كتلي التعاقب ستيرين بوتاديين ستيرين
Styrene/glycidyl methacrylate,	ستيرين غليسيديل ميتاكريلات
Suberic acid,	حمض السوبيريك- حمض أوكتان ثنائي أوك
Succinamic acid,	حمض السوكسيناميك
o-Sulfobenzoic acid,	حمض 0-سلفونزويك
Sulfonated poly(ether ether ketone),	پولي(إيثر إيثر كيتون) المسلفن
3,3'-Sulfonyl bis-(6-fluorobenzene sulfonic acid) disodium salt,	ملح 3,3'-سلفونيل بيس-(حمض 6-فلورو بنزين سلفونيك) ثنائي الصوديوم
3,3'-Sulfonyl bis-(6-hydroxybenzene sulfonic acid) disodium salt,	ملح 3,3'-سلفونيل بيس-(حمض 6-هيدروكسي بنزين سلفونيك) ثنائي الصوديوم
Sulfonyl chloride,	كلوريد السلفونيل
Sulfur tetrafluoride,	رباعي فلوريد الكبريت
Sulfur trioxide,	ثلاثي أوكسيد الكبريت
Sulfuryl chloride,	كلوريد السلفوريل
Tannic acid,	حمض التانينك
Terephthalaldehyde,	تريفثال ألدهيد
Terephthalic acid,	حمض تريفثاليك

Terephthaloyl bislaurocaprolactam,	إيزوفتالويل بيس لوروكابرو لاكتام
Terephthaloyl chloride,	كلوريد تريفتالويل
Tetrabenzyl perylene-3,4,9,10-tetracarboxylate,	رباعي بنزيل بيريلين -10,9,4,3- رباعي كربوكسيلات
Tetrabromocyclooctane,	برومو حلقي الأوكتان
Tetrabromovinylcyclohexene,	رباعي برومو فثينيل حلقي الهكسين
Tetrabutylammonium bromide,	بروميد رباعي بوتيل أمونيوم
Tetrabutylammonium perchlorate,	بركلورات رباعي بوتيل أمونيوم
Tetra-n-butylammonium tetrafluoroborate,	رباعي فلوروبورات رباعي-n-بوتيل أمونيوم
3,3',5,5'-Tetra-tert-butyl biphenol	3,3',5,5'-رباعي - ترت - بوتيل بيفينول
Tetrabutylphosphonium bromide,	بروميد رباعي بوتيل فوسفونيوم
Tetrabutyl titanate,	تيتانات رباعي البوتيل
1,1,2,2-Tetrachloroethane,	1,1,2,2-رباعي كلور الإيثان
Tetrachloroisophthalodinitrile,	رباعي كلورو إيزوفتالو ثنائي نتريل
Tetrachloromethane,	رباعي كلور الميثان
Tetrachlorophthalodinitrile,	رباعي كلوروفتالو ثنائي نتريل
Tetracyanoethylene,	رباعي سيانو الإيثيلين
Tetracyanoquinodimethane,	رباعي سيانو كينو ثنائي ميثان
Tetraethyl lead,	رباعي إيثيل الرصاص
Tetrafluoropropanol,	رباعي فلوروبروبانول
2,2,3,3-Tetrafluoropropyl methacrylate,	2,2,3,3-رباعي فلوروبروبييل ميثاكريلات
Tetrafluoro-p-xylene,	رباعي فلورو -p- كزيلين
$\alpha, \alpha, \alpha' \alpha'$ -Tetrafluoro-p-xylylene,	$\alpha, \alpha, \alpha' \alpha'$ -رباعي فلورو -p- كزيلين
Tetrahydrofuran,	رباعي هيدروفوران
Tetrahydrothiophene,	رباعي هيدروثيوفين
Tetramethylammonium hydroxide,	هيدروكسيد رباعي إيثيل أمونيوم
1,2,4,5-Tetramethylbenzene,	1,2,4,5-رباعي ميثيل بنزين
3,3',5,5'-Tetramethylbenzidine,	3,3',5,5'-رباعي ميثيل بنزيدين
3,3',5,5'-Tetramethyl-2,2-bis(4-(4-amino-phenoxy)phenyl)propane,	3,3',5,5'-رباعي ميثيل -2,2- بيس [4-(4-أمينو -فينوكسي) فينيل] بروبان
3,3',5,5'-Tetramethyl-bis[4-(4-aminophenoxy)phenyl]sulfone,	3,3',5,5'-رباعي ميثيل - بيس [4-(4-أمينو فينوكسي) فينيل] سلفون

Tetramethyldiphenyl quinone,	رباعي ميثيل ثنائي فينيل كينون
2,3,5,6-Tetramethyl-1,4-phenylenediamine,	2,3,5,6-رباعي ميثيل 4-فينيلين ثنائي أمين
Tetramethyl-p-phenylenediamine,	رباعي ميثيل p-فينيلين ثنائي أمين
2,2,6,6-Tetramethylpiperidine-N-oxyl,	2,2,6,6-رباعي ميثيل بيبيريدين-N-أوكسيل
2,4,5,7-Tetranitro-9-fluorenone,	2,4,5,7-رباعي نيترو-9-فلورينون
2,4,5,7-Tetranitroxanthone,	2,4,5,7-رباعي نيترو كسانثون
Tetraphenylbenzidine,	رباعي فينيل بنزيدين
5,6,11,12-Tetraphenyl naphthacene,	5,6,11,12-رباعي فينيل نفتاسين (الروبرين)
(4,4'-Tetrazolyl-4"-methyl)triphenylamine,	(4,4'-نترازوليل 4"-ميثيل) ثلاثي فينيل أمين
2,2-Thiodiethylenebis[3-(3,5-di-t-butyl-4-hydroxyphenyl)propionate],	2,2-ثيو ثنائي إيثيلين بيس [3-(3,5-ثنائي تيرت-بوتيل 4-هيدروكسي فينيل) بروبيونات ]
Thioglycol acid,	حمض الثيو غليكول
Thionyl chloride,	كلوريد الثيونيل
Titanium tetraisopropoxide,	رباعي إيزوبروبوكسيد التيتانيوم
m-Toluenediamine,	ميثا تولوين ثنائي أمين
Toluene diisocyanate	ثنائي إيزوسيانات التولوين
p-Toluenesulfonic acid,	حمض p-تولوين سلفونيك
o-Toluidine,	o-توليودين
Tolyltriazole,	توليول تريازول
2,4,6-Triamino-1,3,5-triazine,	2,4,6-ثلاثي أمينو 1,3,5-تريازين
1,2,4-Triazole,	1,2,4-تريازول
Tri-n-butyl phosphite,	ثلاثي n-بوتيل فوسفيت
1,2,4-Trichlorobenzene,	1,2,4-ثلاثي كلورو بنزين
1,3,5-Trichlorobenzene,	1,3,5-ثلاثي كلورو بنزين
2,3,6-Trichlorobenzonitrile,	2,3,6-ثلاثي كلورو بنزونتريل
3,5,6-Trichloro-4-chloroformyl phthalic acid,	حمض 3,5,6-ثلاثي كلورو 4-كلوروفورميل فتاليك
3,5,6-Trichloro-4-chloroformyl phthalic acid anhydride,	أنهيدريد حمض 3,5,6-ثلاثي كلورو 4-كلوروفورميل فتاليك
Trichloroethylene,	ثلاثي كلورو الإيثيلين
Tricresyl phosphate,	ثلاثي كريزيل الفوسفات
Triethanol amine,	ثلاثي إيثانول أمين



Triethylamine,	ثلاثي إيثيل أمين
Triethyl phosphate,	ثلاثي إيثيل الفوسفات
Trifluoroacetic anhydride,	بلا ماء ثلاثي فلورو حمض الخل - أنهيدريد ثلاثي فلورو أسيتيك
Trifluoromethanesulfonic acid,	حمض ثلاثي فلوروميثان سلفونيك
(4-(4'-Trifluoromethyl)phenoxyphenyl)hydroquinone,	(4-(4'-ثلاثي فلورو ميثيل)-فينوكسي فينيل)-هيدروكينون
4,4'-(Trifluoromethylphenylisopropylidene)diphenol,	4,4'-(ثلاثي فلورو ميثيل فينيل-إيزوبروبيليدين)ثنائي فينول
4,4'-(2,2,2-Trifluoro-1-pentafluorophenylethylidene)diphthalic dianhydride,	ثنائي أنهيدريد 4,4'-(2,2,2-ثلاثي فلورو 1-خماسي فلورو فينيل إيثيليدين) ثنائي فتاليك
3,4,5-Trifluorophenylsulfonyl benzene,	3,4,5-ثلاثي فلوروفينيل سلفونيل بنزين
Triiron dodecacarbonyl,	ثلاثي حديد اثناعشري الكاربونيل
Trimellitic acid,	حمض ثلاثي المليتيك
Trimellitic acid anhydride,	أنهيدريد حمض ثلاثي المليتيك
Trimethylamine,	ثلاثي ميثيل أمين
Trimethylchlorosilane,	ثلاثي ميثيل كلورو سيلان
2,2,4-Trimethylhexamethylenediamine,	2,2,4-ثلاثي ميثيل سداسي ميثيلين ثنائي الأمين
2,4,4-Trimethylhexamethylenediamine,	2,4,4-ثلاثي ميثيل سداسي ميثيلين ثنائي الأمين
2,4,6-Trimethyl-3-nitroaniline,	2,4,6-ثلاثي ميثيل 3-نترو أنيلين
2,3,6-Trimethylphenol,	2,3,6-ثلاثي ميثيل فينول
2,4,6-Trimethylphenol,	2,4,6-ثلاثي ميثيل فينول
2,4,6-Trimethyl-1,3-phenylenediamine,	2,4,6-ثلاثي ميثيل 1,3-فينيلين ثنائي أمين
Trimethyl phosphate,	فوسفات ثلاثي ميثيل
Trimethylsilyltributyltin,	ثلاثي ميثيل سيليل ثلاثي بوتيل قصدير
1,3,7-Trinitrodibenzothiophene-5,5-dioxide,	1,3,7-ثلاثي نيترو ثنائي بنزو ثيوفين 5,5-ثنائي الأوكسيد
(2,4,7-Trinitrofluorene-9-ylidene)-malononitrile,	(2,4,7-ثلاثي نيترو فلورين 9-يليدين)-مالونونتريل
2,4,7-Trinitro-9-fluorenone,	2,4,7-ثلاثي نيترو 9-فلورينون
2,4,8-Trinitrothioxanthone,	2,4,8-ثلاثي نيترو ثيوكسانثون
Triocetylamine,	ثلاثي أوكثيل أمين
Trioxane,	تريوكسان

Triphenylamine,	ثلاثي فينيل أمين
1,2,3-Triphenylbenzene,	1،2،3-ثلاثي فينيل بنزين
Triphenylmethane,	ثلاثي فينيل ميثان
Triphenylmethanol,	ثلاثي فينيل ميثانول
Triphenyl phosphate,	ثلاثي فينيل الفوسفات
Triphenylphosphine,	ثلاثي فينيل الفوسفين
Triphenylphosphine oxide,	أوكسيد ثلاثي فينيل الفوسفين
Triphenyl phosphite,	ثلاثي فينيل فوسفيت
Tris-(8-hydroxyquinoline)-aluminum,	تريس (8-هيدروكسي كينولين) - ألومنيوم
Tris(1-phenylisoquinoline) iridium,	تريس (1-فينيل إيزوكينولين) إيريديوم
Tris(3,4,5-trifluorophenyl)phosphine oxide,	أوكسيد تريس (3،4،5-ثلاثي فلورو فينيل) فوسفين
1,1,1-Tri-(p-tosyloxymethyl)-propane,	1،1،1-ثلاثي (p-توسيل أوكسي ميثيل) - بروبان
Truxene,	تركسين
Tungstophosphoric acid,	حمض التنغستو فوسفوريك
Vinylbenzoate,	بنزوات الفينيل
1-(4-Vinylbenzoyl)-5-amino-1,2,4-triazole,	1-(4-فينيل بنزويل) -5-أmino -4،2،1-تريازول
4-Vinylbiphenyl,	4-فينيل بيفينيل
N-Vinylcarbazole	N-فينيل كاربازول
N-Vinyl formamide,	N-فينيل فورم أميد
9-(2-Vinyloxyethyl)carbazole,	9-(2-فينيل أوكسي إيثيل) كاربازول
9-(4-Vinylphenyl)anthracene,	9-(4-فينيل فينيل) أنتراسين
N-Vinylphthalimide,	N-فينيل فتال إيميد
N-Vinyl-2-pyrrolidone	N-فينيل -2-بيروليدون
1-Vinyl-1,2,4-triazole	1-فينيل -4،2،1-تريازول
4-Vinyltriphenylamine,	4-فينيل ثلاثي فينيل أمين
Wollastonite,	وولاستونيت
p-Xylene,	بارا-كزيلين
2,6-Xylenol,	2،6-كزيلينول
p-Xylylene diacetate,	ثنائي خلات بارا-كزيلين p-كزيلين ثنائي الأستات
m-Xylylenediamine,	m-كزيلين ثنائي أمين

p-Xylylene dipropionate	p-كزيلين ثنائي البروبيونات
Zinc acetate,	أستات التوتياء- خلات التوتياء
Zinc chloride,	كلوريد التوتياء
Zinc oxide	أوكسيد التوتياء
Zinc phthalocyanine,	فتالوسيانين التوتياء
Zinc <i>p</i> -toluene sulfonate,	p-تولوين سلفونات التوتياء
Zirconia,	الزركونيا (أوكسيد الزركونيوم)

## ثبت المصطلحات : عربي-إنجليزي

Zwitterion	اثنائي الشاردة
Birefringence	اثنائي الكسر
Antibodies	أجسام مضادة
Polarized light microscopy	إجهار بالضوء المُستقطب
Dealkylation	إزالة الألكيل
Debutylation	إزالة البوتيل
Decarboxylation	إزالة الكربوكسيل
Dehydration	إزالة الماء
Dehalogenation	إزالة الهلجنة
Azeotrope	أزيوتروب
Asbestos	الأسبستوس (أميانت)
Extraction	استخلاص
Tensile Elongation break	استطالة الشد عند الانهيار
Tensile Elongation yield	استطالة الشد عند الخضوع
Acetylation	أستلة
Leaching	استنزاف
Fluidized beds	الأسرة المميعة
Flammability	الاشتعالية
Metathesis	اصطناع بالمناقلة
Synthesis	اصطناع- تحضير مركب

Chiral phases	أطوار كيرالية- أطوار لانطباقية
Pervaporation membranes	أغشية النفاذ البخاري
Membranes	أغشية فاصلة (انتقائية)
Exciplexes	إكسيبلكس: معقدات مثارة
Excitons	إكسيتونات (أزواج: إلكترونات-ثقوب شحنات)
Excimer	إكسيمير: جزيء مثار
Electron affinity	ألفة الإلكترونية
Water affinity	ألفة للماء
Alkynylation	ألكاينيلية
Electrophile	إلكتروفيل-محبّ للشحنات السالبة
Alkylation	ألكلة
Fibers	ألياف
Prepregs	ألياف مركبة سابقة التشريب
Mechanism	آلية
Hopping mechanism	آلية قفز (من آليات التوصيلية الكهربائية)
Aliphatic	أليفاتي
Alicyclic	أليفاتي حلقي
Adsorption	امتزاز - ادمصاص
Stoichiometric coefficients	أمثال تفاعلية أو ستوكيومترية
Optimization	أمثلة
Transamidation	أميدة تبادلية
Amination	أمينية
Enthalpy of crystallization	أنتالبية البلورة-المحتوى الحراري للبلورة
Diffusion	انتشار

Swelling	انتباج-تورّم
Solubility	انحلالية
Proteolytic enzymes	أنزيمات مفككة للبروتين
Photocuring	إنضاج بالضوء
Post curing	إنضاج لاحق
Adiabatic compression	انضغاط كظوم
Delamination	انفصال الصفائح
Photorefractivity	انكسارية ضوئية
Crown ethers	إيثرات تاجية
Isotactic	إيزوتاكتي
Isomer	إيزومير (متماكب)
Geometrical isomers	إيزوميرات هندسية
Transimidization	إيميدة تبادلية
Twin screw extruder	بائع ثنائي اللولب
Initiators anionic	بادئ أنيوني - مبادر أنيوني
Spraying	بخ
Substitutes	بدائل
Bushings	بطانات
Anhydride	بلا ماء
Homopolymerization	بلمرة متجانسة
Anionic polymerization	بلمرة أنيونية
Polycondensation	بلمرة بالتكاثف
Polycondensation	بلمرة بالتكاثف
Thermal polymerization	بلمرة حرارية
Photopolymerization	بلمرة ضوئية

Cationic polymerization	بلمرة كاتيونية
Bulk polymerization	بلمرة كتلية
Liquid crystals	بلورات سائلة
Crystallite	بُليرة
Photorefractive polymer	بوليمير ضوئي الانكسار
Hyperbranched polymer	بوليمير فائق التشعب
Statistical copolymer	بوليمير مشترك إحصائي
Thermosets	بوليميرات التصلد الحراري
Herbicide containing polymers	بوليميرات حاوية مبيدات عشبية
Living polymers	بوليميرات حيّة
Dendrimers	بوليميرات شجرية التشعب
Polyelectrolytes	بوليميرات كهربائية
Conjugated polymers	بوليميرات مترافقة
Heterocyclic polymers	بوليميرات متغايرة الحلقات
Copolymers	بوليميرات مشتركة
Random Copolymers	بوليميرات مشتركة عشوائية
Block Copolymers	بوليميرات مشتركة كتلية التعاقب
Alternating Copolymers	بوليميرات مشتركة متناوبة
Graft Copolymers	بوليميرات مشتركة مطعّمة
Photoluminescence	تألق ضوئي
Fluorescence	تألق فلوري
Phosphorescence	تألق فوسفوري
Electroluminescence	تألق كهربائي
Crystallization	تبلور
Drug release	تحرير الدواء

hydrolysis	تحلل بالماء - الحلمهة
Pyrolysis	تحلل حراري
Self-propagating thermolysis	تحلل حراري ذاتي الانتشار
Photolysis	تحلل ضوئي
Elemental analysis	تحليل عنصري
Etching	تخريش
Ion etching	تخريش أيوني (شاردي)
Thermal degradation	تدهور حراري
Amphoteric	متذبذب - متذبذب
Field effect transistors	ترانزستورات ذات مفعول حقلي
Terpolymers	تربوليميرات (بوليميرات مشتركة ثلاثية)
Sputtering	ترذيذ
Ultrafiltration	ترشيح فائق
Microfiltration	ترشيح مكروي
Shear thinning	ترقق بالقص
Vitrification	ترجج
Crosslinking	تشبيك تصالبي
Polydispersity	تشتتية بوليميرية
Impregnation	تشريب
Micromachining	تشغيل مكروي
Thermoforming	تشكيل حراري
Stress-cracking	تصدع بالإجهاد
Dialysis	تصفية غشائية (الديليزة)
Electrophotography	تصوير كهروفوتوغرافي (كزيروغرافيا)
Xerography	تصوير كهروفوتوغرافي (كزيروغرافيا)



Intercalation	تضمين
Fatigue	تعَب
Encapsulation	تغليّف
Redistribution reaction	تفاعل إعادة التوزيع
Cyclocoupling reaction.	تفاعل قرْن حلقات
Photochemical reactions	تفاعلات كيميائية ضوئية
Ageing	تقادم - تعتيق
Oxidative coupling	تقارن مؤكسد
Doctor blade techniques	تقانات مبضع الجراح
Exfoliation	تقشّر
Nucleotide mimetics	تقليد النيوكليوتيدات
surface-mount technology	تقنيّة التجميع السطحي
Solution casting technique	تقنيّة صب المحلول
Sintering	تليبيد
Electroplating	تلبيس أو طلاء كهربائي
Telomer	تلومير
photochromism	تلون ضوئي
Electrochromism	تلون كهربائي
Cohesion	تماسك
Isomerization	تماكب
Conformation	تماكب دوراني - امتثال
Reverse osmosis	تناضح عكسي
Nucleation	تنوية
Electrophoresis	التهجير الكهربائي
Kinks	التواءات

Compatibility	توافق
Biocompatibility	توافقية حيوية
Chemical vapor deposition	توضّع الأبخرة كيميائياً
Electrophoretic deposition	توضيع بالتهجير الكهربائي
Electrodeposition	توضيع كهربائي
Functionalization	توظيف: زرع زمر وظيفية
Photocurrent	تيار ضوئي
Staple fiber	ثيلة (ليف غير مستمر)
Femtosecond pulses	نبضات فمتوثانية ( $10^{-15}$ ثانية)
Thermotropic	ثرموتروبي
Triplet	ثلاثية
Trimers	ثلاثيميرات (تريميرات)
Rigid	جاسئ
Radical cation	جذر كاتيوني
ppm	جزء من المليون
Particle	جسيم
Microparticles	جسيمات مكروية
Nanoparticles	جسيمات نانوية
Gelation	جَلَّتة
Soxhlet apparatus	جهاز سوكسليت (للاستخلاص)
Matrix	حاضنة
Microcapsule	حافظات مكروية
Ground state	حالة قاعدية- حالة أساسية
Excited state	حالة مثارة
Chromophore	حامل لوني- كروموفور

Detection limit	حد الكشف
Optical data storage	حفظ المعطيات ضوئياً
Macrocycles	حلقات ضخمة
Messenger RNA	حمض نووي ريبي مرسل
Heteropolyacids	حموض متعددة مغايرة
Nucleic acids	حموض نووية
Space charge	حيز مشحون
Surfactant	خافض توتر سطحي
Anti-fouling properties	خواص مضادة لنمو المتعضيات
Degree of polymerization	درجة البلمرة
Heat deflection temperature	درجة حرارة الانحراف الحراري
Sticking temperature	درجة حرارة التدبق
Heat distortion temperature	درجة حرارة التشوه الحراري
Orientation temperature	درجة حرارة التوجيه
Stents	دعامات (شبكات أنبوبية)
Oxygen index	دليل الأوكسجين
Waveguide	دليل الموجة
Dimerization	ديمرة
Oxidative dimerization	ديمرة مؤكسدة
Dimer	ديمير (ثنائيميرات)
Light-emitting diodes	ديودات مُصدرة للضوء
Dioxins	ديوكسينات (مركبات سامة)
Resins	راتنجات
Thermosetting resins	راتنجات التصلّد الحراري
Racemic	راسيمي

Tetramer	رباعيميرات (تتراميرات)
ligand	ربيطة
Retro-reflective	رجعي الانعكاس
Foams	رغويات
Anchor groups	زمر إرساء
Photochromic groups	زمر متلونة ضوئياً
Pendant group	زمرة متدلّية
Chromatic aberration	زيغ لوني
Brightness	سطوع
Side Chain	سلسلة جانبية
Backbone	سلسلة رئيسية
Main chain	سلسلة رئيسية
Dry process	سيرورة جافة
Wet process	سيرورة مبلّلة
Silylation	سيللة
Syndiotactic	سينديوتاكتي
LCD projectors	شاشات البلورات السائلة
Networks	شبكات
Interpenetrating networks	شبكات متداخلة
Diffraction grating	شبكة انعراج
Brass	النشبه
Preform	شكل أولي
Dopants	شوائب
Solvent casting	صب المذيب
Spin casting	صبّ دوامي

Casting	صب، سكب
Notched Izod Impact	صدم آيزود المثلوم
Scavenger	صيّاد
Formulations	صياغات
Adduct	ضمّامة
Actinic light	ضوء مناسب
Screen printing	طباعة بالمنخل
Photolithography	طباعة ضوئية- ليتوغرافيا ضوئية
Flexographic printing	طباعة فلكسوغرافية
Ink-jet printing	طباعة نفث الحبر
Reflective layers	طبقات عاكسة
Anticorrosion layers	طبقات مقاومة للتآكل
Powder coatings	طلاءات مسحوقية
Electroless plating	طلاي (تلبيس) لأكهربائي
Dip-coating	طلاي بالتغطيس
Spin-coating	طلاي دوامي
Meso phase	طور وسطي (ميزو)
Chain transfer agent	عامل انتقال السلسلة
Chelating agent	عامل تعقيد
Compatiblizing agent	عامل توافق
Dissipation factor	عامل ضياع
Charge transporting agent	عامل ناقل للشحنة
Percolation threshold	عتبة التخلخل
Aggregates	عناقيد
Blocking agents	عوامل احتجاز

Mold release agents	عوامل تحرير القالب
Capping agents	عوامل تغطية
Blowing agents	عوامل نفخ
Quenched sample	عينة مسقية
Defects	عيوب
Spinning	غزل
Electrospinning	غزل الكهربائي
Fullerenes	فلرينات
Medium carbon steel	فولاذ كربوني وسطي
Miscibility	قابلية المزج
Deep drawability	قابلية سحب عميق
Chain scission	قصّ السلسلة
Core-shell	قلب-قالب
Switches	قواطع
Dielectric strength	قوة العزل الكهربائي
Stretch blow molding	قولبة النفخ بالمط
Injection molding	قولبة بالحقن
Blow molding	قولبة بالنفخ
Thermoplastic molding	قولبة ملدنة حرارياً
Cyclic voltametry	قياس الفولطائية الحلقية (في الكيمياء)
Differential scanning calorimetry	قياس كمية الحرارة بالمسح التفاضلي
Thermogravimetry	قياس وزني حراري
Hydrophobe	كاره الماء
Carbonylation	كربنة
Size exclusion chromatography	كروماتوغرافيا استبعاد المقاس

Inverse gas chromatography	كروماتوغرافيا الغازية العكسية
Moiety	كِسْرَة جمعها كُسَارَة وكِسْر
Quantum efficiency	كفاءة كمومية
Turn-on voltage	كمون إشعال
Redox potential	كمون الأكسدة والإرجاع
Open-circuit voltage	كمون الدارة المفتوحة
Biased voltage	كمون منحاز
Ferroelectricity	كهرحديدية
Electronegativity	كهرسلبية
Electret	كهرطيس
Electrolyte	كهرليت
Electroplexes	كهرمعقد
Electromer	كهرمير
Anisotrope	لا متناح
Optical nonlinearity	لاخطية ضوئية- لاخطية بصرية
Amorphous	لامتبلر
Welding	لحام
Reflow soldering	لحام بالانحسار
Inherent viscosity	لزوجة أصيلة -لزوجة متأصلة
Intrinsic viscosity	لزوجة جوهريية
Adhesives	لواصق
Printed circuit boards	لوحات الدارات المطبوعة
Lyotropy	ليوتروبية
Ductility	ليوننة
Fibril	لُبيف

Intermolecular	ما بين جزيئي
Prepolymer	ما قبل البوليمر
Aqua regia	ماء ملكي
Supercritical fluid	مائع فوق الحرج
Solute	مادة حلولة
Precursor	مادة سابقة أو طليعية
Analyte	مادة محللة
Adsorbent	مادة ممتزة
Hole-transporting material	مادة ناقلة للثقوب
Donor-acceptor	مانح-متقبل
Gaskets	مانعات تسرب
Photoinitiation	مبادرة بالضوء
Spacers	مباعدات-فواصل
Flame retardants	مبطئات اللهب
Luminophores	متألقات
Toughness	متانة
Multifunctional	متعدد الوظائف
Reagent	متفاعل، كاشف
Acceptor	متقبل
Spherulites	متكوّرات
Isotrope	متماثل الجهات- متناح
Number average molecular weight	متوسط عددي للوزن الجزيئي
Oxidative stabilizers	مثبتات تجاه الأكسدة
Corrosion inhibitors	مثبطات التآكل
Thrombin inhibitors	مثبطات ثرومبين (مضادات تخثر الدم)



Methylation	مُثَبِّلة
Sensors	مُحَسَّات
Impedimetric sensors	محسات لقياس الممانعة
Sensitizers	مُحَسَّات
Catalysts	محفزات
Phase transfer catalysts	محفزات انتقال الطور
Stock solution	محلول أم
Sol	محلول معلق
Brine	محلول ملحي
Sol-gel	محلول-هلام
Autoclave	مِحْم
Extent of a reaction	مدى تقدّم تفاعل
Protic solvent	مذيب بروتوني
Aprotic solvent	مذيب لا بروتوني
Anti-glare mirrors	مرايا مضادة للإبهار
Quantum yield	مردود كمومي
Blends	مزائج
Melt blending	مزج بالصهر
Implantates	مزروعات في النسيج الحية (الزرعات)
Lubricants	مزلاقات
Decolorants	مزيلات الألوان
Interdigitated electrodes	مسار متداخلة
Electron-withdrawing substituents	مستبدلات ساحبة للإلكترونات
Bulky substituents	مستبدلات ضخمة أو جسيمة
Emulsifier	مستحلب

Host-Guest	مستضيف-ضيف
Working electrode	مسرى العمل
Anode	مصعد
Antioxidants	مضادات أكسدة
Elastomers	مطاطيات
Quencher	مُطفئ
X-ray photoelectron spectroscopy	مطيافية الأشعة السينية الفوتوإلكترونية
Capacitance transient spectroscopy	مطيافية السعة الانتقالية
Admittance spectroscopy	مطيافية القبولية
Impedance spectroscopy	مطيافية الممانعة
Electron spin resonance spectroscopy	مطيافية طنين السبين الإلكتروني
Alkali metals	معادن قلوية
Alkaline earth metals	معادن قلوية ترابية
Sulfurization	معالجة بالكبريت
Processing	تشغيل-معالجة
Coefficient	معامل
Shear modulus	معامل إجهاد القص
Friction coefficient	معامل الاحتكاك
Flexural modulus	معامل الانحناء
Wear coefficient	معامل الاهتراء
Tensile modulus	مُعامل الشد
Modulus of elasticity	معامل المرونة
Impact modifiers	معدّلات الصدم
Rheology modifiers	معدّلات ريولوجية
Oxidation promoters	معزّرات الأكسدة

Flow promoters	معزّزات التدفق
Charge transfer complex	معقد انتقال الشحنة
Slurry	معلّق طيني القوام
Spinneret	مغزّال
Synergistic effect	مفعول تآزري
Tortuosity effect	مفعول تعرّجي
Mesomeric effect	مفعول ميزوميري - مفعول طنيني
Flexural Strength	مقاومة الانحناء
Flexural yield strength	مقاومة الانحناء عند الخضوع
Compressive yield strength	مقاومة الانضغاط عند الخضوع
Peel strength	مقاومة التقشير
Creep resistance	مقاومة الزحف (التشوّه تحت الإجهاد)
Tensile strength break	مقاومة الشد عند الانهيار
Impact resistance	مقاومة الصدم
Shear strength	مقاومة القص
Cis-trans	مقرون - مفروق
Pyrotechnic composition	مكوّنات نارية
Plasticizers	ملدّنات
Chain extenders	ممدّدات السلسلة
Reactive diluents	ممدّدات فعّالة
Cathode	مهبط
Polyelectrochromic materials	مواد ذات تلوّن كهربائي متعدّد
Fillers	مواد مالئة
Nanocomposites	مواد مركبة نانوية
Hybrid materials	مواد هجينة

Compatibilizers	موافقات
Parameters	موسطات
Photoconductivity	موصلية ضوئية
Photo acid generators	مولدات حموض ضوئياً
Macromonomer	مونومير ضخم
Comonomer	مونومير مشارك
Telechelic monomers	مونوميرات تَلْكِيلِيَّة
Hydrophile	مِيَال للماء
Resolution	مَيَّر
Enamels	ميناء (مادة متزججة)
Byproduct	ناتج ثانوي
Nitration	نترتة
Tautomerism	نزوح
Aspect ratio	نسبة بُعدية
Contrast ratio	نسبة تباين
Array	نسق
Conduction band	نطاق الموصلية
Valence band	نطاق تكافؤ
Band gap	نطاق محظور (فجوة طاقية)
Permeability	نفاذية
Softening point	نقطة تليّن
Smart windows	نوافذ ذكية
Specie	نوع
Nucleophile	نيوكليوفيل-مِيَال للشحنات الموجبة
Carbon black	هباب الفحم

Particulate	هباب- جسيمات معلقة
Electrophilic attack	هجوم إلكتروفيلي
Hydrogenation	هذرجة
Brittle	هش- قصف
Embrittlement	هشاشة
Gel	هلام
Silica gel	هلام سيليكيا
Aerogels	هلاميات هوائية
Holograms	الهولوجرامات
Hydrogels	هيدروجل- هلام مائي
Singlet	واحدية
Mesogenic units	وحدات ميزوجينية
Homojunction	وصلات متلّية
Heterojunction	وصلة متباينة

## ثبت المصطلحات : إنجليزي-عربي

Acceptor	مُنْقَبِل
Acetylation	أَسْتَلَة
Actinic light	ضوء مناسب
Adduct	ضُمَامَة
Adhesives	لواصق
Adiabatic compression	انضغاط كظوم
Admittance spectroscopy	مطيافية القبولية
Adsorbent	مادة ممتزّة
Adsorption	امتزاز - ادمصاص
Aerogels	هلاميات هوائية
Ageing	تقادم - تعتيق
Aggregates	عناقيد
Alicyclic	أليفاتي حلقي
Aliphatic	أليفاتي
Alkali metals	معادن قلوية
Alkaline earth metals	معادن قلوية ترابية
Alkylation	ألكلة
Alkynylation	ألكاينيلية
Alternating Copolymers	بوليميرات مشتركة متناوبة
Amination	أمنيّة
Amorphous	لامتبلّر

Amphoteric	تذبذبِيّ - متذبذب
Analyte	مادة محللة
Anchor groups	زمر إرساء
Anhydride	بلا ماء
Anionic polymerization	بلمرة أنيونية
Anisotrope	لا متناح
Anode	مصعد
Antibodies	أجسام مضادة
Anticorrosion layers	طبقات مقاومة للتآكل
Anti-fouling properties	خواص مضادة لنمو المتعضيات
Anti-glare mirrors	مرايا مضادة للإبهار
Antioxidants	مضادات أكسدة
Aprotic solvent	مذيب لا بروتوني
Aqua regia	ماء ملكي
Array	نسق
Asbestos	الأسبستوس (أميانت)
Aspect ratio	نسبة بُعدية
Autoclave	محم
Azeotrope	أزيوتروب
Backbone	سلسلة رئيسية
Band gap	نطاق محظور (فجوة طاقة)
Biased voltage	كمون منحاز
Biocompatibility	توافقية حيوية
Birefringence	اثتاني الكسر
Blends	مزائج
Block Copolymers	بوليميرات مشتركة كتلية التعاقب

Blocking agents	عوامل احتجاز
Blow molding	قولبة بالنفخ
Blowing agents	عوامل نفخ
Brass	النشبة
Brightness	سطوع
Brine	محلول ملحي
Brittle	هش - قصف
Bulk polymerization	بلمرة كتلية
Bulky substituents	مستبدلات ضخمة أو جسيمة
Bushings	بطانات
Byproduct	ناتج ثانوي
Capacitance transient spectroscopy	مطيافية السعة الانتقالية
Capping agents	عوامل تغطية
Carbon black	هباب الفحم
Carbonylation	كربنة
Casting	صب، سكب
Catalysts	محفزات
Cathode	مهبط
Cationic polymerization	بلمرة كاتيونية
Chain extenders	ممددات السلسلة
Chain scission	قص السلسلة
Chain transfer agent	عامل انتقال السلسلة
Charge transfer complex	معقد انتقال الشحنة
Charge transporting agent	عامل ناقل للشحنة
Chelating agent	عامل تعقيد



Chemical vapor deposition	توضّع الأبخرة كيميائياً
Chiral phases	أطوار كيرالية- أطوار لانطباقية
Chromatic aberration	زيغ لوني
Chromophore	حامل لوني- كروموفور
Cis-trans	مقرون-مفروق
Coefficient	معامل
Cohesion	تماسك
Comonomer	مونومير مشارك
Compatibility	توافق
Compatibilizers	موافقات
Compatibilizing agent	عامل توافق
Compressive yield strength	مقاومة الانضغاط عند الخضوع
Conduction band	نطاق التوصيلية
Conformation	تماكب دوراني- امتثال
Conjugated polymers	بوليميرات مترافقة
Contrast ratio	نسبة تباين
Copolymers	بوليميرات مشتركة
Core-shell	قلب-قالب
Corrosion inhibitors	مثبطات التآكل
Creep resistance	مقاومة الزحف (التشوه تحت الإجهاد)
Crosslinking	تشبيك تصالبي
Crown ethers	إيثرات تاجية
Crystallite	بُليرة
Crystallization	تبلور
Cyclic voltametry	قياس الفولطانية الحلقية (في الكهركيمياء)
Cyclocoupling reaction.	تفاعل قرّن حلقات

Dealkylation	إزالة الألكيل
Debutylation	إزالة البوتيل
Decarboxylation	إزالة الكربوكسيل
Decolorants	مزيلات الألوان
Deep drawability	قابلية سحب عميق
Defects	عيوب
Degree of polymerization	درجة البلمرة
Dehalogenation	إزالة الهلجنة
Dehydration	إزالة الماء
Delamination	انفصال الصفائح
Dendrimers	بوليميرات شجرية التشعب
Detection limit	حد الكشف
Dialysis	تصفية غشائية (الديليزة)
Dielectric strength	قوة العزل الكهربائي
Differential scanning calorimetry	قياس كمية الحرارة بالمشح التفاضلي
Diffraction grating	شبكة انعراج
Diffusion	انتشار
Dimer	ديمر (ثنائيميرات)
Dimerization	ديمرة
Dioxins	ديوكسينات (مركبات سامة)
Dip-coating	طلاي بالتغطيس
Dissipation factor	عامل ضياع
Doctor blade techniques	تقانات مبضع الجراح
Donor-acceptor	مانح-مقبّل
Dopants	شوائب

Drug release	تحرير الدواء
Dry process	سيرورة جافة
Ductility	ليونة
Elastomers	مطاطيات
Electret	كهرطيس
Electrochromism	تلون كهربائي
Electrodeposition	توضيع كهربائي
Electroless plating	طلاي (تلبيس) لأكهربائي
Electroluminescence	تألق كهربائي
Electrolyte	كهرليت
Electromer	كهرمير
Electron affinity	ألفة إلكترونية
Electron spin resonance spectroscopy	مطيافية طنين السبين الإلكتروني
Electronegativity	كهرسلبية
Electron-withdrawing substituents	مستبدلات ساحبة للإلكترونات
Electrophile	إلكتروفيل-محب للشحنات السالبة
Electrophilic attack	هجوم إلكتروفيلي
Electrophoresis	التهجير الكهربائي
Electrophoretic deposition	توضيع بالتهجير الكهربائي
Electrophotography	تصوير كهرفوتوغرافي (كزيروغرافيا)
Electroplating	تلبيس أو طلاء كهربائي
Electroplexes	كهرمعقد
Electrospinning	غزل الكهربائي
Elemental analysis	تحليل عنصري
Embrittlement	هشاشة

Emulsifier	مستحلب
Enamels	مينا (مادة متزججة)
Encapsulation	تغليف
Enthalpy of crystallization	أنتالبية البلورة-المحتوى الحراري للبلورة
Etching	تخريش
Excimer	إكسيمير: جزيء مثار
Exciplexes	إكسيبلكس: معقدات مثار
Excited state	حالة مثار
Excitons	إكسيتونات (أزواج: إلكترونات-ثقوب شحنات)
Exfoliation	تقشر
Extent of a reaction	مدى تقدّم تفاعل
Extraction	استخلاص
Fatigue	تعب
Femtosecond pulses	نبضات فمتوثانية ( $10^{-15}$ ثانية)
Ferroelectricity	كهرحديبية
Fibers	ألياف
Fibril	لُبيف
Field effect transistors	ترانزستورات ذات مفعول حقلي
Fillers	مواد مالئة
Flame retardants	مبطئات اللهب
Flammability	الاشتعالية
Flexographic printing	طباعة فلكسوغرافية
Flexural modulus	معامل الانحناء
Flexural Strength	مقاومة الانحناء

Flexural yield strength	مقاومة الانحناء عند الخضوع
Flow promoters	معزّرات التدفق
Fluidized beds	الأسيرة المميعة
Fluorescence	تألق فلوري
Foams	رغويات
Formulations	صياغات
Friction coefficient	معامل الاحتكاك
Fullerenes	فلرينات
Functionalization	توظيف: زرع زمر وظيفية
Gaskets	مانعات تسرب
Gel	هلام
Gelation	جَلْتنة
Geometrical isomers	إيزوميرات الهندسية
Graft Copolymers	بوليميرات مشتركة مطعمة
Ground state	حالة قاعدية- حالة أساسية
Heat deflection temperature	درجة حرارة الانحراف الحراري
Heat distortion temperature	درجة حرارة التشوه الحراري
Herbicide containing polymers	بوليميرات حاوية مبيدات عشبية
Heterocyclic polymers	بوليميرات متغايرة الحلقات
Heterojunction	وصلة متباينة
Heteropolyacids	حموض متعددة مغايرة
Hole-transporting material	مادة ناقلة للثقوب
Holograms	هولوغرامات
Homojunction	وصلات مثلية
Homopolymerization	بلمرة متجانسة
Hopping mechanism	آلية قفز (من آليات الموصلية الكهربائية)

Host-Guest	مستضيف-ضيف
Hybrid materials	مواد هجينة
Hydrogels	هيدروجل - هلام مائي
Hydrogenation	هدرجة
hydrolysis	تحلل بالماء - الحلمهة
Hydrophile	ميأل للماء
Hydrophobe	كاره الماء
Hyperbranched polymer	بوليمير فائق التشعب
Impact modifiers	معدلات الصدم
Impact resistance	مقاومة الصدم
Impedance spectroscopy	مطيافية الممانعة
Impedimetric sensors	محسات لقياس الممانعة
Implantates	مزروعات في النسيج الحية (الزرعات)
Impregnation	تشريب
Inherent viscosity	لزوجة أصيلة - لزوجة متأصلة
Initiators anionic	بادئ أنيوني - مبادر أنيوني
Injection molding	قولبة بالحقن
Ink-jet printing	طباعة نفث الحبر
Intercalation	تضمين
Interdigitated electrodes	مسار متداخلة
Intermolecular	ما بين جزيئي
Interpenetrating networks	شبكات متداخلة
Intrinsic viscosity	لزوجة جوهرية
Inverse gas chromatography	كروماتوغرافيا الغازية العكسية
Ion etching	تخريش أيوني (شاردي)

Isomer	إيزومير (متماكب)
Isomerization	تماكب
Isotactic	إيزوتاكتي
Isotrope	متماثل الجهات - متناح
Kinks	التواءات
LCD projectors	شاشات البلورات السائلة
Leaching	استنزاف
ligand	ربيطة
Light-emitting diodes	ديودات مُصدرة للضوء
Liquid crystals	بلورات سائلة
Living polymers	بوليميرات حيّة
Lubricants	مزلاقات
Luminophores	متألّقات
Lyotropy	ليوتروبية
Macrocycles	حلقات ضخمة
Macromonomer	مونومير ضخم
Main chain	سلسلة رئيسية
Matrix	حاضنة
Mechanism	آلية
Medium carbon steel	فولاذ كربوني وسطي
Melt blending	مزج بالصهر
Membranes	أغشية فاصلة (انتقائية)
Meso phase	طور وسطي (ميزو)
Mesogenic units	وحدات ميزوجينية
Mesomeric effect	مفعول ميزوميري - مفعول طنيني
Messenger RNA	حمض نووي ريبوي مرسل

Metathesis	اصطناع بالمناقلة
Methylation	مُثَلِّة
Microcapsule	حافظات مكروية
Microfiltration	ترشيح مكروي
Micromachining	تشغيل مكروي
Microparticles	جسيمات مكروية
Miscibility	قابلية المزج
Modulus of elasticity	معامل المرونة
Moiety	كِسْرَة جمعها كُسَارَة وكِسْر
Mold release agents	عوامل تحرير القالب
Multifunctional	متعدد الوظائف
Nanocomposites	مواد مركبة نانوية
Nanoparticles	جسيمات نانوية
Networks	شبكات
Nitration	نترتة
Notched Izod Impact	صدم آيزود المثلوم
Nucleation	تنوية
Nucleic acids	حموض نووية
Nucleophile	نيوكليوفيل-مَيَال للشحنات الموجبة
Nucleotide mimetics	تقليد النيوكليوتيدات
Number average molecular weight	متوسط عددي للوزن الجزيئي
Open-circuit voltage	كمون الدارة المفتوحة
Optical data storage	حفظ المعطيات ضوئياً
Optical nonlinearity	لاخطية ضوئية- لاخطية بصرية
Optimization	أُمَّتَّة



Orientation temperature	درجة حرارة التوجيه
Oxidation promoters	معزّرات الأكسدة
Oxidative coupling	تقارن مؤكسد
Oxidative dimerization	ديمرية مؤكسدة
Oxidative stabilizers	مثبتات تجاه الأكسدة
Oxygen index	دليل الأوكسجين
Parameters	موسطات
Particle	جسيم
Particulate	هباب- جسيمات معلقة
Peel strength	مقاومة التقشير
Pendant group	زمرة متدلّية
Percolation threshold	عتبة التخلخل
Permeability	نفاذية
Pervaporation membranes	أغشية النفاذ البخاري
Phase transfer catalysts	محفزات انتقال الطور
Phosphorescence	تألق فوسفوري
Photo acid generators	مولّدات حموض ضوئياً
Photochemical reactions	تفاعلات كيميائية ضوئية
Photochromic groups	زمر متلونة ضوئياً
photochromism	تلون ضوئي
Photoconductivity	موصلية ضوئية
Photocuring	إنضاج بالضوء
Photocurrent	تيار ضوئي
Photoinitiation	مبادرة بالضوء
Photolithography	طباعة ضوئية- ليتوغرافيا ضوئية
Photoluminescence	تألق ضوئي

Photolysis	تحلل ضوئي
Photopolymerization	بلمرة ضوئية
Photorefractive polymer	بوليمير ضوئي الانكسار
Photorefractivity	انكسارية ضوئية
Plasticizers	ملدنات
Polarized light microscopy	إجهار بالضوء المُستقطب
Polycondensation	بلمرة بالتكاثف
Polycondensation	بلمرة بالتكاثف
Polydispersity	تشتتية بوليميرية
Polyelectrochromic materials	مواد ذات تلوّن كهربائي متعدد
Polyelectrolytes	بوليميرات كهربائية
Post curing	إنضاج لاحق
Powder coatings	طلاءات مسحوقية
ppm	جزء من المليون
Precursor	مادة سابقة أو طليعية
Preform	شكل أولي
Prepolymer	ما قبل البوليمر
Prepregs	ألياف مركبة سابقة التشريب
Printed circuit boards	لوحات الدارات المطبوعة
Processing	تشغيل -معالجة
Proteolytic enzymes	أنزيمات مفككة للبروتين
Protic solvent	مذيب بروتوني
Pyrolysis	تحلل حراري
Pyrotechnic composition	مكوّنات نارية
Quantum efficiency	كفاءة كمومية

Quantum yield	مردود كمومي
Quenched sample	عينة مسقية
Quencher	مطفئ
Racemic	راسيمي
Radical cation	جذر كاتيوني
Random Copolymers	بوليميرات مشتركة عشوائية
Reactive diluents	ممددات فعالة
Reagent	متفاعل، كاشف
Redistribution reaction	تفاعل إعادة التوزيع
Redox potential	كمون الأكسدة والإرجاع
Reflective layers	طبقات عاكسة
Reflow soldering	لحام بالانحسار
Resins	راتجات
Resolution	ميز
Retro-reflective	رجعي الانعكاس
Reverse osmosis	تناضح عكسي
Rheology modifiers	معدلات ريولوجية
Rigid	جاسئ
Scavenger	صياد
Screen printing	طباعة بالمنخل
Self-propagating thermolysis	تحلل حراري ذاتي الانتشار
Sensitizers	مُحسّسات
Sensors	مُحسّسات
Shear modulus	معامل إجهاد القص
Shear strength	مقاومة القص
Shear thinning	ترقق بالقص

Side Chain	سلسلة جانبية
Silica gel	هلام سيليكات
Silylation	سيللة
Singlet	واحدية
Sintering	تلييد
Size exclusion chromatography	كروماتوغرافيا استبعاد المقاس
Slurry	معلق طيني القوام
Smart windows	نوافذ ذكية
Softening point	نقطة تليين
Sol	محلول معلق
Sol-gel	محلول-هلام
Solubility	انحلالية
Solute	مادة حلولة
Solution casting technique	تقنية صب المحلول
Solvent casting	صب المذيب
Soxhlet apparatus	جهاز سوكليت (للاستخلاص)
Space charge	حيز مشحون
Spacers	مبادعات-فواصل
Specie	نوع
Spherulites	منكورات
Spin casting	صب دوامي
Spin-coating	طلاي دوامي
Spinneret	مغزال
Spinning	غزل
Spraying	بخ

Sputtering	ترديذ
Staple fiber	ثيلة (ليف غير مستمر)
Statistical copolymer	بوليمير مشترك إحصائي
Stents	دعامات (شبيكات أنبوبية)
Sticking temperature	درجة حرارة التدبّق
Stock solution	محلول أم
Stoichiometric coefficients	أمثال تفاعلية أو ستوكيومترية
Stress-cracking	تصدع بالإجهاد
Stretch blow molding	قولبة النفخ بالمط
Substitutes	بدائل
Sulfurization	معالجة بالكبريت
Supercritical fluid	مائع فوق الحرج
surface-mount technology	تقنيّة التجميع السطحي
Surfactant	خافض توتر سطحي
Swelling	انتباج- تورّم
Switches	قواطع
Syndiotactic	سينديوتاكتي
Synergistic effect	مفعول تآزري
Synthesis	اصطناع- تحضير مركّب
Tautomerism	نزوح
Telechelic monomers	مونوميرات تليكلية
Telomer	تلومير
Tensile Elongation break	استطالة الشد عند الانهيار
Tensile Elongation yield	استطالة الشد عند الخضوع
Tensile modulus	مُعامل الشد
Tensile strength break	مقاومة الشد عند الانهيار

Terpolymers	تربوليميرات (بوليميرات مشتركة ثلاثية)
Tetramer	رباعيميرات (تتراميرات)
Thermal degradation	تدهور حراري
Thermal polymerization	بلمرة حرارية
Thermoforming	تشكيل حراري
Thermogravimetry	قياس وزني حراري
Thermoplastic molding	قولبة ملدنة حرارياً
Thermosets	بوليميرات التصلد الحراري
Thermosetting resins	راتنجات التصلد الحراري
Thermotropic	ثرموتروبي
Thrombin inhibitors	مثبطات ثرومبين (مضادات تخثر الدم)
Tortuosity effect	مفعول تعرجي
Toughness	متانة
Transamidation	أميدة تبادلية
Transimidization	إيميدة تبادلية
Trimers	ثلاثيميرات (تريميرات)
Triplet	ثلاثية
Turn-on voltage	كمون إشعال
Twin screw extruder	بائق ثنائي اللولب
Ultrafiltration	ترشيح فائق
Valence band	نطاق تكافؤ
Vitrification	ترجج
Water affinity	ألفة للماء
Waveguide	دليل الموجة
Wear coefficient	معامل الاهتراء

Welding	لحام
Wet process	سيرورة مبلّلة
Working electrode	مسرى العمل
Xerography	تصوير كهرفوتوغرافي (كزيروغرافيا)
X-ray photoelectron spectroscopy	مطيافية الأشعة السينية الفوتوالكترونية
Zwitterion	اثنائي الشاردة

---

## الثبت التعريفي

---

**اثنائي الكسر (Birefringence):** خاصة للمواد اللامتماثلة المناحي تؤدي إلى انقسام الشعاع الضوئي عند دخوله إلى هذه المواد إلى شعاعين ينتشران في الوسط بسرعتين مختلفتين. فعندما يهتز الحقل الكهربائي لأحد هذين الشعاعين في مستوي يضم المحور البصري (محور التناظر للوسط اللامتماثل المناحي) فإن هذا الشعاع يُسمى الشعاع العادي، وتكون سرعة انتشاره غير متعلقة بمنحى الانتشار، ونسبي قرينة الانكسار المرافقة  $n_o$ . في حين إذا كان الحقل الكهربائي للموجة الضوئية يهتز في مستوي عمودي على المحور البصري فإنه يُسمى الشعاع فوق العادي، وتكون سرعة انتشاره متعلقة بمنحى الانتشار، ونسبي قرينة الانكسار المرافقة  $n_e$ . ونعرف أحياناً اثنائي الكسر بالفرق  $n_e - n_o$ .

---

**إجهاد القص (Shear Stress):** هو الإجهاد الذي يسعى إلى تشويه المادة عبر انزلاق مستوياتها الموازية للإجهاد. وهو يحصل في الحالتين الصلبة والسائلة. ويرتبط في حالة المادة السائلة باللزوجة.

---

**اختبار صدم آيزود المثلوم (Notched Izod impact test):** اختبار مُقيس من قبل منظمة مقياس المواد واختباراتها الدولية (الأمريكية) ASTM ، لقياس مقاومة الصدم. وقد سُمي الاختبار باسم المهندس الإنكليزي Edwin Gilbert Izod الذي وصفه أول مرة عام 1903. تُستخدم في الاختبار عادة عينة مثلومة لمنع تشوهها تحت الصدم. يجري تثبيت العينة بحيث يواجه الجزء المثلوم ذراعاً مهتزة تقوم بالصدم. تُوضع هذه الذراع على ارتفاع معين (حاملة طاقة كامنة ثابتة)، ثم تُترك لتسقط سقوطاً حراً على العينة لتكسرها. وتُحدد مقاومة المادة للصدم بالطاقة التي امتصتها أثناء الصدم.

---



أزيوتروب (Azeotrope): مزيج من سائلين أو أكثر وفق نسبة لا يمكن تغييرها بالتقطير فقط. وذلك لأنّ البخار الناتج من غليان الأزيوتروب له نسبة المكونات ذاتها التي للمزيج السائل الأصلي، ومن ثمّ لا يقبل الأزيوتروب الفصل بالتقطير المجزأ المعتاد.

أوليغومير (Oligomer): مركّب ذو بنية تقع بين بنية المونومير والبوليمير، ويتكون من عدد محدد من الوحدات المونوميرية.

أيونومير (Ionomer): هو بوليمير يحمل فيه جزء صغير (ولكن ذو دلالة) من وحداته البنيوية زمراً متأينة أو تقبل التأين.

بلمرة بالمناقلة الفاتحة للحلقات: (Ring Opening Metathesis Polymerization) ROMP هي نوع من بلمرة الأوليفينات بالمناقلة، والقوة المحركة لهذا النوع من البلمرة هي فتح مركّب أوليفيني حلقي للتخلص من إجهاد الحلقة (النوربورنين وحلقي البنزين). أما الحفازات المستعملة فهي تضمّ تنوعاً كبيراً من المعادن الانتقالية، نذكر منها حفاز غربس Grubbs. وهي مستعملة بكثرة في الصناعة للوصول إلى بوليميرات ذات تشتت بوليميري ضعيف، وذلك ابتداء من مونوميرات زهيدة الثمن.

بلمرة بانتقال السلسلة العكوس من نمط إضافة-تجزئة (Reversible Addition-Fragmentation Chain Transfer Polymerization: RAFT) هي نوع من البلمرة الجذرية، الحية التي تقبل الضبط. وتجري في الشروط ذاتها التي تتحقق فيها البلمرة الجذرية ولكن بوجود معاملات انتقال السلسلة من مركبات ثيو كربونيل ثيو (ثنائي ثيو إسترات، ثنائي ثيو كاربامات، ثلاثي ثيو كربونات)، وتتميز بوجود مرحلة إضافة-تجزئة عكوسة وبغياب تفاعلات الإنهاء. وتسمح بالوصول إلى بوليميرات ذات توزع كتلي محدد، وكذلك تصميم بوليميرات ذات بنية معقدّة: كتلية-خطية، مشطية، نجمية، شجرية التشعب.

بلمرة حية (Living polymerization): هي بلمرة متسلسلة تغيب فيها تفاعلات انتقال السلسلة وتفاعلات الإنهاء. وهي طريقة شائعة في البلمرة لتحضير بوليميرات مشتركة كتلية التعاقب. إذ يجري تحضير البوليمير على مراحل حيث يُضاف في كلّ مرحلة مونومير جديد. ومن الميزات الأخرى لهذه البلمرة: الوصول إلى كتلة مولية محددة مسبقاً، وسيطرة أفضل على الزمر الطرفية.

**بُلْبُرَة (Crystallite):** تُعرّف البُلْبُرَة بأنها تلك الحالة من المادة الصلبة التي تتصف بالبنية ذاتها التي تتصف بها البلورة الأحادية. والحالات التي تصادف فيها أجساماً صلبة ذات بلورات أحادية هي حالات نادرة (أحجار كريمة، سيليكون للصناعات الإلكترونية،...)، أما معظم الأجسام الصلبة فهي متعددة البلورات وتتألف من عدد كبير من البُلْبُرَات التي تربط بينها طبقات رقيقة من المادة الصلبة غير المتبلورة. أما أبعاد البُلْبُرَات فهو بين عدة نانومترات وعدة ميليمترات.

---

**بوليمير مشترك (Copolymer):** هو بوليمير مكوّن من نوعين أو أكثر من الوحدات المونوميرية. ونمّيّز منه أنواعاً حسب طرائق ارتباط الوحدات المونوميرية المشكّلة له، نذكر منها البوليميرات المشتركة الإحصائية والعشوائية والمتناوبة والكتلية المتعاقب والمنزوعة. ونعبّر عن البوليمير المشترك الذي يضمّ الوحدتين المونوميريتين B،A في حال عدم تحديد آلية ترتيب الوحدات المونوميرية بالتسمية poly(A-co-B).

---

**بوليمير مشترك إحصائي (Statistical Copolymer):** هو بوليمير مشترك يتبع فيه توزّع الوحدات المونوميرية قوانين إحصائية معروفة، كأن يتبع مثلاً إحصائية ماركوفينية من المرتبة صفر (برنولية) أو من المرتبة الأولى أو الثانية. ونعبّر عن البوليمير المشترك الإحصائي الذي يضمّ الوحدات المونوميرية C،B،A بالتسمية :

. poly(A-stat-B-stat-C)

---

**بوليمير مشترك عشوائي (Random Copolymer):** هو نوع خاص من البوليميرات المشتركة الإحصائية، يكون فيها احتمال العثور على وحدة مونوميرية في موقع معين من السلسلة مستقلاً عن طبيعة الوحدات المونوميرية المجاورة. ونعبّر عن البوليمير المشترك العشوائي الذي يضمّ الوحدات المونوميرية C،B،A بالتسمية :

. poly(A-ran-B-ran-C)

---

**بوليمير مشترك كتلي التعاقب (Block Copolymer):** هو بوليمير مشترك مكوّن من جزيئات ذات ترتيب خطي للكتل. ونعرّف الكتلة على أنها جزء من الجزيئة البوليميرية تضم وحدات مونوميرية مغايرة لتلك التي في الأجزاء المجاورة لها. ونعبّر عن البوليمير المشترك الكتلي التعاقب الذي يضمّ الوحدتين المونوميريتين B،A بالتسمية :

. polyA-block-polyB

---

**بوليمير مشترك متناوب (Alternating Copolymer):** هو بوليمير مشترك مكون من نوعين من الوحدات المونوميرية الموزعة وفق تعاقب متناوب. ونعبر عن البوليمير المشترك المتناوب الذي يضمّ الوحدتين المونوميريتين B،A بالتسمية  $\text{poly(A-alt-B)}$ .

---

**بوليمير مشترك منزوع أو مطعم (Graft Copolymer):** هو بوليمير مشترك مكون من نوع أو أكثر من الكتل المرتبطة بالسلسلة الرئيسية على شكل سلاسل جانبية. ونعرف الكتلة على أنها جزء من الجزيئة البوليميرية تضم وحدات مونوميرية مغايرة لتلك التي نجدها في السلسلة الرئيسية. ونعبر عن البوليمير المشترك المنزوع الذي يضمّ الوحدتين المونوميريتين B،A بالتسمية  $\text{polyA-graft-polyB}$  حيث تمثل A الوحدة المونوميرية المشكّلة للسلسلة الرئيسية و B الوحدة المونوميرية المشكّلة للسلسلة الجانبية.

---

**بوليميرات شجرية التشعب (Dendrimers):** بوليمير تكون فيه الذرات مرتبة في فروع تتفرع عنها فروع ثانوية، وذلك على طول سلسلة رئيسية كربونية. لهذه البوليميرات تطبيقات في مجال اللواصق، كما أنها واعدة في مجال الآلات النانوية.

---

**بوليميرات كهليلتية (Polyelectrolyte):** هي بوليميرات يحمل فيها جزء كبير من وحداتها البنوية زمراً متأينة أو تقبل التأين.

---

**تألق ضوئي (Photoluminescence):** هو سيرورة تقوم فيها مادة بامتصاص فوتونات (أشعة كهرمغناطيسية) ثم تصدر بعد ذلك فوتونات. ومن وجهة نظر ميكانيك كمومي يمكن وصفها على أنها إثارة للمادة إلى مستويات طاقة عليا، ثم عودتها إلى مستويات أدنى مع إصدار ضوئي.

---

**تألق كهربائي (Electroluminescence):** هي ظاهرة ضوئية وكهربائية تقوم فيها المادة بإصدار الضوء نتيجة لمرور التيار الكهربائي أو نتيجة لتطبيق حقل كهربائي. وهي تنشأ عن إعادة انضمام الإلكترونات والثقوب بصورة مشعة في مادة نصف ناقلة عادة. حيث تقوم الإلكترونات المثارة بإصدار فائض الطاقة على شكل فوتونات.

---

**تبلر (Crystallinity):** وجود ترتيب ثلاثي البعد على مستوى الأبعاد الذرية. في البوليميرات

---

يمكن لمدى الترتيب أن يكون صغيراً جداً حوالى 2 nm في واحد أو أكثر من المناحي البلورية وهو بالعادة يصل إلى أقل من 50 nm في واحد على الأقل من المناحي البلورية.

---

تَرِبُولِيمِير (Terpolymer): بوليمير مشترك ثلاثي الوحدات المونوميرية.

---

تزاوج الأسس من نوع واتسون-كريك (Watson-Crick Base Pairing): ارتباط أساسين في الحموض النووية بروابط هيدروجينية، كأن يرتبط الأدينين (A) مع الثيمين (T) ويرتبط السيتوزين (C) بالغوانين (G) في حالة الـ DNA.

---

تشبيك تصالبي (Crosslinking): سيرورة يجري خلالها توليد روابط تربط بين الجزيئات الضخمة المتجاورة. ويضفي التشبيك التصالبي عند كثافة منخفضة منه على البوليمير خواص مرونة، في حين يكسب البوليمير جساءة عندما ترتفع كثافة التشبيك.

---

التشتتية البوليميرية (Polydispersity): نسبة المتوسط الكتلتي للكتلة الجزيئية إلى المتوسط العددي للكتلة الجزيئية أي  $M_w / M_n$ .

---

تقطير آزوتروبي (Azeotropic distillation): هو واحد من تقانات فصل الأزيوتروب يقوم على إضافة مركبة إضافية إلى الأزيوتروب ليتشكّل مزيج جديد غير متجانس ذو درجة غليان أخفض (كأن يتشكل طوران سائلان غير ممتزجين في حالة البنزين الذي يُضاف إلى آزوتروب الماء مع الإيثانول بغية فصله).

---

تِلومِير (Telomer): هو جزيئة بوليميرية ذات سلسلة قصيرة بين 2 و 5 (أوليغومير) ينشأ أثناء البلمرة الجذرية عن انتقال السلسلة باكراً مما يحدّ من نموها، ونسَمي البلمرة الجذرية عندها بالتلمرة Telomerization.

---

تَوْبُر (Fibrillation): هو أن يظهر على سطح القماش نهايات الألياف على شكل أوبار أو شعيرات قصيرة.

---

توضيح الأبخرة كيميائياً (Chemical vapor deposition CVD): نوع من التوضيح في الخلاء، وهو سيرورة كيميائية لإنتاج مواد صلبة عالية الجودة شديدة النقاوة. في هذه السيرورة، تُعرّض ركيزة إلى أبخرة مادة أولية متطايرة أو أكثر تتفاعل و/أو تتفكك على

سطح الركيزة لإنتاج الغشاء المطلوب. وغالباً ما تُنتج منتجات ثانوية تُزال بتيار من الغاز الذي يتدفق عبر حجرة التفاعل.

**توضيح بالتهجير الكهربائي (Electrophoretic deposition):** مصطلح يشمل عدداً كبيراً من سيرورات الطلي الكهربائي، والسمة المشتركة بينها هي وجود جسيمات معلقة في سائل تهاجر أو تنتقل بتأثير حقل كهربائي وتتوضع على المادة التي تطلّى والتي تمثل أحد مسريي الدارة الكهربائية.

**تيلات (Staple fibers):** ألياف مقطّعة بطول 7 إنش تقريباً يجري غزلها لتشكيل خيوط. وتكون هذه الخيوط أكثر عرضة للتمزق من تلك المشكلة من ألياف مستمرة.

**حاضنة (Matrix):** وسط يحتوي على شيء أو يتكوّن الشيء فيه.

**حلمهة (Hydrolysis):** تفكك مركّب كيميائي بوجود الماء.

**حموض متعددة مغايرة (Heteropolyacids):** هي صفّ من الحموض ذات تركيب خاص يضم ذرات هيدروجين حمضية وعنصراً من الكتلة  $p$  من الجدول الدوري للعناصر، مثل السيليكون أو الفوسفور أو الزرنيخ، وذرات أكسجين ومعدناً مثل التنغستين أو الموليبدينيوم أو الفاناديوم. وتُستعمل عادة بصفتها حفّازات حمضية.

**حيّز مشحون (Space charge):** هو مفهوم نعالج فيه فائض الشحنة على أنها امتداد متصل من الشحنة موزعة على منطقة من الفضاء (إما حجم أو سطح) أكثر منها نقاط شحنة متمايضة. تحصل هذه الظاهرة في العوازل بما فيها الخلاء لأنّ الشحنات في الأوساط الناقلة إما تتعدّل أو تخضع لتحجيب.

**خافضات السحب (Drag reducers):** تُعرف أيضاً باسم محسّنات التدفق وهي مركّبات تخفّض الضغط الاحتكاكي أثناء تدفق المائع ضمن أنبوب. يسمح استعمالها بزيادة التدفق وانخفاض هبوط الضغط عند سرعة جريان معينة للمائع.

**خلايا الوقود بالميثانول المباشر (Direct methanol fuel cell):** هي نوع من خلايا الوقود القائمة على التبادل البروتوني، يكون فيها الميثانول وقوداً.

**درجة حرارة الانحراف الحراري (Heat deflection temperature):** هي درجة الحرارة

التي تنشوّ عنها عيّنة بوليميرية أو لدائنية تحت حملٍ محدّد، وتُستعمل هذه الخاصّة عند تصميم المنتج اللدائني أو تصنيعه وتُحدّد وفقاً للمواصفة القياسية ASTM-D648.

**زحف (Creep):** ميل المادة الصلبة إلى الانتقال ببطء أو التشوه الدائم تحت تأثير الإجهادات. ويحصل نتيجة للتعرض الطويل الأمد إلى مستويات من الإجهاد تقل عن مقاومة الخضوع.

**الزمن المفتوح (Open time):** مصطلح في علم اللواصق يمثّل الزمن الممتد بين تطبيق المادة اللاصقة الحارة على الركيزة وتحقّق الربط. من الضروري أن يجري خلال هذا الزمن وصل الركيزة بالركيزة الثانية المراد لصقها بها. إذا جرى تجاوز هذا الزمن قبل ربط الركيزتين ببعضهما البعض فإنّ اللاصق يفقد قدرته على تحقيق الربط.

**سلفولان (Sulfolane):** يُعرف بالاسم 2،3،4،5-رباعي هيدروثيوفين-1،1-ثنائي أوكسيد وهو سائل شفاف لا لون له يُستعمل في الكيمياء الصناعية بصفته مذيباً للتقطير الاستخلاصي أو مذيباً تفاعلياً. ويُصنّف من بين المذيبات اللابروتونية، كما أنه قابل للانحلال بالماء.

**سميكتية (Smectic):** صفة لبعض بنى البلورات السائلة التي تصطف جزئياتها في طبقات متميزة بحيث تكون محاور هذه الجزئيات متعامدة مع مستوي الطبقات.

**سيل سسكي أوكسان (Silsesquioxane):** هو مركّب ذو صيغة تجريبية  $RSiO_{1.5}$  حيث R هو إما هيدروجين أو جذر ألكيل أو ألكين أو أريل أو أريلين. وتُستعمل هذه المواد بصفقتها حوامل للحفّازات.

**شبكة بوليميرية متداخلة (Interpenetrating polymer network):** هو بوليمير مكوّن من شبكتين أو أكثر متداخلة ومتشابكة على المستوى الجزيئي، ولكنها غير مرتبطة بروابط تشاركية فيما بينها، إلا أنه لا يمكن فصلها ما لم تُحطّم روابط كيميائية.

**ضوء مناسب (Actinic light):** ضوء له طول موجة مناسبة لحدوث تفاعل كيميائي-ضوئي.

**طلاءات مسحوقية (Powder coating):** هو نوع من الطلاءات يجري تطبيقها ابتداء من مسحوق جاف حرّ التدفق. ويكون الفرق الرئيس بين الطلاء السائل المعتاد والطلاء المسحوقي هو أنّ هذا الأخير لا يحتاج إلى مذيب تكون فيه المواد الرابطة والمالئة معلّقة

في الطور السائل، بل يجري تطبيقه بطريقة الكهرباء الساكنة ثم يُنضَج حرارياً كي يسيل قليلاً ويُسكَل غطاءً للركيزة. يمكن للمسحوق أن يكون بوليمير تلدن حراري أو بوليمير تصلب حراري. ويطبَّق هذا الطلاء بصورة رئيسة على السطوح المعدنية.

---

**غازول (Gasohol):** مزيج من الغازولين الخالي من الرصاص والكحول بنسبة 9 إلى 1 بالترتيب، يُستعمل في بعض الدول لخفض تكلفة وقود السيارات، كما يرفع من قيمة دليل الأوكتان مقارنةً بالغازولين الخالي من الرصاص.

---

**غشاء النفاذ البخاري (Pervaporation membranes):** غشاء لفصل مزيج من عدة سوائل عبر التبخير الجزئي وهو ذو خَرَج بخاري.

---

**فلورين (Fluorene):** مركبات هيدروكربونية عطرية متعددة الحلقات، تشكَل بلورات بيضاء لها رائحة شبيهة برائحة النفتالين. وهي قابلة للاشتعال، وتأتي تسميتها من أنها تبدي تألقاً فلورياً بنفسجي اللون. تُشتق من هذه الجزيئات البوليميرات الفلورينية المتراففة وذات الخواص نصف الناقلة.

---

**فولاذ كربوني وسطي (Medium carbon steel):** هو فولاذ يضمّ محتوى من الكربون بين 0.30% و 0.59%. وهو يجمع بين خواص متوازنة من الليونة والمقاومة، كما يتصف بمقاومة جيدة للاهتراء. يُستعمل في تحضير القطع الكبيرة ومكونات عربات النقل.

---

**الفولرين (Fullerene):** طائفة من الجزيئات مكونة فقط من ذرات كربون متجمعة على شكل كرات جوفاء أو أنابيب. وعندما تكون كروية فإنها تسمى بكرات بكّي باسم مخترع القبة الجيوديزية المهندس المعماري الشهير بكمينستر فلر Buckminster Fuller، وعندما تكون أنبوبية فإنها تسمى أنابيب الكربون النانوية.

---

**قرينة الأوكسجين (Oxygen Index):** هي أدنى تركيز للأوكسجين يُمكن من احتراق البوليمير.

---

**قوة العزل الكهربائي (Dielectric strength):** هي شدة الحقل الكهربائي العظمى التي يستطيع أن يتحملها عازل من دون أن تنهار خواصه العازلة.

---

**كهرحديدية (Ferroelectricity):** هي الاستقطاب الكهربائي التلقائي لمادة عازلة والقابل

---

للعكس عند تطبيق حقل كهربائي خارجي. اكتشفت هذه الخاصية في المواد عام 1920، وسميت بهذا الاسم نظراً إلى تشابهها مع خاصية المغناطيسية الحديدية، علماً أن معظم المواد ذات الخواص الكهربائية الحديدية لا تضم عنصر الحديد.

---

**كهرطيس (electret):** الكلمة مشتقة من كهرباء ومغناطيس والكهرطيس هو جسم عازل يحتفظ بحالة من الاستقطاب الكهربائي لفترة طويلة من الزمن بعد إزالة الحقل الكهربائي الخارجي الذي سبب الاستقطاب. ونحصل عادة عليه من تسخين بعض المواد العازلة إلى درجات حرارة عالية، ثم تركها تبرد مع تطبيق حقل كهربائي عليها. يولد الكهرطيس بعد ذلك حقولاً كهربائية داخلية وخارجية على نحو ما يفعله المغناطيس الدائم، ولكن مع الحقول المغناطيسية.

---

**ليوتروبية (Lyotropy):** خاصية للبلورات السائلة التي يتغير سلوكها بتغير درجة الحرارة وتركيزها في المذيب.

---

**لُيف (Fibril):** هو ليف دقيق بقطر حوالي 1nm.

---

**ما قبل البوليمير (Prepolymer):** هو جزيئة ضخمة أو جزيئة أوليغوميرية قادرة على الدخول في بلمرة لاحقة عن طريق زمر فعالة فيها. ومن ثم فهي تساهم بأكثر من وحدة مونوميرية في سلسلة واحدة على الأقل من سلاسل الجزيئة الضخمة النهائية.

---

**ماء ملكي (Aqua regia):** محلول أكال ومدخن أصفر أو أحمر اللون، يُعرف أيضاً باسم نثرو حمض كلور الماء. يجري تشكيله من مزج حمض كلور الماء المركز بحمض الآزوت المركز بنسبة مولية قدرها ثلاثة إلى واحد بالترتيب. وقد سمّي بهذا الاسم لأنه يستطيع إذابة المعادن النبيلة مثل الذهب والبلاتين.

---

**متانة (Toughness):** تعبّر المتانة في علم المواد عن مقاومة المواد للكسر عندما تتعرض للإجهاد، وتُعرف بأنها كمية الطاقة في واحدة الحجم التي تستطيع المادة أن تمتصها قبل الانهيار، وتقاس بالجول لكل متر مكعب.

---

**محسات قياس الممانعة (Impedimetric sensors):** محسات تعتمد على تغيير الخواص الديلكترية للمساري نتيجة ادمصاص جزيئات على سطحها.

---



**محلول معلق (Sol):** هو معلق غروي لجسيمات صلبة ضمن وسط سائل مستمر، وكمثال عن محلول معلق نذكر الدم، الدهون، الأحبار.

---

**مسامات ذات قياسات ميزوية (Meso-sized pores):** وفق تصنيف اختياري تكون المسامات ميزوية القياس إذا كان قطرها أقل من 50 nm وأكبر من 2 nm.

---

**مسامات ذات قياسات ميكروية (Micro-sized pores):** وفق تصنيف اختياري تكون المسامات ميكروية القياس إذا كان قطرها أقل من 2 nm.

---

**مطيافية القبولية (Admittance spectroscopy):** مطيافية تُستعمل لقياس المقادير السعوية والسماحيات الديلكترية بدلالة درجة الحرارة والتواترات.

---

**معامل الحني (Flexural modulus):** قابلية المادة للحني، وتُعطى بنسبة الإجهاد إلى الانفعال في تشوه الحني.

---

**معامل الشد (Tensile modulus):** يصف مرونة الشد أو ميل المادة إلى التشوه المرن على طول محور حين تطبيق قوى شد متعاكسة مسايرة لذلك المحور. ويُعرّف بنسبة إجهاد الشد إلى انفعال الشد في مادة مشوهة بصورة مرنة.

---

**معامل القص (Shear modulus):** هو أحد معاملات المرونة للمادة، ويُعبّر عن نزوع المادة إلى القص (التشوه عند حجم ثابت) حين تعرّضها إلى إجهادات قص، ويُعرّف على أنه نسبة إجهاد القص مقسوماً على انفعال القص. معامل القص على صلة وثيقة بلزوجة المادة عندما تكون سائلة.

---

**معامل المرونة (Elastic modulus):** هو الوصف الرياضي لنزوع المادة إلى التشوه المرن (غير الدائم) حين تطبيق قوة عليها. ويُعطى بنسبة الإجهاد إلى الانفعال، أي بميل منحنى الإجهاد كتابع للانفعال (التشوه) في منطقة التشوه المرن.

---

**مقاومة الحني (Flexural strength):** تُعرّف بقابلية مادة هشة لمقاومة التشوه تحت الحمل، ويُستخدم لتحديد اختبار الحني العرضاني الذي يحني عيّنة من المادة على شكل قضيب دائري أو مربع المقطع حتى تتكسر باستخدام تقنية النقاط الثلاث. وتمثل مقاومة الحني الإجهاد الأعظمي الذي تتحملة المادة عند لحظة الانهيار.

---

**مقاومة الخضوع (Yield strength):** تُعرّف مقاومة المادة للخضوع بالإجهاد الذي تبدأ عنده بالتشوُّه اللدن.

---

**مقاومة الشد (Tensile strength):** أكبر إجهاد شد تتحمّله المادة بدون أن تتمزق أو تنقطع أو تنهار.

---

**مقاومة الصهارة (Melt strength):** القيمة العظمى للشدّ الذي يمكن أن يُطبّق على الصهارة بدون أن تنقطع الصهارة اللزجة أو تتمزق. وهي قياس لمدى قوة المادة اللدانية عندما تكون في الحالة المصهورة. وتلزم معرفتها قبل تشغيل اللدائن بالبنق أو القولية بالحقن أو القولية الحرارية.

---

**مقاومة الضغط (Compressive Strength):** مقدرة المادة على تحمّل قوى دافعة محورياً. وعند بلوغ الحمل الحد الأقصى للمقاومة، تنهار المادة، ونسُمى قيمة الإجهاد عندها مقاومة الضغط.

---

**مواد ضوئية الانكسار (Photorefractive materials):** هي مواد تستجيب للضوء وفق آلية لاختيائية وتغيّر من قرينة انكسارها. وتُستعمل هذه الظاهرة في الهولوجرامات لحفظ البيانات ضوئياً، كما تُستعمل في توليد مرابا ترافق الأطوار.

---

**مونومير ضخّم (Macromonomer):** هو جزيئة ضخمة (بوليمير) لها زمرة طرفية وحيدة تسمح لها بتأدية دور جزيئة مونوميرية بحيث تساهم بوحدة مونوميرية وحيدة في سلسلة الجزيئة الضخمة النهائية.

---

**ميركابتان (Mercaptan):** هو مركّب عضوي يضمّ ذرة كبريت ويحمل الصيغة RSH حيث R هو جذر ألكيل، مثال إيثيل الميركابتان  $C_2H_5SH$ ، ويُعرف أيضاً باسم الثيول.

---

**نترة (Nitration):** سيرورة كيميائية تقوم على إدخال زمرة نترو في مركّب كيميائي.

---

**نقطة تليّن (Softening point):** هي درجة حرارة تصبح عندها المادة طرية، وذلك فوق حدّ طراوة اختياري. ويمكن تحديدها بطريقة Vicat أو وفقاً للمواصفة القياسية ASTM-D1525 أو ISO306. ويُستعمل مفهوم نقطة التليّن للمواد التي ليس لها نقطة انصهار معينة مثل اللدائن. وتُعرّف أحياناً على أنها درجة الحرارة التي تتحول فيها المادة من التدفق اللزج إلى التدفق اللدائي.

---

نيماتية (Nematic): صفة لبعض بنى البلورات السائلة التي تصطف جزيئاتها في خطوط متوازية منفصلة.

---

هجرة كهربائية (Electrophoresis): حركة الجسيمات المشحونة كهربائياً في سائل بتأثير الحقل الكهربائي المتولد بين مسريين مغموسين في المحلول.

---

وحدات ميزوجينية (Mesogenic units): وتُعرّف أيضاً على أنها وحدات مولدة للطور الوسطي. وهي الوحدة البنوية الأساسية في البلورة السائلة التي تولد الانتظام في هذه البلورات. بصورة عامة تتكوّن جزيئة البلورة السائلة من كسرة جاسئة تُسمّى الوحدة الميزوجينية و جزء أو أجزاء مرنة طيّعة. تقوم الأجزاء الجاسئة من الجزيئة بالانتظام في أحد الاتجاهات، في حين تضيفي الأجزاء الطيّعة نوعاً من السيولة على البلورة السائلة. ويعتبر التوازن الأمثلي بين الجزأين أساساً لتشكّل مواد بلورية سائلة.

---

## فهرس

- أ -	
أطباق حضانة الخلايا : 583	اثناني الشاردة : 36
أغشية صوتية : 487	اثناني الكسر : 309
أغشية فاصلة	إجرائية غورام : 99
ألياف مفرّعة : 301 ، 553	إجهارية التآلق الفلوري : 78 ، 148
ترشيح فائق : 193 ، 301	أحماض نووية : 307
ثنائية الاستقطاب : 193	أدلة موجية : 106 ، 135 ، 218
حاضنة مختلطة : 553	إزالة اللون : 228
خلايا وقود : 260 ، 299 ، 302	أسترة : 181 ، 192 ، 395 ، 396 ، 584
كثيفة : 189 ، 263	استقرار ضوئي : 227
كربون : 301 ، 554	استقرار في الأبعاد : 183
كهرلتيية : 195	إشابة بالأصبغة : 134
للغازات : 190	اصطناع ويليامسون : 584
مركبة : 196 ، 263	إضافة حلقيه : 346
مسامية : 189 ، 194 ، 258	
مُسلطنة : 193	
معقمة ببخار الماء : 305	

مملوءة: 192	غزل: 183
مناخل جزيئية: 194	كربون: 184، 495
موظفة إنزيمياً: 194	مفرّغة: 194، 553
نفاذ بخاري: 192	موصلة كهربائياً: 491
أغشية متعدّدة الطبقات: 150، 417	نانوية: 148
أغشية من الأكاسيد: 423	نحاس: 493
إكسيلكس: 48، 60	وُولاستونيت: 457
إكستون: 44، 47، 60، 72، 73	أميدة تبادليّة: 451
إكسيمير: 48	أنابيب نانوية
التصاق	پولي (p-فينيلين فينيلين): 148
بينيّ: 292	كربون: 30، 149
تخفيف: 229	انتقال الطاقة
صياغات الإنهاء: 494	دكستر: 49
نحاس: 557	فورستر: 49، 50، 139
ألياف	انزياح ستوكس: 58
أراميد: 477، 484، 487، 490	إنزيم هاضم للبروتينات: 194
بصرية: 106، 491	أنسولين: 108
بلمرة بالزرع: 30	أنصاف نواقل: 117، 138
تقوية: 181، 186، 234	إنضاج ضوئي: 189
تيلات: 484	انكسارية ضوئية: 61، 63
زجاجية: 30، 185، 589	بلورات سائلة: 69
سيللوز: 484	صياغات: 63

إزاحة نيوكليوفيلية : 541	إيزوسيانات
إلكتروفيلية : 288	أوليغوميريّة : 509
أمواج مكروية : 511	ثنائية الوظيفة : 30
انتقال الشحنة : 36	رغويات : 513
آيونية : 29، 127، 382	محتجزة : 361، 360
بالاستبدال النيوكليوفيلي : 222	إيميدة تبادليّة : 542
بفتح الحلقة : 287، 312	- ب -
بلازما : 52	باتق ثنائي اللولب : 449
ترسيب : 510	بَحّ
تشتيت : 38	باللهب : 265
جذر حر : 29	كهرساكن : 148، 235
جذرية حية : 65	بدائل الأسبستوس : 485، 492، 499، 493
زرع : 30	بطاريات
زيغلر-ناتا : 34	قابلة للشحن : 263
ضوئية : 32	ليثيوم : 30، 558
غير متجانسة : 29	بطانات : 257
فريدل-كرافتس : 287، 288	بلمرة
كاتيونية : 34	CVD : 98
كهركيميائية : 37، 38	RAFT : 37
معلّق : 178	ROMP : 122
مناقلة غرينيارد : 122	

- مؤكسيدة : 171 ، 200
- مؤكسدة في حاضنة : 31
- ياماموتو : 382
- بلمرة بالتكاثف
- استبدال نيوكليوفيلي : 283
- أسترة تبادلية : 395
- تقارن متصلب : 120
- حية : 281
- للصهارة : 296
- نمو السلسلة : 281
- نمو السلسلة : 283
- نوفن أنجل : 125
- بلورات سائلة
- ثرموتروبية : 579
- قرصية : 584
- ليوتروبية : 579
- بنية قضيبية الشكل : 508 ، 580
- بوابة ترابط : 69
- بوادئ
- آنيونية : 39 ، 127
- جذرية : 29 ، 31
- زيغلر-ناتا : 34
- ضوئية : 32 ، 33 ، 34 ، 561
- كاتيونية : 27
- بوليمير مشترك
- إحصائي : 76
- ثلاثي الكتل التعاقبية : 35 ، 132
- حامل للوظائف : 55 ، 63
- عشوائي : 48 ، 123 ، 283
- كتلي التعاقب : 35 ، 151 ، 248 ، 260
- مترافق : 75
- متناوب : 139
- موصل ضوئي : 45
- مونوميرات تلكيلية : 285
- بوليميرات
- تصلد حراري : 181 ، 217
- سلمية : 224
- شجرية الشعب : 180
- ضوئية الانكسار : 62 ، 63 ، 65 ، 67 ، 69
- فائقة الشعب : 76 ، 130 ، 174 ، 293
- متلوّنة ضوئياً : 70 ، 523

- ت -

تحلل حراري: 95، 99، 119،  
195، 226، 294، 554

تحليل

الأبخرة العضوية: 151

كهربائي مشترك: 123

كهركيميائي: 53

مواد حيوية: 153

تحميل الوظائف: 174، 175،  
177، 251

تخريش: 494، 557، 562، 565

تخريش ببلازما الأرغون: 494

تخزين المعطيات ضوئياً: 62،  
66، 135، 592

تدهور حراري: 132، 184، 200

ترانزيستور: 136

تربوليميرات: 220

ترذيد: 52، 137

ترشيح فائق: 193، 298

ترشيح مكروي: 298

ترقق قص: 454، 590

تركيبات الألعاب النارية: 364

تركيبة عالية الانسيابية: 180

تزاوج الأسس: 307

تألق

ضوئي: 47، 136

فلوري: 37

فوسفوري: 48، 57

كهربائي: 32، 47، 136،  
138

تبلور

بارد: 413

حركية: 301

درجة حرارة: 215

محرّض بالإجهاد: 431

مشترك متساوي الشكل  
الإثنائي: 406

معدّلات: 406

تجهيزات

ذواكر: 56، 57

طبية: 108

فوتوفولطائية: 72، 142

تجهيزة نيماتية ملفوفة: 597

تحرير الدواء: 109، 207

تحلّق مع نزع الماء: 349



تغطية النهايات : 218 ، 240 ،	ترجُّح : 26
565 ، 294	تسجيل
تغليف : 148	أسلوب حراري : 592
تفاعل	أسلوب ضوئي : 592
إعادة توزيع : 175	متعدّد : 592
أولمان : 27 ، 171 ، 174	هولوغرامات : 69
غيلش : 101 ، 119	تشبيك تصالبي
فريدل-كرافتس : 287	حراري : 182 ، 219 ، 260
فيتيغ : 40 ، 125	ضوئي : 139 ، 252
كيميائي ضوئي : 70 ، 74	عامل : 214
هك : 382	مزج الصهارة : 220
يامازاكي : 481	مؤكسد : 38 ، 213
تقارن	تشبُّثية بوليميرية : 37 ، 102 ، 126 ،
سوزوكي : 120 ، 380	127 ، 281 ، 293
مؤكسد : 169 ، 171 ، 174	تشغيل ميكروي : 107
ياماموتو : 382	تصدّع عند الإجهاد : 186 ، 289
تقانات مبضع الجراح : 72	تضمين : 33 ، 140 ، 149
تقشّر : 33 ، 140	تطبيقات غذائية : 235 ، 258
تقطّع السلسلة : 226 ، 252	تعديل السطح : 98 ، 108 ، 179 ،
تقطير قطران الفحم : 24	186 ، 299 ، 494
تقنيّة التجميع السطحي : 230	تعقيم
تكاثف	إشعاع : 305
أزيوتروبي : 282	بخار الماء : 289 ، 305

توظيف : 101

تيلات : 487

### - ث -

ثاني أوكسيد الكربون فوق الحرج :  
30

ثقوب نقطية : 50 ، 104

### - ج -

جسيمات مكروية : 265

جسيمات نانوية : 553 ، 558

أناتاز : 300

ذهب : 150

سيليكات : 192

قلب وقالب : 38 ، 67

جَلْتَنَة : 97

### - ح -

حاجز للغازات : 148

حامل للون (كروموفور) : 43

أزو : 63

ضوئي الانكسار : 67

مانح : 43

متقبل : 43

في السطح البيني : 450

تكتل : 257

تكوّن الرغوة

أسلوب فيزيائي مستمر : 514

أمواج مكروية : 551

بالارتفاع الحر المقيد : 514

بالتمدد الحر المقيد : 514

كيميائياً : 514

تكوين حلقات : 224 ، 257 ، 322

تليد : 265

تلطّخ القوالب : 394

تلون كهربائي : 525

توافق

افتقار إلى : 175

تحسين : 175 ، 181

حيوي : 305

دم : 305

توضيح

الأبخرة كيميائياً : 98 ، 121

تحت الخلاء : 27 ، 107 ، 137 ،

145

كهربائي : 363

- ر -

رابط  
ألياف : 431  
راتنجات : 337 ، 591  
راتنجات أكريلية : 425  
راتنجات التصلّد الحراري : 181  
راتنجات ميتاكريلية : 425  
رغويات : 188  
إيزوسيانات : 515  
بولي إيميد : 550  
مُقاومة للحرارة : 513

- ز -

زجاج جزئي : 26  
زرعات : 109  
زمر إرساء : 98 ، 108  
زيغ لوني : 77  
زيغلر-ناتا  
بلمرة : 34  
محفّز : 29

- س -

سحب عميق : 361

مزوج الاستعمال : 70

حجز الثقوب : 58  
حذف هوفمان : 96  
حلقات ضخمة : 287 ، 312

- خ -

خشونة السطح : 104 ، 190  
خلايا  
النحل السداسية : 234 ، 486  
الوقود : 193 ، 260 ، 263 ،  
289 ، 299 ، 303  
الوقود بالميثانول المباشر :  
196 ، 303

شمسيّة : 73 ، 142 ، 147  
خواص عزل كهربائي : 23 ، 104 ،  
153 ، 181 ، 185 ، 227  
خواص مضادة لنمو المتعضيات :  
300

- د -

درجة حرارة التدبّق : 398  
دعامات مانعة للتضيّق (شبيكات  
أنبوية) : 109

ديمرة مؤكسدة : 38 ، 278 ، 329

سدادات إحكام: 257، 492

صياد

سيكلوفان: 95، 96

جذور: 126

حمض: 515

## - ش -

شاشات البلّورات السائلة: 230

## - ض -

شبيكات

ضوء

انعراج: 77

الشمس: 74، 227

بلورية: 146

ليزر: 33

متداخلة: 74

## - ط -

هولوغرافية: 70

طاقة تحرّر: 47، 136، 137

شُراحة سيليكونيّة: 107

طباعة بنفث الحبر: 52، 137،  
147

شوائب: 61، 66، 133، 134

طباعة فلكسوغرافية: 430

## - ص -

طبقات

صب: 27، 46، 183، 259، 301،  
304

تدريع من الأشعة

الكهرمغناطيسية: 233

دوامي: 561

مضادّة للتأكل: 233

صباغ: 134

طبقة عاكسة: 106، 107

متألق فلورياً: 57، 134

طريقة الكربونات: 282

وظيفي: 139

طلاءات

صفائح: 181

p-كزيليلين: 99

صفائح سنيّة: 306

أدلة موجية: 106

صنع الورق: 485

انتقال السلسلة : 300	أسلاك : 248
تحرير القوالب : 457 ، 549	بلازما : 104
تغطية : 175 ، 218 ، 249	غير لاصقة : 257
نفخ : 186 ، 188	لاصقة : 521
عيوب	مساحيق اللحم : 105
بلورية : 133	مسحوقية : 182
بنوية : 249	مقاومة للتشققات : 521
ترافق : 119 ، 133	طلائع للغرافيت : 132
مؤكسدة : 133	طلي
نطاق : 69	بالتغطيس : 119
- غ -	دوامي : 27 ، 52 ، 58 ، 119 ، 144 ، 565
غزل	كهربائي : 466
تفاعل : 385	لاكهربائي : 466
جاف : 522	معلق طيني القوام : 235
صهارة : 229 ، 454	- ع -
كهربائي : 148	عظام
مبتلّ : 384	بدائل : 257
- ف -	براغي تثبيت : 583
فريدل-كرافتس	رباط : 491
بلمرة : 287	عوامل
توسّع السلسلة : 135	احتجاز : 360
محفّر : 193 ، 249	

لزوجة	فصل الغازات : 189 ، 190
تخفيض : 221	فولرينات : 39 ، 67 ، 74 ، 144
جوهريّة : 173 ، 230	
صهارة : 215 ، 221	
لواصق	قولبة بالحقن : 251 ، 255 ، 257 ، 489 ، 264
الصهارة الحارة : 467	قولبة بالنفخ : 412
لدرجات الحرارة العالية : 362	
لوحات دارات مطبوعة : 107	
ليتوغرافيا ضوئية : 52	كَبْرَتَة : 291
ليثمة : 194 ، 294	كمون الدارة المفتوحة : 75 ، 76 ، 147 ، 145
ليوتروبيّة : 579	كهريطيس : 185
	كهرفوتوغرافي : 23 ، 41 ، 42 ، 234 ، 46
- م -	كهرليت : 195 ، 558
ماصّات الأشعّة فوق البنفسجيّة :	كهرمعقد : 48
227	كهرمير : 48
مانح ومتقبّل : 42 ، 44 ، 49 ، 50 ، 143 ، 74 ، 76	كيتون ميتششر : 561
مبطنّات الذهب : 186 ، 187 ، 462	
متألّقات : 54	
متعدد الوظائف	
إيزوسيانات : 515	
مونوميرات : 25	
متعدّات النيوكليوتيدات المعاكسة :	لاخطيّة بصريّة : 62 ، 66 ، 67
307	لُبّ ورق الأراميد : 485
	لحام بالانحسار : 264

متكورات : 291 ، 402	بالاديوم : 534
مثبتات	تشبيك تصالبي : 521
إزاء الأشعة فوق البنفسجية :	زيغلر-ناتا : 29
227 ، 358	ضوئي : 189
الصهارة : 255	قابل للانحلال في الماء : 174
ضوئية : 227	محمول : 193
مشبطات	نحاسي : 200
الثرومين : 109	نيكل : 518
بلمرة : 358	مرايا مضادة للإبهار : 525
تأكّل : 228 ، 363	مرشّحات
محسّ	جسيمات : 107
حراري : 38	ضوئية : 598
حساس للـ pH : 148	مركبات وظيفية الزمر الطرفية (تلكيلية) : 285
حيوي لقياس الممانعة : 153	مزائج
ضغط : 385	PPE مع : 180 ، 195
غاز : 150	درجة حرارة الانتقال الزجاجي :
قياس الممانعة : 151	426 ، 313
مُحسّسات : 25 ، 35 ، 42 ، 46 ،	غير قابلة للامتزاج : 289 ، 403
63 ، 557	قابلة للامتزاج : 180
محفّز	متوافقة : 188 ، 250 ، 307 ،
إزالة زمر الألكيل : 160	414
انتقال الطور : 97 ، 126	مزوجة : 413 ، 426

- التصاق : 560
- تدفق : 180
- تفاعل : 171
- معقدات معدنية : 56، 59
- مفعول ميزوميري : 27
- مقاومة الزحف : 231، 264
- مقلدات نيوكليوتيدات : 307
- مقياس فولطائية حلقية : 53، 104
- ملدّنات : 64، 68، 70
- ممدّدات للسلسلة : 333
- مناخل جزيئية : 553
- مُنقلة : 122
- مواد الاحتكاك : 492، 499
- مواد لاصقة : 189
- مواد مركّبة احتكاكية : 499
- مواد مركّبة نانوية : 33، 140
- مواد ناقلة للثقوب : 40، 41، 46، 51، 57، 58، 59، 67، 134، 137
- موافقات : 181، 221
- مواليء : 235، 257، 258
- موصلية ضوئية : 42، 44
- مقاومة للسحج : 231
- مواتية للحام : 230
- مزج الصحارة : 189، 220، 222
- مزلّقات : 229، 252
- مزيلات اللون : 228
- مسار متداخلة : 150، 151
- مسارات موصلة : 233
- مطيافية
- السعة الانتقالية : 133
- القبولية : 133
- الممانعة : 151، 152
- معادلة
- آرينوس : 33
- أفرامي : 401
- غوردون-تايلور : 413
- فوكس : 411
- معالجة بالبلازما : 251
- معدّلات الاحتكاك : 492
- معدّلات الصدم : 185، 219
- معدّلات ريولوجية : 174
- مُعزّزات : 96
- أكسدة : 393



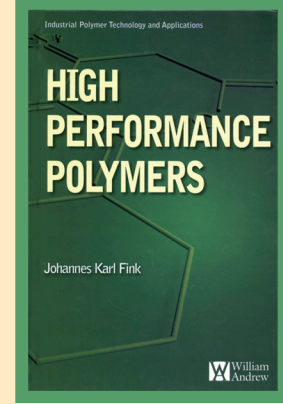
- مولّدات الحمض الضويّة : 563
- مونوميرات حاملة للوظائف : 98،  
583
- مياه فائقة النقاوة : 258
- ميناء الأسلاك : 520
- هشاشة : 252، 402
- هلاميات هوائيّة : 531
- هولوغرامات : 68
- هيدروجّل (هلام مائي) : 359
- هيدروكسي أباتيت : 257
- هلاميات هوائيّة : 531
- هولوغرامات : 68
- هيدروجّل (هلام مائي) : 359
- هيدروكسي أباتيت : 257
- نطاق تكافؤ : 69
- نطاق موصل : 69
- نفاذ بخاري : 192
- نفوذية للغاز : 61
- نوفن أنجل بلمرة بالتكاثف : 125
- وسادات هوائيّة : 364
- وصلة
- متباينة : 143
- مثليّة : 142





## البوليميرات العالية الأداء (\*)

السلسلة:



(\*) الكتاب الأول من المواد المتقدمة

الكتاب:

تضم هذه السلسلة ترجمة لأحدث الكتب عن التقنيات التي يحتاج إليها الوطن العربي في البحث والتطوير ونقل المعرفة إلى القارئ العربي.

يعرض كتاب البوليميرات العالية الأداء أهمّ المعطيات الحديثة في هذا الميدان، وقد جرى ترتيب فصوله وفقاً للتركيب الكيميائي لكلّ من هذه البوليميرات حيث يعتمد المؤلف يوهان كارل فينك (Johannes Karl Fink) أسلوباً واضحاً في الترتيب والكتابة، منطلقاً من المادة البسيطة نحو المواد الأكثر تعقيداً، وشارحاً بالتفصيل خصائص البوليميرات العالية الأداء ومجالات تطبيقاتها الحديثة، ومدعماً استنتاجاته بمراجع وبراءات ابتداءً من العام 2000، ما يجعل الكتاب ذا أهمية بالغة للمختصين والمهندسين في مجال الصناعة، كونه يقدم إضافة نوعية إلى المكتبة العربية ستسهم بلا شك في إنجاز أبحاثٍ جديدةٍ تخدم التطوير الأكاديمي والإنتاجي العربي.

المؤلف:

يوهان كارل فينك (Johannes Karl Fink): حائزٌ الدكتوراه في حقلِ حركيّةِ البلمرة غير المتجانسة عام 1978 من جامعة فيينا (Vienna)، وأستاذ كيمياء الجزيئات الضخمة في جامعة مونتان (Montan) في ليوبن (Leoben) النمسا، وخبير كبير في الدراسات والمشاريع المتعلقة بتقانة اللدائن والصناعات المرتبطة بمجال البوليميرات. د. يمن الأتاسي: باحثة في الكيمياء وعلوم المواد، وأستاذة الكيمياء في المعهد العالي للعلوم التطبيقية والتكنولوجيا في دمشق.

الترجمة:

1. المياه
2. البترول والغاز
3. البتروكيميا
4. النانو
5. التقنية الحيوية
6. تقنية المعلومات
7. الإلكترونيات والاتصالات والضوئيات
8. الفضاء والطيران
9. الطاقة
10. المواد المتقدمة
11. البيئة

سلسلة كتب التقنيات الاستراتيجية والمتقدمة

# البوليميرات العالية الأداء

يوهان كارل فينك

(1 - 10)

ISBN 978-9953-0-1835-5  
9 789953 018355

الثمان: 32 دولاراً  
أو ما يعادلها